

Motto: "Învățând matematică, înveți să gândești." Grigore C. Moisil
 "Învățând supermatematica, înveți să și înțelegi" Autorul

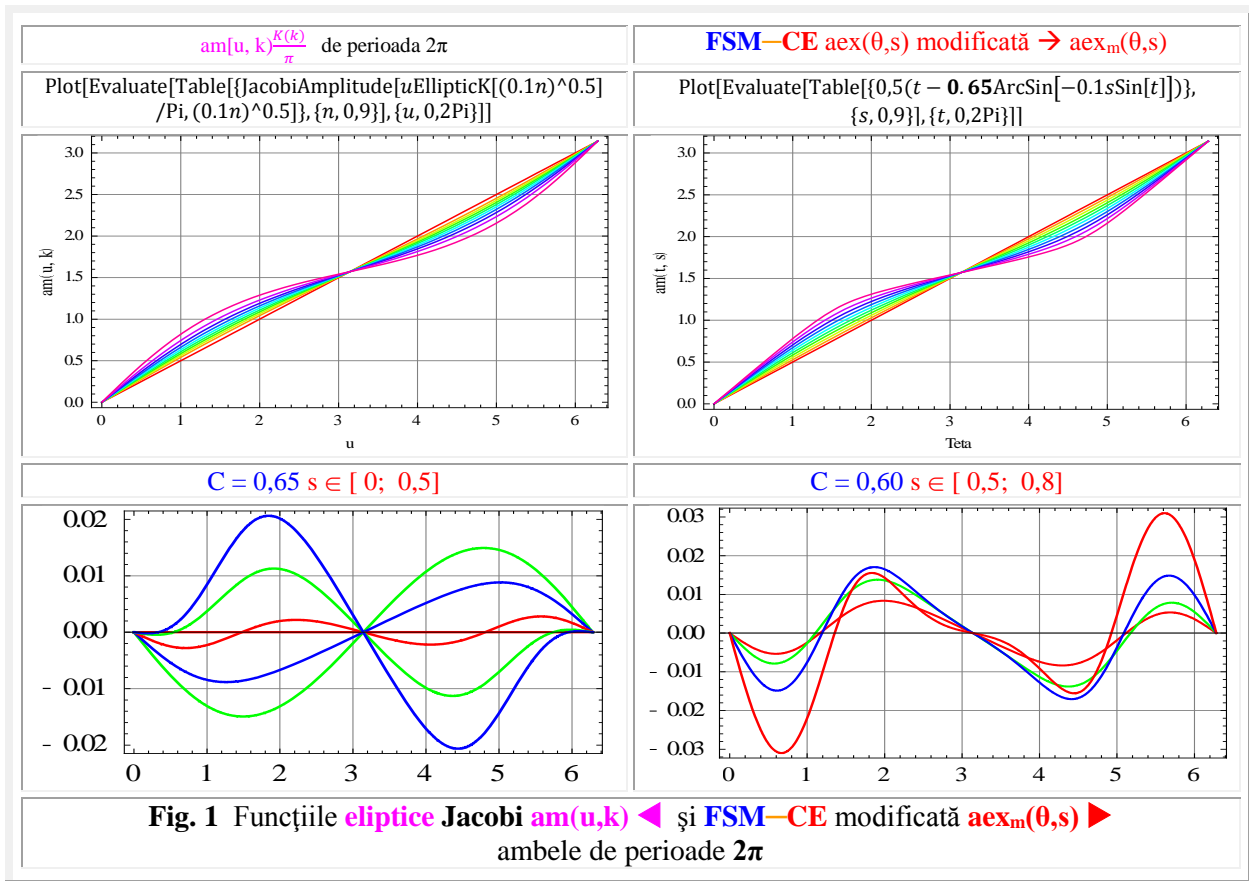
CAPITOLUL I

INTRODUCERE
 CHESTIUNI ELEMENTARE ALE SUPERMATEMATICII (SM)

1 FUNCȚIILE SUPERMATEMATICE CIRCULARE EXCENTRICE (FSM-CE)
 AMPLITUDINE EXCENTRICĂ
 DE VARIABILĂ EXCENTRICĂ $aex_{1,2}\theta$ ȘI DE VARIABILĂ CENTRICĂ $Aex_{\alpha,2}$

FSM-CE amplitudine excentrică $aex_{1,2}\theta$ și $Aex_{\alpha,2}$ sunt dintre cele mai importante funcții supermatematice (FSM) deoarece prin intermediul lor se face trecerea din domeniul matematicii centrice (MC) în cel al matematicii excentrice (ME); cele două domenii alcătuind $SM = MC \cup ME$.

Fenomenul este similar cu trecerea de la funcțiile circulare la funcțiile eliptice prin intermediul funcției amplitudine eliptică $am(u, k)$.



Dacă $\cos[\text{am}(u, k)] = \text{cn}(u, k)$, $\sin[\text{am}(u, k)] = \text{sn}(u, k)$, tot așa, $\cos[\text{aex}(\theta, S)] = \text{cex}(\theta, S)$, iar $\sin[\text{aex}(\theta, S)] = \text{sex}(\theta, S)$ și la fel pentru celelalte funcții compuse $\text{tex}\theta$, $\text{ctex}\theta$, $\text{texv}\theta$, $\text{ctexv}\theta$ ș.a

Funcția **eliptică Jacobi** $\text{am}(u, k)$ de perioadă $4K(k)$ are expresia / ecuația:

$$(1) \quad \text{am}(u, k) = \text{am}(z, m = k^2) = z - \frac{mz^3}{6} + \frac{1}{120}(4m + m^2)z^5 + \frac{(-16m - 44m^2 - m^3)z^7}{5040} + \frac{(64m + 912m^2 + 408m^3 + m^4)z^9}{362880} + O[z]^{11}$$

și cea modificată, la o perioadă de 2π , este:

$$(2) \quad \text{am}_m(u, m = k^2) = \text{am}(u, m = k^2) \frac{K(k)}{\pi},$$

în care $K(k)$ este integrala eliptică de prima speță a cărei expresie, cu 15 zecimale exacte, este dată în lucrarea [14]: **Mircea Şelariu**, “DETERMINAREA UNEI RELAȚII DE CALCUL ORICÂT DE EXACTE A INTEGRALEI ELIPTICE DE PRIMA SPEȚĂ $K(k)$ ” și este :

$$K(k) = \frac{\pi}{2R(k)} \text{ în care: } R_5(k) = \frac{1}{4} \left[\frac{A+G}{2} + \sqrt{\frac{A^2+G^2}{2}} AG \right] = \frac{1}{4} [A_2(R_2, p_2) + \sqrt{G_2(R_2, p_2)^2}], \text{ cu notațiile:}$$

$$G = \sqrt[8]{1-k^2} = \sqrt[4]{k'} = \sqrt[4]{\sqrt{1-k^2}} = \sqrt{p_1} \text{ și } A = \sqrt{\frac{1+\sqrt{1-k^2}}{2}} = \sqrt{\frac{1+G^4}{2}} = \sqrt{R_1}$$

Funcția supermatematică circulară excentrică (FSM-CE) de variabilă excentrică $\text{aex}\theta$ are expresia:

$$(3) \quad \text{aex}\theta \equiv \text{aex}[\theta, S(s, \varepsilon)] = \alpha_{1,2}(\theta) = \theta - \arcsin[s \cdot \sin(\theta - \varepsilon)]$$

iar cea modificată, prezentată în **figura 1** ► are expresia :

$$(4) \quad \text{aex}_m\theta \equiv \text{aex}_m[\theta, S(s, \varepsilon)] = 0,5 (\theta - C \arcsin[s \cdot \sin(\theta - \varepsilon)]),$$

în care $C = 0,5$.

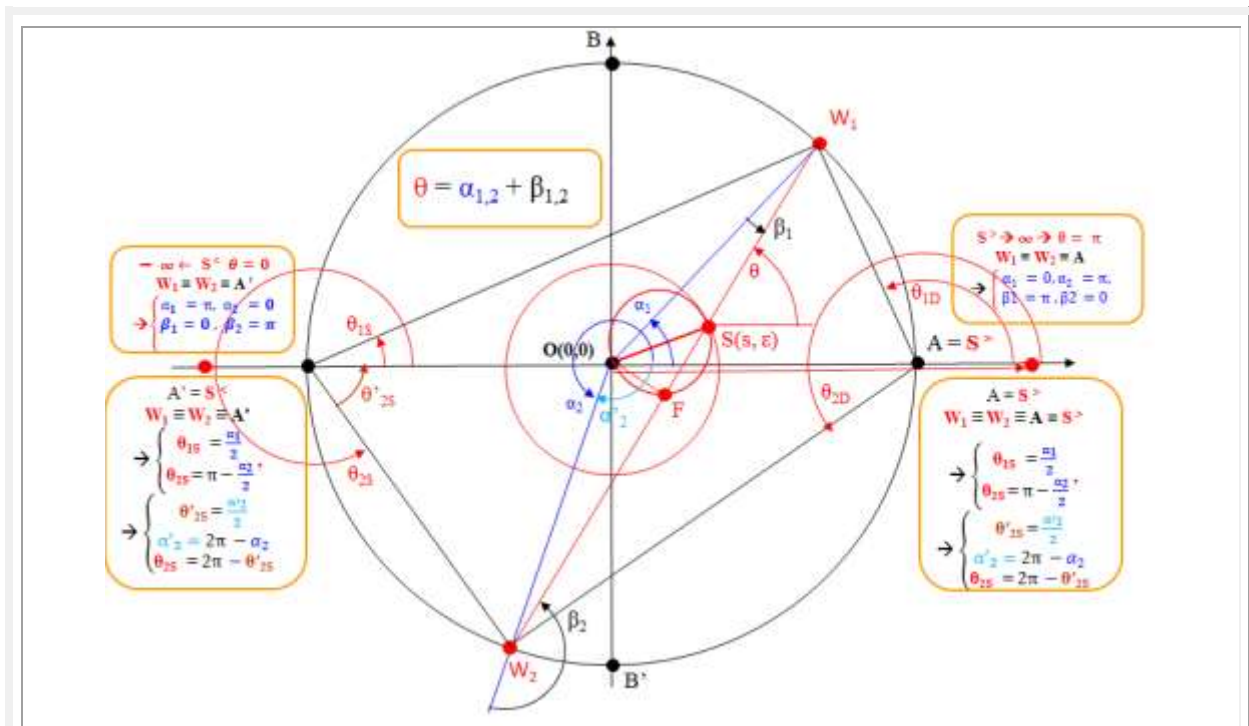
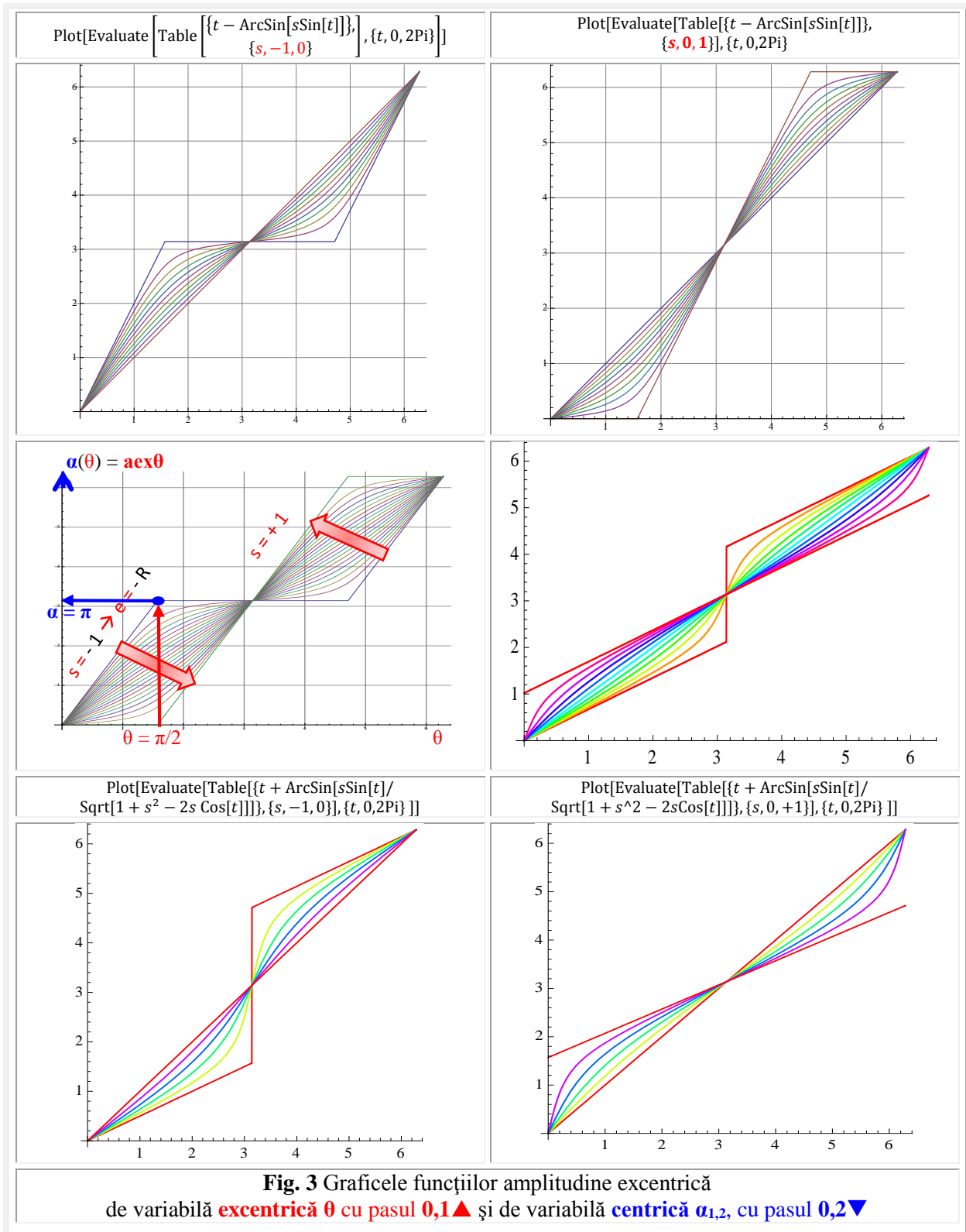


Fig. 2 Semnificațiile geometrice ale **FSM-CE**
 $\text{aex}_{1,2}\theta = \alpha_{1,2}(\theta) = \theta - \beta_{1,2}(\theta)$ și $\text{Aex}\alpha_{1,2} = \theta(\alpha_{1,2}) = \alpha_{1,2} + \beta_{1,2}(\alpha_{1,2})$



Din figura 1 rezultă suficient de clar că diferențele dintre cele două tipuri de funcții sunt destul de mici, sub 2 %, pentru $s = k < 0,5$, ceea ce, pentru utilizări tehnice, este acceptabil.

Semnificațiile geometrice ale funcțiilor **amplitudine excentrică** sunt prezentate în figura 2 și sunt relații între principalele unghiuri din triunghiurile **OSW_{1,2}**. Se observă imediat că funcția de variabilă **excentrică** $aex_{1,2}\theta = \alpha_{1,2}(\theta)$ este inversa funcției de variabilă **centrică** $Aex_{1,2} = \theta(\alpha_{1,2})$, așa cum rezultă și din graficele din figura 3; curbele fiind simetrice față de prima bisectoare. Se spune că funcțiile f și f^{-1} sunt mutual inverse, adică inversa inversei este funcția însăși: $(f^{-1})^{-1} = f$.

FSM-CE amplitudine excentrică de variabilă **excentrică** $aex_{1,2}\theta$ are expresia (3), iar funcțiile de variabile centrice $\alpha_{1,2}$ au expresia :

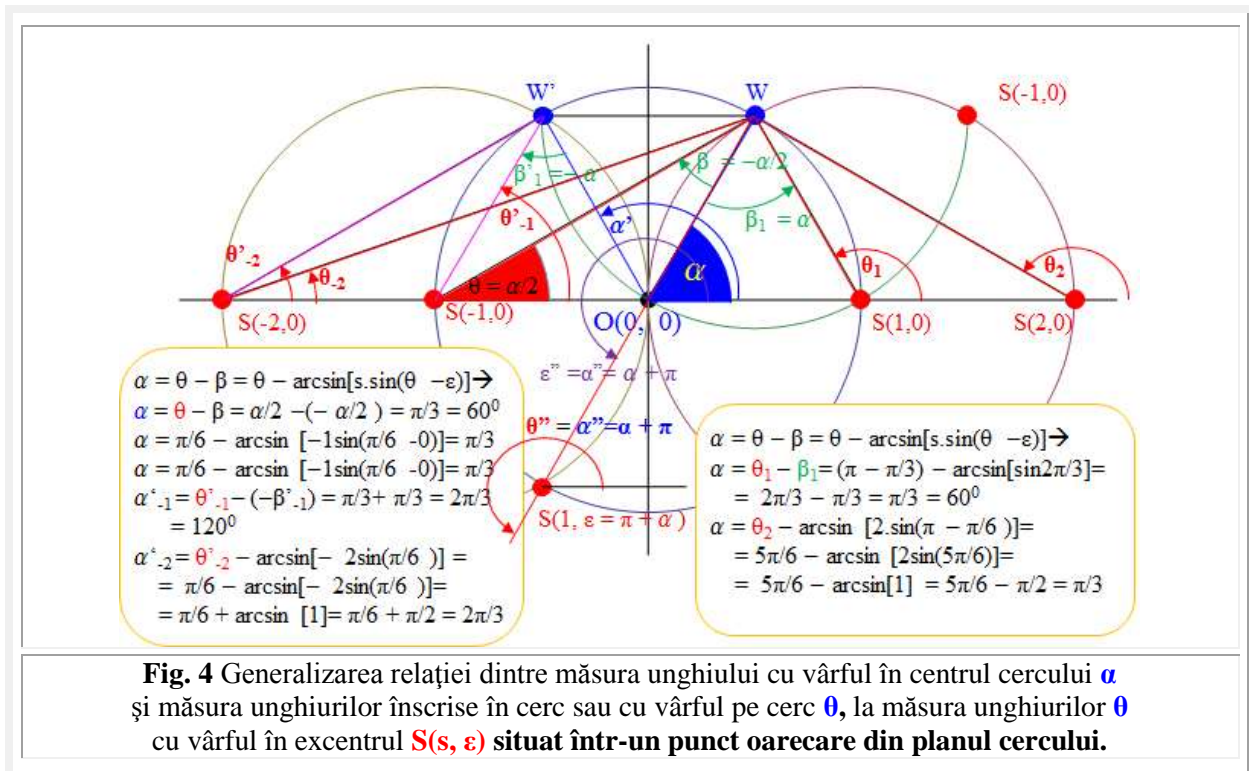
$$(5) \quad Aex_{1,2} = \theta(\alpha_{1,2}) = \alpha_{1,2} + \beta(\alpha_{1,2}) = \alpha_{1,2} + \arcsin \frac{s \cdot \sin(\alpha_{1,2} - \varepsilon)}{\sqrt{1 + s^2 - 2s \cdot \cos(\alpha_{1,2} - \varepsilon)}}$$

FSM-CE amplitudine excentrică exprimă măsura unghiului la centru $\alpha(\theta)$, sau cu vârful în centrul $O(0, 0)$, al cercului unitate $CU(O, 1)$, când se cunoaște măsura unghiului θ cu vârful într-un punct oarecare din planul cercului $S(s, \varepsilon)$, denumit **excentru** și invers, măsura unghiului θ , din excentrul S , când se cunoaște măsura unghiului la centru α . Astfel, pentru un **excentru** $S(s = -1, \varepsilon = 0)$, același cu excentrul $S(s = 1, \varepsilon = \pi)$, din relația (3) rezultă (Fig. 2 și Fig.4):

$$(3') \quad \alpha(\theta) = \theta - \arcsin[-1 \cdot \sin(\theta)] = \theta - \arcsin[+1 \cdot \sin(\theta - \pi)] = 2\theta,$$

relație elementară, binecunoscută, dintre unghiul cu vârful pe cerc θ și cel cu vârful în centrul cercului α .

Esențial este că această relație poate fi foarte **mult generalizată**, ea exprimând dependența măsurii celor două unghiuri — $\theta(\alpha)$ sau $\alpha(\theta)$ — oriunde ar fi plasat $S(s, \varepsilon)$ în planul cercului, deci vârful unghiului θ , când vârful unghiului rămâne în toate cazurile în centrul cercului $O(0, 0)$. Și toate acestea, cu relații extrem de simple, cum sunt relațiile (3) și (5). Astfel de dependențe ar putea fi prezentate chiar și elevilor din ciclul primar și mediu. Câteva exemple fiind arătate în figurile anterior amintite.



Ca urmare aceste **FSM-CE** au un rol major și la extensia sau generalizarea teoremei și a relației de legătură dintre măsura unghiului la centru α și măsura unghiului înscris în cerc θ , sau cu vârful pe cerc.

Teorema este generalizată la măsura unghiului la centru α și măsura unghiului θ la excentrul $S(s, \varepsilon)$, sau cu vârful într-un punct oarecare din planul cercului $S(s, \varepsilon)$, așa cum se poate constata din **figura 4**.

În stânga figurii, pentru $S(s = -1, \varepsilon = 0)$ sau $S(s = +1, \varepsilon = \pi)$, pe axa $x < 0$, din geometria elementară, știindu-se că, în acest caz, $\alpha = 2 \cdot \theta$ sau $\alpha = 2 \cdot \theta = 2 \cdot \pi/6 = \pi/3$, ceea ce rezultă și din expresia **FSM-CE** $\alpha \text{ex}_1 \theta = \alpha = \theta - \arcsin[-1 \cdot \sin \theta] = 2 \cdot \theta$.

Diferența, față de geometria clasică, este că toate unghiurile se măsoară față de axa Ox, iar segmentele considerate sunt **orientate**.

În cazul punctului $S(-1, \alpha + \pi)$, situat pe cercul central, în prelungirea în sens invers / negativ a razei **OW**, deci $s = -1$, pentru $\varepsilon'' = \alpha + \pi$, rezultă $\alpha'' = \theta'' - \arcsin[s \cdot \sin(\theta'' - \varepsilon'')] = \alpha + \pi - \arcsin[1 \cdot \sin(\alpha + \pi - (\alpha + \pi))] = \alpha + \pi - \arcsin[\sin 0] = \alpha + \pi$, adică $\alpha = \varepsilon = \theta = \pi + \pi/3 = 4 \cdot \pi/3 = 240^\circ$.

$$\alpha'' = \alpha - \arcsin[-1 \cdot \sin(\alpha - \alpha - \pi)] = \alpha + \pi$$

Teorema din matematica centrică (**MC**) a unghiului înscris în cerc $-\theta$ – stipulează că el are ca măsură jumătatea unghiului la centru $-\alpha$ – corespunzător aceluiași arc ($\theta = \frac{\alpha}{2}$). Prin urmare, toate unghiurile înscrise, care subîntind același arc, sunt egale. Unghiurile înscrise pe arc sunt suplementare. Într-un caz particular, fiecare unghi înscris care subîntinde un diametru este un unghi drept.

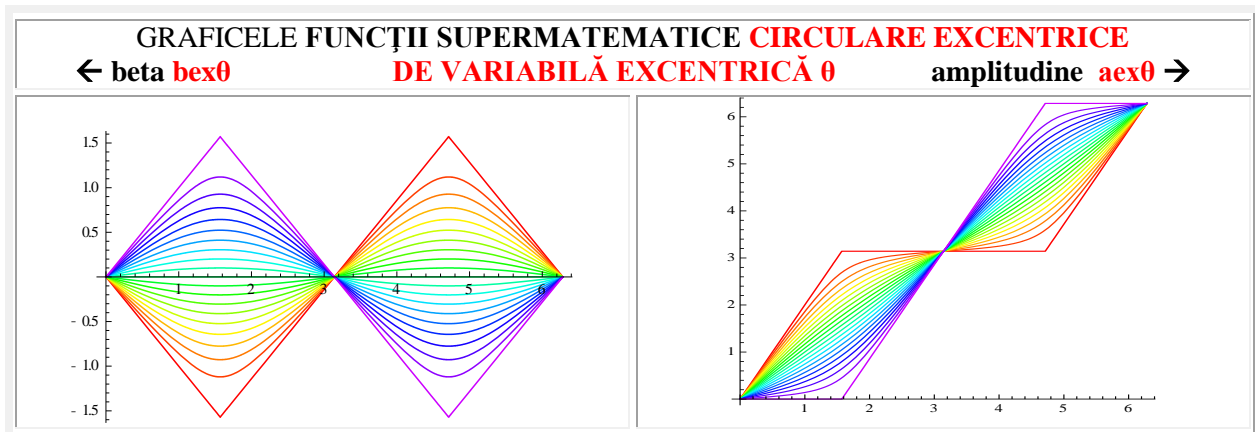
Noua teoremă generalizată, din **SM**, stipulează că dependența dintre măsura unghiului θ la excentru $E(e, \varepsilon)$ și măsura unghiului α la centrul $O(\theta, \theta)$ este dată de funcția supermatematică circulară excentrică (**FSM-CE**) amplitudine excentrică $\alpha \text{ex} \theta$

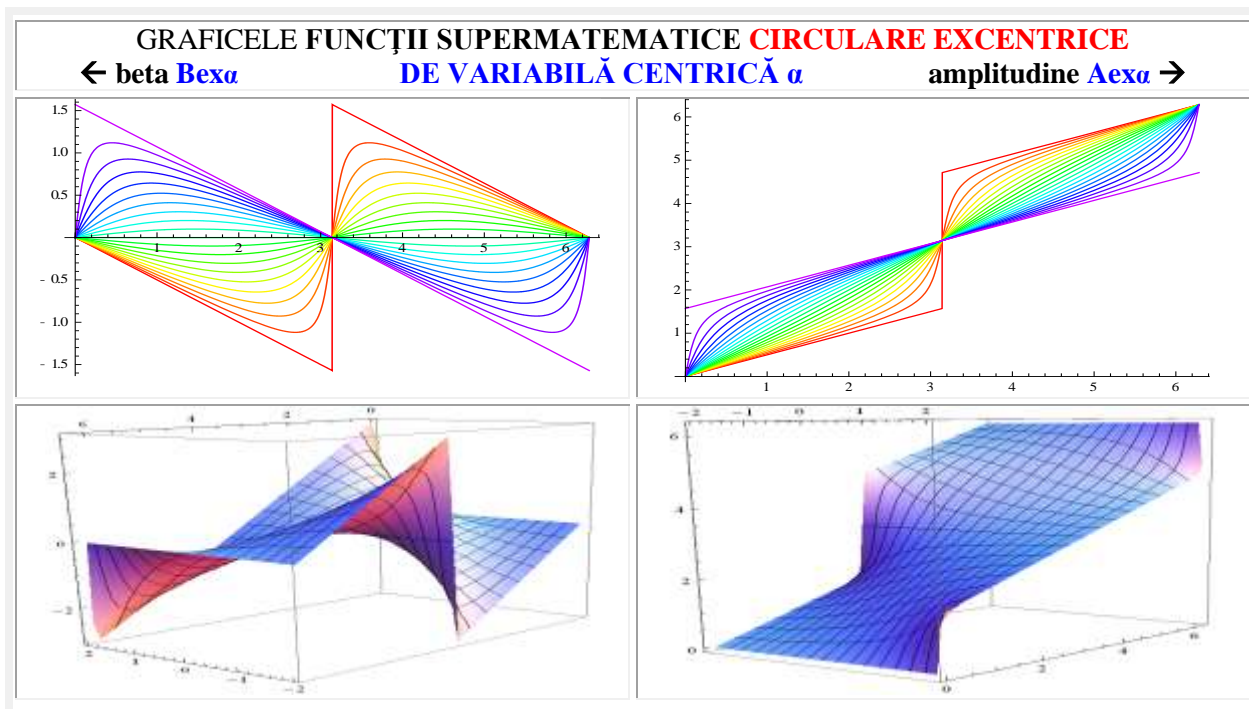
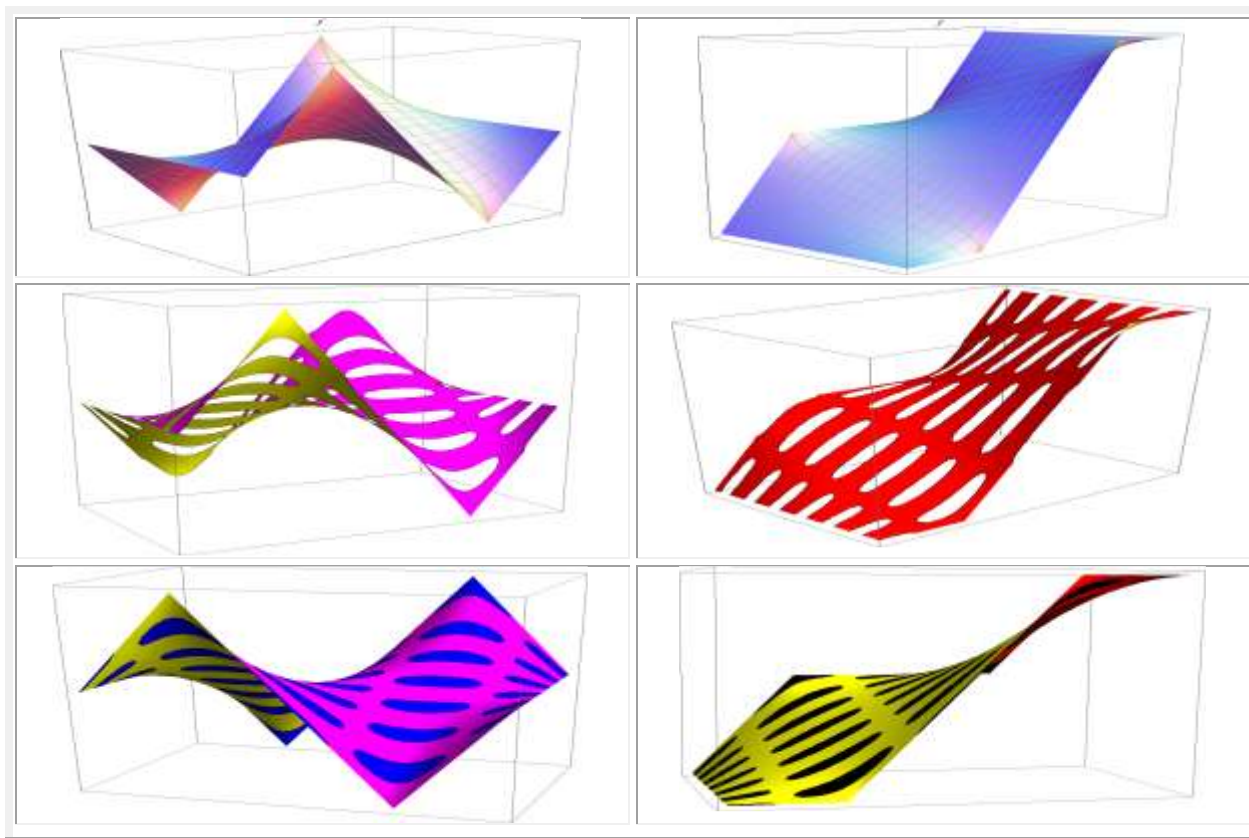
$$(3'') \quad \alpha = \alpha \text{ex}[\theta, S(\frac{e}{R})] = \theta - \beta(\theta) = \theta - \arcsin[(\frac{e}{R}) \cdot \sin(\theta - \varepsilon)].$$

Dacă θ este unghiul necunoscut și α cel cunoscut / dat, atunci:

$$(5'') \quad \theta = \alpha \text{ex}[\alpha, S(\frac{e}{R})] = \alpha + \beta(\alpha) = \alpha + \begin{cases} \arcsin \frac{\frac{e}{R} \sin(\alpha - \varepsilon)}{\sqrt{R^2 + e^2 - 2e \cos(\alpha - \varepsilon)}} = \frac{s \cdot \sin(\alpha - \varepsilon)}{R \sqrt{1 + s^2 - 2s \cos(\alpha - \varepsilon)}} \\ \arctan \frac{\frac{e}{R} \sin(\alpha - \varepsilon)}{1 - \frac{e}{R} \cos(\alpha - \varepsilon)} = \arctan \frac{s \cdot \sin(\alpha - \varepsilon)}{1 - s \cos(\alpha - \varepsilon)} \end{cases},$$

Din relațiile anterioare rezultă că **beta** este unghiul de pe cerc, din punctele $W_{1,2}$ și se poate deduce că al doilea termen din ecuațiile (3'') și (5'') reprezintă tocmai ecuațiile **FSM-CE beta excentrice**. Ele exprimă măsura unghiului β , când sunt cunoscute raza R a cercului și lungimea segmentului **OS**, adică poziția în plan a excentrului $S(s, \varepsilon)$: coordonata radială s sau **excentricitatea liniară reală e** sau numerică $s = e/R$, precum și coordonata unghiulară ε sau **excentricitatea unghiulară ε** .





Motto: "Nu fi trist că n-ai fost remarcat. Fii trist că n-ai făcut nimic remarcabil" **Confucius.**
 „Nu sunt trist că n-am făcut nimic remarcabil. Sunt trist că n-au fost remarcate” **Autorul.**

CAPITOLUL II

FUNȚII SUPERMATEMATICE NOI (EFECTIVE - FSEf)

1 INTRODUCERE ÎN NEMĂRGINIREA SM

SUPERMATEMATICA (SM) este constituită din reuniunea **matematicii centrice (MC)**, ordinară, veche, cu noua matematică, **matematica excentrică (ME)**, adică **SM = MC U ME**.

Mai mult chiar, **MC** este un caz particular, de excentricitate nulă (**s = e = 0**) al **ME**, adică **MC = ME (s = e = 0)**. Și mai mult, toată **SM** a apărut prin deplasarea unui singur punct, a polului **P(0,0)** pe care marele **Euler** l-a plasat în centrul **C(0,0)** al cercului unitate și în originea **O(0,0)** a unui reper / sistem de coordonate, adică 3 **puncte (P, O și C) confundate**. Ca urmare, apar următoarele domenii ale **SM**:

1. **Domeniul matematicii centrice:** $O(0,0) \equiv C(0,0) \equiv P(0,0)$; \rightarrow **MC**
2. **Domeniul matematicii excentrice (ME):** $O(0,0) \equiv C(0,0) \neq P(0,0) \equiv S(s,\varepsilon)$; \rightarrow **ME**
3. **Domeniul matematicii elevate (MEL):** $C(0,0) \neq O(0,0) \equiv P(0,0) \equiv S(s,\varepsilon)$; \rightarrow **MEL**
4. **Domeniul matematicii exotice (MEXo):** $O(0,0) \neq C(0,0) \neq P(0,0) \equiv S(s,\varepsilon)$; \rightarrow **MEx**

ultimele trei grupe (2, 3 și 4) fiind, de fapt, toate **excentrice**.

Un mare matematician, l-am numit pe **Anton Hadnagy**, ale cărui aripi s-au frânt mult prea devreme, a „decretat”: *”Acum, toate formele 2D vechi trebuie numite CENTRICE, iar cele noi, care rezultă din noua matematică, excentrică, (ME) trebuie denumite EXCENTRICE”*

Astfel au apărut **excentricele circulare, eliptice, hiperbolice, parabolice, bilobice, trilobice, quadrilobice / cvadrilobice**, ș.m.a. pentru **domeniul 2**. Pentru **domeniile 3 și 4** ele vor fi denumite, în plus, și ca **elevate**, respectiv, **exotice**.

În **domeniul centric (DC)** există câte o singură funcție din cele cunoscute (**cosa, sina, tana, cota, ...cosh, sinh, tanh, coth, ... cn(u,k), sn(u,k), dn(u,k)** ș.m.a.), în timp ce, în **domeniul excentric (DE)** al **SM** există câte **o infinitate** din fiecare dintre aceste funcții, corespunzătoare infinității de puncte din plan în care poate fi plasat un **excentru S(s,ε)** în cercul unitate / trigonometric **CU(O,1)**, respectiv, **E(s,ε)** într-un cerc oarecare **C(O,R)**, sau în afara lui, în planul cercului. Ca urmare, **SM** multiplică la infinit toate entitățile **MC**.

În plus, în **domeniul excentric** apar o serie de funcții noi, care în centric nu-și aveau sens, sau, pur și simplu, n-au fost definite, precum **amplitudine excentrică**, similară funcției **eliptice Jacobi**, **amplitudine eliptică am(u,k)**, de **variabilă excentrică aexθ** și de **variabilă centrică Aexα (2)**, beta excentrică **bexθ** și **Bexα (1)** radial excentric **rexθ** și **Rexα (3)**, derivată excentrică **dexθ** și **Dexα (4)** ș.m.a.

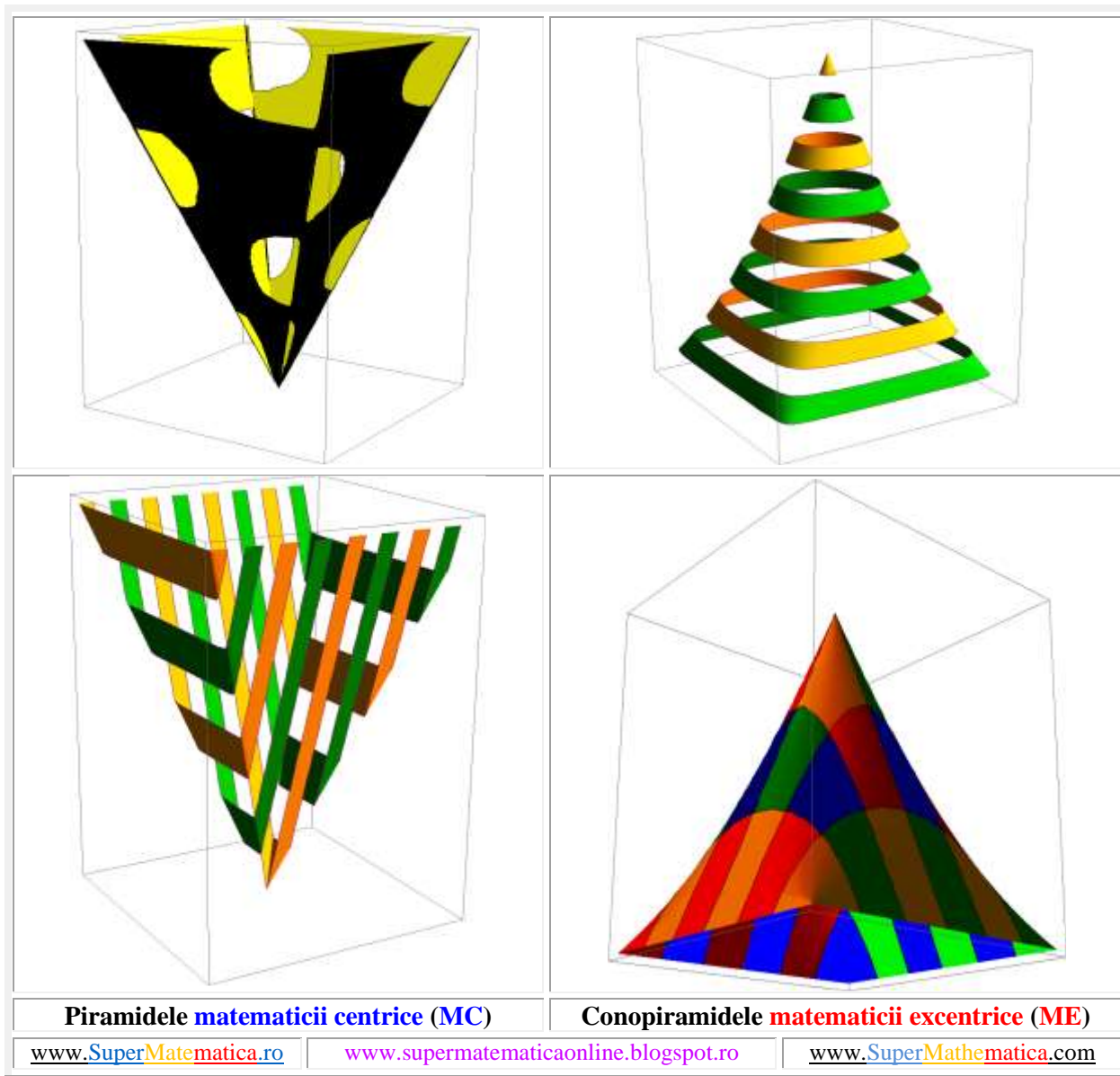
$$(1) \quad \left\{ \begin{array}{l} \mathbf{bex}_{1,2}(\theta, s) \equiv \mathbf{bex}_{1,2}\theta = \pm \arcsin[s \cdot \sin(\theta - \varepsilon)] \\ \mathbf{Bex}(\alpha_{1,2}, s) \equiv \mathbf{Bex}\alpha_{1,2} = \pm \arcsin \frac{s \cdot \sin(\theta - \varepsilon)}{\sqrt{1 + s^2 - 2s \cos(\alpha_{1,2} - \varepsilon)}} = \pm \arctan \frac{s \cdot \sin(\theta - \varepsilon)}{1 - s \cdot \cos(\theta - \varepsilon)} \end{array} \right.$$

$$(2) \quad \left\{ \begin{array}{l} \mathbf{aex}_{1,2}(\theta, s) \equiv \mathbf{aex}_{1,2}\theta = \theta \mp \mathbf{bex}\theta = \theta \mp \arcsin[s \cdot \sin(\theta - \varepsilon)] \\ \mathbf{Aex}(\alpha_{1,2}, s) \equiv \alpha_{1,2} \pm \mathbf{Bex}\alpha_{1,2} = \alpha_{1,2} \pm \arcsin \frac{s \cdot \sin(\alpha - \varepsilon)}{\sqrt{1 + s^2 - 2s \cos(\alpha_{1,2} - \varepsilon)}} = \\ = \alpha_{1,2} \pm \arctan \frac{s \cdot \sin(\alpha_{1,2} - \varepsilon)}{1 - s \cdot \cos(\alpha_{1,2} - \varepsilon)} \end{array} \right.$$

$$(3) \quad \begin{cases} \mathbf{rex}_{1,2}(\theta, s) \equiv \mathbf{rex}_{1,2}\theta = -s \cdot \cos(\theta - \varepsilon) \pm \sqrt{1 - s^2 \cdot \sin^2(\theta - \varepsilon)} \\ \mathbf{Rex}(\alpha_{1,2}, s) \equiv \mathbf{Rex}\alpha_{1,2} = \pm \sqrt{1 + s^2 - 2s \cos(\alpha_{1,2} - \varepsilon)} \end{cases}$$

$$(4) \quad \begin{cases} \mathbf{dex}_{1,2}(\theta, s) \equiv \mathbf{dex}_{1,2}\theta = 1 \mp \frac{s \cdot \cos(\theta - \varepsilon)}{\sqrt{1 - s^2 \cdot \sin^2(\theta - \varepsilon)}} \\ \mathbf{Dex}(\alpha_{1,2}, s) \equiv \mathbf{Dex}\alpha_{1,2} = \mp \frac{1 - s \cos(\alpha_{1,2} - \varepsilon)}{1 + s^2 - 2s \cos(\alpha_{1,2} - \varepsilon)} \end{cases}$$

Din relațiile anterioare, rezultă că noile funcții nu necesită tabelarea lor, deoarece se exprimă în funcție de cele centrice, constituind, astfel, o structură piramidală, cu vârful în jos (v. Figura ↓).



Piramidele ciuruite ale matematicii centrice sugerează lipsurile care există în acest domeniu, iar

structura multiplă a conopiramidei **SM** sugerează multitudinea de domenii ce-o alcătuiesc.

Se știe că $\sin[\text{am}(u,k)] = \text{sn}(k,u)$, $\cos[\text{am}(u,k)] = \text{cn}(k,u)$. Tot așa, $\cos[\text{aex}(\theta, s)] = \text{cex}(s, \theta) \equiv \text{cex}\theta$, $\sin[\text{aex}(\theta, s)] = \text{sex}(s, \theta) \equiv \text{sex}\theta$ ș.a.m.d.

Ecuatiile anterioare (1) ...(4), ale principalelor **funcții supermatematice circulare excentrice (FSM – CE)**, au fost prezentate pentru a sublinia că ele au două determinări:

- de **indice 1, principală**, sau fără indice, când confuziile sunt excluse;
- de **indice 2, secundară**;

corespunzătoare celor două puncte de intersecție ale cercului unitate **CU(O,1)** cu **dreapta excentrică $d = d^+ \cup d^-$** , cu originea dreptei în excentrul **S(s, ε)**, sau **E(e,ε)**, care împarte dreapta **d** în cele două semidrepte: pozitivă **d⁺** și negativă **d⁻**. Și sunt de două tipuri: de **variabilă excentrică θ** și de **variabilă centrică α** .

Totodată, pentru exemplificarea exprimării lor prin **funcții circulare centrice (FCC)**, ordinare, care arată că **SM** este o construcție piramidală, cu vârful în jos: în partea inferioară se află **MCC**, pe baza ei sunt construite **matematicile circulare excentrice MCE, exotice MCEx și elevate MCEL**.

Funcțiile din aceste matematici pot exprima curbe închise precum: **bilobe, trilobe, quadrilobe, ...multilobe**, precum și **excentrice** hiperbolice, parabolice, și eliptice ș.m.a. care, la rândul lor, pot înlocui cercul unitate și pe care pot fi generate noi funcții **SM** precum **trilobe, quadrilobe / cvadrilobe și hiperbolice, eliptice și elevate**, toate putând fi **excentrice, exotice și elevate** ș.m.a.

Noile funcții dau naștere, în paralel, altor **SM necirculare: hiperbolice, eliptice și elevate excentrice, exotice și elevate**, rezultate prin înlocuirea **cercului unitate** cu alte **curbe generatoare** precum **excentrice hiperbolice, parabolice și eliptice**, pe care se pot genera noi funcții **SM hiperbolice, eliptice și elevate** toate **excentrice, exotice și elevate**, ș.m.a; toate acestea constituind, împreună, ceea ce numim **acum SM** și au fost deja prezentate în cele două volume, cu același titlu, din **Editura Politehnica Timișoara**, în ediția a 2-a, revizuită și adăugită.

Astfel, în **SM**, are loc un fenomen asemănător celui ilustrat în butada matematicianului **Grigore C. Moisil** :” *Fiecare om are dreptul la un pahar de vin. După ce l-a băut este alt om și are dreptul la un alt pahar de vin*”. Ș.a.m.d.....

Numai că, așa cum se va putea constata în continuare, în noile domenii ale **SM**, numărul „paharelor de vin” tinde spre infinit !!.

Să exemplificăm: În **SM** exista **4 noi domenii supermatematice** și un al **5-lea** schițat anterior și prezentat și dezvoltat în continuare în § 2 **TANGENTE ȘI COTANGENTE SUPERMATEMATICE EFECTIVE (SME)** și care fac obiectul acestui capitol. Scriind în tangente și în cotangente raportul a două funcții sinus și cosinus, din două **domenii diferite / distincte**, de exemplu **sin α /cex θ , sel θ /cexo θ , cex θ /sin α , cel θ /sin α** ș.a.m.d. rezultă **al 5-lea domeniu distinct al SM** definit pe **funcții circulare**, domeniu pe care-l numim și domeniul **SM EFECTIV**, numai pentru că el, **domeniul 5**, trebuie să poarte o denumire. Dar, la fel de bine, pot fi definite pe **curbe SM** ca **bilobe, trilobe, quadrilobe**, sau pe **excentrice eliptice, elevate sau exotice** ș.m.a., care se circumscriu aceluiași domeniu.

Noile **FSM – CE** au aplicații deosebit de importante, dacă este să amintim doar contribuția funcției **radial excentrică**, denumită de Prof. Dr. math. **Octav Em. Gheorghiu**, șeful Catedrei de **Matematica I** a Universității „**POLITEHNICA**” din Timișoara „**o adevărată funcție rege**”, deoarece poate descrie, **singură, toate curbele plane** cunoscute, întrucât exprimă distanța în plan dintre două puncte - **excentrul S** sau **E** și un punct de pe cercul unitate **W** sau **M** de pe un cerc oarecare C(O,R).

Ea, **rex θ** , poate constitui ecuațiile multor curbe noi și poate descrie **exact** mișcarea / deplasarea mecanismului bielă – manivelă, centric și excentric, precum și vitezele și accelerațiile acestuia.

Cu ajutorul ei a fost determinată o relație de calcul simplă, cu **numai doi termeni**, a integralei eliptice complete de prima speță **K(k)**, cu precizia de **15 zecimale exacte**, relație cu posibilități de ameliorare în continuare a preciziei de calcul. Tot ea a făcut posibilă exprimarea sub formă trigonometrică a sumei și a diferenței a două numere complexe !. Și exemplele pot continua ...

Ecuatia de definiție a funcției **derivată excentrică dexθ**, deși nu este o « **funcție rege** » ca și funcția **rexθ**, poate exprima funcția de transfer de ordinul doi, a vitezelor, sau raportul de transmitere a turațiilor / vitezelor tuturor mecanismelor plane cunoscute, așa cum se poate constata în lucrarea „**SUPERMATEMATICA**” Vol I și Vol. II, ediția a 3-a, color, revăzută și adăugită, Editura MatrixRom, Buc. 2015, (www.librarie.net/matrixrom).

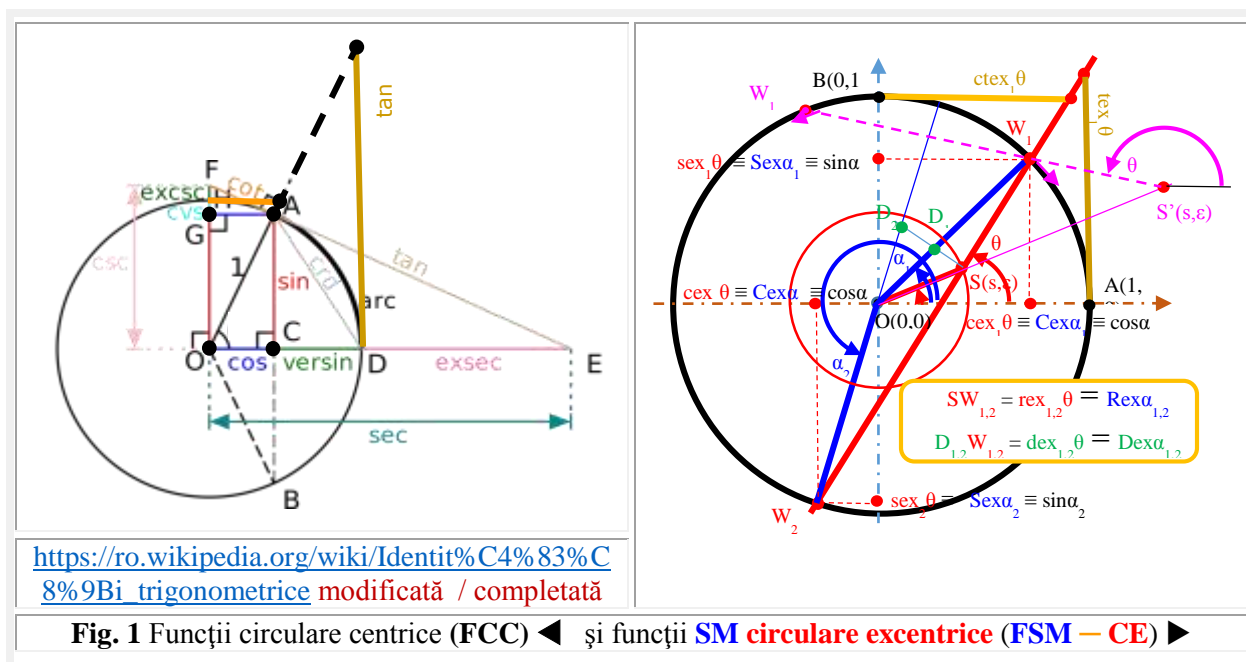
Totodată, apar o serie de forme noi în **2D**: monolobe, bilobe, trilobe, quadrilobe / cvadrilobe, ... multilobe ș.m.a. și o serie de transformări continue: a cercului în pătrat sau în dreptunghi, cercul și pătratul, cercul și dreptunghiul având aceleași ecuații parametrice :

$$(5) \quad \begin{cases} x = R_x \cdot cex[\theta, S(s, \varepsilon)] \\ y = R_y \cdot sex[\theta, S(s, \varepsilon)] \end{cases}$$

în toate cazurile, pentru **s = 0** și $R_x = R_y$ se obțin cercuri iar pentru $R_x \neq R_y$ se obțin și elipse sau bilobe, iar pentru **s = ± 1** și $R_x = R_y$ se obțin pătrate perfecte și pentru $R_x \neq R_y$ dreptunghiuri perfecte (**Fig2**).

Pot fi obținute și transformările continue ale cercului în triunghiuri sau trilobe (**fig.3**) ș.m.a. și, în **3D**, se pot obține obiecte hibride ca: **sferocub, conopiramidă, piramidocon, cilindroprișma**, ș.m.a. și o serie de transformări continue a sferei în cub (**Fig. 4**), a piramidei în con, a cilindrului în prismă ș.m.a (**Fig.6**).

Noile curbe stau la baza generării unor noi funcții importante, precum **funcții trilobe** și funcții **quadrilobe** (cosinus quadrilob **coqθ**, sinus quadrilob **siqθ** ș.a.) în **2D+** și a noi obiecte în **3D+**: triloboizi, quadriloboizi ș.m.a.



Spre deosebire de celelalte funcții trigonometrice /circulare centrice, **considerate primare** (**cosa** și **sina**), funcțiile tangentă (**tana ≡ tga**) și cotangentă (**cota ≡ ctga**) se exprimă ca raport al acestora. De fapt, de abia acum s-a putut constata că nu ele sunt funcții **primare**, ci funcția **beta excentrică bexθ** și amplitudine excentrică **axθ**.

În **domeniul excentric** sunt importante trei unghiuri / variabile, între care există relația: $\alpha_{1,2} + \beta_{1,2} = \theta$ și relațiile **SM**:

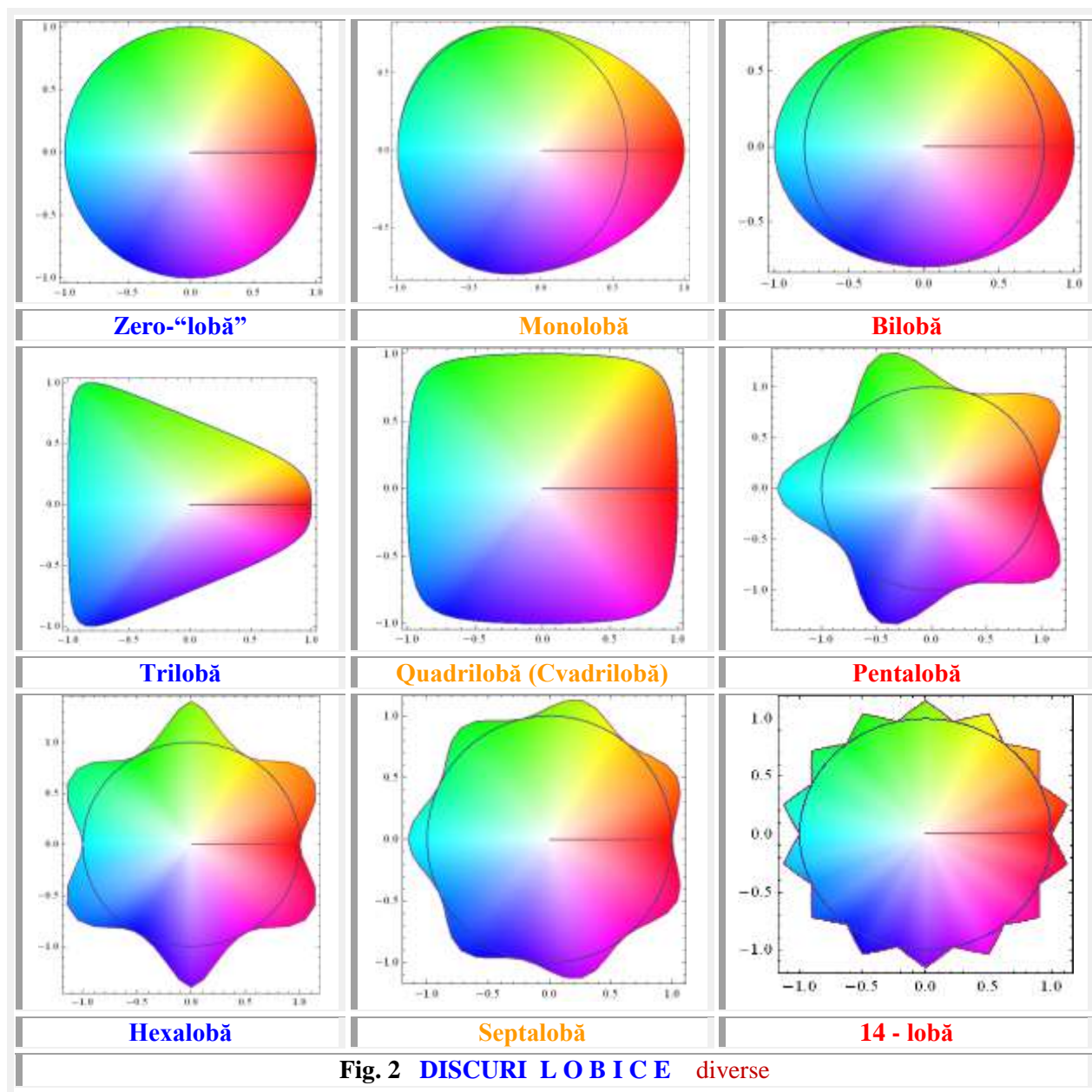
$$(6) \quad \begin{cases} \beta(\theta, s) \equiv \beta(\theta) = \mathbf{bex}(\theta, s) = \mathbf{bex}\theta = \arcsin[s \cdot \sin(\theta - \varepsilon)] \\ \beta(\alpha, s) \equiv \beta(\alpha) = \mathbf{Bex}(\alpha, s) = \arcsin[s \cdot \sin(\alpha - \varepsilon) / (\text{Sqrt}[1 + s^2 - 2s\cos(\alpha - \varepsilon)])] \end{cases}$$

care, prin adăugarea **variabilei excentrice θ**, definește funcția **amplitudine excentrică**, prezentată anterior,

$$(7) \quad \begin{cases} \alpha(\theta, s) \equiv \alpha(\theta) = \mathbf{aex}(\theta, s) = \mathbf{aex}\theta = \theta - \mathbf{bex}(\theta, s) = \theta - \arcsin[s \cdot \sin(\theta - \varepsilon)] \\ \theta(\alpha, s) \equiv \theta(\alpha) = \mathbf{Aex}(\alpha, s) = \theta - \mathbf{Bex}(\alpha, s) = \alpha + \arcsin \frac{s \cdot \sin(\alpha - \varepsilon)}{\sqrt{1 + s^2 - 2s \cdot \cos(\alpha - \varepsilon)}} \end{cases}$$

care, la rândul ei, poate defini **FSM – CE** cosinus și sinus excentrice.

FSM – CE $\mathbf{aex}\theta(\alpha)$ și $\mathbf{Aex}\alpha(\theta)$ sunt inverse una alteia, având graficele simetrice față de prima bisectoare. Ele au permis, pe lângă cele enunțate anterior, și introducerea strâmbei în matematică, **strâmba** de $s = 0$ fiind **dreapta**, iar de $s = \pm 1$ exprimând **o linie frântă** formată din segmente de dreaptă.



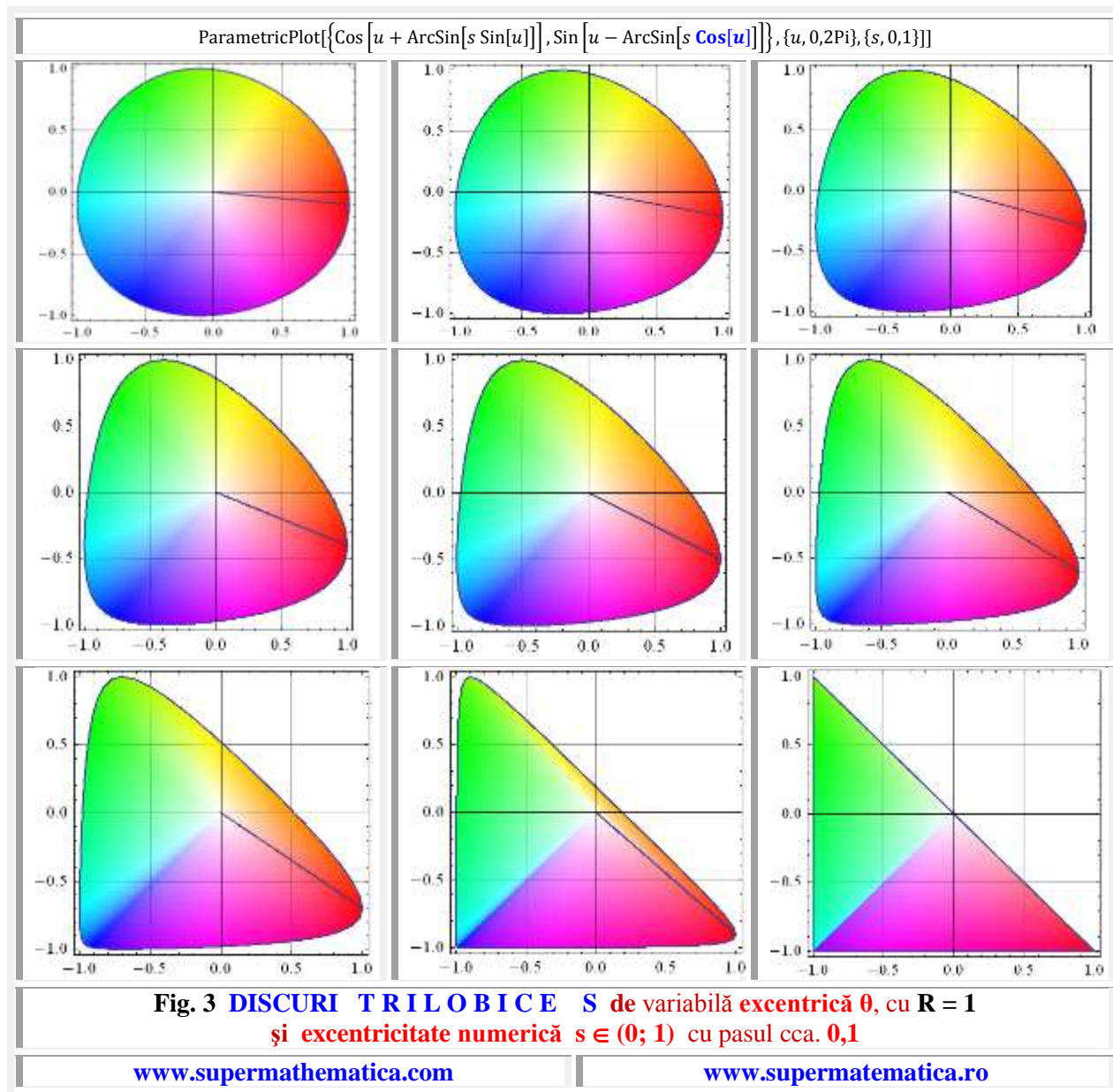
$$(8) \quad \begin{cases} \mathbf{cex}[\theta, E(s, \varepsilon)] \equiv \mathbf{cex}\theta = \cos\alpha(\theta, s) = \cos\{\theta - \arcsin[s \cdot \sin(\theta - \varepsilon)]\} \\ \mathbf{sex}[\theta, E(s, \varepsilon)] \equiv \mathbf{sex}\theta = \sin\alpha(\theta, s) = \sin\{\theta - \arcsin[s \cdot \sin(\theta - \varepsilon)]\} \end{cases}$$

în care, făcând excentricitatea nulă ($s = 0$) se obțin FCC $\cos\alpha$ și $\sin\alpha$. Pentru $s = 0$ rezultă $\beta_{1,2} = 0 \rightarrow \theta \equiv \alpha$; $\beta_{1,2}$ fiind unghiurile din punctele $W_{1,2}$ (v. Fig.1 ►), de pe cercul unitate, dintre direcția radială excentrică de unghi θ , dreaptă excentrică $d = d^+ \cup d^-$ cu originea în punctul / excentrul $S(s, \varepsilon)$ cu direcțiile radiale centrice $D_{1,2}$ de centru / origine $O(0,0)$ definite ca $|\overrightarrow{D_{1,2}}| = |\overrightarrow{OW_{1,2}}|$.

FSM – CE de variabilă excentrică $cex\theta$ și $sex\theta$ sunt continue doar pentru $s \in [-1, +1]$, în timp ce, cele de variabilă centrică $Cex\alpha$ și $Sex\alpha$ sunt continue pe toată axa reală, adică pentru $s \in [-\infty, +\infty]$.

Toate funcțiile trigonometrice centrice (FCC) de unghi α pot fi construite geometric pe cercul unitate cu centrul în O . Unele dintre aceste funcții, reprezentate în figura 1 ◀, nu mai sunt folosite în prezent ca, de exemplu,

$versin\alpha$, $coversin\alpha$, $haversin\alpha$, $havercosin\alpha$ ș.a.:



Unele dintre ele, precum **versina**, au fost considerate, în vremuri demult apuse, ale corăbiilor cu pânze, foarte importante, în general, și extrem de importante pentru navigație, în special.

„**Dacă ai cultul istoriei, ai cultul apariției și al dispariției**” spunea **Petre Țuțea**. Iată că, **și în matematică, funcții dispar și altele apar**, aparent din neant. Și nu numai funcții, ci și obiecte geometrice noi (**Fig.2 ...6**), dintre care se remarcă, în **figura 6** ▶, **cubul românesc, cel mai ușor cub din lume**, de volum nul, format din 6 piramide, fără suprafața lor de bază, cu vârful comun în centrul de simetrie al cubului.

$$(9) \left\{ \begin{array}{l} \mathbf{versina} := 1 - \cos\alpha = 2\sin^2\frac{\alpha}{2}; \quad \mathbf{vercosina} := 1 + \cos\alpha = 2\cos^2\frac{\alpha}{2}; \\ \mathbf{coversina} := \mathbf{versin}\left(\frac{\pi}{2} - \alpha\right) = 1 - \sin\alpha; \quad \mathbf{covercosina} := \mathbf{vercos}\left(\frac{\pi}{2} - \alpha\right) = 1 + \sin\alpha; \\ \mathbf{haversina} := \frac{1}{2}\mathbf{versina} = \frac{1}{2}(1 - \cos\alpha); \quad \mathbf{havercosina} := \frac{1}{2}\mathbf{vercosina} = \frac{1}{2}(1 + \cos\alpha); \\ \mathbf{havercosin} := \frac{1}{2}\mathbf{vercosina} = \frac{1}{2}(1 + \cos\alpha); \quad \mathbf{hacoversin} := \frac{1}{2}\mathbf{coversina} = \frac{1}{2}(1 - \sin\alpha); \\ \mathbf{hacovercosin} := \frac{1}{2}\mathbf{covercosina} = \frac{1}{2}(1 + \sin\alpha); \quad \mathbf{exseca} := \mathbf{seca} - 1; \quad \mathbf{excsc} := \mathbf{coseca} - 1; \\ \mathbf{coardă} : \mathbf{crda} := 2\sin\frac{\alpha}{2} \end{array} \right.$$

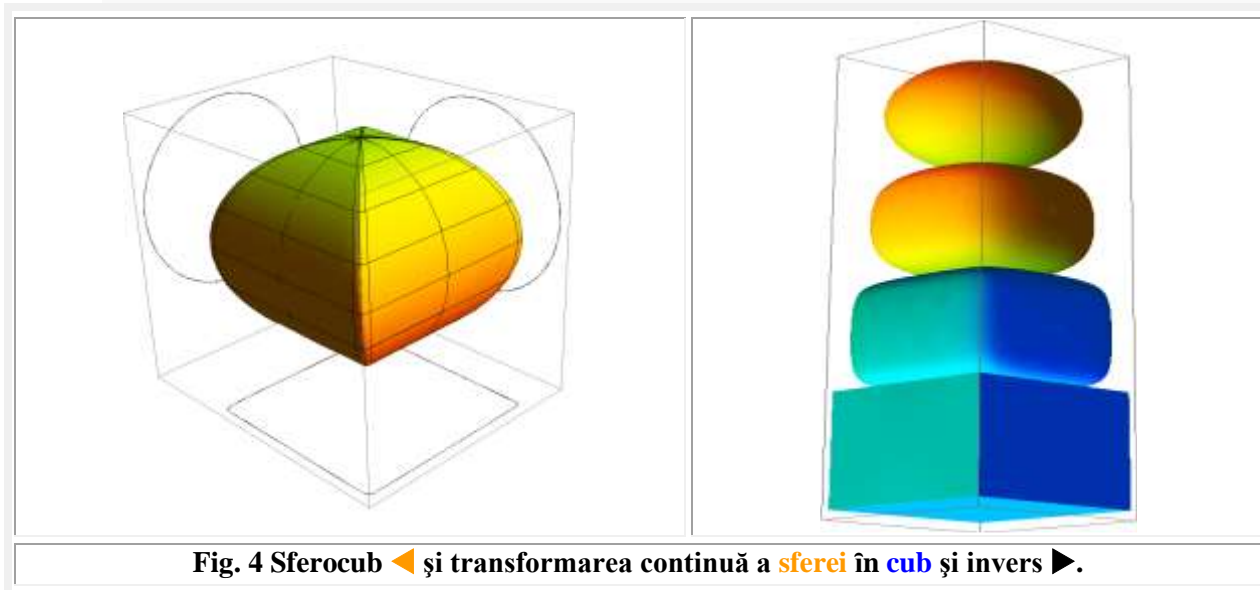
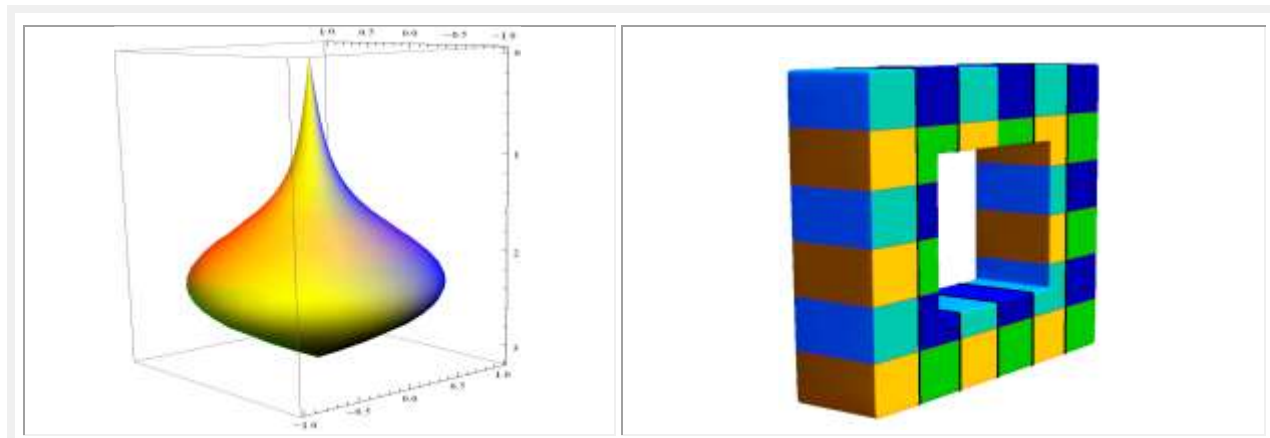
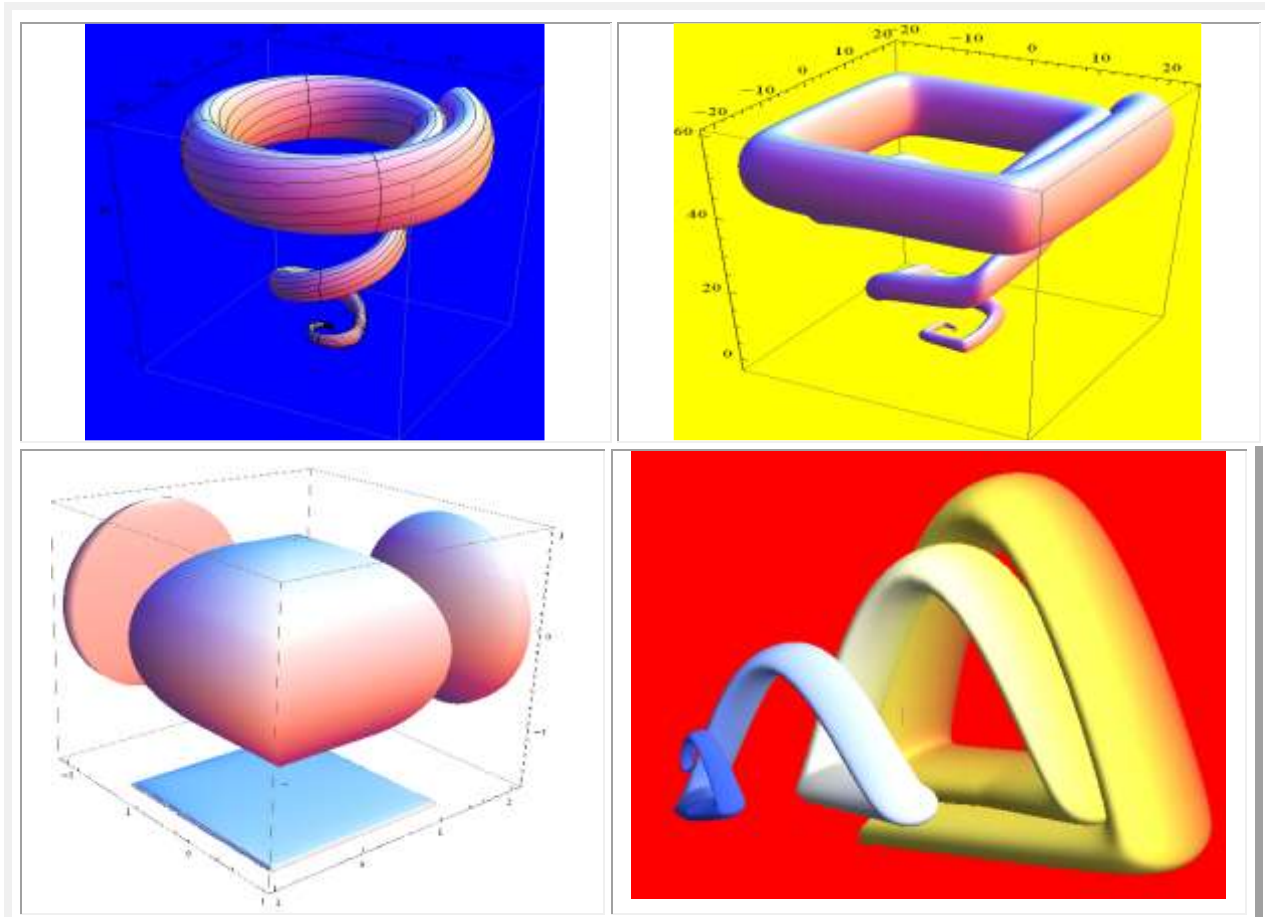
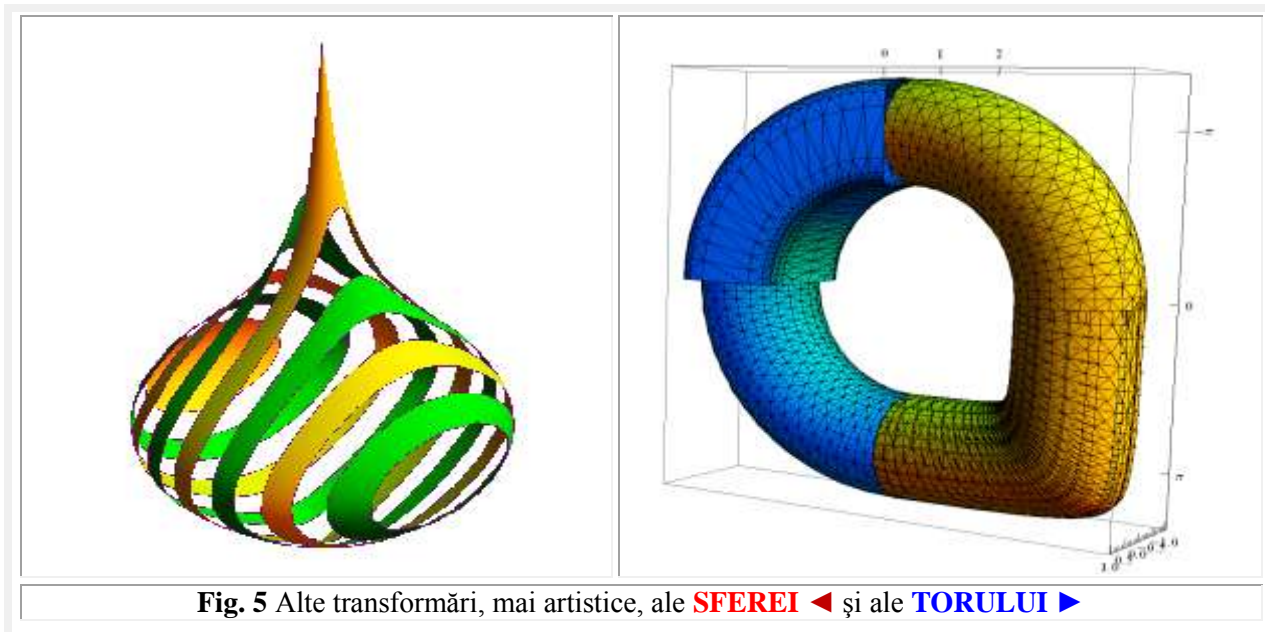


Fig. 4 Sferocub ◀ și transformarea continuă a sferei în cub și invers ▶.





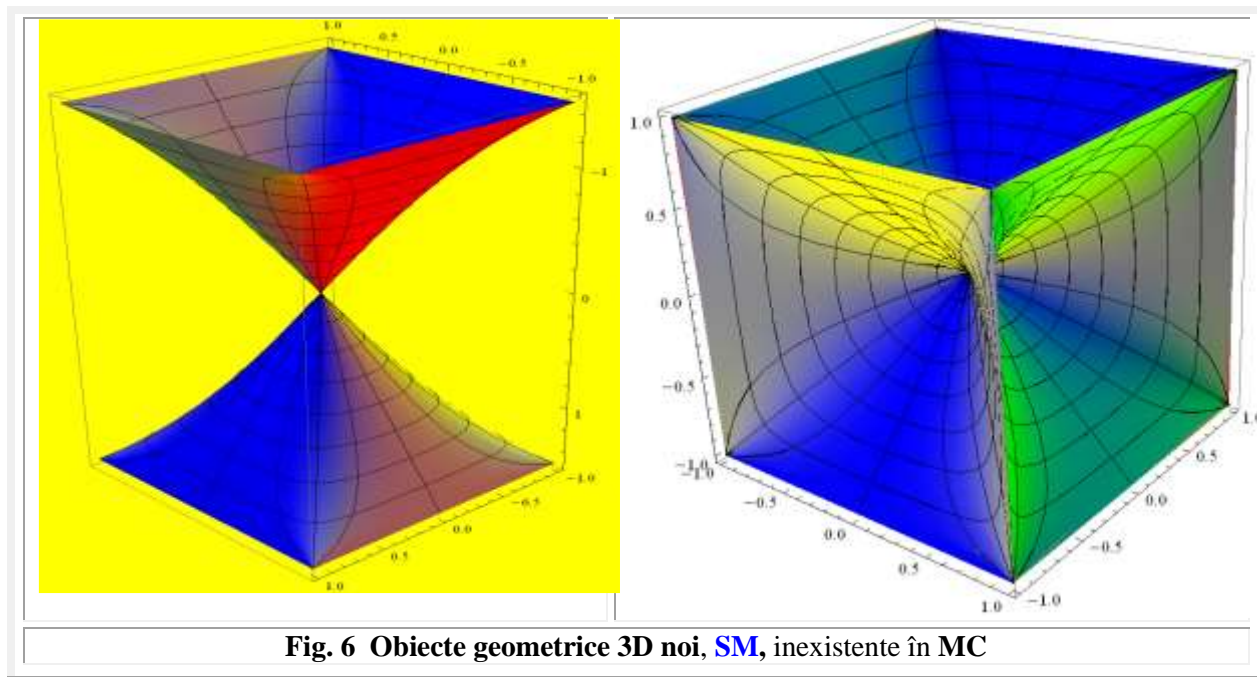


Fig. 6 Obiecte geometrice 3D noi, SM, inexistente în MC

2. TANGENTE ȘI COTANGENTE SUPERMATEMATICE EFECTIVE (SMEf)

Existența a cel puțin 4 domenii ale **supermatematicii (SM)**, enunțate anterior, face posibilă apariția celui de al 5-lea domeniu al **supermatematicii**, pe care-l denumim domeniul **supermatematicii efective (SMEf)**, prin combinarea a câte două funcții existente în cele 4 domenii. Apar astfel, în **demeniul 5** al **SME**, o pleiadă de funcții tangente și cotangente noi, **SMEf**, ca raport a două funcții (sinus și cosinus), care le definesc.

Celelalte funcții noi, rezultate din **combinarea celor 4 domenii** cunoscute și a **celor patru operații matematice**, vor fi denumite **SM EVOLUATE (SMEv)** și sunt tratate în **Cap.2**.

Tangenta și cotangenta sunt singurele funcții matematice centrice definite ca rapoarte ale altor două funcții: cosinusul și sinusul **centrice**, **excentrice**, **elevate**, și **exotice**, prin combinarea cărora rezultă următoarele funcții și simbolurile lor (10).

Notațiile funcțiilor din cele **4 domenii** ale **SM** sunt :

Domeniile SM: 1.1) **centric** → $tex\alpha$, 1.2) **excentric** → $tex\theta$, 1.3) **elevat** → $tel\theta$ și 1.4) **exotic** → $texo\theta$;

cu graficele din **figura 8,a**, (remember) în care, în stânga ◀, sunt reprezentate **FCC ordinare**, iar in dreapta ▶ cele **Voinoiu**.

Notațiile funcțiilor din cel de-al **5-lea domeniu (SMEf)** sunt (**ts** → **tangenta SM**):

- 5.1) **ts centric/excentric** → $ts\ cex\theta$, **ts centric/elevat** → $ts\ cel\theta$, **ts centric/exotic** → $ts\ cexo\theta$;
- 5.2) **ts excentric /elevat** → $ts\ sexel\theta$, **ts excentric/exotic** → $ts\ exexo\theta$, **ts excentric/centric** → $ts\ exc\theta$;
- 5,3) **ts elevat / excentric** → $ts\ ellex\theta$, **ts elevat / exotic /** → $ts\ elexo\theta$, **ts elevat /centric** → $ts\ exc\theta$;
- 5.4) **ts exotic / excentric** → $ts\ exoel\theta$; **ts exotic /elevat** → $ts\ exoel\theta$, **ts exotic/centric** → $ts\ exc\theta$.

Tangentele supermatematice (ts) centrice, excentrice, elevate, și exotice sunt deja cunoscute, fiind tratate în alte lucrări ca, de exemplu, **Şelariu Mircea Eugen**, „**SUPERMATEMATICA**” Vol. I și Vol.II, ediția a 2-a, Editura „Politehnica” din Timișoara, 2012, lucrare distinsă cu „**Diploma AGIR**” în domeniul „**Tehnologia informației – IT**” în anul 2013 și a primit un „**Certificat de apreciere**”, din partea

Universității Gallup din New Mexico, pentru contribuțiile aduse la dezvoltarea matematicii, **SM** fiind denumită „*matematica viitorului*” sau „*matematicii mileniului III*”.

Pentru noile obiecte **3D SM sferocub, cilindropriismă, conopiramidă, clepsidre, lacrimi** (v.Fig.5) ș.a., autorul a fost declarat / primit membru de onoare al „*Clubului exclusivist al paradoxistilor*”.

$$(10) \left\{ \begin{array}{l} tscex\theta = \frac{\sin\theta}{cex\theta}, tscel\theta = \frac{\sin\theta}{cel\theta}, tscex\theta = \frac{\sin\theta}{sex\theta}; \\ tsexc\theta = \frac{sex\theta}{\cos\theta}, tselc\theta = \frac{sel\theta}{\cos\theta}, tsexoc\theta = \frac{sex\theta}{\cos\theta}; \\ \frac{sex\theta}{cel\theta} = tsexel\theta, \frac{sex\theta}{cexo\theta} = tsexexo\theta; \\ \frac{sel\theta}{cex\theta} = tselex\theta, tselexo\theta = \frac{sel\theta}{cexo\theta}; \\ \frac{sexo\theta}{cex\theta} = tsexoex\theta, \frac{sexo\theta}{cel\theta} = tsexoel\theta; \end{array} \right.$$

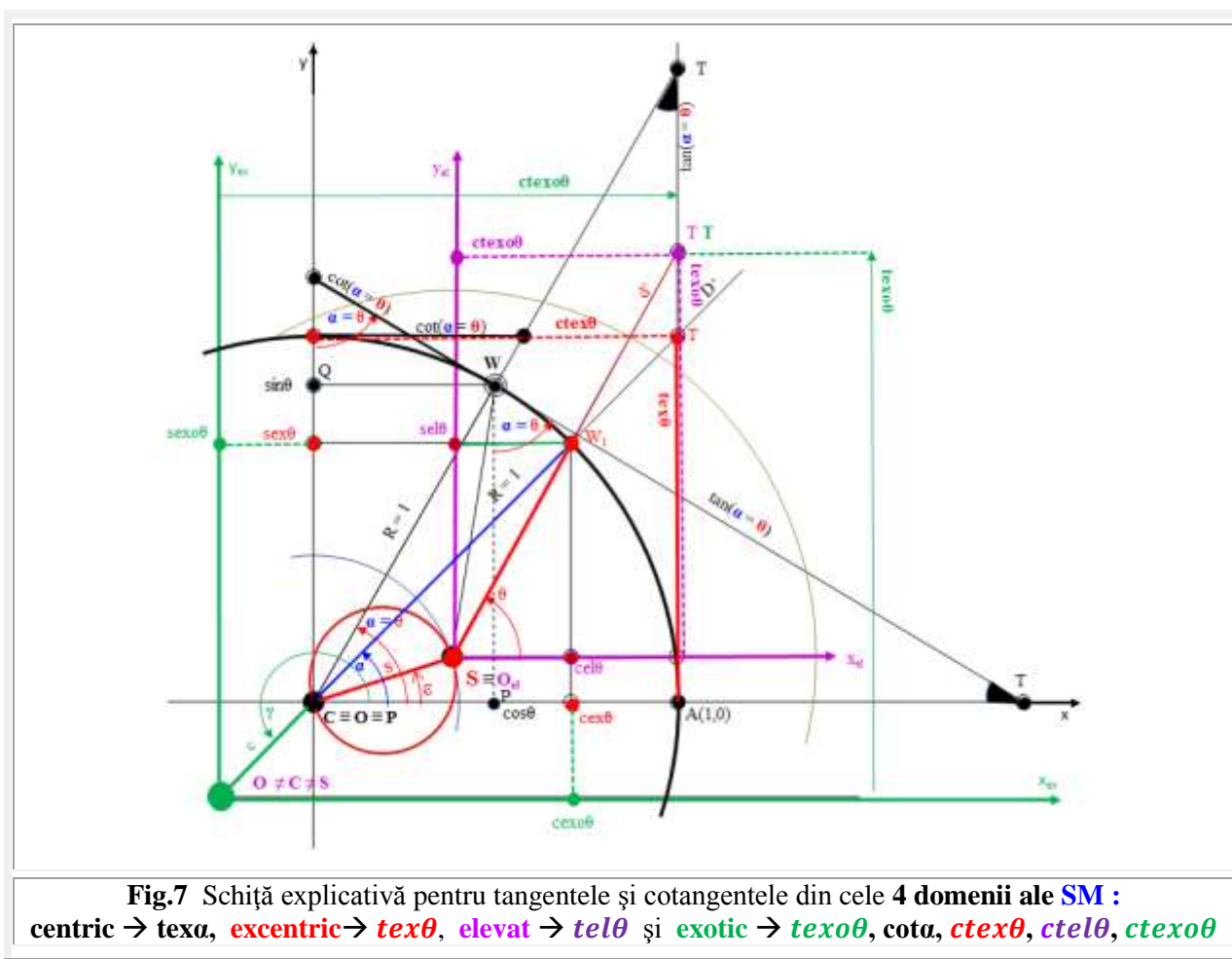
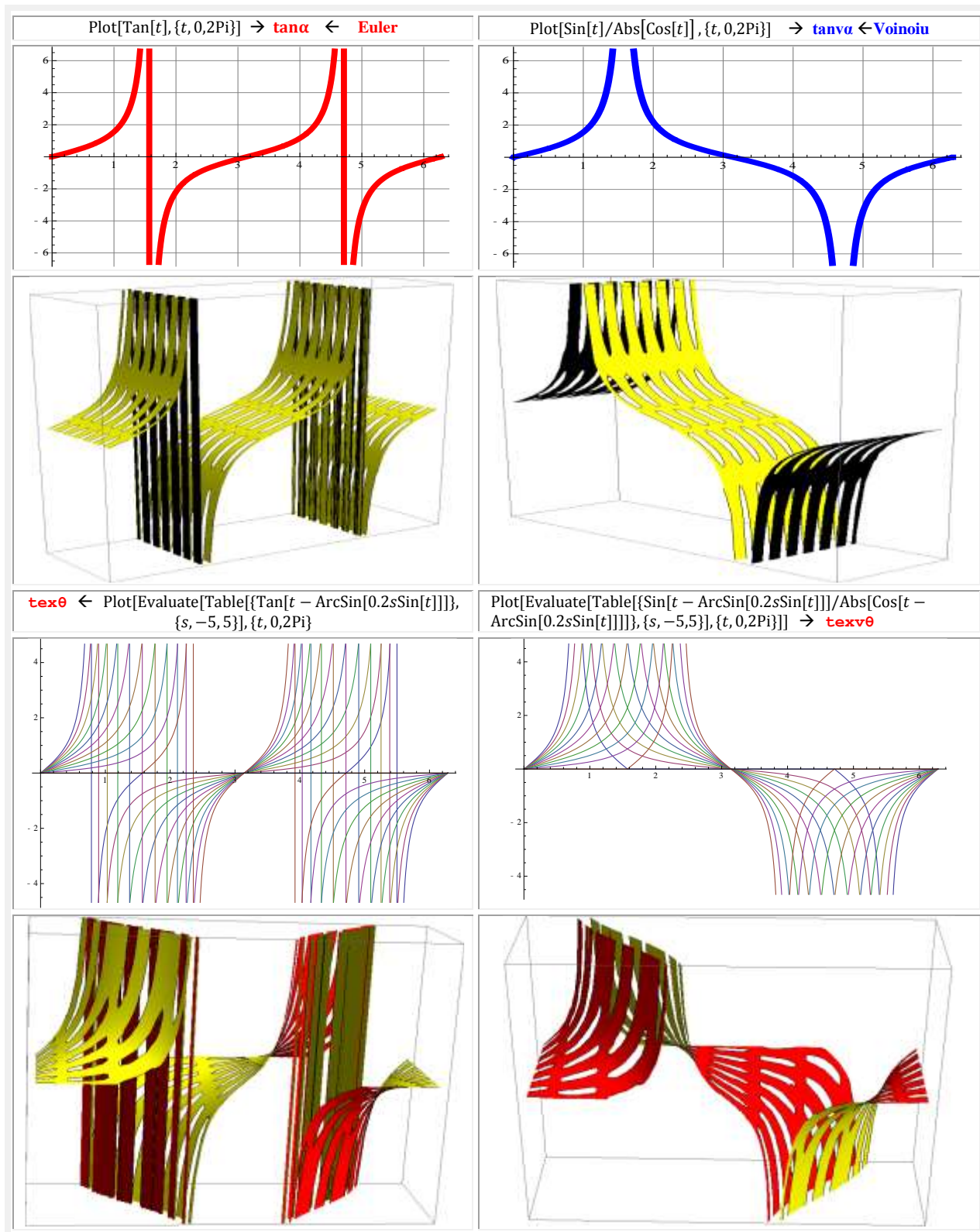
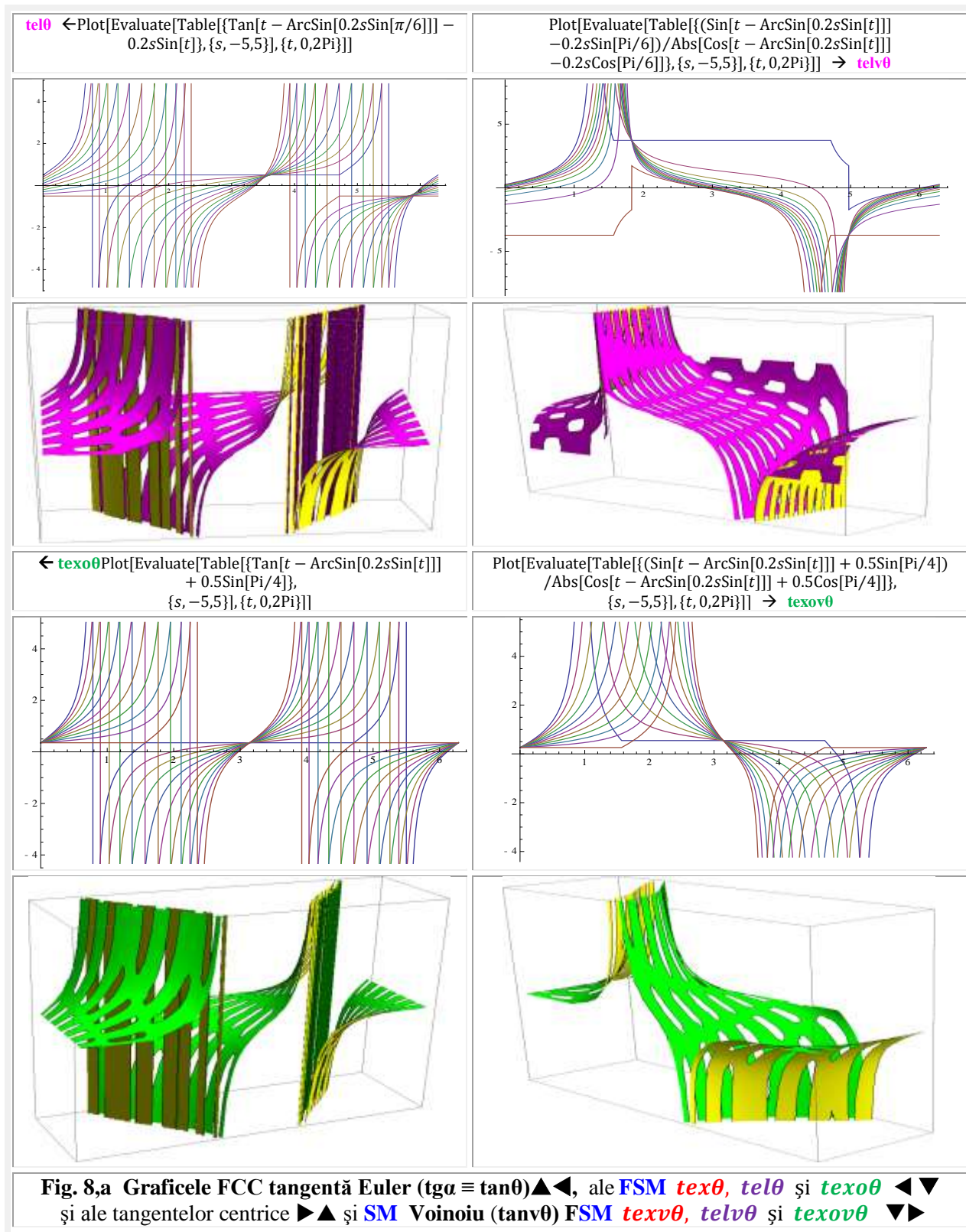


Fig.7 Schiță explicativă pentru tangentele și cotangentele din cele 4 domenii ale **SM** : centric → $tex\alpha$, excentric → $tex\theta$, elevat → $tel\theta$ și exotic → $texo\theta$, cota, $ctex\theta$, $ctel\theta$, $ctexo\theta$

Tangentele și cotangentele din cele 4 domenii ale supermatematicii (**SM**) sunt prezentate în **figura 7**. Între acestea există relațiile:

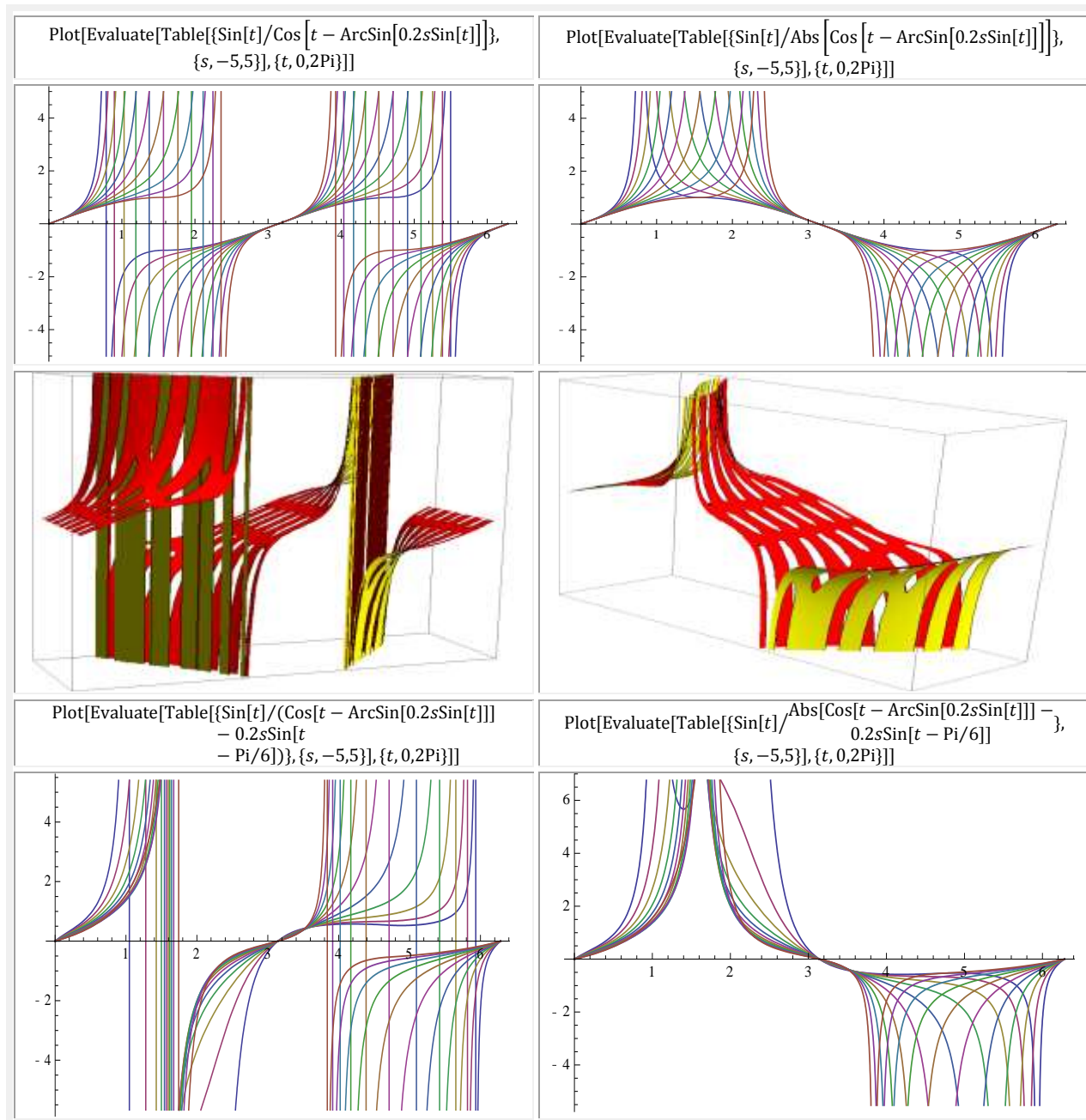
$$(11) \left\{ \begin{array}{l} tex\theta = \tan\alpha(\theta) = \tan\{\theta - \arcsin[s \cdot \sin(\theta - \epsilon)]\} \\ tel\theta = tex\theta - s \cdot \sin\epsilon = \tan\{\theta - \arcsin[s \cdot \sin(\theta - \epsilon)] - s \cdot \sin\epsilon\} \\ texo\theta = tex\theta - c \cdot \sin\gamma = \tan\{\theta - \arcsin[s \cdot \sin(\theta - \epsilon)] - c \cdot \sin\gamma\} \end{array} \right.$$

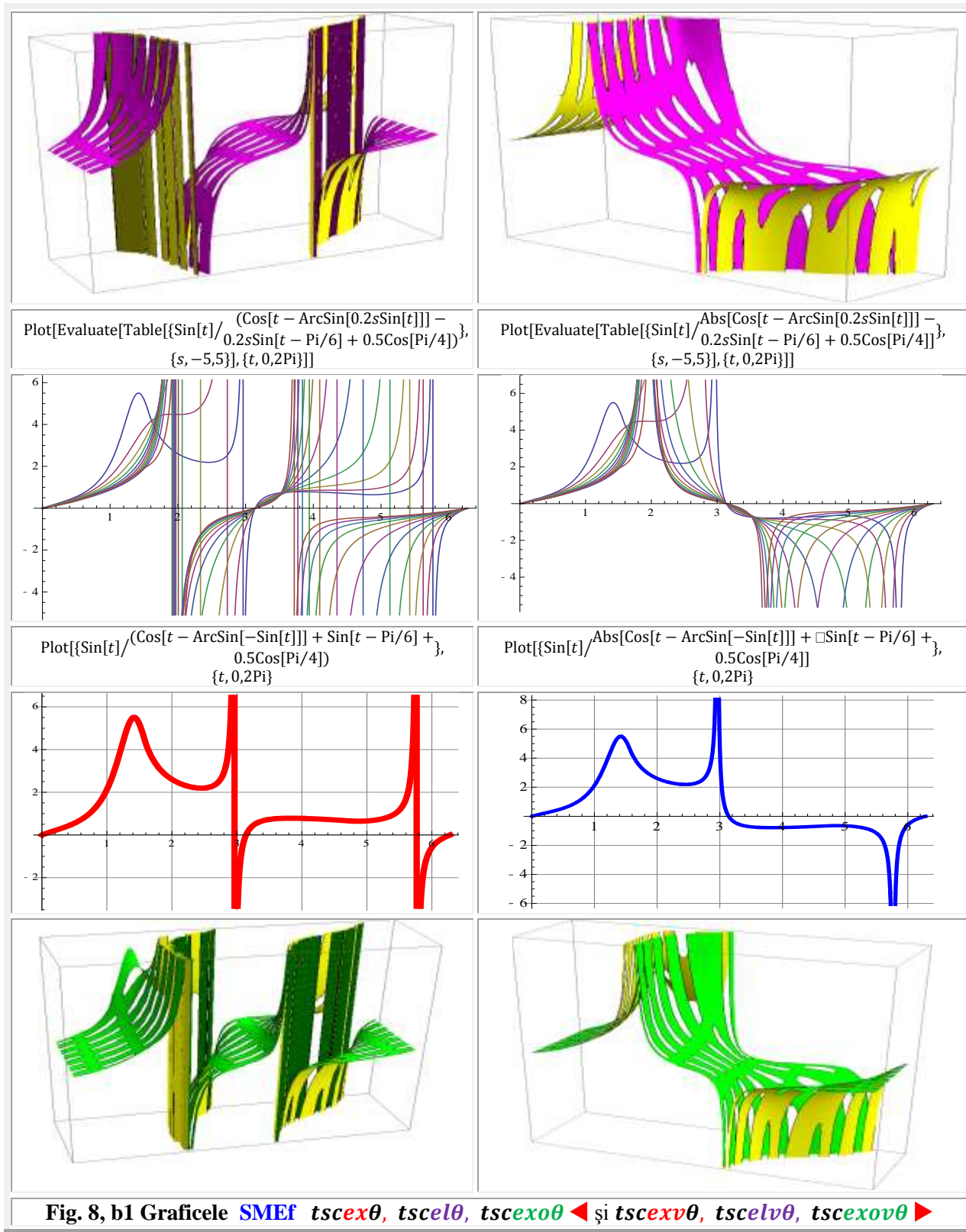


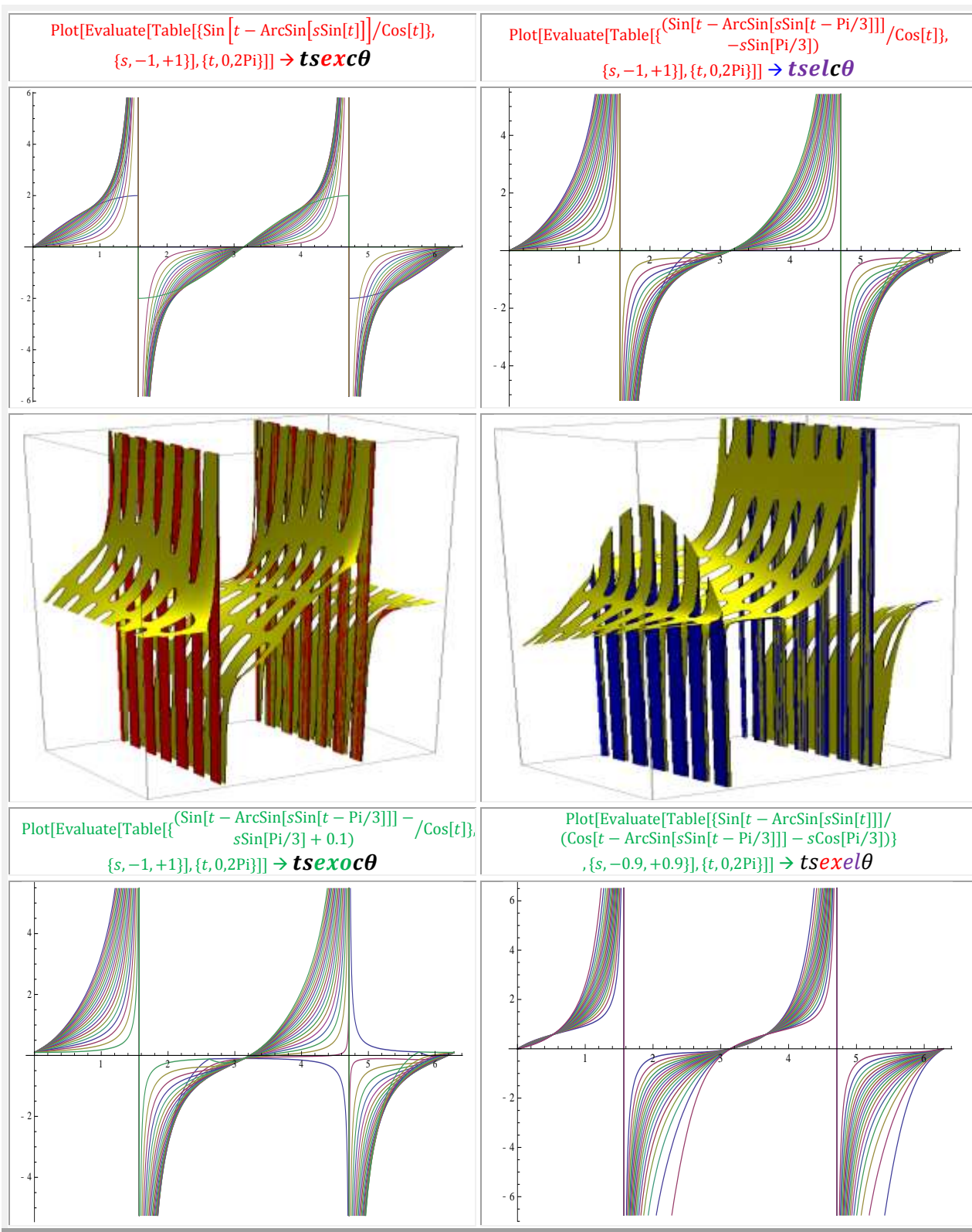


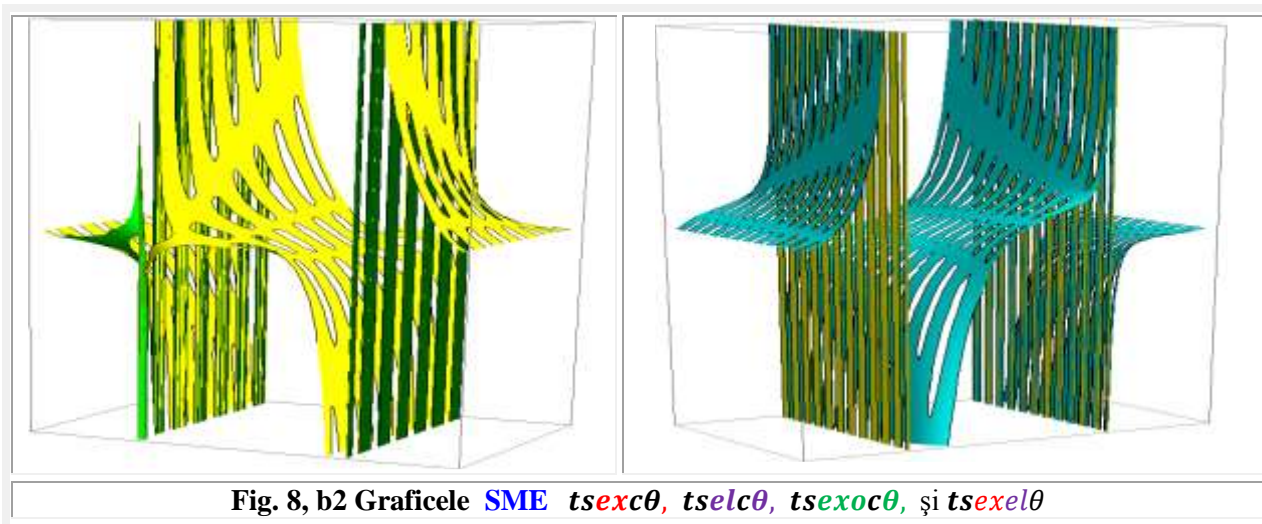
3 GRAFICELE FUNCȚIILOR TANGENTE SUPERMATEMATICE EFECTIVE (SMEf)

Vor fi prezentate, în ordinea din relația (10), în partea superioară relațiile și, în partea inferioară, graficele funcțiilor SMEf. Imaginile 3D⁺ sunt ciuruite pentru o mai bună înțelegere a suprafețelor, altfel, ele fiind continue. Curbe mai deosebite în 2D⁺ au fost uneori reprezentate și ele (Fig. 8, b1)

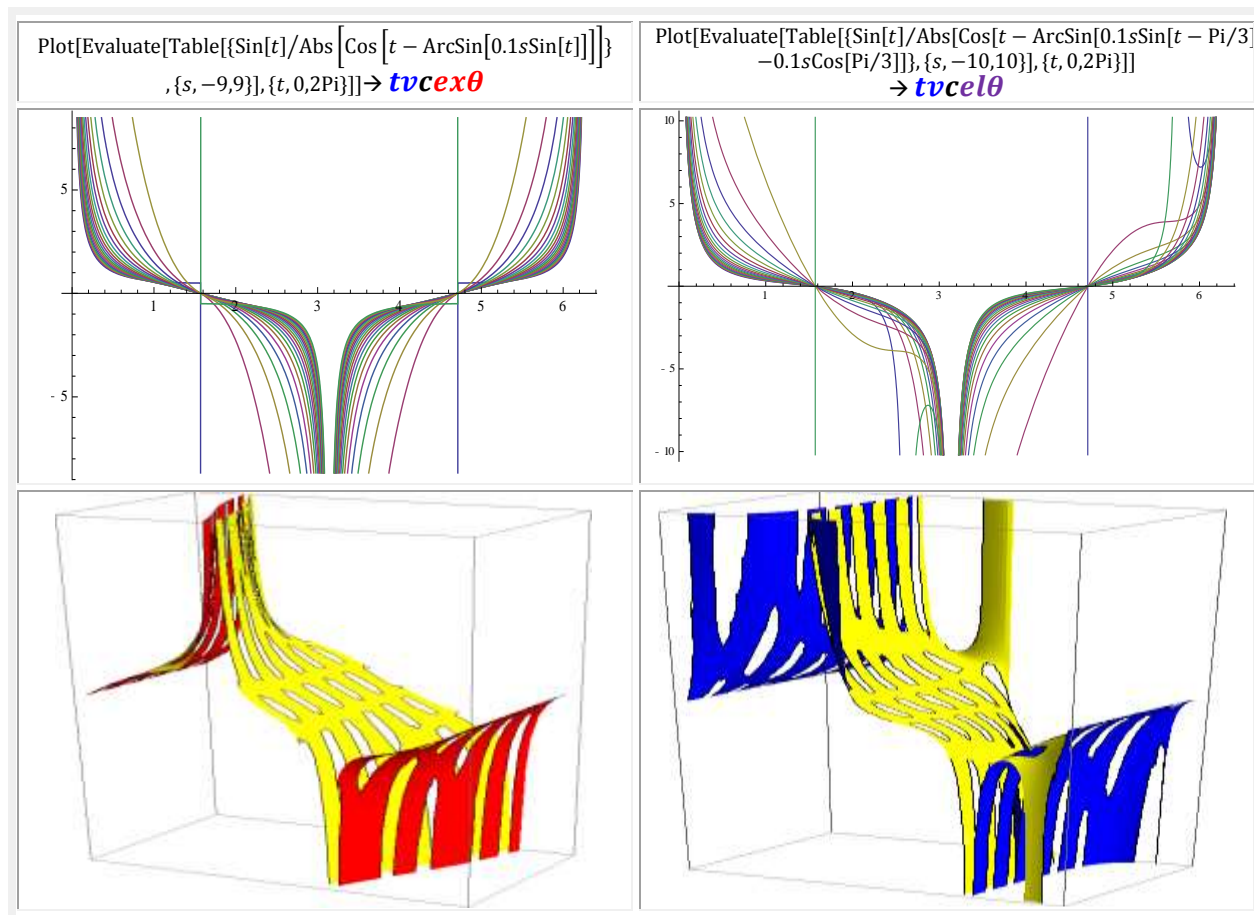


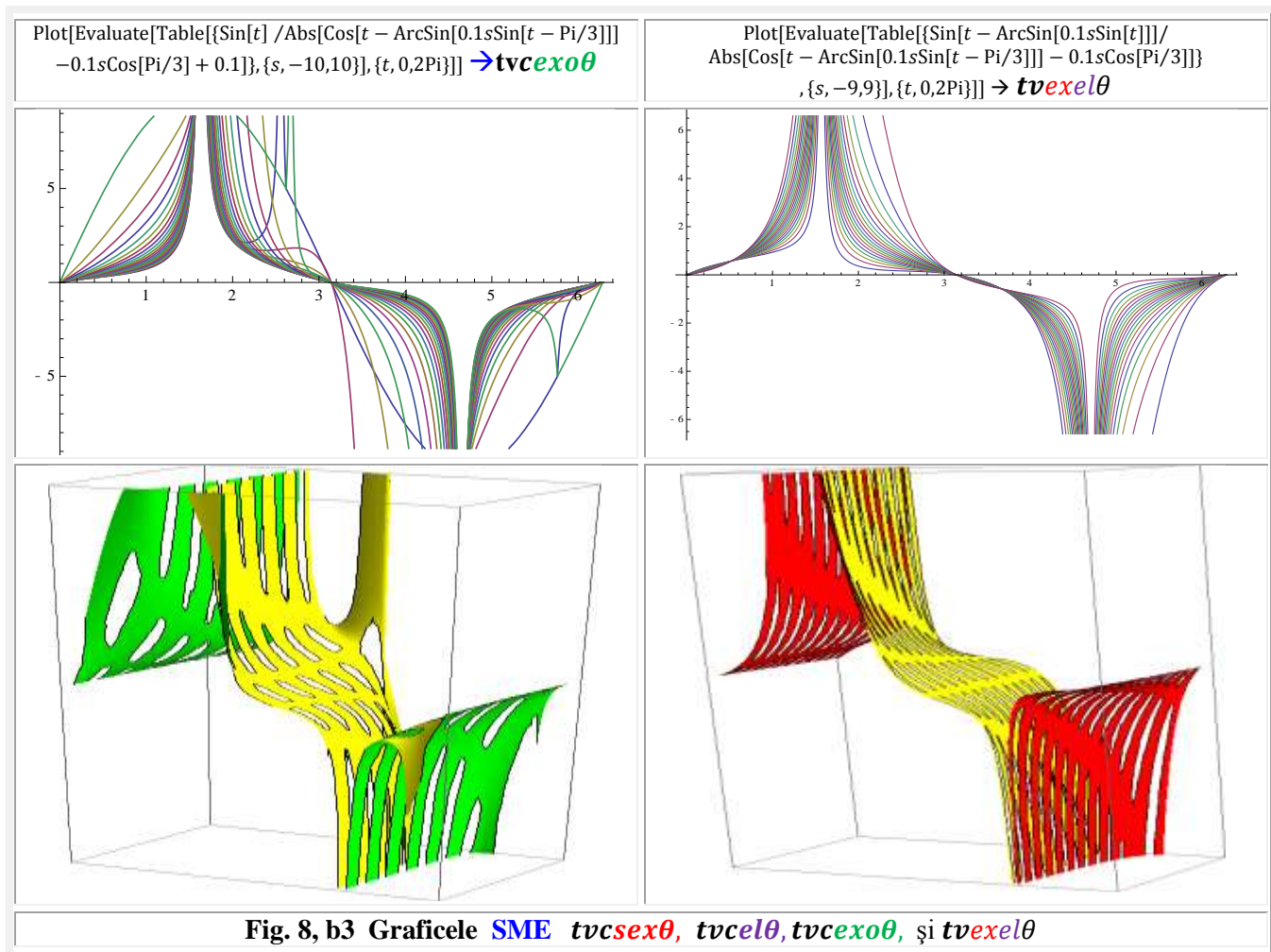






Aceleași funcții, dar **Voinoiu** (cele **CC** definite ca de exemplu $\tan v = \frac{\sin \alpha}{\text{Abs}[\cos \alpha]}$) sunt prezentate cu ecuațiile și cu graficele lor, în continuare, în **figura 9**.

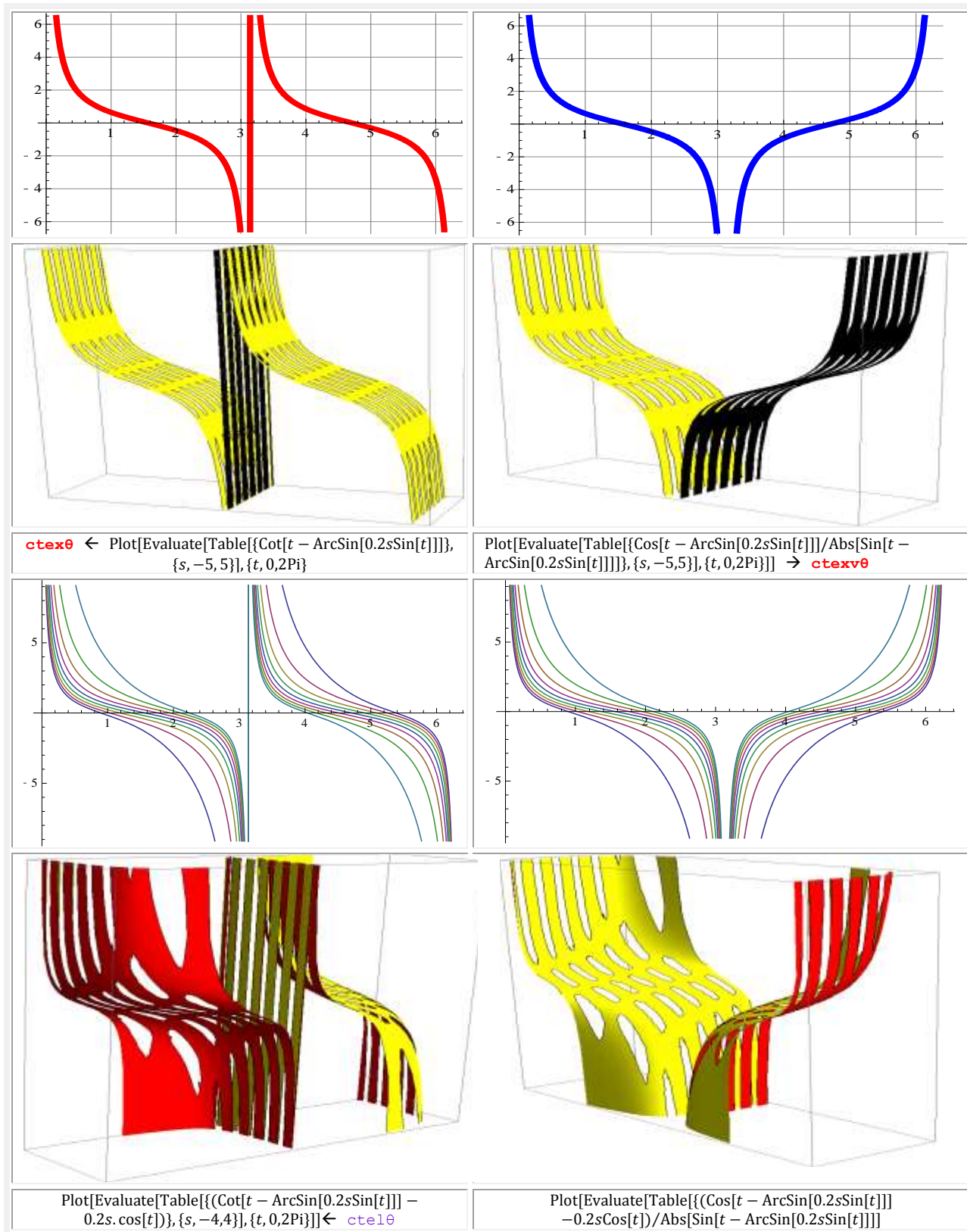


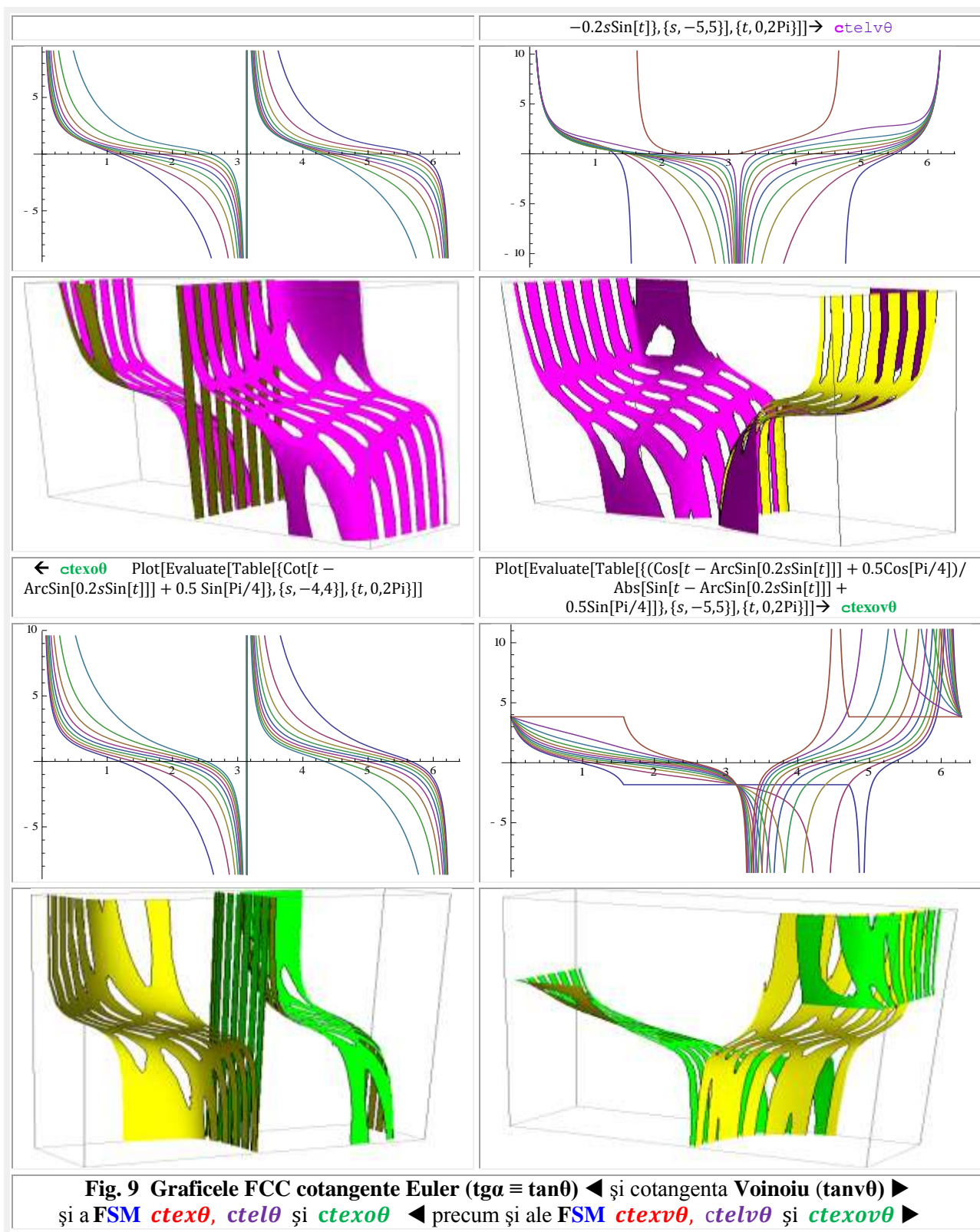


4 GRAFICELE FUNCȚIILOR COTANGENTE SUPERMATEMATICE

Vor fi prezentate, ca și în cazul tangentelor, în ordinea din relația (12): în partea superioară relațiile și, în partea inferioară, graficele funcțiilor SME. Sub acestea, imaginile 3D sunt ciuruite pentru o mai bună înțelegere a suprafețelor, altfel ele sunt continue.

$\leftarrow \text{cota} \quad \text{Plot}[\text{Cot}[t], \{t, 0, 2\pi\}] \rightarrow \text{Euler}$	$\text{Plot}[\text{Cos}[t]/\text{Abs}[\text{Sin}[t]], \{t, 0, 2\pi\}] \rightarrow \text{cotva} \rightarrow \text{Voinoiu}$
--	--

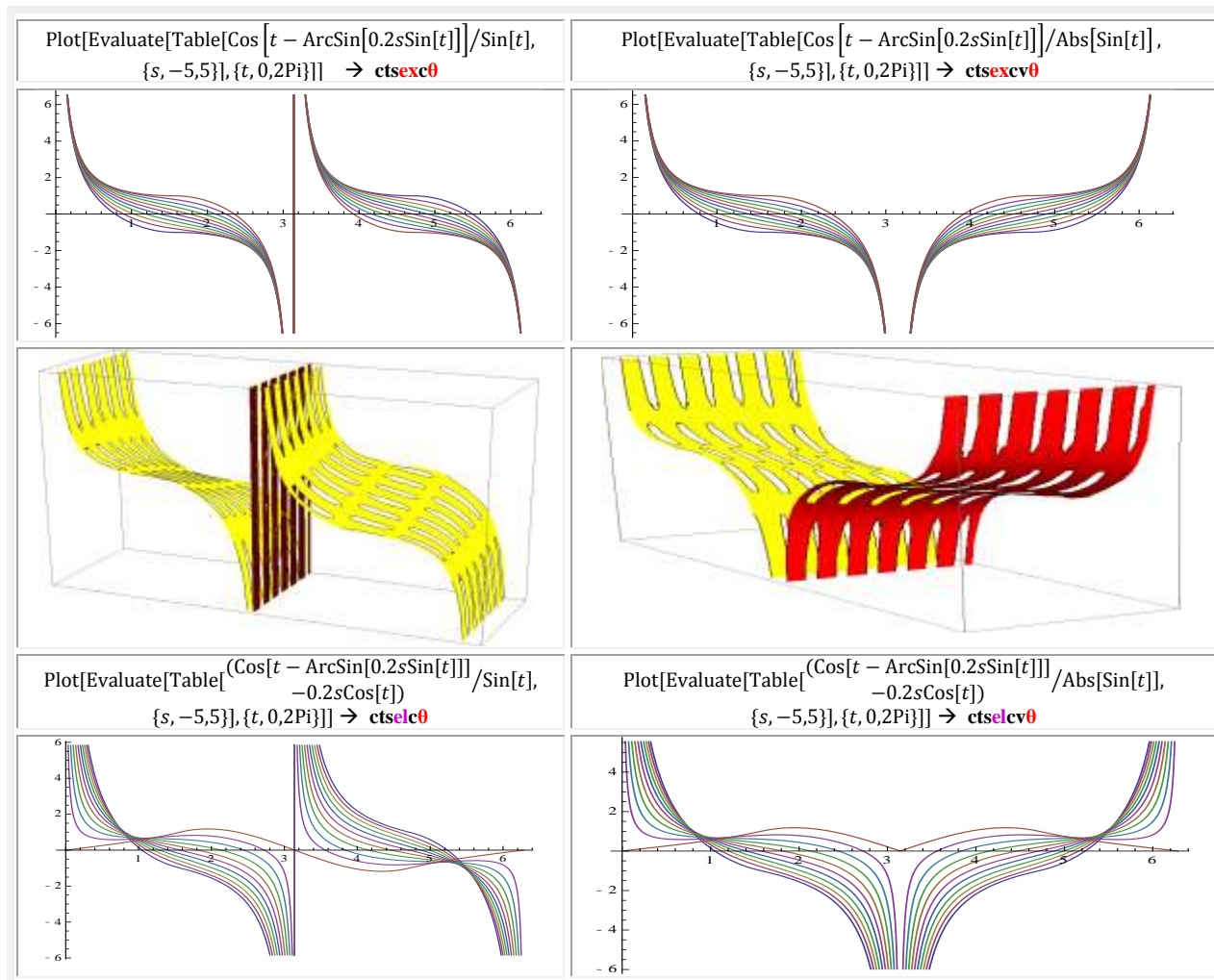


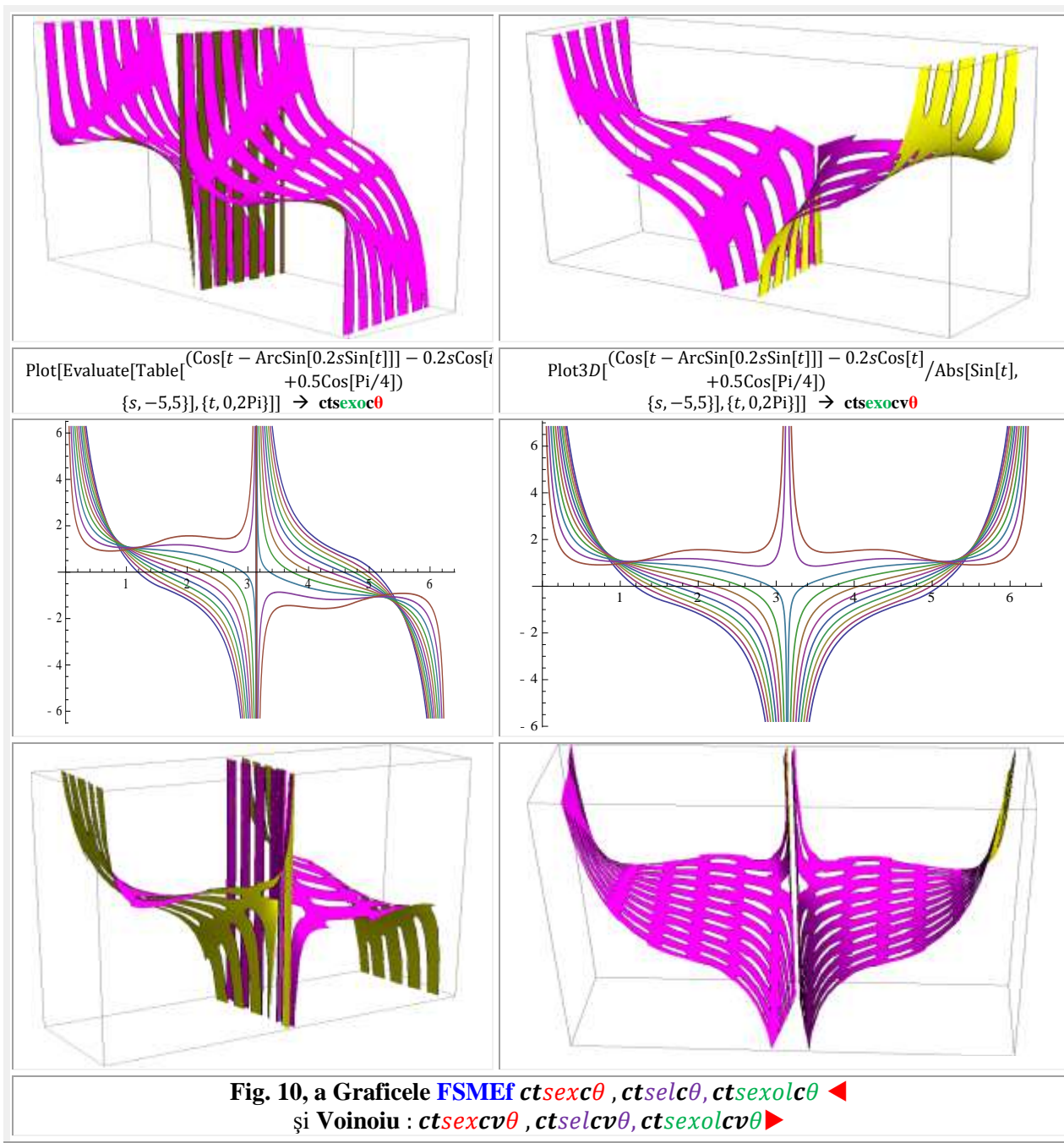


$$(12) \left\{ \begin{array}{l} \frac{\cos\theta}{\sin\theta} = \cot\theta, \frac{cex\theta}{sex\theta} = ctex\theta; \frac{cel\theta}{sel\theta} = ctel\theta; \frac{cexo\theta}{sexo\theta} = ctexo\theta; \\ \frac{\cos\theta}{sex\theta} = ctcssex\theta; \frac{\cos\theta}{sel\theta} = ctcsel\theta; \frac{\cos\theta}{sexo\theta} = ctcssexo\theta; \\ \frac{sex\theta}{\cos\theta} = ctsexc\theta; \frac{sel\theta}{\cos\theta} = ctselc\theta; \frac{sexo\theta}{\cos\theta} = ctsexolc\theta; \\ \frac{cel\theta}{sex\theta} = ctselex\theta; \frac{cexo\theta}{sex\theta} = ctsexoex\theta; \\ \frac{cex\theta}{sel\theta} = ctsexel\theta; \frac{cexo\theta}{sel\theta} = ctsexosel\theta; \\ \frac{cex\theta}{sexo\theta} = ctsexexo\theta; \frac{cel\theta}{sexo\theta} = ctselexo\theta; \end{array} \right.$$

5. GRAFICELE FUNCȚIILOR COTANGENTE SUPERMATEMATICE EFECTIVE (SMEF)

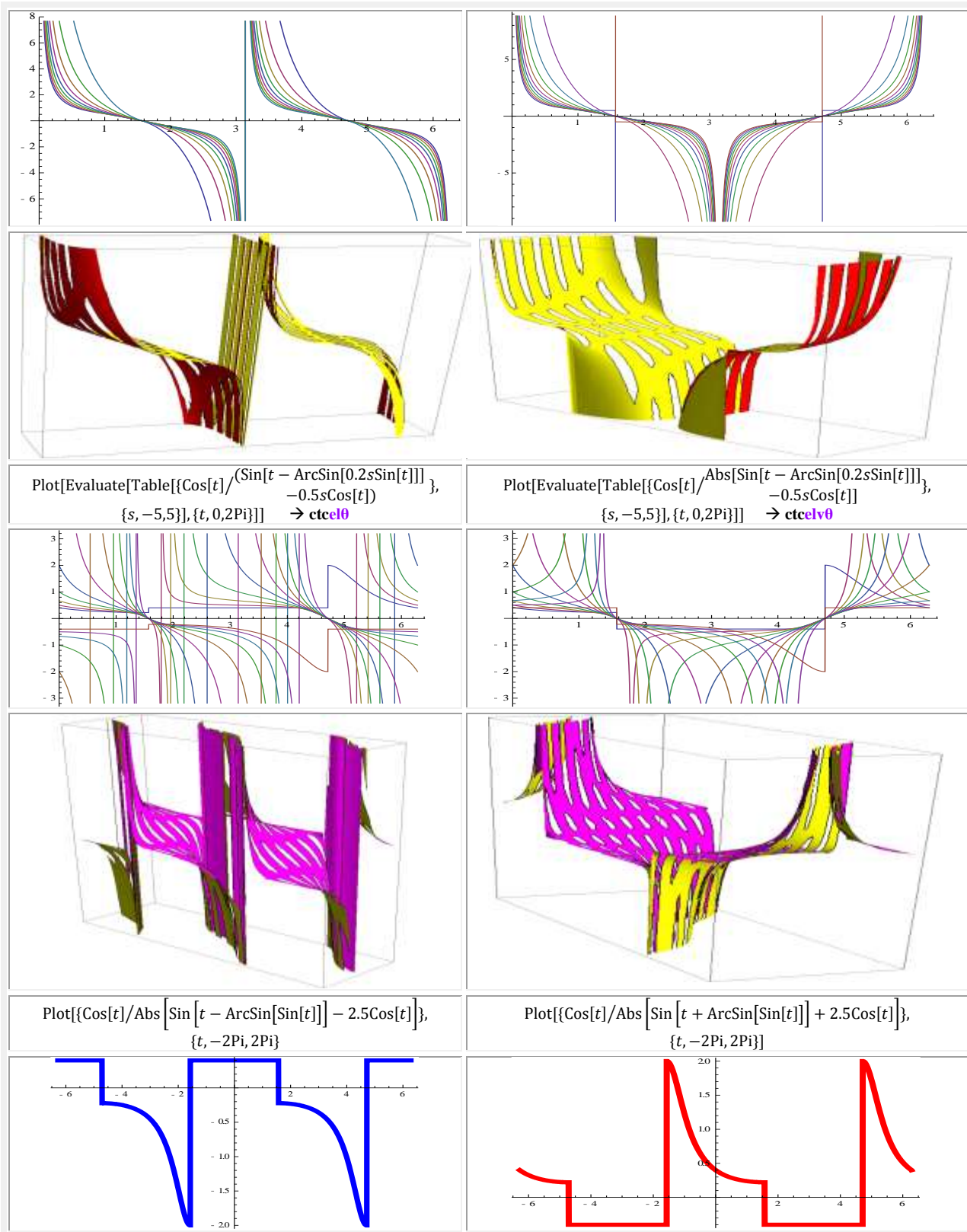
Sunt prezentate în figura 10 în care, în **ctcelvθ** (Fig. 10,b), sunt inserate și două grafice de **s = +1** și **s = -1** pentru a evidenția formele mai deosebite ce sunt estompate în fasciculul / mulțimea de funcții de **s ∈ [-1, +1]**.

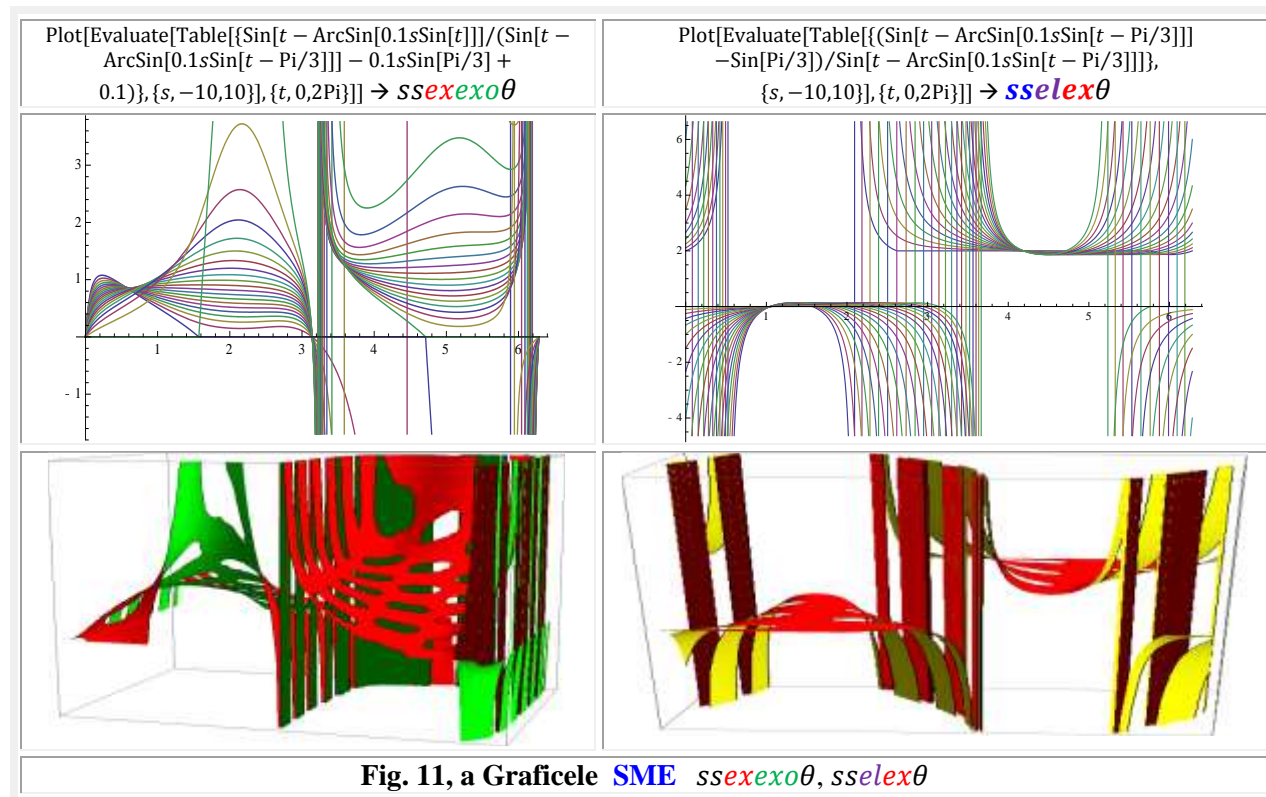
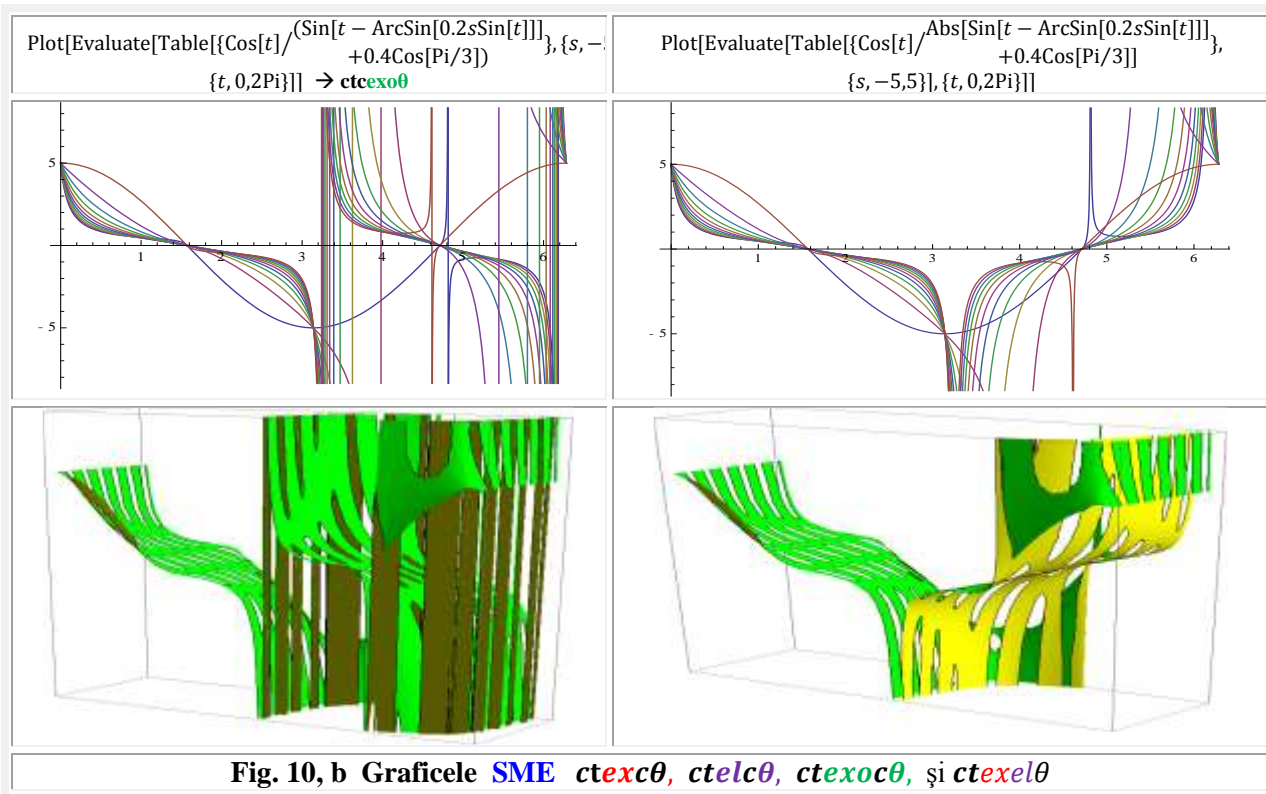


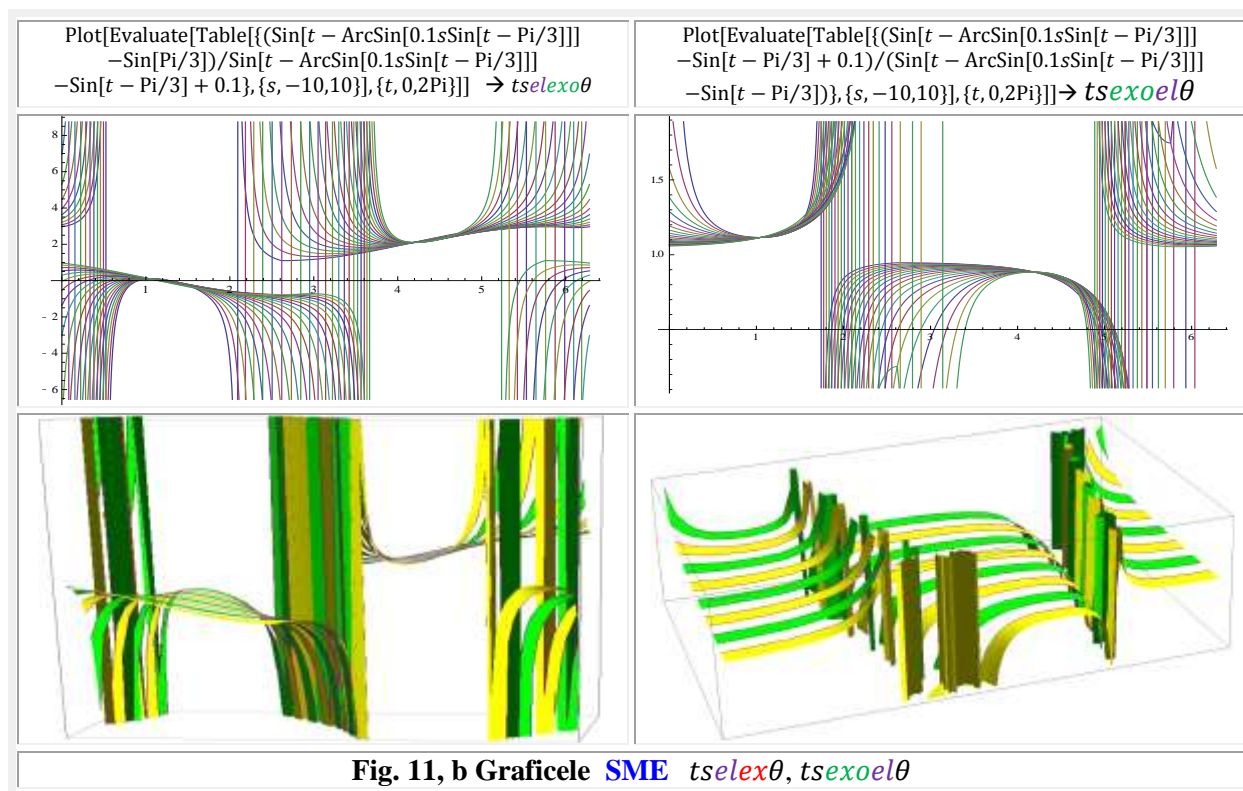


```
Plot[Evaluate[Table[{Cos[t]/Sin[t - ArcSin[0.2sSin[t]]}],
{s, -4,4}], {t, 0,2Pi}]] -> ctsexθ
```

```
Plot[Evaluate[Table[{Cos[t]/Abs[Sin[t - ArcSin[0.2sSin[t]]]}],
{s, -4,4}], {t, 0,2Pi}]] -> ctsexvθ
```







Dacă în **Cap. 2** au putut fi prezentate integral **FSMEf**, nu același lucru poate fi realizat în **Cap. 3** și în următoarele, în care, așa cum s-a mai afirmat, numărul funcțiilor **SM** noi, denumite și **evolute (Ev)**, **FSMEv** tinde spre infinit, atribuind **supermatematicii (SM)**, în general și celei evolute (**Ev**), în special, caracterul de **domeniul supermatematicii nemarginite**.

Inițial, capitolele acestei lucrări au fost tot atâtea Note, publicate independent. Deoarece nu există trimiteri de la o Notă la alta, sau de la un capitol la altul, nici în ceea ce privesc figurile și nici relațiile matematice, numerotarea acestor și cu numărul capitolului a fost considerată inutilă și s-au păstrat notațiile din Note.

Deși **supermatematica (SM)** este o lucrare unitară, multiplele ei domenii lasă impresia inversă. Adevărul este că cele două domenii mari ale **SM** cel **centric (MC)** și cel **excentric (ME)** se deosebesc radical, din multe puncte de vedere, totuși **domeniul centric** se poate obține integral din **domeniul excentric** pentru o **excentricitate liniară $e = s = 0$** .

Și domeniul matematicii excentrice **exotice** poate fi adus în domeniul matematicii excentrice **elevate** prin anularea distanței **c** (**c = 0**) dintre **O(c, γ)** - originea sistemului de axe- și **C(0,0)** - centrul cercului unitate, apoi, prin readucerea originii sistemului / reperului din **polul O(s, ε) ≡ S(s, ε)** în **O(0,0)** se poate trece de la domeniul **elevat** la cel **excentric**.

Toate aceste posibilități, de trecere dintr-un domeniu în altul, evidențiază unitatea în diversitate a lucrării de față.

Motto:” **Evoluția** este reparația spiritului fășnind din materia pe care a fecundat-o, a animat-o, i-a dat virtute.” definiție clasică de **Stanislas de Guaita**

CAPITOLUL III

FUNȚII SUPERMATEMATICE EVOLUTIVE (FSMEV)

1 INTRODUCERE

În **Cap. II** au fost prezentate **funcțiile supermatematice efective (SM Ef)** tangentă și cotangentă **efective** rezultate din definițiile acestor două funcții, ca raport al altor două funcții (cosinus și sinus) și prin combinarea acestora cu funcțiile corespondente din cele 4 domenii inițiale ale **SM**:

- 1) **centric** (cos și sin),
- 2) **excentric** (**cex** și **sex**),
- 3) **elevat** (**cel** și **sel**) și
- 4) **exotic** (**cexo** și **sexo**) constituindu-se, astfel, cel de al **5-lea domeniu** al **SM**, denumit al **supermatematicii efective (SMEf)**.

Domeniul 5 al **SMEf** are un număr limitat de funcții, ceea ce se poate deduce imediat din combinarea celor **2 funcții**, cosinus și sinus, pentru exprimarea tangentei și a cotangentei, din cele **4 domenii** ale **SM**, de aceea, graficele lor, în **2D** cât și în **3D**, au putut fi integral prezentate în **Cap. II**.

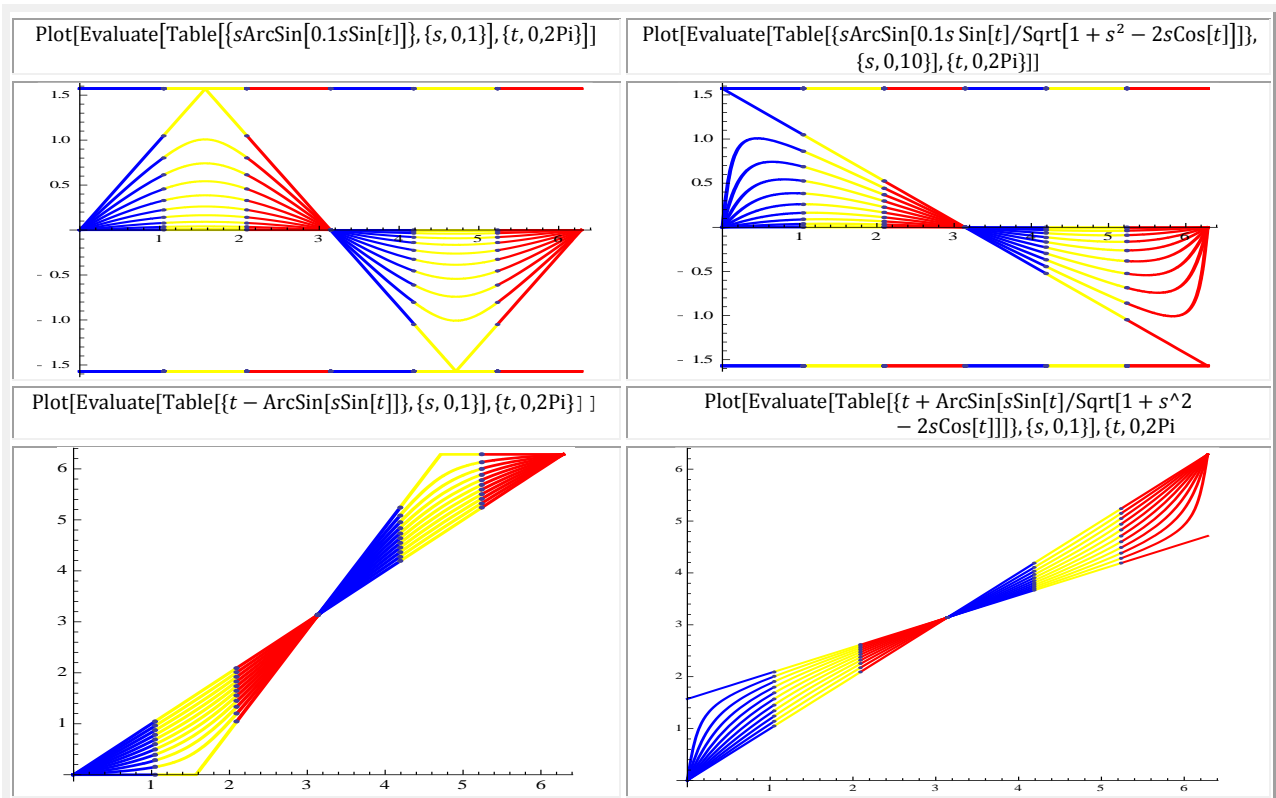


Fig. 1 Graficele **FSM - CE** beta și amplitudine **excentrice** de variabilă **excentrică: bexθ ▲ ◀** și **axθ ▼ ◀** precum și cele de variabile centrice **Bexα ▲ ▶** și **Aexα ▼ ▶**

Aşa cum s-a afirmat, în acea **Notă I** sau **Cap.II**, numărul funcţiilor noi, din domeniul **supermatematicii evolutive (SMEv)**, tinde la infinit, ceea ce constituie un fapt nemaîntâlnit, dar îmbucurător, cu privire la diversificarea funcţiilor matematice, pe de o parte, dar, pe de altă parte, în mod evident, ele, infinitatea de funcţii, nu vor putea fi niciodată prezentate exhaustiv, deoarece „*infinitul este locul unde se întâmplă ... tot ce nu se poate întâmpla*”.

De ce acest domeniu infinit a fost denumit **evolutiv** ?

Pentru că, prin **evolutiv** se înţelege o dezvoltare treptată şi neîntreruptă, aidoma dezvoltării actuale şi, mai ales, viitoare a celui mai nou domeniu al **SM**: domeniul **evolutiv (SMEv)**. **Evolutivul** ţine de evoluţie, este supus evoluţiunii, exact ceea ce se întâmplă şi cu domeniul **SMEv**.

Deoarece prezentarea exhaustivă este imposibilă, din multitudinea de **funcţii supermatematice evolutive circulare excentrice (FSMEv-CE)**, autorul a ales unele pe gustul său (De gustibus non est disputandum) începând cu **FSM-CE** într-adevăr elementare **bexθ** şi, mai ales, **aexθ**, în combinaţie cu **FCC cosa** şi **sina**, care au fost, anterior descoperirii **SM**, considerate elementare.

De ce sunt **bexθ**, **Bexα** şi **aexθ**, **Aexα** (**Fig. 1**) **FSM-CE** cu adevărat funcţii elementare ?

Deoarece, aşa cum funcţia **amplitudine excentrică Jacobi am(u,k)** este o funcţie elementară care stă la baza edificiului domeniului **matematicii eliptice centrice (MEC)**, întrucât toate funcţiile eliptice **Jacobi** se pot exprima prin această funcţie, ca de exemplu: **sn(u,k) = sin [am(u,k)]**, **cn(u,k) = cos [am(u,k)]**, tot aşa, toate **FSM-CE** se pot exprima cu ajutorul funcţiilor **bexθ** şi **aexθ**.

Astfel, **aexθ = α(θ) = θ - β(θ) = θ - bexθ = θ - arcsin[s.sin(θ - ε)]** cu ajutorul cărora se pot exprima ecuaţiile **FSM - CE** sinus excentric **sex(θ, s) = sin[aex(θ, s)]** şi cosinus excentric **cex(θ, s) = cos[aex(θ, s)]** ş.a. iar, pentru **excentricitatea liniară s** nulă (**s = 0**), domeniul **matematicii excentrice** degenerază în cel al **matematicii centrice (MC)**: **sexθ → sina**, **cexθ → cosa**, **texθ → tana ≡ tga** ş.a.m.d..

Observaţia este adevărată pentru toate cele 5 domenii (vezi **Nota I**) ale **supermatematicii (SM)**: **elevat ▶ selθ → sina**, **celθ → cosa**, **telθ → tana ≡ tga** ş.a.m.d., şi **exotic ▶ sexoθ → sina**, **cexoθ → cosa**, **texoθ → tana ≡ tga** ş.a.m.d.

Se poate afirma, fără exagerare, deci cu temei, că **SM a tâsnit** din **MC** odată cu apariţia **excentrului S(s, ε)** în cercul unitate **CU(O,1)**, respectiv, **E(e,ε)** într-un cerc oarecare **C(O,R)** şi a coordonatelor sale polare: **excentri-citatea liniară numerică s** sau **reală e** şi a **excentricităţii unghiulară ε**.

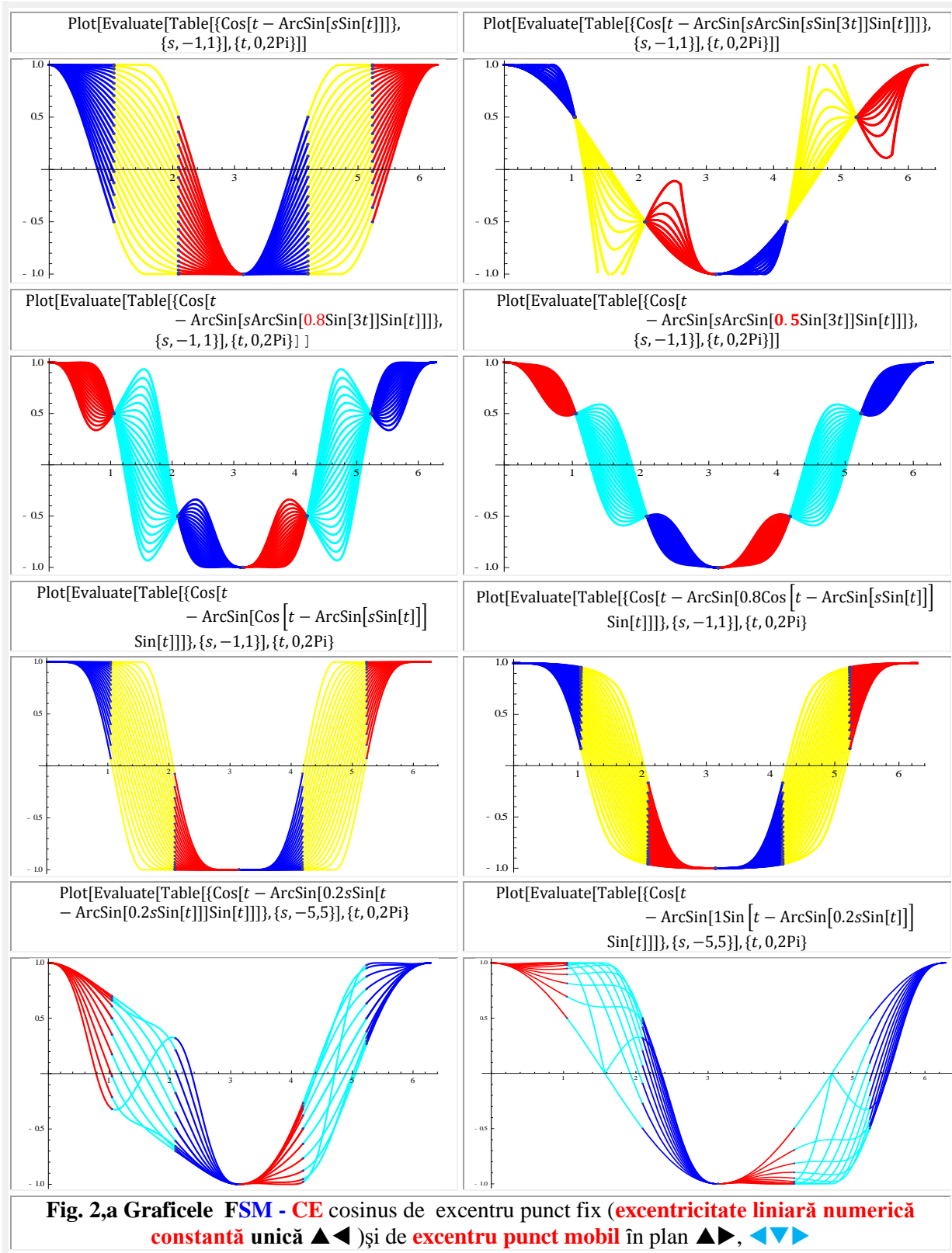
Ele constituie **dimensiunile de formare şi de deformare a spaţiului**: **a 3-a** şi, respectiv, **a 4-a** dimensiune a spaţiului bidimensional **2D**, dacă **S** este un punct fix, şi a spaţiului plan (2D) **multidimensional**, dacă **S** este un **punct mobil în plan**, care se deplasează după anumite legi exprimabile, la rândul lor, tot prin **FSM**, dar de alţi excentri. Aşa pot să apară funcţiile **SM** de excentricitate dublă, triplă, ..., multiplă, cu un număr nedefinit de excentricităţi, ale căror grafice diferă sensibil de cele ale funcţiilor **SM** de o singură excentricitate, aşa cum se poate constata din graficele din **figura 2**.

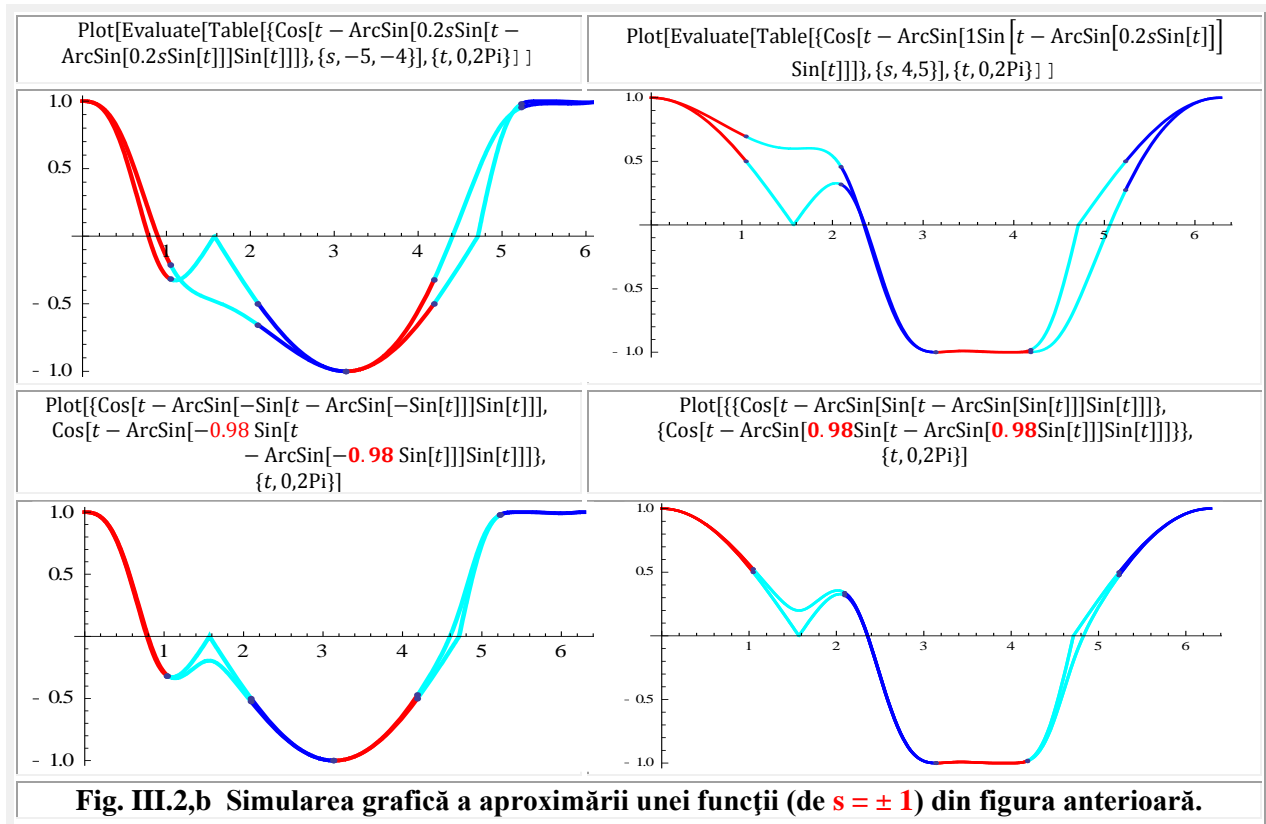
În primul caz, prezentat în **figura 2,a ▲▶**, excentricitatea **s ∈ [-1, +1]** este exprimată de funcţia **s_m = s.bex3θ**, adică, **s_m → s.arcsin[s.sin(3θ)]**. Cu alte cuvinte, dintr-un excentru punct fix **S(s, ε = 0)**, devine un excentru punct mobil în plan **S_m(s.bex3θ, ε = 0)**, care oscilează, pe axa **Ox**, de la valoarea **s_{mm} = -π/2** la **s_{mm} = +π/2**, aşa cum rezultă din **figura 1, b**. În partea stângă ◀ sunt reprezentate funcţiile **beta excentrice** de variabilă **excentrică θ**, iar în dreapta ▶, cele de variabilă **centrică α**; limitele / extremele lor fiind aceleaşi ±π/2. Pentru celelalte grafice, excentricităţile pot fi deduse din ecuaţii.

2 UTILITATEA MULTIPLICĂRII FUNCŢIILOR MATEMATICE

În **figura 2, b** sus ▲, din multitudinea de grafice din **figura 2, a**, au fost alese acelea de excentricitate **s = 1** şi **s = 0,9**, care, pentru **s = 1**, vor să simuleze exact un anumit grafic / funcţie dat prin puncte, dar considerat necunoscut, iar pentru **s = 0,9** aproximarea acestuia, aşa cum se întâmplă şi în realitate prin utilizarea diverselor metode de aproximare, descoperite înaintea apariţiei **SM**. Prin mărirea excentricităţii de la **s = 0,9** la **s = 0,98** aproximarea devine mult mai bună, aşa cum se poate observa în **figura 2, b** jos ▼. Şi, pentru **s = 0,999** aproxima-rea devine, evident, şi mai bună.

Metodele clasice de aproximare, ale **matematicii centrice (MC)**, mai cunoscute și mai utilizate sunt:





- Interpolarea polinomială, trigonometrică și exponențială; liniară, parabolică, diferență divizată de ordinul unu, de ordinul doi și de ordinul n; formula polinomului de interpolare al lui **Newton**, polinomul lui **Newton** de interpolare de gradul n cu diferențe divizate;
- Minimizarea abaterii maxime, minimizarea sumei pătratelor abaterilor, metoda celor mai mici pătrate.

Pentru a evidenția avantajele noilor metode **SM** de aproximare (v. Șelariu Mircea „UN SISTEM SUPERMATEMATIC CU BAZĂ CONTINUĂ DE APROXIMARE A FUNCȚIILOR”) să considerăm metoda de interpolare trigonometrică, cunoscută și sub denumirea de *dezvoltare în serii Fourier*, care se bazează pe **funcțiile trigonometrice / circulare centrice (FCC): $\cos x, \sin x; \cos 2x, \sin 2x; \dots, \cos nx, \sin nx$** .

Figurile 3 și 4 arată, comparativ, diferențele care există la exprimarea funcției **SM Dexa** cu relația ei invariantă de definiție (1)

$$(1) \quad \text{Dex}\alpha = \frac{1 - s \cdot \cos(\alpha - \varepsilon)}{1 + s^2 - 2s \cos(\alpha - \varepsilon)}$$

și, respectiv, prin dezvoltarea ei în serie trigonometrică (2), la care s-au reținut primii 10 termeni din serie

$$(2) \quad \frac{1 - s \cdot \cos(\alpha - \varepsilon)}{1 + s^2 - 2s \cos(\alpha - \varepsilon)} = \sum_{n=0}^{\infty} s^n \cdot \cos n\alpha$$

(v. **Rijik și Gradstein**, „**Tabele DE INTEGRALE, SUME, SERII ȘI PRODUSE**” pag. 54, 1.447, - FII559m -).

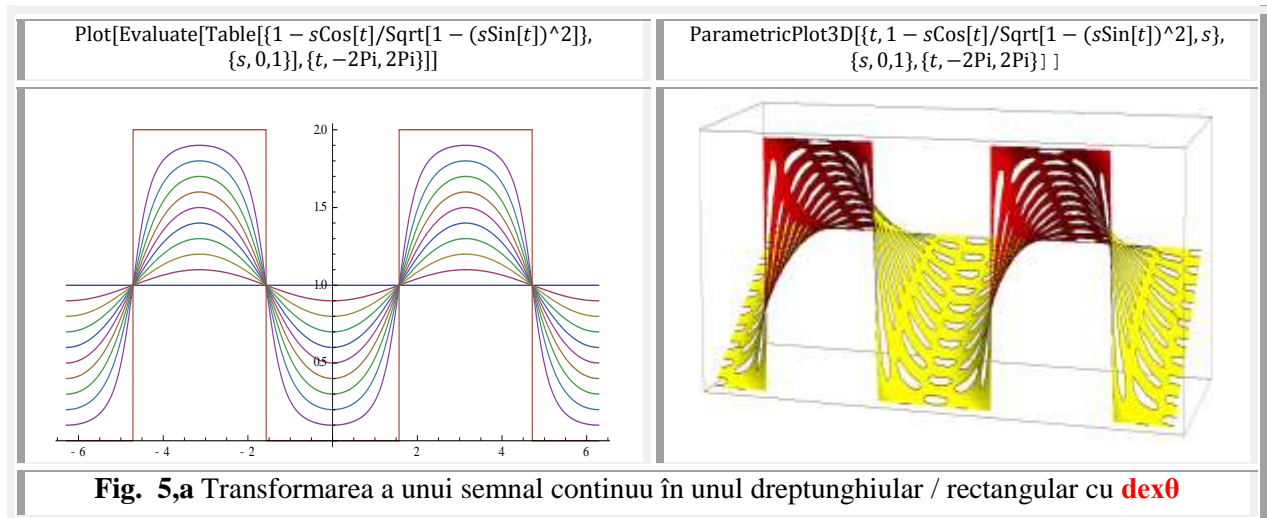
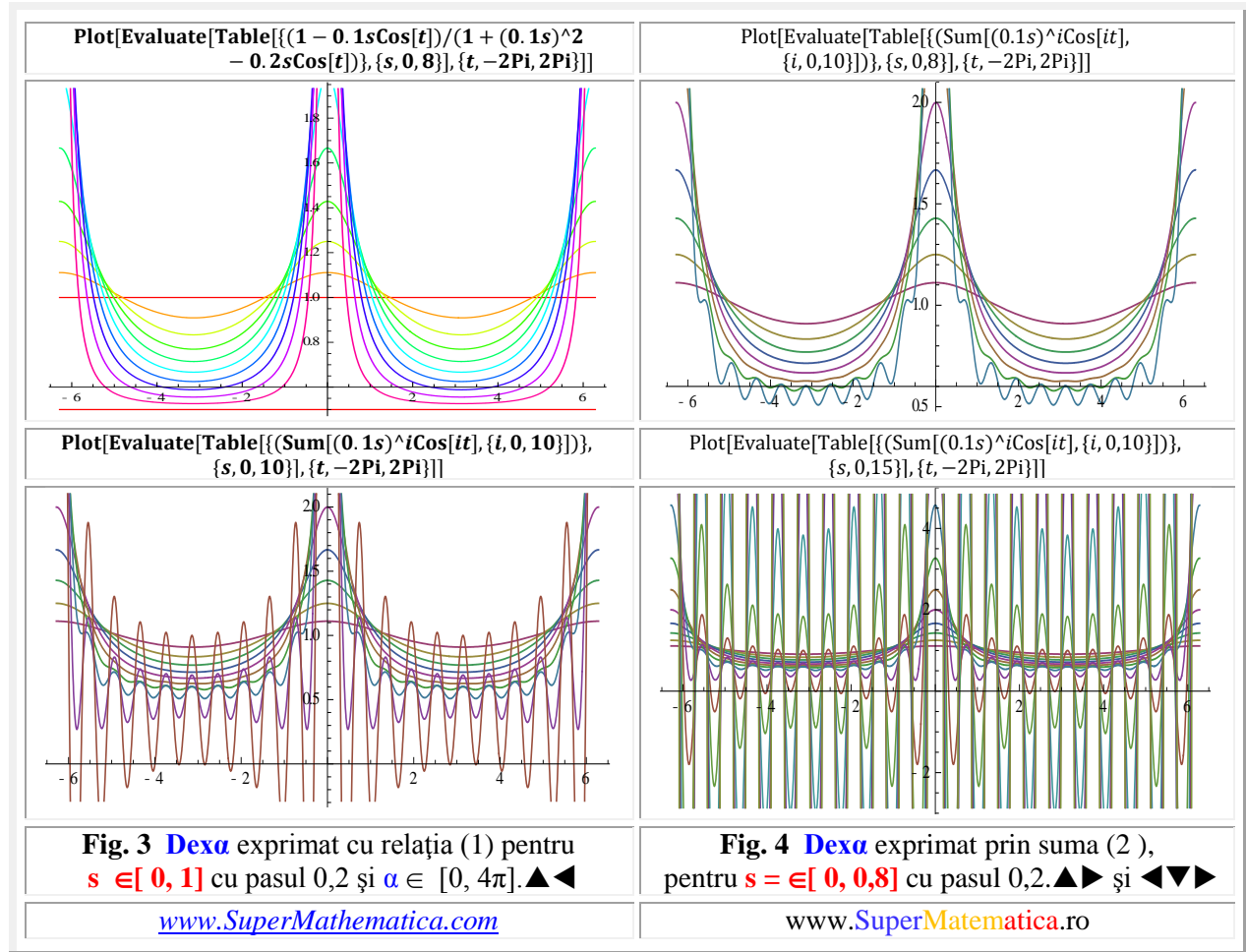
În **figura 4 excentricitatea maximă s_M** a fost redusă de la **$s = 1$** la valoarea de **$s = 0,8$** , deoarece, peste această valoare, erorile / abaterile sunt exagerat de mari; graficele eronate acoperind și graficele mai precise, de excentricitate mai redusă, așa cum se poate observa direct ▼.

Comentariile sunt de prisos.

Un exemplu mai concludent, privind avantajele utilizării **FSM-CE** de variabilă excentrică, îl constituie **FSM – CE $y = \text{dex}\theta$** care, pentru **$s = 0$** , este **dreapta $y = 1$** , iar pentru **$s = \pm 1$** este un **semnal**

dreptunghiular sau **funcția poartă temporală** care, prin dezvoltare în serie **Fourier**, se **apropie** de reprezentarea **exactă** dată de funcția:

$$(3) \quad \text{dex}\theta = 1 - \frac{s \cdot \cos(\theta - \varepsilon)}{\sqrt{1 - s^2 \sin^2(\theta - \varepsilon)}} \quad (\text{Fig. 5 } \blacktriangle \blacktriangleleft)$$



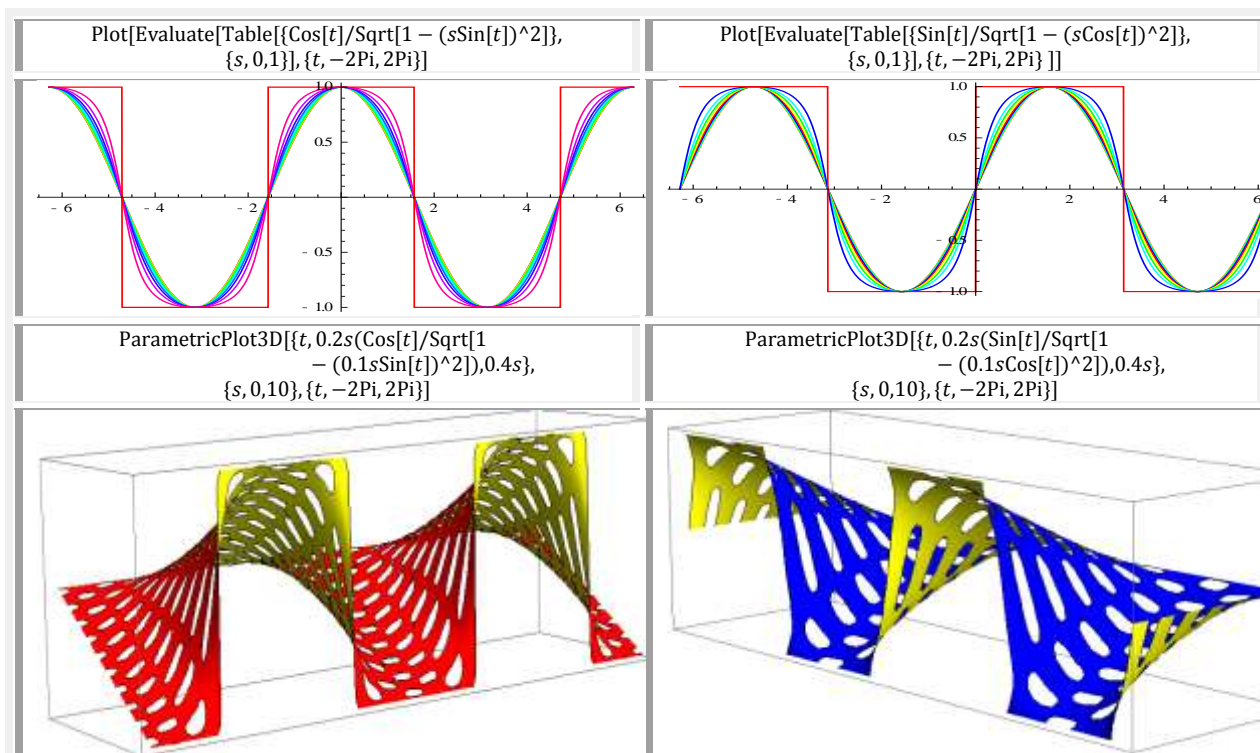


Fig. III. 5,b Transformarea continuă a unui semnal continuu în unul dreptunghiular / rectangular cu **FSM- quadrilobe excentrice QE** cosinus **coq** ◀ și sinus **siq** ▶ quadrilobe

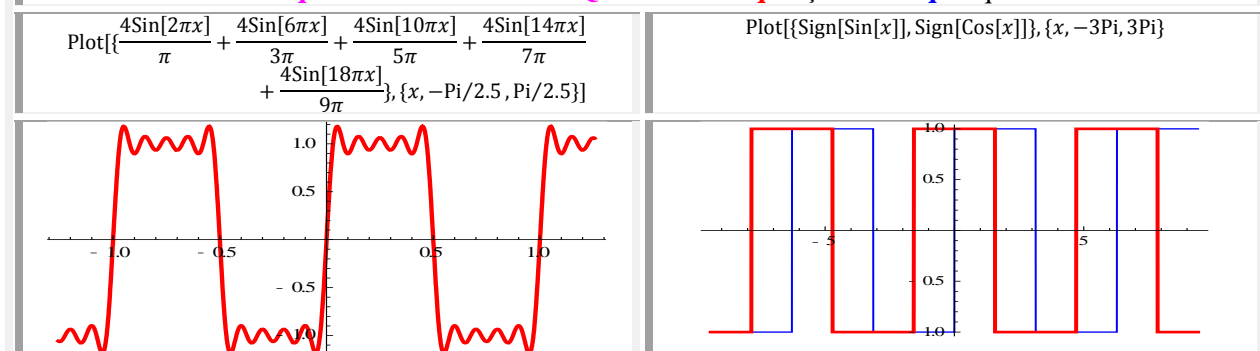


Fig. 5,c Reprezentarea unui semnal dreptunghiular / rectangular prin dezvoltarea în **serie Fourier** ◀ și cu funcția circulară centrică **signum** ▶ de **sin** și de **cos** → **sign[sinx , sign[cosx]**

www.SuperMathematica.com

www.SuperMatematica.ro

Se poate afirma, cu teamei, așa cum va rezulta în continuare, că „ **matematica centrică (MC)** face **ce poate**, în timp ce, **supermatematica (SM)** face **ce trebuie**”.

Astfel, **MC** are un singur set de funcții, cele **centrice**, anterior amintite, fiecare tip de funcție fiind unică: un singur **sinθ**, un singur **cosθ**, un singur **sin2θ**, un singur **cos2θ**, ș.a.m.d.

SM mai are **între sinx și sin2x** ca și **între cosx și cos2x**, și următoarele, **o infinitate de funcții excentrice sexθ și cexθ** deoarece, pentru **s = 0** → **sex(θ,0) = sinθ** și **cex(θ,0) = cosθ**, iar pentru **s = ± 1** → **sex(θ, ± 1) = sin2θ** și **cex(θ, ± 1) = cos2θ**.

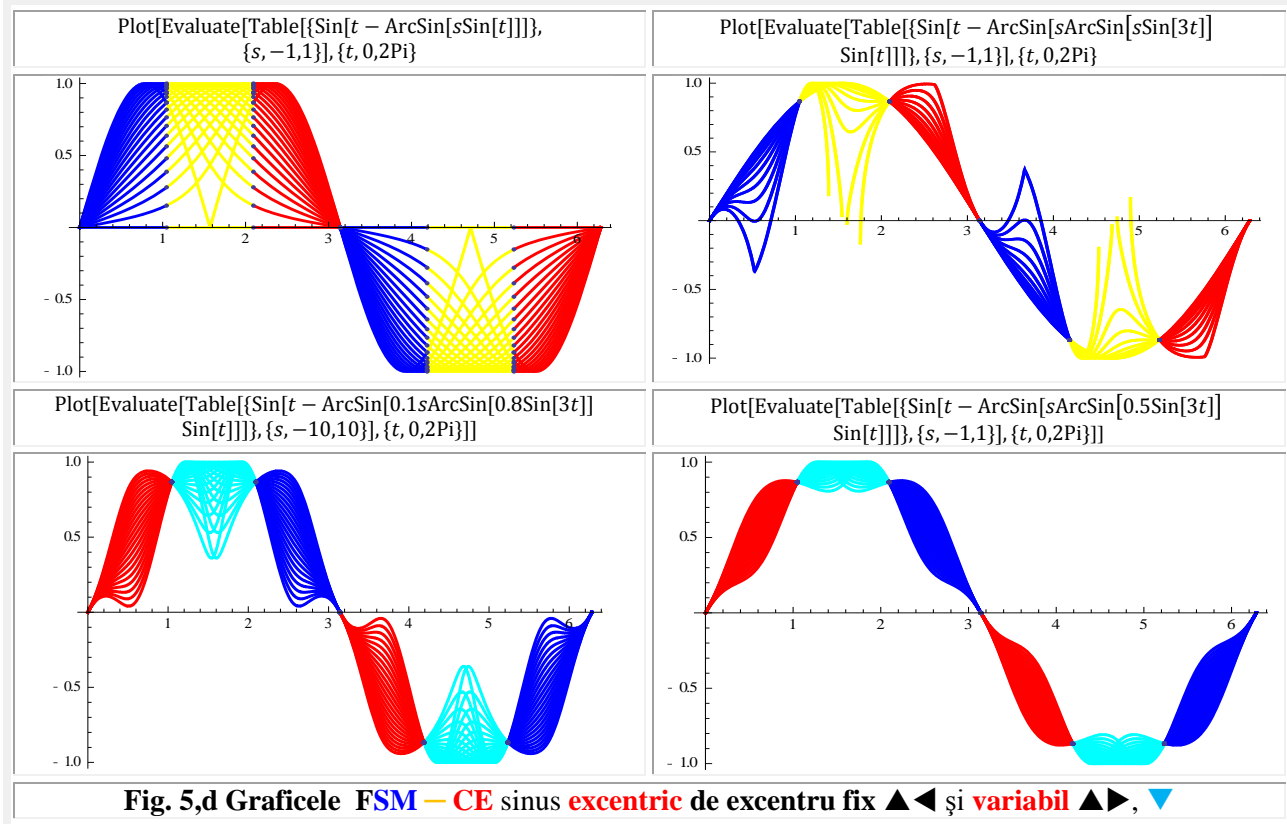
Rezultă că **sistemul trigonometrice centric (STC)** este unul discret, în timp ce **sistemul supermatematic (trigonometric excentric)** este un sistem cu **bază continuă (!)**, deoarece între **cosx** și **cos2x**, între **sinx** și **sin2x** există o infinitate de funcții circulare excentrice **cexθ** și, respectiv, **sexθ**

corespunzătoare infinității de valori posibile ale **excentricității liniare numerice s**, din planul cercului unitate.

Se poate afirma că numărul funcțiilor matematice este la fel de important ca și numărul sculelor și al dispozitivelor din dulapul unui meseriaș de valoare.

Dispozitivele constituie multitudinea de funcții matematice noi ale **SM**, iar sculele reprezintă multitudinea funcțiilor de același tip, așa cum este cazul în **matematica excentrică (ME)**: o infinitate de **cex**, o infinitate de **sex** ș.a.m.d.), **matematica elevată (ME)** și în **matematica exotica (MEx)**, scule care, în **MC**, lipsesc cu desăvârșire; funcțiile **MC** fiind unicate: un singur **cos**, un singur **sin**, o singură **tan / tg** ș.a.m.d.

Chiar dacă funcția **signum** poate descrie exact un semnal dreptunghiular, ea este „o funcție statică, unicată” ce nu poate reproduce **transformarea continuă** a unui semnal liniar în unul dreptunghiular.



În figura 5,d sunt prezentate **FSM—CE sexθ** de excentru fix ▲◀ și de excentru variabil, după legile prezentate în figură, deasupra graficelor.

3 FUNCȚII SUPERMATEMATICE EVOLUTIVE CENTRICO * EXCENTRICE : $\sin\theta * sex\theta, \cos\theta * cex\theta, \cos\theta * sex\theta, \sin\theta * cex\theta$

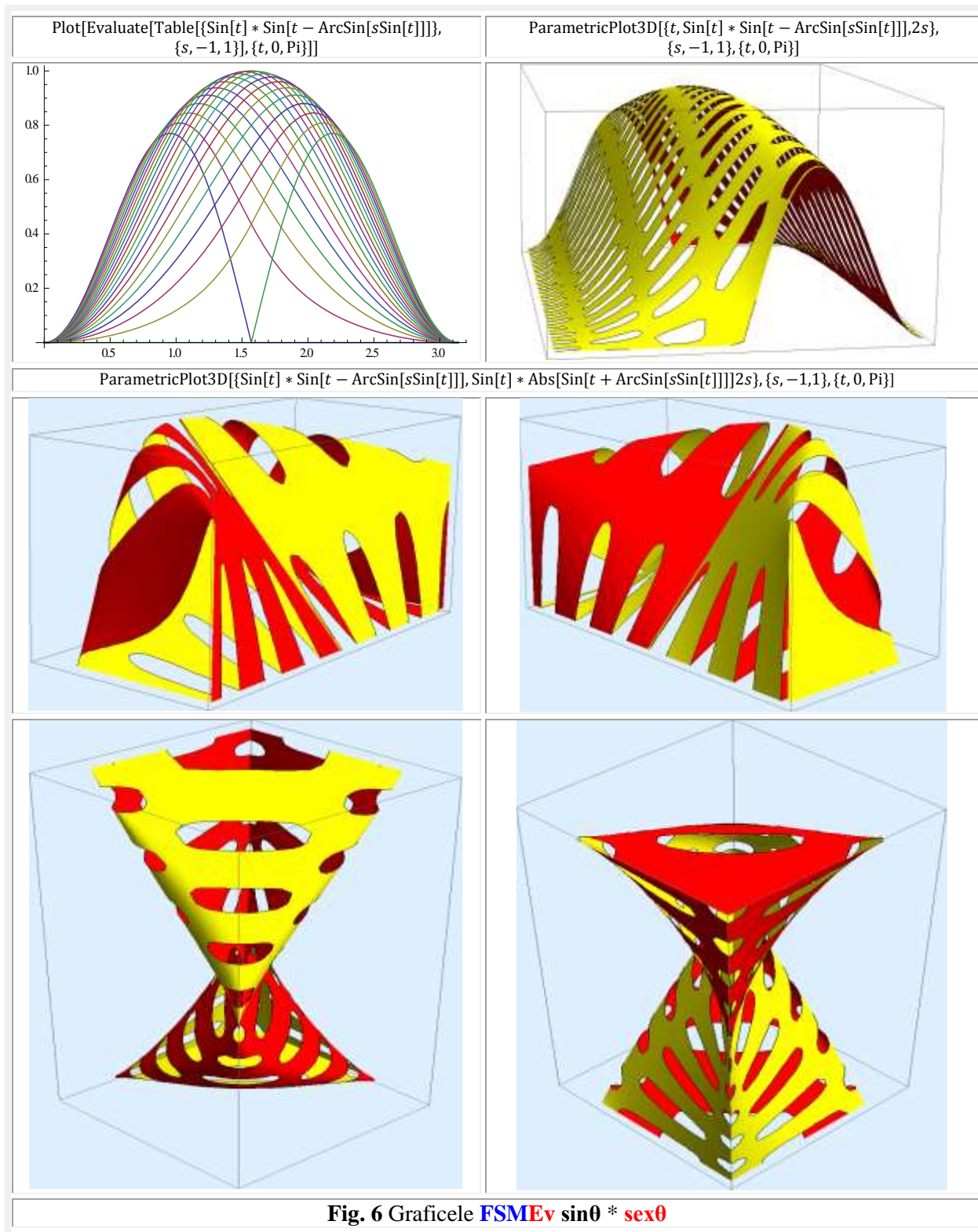
Din infinitatea de combinații, sigurul criteriu al alegerilor a fost estetica funcțiilor în 2D și / sau în 3D.

S-a început cu **produsul** dintre o funcție circulară centrică (**FCC**) $\sin\theta$ și una **supermatematică circulară excentrică (FSM — CE) sinus excentrice sexθ**

$$(3) \quad \sin\theta \cdot sex\theta = \sin\theta * \sin[\theta - \arcsin[s \cdot \sin(\theta - \epsilon)]]$$

cu graficele din figura 6. **FSMEv centrico * excentrice** sunt aceleași / identice cu **FSMEv excentrico * centrice**, la fel și cele de sumă **centrico + excentrice ≡ excentrico + centrice**. Este de remarcat faptul, că toate graficele 3D din figura 6 reprezintă una și aceeași funcție **supermate-matică evolutivă (FSMEv) —**

centrico * excentrică — completată cu simetricul ei și văzută din diverse unghiuri / părți. Imaginile 3D au fost prezentate „*ciuruite*” pentru o mai bună înțelegere a formelor lor.



S-a continuat în **figura 7** cu graficele **2D** și **3D** ale **FSMEv** — **centrico** * **excentrice** $\cos\theta$ * **cex** θ și în **figura 8** cu **FSMEv** — **centrico** * **excentrice** $\cos\theta$ * **sex** θ , apoi, în **figura 9** cu **FSMEv** — **centrico** * **excentrice** $\sin\theta$ * **cex** θ .

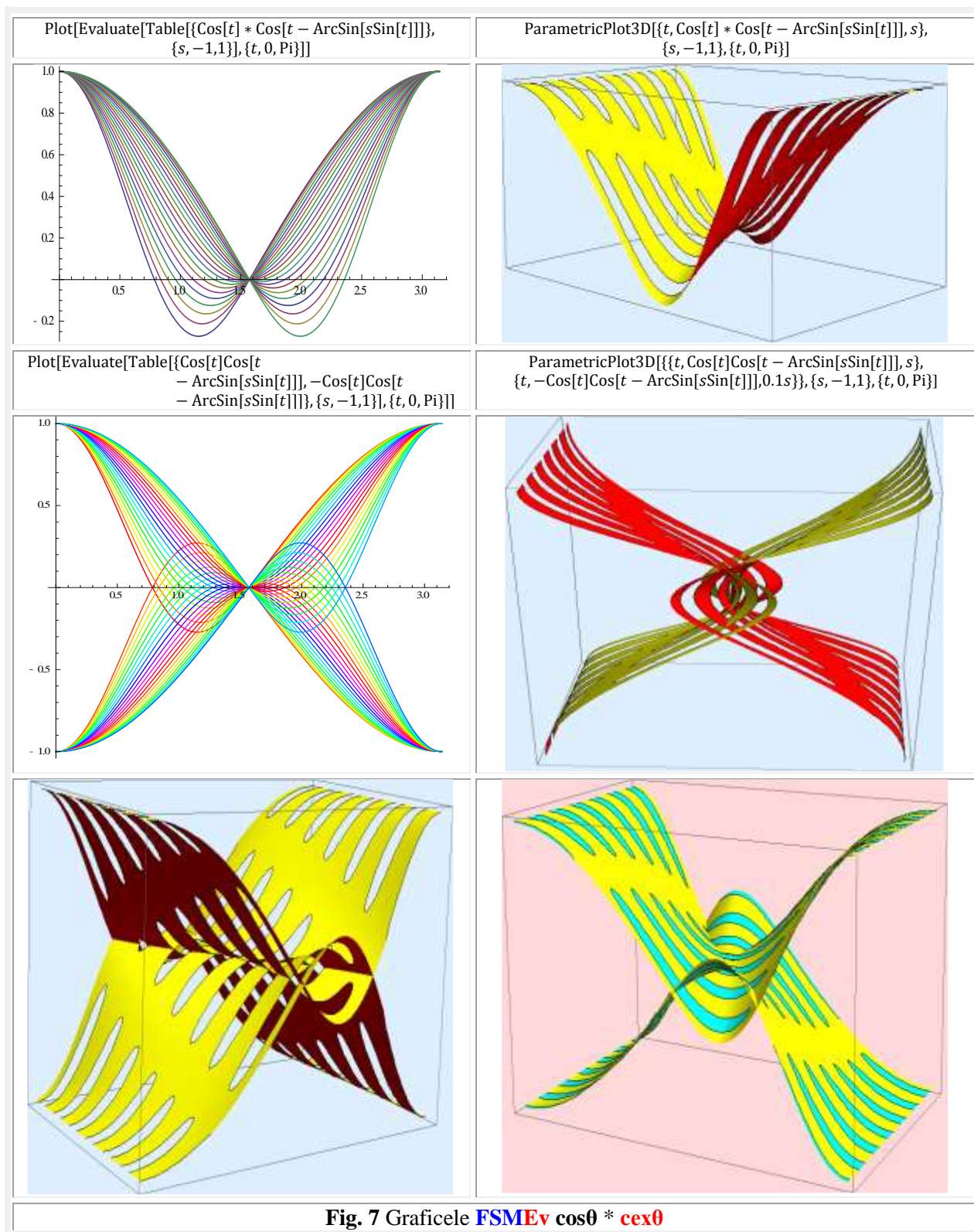


Fig. 7 Graficele **FSMEv** $\cos\theta$ * **cex** θ

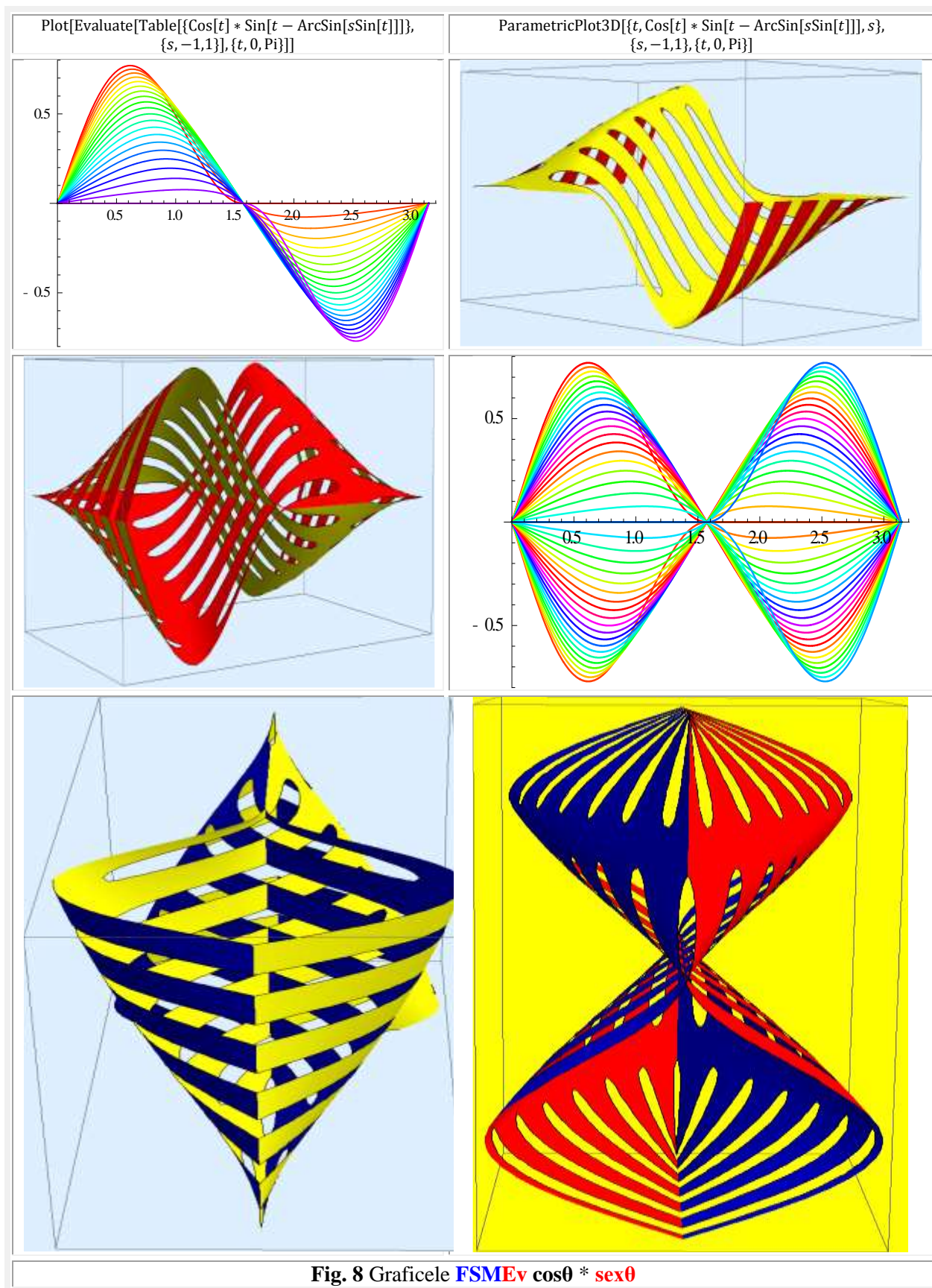


Fig. 8 Graficele $FSMEv \cos\theta * \text{sex}\theta$

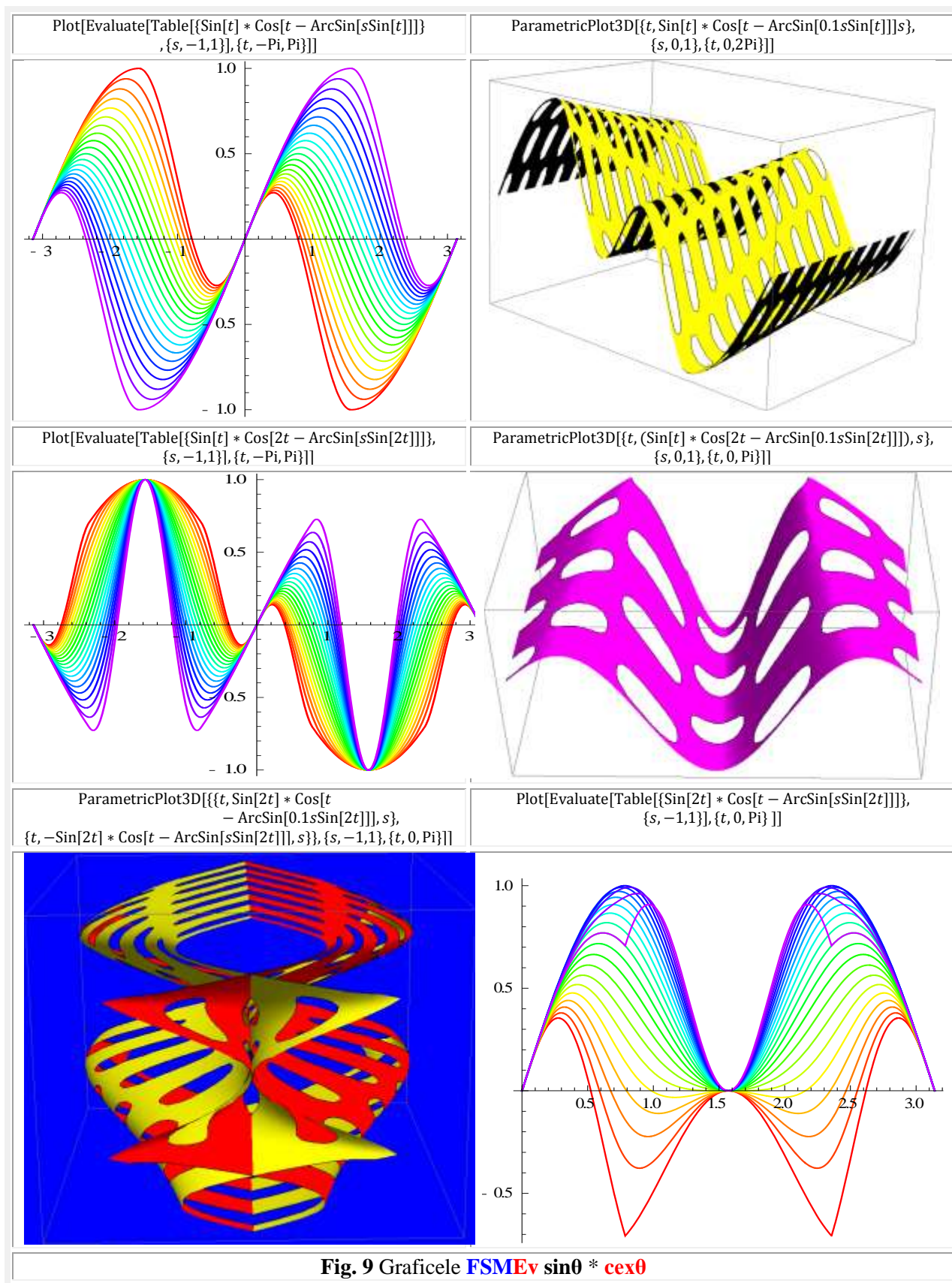
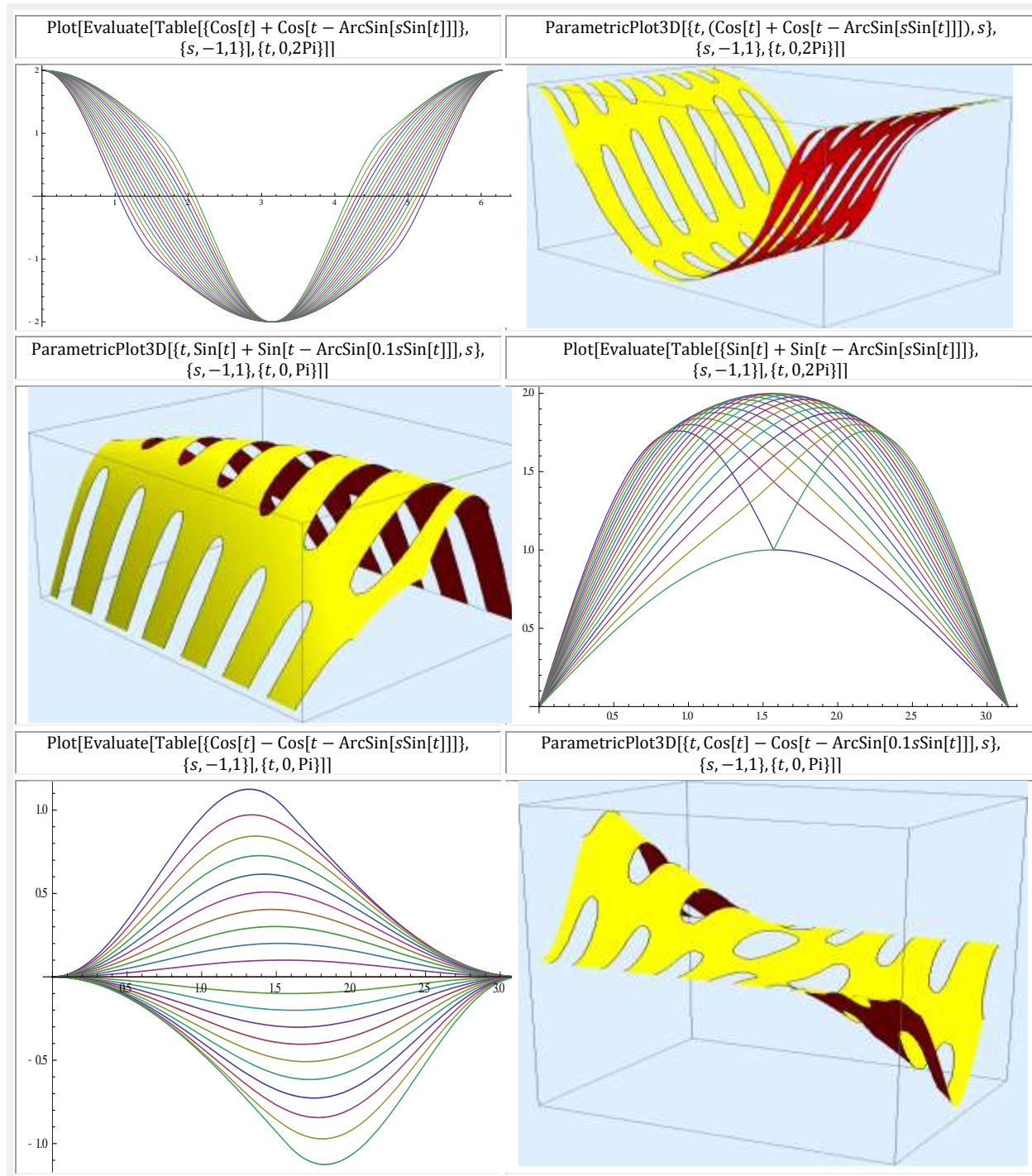


Fig. 9 Graficele $\text{FSMEv sin}\theta * \text{cex}\theta$

4. FUNCȚII SUPERMATEMATICE EVOLUTIVE (FSMEv)
CENTRICO ± EXCENTRICE : $\cos\theta + cex\theta, \sin\theta + sex\theta, \cos\theta - cex\theta, \sin\theta - sex\theta$

FSMEv centrico ± **excentrice**, în ordinea indicată anterior, sunt prezentate în figura **Fig. 10**. Analizând cu atenție reprezentările în **2D** și pe cele în **3D**, rezultă necesitatea reprezentărilor și în 3D, deoarece, familia de grafice ale celor reprezentate exclusiv în 2D pot să inducă în eroare, cu privire la forma și la evoluția funcțiilor în funcție de evoluția excentricității liniare numerice **s**.



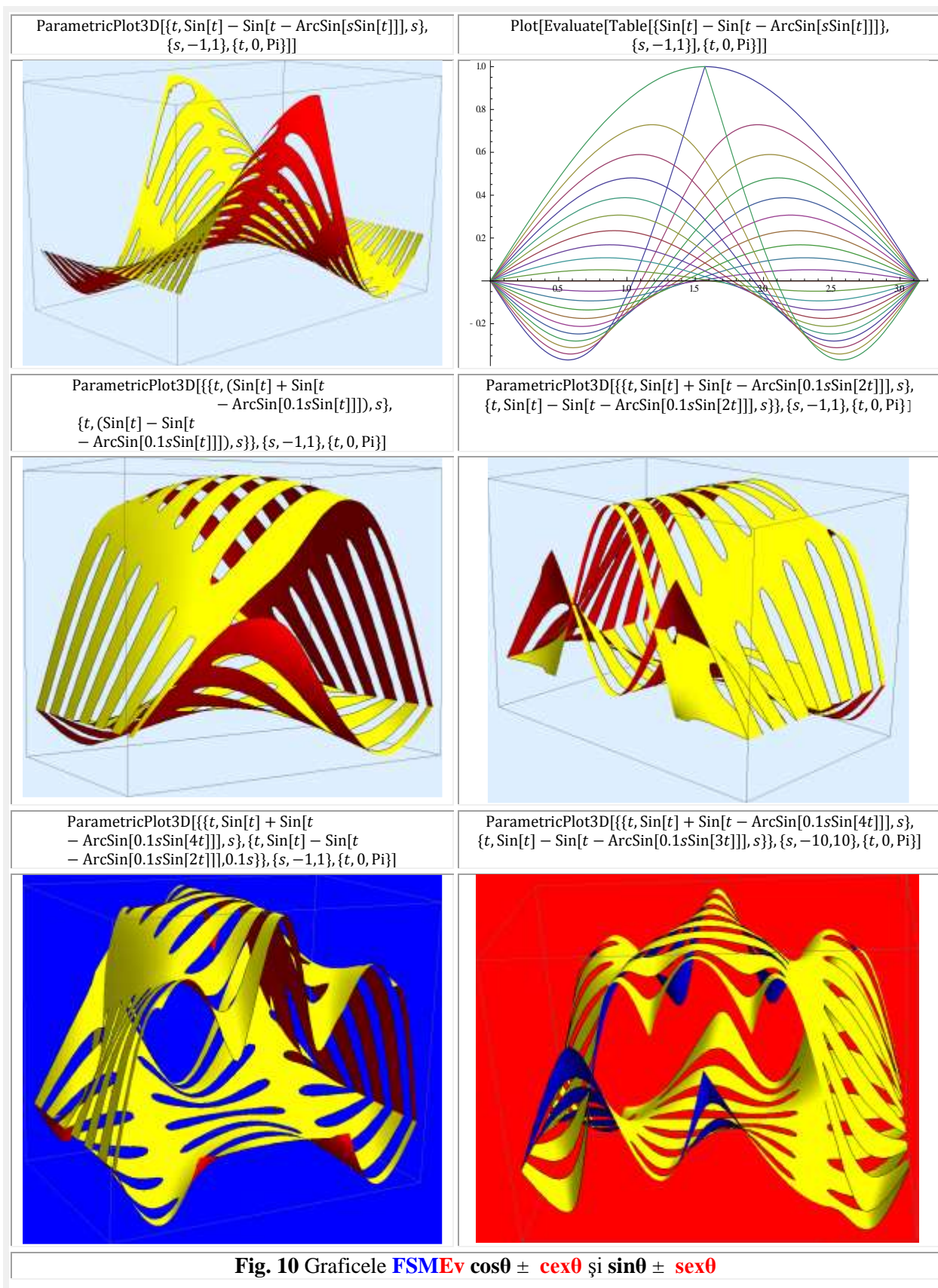
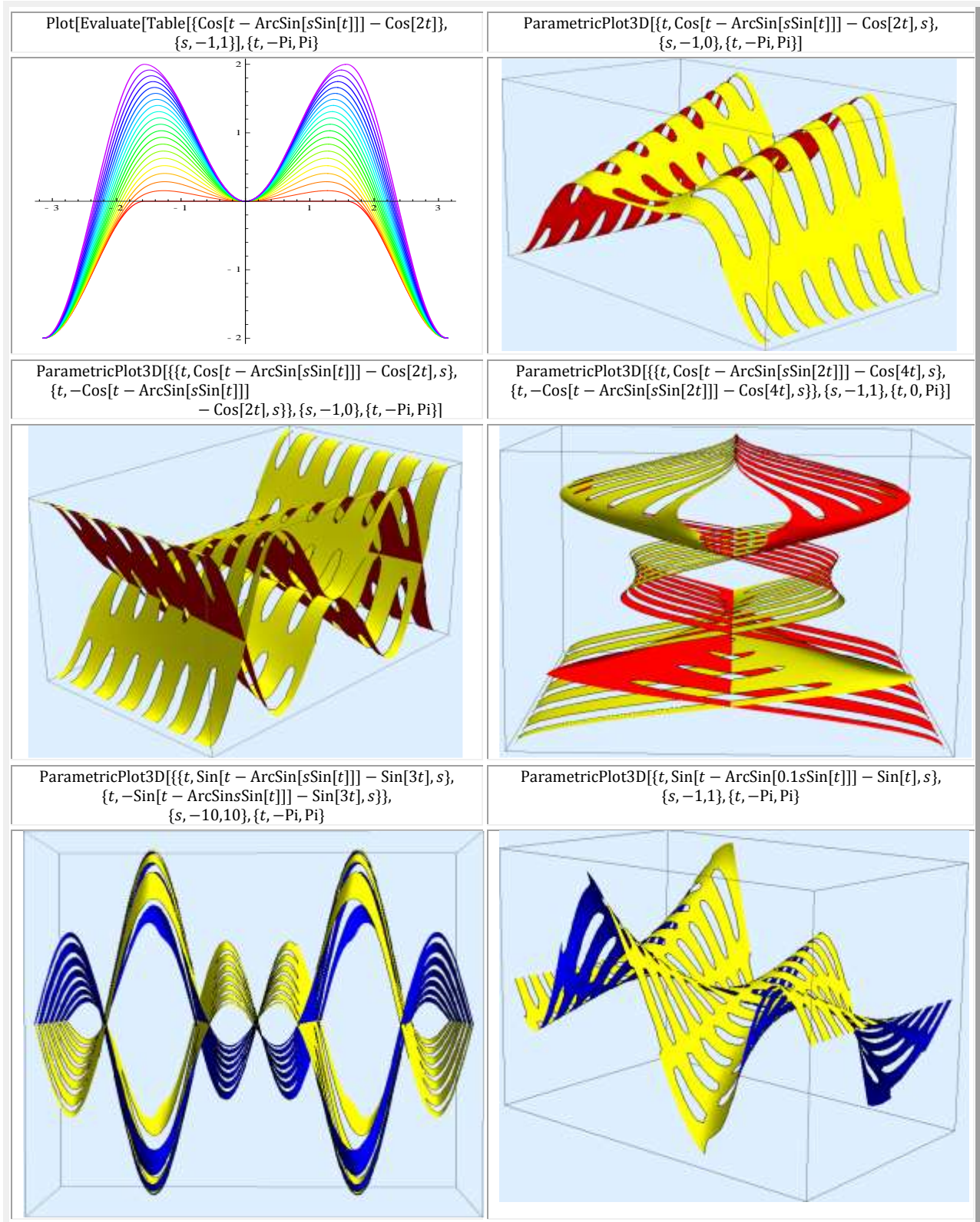
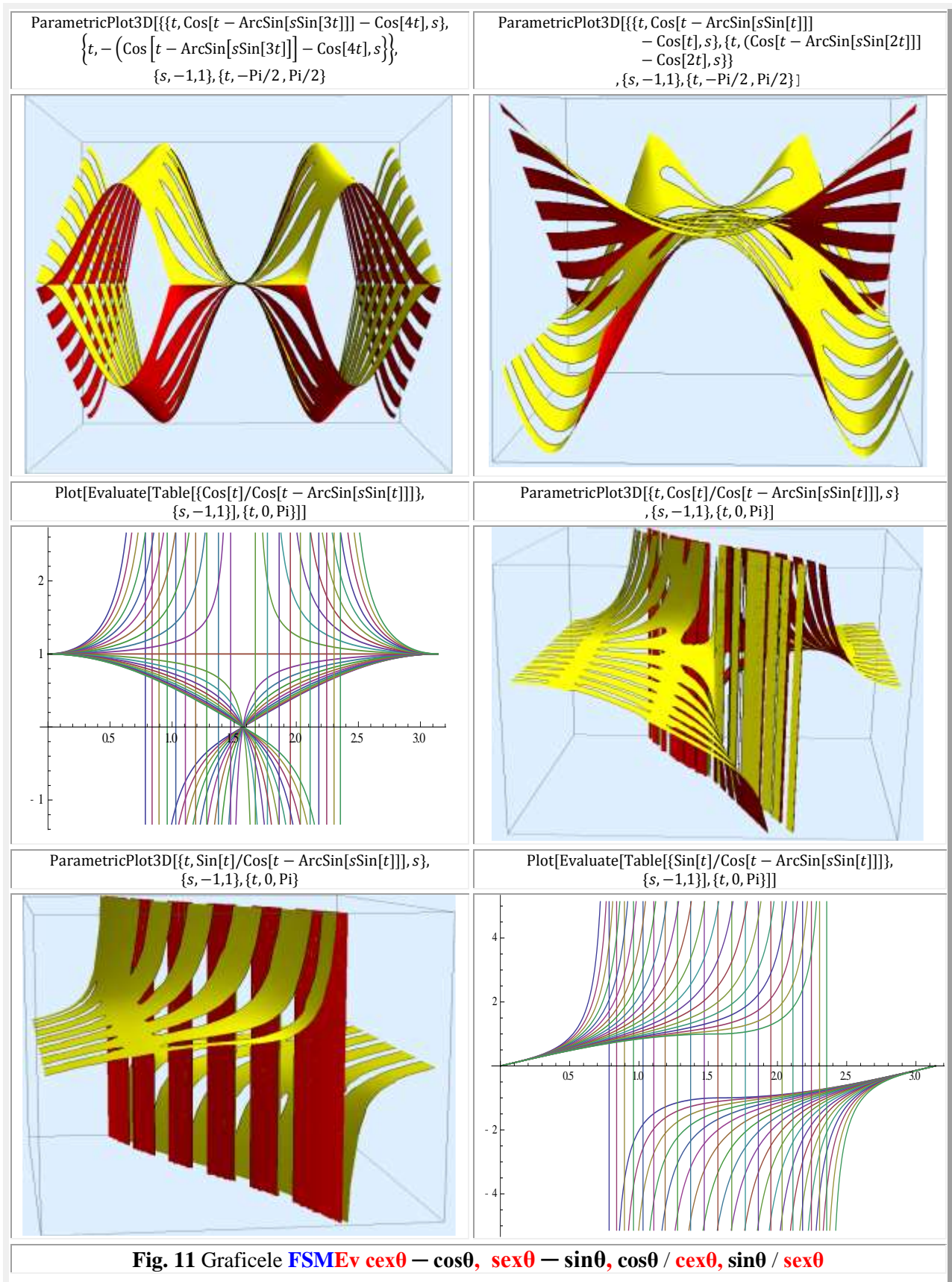


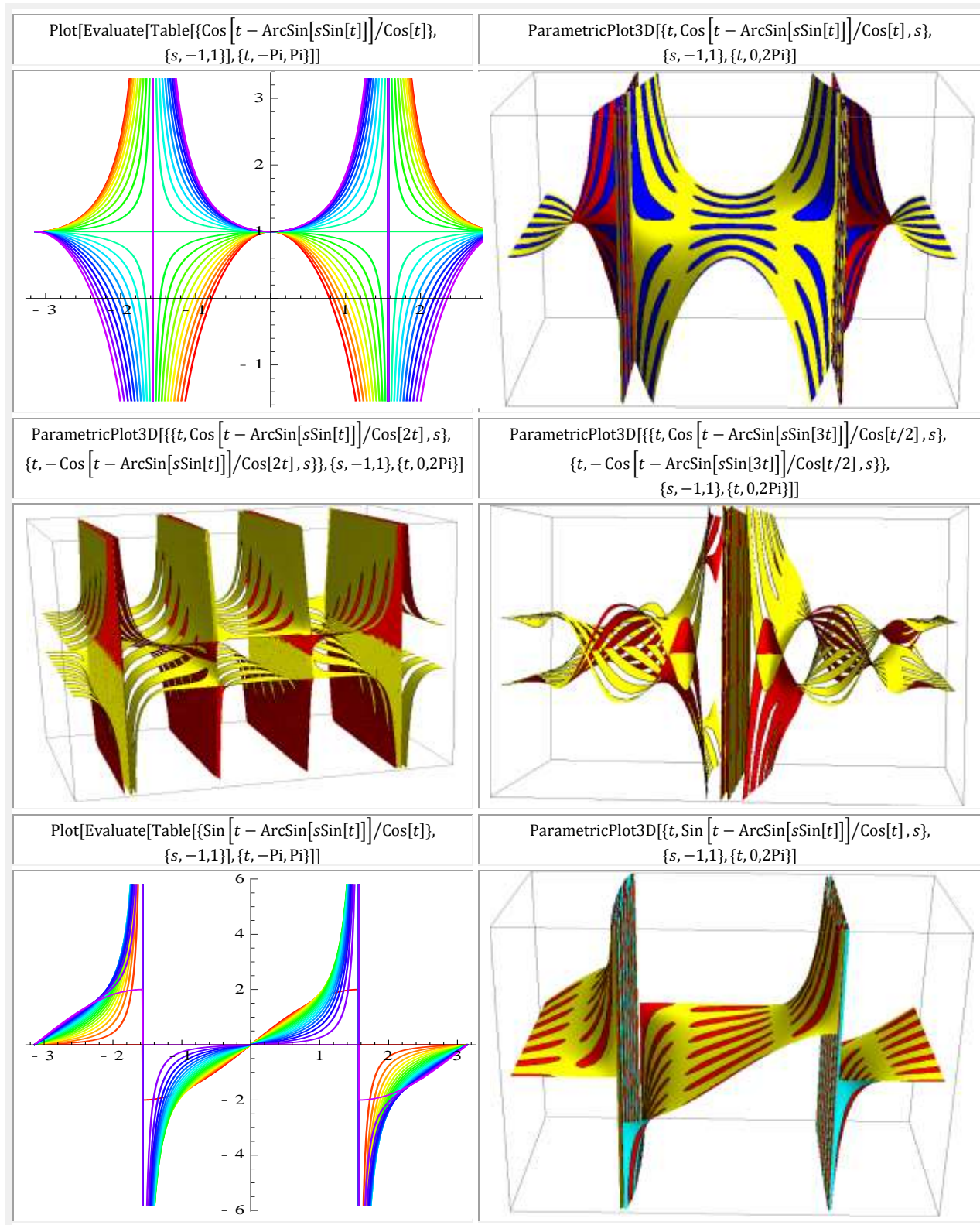
Fig. 10 Graficele $\text{FSMEv} \cos\theta \pm \text{cex}\theta$ și $\text{sin}\theta \pm \text{sex}\theta$

5. FUNCȚII SUPERMATEMATICE EVOLUTIVE (FSMEv)
CENTRICO ± EXCENTRICE : $cex\theta - \cos\theta$, $sex\theta - \sin\theta$, $\cos\theta / cex\theta$, $\sin\theta / sex\theta$

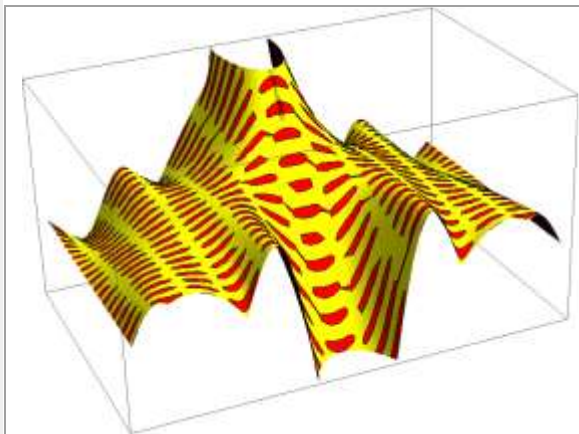




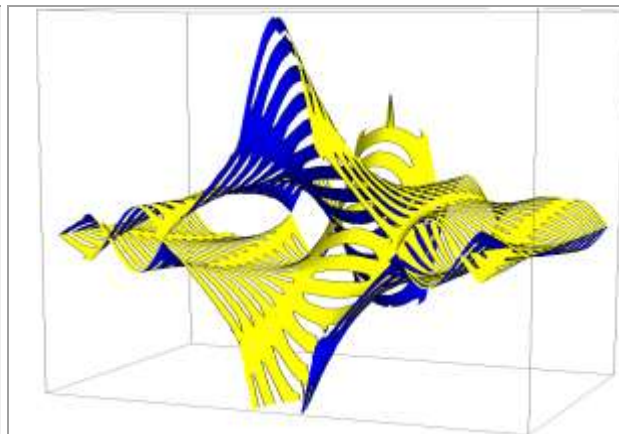
6. FUNCȚII SUPERMATEMATICE EVOLUTIVE (FSMEv)
CENTRICO / EXCENTRICE : cexθ / cosθ, sexθ / cosθ, sexθ / cosvθ, cexθ / cosvθ



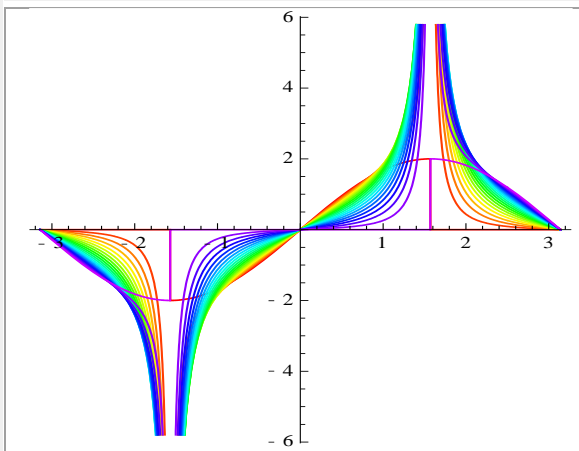
ParametricPlot3D[$\{t, \text{Sin}[t - \text{ArcSin}[s \text{Sin}[3t]]]/\text{Cos}[t/2], s\}, \{s, -1, 1\}, \{t, 0, 2\text{Pi}\}]$



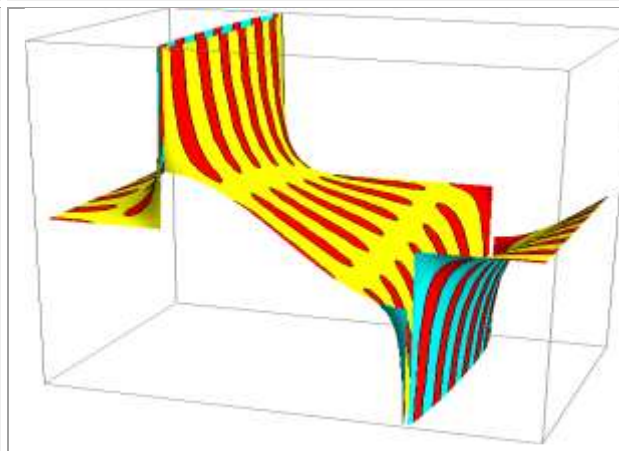
ParametricPlot3D[$\{\{t, \text{Sin}[t - \text{ArcSin}[s \text{Sin}[3t]]]/\text{Cos}[t/2], s\}, \{t, -\text{Sin}[t - \text{ArcSin}[s \text{Sin}[3t]]]/\text{Cos}[t/2], s\}, \{s, -1, 1\}, \{t, 0, 2\text{Pi}\}\}$



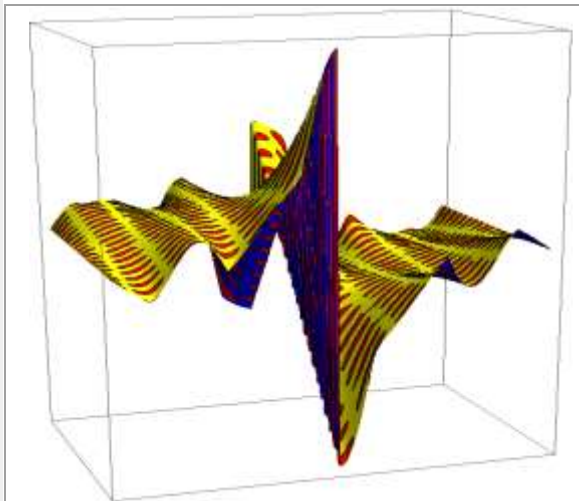
Plot[Evaluate[Table[$\{\text{Sin}[t - \text{ArcSin}[s \text{Sin}[t]]]/\text{Abs}[\text{Cos}[t]]\}, \{s, -1, 1\}], \{t, -\text{Pi}, \text{Pi}\}]$



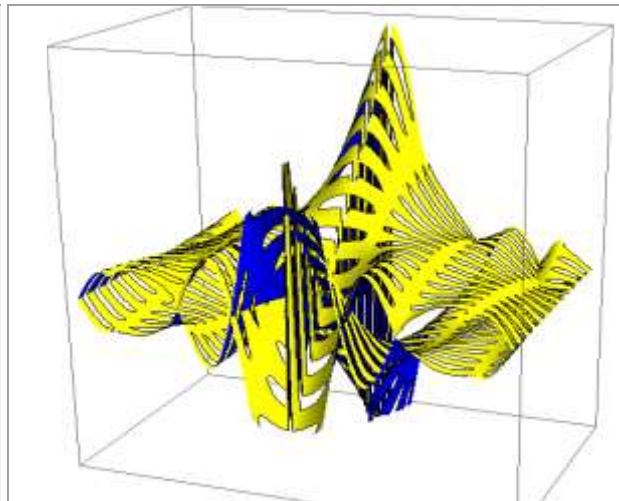
ParametricPlot3D[$\{t, \text{Sin}[t - \text{ArcSin}[s \text{Sin}[t]]]/\text{Abs}[\text{Cos}[t]], s\}, \{s, -1, 1\}, \{t, 0, 2\text{Pi}\}]$

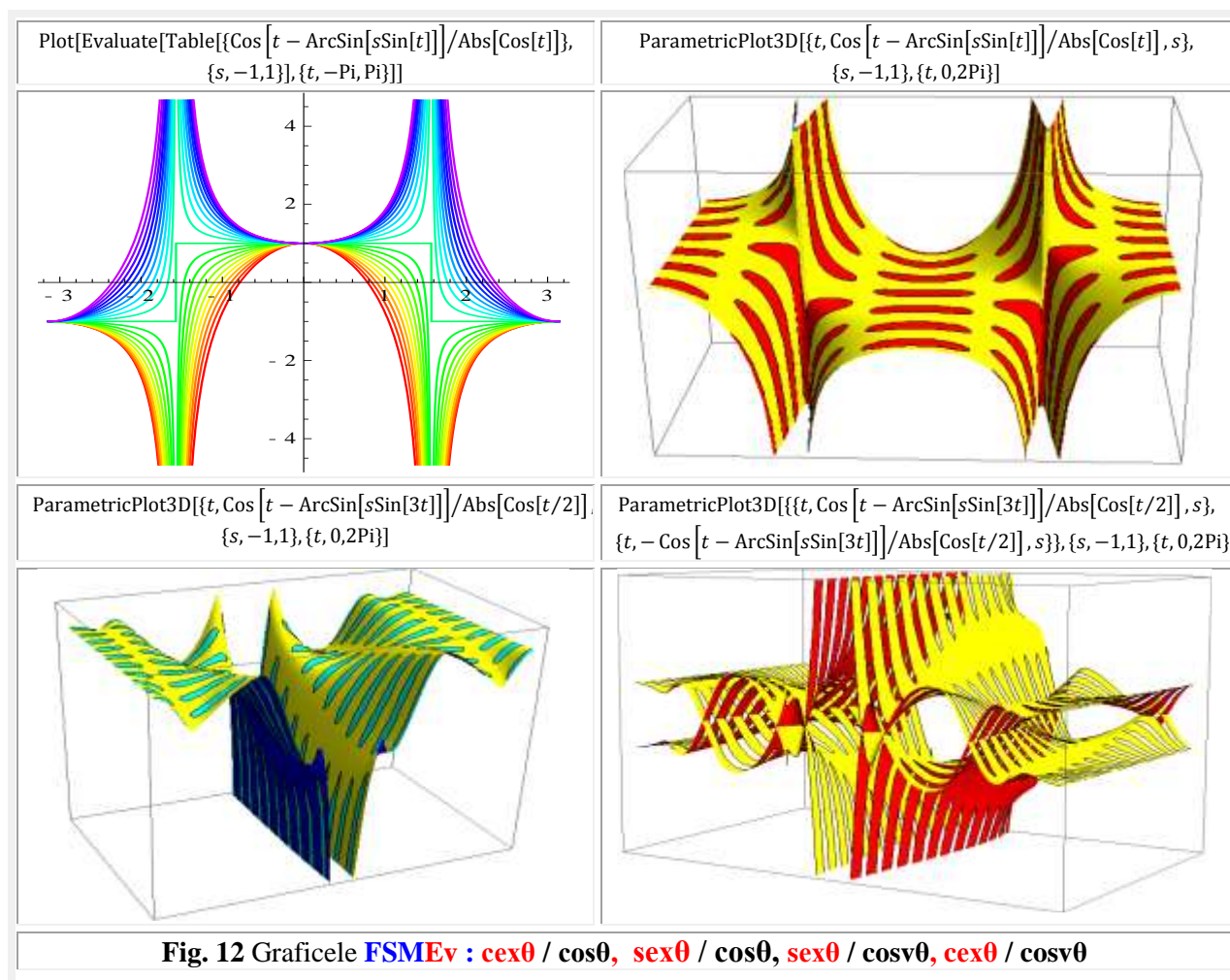


ParametricPlot3D[$\{t, \text{Sin}[t - \text{ArcSin}[s \text{Sin}[3t]]]/\text{Abs}[\text{Cos}[t/2]], s\}, \{s, -1, 1\}, \{t, 0, 2\text{Pi}\}]$



ParametricPlot3D[$\{\{t, \text{Sin}[t - \text{ArcSin}[s \text{Sin}[3t]]]/\text{Abs}[\text{Cos}[t/2]], s\}, \{t, -\text{Sin}[t - \text{ArcSin}[s \text{Sin}[3t]]]/\text{Abs}[\text{Cos}[t/2]], s\}, \{s, -1, 1\}, \{t, 0, 2\text{Pi}\}\}$





În **Cap. III** a fost prezentat un *crâmpci* din domeniul **FSMEv**, cu precădere cele mai arătoase, dintre cele mai puțin importante, dar mai cunoscute, urmând ca **FSMEv** de tipul $\text{bex}\theta \pm \text{Bex}\alpha$, $\text{bex}\theta * \text{Bex}\alpha$, $\text{bex}\theta / \text{Bex}\alpha$, $\text{Bex}\alpha / \text{bex}\theta$, și multe alte combinații posibile ale **FSM – CE** precum $\text{aex}\theta$ și $\text{Aex}\alpha$, $\text{dex}\theta$ și $\text{Dex}\alpha$, $\text{rex}\theta$ și $\text{Rex}\alpha$ ș.m.a. mai puțin cunoscute, *deocamdată*, să fie prezentate într-un **al IV-lea capitol**.

Și două domenii **elvat** și **exotic** încă n-au fost atinse, nicidecum combinațiile lor și ale celor patru domenii amintite.

În acest vast domeniu, există loc suficient și pentru contribuțiile cititorilor la dezvoltarea acestui nou și extrem de interesant domeniu. Domeniu în care aplicațiile lor nu se vor lăsa așteptate o perioadă prea îndelungată.

Încheiem cu speranța că această **al III-lea capitol** care, împreună cu cele următoare și cu cele 80 de articole publicate *cândva* pe www.cartiAZ.ro, acum acolo dispărute, să stea la baza celui de-al **III-lea** volum al autorului, pe lângă celelalte două volume deja apărute și premiate ale **SUPERMATEMATICII**.

Motto:” Cea mai infidelă amantă a omului este **Speranța**
 Te înșală zilnic și totuși, traiești cu ea toată viața. – **Necunoscut** ”
 Diseminarea **SUPERMATEMATICII** ?... dar trăim cu **Speranța**.
 Greu nu e să ai dreptate, greu e să convingi pe alții. **Grigore C. Moisil**.

CAPITOLUL IV

FUNCȚII SM REPREZENTÂND SEMNALE LINIARE FRÂNTE

1. INTRODUCERE

Semnalele sunt variații ale unor mărimi fizice care transportă sau conțin informații. Din punct de vedere fizic, ele pot fi de diferite tipuri: *electrice, electromagnetice, acustice, optice, termice, chimice* ș.a. și sunt produse *efectiv* de către un **generator de funcții** și *virtual* de un program de matematică computațional.

Generatorul de funcții este un dispozitiv / aparat ce poate să furnizeze cel puțin trei funcții sau forme de undă de bază: **sinusoidală, dreptunghiulară și triunghiulară** (Fig. 1 ▲) din *matematica centrică* (MC).

Plecând de la aceste funcții de bază, generatoarele mai perfecționate sunt capabile să furnizeze și alte funcții (semnale): rampe liniare, rampe în trepte, trapez, semnale dreptunghiulare cu factor de umplere variabil (Fig. 1 ▼) sau chiar și semnale de zgomot.

Este cunoscut că punctul și dreapta sunt entități și noțiuni elementare, ce nu pot fi definite în matematică. Dar numai *dreapta este o figură fundamentală* din geometria și din *matematica centrică* (MC), tot așa cum *strâmba este o figură fundamentală în supermatematică*; dreapta fiind o *strâmbă* (Fig. 2,a; Fig. 2,b și Fig. III. 2,c) de **excentricitate nulă** ($e = s = 0$).

De fapt, după declarația matematicianului Acad. **Solomon Marcus**, nici *matematica (centrică)* nu poate fi riguros definită. În consecință, *supermatematica (SM)* poate fi definită ca o **extensie nemărginită, măreață și utilă** (și prin semnale) a ceea ce nu poate fi definit, adică a *matematicii ordinare, centrice* (MC).

Punctul este singura entitate de dimensiune nulă, astfel că el este același, ca formă sau, mai precis, fără ea, în ambele matematici: **centrică** și **excentrică**, întrucât, el neavând “*figură*”, nu-și poate modifica forma prin modificarea valorii **excentricității** (reală **e** sau **numerică s**) care este dimensiunea de **formare** și de **deformare a spațiului**.

La întrebarea pusă de **Fourier**, într-o discuție cu **Monge**, în 1795 și relatată de **Jeremy Gray** în “**IDEI DESPRE SPAȚIU**”: “*Ce are drept o linie dreaptă ?* “ acum se poate răspunde cu certitudine: **excentricitatea nulă**.

Dacă **A. G. Köstner** afirma la 2 august 1789 “*Nu există o definiție clară a dreptei*“, acum se poate afirma cu claritate că **dreapta este o strâmbă de excentricitate nulă**.

„**Dreapta**, în matematică, este linia ce poate fi definită ca având doar o dimensiune: lungimea.

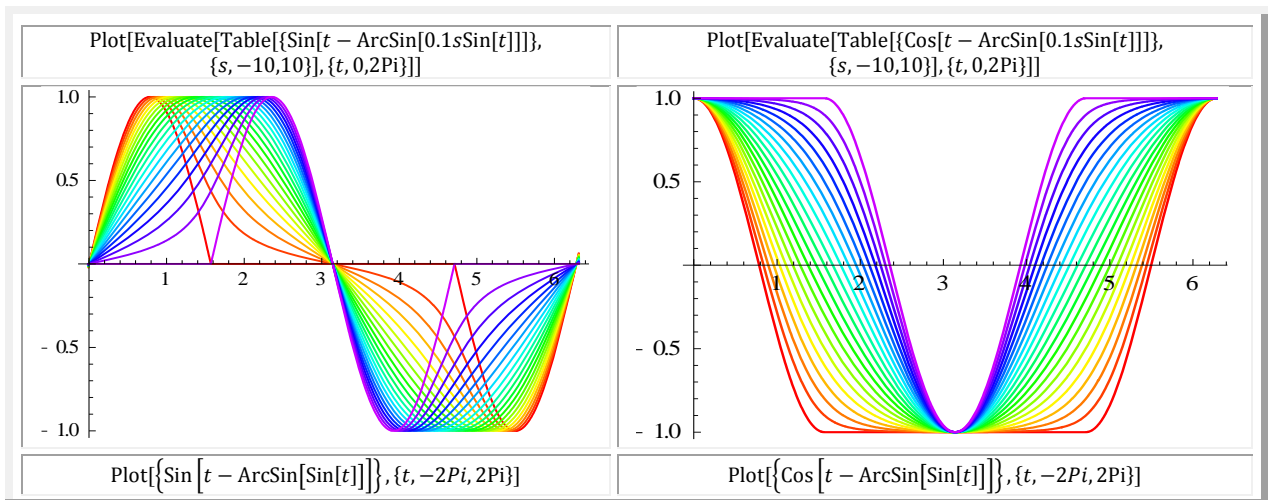
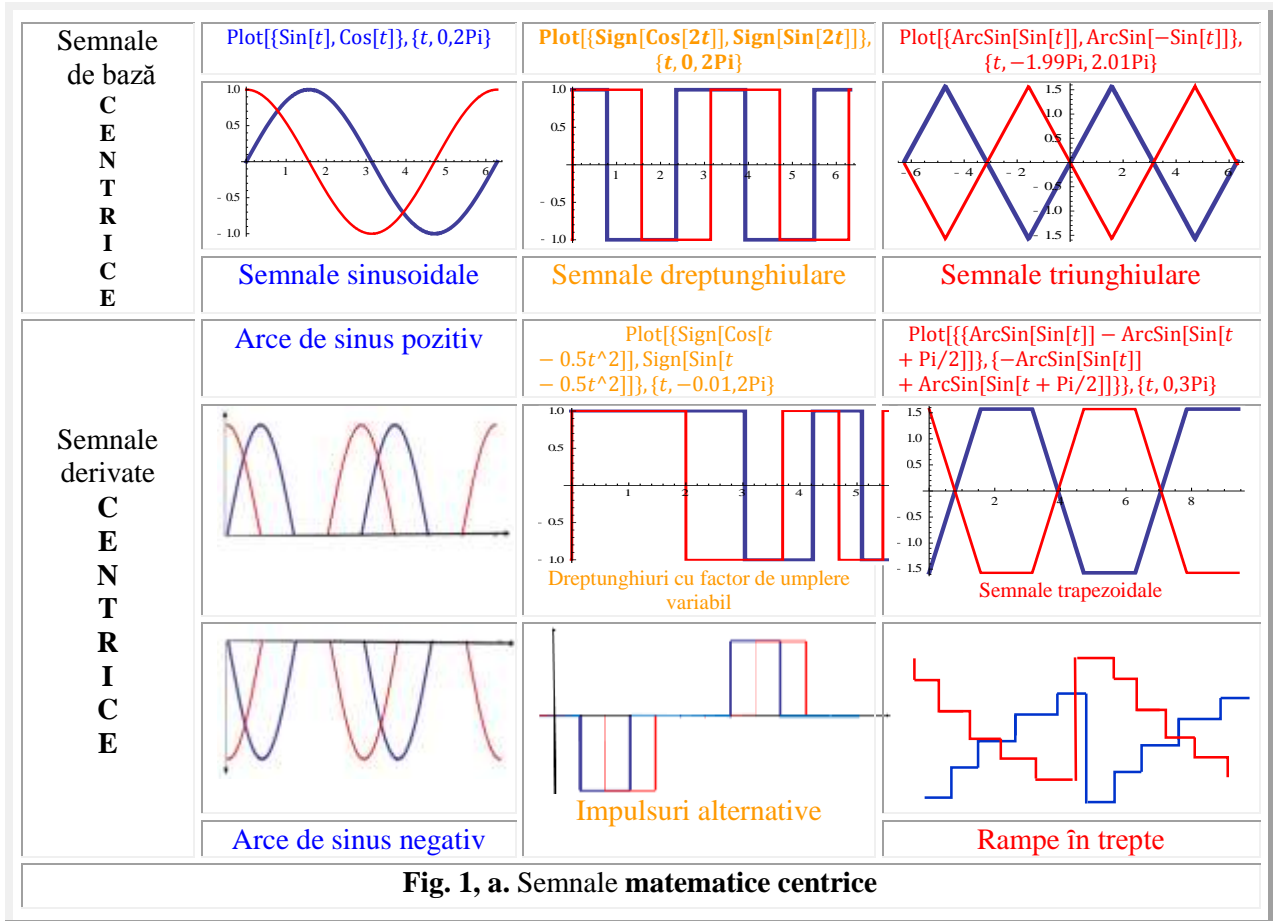
Orice dreaptă este de **lungime** infinită, conține o infinitate de **puncte**, este de grosime **zero** și este o curbă perfect “dreaptă” (și **continuă**, adăugăm noi, deoarece linia frântă este formată tot din segmente de linii drepte, dar este o **strâmbă** de $s = \pm 1$).

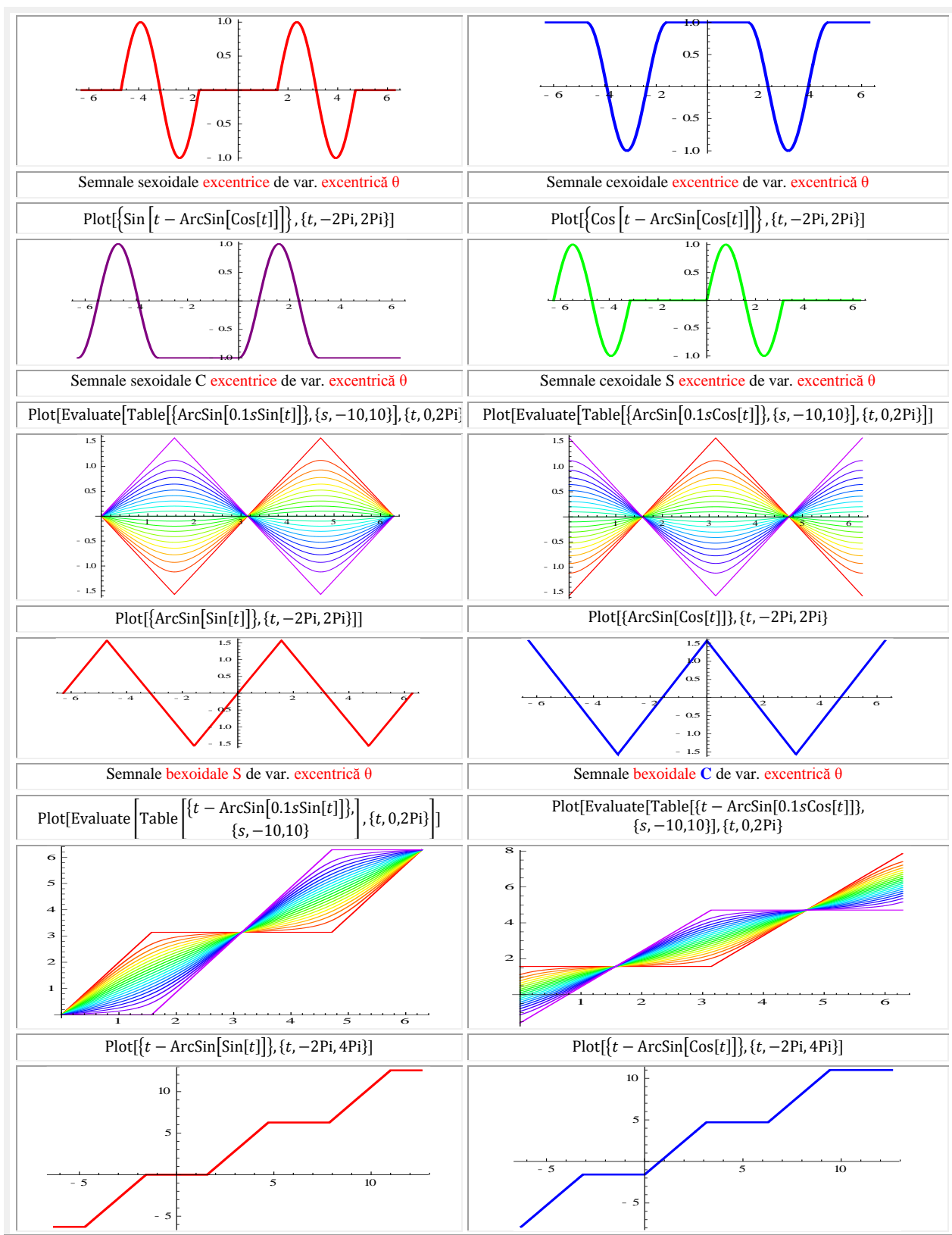
În *geometria euclidiană*, pentru două puncte fixe există o dreaptă și numai una ce trece prin amândouă. Folosind metrica standard, linia dreaptă reprezintă drumul cel mai scurt dintre două puncte.”([https://ro.wikipedia.org/wiki/Dreapt%C4%83_\(geometrie\)](https://ro.wikipedia.org/wiki/Dreapt%C4%83_(geometrie))).

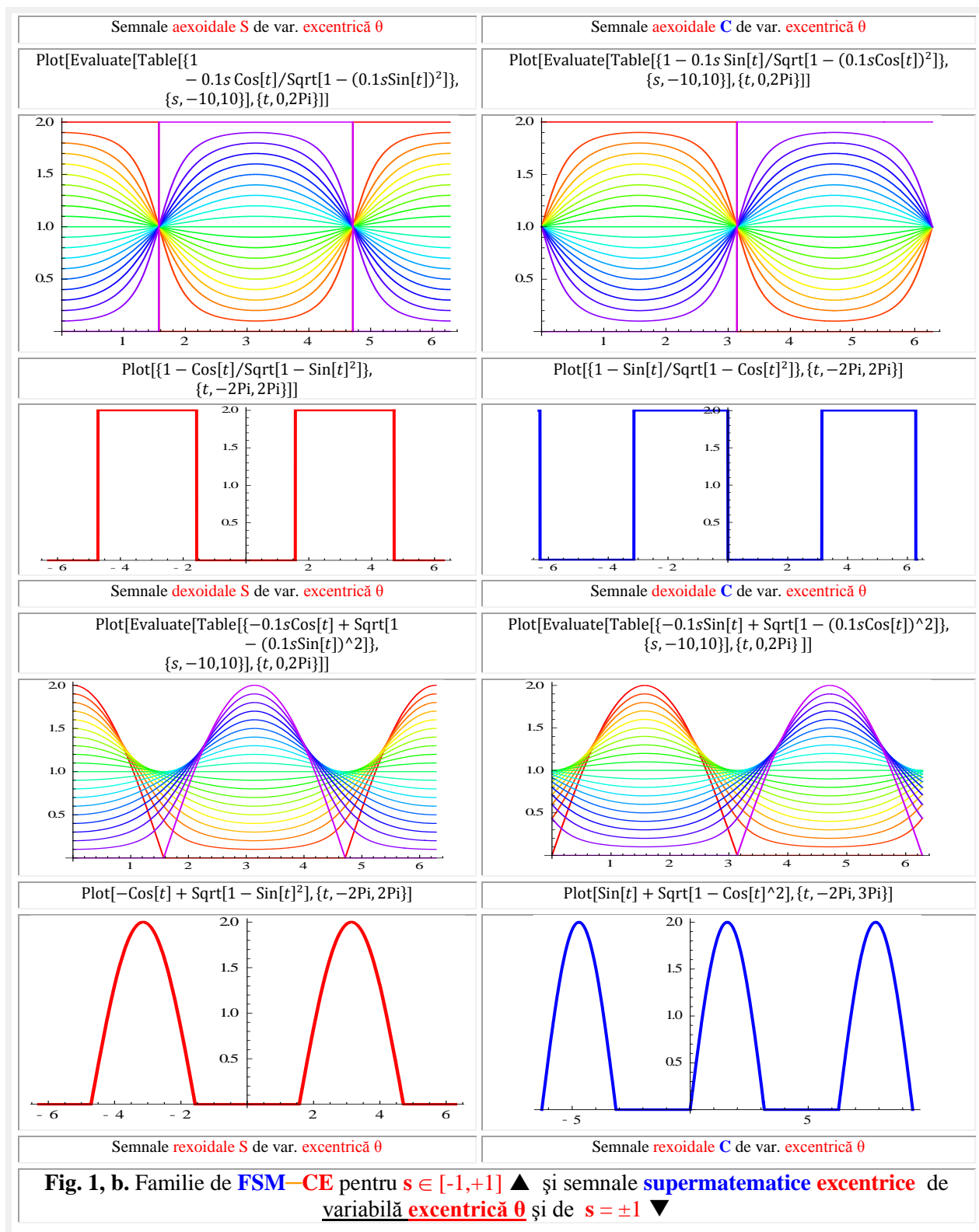
Nu numai dreapta are o singură dimensiune, ci toate curbele plane și spațiale, ca urmare și **strâmbele**. Orice strâmbă este de **lungime** infinită, conține o infinitate de **puncte**, este de grosime **zero** și

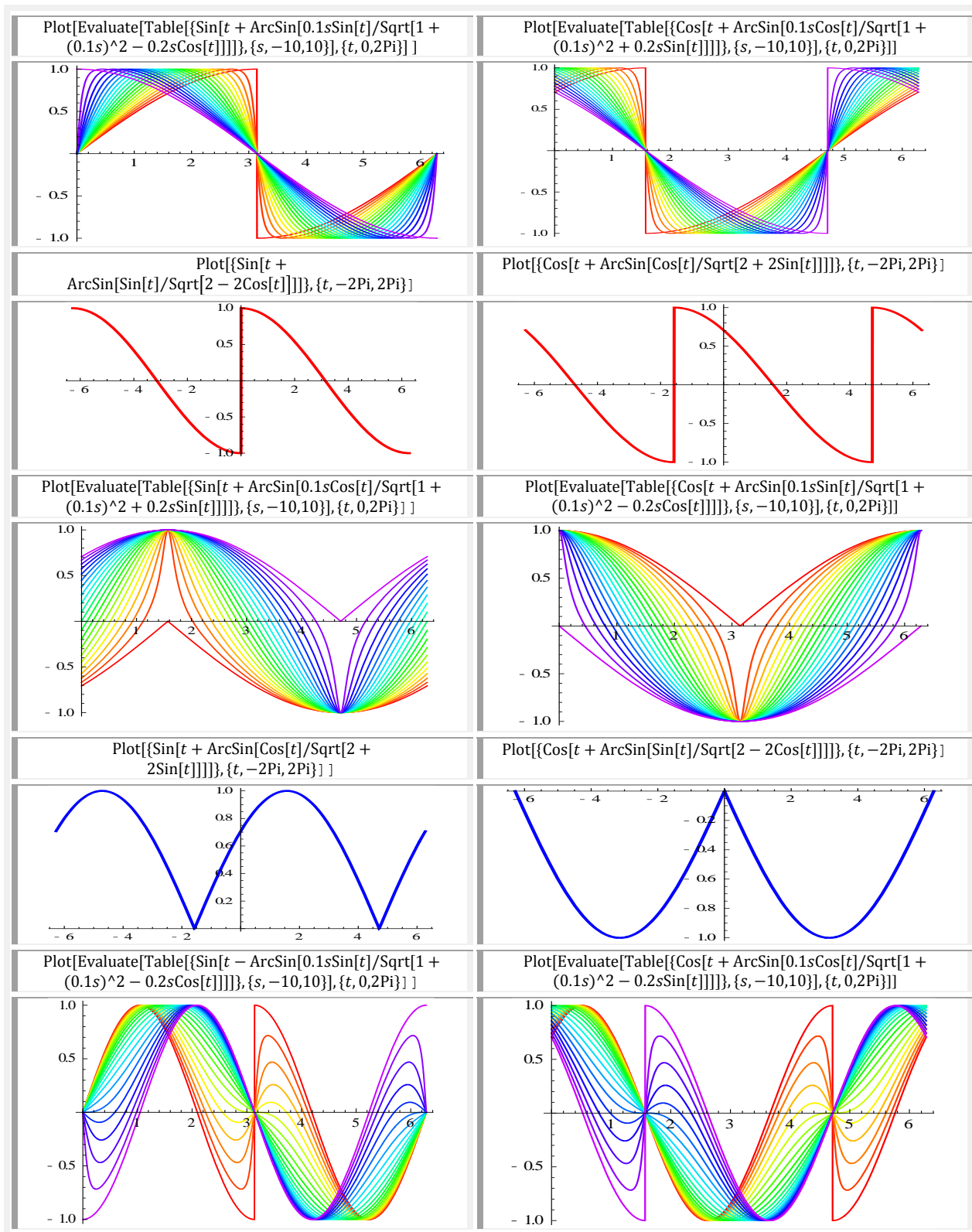
este o curbă de la perfect "dreaptă și continuă", pentru $e = s = 0$, până la „perfect liniară / dreaptă cu linii drepte frânte, sau linii în trepte”, pentru $s = \pm 1$ și linii curbe frânte pentru $-1 < s < +1$.

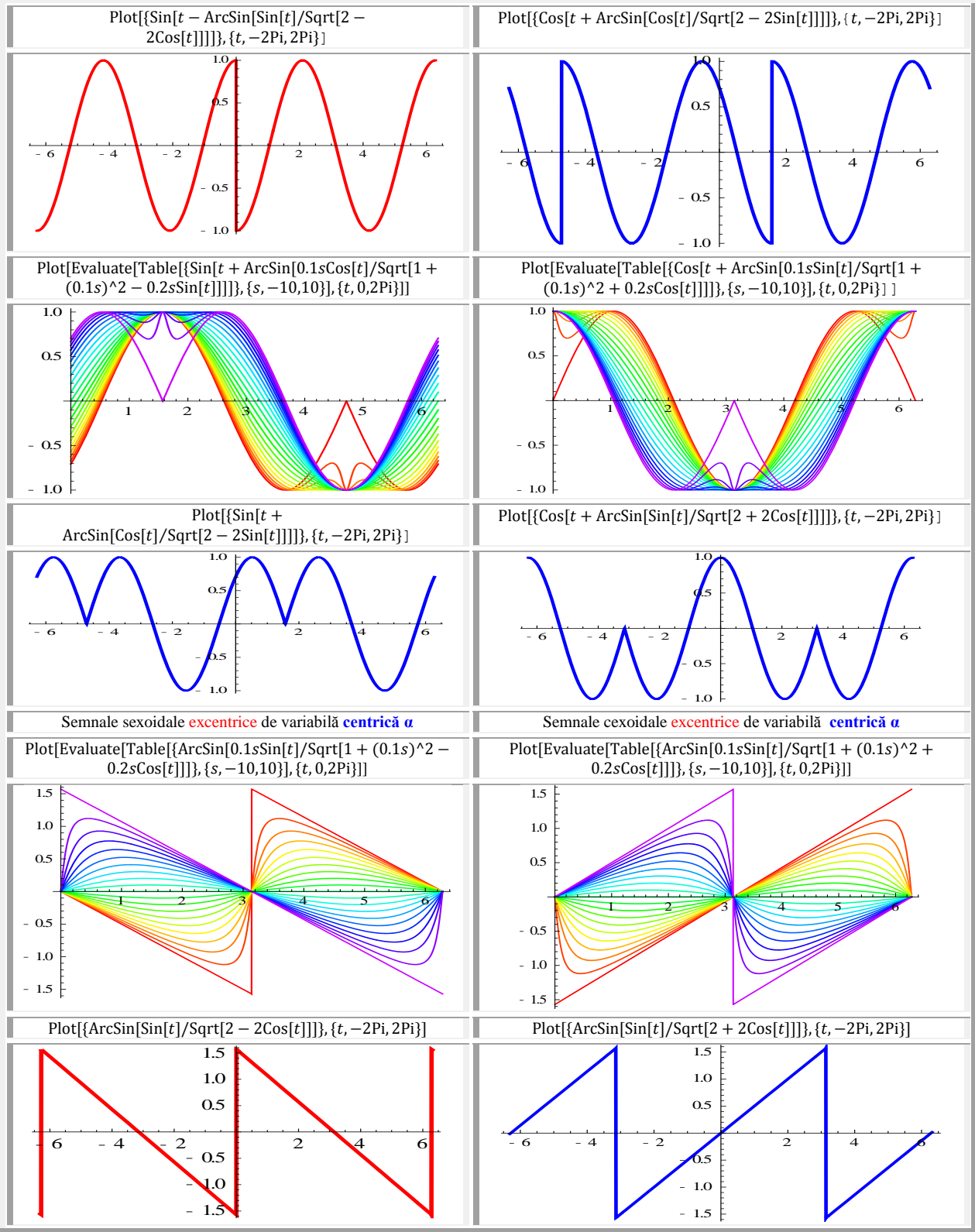
În **geometria supermatematică**, prin **anumite** două puncte trec o infinitate de **strâmbe** și numai o **dreaptă continuă** și două linii frânte ale căror puncte pe direcția y sunt simetrice față de dreapta unică.

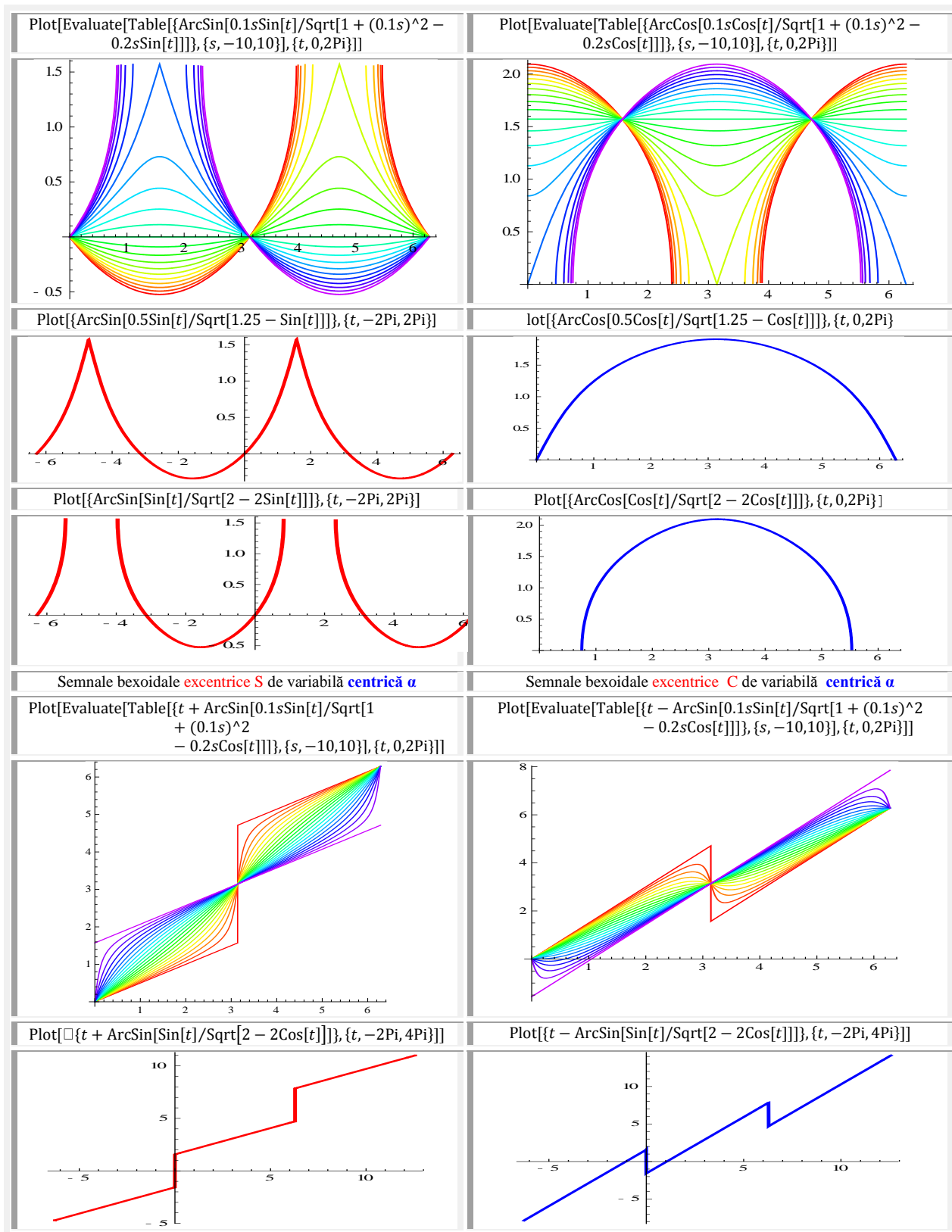


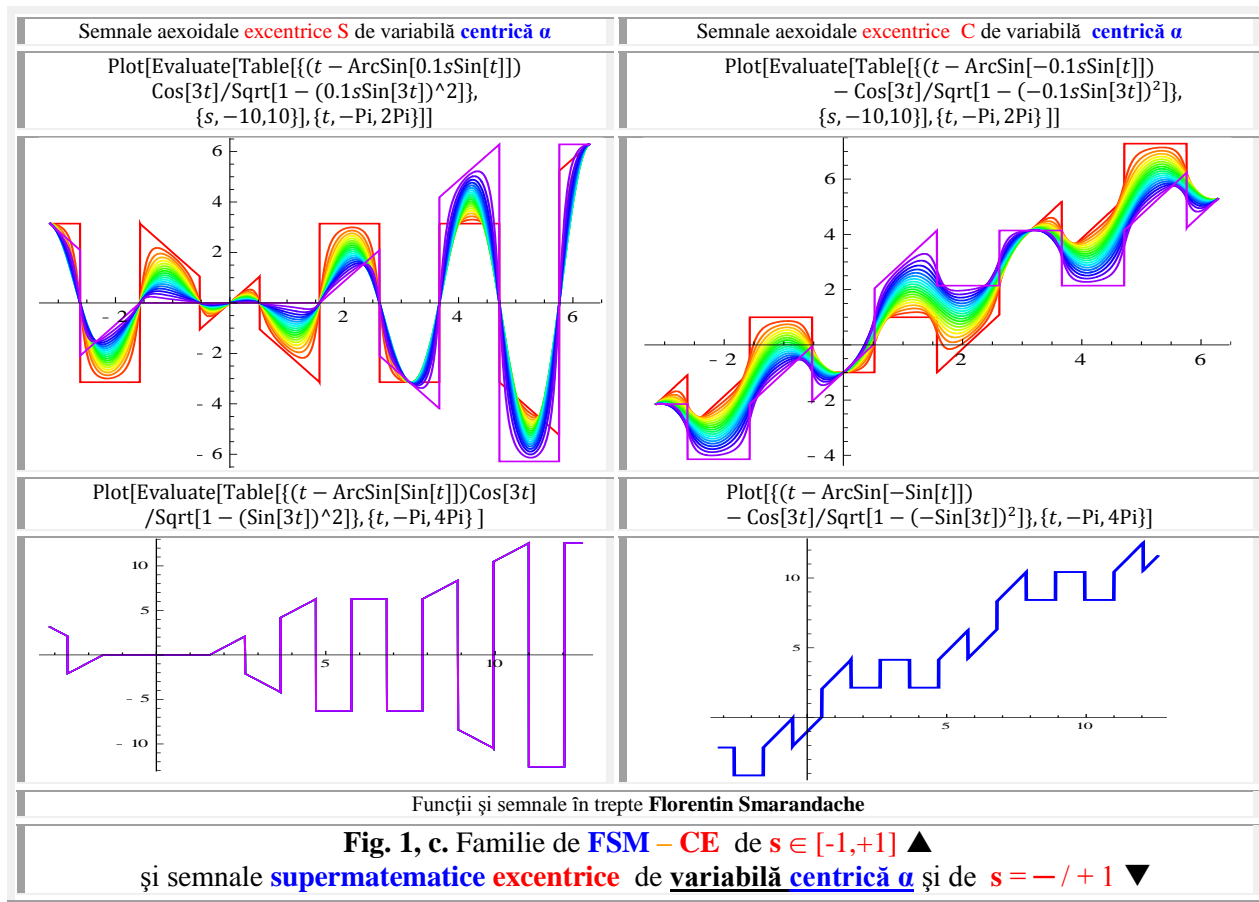




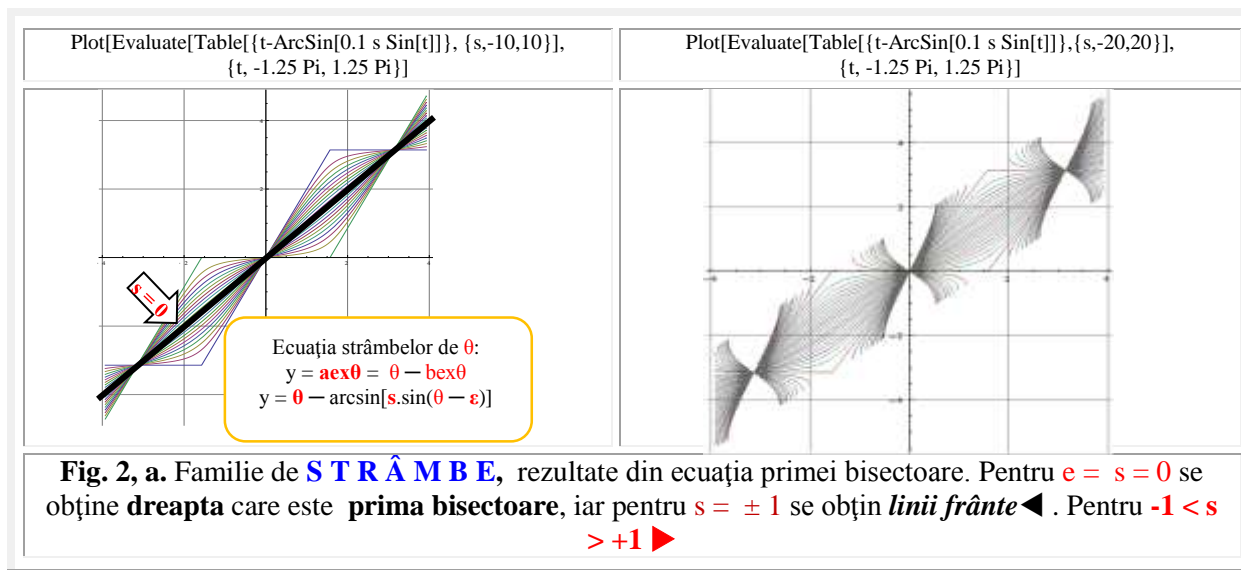


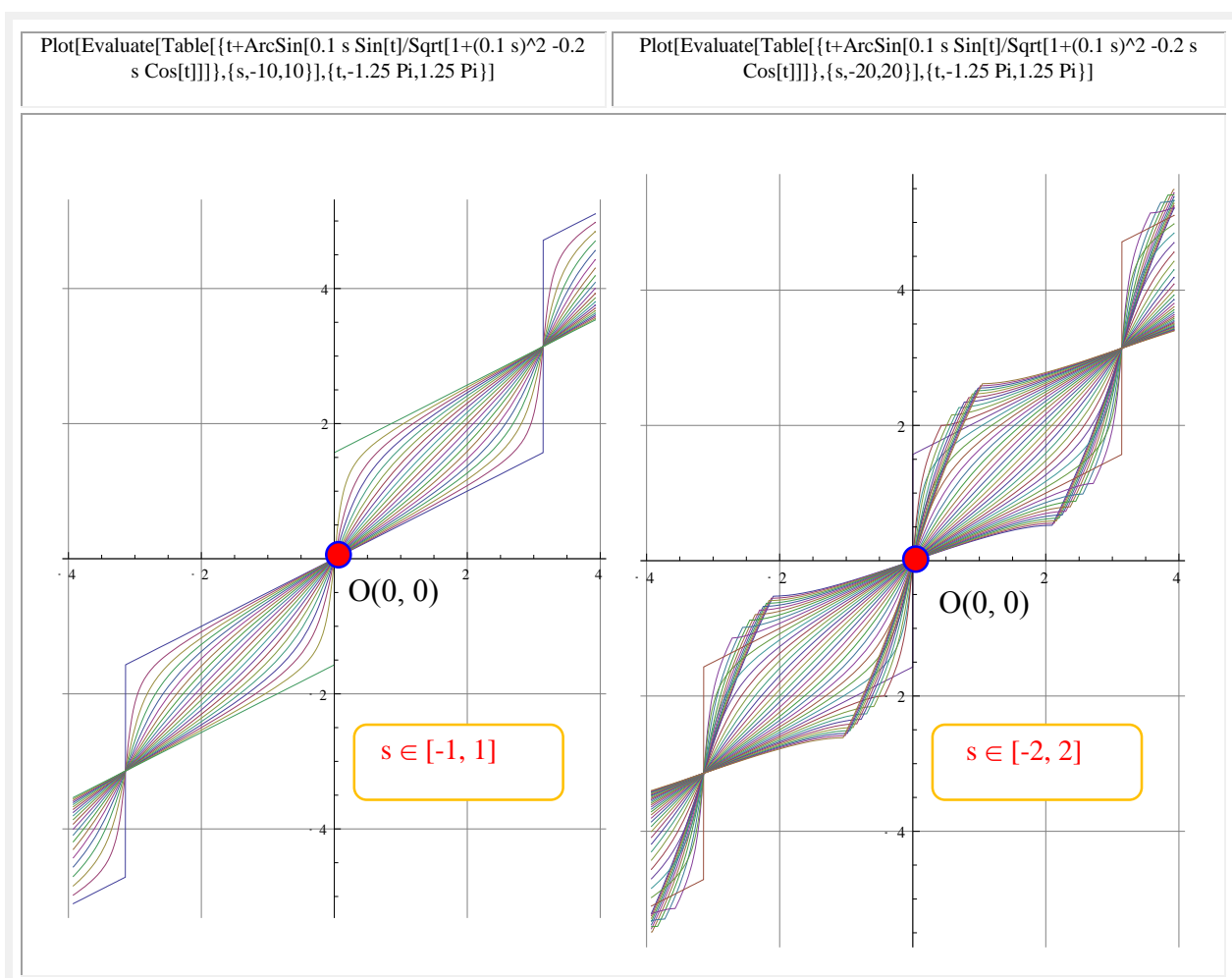
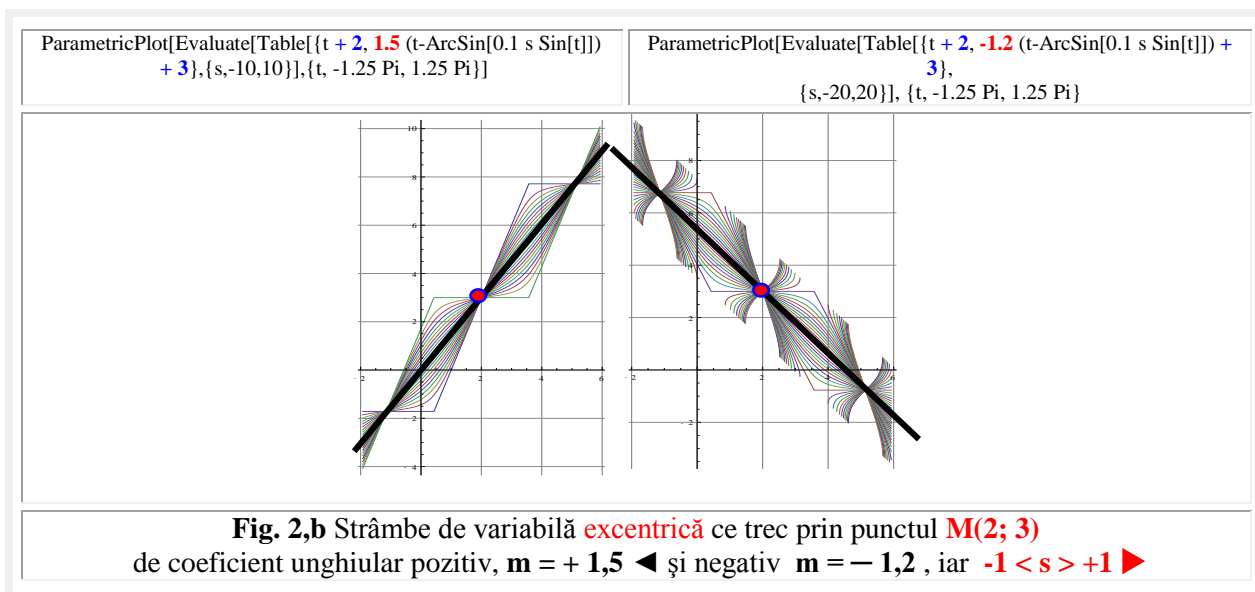


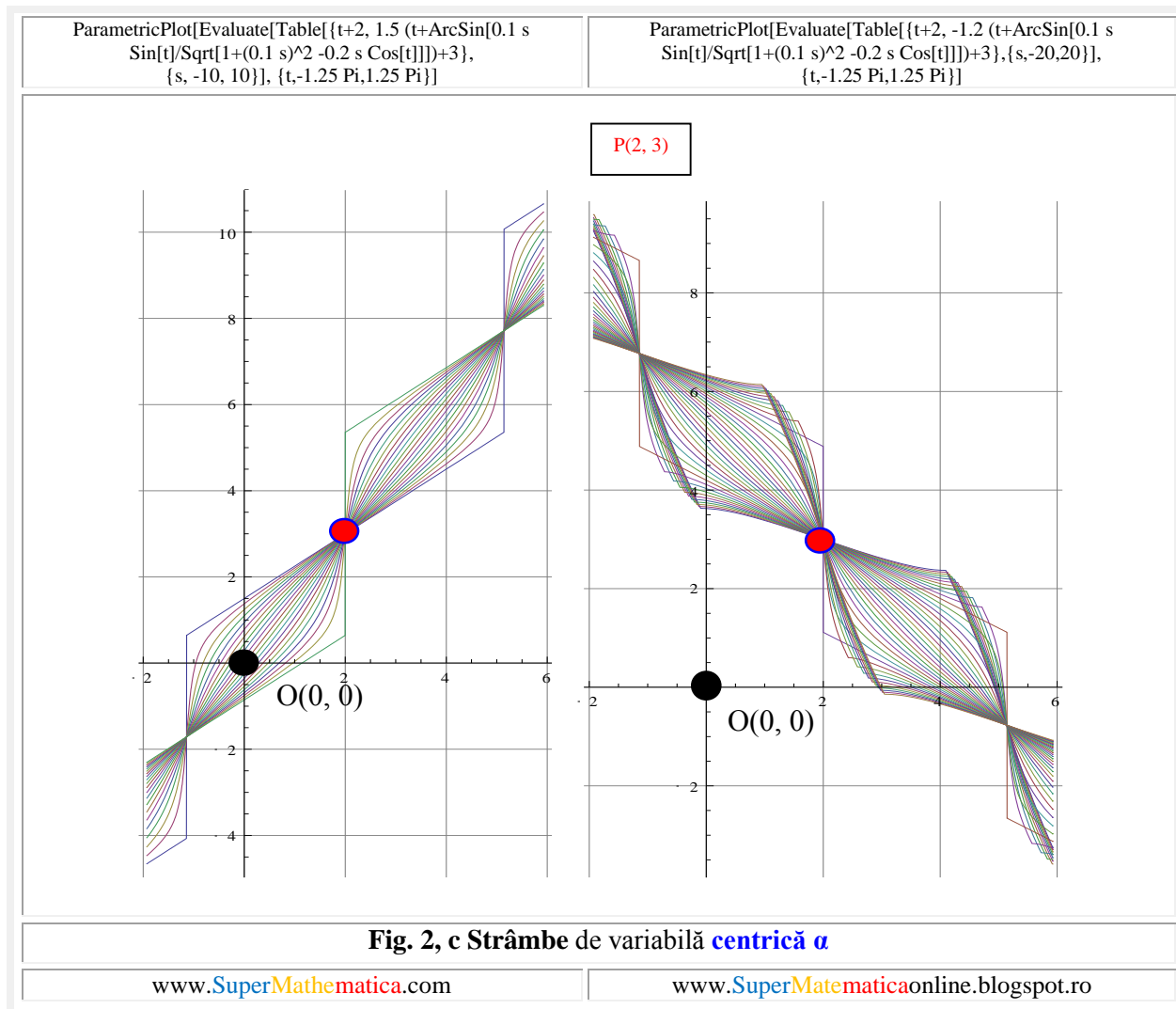




2 STRÂMBELE, FIGURI FUNDAMENTALE ALE S. M.







2. FUNCŢIA DE GRADUL 1 : FUNCŢIA LINIARĂ ŞI FUNCŢIA AFINĂ

Funcția de gradul 1 (funcția liniară și funcția afină) este o funcție definită pe mulțimea numerelor reale \mathbf{R} (sau pe submulțimi sau intervale ale acesteia), cu valori reale, $f : \mathbf{R} \rightarrow \mathbf{R}$, definită prin:

$$(1) \quad y = f(x) = mx + b,$$

în care, $m = \operatorname{tg} \alpha \equiv \tan \alpha \in \mathbf{R}$ este **panta** dreptei și $b \in \mathbf{R}$ este **ordonata la origine**, $m \neq 0$.

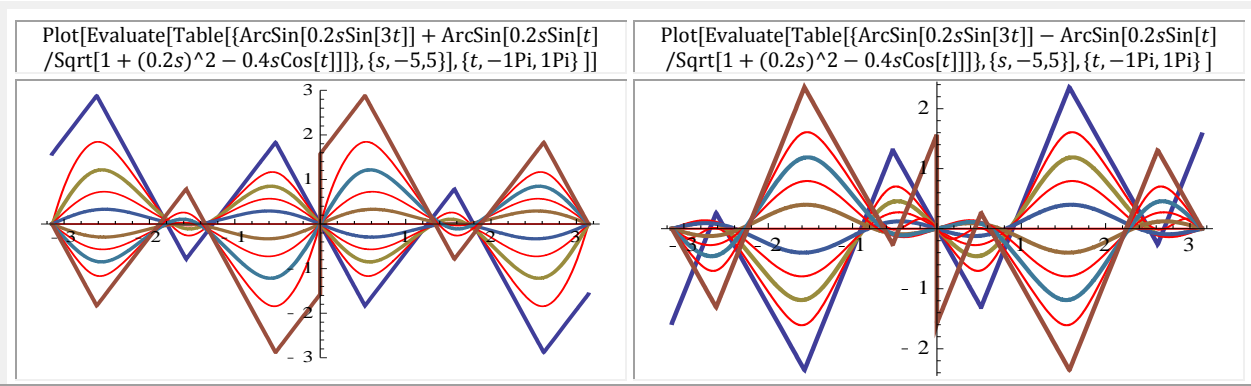
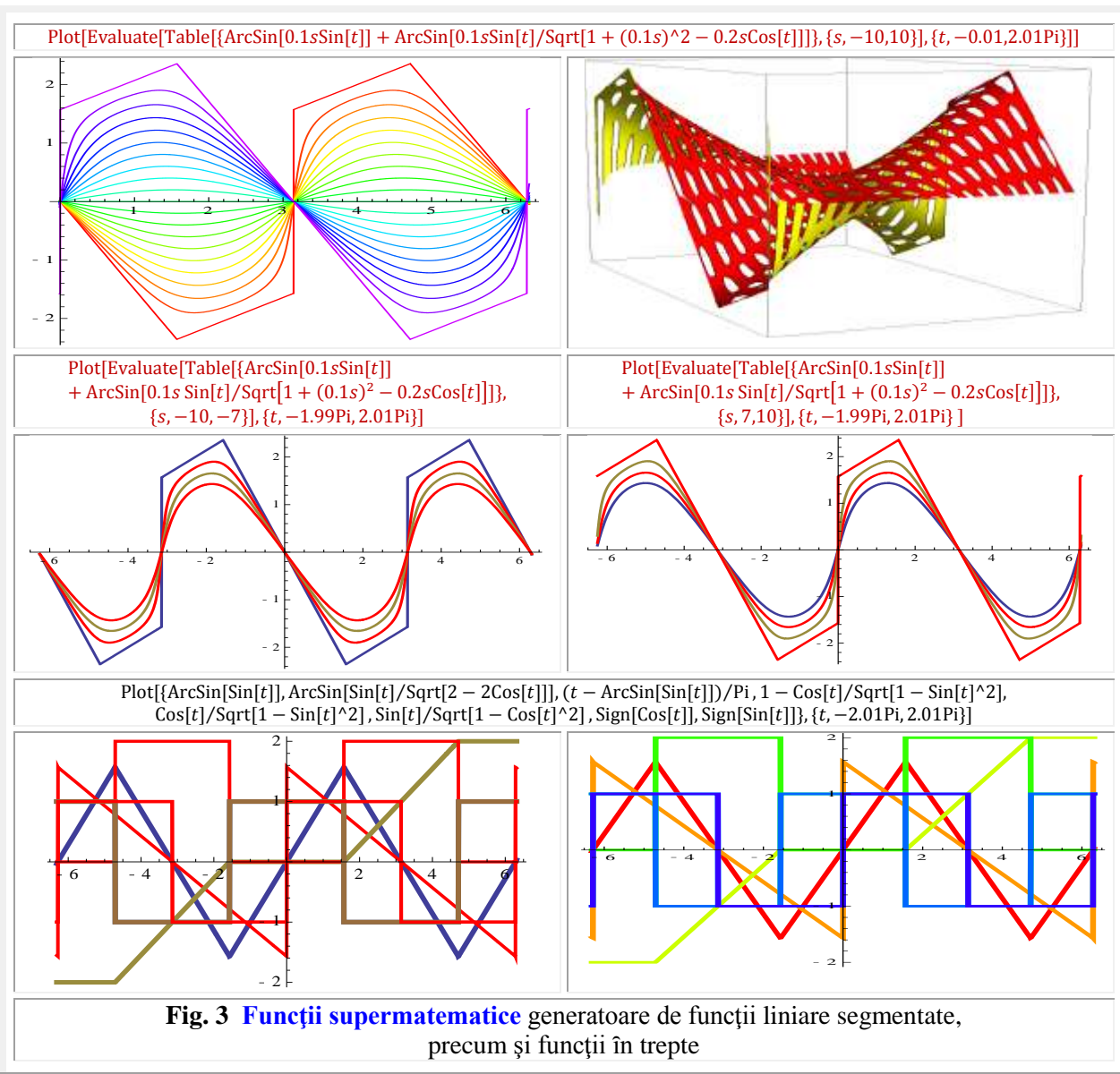
Pentru $b = 0$ ea se numește funcție **liniară**, iar pentru $b \neq 0$ este denumită funcție **afină**.

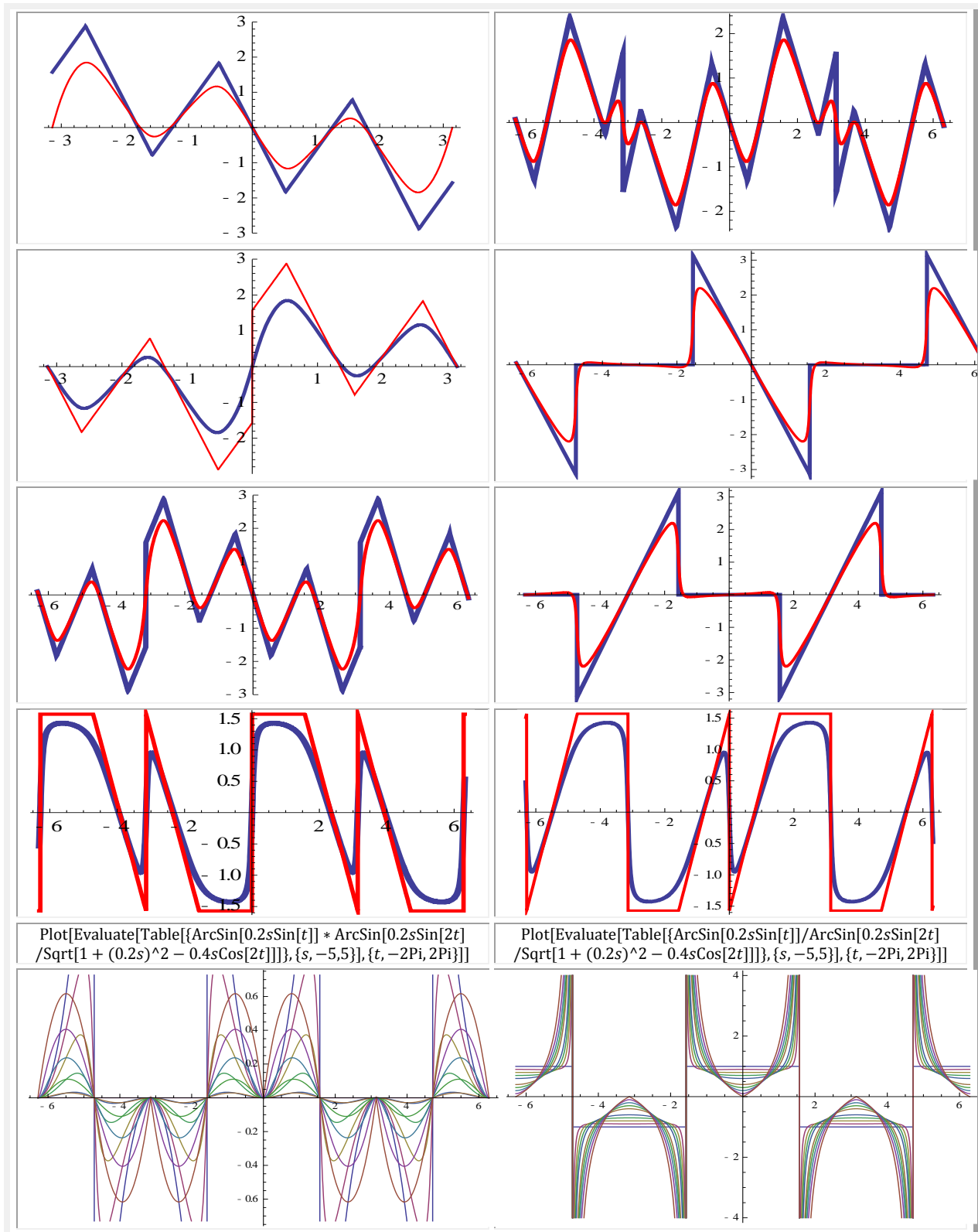
Graficul funcției de gradul 1 este mulțimea: $G_f = \{(x, y) \mid x \in \mathbf{R}, y = mx + b \in \mathbf{R}\} \subset \mathbf{R} \times \mathbf{R}$, care se reprezintă

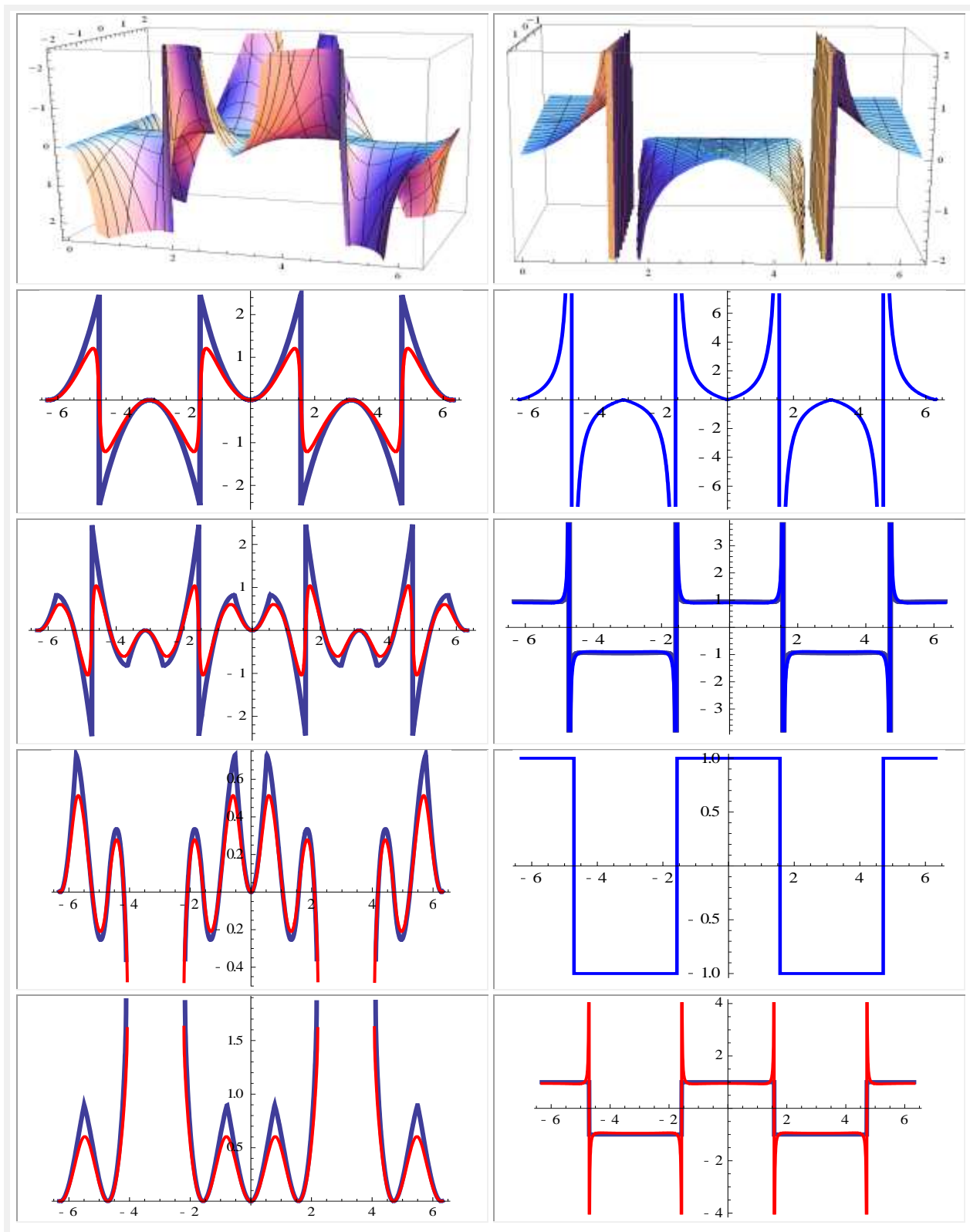
în planul axelor de coordonate printr-o **dreaptă**, care este o **strâmbă** de **excentricitate numerică liniară $s = 0$** .

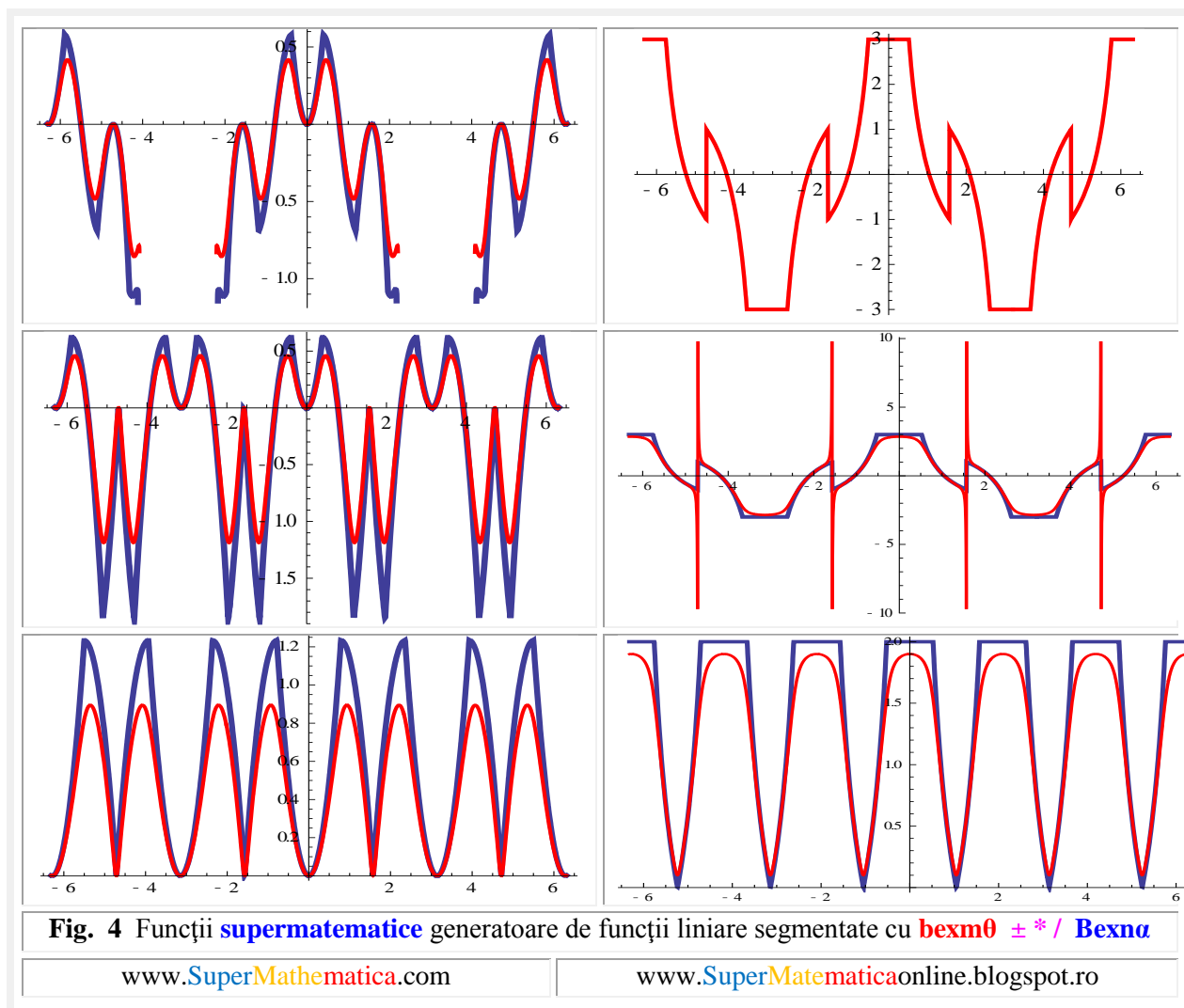
Dacă $m > 0$ funcția de gradul 1 este crescătoare, iar dacă $m < 0$ funcția este descrescătoare.

Se remarcă faptul că $x = m$ este ecuația unei drepte verticale, paralele cu axa Oy , iar pentru $y = b$ este ecuația unei drepte orizontale, paralele cu Ox .









În graficele anterioare au fost prezentate **FSM – CE** de $s \in [-1, 1]$ din care provin, pentru $s = 1$, funcțiile **liniare frânte**. Au fost reprezentate în paralel / suprapuse și funcțiile de $s = 0,9$ care pot aproxima, destul de grosier, funcțiile liniare de $s = 1$. Evident că pentru $s = 0,999$ aproximarea era cu mult mai fidelă / bună, dar curbele deveneau greu lizibile sau greu decelabile / diferentiabile.

Diversele variante de grafice de $s \in [0,9; 1]$ au apărut prin modificarea constantelor m și n în **FSM – CE** beta excentrice de variabilă **excentrică** și, respectiv, **centrice**.

Motto:” ..Fiecare opinie care e acum acceptată, a fost la un moment dat **excentrică**.” **Bertrand Russell**
 „ **Jocul** este cel mai **elevat** tip de cercetare ”. **Albert Einstein**.

CAPITOLUL V : FUNCŢII SUPERMATEMATICE EXCENTRICOELEVATE

1. INTRODUCERE

În **Capitolele II ...IV** s-a evidenţiat faptul că **funcţiile supermatematice circulare excentrice (FSM – CE)**, parte a **supermatematicii**, matematica mileniului III, referindu-ne doar la ele, sunt constituite din funcţiile ordinare, **vechi**, din domeniul **centric** şi cele **noi**, din **domeniul excentric**, denumite **excentrice, elevate** şi **exotice**, în funcţie de poziţia relativă a celor 3 puncte **confundate** stabilite de **Euler**: **centrul** cercului **C**, **originea** unui sistem de coordonate / reper **O** şi **polul** unei (semi)drepte $P \equiv S$, denumit acum **excentru** şi notat cu **E(e, ε)** în planul unui cerc oarecare $C(O,R)$, de raza **R** şi cu **S(s,ε)** în planul cercului unitate $CU(O,1)$, fost trigonometric.

Dacă, în cazul matematicii centrice (**MC**), în care punctele erau confundate, nu exista decât câte o singură funcţie $\cos\alpha$, $\sin\alpha$, $\tan\alpha \equiv tga$, $\cot\alpha \equiv ctga$, $\sec\alpha$, $\csc\alpha \equiv \text{coseca}$ şi, în general, câte o singură entitate **matematică centrică** (**MC**: dreaptă, cerc, elipsă, hiperbolă ..., sferă, con, prismă, ...), în celelalte matematici, matematicile noi ale **supermatematicii (SM)**, din **domeniul excentric**, ele există într-un număr care tinde spre infinit. De aceea, se poate afirma, cu temei, că **SM** multiplică la infinit toate entităţile **matematicii centrice (MC)**, graţie **noilor dimensiuni ale spaţiului**, cele **de formare şi de deformare** a lui: **excentricitatea** liniară **efectivă e**, excentricitatea liniară **numerică s** şi excentricitatea **unghiulară ε**, coordonate polare ale excentrelor **E** şi, respectiv, **S**.

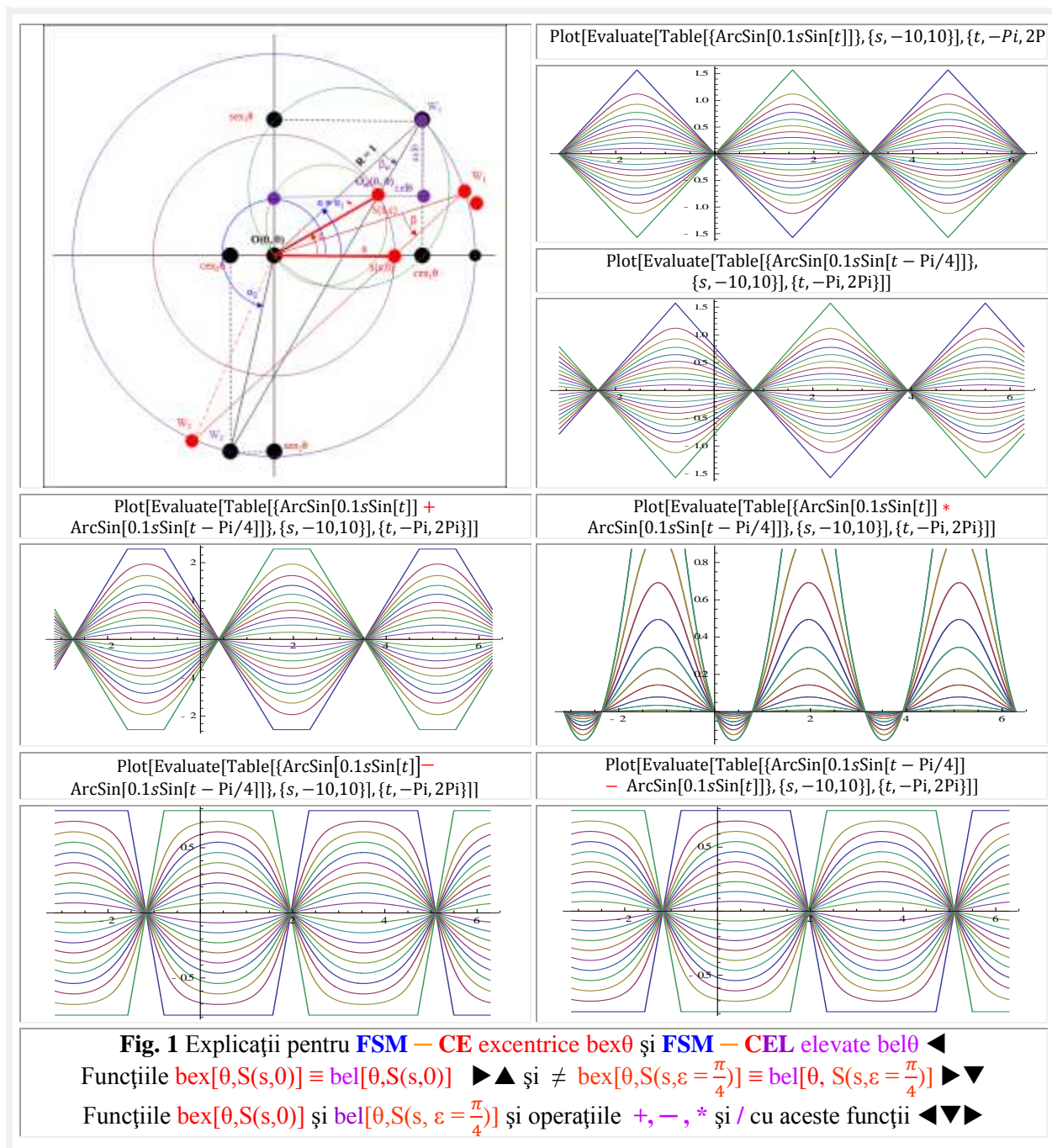
Odată cu deplasarea / expulzarea polului **P** din originea **O** şi denumit **excentru S**, apar şi o serie de funcţii excentrice noi precum **aex, bex, dex, rex**, ş.a., fără echivalente în **MC**, iar prin combinarea **FSM** din cele 4 domenii amintite şi utilizând doar primele 4 operaţii matematice şi numărul **FSM** noi, denumite **efective (Cap.II)** şi, respectiv, **evolutive (Cap. III) tinde la infinit**, justificând, cu prisosinţă, atributul de **“nemărginire”** atribuit **SM**, în aceste **capitole**. Ca urmare, şi cititorii pot să-şi aducă contribuţia la propăşirea şi diseminarea noii matematici, a **supermatematicii (SM)**.

Aşa cum a procedat şi **Editura Matrix Rom** din Bucureşti, prin bunăvoinţa directorului ei, matematicianul de prestigiu **Iancu Ilie**, publicând în 2015 **“Supermatematica”**, Vol I şi Vol. II, în cea de a 3-a ediţie, revizuită şi adăugită, şi străduindu-se, din răspuţeri, prin **“Librarie.Net”**, s-o facă cunoscută iubitorilor de nou şi de matematică, oferindu-le posibilitatea achiziţionării ei. Apoi s-a răzgândit, renunţând la Vol.II, apoi şi la vânzarea Vol. I !

Capitolele prezentate, precum şi cele ce vor urma, ar putea chiar să extindă **SM** şi la un al III-lea volum. Citiţi-le acum şi nu aşteptaţi acel moment, care nu se ştie când şi dacă va veni ! Redactorii se supără repede !

Este de menţionat faptul că toate funcţiile **domeniului excentric** pot fi de **variabilă excentrică θ** sau de **variabila centrică α**, de excentru **S** punct fix (**s** şi **ε** → constante) sau de excentru **Sv** punct mobil (**s** şi **ε** → variabile) în planul cercului unitate. Ele pot fi, de asemenea, de simplă, dublă, triplă sau multiplă excentricitate. Altfel spus, **FSM** pot fi de atâtea variabile (**θ** sau **α, s, ε, s₁, ε₁, s₂, ε₂, ... s_n, ε_n**) de câte avem nevoie, sau de câte dorim, dintre care, în plan, există o singură variabilă clasică (**θ** sau **α**), restul fiind de **formare şi de deformare** a spaţiului, cu ajutorul cărora **cercul** (zero lobă) se poate **transforma / metamorfoza** continuu într-o infinitate de **monolobe, bilobe** (elipse excentrice fără centru de simetrie, doar cu o singură axă de simetrie), **trilobe** (triunghiuri diverse), **quadrilobe / cvadrilobe** (pătrat sau dreptunghi

perfecte) **pentalobe**, **hexalobe**, ... **multilobe** sau **n-lobe**. Toate acestea au, la “extremităţi”, adică pentru $s = 0$ un cerc, iar pentru $s = \pm 1$ un poligon perfect, nu neapărat şi regulat.



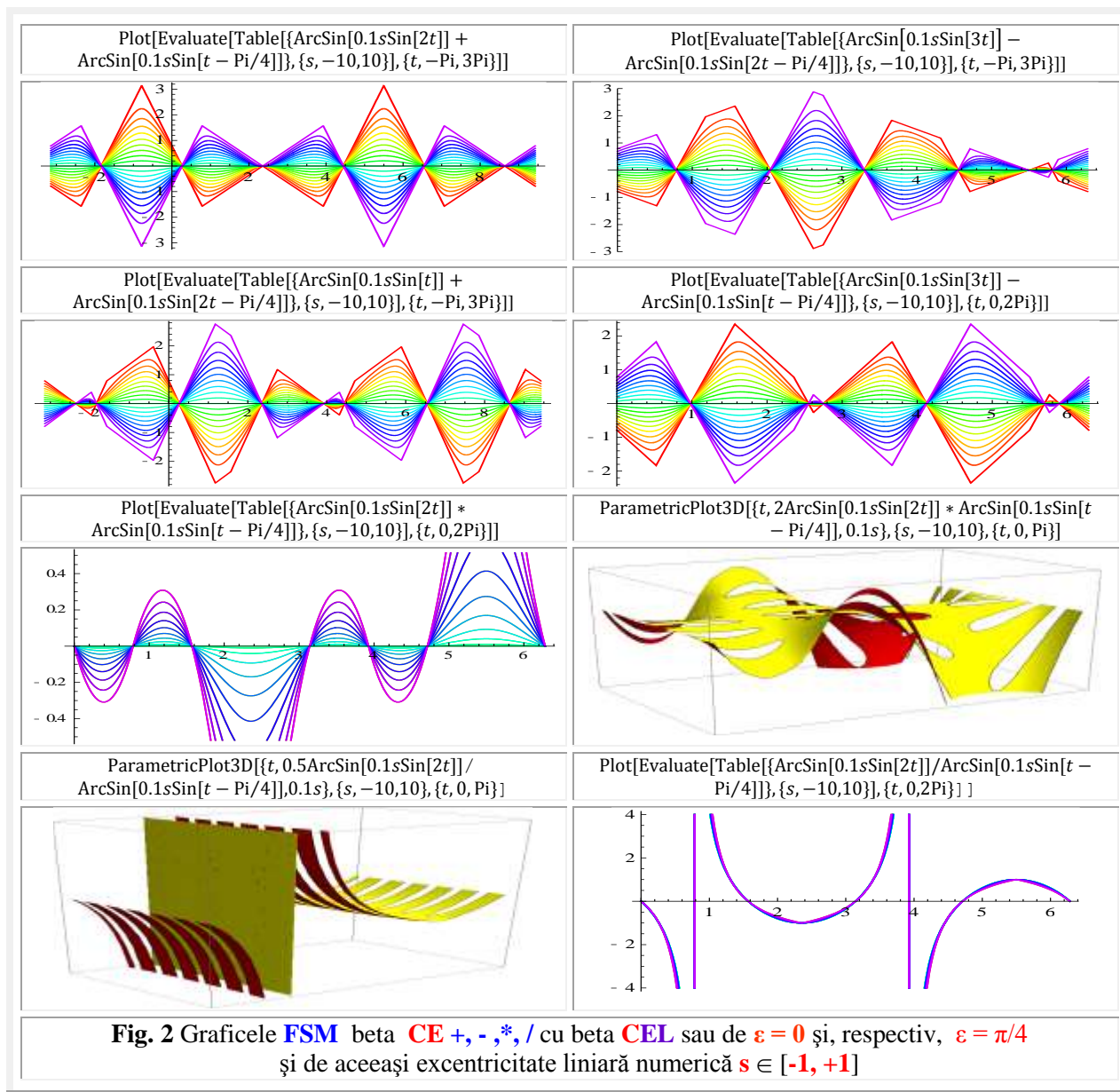
Lășăm la latitudinea cititorului să aprecieze dacă și atributul de “**măreție**” îi este propriu și / sau i se potrivește **SM**. Atributele de “*matematică a viitorului*” și, respectiv, de “*matematică a mileniului III*” au fost atribuite **SM** de doi prestigioși profesori universitari de matematică din USA, i-am numit pe Prof.

Dr. Math. **Malvina Florica Baica** de la Universitatea din Wisconsin, membră a Academiei de Ştiinţe din New-York şi pe Prof. Dr. Math. **Florentin Smarandache**, şeful Departamentului de Ştiinţă şi Matematică de la Universitatea din New Mexico, în referatele lor, necesare decernării “**Diplomei AGIR**” pe anul 2012, în domeniul **IT**, lucrării Mircea Eugen Şelariu “**SUPERMATEMATICA. Fundamente**” Vol.I şi Vol.II, Ediţia a 2-a, 2012, din Editura “**Politehnica**” din Timişoara.

Cred că şi ceilalţi referenţi, Prof.dr. ing. **Ion Grozav** şi Prof. ing. **Ioan Ghiocel**, au avut aceeaşi opinie.

2. FUNCŢII SUPERMATEMATICE EXCENTRICOELEVATE

Aşa cum le spune şi numele, sunt combinaţii, prin cele patru operaţii matematice elementare (+, -, *, şi /), ale unor **FSM - circulare excentrice CE** cu cele **circulare elevate (FSM – CEL)** (Fig. 1 şi Fig.2).



Pentru început au fost alese funcțiile beta excentrice de variabilă excentrică $\beta(\theta) = \text{bex}\theta$ de excentru $S(s, \varepsilon = 0)$ și, respectiv, de excentru $S'(s' = s, \varepsilon' = \frac{\pi}{4}) \rightarrow$ (Fig. 1 și Fig. 2) deoarece, pentru **același excentru**, funcțiile **beta excentrice** sunt identice cu cele **beta elevate**: $\beta(\theta) \equiv \beta_{el}(\theta)$. Aceeași situație este și în cazul funcțiilor **amplitudine excentrică aex θ** și **amplitudine elevată ael θ** (Fig. 3), derivată excentrică **dex θ** și derivată elevată **del θ** (Fig. 4), precum și pentru **FSM–CE** radial excentrice **rad θ** și **FSM–CEL** radial elevate **rel θ** (Fig. 5).

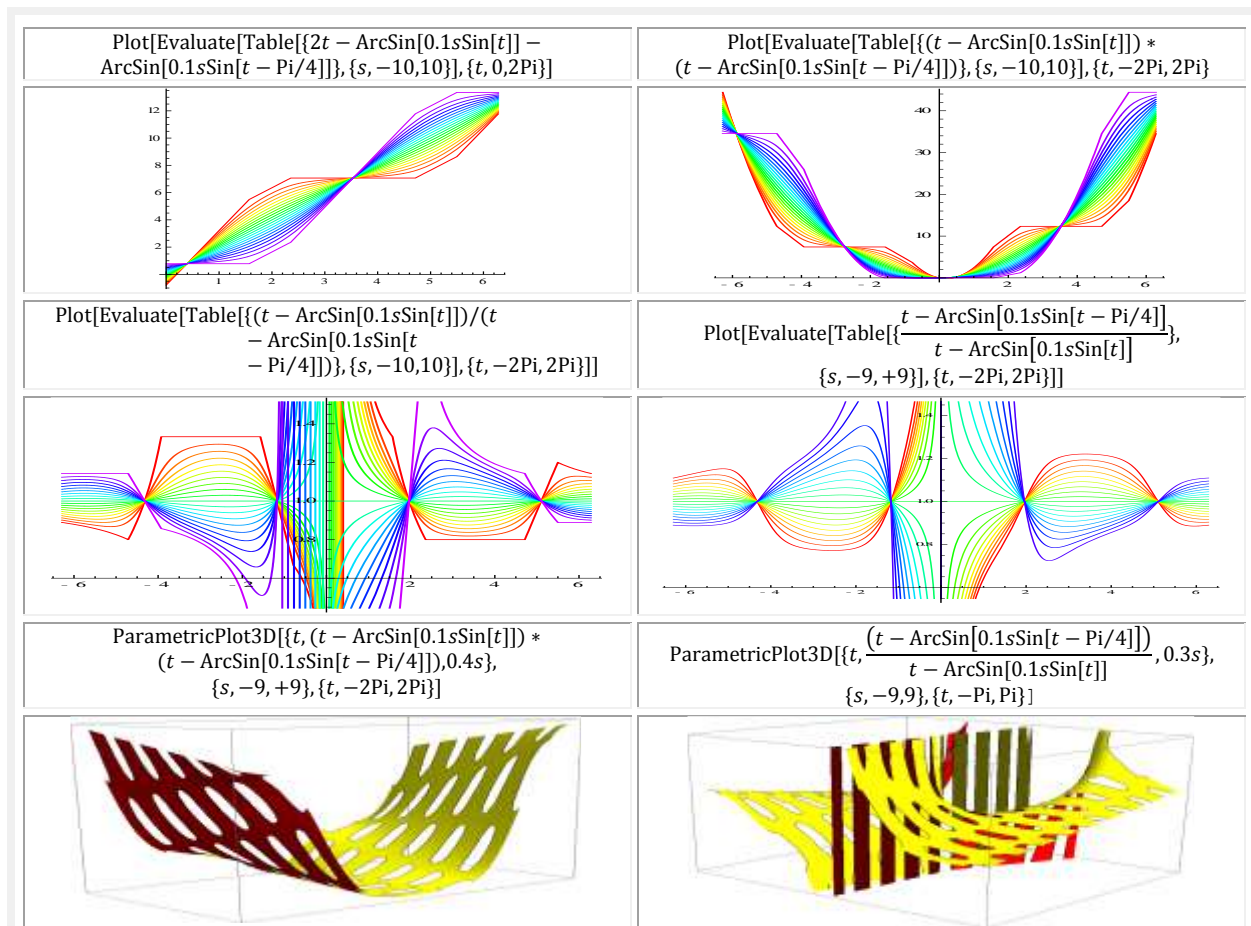
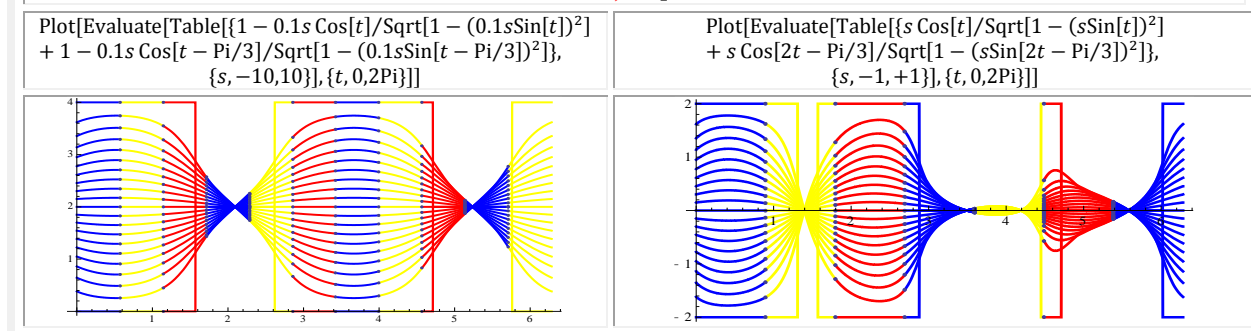
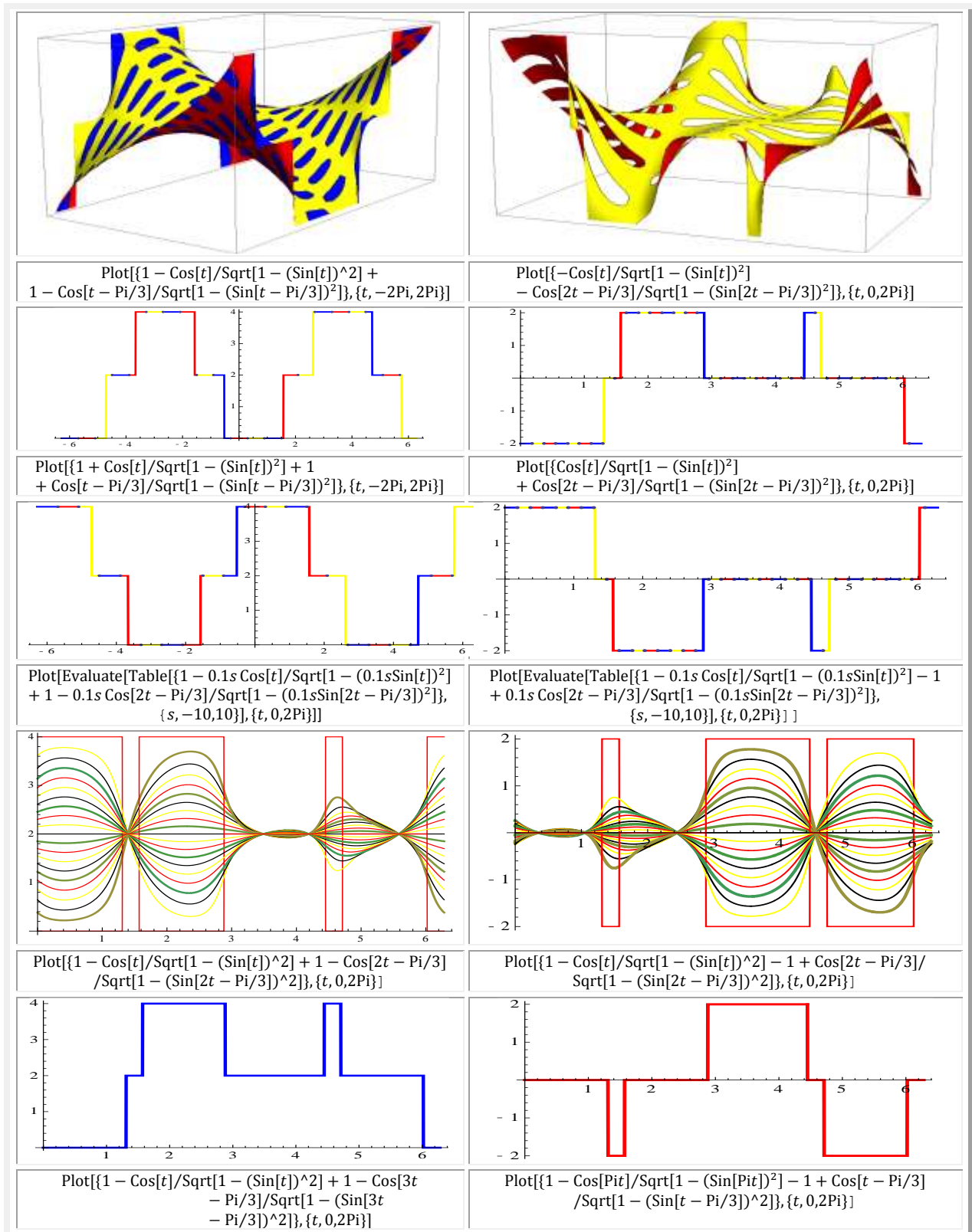
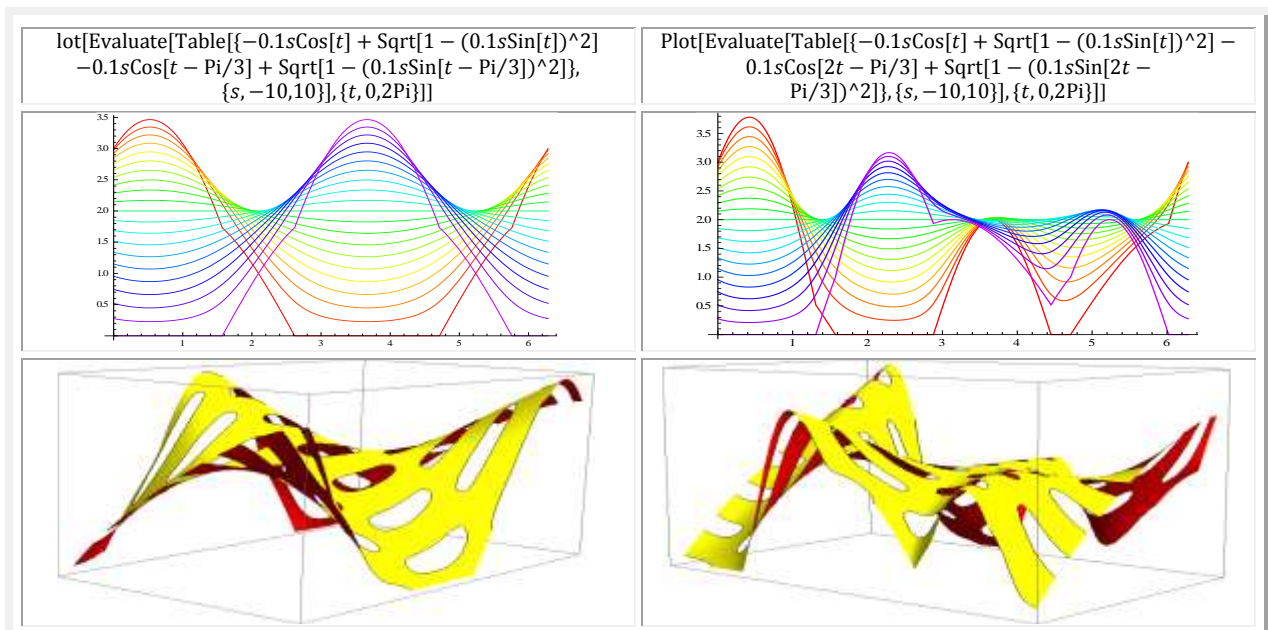
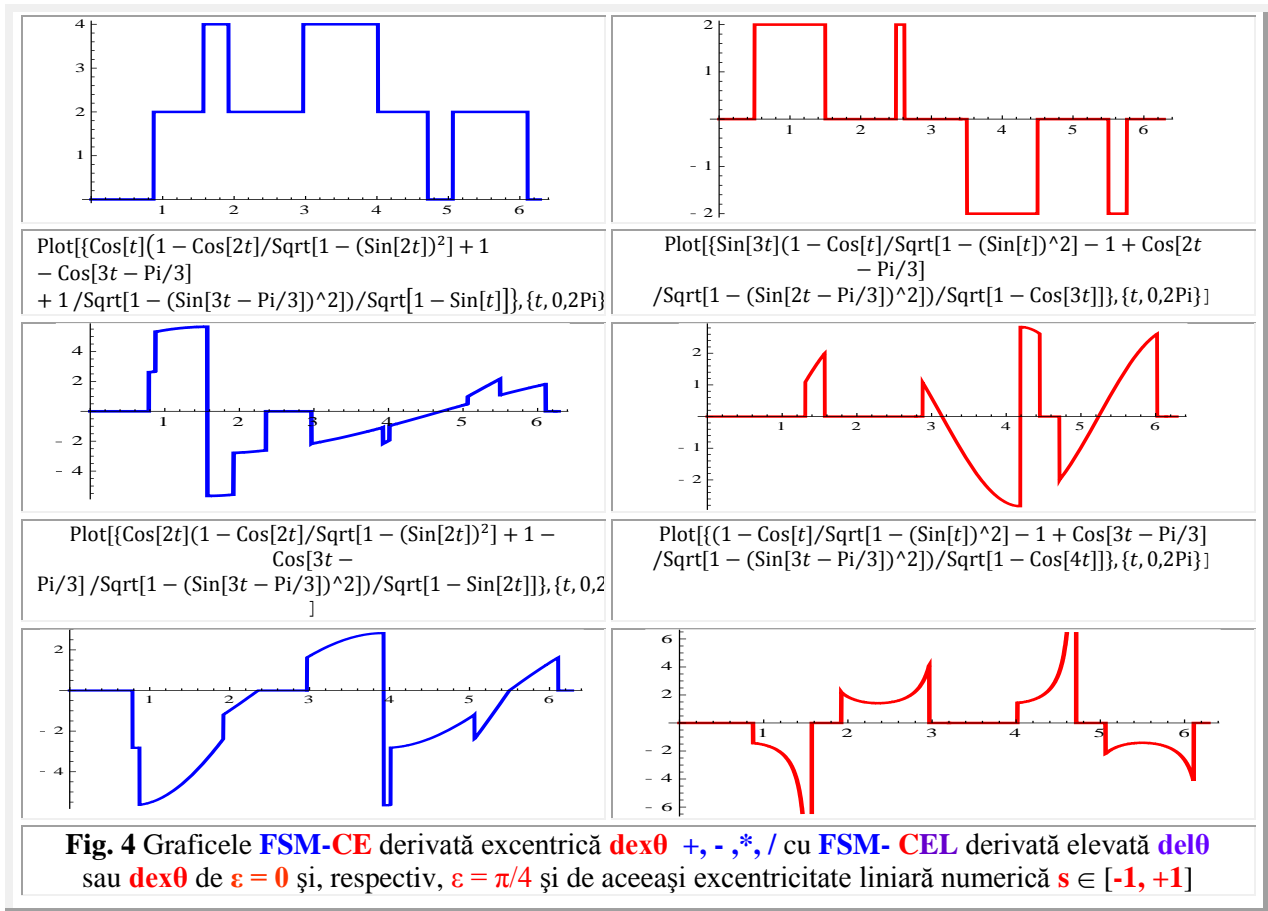
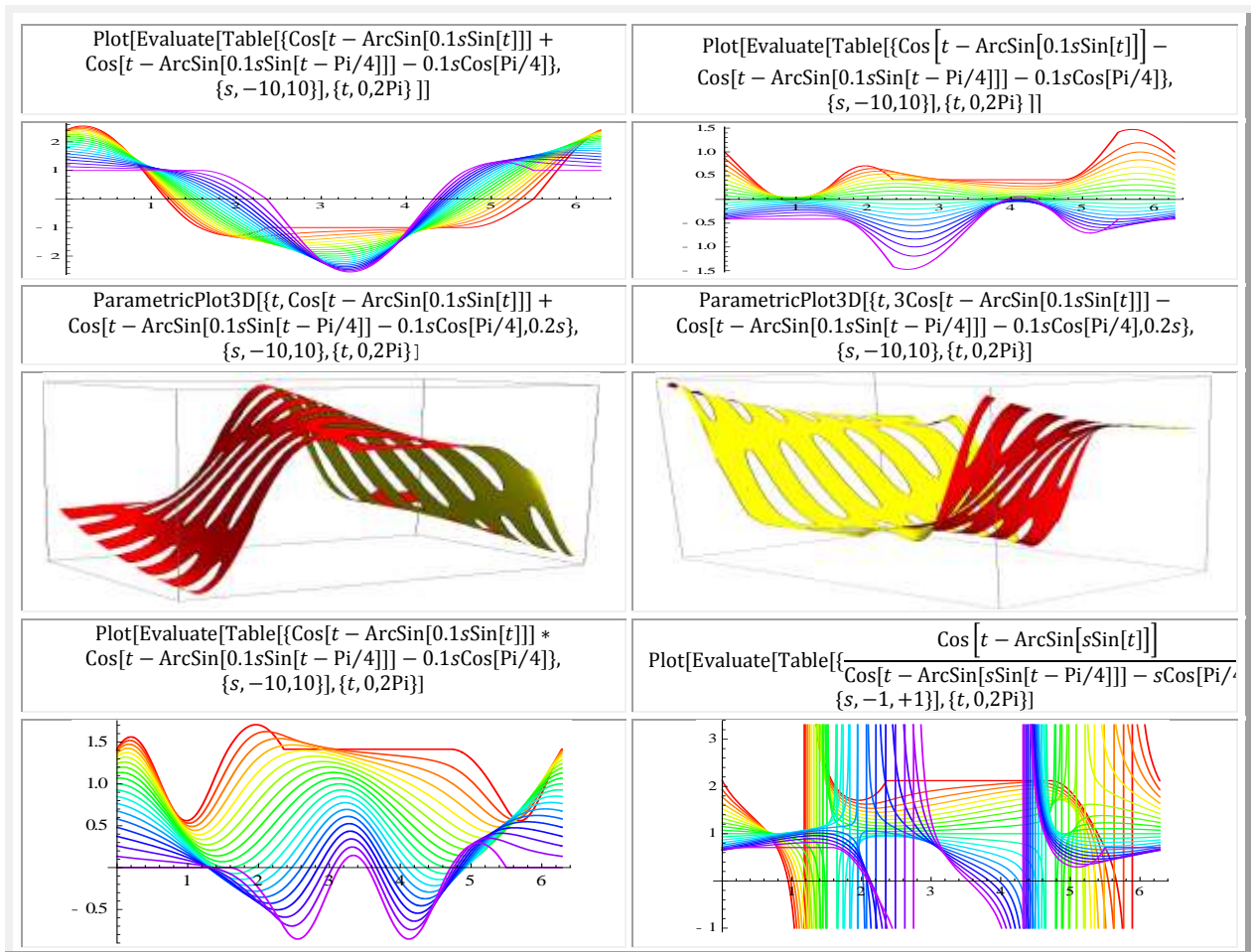
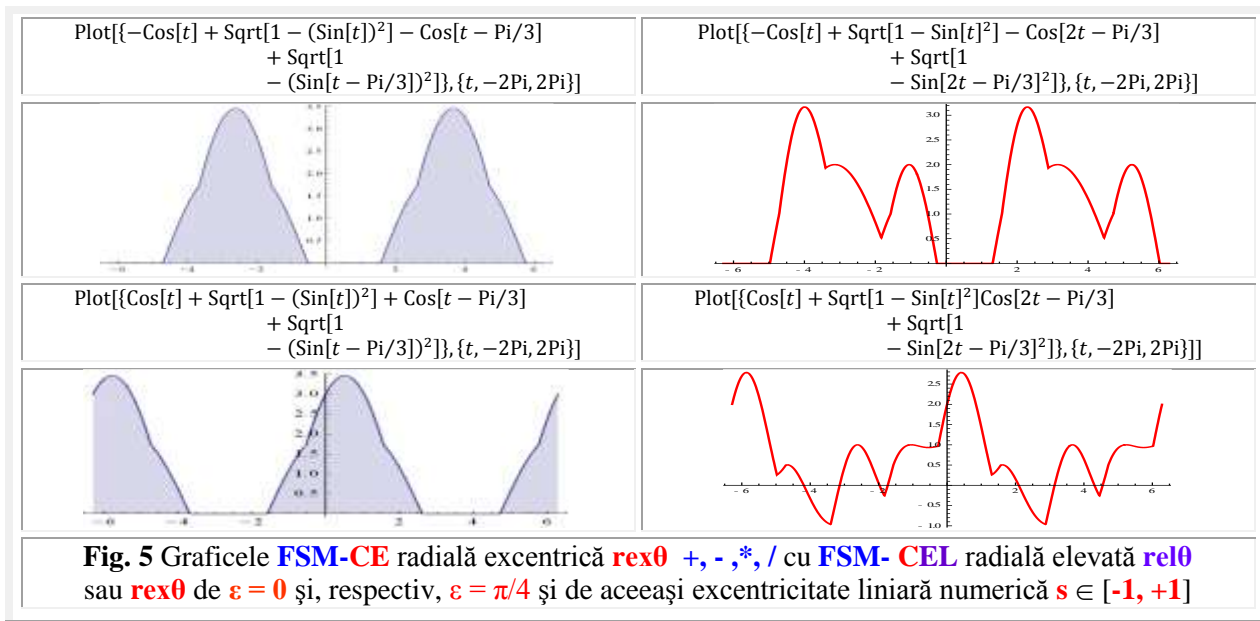


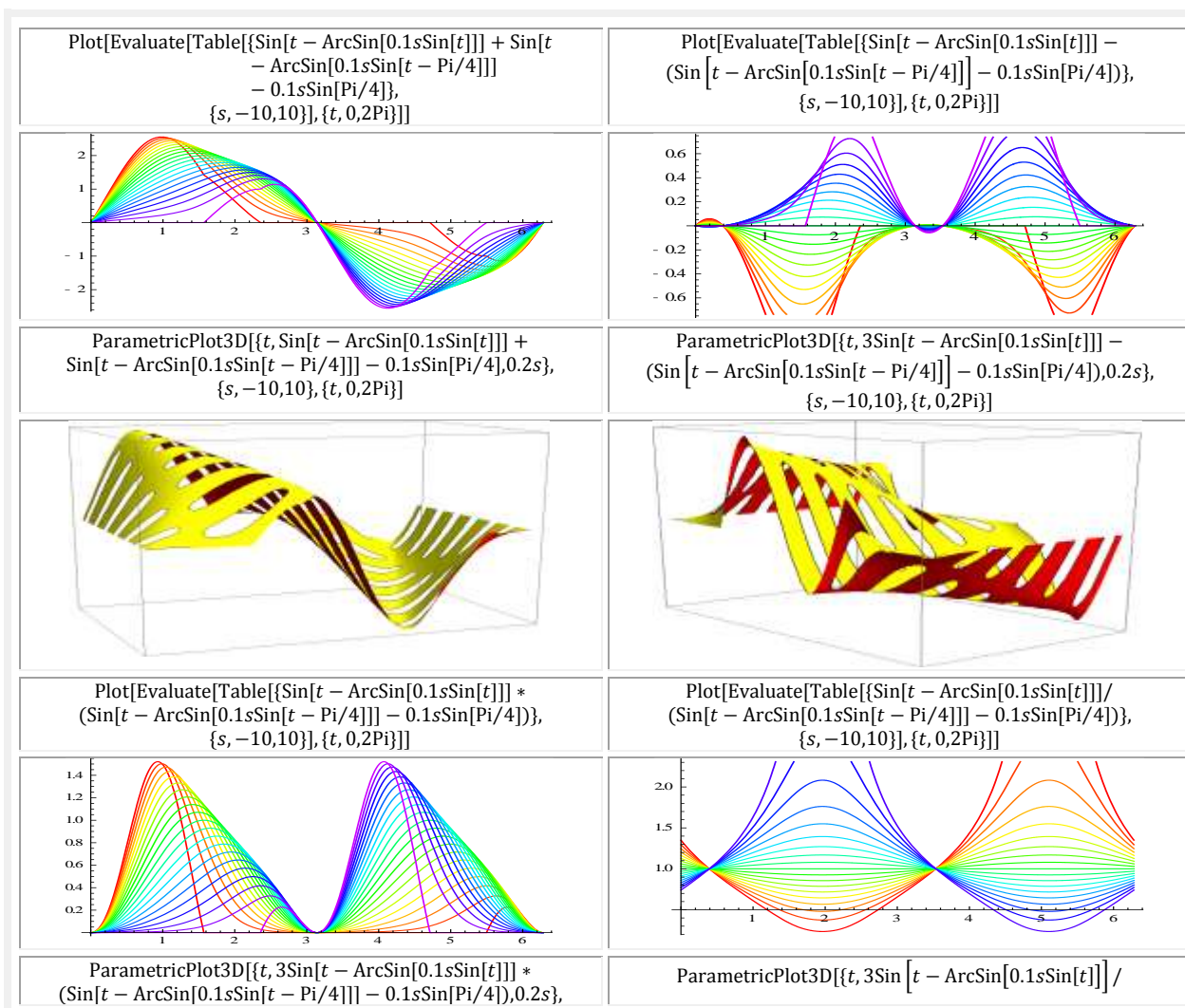
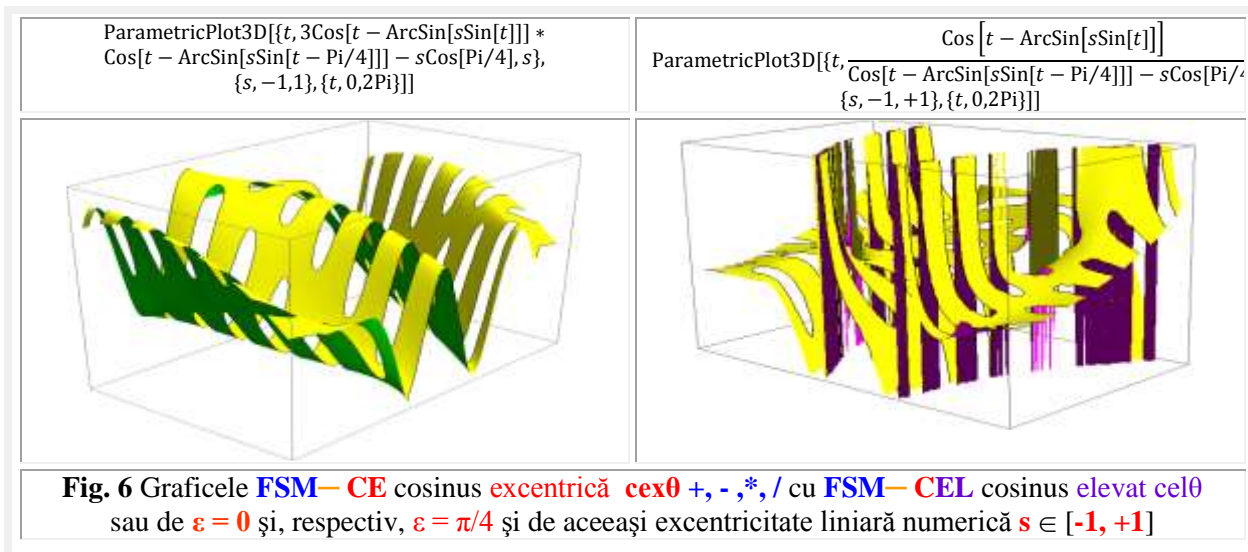
Fig. 3 Graficele **FSM–CE** amplitudine excentrică **aex θ** +, -, *, / cu **FSM–CEL** amplitudine elevată **ael θ** sau **aex θ** de $\varepsilon = 0$ și, respectiv, $\varepsilon = \pi/4$ și de aceeași excentricitate liniară numerică $s \in [-1, +1]$

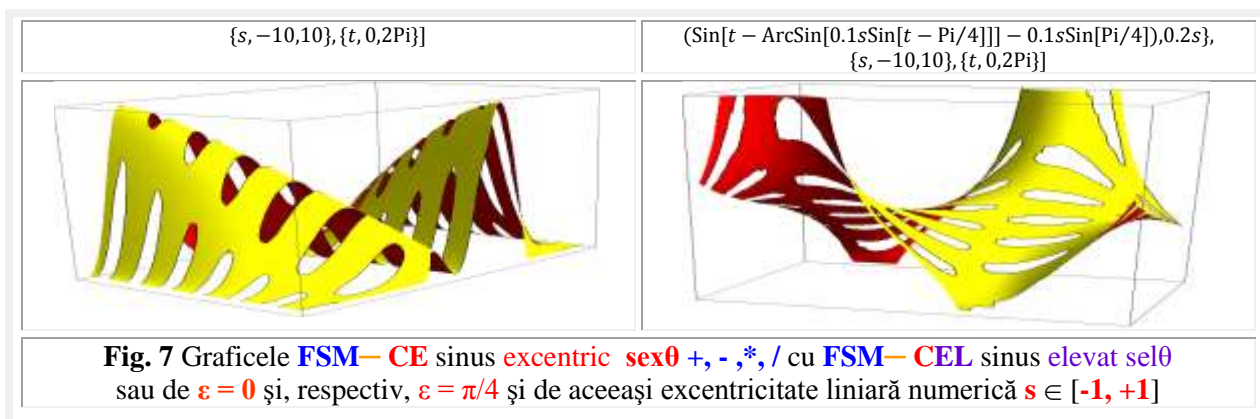




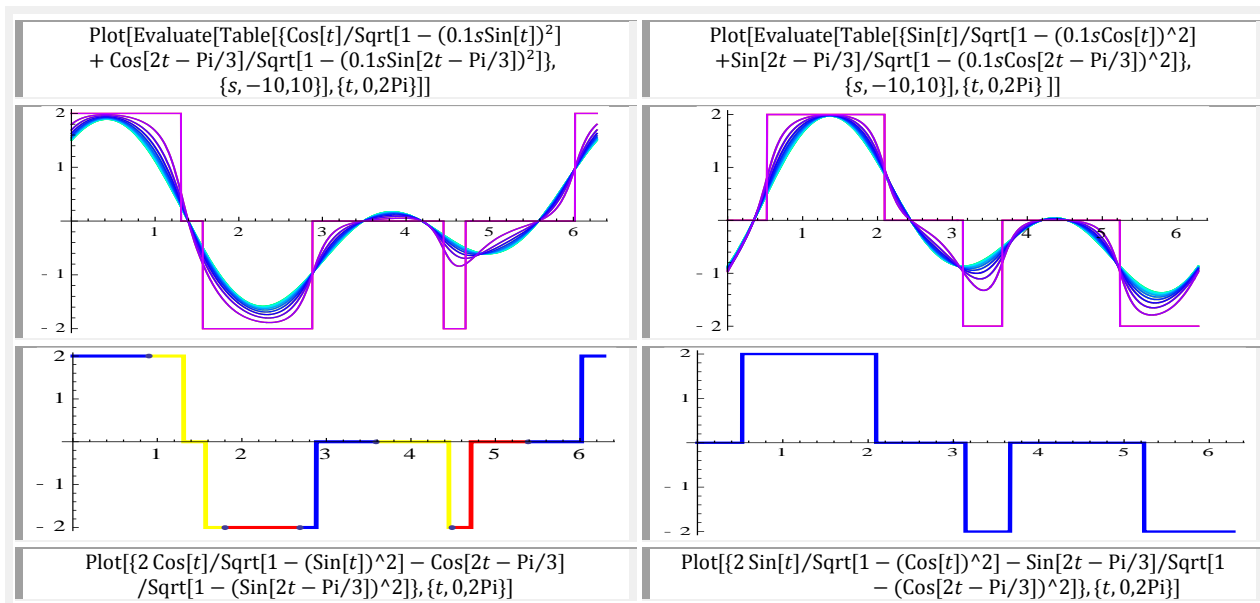
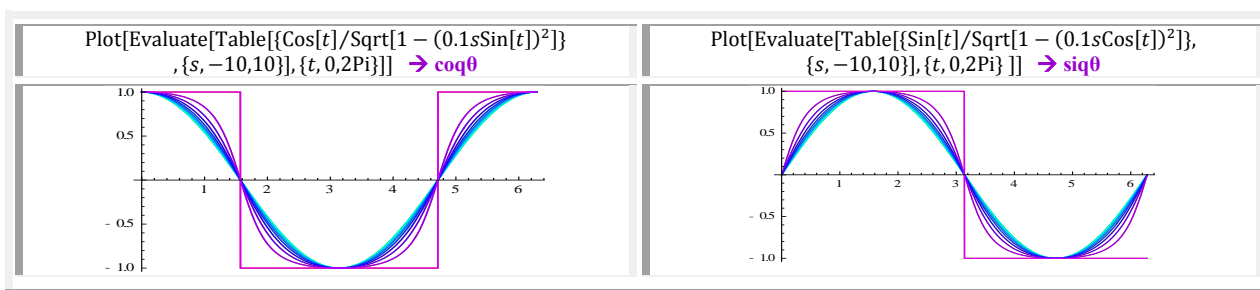


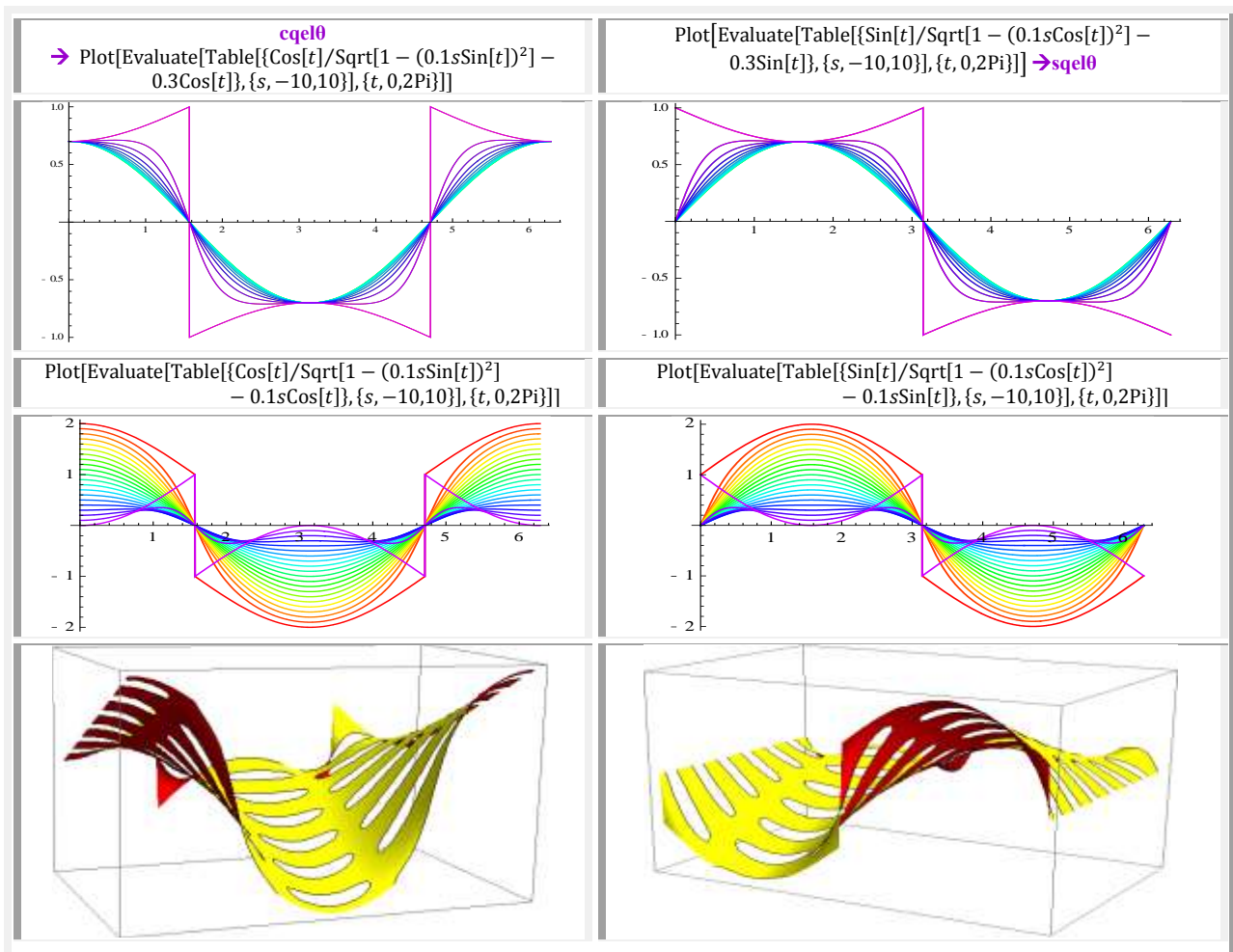
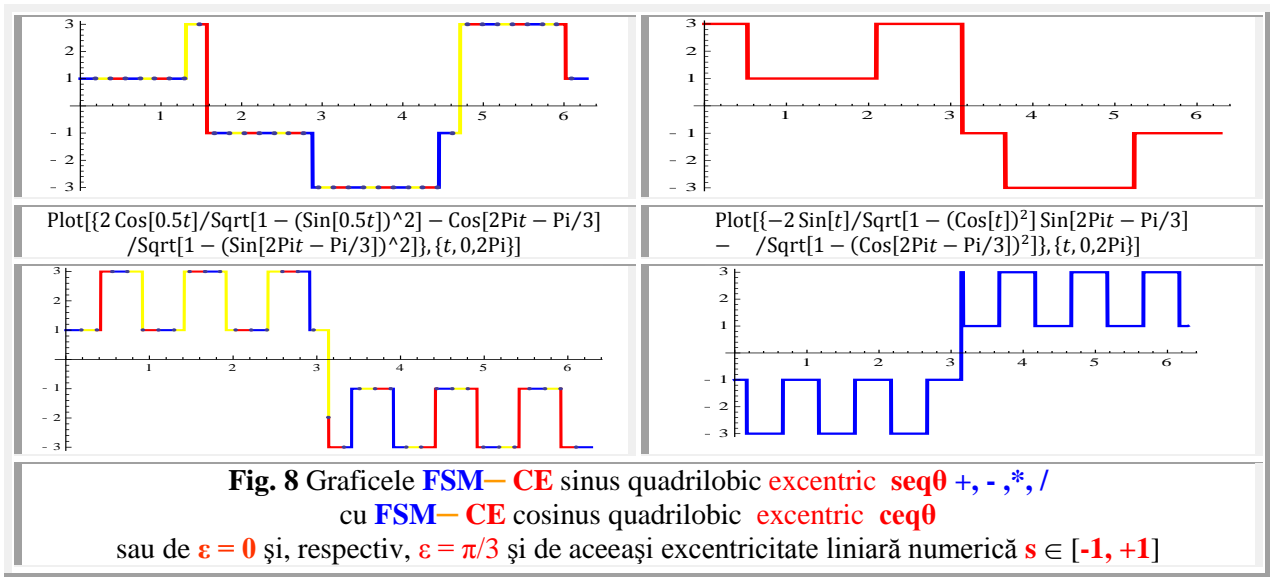


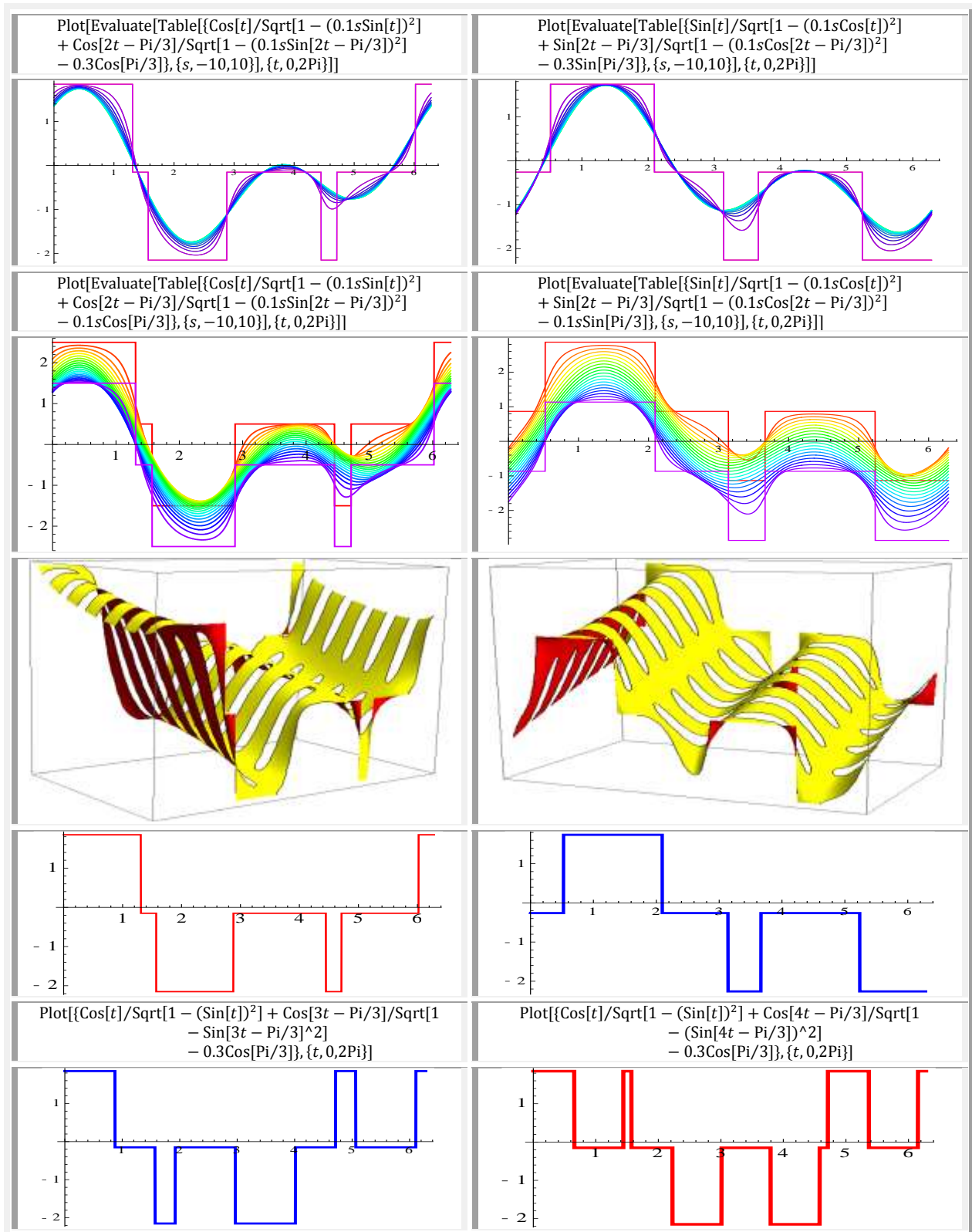


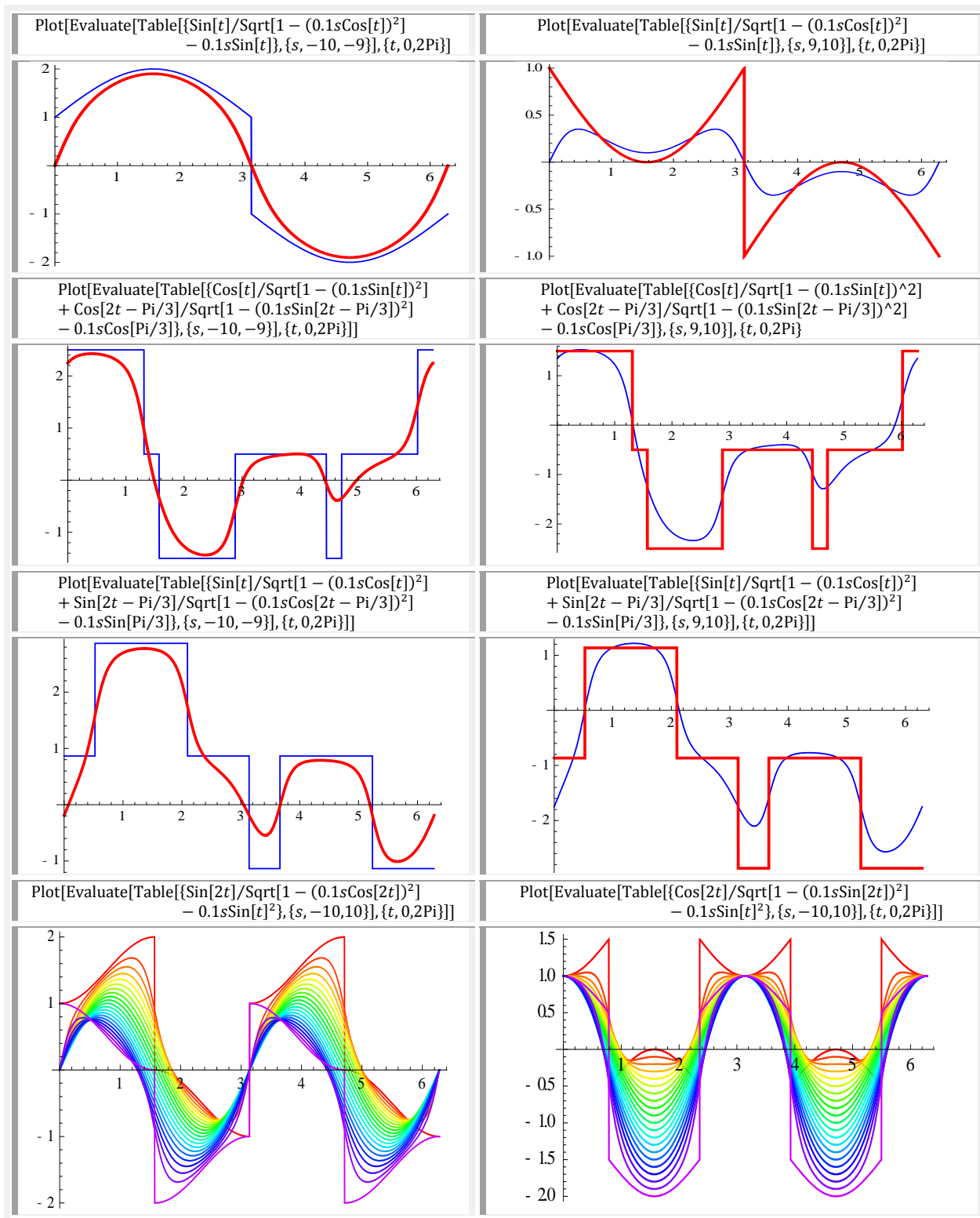


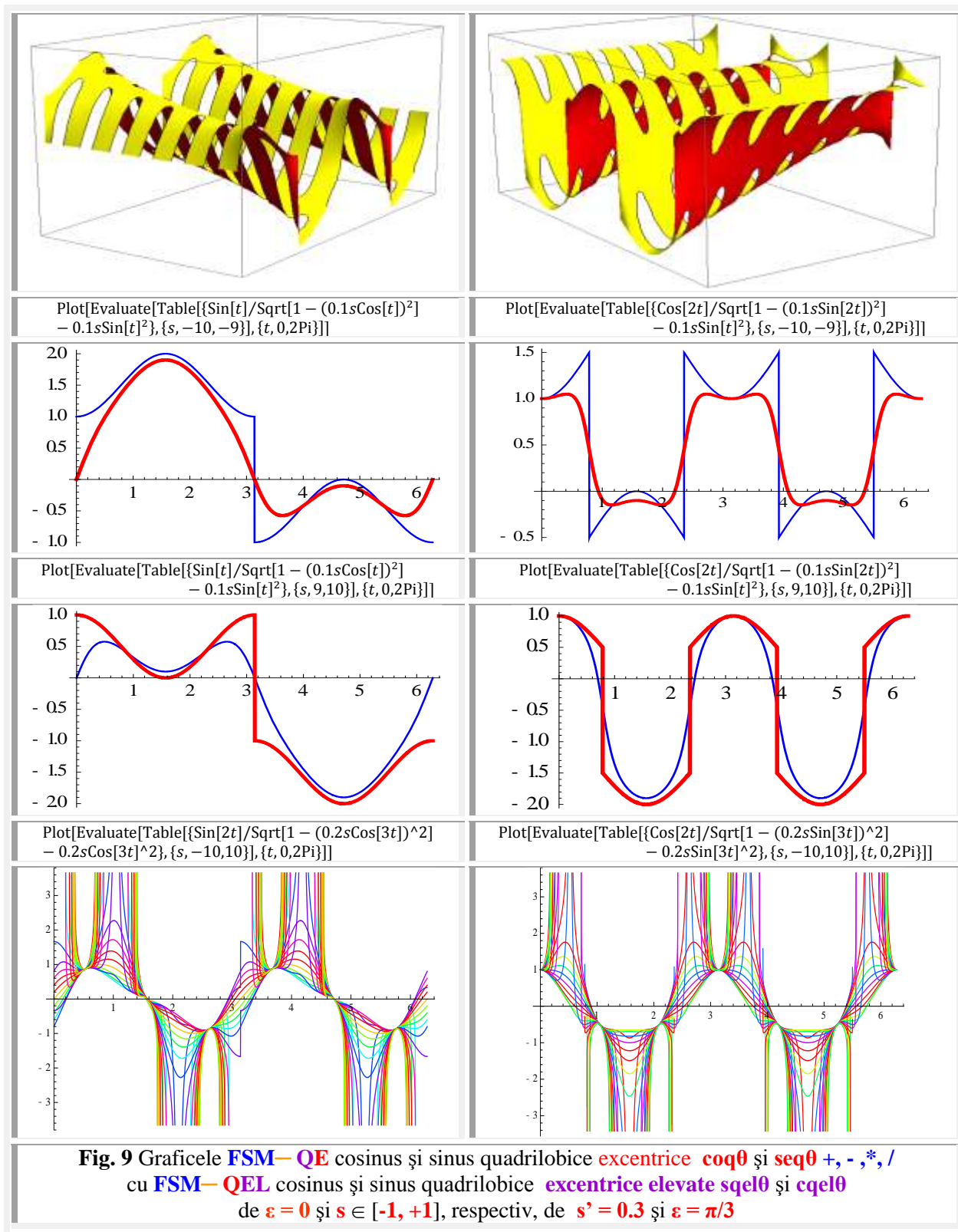
Situația este net diferită în cazul **FSM-CE** cosinus excentrice **cex0** cu **FSM-CEL** cosinus elevate **cel0** (**Fig. 6**), sinus excentrice **sex0** cu sinus elevate **sel0** (**Fig. 7**), ca și pentru tangente și cotangente.











Motto:” *Matematica este ceea ce începe, ca şi Nilul, în modestie şi se termină în magnific* ” definiţie de Calvin Colton
 “**SUPERMATEMATICA** este **ŞI MAI ŞI: 40 de ani necunoscută, apoi ignorată**” Autorul

CAPITOLUL VI :

FUNCTII SUPERMATEMATICE EVOLUTIVE EXCENTRICE DE VARIABILE EXCENTRICOCENTRICE

1. INTRODUCERE

Funcțiile supermatematice circulare excentrice (FSM – CE) au apărut în momentul în care polul **P(0,0)**, al unei semidrepte **centrice D⁺**, a fost **expulzat**, din centrul **C(0,0)** al cercului trigonometric / unitate și originea **O(0,0)**, al unui reper, unde le-a plasat / suprapus, neinspirat, **Euler**, într-un punct oarecare din planul cercului unitate și a fost denumit, din această cauză, **excentru**. De coordonate polare **E(e,ε)**, într-un cerc oarecare și **S(s,ε)**, în cercul unitate **CU(O,1)**; **excentrul** este totodată și originea unei drepte **excentrice d = d⁺ U d⁻**, turnante în jurul **excentrului S**.

În funcție de situația relativă a celor 3 puncte se disting următoarele matematici și funcții **FSM** :

Matematica centrică (MC) cu **FSM**

- 1) **Centrice**, dacă **O ≡ C ≡ P** ;
Matematica excentrică (ME) cu **FSM**
- 2) **Excentrice**, dacă **O ≡ C ≠ S ≡ P**;
- 3) **Elevate**, dacă **C ≠ O ≡ S ≡ P**;
- 4) **Exotice**, dacă **C ≠ O ≠ S ≡ P**;

Rezultă că **matematica ordinară**, denumită acum și **centrică (MC- 1)**, este un caz particular al **matematicilor excentrice (ME -2, 3, 4)** și anume, pentru cazul excentricităților nule: **e = s = 0**.

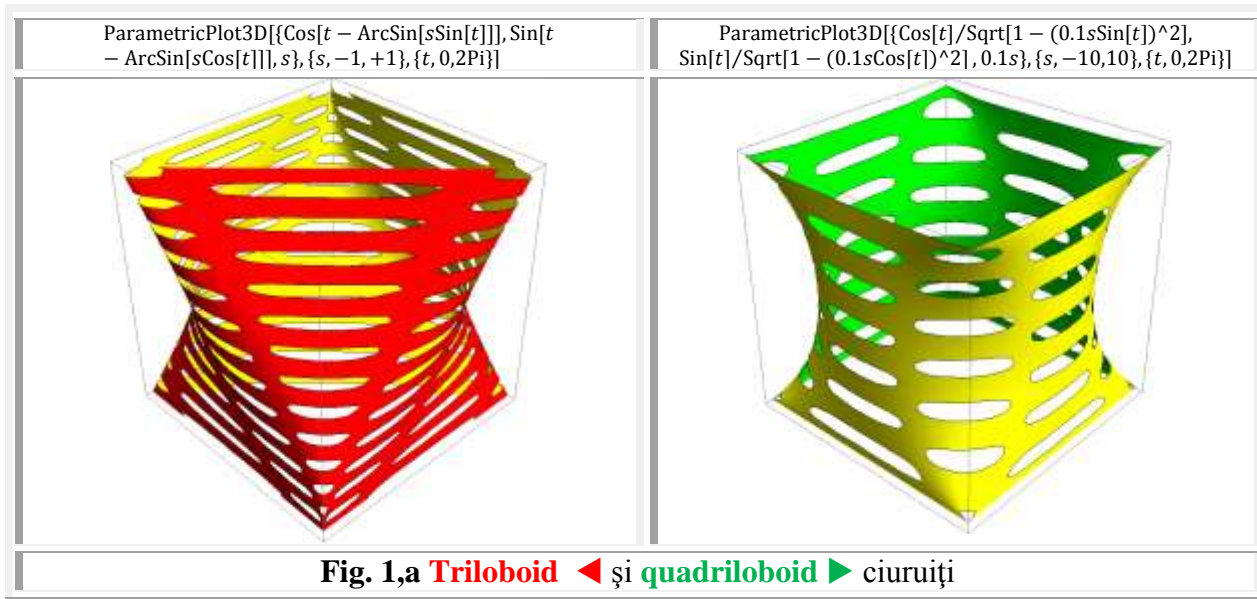
Ca urmare, **FSM – CE** pot fi de variabilă **excentrică θ**, pentru rotația lui **d** în jurul jurul lui **E** sau **S(s, ε)**, sau de variabilă **centrică α**, pentru rotația lui **D** în jurul lui **O(0,0)**, pentru fiecare semidreaptă în parte rezultând la intersecția cu **CU** câte un punct (**W_{1,2}** pentru **s² < 1** și **W_{1,2,3,4}** pentru **s² > 1**) pe cercul unitate și respectiv două determinări ale **FSM – CE : principală**, fără indice sau de indice **1**, și **secundară**, de indice **2**, dacă **E** și **S** sunt în interiorul discului circular și **patru** determinări două câte două situate pe câte o semidreaptă, dacă excentrele sunt în exteriorul discului circular, discuri de rază **R** pentru **E** sau de rază **R = 1**, pentru **S**.

Noile coordonate **e** și **ε**, dacă sunt constante, pentru un **E** sau **S** puncte fixe în plan, devin, pe lângă cele două coordonate ordinare din plan, **x** și **y**, **coordonatele ascunse** ale acestuia, cele de **formare și de deformare** ale entităților geometrice din plan, cu ajutorul cărora cercul și elipsa (**e = s = 0**) se pot transforma continuu în pătrat perfect, respectiv în dreptunghi perfect (**e = ± R, s = ± 1**), în triunghi sau oricare polinom regulat sau neregulat.

Noile entități geometrice plane, curbe închise, rezultate pentru valorile intermediare **e ∈ (-R, +R)\0**, respectiv, **s ∈ (-1, +1)\0, s = e/R**, sunt denumite **bilobe, trilobe, quadrilobe / cvadrilobe**

ş.a.m.d., în funcţie de numărul de lobi ai curbei închise; cercul fiind o “zero lobă”, iar pătratele şi dreptunghiurile, cu laturi curbe şi colţuri rotunjite, fiind denumite **quadrilobe**.

Corespondentele în 3D ale **trilobelor** şi ale **quadrilobelor** sunt denumite (cilindri) **triloboizi** şi, respectiv, **quadriloboizi** (Fig.1). Ei au la mijlocul lor un cerc şi la cele două extremităţi două triunghiuri şi, respectiv, două pătrate perfecte, așa cum se poate deduce facil din figură; ciuruirea fiind necesară pentru substituirea / imitarea transparenţei.



Prin combinarea **FSM—CE** din cele 4 grupe, anterior amintite, se obţin **FSM evolutive** : **centrico-excentrice**, **centricoelevate**, **centricoexotice**, **centricoexcentrice**, **excentricoelevate**, **excentricoexotice**, **elevatoexotice** care, la rândul lor, pot fi combinate şi combinaţiile rezultate pot fi, la rândul lor, combinate între ele ş.a.m.d. ceea ce oferă **SM** atributul / calificativul incontestabil de “nemarginire”; cel de “măreţie” rămânând la aprecierea cititorilor.

2 FUNCŢII SUPERMATEMATICE EVOLUTIVE EXCENTRICE DE VARIABLE EXCENTRICOCENTRICE CENTRICE α ŞI EXCENTRICE θ ÎN 3D

Pentru a nu repeta, în grafice, ecuaţiile **FSM—CE**, ele vor fi prezentate concentrat în **tabelul 1**, scrise cu expresiile cunoscute ale funcţiilor din matematica centrică (**FMC**), ordinară. **FSM—CE** de variabilă **excentrică θ** , sunt prezentate în stânga ◀ şi cele de variabila **centrică α** , scrise cu majusculă, în dreapta ▶ tabelului, numai pentru determinările principale, fără indice. Semnul plus (+) din faţa radicalilor corespunde primei determinări iar semnul minus (−) celei de a doua determinări.

Tabelul 1 Relaţiile de calcul ale FSM—CE de variabile excentrice ◀ şi centrice ▶			
bex θ	$\beta(\theta) = \theta - \alpha(\theta) = \arcsin[s \cdot \sin(\theta - \epsilon)]$	Bexα	$\beta(\alpha) = \begin{cases} \arcsin[s \cdot \sin(\alpha - \epsilon) / \sqrt{1 + s^2 - 2s \cdot \cos(\alpha - \epsilon)}] = \\ \arctan[s \cdot \sin(\alpha - \epsilon) / \{1 - s \cdot \cos(\alpha - \epsilon)\}] = \\ \sum_{n=1}^{\infty} \frac{s^n}{n} \sin[n(\alpha - \epsilon)] \end{cases}$
ax θ	$\alpha(\theta) = \theta - \beta(\theta) = \theta - \arcsin[s \cdot \sin(\theta - \epsilon)]$	Aexα	$\theta(\alpha) = \theta + \beta(\theta) = \theta + \frac{\arcsin[s \cdot \sin(\alpha - \epsilon)]}{\sqrt{1 + s^2 - 2s \cdot \cos(\alpha - \epsilon)}} =$

			$= \theta + \sum_{n=1}^{\infty} \frac{s^n}{n} \sin[n(\alpha - \varepsilon)]$
rex θ	$r(\theta) = \alpha(\theta) / du =$ $= -s \cdot \cos(\theta - \varepsilon) \pm \sqrt{1 - s^2 \sin^2(\theta - \varepsilon)}$	Rexα	$r(\alpha) = \frac{d\theta(\alpha)}{du} = \sqrt{1 + s^2 - 2s \cdot \cos(\alpha - \varepsilon)} = \frac{1}{\sum_0^{\infty} P_n(\alpha - \varepsilon) z^n}$
dex θ	$\frac{d[\alpha(\theta)]}{d\theta} = 1 - \frac{s \cdot \cos(\theta - \varepsilon)}{\sqrt{1 - s^2 \sin^2(\theta - \varepsilon)}}$	Dexα	$\frac{d\theta(\alpha)}{d\alpha} = \frac{1}{dex\theta} = \frac{1 - s \cos(\alpha - \varepsilon)}{1 + s^2 - 2s \cdot \cos(\alpha - \varepsilon)} = \sum_0^{\infty} s^n \cdot \cos n(\alpha - \varepsilon)$
cex θ	$x = \cos[\alpha(\theta)] = \cos\{\theta - \arcsin[s \cdot \sin(\theta - \varepsilon)]\}$	Cexα	$X = Cexα = \cos(Aexα) = \cos\left\{\theta + \frac{\arcsin[s \cdot \sin(\alpha - \varepsilon)]}{\sqrt{1 + s^2 - 2s \cdot \cos(\alpha - \varepsilon)}}\right\}$
sex θ	$y = \sin[\alpha(\theta)] = \sin\{\theta - \arcsin[s \cdot \sin(\theta - \varepsilon)]\}$	Sexα	$Y = Sexα = \sin(Aexα) = \sin\left\{\theta + \frac{\arcsin[s \cdot \sin(\alpha - \varepsilon)]}{\sqrt{1 + s^2 - 2s \cdot \cos(\alpha - \varepsilon)}}\right\}$
	$\cos\beta(\theta) = \frac{rex\theta}{dex\theta} = rex\theta \cdot Dexα$		$Rexα \cdot Dexα = dn(u, k=s); \quad \frac{Rexα}{dex\theta} = dn(u, k=s)$

FUNŢII SUPERMATEMATICE EVOLUTIVE EXCENTRICE DE VARIABLE CENTRICE α ŞI EXCENTRICE θ ÎN 3D

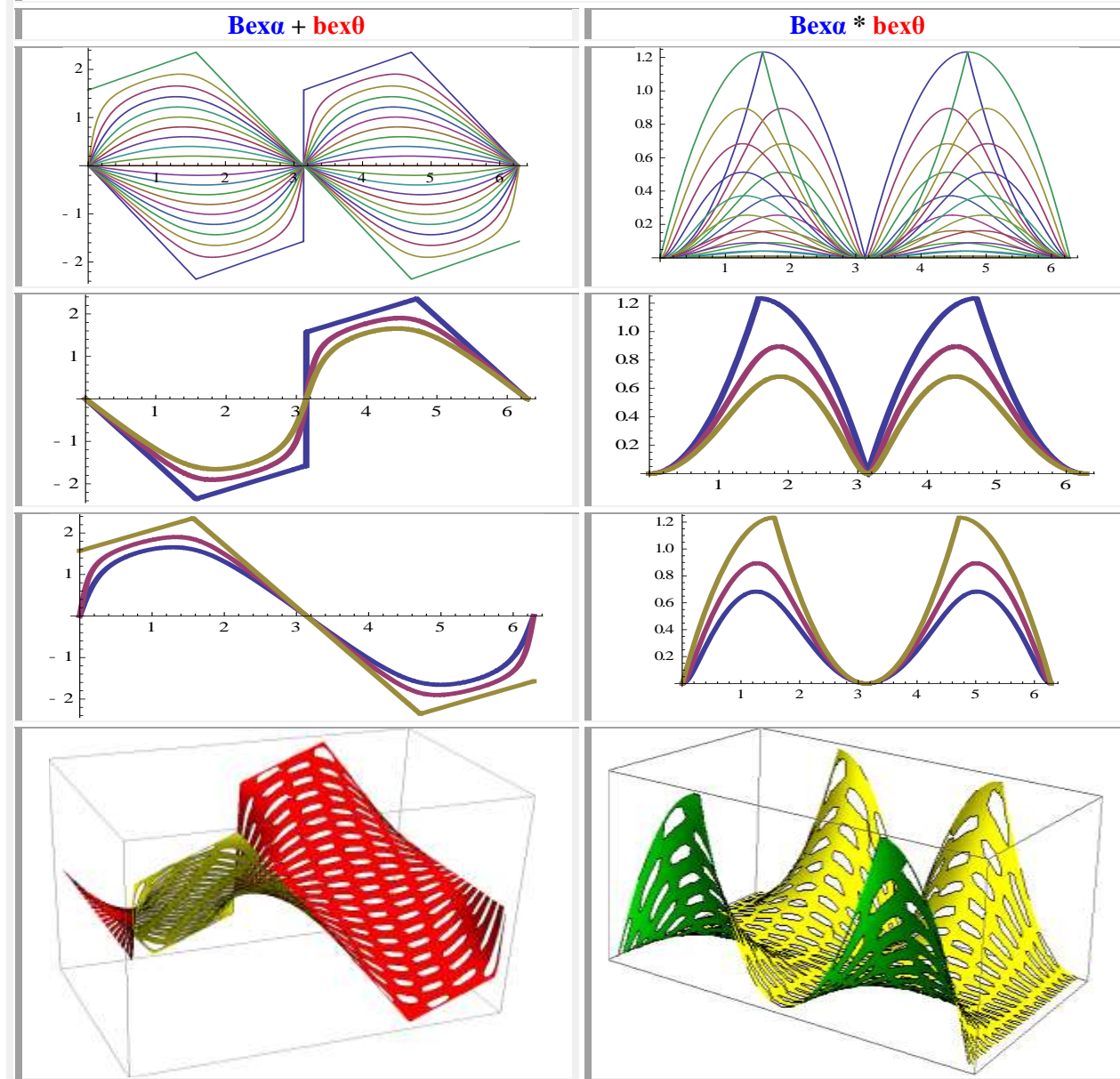


Fig. 1,b Sume ◀ şi produse ▶

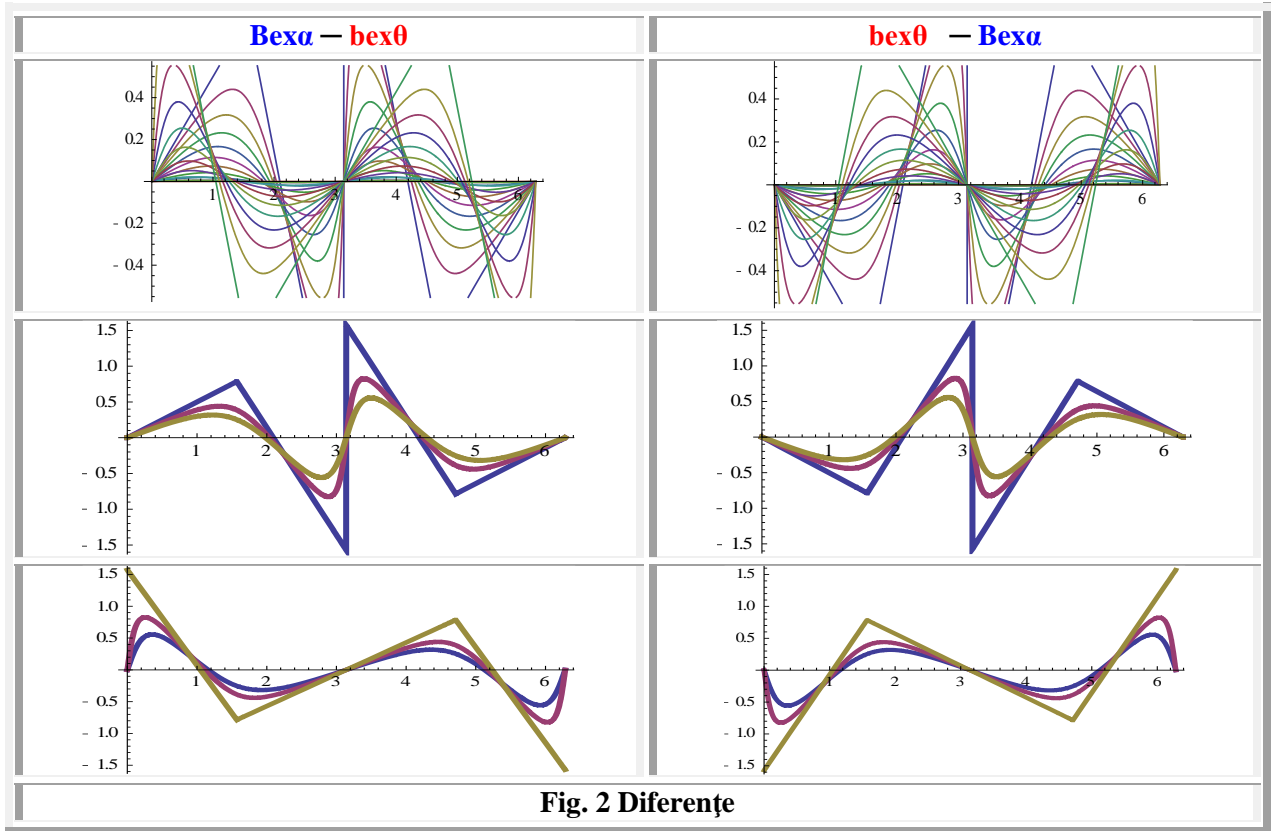
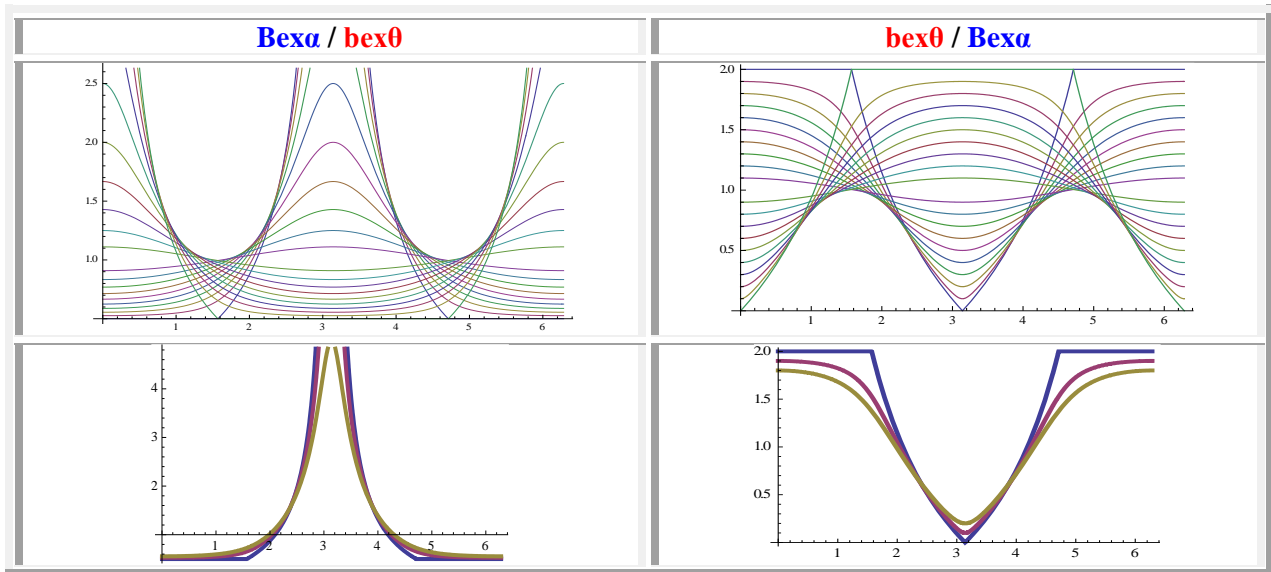
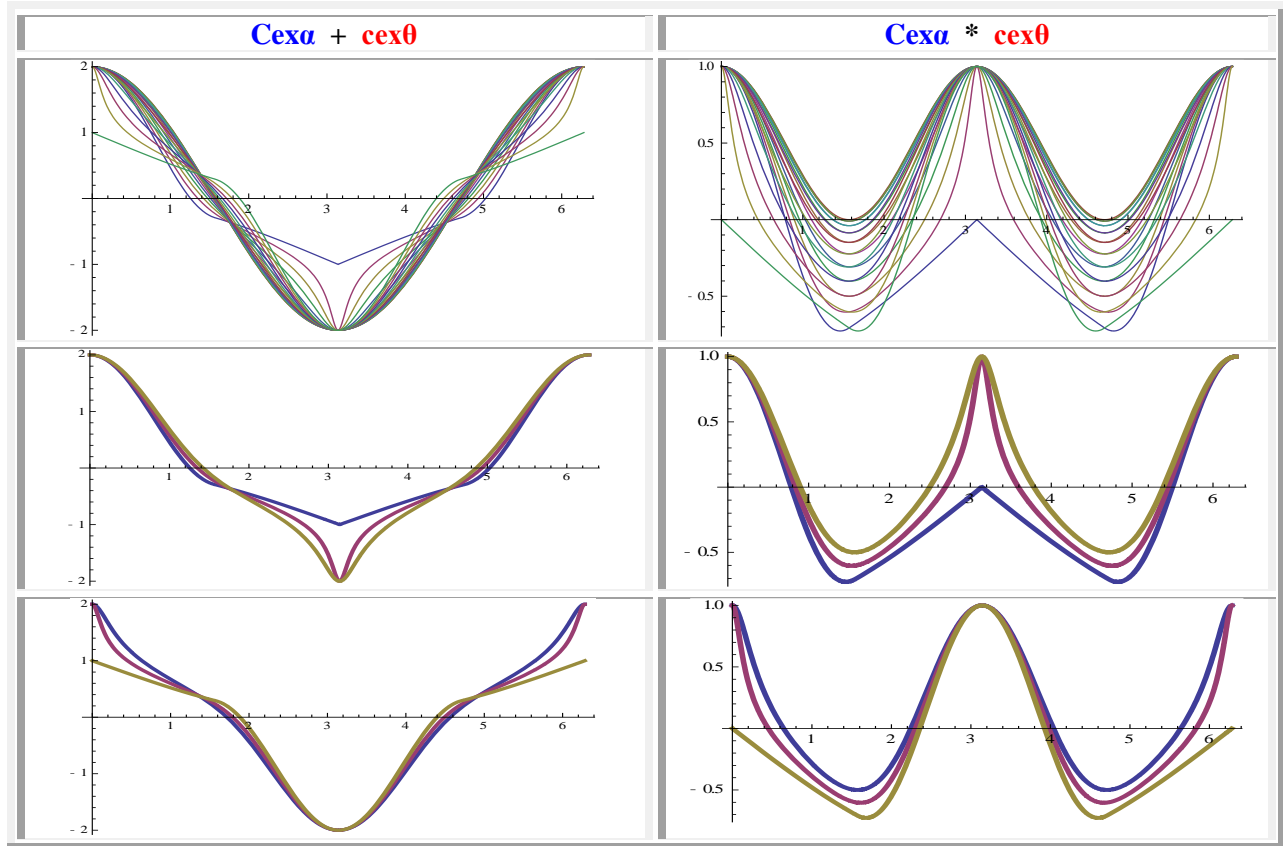
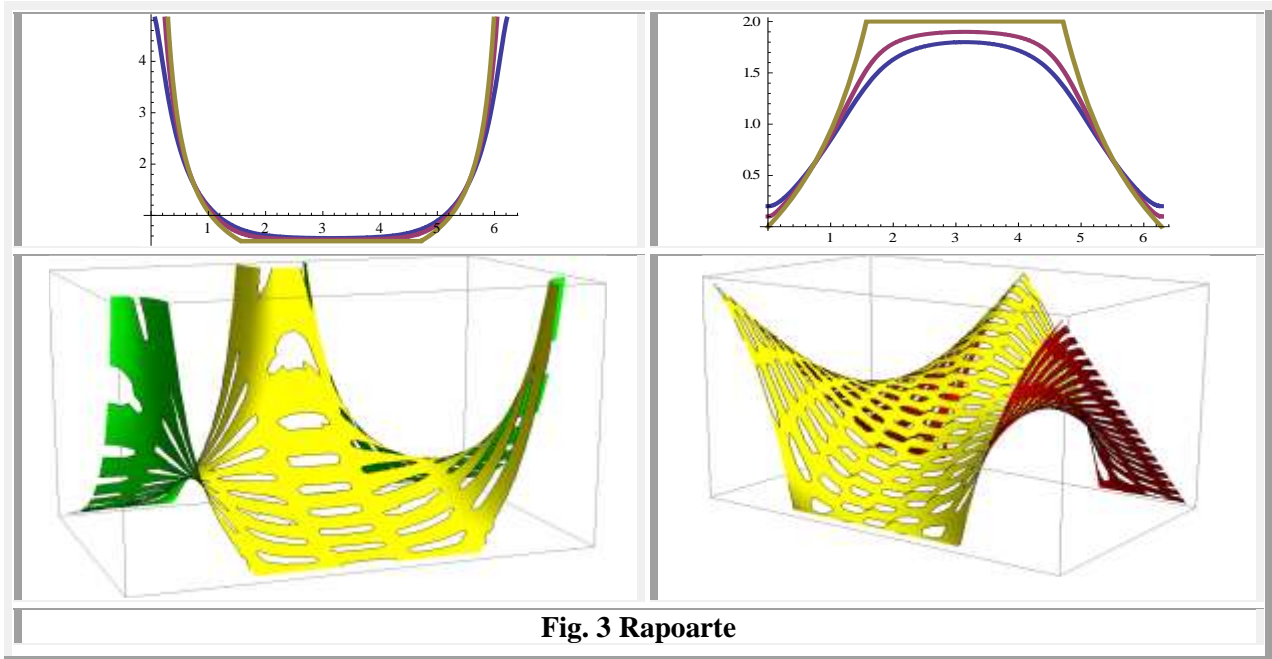


Fig. 2 Diferenţe





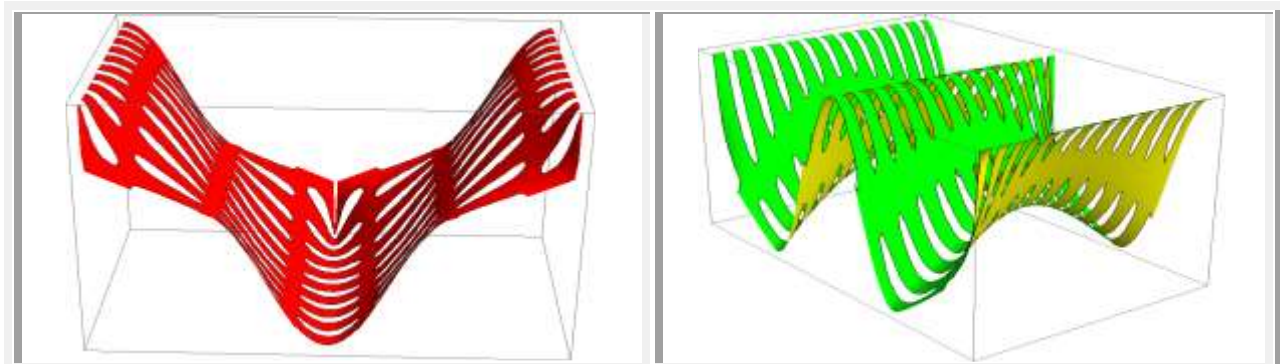


Fig. 4,a Sume ◀ și produse ▶ de cosinusuri excentrice

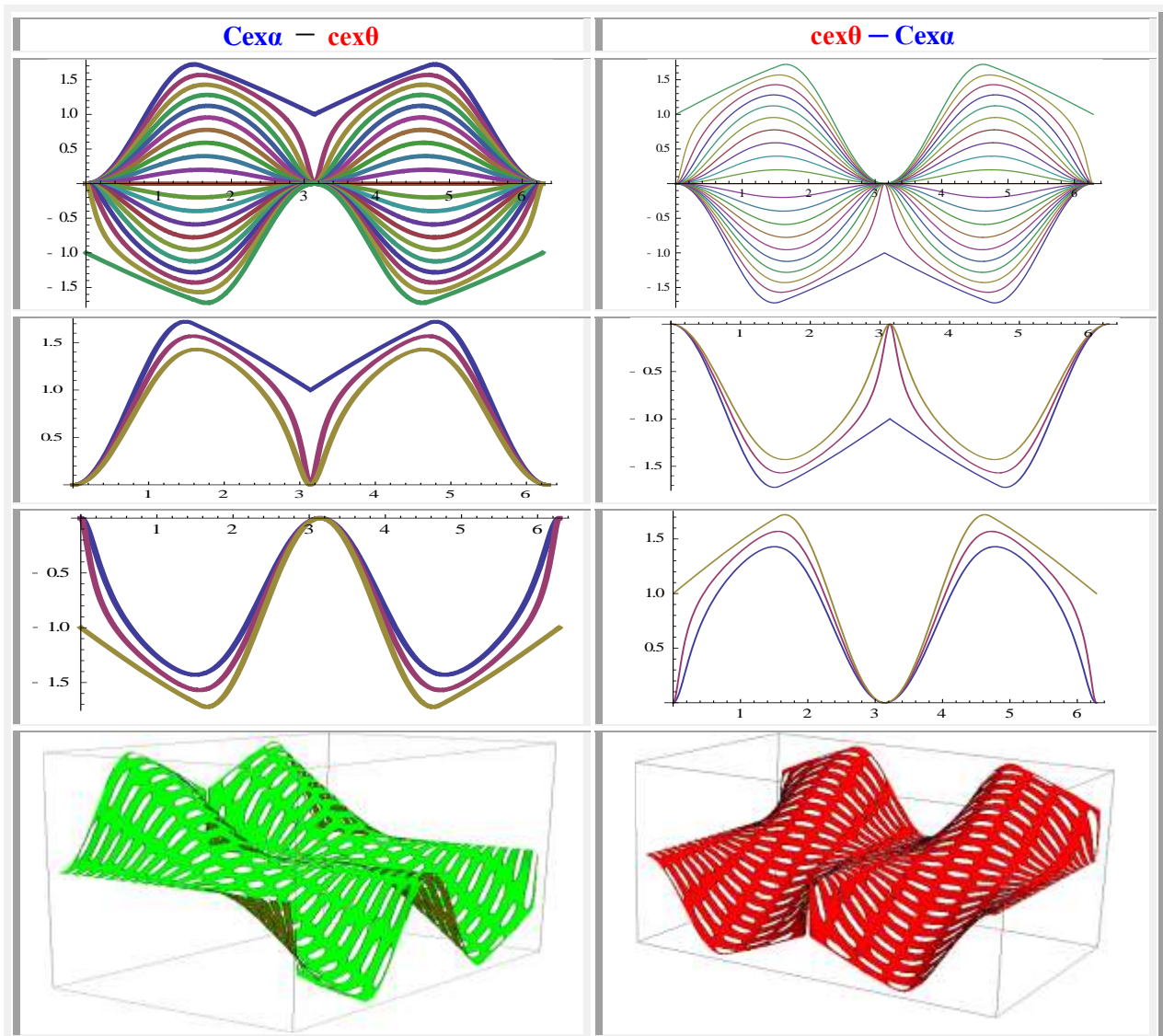
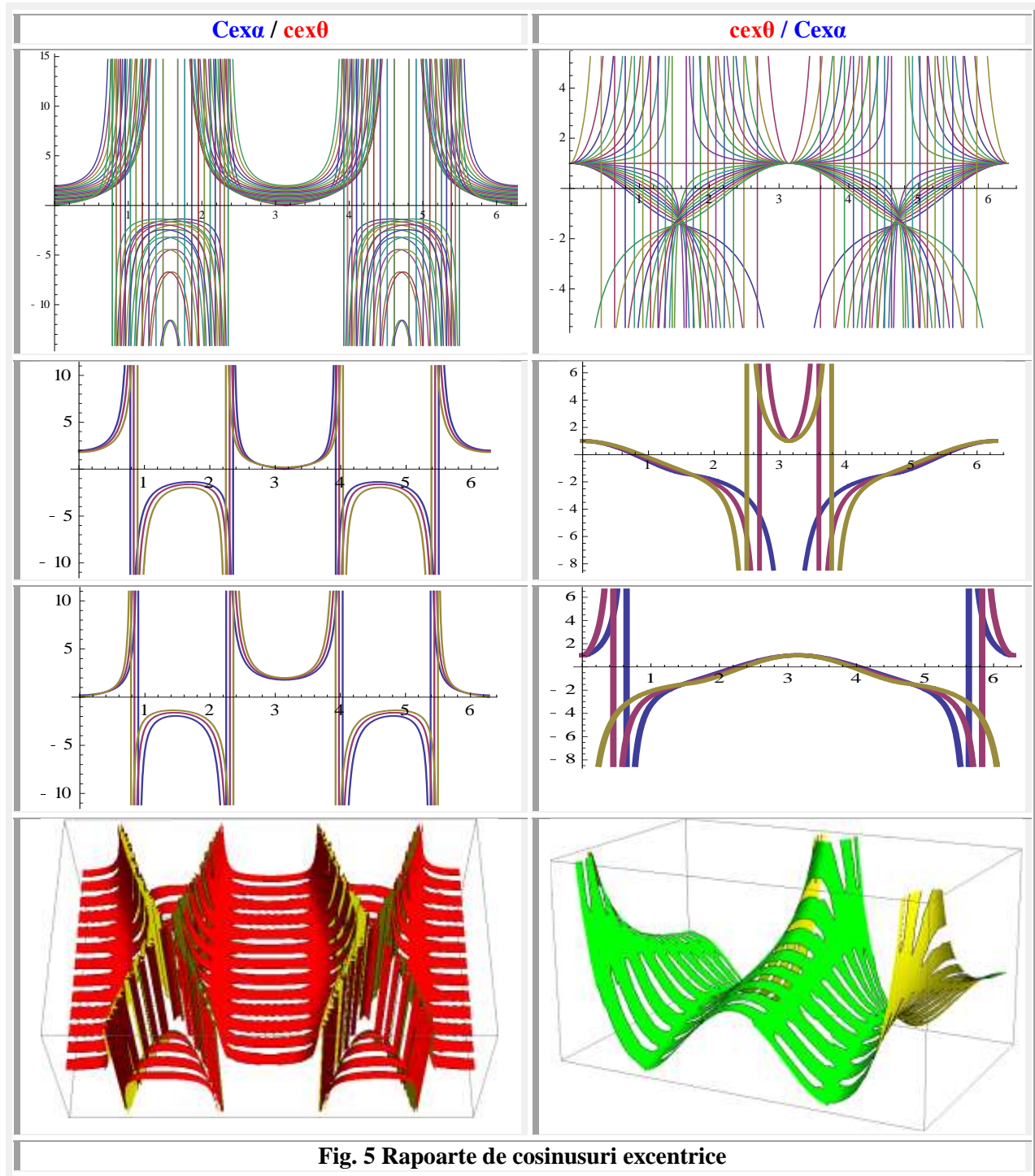
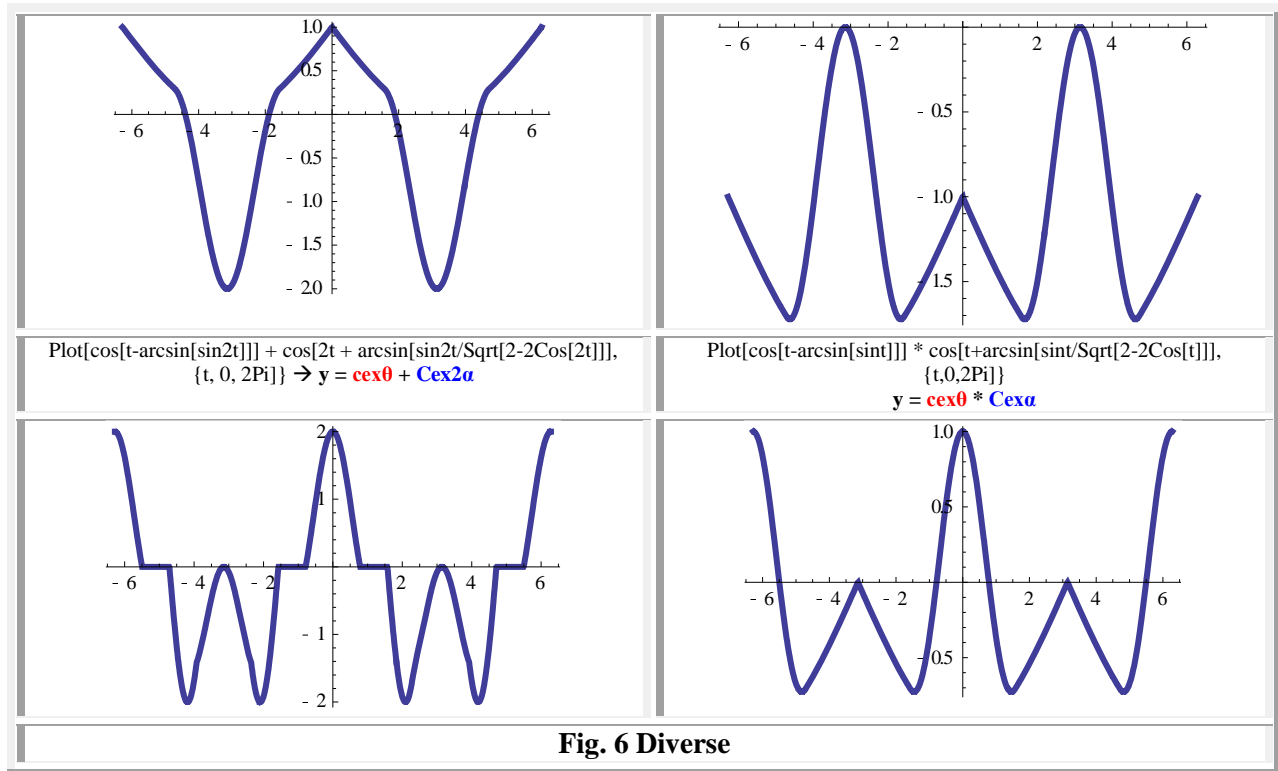


Fig. 4,b Diferențe de cosinusuri excentrice



$\text{Plot}[\cos[t - \arcsin[\sin t]] + \cos[t + \arcsin[\sin t / \sqrt{2 - 2\cos t}]], \{t, 0, 2\pi\}]$ $y = cex\theta + Cexa$	$\text{Plot}[\{\cos[t + \arcsin[\sin t / \sqrt{2 - 2\cos t}]] - 0.2 \cos[t - \arcsin[\sin t]]\}, \{t, 0, 2\pi\}] \rightarrow y = cex\theta + Cexa$
--	--



Motto: ” Cea mai înaltă *formă a gândirii pure* există în **matematică**.”

Citat clasic din **PLATON**

“Una și *mai înaltă* o găsiți în **SUPERMATEMATICĂ**”

Autorul **supermatematicii**

CAPITOLUL VII:

FUNȚII SUPERMATEMATICE EVOLUTIVE ELEVATOEXCENTRICE DE θ și de α

1. INTRODUCERE

Se spune că “*o imagine face mai mult decât o mie de cuvinte*” iar, în (**super**)matematică, însoțită de ecuațiile care o generează, face cu mult mai mult. De aceea, în prezenta expunere, acestea, cuvintele, vor fi extrem de puține, rezumându-ne doar la a reaminti ecuațiile unor **funcții supermatematice circulare excentrice (FSM–CE)** și a celor **elevate (FSM–EL)**, de care facem uz în prezenta lucrare.

Astfel, **FSM–CE cosinus cex θ** și **sinus sex θ excentrice** de variabilă excentrică θ sunt:

$$(1) \quad \begin{cases} cex\theta = \cos[\theta - bex\theta] = \cos[aex\theta] = \cos[\theta - \arcsin[s \cdot \sin(\theta - \varepsilon)]] \\ sex\theta = \sin[\theta - bex\theta] = \sin[aex\theta] = \sin[\theta - \arcsin[s \cdot \sin(\theta - \varepsilon)]] \end{cases}$$

iar cele de variabilă centrică α sunt :

$$(2) \quad \begin{cases} Cex\alpha = \cos[\alpha + Bex\alpha] = \cos[Aex\alpha] = \cos[\alpha + \arcsin[s \cdot \frac{\sin(\alpha - \varepsilon)}{\sqrt{1 - s^2 - 2s \cdot \cos(\alpha - \varepsilon)}}]] \\ Sex\alpha = \sin[\alpha + Bex\alpha] = \sin[Aex\alpha] = \sin[\alpha + \arcsin[s \cdot \frac{\sin(\alpha - \varepsilon)}{\sqrt{1 - s^2 - 2s \cdot \cos(\alpha - \varepsilon)}}]] \end{cases}$$

FSM–EL cosinus cel θ și **sinus sel θ elevate** de variabilă excentrică θ sunt:

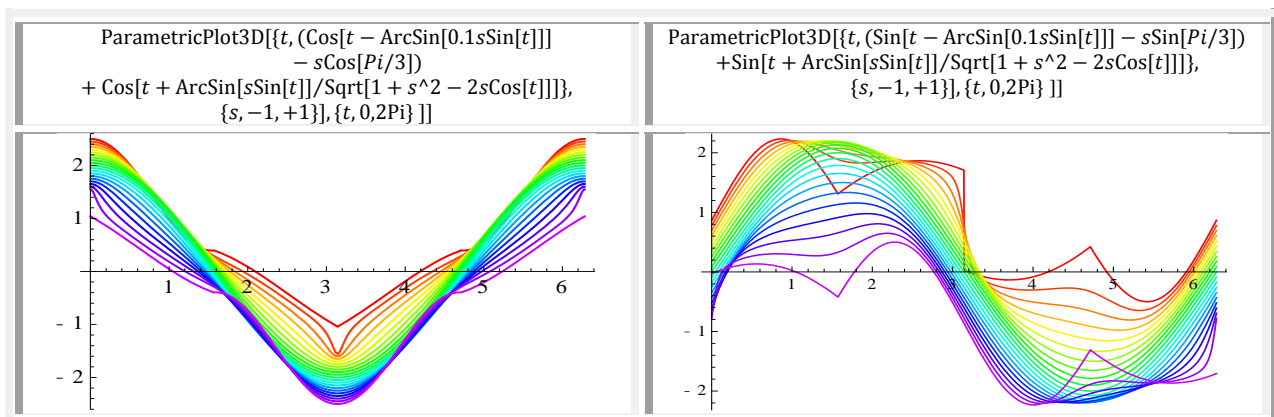
$$(3) \quad \begin{cases} cex\theta = \cos[\theta - bex\theta] - s \cdot \cos\varepsilon = \cos[\theta - \arcsin[s \cdot \sin(\theta - \varepsilon)]] - s \cdot \cos\varepsilon = cex\theta - s \cdot \sin\varepsilon \\ sex\theta = \sin[\theta - bex\theta] - s \cdot \sin\varepsilon = \sin[\theta - \arcsin[s \cdot \sin(\theta - \varepsilon)]] - s \cdot \sin\varepsilon = sex\theta - s \cdot \sin\varepsilon \end{cases}$$

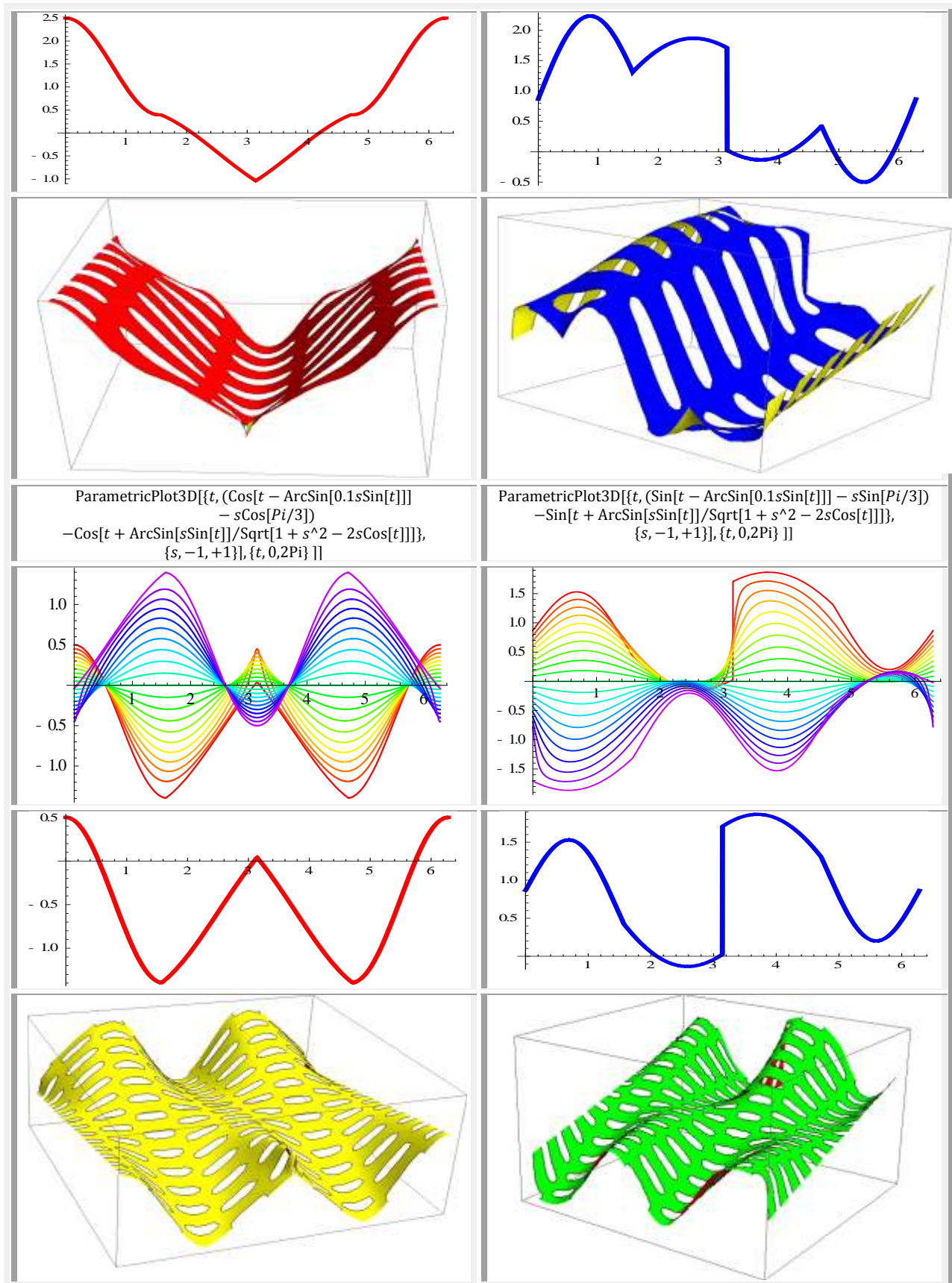
iar cele de variabilă centrică α sunt :

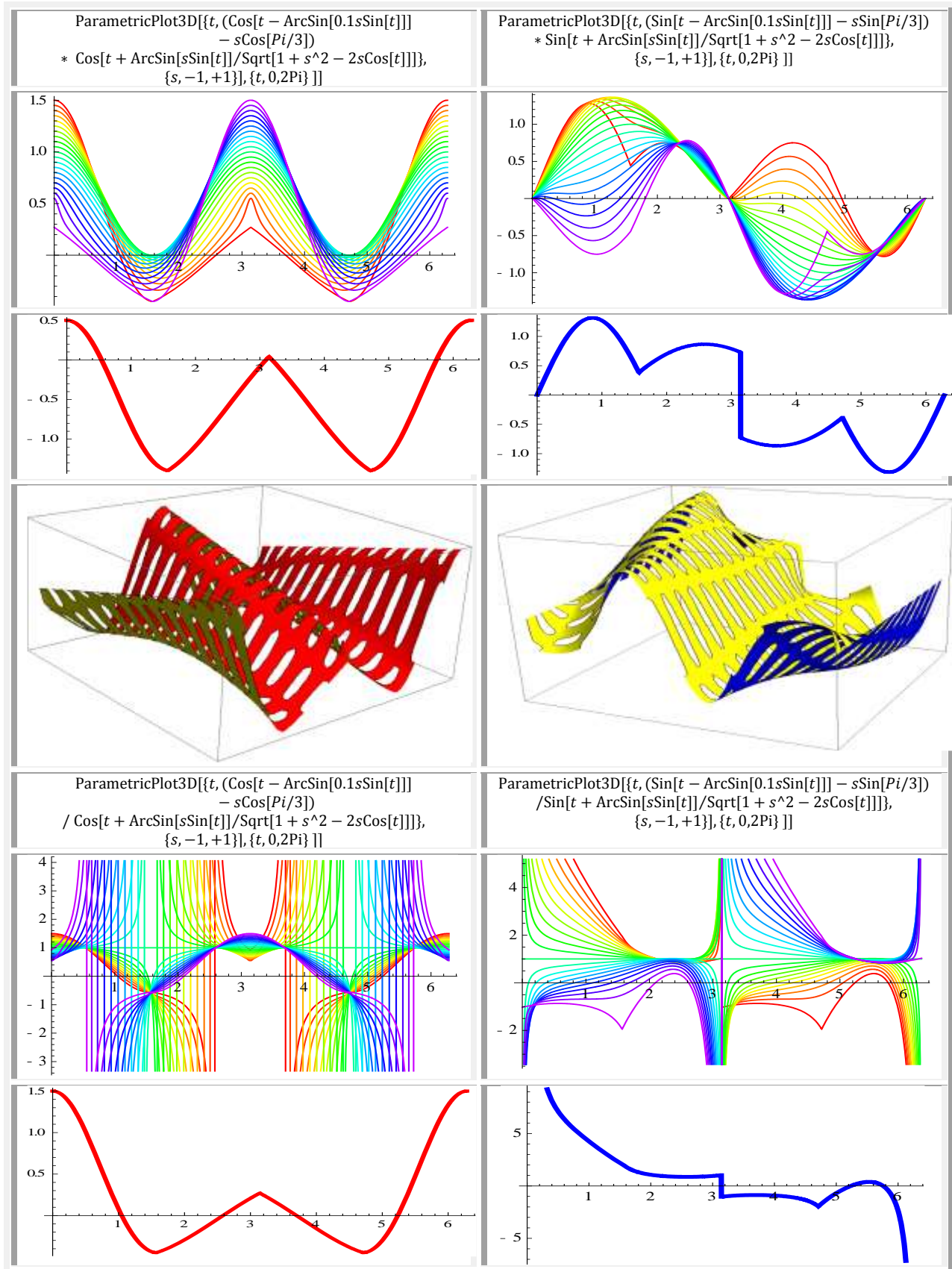
$$(4) \quad \begin{cases} Cex\alpha = \cos[\alpha + Bex\alpha] - s \cdot \cos\varepsilon = \cos[\alpha + \arcsin[s \cdot \frac{\sin(\alpha - \varepsilon)}{\sqrt{1 - s^2 - 2s \cdot \cos(\alpha - \varepsilon)}}]] - s \cdot \cos\varepsilon \\ Sex\alpha = \sin[\alpha + Bex\alpha] - s \cdot \sin\varepsilon = \sin[\alpha + \arcsin[s \cdot \frac{\sin(\alpha - \varepsilon)}{\sqrt{1 - s^2 - 2s \cdot \cos(\alpha - \varepsilon)}}]] - s \cdot \sin\varepsilon \end{cases}$$

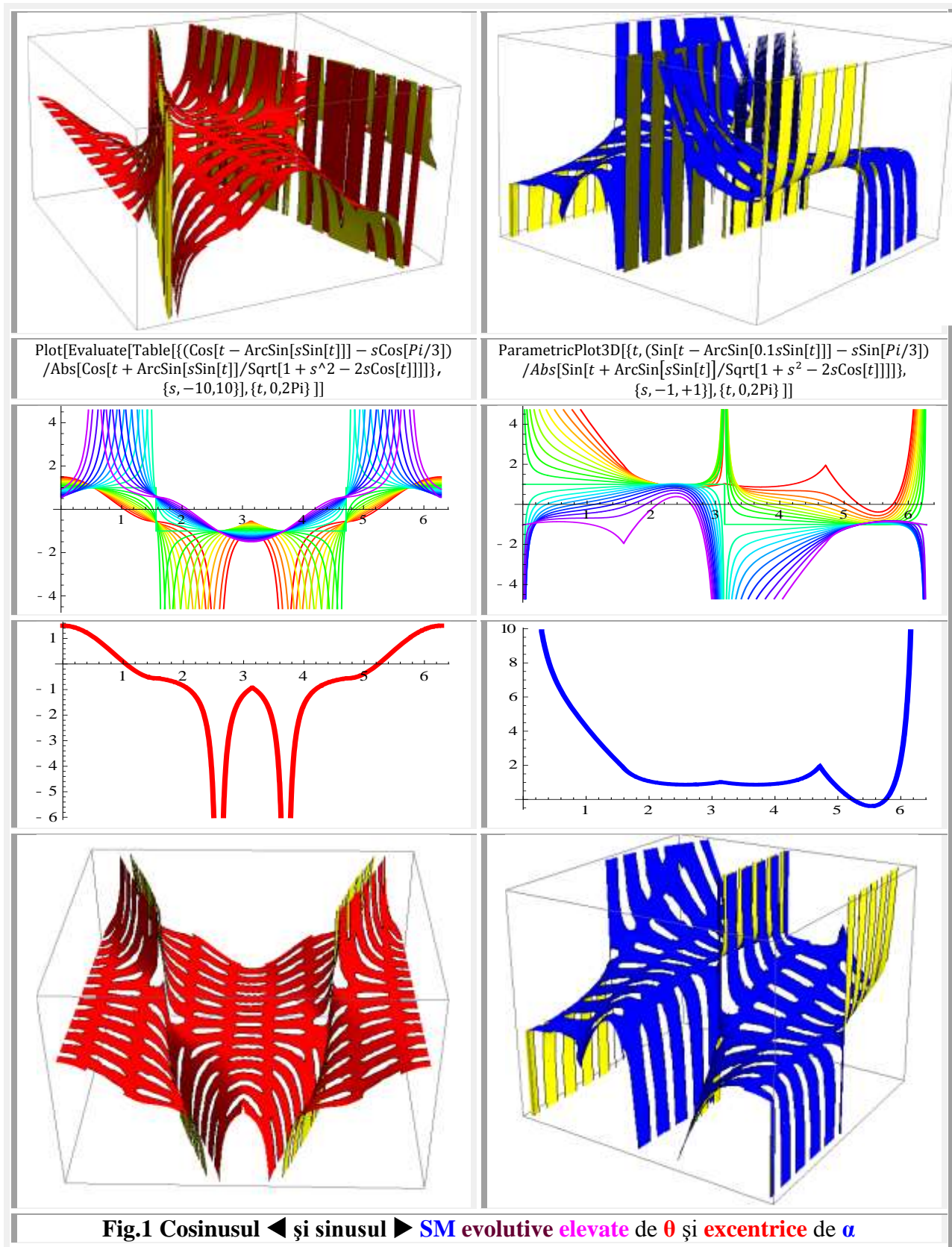
Pe baza lor au fost realizate graficele unor **funcții supermatematice circulare evolutive (FSM–Ev)** prezentate în **figura 1** și în **figura 2** prin suma, diferența, produsul și raportul lor.

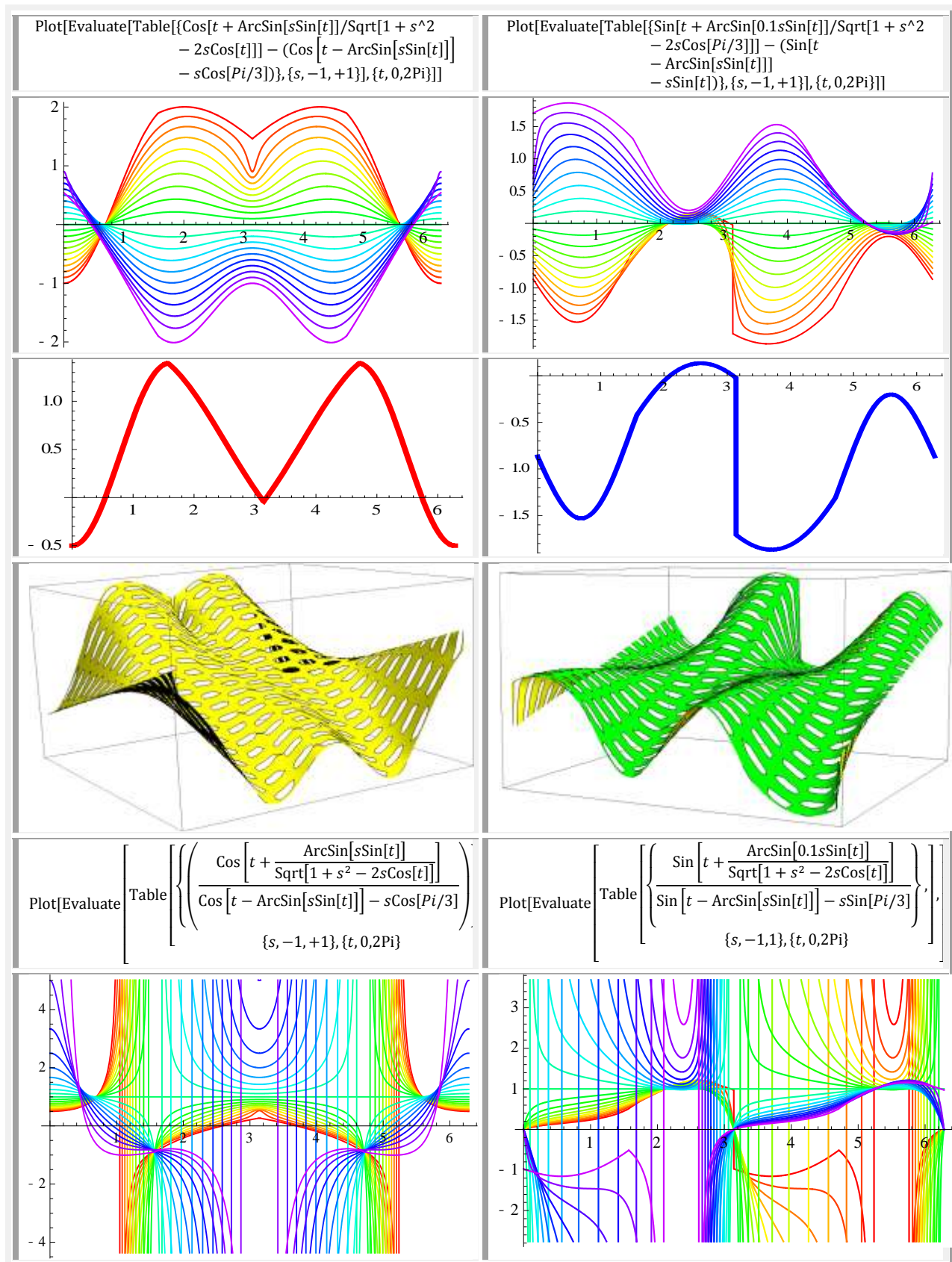
2. GRAFICE 1











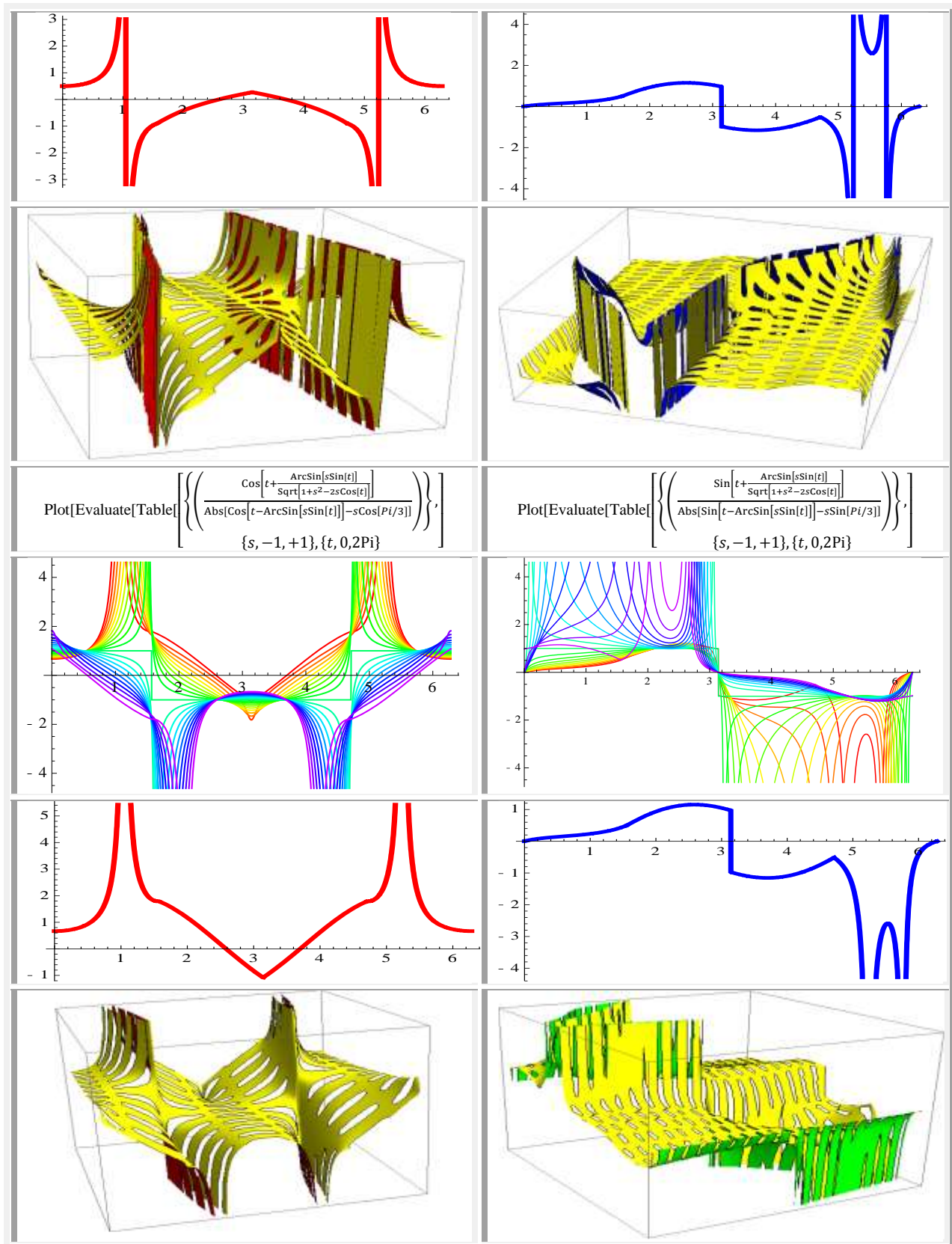
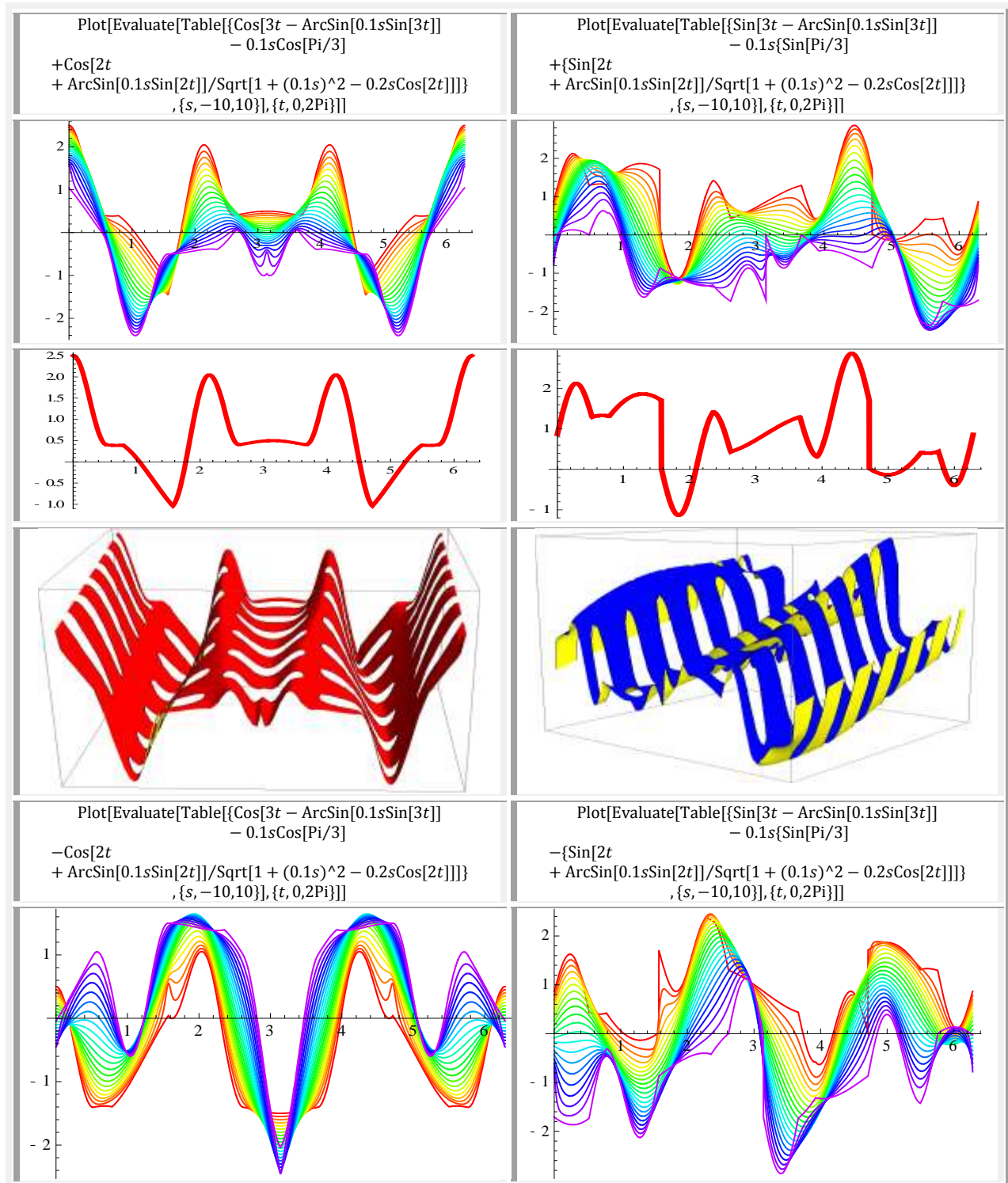
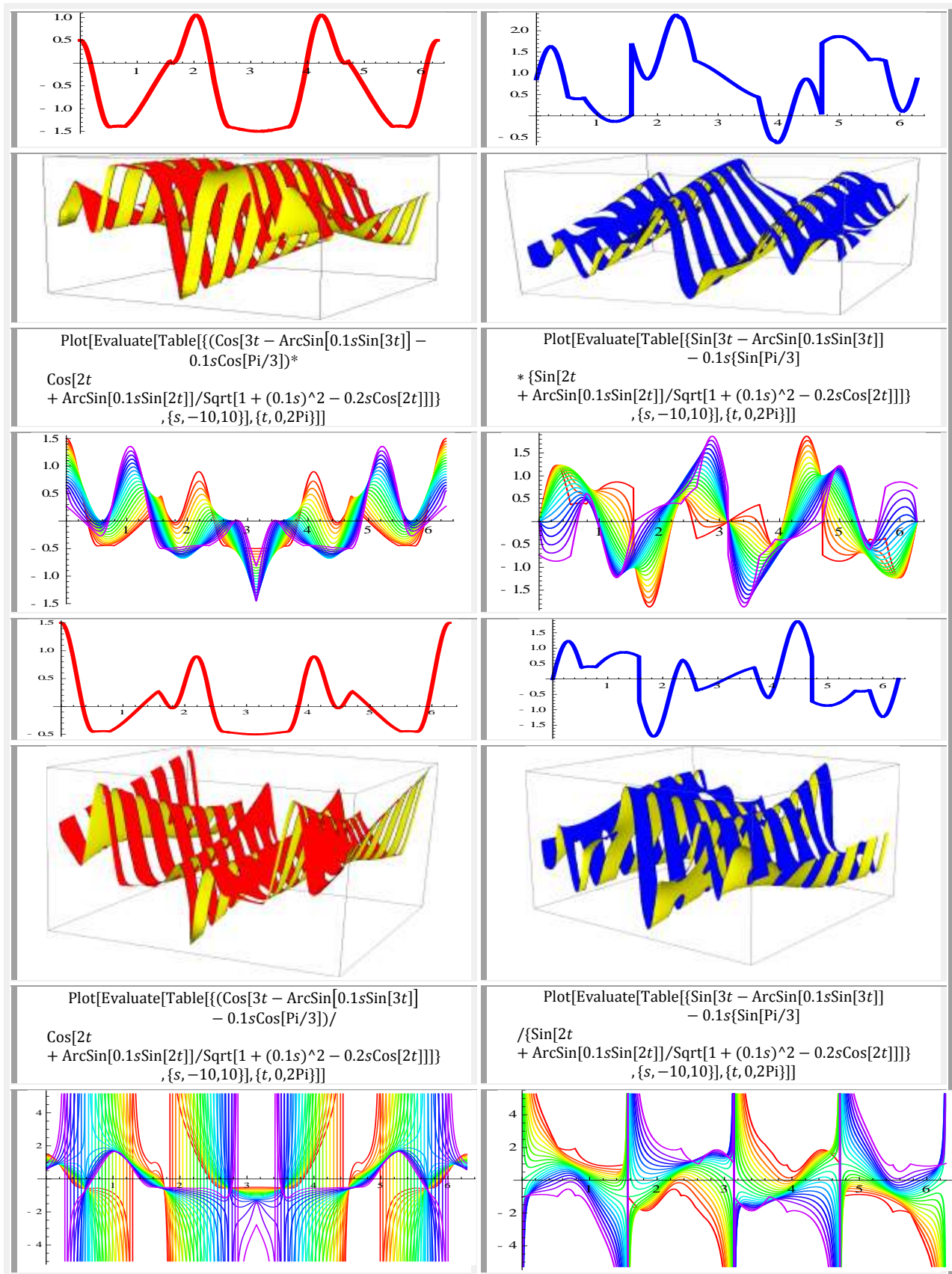


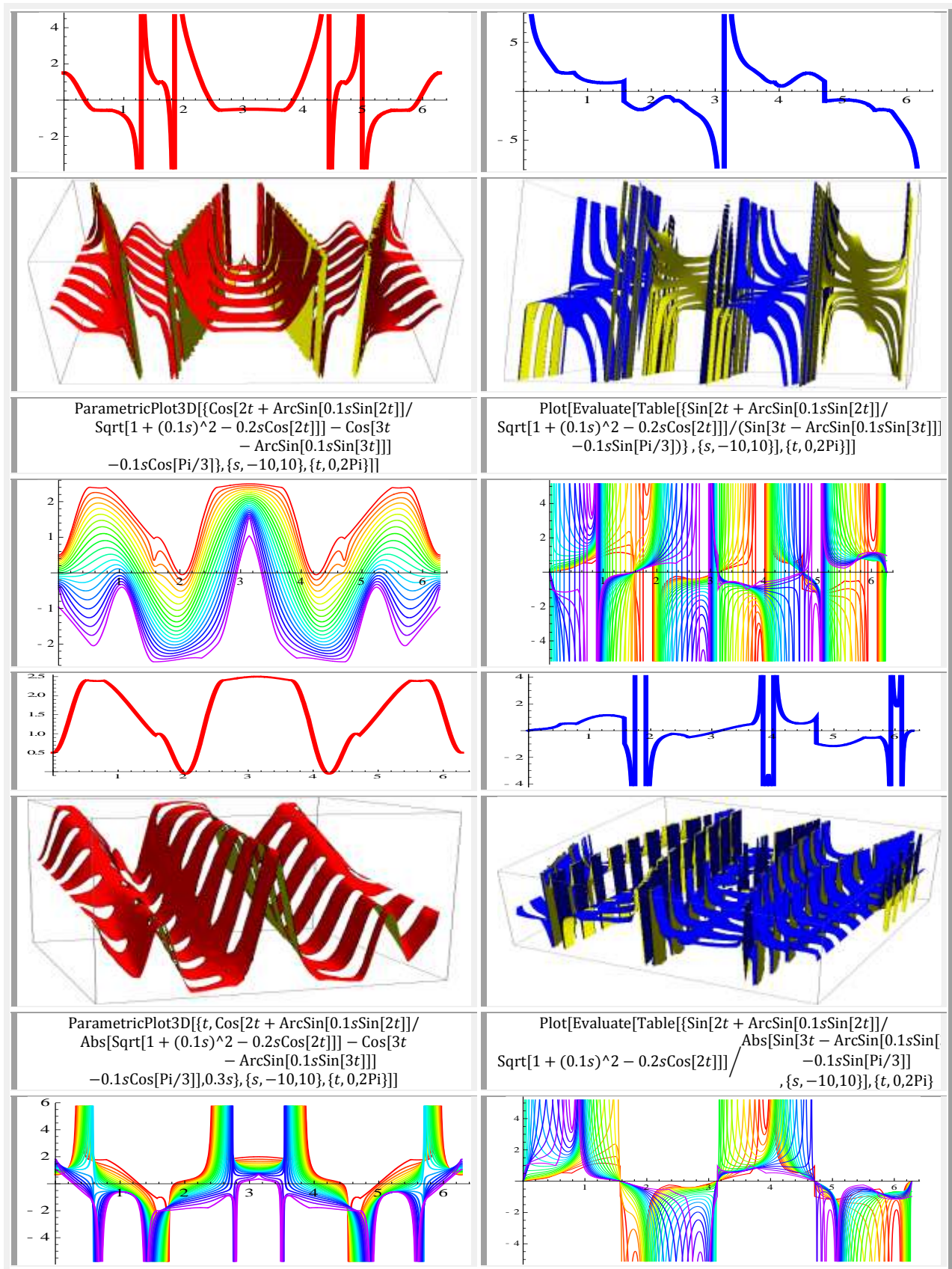
Fig. 2 Cosinusul ◀ și sinusul ▶ SM evolutive excentrice de α — elevate de θ

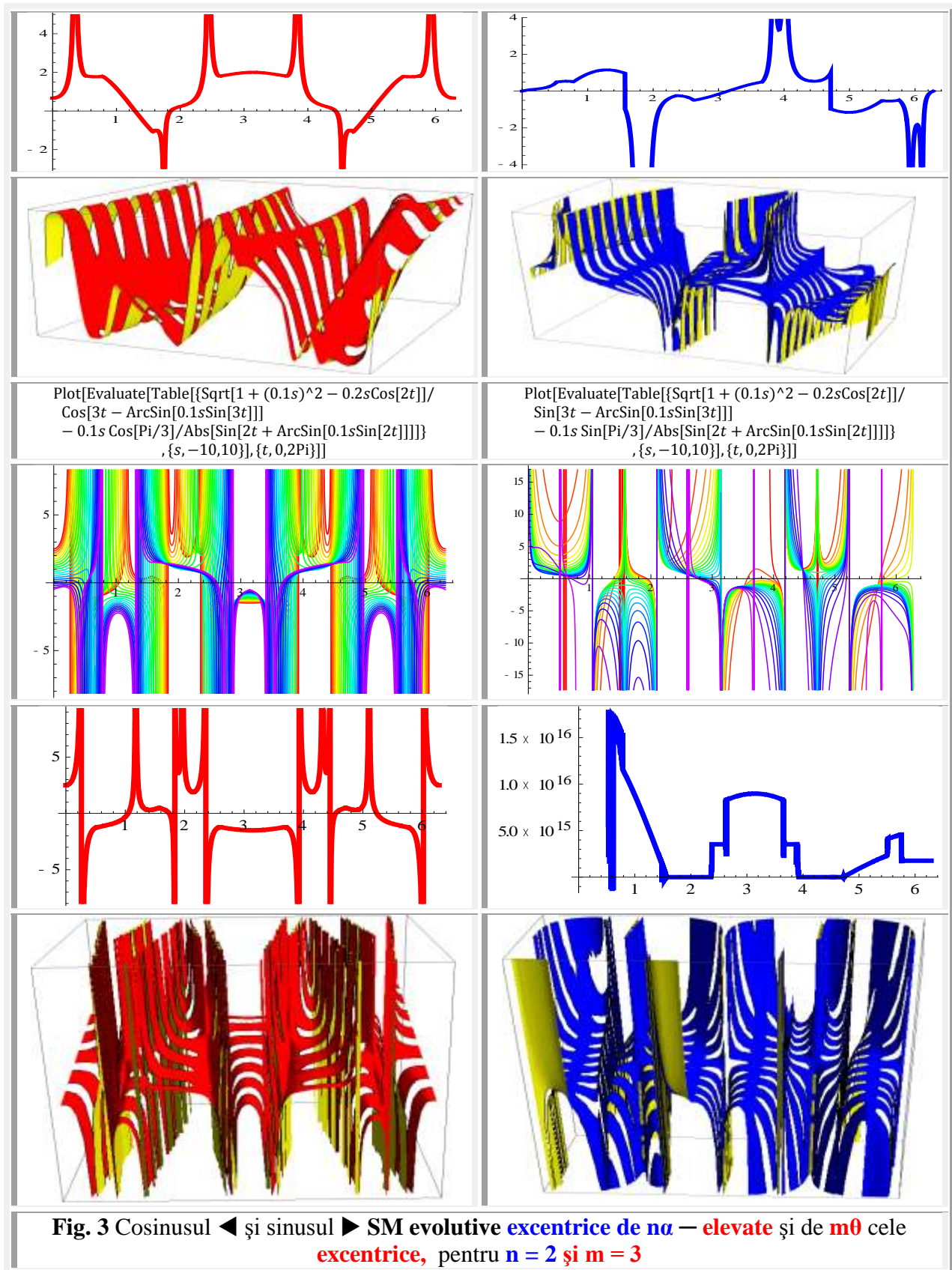
În **figurile 1 și 2** au fost prezentate cele patru operații cu funcțiile cosinus, în stânga ◀, iar în partea dreaptă, cele ale funcțiilor sinus; ambele de variabile θ și respectiv α . În continuare vor fi prezentate aceleași funcții dar de variabile $m\theta$ și, respectiv $n\alpha$, de $m = 3$ și $n = 2$ în **Figura 3**. Sunt prezentate, totodată, și graficele funcțiilor **SM evolutive** de $s = -1$.

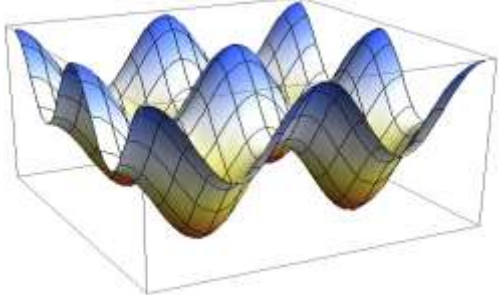
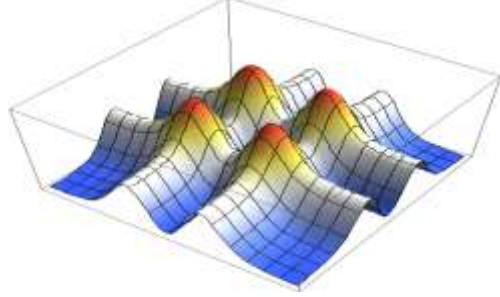
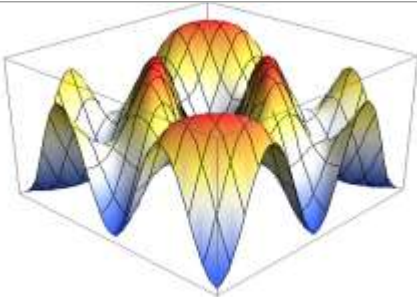
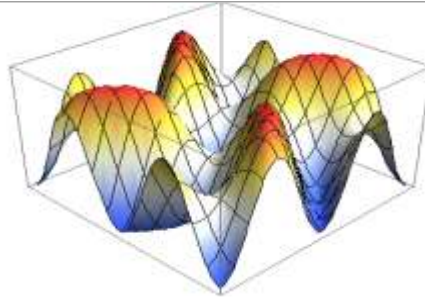
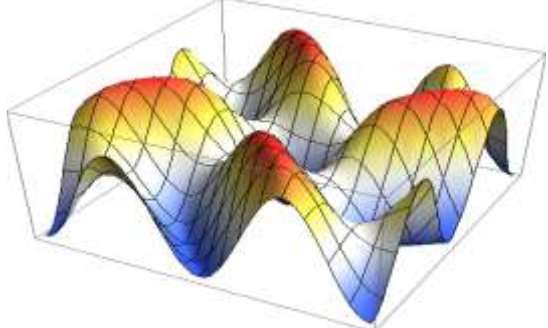
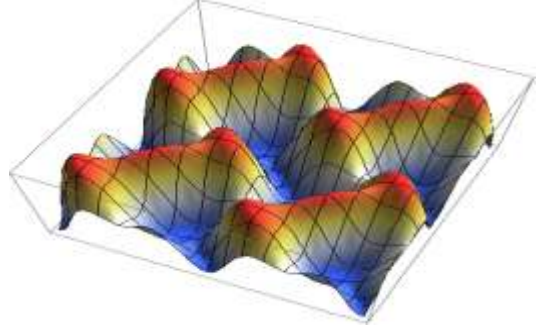
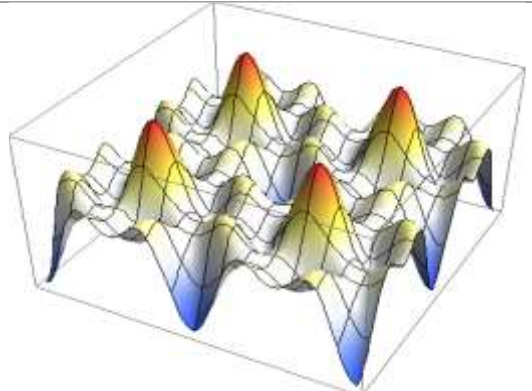
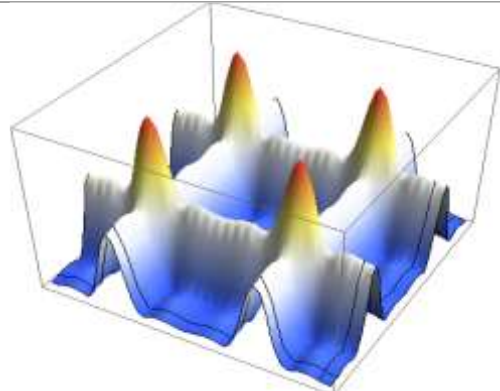
3. GRAFICE 2

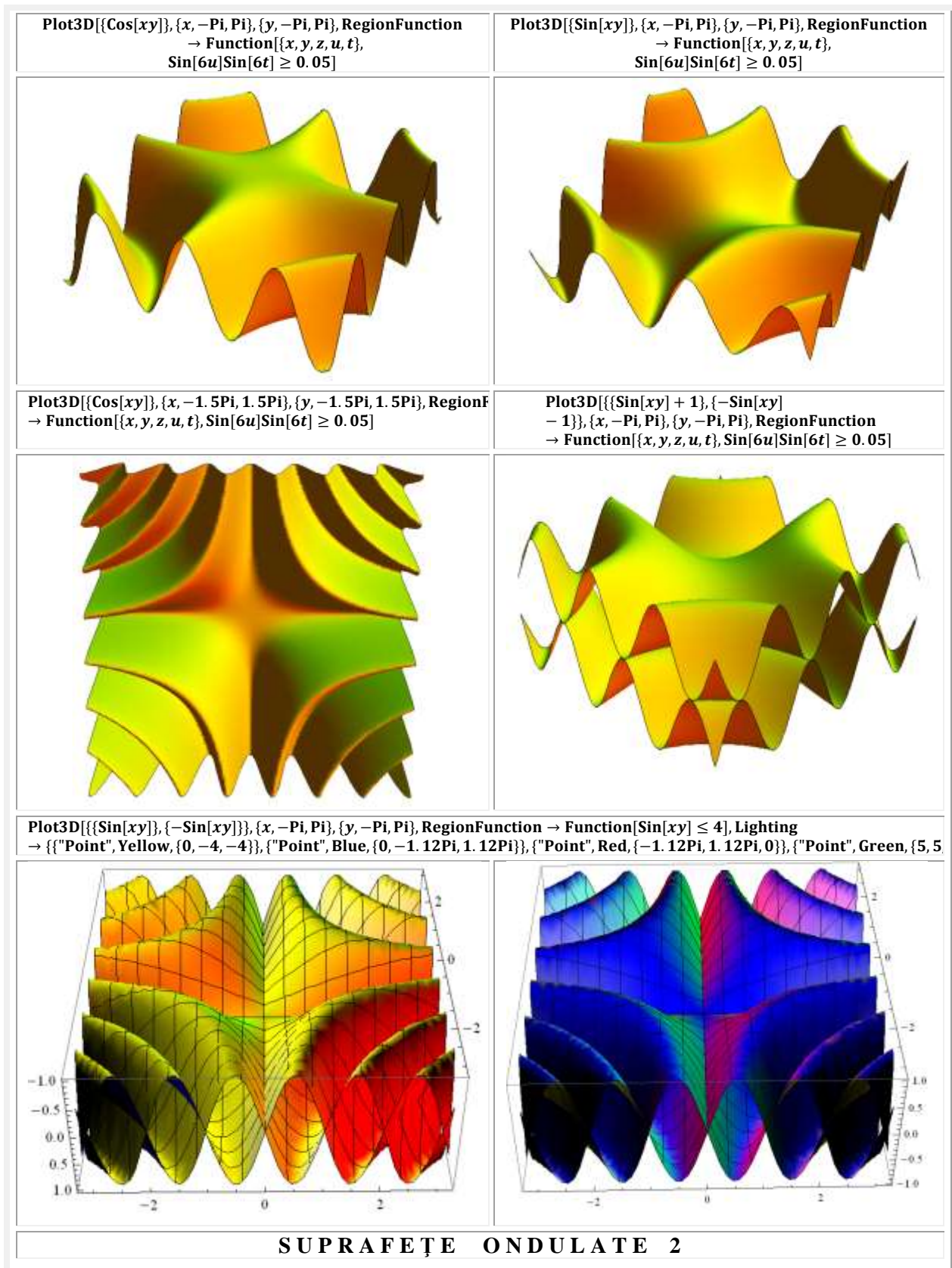








SUPRAFEȚE ONDULATE CU FSM $cex\theta$ și $sex\theta$	
$\text{Plot3D}[\{\text{Sin}[x]^2 + \text{Sin}[y]^2\}, \{x, 0, 2\text{Pi}\}, \{y, 0, 2\text{Pi}\}]$	$\text{Plot3D}[\{\text{Sin}[x - \text{ArcSin}[0.8\text{Sin}[x]]]^2 + \text{Sin}[y - \text{ArcSin}[0.8\text{Sin}[y]]]^2\}, \{x, 0, 2\text{Pi}\}, \{y, 0, 2\text{Pi}\}]$
	
$z = \text{Sin}[x - \text{ArcSin}[0.8\text{Sin}[xy]]]^2 + \text{Sin}[y - \text{ArcSin}[0.8\text{Sin}[x]]]^2$	$z = \text{Sin}[x - \text{ArcSin}[0.8\text{Sin}[y]]]^2 + \text{Sin}[y - \text{ArcSin}[0.8\text{Sin}[x]]]^2$
	
$z = \text{Sin}[x + \text{ArcSin}[0.8\text{Sin}[y]]]^2 + \text{Sin}[y - \text{ArcSin}[0.8\text{Sin}[x]]]^2$	$z = \text{Sin}[x - \text{ArcSin}[0.8\text{Sin}[2y]]]^2 + \text{Sin}[y - \text{ArcSin}[0.8\text{Sin}[2x]]]^2$
	
$z = \text{Sin}[x - \text{ArcSin}[0.8\text{Sin}[2y]]]^2 + \text{Sin}[y + \text{ArcSin}[0.8\text{Sin}[2x]]]^2$	$z = \text{Sin}[x - \text{ArcSin}[0.8\text{Sin}[2x]]]^2 + \text{Sin}[y - \text{ArcSin}[0.8\text{Sin}[2y]]]^2$
	



Motto:” Un matematician vede în **matematică** ceva frumos, ceva interesant, ceva care îi place, ceva care îi e drag, ceva care îl tulbură, îl face să gândească, să mediteze, să viseze. ”

Grigore C. Moisil

Un inginer, la fel, în **supermatematică** vede şi nemărginirea şi măreţia ei. **Autorul.**

CAPITOLUL VIII

FUNCTII SUPERMATEMATICE EVOLUTIVE ELIPTICE CENTRICOEXCENTRICE DE PERIOADĂ $4K(k)$

1 INTRODUCERE

Funcţiile eliptice, pe care acum le denumim şi **centrice (FEL C)**, din motive evidente, au fost introduse în matematică de **Carl Gustav Jacob Jacobi**, ca funcţii inverse ale integralelor eliptice de speţa întâi $E(k,u)$ şi de speţa a doua $K(k,u)$.

Integralele şi **funcţiile eliptice excentrice (FEL E)** au fost introduse în matematică de autor prin lucrarea **Şelariu, M. E. “SUPERMATEMATICA. FUNDAMENTE”**, Vol. I şi Vol. II, ediţia a 2-a, Ed “Politehnica” din Timişoara, 2012, în Vol II, Cap. 12 “INTEGRALE ŞI FUNCTII ELIPTICE EXCENTRICE”.

Aplicând simultan, cele patru operaţii matematice, acestor două tipuri de funcţii eliptice se vor obţine funcţiile **centricoexcentrice** şi, în cazul diferenţei şi a raportului lor, şi a celor **excentricocentrice**, care, în cazul diferenţei sunt egale cu cele sumă dar cu semn schimbat, iar în cazul raportului este inversul **FEL E centricoexcentrice**.

În **figura 1**, în partea superioară \blacktriangle , sunt prezentate, în **2D**, graficele **funcţiilor eliptice centrice** în partea stângă \blacktriangleleft , iar a celor **excentrice** în partea dreaptă \blacktriangleright iar, în partea inferioară \blacktriangledown , în **3D** în următoarea ordine: **am(u, k), dn(u, k), cn(u, k), sn(u, k)**.

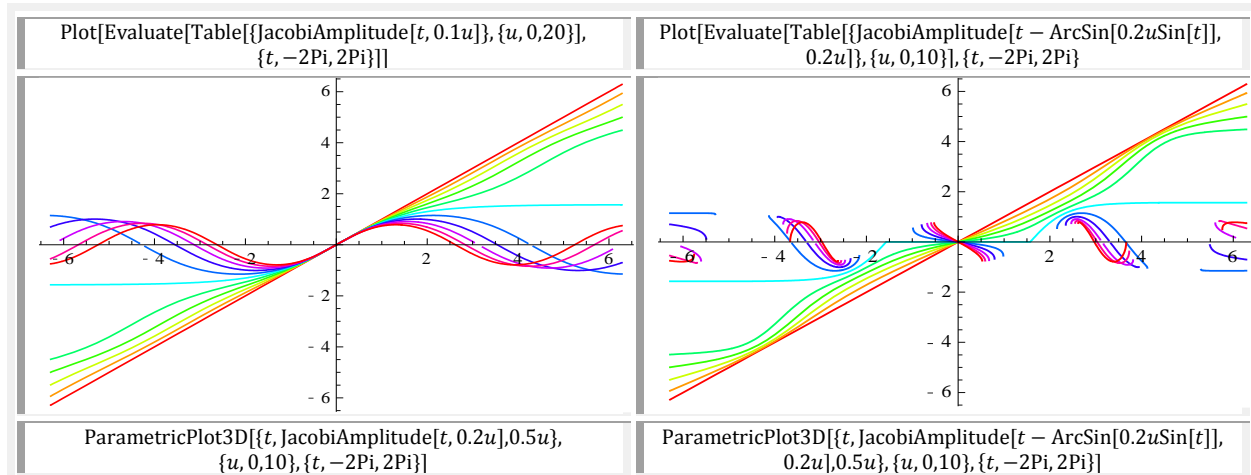
Funcţiile eliptice combinate (evolutive FEL Ev) vor fi prezentate în figurile următoare în aceeaşi ordine: **dnev(u, k), cnev(u, k), snev(u, k)** în partea stângă în **2D** \blacktriangleleft şi în **3D** în partea dreaptă \blacktriangleright a figurilor.

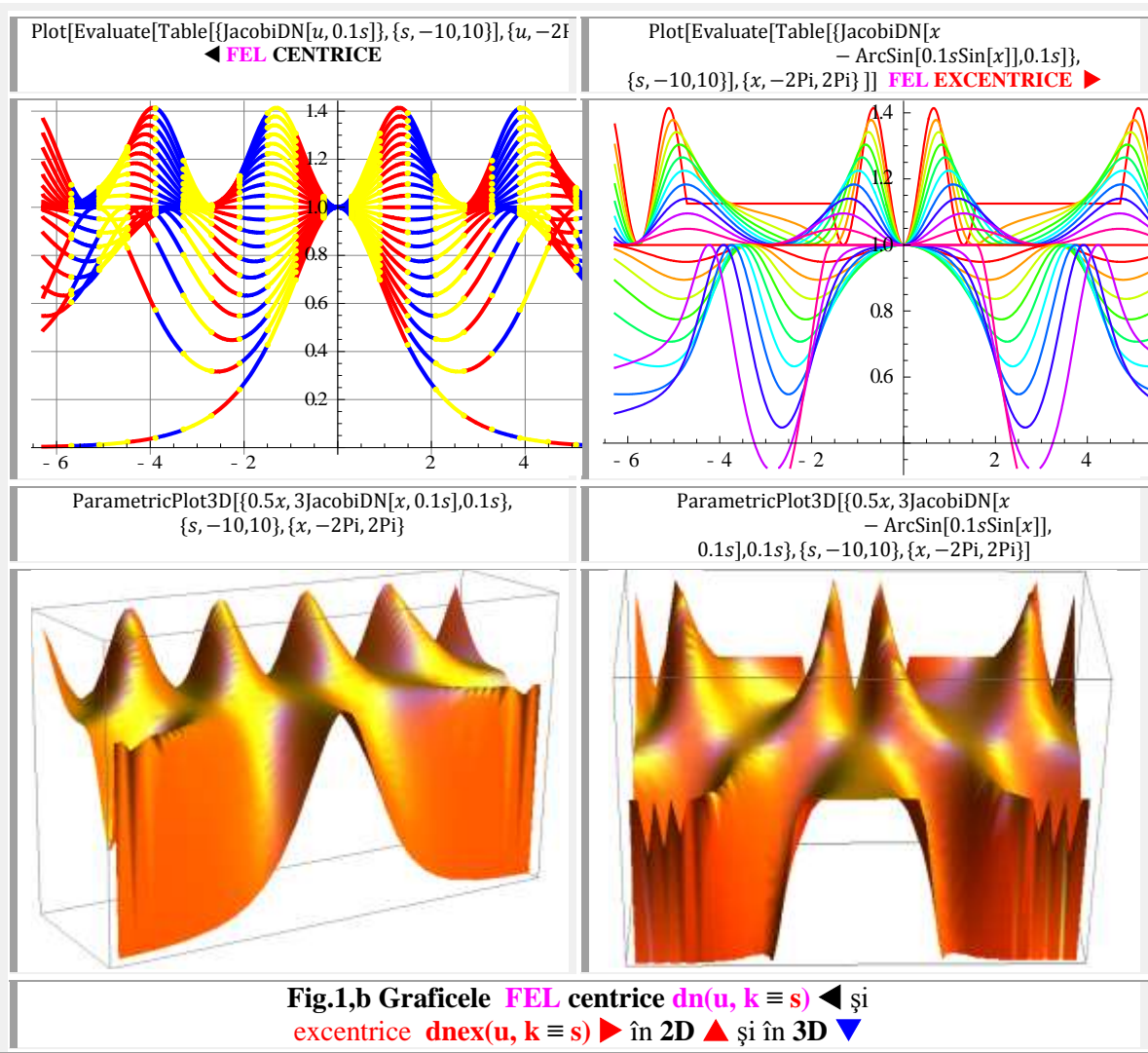
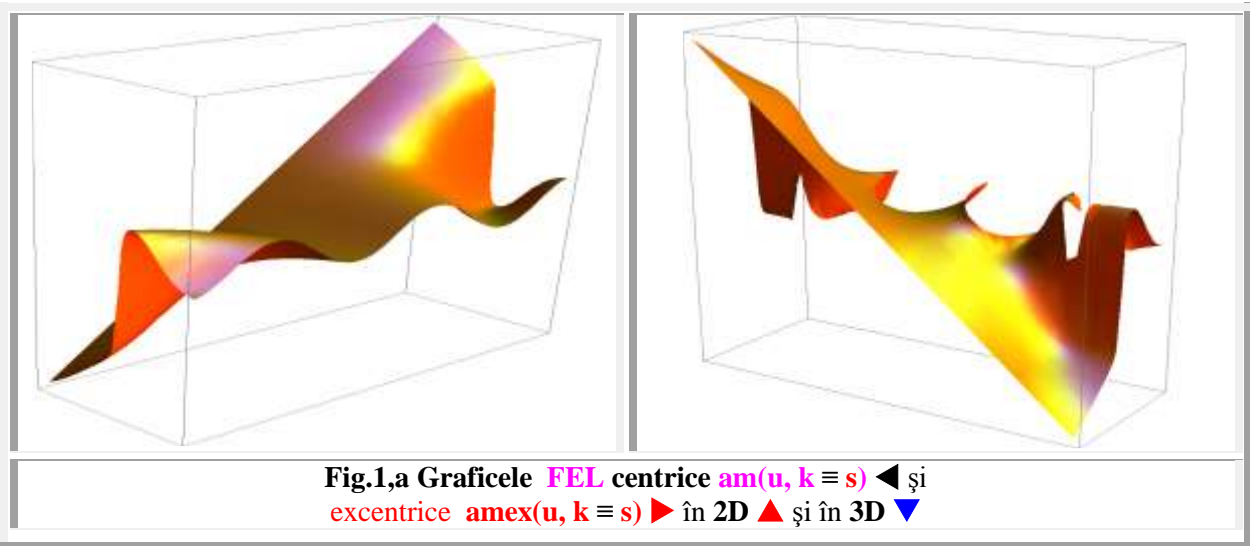
În graficele amintite anterior, funcţiile eliptice sunt cele clasice de perioadă $T = 4K(k)$. Ele pot fi convertite la perioada de $T = 2\pi$ (şi vor fi prezentate în nota următoare) prin amplificarea variabilei u cu :

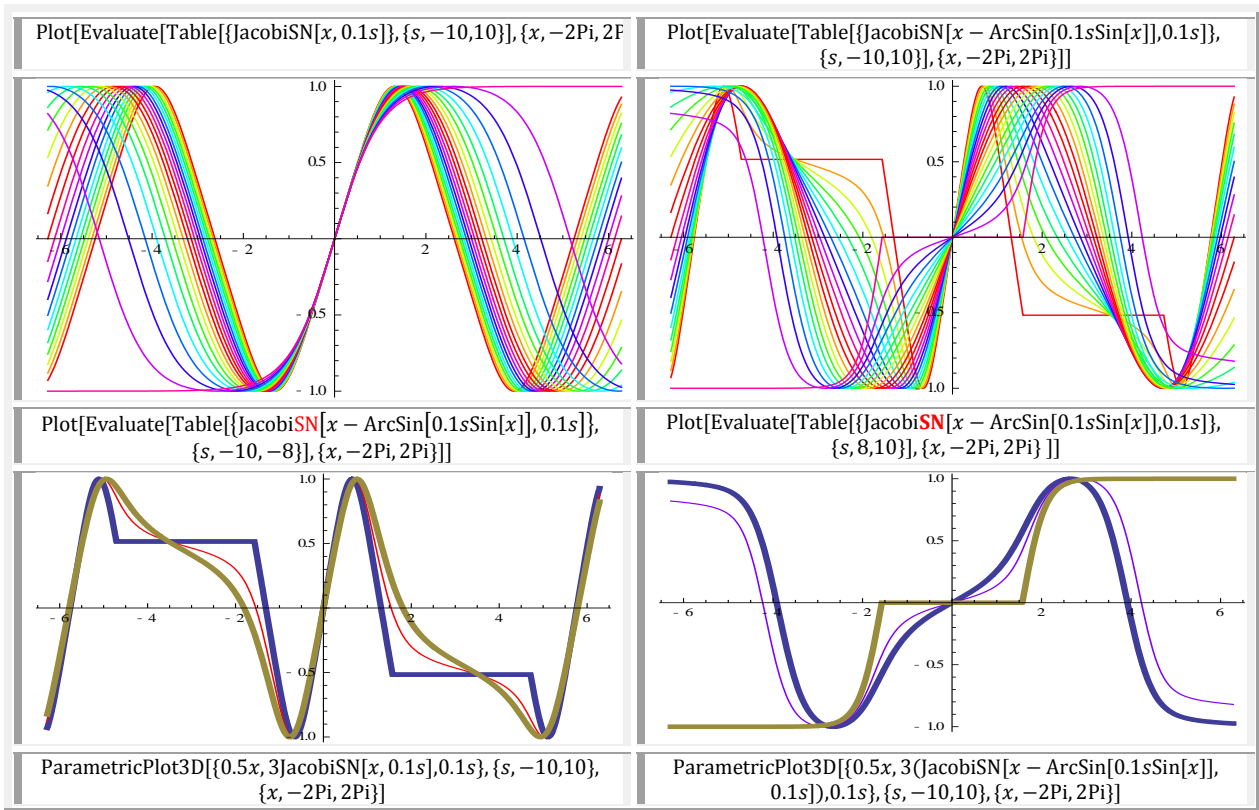
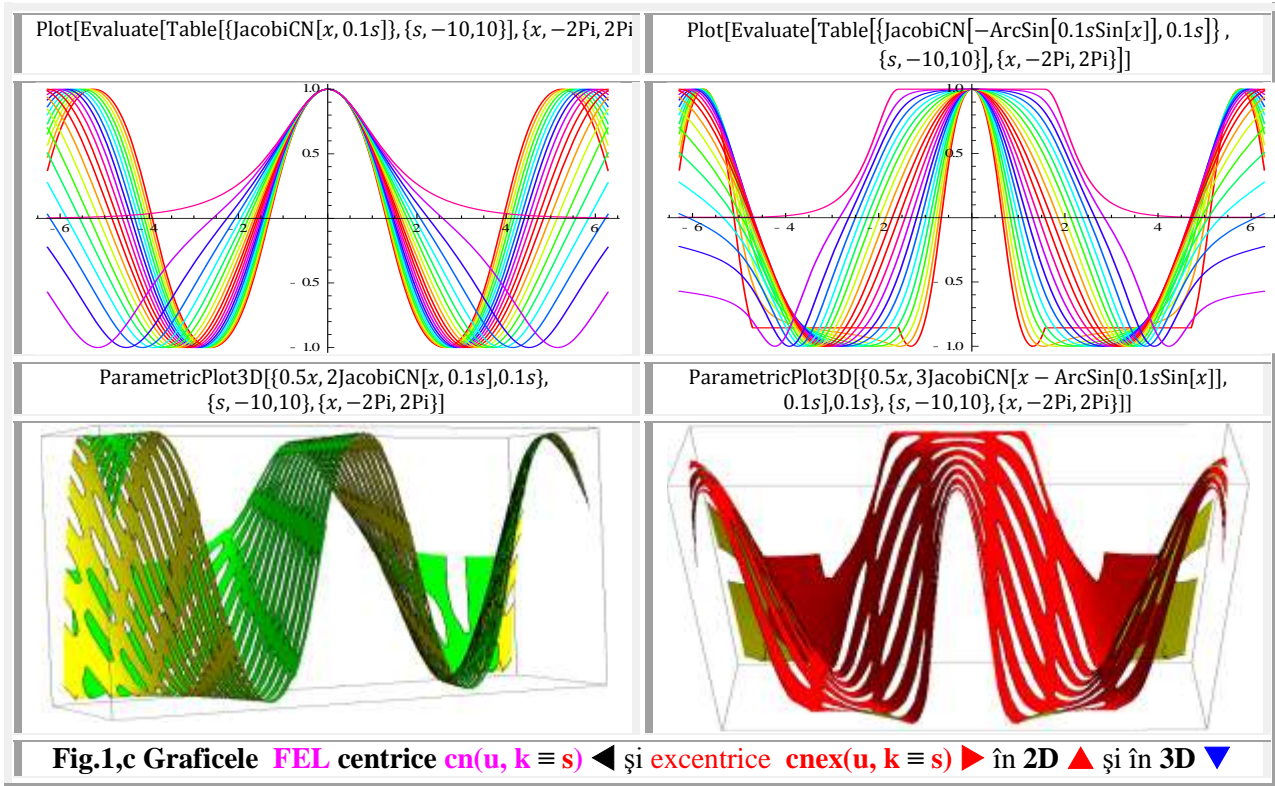
$$(1) \quad T = 4K(k) \rightarrow T = 2\pi : u \rightarrow u \frac{K(k)}{2\pi}$$

FEL Ev generate prin cele patru operaţii matematice elementare (+, -, *, /) vor fi notate, de exemplu: **dn(u,k) + dnex(u,k) = dnev(+, u, k)** ş.a.m.d. pentru (+, -, *, /)

În fiecare figură sunt indicate ecuaţiile de definire ale **FEL C** cât şi a celor excentrice (**FEL E**).







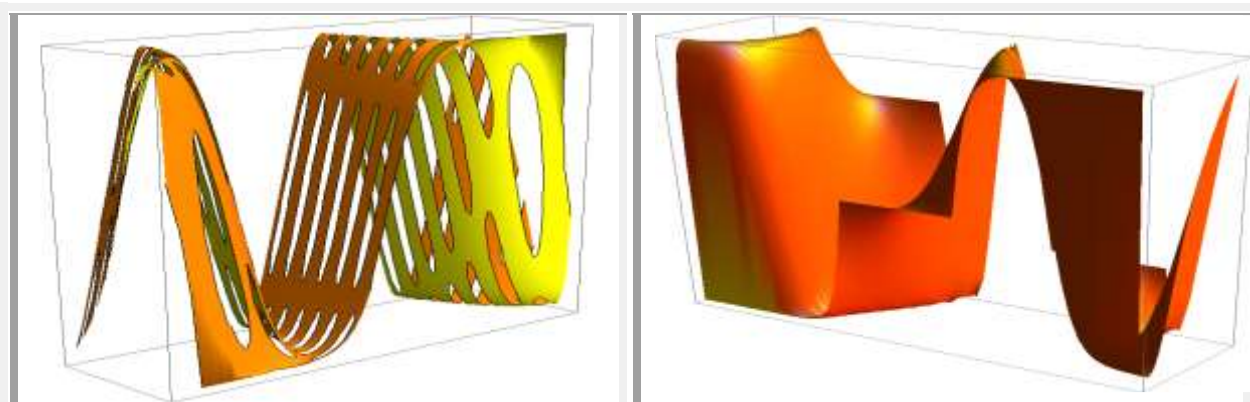
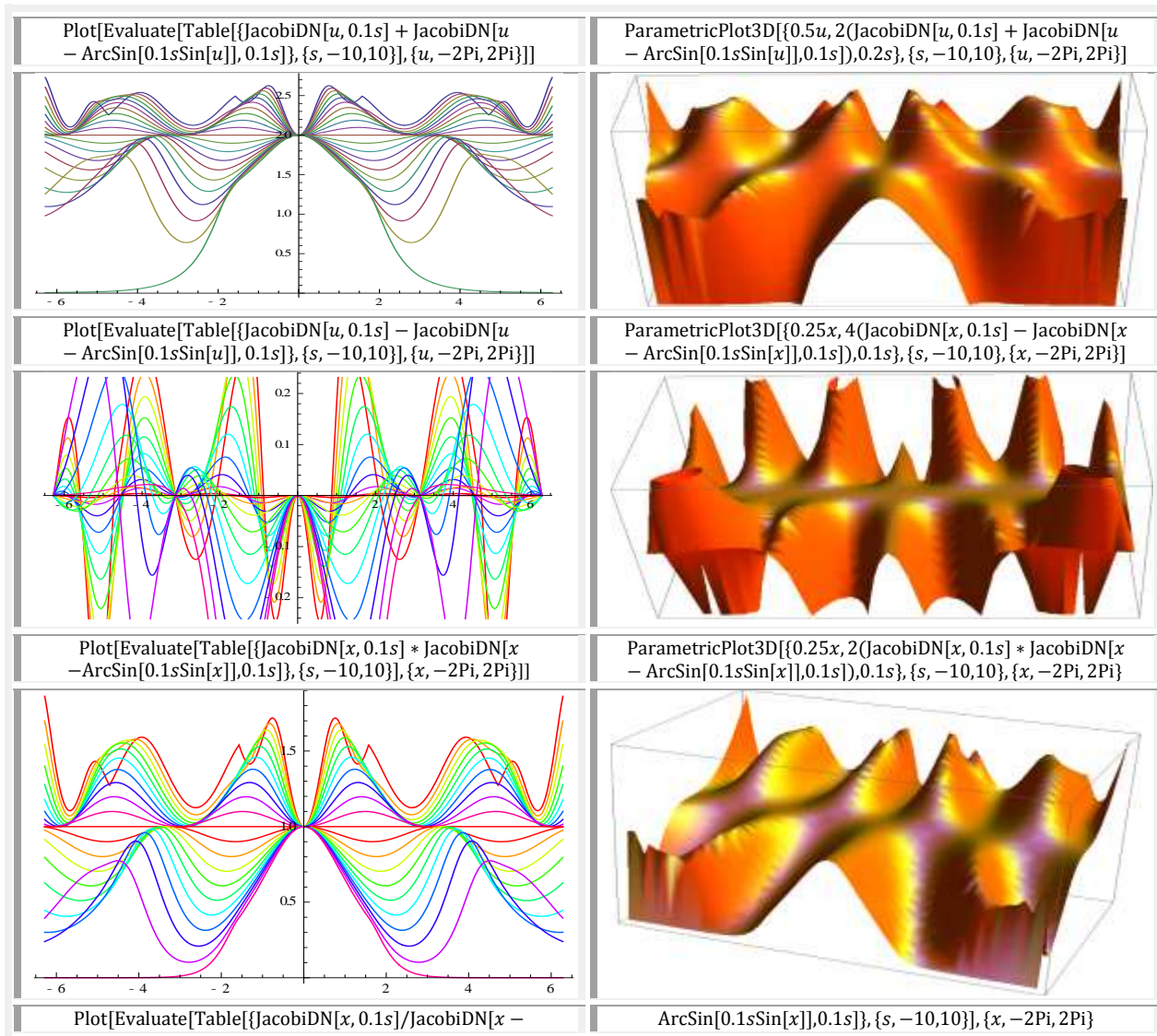
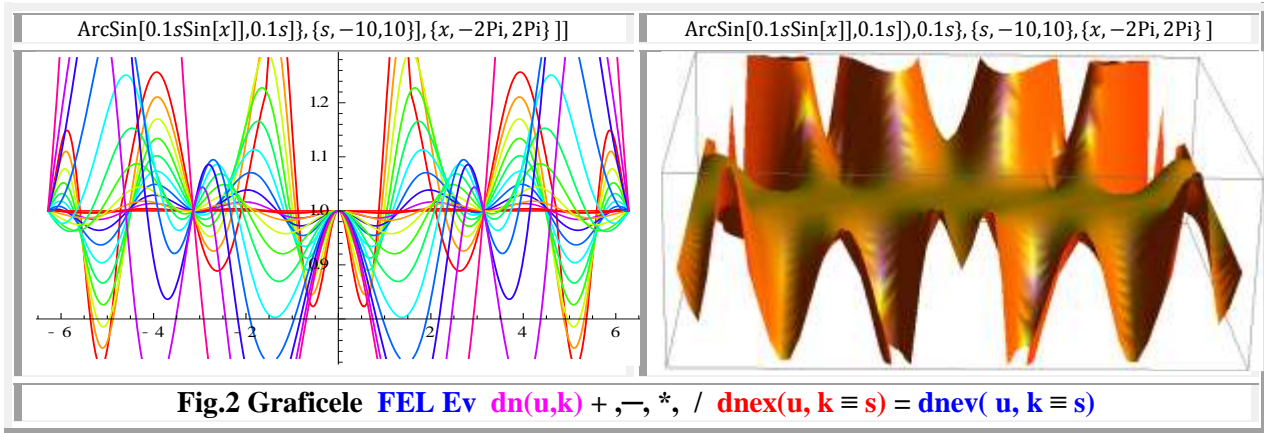


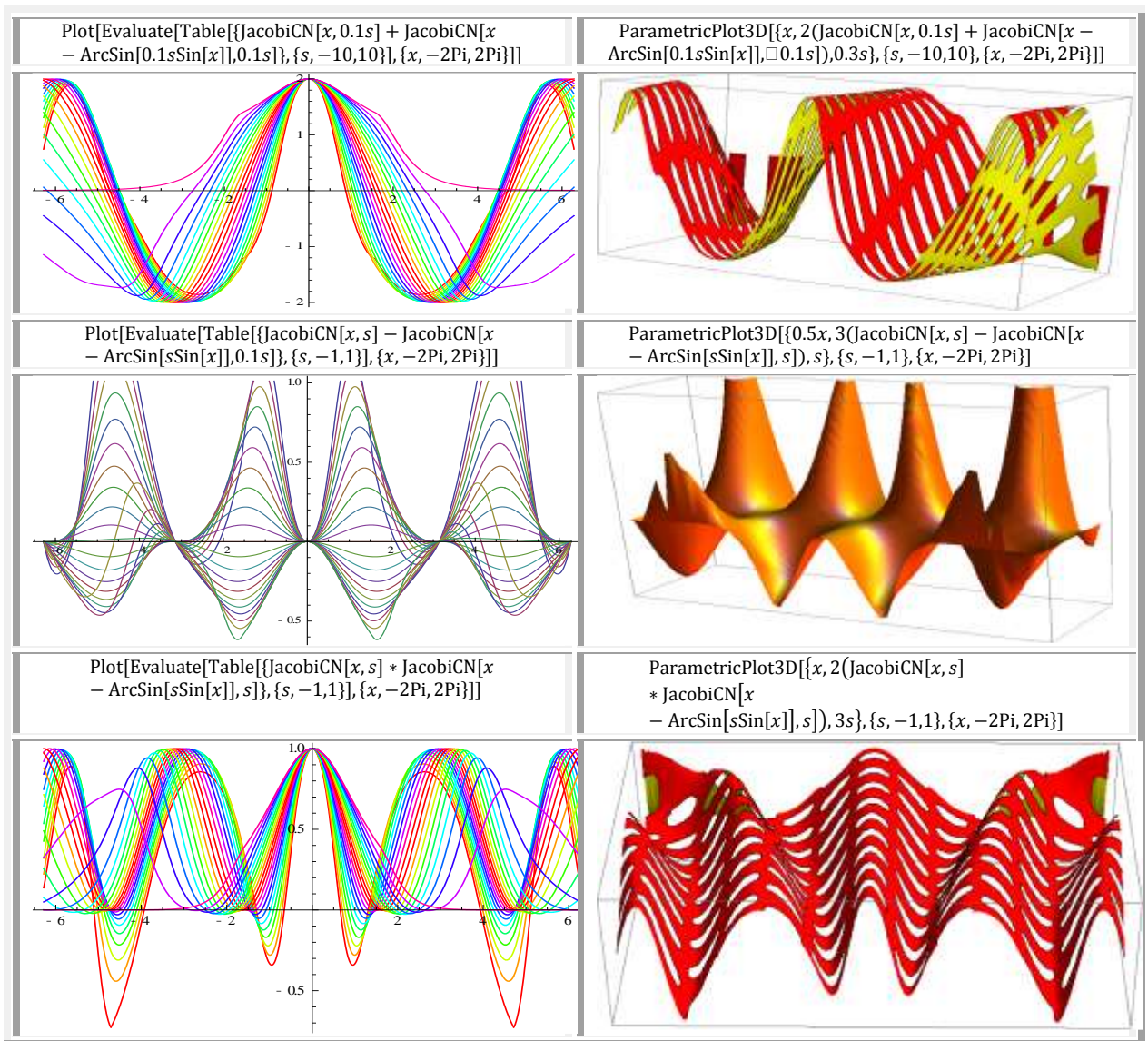
Fig.1,d Graficele FEL centrice $sn(u, k \equiv s)$ ◀ şi excentrice $snex(u, k \equiv s)$ ▶ în 2D ▲ şi în 3D ▼

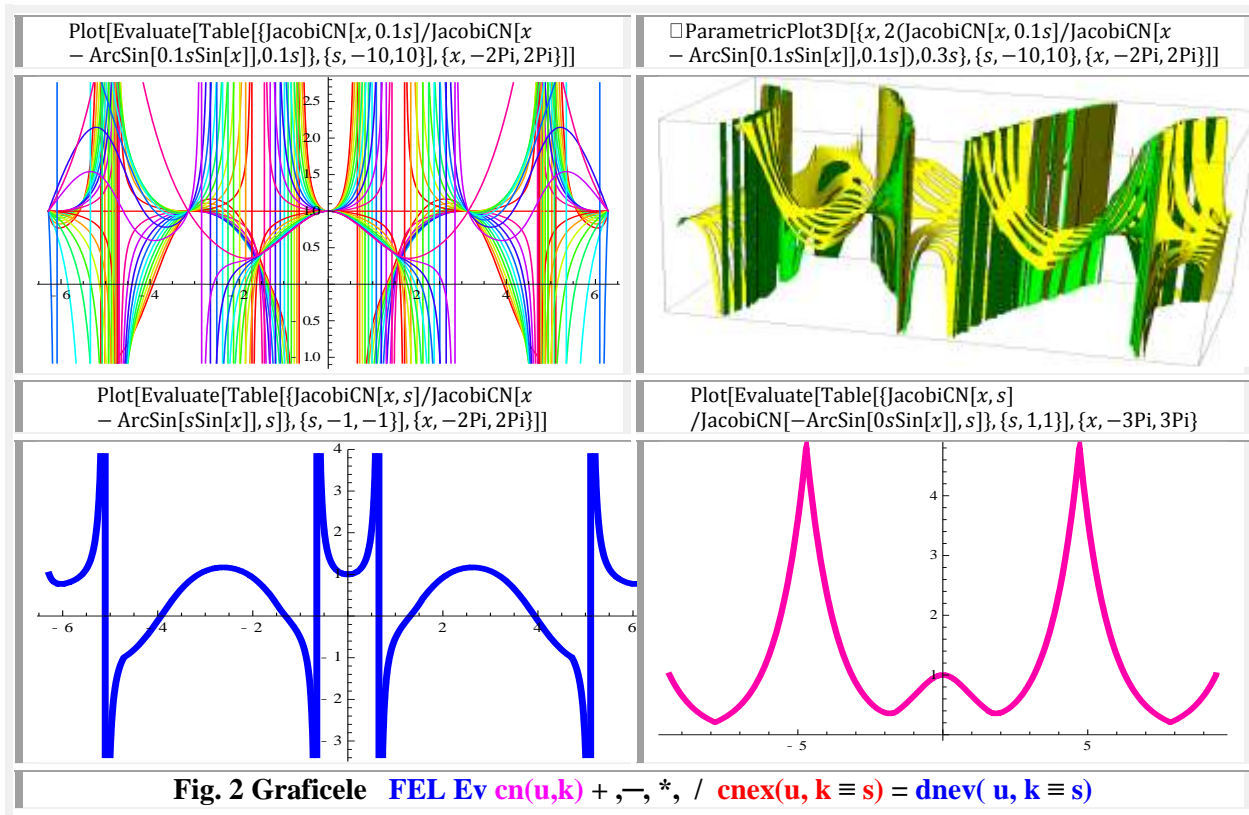
2 FUNCŢII ELIPTICE (FEL Ev) dnev(u,k ≡ s) CENTRICOEXCENTRICE



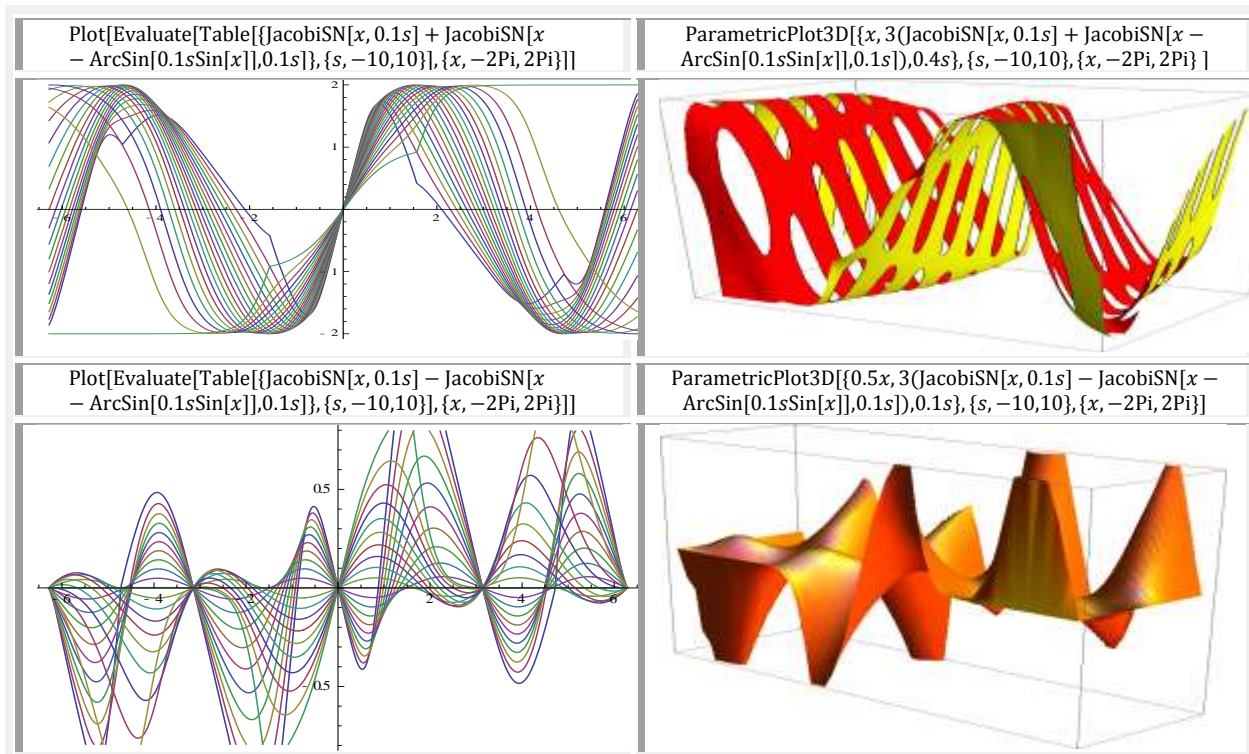


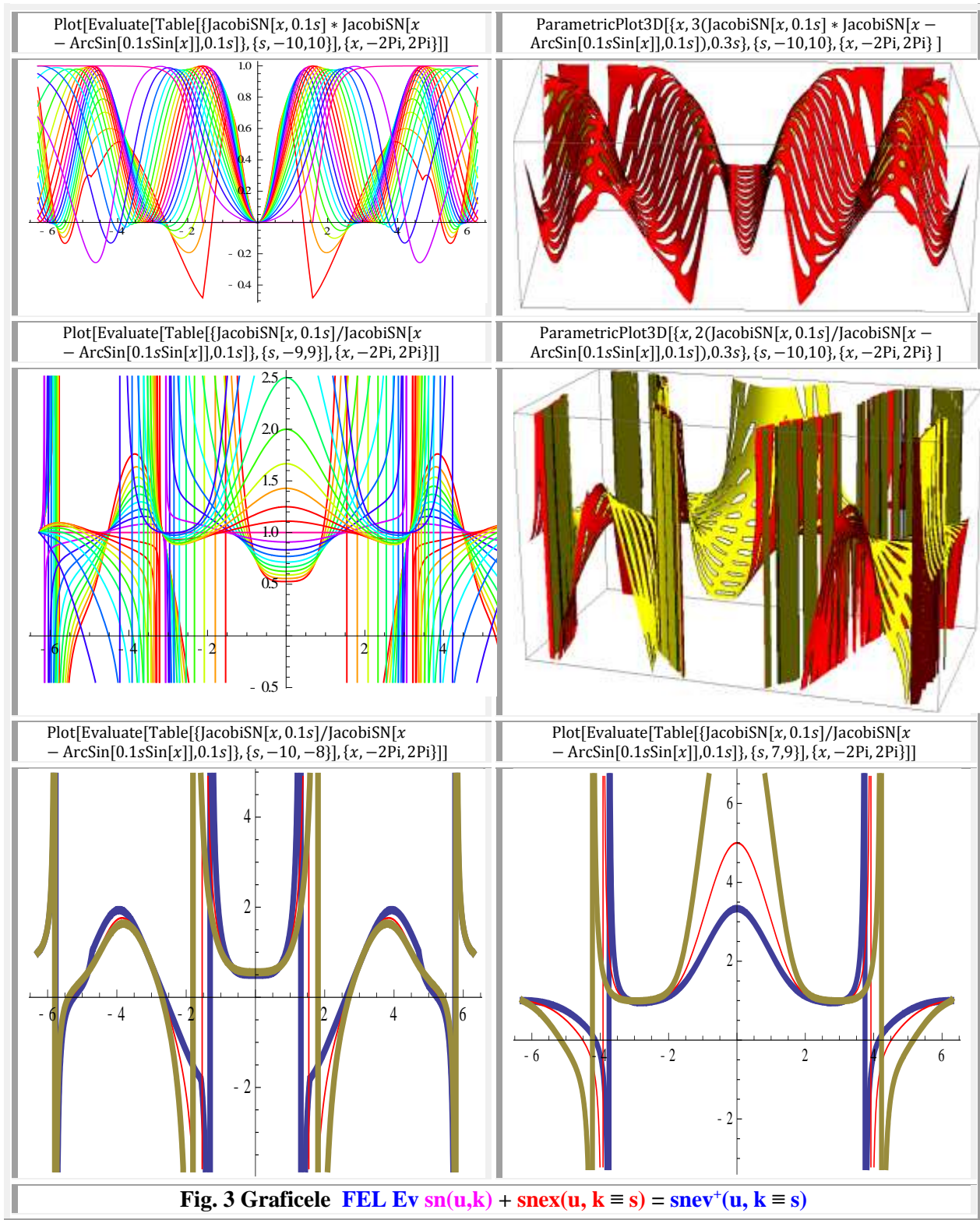
3 FUNCŢII ELIPTICE (FEL Ev) $cnev(u, k \equiv s)$ CENTRICOEXCENTRICE



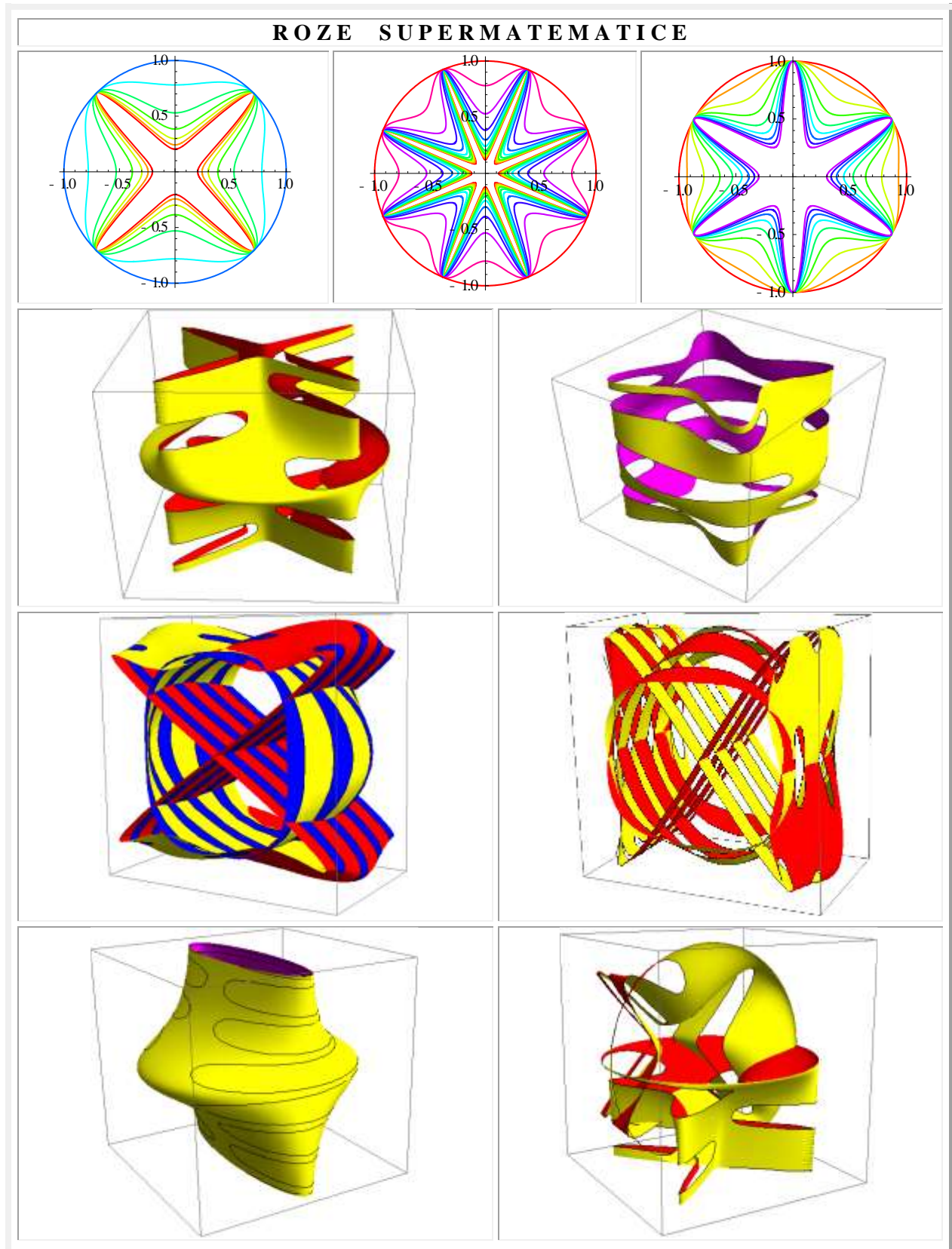


4 FUNCŢII ELIPTICE (FEL Ev) $snev(u, k \equiv s)$ CENTRICOEXCENTRICE





În unele figuri, cum este şi figura 3, au fost prezentate doar câteva grafice considerate interesante sau de interes major.



Motto: “**Matematicienii bătrâni nu mor** niciodată, pur şi simplu **îşi pierd din funcţii**”
 Prof. univ. dr. **Ghiocel Moş**, Prodecan al Facultăţii de Ştiinţe Exacte

În acelaşi timp şi în aceleaşi condiţii, **inginerii bătrâni le multiplică** la infinit
 şi **le ridică în slăvi**, evidenţiindu-le marea lor: a **funcţiilor** !
Autorul, pensionar UPT

CAPITOLUL IX :

FUNCŢII SUPERMATEMATICE EVOLUTIVE ELIPTICE CENTRICOEXCENTRICE DE PERIOADĂ 2π

1. INTRODUCERE: FUNCŢII ELIPTICE, FUNCŢII EXCENTRICE ŞI UNELE ECHIVALENŢE ALE LOR

Cele mai uzuale **funcţii eliptice Jacobi (FEJ)** sunt cosinusul eliptic **cn(u,k)**, sinusul eliptic **sn(u,k)**, derivată eliptică **dn(u,k)** — denumire dată de noi prin comparaţie / similitudine cu **funcţia supermatematică circulară excentrică (FSM-CE) derivată excentrică dexθ** — şi amplitudine **Jacobi am(u,k)**, cea care face trecerea din domeniul **circular centric (CC)**, de la **cosφ** şi **sinφ**, în cel **eliptic centric (EC)**, la **cnu** şi **snv**, exprimate de relaţiile:

$$(1) \quad \left\{ \begin{array}{l} am(u, k) = \varphi(u) = u - \frac{mu^3}{6} + \frac{1}{120}(4m + m^2)u^5 + \frac{(-16m - 44m^2 - m^3)u^7}{5040} + O[u]^9 \\ cn(u, k) = \cos \varphi(u) = \cos[am(u, k)] \\ sn(u, k) = \sin \varphi(u) = \sin(am(u, k)) \\ dn(u, k) = \Delta\varphi = \sqrt{1 - k^2 \sin^2 \varphi} = \frac{d\varphi}{du} = \frac{d[am(u, k)]}{du} \end{array} \right.$$

unele **FEJ**, cu o estetică deosebită, sunt prezentate de pe INTERNET, pentru frumuseţea lor, în **figura 3**.

Pentru comparaţie, prezentăm ecuaţiile anterioare din domeniul **excentric (FSM-CE)**:

$$(1') \quad \left\{ \begin{array}{l} aex_{1,2} \theta \equiv aex_{1,2}[\theta, S(s, \varepsilon)] = \alpha_{1,2}(\theta) = \theta - \beta_{1,2} = \begin{cases} aex_1 \theta = \theta - \arcsin[s \cdot \sin(\theta - \varepsilon)] \\ aex_2 \theta = \theta - \pi + \arcsin[s \cdot \sin(\theta - \varepsilon)] \end{cases} \\ cex_{1,2} \theta \equiv cex_{1,2}[\theta, S(s, \varepsilon)] = \begin{cases} \cos\{\theta - \arcsin[s \cdot \sin(\theta - \varepsilon)]\} \\ \cos\{\theta - \pi + \arcsin[s \cdot \sin(\theta - \varepsilon)]\} \end{cases} \\ sex_{1,2} \theta \equiv sex_{1,2}[\theta, S(s, \varepsilon)] = \begin{cases} \sin\{\theta - \arcsin[s \cdot \sin(\theta - \varepsilon)]\} \\ \sin\{\theta - \pi + \arcsin[s \cdot \sin(\theta - \varepsilon)]\} \end{cases} \\ dex_{1,2} \theta = \frac{d\alpha_{1,2}}{d\theta} \equiv dex_{1,2}[\theta, S(s, \varepsilon)] = 1 - \frac{s \cdot \cos(\theta - \varepsilon)}{\pm \sqrt{1 - s^2 \sin^2(\theta - \varepsilon)}} \end{array} \right.$$

Ele au două determinări: principală **1** şi secundară **2**, corespunzătoare intersecţiei celor două semidrepte **excentrice** (cu originea în **excentrul S**) $d = d^+ \cup d^-$ şi turnantă în jurul excentrului **S(s, ε)**, cu cercul unitate sau trigonometric **C(O,1)**.

Există o funcţie **supermatematică (SM)** similară **FEJ am(u,k)**, din care cauză este denumită la fel, adică **amplitudine excentrică aexθ** (1'), care face trecerea din **domeniul centric**, de la **cosa** şi **sina**, în domeniul **excentric**, la **cexθ** şi **sexθ**, de la matematica **centrică (MC)** la matematica **excentrică (ME)**, cele două entităţi fiind cele două părţi ale **supermatematicii (SM)**. Adică **SM = MC U ME**.

Expresiile matematice ale primei determinări ale unor **FSM-CE**, dintre cele asemănătoare **FEJ**, sunt:

$$(2) \begin{cases} aex\theta = \alpha(\theta) = \theta - \arcsin[s \cdot \sin(\theta - \varepsilon)] \\ cex(\theta, S) = \cos\alpha(\theta) = \cos[aex\theta] \\ sex(\theta, S) = \sin\alpha(\theta) = \sin[aex\theta] \\ dex(\theta, S) = \Delta\alpha(\theta) = 1 - \frac{s \cdot \cos(\theta - \varepsilon)}{\sqrt{1 - s^2 \sin^2(\theta - \varepsilon)}} = \frac{d\alpha}{d\theta} = \frac{d[aex(\theta, S)]}{d\theta} = \frac{rex\theta}{bex\theta} \end{cases}$$

Comparând cele două grupe de relații (1) cu (1') și (2), similitudinile sunt evidente, cu privire la trecerile din: **centric** → **eliptic** și din **centric** → **excentric**, treceri care sunt reprezentate grafic în **figura 1**.

Există și un caz, în care **funcția eliptică Jacobi (FEJ) dn(u, k)**, exprimată prin radicalul din (1) să fie identică cu **FSM-CE cos[β(θ)]**, în care, **β(θ) = arcsin[s · sin(θ - ε)]** este funcția **beta excentrică** de variabilă **excentrică θ**, adică pentru o excentricitate unghiulară **ε = 0** :

$$(3) \quad \cos[bex(\theta, s)] = \cos[\beta(\theta)] = \cos[\arcsin[s \cdot \sin\theta]], \text{ dar } \cos[\arcsin x] = \sqrt{1 - x^2}, \text{ astfel că}$$

$$(3') \quad \cos[bex(\theta, s)] = \sqrt{1 - s^2 \sin^2 \theta}$$

și corespunde cu ultima relație din (1), identitatea putându-se constata și comparând grafice din **figura 2**.

Dacă demonstrarea identității funcțiilor anterior amintite a fost simplă, în cazul funcțiilor **Neville theta C** este cu mult mai dificilă, ținând cont de relațiile lor de definire (4) și (5), de aceea, ne vom rezuma la demonstrarea grafică și la determinarea diferențelor dintre cele două funcții, care sunt nule (**Fig.4** ◀) !

Funcțiile **Neville theta s, c, d, n** sunt definite de ecuațiile (**Abramowitz and Stegun's** "Handbook of Mathematical Functions"):

$$(4) \begin{cases} \vartheta s(u, k) = (2K / \pi) \vartheta_1(z, q) / \vartheta'_1(0, q) \\ \vartheta c(u, k) = (2K / \pi) \vartheta_2(z, q) / \vartheta'_1(0, q) \\ \vartheta d(u, k) = \vartheta_3(z, q) / \vartheta_3(0, q) \\ \vartheta n(u, k) = \vartheta_4(z, q) / \vartheta_4(0, q) \end{cases}$$

în care **funcțiile theta ϑ₁, ϑ₂, ϑ₃, ϑ₄** sunt exprimate de ecuațiile

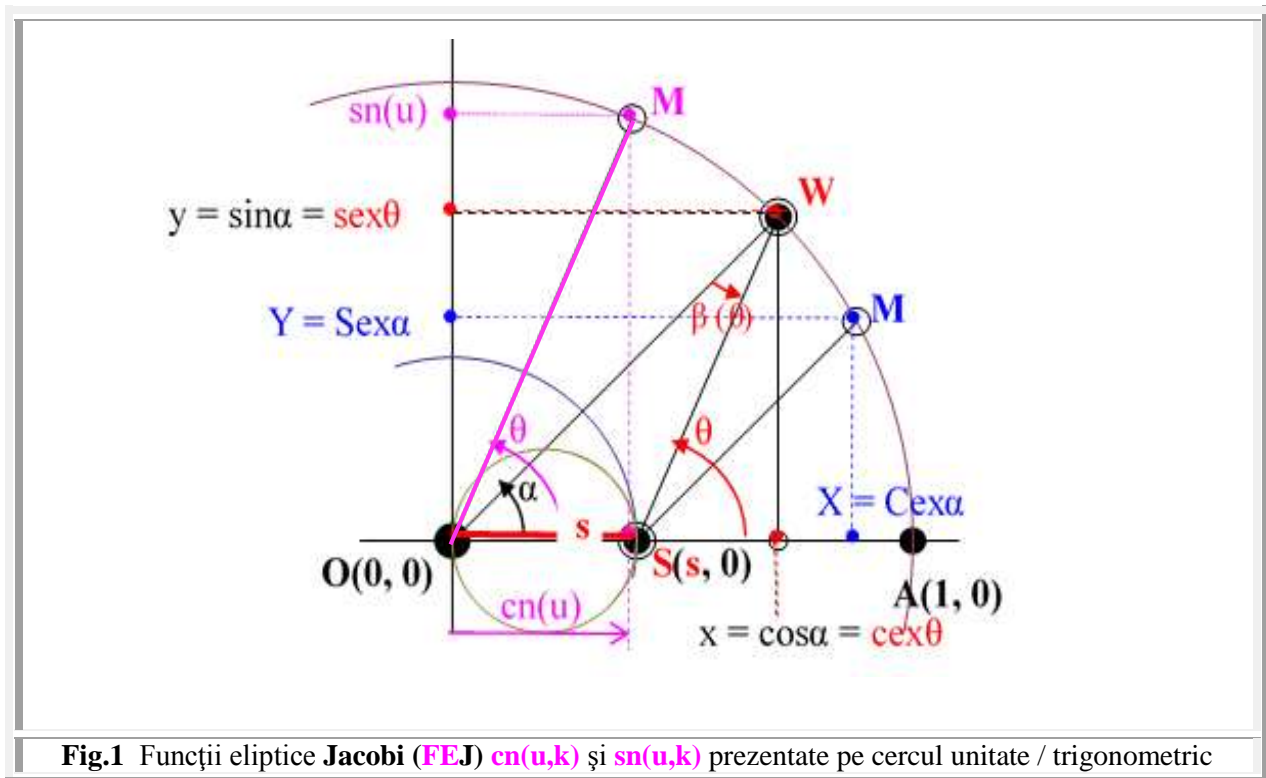
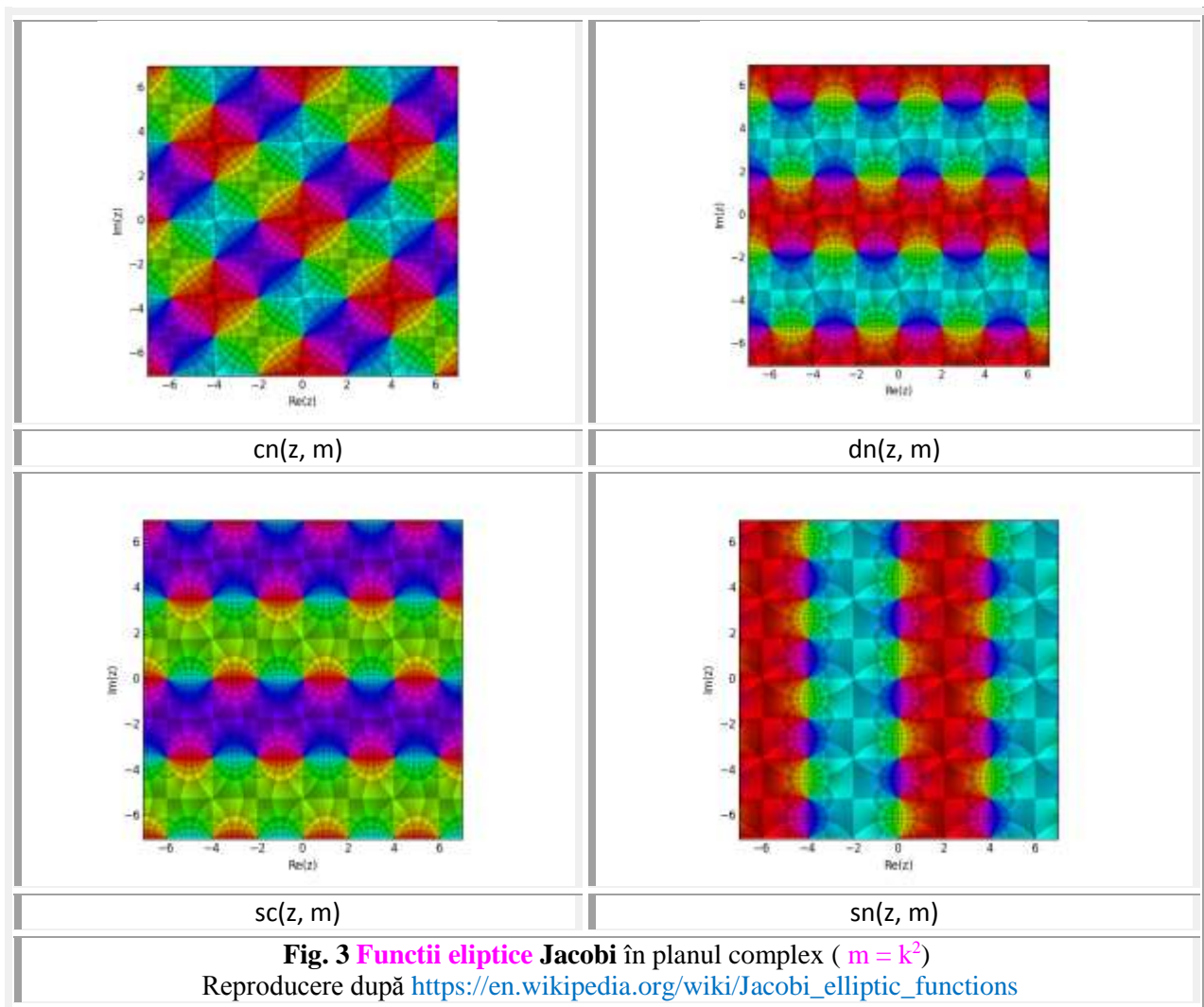
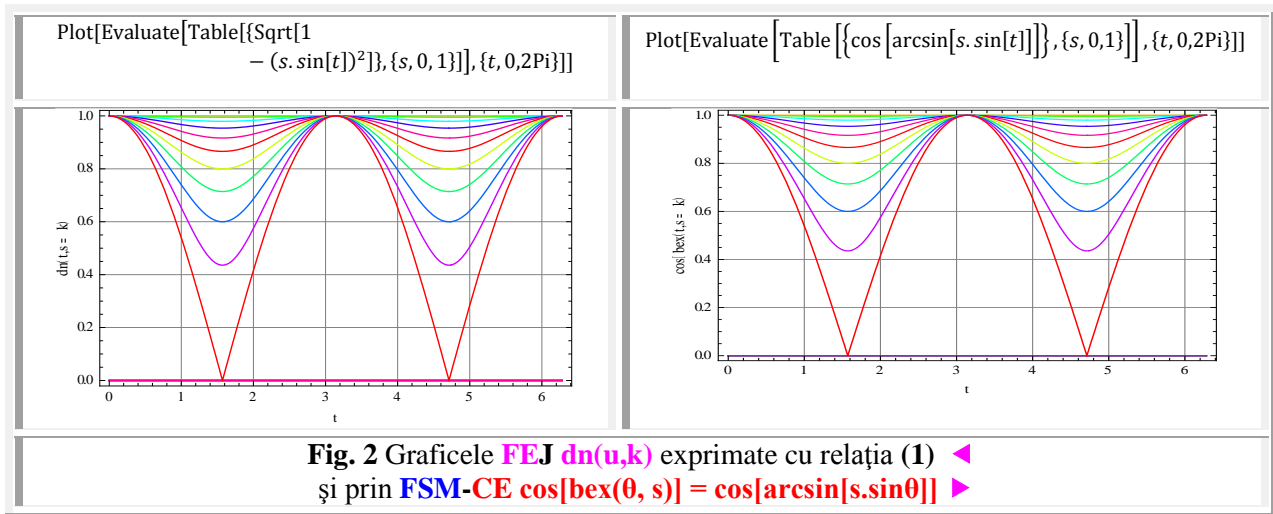


Fig.1 Funcții eliptice **Jacobi (FEJ) cn(u, k)** și **sn(u, k)** prezentate pe cercul unitate / trigonometric



$$(5) \quad \begin{cases} \vartheta_1(z, q) = 2 \frac{q^1}{4 \Sigma n} = 0^\infty (-1) n q n(n+1) \sin[(2n+1)z] \\ \vartheta_2(z, q) = 2 \frac{q^1}{4 \Sigma n} = 0^\infty q n(n+1) \cos[(2n+1)z] \\ \vartheta_3(z, q) = 1 + 2 \Sigma n = 1^\infty q n^2 \cos[2nz] \\ \vartheta_4(z, q) = 1 + 2 \Sigma n = 1^\infty (-1) n q n^2 \cos[2nz] \end{cases}$$

În aceste condiții se poate afirma, cu mare probabilitate, că există egalitate între funcția lui **Eric Harold Neville Neville theta C**, de variabilă modificată, astfel încât, variabila **u** trece în **funcția supermatematică circu-lară excentrică (FSM–CE) amplitudine excentrică** de variabilă excentrică **θ** : **u** → **aex(θ, s)**.

Altfel spus, există egalitatea:

(6) **Neville ThetaC**{**aex_{AS}**[**θ, S(s, ε = 0)**]} = **cex**[**θ, S(s, ε = 0)**], în care

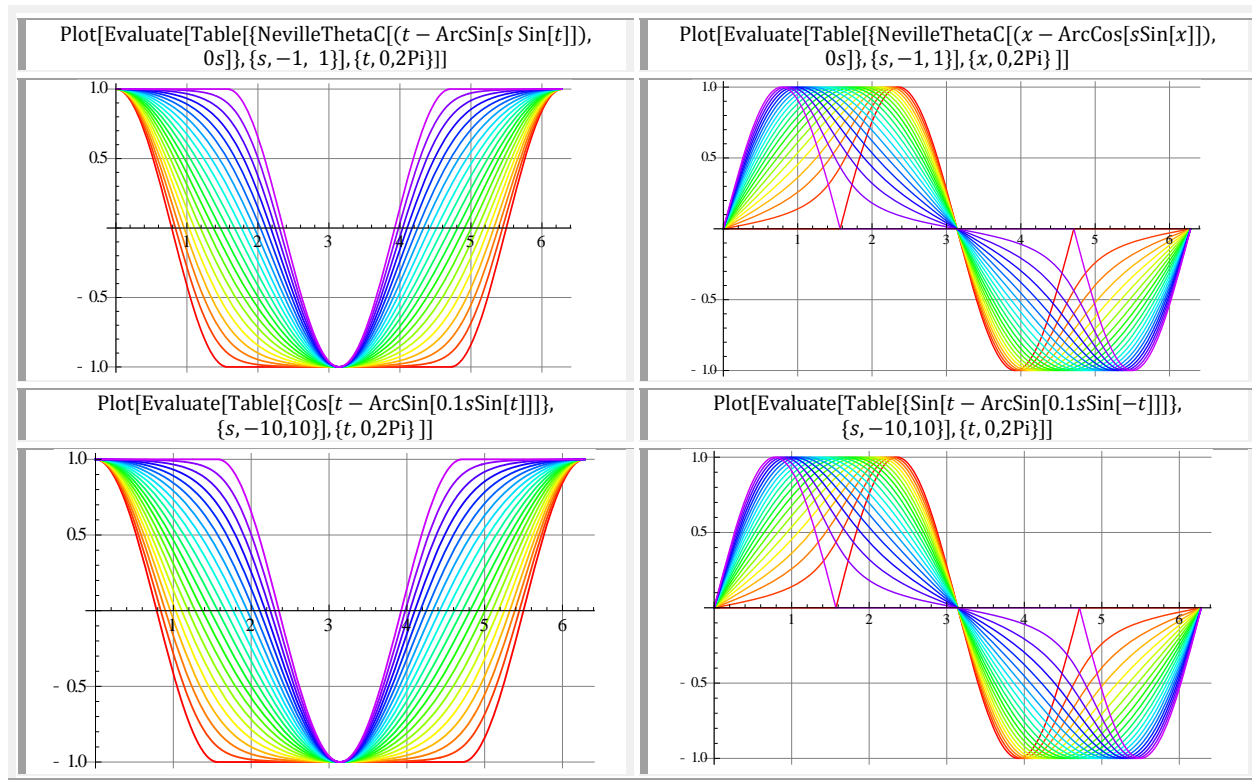
(7) **aex_{AS}**[**θ, S(s, ε = 0)**]} = **θ** – arcsin[s sin(θ - ε)]

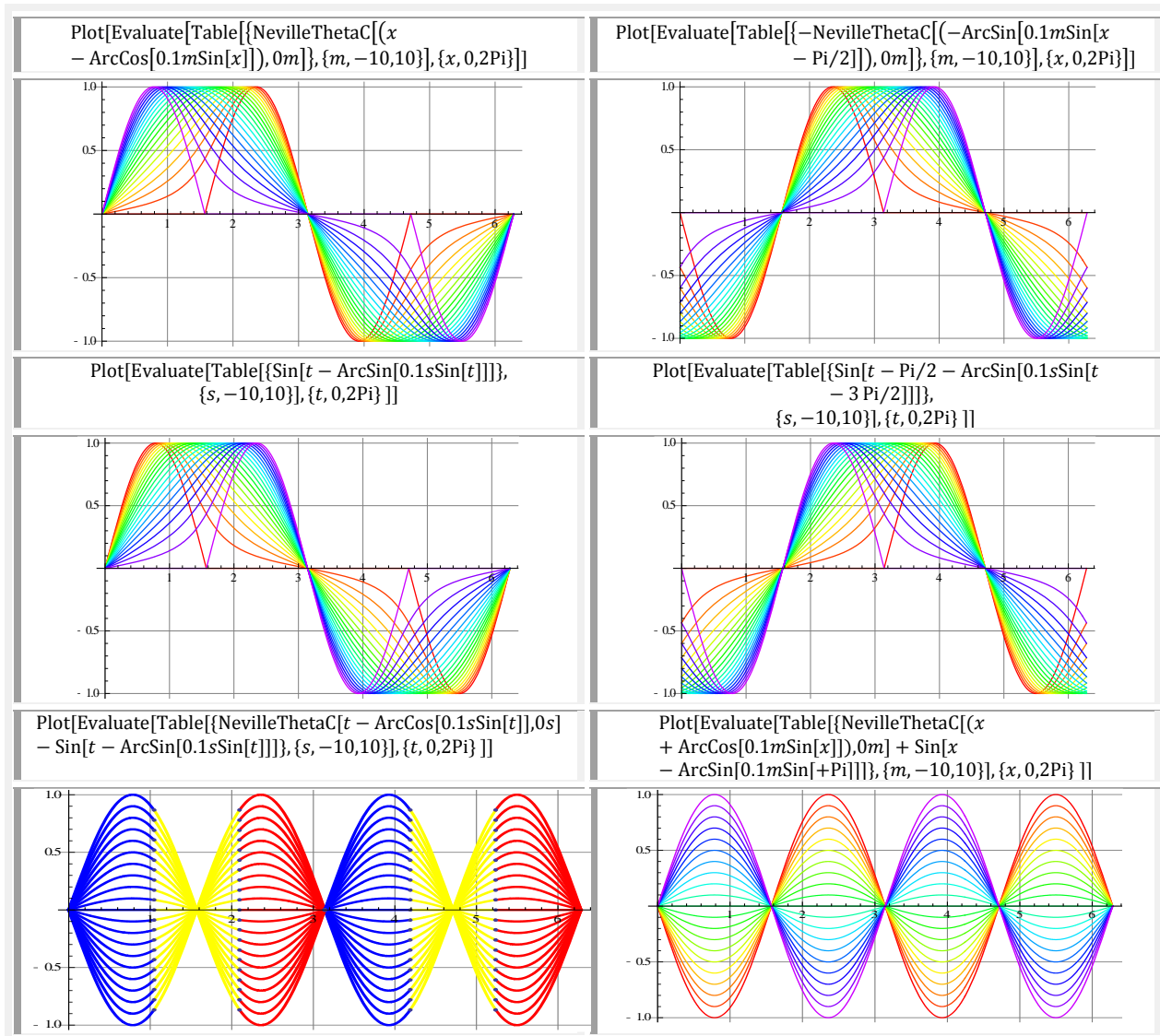
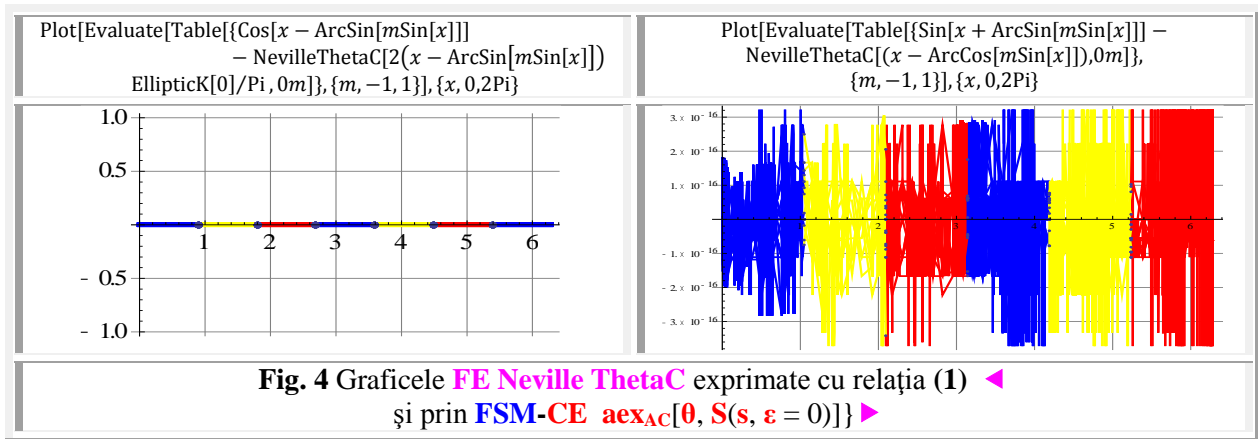
cu graficele din **figura 4** ◀, cu erori minime, nule, precum și echivalența

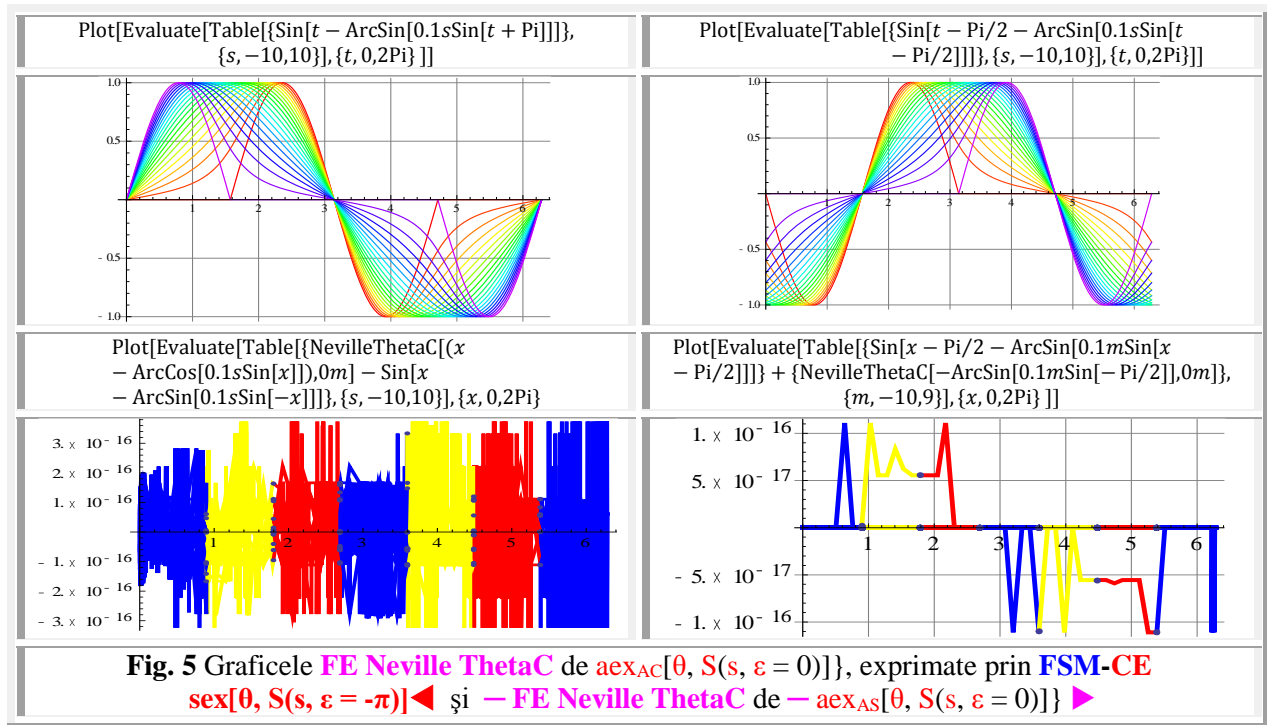
(8) **Neville ThetaC**{**aex_{AC}**[**θ, S(s, ε = 0)**]} = **sex**[**θ, S(s, ε = 0)**], în care

(9) **aex_{AC}**[**θ, S(s, ε = 0)**]} = **θ** – arccos[s sin(θ - ε)] și cu graficele din **figura 4** ▶ și cu diferențe **Θ**, sau cu erori de aproximare sub **2*10⁻¹⁶**, adică **Θ < 2*10⁻¹⁶**.

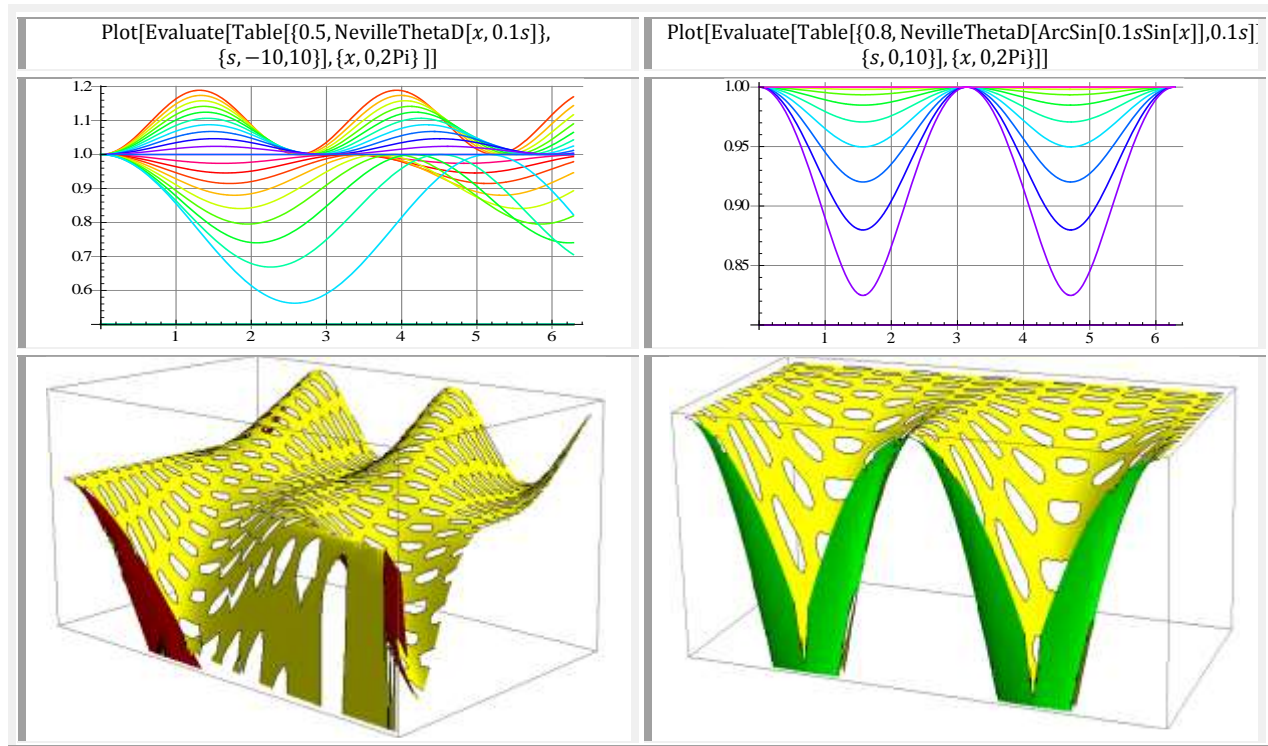
În **figura 5** sunt prezentate comparativ funcțiile **FE Neville ThetaC** ▲◀ și **cexθ** ▼◀ care, la prima vedere par identice, dar ele sunt net diferite așa cum se ilustrează prin prima diferență. Numai prin introducerea și a excentricității unghiulare **ε = -π**, precizia de aproximare se îmbunătățește considerabil, ajungând să scadă sub valoarea de **1*10⁻¹⁶**, adică, **Θ < 1*10⁻¹⁶**. Pentru funcțiile **FE Neville ThetaD** și **FE Neville ThetaN** autorul nu a găsit, încă, echivalențele lor în matematica excentrică (**ME**), dacă acestea ar exista (?).

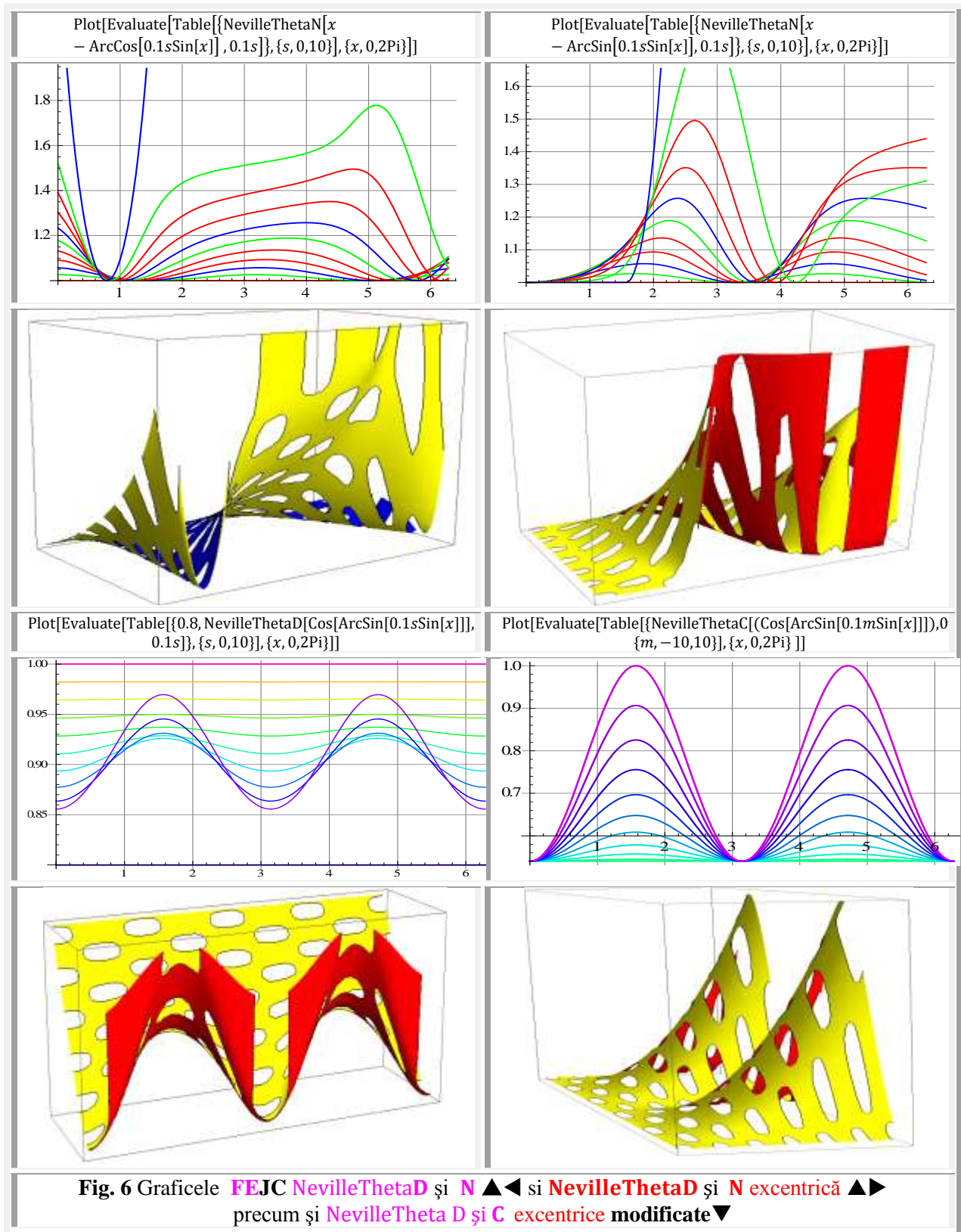






Alte **FE Neville Theta D, N, C_M și D_M** (**M** → **modificate**) sunt prezentate în **2D** și în **3D** în **figura 6**.





2. COSINUS ELIPTIC $cn(u,k)$ de $T = 2\pi$ ŞI COSINUSUL ELIPTIC EXCENTRIC $cnex(u,k)$

Funcția eliptică Jacobi centrică este definită prin dezvoltarea în serie de puteri a variabilei u :

$$(10) \quad cn(u, m) \cong 1 - \frac{u^2}{2} + \left(\frac{1}{24} + \frac{m}{6}\right)u^4 + \frac{1}{720}(-1 - 44m - 16m^2)u^6 + O[u]^8,$$

în care modulul $m = k^2$, cât și prin seria trigonometrică :

$$(11) \quad cn(u, m) \cong \cos[u] + \left(\frac{1}{4}z \cdot \sin[u] - \frac{1}{8}\sin[u]\sin[2u]\right)m + O[m]^2, \quad m = k^2$$

Relații prezentate în **MATHEMATICA 8** a lui **Stephan Wolfram** cu un număr redus de termeni.

În lucrarea **Abramowitz and Stegun's** "Handbook of Mathematical Functions" sunt prezentate cu un număr mai mare de termeni:

$$(10') \quad cn(u, k) = 1 - \frac{1}{2!}u^2 + \frac{1+4k^2}{4!}u^4 - \frac{1+44k^2+16k^4}{6!} + \frac{1+408k^2+912k^4+64k^6}{8!} - \dots$$

Prin înlocuirea variabilei u cu funcția care face trecerea din matematica **centrică** în cea **excentrică**, adică :

$$(12) \quad aex(u, s = m) = u - \arcsin(s \cdot \sin u)$$

și prin înlocuirea ei în (1) sau în (2) se obțin **FSM-EE $cnex[\theta, S(s, \varepsilon = -\pi)]$** , adică :

$$(13) \quad 1 - \frac{[u - \arcsin(s \cdot \sin u)]^2}{2} + \left(\frac{1}{24} + \frac{m}{6}\right)[u - \arcsin(s \cdot \sin u)]^4 + \frac{1}{720}(-1 - 44s - 16s^2)$$

$$(14) \quad * u[u - \arcsin(s \cdot \sin u)]^6 + O[[u - \arcsin(s \cdot \sin u)]]^8,$$

sau

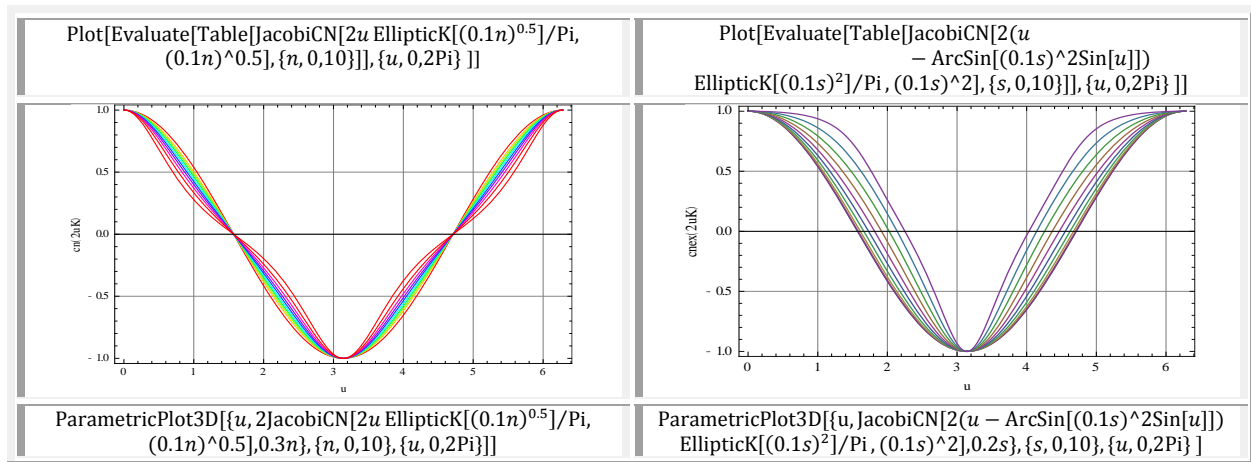
$$(15) \quad \cos[u - \arcsin(s \cdot \sin u)] + \left(\frac{1}{4}u \sin[u - \arcsin(s \cdot \sin u)] - \frac{1}{8}\sin[u - \arcsin(s \cdot \sin u)]\sin\{2[u - \arcsin(s \cdot \sin u)]\}\right)s + O[s]^2$$

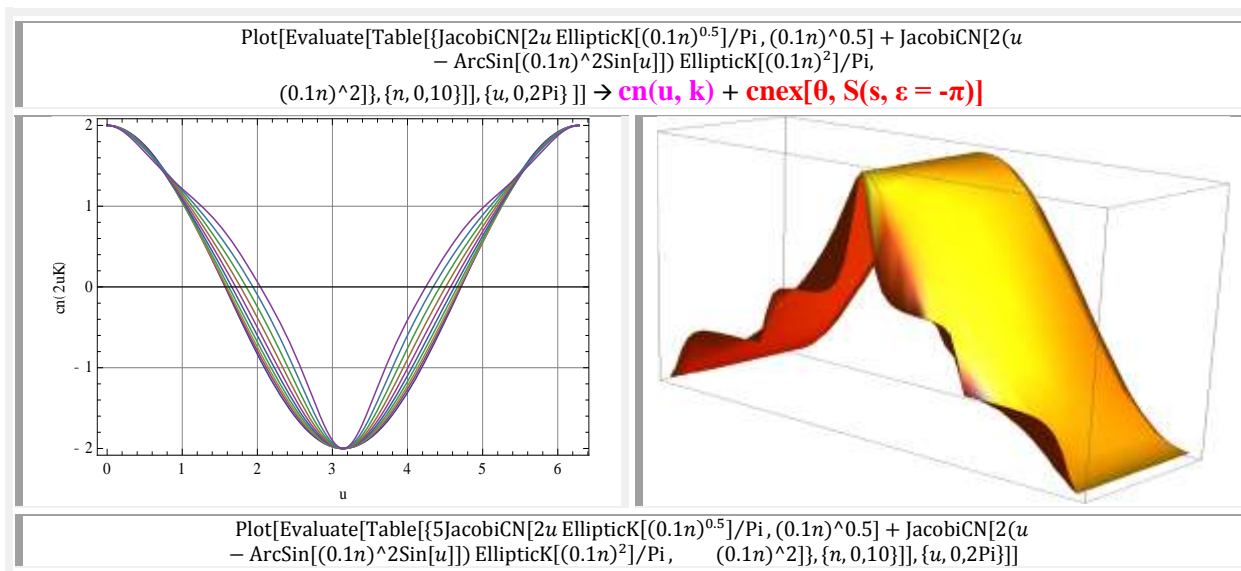
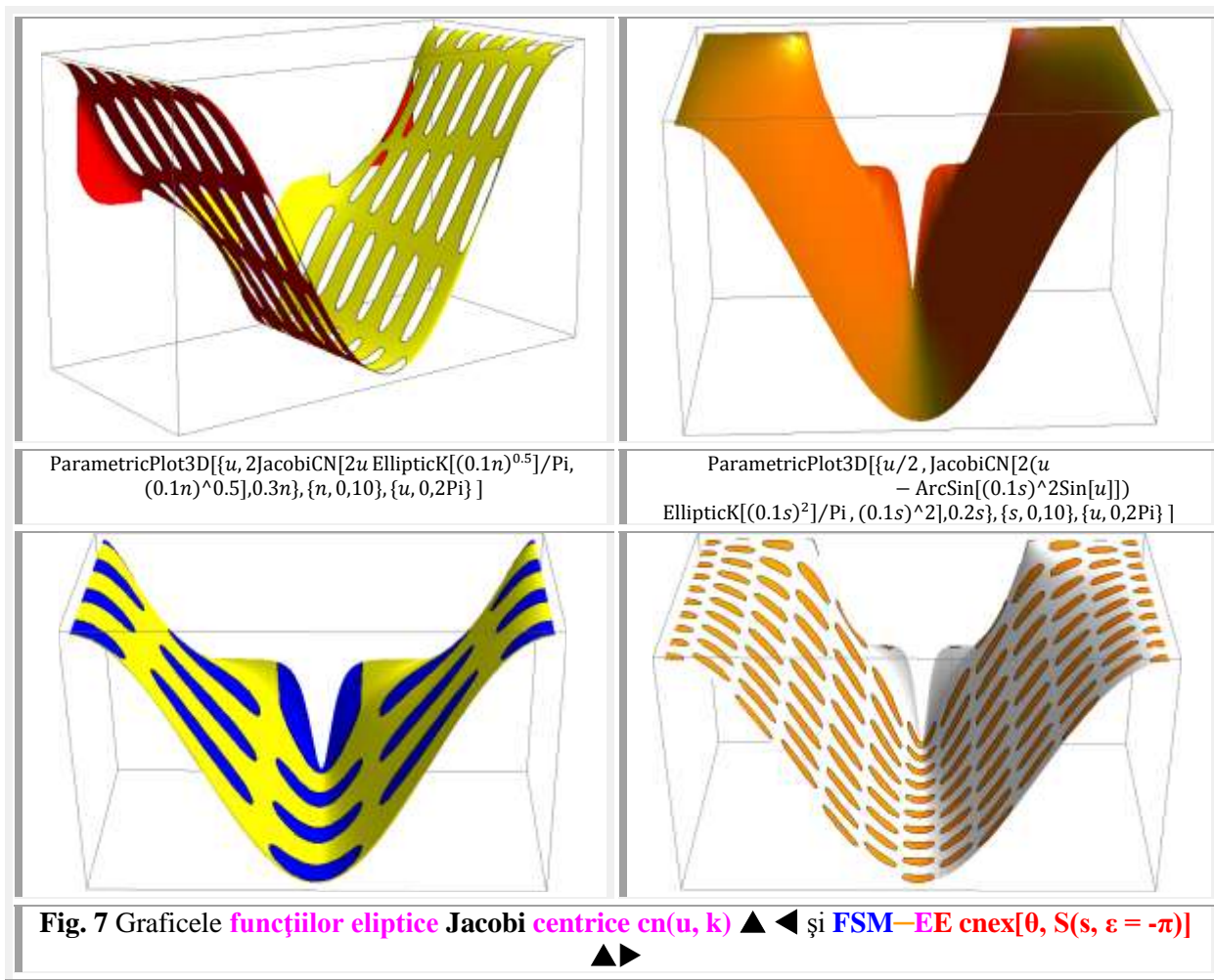
Utilizând aceste serii, graficele funcțiilor eliptice sunt **extrem de diferite** de cele "reale" reprezentate prin

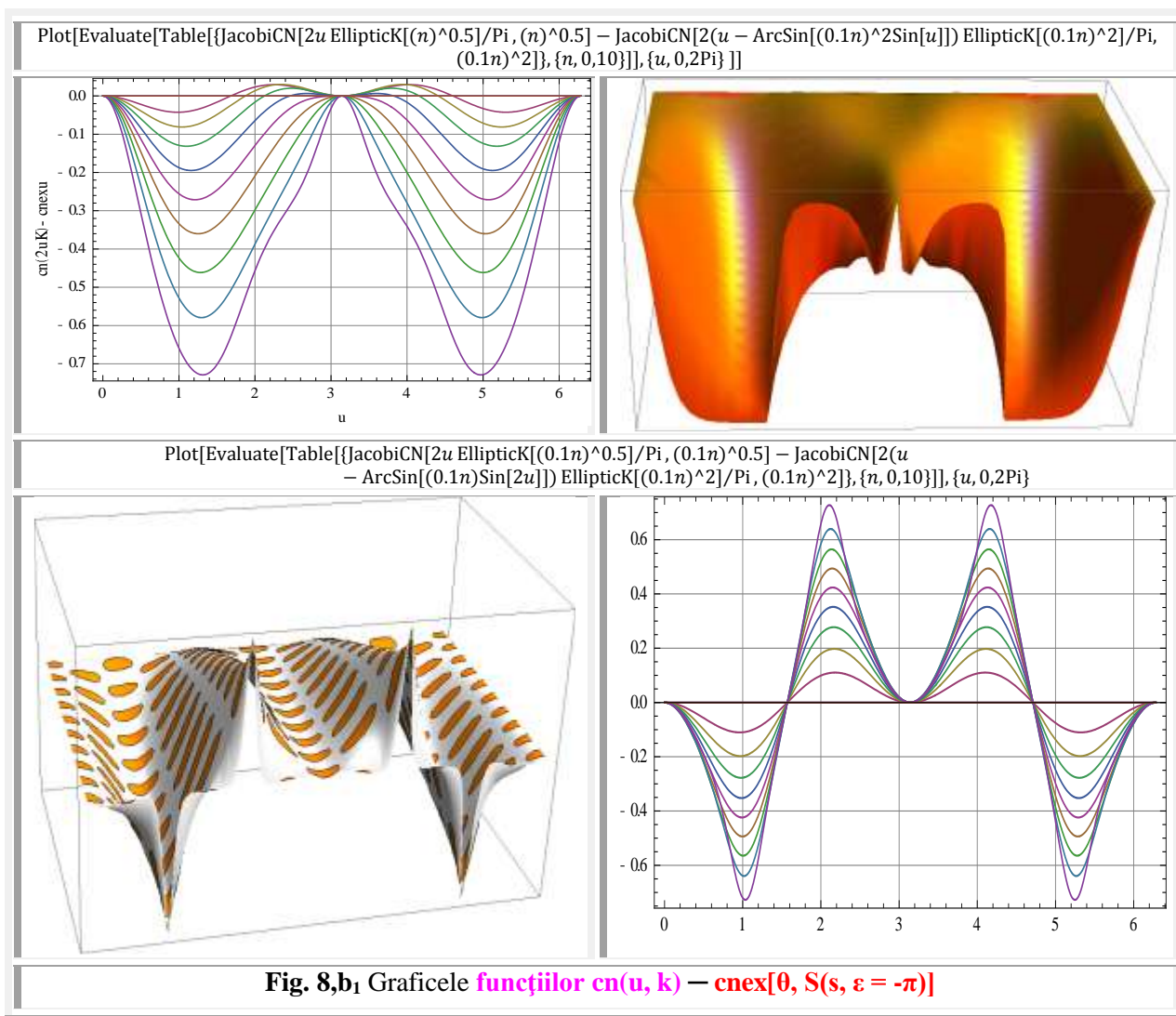
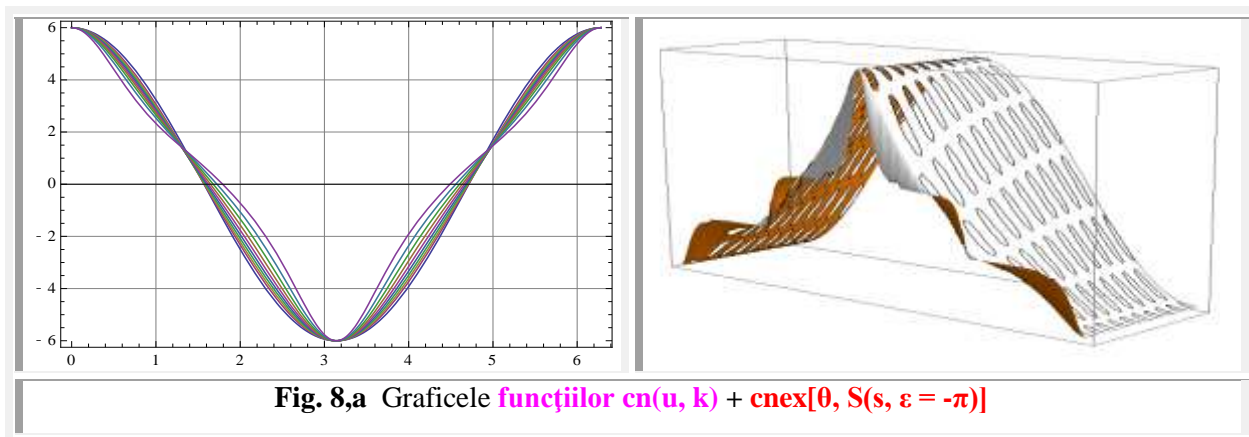
seriile infinite, cum este seria (1") a lui **$cn(u, k)$** :

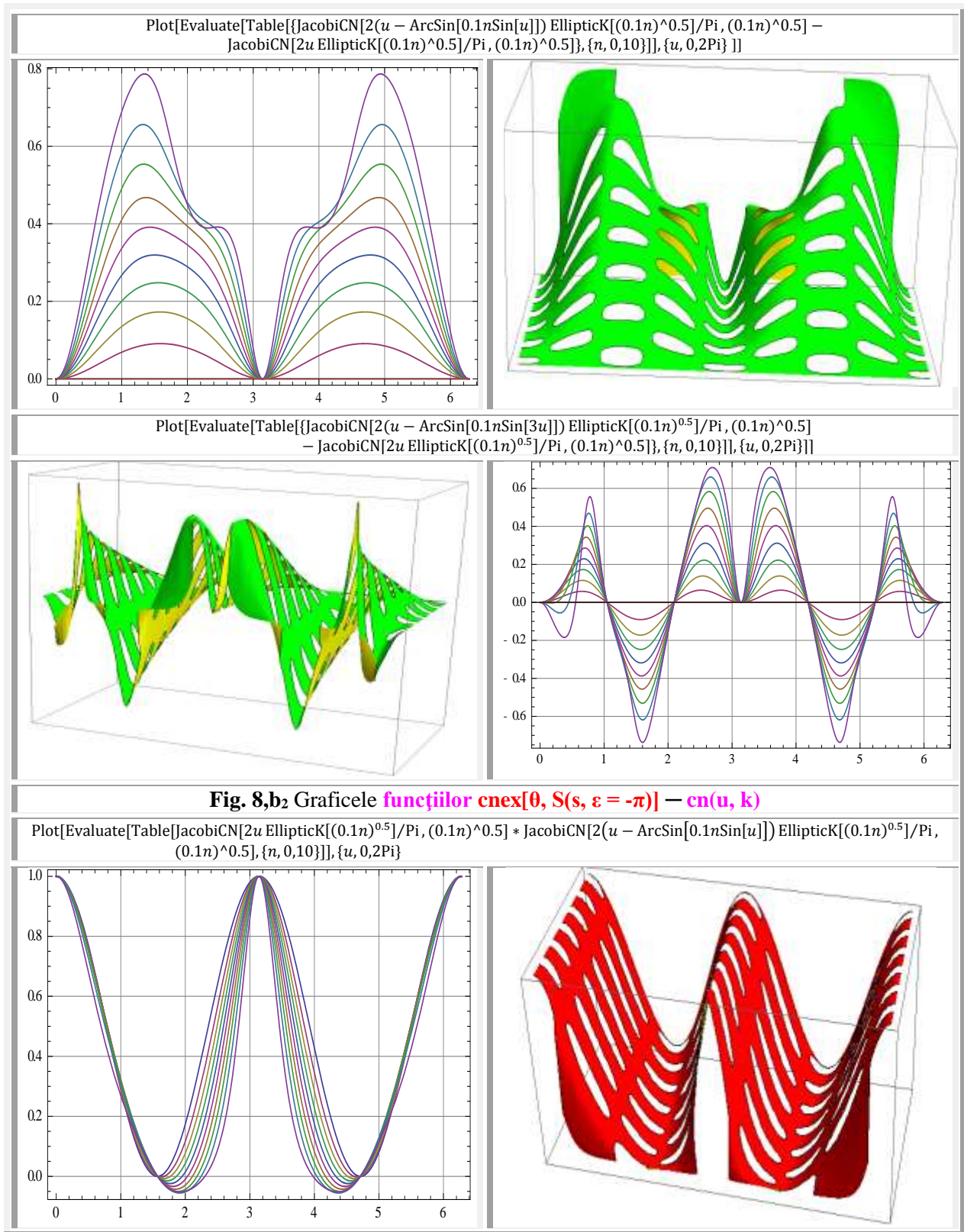
$$(10'') \quad cn(u, k) = \frac{2\pi}{kK} \sum_{n=1}^{\infty} \frac{q^{n-\frac{1}{2}}}{1+q^{2n-1}} \cos(2n-1) \frac{\pi u}{2K}, \quad \text{în care, } q = e^{-\frac{\pi K'}{K}}$$

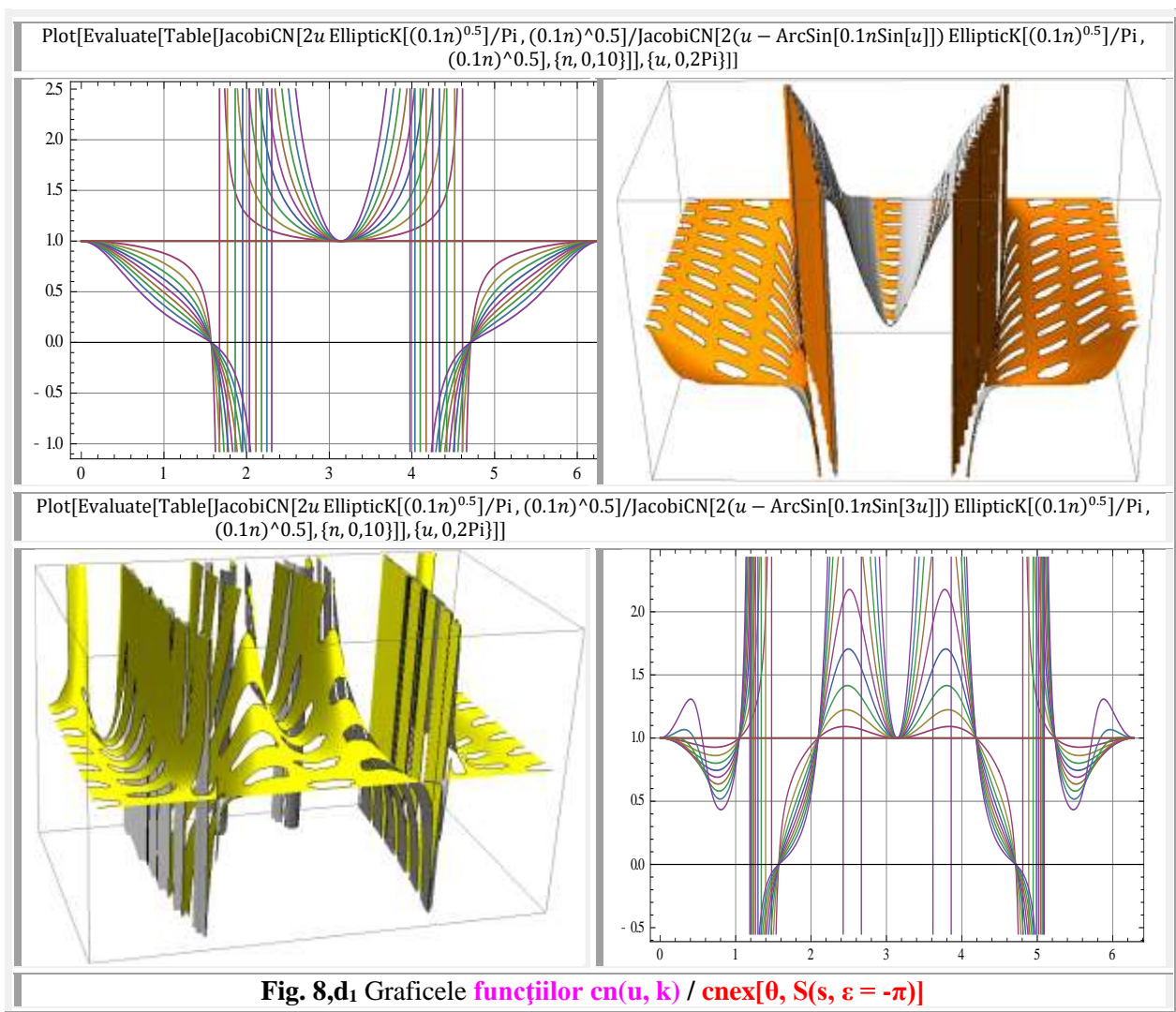
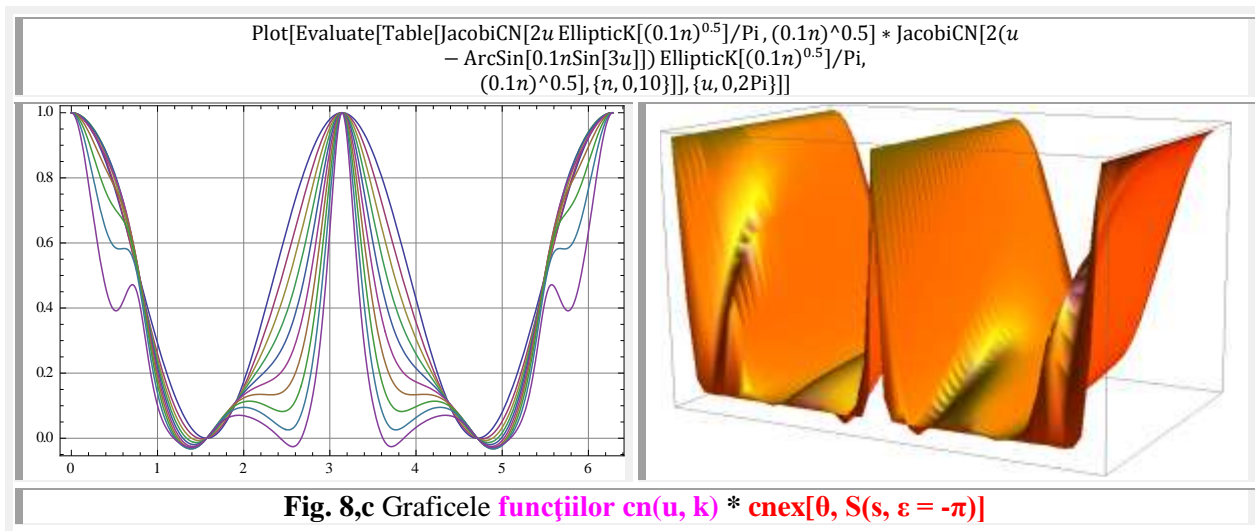
Pentru reprezentarea graficelor funcțiilor eliptice se vor folosi notațiile din **Matematica 8** în "spatele" cărora există, cu siguranță, un număr considerabil de termeni care apropie mult mai mult reprezentările grafice de realitate. Astfel au fost reprezentate, în 2D și în 3D, **FEJ centrice $cn(u, m)$** precum și cele **excentrice $cnex(\theta \equiv u, s \equiv m)$** din **figura 7** și următoarele.

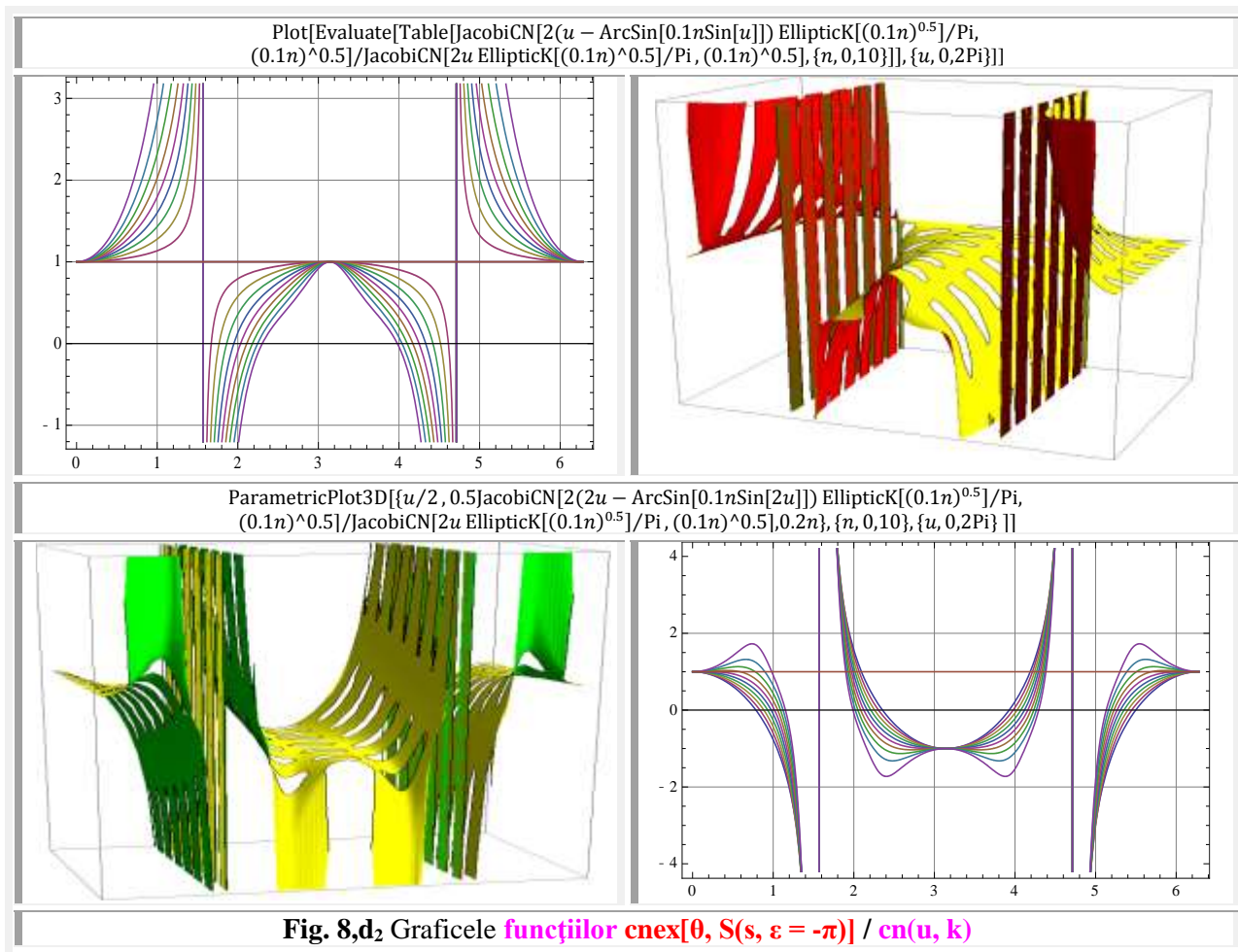




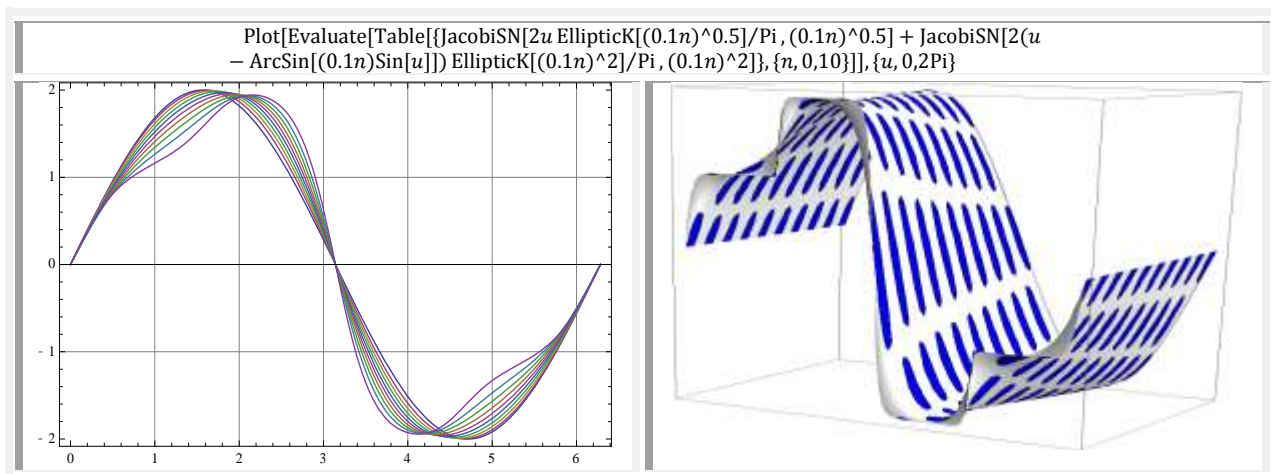


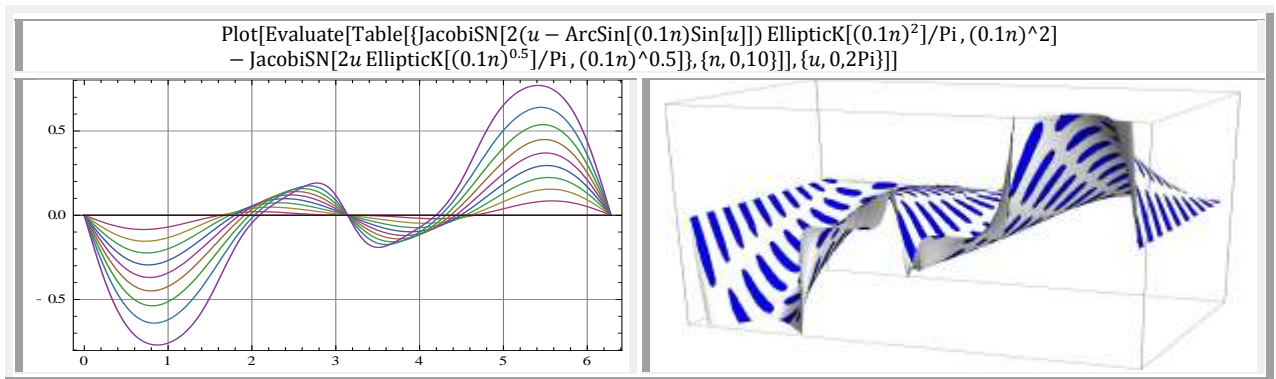
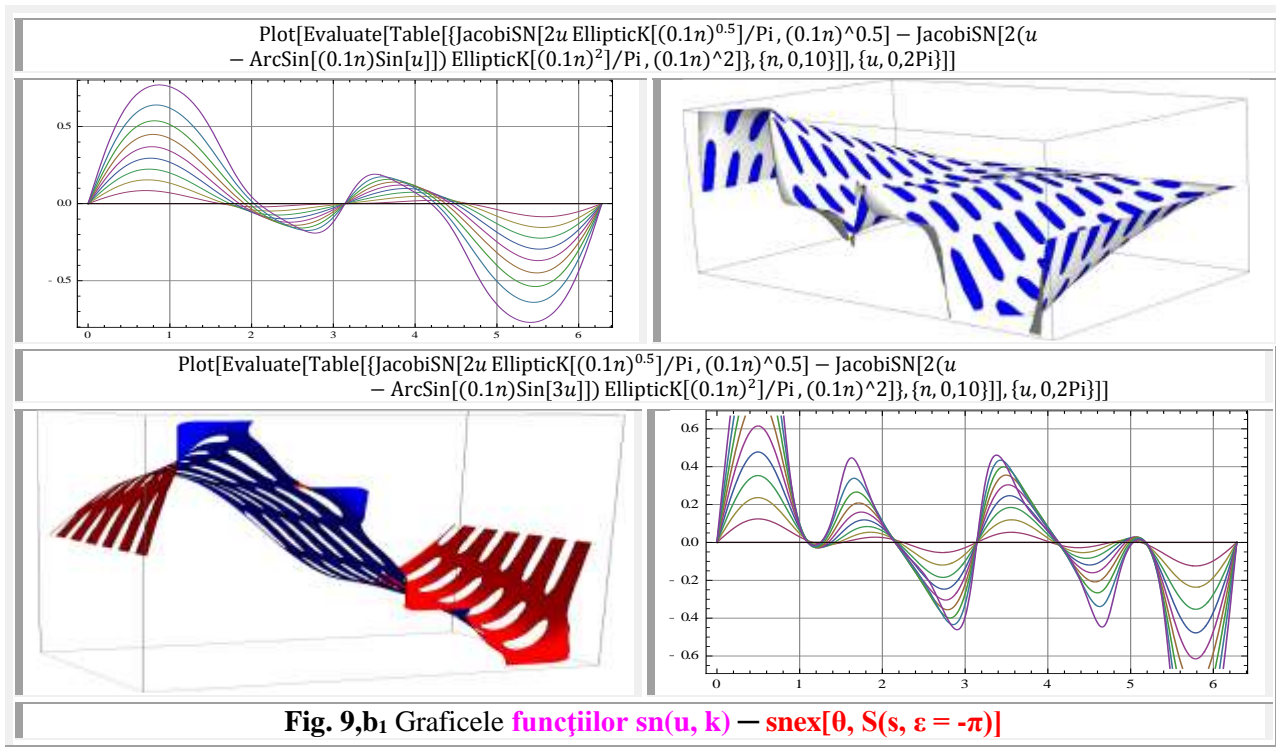
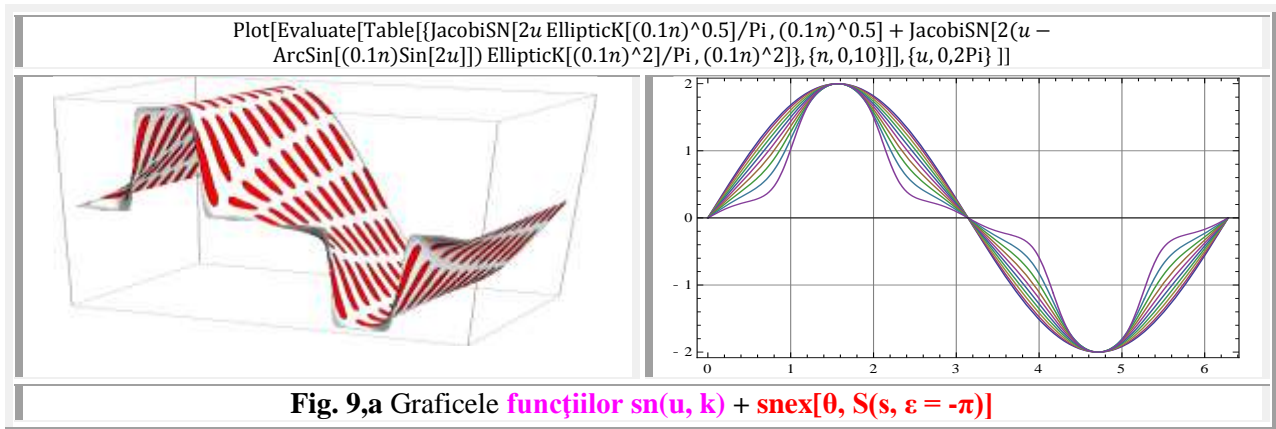


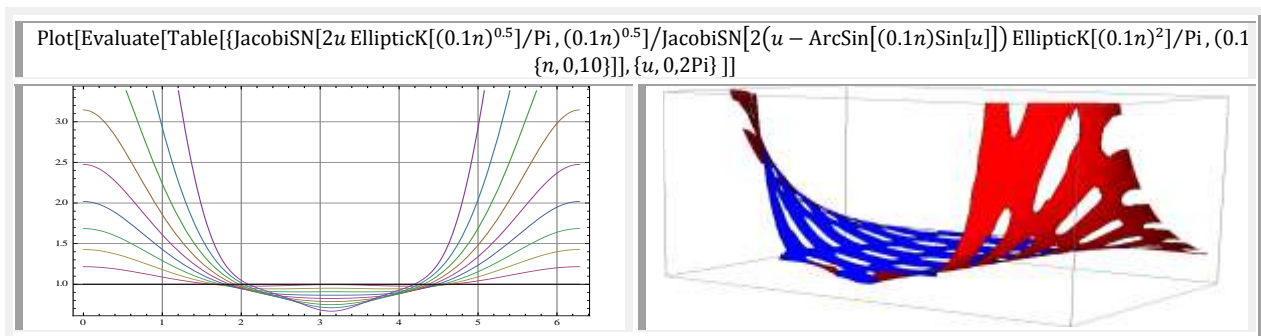
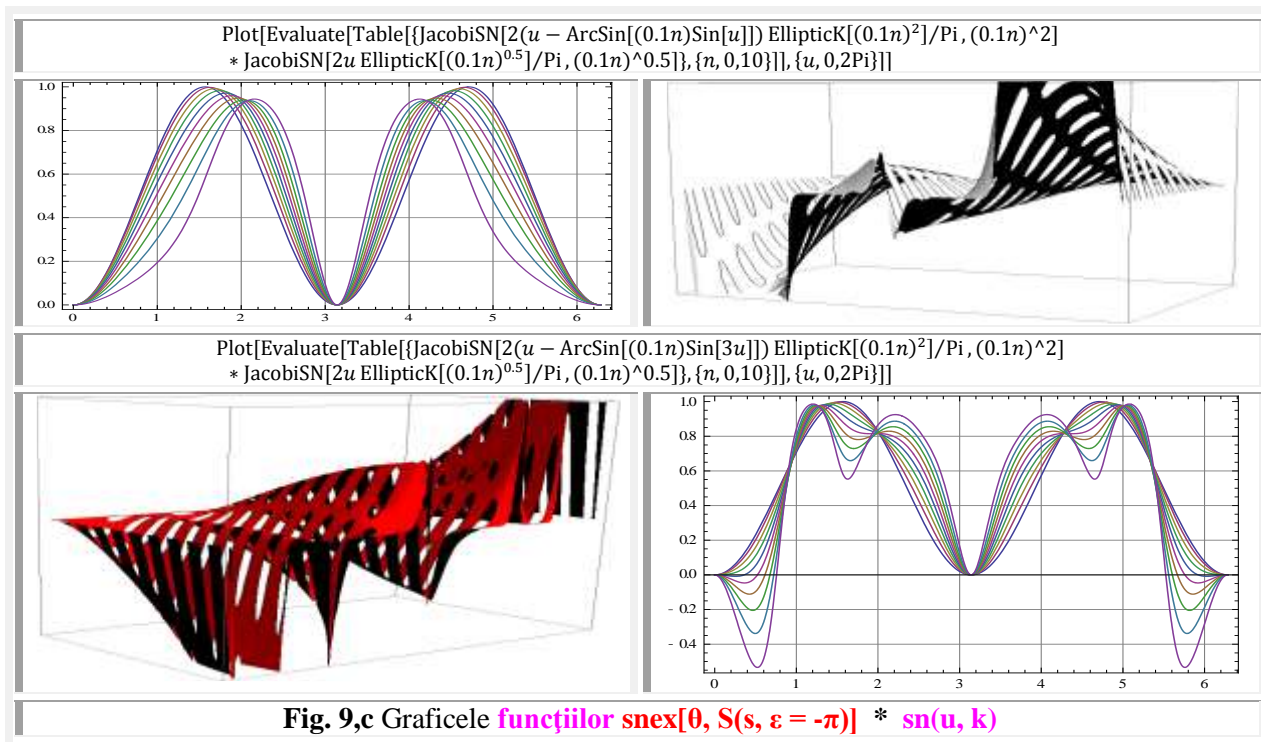
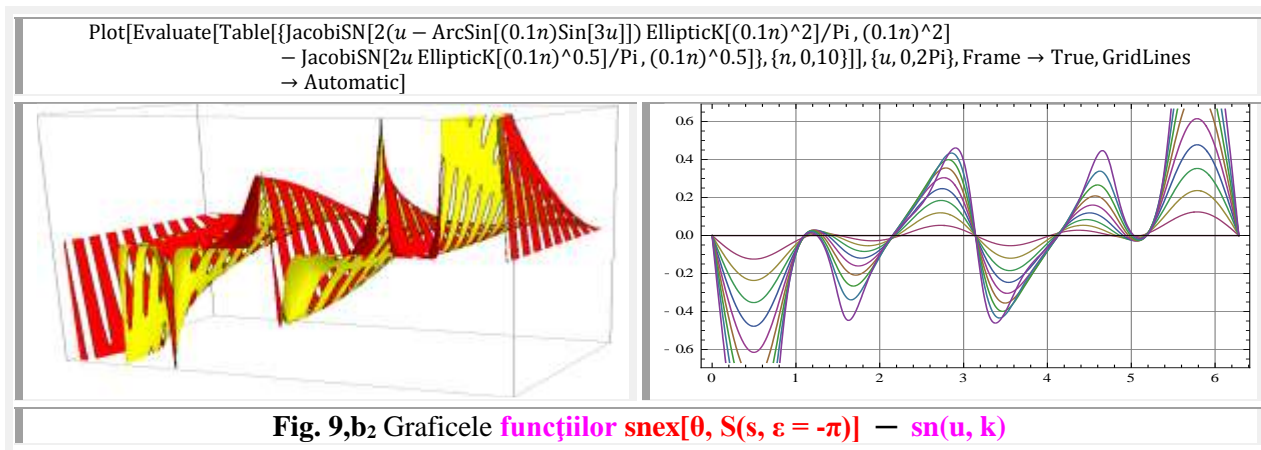


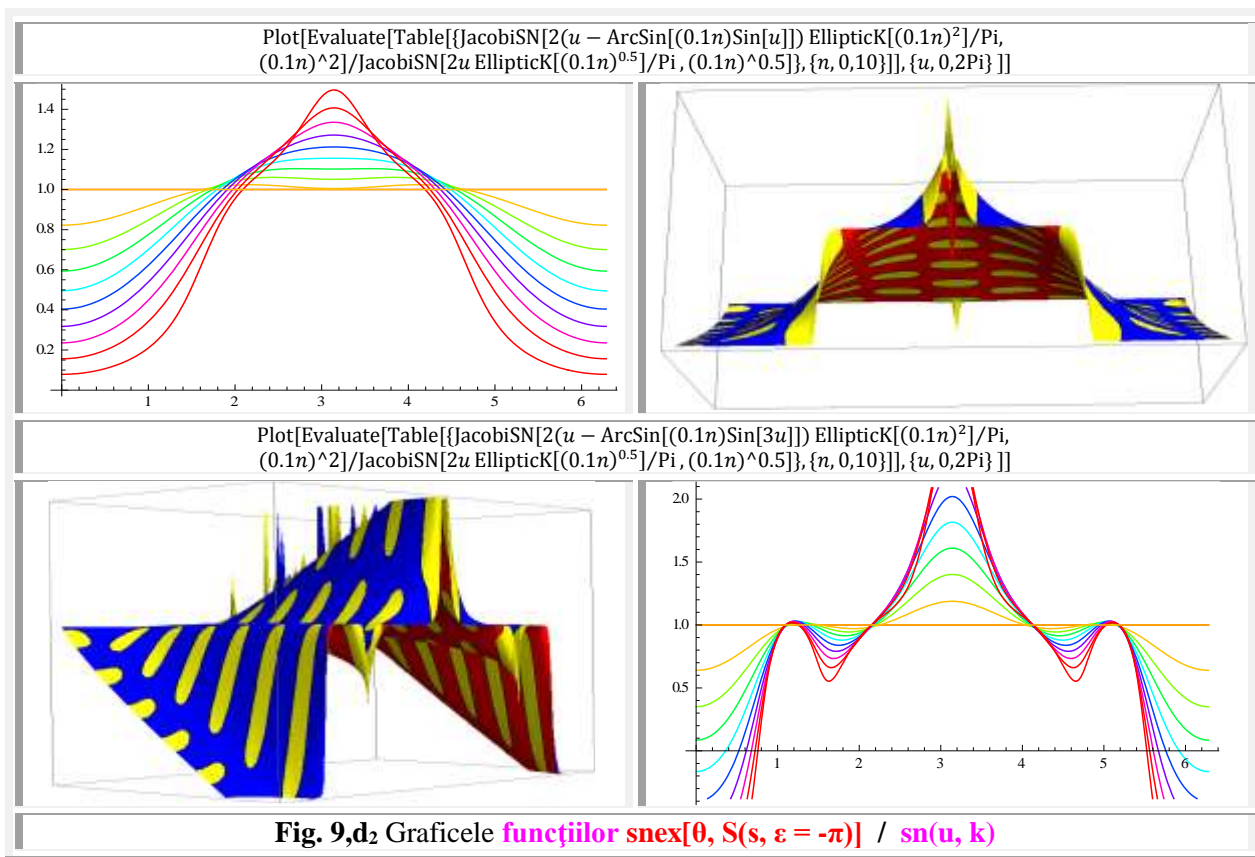
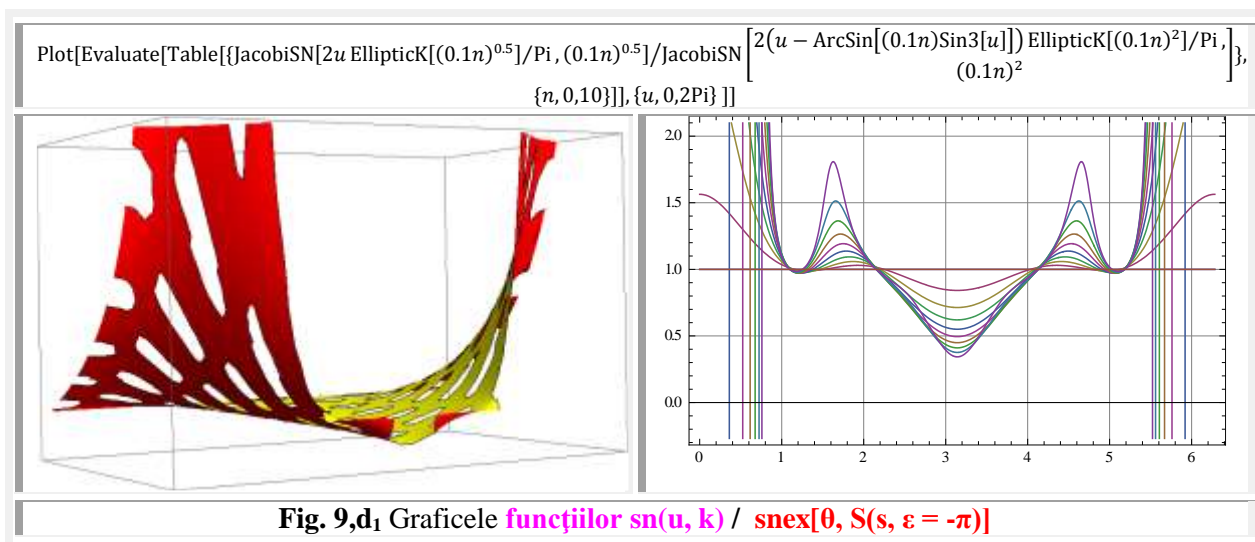


3. SINUS ELIPTIC $\text{sn}(u, k)$ de $T = 2\pi$ ŞI SINUSUL ELIPTIC EXCENTRIC $\text{snex}(u, k)$









Motto: "Natura ne aseamănă. Educația ne deosebește." Confucius
 "Hiperbola exagerează pentru a impresiona,
 iar excentricitatea pentru a hiperboliza" Autorul

Capitolul X :

FUNȚII SUPERMATEMATICE EVOLUTIVE HIPERBOLICE EXCENTRICO CENTRICE

1. INTRODUCERE : FUNȚII HIPERBOLICE CENTRICE ȘI EXCENTRICE

În domeniul funcțiilor, în general și al celor circulare precum și hiperbolice în special, s-a simțit nevoia diversificării acestora, în ideea obținerii unor noi funcții, capabile să rezolve noi aplicații în știință și în tehnică.

În domeniul funcțiilor circulare, așa cum s-a descris în "SUPERMATEMATICA. Fundamente" Vol.I, Ed "POLITEHNICA" din Timișoara, Cap.2, lucrare distinsă cu **Diploma AGIR** în domeniul **IT** pentru anul 2013, s-a căutat să se înlocuiască **cercul**, pe care s-au definit aceste funcții circulare, cu alte curbe închise, sau cu obiecte matematice noi. S-a căutat înlocuirea cercului cu **pătratul** sau **rombul** (V.Alaci, 1939), definindu-se funcțiile pătratice și cele rombice, cu **poligoane - M. O. Enulescu** (1940) - definind funcții generalizate, apoi pe cele cu n laturi ca **funcții poligonale**.

Încă în 1877, **Dr. Biehringer** [23] definește funcțiile trigonometrice **înclinate**, iar **A.I. Marcușevici** (1965), publică funcții trigonometrice definite pe **lemniscată** și funcții trigonometrice **generalizate**, evidențiind și legăturile ce există între aceste funcții și funcțiile **eliptice**.

Există și preocupări foarte recente de diversificare a funcțiilor circulare, printre care se numără **FUNȚIILE INTRATRIGONOMETRICE** ale **Malvinei Baica** și **Mircea Cârdu**, ca și **FUNȚIILE PARATRIGONOMETRICE** și **ULTRATRIGONOMETRICE** ale aceluiași autori, publicate în "The **PARATRIGONOMETRY**, AGIR Publishing House, Bucharest, Romania, 2010.

Este aproape inexplicabil faptul, că nimeni n-a încercat să schimbe (mute) din centru și din originea sistemului de referință (reperul), poziția unui singur punct, dintre cele trei puncte, definite de **Euler**, **super confundate**: **originea** $O(0,0)$, **centrul** cercului unitate $C(0,0)$ și **polul** $P(0,0)$ al unei semidrepte, din care cauză matematica a sărăcit enorm. Matematica ordinară, veche, denumită acum și **centrică (MC)**.

Și în domeniul funcțiilor hiperbolice s-a procedat la înlocuirea hiperbolei echilateră, pe care sunt definite funcțiile **hiperbolice centrice (FHC)**, cu... cercul trigonometric, de **M. Moscovici** (1956) în [**Moscovici, M, O INTERPRETARE GEOMETRICĂ NATURALĂ A SOLUȚIILOR COMPLEXE REZULTATE DIN UNELE PROBLEME DE GEOMETRIE ANALITICĂ**, Ed. Tehnică, București, 1956], reușind o folositoare reunificare a celor două domenii, care va fi utilizată și de noi. În plus, autorul a reușit o interpretare intuitivă și coerentă a intersecției unei drepte cu un cerc, intersecție folosită apoi în tot restul lucrării. Prin similitudine, devine posibilă și unificarea celor două domenii ale **SM: circular** și **hiperbolic** !

Analog funcțiilor pătratice ale lui **V. Alaci**, prof. **E. Vișa** (1940) a definit **funcțiile pseudohiperbolice** [**Vișa, Eugen, FUNȚII PSEUDOHIPERBOLICE, STUDIU ELEMENTAR**, Rev. Matematică din Timișoara, anul XX, Nr. 1, 2, 4, 5, Timișoara, 1940]: definind o **pseudohiperbolă**, formată din semidrepte paralele cu asimptotele hiperbolei echilateră, cu vârful în vârful hiperbolei (v. **SUPERMATEMATICA. Fundamente**, Vol.I, Cap. 2, §2.5, pag. 62 ...65), pseudohiperbolă prezentată și în **figura 1**, alături de hiperbola echilateră, cercul unitate și asimptotele hiperbolei.

Ca și în multe alte cazuri, după definirea funcțiilor directe, au fost definite și cele inverse, hiperbolice și pseudohiperbolice.

Definirea **funcțiilor supermatematice hiperbolice excentrice (FSM-HE)** se poate face în mai multe moduri, începând cu cel geometric, mai intuitiv, pentru că beneficiază și de primul simț al sistemului senzorial, prin care se percep peste 80% din informațiile noastre: **văzul**.

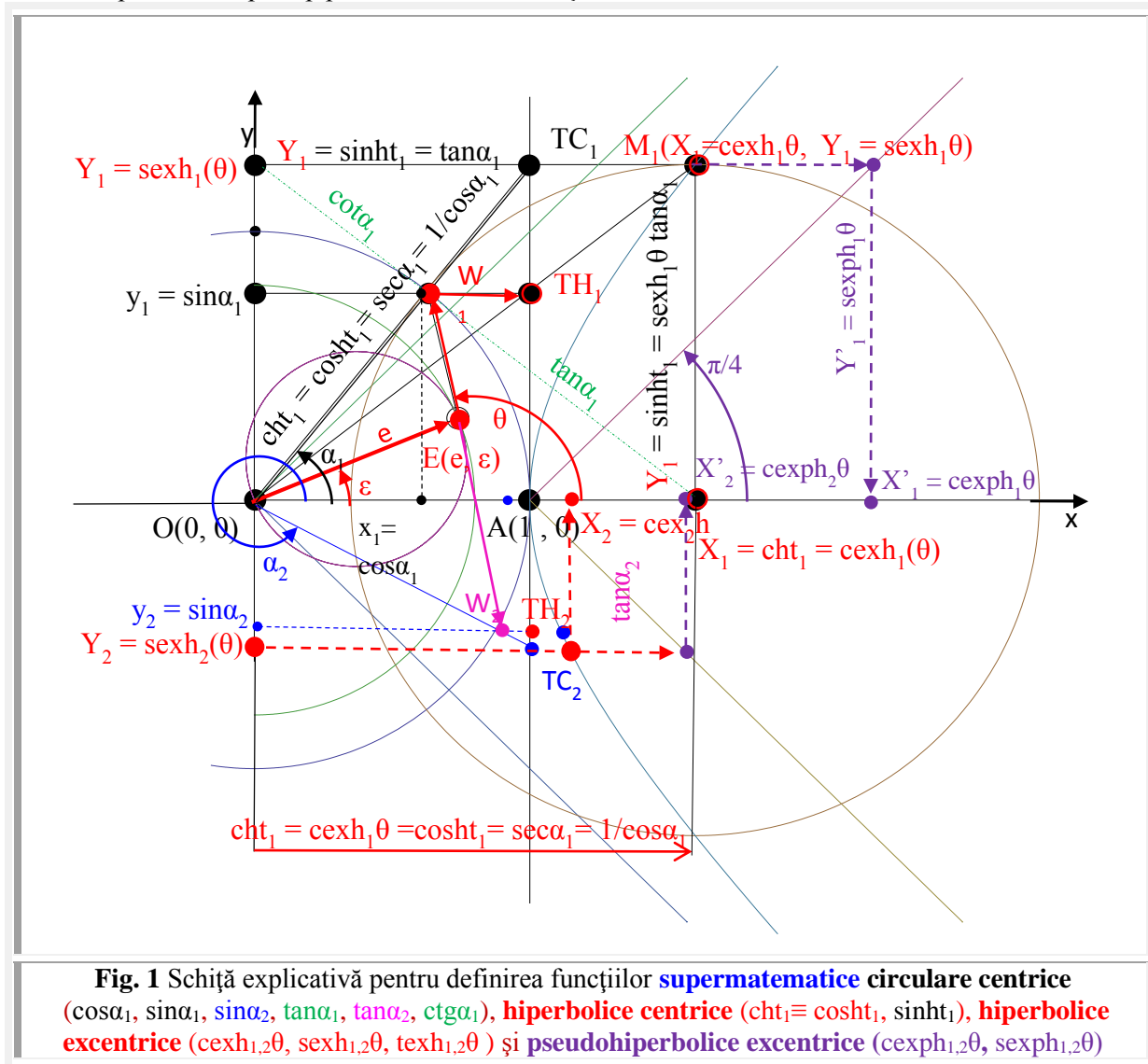


Fig. 1 Schiță explicativă pentru definirea funcțiilor **supermatematice** **circulare centrice** ($\cos\alpha_1, \sin\alpha_1, \sin\alpha_2, \tan\alpha_1, \tan\alpha_2, \cot\alpha_1$), **hiperbolice centrice** ($cht_1 \equiv \cosht_1, \sinh_1$), **hiperbolice excentrice** ($cexh_{1,2}\theta, sexh_{1,2}\theta, texh_{1,2}\theta$) și **pseudohiperbolice excentrice** ($cexph_{1,2}\theta, sexph_{1,2}\theta$)

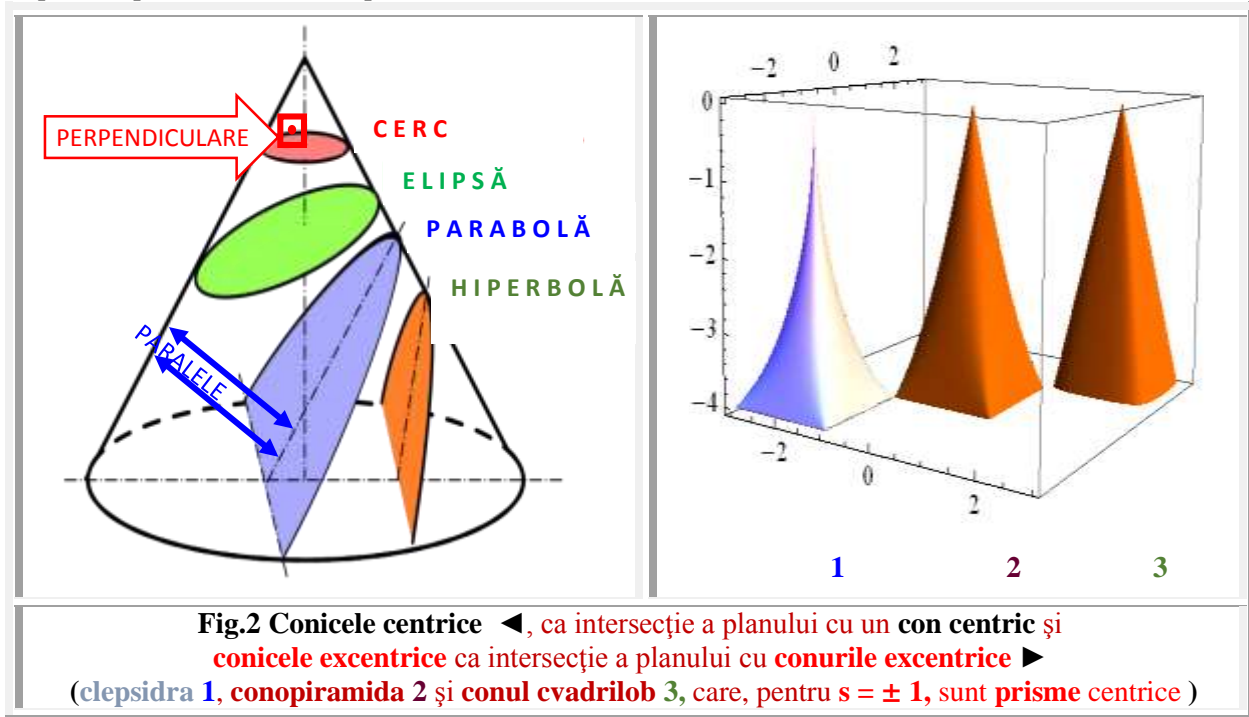
Toată lumea știe ce-i un con și ce-i o conică, până când va da de **supermatematică**. Atunci, lumea cultă, va afla că sunt **numai** patru conice **doar** în matematica **centrică** (MC) (cercul, elipsa, parabola și hiperbola **Fig. 2**) ◀, căci, în matematica **excentrică** (ME), există o infinitate de conuri și, prin intersecția lor cu un plan, o infinitate de conice. Tot așa cum, în această matematică, toate entitățile s-au multiplicat de la unu la infinit.

Dintre conurile excentrice, trei **tipuri** (**clepsidra 1, conopiramida 2 și conul cvadrilob 3**) sunt prezentate în dreapta ▶ **figurii 2**; fiecare tip fiind format dintr-o familie cu o infinitate de astfel de **conuri excentrice**, corespunzătoare infinității de valori ale **excentricității liniare numerice s** în domeniul $s \in [0, 1]$, de exemplu, în care, suprafețele unor conice excentrice mai sunt continue.

Denumirea de **excentrice** a fost dată tuturor curbilor din **2D**, exprimabile doar prin **funcții supermatematice circulare, hiperbolice, eliptice** ș.a. **excentrice** (FSM-CE, -HE, EE, ș.a), de regretatul matematician al Universității “POLITEHNICA” din Timișoara drd. math **Anton Hadnagy**.

El a “**decretat**”: ”Toate curbele **2D** cunoscute din matematica ordinară centrică (**MC**) vor fi denumite **centrice** și toate curbele **2D** noi, apărute grație **supermatematicii** (**SM**), vor fi denumite **excentrice**”.

Evident că între curbe și funcții există o strânsă legătură: cerc → funcții circulare; elipsă → funcții eliptice; hiperbolă → funcții hiperbolice; ș.a.m.d.



Ca urmare, pentru a descrie o **excentrică hiperbolică**, sau o **hiperbolă excentrică**, sunt necesare, în prealabil, **funcțiile hiperbolice excentrice** (**FHE**), date, anticipativ, de relațiile (1).

Precum și în domeniul **funcțiilor supermatematice circulare excentrice** (**FSM-CE**), trecerea din **centric** în **excentric** se realizează prin funcția **amplitudine excentrică** $aex\theta$, adică variabila centrică θ , x sau t se înlocuiește cu funcția $aexx$ sau $aext$, tot așa cum trecerea de la funcțiile circulare centrice $\cos x$ și $\sin x$ la funcțiile eliptice **Jacobi**, se face prin funcția amplitudine $am(u, k)$, adică $cn(u, k) = \cos[am(u, k)]$ și $sn(u, k) = \sin[am(u, k)]$; parametrul k fiind similar cu excentricitatea numerică s .

Ca urmare, funcțiile supermatematice **hiperbolice excentrice** (**FSM-HE**) se exprimă prin cele **hiperbolice centrice** (**HC**) în care, variabila t se înlocuiește cu funcția $aext$, adică:

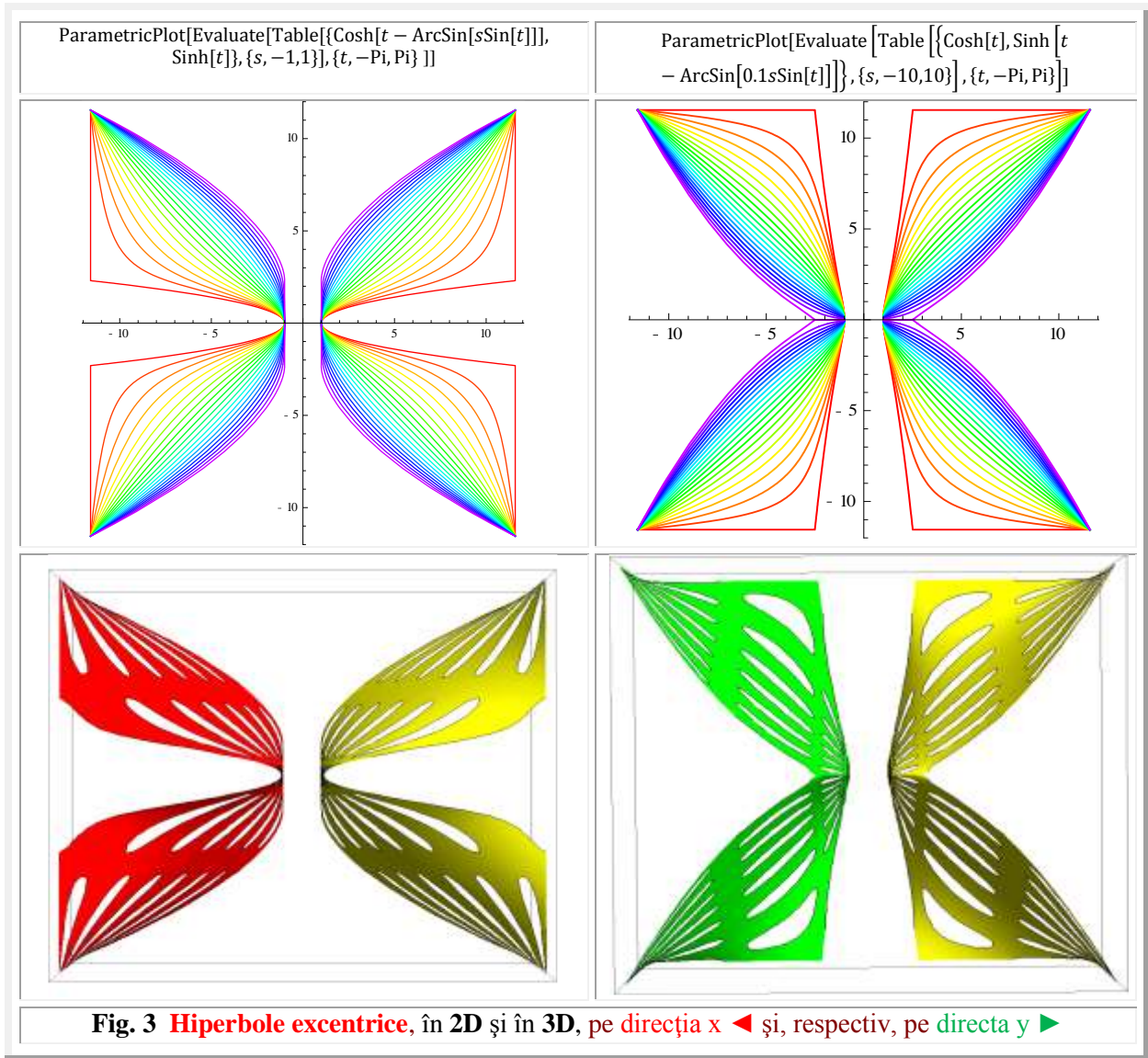
$$(1) \quad \begin{cases} \cosh t = \frac{e^t + e^{-t}}{2} \\ \sinh t = \frac{e^t - e^{-t}}{2} \\ \tanh t = \frac{e^t - e^{-t}}{e^t + e^{-t}} \end{cases} \quad \Rightarrow \quad \begin{cases} \cexht = \cosh[aext] = \frac{e^{aext} + e^{-aext}}{2} \\ \sexht = \sinh[aext] = \frac{e^{aext} - e^{-aext}}{2} \\ \texht = \tanh[aext] = \frac{e^{aext} - e^{-aext}}{e^{aext} + e^{-aext}} \end{cases} \quad \text{ș. a. m. d}$$

În **figura 3** sunt prezentate graficele unor hiperbole excentrice pe direcția x (**HE_x**), denumite astfel, deoarece, în ecuațiile parametrice ale unei hiperbole centrice (**HC**), doar în parametrul x s-a făcut trecerea din centric în excentric, în sensul că, funcția hiperbolică **centrică** (**FHC**) $\cosh t$ a fost înlocuită cu funcția hiperbolică **excentrică** (**FHE**), adică $\cosh t \rightarrow \cexht$. Altfel spus, excentrul $S_x \neq O(0,0)$, iar $S_y \equiv O(0, 0)$ în ecuațiile parametrice (2) (**Fig. 3** ◀).

În cazul în care $S_y \neq O(0,0)$ și $S_y \equiv O(0, 0) \rightarrow s_y = 0$ se obțin hiperbole excentrice doar pe direcția y (**HE_y**), precum cele prezentate în **figura 3** ▶ dreapta.

Ecuțiile parametrice ale hiperborelor **excentrice** (**HE**) sunt

$$(2) \begin{cases} x = \mathbf{cexht} = \mathbf{cexh}[t = \theta, \mathbf{S}_x(s_x, \varepsilon_x)] \\ y = \mathbf{sexht} = \mathbf{sexht}[t = \theta, \mathbf{S}_y(s_y, \varepsilon_y)] \end{cases}$$



Ecuțiile parametrice ale hiperborelor **excentrice** pe x (**HE_x**) și, respectiv, pe y (**HE_y**) sunt:

$$(3) \quad \mathbf{HE}_x \begin{cases} x = \mathbf{cexht} = \mathbf{sexh}[t = \theta, \mathbf{S}_x(s_x, \varepsilon_x)] \\ y = \mathbf{sinht} \end{cases}, \quad \mathbf{HE}_y \begin{cases} x = \mathbf{cosht} \\ y = \mathbf{sexht} = \mathbf{sexh}[t = \theta, \mathbf{S}_y(s_y, \varepsilon_y)] \end{cases}$$

Pentru $\mathbf{s} = \mathbf{0}$, toate hiperbolele excentrice, pe x sau pe y, degenerază în hiperbola centrică.

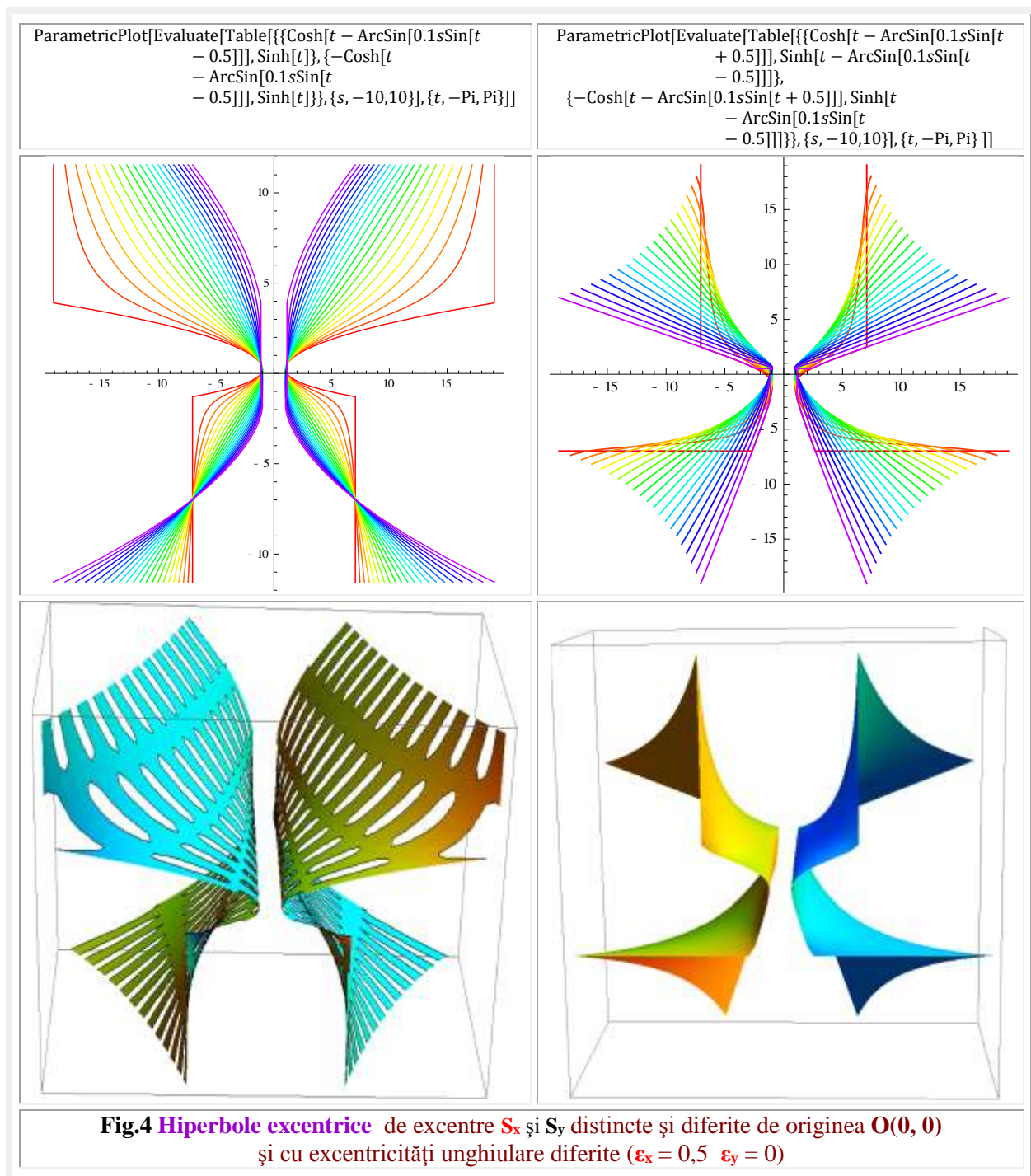
Dacă, în ecuațiile parametrice ale oricărei hiperbole excentrice se fac înlocuirile amintite, cu funcții **aext de aceeași excentricitate numerică s**, în x și în y, atunci se obține din nou doar **hiperbola centrică**.

Fenomenul este valabil și pentru cerc, ca și pentru multe alte curbe.

Dacă notăm cu \mathbf{s}_x și cu \mathbf{s}_y excentricitățile numerice liniare și cu ε_x și ε_y pe cele unghiulare, care sunt coordonatele excentrelor \mathbf{S}_x și, respectiv, \mathbf{S}_y , din expresia lui x și, respectiv, a lui y, atunci din ecuațiile parametrice ale cercului centric, sau, mai precis a centricei circulare, care este cercul, prin relația (3) se poate trece la excentrice circulare (4)

$$(4) \quad \begin{cases} x = \cos t \\ y = \sin t \end{cases} \rightarrow \begin{cases} x = cex[t, S_x(s_x, \epsilon_x)] \\ y = sex[t, S_y(s_y, \epsilon_y)] \end{cases}$$

Dacă excentricitățile numerice liniare nu sunt aceleași în ambele expresii (x și y), adică $s_x \neq s_y \neq 0$ și $\epsilon_y = \epsilon_x = 0$, atunci se obțin graficele hiperbolelor excentrice de excentre S_x și S_y distincte sau de excentricități liniare diferite (Fig. 4).



**FUNȚIILE SUPERMATEMATICE EVOLUTIVE HIPERBOLICE
EXCENTRICOCENTRICE cexht (+, -m *, /) cosht și sexht (+, -m *, /) sinht**

În partea superioară ▲ a figurii 5 sunt prezentate FSM-HE cexht ◀ și sexht ▶, în culorile țării în care acestea au fost descoperite, iar în subsol ▼, în stânga figurii 5 ▼◀ sunt prezentate sumele $\text{cexht} + \text{cosht}$ și în dreapta ▼▶ $\text{sexht} + \text{sinht}$.

În figurile următoare sunt prezentate diferențele lor (Fig. 6 și Fig 7), apoi produsele (Fig. 8) și rapoartele lor normale (Fig.9 și Fig. 10)

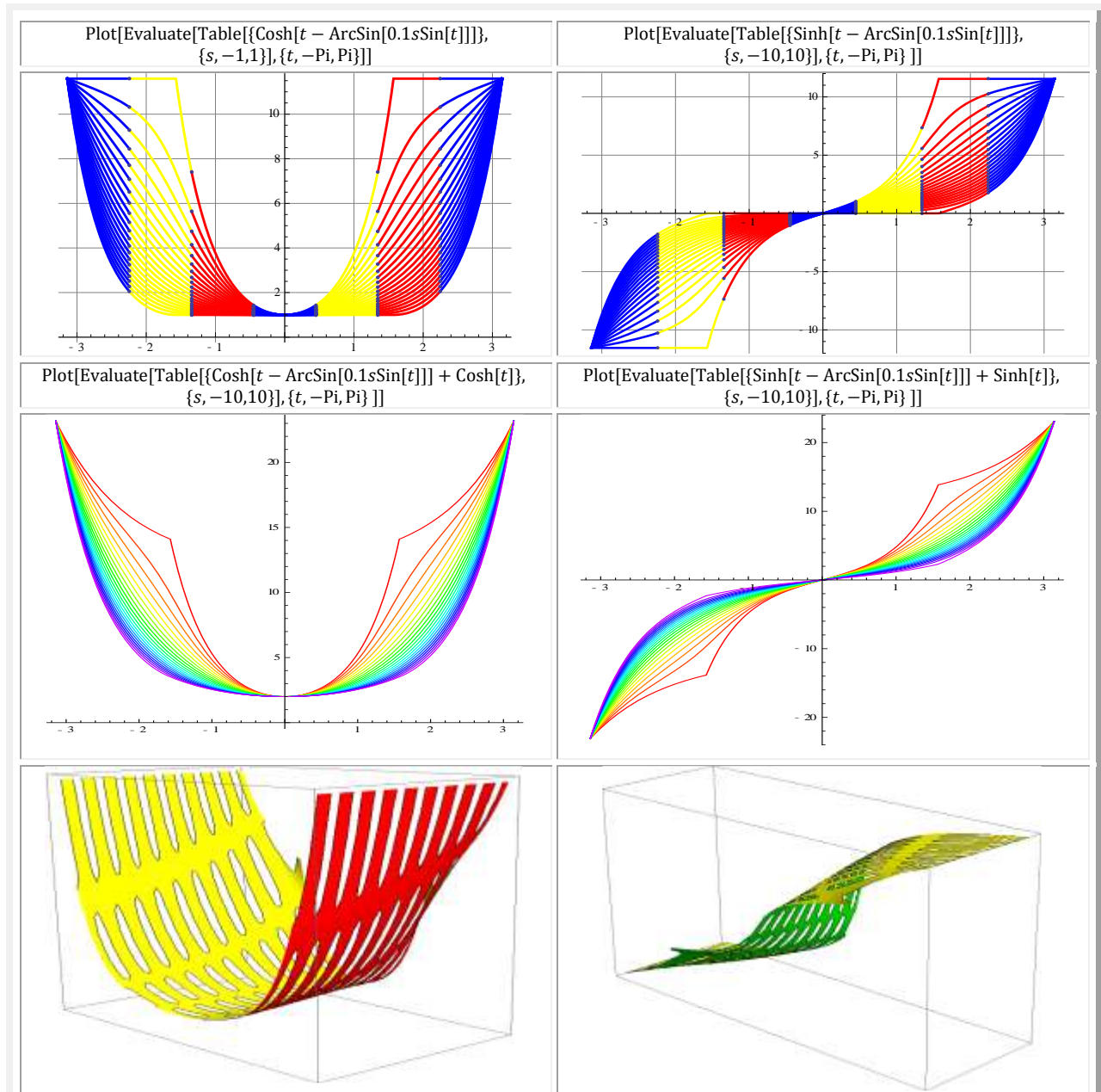
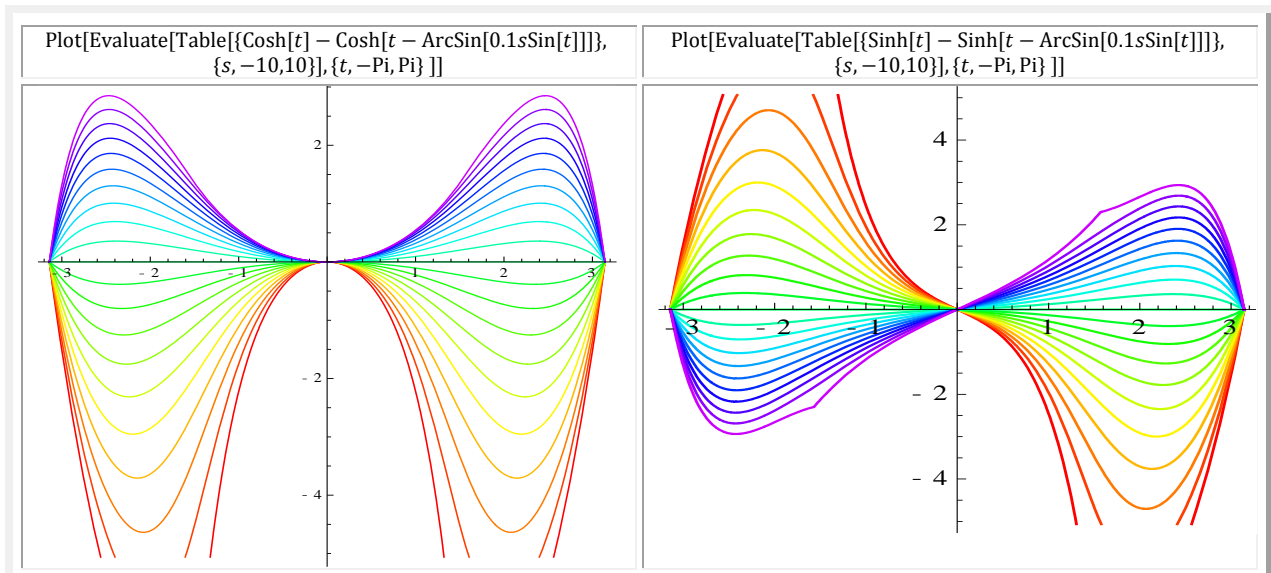
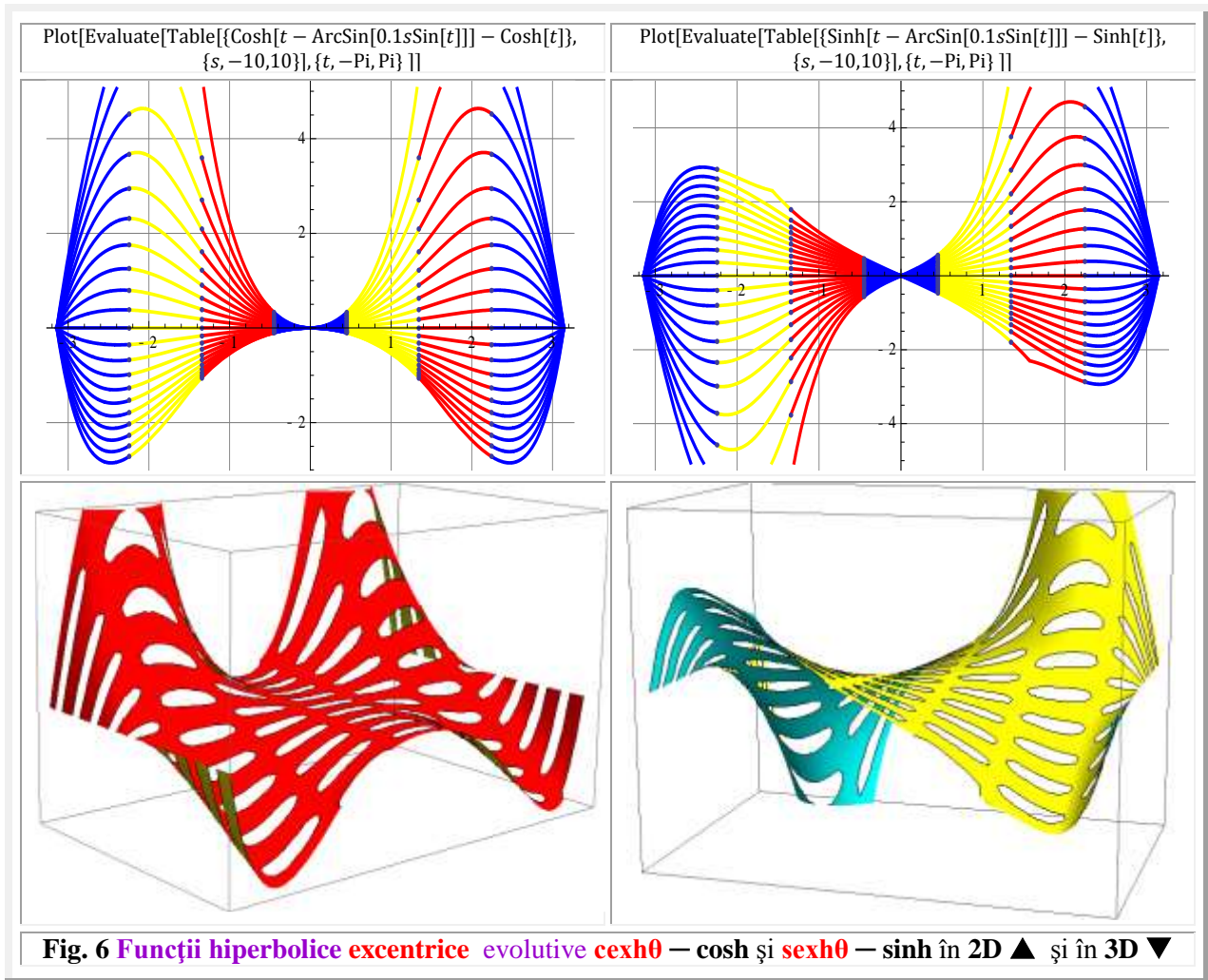
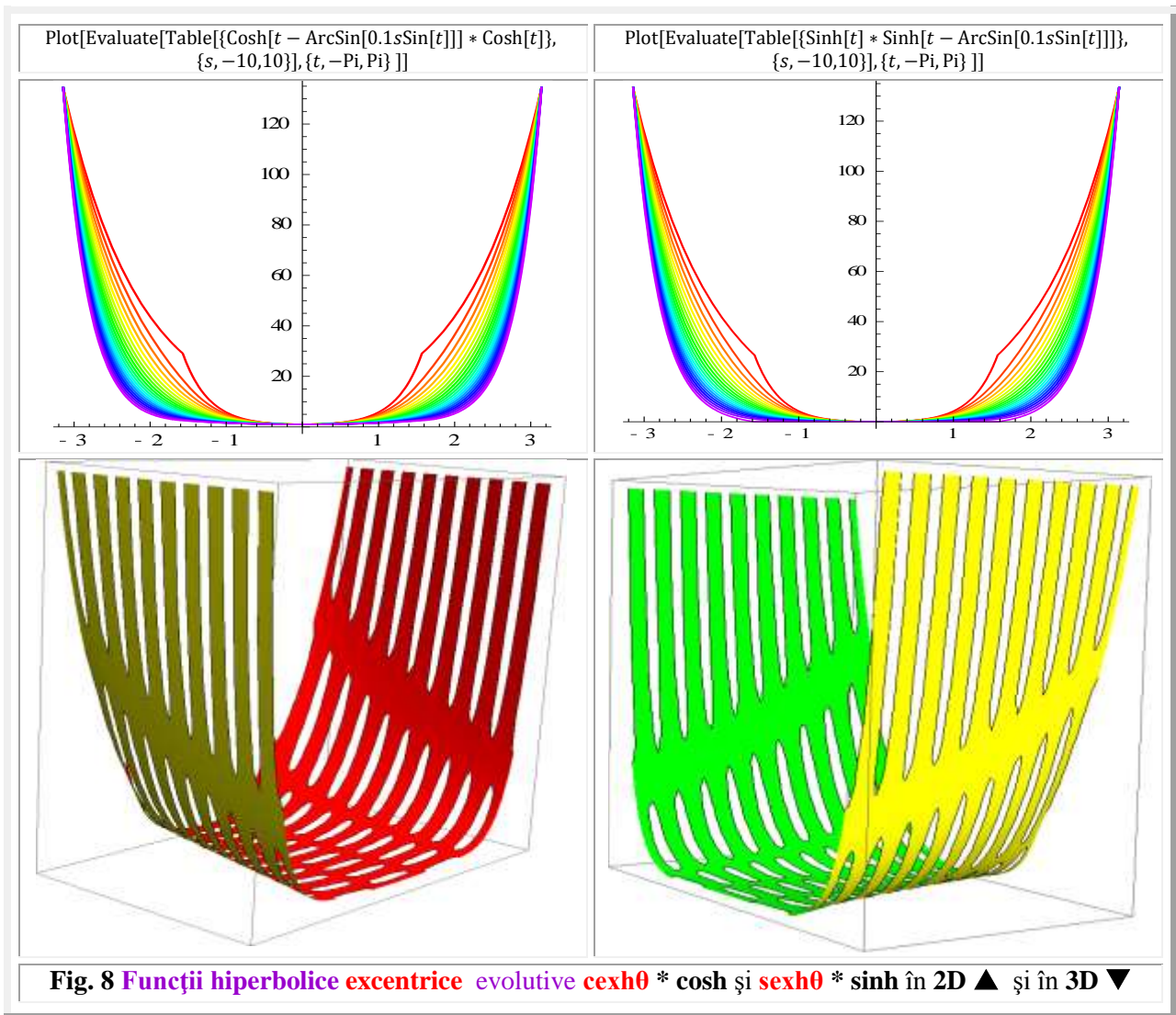
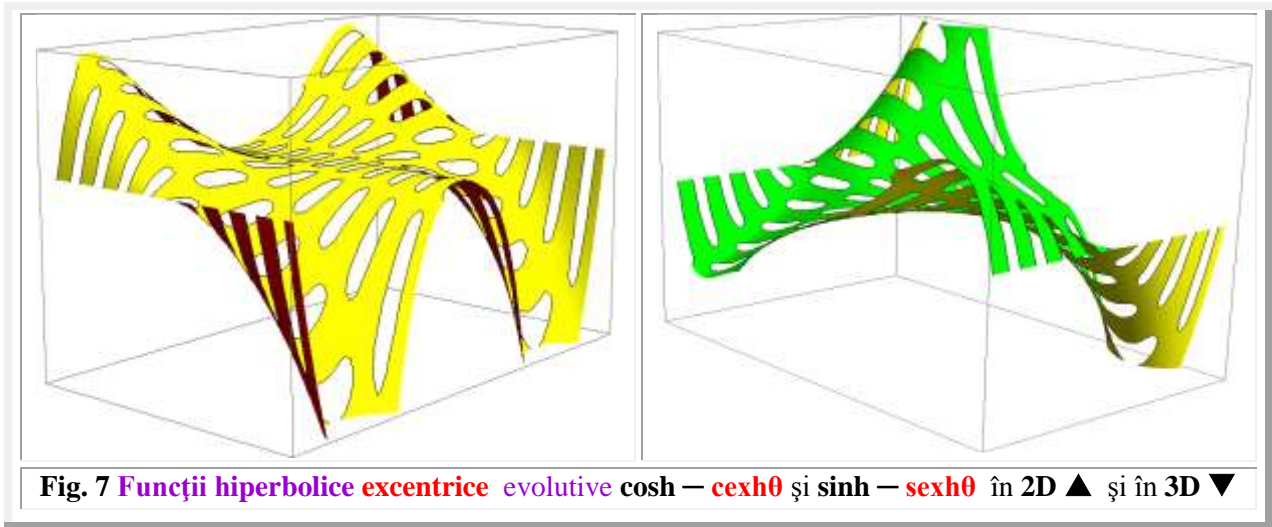
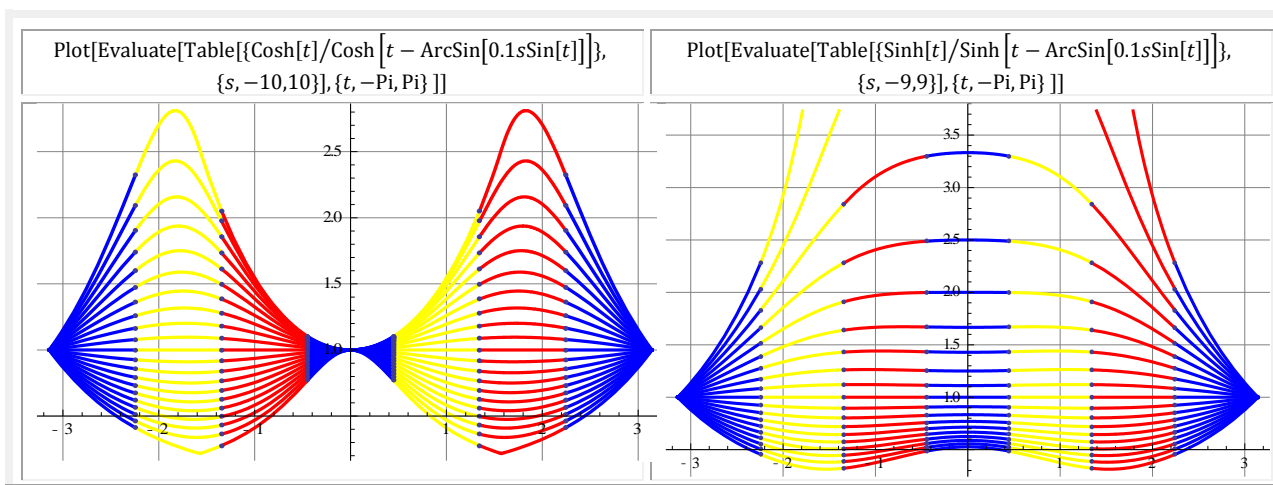
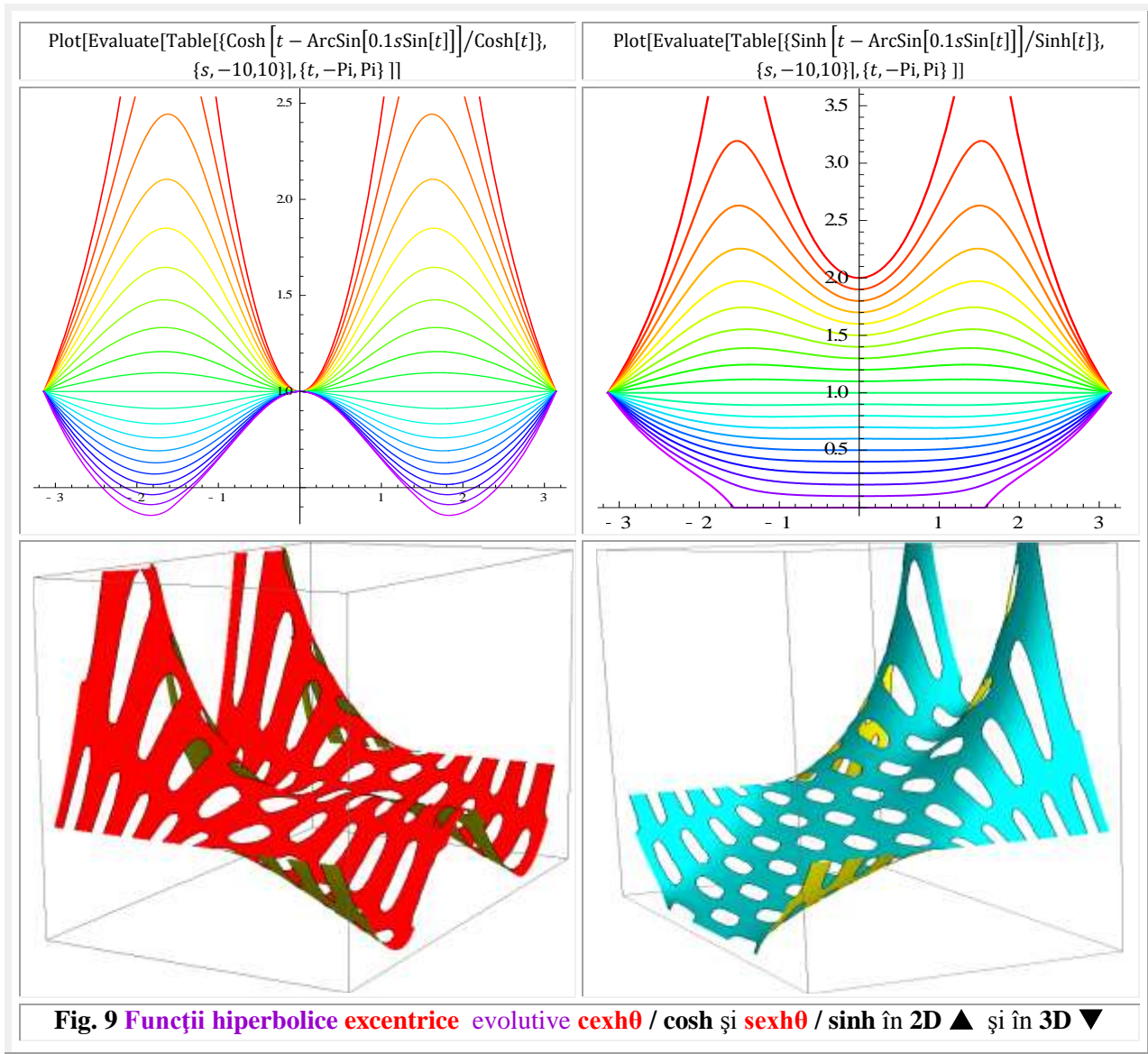
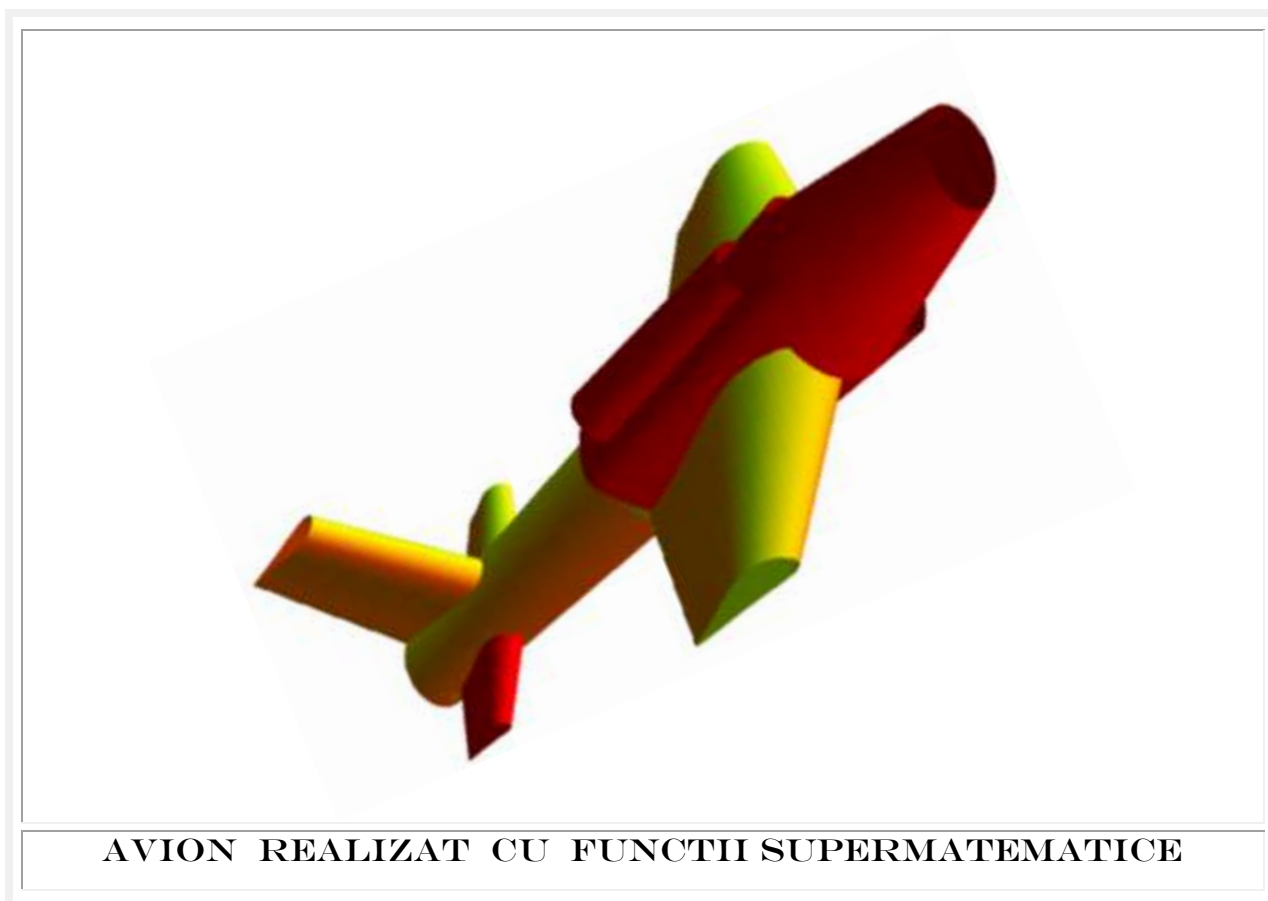
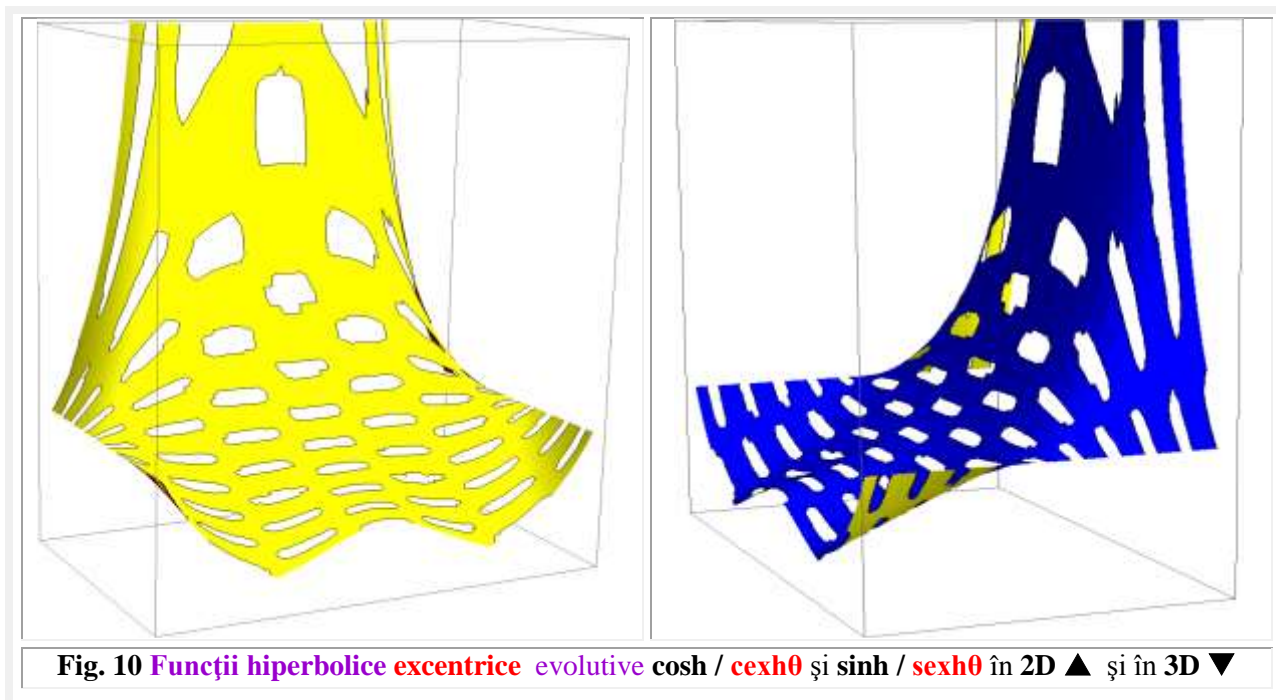


Fig.5 Funcții hiperbolice excentrice $\text{cexh}\theta$ ▲◀ și $\text{sexh}\theta$ ▶▲ precum și sumele lor: $\text{cexh}\theta + \text{cosh}$ și $\text{sexh}\theta + \text{sinh}$ în 2D ● și în 3D ▼









MOTTO:” *Matematica constă în a dovedi ceea ce este evident în cel mai puțin evident mod*”

George Polya

CAPITOLUL XI

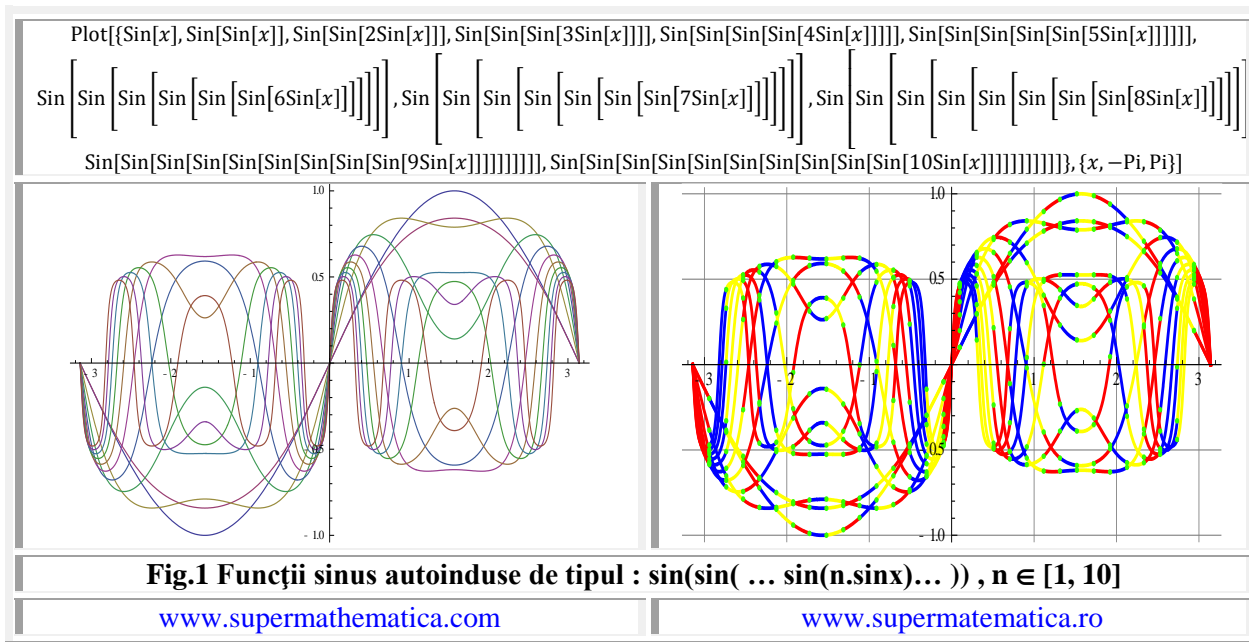
FUNCTII INDUSE CA FUNCTII SPECIALE

1.INTRODUCERE

Funcțiile supermatematice circulare excentrice (FSM – CE) autoinduse și induse, atât pentru **funcțiile circulare centrice (FCC) $\cos a$, $\sin a$** etc, cât și pentru cele excentrice (**$\text{cex}\theta$, Cexa , $\text{sex}\theta$, Sexa** etc), cu excepția celor care au fost prezentate într-un alt articol [2] (**$\text{bex}\theta$, Bexa , $\text{aex}\theta$, Aexa , $\text{dex}\theta$, Dexa , $\text{rex}\theta$, Rexa** etc) au făcut obiectul unor capitole din lucrarea autorului **SUPERMATEMATICA**, Vol I și Vol II, ediția a 3-a, revizuită și îmbunătățită, din Editura Matrix Rom, Buc. 2015 și edițiile a 1-a și a 2-a în Editura Politehnica din Timișoara [1].

Funcțiile **autoinduse centrice** sunt de forma **$A.\sin(B.\sin(C.\sin(\dots \dots U.\sin(\alpha))\dots))$** , de exemplu, iar cele **induse** de forma **$A.\cos(B.\sin(C.\cos(D.\tan(\dots \dots V.\cos\alpha))\dots))$** , în care amplitudinile A, B, C, ... U, V pot fi și toate unitare.

În **matematica centrică (MC)** și în literatura ei de specialitate (v. **Rijik / Ryzhik, I.M., Gradstein / Gradshteyn I.S.**, “**Tabele de INTEGRALE, SUME, SERII ȘI PRODUSE**”, Ed.Tehnică, Buc. 1955) funcțiile autoinduse sunt cunoscute sub denumirea de “Funcții trigonometrice de funcții trigonometrice” - $\sin(z.\sin x)$, pag.184 - și cele induse, sub denumirea de “Funcții trigonometrice de funcții trigonometrice inverse” - $\cos(\arctan x)$, pag.185-.



Exemple de funcții circulare centrice **autoinduse** au graficele din **figura 1**, în funcție de **gradul n de autoinducție**. Astfel, **$\sin x$** este de grad 0, **$\sin(\sin x)$** are gradul 1, iar **$\sin(\sin(\sin(\sin x)))$** este de gradul **n = 3**. În **figura 1**, gradul de autoinducție este cuprins în intervalul **$n \in [0, 10]$** și se observă că, prin creșterea lui **n**, amplitudinile funcțiilor scad treptat. **Funcțiile supermatematice circulare excentrice (FSM – CE)**,

prezentate în continuare, sunt acelea care nu au echivalente în matematica centrică (MC), așa cum au $\cos x \rightarrow \text{cex}, \sin x \rightarrow \text{sex}$ ș.m.a.

2. POLINOAME CEBÎȘEV EXCENTRICE DE PRIMA SPEȚĂ

Polinoamele lui **Cebîșev** de speța întâi, notate $T_n(x)$ sau $T(n, x)$, reprezintă o mulțime de polinoame ortogonale care sunt soluțiile ecuațiilor diferențiale de tip **Cebîșev**:

$$(1) \quad (1-x^2) \frac{d^2 w}{dx^2} - x \frac{dw}{dx} + n^2 w = 0$$

Primele 10 polinoame **Cebîșev** sunt reprezentate grafic în **figura 1**: $n \in [1, 5] \uparrow, n \in [5, 7] \downarrow \blacktriangleleft$ și $n \in [7, 10] \downarrow \blacktriangleright$.

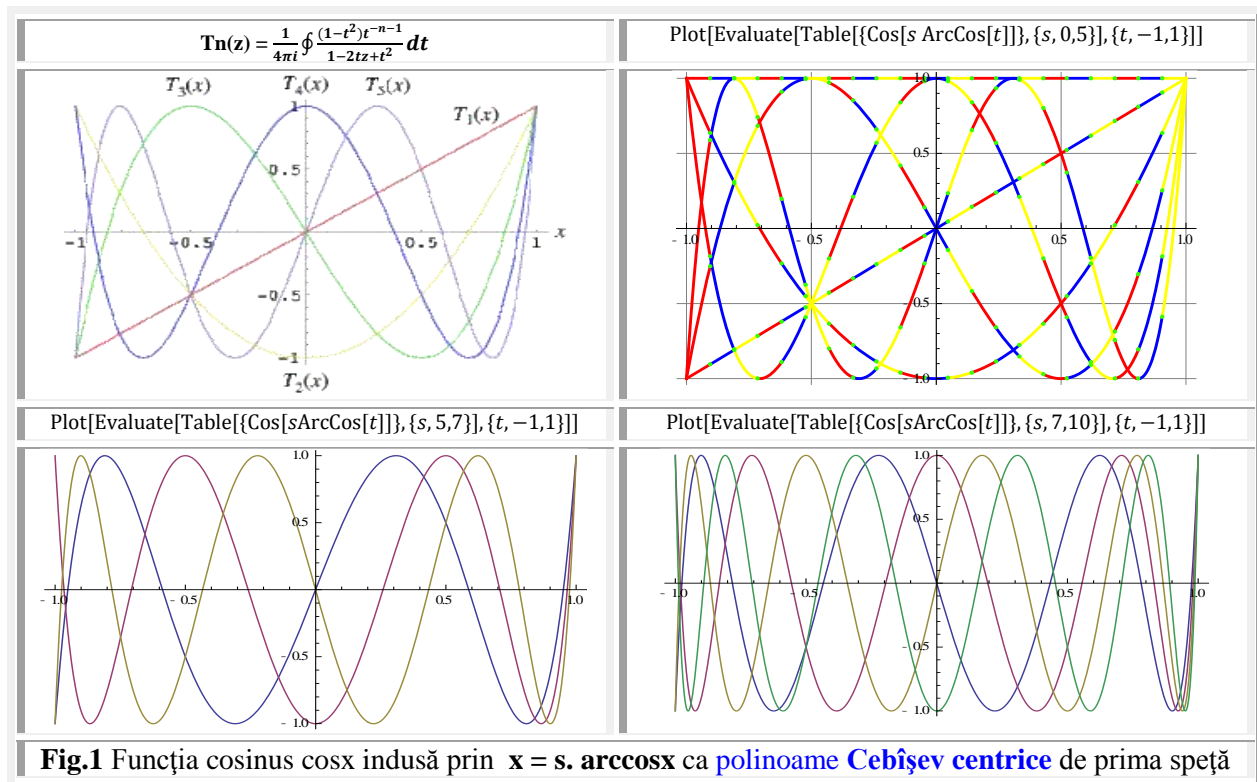


Fig.1 Funcția cosinus $\cos x$ indusă prin $x = s \cdot \arccos x$ ca **polinoame Cebîșev centrice** de prima speță

Polinoamele **Cebîșev** pot fi exprimate prin următoarele ecuații de definiție

$$(2) \quad \begin{cases} T_n(z) = \frac{1}{4\pi i} \oint \frac{(1-t^2)t^{n-1}}{1-2tz+t^2} dt \\ T_n(z) = \\ T_n(x) = \frac{(-2)^n n!}{(2n)!} \sqrt{1-x^2} \frac{d^n}{dx^n} (1-x^2)^{n-\frac{1}{2}} \\ T_n(x) = 2^{n-1} \prod_{k=1}^n \left\{ x - \cos \left[\frac{(2k-1)\pi}{2n} \right] \right\} \\ T_n(x) = \frac{1}{2} z^2 \left[\left(\sqrt{1 - \frac{1}{z^2}} + 1 \right)^n + \left(\sqrt{1 - \frac{1}{z^2}} \right)^n \right] \end{cases}$$

dar și cu ajutorul **funcțiilor induse** (2')

$$(2') \quad T_n(\cos\theta) = \cos(n\cdot\theta) \rightarrow T_n(x) = \cos[n \cdot \arccos x] = \frac{(x+i\sqrt{1-x^2})^n + (x-i\sqrt{1-x^2})^n}{2} =$$

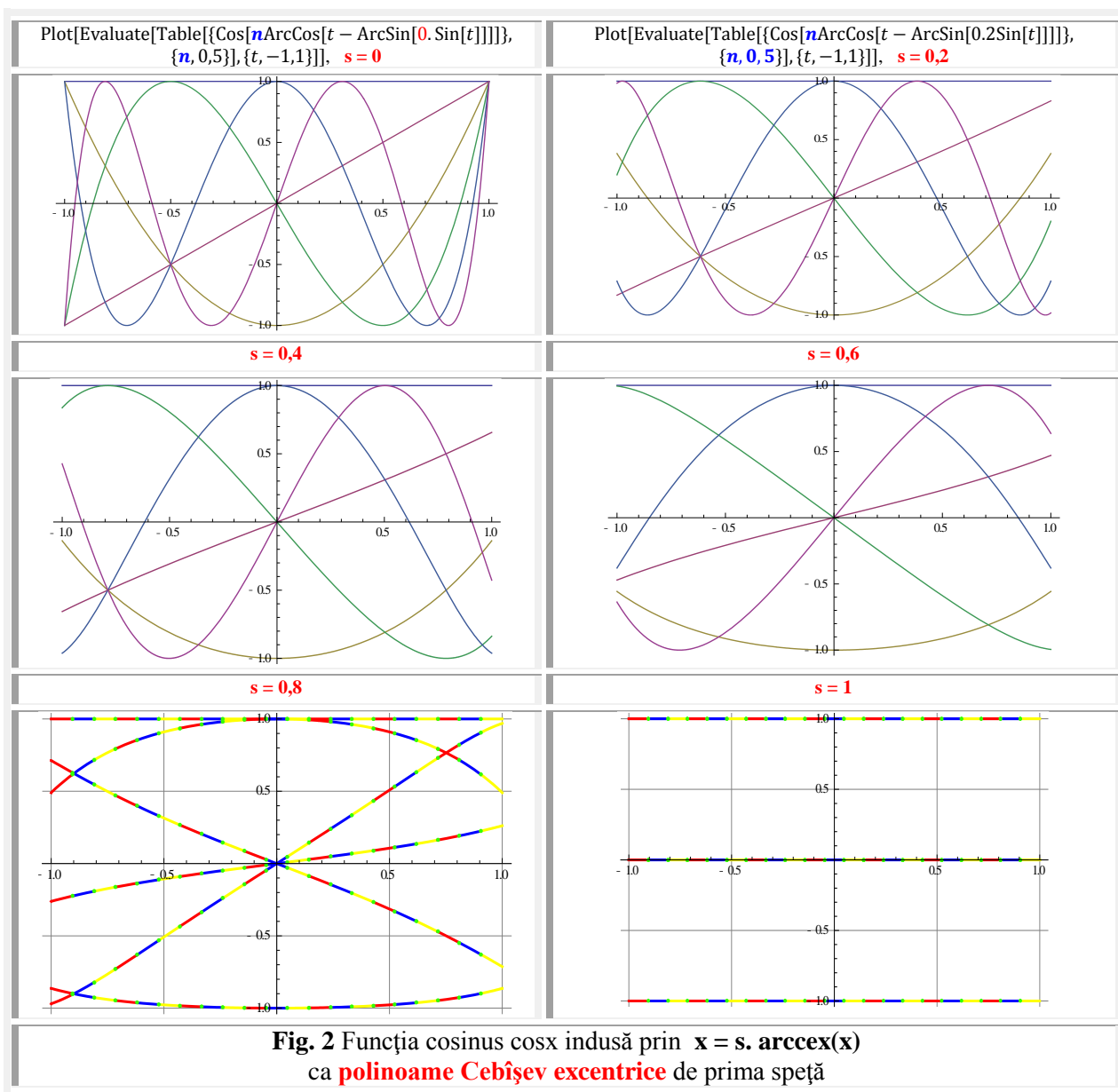
$$\sum_{m=0}^n \binom{n}{2m} (x^2 - 1)^m = x^n - \binom{n}{2} x^{n-2} (1-x^2) + \binom{n}{4} x^{n-4} (1-x^2)^2 - \binom{n}{6} x^{n-6} (1-x^2)^3 + \dots$$

cu proprietăţile:

$$(3) \int_{-1}^{+1} \frac{T_n(x) \cdot T_m(x) dx}{\sqrt{1-x^2}} = \begin{cases} 0, & m \neq n \\ \frac{\pi}{2}, & m = n \neq 0 \\ \pi, & m = n = 0 \end{cases}$$

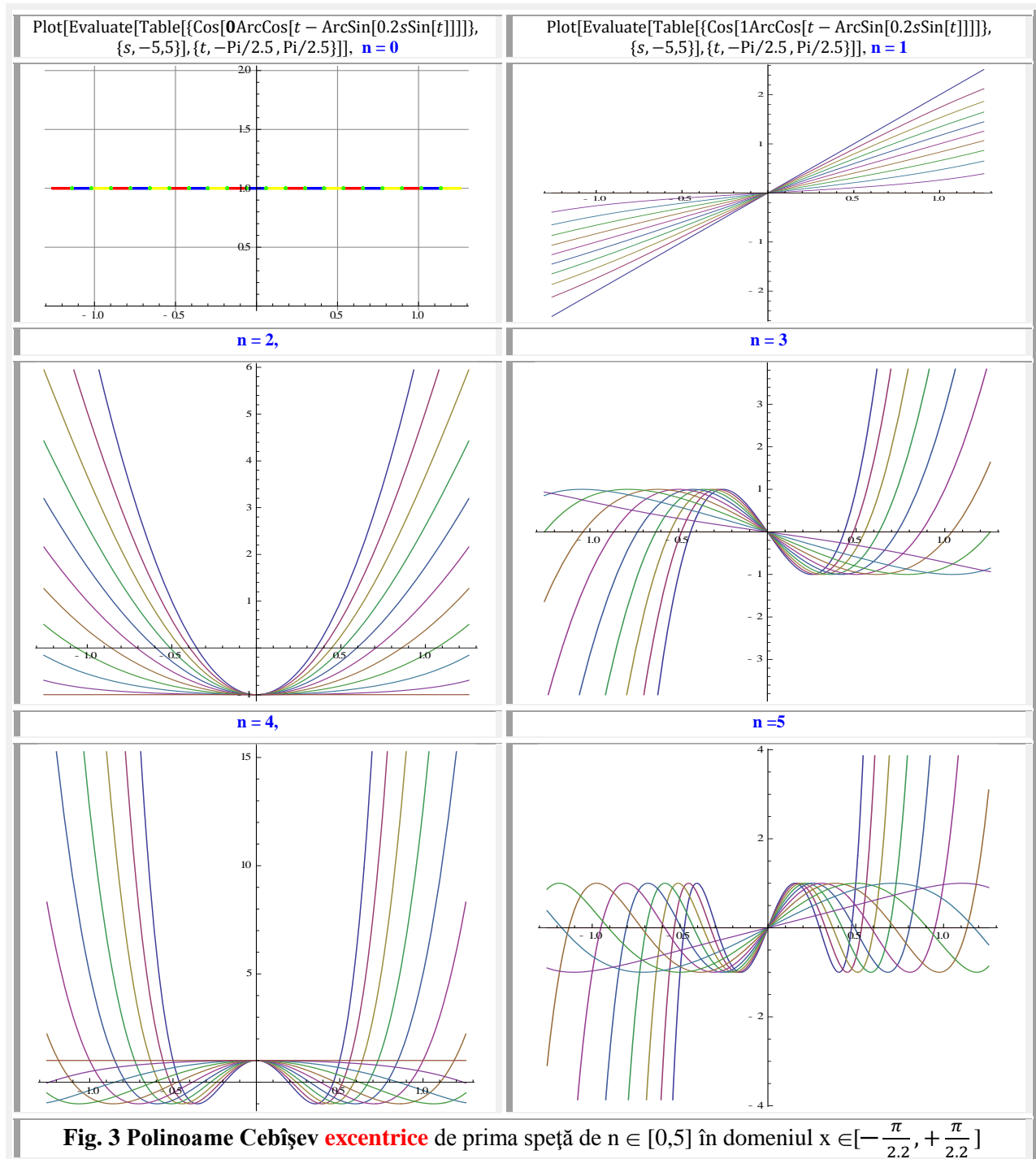
Ecuatiile (2') permit multiplicarea polinoamelor **Cebîşev** de la câte unu pentru fiecare **n** la o infinitate de polinoame excentrice pentru fiecare n, prin trecerea din **centric** în **excentric**, adică, prin trecerea de la funcţiile circulare centrice (**FCC**) **cosa** şi **sina** la **funcţiile supermatematice circulare excentrice (FSM-CE)** corespundente **cexθ** şi **sexθ**, exprimate de ecuaţiile de definiţie, pentru un **excentru** punct fix sau mobil în planul cercului unitate **CU[R = 1, O(0,0)]** de coordonate polare **S(s, ε)**:

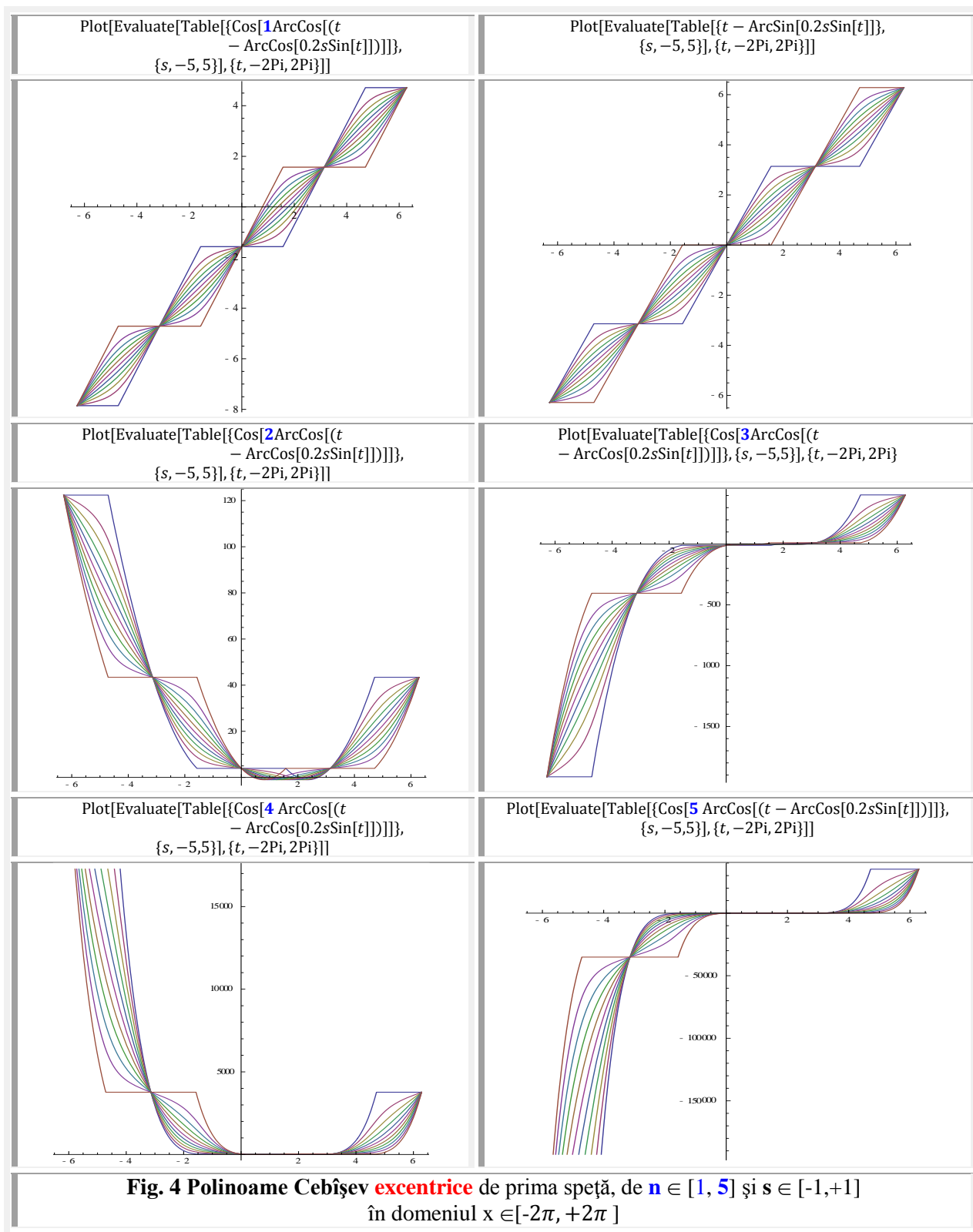
$$(4) \begin{cases} \mathbf{cex\theta} = \mathbf{cosa}(\theta) = \cos[\theta - \arcsin[s \cdot \sin(\theta - \varepsilon)]] \\ \mathbf{sex\theta} = \mathbf{sina}(\theta) = \sin[\theta - \arcsin[s \cdot \sin(\theta - \varepsilon)]] \end{cases}$$



Pentru $s = 0$, **polinoamele Cebîșev supermatematice (PCSM)** degenerază în cele centrice, așa cum rezultă din **figura 2** $\uparrow \blacktriangleleft$, iar pentru $n \in [0, 5]$ și $s = 0,2n \in [0, 1]$ graficele sunt prezentate sus-dreapta $\uparrow \blacktriangleright$.

Din **figura 2** se constată că prin creșterea **excentricității liniare numerice s**, apare o deplasare / fugă a punctelor curbelor spre cele două extremități ale axei $x \in [-1, +1]$, astfel că unele segmente / porțiuni de curbă sunt exterioare domeniului. De aceea, în **figurile 3**, și **4** sunt prezentate curbele și în afara acestui domeniu.





În figura 4 ↗ au fost reprezentate și FSM-CE amplitudine excentrică $aex\theta = \theta - \arcsin[s.\sin(\theta - \epsilon)]$, față de care, polinoamele Cebîşev excentrice de $n = 1$ sunt translate paralel, în sensul negativ, al axei Oy.

3. POLINOAME CEBÎŞEV EXCENTRICE DE SPEŢA A DOUA

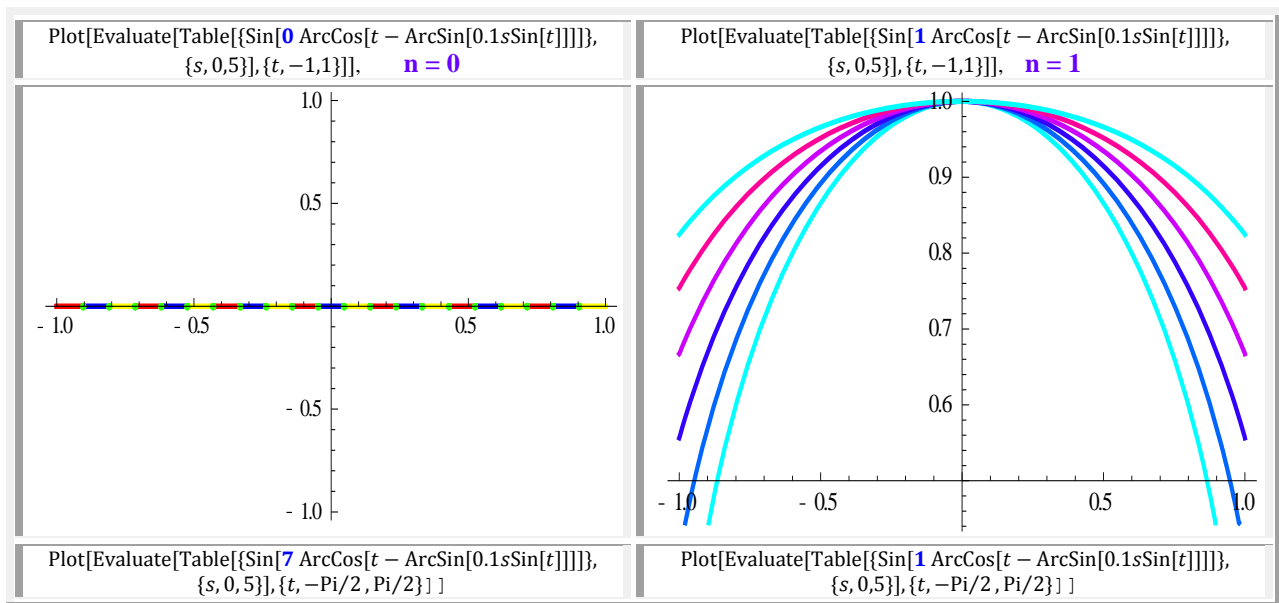
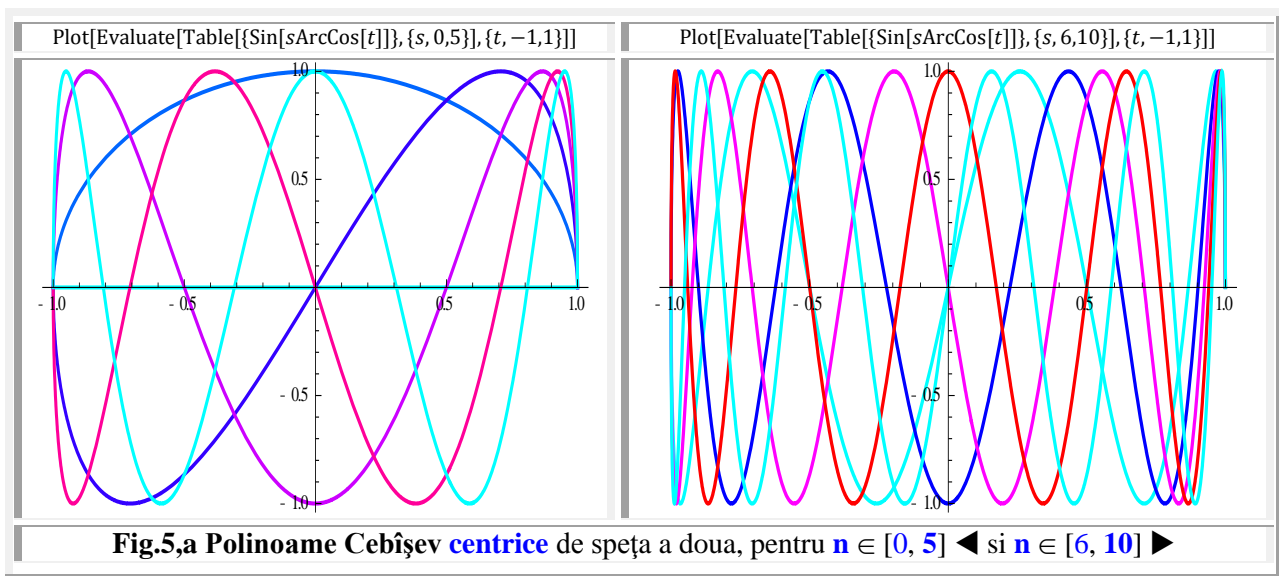
Polinoamele Cebîşev centrice de speța a doua, notate $U_n(x)$ pot avea ecuația exprimată și de funcția circulară centrică indusă:

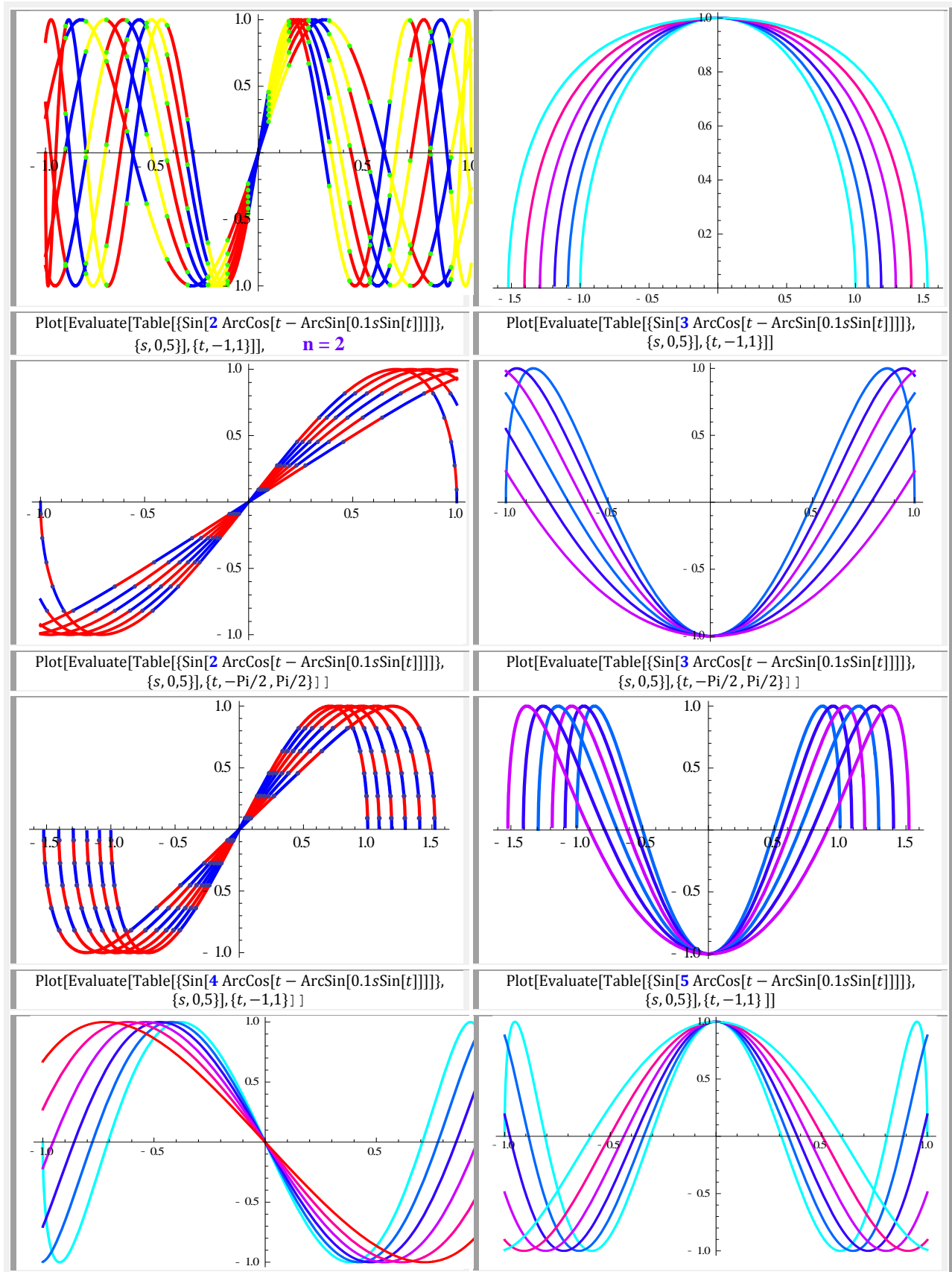
(5) $U_n(x) = \sin[n.\arccosx]$

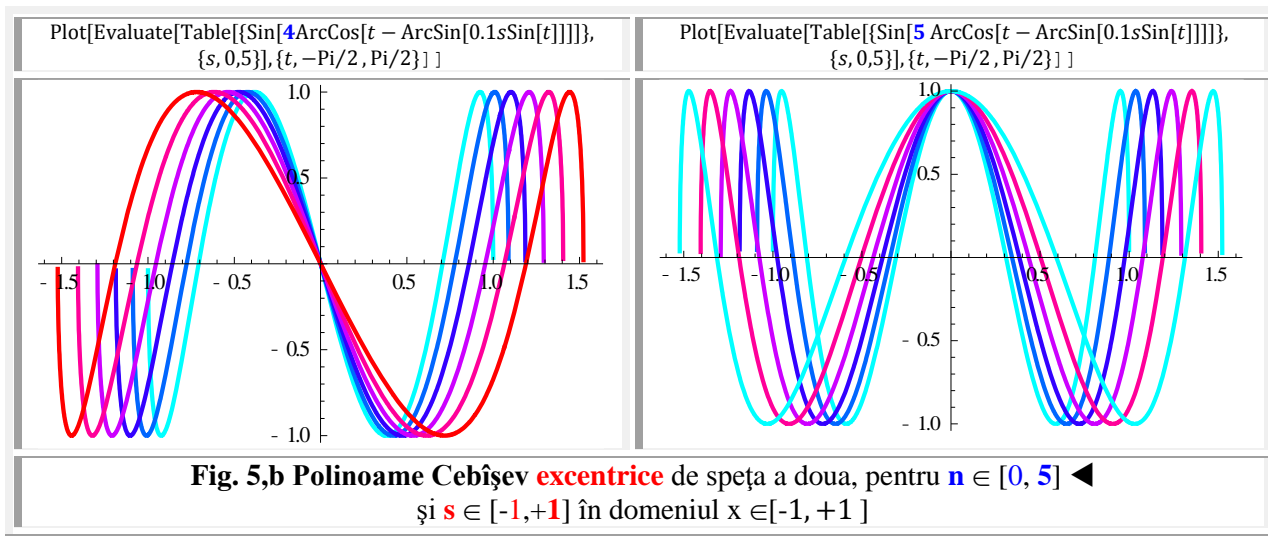
iar cele excentrice se obțin, ca și în cazul anterior, prin înlocuirea funcției CC \cosx cu FSM-CE $cex\theta$ și rezultă :

(6) $Ue_n(x) = \sin[n.\arccex\theta] = \sin[n.\arccos(\theta - \arcsin(s.\sin(\theta - \epsilon)))]$

Dacă polinoamele Cebîşev de speța a 2-a centrice (Fig. 5,a) există doar în domeniul $x \in [-1, +1]$ cele excentrice există și în domeniul mai extins $x \in [-\frac{\pi}{2}, +\frac{\pi}{2}]$ (Fig. 5,b).







4. FUNCȚIILE GENERATOARE ALE POLINOAMELOR CEBÎŞEV

Câteva funcții generatoare sunt prezentate în lucrarea lui **Gh. Mocica** "PROBLEME DE FUNCȚII SPECIALE" EDP, Buc. 1988, la care s-au adăugat și expresiile echivalente exprimate cu **funcții supermatematice circulare excentrice (FSM- CE)** de variabilă **centrică α** , (**Dexa** și **Rexa**) au expresiile :

$$(7) \left\{ \begin{aligned} \frac{1-s \cdot \cos \alpha}{1+s^2-2s \cos \alpha} &= \frac{1-sx}{1+s^2-2sx} = \sum_{n=0}^{\infty} T_n(x=\cos \alpha) \cdot s^n = Dex\alpha \\ \frac{1}{1+s^2-2s \cos \alpha} &= \frac{1}{1+s^2-2sx} = \sum_{n=0}^{\infty} U_n(x=\cos \alpha) s^n = \frac{1}{Re x^2 \alpha} \\ \frac{1-s^2}{1+s-2s \cos \alpha} &= \frac{1-s^2}{1+s^2-2sx} = T_0(x) + 2 \sum_{n=1}^{\infty} T_n(x=\cos \alpha) = 2Dex\alpha - 1 \\ \ln(1+s^2-2s \cos \alpha) &= \ln(1+s^2-2sx) = -2 \sum_{n=1}^{\infty} \frac{T_n(x=\cos \alpha)}{n} s^n = 2 \ln(Re x \alpha) \\ \ln \frac{1+s^2+2s \cdot \cos \alpha}{1+s^2-2s \cos \alpha} &= \ln \frac{1+s+2sx}{1+s-2sx} = 4 \sum_{n=0}^{\infty} \frac{T_{2n+1}(x=\cos \alpha)}{2n+1} = 2 \ln \left| \frac{Re x_2 \alpha}{Re x_1 \alpha} \right| \end{aligned} \right.$$

în care, polinoamele **Cebîşev** de primul gen / speța T_n și de speța / genul a doua U_n sunt date de expresiile:

$$(8) \left\{ \begin{aligned} T_n(x = \cos[n \cdot \arccos(x = \cos \alpha)]) &= \cos n\alpha, n \in Z_+ \\ U_n(x = \cos \alpha) &= \frac{\sin[(n+1) \cdot \arccos(x = \cos \alpha)]}{\sin[\arccos(x = \cos \alpha)]} = \frac{\sin[(n+1)\alpha]}{\sin \alpha}, n \in Z_+ \end{aligned} \right.$$

și formează un șir ortogonal pe intervalul $[-1, 1]$ în raport cu ponderea

$$(9) \rho = \sqrt{1-x^2} = \sqrt{1-\cos^2 \alpha} = \pm \sin \alpha$$

Graficele funcțiilor generatoare ale polinoamelor **Cebîşev centrice** de prima speța, ca funcții de x au expresiile (http://ro.math.wikia.com/wiki/Polinom_Cebîşev_de_speța_întâi):

$$(10) \left\{ \begin{aligned} g_1(t, x) &\equiv \frac{1-t^2}{1+t^2-2xt} = T_0(x) + 2 \sum_{n=1}^{\infty} T_n(x) \cdot t^n \\ g_2(t, x) &\equiv \frac{1-x \cdot t^2}{1+t^2-2xt} = \sum_{n=0}^{\infty} T_n(x) \cdot t^n \end{aligned} \right.$$

cu ajutorul cărora au fost reprezentate $g_1(t, x)$ și $g_2(t, x)$ ca funcții de x în stânga și ca funcții de $\alpha - x = \text{coa}$ din ecuațiile (7) - în dreapta.

În **figura 7** sunt prezentate graficele funcțiilor generatoare ale polinoamelor **Cebîşev centrice** de speța a doua.

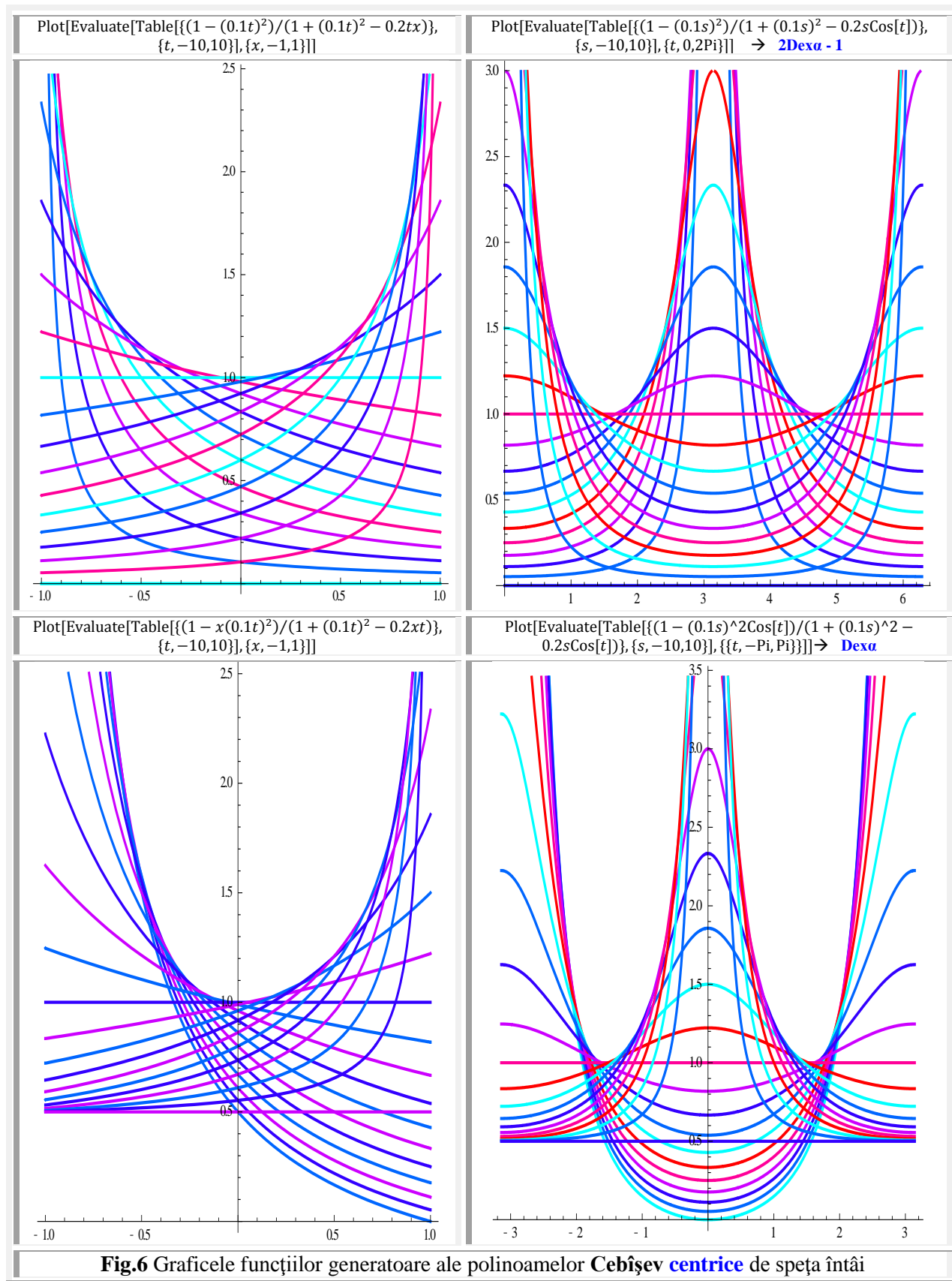
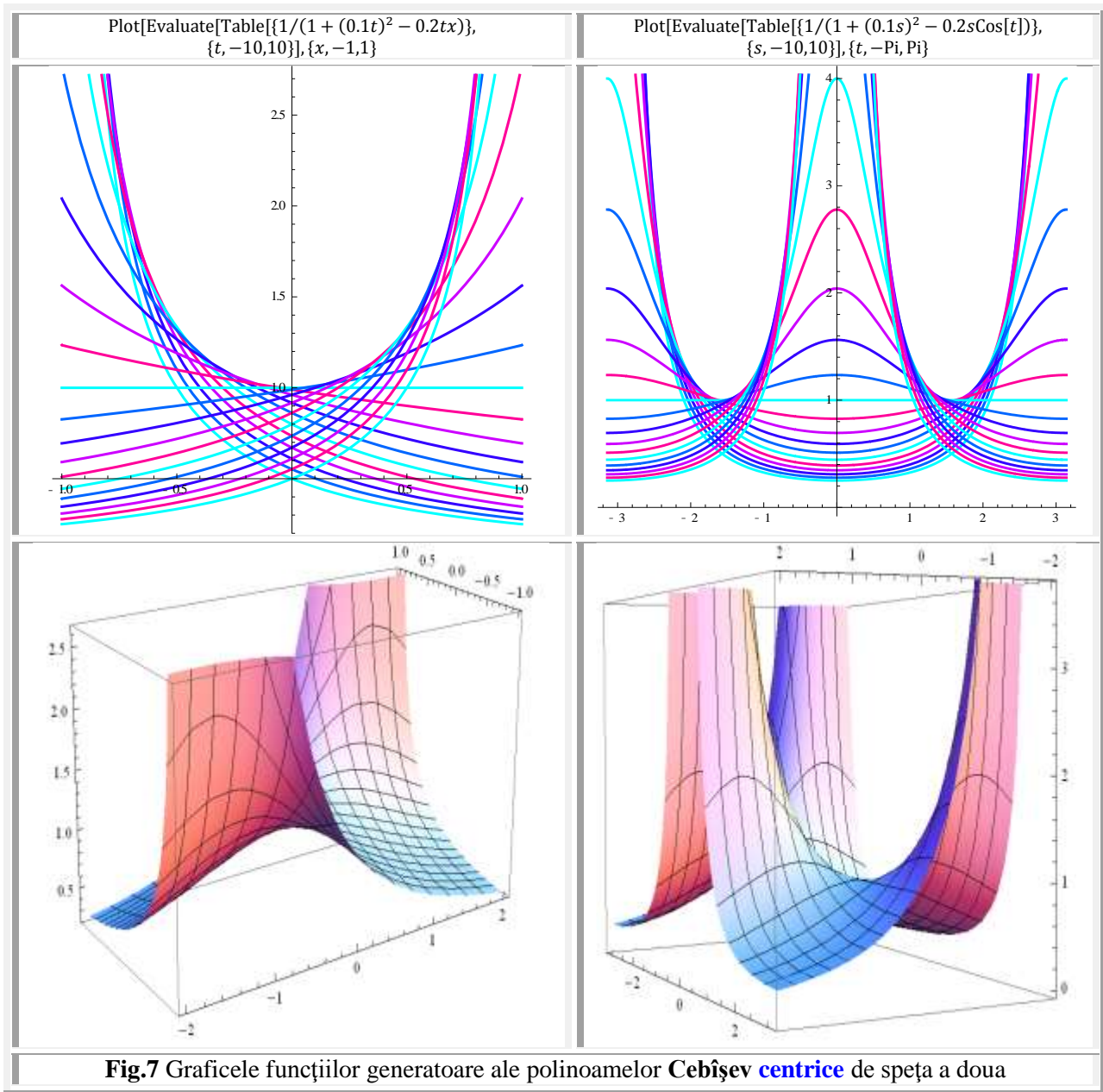


Fig.6 Graficele funcțiilor generatoare ale polinoamelor **Cebîşev centrice** de speța întâi



Motto:” Geometria este ştiinţa care restaurează situaţia dinaintea creaţiei lumii şi încearcă să umple “golul” renunţând la oficiile materiei ”

Lucian Blaga, Discobolul

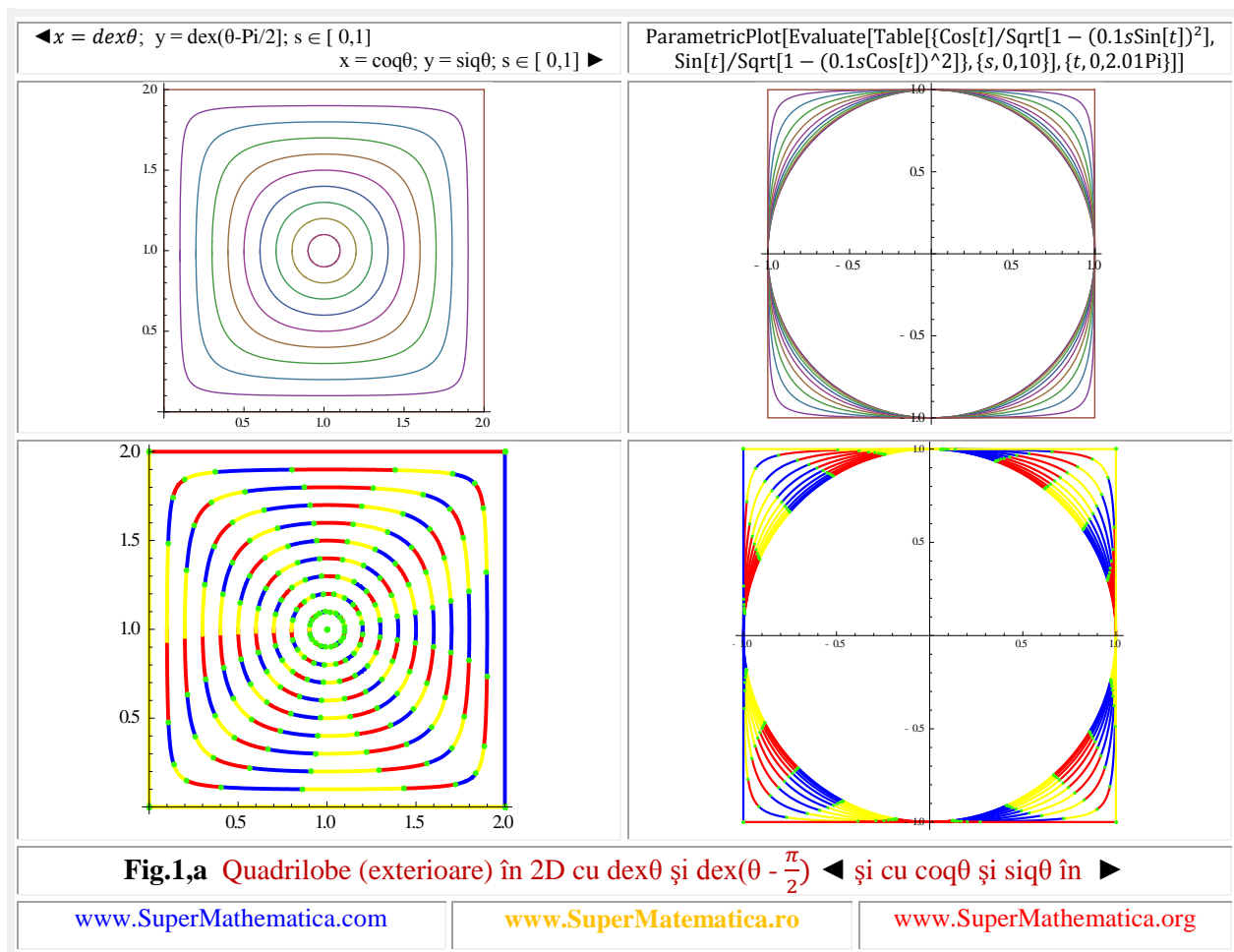
CAPITOLUL XII

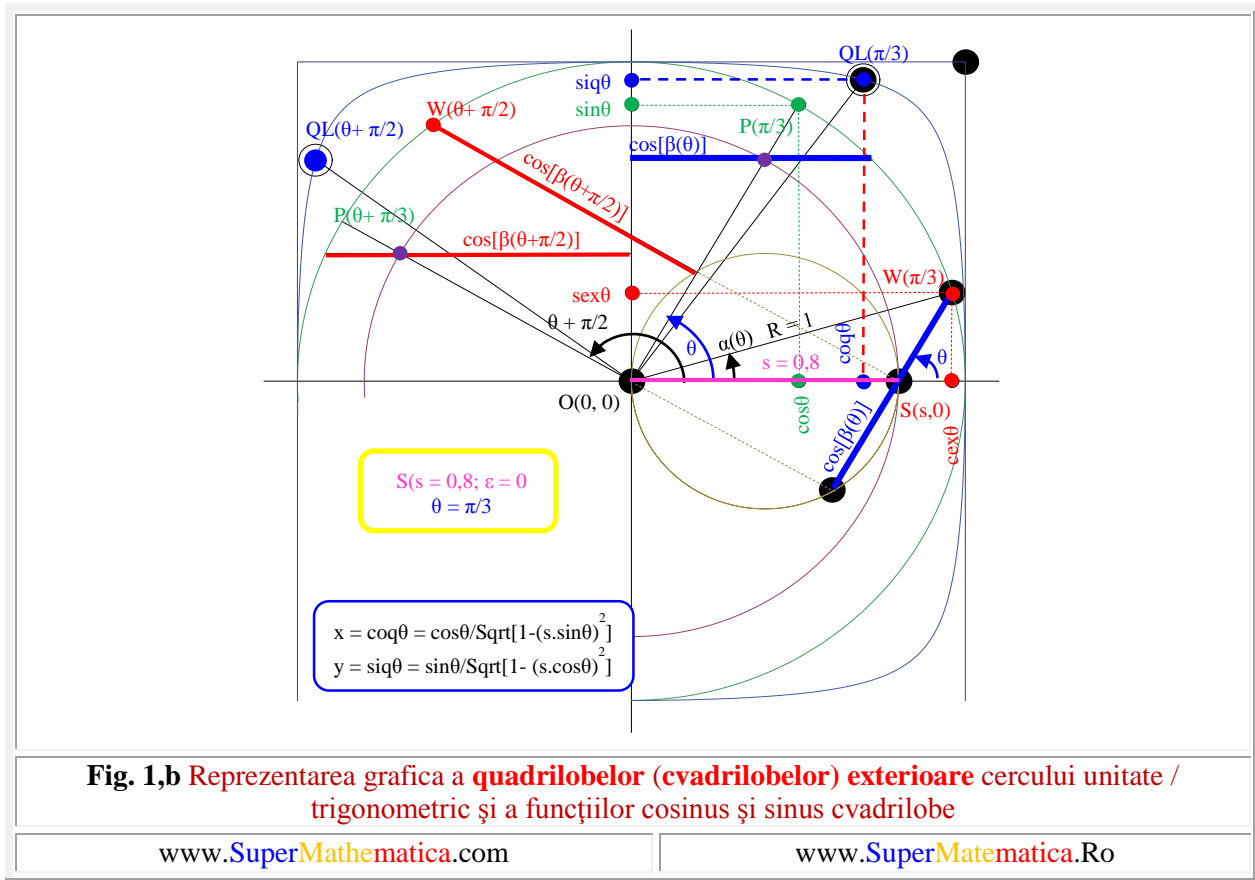
FUNCTII SUPERMATEMATICE (FSM) RADIAL EXCENTRICE CVADRILOBE

1. QUADRILOBE (CVADRILOBE)

Quadrilobele sunt curbe plane închise, introduse în matematică în anul 2005 prin lucrarea [19, Şelariu Mircea Eugen “QUADRILOBIC VIBRATION SYSTEMS”, The 11 – th International Conference on **Vibration Engineering**, Timişoara, Sept. 27-30, 2005 pag. 77 ... 82].

1.1 QUADRILOBE / CVADRILOBE (QLE) EXTERIOARE CERCULUI UNITATE





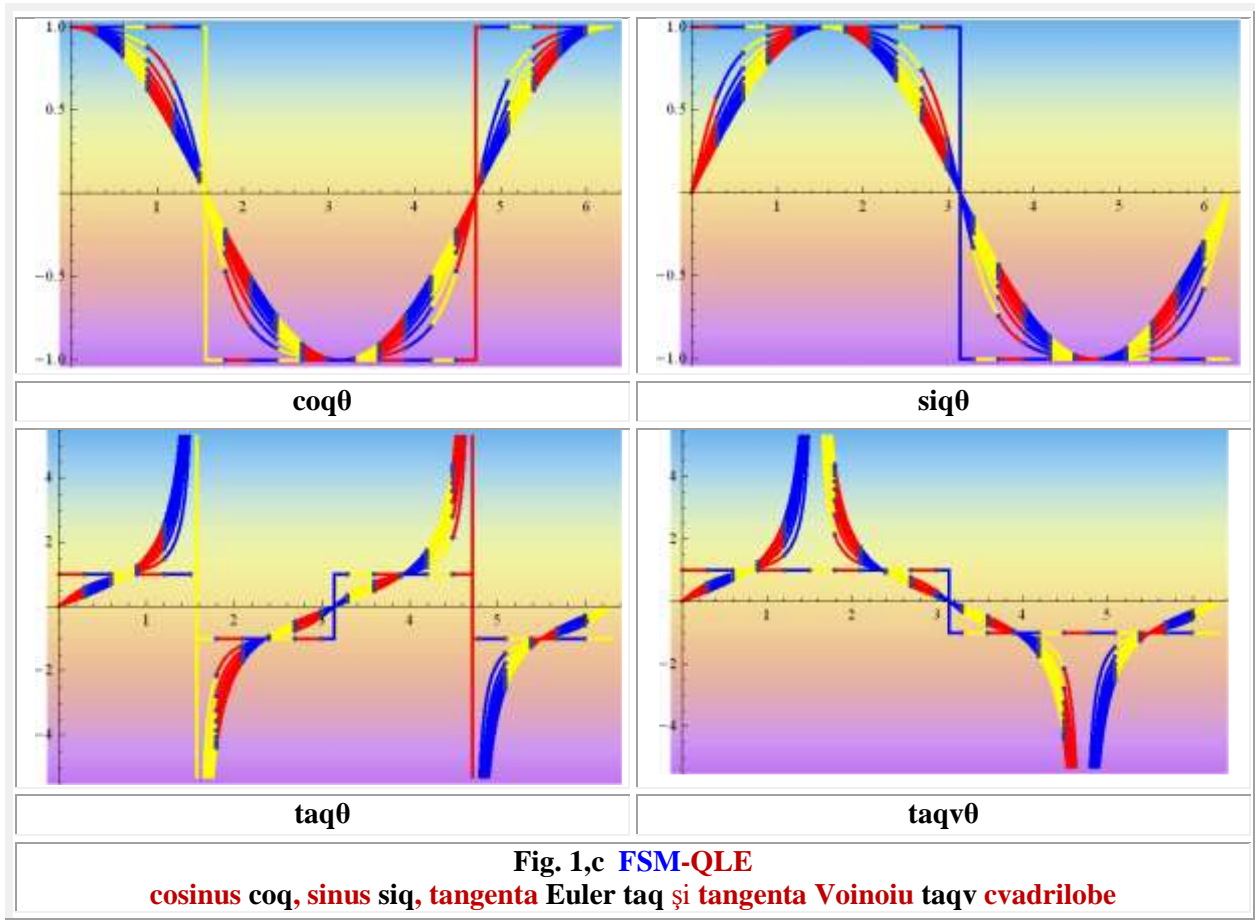
Funcțiile quadrilobe, cosinus **coqθ** și sinus **siqθ** quadrilobe, sunt acelea care, precum funcția supermatematică circulară excentrică (**FSM-CE**) **derivată excentrică**, de variabilă excentrică **dexθ**, pot realiza transformarea continuă a cercului în pătrat (**Fig.1, a**) sau a conului în piramidă (**Fig.1, d**), respectiv al cilindrii circular în cilindru pătrat, așa cum se poate constata în **figura1, d**.

Dacă cercul și pătratul sunt entități matematice proprii **matematicii centrice (MC)**, **quadrilobele** sunt proprii matematicii excentrice (**ME**). Altfel spus, quadrilobele sunt curbele **supermatematice (SM) excentrice închise (excentrice pătratice)** obținute prin **hibridarea matematică** a 2 curbe **matematice centrice închise**: cercului cu pătratul.

Cvadrilobele (în limba engleză quadrilobes) **exterioare** cercului unitate sau trigonometric (**Fig.1, a**), de raza $R = 1$, au fost introduse în matematică simultan cu funcțiile periodice cvadrilobe cosinus cvadrilob **coqθ** și sinus cvadrilob **siqθ** (**Fig.1,a**) a căror expresii de definiție sunt

$$(1) \quad \begin{cases} coq\theta = coq[\theta, S(s, \varepsilon)] = \frac{\cos(\theta - \varepsilon)}{\sqrt{1 - s^2 \sin^2(\theta - \varepsilon)}} \\ siq\theta = siq[\theta, S(s, \varepsilon)] = \frac{\sin(\theta - \varepsilon)}{\sqrt{1 - s^2 \cos^2(\theta - \varepsilon)}} \end{cases}$$

cu graficele din **figura 1, c**, în care **s** și **ε** sunt coordonatele polare radiale centrice și, respectiv, unghiulare ale **excentrului** sau polului **S(s, ε)**: raza polară **s**, sau **excentricitatea** liniară **numerică** și unghiul polar, sau azimutul **ε**, sau **excentricitatea unghiulară**.



Pentru $s = \pm 1$ cvadriloba degenerază într-un pătrat perfect, circumscris cercului unitate (Fig.1, a ► și Fig. 1, d ►), denumit și **pătrat supermatematic (SM)** pentru a se distinge de pătratul **Alaci**, înscris în cercul unitate și rotit cu $\pm \pi/4$, pe care sunt definite **funcțiile trigonometrice pătratice Alaci**.

Pentru ca o curbă să fie din **familia lobelor (bi-, tri-, cvadri-, ș.a.m.d)**, ea trebuie să îndeplinească următoarele condiții:

1. Să fie o curbă închisă, pentru toate valorile date excentricității numerice liniare s , în domeniul $s \in [0, 1] \rightarrow S(s \in [0, 1]; \epsilon = 0)$;
2. Curba să nu conțină puncte unghiulare în vârfurile ei, cu excepția poligonului, adică pentru $s = \pm 1$;
3. Pentru $s = 0$ să degereze într-un cerc perfect;
4. Pentru $s = 1$ să degereze într-un poligon perfect, regulat sau neregulat.

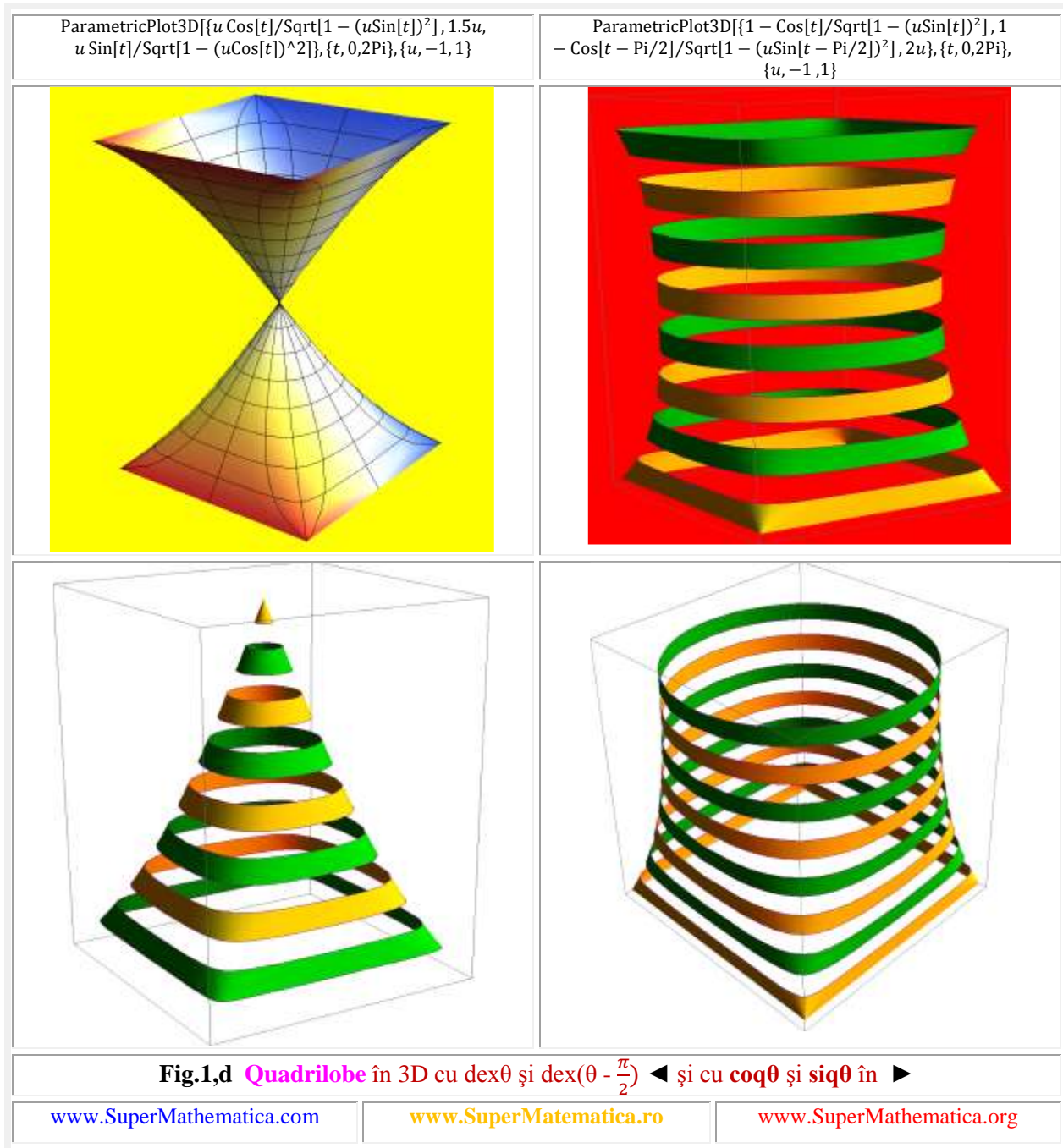
Se spune că “degenerează” pentru că, plecând de la $s = 0$, care este domeniul **matematicii centrice (MC)**, la $s = 1$, trecând prin **domeniul matematicii excentrice (ME)** $\rightarrow s \in (-\infty, +\infty) \setminus 0$, se ajunge la un poligon, adică, din nou la o figură comună matematicii ordinare, **centrice**.

Ambele poligoane, sau pătrate, de exemplu, sunt identice **ca formă**, și totuși, diferențele dintre poligoanele sau pătratul **MC** și poligoanele sau pătratul matematicii excentrice (**ME**) sunt **colosale**.

Pătratul **MC** nu are ecuații sau, mai precis, **nu avea** ca cercul, de exemplu, el compunându-se din patru segmente de dreaptă congruente și paralele, două câte două, pe când pătratul **ME are ecuațiile**

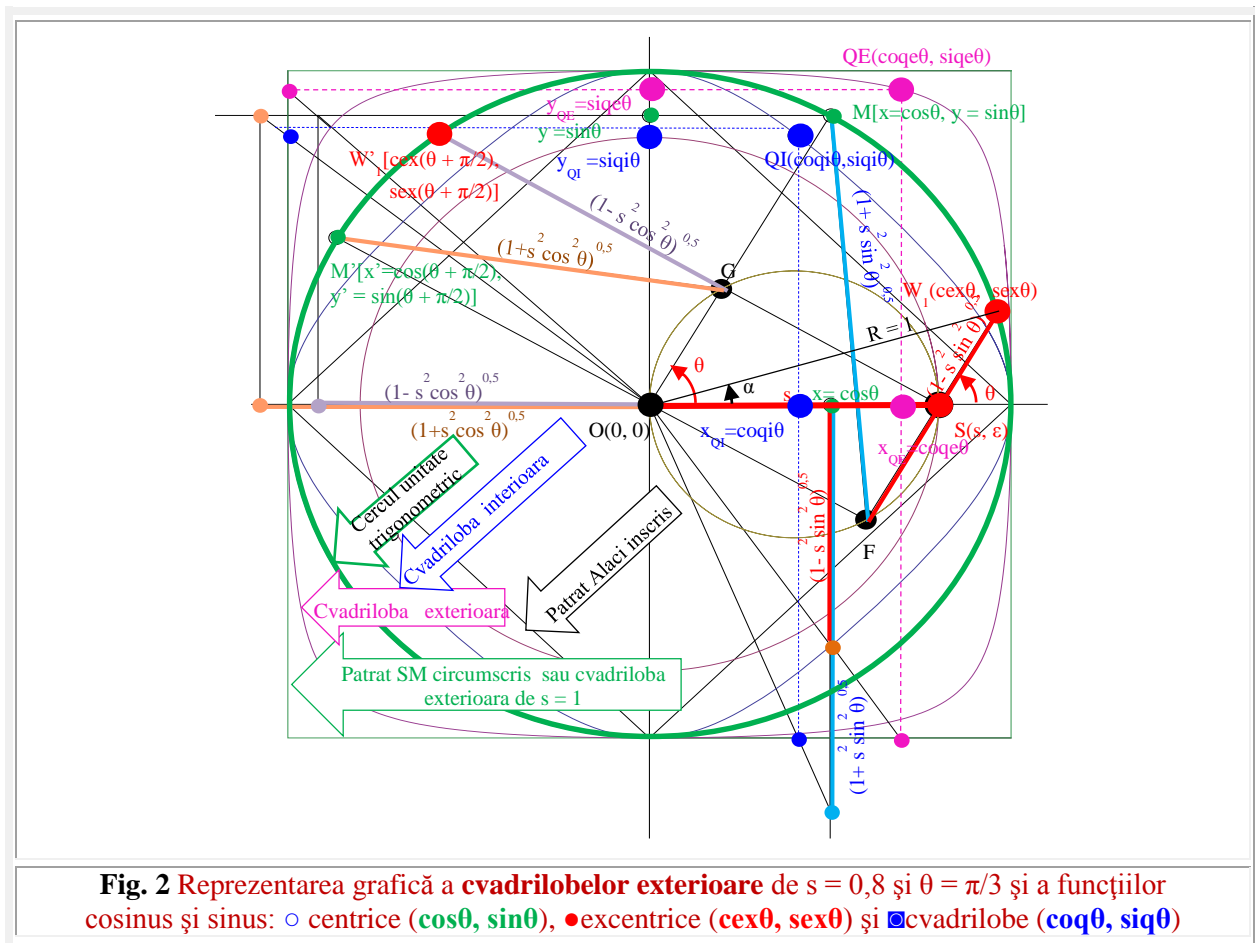
parametrice (1), obţinute pentru $s = \pm 1$ în ecuaţiile (1), sau cu ajutorul funcţiei supermatematice circulare excentrice (**FSM-CE**) derivată excentrică de variabilă excentrică $dex\theta$

$$(2) \quad \begin{cases} x = R \, dex[\theta, S(s, \varepsilon)] \\ y = R \, dex[\theta \pm \frac{\pi}{2}, S(s, \varepsilon)] \end{cases} \quad dex\theta = 1 - \frac{s \cdot \cos(\theta - \varepsilon)}{\sqrt{1 - s^2 \cos^2(\theta - \varepsilon)}}$$



1.2 QUADRILOBE (CVADRILOBE) INTERIOARE CERCULUI UNITATE (QLI)

Quadrilobele (cvadrilobele) **interioare** cercului unitate, prezentate în **figura 3, a**, respectă doar două din cele trei condiții; ele degenerând, pentru $s = 1$, într-un pătrat cu colțuri rotunjite, rotit cu $\frac{\pi}{4}$ față de quadrilobele exterioare de $s = 1$, ca și pătratul **Valeriu Alaci**. Dar pătratul quadrilobelor interioare este cu colțuri rotunjite și nu este, deci, un pătrat perfect, iar pentru $s > 1$ ia forma astroidelor din **figura 3, b**, de aceea denumirea de quadrilobe este improprie / forțată.

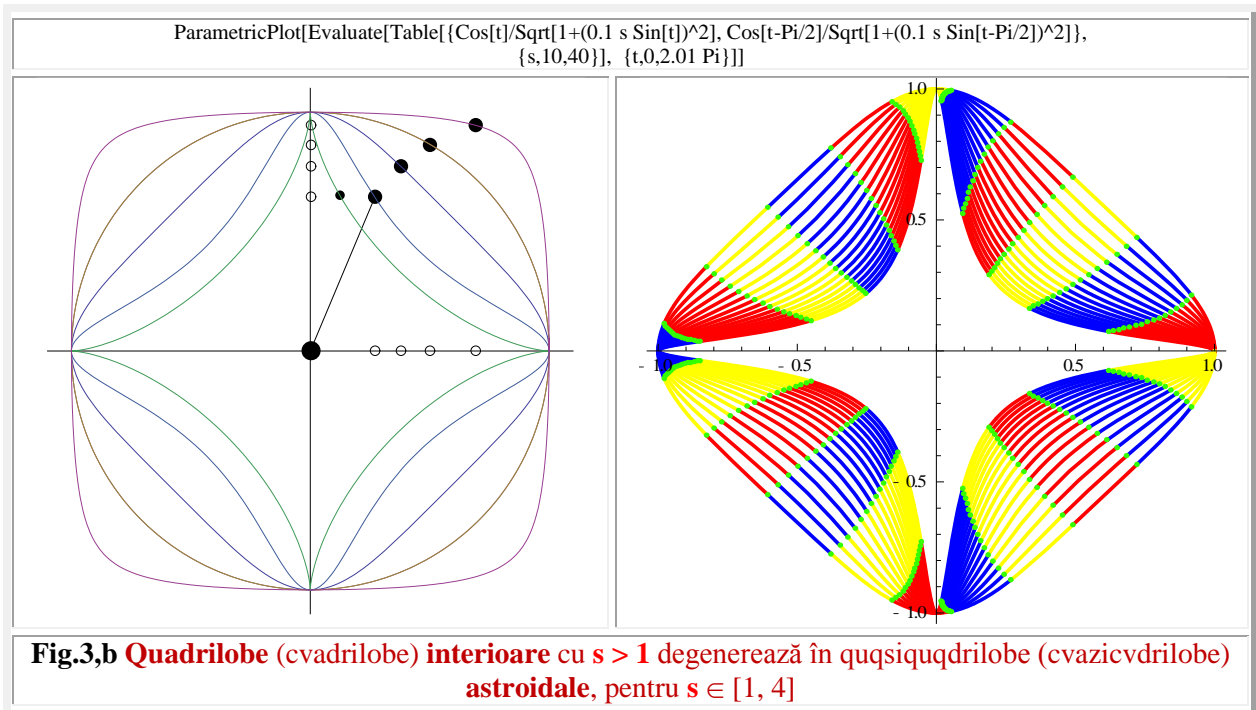
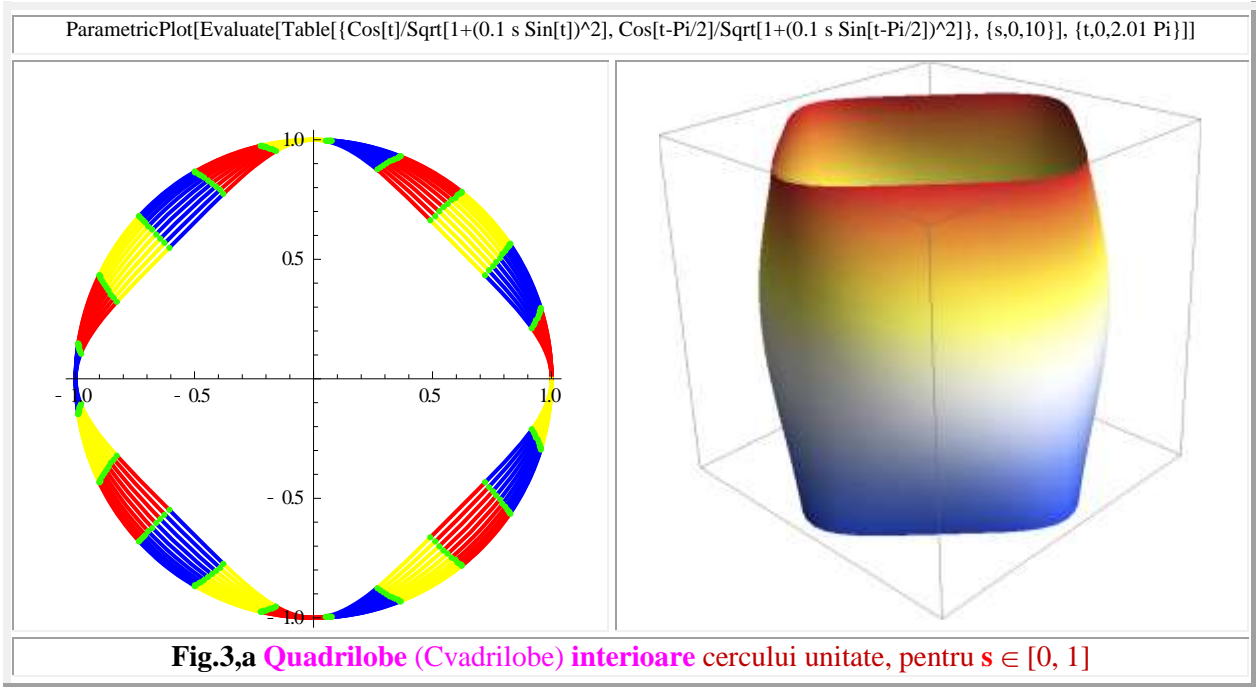


Relațiile parametrice de definiție ale **quadrilobelor interioare** cercului unitate au următoarele relații de definiție cu funcțiile cosinus quadrilob interior $coqi\theta$ și sinus quadrilob interior $siqi\theta$

$$(3) \quad \begin{cases} coqi\theta = \frac{\cos(\theta-\varepsilon)}{\sqrt{1+s^2\sin^2(\theta-\varepsilon)}} \\ siqi\theta = \frac{\sin(\theta-\varepsilon)}{\sqrt{1+s^2\cos^2(\theta-\varepsilon)}} \end{cases}$$

Se știe că radicalul, din expresia lui $siq\theta$ și a lui $coq\theta$ din relația (1), este, totodată, funcția specială **delθ** sau **δ** ca și funcția eliptică **Jacobi dn(u,k)**, pentru $k = s$, adică

$$(4) \quad del\theta = \sqrt{1 - s^2 \sin^2 \theta} \quad \rightarrow \quad deli\theta = \sqrt{1 + s^2 \sin^2 \theta}$$



Punctul generator P a FCC $\sin\theta$ și $\cos\theta$ pe cercul unitate $CU(1, O)$ este de coordonate polare centrice $P(R = 1, \theta)$ și, în figura 2, este la $\theta = \frac{\pi}{3}$, în timp ce, punctul generator W_1 al FSM-CE $cex_1\theta$ și $sex_1\theta$ apare pe $CU(1, O)$ la un unghi α la centrul O dat de relația sau FSM-CE amplitudine excentrică $aex\theta$

$$(5) \quad \alpha = aex\theta = \theta - \arcsin[s \cdot \sin(\theta - \varepsilon)],$$

care, pentru $\theta = \frac{\pi}{3}$ și $s = 0,8$ (Fig.2), are valoarea de $\alpha = 0,28180472497614373$ radiani, cea ce corespunde la $\alpha = 16,146221387977935^\circ$, adică $16^\circ 8' 46,397''$.

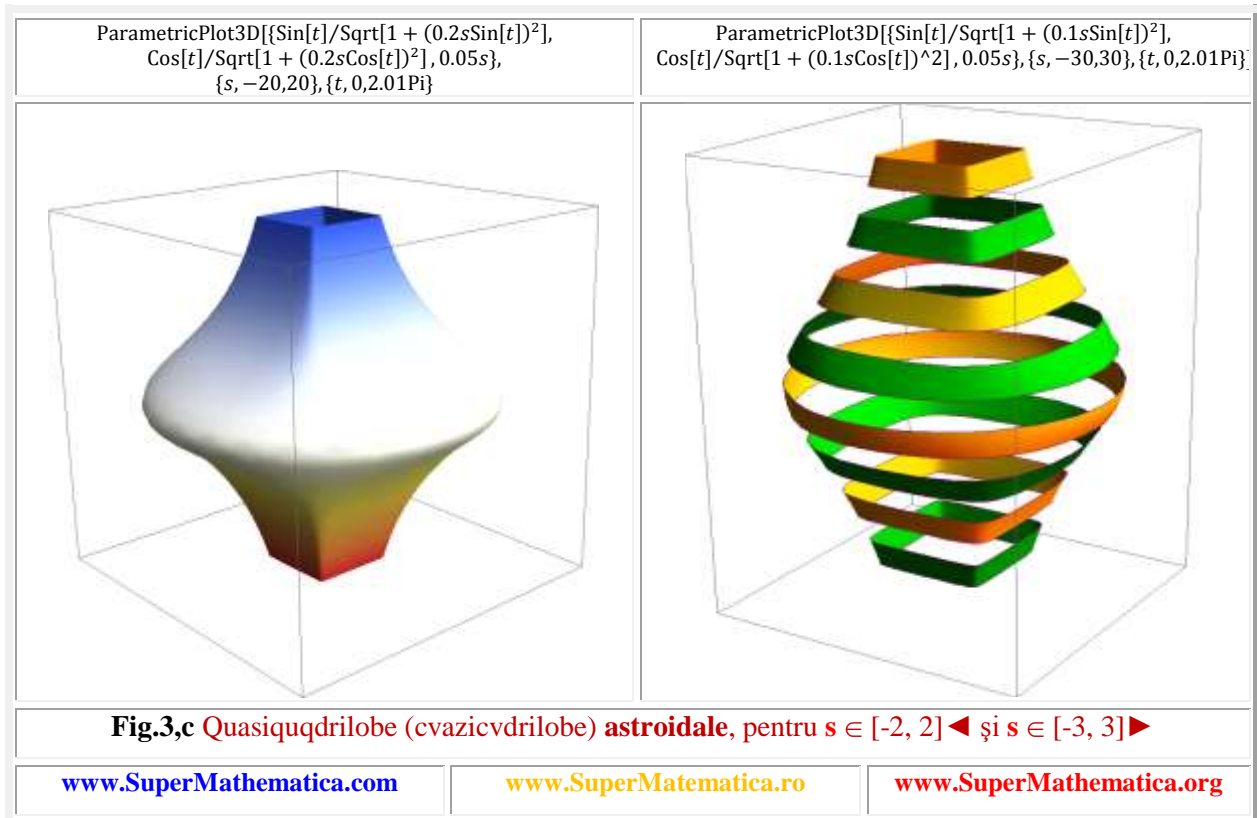
Graficele de variație ale unghiului la centru $\alpha(\theta)$ sunt date în lucrările [47], [48] și [49].

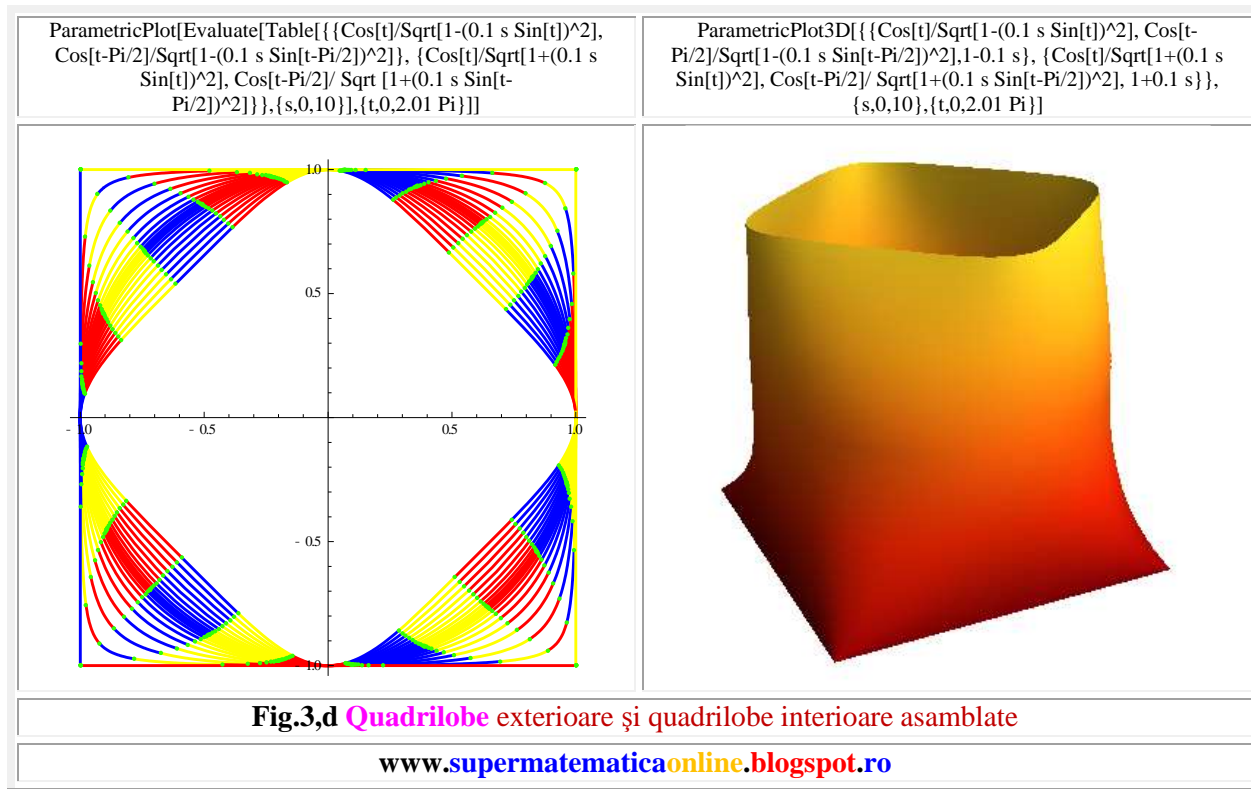
Unghiul α mai poate fi exprimat / obținut prin relațiile din MC

$$(6) \quad \begin{cases} \alpha = \arcsin[sex\theta] = \arcsin\{\sin[\theta - \arcsin[s \cdot \sin(\theta - \varepsilon)]]\} = \theta - \arcsin[s \cdot \sin(\theta - \varepsilon)] \\ \alpha = \arccos[cex\theta] = \arccos\{\cos[\theta - \arcsin[s \cdot \sin(\theta - \varepsilon)]]\} = \theta - \arcsin[s \cdot \sin(\theta - \varepsilon)] \\ \alpha = \arctan[tex\theta] = \arctan \frac{sex\theta}{cex\theta} \end{cases}$$

Cele patru variante de exprimare a unghiului $\alpha(\theta)$, din relațiile (5) și (6), sunt toate corecte, dar se evidențiază superioritatea utilizării FSM-CE în acest scop, deoarece numai prin relația (5), a FSM-CE amplitudine excentrică $aex\theta$, de variabilă excentrică, unghiul poate fi exprimat corect, în întreg domeniul, de la zero la 2π . Celelalte expresii, care utilizează FCC, pot exprima corect variația acestui unghi doar în domeniile de definiție ale acestor funcții, care sunt $\theta \in [-\pi/2, +\pi/2]$ pentru $\arctan\alpha$ și $\arcsin\alpha$ și $\theta \in [0, \pi]$ pentru $\arccos\alpha$.

Față de punctul $P(1, \theta)$, punctele generatoare ale FQL interne sunt defazate în minus și cele exterioare FQQL sunt defazate în plus / avans (Fig. 1, b, Fig. 2 și Fig. 13).





1.3. QUADRILOBE (CVADRILOBE) VALERIU ALACI

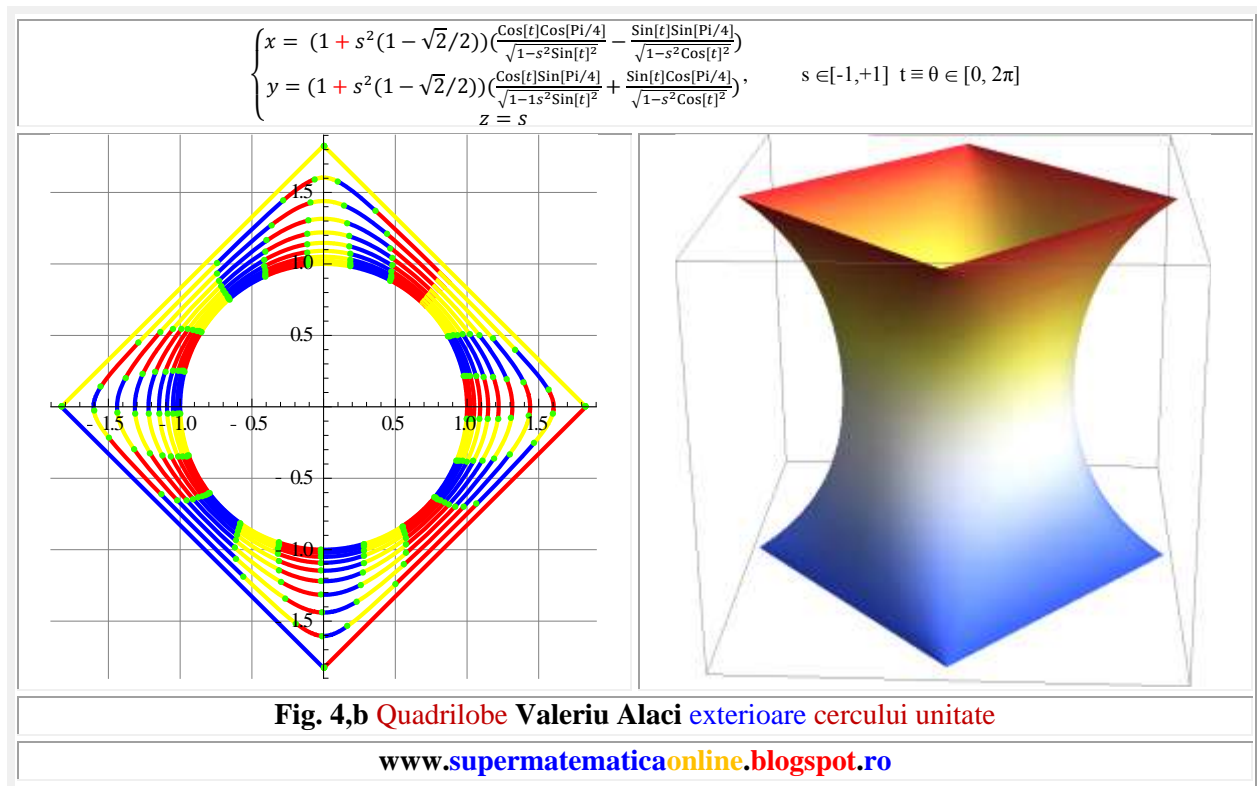
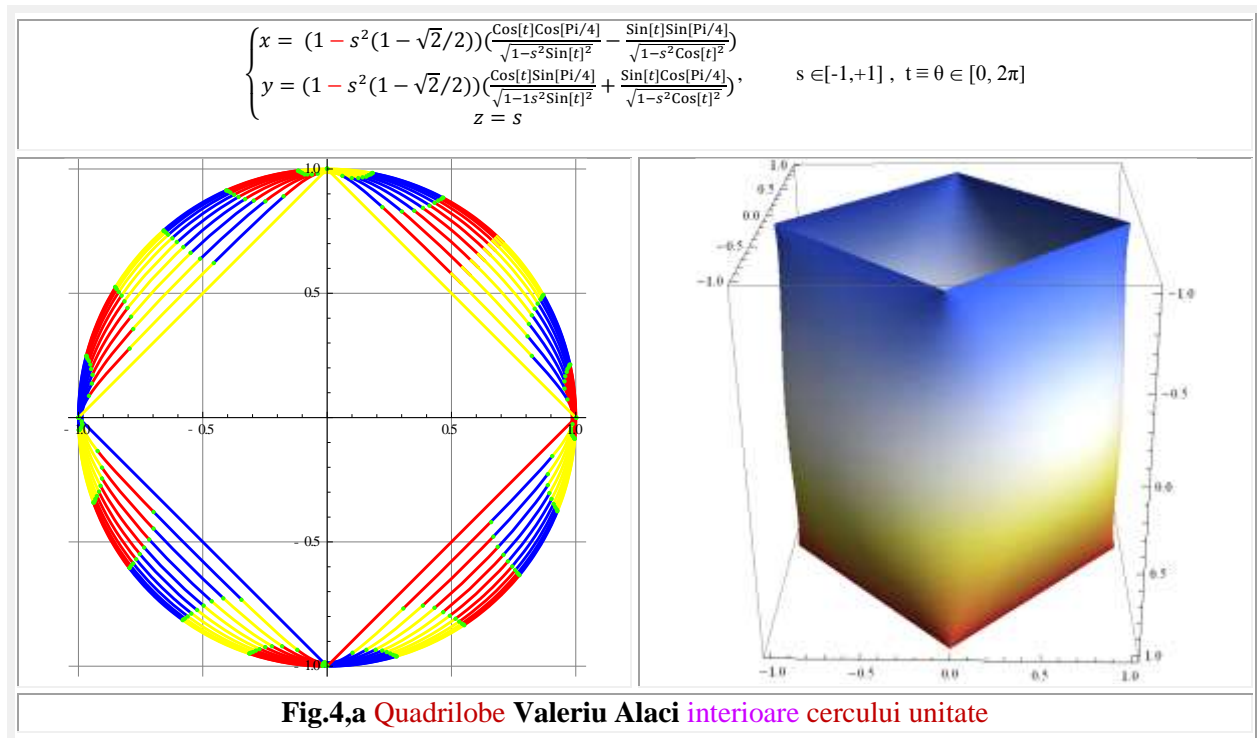
Lucrările reputatului matematician timișorean Prof. math. **Valeriu Alaci**, profesor al Școlii **POLITEHNICE** din Timișoara, astăzi **Universitatea “POLITEHNICA”**, șeful Catedrei de Matematici, sunt unanim necunoscute peste ocean. Sperăm că, măcar în **România**, ele să fie cunoscute, măcar sau în special **funcțiile trigonometrice pătraticе** și **funcțiile trigonometrice romбice**.

Bazați pe această presupunere, amintim că **funcțiile trigonometrice pătraticе** sunt definite pe un pătrat, cu laturile rotite cu un unghi de $\pi/4$ (45°) față de axele unui reper / sistem cartezian drept, așa cum se poate observa în **figura 2** și **4, a**. A fost denumit pătrat **Alaci Valeriu**. Dar, între cerc și pătrat mai pot fi o înfinitate de curbe plane închise denumite quadrilobe **Alaci Valeriu** interioare cercului.

Ecuțiile acestor quadrilobe **Valeriu Alaci interioare cercului unitate** sunt

$$(7) \quad \begin{cases} x = (1 - s^2(1 - \sqrt{2}/2)) \left(\frac{\cos[t]\cos[\pi/4]}{\sqrt{1-s^2\sin[t]^2}} - \frac{\sin[t]\sin[\pi/4]}{\sqrt{1-s^2\cos[t]^2}} \right) \\ y = (1 - s^2(1 - \sqrt{2}/2)) \left(\frac{\cos[t]\sin[\pi/4]}{\sqrt{1-s^2\sin[t]^2}} + \frac{\sin[t]\cos[\pi/4]}{\sqrt{1-s^2\cos[t]^2}} \right) \\ z = s \end{cases}$$

Între cerc și pătrat este o mare aglomerație / (“inflație”) de diverse funcții matematice noi. Astfel, pe lângă quadrilobele interioare și quadrilobele **Valeriu Alaci**, Prof.dr. **Malvina Baica** și ing. **Mircea Cârdu** au introdus în Matematică **funcțiile transtrigonometrice** (v. “**THE PARATRIGONOMETRY**” **AGIR Publishing House**, Bucharest, Romania, 2010) **cosinus ct,α** și **sinus st,α** transtrigonometrice, pe care eu le-aș fi denumit intratrigonometrice; fiind **între** cerc și pătrat. Ecuțiile acestora sunt



$$(8) \quad \begin{cases} ct_k \alpha = \pm(1 + \cot^k \alpha)^{-\frac{1}{k}} \\ st_k \alpha = \pm(1 + \tan^k \alpha)^{-\frac{1}{k}}, \end{cases}$$

cu care pot fi corect plotate funcțiile doar în domeniul $\alpha \in [0, \frac{\pi}{2}]$, așa cum rezultă din **figura 5,a** ◀.

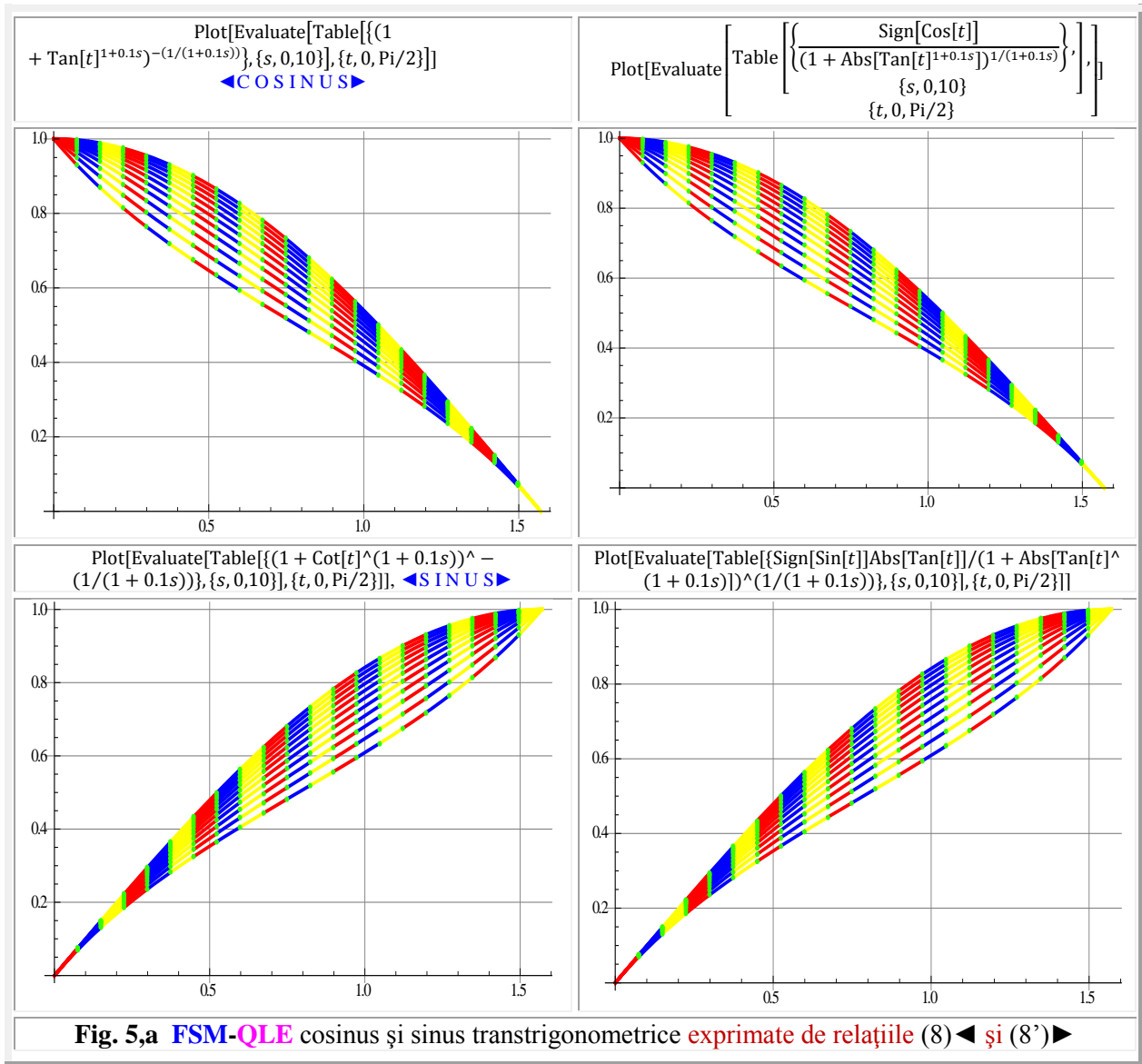
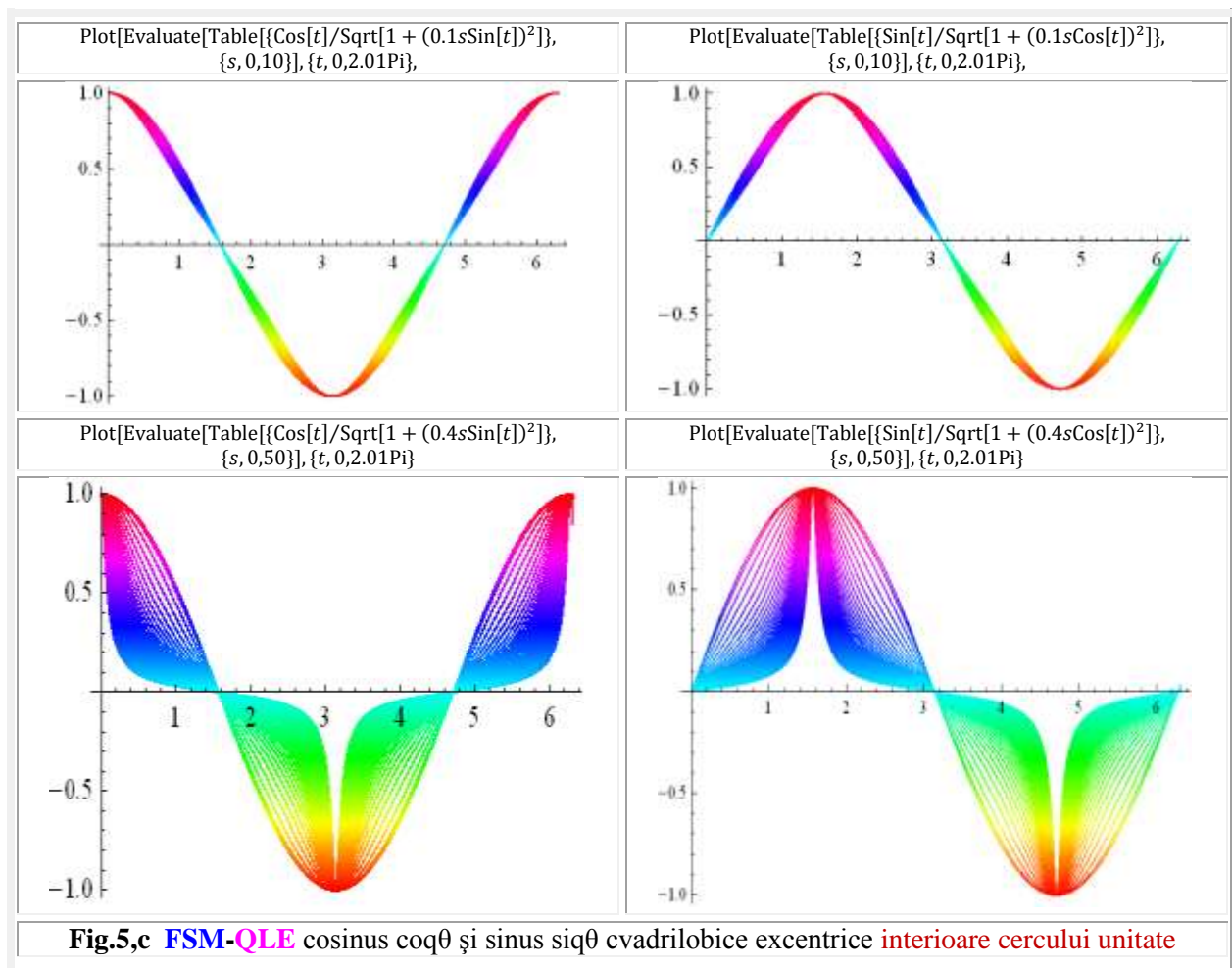
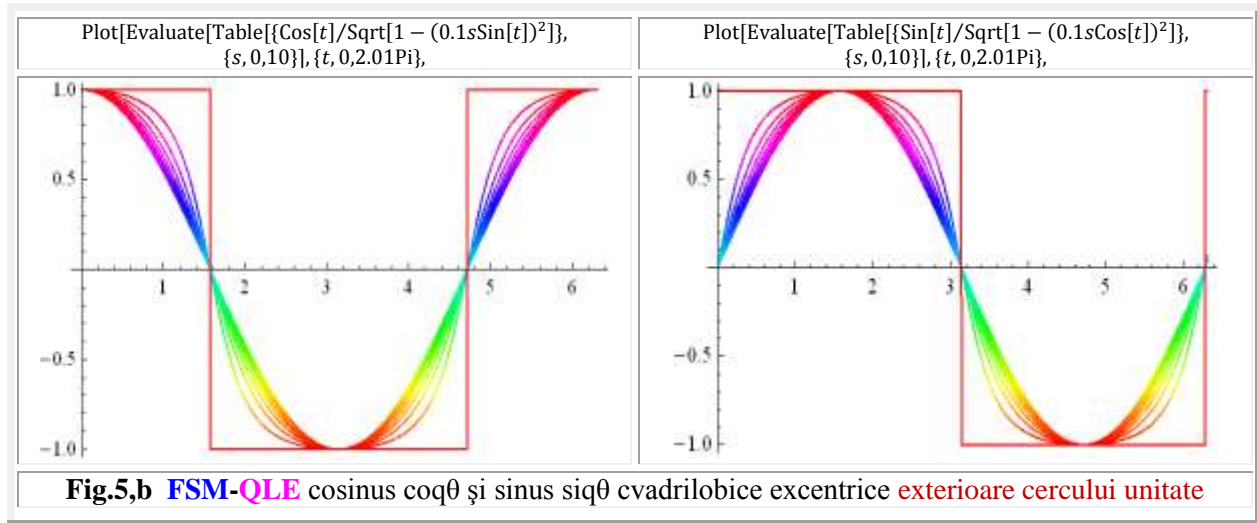


Fig. 5,a FSM-QLÉ cosinus și sinus transtrigonometrice exprimate de relațiile (8) ◀ și (8') ▶

Ele pot fi plotate în întregul domeniu $\alpha \in [0, 2\pi]$ utilizând formulele plotabile ale autorului (8'), adică(8')

$$\begin{cases} ct_k x = \frac{\text{Sign}[\cos x]}{(1 + \text{Abs}[\tan^k x])^{1/k}} \\ st_k x = \frac{\text{Sign}[\sin x] \text{Abs}[\tan x]}{(1 + \text{Abs}[\tan^k x])^{1/k}} \end{cases}$$

utilizate comparativ cu (8) în **figura 5,a** ▶.

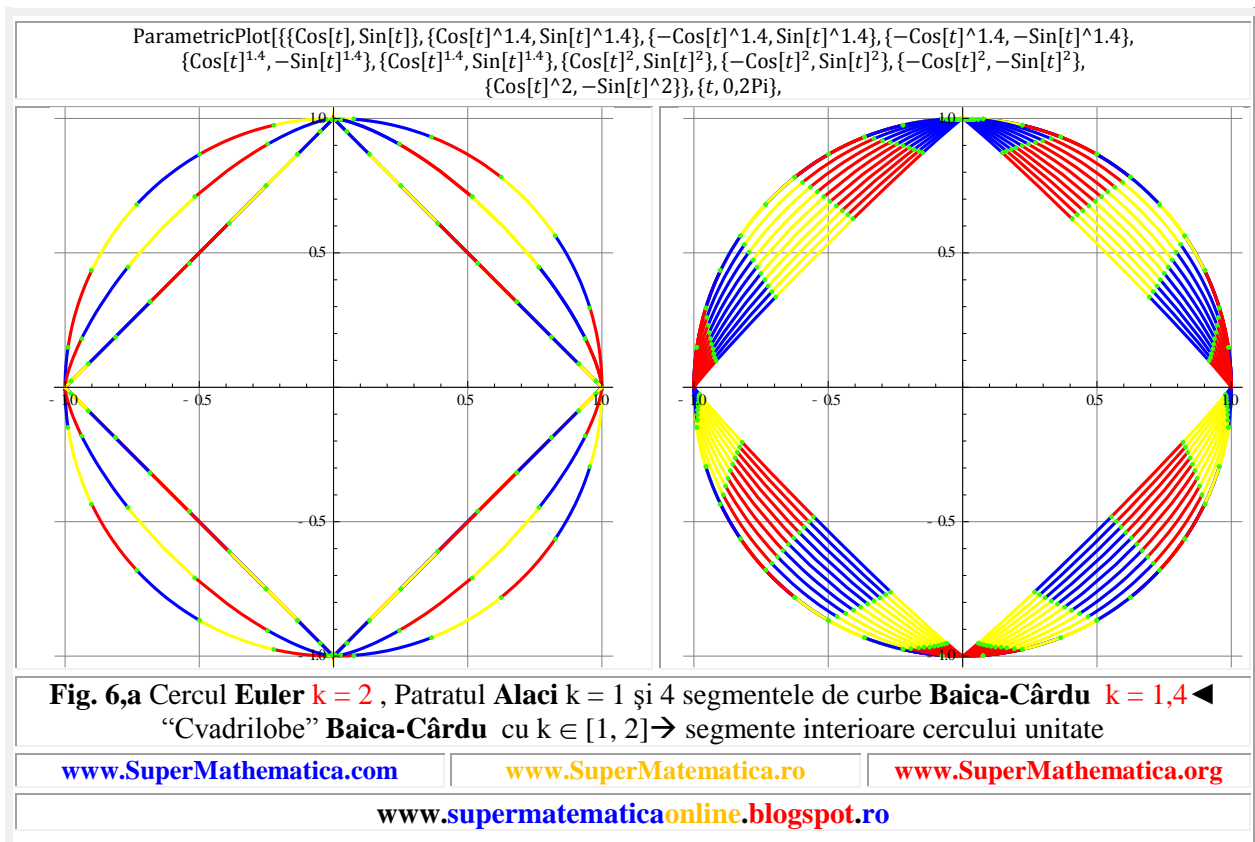


Curbele închise, reprezentate de aceste ecuații parametrice, nu sunt quadrilobe, deoarece numai pentru $s = k = 0$ curba este continuă (cerc), pentru restul valorilor, în vârfurile de $\alpha = 0 + K \frac{\pi}{2}$, ele prezintă puncte unghiulare, cu derivate diferite la stânga și la dreapta punctului, deci nu respectă condiția a 2 – a.

Pentru $k = 1$ se obțin funcțiile pătratice **Valeriu Alaci** și pentru $k = 2$ se obțin funcțiile trigonometrice centrice sau **Euler** (Fig. 5,c).

Funcțiile (8) și (8') sunt echivalente, dovadă că ele generează aceleași curbe (identice) în 2D, în domeniul $\alpha \equiv x \in [0, \pi/2]$, așa cum este ilustrat în **figura 5,a**. Diferența constă în aceea că (8'0) permite reprezentarea funcțiilor nu numai în domeniul anterior amintit, ci pe toată axa reală, așa cum rezultă din **figurile 6**.

În **figurile 5,b** și **5,c** sunt prezentate funcțiile cosinus și sinus quadrilobe, exterioare (**Fig. 5,b**) și interioare (**Fig. 5,c**) și curbele limită, în care degenerază, pentru valorile limită ale excentricității liniare numerice $s = 0 \rightarrow$ cerc și $s = 1 \rightarrow$ pătrat b (**Fig. 6,a** ◀ și **Fig. 6,b** ◀) și corespondentele lor în 2D (**Fig. 6,a** ▶ și **Fig. 6,b** ▶)). Funcțiile quadrilobe interioare sunt prezentate pentru $s \in [0, 1]$ în **figura 5,c** ▲ sus și pentru $s \in [0, 1]$ în **figura 5,c** jos ▼ .



Quadrilobele Valeriu Alaci din **figura 4,a**, se observă fără dificultate, că sunt interioare cercului unitate. Prin schimbarea semnului plus cu semnul minus în expresiile lui $x(t)$ și $y(t)$, se obțin quadrilobele **Alaci Valeriu exterioare** cu ecuațiile

$$(9) \quad \begin{cases} x = (1 + s^2(1 - \sqrt{2}/2)) \left(\frac{\cos[t]\cos[\pi/4]}{\sqrt{1-s^2\sin[t]^2}} - \frac{\sin[t]\sin[\pi/4]}{\sqrt{1-s^2\cos[t]^2}} \right) \\ y = (1 + s^2(1 - \sqrt{2}/2)) \left(\frac{\cos[t]\sin[\pi/4]}{\sqrt{1-s^2\sin[t]^2}} + \frac{\sin[t]\cos[\pi/4]}{\sqrt{1-s^2\cos[t]^2}} \right) \\ z = s \end{cases}$$

şi cu graficele din **figura 4,b**.

Quadrilobele definite de ecuațiile parametrice (8) pot fi denumite **quasi**quadrilobe **Malvina Baica - Mircea Cârdu** şi au graficele din **figura 6,c**.

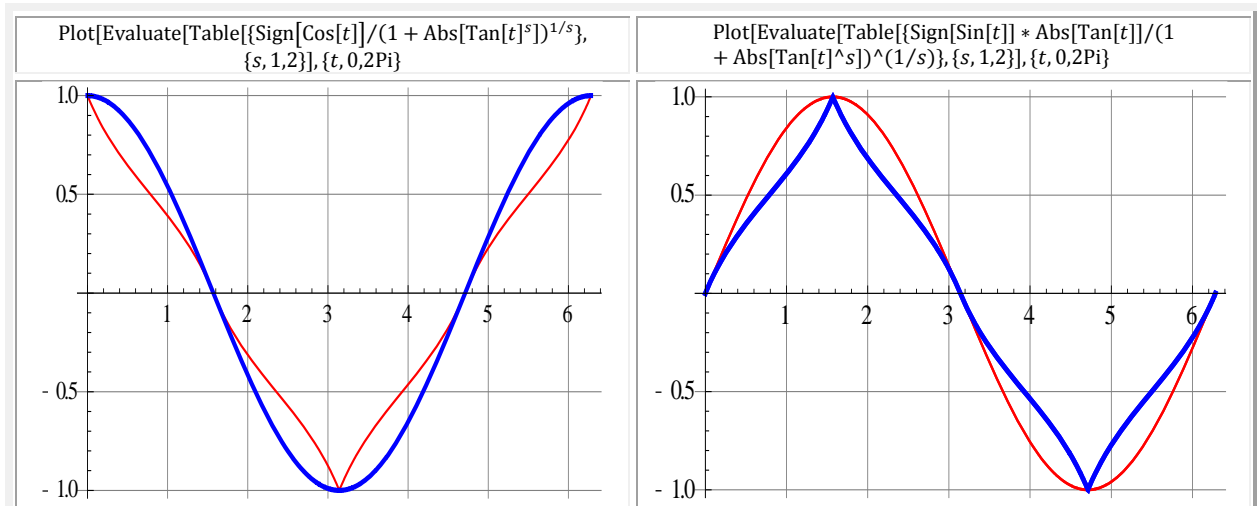


Fig.6,b Extremele funcții transtrigonometrice Malvina Baica – Mircea Cârdu, pentru $s \equiv k = 1 \rightarrow$ pătratice Valeriu Alaci, pentru $s \equiv k = 2 \rightarrow$ trigonometrice / circulare centrice Euler

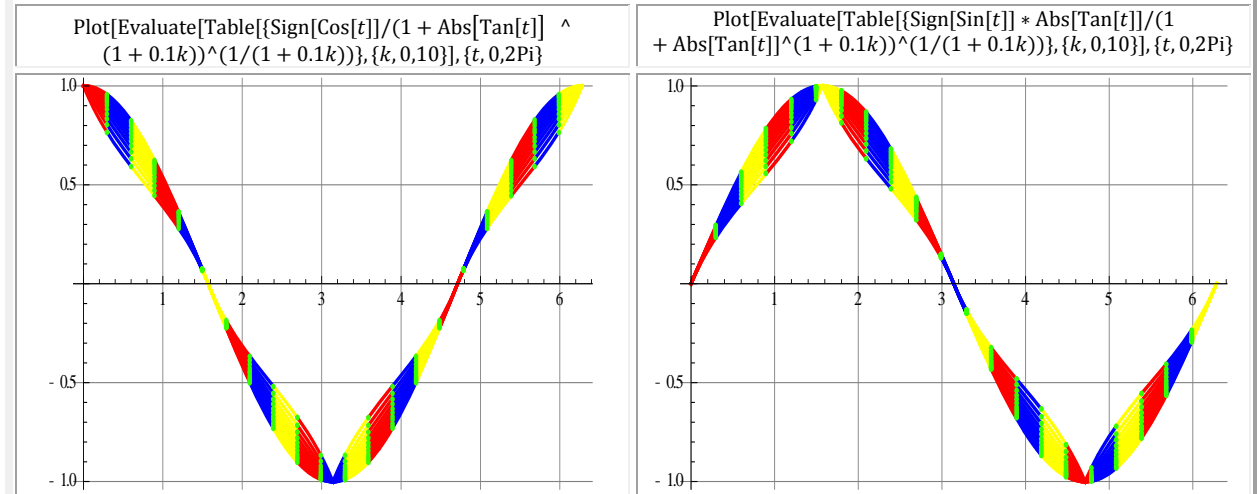


Fig.6,c Funcțiile transtrigonometrice Malvina Baica – Mircea Cârdu

www.supermatematicaonline.blogspot.ro

www.SuperMathematica.com

www.SuperMatematica.ro

www.SuperMathematica.org

1.4. QUAZIUADRILOBE (CVAZICVADRILOBE)

Prin depăşirea valorii de $s = 1$, a excentricităţii liniare numerice (**Fig.7,a**), ca şi prin combinarea / schimbarea semnelor de sub radical ale funcţiei speciale $\text{del}\theta$ şi a termenilor din expresiile parametrice ale **FSM-QL**, pot fi obţinute multe alte ecuaţii parametrice ale unor curbe plane închise, reunite sub denumirea de **quasiquadrilobe (cvazicvadrilobe)**.

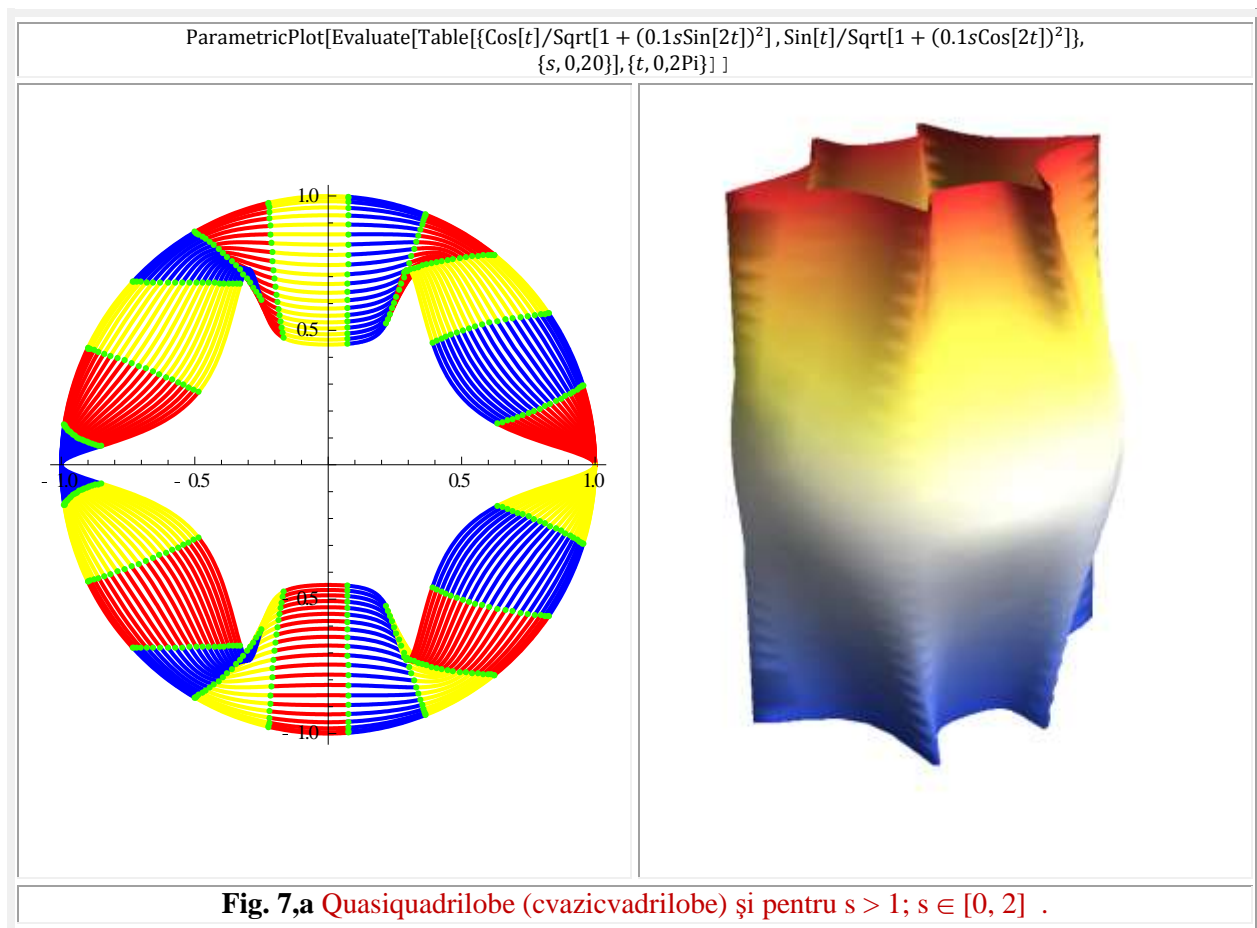
Figurile 7,a, 7,b, 7,c şi **7,d** prezintă unele dintre aceste quasiquadrilobe, interesante prin formele corpurilor obţinute în 3 D. Altele, prin forma unor curbe din 2D (**Fig.7,a** ◀).

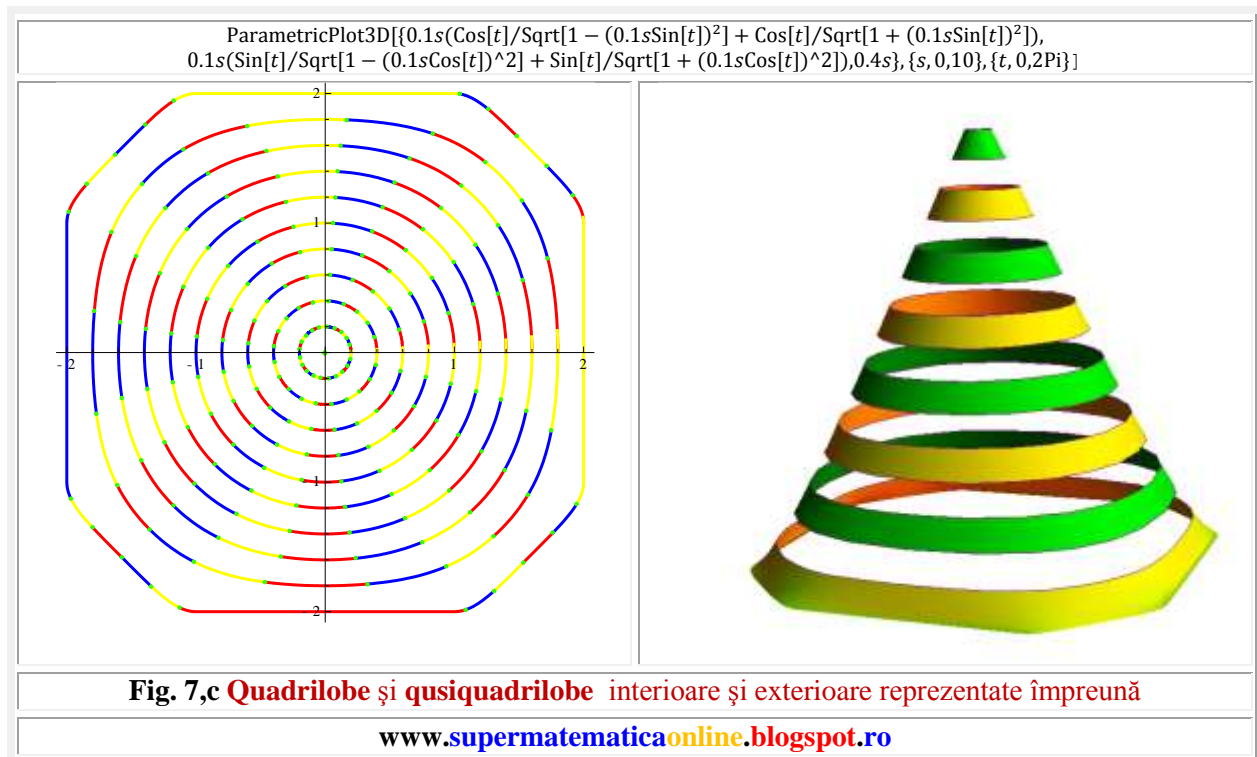
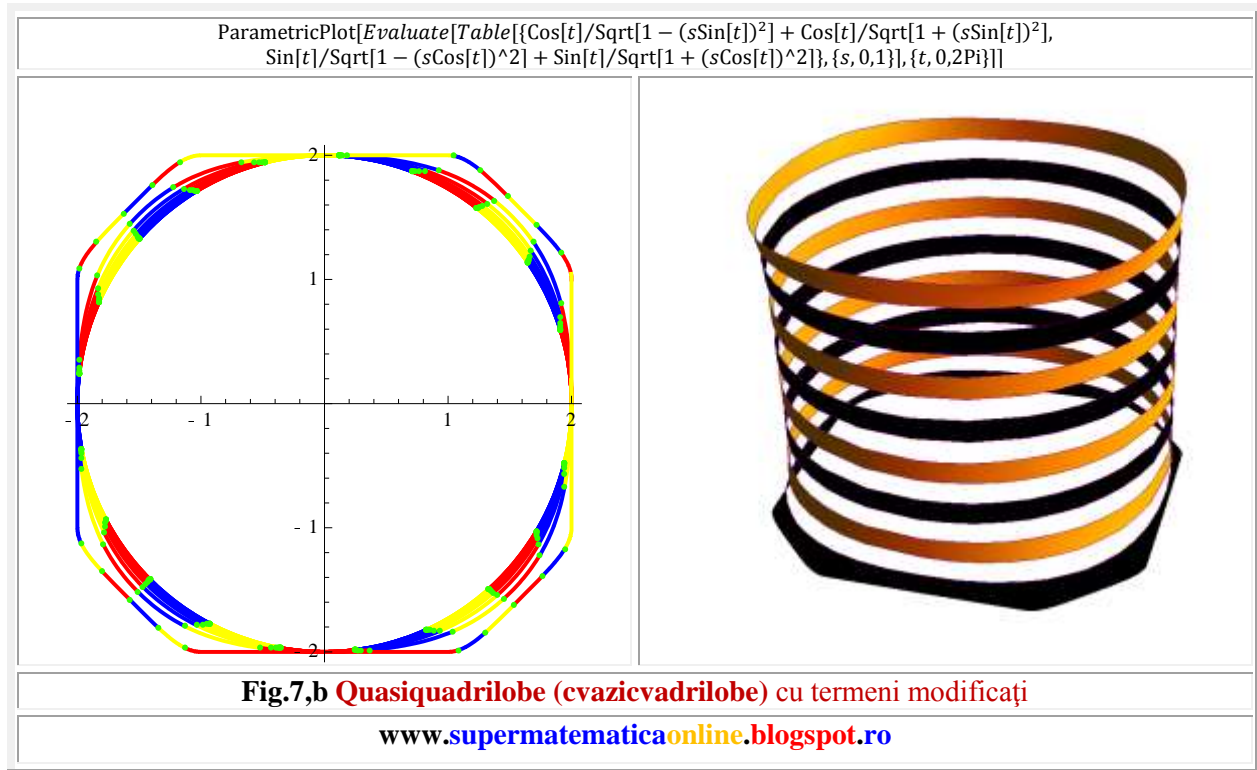
Obiectul / corpul **supermatematic** din **figura 7,c**, asemănător cu un con, cu baza un hexagon, poate fi denumit “**con quasiquadrilobic (cvazicvadrilobic)**”, iar cilindrul din **figura 7,b**, poate fi denumit **cilindru quasiquadrilobic**.

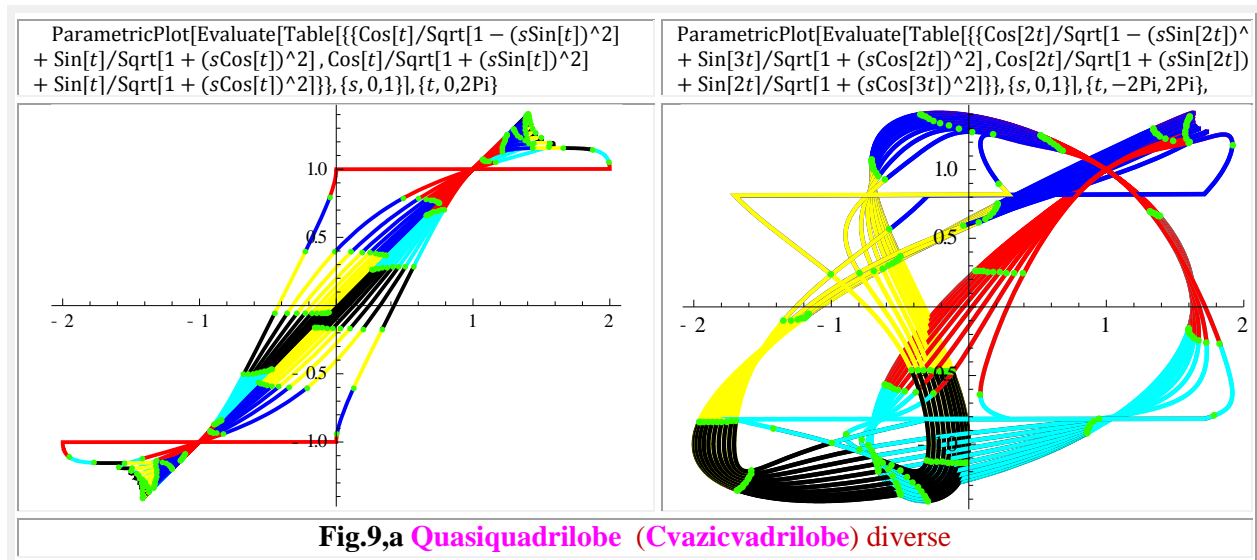
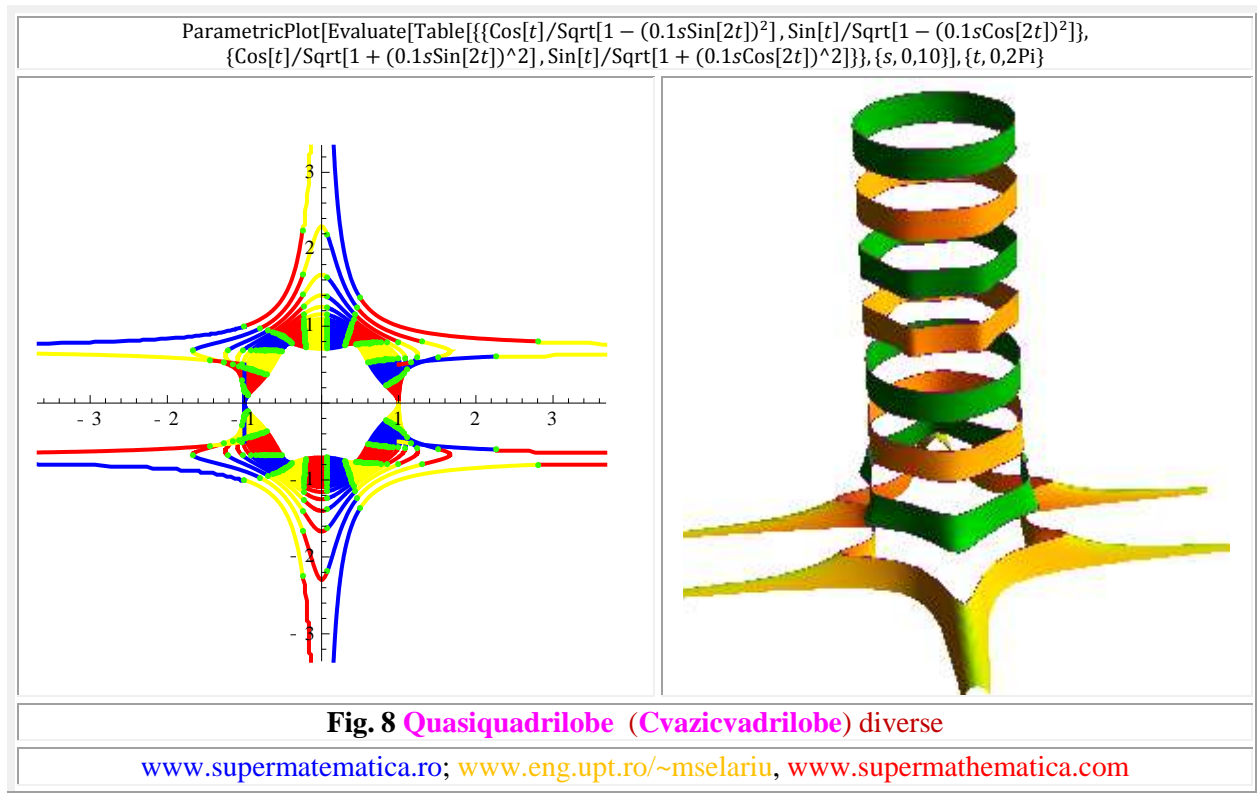
Curbe interesante asemănătoare unor curbe de histereză sunt prezentate în **figura 8** stânga ◀, iar unele artistice moderne în dreapta **figurii 8**.

Curbele din **figura 7,b** sunt reprezentate de ecuaţiile parametrice ca sume ale cosinusurilor şi, respectiv, sinusurilor cvadrilobe exterioare şi interioare, adică

$$\begin{cases} x = coq\theta + coqi\theta \\ y = siq\theta + siqi\theta \end{cases}$$





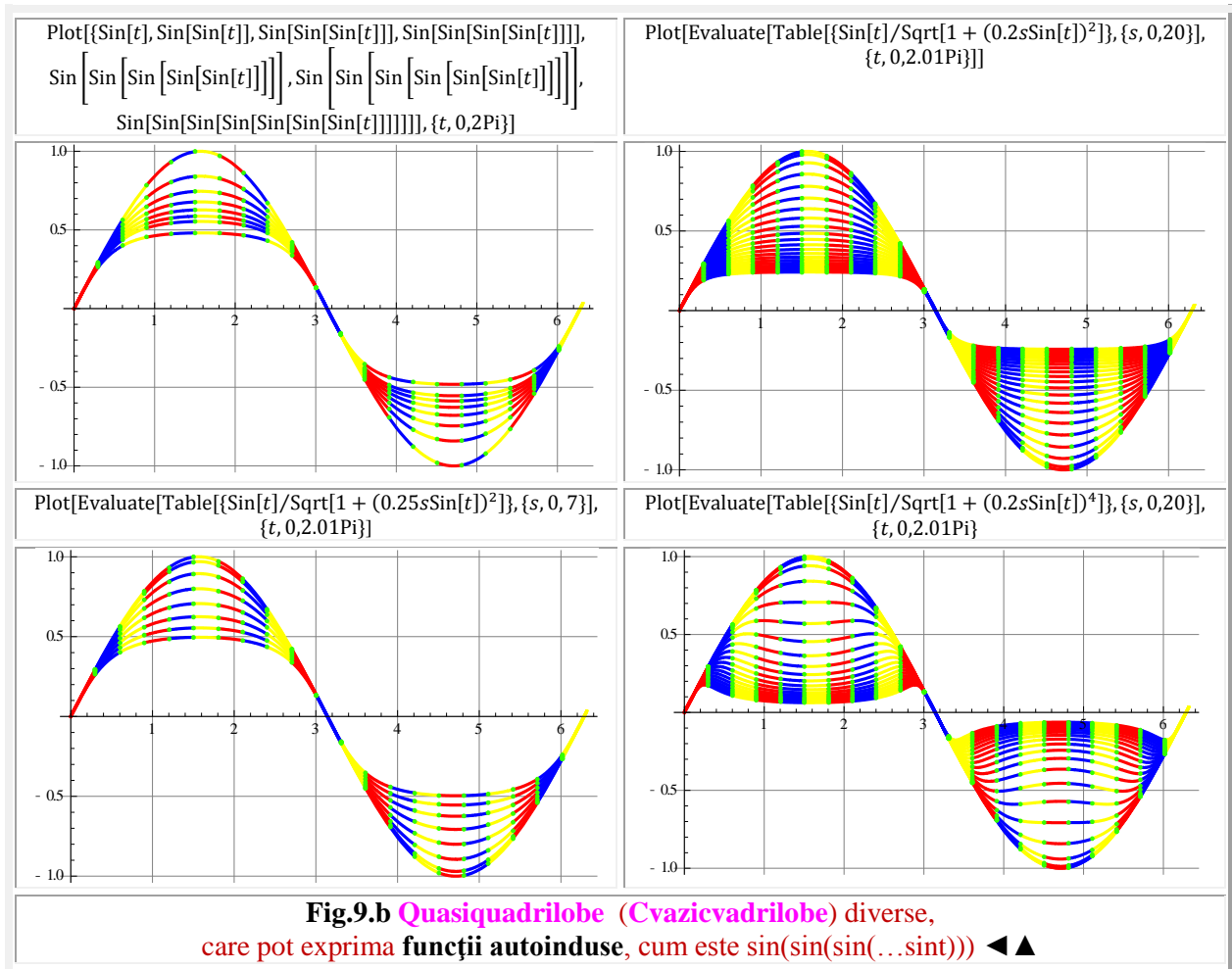


(10) În figura 9,b ▲ ◀ sunt prezentate funcțiile **sinus autoinduse**
 $\text{sina}(x, m = 8) = \sin(\sin(\sin(\sin(\sin(\sin(\sin(\sin x)))))))$.

Întâmplarea face ca o variantă a funcţiei sinus cvadrilobic, denumit sinus quadrilobic modificat şi notat **siqmθ** şi anume

$$(10') \quad \text{siqm}\theta = \frac{\sin\theta}{\sqrt{1+(s.\sin[t])^2}}$$

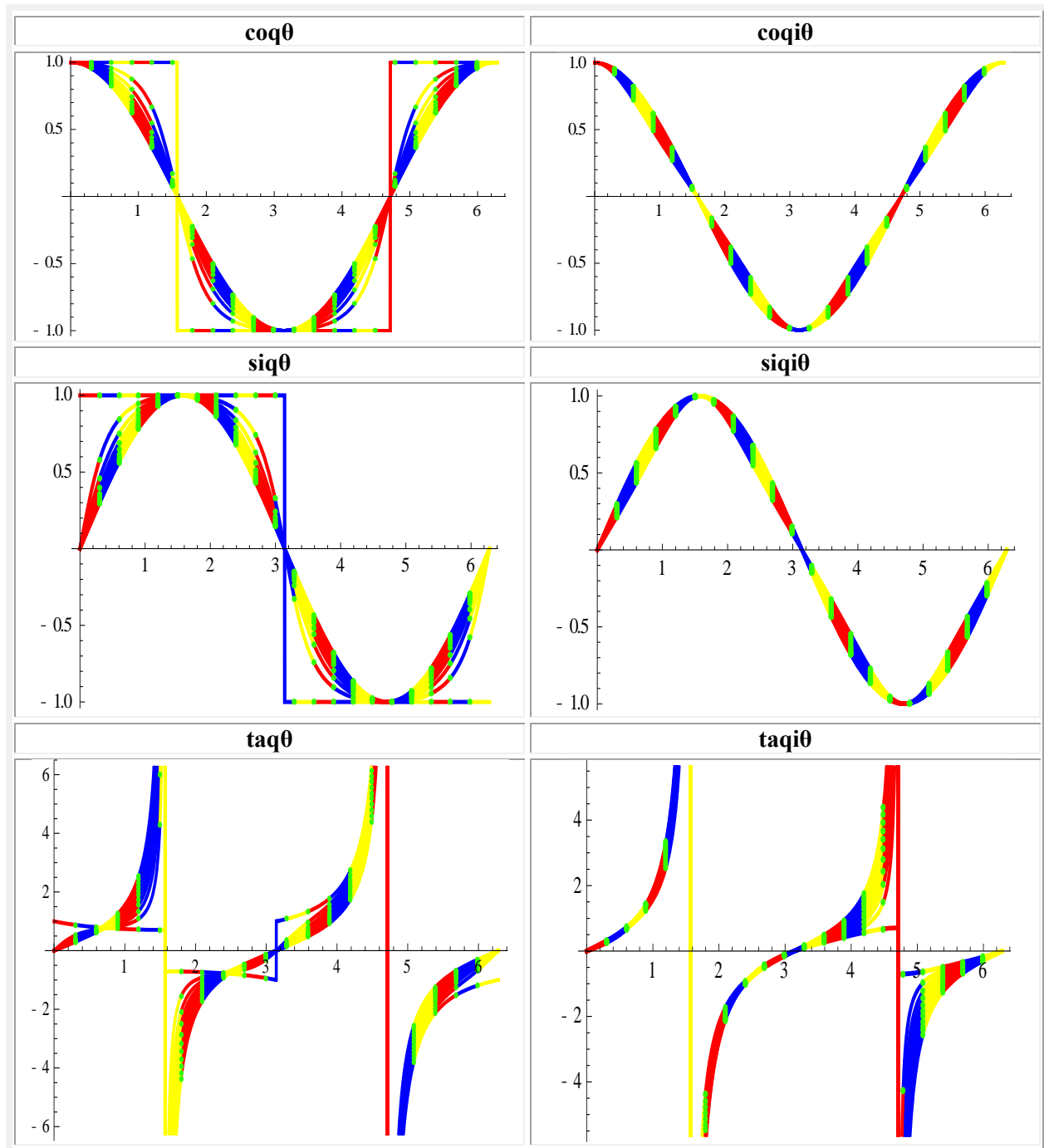
să poată imita, destul de bine, dar pentru valori diferite $m \neq s$, funcţiile autoinduse (10), prin mărirea lui s , şi să poată, fără dificultate, să exprime funcţii sinus autoinduse de un grad de multiplicitate $m = s$ cu mult mai mare. În **figura 9,b** ▲► $m = 20$.

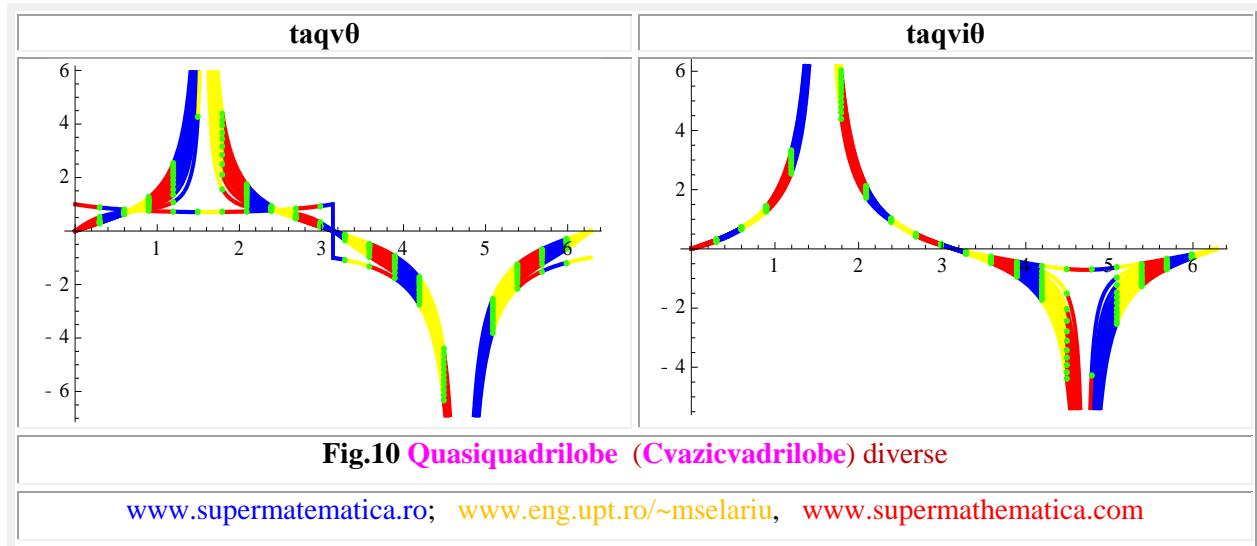


2 RAZELE POLARE ALE QUADRILOBELOR (QLE) EXTERIOARE ŞI ALE CVADRILOBELOR INTERIOARE (QLI)

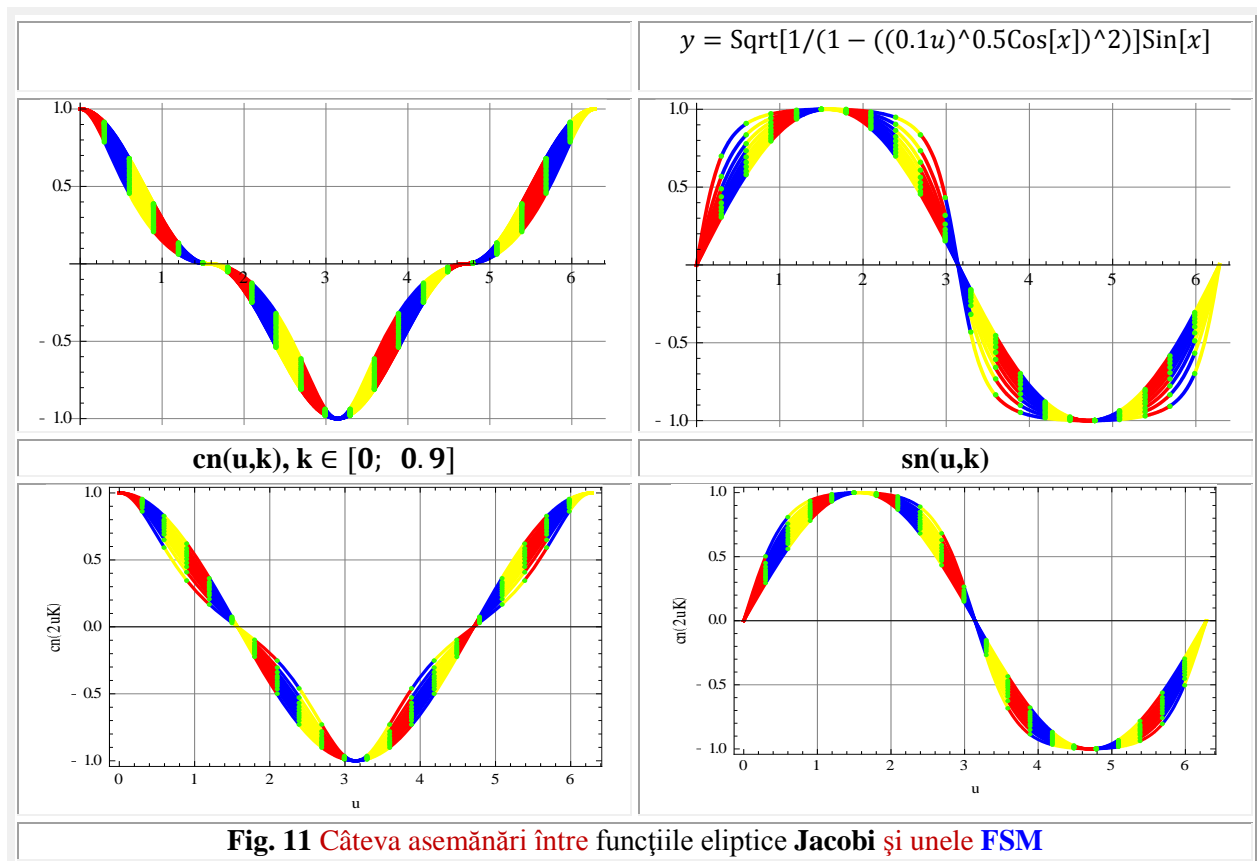
Ca oricare altă rază polară şi acestea se pot obţine prin însumarea vectorială a proiecţiilor razei pe cele două axe ale reperului cartezian drept, adică

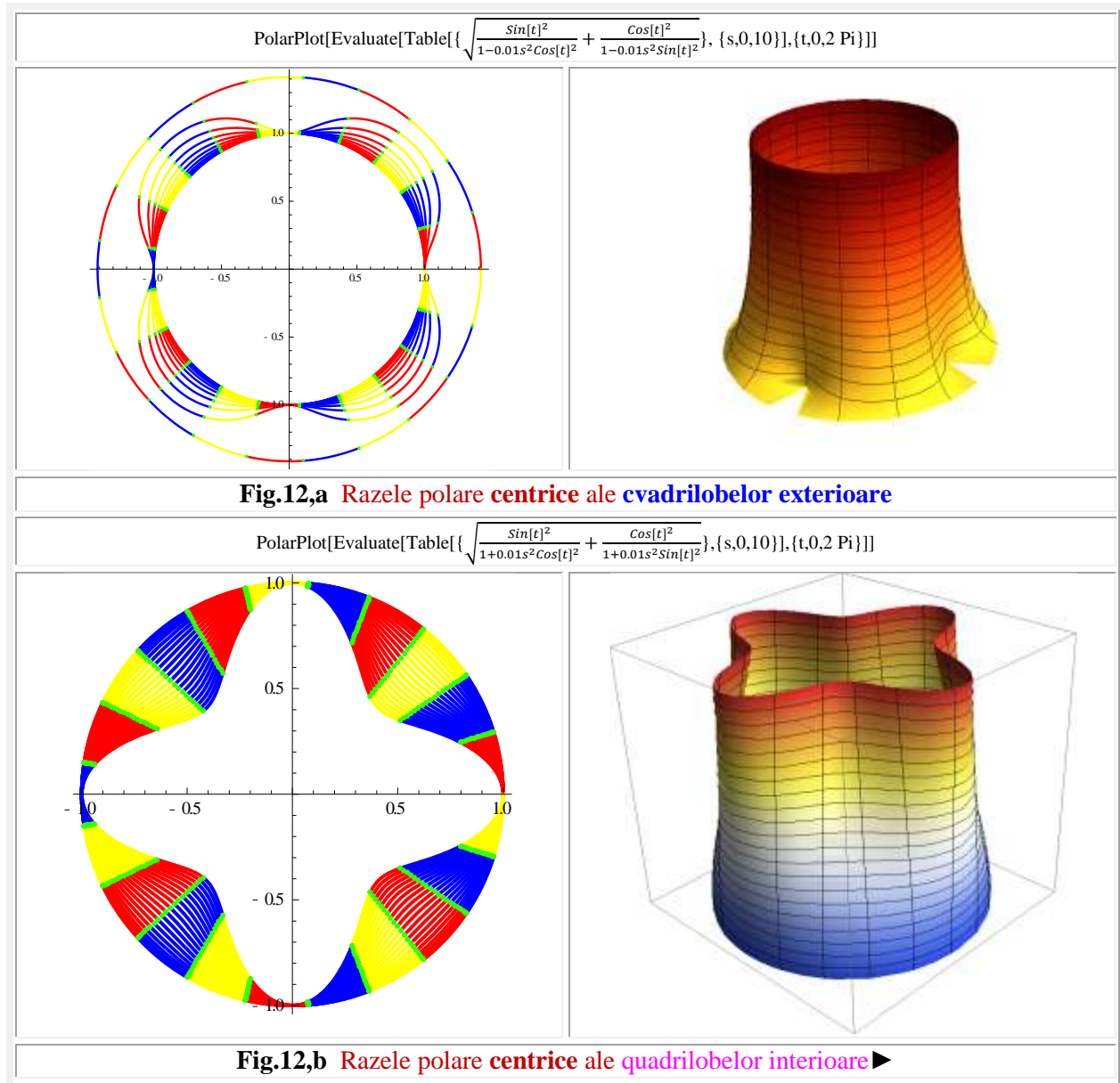
$$(7) \quad \begin{cases} r_{qi} = \sqrt{coq^2\theta + siq^2\theta} = \sqrt{\frac{\sin^2\theta}{1-s^2\cos^2\theta} + \frac{\cos^2\theta}{1-s^2\sin^2\theta}} \\ r_{qli} = \sqrt{coqi^2\theta + siqi^2\theta} = \sqrt{\frac{\sin^2\theta}{1+s^2\cos^2\theta} + \frac{\cos^2\theta}{1+s^2\sin^2\theta}} \end{cases}$$





În această **figură 10**, graficele funcţiilor **supermatematice** quadrilobe excentrice exterioare **FSM-QEE** coq şi siq au fost reluate pentru a putea fi mai facil comparate cu graficele celorlalte funcţii **quadrilobe**



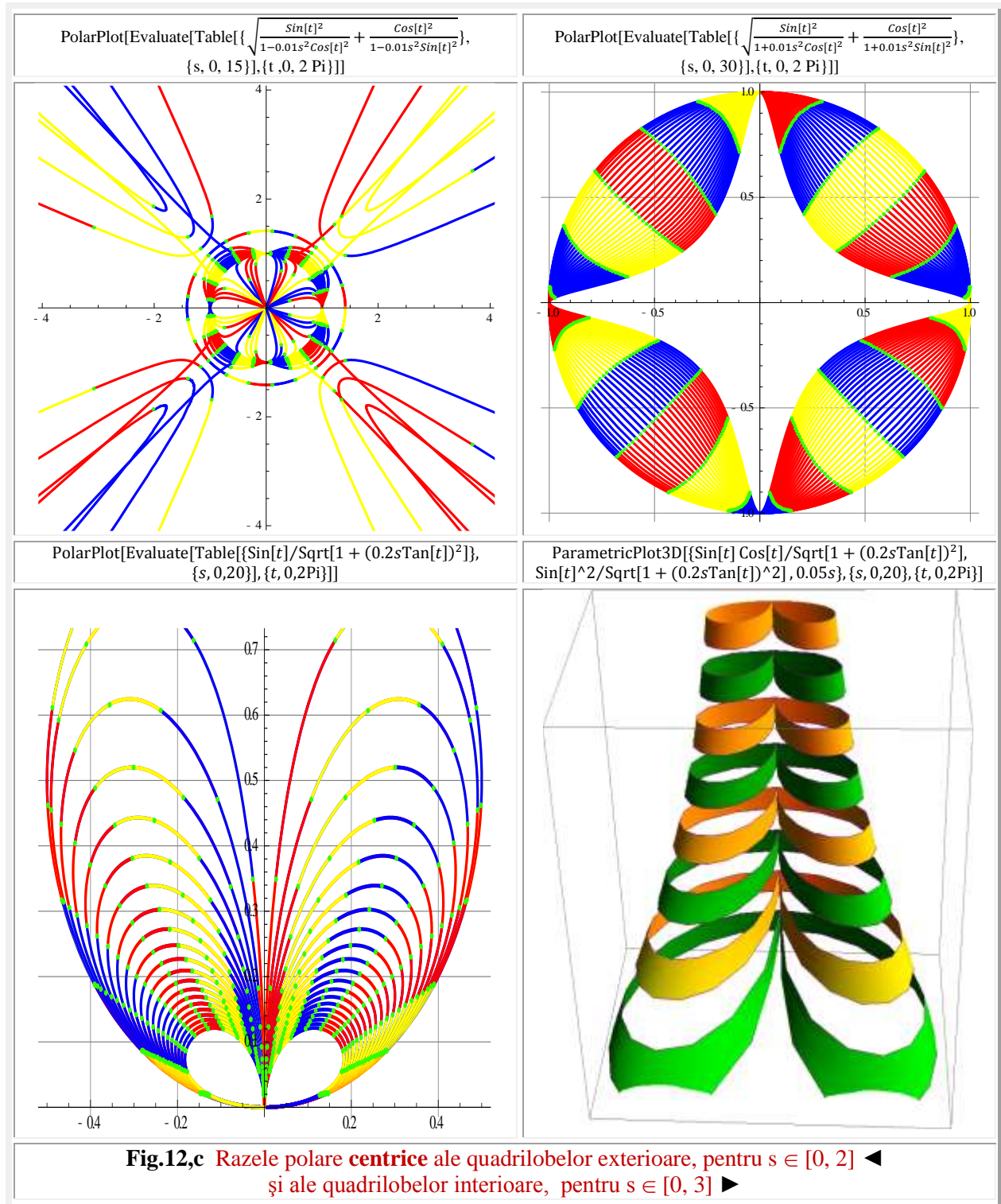


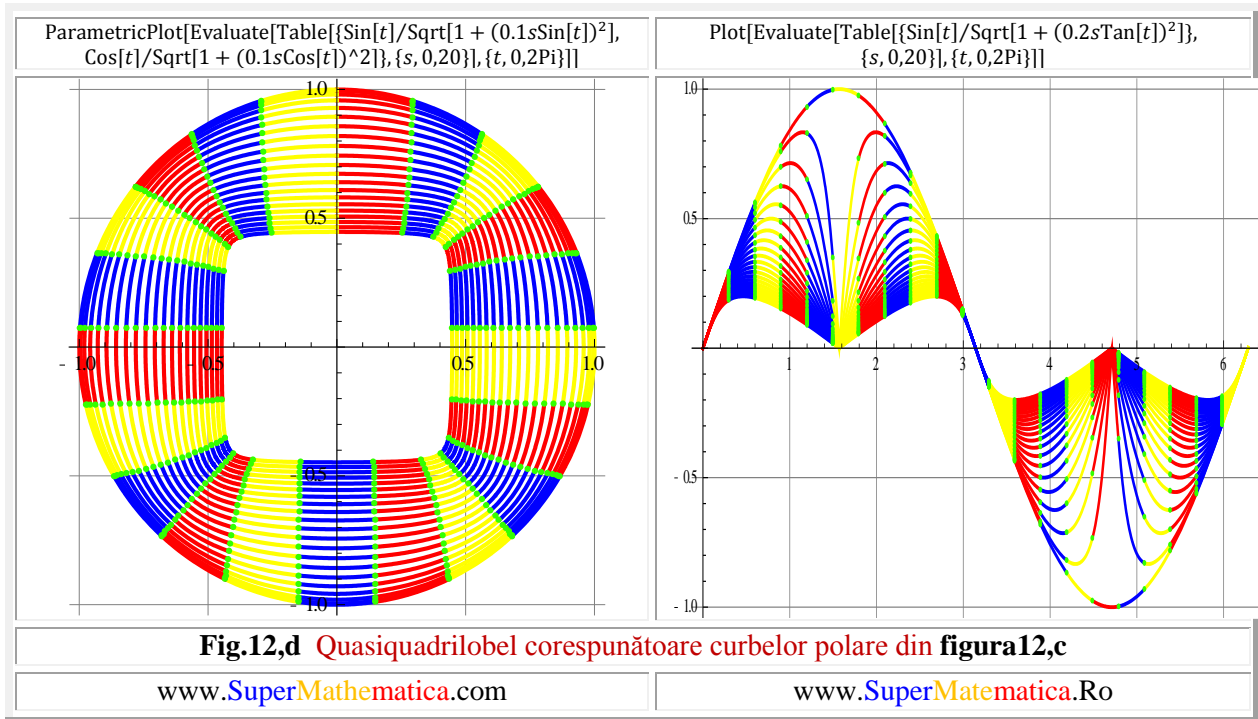
cu graficele, în coordonate polare centrice, din **figura 6,a**, pentru cele două tipuri de cvadrilobe, de excentricitate numerică sbunitară și, în **figura 6,b** și pentru excentricități liniare sprăunitare.

$$(8) \quad \begin{cases} taq = \frac{coq\theta}{siq\theta} = \frac{\sin\theta}{\cos\theta} \sqrt{\frac{1-s^2\sin^2\theta}{1-s^2\cos^2\theta}} \\ taqi = \frac{coqi\theta}{siqi\theta} \sqrt{\frac{1+s^2\sin^2\theta}{1+s^2\cos^2\theta}} \end{cases}$$

cu graficele din **figura 6**

Unghiurile la centrul O(0, 0), la care apar aceste raze polare, sunt





$$(9) \quad \begin{cases} \alpha_{qe} = \arctan \left[\frac{\sin\theta}{\cos\theta} \sqrt{\frac{1-s^2\sin^2\theta}{1-s^2\cos^2\theta}} \right] \\ \alpha_{qi} = \arctan \left[\frac{\cos\theta}{\sin\theta} \sqrt{\frac{1+s^2\sin^2\theta}{1+s^2\cos^2\theta}} \right] \end{cases}$$

Graficele funcțiilor cosinus și sinus cvadrilobe, exterioare (stânga ◀) și interioare (dreapta ▶) cercului unitate, sunt prezentate în **figura 6** pentru $s \in [0, 1]$, iar în **figura 11** sunt prezentate graficele unor **FSM** și a unor **funcții eliptice Jacobi**, pentru evidențierea unor asemănări grafice.

În **figura 12,a** sunt prezentate curbele închise generate de razele polare centrice, date de relațiile (7) ale cvadrilobelor exterioare. Se observă că ele diferă semnificativ de forma quadrilobelor exterioare cercului unitate (**Fig. 3,a**), atât în 2D cât și, evident, în 3 D. Acest fapt se datorează faptului că razele polare sunt la un unghi la centru θ , egal cu unghiul la excentrul $E(e, \varepsilon)$, în timp ce punctele care generează cvadrilobele exterioare sunt defazate în avans față de unghiul polar θ al razelor polare (7), așa cum s-a mai afirmat și cum se poate observa din **figura 1,b** și **figura 2**.

3.FSM-QL RADIAL EXCENTRICE $req_{1,2} \theta$ și $Req_{\alpha,1,2}$ EXTERIOARE CERCULUI UNITATE

Printre **FSM-CE**, funcțiile **radial excentrice** de variabilă excentrică $rex_{1,2}\theta$ și de variabilă centrică Rex_{α} reprezintă distanța $r_{1,2} = |SW_{1,2}|$ în planul cercului unitate de la excentrul **S(s, ε)**

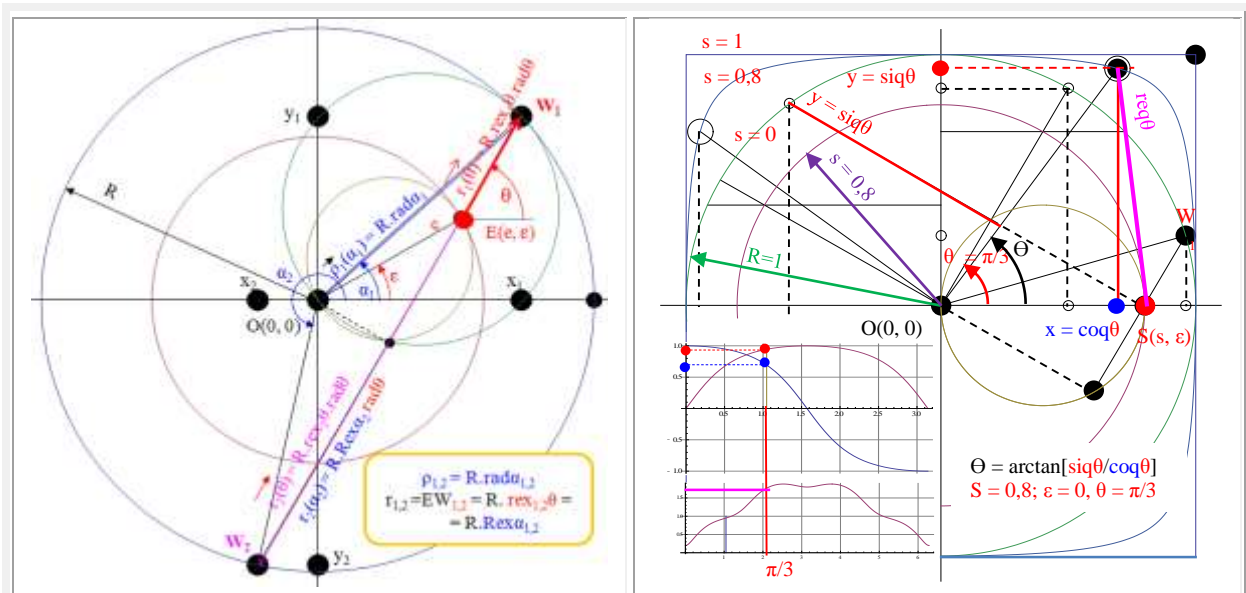


Fig. 13,a Desene explicative pentru funcții radiale excentric **circulare rex** ◀ și funcții radiale excentrice **quadrilobe (cvadrilobe) req** ▶

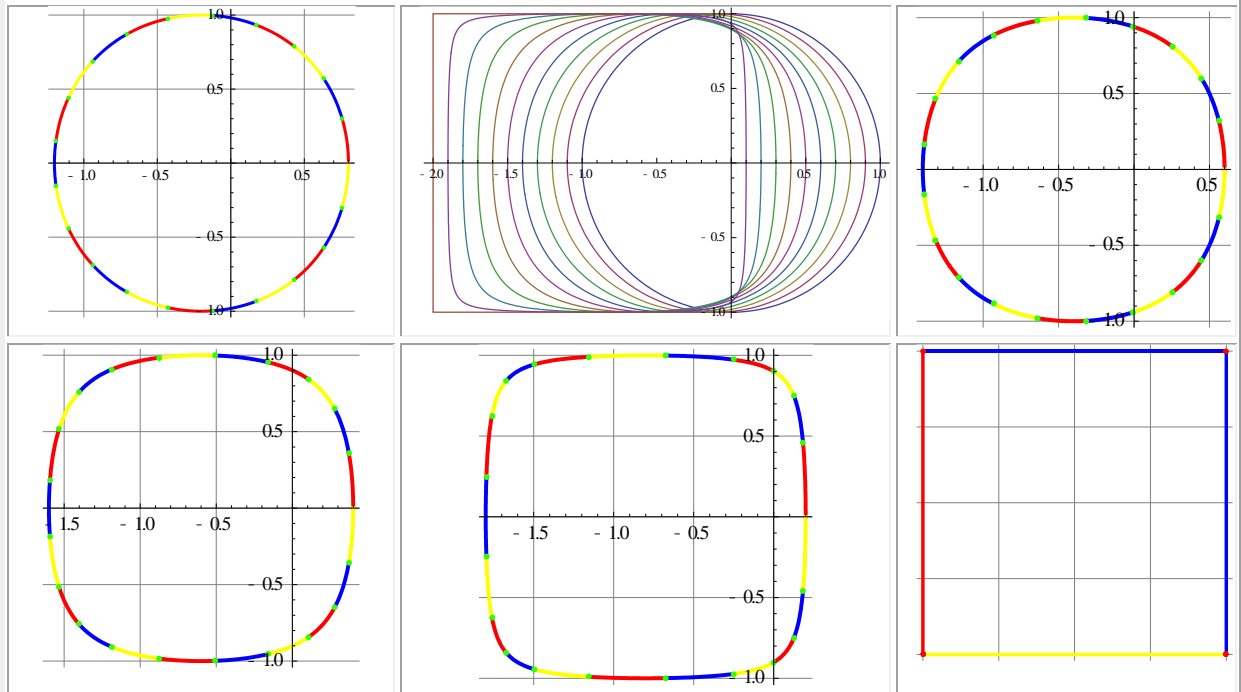
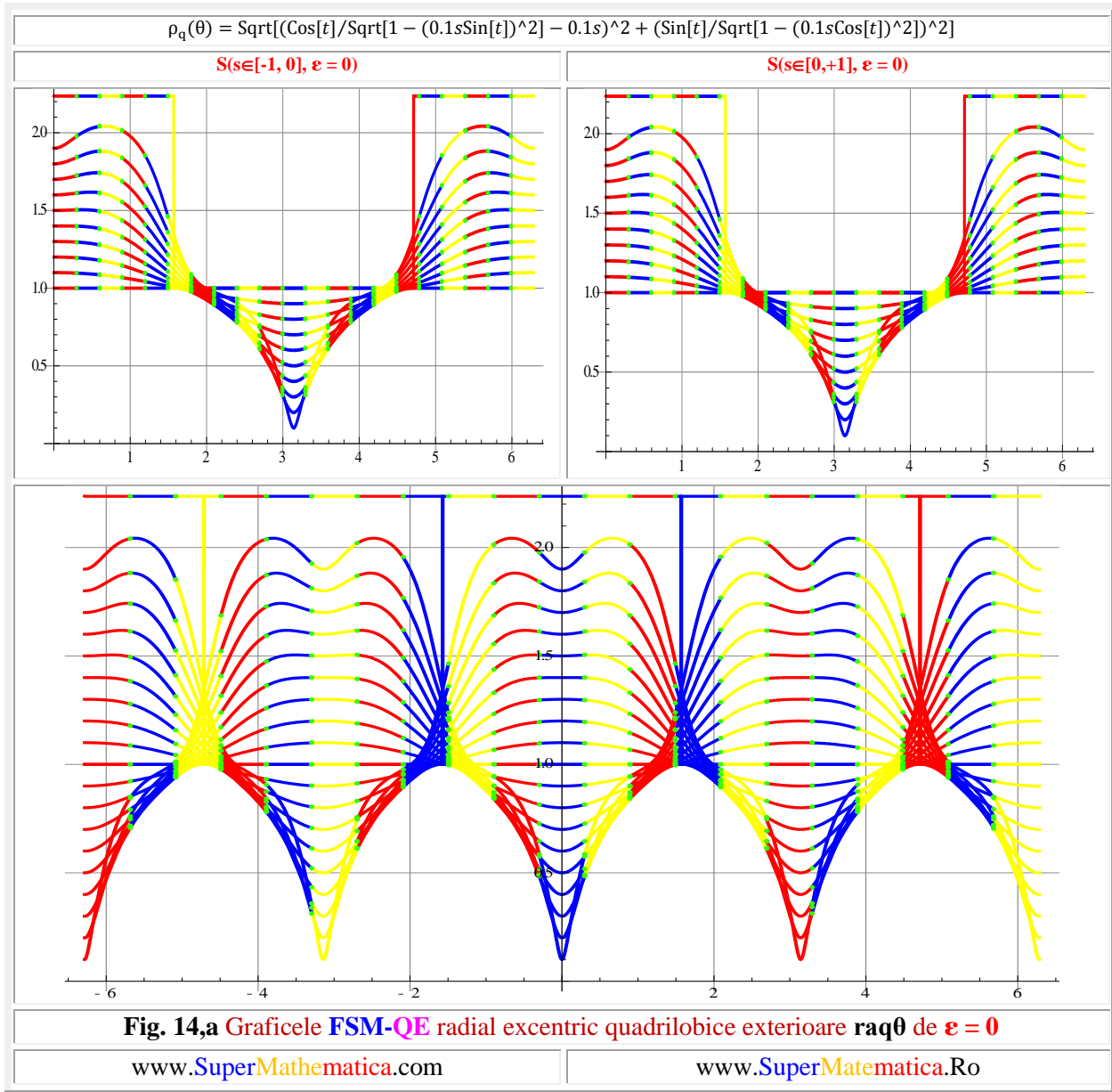


Fig. 13,b Curbele descrise de ecuațiile parametrice $\begin{cases} x = req \theta \cdot \cos \theta \\ y = req \theta \cdot \sin \theta \end{cases}, s \in [0, 1]; \epsilon = 0$

www.SuperMathematica.com; www.eng.upt.ro/~mselariu; www.supermatematica.ro



la punctele $W_{1,2}$ de intersecție a cercului cu dreapta excentrică $d = d^+ \cup d^-$, (Fig. 13,a ◀) turnantă în jurul lui S , exprimate prin unghiul la excentru θ și, respectiv, unghiul α la centrul $O(0, 0)$. Indicele **1** este pentru determinarea principală, prin intersecția cu d^+ și indicele **2** pentru determinarea secundară de intersecție cu d^- .

În **matematica centrică (MC)**, în coordonate **polare**, cercul de rază R , centrat în originea unui reper polar $O(0,0)$, putea fi descris, față de centrul lui $M(0, 0) \equiv O(0, 0)$ de ecuația vectorială (Fig. 13,a ◀)

$$(10) \quad \vec{\rho}(\alpha) = \vec{R} = R \text{ rad}\alpha,$$

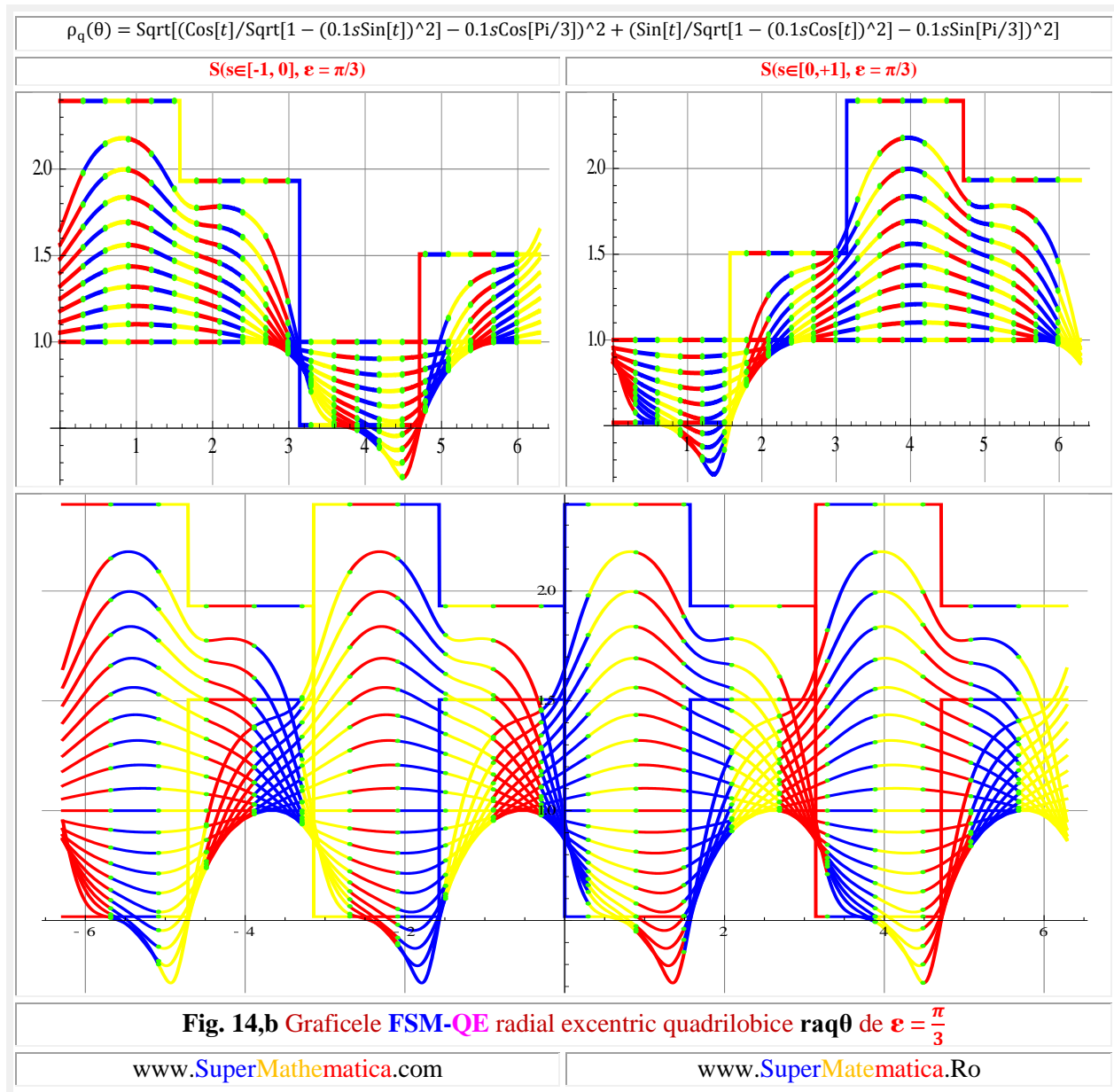
iar, acum, în **matematică excentrică (ME)** şi în **supermatematică (SM)**, faţa de un punct oarecare $E(e, \epsilon)$ din planul cercului, denumit, după cum aţi dedus deja, **excentru real**, de ecuaţia vectorială

$$(11) \quad \vec{\rho}(\theta) = R \cdot \mathbf{rex}\theta \cdot \text{rad}\theta = R[-s \cos(\theta - \epsilon) + \sqrt{1 - s^2 \sin^2(\theta - \epsilon)}] \cdot \text{rad}\theta, \quad \mathbf{s} = \mathbf{e}/R,$$

prin unghiul / **variabila excentrică θ** , faţă de $E(e, \epsilon)$ şi cu ecuaţia vectorială

$$(12) \quad \vec{\rho}(\theta) = R \cdot \mathbf{Rex}\alpha \cdot \text{rad}\theta$$

prin **variabila centrică α** sau unghiul α la centrul $O(0, 0)$.



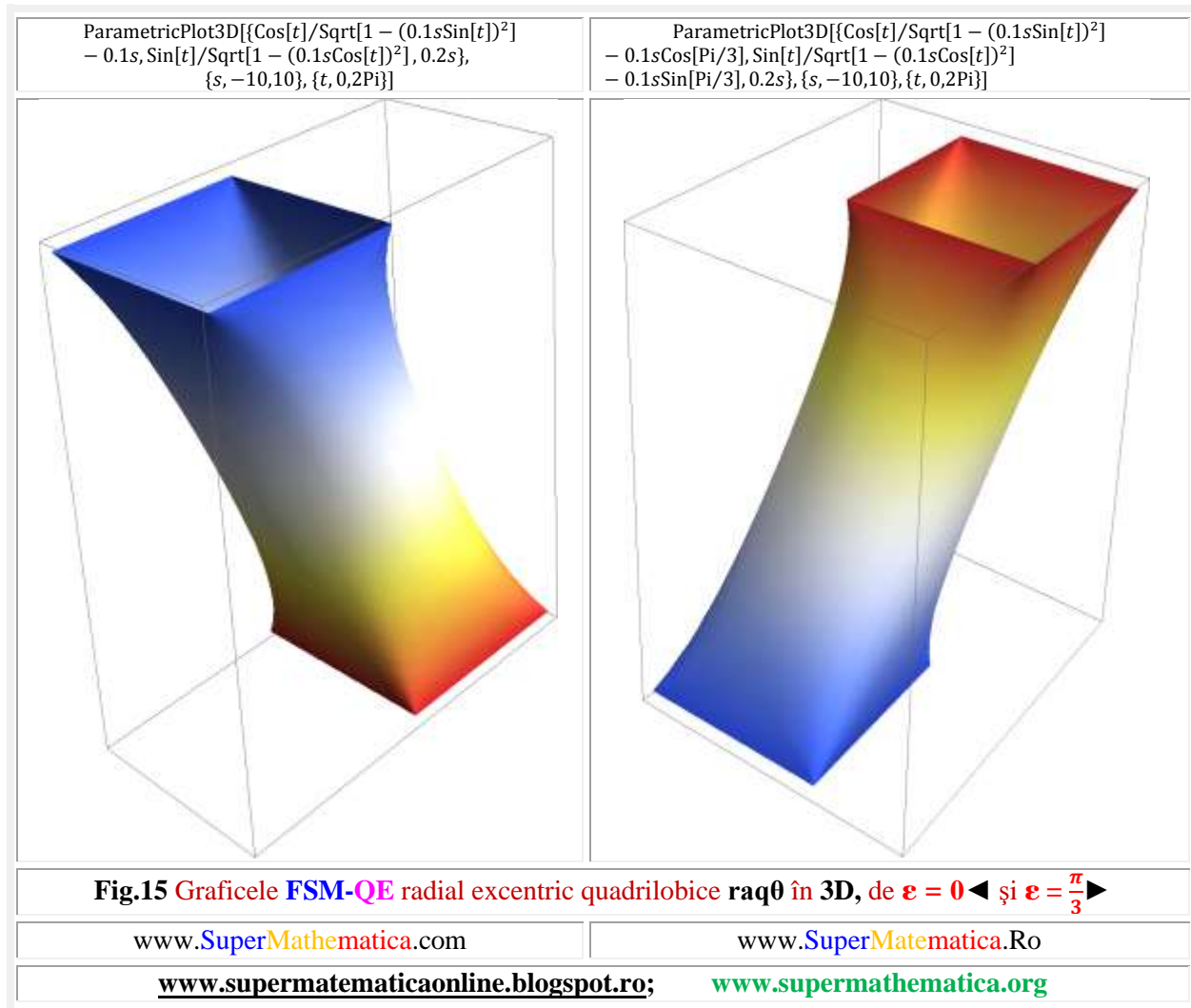
În mod asemănător, prin definirea **funcţiilor supermatematice quadrilobe excentrice FSM-QLE**

şi a quadrilobelor, ecuaţiile lor în coordonate polare se pot defini fie faţă de centrul $O(0,0)$, fie de excentrul $E(e, \epsilon)$ sau $S(s, \epsilon)$ (Fig. 13,a►).

Definite prin variabila excentrică θ ele au ecuaţiile

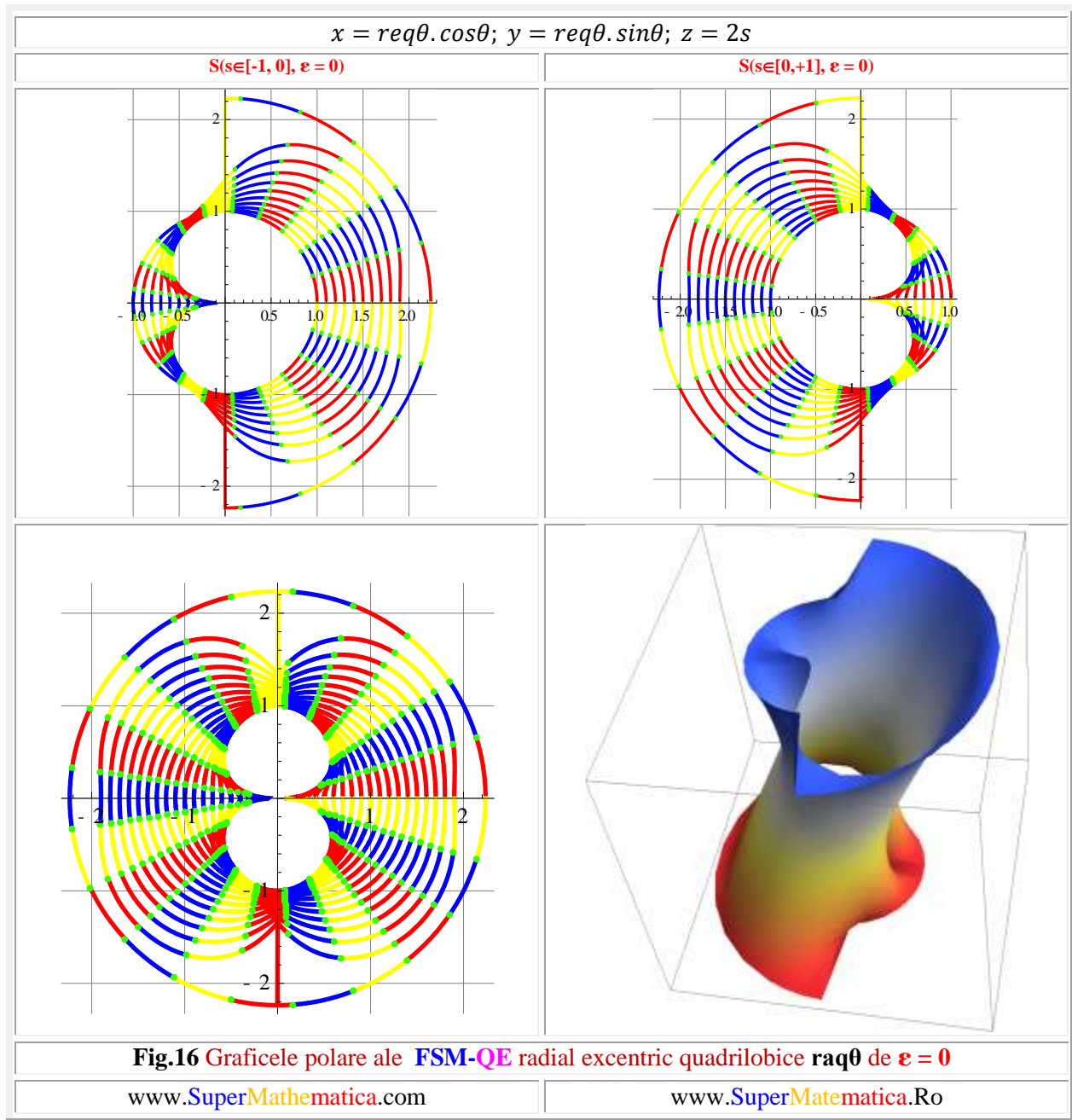
$$(13) \quad \text{req}\theta = \pm\sqrt{(\text{coq}\theta + s \text{cose}\epsilon)^2 + (\text{siq}\theta + s \text{sin}\epsilon)^2}$$

şi pentru $\epsilon = 0$ au graficele din figura 14,a iar, pentru $\epsilon = \frac{\pi}{3}$, în figura 14,b.



Reprezentarea polară cu ecuaţia (13) ca şi prin ecuaţiile parametrice bazate pe ea, dau evident curbele plane închise quadrilobe (cvadrilobe) care sunt însă deplasate pe direcţia excentricităţii s : a axei x pentru $\epsilon = 0$ şi în diagonală pentru $\epsilon = \pi/3$, aşa cum se prezintă situaţia în figura 13,b în 2D şi în figura 15 în 3D.

În figura 16 sunt prezentate graficele polare ale FSM-QLE



4. FSM-QL RADIAL EXCENTRICE $req_{1,2}\theta$ ŞI $Req_{1,2}$ INTERIOARE CERCULUI UNITATE

Funcțiile supermatematice radiale excentrice quadrilobe (cvadrilobe) interioare cercului unitate (**FSM-QEI**) req_{i0} sunt reprezentate / schițate geometric în **figura 17**, împreună cu cele exterioare cercului unitate $req\theta$ și cu cele circulare excentrice $rex\theta$.

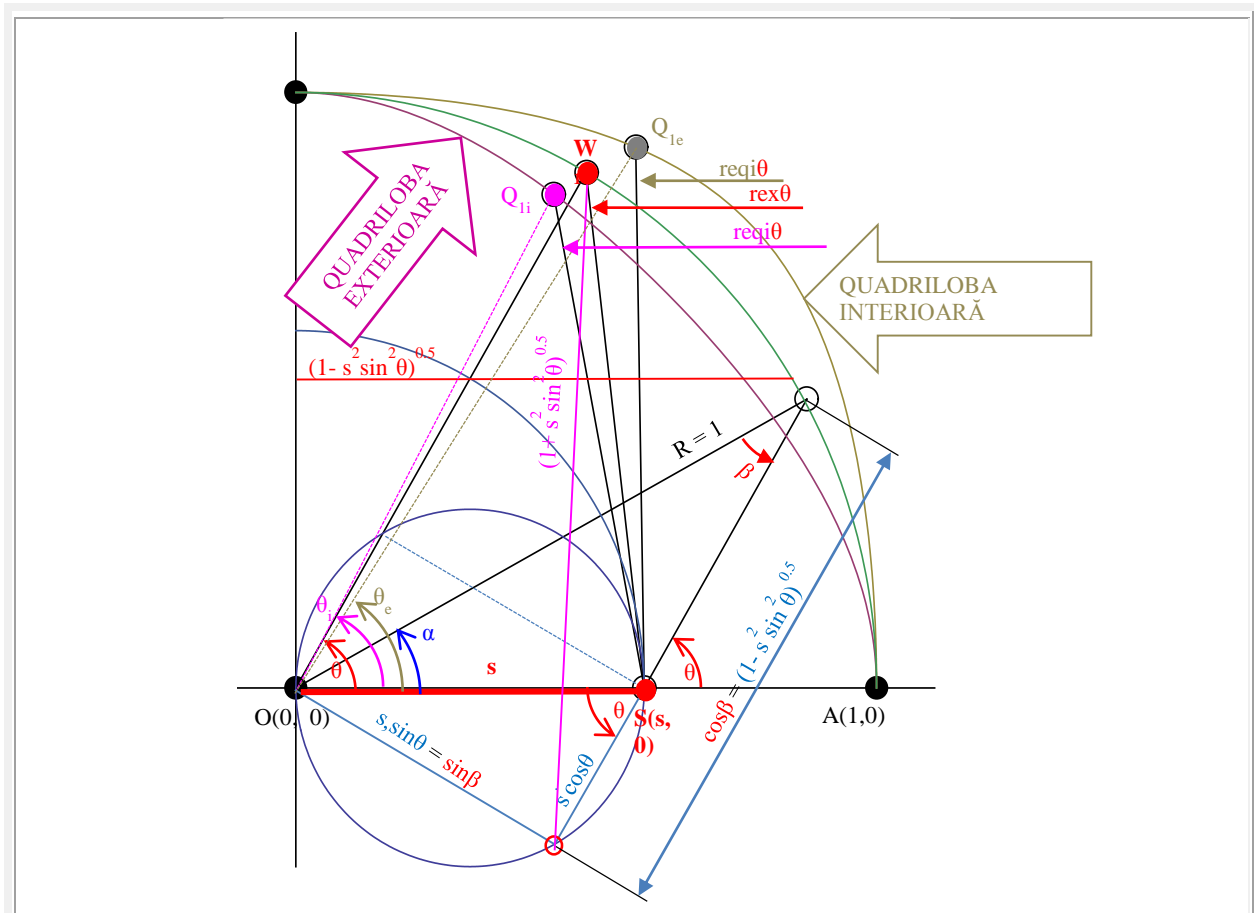
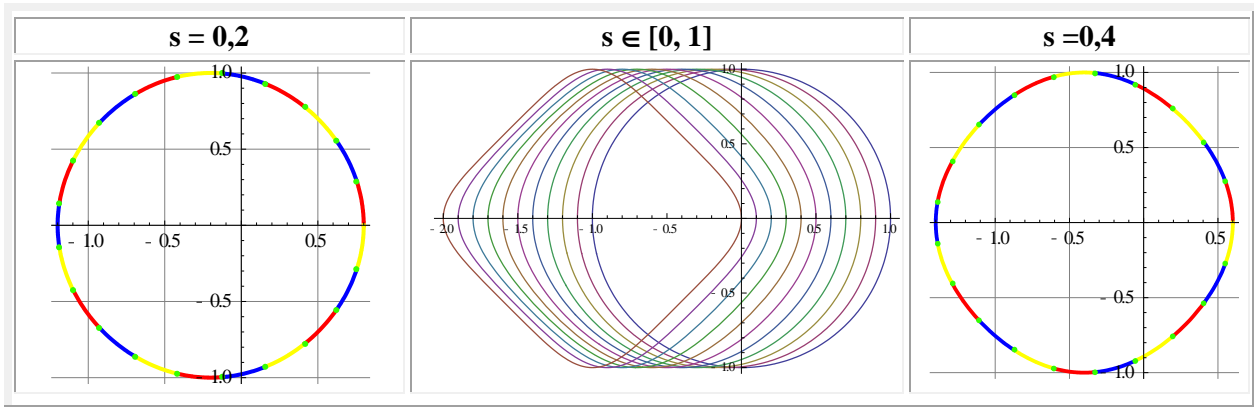
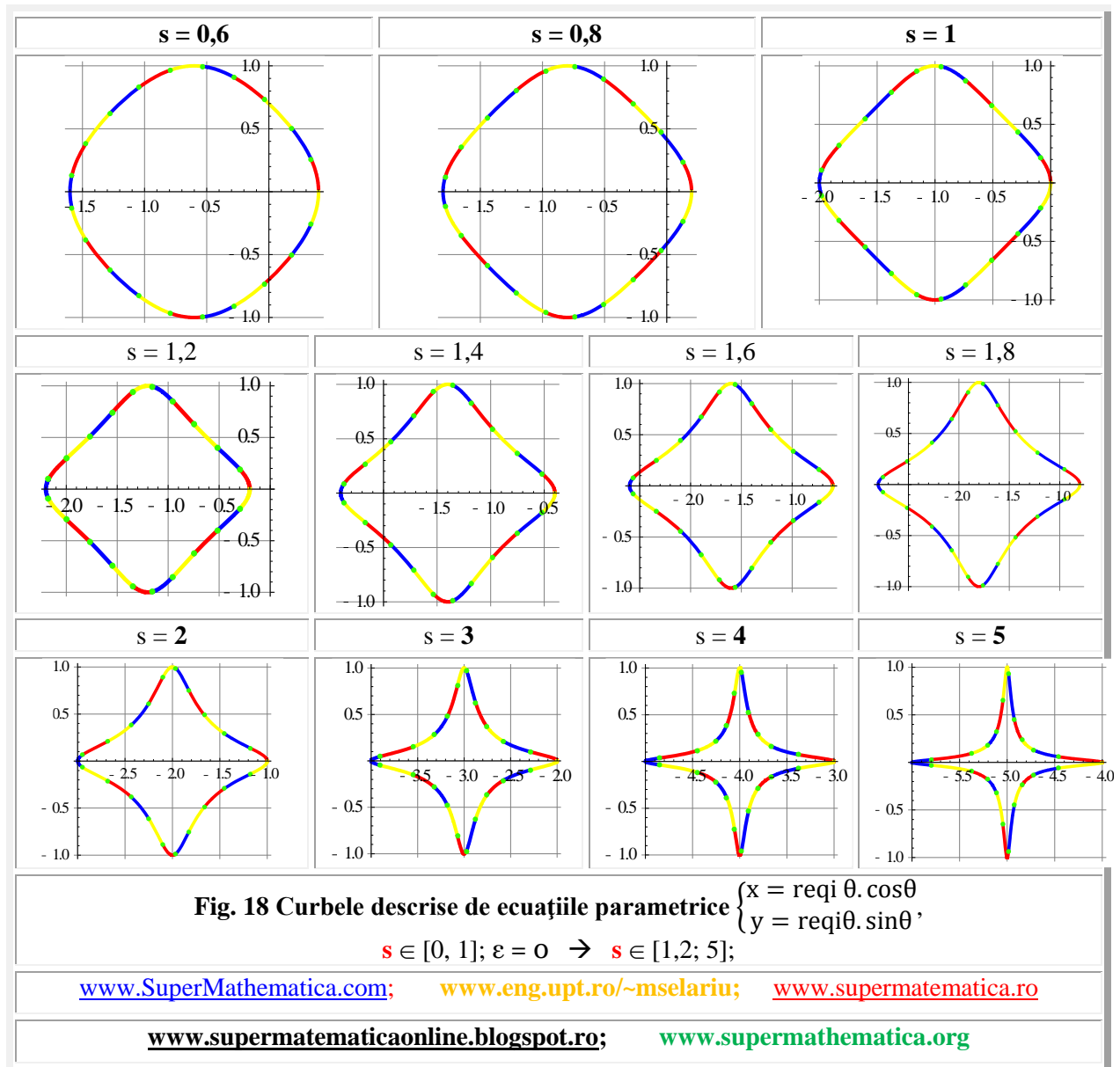


Fig. 17 Desene explicative pentru funcții radiale excentrice **circulare** $res\theta$ și funcții radiale excentrice **quadrilobe** (cvadrilobe) exterioare $req\theta$ și interioare cercului unitate $reqi\theta$ de variabile excentrice θ





$$(14) \quad \text{deli}\theta = \sqrt{1 + s^2 \sin^2(\theta - \varepsilon)}$$

Pe de alta parte, ele nu sunt, strict vorbind, quadrilobe (cvadrilobe), deoarece așa cum se poate observa în **figura 18**, în care, pentru $s = 1$, curba plană închisă nu mai este un pătrat perfect, ci cu colțurile rotunjite, iar pentru $s > 1$ degenerază în asteroide.

Ecuțiile funcțiilor radiale excentrice quadrilobe interioare sunt deduse ca sumă vectorială a funcțiilor

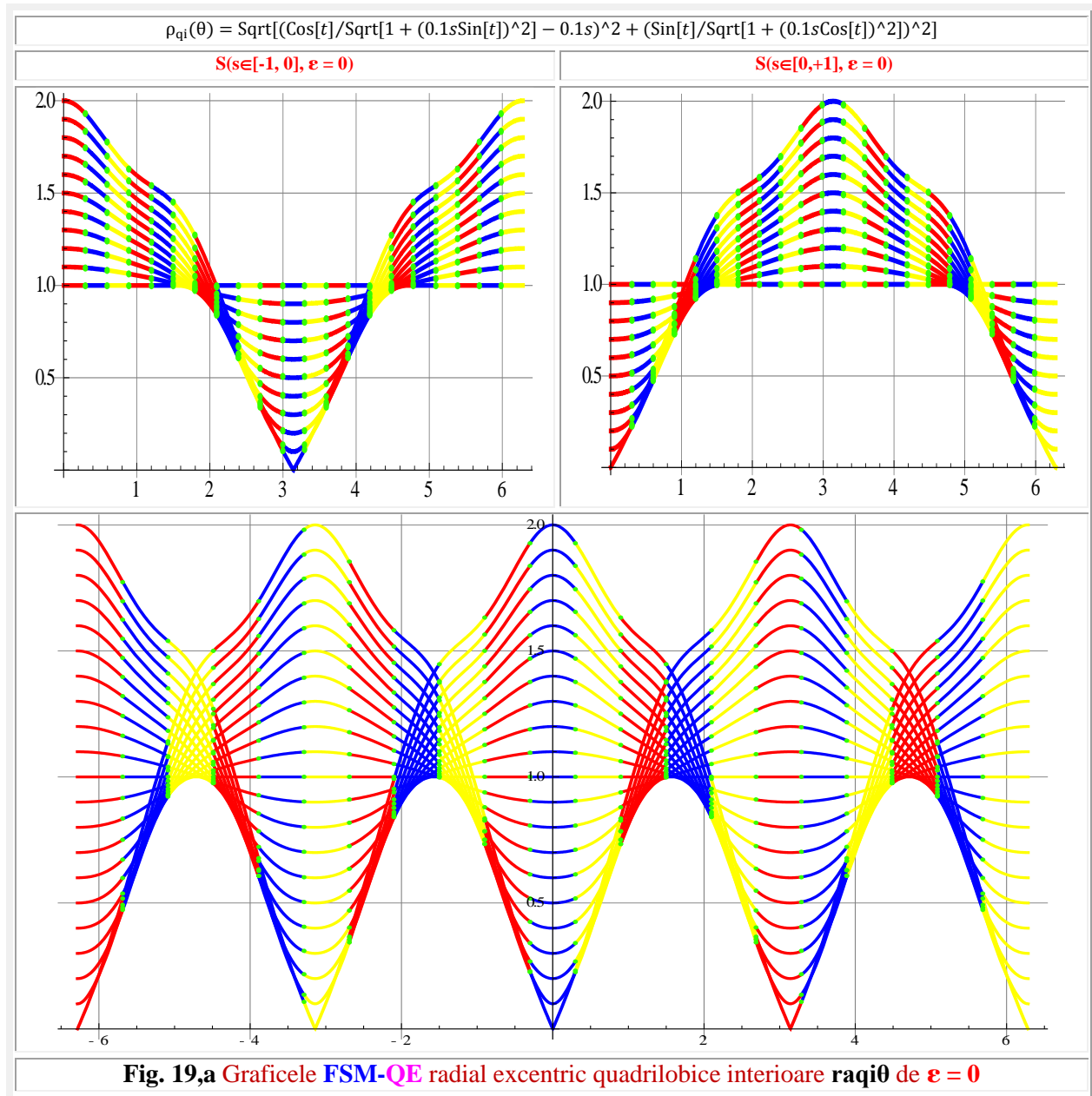
$$(15) \quad \begin{cases} \text{coqi}\theta - \text{sco}\varepsilon \\ \text{siqi}\theta - s \cdot \text{si}\varepsilon \end{cases}$$

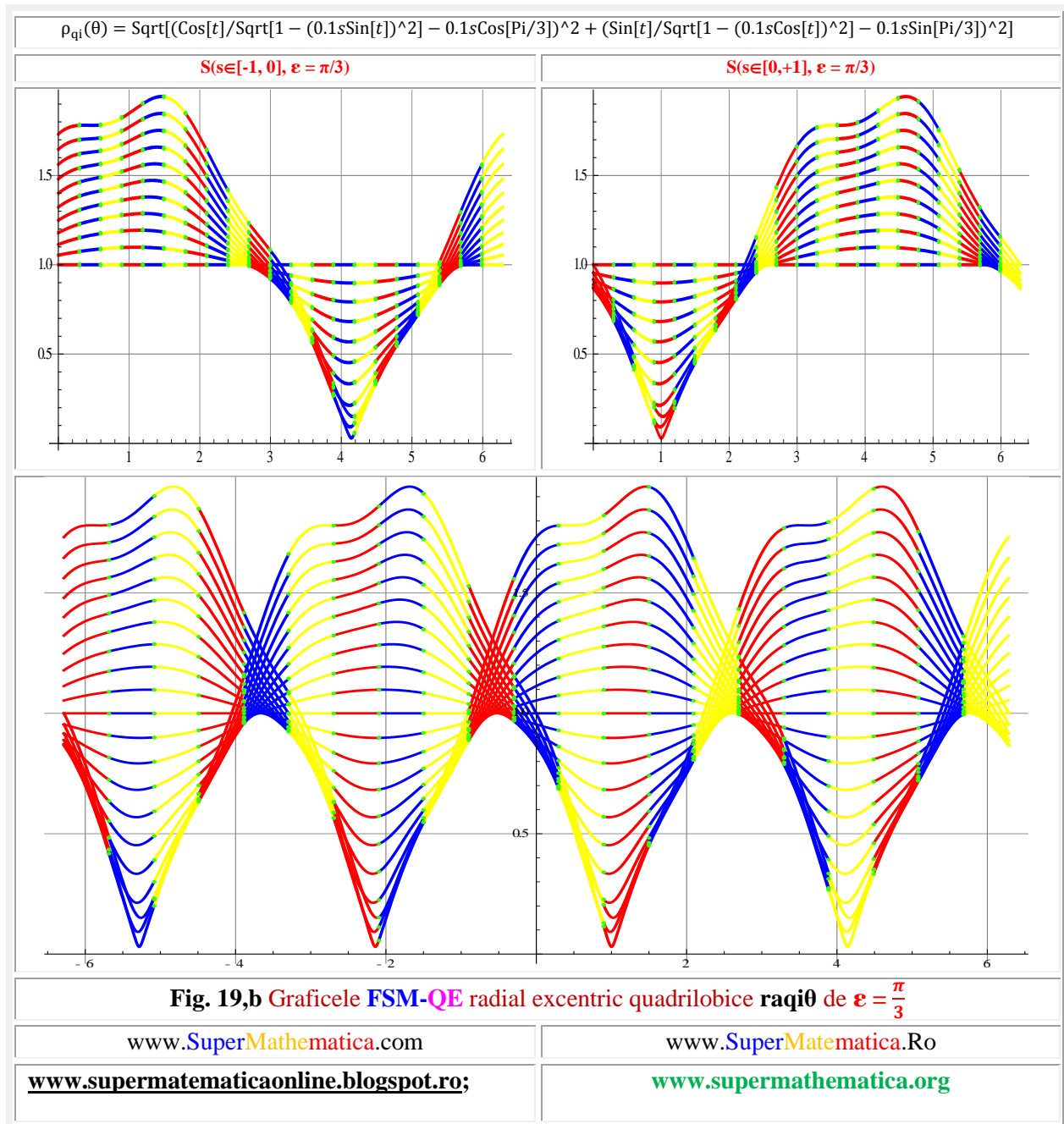
și reprezintă distanță de la excentrul $S(s, \varepsilon)$ la punctul Q_i de pe cvadriloba interioară cercului, adică

$$(16) \quad \rho_{qi} = \text{raqi}\theta = \sqrt{(\text{coqi}\theta - s \cdot \text{cos}\varepsilon)^2 + (\text{siqi}\theta - s \cdot \text{sin}\varepsilon)^2} =$$

$$= \sqrt{\left(\frac{\text{cos}\theta}{\sqrt{1+(s^2 \cdot \text{sin}(\theta-\varepsilon))^2}} - s \cdot \text{cos}\varepsilon\right)^2 + \left(\frac{\text{sin}\theta}{\sqrt{1+(s^2 \cdot \text{cos}(\theta-\varepsilon))^2}} - s \cdot \text{cos}\varepsilon\right)^2}$$

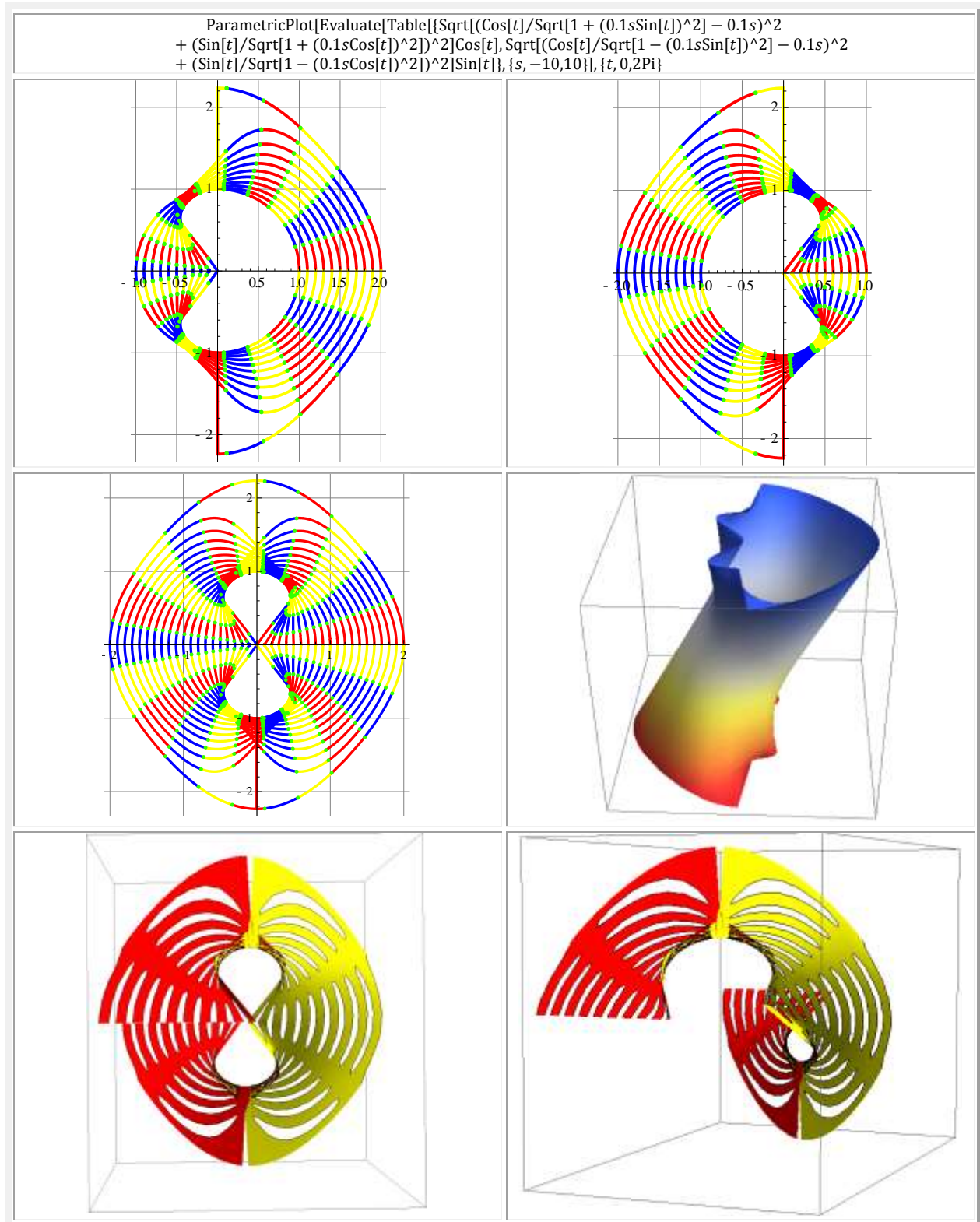
cu graficele funcţiilor din **figura 19,a** pentru un excentru $S(s \in [0,1]; \varepsilon = 0)$ şi din **figura 19,b** pentru $S(s \in [0,1]; \varepsilon = \frac{\pi}{3})$

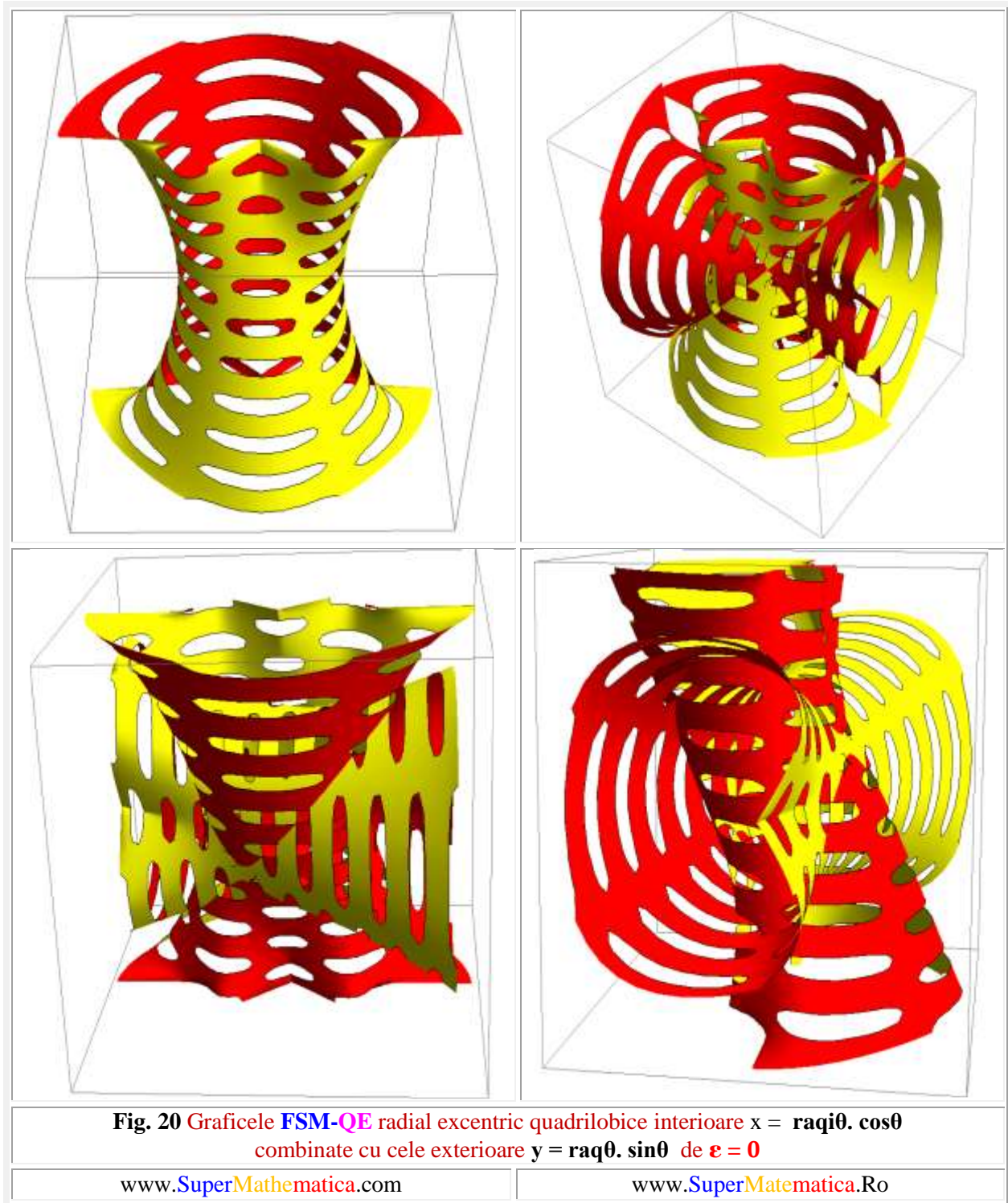


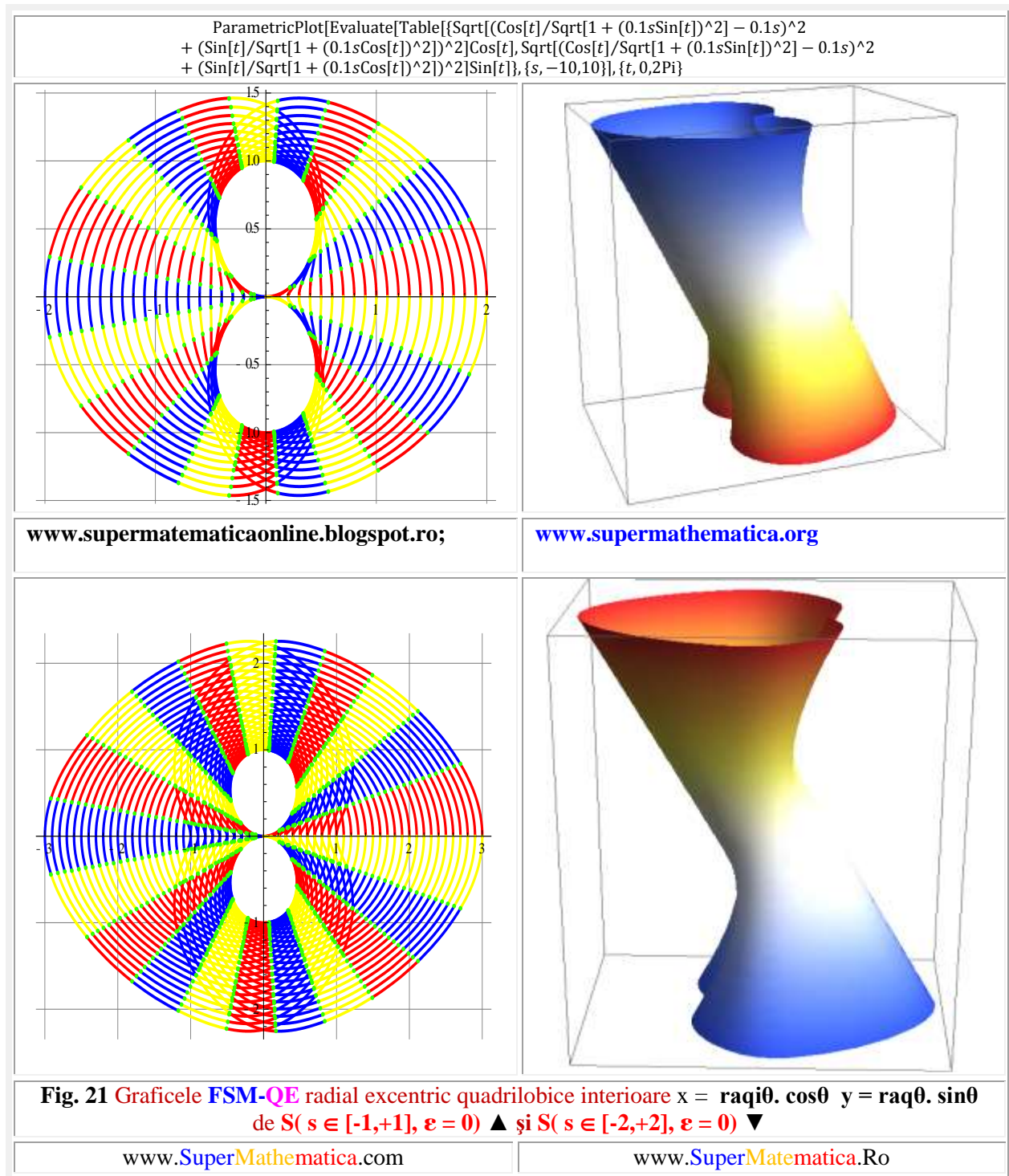


În figura 20 sunt prezentate graficele polare ale FSM-QE radial excentric quadrilobice combinate; interioare cu $x = \text{raqi}\theta \cos\theta$ și exterioare cercului unitate cu $y = \text{req}\theta \cdot \sin\theta$, de $S(s \in [-1, +1]; \epsilon = 0)$.

În figura 21 sunt prezentate aceleași curbe închise, dar numai pentru funcții cvadrilobe interioare. Deoarece imaginile curbelor în 2D pot să inducă în eroare, au fost prezentate și în 3D.







Motto:” *Matematica este fundația de nezdruncinat a științei și fântâna inepuizabilă a foloaselor pentru treburile omenesți.”*

Isaac Barrow

“**Supermatematica** este edificiul de nezdruncinat și aripile ce-i conferă nemărginire și măreție **Matematicii**”

Autorul SM

Cap XIII : FUNCȚII SUPERMATEMATICE (FSM) QUADRILOBICE / CVADRILOBICE ELIPTICE

1. INTRODUCERE. QUDRILOBE CIRCULARE

Toate funcțiile matematice ordinare, vechi, sunt denumite acum **centrice (FMC)**, deoarece se obțin din cele *supermatematice* pentru **excentricitate** efectivă **e** sau numerică **s nulă**, adică, $s = e / R = 0$.

Excentricitatea **numerică e** și **s** fiind distanța la care punctele, denumite **excentre E(e, ε)** și / sau **S(s, ε)**, au fost expulzate, pe direcția **excentricității unghiulare ε**, din îngrămădirea de **puncte confundate** plasate de marele **Euler** : centrul cercului **C(0,0)**, originea unui reper / sistem **O(0, 0)** și, totodată, polul **P(0, 0)** al unei semidrepte centrice **d⁺** și, din care cauză, matematica a rămas **peste 300 de ani** mult sărăcită, rămânând cu un singur rând de funcții, curbe 2D și de obiecte 3D.

Astfel, **MC** a rămas cu **un singur sinus, un singur cosinus, o singură tangentă, un singur sinus hiperbolic, un singur sinus eliptic, un singur cilindru, un singur cub, un singur con, o singură sferă, un singur tor ș.a.m.d.** Când, de fapt, există o infinitate din fiecare dintre aceste obiecte matematice, în domeniul **matematicii excentrice**, câte unul pentru fiecare punct din plan în care poate fi plasat excentrul **E** sau **S**, ca **pol al dreptei excentrice (d = d⁺ U d⁻)**, cu originea în **E**, pentru un cerc oarecare de raza R, sau în **S**, pentru cercul unitate / trigonometric, având forme din ce în ce mai diferite, de formele **obiectelor centrice**, cu cât **excentrul** este mai îndepărtat de centrul **C(0,0)** și de originea **O(0, 0)**.

Dacă se consideră originea reperului / axelor în $O(s, \epsilon) \equiv S(s, \epsilon)$ și numai $C(0, 0)$ rămâne la locul lui, unde l-a plasat **Euler**, atunci se obțin **FSM elevate**, deoarece, prin creșterea excentricității numerice **s**, graficele acestor funcții se elevează (se ridică și coboară pe verticală / pe direcția y).

În fine, dacă toate cele 3 puncte sunt distincte atunci se obțin funcții **SM** denumite **exotice**.

Toate aceste funcțiile matematice noi își datorează existența apariției noii dimensiuni a spațiului, **excentricitatea**, motiv pentru care au fost denumite **excentrice**. Fiind, deci, rezultatul utilizării **celei de a 3-a dimensiuni din plan, excentricitatea** $s \in [-\infty, +\infty] \setminus 0$, considerată **dimensiunea de formare și de deformare a spațiului. Ea a deschis cutia Pandorei matematicii !**

Prin utilizarea excentricității în spațiul **2D**, acesta devine **spațiul SM 2D⁺**, dacă **s** și **e** precum și **ε** sunt constante și se transformă în spațiul **3D⁺ SM**, notat și **3DSM**, în care, obiectele plane devin dinamice, adică “prind viață”, se deplasează în plan, odată cu modificarea valorii excentricităților.

În spațiul **3D**, în aceleași condiții, se obține spațiul **SM 3D⁺** și, respectiv **4DSM** dacă numai **e** sau **s** sunt variabile, Dacă **e** și **ε** sunt variabile, atunci spațiul **3D** centric devine un spațiu **5DS** și spațiul **5DS** la rândul lui poate fi multiplicat folosind excentre multiple. Adică, **FSM** pot fi de excentru **S₁** variabil, care la rândul lui este o funcție **SM** de excentru **S₂**, care este un excentru variabil de **s₃** și / sau **ε₃** variabile ș.a.m.d.

Matematica centrică (MC), împreună cu **matematica excentrică (ME)**, formează, ceea ce s-a denumit, **supermatematică (SM)**, adică **SM = MC U ME**. Repetăm să se înțeleagă !

SM a multiplicat la infinit nu numai funcțiile matematice, ci și toate obiectele matematicii centrice, introducând o pleiadă de funcții matematice și de obiecte matematice **2D⁺** și **3D⁺** noi.

Așa au apărut **lobele** (monolobe, bilobe, trilobe, **quadrilobe / cvadrilobe**, pentalobele ș.a.m.d. ... multilobele sau n-lobele), pe oricare dintre ele putându-se defini **FSM**, așa cum sunt **FSM quadrilobice**

Deoarece, o organizație mi-a comunicat că aceste noi funcții au fost introduse în dicționarele lor cu scrierea normală, cândva normală și în România, de **quadrilobe** și nu de **cvadrilobe**.

Numai că Academia României întârzie să restabilească normalitatea în domeniul alfabetului și al dicționarului limbii române, rămânând la vechea limbă româno-sovietică !

Și, ca să împac și capra și varza, ... Asta e !

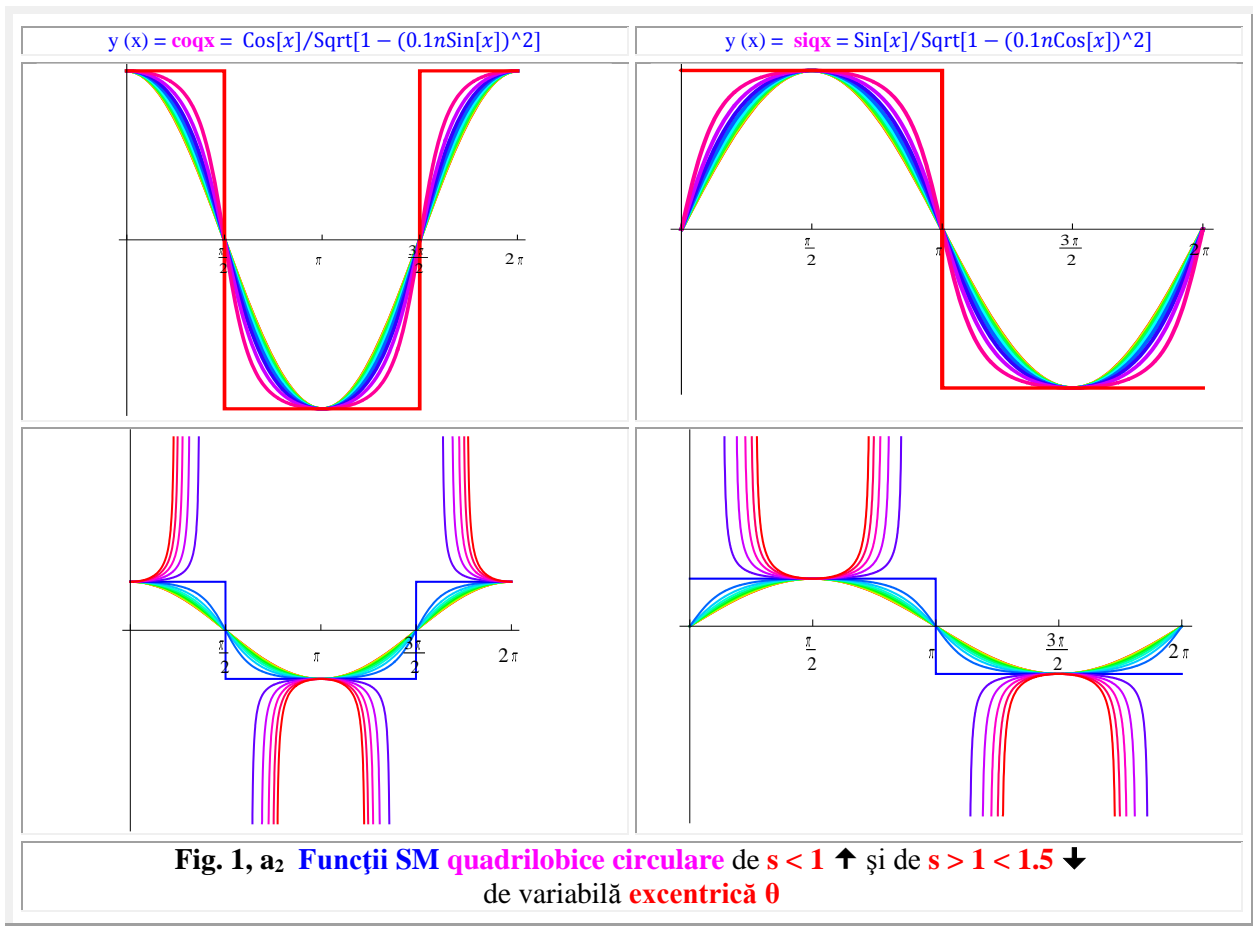
Ecuțiile funcțiilor cosinus (**coqθ**) și sinus (**siqθ**) **quadrilobice circulare și eliptice** de **variabilă excentrică θ** sunt:

$$(1) \quad \begin{cases} x(\theta) = coq\theta = R_C \cdot \frac{\cos\theta}{\sqrt{1-s^2\sin^2\theta}} \\ y(\theta) = siq\theta = R_S \cdot \frac{\sin\theta}{\sqrt{1-s^2\cos^2\theta}} \end{cases}, \quad (\text{Fig. 1 în } 2D^+ \text{ și Fig. 2 în } 3D^+)$$

În MC, funcțiile mai cunoscute au fost definite pe **cerc** ca **FMC Circulare**, pe **hiperbolă** (nu iperbolă !) ca **FMC hiperbolice** și pe **elipsă** ca **FMC eliptice**. Și cam atât ! În timp ce, în **ME** numărul lor este nelimitat ! Ceea ce conferă **nemarginire supermatematicii**.

Deși sunt definite pe **quadrilobe**, au fost denumite și **circulare** pentru $R_C = R_S$, deoarece, pentru aceeași rază R și pentru $s = e = 0$, degenerază într-un cerc (**Fig. 2 ↑**).

Dacă razele **R** din relația (10) au valori diferite ($R_C \neq R_S$), atunci, pentru $s = e = 0$, quadrilobele degenerază într-o **elipsă**, motiv pentru care funcțiile au fost denumite **funcții quadrilobice eliptice (FQE)**, iar entitățile **2D⁺** au fost denumite **quadrilobe / cvadrilobe eliptice**, acestea fiind funcțiile care fac obiectul lucrării de față.



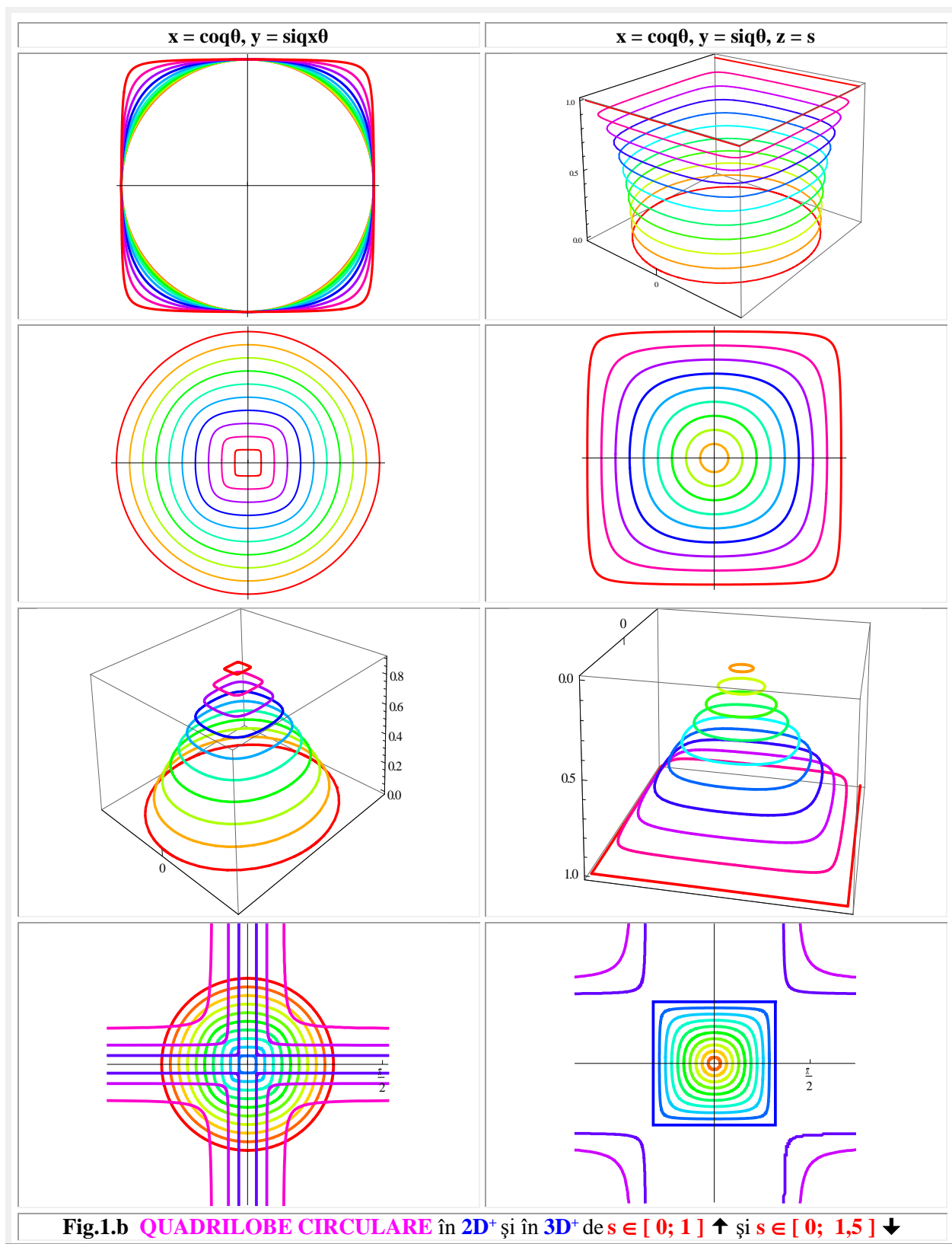
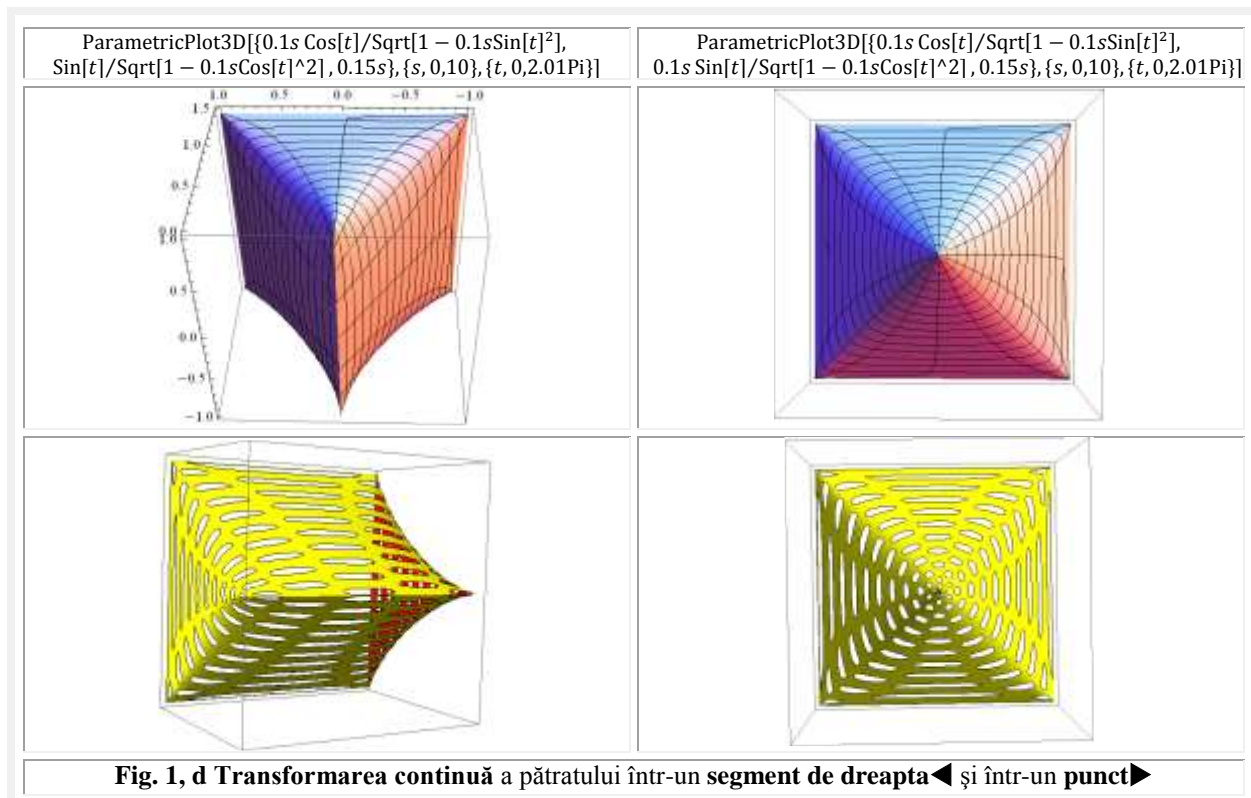
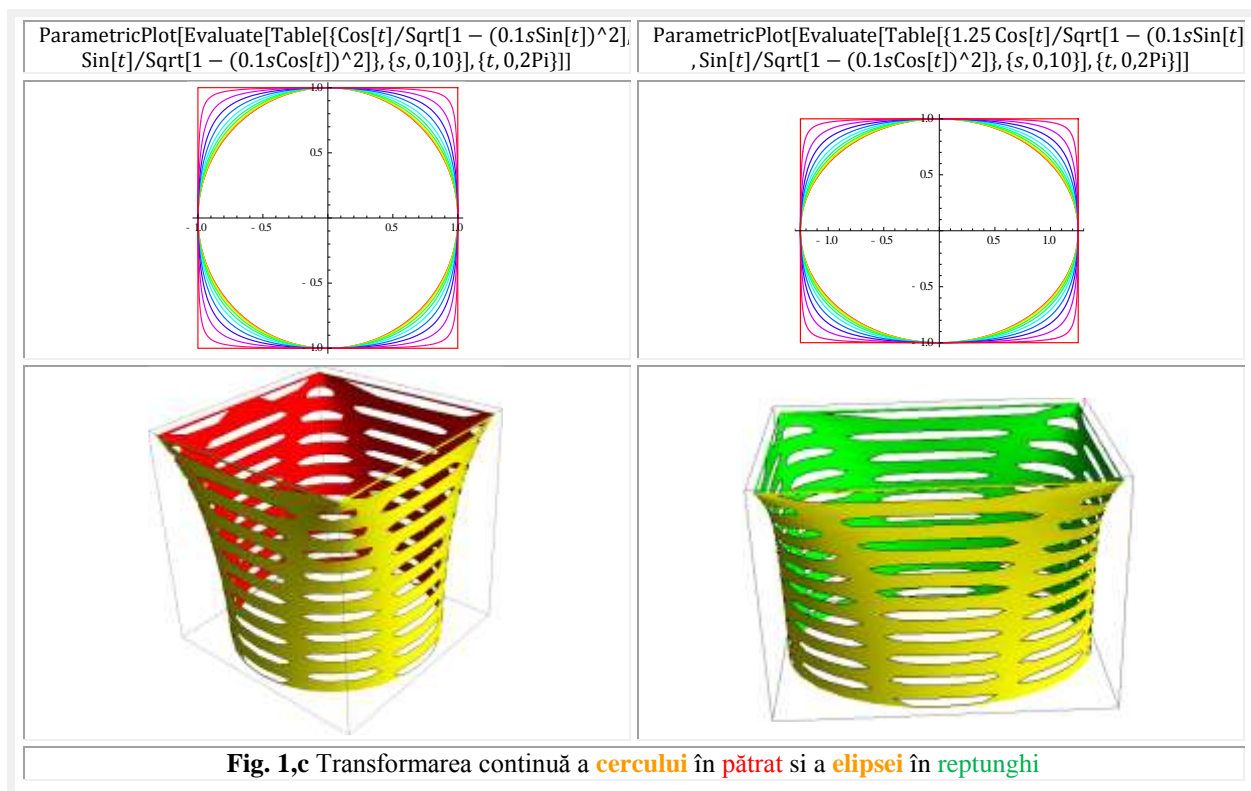
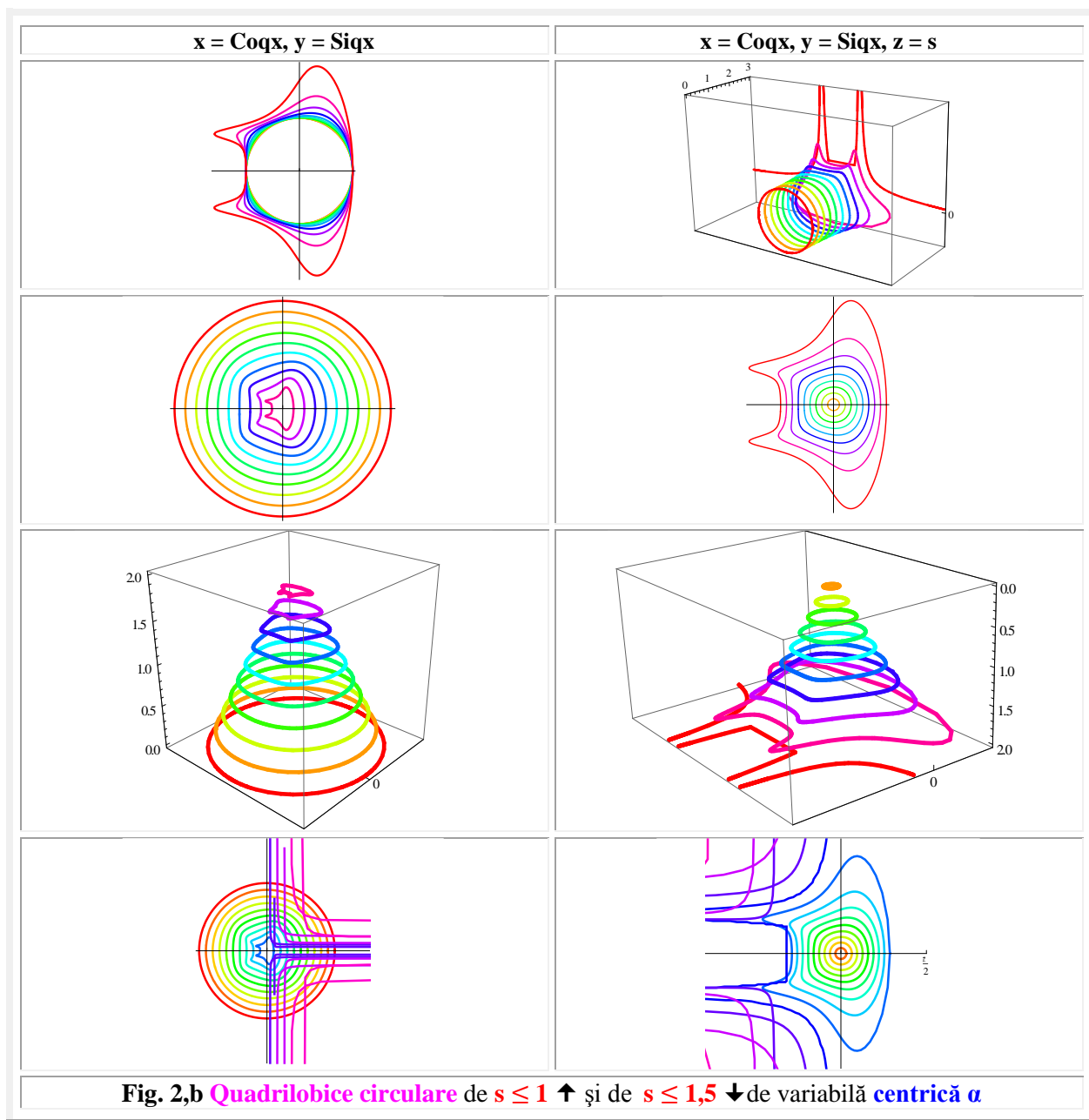
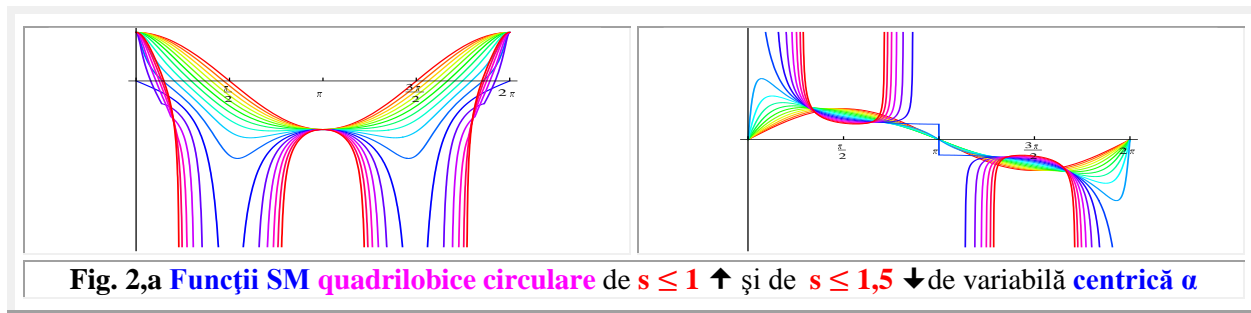


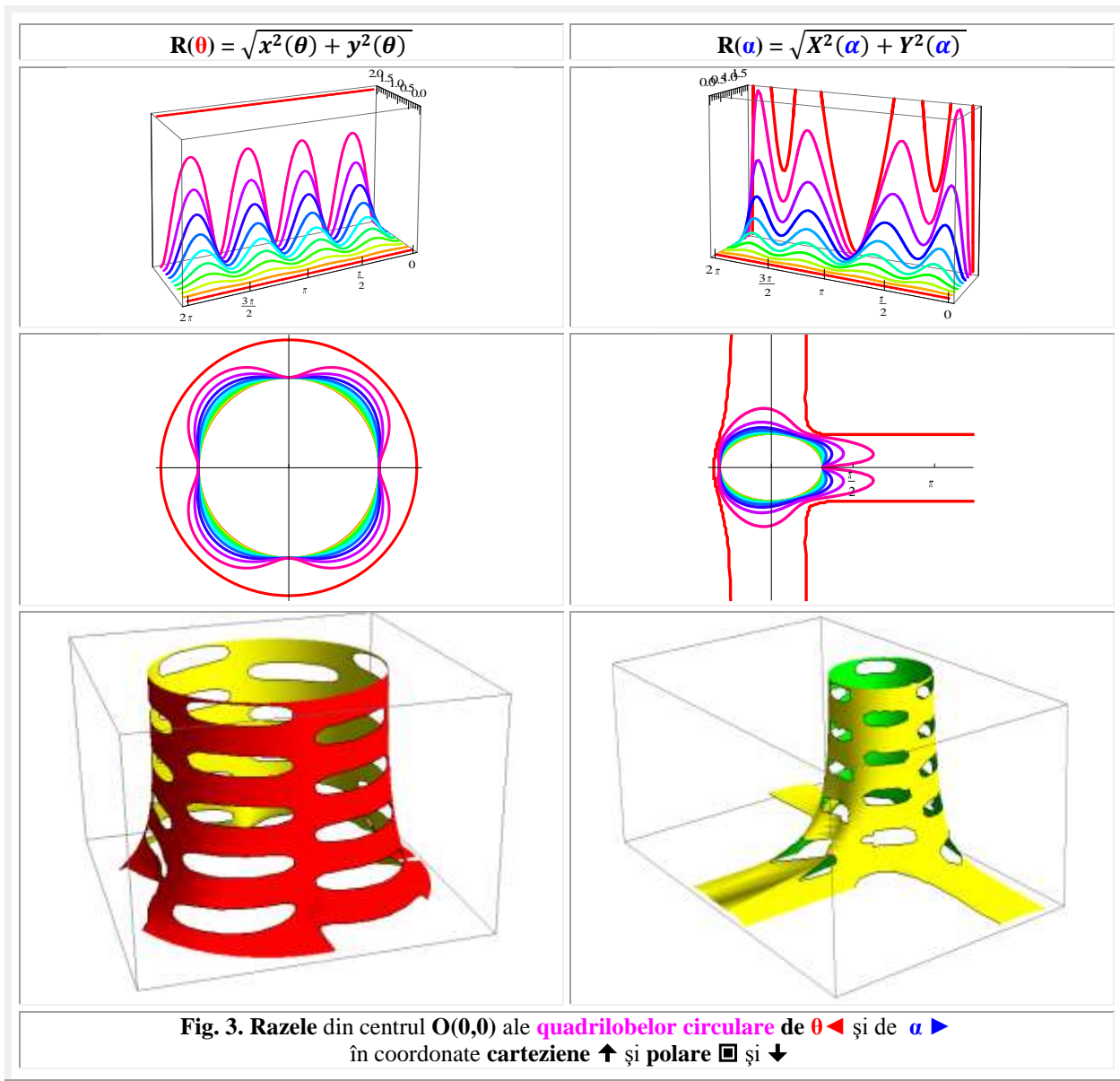
Fig.1.b QUADRILOBE CIRCULARE în $2D^+$ și în $3D^+$ de $s \in [0; 1]$ ↑ și $s \in [0; 1,5]$ ↓





şi graficele din **figura 2,a**. În **figura 2,b** sunt prezentate **quadrilobele circulare** de variabilă **centrică α** .

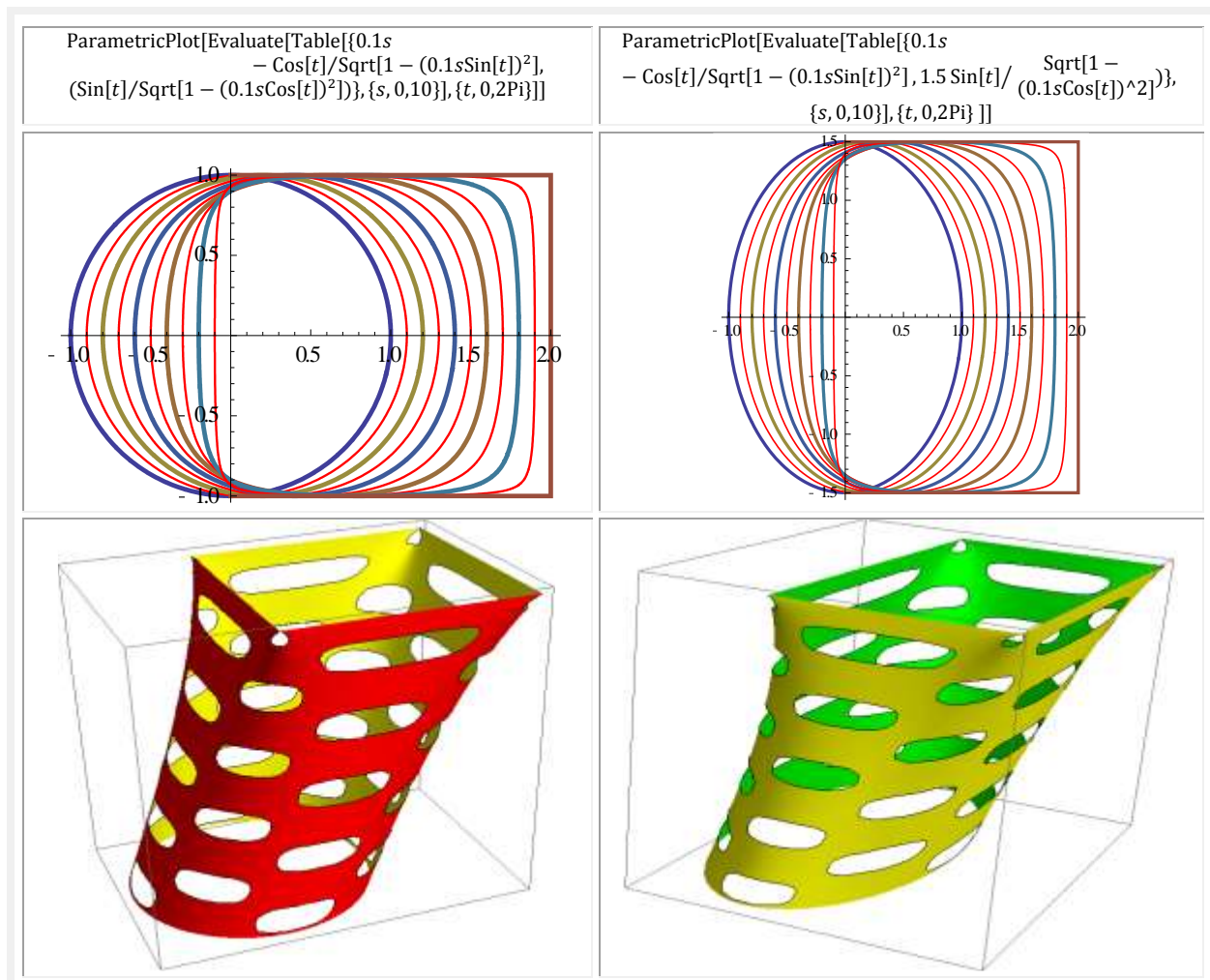
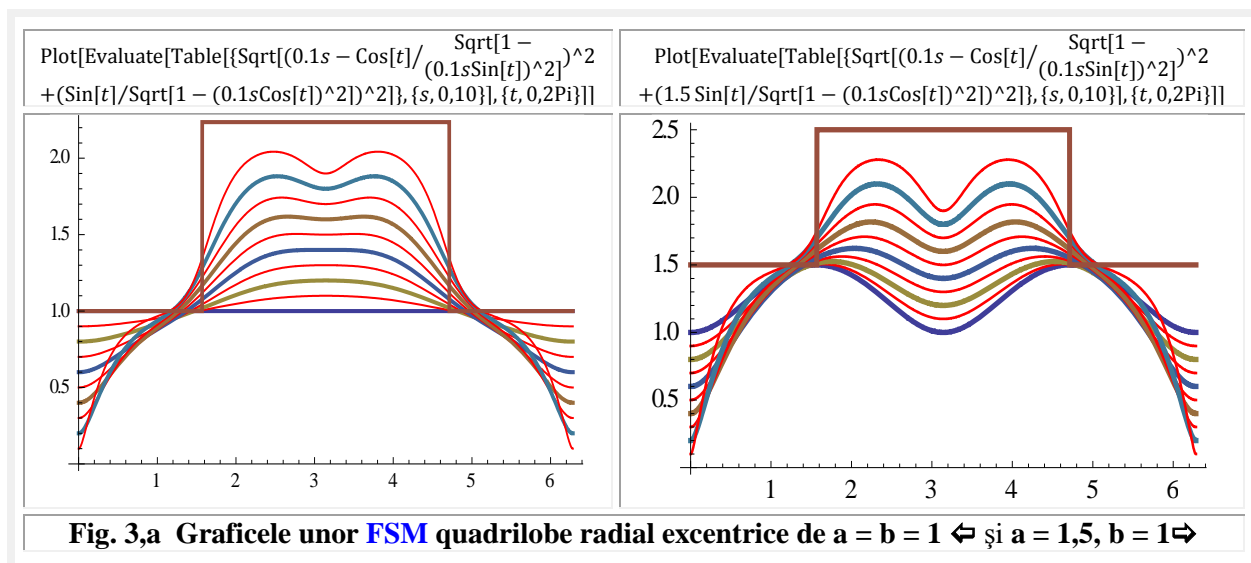
Razele din originea $O(0, 0)$ şi centrul $C(0, 0)$ al cercului unitate sunt variabile şi au **4 maxime** (**Fig. 3**), corspunzătoare celor 4 lobi, atât a celor de **variabilă excentrică θ** ◀ cât şi a celor de **variabilă centrică α** ▶, ceea ce atestă că într-adevăr curbele plane închise sunt sau pot fi considerate **quadrilobe**.

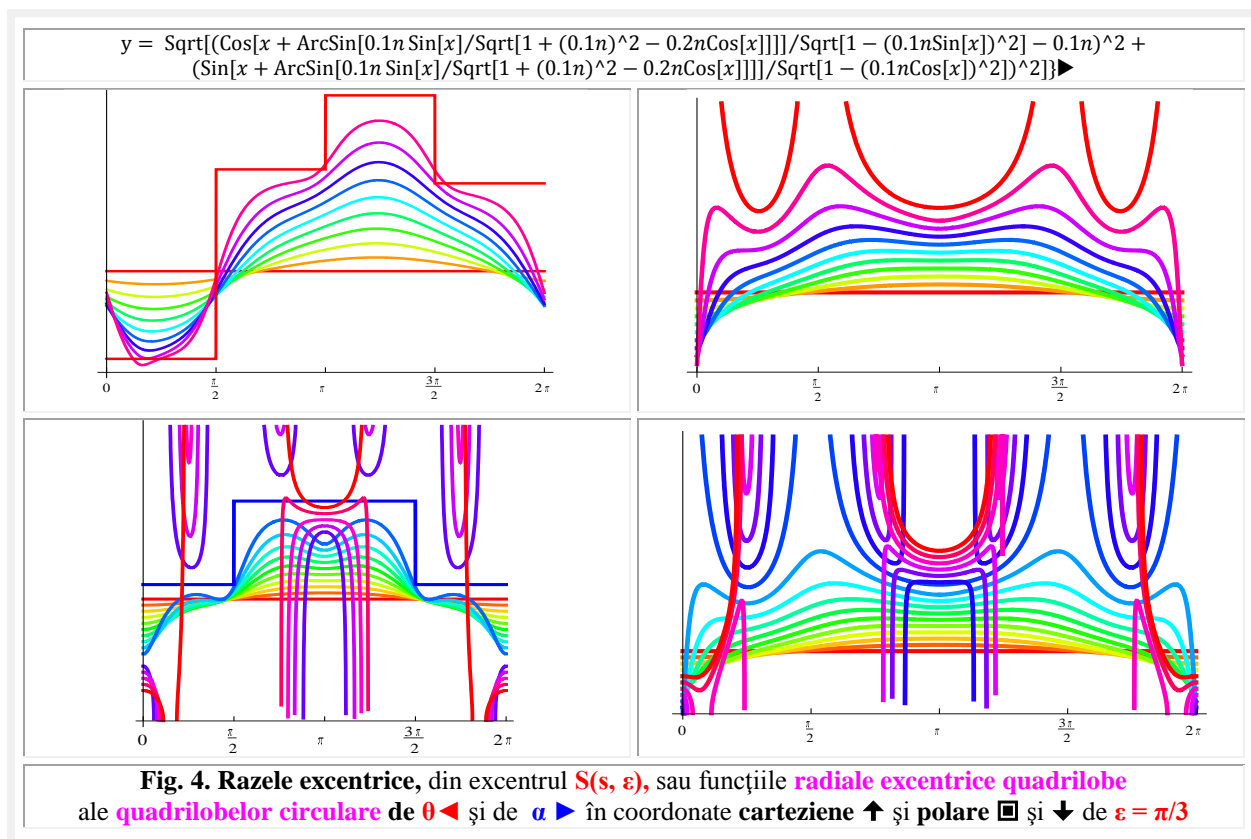
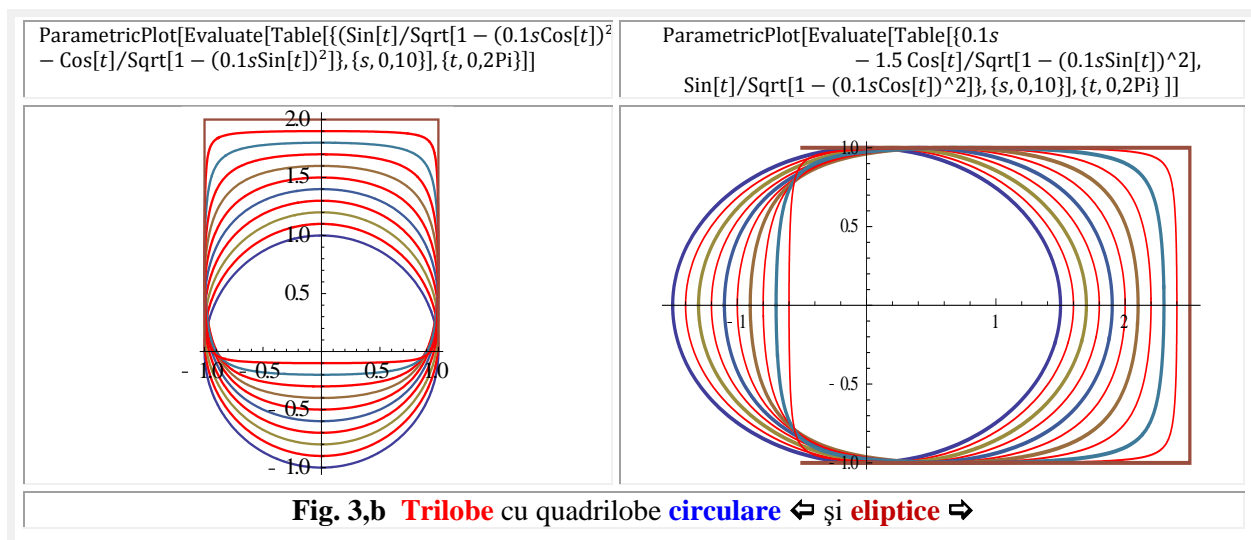


Distanţele de la excentrul $S(s, \varepsilon)$ la punctele $M(x = coq\theta, y = siq\theta)$ de pe quadrilobele circulare de variabilă excentrică θ , precum şi la punctele $M(x = Coq\alpha, y = Siq\alpha)$ ale quadrilobelor circulare de variabilă centrică sunt denumite funcţii **radiale excentrice quadrilobe** şi sunt notate cu **req θ** şi, respectiv, cu **Req α** .

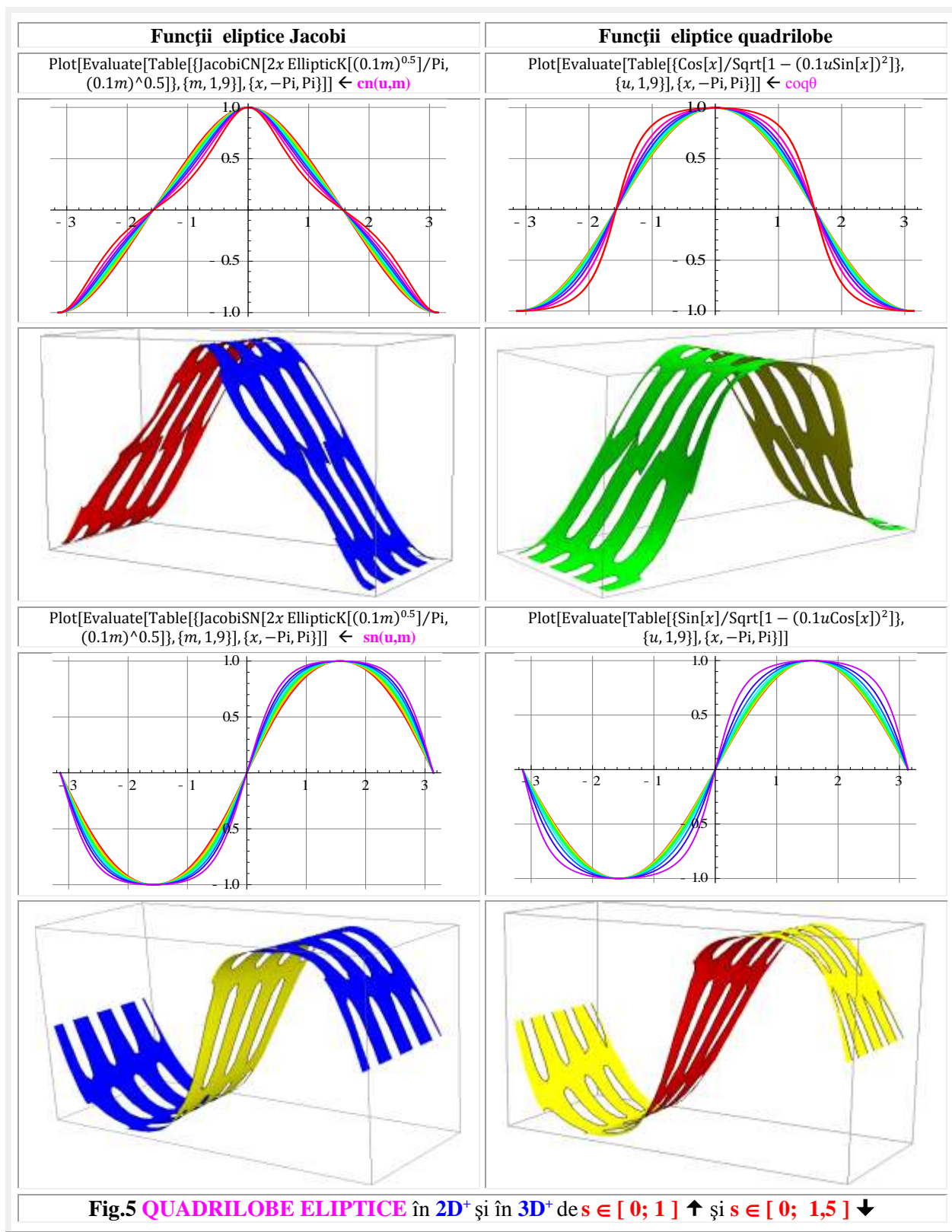
Ecuatiile acestora sunt:

$$(3) \quad \begin{cases} req\theta = \sqrt{(coq\theta - s \cdot \cos\varepsilon)^2 + (siq\theta - s \cdot \sin\varepsilon)^2} \\ Req\alpha = \sqrt{(Coq\alpha - s \cdot \cos\varepsilon)^2 + (Siq\alpha - s \cdot \sin\varepsilon)^2} \end{cases}$$





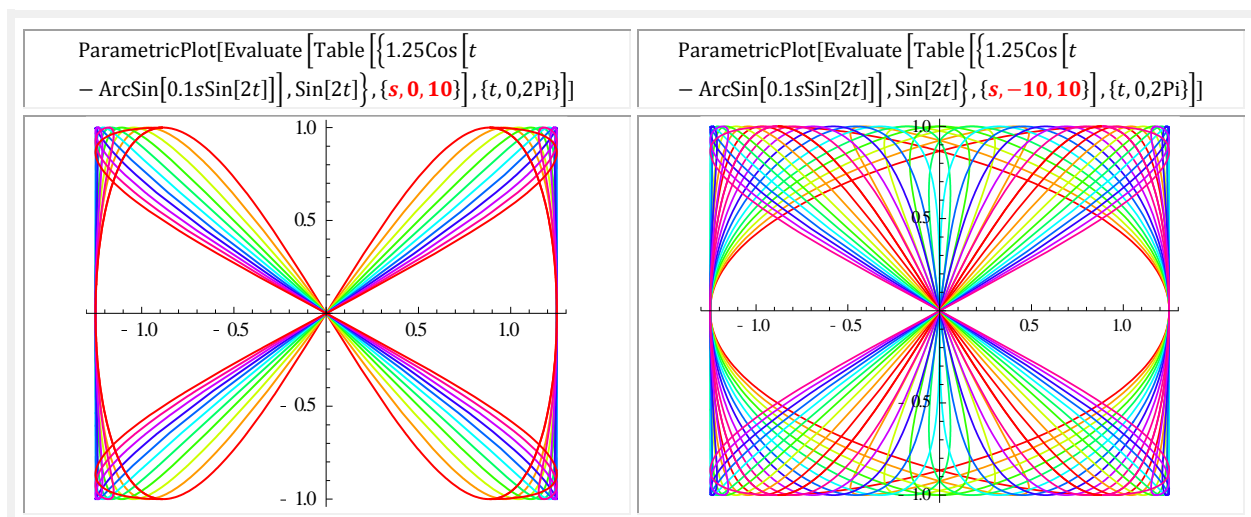
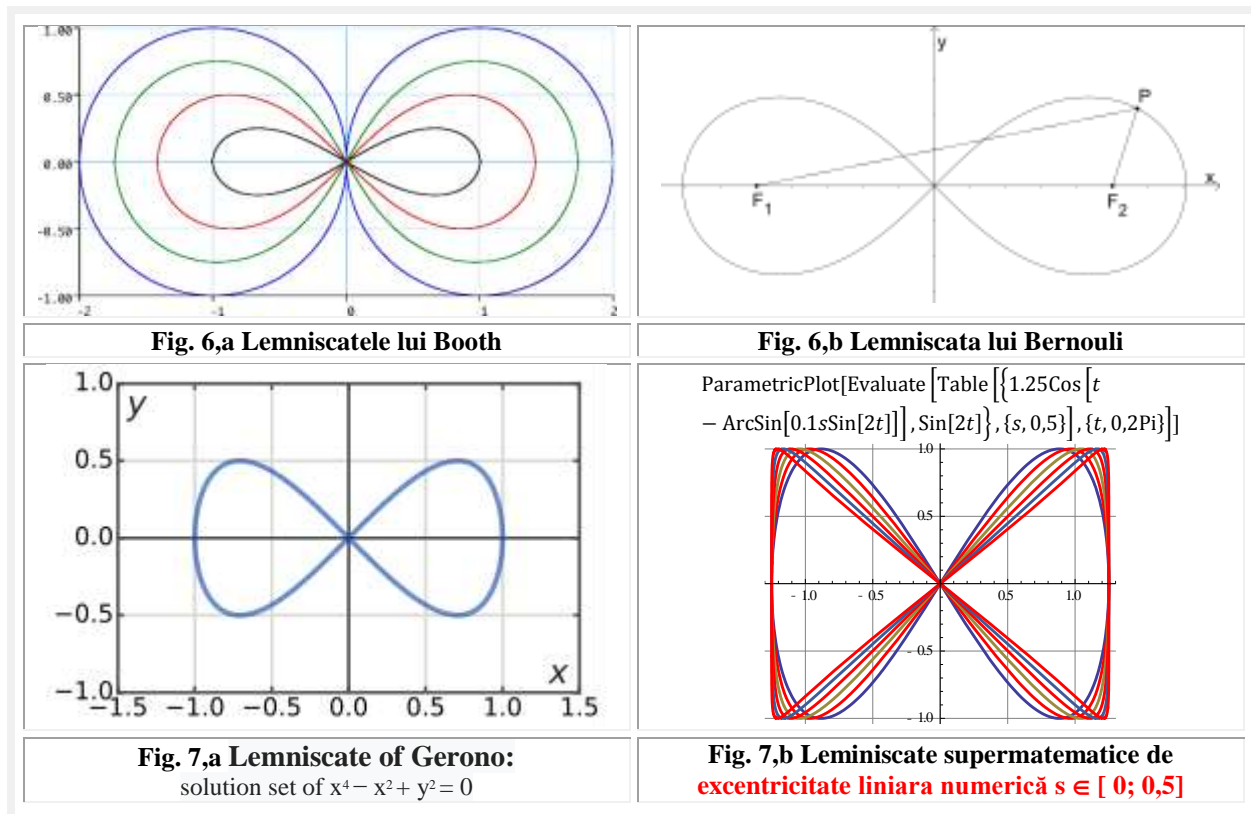
Quadrilobele şi **funcţiile quadrilobice circulare** au fost utilizate la descrierea unor vibraţii mecanice quadrilobe neliniare în lucrarea **Mircea Şelariu** “**VIBRATIONS OF QUADRILOB SYSTEMS**” prezentată la The 11th International Conference on Vibration Engineering Timişoara, România, September 27 - 30, 2005.

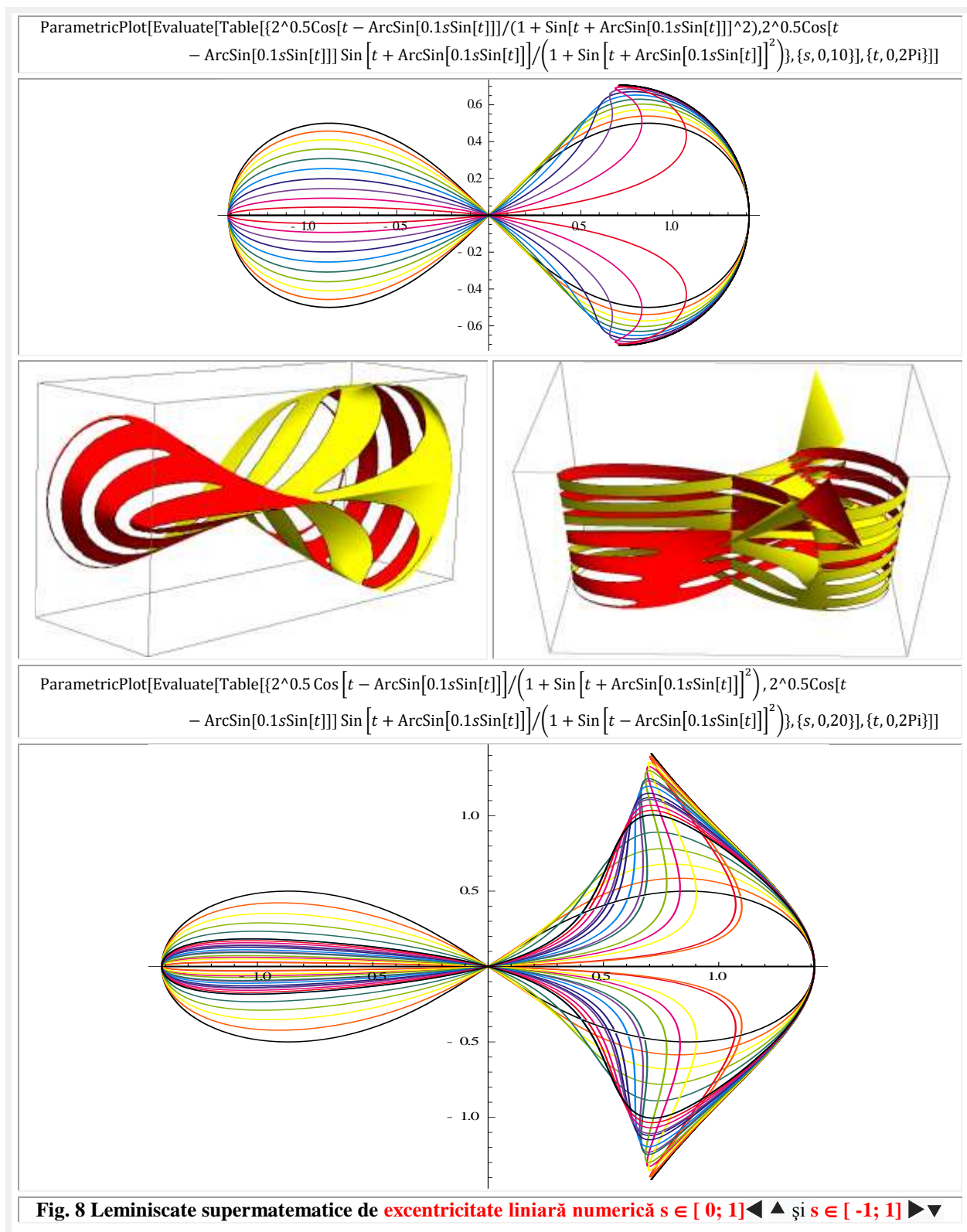


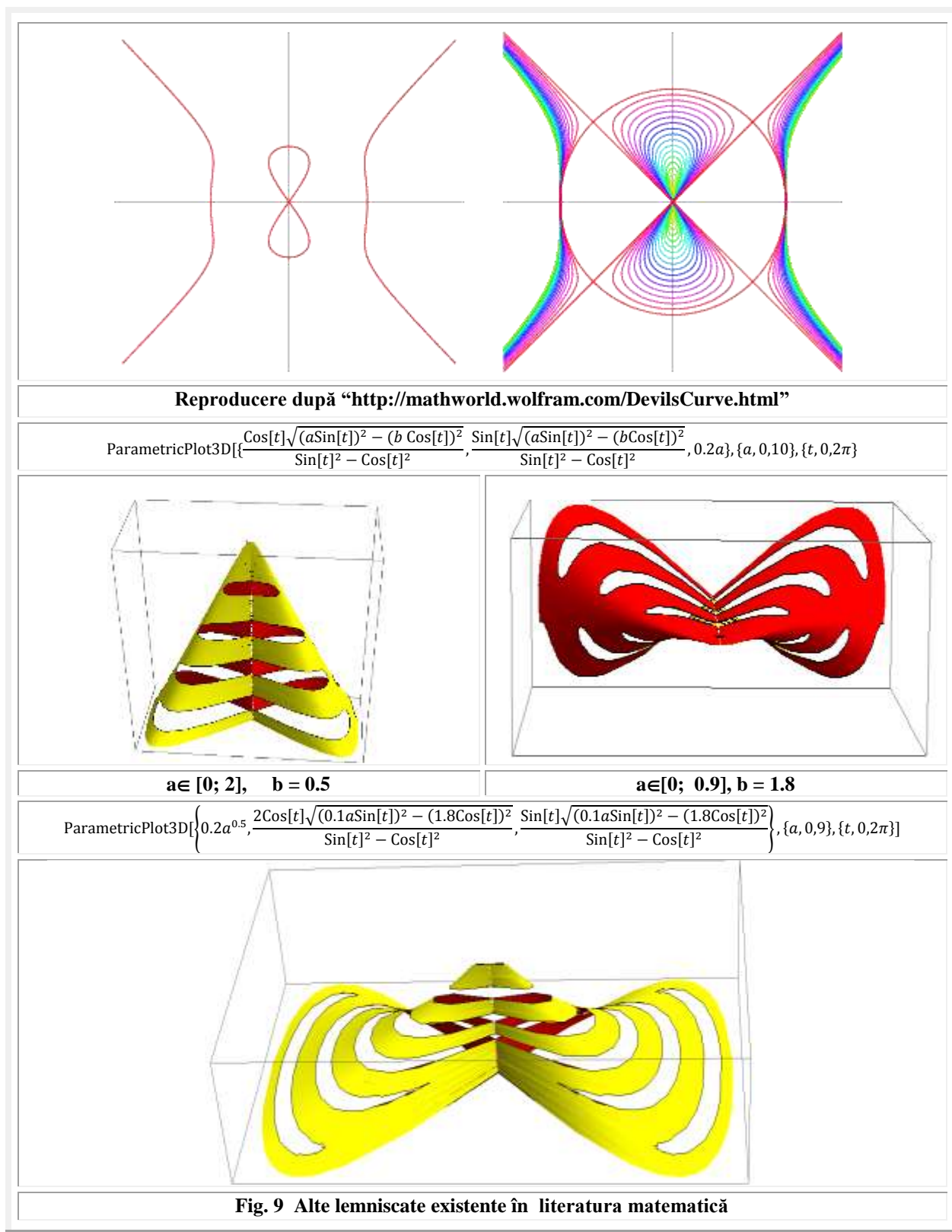
2. LEMNISCATE SUPERMATEMATICE QUADRILOBE

În geometria algebrică, noţiunea de **lemniscată** se poate referi la oricare dintre curbele în formă de 8 sau ∞ , dintre care cea mai cunoscută este lemniscata lui Bernoulli denumită astfel de acesta în 1694.

Se mai cunosc lemniscatele lui **Booth**, lemniscatele lui **Gerono**, lemniscatele polinomiale şi acum şi lemniscata **supermatematică**.







Motto:” În **supermatematică** se numeşte **lobă**,
 în **vest**, se numeşte **lobby**, în **est**, **corupţie**”
 Modificare după **Alex Dospian**

CAPITOLUL XIV

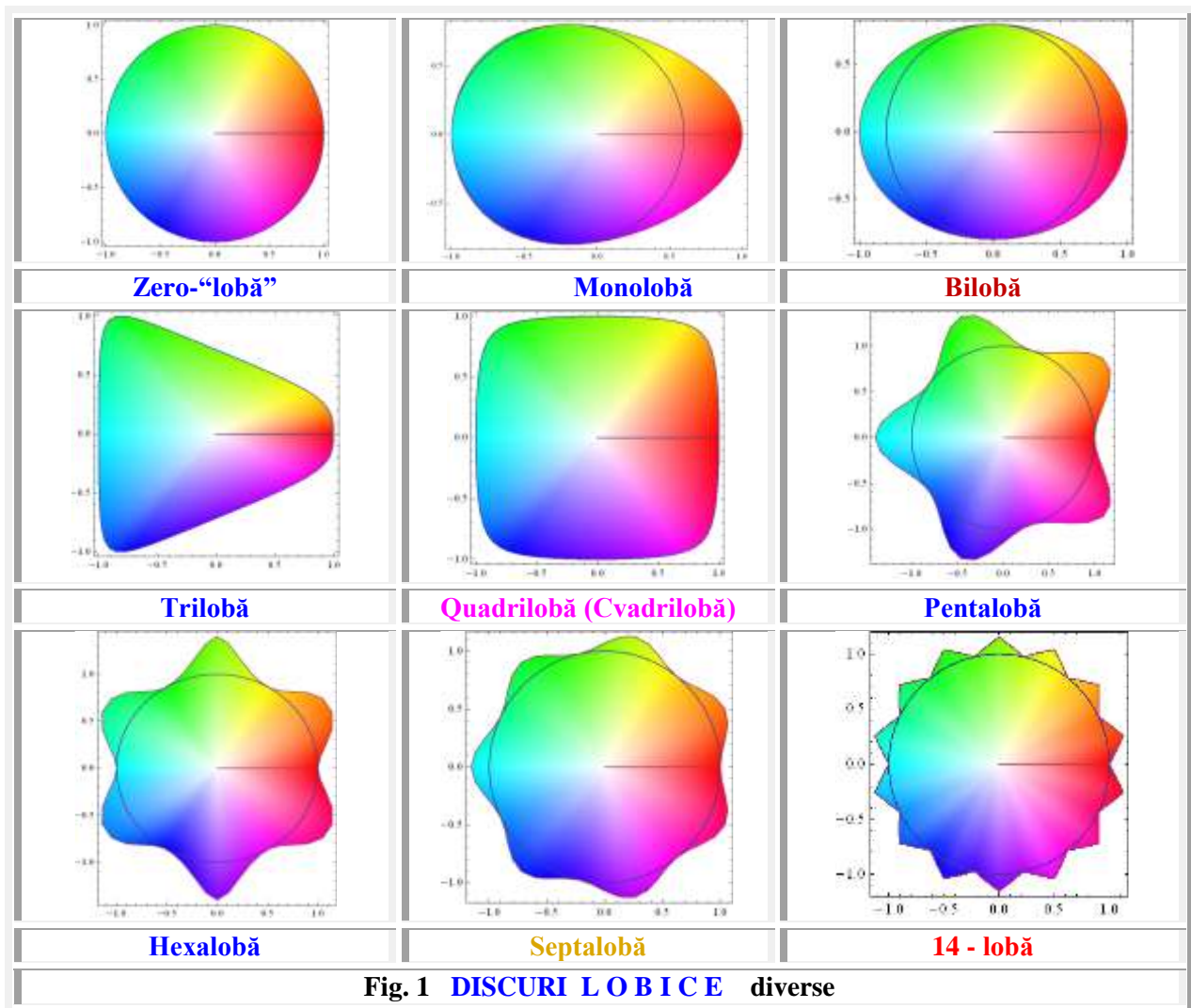
OVALE ŞI LEMNISCATE SUPERMATEMATICE

1. INTRODUCERE

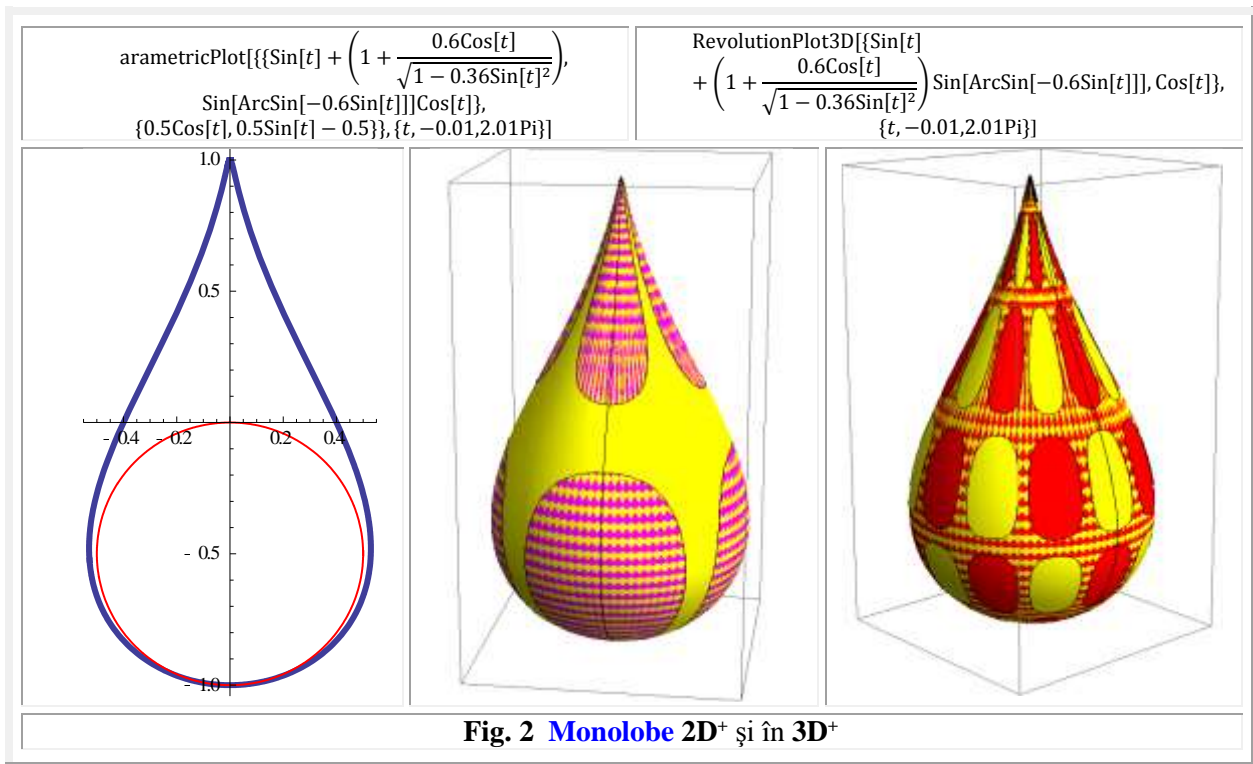
“În matematică, un oval este o curbă plană închisă a cărei formă seamănă cu cea a unui ou desenat pe o foaie de hârtie. Nu există nici o definiție clară a acestui concept: în general, oval este o curbă care delimitează o regiune convexă având cel puțin o axă de simetrie (și adesea două).

Elipsa este un exemplu de un oval. Forma unui stadion sau o minge de rugby sunt alte exemple. Toate acestea au două axe de simetrie.” (<https://it.wikipedia.org/wiki/Ovale>)

Deoarece prezintă doi lobi, în **supermatematică** au fost denumite **bilobe**. Ele putând fi **mono -**, **bi -**, **tri -**, ... **multi-lob** sau **n-lob** (Fig.1) și, astfel, **biloba** sau **ovalul**, precum și celelalte **lobe**, au o definiție clară și simplă . În **matematica excentrică** a **supermatematicii** !



Monolobe, reprezentate în $2D^+$ ◀şi în $3D^+*$ ▶, sunt redatăe în **figura 2**.



În geometria algebrică, noţiunea de **lemniscată** se poate referi la oricare dintre curbele în formă de **8** sau de infinit (∞), dintre care cea mai cunoscută este lemniscata lui **Bernoulli** denumită astfel, de acesta în 1694, ca soluţie a unei probleme de mecanică.

Se mai cunosc lemniscatele lui **Booth**, lemniscatele lui **Gerono**, lemniscatele **polinomiale** şi acum şi lemniscatele **supermatematice**, prezentate în **figura 4,b**.

Se poate afirma că o **lemniscată** este formată din **2 monolobe** cu vârful comun.

Lemniscata lui **Bernoulli** [gr. *Lemniscos*-“panglică”] este o curbă plană, loc geometric al punctelor **P**, de pe lemniscată, pentru care produsul distanţelor la doua puncte fixe $F_{1,2} = (F_1(-a,0), F_2(a,0))$ — este egal cu pătratul jumătăţii distanţei $F_1F_2 = 2a$ dintre punctele fixe, adică $PF_1 * PF_2 = a^2$

Lemniscata lui **Cassini** este un caz particular al ovalelor lui **Cassini** şi are ecuaţia carteziană (**1** ↑), ecuaţia polară (**1***) şi ecuaţiile parametrice (**1** ↓) prezentate prin relaţiile (1).

Aria unei bucle a lemniscatei este $A = 2a^2$

Ecuaţiile lemniscatelor lui **Bernoulli** sunt:

$$(1) \quad \left\{ \begin{array}{l} \text{Ecuaţiile carteziene: } (x^2 + y^2)^2 = 2a^2(x^2 - y^2) \\ \text{Ecuaţiile în polar: } r^2 = 2a^2 \cos 2\theta \\ \text{Ecuaţii parametrice: } \begin{cases} x = \frac{a\sqrt{2} \cos t}{1 + \sin^2 t} \\ y = \frac{a\sqrt{2} \cos t}{1 + \sin^2 t} \sin t \end{cases} \quad \text{sau fără } 2 \text{ şi } \sqrt{2} \end{array} \right.$$

$$(2) \quad \text{Ecuaţia bipolară : } r \cdot r' = \frac{a^2}{2}$$

Ovalele lui Cassini sunt o familie de curbe cuartice, numite şi **elipsele lui Cassini**, descrise printr-un punct astfel încât produsul distanţelor sale de la două puncte fixe la distanţa **2a** între ele este o constantă **b²**. Forma curbei depinde de **b / a**. Dacă **a < b**, curba este o singură buclă cu o formă ovală (figura din stânga de mai jos) sau cu “osul câinelui” (a doua cifră). Cazul **a = b** produce o lemniscată (a treia cifră). Dacă **a > b**, curba constă din două bucle. **Ovalele Cassini** sunt curbele analgetice.

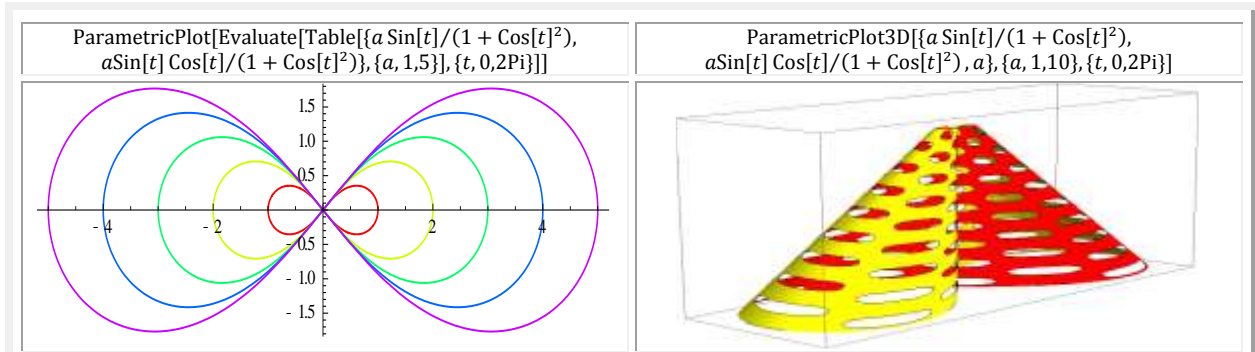
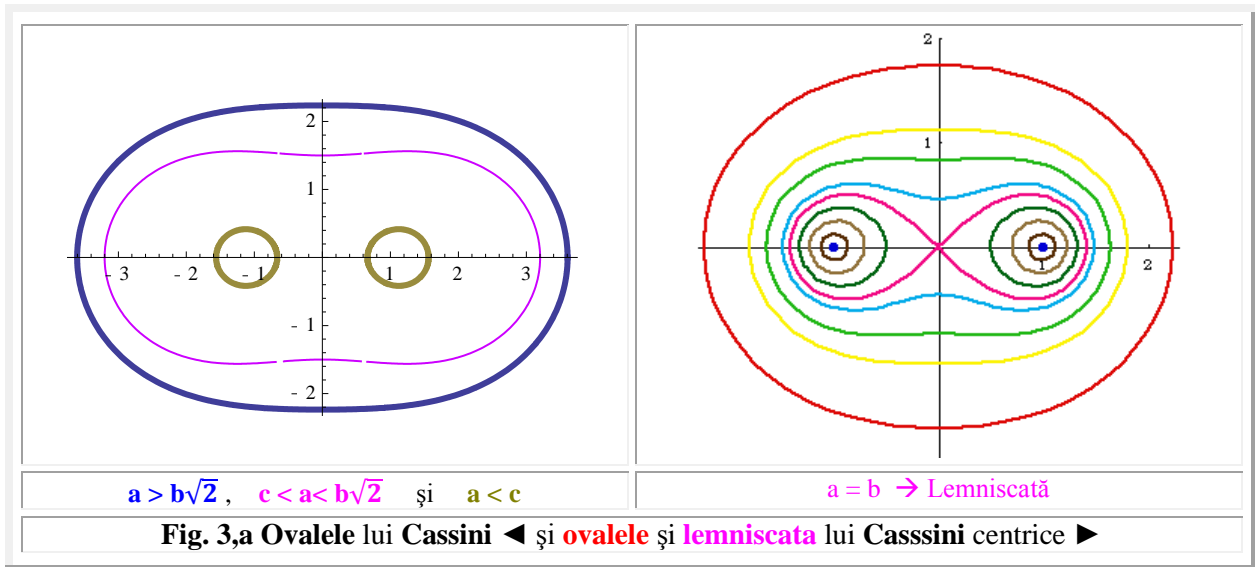


Fig. 3,b Lemniscatele lui Cassini centrice în 2D și în 3D▶

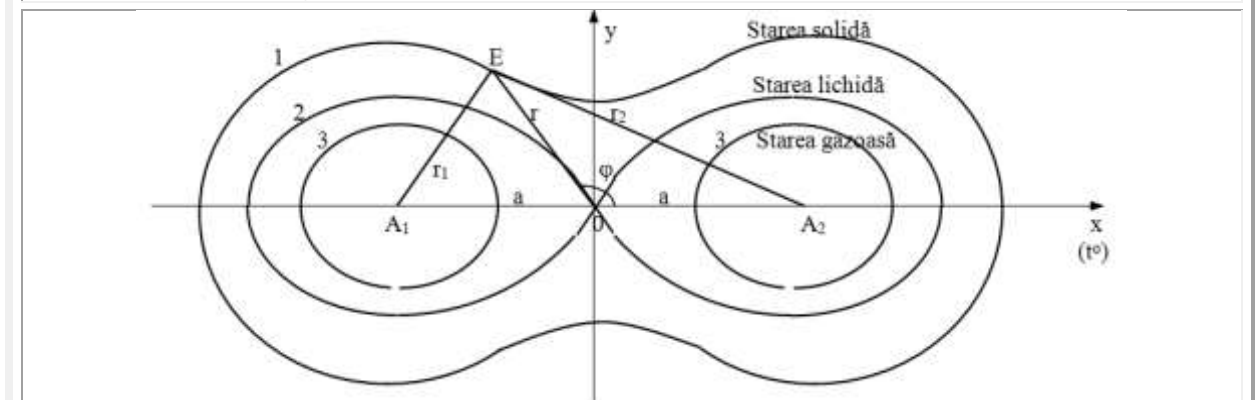


Fig. 3,c Ovalele și lemniscata lui Cassini în cazul moleculei de hidrogen

Aplicații surprinzătoare și extrem de interesante ale ovelor lui Cassini, în special pentru moleculele de hidrogen în diverse stări se pot vedea pe:

<https://constantinteoiorescu.blogspot.ro/2015/06/molecula-de-apa-si-apa-vie-autor-ing.html>

Astfel, cele două ovale independente ($a < b$) reprezintă cei doi atomi de hidrogen în stare gazoasă. Ovalul exterior ($a > b$) este pentru moleculele în stare solidă iar, în cazul lemniscatei lui Cassini ($a = b$), moleculele sunt în stare lichidă (Fig. 3c).

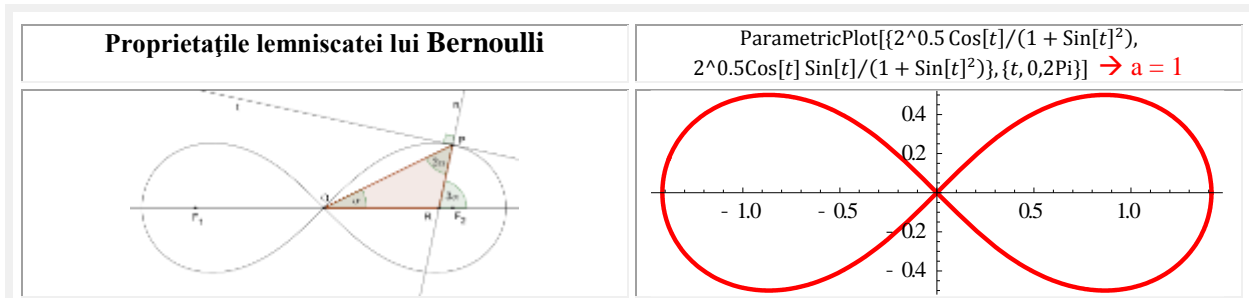


Fig. 4,a Lemniscatele lui Bernouli centrice

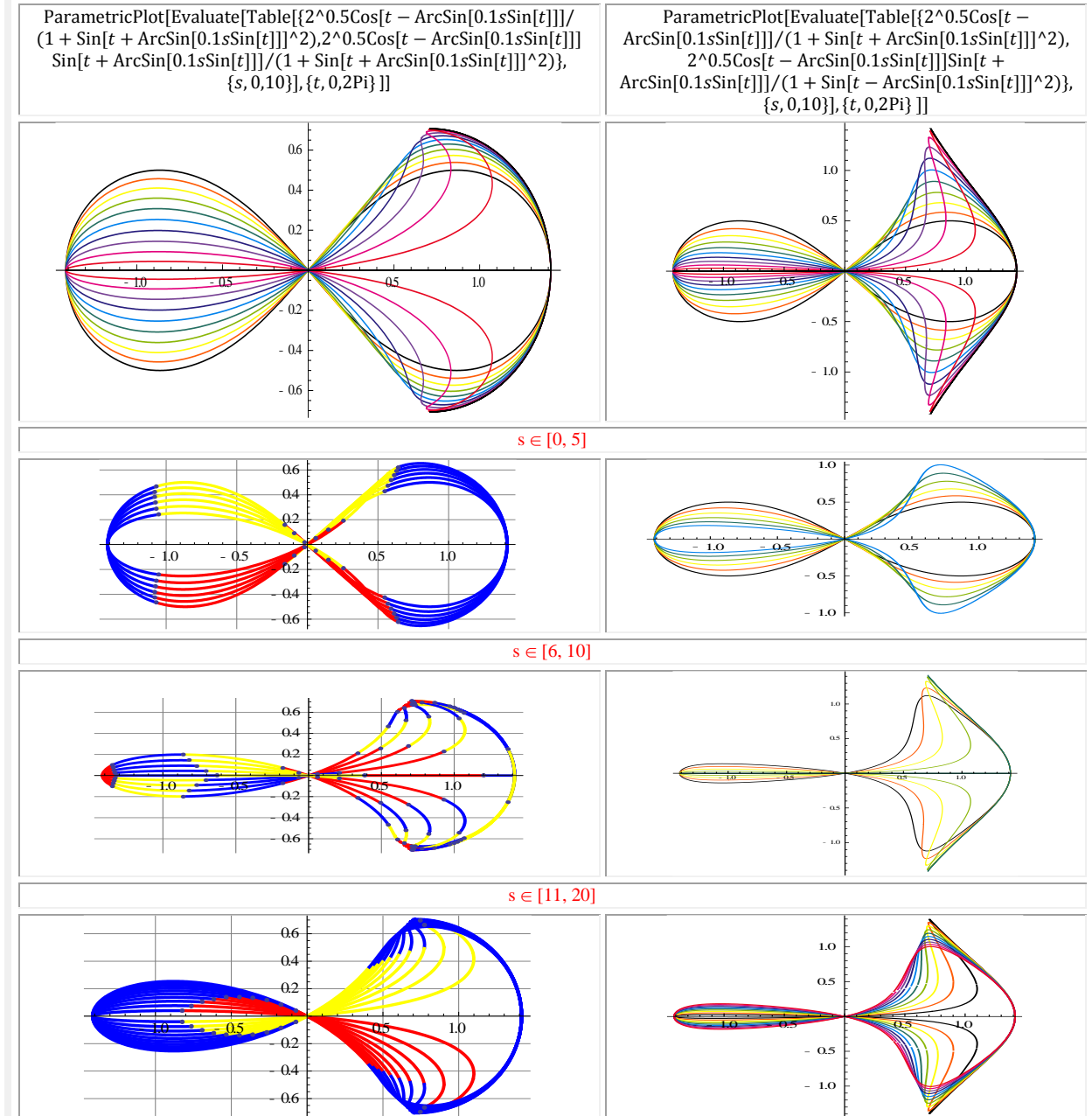


Fig. 4,b Lemniscata lui Bernouli **supermatematice excentrice**
 $\cos\alpha \rightarrow \text{cex}[\theta, S(s, \varepsilon = 0)]$; $\sin\alpha \rightarrow \text{cex}[\theta, S(s, \varepsilon = \pi)]$

2. OVALELE ŞI LEMNISCATELE LUI BOOTH

Aceste curbe au fost studiate de **Fagnano** în anul 1750, de **Euler** în anul 1751 şi de **Booth** în anul 1878.

James Booth (1810 - 1878) este un matematician englez. Curbele lui mai sunt cunoscute sub denumirile de hipopedele lui **Proclus**, **lemniscate eliptice** (pentru **ovale**) şi **lemniscate hiperbolice** (pentru **lemniscate**).

Ecuatiile lor carteziene sunt:

$$(3) \quad (x^2 + y^2)^2 = a^2x^2 + \epsilon b^2y^2$$

pentru $\epsilon = +1$ şi $0 < b \leq a$ a se obţin **ovalele**, iar pentru $\epsilon = -1$ se obţin **lemniscatele**

Ovalele **tip Booth supermatematice** au ecuaţiile polare

$$(4) \quad \rho = \sqrt{1 - s^2 \sin^2 \theta}$$

Din care se deduc ecuaţiile parametrice:

$$(5) \quad \begin{cases} x = \sqrt{1 - s^2 \sin^2 \theta} \cdot \cos \theta \\ y = \sqrt{1 - s^2 \sin^2 \theta} \cdot \sin \theta \end{cases}$$

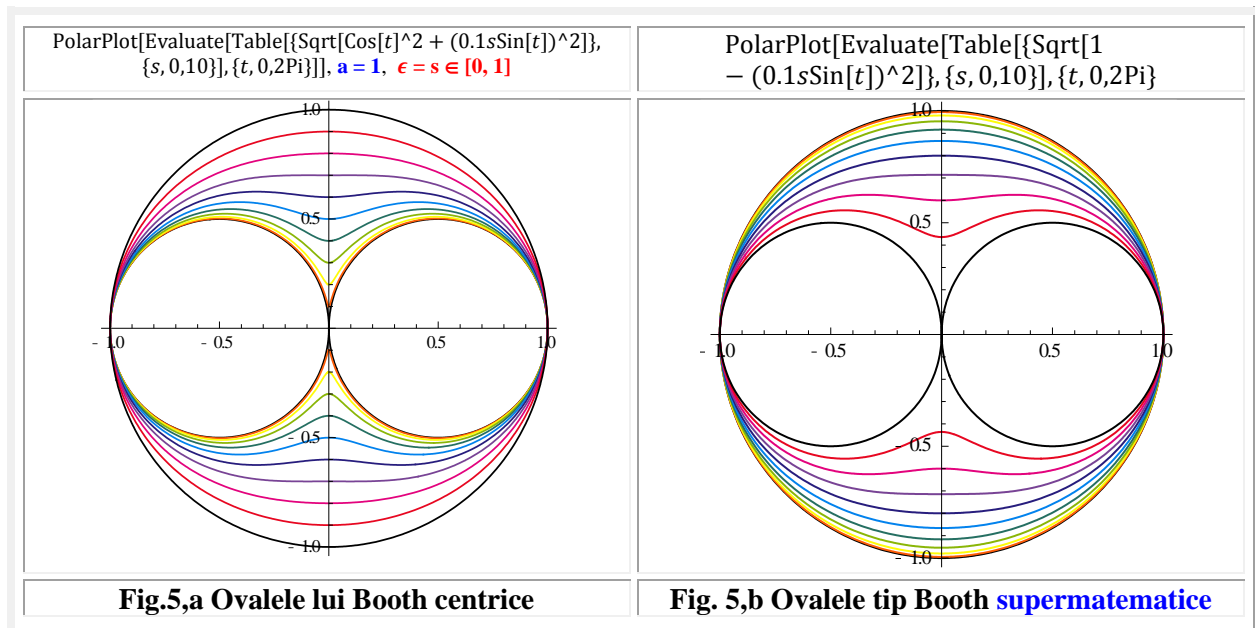
în care **funcţia supermatematică circulară excentrică (FSM – CE) beta excentrică (bexθ)** are ecuaţia **bexθ = β(θ) = θ – α(θ) = arcsin[s·sin(θ – ε)]** astfel că

$$(6) \quad \sin(\mathbf{bex}\theta) = \sin[\beta(\theta)] = s \cdot \sin(\theta - \epsilon) \text{ şi}$$

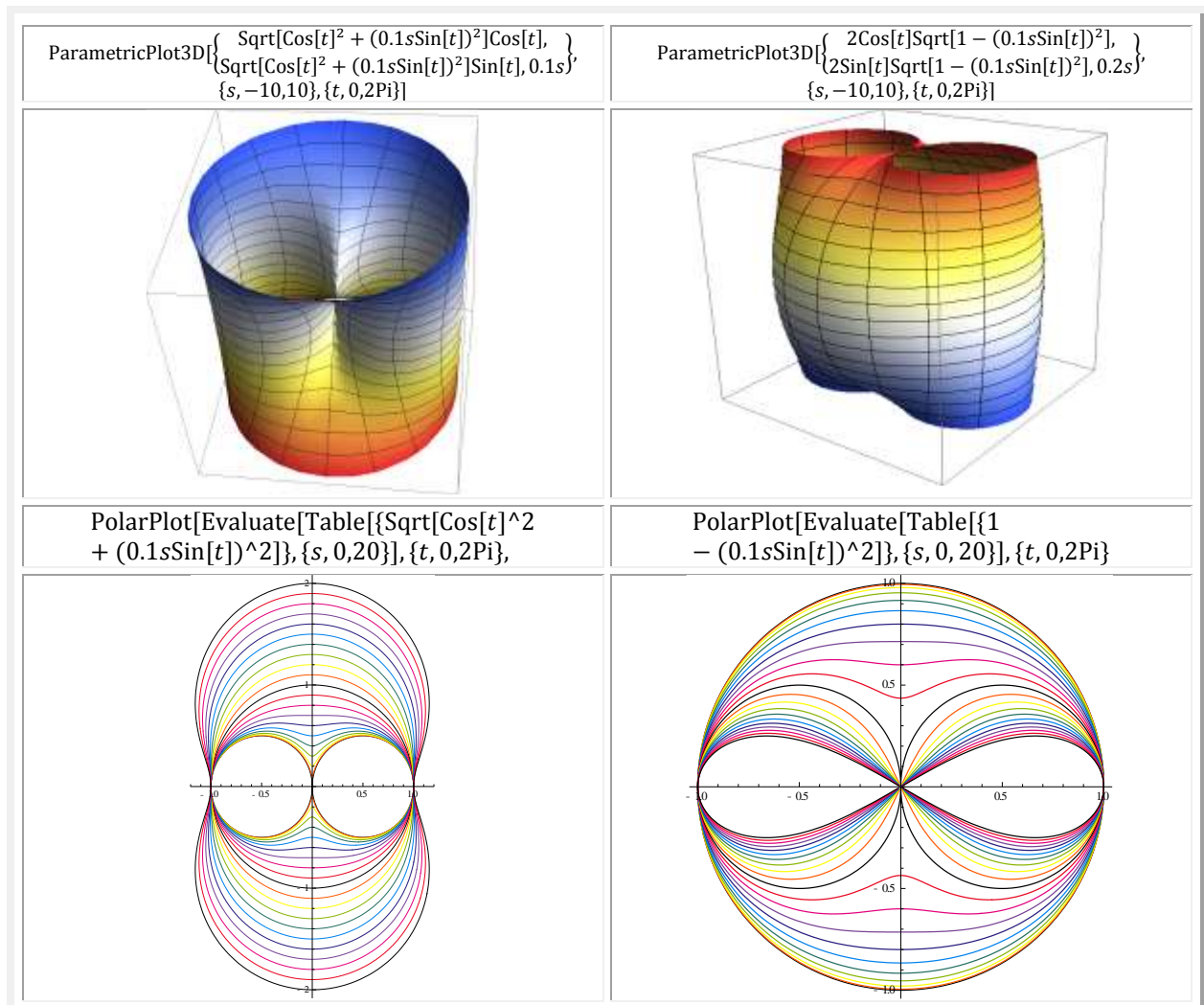
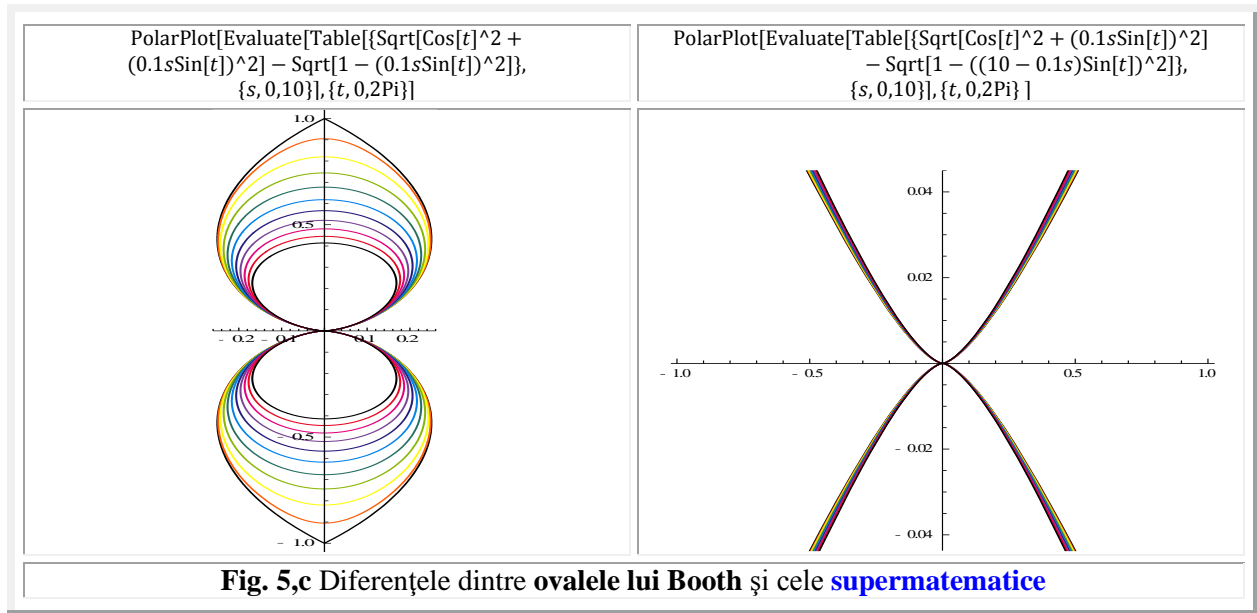
$$(7) \quad \sqrt{1 - s^2 \sin^2 \theta} = \sqrt{1 - \sin^2[\beta(\theta)]} = \cos[\beta(\theta)] \text{ şi ecuaţiile (5) devin (5')}$$

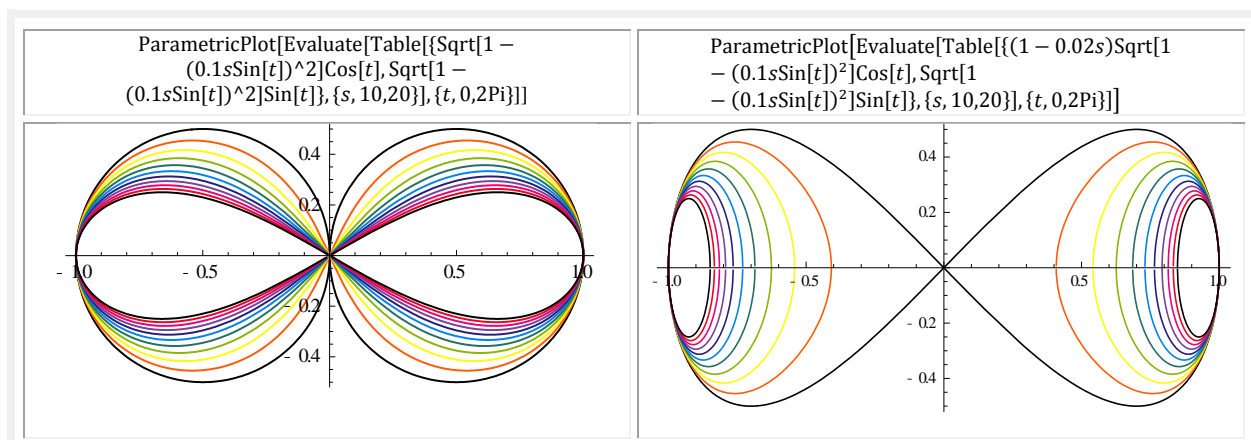
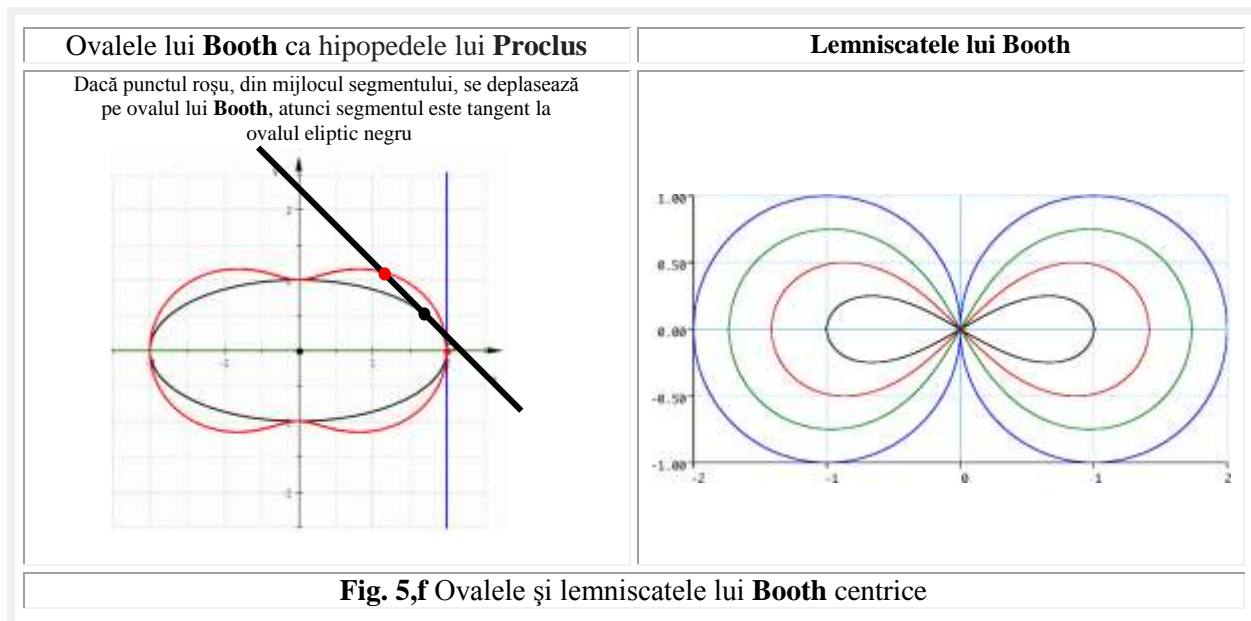
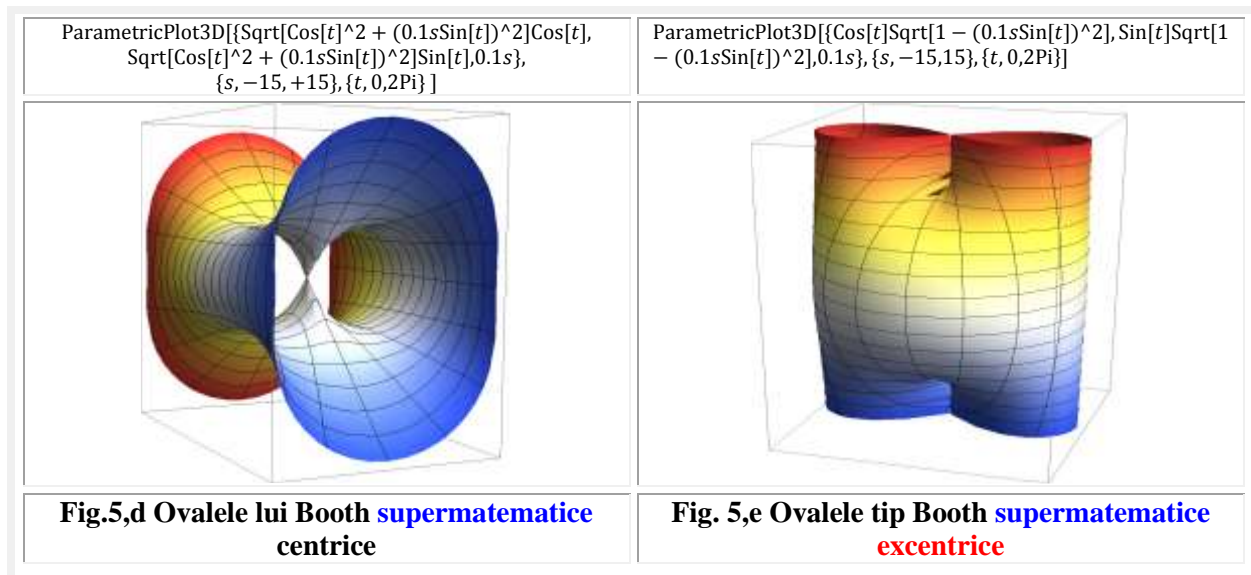
$$(5') \quad \begin{cases} x = \cos[\beta(\theta)] \cdot \cos \theta = \cos[\mathbf{bex}\theta] \cdot \cos \theta \\ y = \cos[\beta(\theta)] \cdot \sin \theta = \cos[\mathbf{bex}\theta] \cdot \sin \theta \end{cases}$$

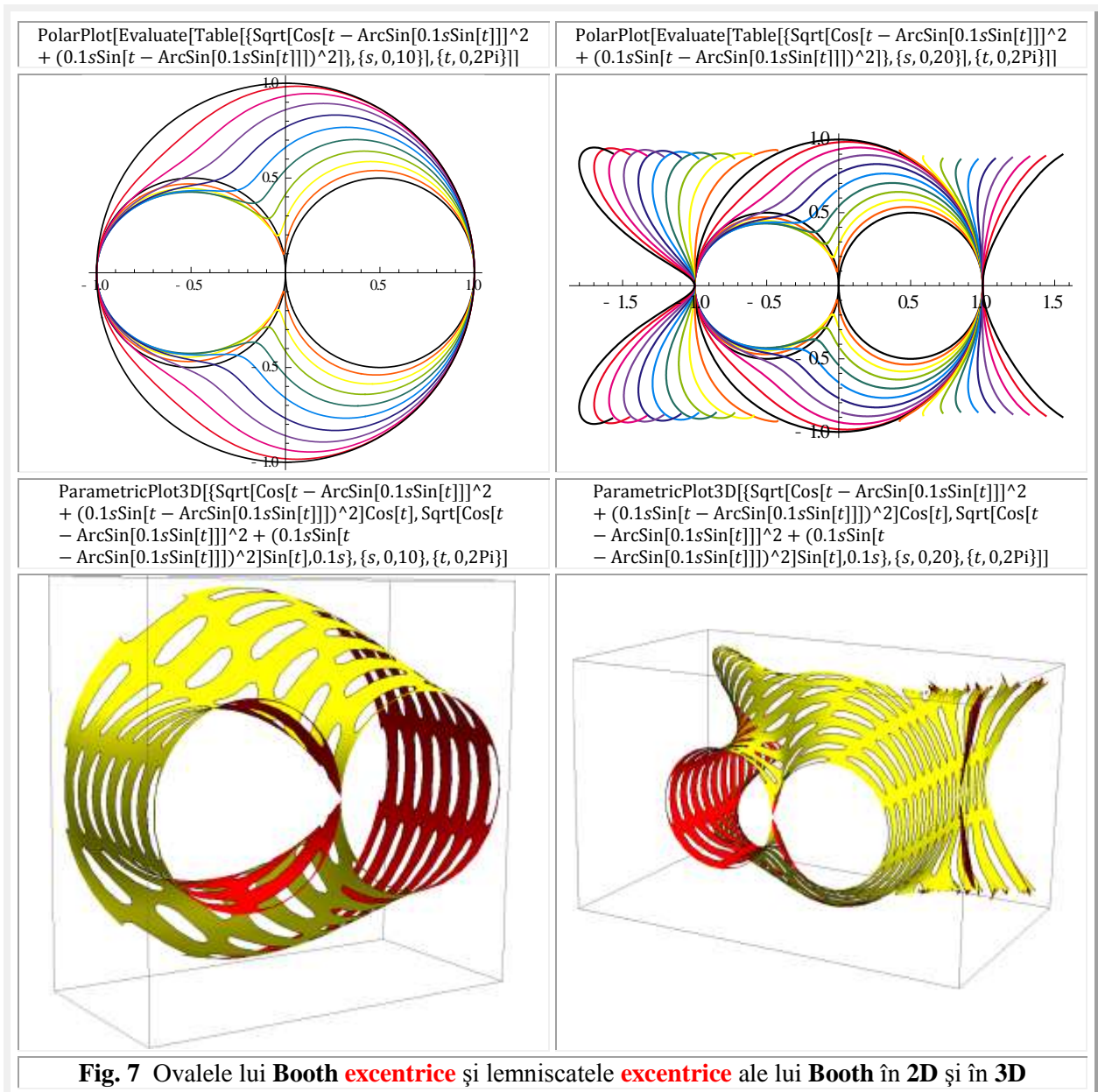
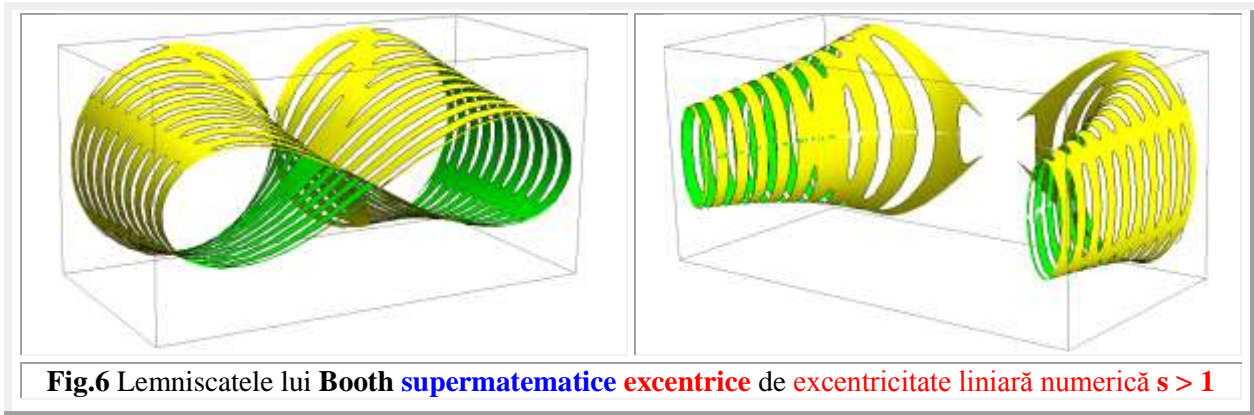
La prima vedere, ovalele lui **Booth centrice** (Fig. 5,a) par identice cu cele **supermatematice** din (Fig. 5,b). Urmărind însă succesiunea culorilor ne putem da seama că ele sunt mult deosebite, diferenţele lor fiind apreciabile, așa cum rezultă în figura 5,c.

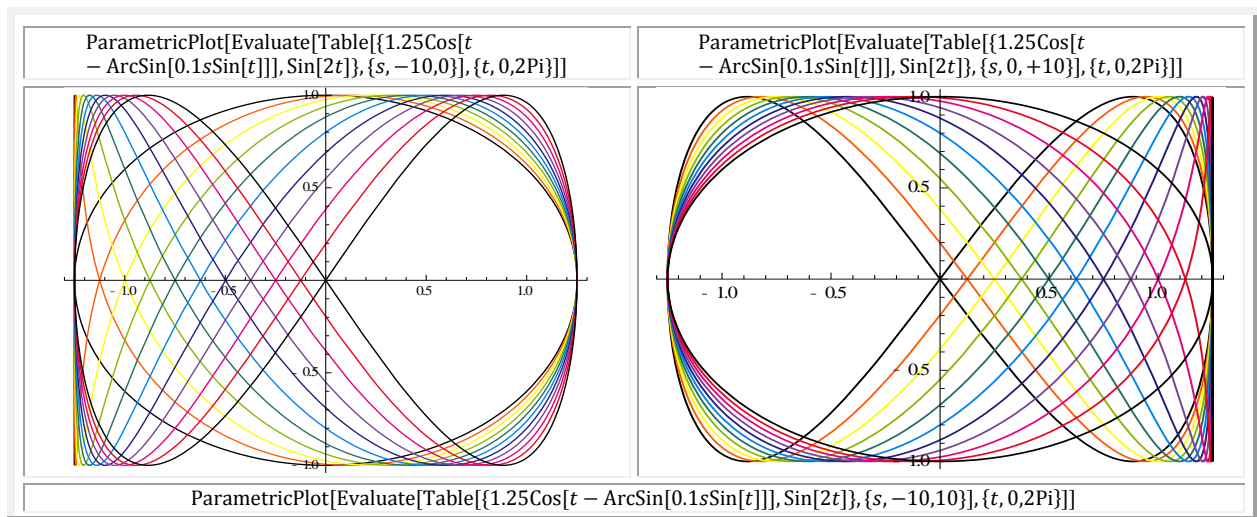
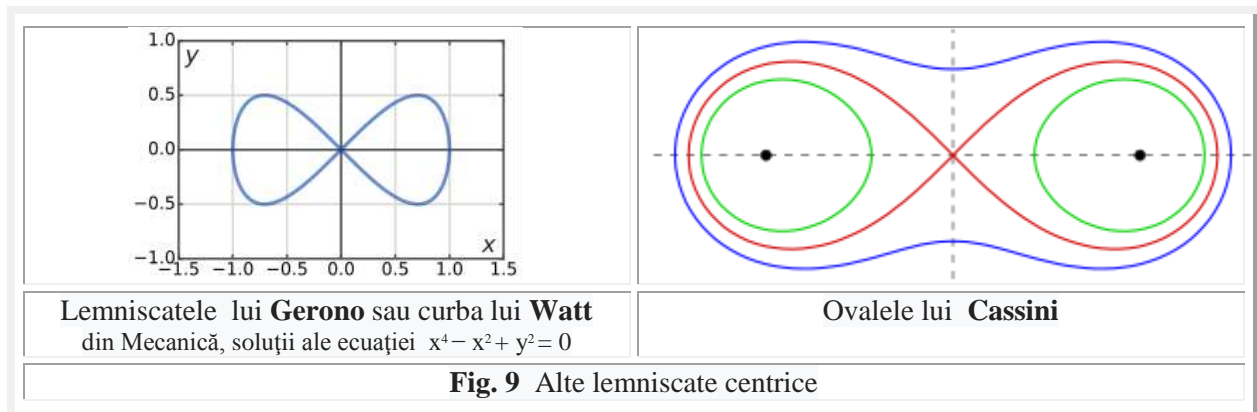
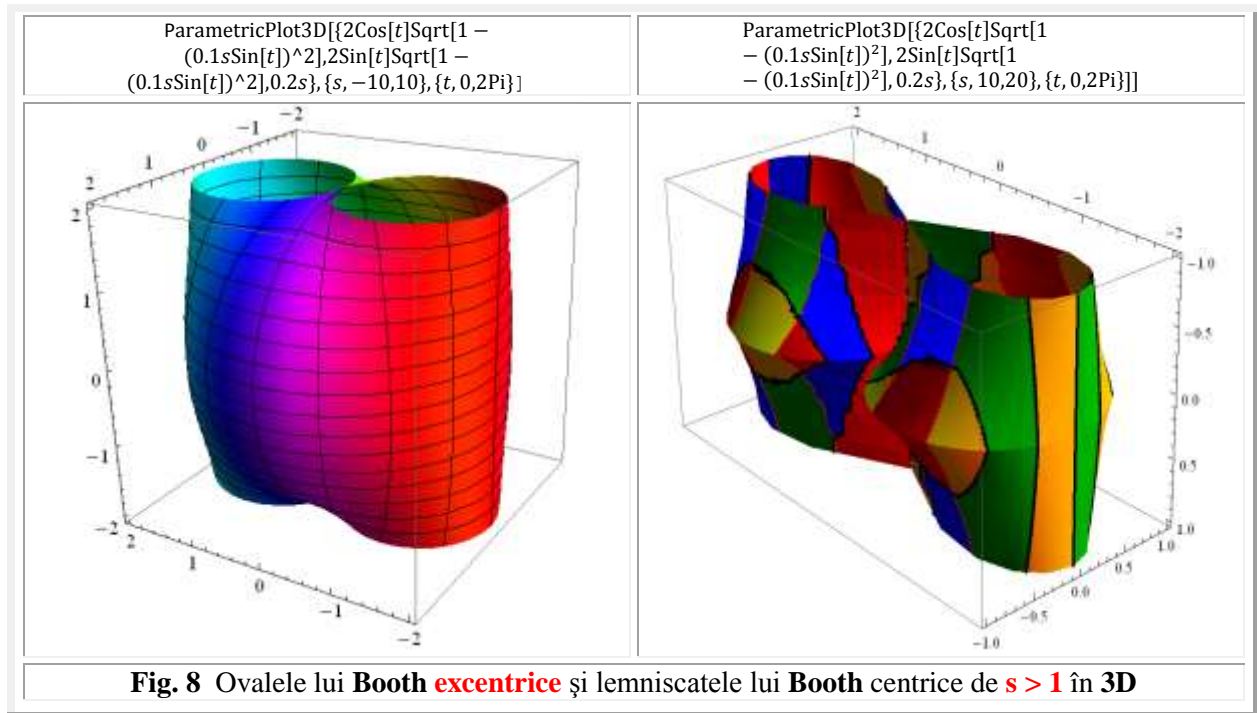


Dacă în ecuaţiile ovalelor şi ale lemniscatelor lui **Booth** centrice se înlocuiesc funcţiile circulare / trigonometrice centrice **cosa** şi **sina** cu cele **supermatematice** circulare excentrice **cexθ** şi **sexθ** atunci se obţin funcţiile **Booth excentrice** din figura 7.









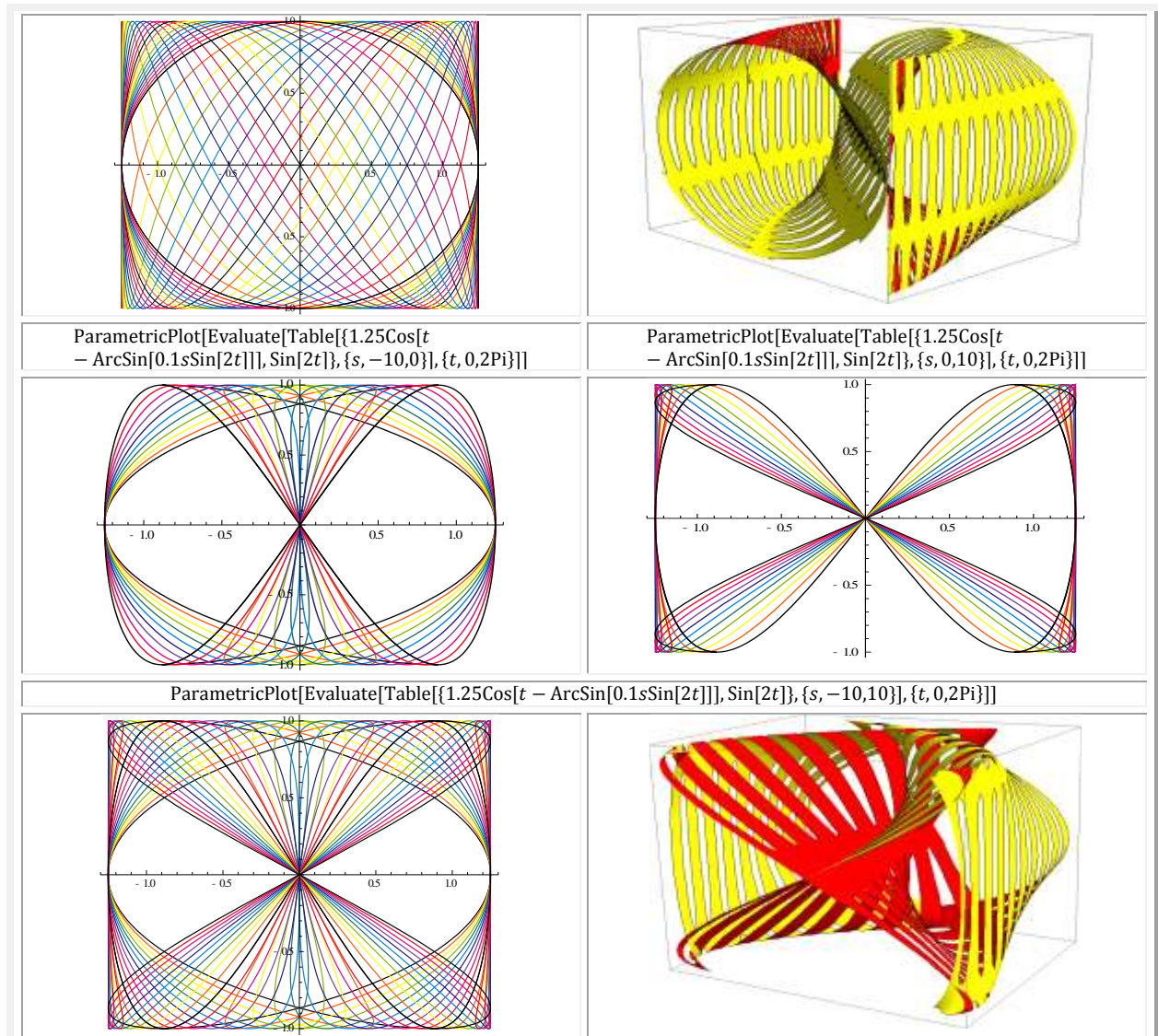


Fig. 10 Lemniscate supermatematice excentrice diverse

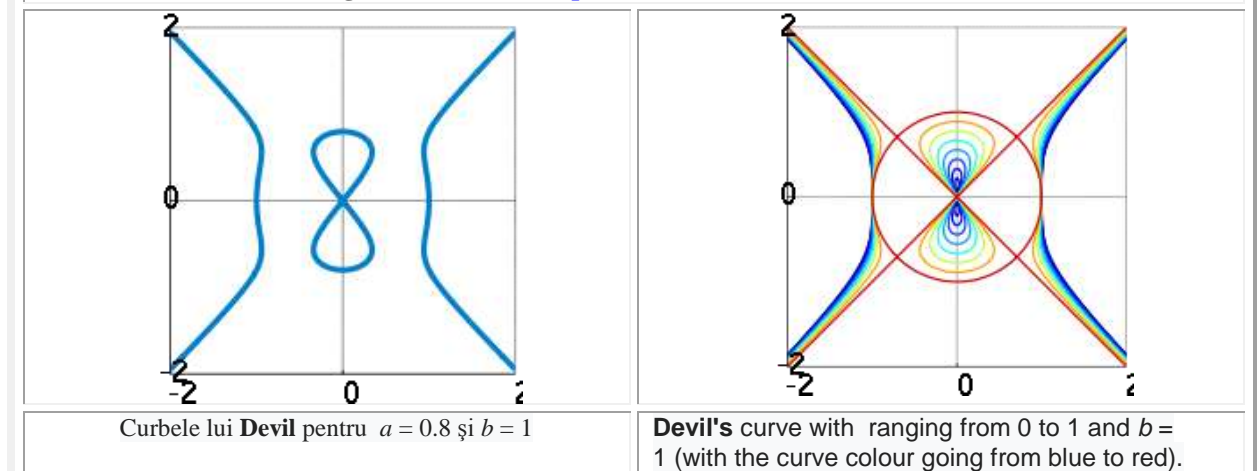


Fig. 11 Alte curbe centrice cu lemniscate

Motto: "Proștii mor, dar prostia rămâne." I.L.Caragiale.
Un exemplu concret: "La ce folosește supermatematica ?"

CAPITOLUL XV

FUNȚII SUPERMATEMATICE EXPONENȚIALE

1. FUNȚII SUPERMATEMATICE EXPONENȚIALE CENTRICE ȘI EXCENTRICE

Aplicarea funcției exponențiale centrice (FEC) unei valori x se scrie ca $\exp(x)$, $\text{Exp}(x)$ sau e^x , unde e este o constantă matematică, **baza logaritmului natural** ($e = 2,71828\ 18284\ 59045\ 23536\dots$).

Numărul e este uneori numit și **numărul lui Euler**, după matematicianul elvețian **Leonhard Euler**, sau **constanta lui Napier** în cinstea matematicianului scoțian **John Napier**, care a introdus **logaritmi**.

Ea este una din cele mai importante **funcții** din matematica centrică (MC).

Așa cum se poate observa din **figura 1,a** ▲◀, funcția exponențială crește încet pentru valori negative ale lui x , și crește repede pentru valori pozitive ale lui x . este egală cu 1 când x este 0.

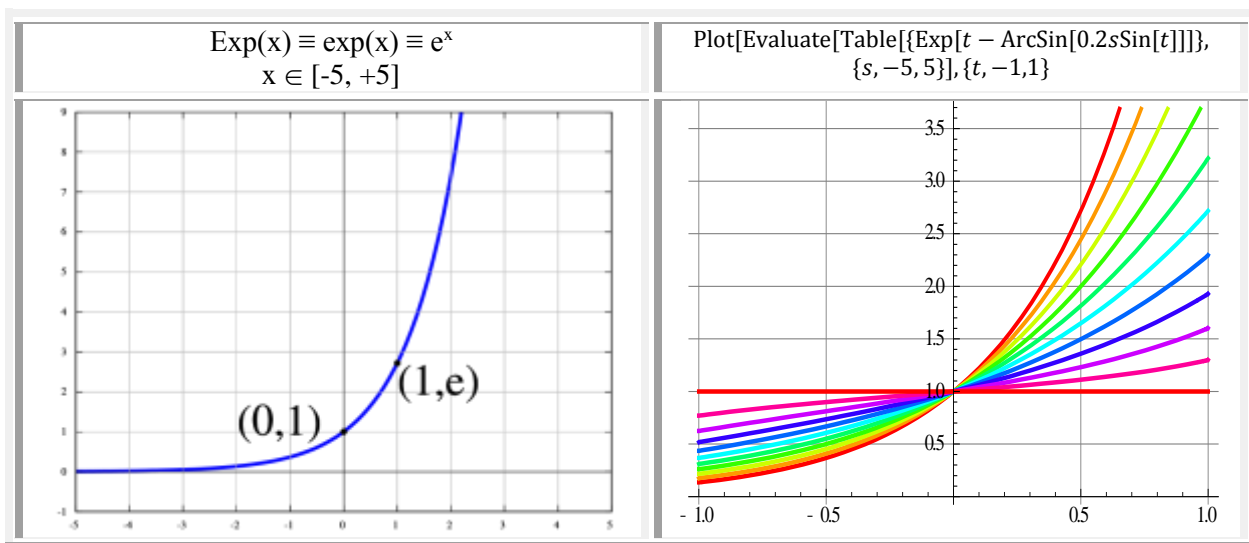
Valoarea y este mereu egală cu **panta** din punctele respective, ceea ce este evident în punctele (0, 1) și (1, e).

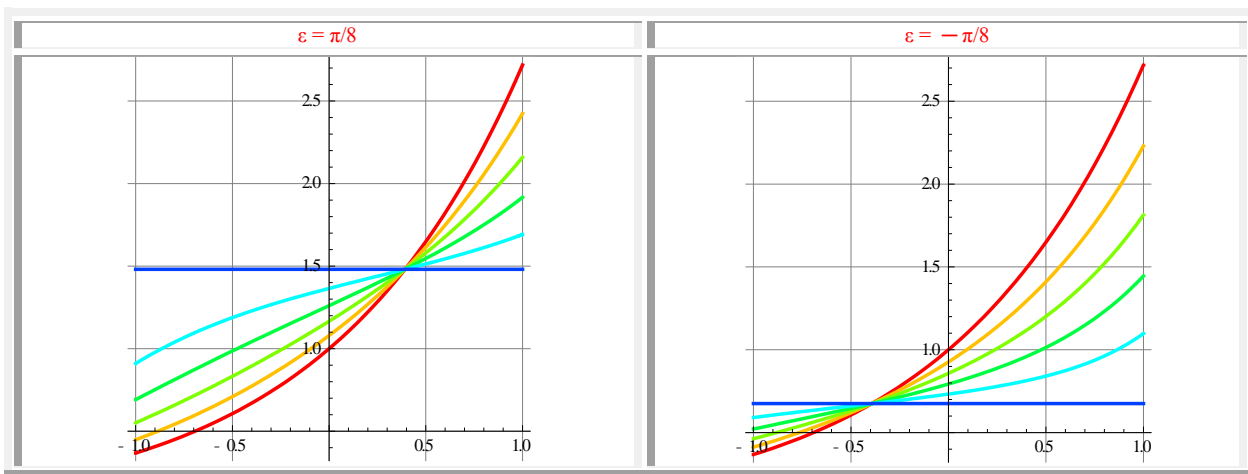
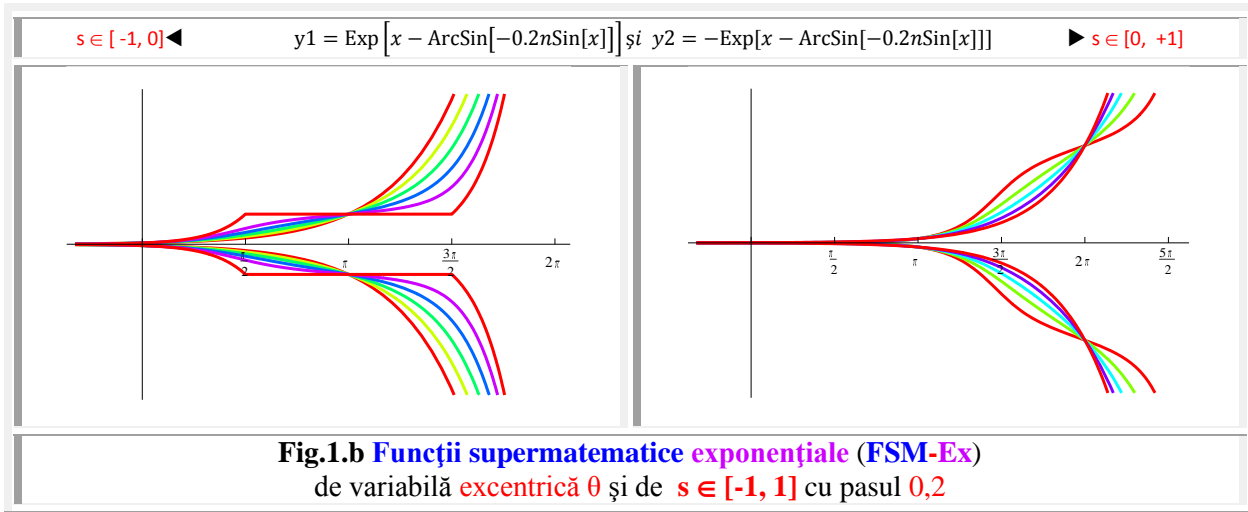
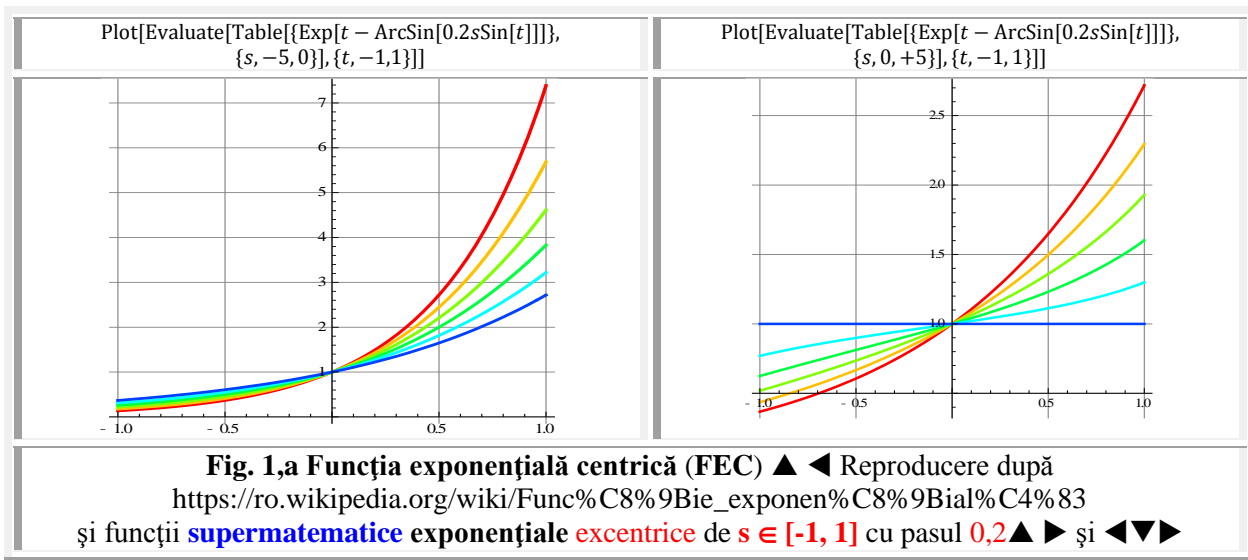
În dreapta **figurii 1,a** ▶ sunt prezentate **funcțiile supermatematice exponențiale (FSM-Ex)** pentru un **excentru** $S(s, \varepsilon)$ de excentricitate liniară numerică $s \in [-1, +1]$ și unghiulară nulă ($\varepsilon = 0$) sus ▲ și jos ▼, defalcate pe cele două domenii: negativ ($s < 0$) ▼◀ și pozitiv ($s > 0$) ▼▶, cu pasul 0,2, iar în **figura 1,b** sunt prezentate simultan funcțiile $y_1 = e^{ax0}$ ◀ și $y_2 = -e^{ax0}$ ▶, simetrice față de Ox .

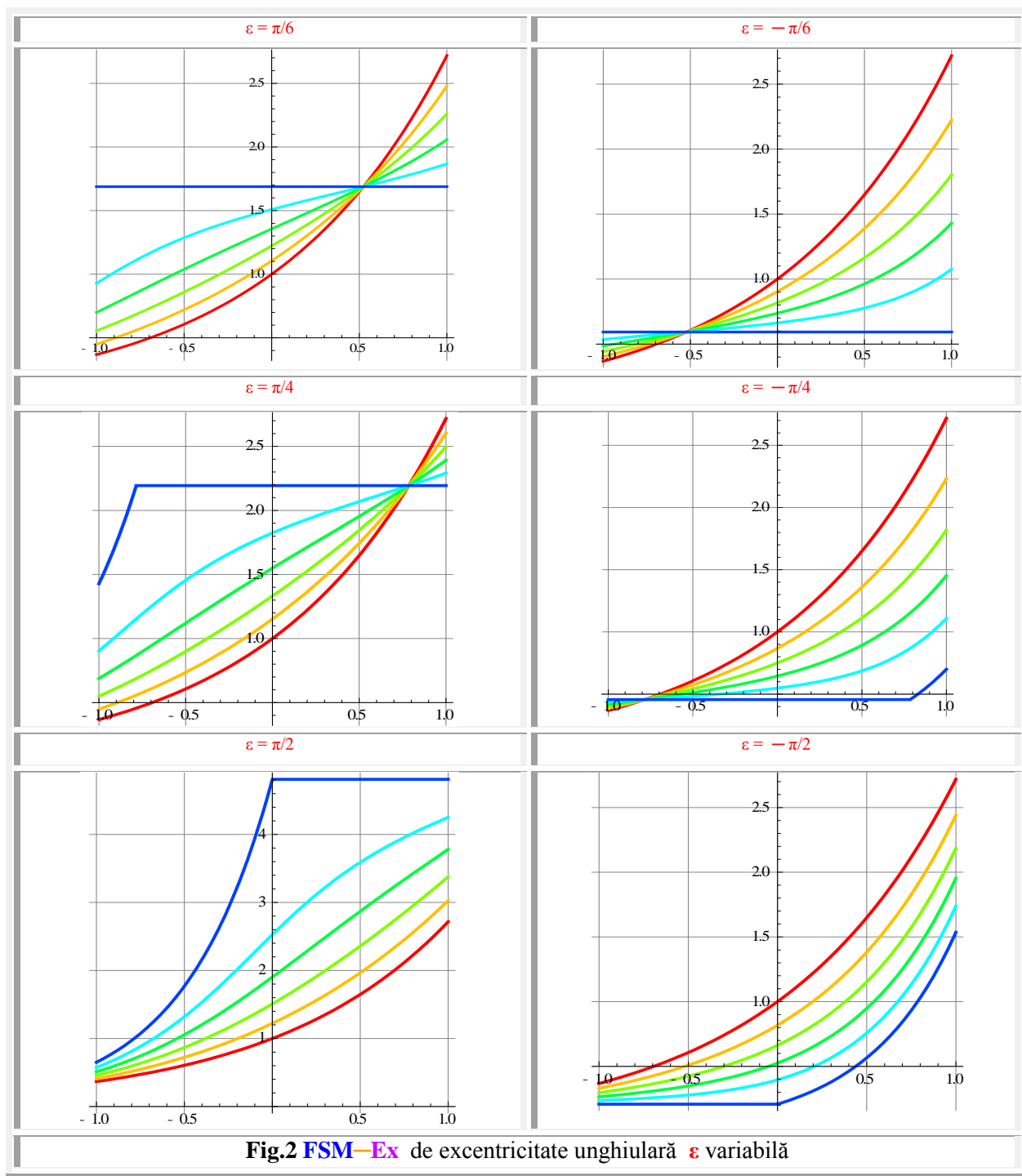
Dacă funcția exponențială centrică (FEC), propriu-zisă, adică de $a^x = e^x$, este unică, cea **supermatematică** este multiplicată la infinit, ceea ce constituie o **extensie nemărginită** a domeniului.

Nu mă întreb: "Și la ce folosește acest lucru ?" din motivele enunțate în **motto**, dar subliniez că acest lucru oferă, totodată, aceeași **măreție supermatematicii** precum cea oferită de **universul infinit** !

În **figura 2** sunt prezentate **FSM-Ex** de excentricitate unghiulară ε **variabilă** și numerică $s \in [-1, +1]$ cu pasul **0,2**. În toate cazurile, pentru $s = 0$, **FSM-Ex** degenerază în **FEC**, așa cum se poate observa destul de simplu, în toate graficele din **figurile 1 și 2**, urmărind curba care trece prin punctul **(1, e)**.







După **Wikipedia**: “Uneori, termenul **funcție exponențială** este folosit în sens mai general pentru a denumi funcțiile de forma ka^x , unde a , denumit **bază**, este orice număr real pozitiv diferit de unu.

În general, **variabila** x poate fi orice număr real sau **complex**, sau un **cu totul alt fel de obiect matematic**, de exemplu o **matrice**.” Caz în care ea este denumită **funcție exponențială de bază**.

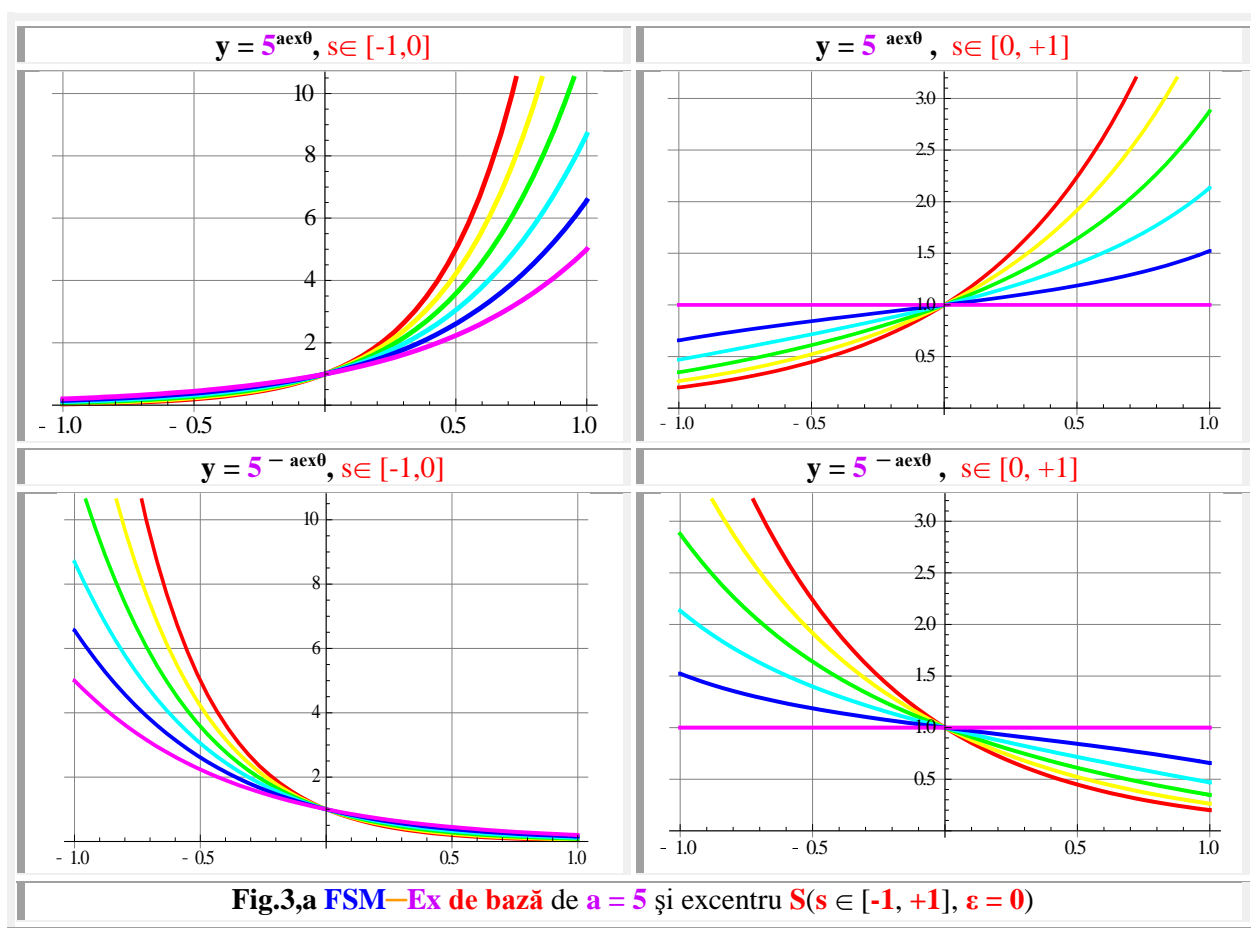
Ei bine, în domeniul **supermatematicii**, aceasta este o **funcție**, adică $x \rightarrow f(x)$ și poate fi **funcția supermatematică circulară excentrică (FSM – CE)** amplitudine excentrică $aex\theta$, de variabilă excentrică θ , sau **Aex α** de variabilă centrică α de ecuații :

$$(1) \quad \begin{cases} aex\theta = \theta - \arcsin[s \cdot \sin(\theta - \varepsilon)] \\ Aex\alpha = \alpha + \arcsin \frac{s \cdot \sin(\alpha - \varepsilon)}{\sqrt{1 + s^2 - 2s \cdot \cos(\alpha - \varepsilon)}} \end{cases}$$

prin care, în **SM**, se face trecerea din **domeniul centric** în cel **excentric** de variabilă **excentrică θ** și, respectiv, **centrică α** , tot așa cum, prin **funcția amplitudine eliptică Jacobi $am(u, k)$** , se face trecerea din **domeniul centric** în cel **eliptic** $\rightarrow \sin[am(u, k)] = sn(u, k)$ și $\cos[am(u, k)] = cn(u, k)$.

Se știe că în **SM** există domeniile: **centric, excentric, elevat și exotic**, în funcție de poziția relativă ocupată de cele 3 **puncte esențiale**, pe care **Euler** le-a dispus **suprapuse sau în coincidență**: **originea $O(0,0)$** : **centrul** cercului trigonometric / unitate **$C(c, \gamma)$** și **polul $P(0, 0)$** devenit, după expulzarea lui de către autor din **O** și din **C**, **excentrul $S(s, \varepsilon)$** . Ca urmare, **în general**, există tot atâtea funcții **SM** echivalente celor centrice **cos, sin, tan, cot ș.a.**: **centrice, excentrice, elevate și exotice** cele care au dimensiunea lungimii sau exprimă o astfel de entitate ($x = \cos, y = \sin$ ș.a.m.d.), dar **NU** și pentru cele exprimate prin unghiuri, precum **bex $\theta = \beta(\theta)$** , **Bex $\alpha = \beta(\alpha)$** , **aex $\theta = \alpha(\theta)$** și **Aex $\alpha = \theta(\alpha)$** . În consecință, toate **FSM-exponențiale: centrice (e^x), excentrice ($e^{aex\theta}$ și $e^{Aex\alpha}$), elevate ($e^{ael\theta}$ și $e^{Ael\alpha}$) și exotice ($e^{aex\theta}$ și $e^{Aex\alpha}$) sunt identice.**

În cazul de față au fost excluse **FSM EVOLUTIVE**, care sunt combinații ale celor anterior amintite și cele care oferă **SM** atributele de **nemărginire și mareție** (v. Șelariu M.E. “**NEMĂRGINIREA ȘI MĂREȚIA SUPERMATEMATICII**”, Nota I ... Nota X”).



Câteva proprietăți ale funcțiilor exponențiale **centrice de bază** sunt următoarele:

DEFINIȚIE:

Funcția $f(x) = a^x$ este o funcție exponențială $\forall x \in \mathbb{R}$ dacă $a > 0, a \neq 0$ funcția $f : \mathbb{R} \rightarrow (0, +\infty)$

PROPRIETĂȚI:

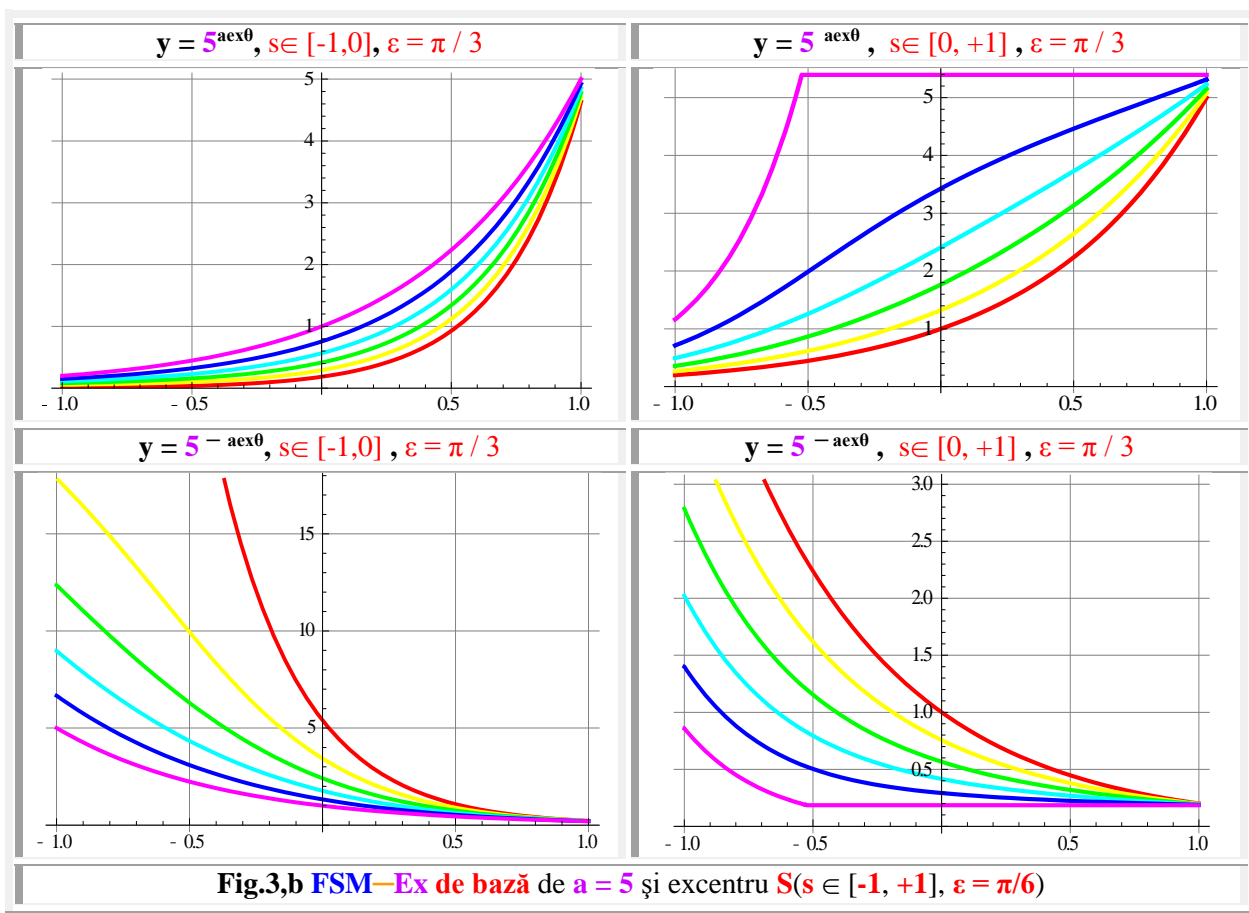
$f(0) = 1, A(0, 1) \in G_f, \forall a > 0, a \neq 1$, în traducere: punctul **A** aparține graficului funcției $f \rightarrow (G_f)$

- Funcția este strict monotonă: dacă $a \in (1, 1) \Rightarrow f$;
- Strict descrescătoare dacă $a^{x_1} < a^{x_2} \Leftrightarrow x_1 > x_2$;
- Strict crescătoare dacă $a^{x_1} < a^{x_2} \Leftrightarrow x_1 < x_2$;
- Bijectivă: $\begin{cases} a) f \text{ injectivă, dacă } a^x = a^y \Leftrightarrow x = y \\ b) f \text{ surjectivă, dacă } \forall b > 0, \exists x \in \mathbb{R}, \text{ astfel încât } a^x = b \end{cases}$
- Inversabilă dacă $(\exists) f^{-1} : (0, \infty) \rightarrow \mathbb{R}$ astfel încât $\begin{cases} a) f^{-1}(f(x)) = x, \forall (x) \in \mathbb{R} \\ a) f^{-1}(f(x)) = z, \forall (x) \in \mathbb{R} \end{cases}$

O funcție $f: A \rightarrow B$ se numește **funcție surjectivă** (sau simplu **surjecție**), dacă orice element din **B** este imaginea prin f a cel puțin unui element din **A**, ceea ce-i echivalent cu faptul că pentru orice $y \in B$ ecuația $f(x) = y$ are cel puțin o soluție $x \in A$.

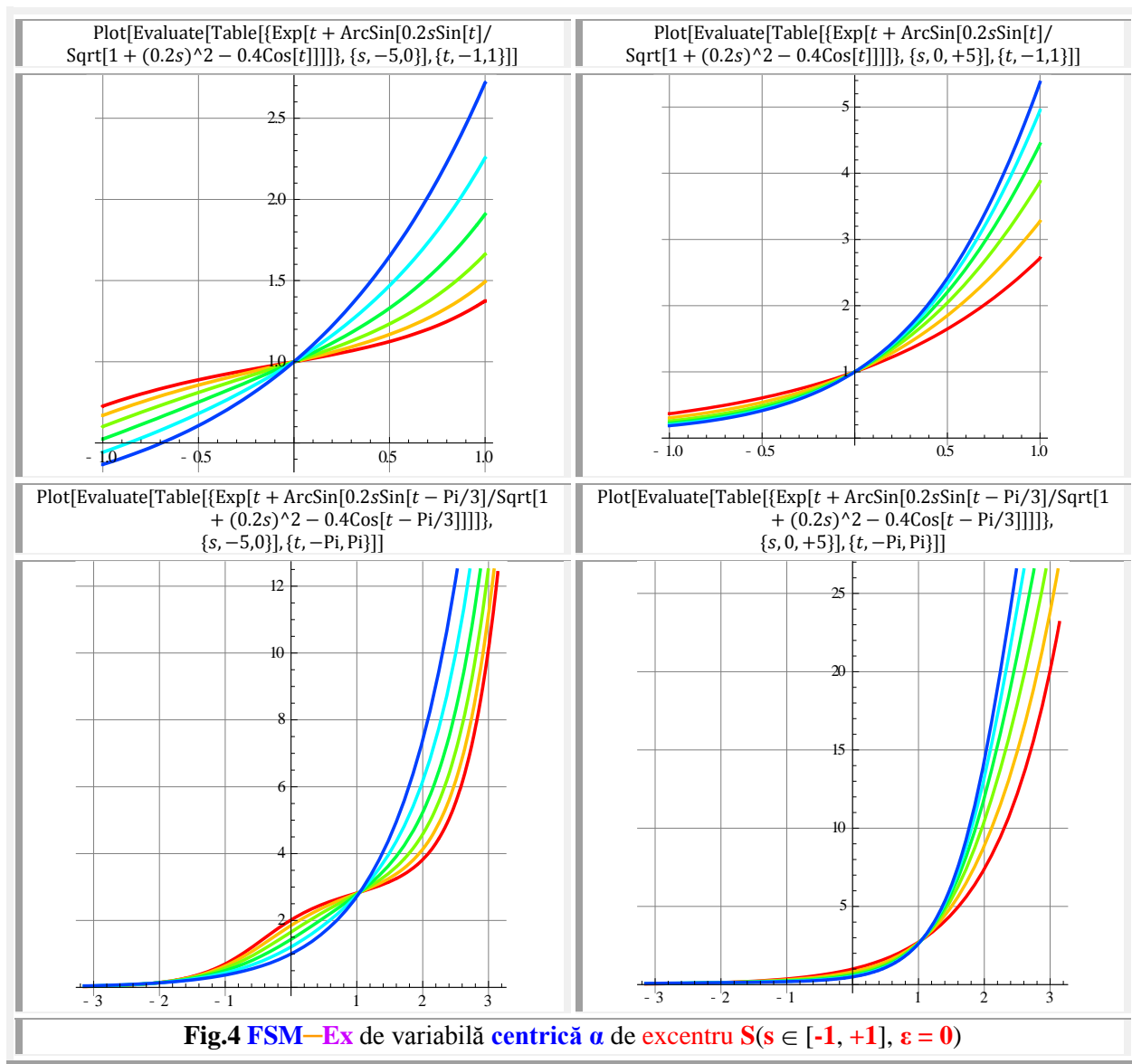
Altfel spus, funcția f este surjectivă $\Leftrightarrow \forall y \in B, \exists x \in A$ astfel încât $f(x) = y$.

Din **figura 1**, rezultă că pentru $\varepsilon = 0$, indiferent de valoarea excentricității numerice $s \in [-1, +1]$, toate curbele / graficele trec prin punctul **A(0, 1)**, iar, din **figura 2**, rezultă că numai graficul / curba de **roșu corai** pentru $s = 0$ trece / conține acest punct, facilitând, astfel, depistarea acestui grafic.



Graficele unor **FSM-Ex** de **bază** cu baza **a = 5** sunt prezentate în **figura 3,a**, pentru $\epsilon = 0$ și în **figura 3,b** pentru $\epsilon = \pi/3$. În cazul $\epsilon = 0$, punctul **(0, 1)** este comun întregului fascicul de curbe, iar pentru $\epsilon \neq 0$ numai în cazul **s = 0**.

FSM-Ex de variabilă **centrică** α , exprimate / descrise cu a doua funcție din (1) sunt prezetate în **figura 4** pentru $\epsilon = 0$ ▲ $s \in [-1, 0]$ ◀ și $s \in [0, +1]$ ▶, precum și pentru $\epsilon = \pi/3$ ▼ .

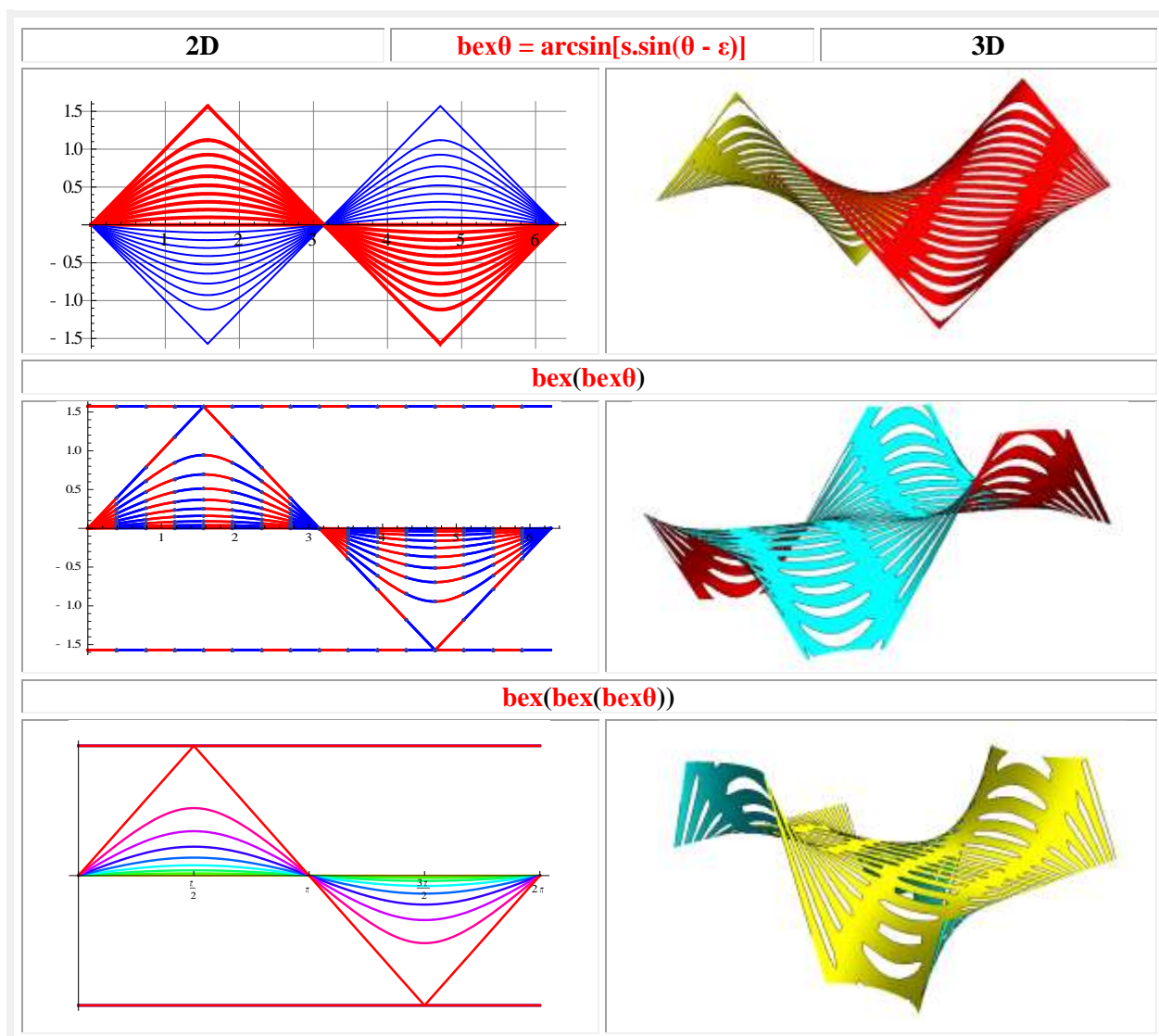


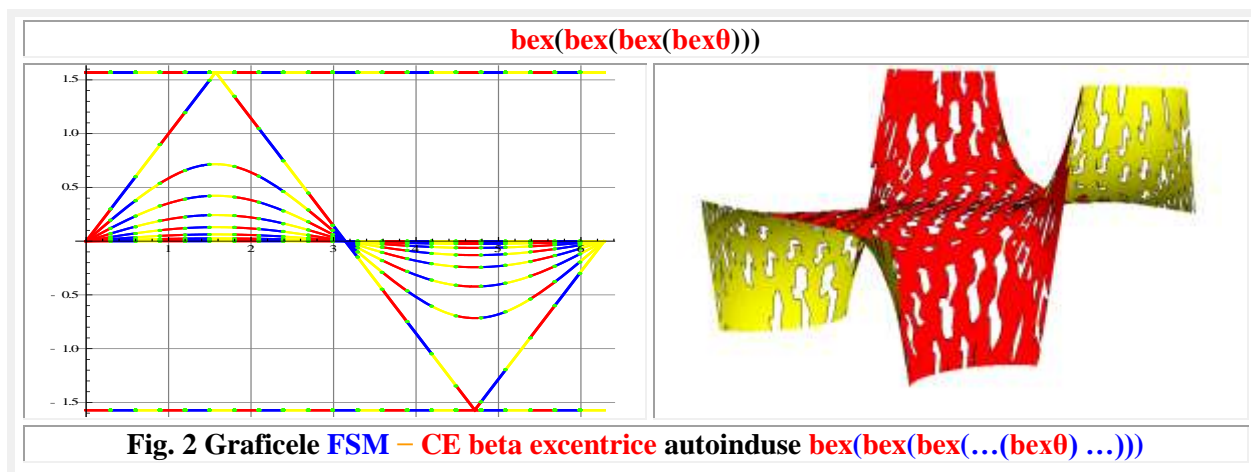
În **matematica centrică (MC)** și în literatura ei de specialitate (v. **Rîjik / Ryzhik, I.M., Gradstein / Gradshteyn I.S.**, Tabele de **INTEGRALE, SUME, SERII ȘI PRODUSE**, Ed. Tehnică, Buc. 1955) funcțiile autoinduse sunt cunoscute sub denumirea de “Funcții trigonometrice de funcții trigonometrice” - $\sin(z.\sin x)$, pag.184 - și cele autoinduse, sub denumirea de “Funcții trigonometrice de funcții trigonometrice inverse” - $\cos(\arctan x)$, pag.185-. Exemple de funcții circulare centrice **autoinduse** au graficele din **figura 1**, în funcție de **gradul n de autoinducție**. Astfel, **sinx** este de grad 0, **sin(sinx)** are gradul 1, iar **sin(sin(sin(sinx)))** este de gradul **n = 3**.

În **figura 1**, gradul de autoinducție este cuprins în intervalul $n \in [1, 13]$ și se observă că, prin creșterea lui **n**, amplitudinile funcțiilor scad treptat.

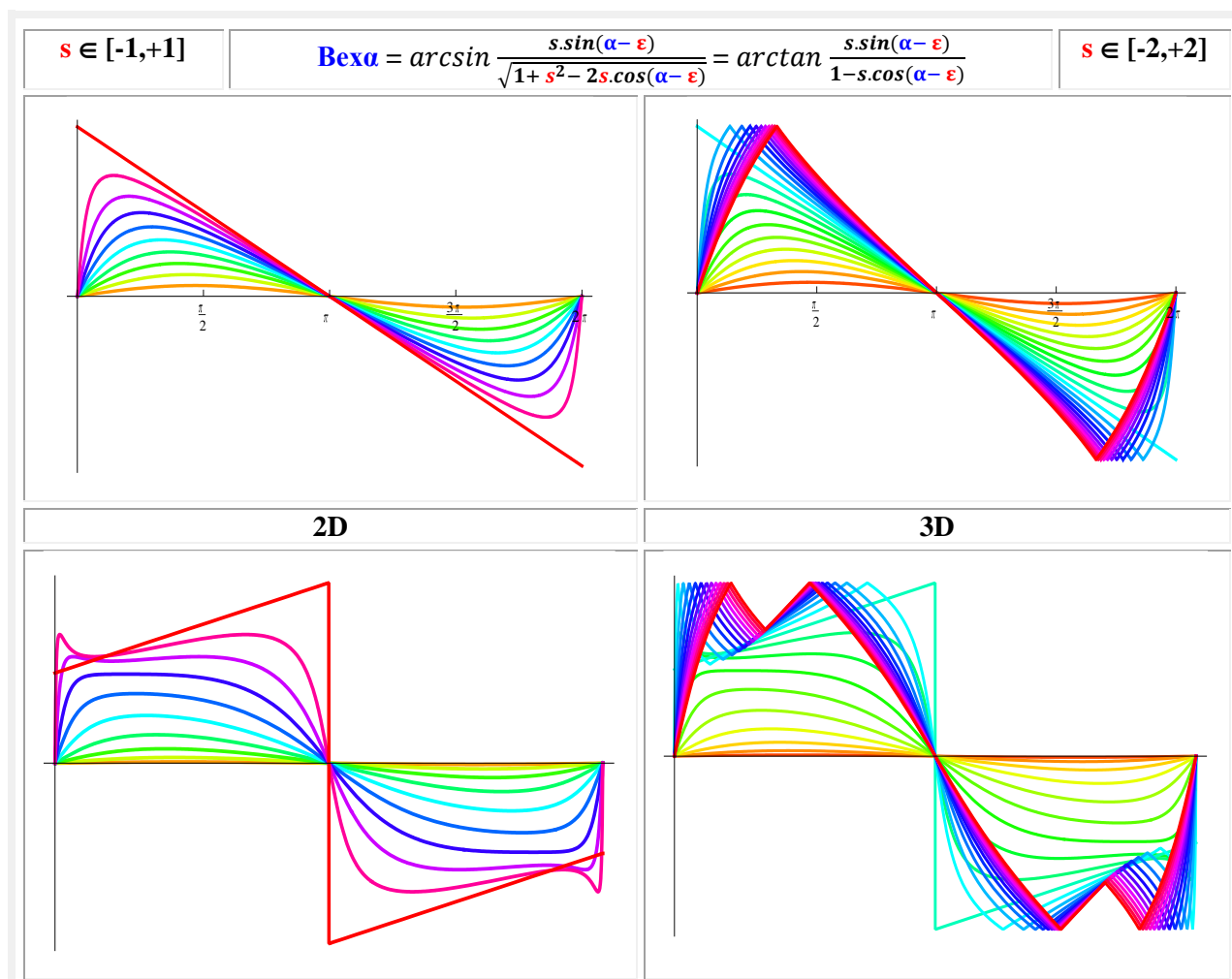
Funcțiile supermatematice circulare excentrice (FSM – CE), prezentate în continuare, sunt acelea care nu au echivalente în matematica centrică (MC), așa cum au $\cos x \rightarrow \text{cex}$, $\sin x \rightarrow \text{sex}$ ș.m.a.

1) **FSM–CE AUTOINDUSE bexθ** de variabilă **excentrică θ** sunt prezentate în **figura 2** pentru $n \in [0, 3]$.





2) FSM–CE AUTOINDUSE $Bex\alpha$ de variabile **centrice** α sunt prezentate în figura 3 în 2D ↑ .



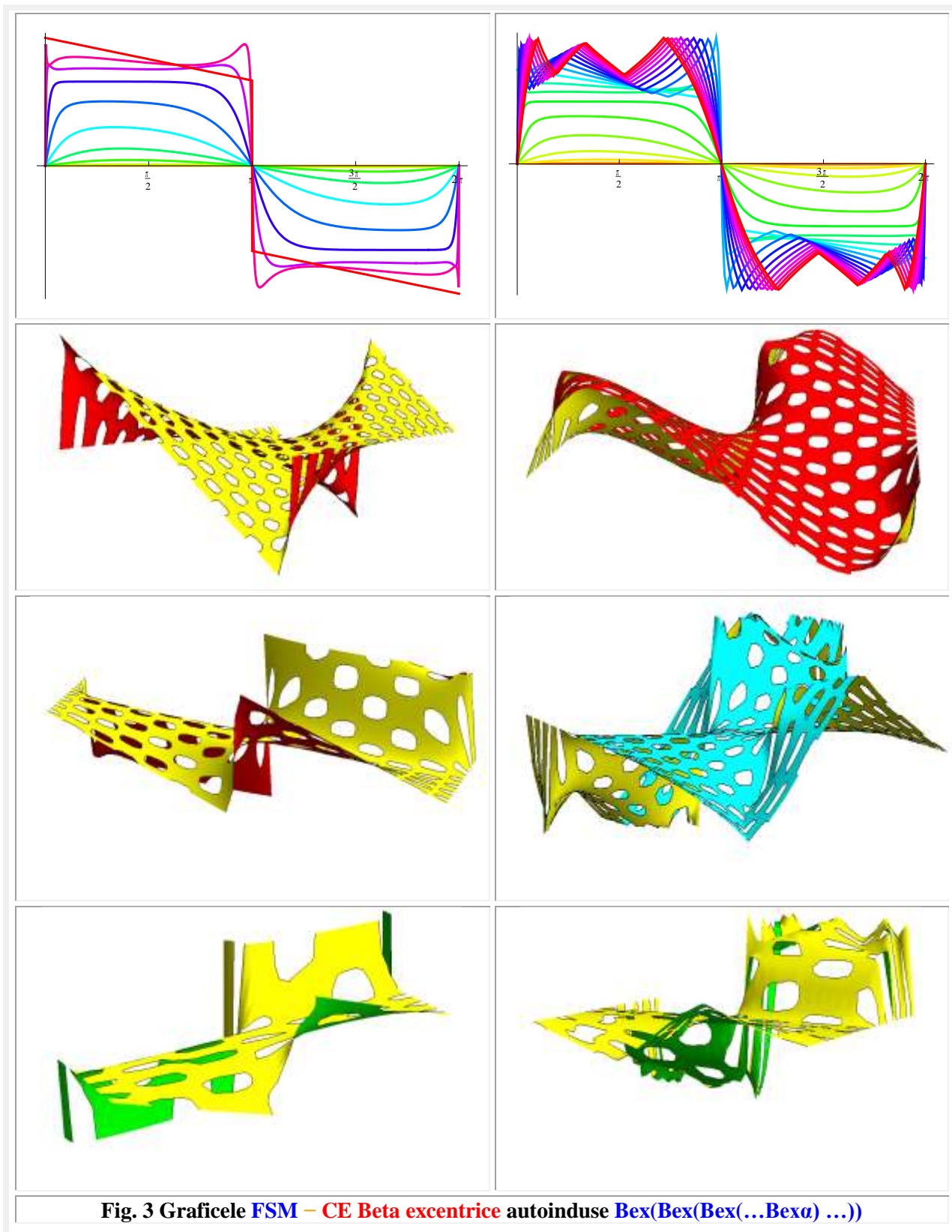
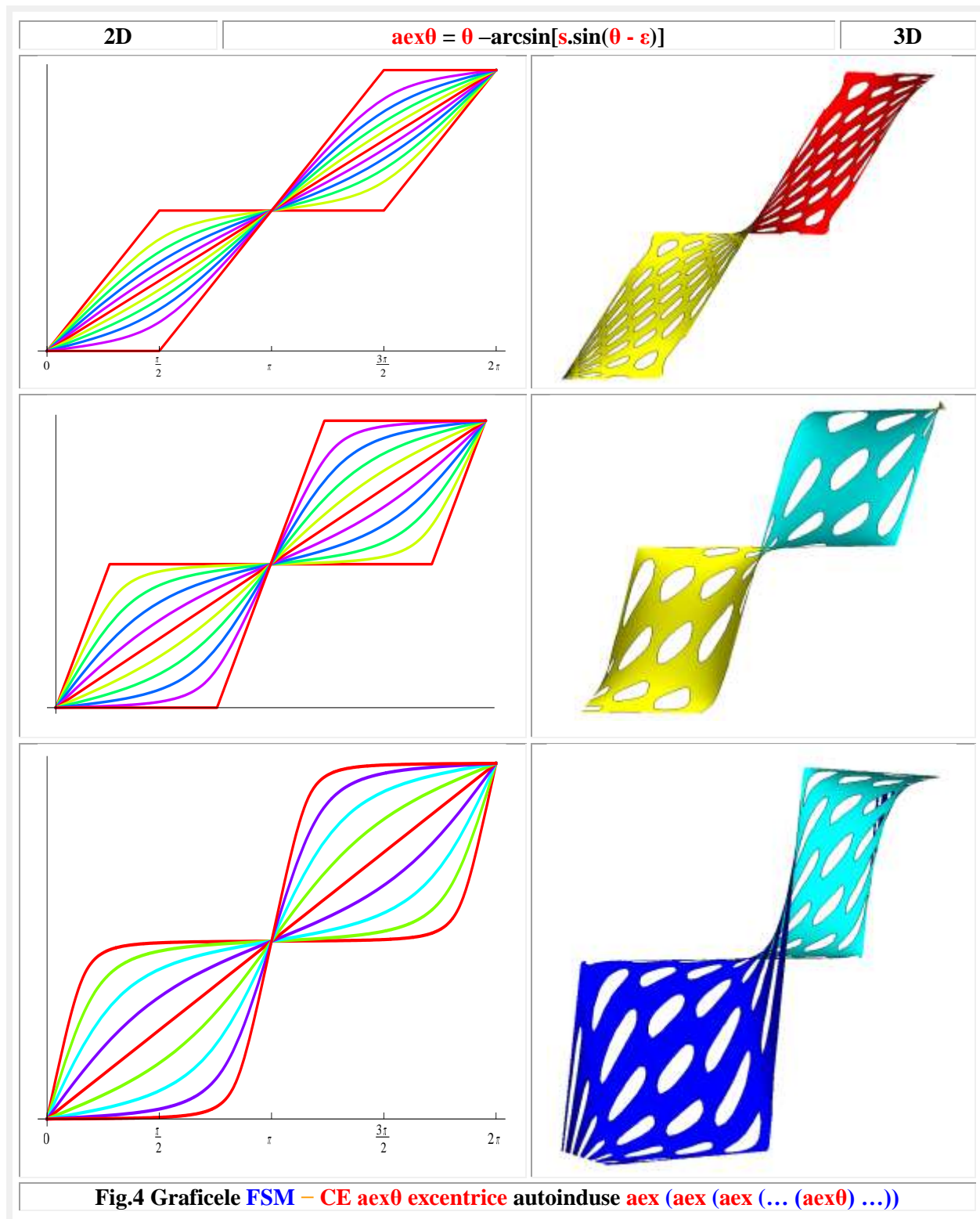
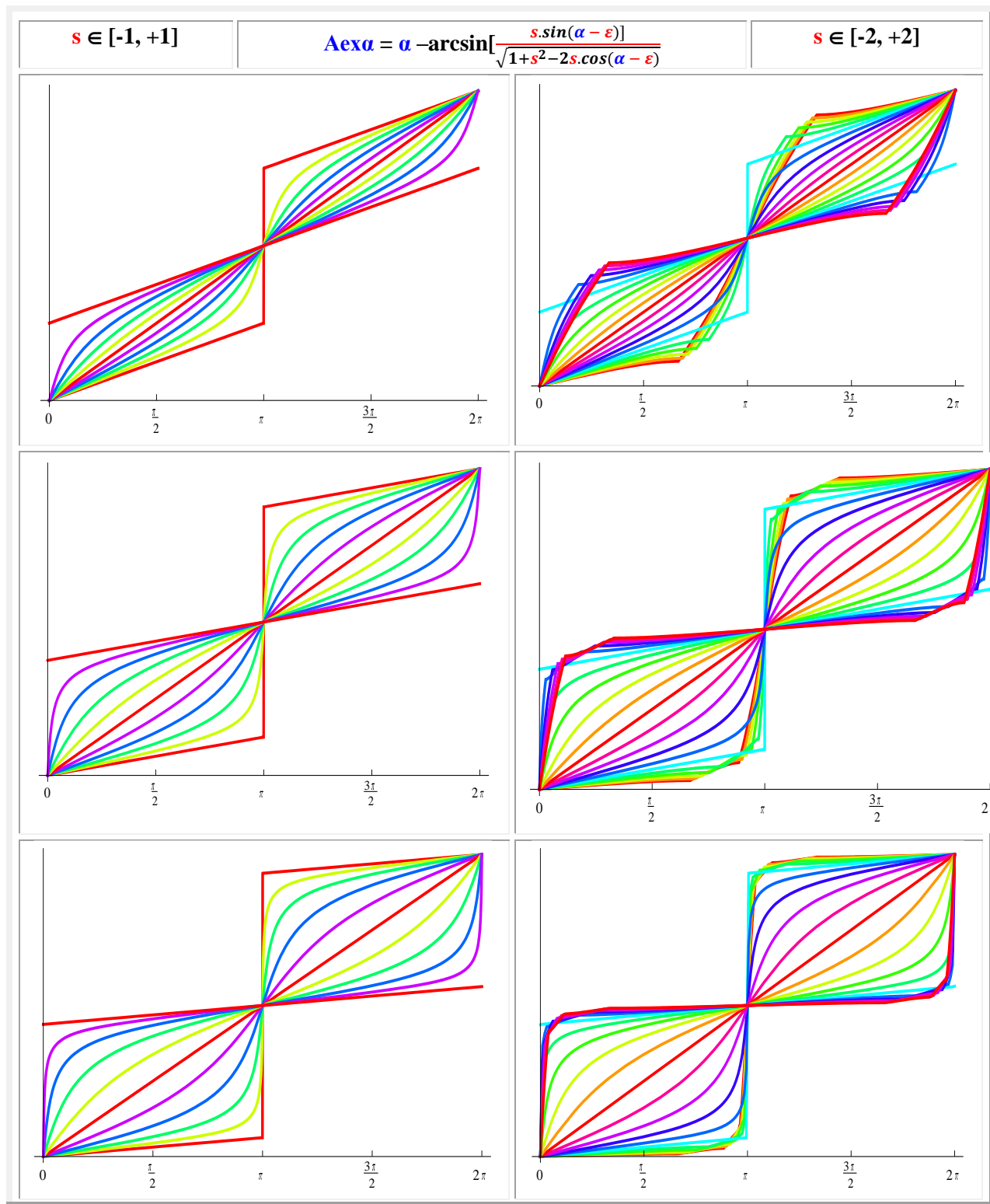


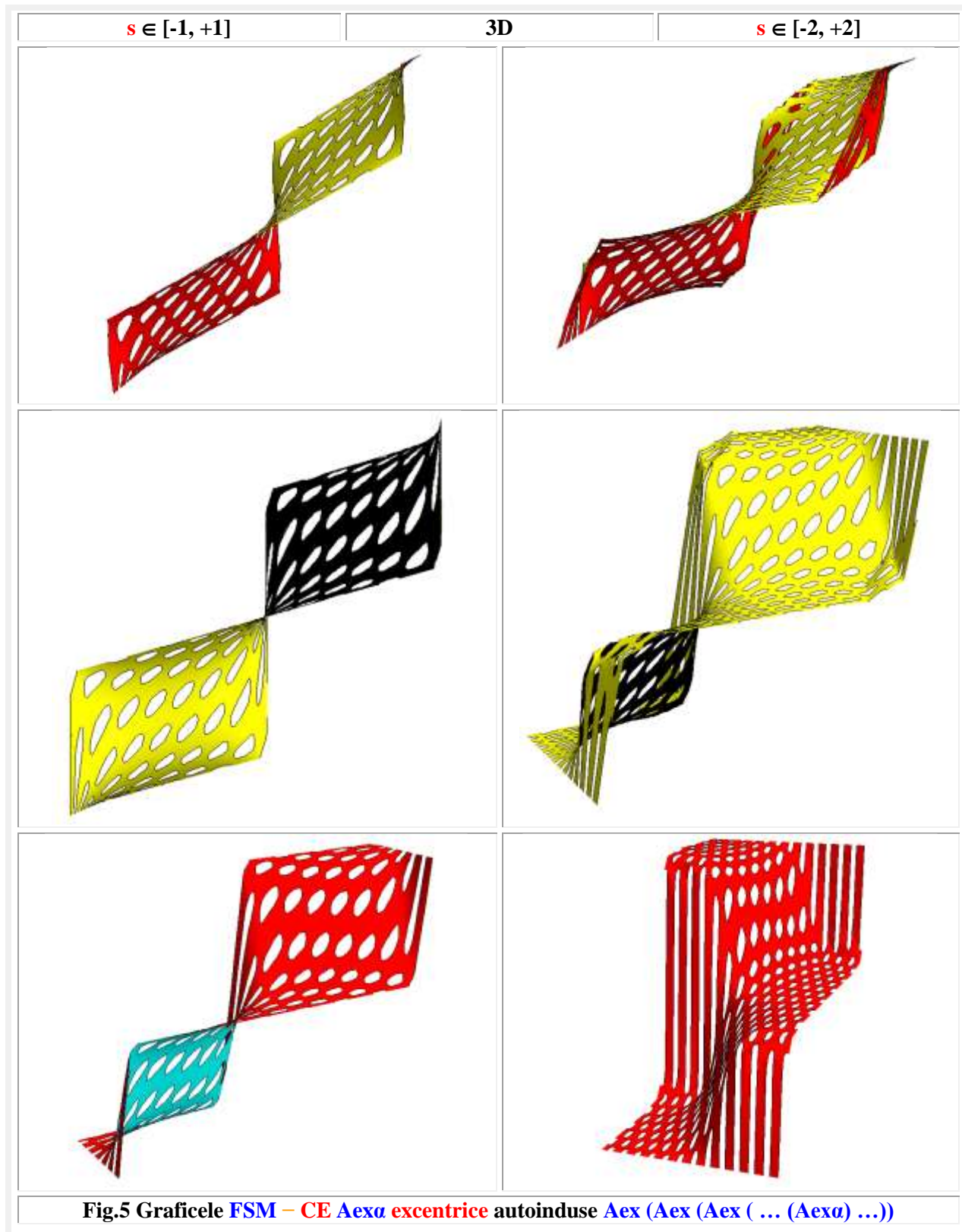
Fig. 3 Graficele **FSM** – **CE Beta** excentrice autoinduse **Bex(Bex(Bex(...Bex α) ...))**

3) FSM – CE AUTOINDUSE $aex\theta$ de variabile **excentrice** θ sunt prezentate în **figura 4** în 2D ◀

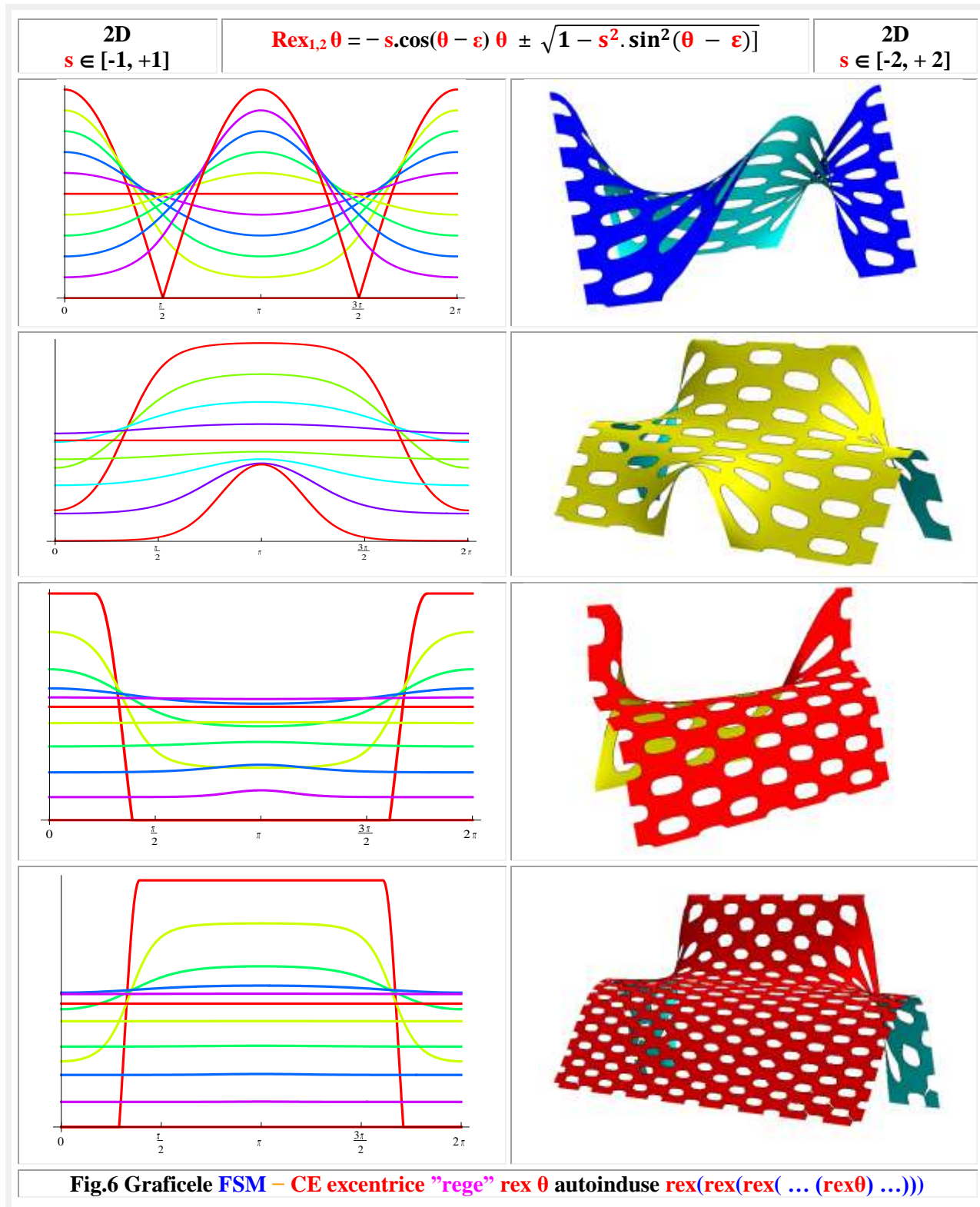


4) FSM – CE AUTOINDUSE $A_{\epsilon\alpha}$ de variabile **centrice** α sunt prezentate în **figura 5** în 2D ↑

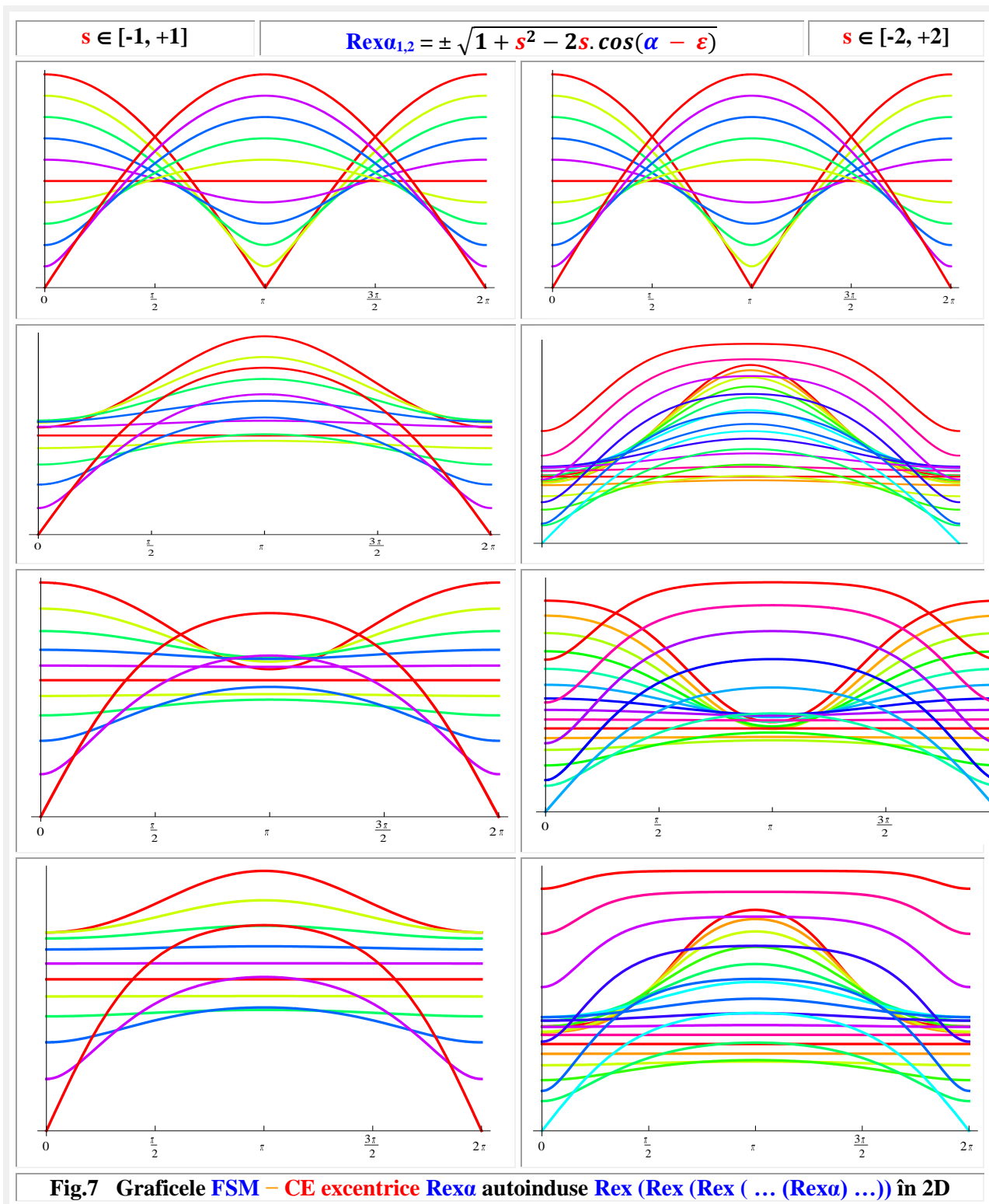




5) FSM – CE AUTOINDUSE $\text{rex}\theta$ de variabile **excentrice** θ sunt prezentate în **figura 6** în 2D



6) FSM-CE AUTOINDUSE $Rex\alpha$ de variabile **centrice** α sunt prezentate în **figura 7** în 2D și **8** în 3D.



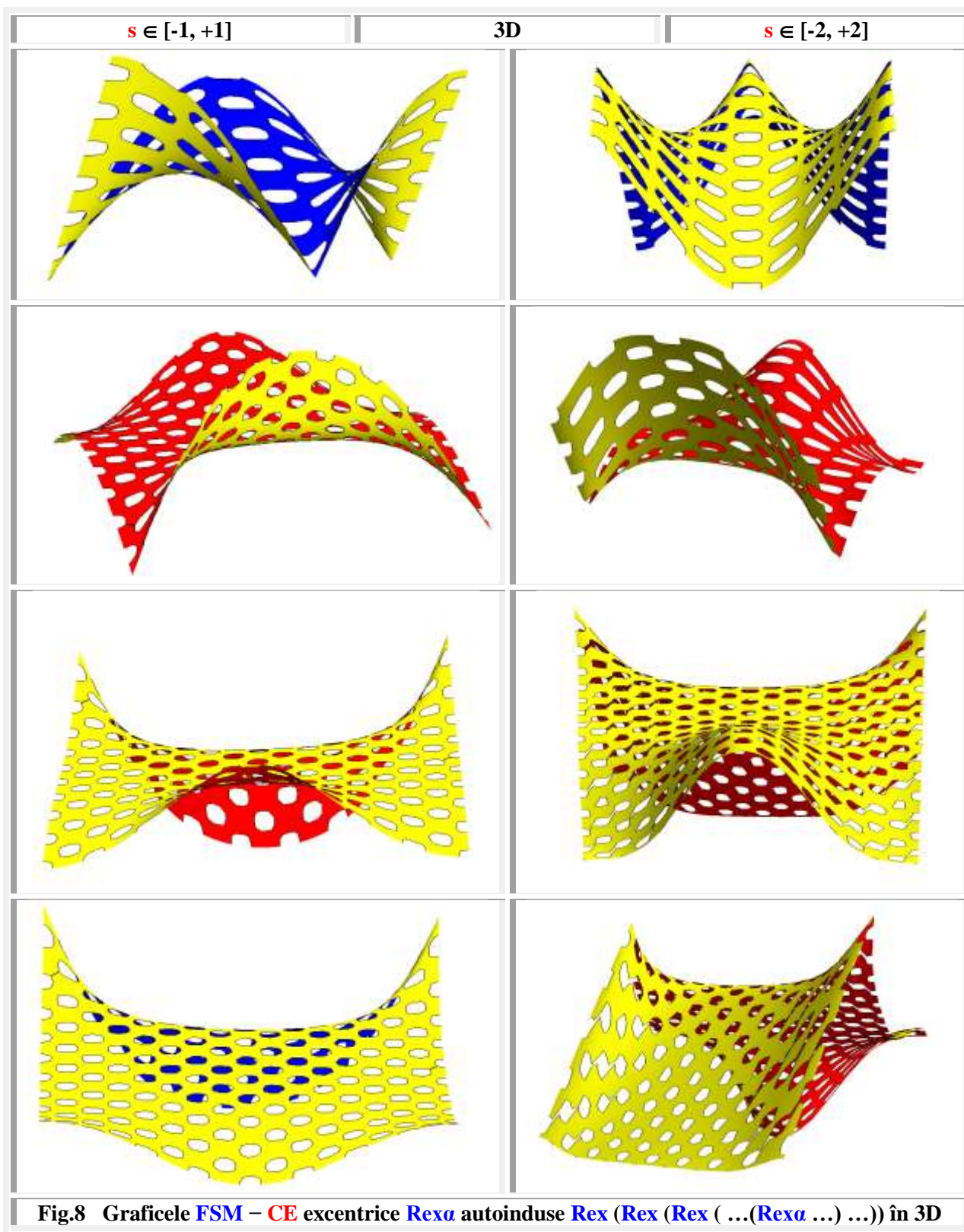
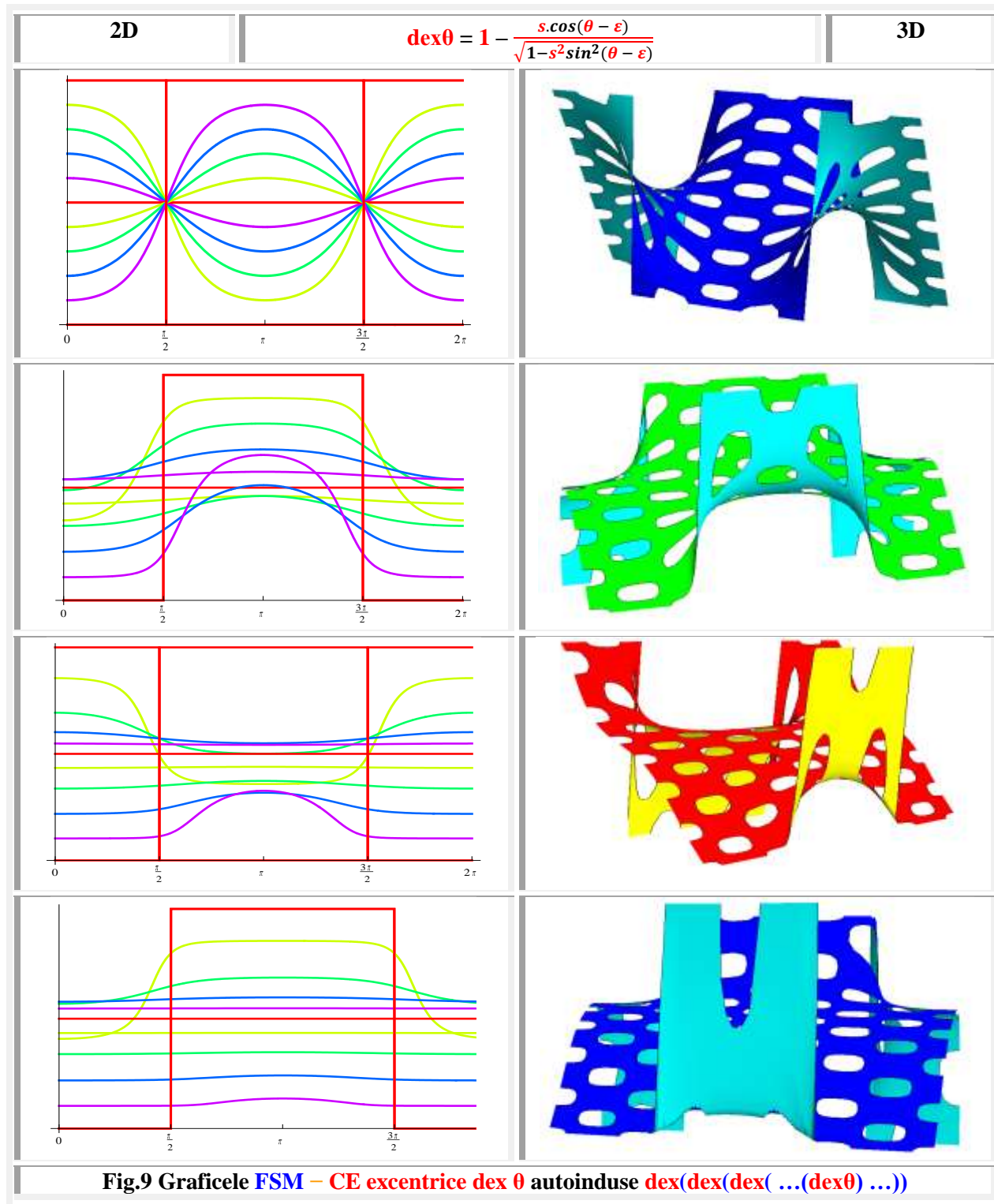
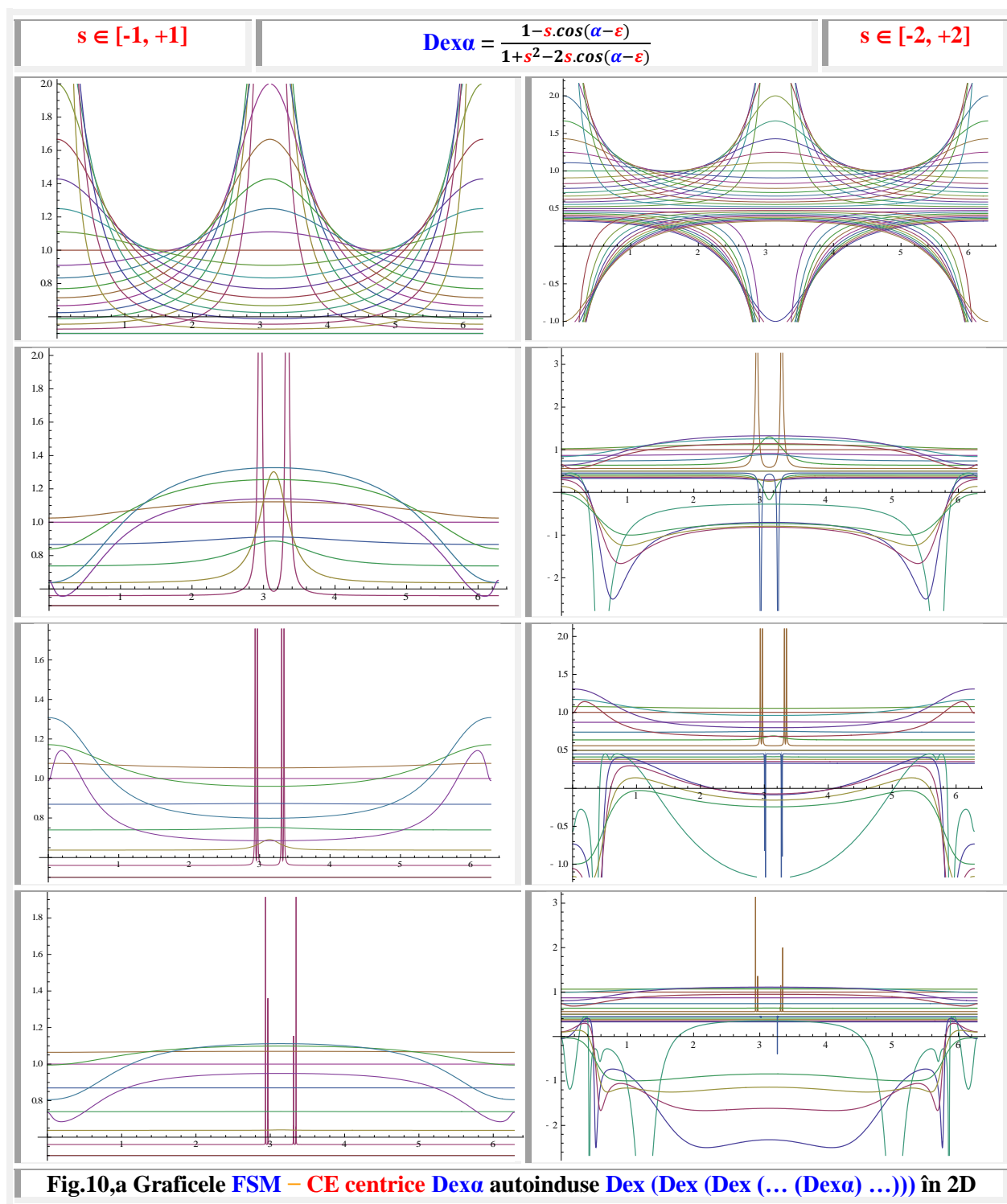


Fig.8 Graficele FSM – CE excentrice Rex_a autoinduse $Rex (Rex (Rex (...(Rex_a ...) ...))$ în 3D

6) FSM – CE AUTOINDUSE dexθ de variabile excentrice θ sunt prezentate în figura 9 în 2D ◀



7) FSM – CE **AUTOINDUSE** $Dex\alpha$ de variabile **centrice** α sunt prezentate în figura 10 în 2D ◀ și în 11 în 3D ▶



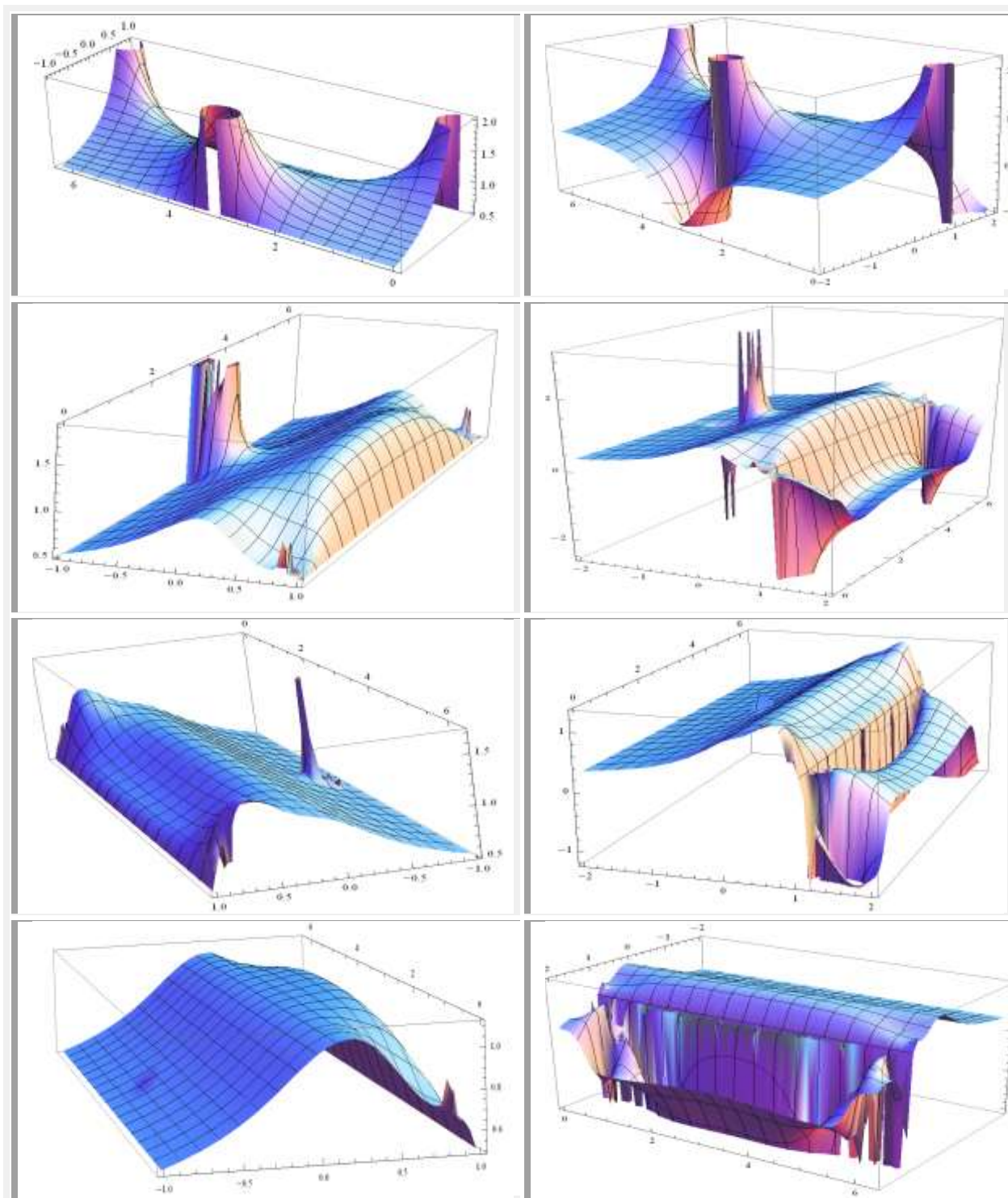
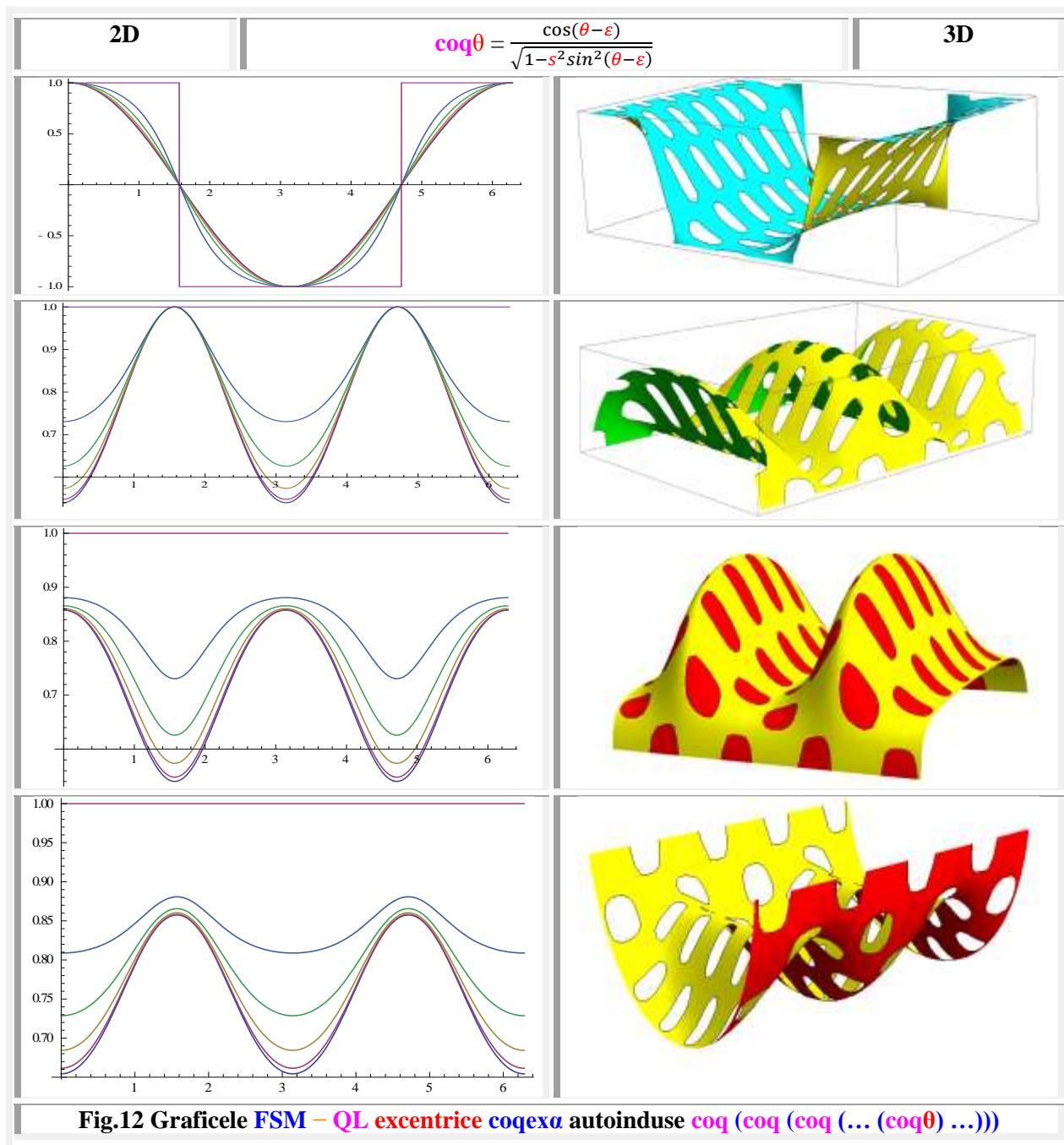


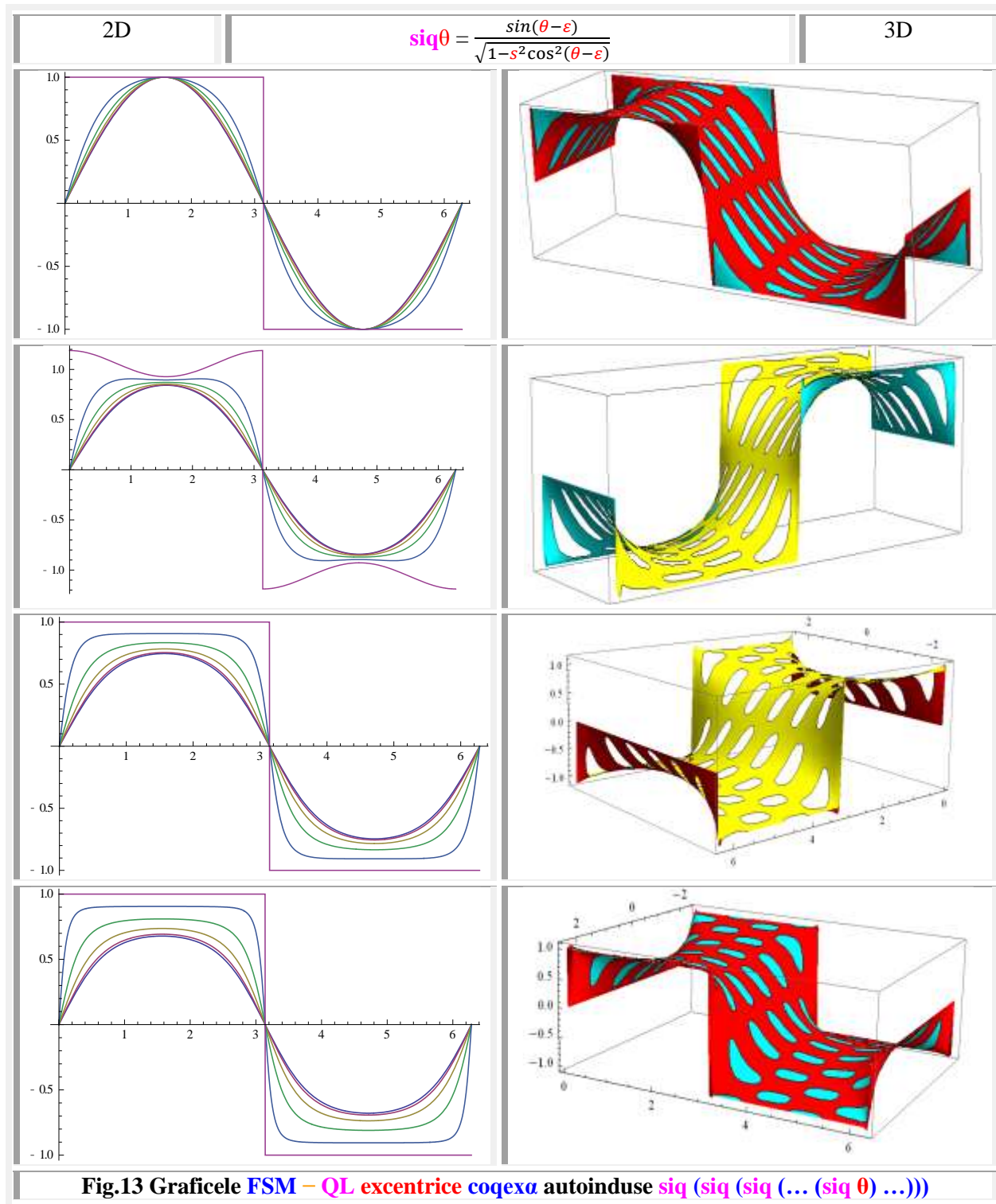
Fig.10,b Graficele FSM – CE centrice Dex α autoinduse Dex (Dex (Dex (... (Dex α) ...))) în 3D

Suprafețele FSM-CE autoinduse reprezentate în 3D sunt continue, dar pentru o mai bună vizualizare au fost “ciuruite”, cu excepția figurii anterioare, pentru a se vizualiza și zonele obturate / ascunse.

FSM – QL fiind mai puțin cunoscute, ele sunt prezentate în comparație cu FSM-CE $cex\theta$ și $sex\theta$, precum și cu FCC $cosa$ și $sina$, în schița din stânga **figurii 11** ◀. În dreapta ▶ sunt prezentate cele de variabilă centrică $Coqa$ și $Siqa$, ale căror forme în 2D și în 3D sunt asemănătoare celor de variabilă excentrică cu deosebirea că repartizarea punctelor pe cele două curbe este diferită. Punctele - $W(\theta)$ și $W(\alpha)$ - de același argument ($\frac{\pi}{3}$ și $\frac{\pi}{6}$) de variabilă excentrică (roșii) sunt defazate în față, față de cele de variabilă centrică (albastre).

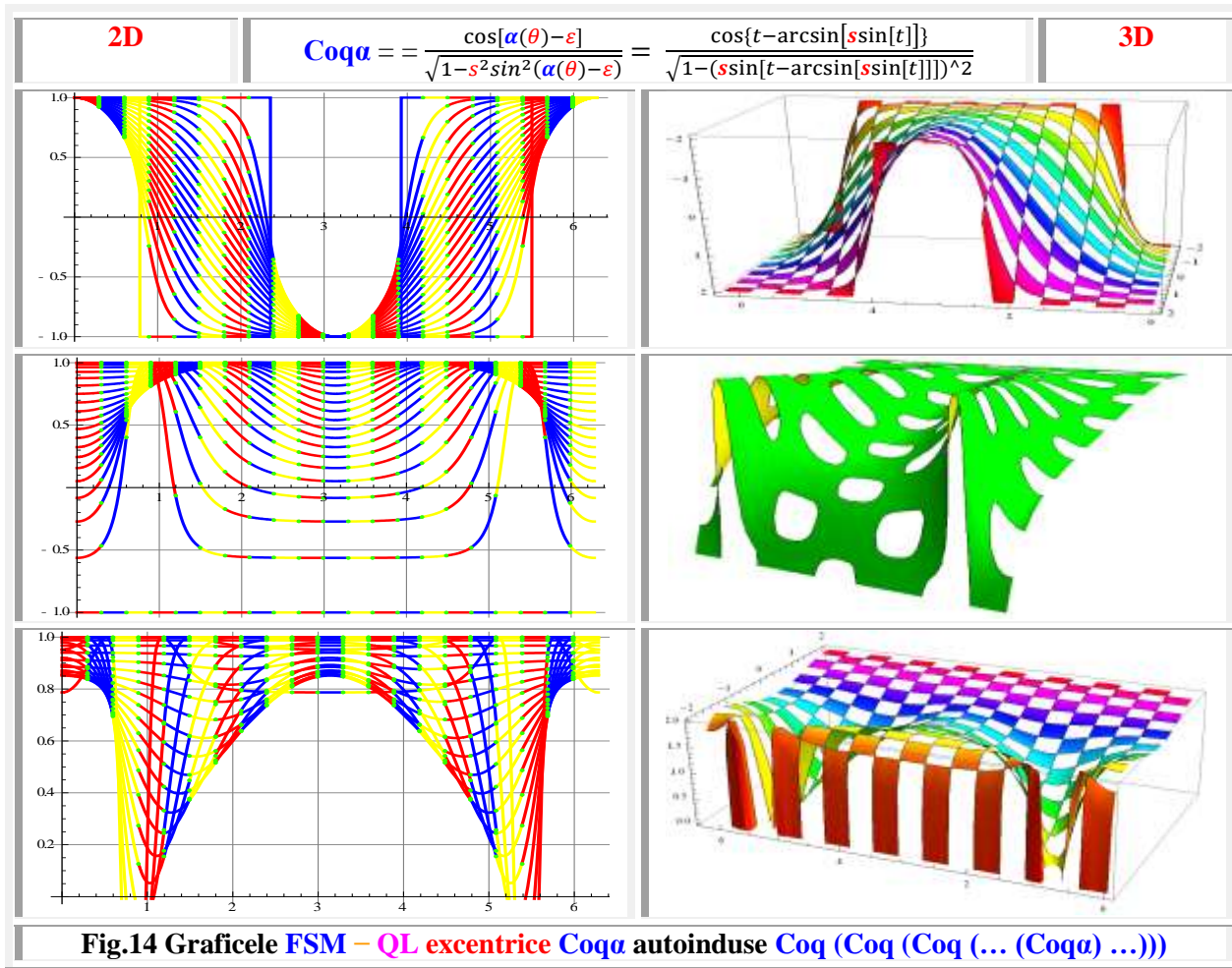


10) FSM – QL AUTOINDUSE $\text{siq}\theta$ de variabile **excentrice** θ sunt prezentate în **figura 13** în 2D ◀

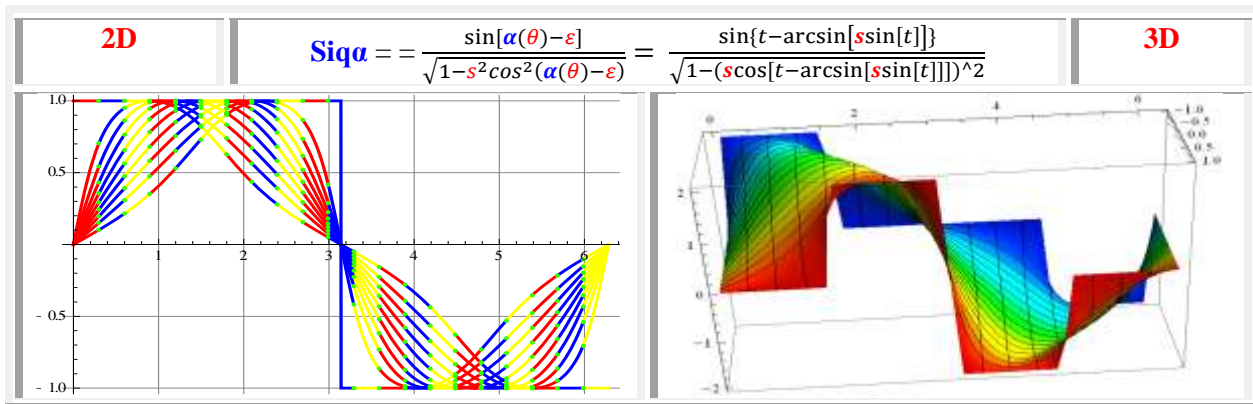


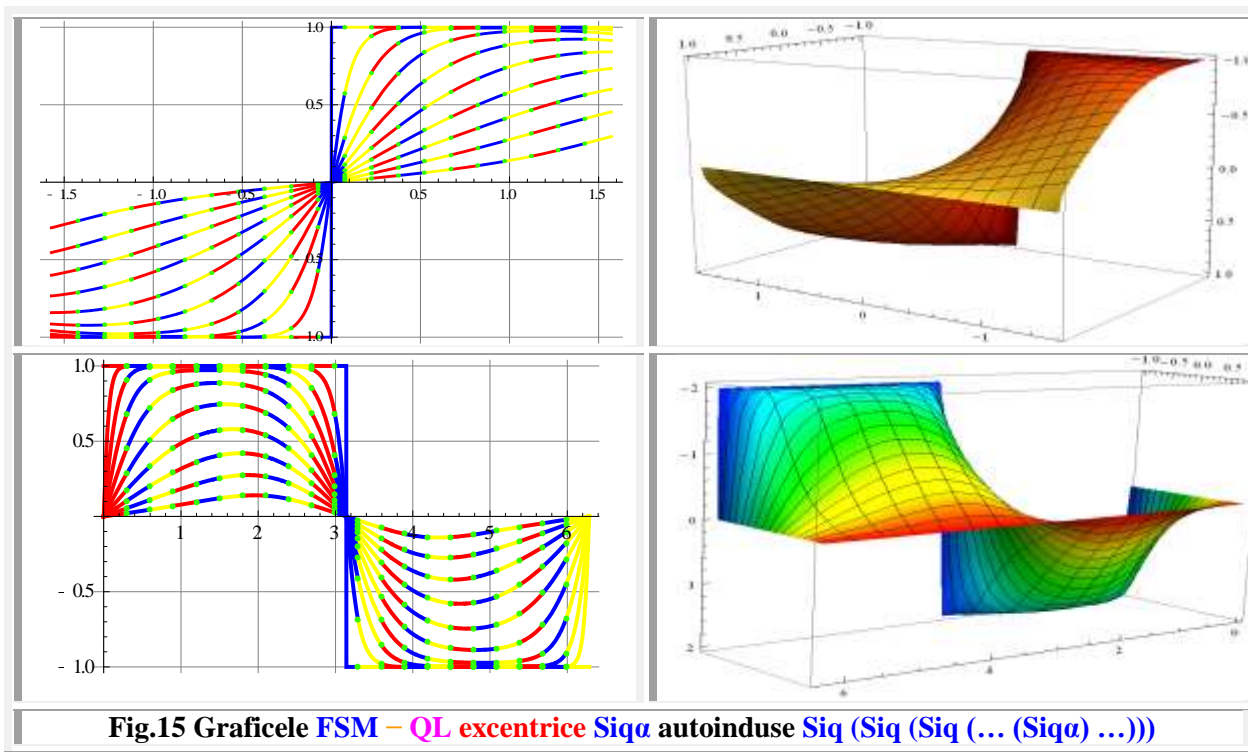
11. FSM – QL AUTOINDUSE $Coq\alpha$ de variabile **centrice** α sunt prezentate în **figura 14** în 2D ◀

Se obțin prin înlocuirea în ecuațiile anterioare a variabilei θ cu variabila $\alpha(\theta) = \theta - \arcsin[s \cdot \sin(\theta - \varepsilon)]$

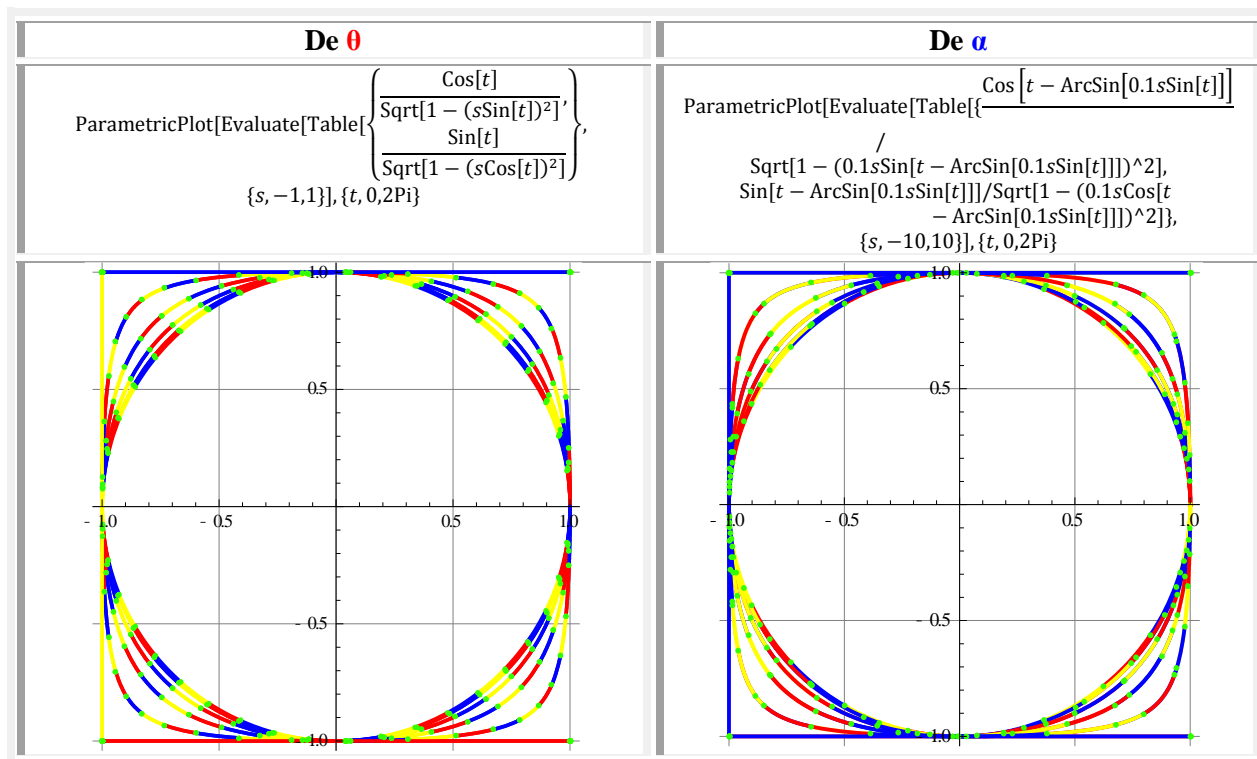


11) FSM – QL AUTOINDUSE $Coq\theta$ de variabile **centrice** α sunt prezentate în **figura 15** în 2D ◀





12) FSM – QL AUTOINDUSE de variabile centrice α în 2D (Fig. 15) și în 3D (Fig.16)



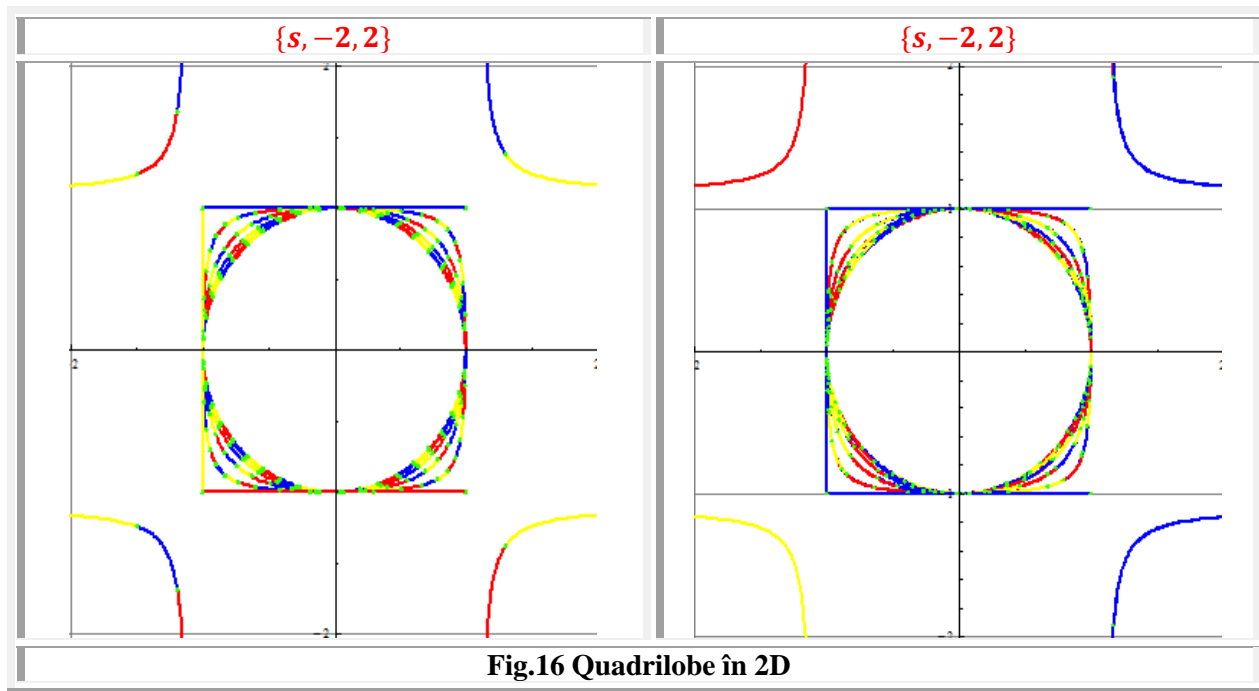
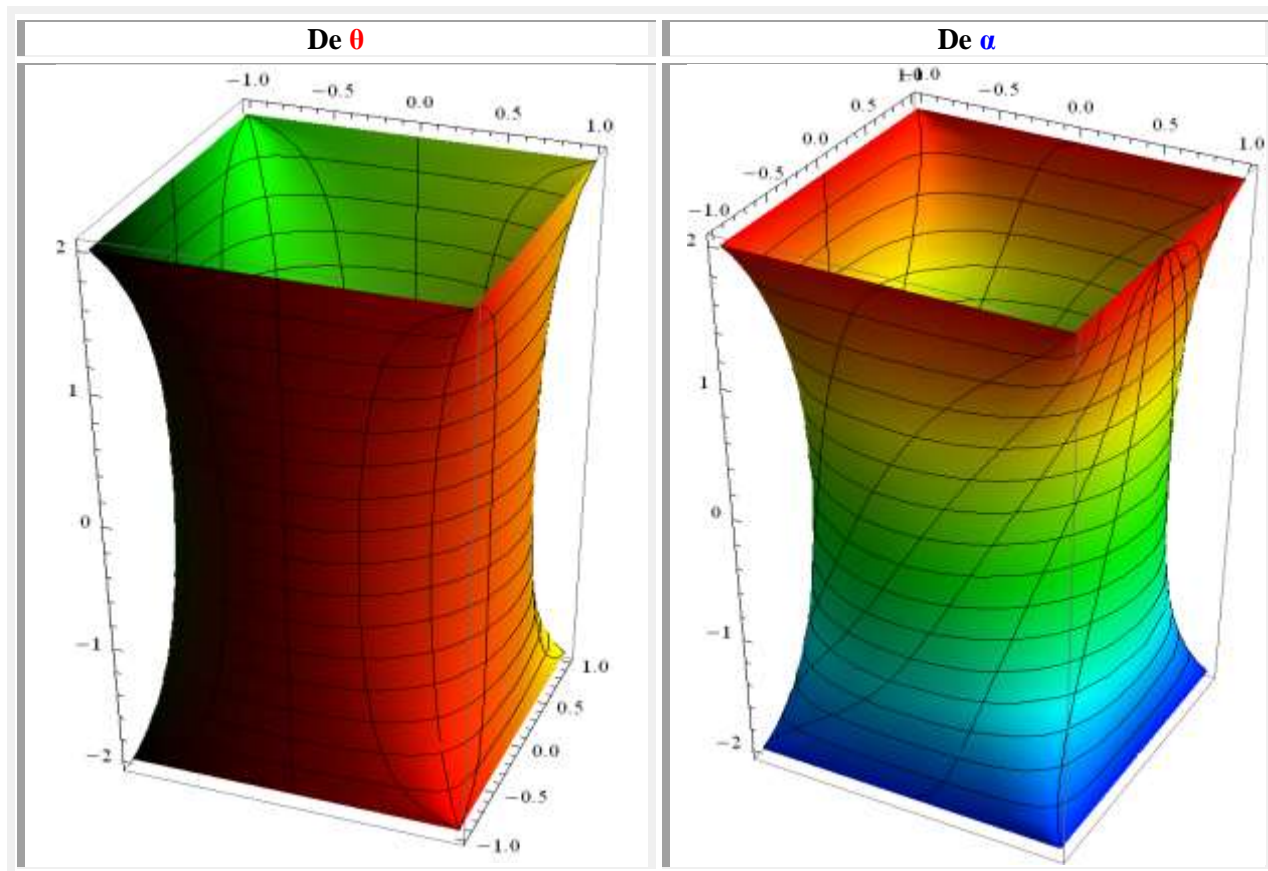


Fig.16 Quadrilobe în 2D



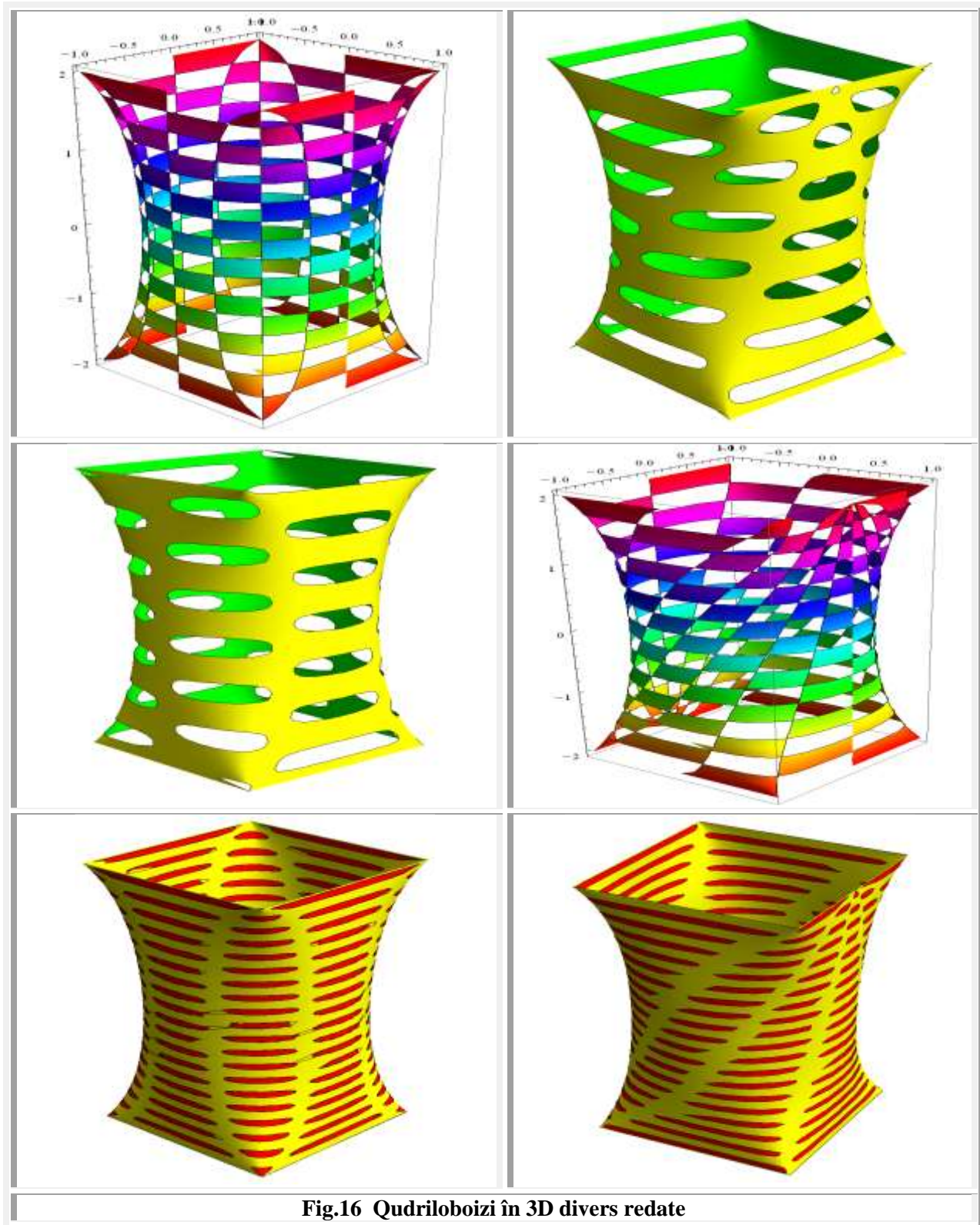


Fig.16 Qudriloboizi în 3D divers redate

Motto:” **Supermatematica**, multiplicând la infinit toate entităţile matematice, a deschis nu numai noi căi spre infinit, ci şi **cutia Pandorei matematice**. **Pandora** însemnând în limba greacă **cu toate darurile**. Sperăm să fie cele bune, deşi **speranţa** a rămas singură în **cutia Pandorei**”
Autorul Supermatematicii

CAPITOLUL XVII

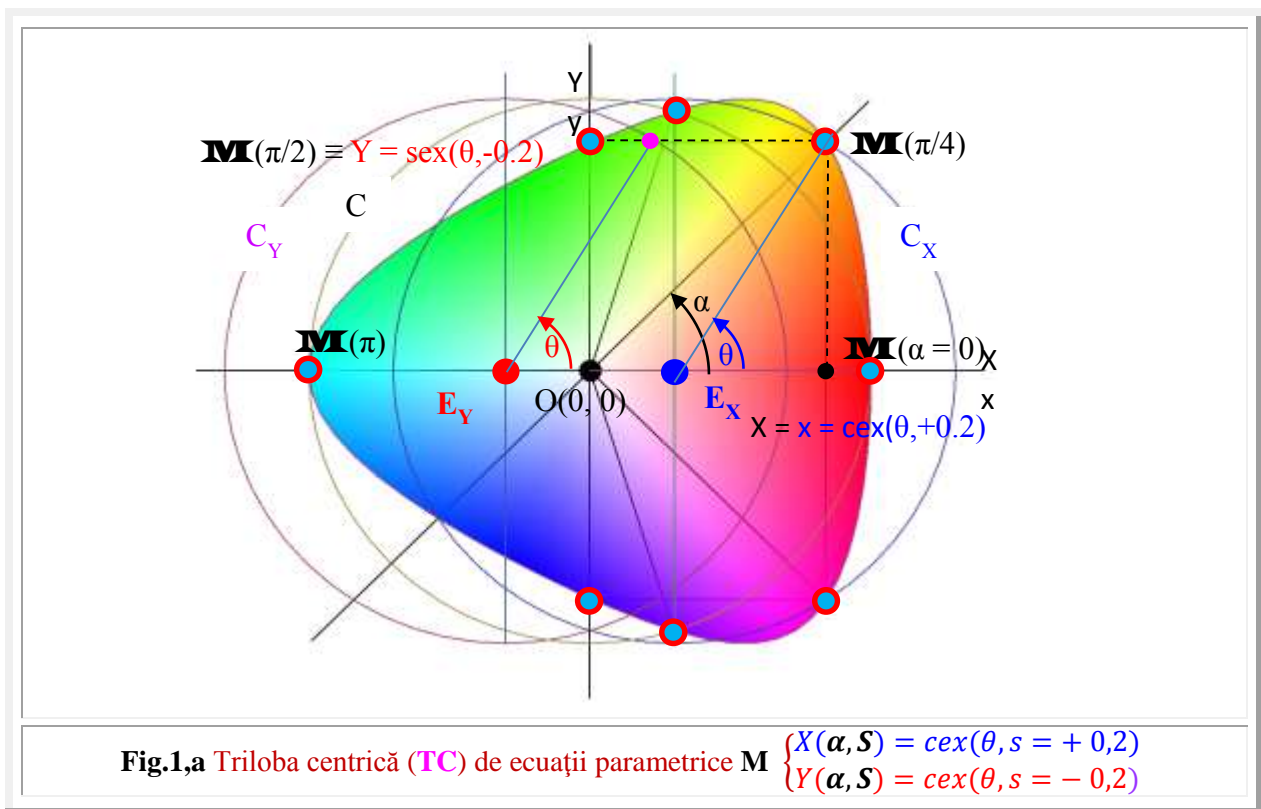
TRILOBE

0. REZUMAT

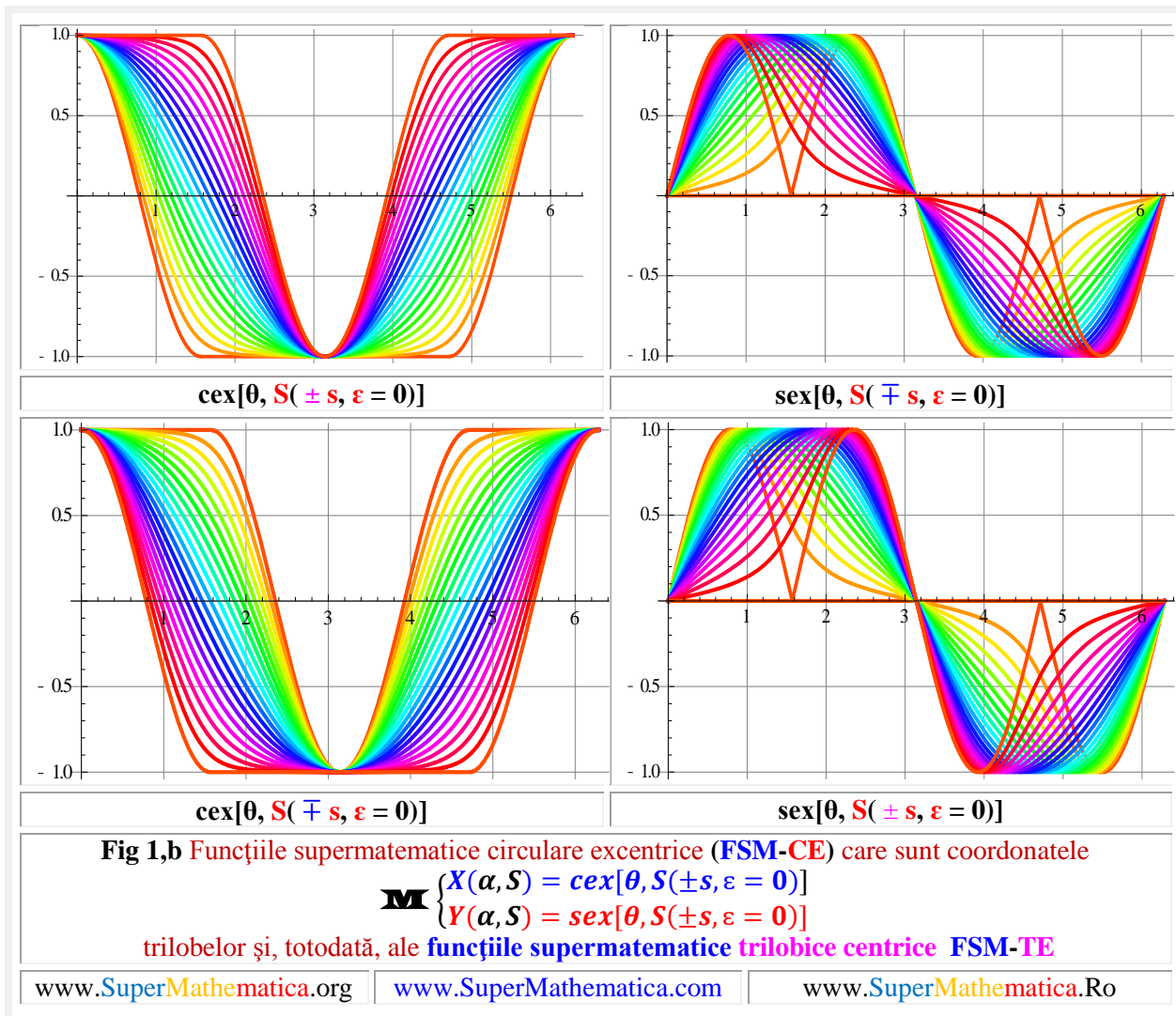
Trilobele ca şi quadrilobele (cvadrilobele) sunt curbe **supermatematice (FSM)** închise, obţinute cu ajutorul funcţiilor **supermatematice circulare excentrice (FSM-CE)**.

Prin combinarea **FSM-CE cosinus excentric** $X = cex_{1,2}[\theta, S(\pm s, 0)]$ de excentricitate liniară numerică $\pm s$ cu **sinus excentric** $Y = sex_{1,2}[\theta, S(\mp s, 0)]$ de excentru cu semne schimbate $\mp s$, dar de aceeaşi excentricitate unghiulară $\epsilon_{cos} = \epsilon_{sin}$, sau, ceea ce este acelaşi lucru, de aceeaşi excentricitate liniară numerică $\pm s$, dar de excentricitate unghiulară diferită ca, de exemplu, $\epsilon_{cos} = 0$ şi $\epsilon_{sin} = \pi$ sau invers $\epsilon_{cos} = \pi$ şi $\epsilon_{sin} = 0$.

1. TRILOBE CENTRICE DE EXCENTRE PUNCTE FIXE ÎN PLAN



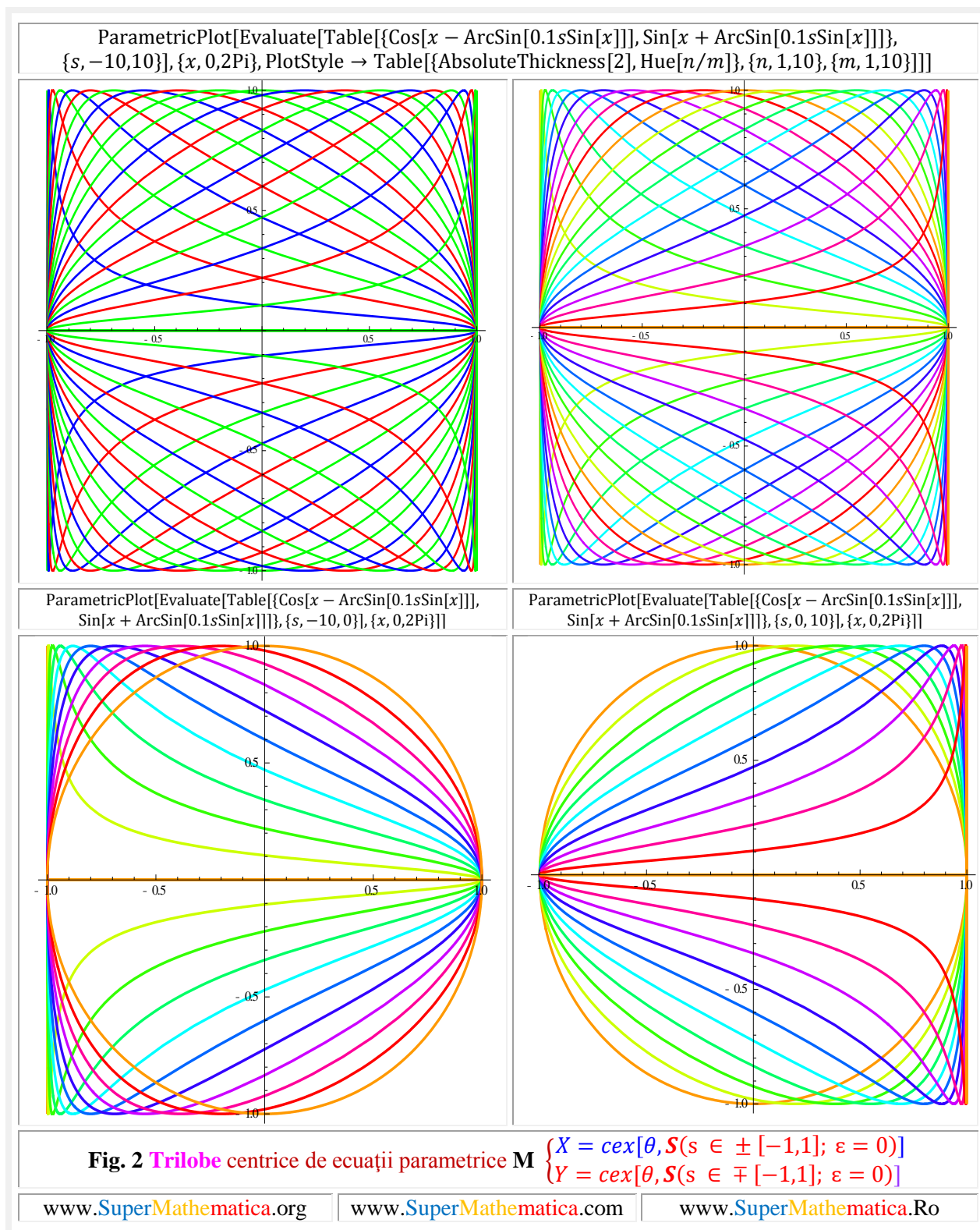
O trilobă centrică de excentricitate $s = \pm 0,2$ este prezentată în **figura 1,a**, iar în **figura 1,b** sunt prezentate familii de **funcţii supermatematice circulare excentrice (FSM-CE)** de excentre interioare discului **cercului unitate centric** $C[O(0, 0), R = 1]$, adică, de excentricităţi $s^2 < 1$, sau $s \in \pm [-1, 1]$ de semne contrarii, care stau la baza definiţiei funcţiilor supermatematice trilobe centrice (**FSM-TC**).

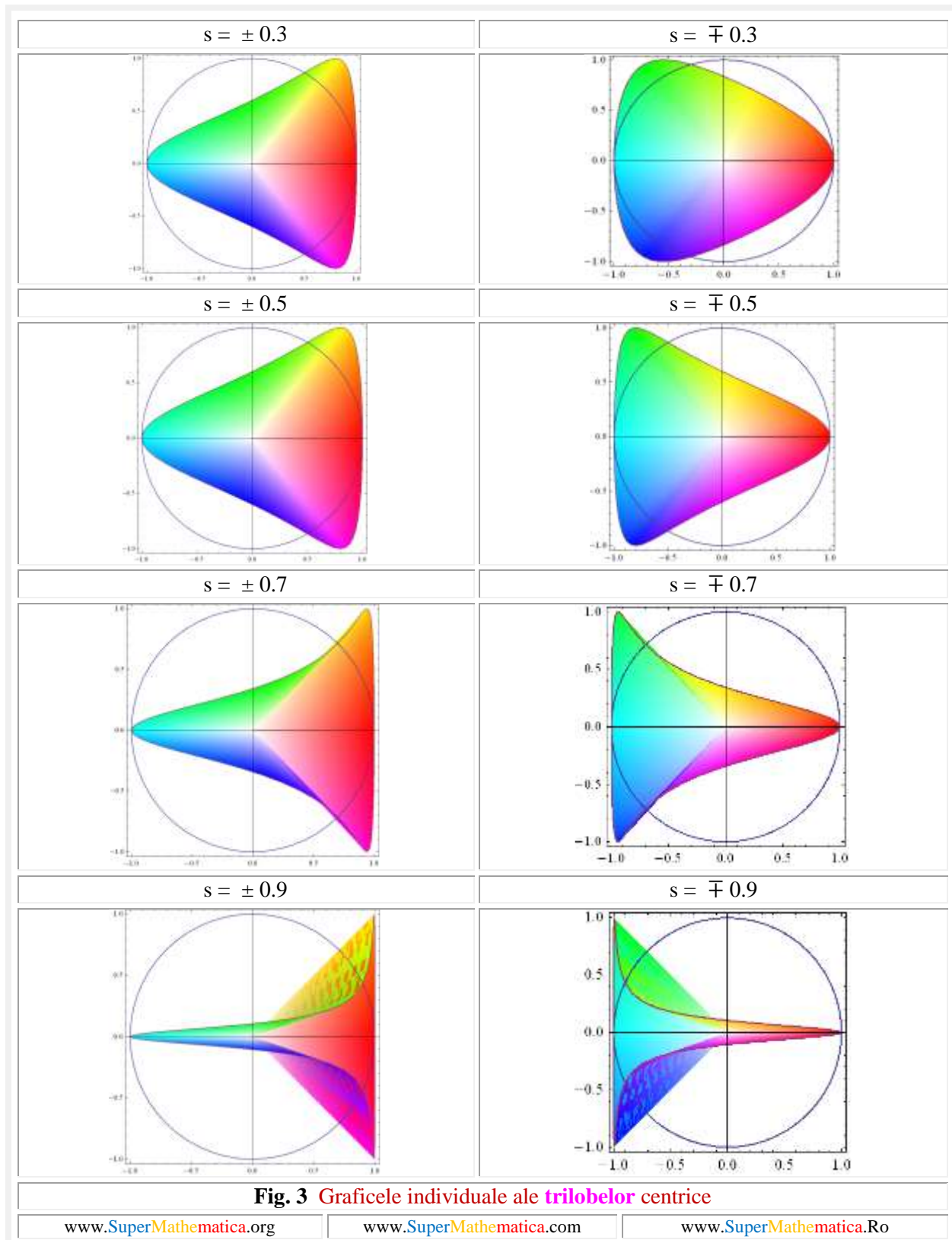


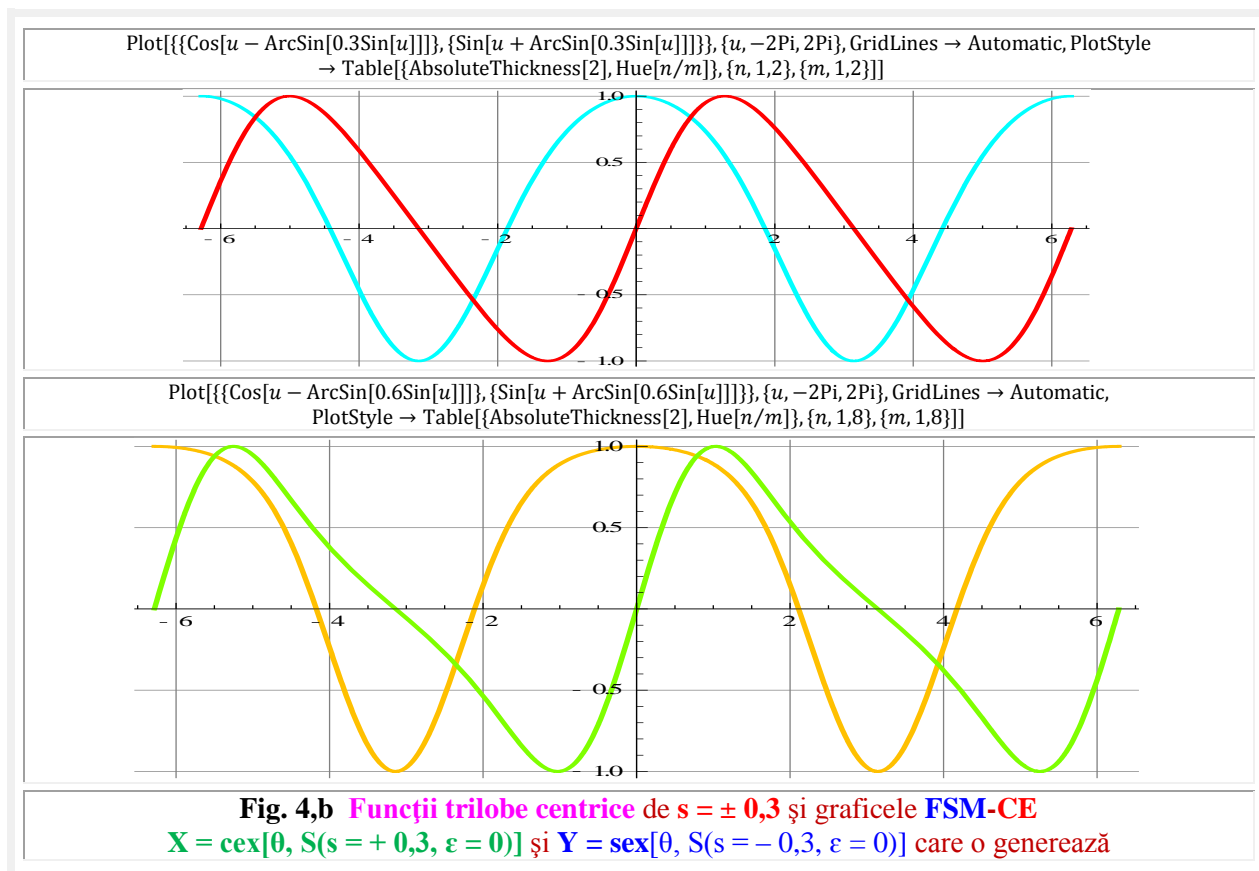
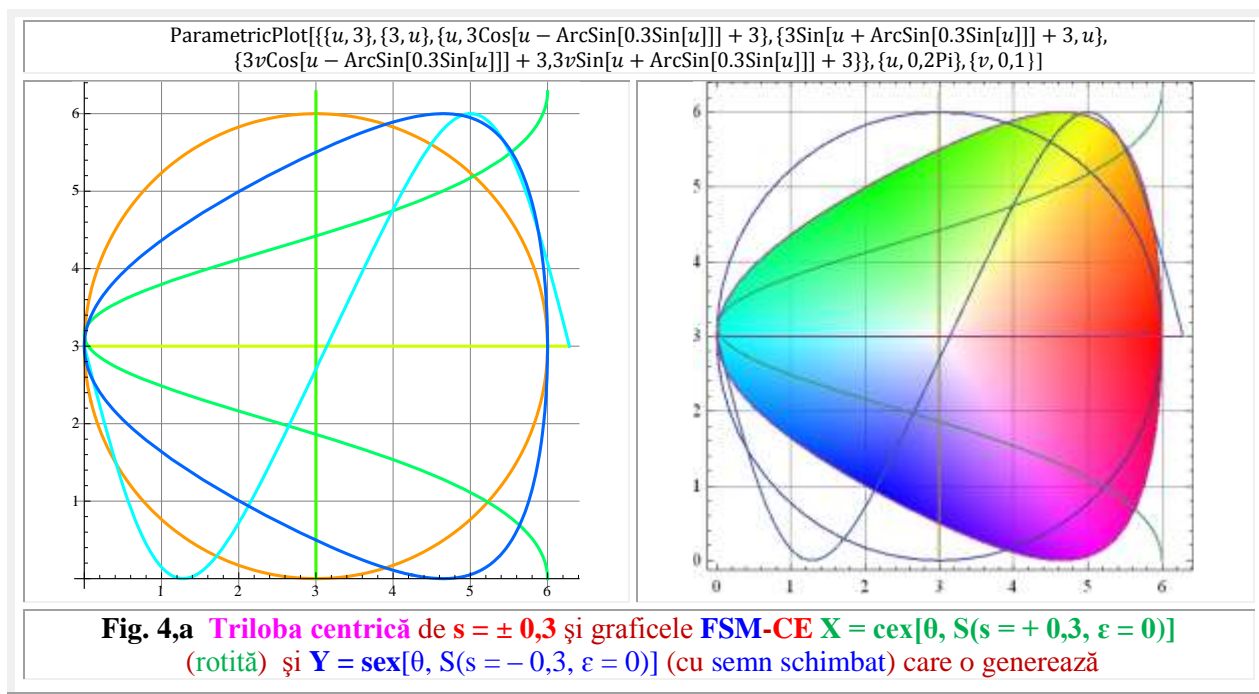
Familii de **trilobe centrice** pentru excentricităţi de module subunitare şi de semne opuse, pentru coordonatele lor $\mathbf{X}(\alpha) = cex[\theta, S(\pm s, \varepsilon = 0)]$ şi, respectiv $\mathbf{Y}(\alpha) = sex[\theta, S(\pm s, \varepsilon = 0)]$ sunt prezentate în **figura 2**. Unghiul α este unghiul la centrul $O(0, 0)$ iar unghiurile θ sunt unghiurile la excentrele S_x , şi respectiv, S_y adică a acelor excentre, aici simetric dispuse pe axa Ox faţă de originea $O(0,0)$, care determină coordonatele $\mathbf{X}(\alpha)$ şi, respectiv, $\mathbf{Y}(\alpha)$ ale trilobelor.

Există şi posibilitatea definiţiei trilobelor pe cercuri de raze diferite ca şi a trilobelor de excentre nesimetrice faţă de originea O .

Pentru a obţine grafice ale **FSM-TC** cât mai clare, în **figura 3** acestea sunt prezentate individual.





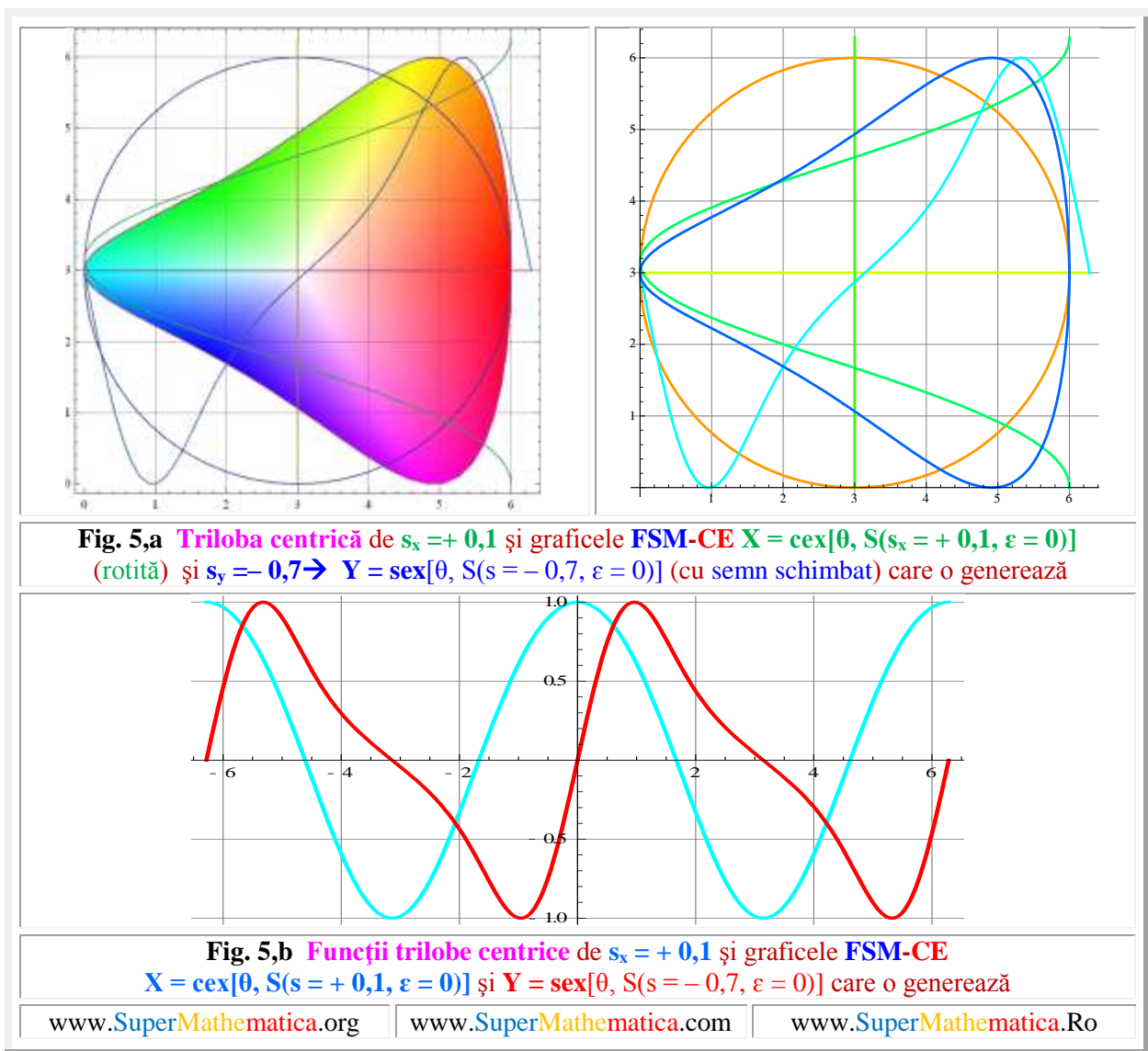


Pentru a se putea urmări şi verifica generarea unei **trilobe** oarecare, aceasta a fost prezentată împreună cu coordonatele sale în **figura 4,a**. Deoarece coordonata sau abscisa **X** a trilobei este dată de **FSM-CE $X = cex[\theta, S(s = + 0,3, \varepsilon = 0)]$** , aceasta a fost prezentată rotită cu $-\pi/2$, pentru ca valoarea lui **X** sa fie orientată pe direcţia abscisei **x**.

Ordonata **Y** este prezentată cu semn schimbat **$Y = -sex[\theta, S(s = - 0,3, \varepsilon = 0)]$** . În acest mod, se observă în cadranul I, că cele două funcţii **X** şi **Y**, sunt coordonatele trilobei centrice, deoarece se intersectează între ele chiar pe curba sau pe conturul / graficului **trilobei centrice**.

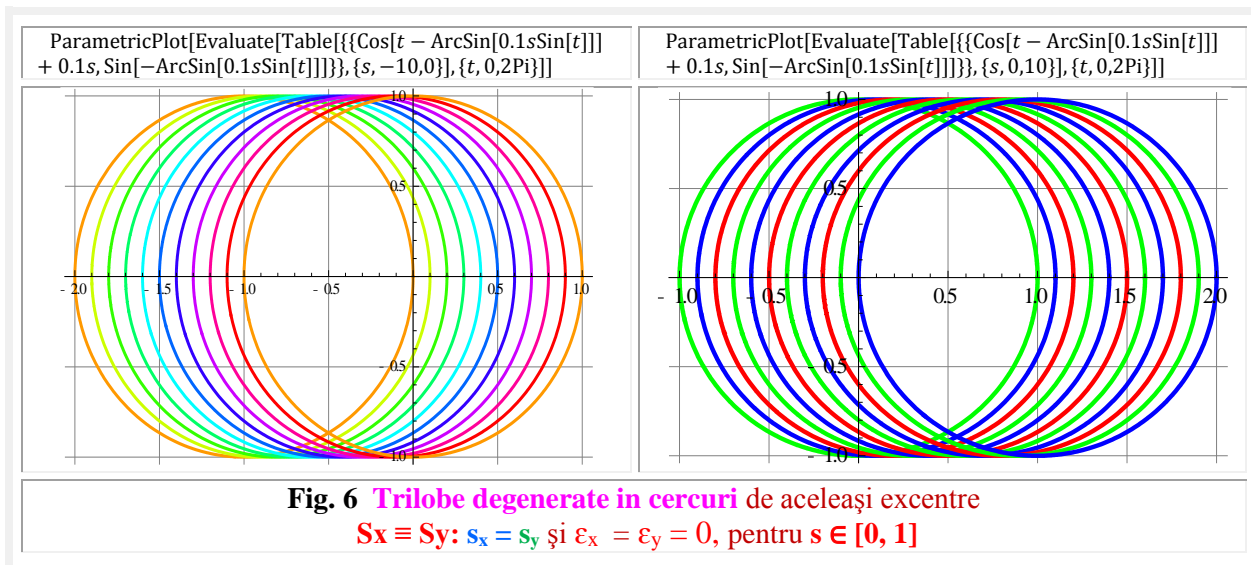
În aceleaşi figuri a fost prezentat şi cercul unitate / trigonometric. Deoarece el este cel care generează coordonatele acestei trilobe, care sunt în acelaşi timp / totodată **funcţii trilobe centrice** şi **FSM-CE cosinus** şi **sinus circulare excentrice**, ea ar putea fi denumită şi **trilobă centrică unitate**.

În **figura 4,b** sus ▲ sunt prezentate **funcţiile trilobe centrice** care au determinat **triloba centrică** de **$s = \pm 0,3$** din **figura 4,a** şi de excentricităţi **$s = \pm 0,6$** jos ▼.



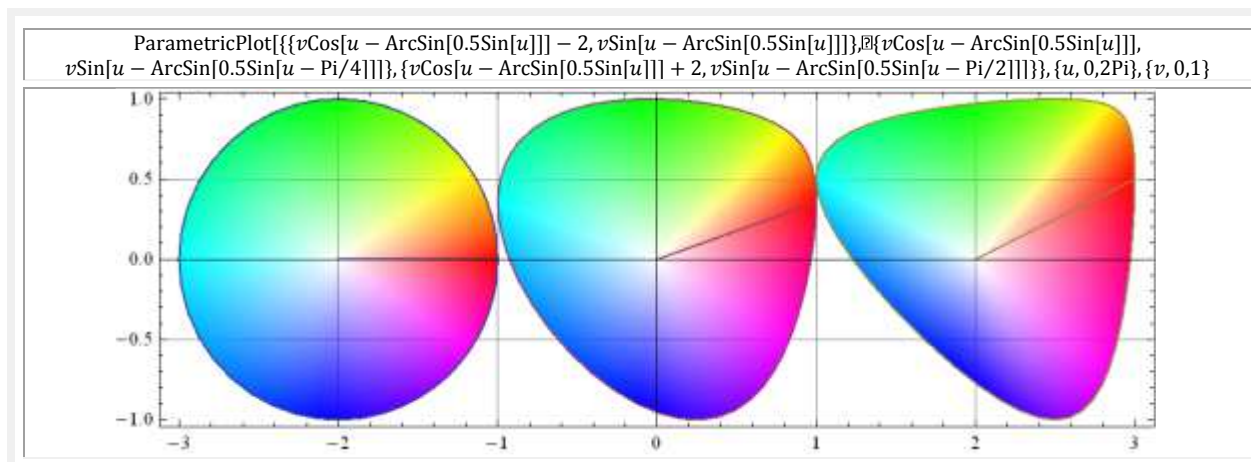
Trilobele centrice cât şi cele excentrice pot fi şi de excentricităţi diferite, nu numai ca semn ci şi ca valoare. Astfel, în **figura 5,a** sunt prezentate trilobe centrice de $s_x = +0,1$ şi $s_y = -0,7$, iar în **figura 5,b** **FSM-CE** şi, totodată, funcţii trilobe centrice care le generează.

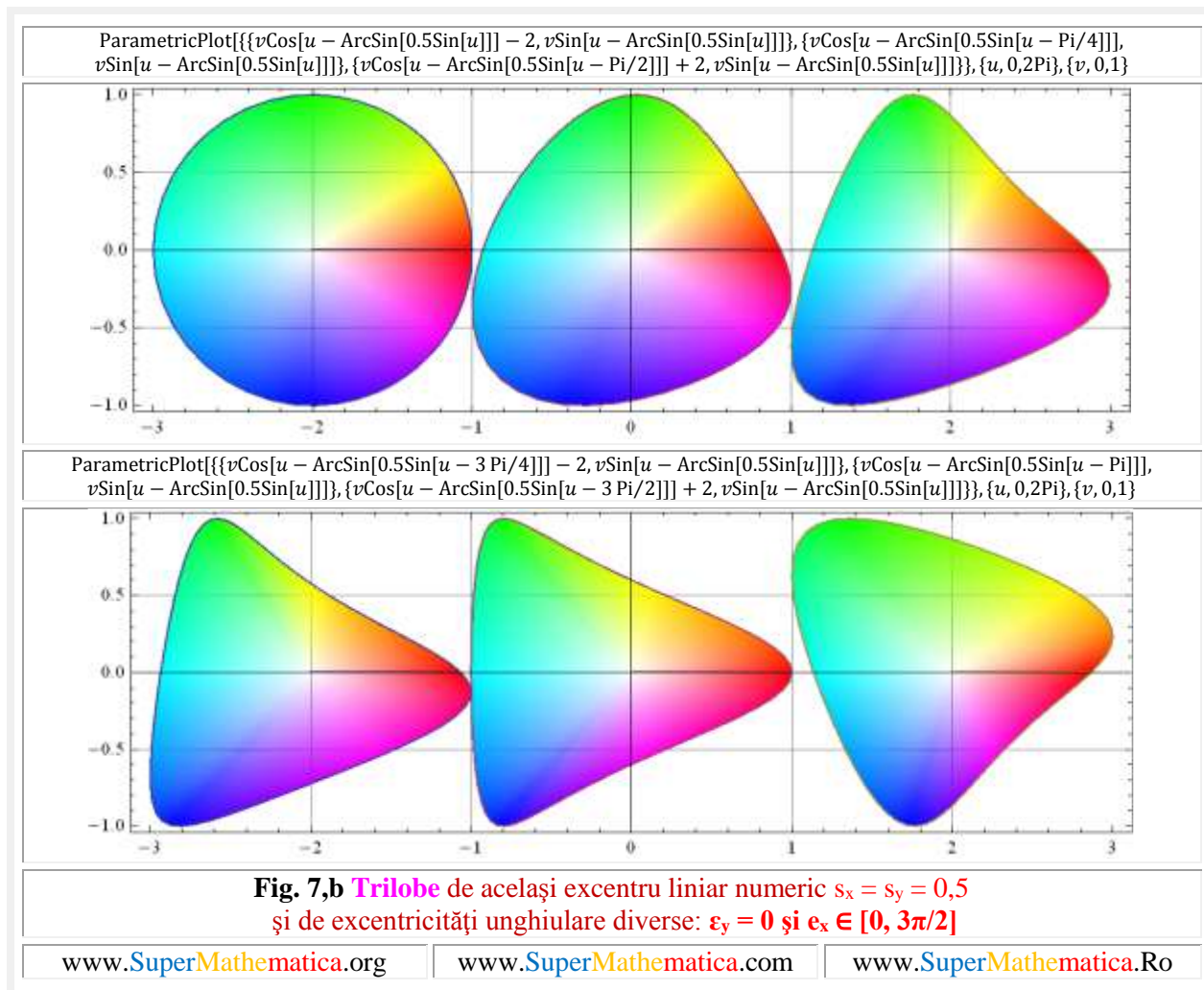
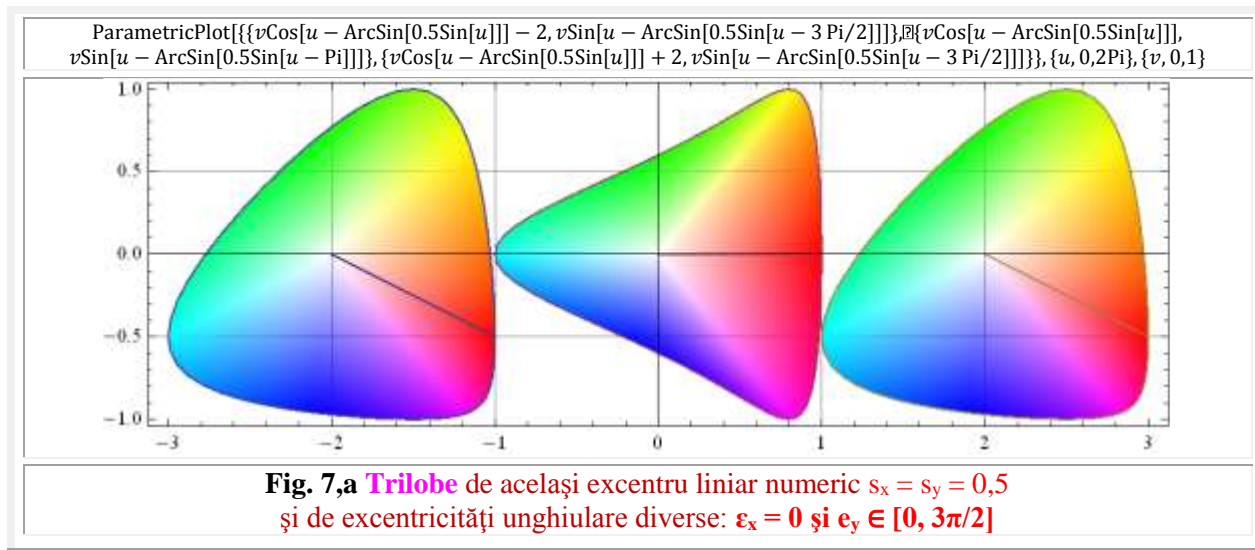
Înteressant este faptul că **funcţiile supermatematice circulare excentrice** generează cercuri, dacă în ecuaţiile parametrice ale lui X şi Y au aceeaşi excentricitate liniară numerică **s** şi aceeaşi excentricitate unghiulară ϵ , sau, altfel spus, dacă sunt de acelaşi excentru **S(s, ϵ)**, așa cum se poate observa în **figura 6**, în care s-a dat o deplasare a cercurilor pe direcţia x pentru a se evita suprapunerea lor.



Forma trilobelor se modifica şi în funcţie de valoarea excentricităţii unghiulare ϵ , a unui sau a ambelor excentre. Astfel, în **figura 7,a** excentrul **S_y(s_y; ϵ_y)** oscilează pe axa y, în intervalul (+ 0,5; - 0,5) şi sunt prezentate trilobe de **s_x = s_y = 0,5** cu diverse excentricităţi unghiulare **e_x = 0** şi $\epsilon_y \in [0, 3\pi/2]$.

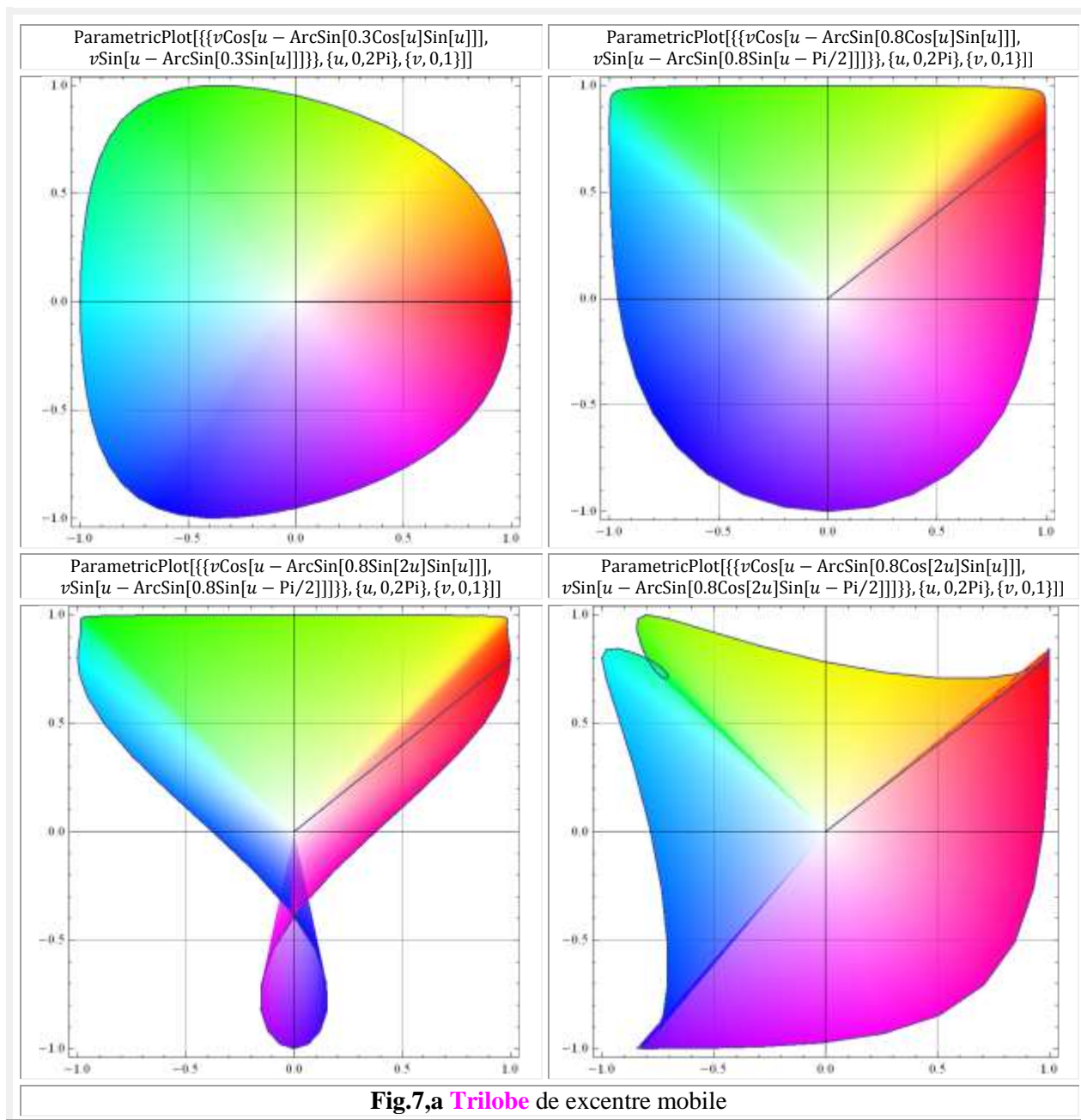
Variaţia excentricităţii pe axa x este prezentată în **figura 7,b**.

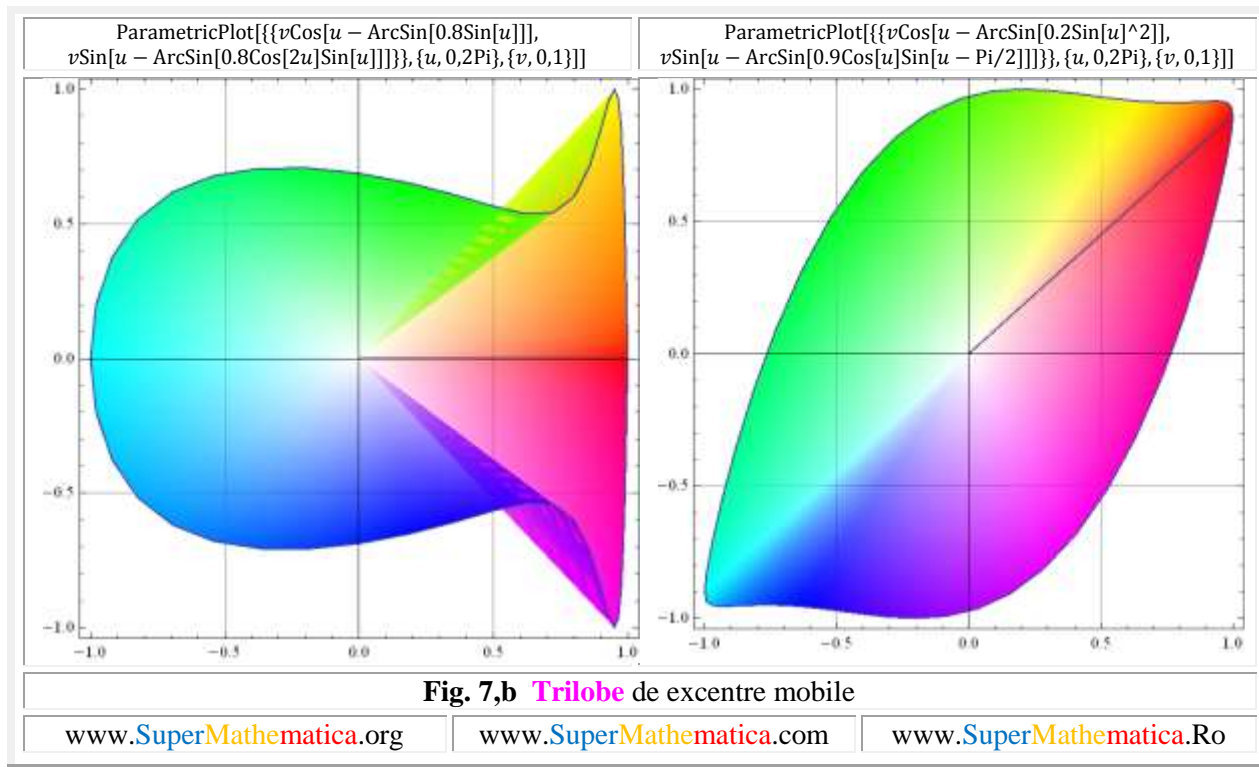




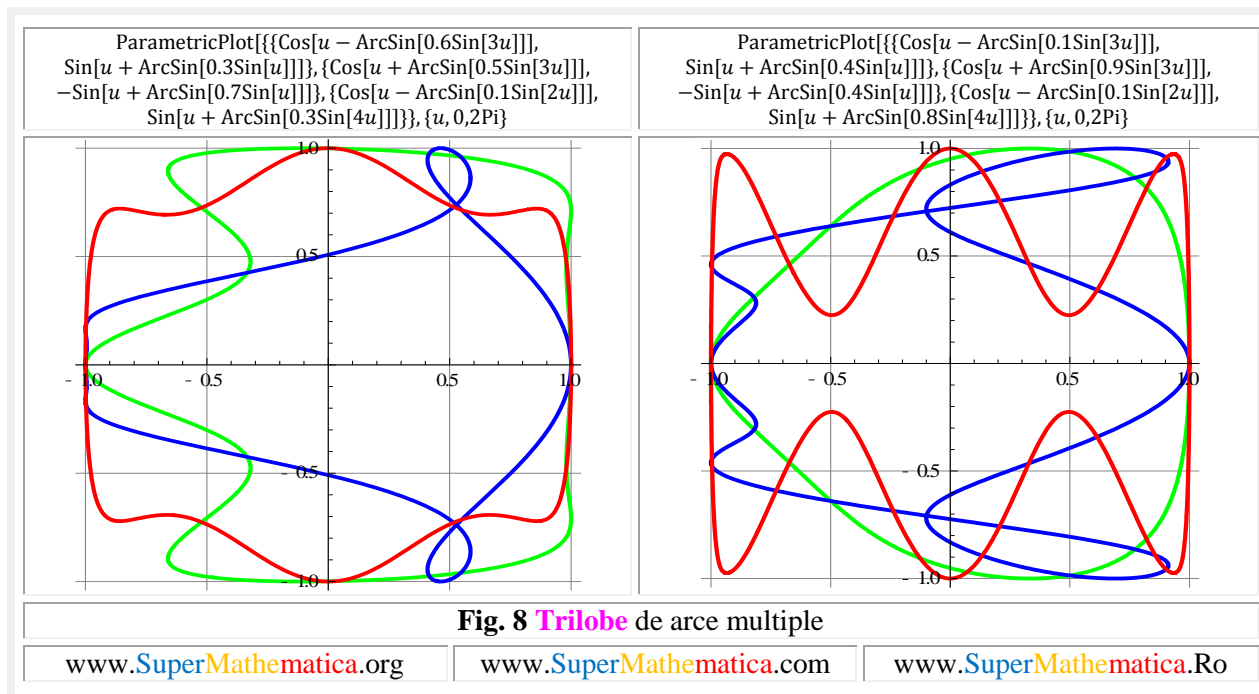
2.TRILOBELE CENTRICE DE EXCENTRE PUNCTE MOBILE ÎN PLAN

Aşa cum s-a putut observa, **trilobele** sunt curbe plane noi, închise, dependente de două puncte din plan, denumite **excentre** (ex-centre): primul **S_x** care determină abscisa X a trilobei şi al doilea **S_y** care determină ordonata Y a trilobei. În exemplele anterioare, aceste puncte erau fixe în plan. Dacă unul sau ambele excentre evoluează în plan după anumite legi, adică sunt puncte mobile, atunci trilobele sunt de excentre mobile. Un astfel de exemplu este prezentat în **figura 7,a** şi **7,b**.



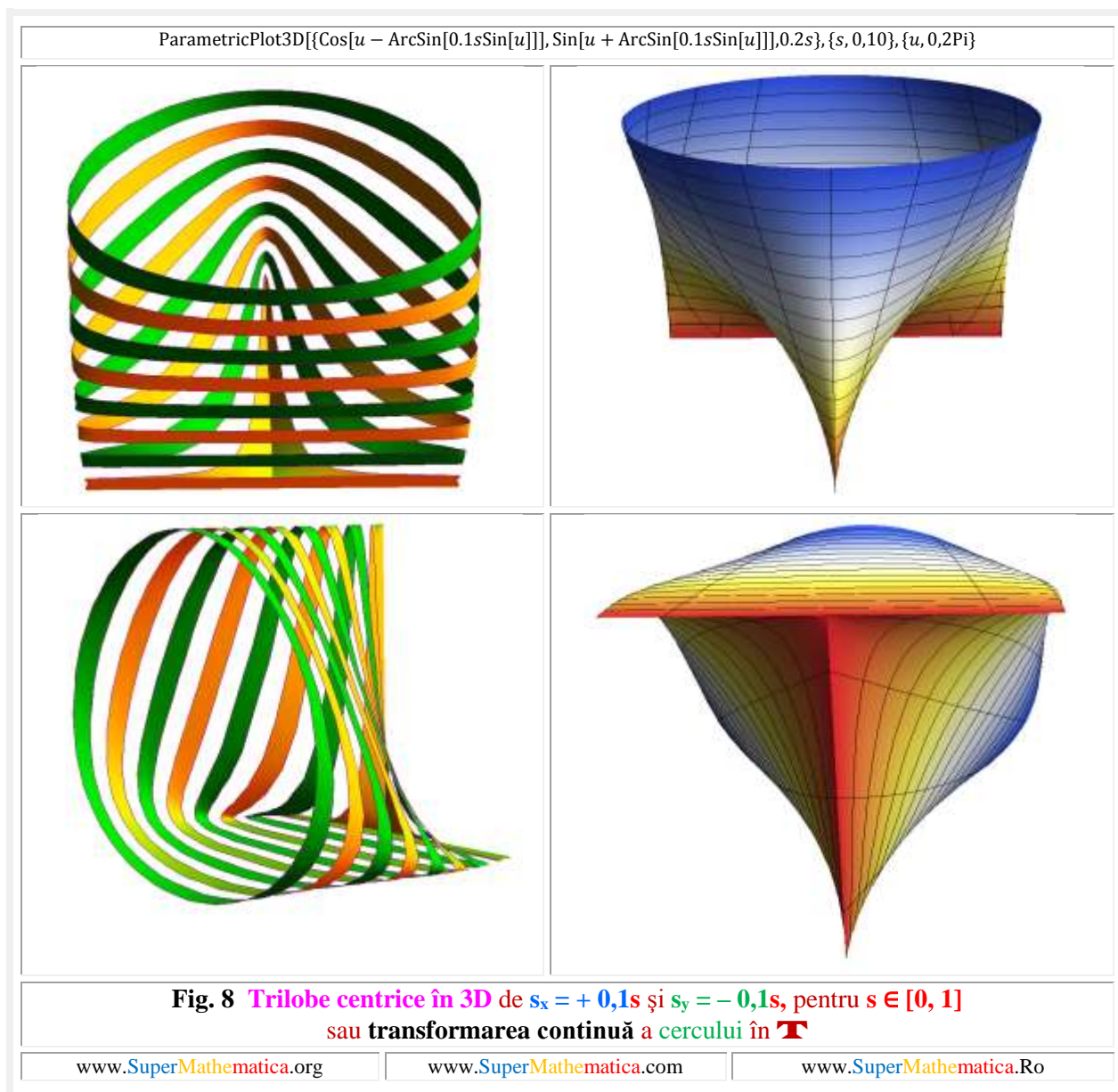


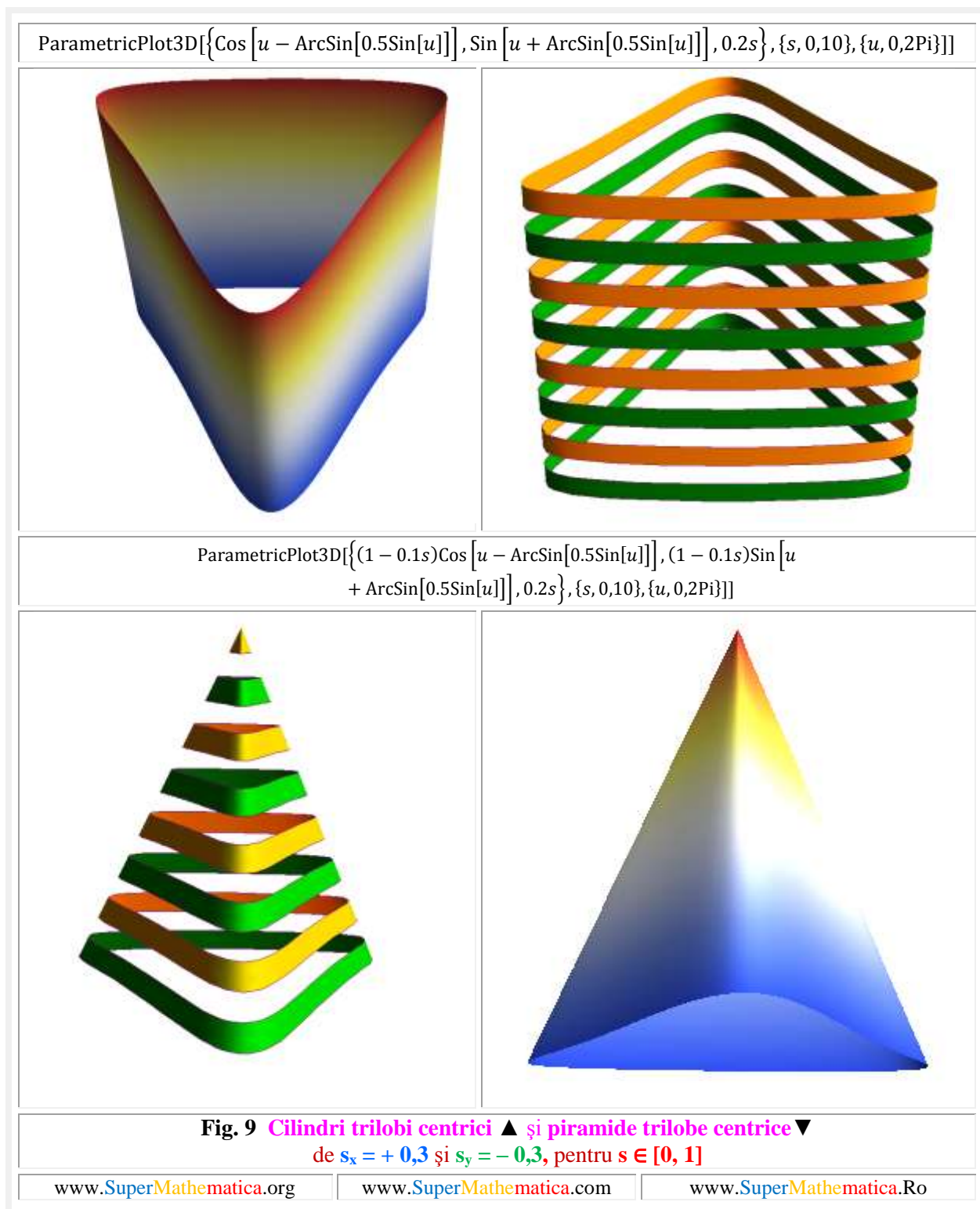
Dacă funcțiile beta excentrice $bex(\theta) = \beta(\theta) = \arcsin[s \cdot \sin(\theta - \epsilon)]$ sunt de arce multiple în ecuațiile parametrice ale trilobelor se obțin curbele **trilobe** închise reprezentate în **figura 8**.



3 TRILOBE IN 3D DE EXCENTRE FIXE

Trilobele se obţin adăugând la ecuaţiile parametrice ale trilobelor **2D** pe $Z = s_x$ sau $Z = s_y$ sau combinaţii ale acestora. Astfel, ele pot constitui şi o imagine a transformării continue a unui cerc (triloba de $s_x = 0$ şi / sau $s_y = 0$) într-o altă figură geometrică, de obicei alcătuită din segmente de linii drepte, care pot fi diverse poligoane normale sau degenerate, ultimul caz formând o figură geometrică în formă de **T**, așa cum se poate observa în **figura 8**, fiecare obiect **3D** fiind reprezentat în câte 2 poziții.





În figura 10 sunt prezentate în 3D și în 3 vederi trilobe speciale de arce multiple. Ecuațiile tuturor trilobelor sunt trecute deasupra figurilor prezentate.



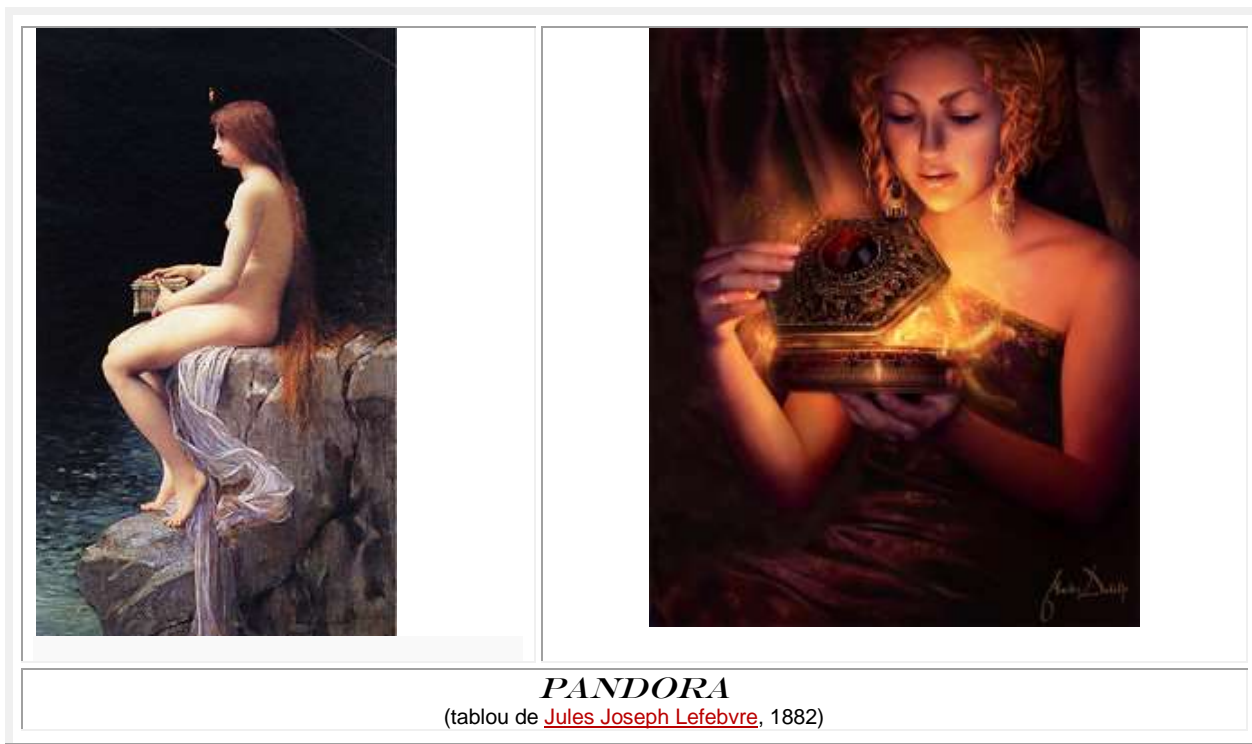
A N E X Ă LA MOTTO : **Pandora, Cutia Pandorei**

(Dupa : <http://ro.wikipedia.org/wiki/Pandora>)

Pandora (în [limba greacă](#) Πανδώρα) a fost în [mitologia greacă](#) prima femeie de pe pământ. Ea a fost creată de zeii care, geloși pe [Zeus](#) care crease bărbații, au hotărât să creeze o femeie perfectă.

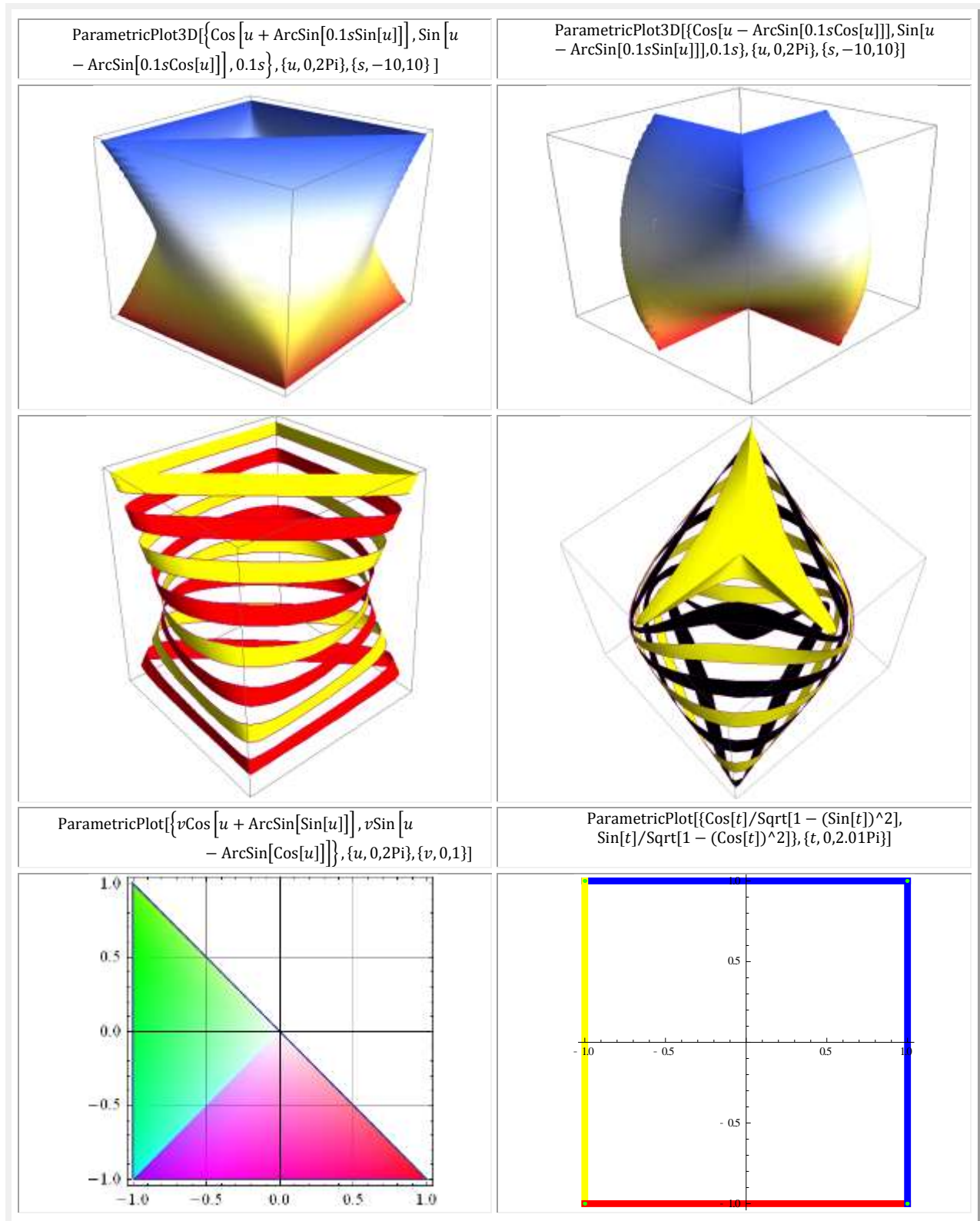
[Hefaistos](#), zeul meșteșugăritului, folosind apă și pământ, i-a dat corp și chip. Ceilalți zei au înzestrat-o cu multe talente: [Afrodita](#) i-a dat frumusețea, [Minerva](#) înțelepciunea, [Apollo](#) talentul muzical, [Hermes](#) puterea de convingere.

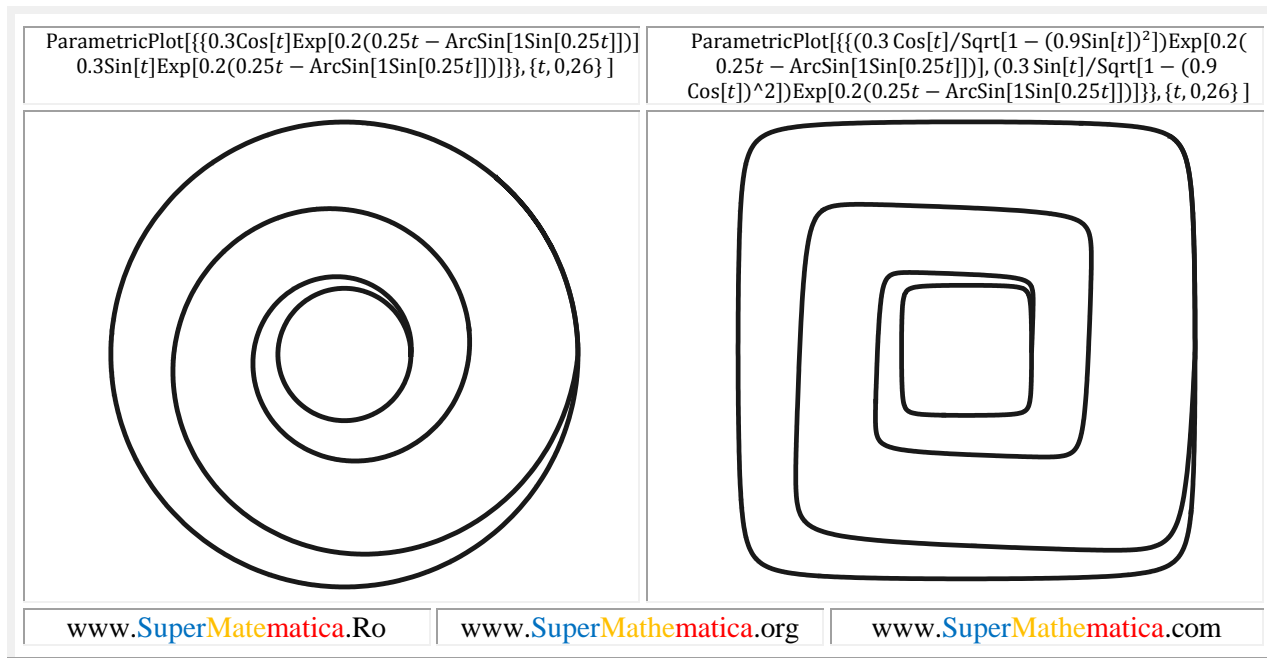
De aici și numele său, **Pandora** însemnând în limba greacă *cu toate darurile*.



După ce [Prometeu](#) l-a imitat pe **Zeus** creând el însuși oameni perfecți din lut, oameni cărora le-a dat viață cu razele soarelui și cărora le-a oferit focul furat de pe [Olimp](#), **Zeus** s-a simțit jignit de îndrăzneala acestuia și a decis să se răzbune. El l-a pus pe Hefaistos să creeze o cutie în care zeii au depus toate relele: cruzimea ([Ares](#)), aroganța ([Poseidon](#)), suferința/durerea ([Hefaistos](#)), vanitatea ([Hermes](#)), lăcomia și gelozia [Herei](#), pofta trupească ([Afrodita](#)), ura ([Artemis](#)), lăcomia ([Atena](#)), bolile ([Apollo](#)), lenea ([Dionis](#)), tristețea ([Demetra](#)), teama, înșelăciunea și subjugarea muritorilor de către zeii (**Zeus**) și, nu în cele din urmă, suferința și moartea ([Hades](#)). Doar [Hestia](#) (sau poate mai probabil **Atena**, zeița **înțelepciunii**) s-a deosebit de ceilalți zei depunând în această cutie **Speranța**.

Într-un fals acces de bunătațe, **Zeus** i-a oferit-o lui **Pandora** drept soție și cutia (**Cutia Pandorei**) drept cadou. Simțind că la mijloc este un șiretlic, **Pandora** a refuzat cadourile. **Zeus** s-a îndreptat apoi către [Epimeteu](#), fratele lui **Pandora**, care, subjugat de frumusețea **Pandorei**, a acceptat-o de soție. Împins de firea sa curioasă, [Epimeteu](#) a deschis cutia și astfel **toate relele** din interior au scăpat și s-au împrăștiat pe pământ. Înfricoșat, s-a grăbit să închidă capacul, neobservând că singurul lucru care rămăsese pe fundul cutiei era **Speranța**.





4. BIBLIOGRAFIE LA CAP. XVII

1	Şelariu Mircea Eugen	SUPERMATEMATICA. FUNDAMENTE	Editura POLITEHNICA Timișoara, 2007
2	Şelariu Mircea Eugen	SUPERMATEMATICA.FUNDAMENTE Editia a 2-a Vol. I	Editura POLITEHNICA Timișoara, 2012
3	Şelariu Mircea Eugen	SUPERMATEMATICA.FUNDAMENTE Editia a 2-a Vol. II	Editura POLITEHNICA Timișoara, 2012
4	Şelariu Mircea Eugen	FUNȚII CIRCULARE EXCENTRICE	Com. I Conferință Națională de Vibrații în Construcția de Mașini, Timișoara , 1978, pag.101...108.
5	Şelariu Mircea Eugen	FUNȚII CIRCULARE EXCENTRICE ŞI EXTENSIA LOR	Bul .St.și Tehn. al I.P. ”TV” Timișoara, Seria Mecanică, Tomul 25(39), Fasc. 1-1980, pag. 189...196
6	Şelariu Mircea Eugen	SUPERMATEMATICA	Com.VII Conf. Internaț. de Ing. Manag. și Tehn.,TEHNO’95 Timișoara, 1995, Vol. 9: Matematica Aplicată., pag.41...64
7	Şelariu Mircea Eugen	INTRODUCEREA STRÂMBEI ÎN MATEMATICĂ	Lucr. Simp. Național “Zilele Universității Gh. Anghel” Ed. II-a, Drobeta Turnu Severin, 16-17 mai 2003, pag. 171 ... 178
8	Şelariu Mircea Eugen	QUADRILOBIC VIBRATION SYSTEMS	The 11 –th International Conference on Vibration Engineering, Timișoara, Sept. 27- 30, 2005 pag. 77 ... 82
9	Şelariu Mircea Eugen	TEHNO ART OF ŞELARIU SUPERMATHEMATICS FUNCTIONS	(ISBN-10):1-59973-037-5 (ISBN-13):974-1-59973-037-0 (EAN): 9781599730370

Motto:” *Dați-ne aripi! Să ne târâm prin spațiu* ” aforism de **Valeriu Butulescu** ”

Prin spațiul **matematicii centrice**.

Luați **supermatematica** și veți călători cu viteza luminii.

Autorul

CAPITOLUL XVIII

MULPLICAREA DIMENSIONALĂ A SPAȚIILOR

*Capitol dedicat Doamnei Ziaristicii Maria Diana Popescu, redactor la Revista AGERO Stuttgart, pentru dezinvoltura, claritatea, oportunitatea și precizia **supermatematică** prin care descrie situația politică multidimensională din România de după lovitușia din decembrie. Cea care a remarcat că **excentricitatea** este cel puțin a 4-a dimensiune a spațiului tridimensional (3D).*

1. INTRODUCERE

În filozofie și în fizică, **spațiul** exprimă poziția (*localizarea* $\rightarrow [x, y, z]$ și *orientarea* $\rightarrow [\theta, \varphi, \psi]$, distanța, mărimea, forma, întinderea și ordinea **obiectelor** coexistente în lumea reală.

Concepția atomistă despre spațiu și timp (care stă și la baza geometriei lui **Euclid**) a fost dezvoltată în filozofia modernă de către **Newton**. Pentru **Newton** spațiul și timpul sunt absolute, obiective și universale, deci independente de materia în mișcare. Dacă se înlocuiește cuvântul **obiect** cu **obiect virtual** sau **entitate**, atunci definiția devine valabilă și în matematică. În **matematica centrică** (MC).

Teoria relativității lui **Einstein** (numită și teoria fizică a spațiului și timpului) a demonstrat că proprietățile spațio-temporale (lungimea corpurilor și durata evenimentelor) depind de viteza de deplasare a sistemelor materiale și că structura sau proprietățile continuului spațio-temporal variază în funcție de concentrarea masei substanței și de intensitatea câmpului gravitațional generat de către acestea.

Adică, obiectele virtuale își modifică forma și dimensiunile în funcție de un nou parametru sau dimensiune a spațiului. Această dimensiune nouă, sau, mai precis, nou introdusă în știință, este **excentricitatea**.

Filozofi ca **Berkeley, Hume, Mach, Bergson** neagă obiectivitatea spațiului și timpului, punându-le în dependență de conștiința omului sau ca forme subiective ale trăirilor sale subiective.

Hegel consideră spațiul și timpul ca fiind două categorii ale ideii absolute. Adică, noțiuni matematice. Mai precis, ale **matematicii excentrice** (ME), deoarece, numai în acest domeniu, obiectele își modifică forma și dimensiunile în funcție de noua dimensiune a spațiului, **excentricitatea**. Și, mai precis, un obiect, ca de exemplu, sfera, care, prin adăugarea unui parametru în plus (**excentricitatea**) la ecuațiile sale parametrice

$$(1) \quad \begin{cases} x = R \cdot \cos \alpha \cdot \cos \beta \\ y = R \cdot \sin \alpha \cdot \cos \beta, \text{ pentru } \alpha \in [0, 2\pi] \text{ și } \beta \in \left[-\frac{\pi}{2}, +\frac{\pi}{2}\right] \\ z = R \cdot \sin \beta \end{cases}$$

ele devin ecuațiile parametrice ale **excentricelor sferice**, care transformă continuu sfera perfectă în cubul perfect, dacă **excentricitatea liniară reală** $e \in [0, R]$. Și devine cub perfect când e este egală cu raza R a sferei sau când **excentricitatea liniară numerică** s , definită de raportul $s = \frac{e}{R}$ ia valoarea 1.

Între aceste două valori extreme, adică pentru $s \in (0, 1)$ sau $e \in (0, R)$, se obțin obiecte de alte forme, intermediare între sferă și cub (**Fig.1**), obiecte specifice **matematicii excentrice**, denumite și **obiecte hibride**, printre care se numără și **sfero-cubul**, **cono-piramida**, **tubul cilindro-pătratic**, **cilindrii de secțiuni variabile** ș.m.a. (**Fig.2**).

Aceste ecuații ale **excentricelor sferice** sunt

$$(2) \begin{cases} x = R \cdot \cos(\alpha, e) \cdot \cos(\beta, e) \\ y = R \cdot \sin(\alpha, e) \cdot \cos(\beta, e) \\ z = R \cdot \sin(\beta, e) \end{cases}, \text{ pentru } \alpha \in [0, 2\pi] \text{ și } \beta \in \left[-\frac{\pi}{2}, +\frac{\pi}{2}\right], \text{ iar } e \in [0, R],$$

în care, funcțiile **circulare centrice** $\cos(\alpha, e)$ și $\sin(\alpha, e)$ de variabile centrice α și β trec în **funcții circulare excentrice** corespundente $cex\theta$ și $sex\theta$, denumite cosinus și sinus excentrice.

Adică

$$(3) \begin{cases} \cos(\alpha, e) = cex[\theta(\alpha), e] \rightarrow \cos[\theta(\beta), e] = cex[\theta(\beta), e] \\ \sin(\alpha, e) = sex[\theta(\alpha), e] \rightarrow \sin[\theta(\beta), e] = sex[\theta(\beta), e] \end{cases}$$

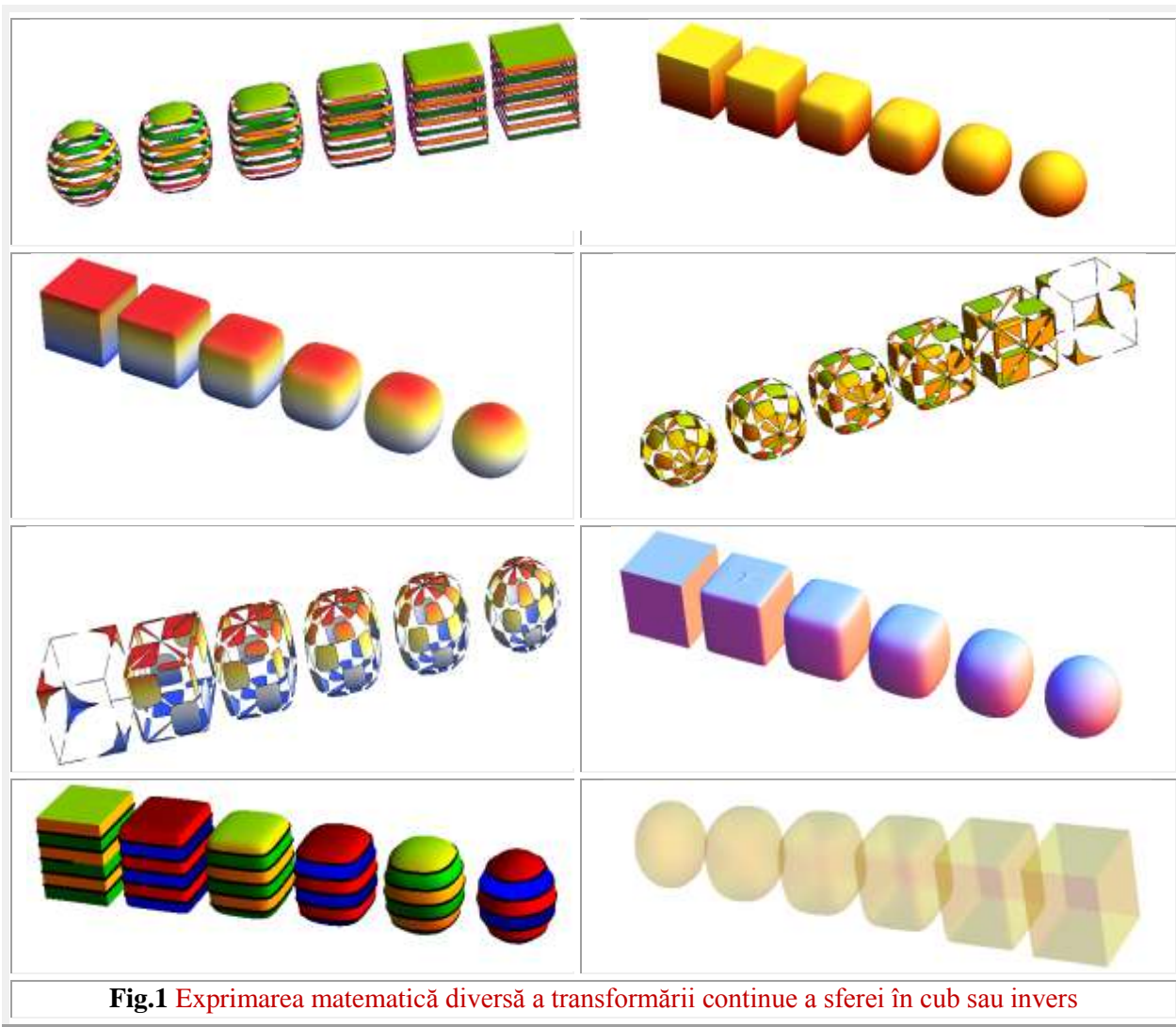


Fig.1 Expriarea matematică diversă a transformării continue a sferei în cub sau invers

Evident că, în același mod, în 2D, cercul se transformă continuu în pătratul perfect, de latură $L = 2R$. Dacă **unicile** curbe închise, cercul și pătratul, rezultate pentru $s = 0$ și, respectiv, $s = \pm 1$ sunt arhicunoscute în domeniul matematicii centrice (MC), nu același lucru se întâmplă pentru **infinitatea** de curbe închise, din domeniul **matematicii excentrice** (ME), obținute pentru $s \in (-1, 1) \setminus 0$, denumite **excentrice circulare**.

Acum, se poate observa că pentru a trece de la cerc şi sferă, la pătrat şi cub, sau invers, obiecte virtuale proprii **MC**, este neapărat necesar să se treacă prin domeniul **ME** al **supermatematicii (SM)**, astfel că se afirmă că **SM** este o reuniune a celor două matematici, adică **SM = MC ∪ ME**.

Deoarece, **MC** este proprie sistemelor **liniare, perfecte, ideale**, iar **ME** celor **neliniare, imperfecte, reale** se observă facil că, prin reuniunea lor, într-un singur tot (**SM**), graniţele dintre liniar şi neliniar, dintre perfect şi imperfect, dintre ideal şi real se şterg şi dispar. Spre bucuria inginerilor care, s-au confruntat în permanenţă cu necesitatea soluţionării unor ecuaţii şi / sau sisteme neliniare, nevoiţi să apeleze la fel de fel de metode de aproximare. Apropos, **Matematica Atomică** a rezolvat şi problema ecuaţiilor de orice grad !

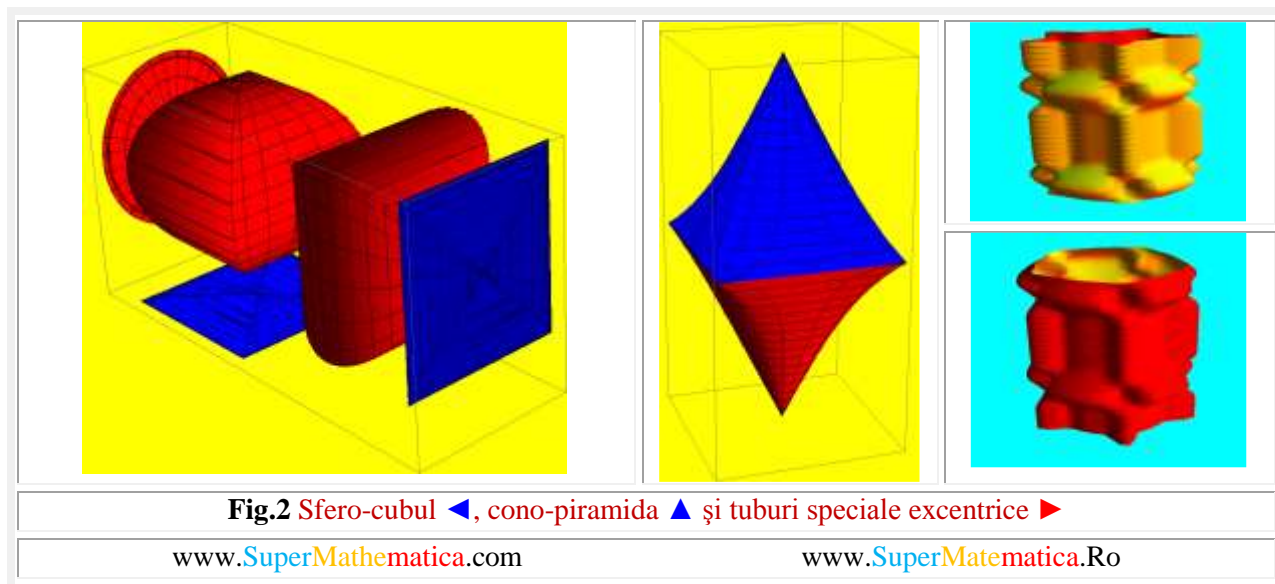
Totodată, în **MC** nu există decât câte o **singură entitate** din fiecare entitate matematică centrică, pe când, în **ME** numărul lor este **infini**t. Pentru fiecare punct dintr-un plan, în care poate fi plasat un punct, denumit **ex-centru**, sau **excentru**, există câte o matematică excentrică (**ME**). A fost numit astfel, pentru că a fost expulzat din centrul cercului **C(0,0)** şi originea **O(0,0)** a unui reper, unde l-a plasat **Euler**, împreună cu un pol **P(0, 0)**, a unei semidrepte, deci **3 puncte suprapuse**, sau în coincidente, suprapunere care a **sărăcit** enorm matematica peste 300 de ani.

Excentrul **E(e, ε)** este corespunzător unui cerc de rază oarecare **R** şi **S(s, ε)** este corespunzător unui cerc de raza **R = 1**, adică cercul unitate sau trigonometric. Coordonatele polare unghiulare **ε**, ale excentrelor **E** şi **S** reprezintă **excentricitatea unghiulară**, fiind aceeaşi în ambele situaţii / cazuri.

Există o transformare (h)omotetică, transformare care suprapune cercul de raza R oarecare, concentric cu cercul unitate de raza R=1, peste cel unitate. Aceasta este o transformare ce scalează obiectele în funcţie de un centru de omotetrie **H** şi un raport **k**.

Un punct **P(x, y)** transformat după o homotetrie **H[O(x₀,y₀),k]** (de centru O şi raport k) va avea imaginea **P'(x₀ + k(x - x₀), y₀ + k(y - y₀))**.

Pentru un centru de homotetrie **O(0, 0)** punctul excentric **E(e, ε) ≡ E** ($x_e = e \cdot \cos \epsilon, y_e = e \cdot \sin \epsilon$) se transformă în punctul **S(s, ε) ≡ S** ($x_s = s \cdot \cos \epsilon, y_s = s \cdot \sin \epsilon$), printr-un raport de homotetrie $k = \frac{1}{R}$, deoarece **E(e, ε) ≡ P'(kx, ky) → P'(\frac{1}{R}x, \frac{1}{R}y) → P'(\frac{1}{R}e_x, \frac{1}{R}e_y) → P'(\frac{1}{R}e \cdot \cos \epsilon, \frac{1}{R}e \cdot \sin \epsilon) → P'(s \cdot \cos \epsilon, s \cdot \sin \epsilon) → P'(s, ε) ≡ S(s, ε)**.



Rezultă că excentricitatea liniară numerică **s** este, totodată, şi raportul de homotetrie k, adică, $s = \frac{e}{R} = k$. Alte proprietăţi ale homotetiei sunt:

- nu păstrează distanţele $s \neq e$, $r = 1 \neq R$, așa cum s-a demonstrat anterior;
- păstrează orientarea poligoanelor;
- păstrează unghiurile $\rightarrow \varepsilon$ același, ca și unghiurile la centru α sau la excentru θ ;
- drepte paralele vor fi transformate în drepte paralele, iar transformata unei drepte va fi paralelă cu dreapta;
- are ca punct fix denumit centrul de homotetie;
- două homotetii succesive $H_1(O_1, k_1)$ și $H_2(O_2, k_2)$ se compun într-o translație sau homotetie $H_3(O_3, k_1 + k_2)$;
- homotetiile nu comută, în general;

2. O NOUĂ DIMENSIUNE A SPAȚIULUI. HIBRIDAREA MATEMATICĂ

Câteva idei despre spațiu, culese de pe diverse website-uri, sunt următoarele.

“Spațiul este o entitate abstractă care reflectă o formă obiectivă de existență a materiei. Apare ca o generalizare și abstractizare a ansamblului de parametri prin care se realizează deosebirea între diferite sisteme ce constituie o stare a universului.

SPAȚIUL, este o formă obiectivă și universală a existenței materiei, inseparabilă de materie, care are aspectul unui întreg neîntrerupt cu trei dimensiuni și exprimă ordinea coexistenței obiectelor lumii reale, [poziția](#), [distanța](#), [mărimea](#), [forma](#), [întinderea](#) lor.

În concluzie, se poate afirma că spațiul apare ca o sinteză, ca o generalizare și abstractizare a constatărilor cu privire la o stare, la un moment dat, a universului.

În cadrul mecanicii clasice, noțiunea de spațiu este aceea a modelului spațiului euclidian tridimensional (E3) omogen, izotrop, înfinit.

*Când discutăm despre spațiu, primul gând este îndreptat spre **poziție**, adică noțiunea de poziție este direct asociată noțiunii de spațiu. **Poziția** este exprimată în raport cu un sistem de referință (reper) sau mai scurt printr-un sistem de coordonate.”*

Să fie oare complete aceste definiții ?

Un obiect tridimensional are în spațiu E^3 **6 grade de libertate**, constituite din cele **3 translații**, pe direcțiile **X**, **Y** și **Z** și din **3 rotații**, notate, respectiv, cu **A**, **B** și **C**, în tehnologie și în robotică, în jurul axelor **X**, **Y** și **Z**.

Un obiect poate fi “realizat” sau, mai precis, reprodusă imaginea lui în spațiul virtual, când apare în **3D**, pe ecranul monitorului unui computer, prin folosirea unor programe tehnice (CAD) sau matematice comerciale (MATHEMATICA, MATLAB, MATHCAD, MAPLE, DERIVE, ș.a.) sau speciale, care folosesc **FSM-Excentrice, Elevate** sau / și **Exotice** - la descrierea obiectelor, cum este **SM-CAD-CAM**.

Prin **modificarea excentricității**, obiectele cunoscute și formate în domeniul centric al super-matematicii (**SM**), adică, în matematica centrică (**MC**), pot fi deformate în domeniul excentric al **SM**, adică, în matematica excentrică (**ME**) și transformate inițial în obiecte hibride, proprii **ME**, ca, apoi, să fie re-transformate în obiecte de alt gen, cunoscute în **MC**. Ca de exemplu, deformarea unui **con** perfect ($e = 0$) în **cono-piramide** [$e \in (0, 1)$] cu baza un pătrat perfect și vârful conic, care constituie obiectele hibride, situate între con și piramidă, până la transformarea ei într-o **piramidă** perfectă ($e = \pm 1$) cu baza un pătrat perfect (**Fig.2**).

Obiectul poate fi realizat, în fapt, prin diversele metode de prelucrare mecanice [v. **Mircea Şelariu**, Cap.17 **Dispozitive de prelucrare, PROIECTAREA DISPOZITIVELOR**, EDP, București, 1982, coordonator **Sanda-Vasii Roşculeţ**] de **formare** (turnare, sinterizare), **deformare** (la cald și la rece), **dislocare** (decupare, aşchiere, eroziune, netezire) și **agregare** (sudare și lipire).

În toate cazurile, sunt necesare **mişcări** ale sculei și / sau ale piesei, respectiv ale spotului luminos care delimitează pe ecran un pixel și trece de la un pixel la altul.

Mișcarea este strâns legată de spațiu și de timp.

Mișcarea mecanică poate fi **de**

- **formare** în timp a corpurilor și, implicit, a obiectelor ;
- **schimbarea** în timp a **poziției** obiectelor, sau a părților sale, denumite corpuri, în raport cu alte corpuri, alese drept sisteme de referință;
- **schimbarea** în timp a **forme** corpurilor și, implicit, a formei obiectelor, prin **deformarea** lor .

Spațiul reflectă raportul de coexistență dintre obiecte și fenomene, sau părți ale acestora, indicând:

- **întinderea** / mărimea lor, denumită **dimensiune de gabarit**;
- **locul** obiectelor, prin coordonatele **liniare X, Y, Z**, în spațiul 3D, denumite **dimensiuni de localizare**
- **orientarea** obiectelor, în spațiul 3D, prin coordonatele **unghiulare ψ, φ, θ** , denumite **dimensiuni de orientare (rotație ψ , precesie φ și nutație θ)**
- **pozițiile** relative sau distanțele dintre obiecte, denumite **dimensiuni de poziționare**, dacă se referă la localizarea și orientarea absolută și / sau relația a obiectelor, iar dacă se referă la părți ale acestora, numite **corpuri**, atunci sunt denumite **dimensiuni de coordonare**;
- **forma** obiectelor și, respectiv, evoluția fenomenelor, denumite **dimensiuni de formare**, care definesc, totodată, și ecuațiile de definire a obiectelor;
- **deformarea** obiectelor și modificarea evoluției fenomenelor, denumite **dimensiuni de deformare** sau **excentricități**.

Ultima dimensiune a spațiului, **excentricitatea**, făcând posibilă apariția **matematicii excentrice (ME)** și realizând trecerea din domeniul **matematicii centrice (MC)** în cel al **matematicii excentrice**, precum și saltul de la o singură entitate matematică, existentă în matematica și domeniul **centric**, la o **infinitate** de entități, de același gen, dar **deformate din ce în ce mai pronunțat**, odată cu creșterea valorii excentricității numerice, până la transformarea lor în alte genuri de obiecte, din nou existente, în domeniul centric.

Un exemplu, care merită repetat (*repetiția e mama învățurii*), devenit deja clasic, este deformarea continuă a unei sfere până la transformarea ei într-un cub, prin utilizarea aceluiași **dimensiuni de formare** (ecuații parametriche), atât pentru sferă cât și pentru cub, doar excentricitatea modificându-se: fiind $e = 0$ pentru **sferă** și $e = \pm 1$ sau $s = \frac{e}{R} = \pm 1$ pentru **cub**; pentru $e \in [(-R, +R) \setminus 0]$ sau $s \in [(-1, 1) \setminus 0]$ obținându-se **obiecte hibride**, proprii matematicii excentrice (**ME**), anterior inexistente în matematică, sau, mai precis, în matematica centrică (**MC**).

Așa cum s-a mai prezentat, **dreapta** este un **spațiu unidimensional** și, totodată, în **super-matematică (SM)**, o **strâmbă** de excentricitate zero.

Creșterea excentricității, de la zero la unu, transformă **linia dreaptă** într-o **linie frântă**, ambele existând și sunt cunoscute în matematica centrică, nu și restul strâmbelor, care sunt proprii **matematicii excentrice**, putând fi generate de **FSM-CE** amplitudine excentrică

$$y = k.x, \rightarrow y[x, S(s, \varepsilon)] = k.aex [\theta, S(s, \varepsilon)] + C, \text{ pentru } M_0 (0, 0).$$

Linia frântă este cunoscută în matematica centrică (**MC**), dar fără să i se cunoască ecuațiile ei ! Ceea ce nu mai este cazul în **SM** și, evident, și în **ME**.

Un fenomen asemănător este considerat că ar avea loc și în fizică: din vid apar continuu particule de un anumit tip și se reîntorc din nou în vidul cosmic. **Aceleași sau altele ?**

Cosmologia are o teorie ce se aplică întregului Univers, formulată de **Einstein** în 1916: **relativitatea generală**. Ea afirmă că forța de gravitație, ce se exercită asupra obiectelor, acționează și asupra structurii spațiului, care își pierde cadrul rigid și imuabil, devenind maleabil și curb, în funcție de materia sau energia pe care le conține. Adică, **spațiul se deformează (! Acest lucru vă spune / sugerează ceva ?)**.

Continuum-ul spaţiu-timp, al relativităţii generale, nu este conceput fără conţinut, deci nu admite vidul! Cum spunea şi **Einstein** ziariştilor, care îl rugau să le rezume teoria sa: "*Înainte, se credea că, dacă toate lucrurile ar dispărea din Univers, timpul şi spaţiul ar rămâne totuşi. În teoria relativităţii, timpul şi spaţiul dispar odată cu dispariţia celorlalte lucruri din univers.*"

Ceea ce susţine teoria autorului din SUPERMATEMATICA. Fundamente. Vol. I Editura POLITEHNICA, Timişoara, 2007, **Cap. 1 Introducere**, prin care expansiunea universului este un proces de dezvoltare a ordinii în haosul absolut, o trecere progresivă a spaţiului haotic în ordine din ce în ce mai pronunţată şi *sau invers*, transformarea progresivă a ordinii în haos; **ordinea perfectă** şi **haosul perfect** fiind una şi aceeaşi entitate; o sferă absolut transparentă, deci invizibilă şi, ca urmare, de rază nedeterminată / nedefinită. În măsura în care, pornind dintr-un centru, sau mai precis dintr-un **excentru**, dintr-un punct oarecare, haosul absolut (absolut **transparent**, **invizibil** şi de dimensiuni nedeterminate, care-i **universul invizibil**), începe să se transforme progresiv în ordine, sau **dezordine**, din ce în ce mai pronunţată, într-un **univers vizibil**, din ce în ce mai ordonat, mai vast şi mai complex, moment care poate fi denumit oricum: **moment iniţial**, **moment de amorsare** etc., dar pe care savanţii l-au denumit **Big Bang**.

Altfel spus, universul vizibil se propagă în cel invizibil, sau şi mai precis, universul invizibil se transformă în cel vizibil, pierde din invizibilitate, pe seama ordonării sau a dezordinii lui progresive. Tot aşa cum un cristal invizibil care nu-i altceva decât **nisip** într-o anumită formă de organizare / ordonare, acelaşi nisip precum cel din oala de lut, devine parţial vizibil, în zonele în care este puternic agreat / lovit.

Este evident că în universul invizibil, oricât de mare / întins ar fi el, nu există nici timp şi nici **spaţiu**. Deoarece sfera **universului invizibil** are un caracter anforter, **fiind şi haos şi ordine absolute în acelaşi timp**, în el spaţiul nu există din cauza haosului şi timpul nu poate exista din cauza ordinii perfecte; timpul fiind perceput numai dacă spaţiul **este ocupat** (**vizibil** ocupat) şi scurgerea lui este sesizabilă numai prin schimbarea a ceea ce îl ocupă. Această sferă nevăzută, absolut transparentă pare a fi un "**nimic**". Dar, din acest "**nimic**" s-a născut întregul univers vizibil. Acest "**nimic**" este, de fapt, "**totul**".

În concluzie, spaţiul, ca şi timpul, se **formează** şi se **deformează**, adică, **excentricitatea** spaţiului, de o anumită valoare, duce la **formarea** spaţiului, apoi, prin modificarea valorii ei, spaţiul se **deformează** / modifică. Pe scurt, se "trage vâlul" de pe spaţiul invizibil şi **apar**, în timp, obiectele incipiente dar vizibile în "noul" spaţiu, care prind viaţă şi se dezvoltă.

Forma modificată a spaţiului este dependentă de valoarea excentricităţii, care devine o nouă dimensiune a spaţiului: **dimensiunea de deformare**.

Energia şi masa materiei să crească odată cu creşterea excentricităţii ?

Sau invers ? Excentricitatea să determine valoarea masei şi a energiei prezente / localizate într-un anumit loc în spaţiu ?

Instalarea unei piese de prelucrat (obiect de prelucrat) în spaţiul de lucru a unei maşini-unelte moderne, cu comenzi numerice de conturare (CNC), este foarte asemănătoare cu "**instalarea**" unui obiect matematic în spaţiul euclidian tridimensional R^3 . De aceea, vom folosi unele noţiuni din domeniul tehnologic.

În **tehnologie**, **instalarea** este operaţia premergătoare prelucrării; numai un obiect / piesă instalat/ă poate fi prelucrat/ă. Ea presupune următoarele faze sau operaţii tehnologice, în această succesiune / ordine; numai înfăptuirea unei faze, făcând posibilă trecerea la realizarea fazei următoare:

1. ORIENTAREA este acţiunea, sau operaţia, prin care elementele geometrice ale obiectului de lucru (semifabricat sau piesă), **care sunt baze de referinţă tehnologică de orientare**, prescurtat, **baze de orientare (BO)**, primesc o **direcţie** bine determinată, faţă de direcţiile unui sistem de referinţă. În tehnologie, faţă de direcţiile unor mişcări principale şi / sau secundare de lucru, şi / sau faţă de direcţiile mişcărilor de reglare dimensională a sistemului tehnologic.

Drept **baze de orientare (BO)** pot servi :

3) **Un plan** al obiectului, respectiv o suprafaţă plană a piesei, dacă ea există, caz în care, această suprafaţă, determinată de trei puncte de contact dintre obiect şi dispozitiv, este denumită **bază de referinţă**

tehnologică de orientare de aşezare (BOA), sau, pe scurt, **bază de aşezare (BA)**, fiind determinată, teoretic, de cele trei puncte comune de contact ale piesei cu dispozitivul, care are sarcina de a realiza instalarea piese în cadrul maşinii de lucru.

Drept **BA**, în principiu, se alege suprafaţa plană cea mai întinsă a piesei, dacă nu există altfel de raţiuni / condiţii de poziţie, sau de la care suprafaţa rezultată în urma prelucrării are impusă precizia cea mai înaltă, sau condiţii de paralelism a **BA** cu **baza de cotare sau de proiectare** (elementul geometric al piesei de la care se dă cota / dimensiunea, pe desenul de execuţie al piesei, pentru suprafaţa de prelucrat).

Punând condiţia păstrării contactului piesă / dispozitiv pe **BA**, obiectul / piesa pierde 3 grade de libertate, dintre care, **o translaţie** pe direcţia, s-o numim **Z**, perpendiculară pe **BA** (plană) şi două rotaţii: în jurul axelor **X**, notată în tehnologie cu **A** şi în jurul axei **Y**, notată în tehnologie cu **B**.

Obiectul / piesa se mai poate roti în jurul axei **Z** perpendiculară pe **BA**, rotaţie notată cu **C** şi se poate translata pe **BA** pe direcţiile **X** şi **Y**, păstrând în permanenţă contactul cu **BA**.

De la această suprafaţă se stabileşte, în tehnologie, coordonata **z**, de exemplu, ca distanţă dintre **BOA** şi **baza tehnologică de prelucrare (BTP)**, sau, pe scurt, **bază de prelucrare (BP)**, adică planul pe care îl va genera scula de prelucrat pe piesă.

Dacă o suprafaţă se prelucrează integral / complet (prin frezare, de exemplu, cu freze de mari dimensiuni, printr-o singură trecere), atunci celelalte coordonate / dimensiuni **y** şi **x** pot fi stabilite cu foarte mare aproximaţie, întrucât ele nu influenţează precizia realizării suprafeţei plane, la distanţa **z** de **BA**, rezultate în urma prelucrării piesei şi denumită **bază tehnologică de prelucrare (BTP)**, sau, pe scurt, **bază de prelucrare (BP)**. A cărei cerinţă tehnologică este să fie paralelă cu **BOA** şi să fie situată la distanţa **z** de aceasta.

Dimensiunea **z** fiind, în acest caz, o **dimensiune de formare** a piesei, pe de o parte şi **dimensiune de coordonare**, în acelaşi timp, pentru poziţia relativă sculă-piesă, iar, d.p.d.v. **tehnologic**, una dintre **dimensiunile de reglare dimensională** a sistemului tehnologic **MDPS (Maşină-Dispozitiv-Piesă-Sculă)**. Matematic exprimat, două suprafeţe plane situate la distanţa **z**, ca urmare, paralele între ele.

2) **O dreaptă** aparţinând obiectului, dacă aceasta există, ca axe şi / sau muchii, ca intersecţie de suprafeţe plane în matematică.

În tehnologie, muchiile se evită, datorită neregularităţii lor, adică, a abaterilor de la forma geometrică liniară, a semifabricatelor, ca şi a pieselor, în urma prelucrării semifabricatelor lor.

În tehnologie, această dreaptă este determinată de cele două puncte de pe o suprafaţă a piesei, alta decât **BA**, comună piesei şi dispozitivului, care realizează **baza de orientare de dirijare a piesei** şi a dispozitivului, ca elemente dedublate, dreaptă denumită **bază de orientare de dirijare (BOD)**, sau pe scurt **baza de dirijare (BD)**. Denumire care derivă din faptul că, aceste două elemente de dirijare, dirijează / ghidează mişcarea obiectului / piesei, într-o mişcare liniară de translaţie, în vederea localizării lui, dacă în tot timpul mişcării, se menţine contactul piesă-dispozitiv pe **BOA** şi pe **BD**.

În acest fel **BD** preia 2 grade de libertate ale obiectului: translaţia pe o direcţie perpendiculară pe dreapta determinată de cele două puncte de contact piesă / dispozitiv, ce materializează **BD**, translaţie pe direcţia **Y**, de exemplu, dacă **BD** este paralelă, întotdeauna, cu **BA** din planul **XOY** şi rotaţia în jurul axei **Z**, notată în tehnologie cu **C**.

Drept **BOD** se alege, în principiu, din motive lesne de înţeles, suprafaţa cea mai lungă a piesei, dacă nu există alte raţiuni impuse, prin desenul de execuţie al piesei.

De la **BOD** poate fi stabilită / măsurată cota / dimensiunea **y**, paralelă cu **BOA** şi perpendiculară pe **BOD**, ca de exemplu, perpendiculară pe **z**, fiindcă **BOD** este paralelă cu **BOA**.

Astfel, dacă cele două puncte aparţin unui obiect paralelipipedic, mărginit, deci, de suprafeţe plane, şi **BOD** este paralelă cu **BOA**, păstrând contactul piesă-dispozitiv pe cele două baze, printr-o mişcare de translaţie, piesa mai poate fi doar translata, în dispozitiv, pe direcţia **X**, până când tamponează un **element de localizare**.

3) De la acesta, denumit element de localizare, respectiv **baza tehnologică de localizare (BTL)**, sau, pe scurt **baza de localizare (BL)**, poate fi stabilită coordonata / dimensiunea x perpendiculară simultan pe y și z . Dar fără să fie coordonate / dimensiuni / segmente concurente într-un punct comun $O(x,y,z)$ ca în matematică, decât, dacă **BOD** și **BTL** coboară la nivelul **BOA** și, în plus, **BTL** se deplasează spre **BOD** și va fi conținută și în ea, ambele urmând să fie conținute în **BOA**, astfel că, punctul $O(x,y,z)$ ca și **BTL** va fi un vârf al piesei paralelipipedice, conținut simultan în planul **BOA**, dreapta **BD** în punctul **BL**, rezultând, în acest caz că $O(x,y,z) \equiv BL$.

Dacă, localizarea se realizează printr-o mișcare de translație, așa cum s-a presupus anterior, ea mai poartă denumirea de **localizare prin translație (LT)**.

Dacă, localizarea se realizează printr-o mișcare de rotație a obiectului, în cazul obiectelor cilindrice, atunci este denumită **localizare prin rotație (LR)**. În acest caz **BD** poate fi, sau este, de obicei, o axă a unei suprafețe de rotație (cilindrice sau sferice) a obiectului, denumită **baza de orientare de centrare (BOC)** în jurul căreia, obiectul se rotește, până când, un alt corp al piesei, tamponează elementul de localizare prin rotație. Sau, până când un fixator pătrunde într-un orificiu perpendicular pe **BOC** sau într-un canal paralel cu **BOC**.

Se remarcă faptul că există două *tipuri de orientari* ale obiectelor în dispozitive:

1) Prin **POZIȚIONARE P** :

1.1) semipozitionare SP: (numai asezare A), **1.2) poziționare P** (A plus ghidare G), **1.3) poziționare completă** (A UG plus rezemare sau localizare L)

2) Prin **CENTRARE C** :

2.1) semicentrare SC (un **plan de simetrie PS** al piesei), **2.1) centrare C** (**axă de simetrie AS** invariante în spațiu), **2.3) centrare completă CC** (C plus **PS** reciproc perpendiculare).

Obiectele care nu prezintă **elemente / baze de orientare**, cum ar fi sfera în matematică și bilele de rulment în tehnologie, de exemplu, sunt **obiecte neorientabile**.

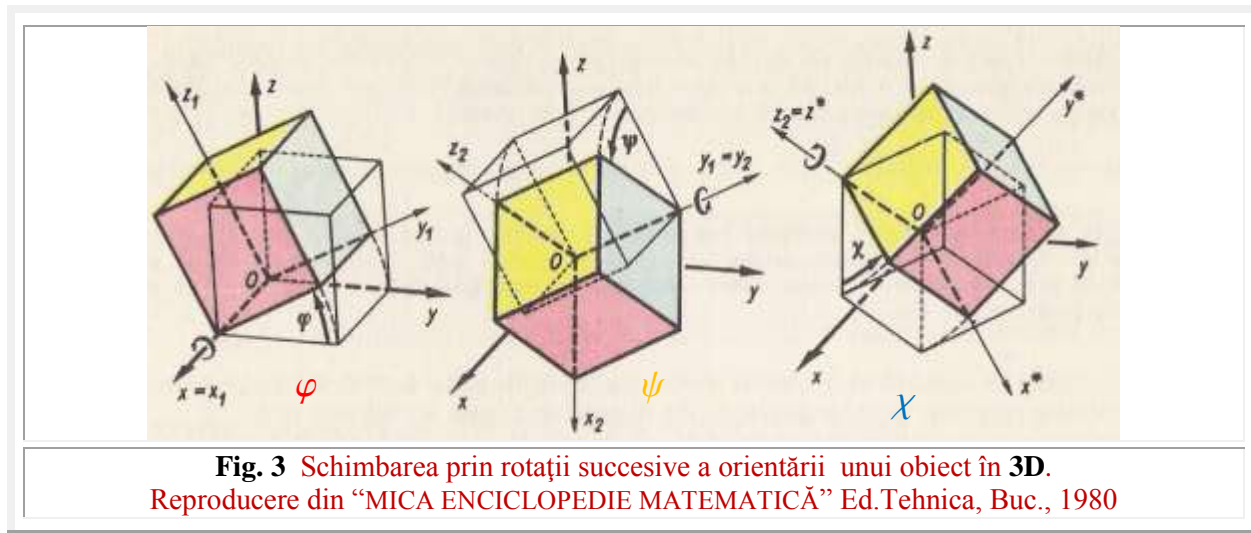


Fig. 3 Schimbarea prin rotații succesive a orientării unui obiect în 3D.

Reproducere din "MICA ENCICLOPEDIIE MATEMATICĂ" Ed.Tehnica, Buc., 1980

4 LOCALIZAREA este operația sau acțiunea de stabilire a **locului**, în spațiul euclidian tri-dimensional E^3 , al unui punct $O(x,y,z)$ caracteristic al obiectului, ce aparține unui element de referință de orientare al acestuia, de la care se stabilesc coordonatele / dimensiunile liniare x , y , z față de un sistem de referință dat, sau, în tehnologie, față de scula de prelucrare.

Punctul $O(x,y,z)$ al obiectelor **neorientabile** este centrul de simetrie al acestora, iar al pieselor orientabile, precum cele paralelipipedice, în tehnologie, de exemplu, punctul $O(x,y,z)$ este **diseminat** în trei

puncte distincte, pentru fiecare coordonată în parte $Ox \subset BL$ pentru x , $Oy \subset BD$ pentru y şi $Oz \subset BA$ pentru z , aşa cum s-a explicat anterior.

În tehnologie, succesiunea orientare \rightarrow localizare este obligatorie; numai un obiect orientat poate fi apoi localizat. Ca şi în matematică, de altfel. Întâi se alege un sistem de referinţă solidar cu obiectul (O, x, y, z) apoi, unul invariant (O, X, Y, Z) ce coincide, iniţial, cu celălalt, în spaţiul $3D$ sau euclidian tridimensional E^3 şi apoi se operează diverse transformări de translaţii şi / sau de rotaţii aşa cum se poate observa cu rotaţiile unui cub, prezentate în **figura 3**.

Reuniunea dintre **orientare** şi **localizare** reprezintă cea mai importantă acţiune / operaţie tehnologică, denumită **poziţionare**, adică:

ORIENTAREA \cup LOCALIZAREA = POZIŢIONARE

Dacă **poziţionarea** obiectului este realizată / desăvârşită / implinită, atunci, poate fi menţinută poziţia relativă piesă / dispozitiv prin operaţia de **fixare** a piesei în dispozitiv.

În continuare pot fi stabilite cotele / dimensiunile dintre sculă şi piesă, astfel, încât să se obţină piesa la dimensiunile şi preciziile impuse prin desenul de execuţie a piesei.

Această operaţie tehnologică este denumită **reglare dimensională**. Cu aceasta, operaţia de instalare este încheiată şi prelucrarea piesei poate să înceapă.

Ca urmare, **instalarea** unui obiect este o reuniune a **poziţionării** cu **fixarea** şi cu **reglarea dimensională**, adică:

INSTALARE = POZIŢIONARE \cup FIXARE \cup REGLARE (dimensională)

În tehnologie, **fixarea** se poate realiza prin **forţă** (de fixare) sau prin **formă** (care împiedică deplasarea piesei în timpul preucării).

În matematică, fixarea se “realizează” prin **convenţie**. **Zicând** că sistemul (O, x, y, z) este legat de piesă el nu se mai poate deplasa relativ faţă de ea (dezlega), ci numai împreună cu obiectul, deci sunt “fixate” unele de altele (*Uşor le e lor, matematicienilor !*).

Astfel, în matematică, fixarea obiectelor, faţă de sistemele de referinţă, se subînţelege, sau se realizează de la sine, ea nu mai există, pentru că în matematică nu există “**forţe matematice**”; ele fiind proprii mecanicii, în speţă dinamicii ei şi nici scule de prelucrare, nici diverse dimensiuni de coordonare, de reglare dimensională, de prelucrare ş.a.

De aceea, în matematica centrică (**MC**) există doar 3 dimensiuni liniare x, y, z care sunt, totodată, şi dimensiuni de formare a obiectelor $3D$, prin ecuaţiile lor parametrice, de exemplu.

Ca urmare, în această matematica centrică (**MC**), entităţi ca dreapta, pătratul, cercul, sfera, cubul ş.a. sunt unice, pe când, în matematica excentrică (**ME**) şi, implicit în supermatematică (**SM**), ele sunt multiplicabile la infinit prin **hibridare**, hibridare posibilă prin introducerea noii dimensiuni a spaţiului **excentricitatea liniară e** şi cea **unghiulară ε** .

Hibridarea matematică poate fi definită ca procesul matematic de **încrucşare** a două entităţi matematice din **MC**. Adică, de trecere continuă de la o entitate oarecare, existentă în **MC**, la o altă entitate, existentă în **MC**, printr-o infinitate de entităţi hibride, proprii doar **ME**.

Altfel spus, o transformare a unei entităţi matematice centrice în altă entitate matematică centrică, acţiune devenită posibilă în cadrul matematicii excentrice prin utilizarea funcţiilor **supermatematice**.

3.MULTIPLICAREA SPAŢIULUI UNIDIMENSIONAL $1D \rightarrow 2D, 3D, \dots, nD$

Dreapta, sau strămba ([18] \rightarrow Şelariu, M. E. “INTRODUCEREA STRAMBEI ÎN MATEMATICĂ”) de excentricitate nulă ($s = e = 0$) are, după cum este arhicunoscut, dimensiunea 1; dreapta având exclusiv lungime. Ea nu poate fi reprezentată decât într-un spaţiu superior ei, de exemplu în planul (x, y) sau în (**2D**) (**Fig.3,a $\blacktriangle \blacktriangleleft$**), sau în **3D**.

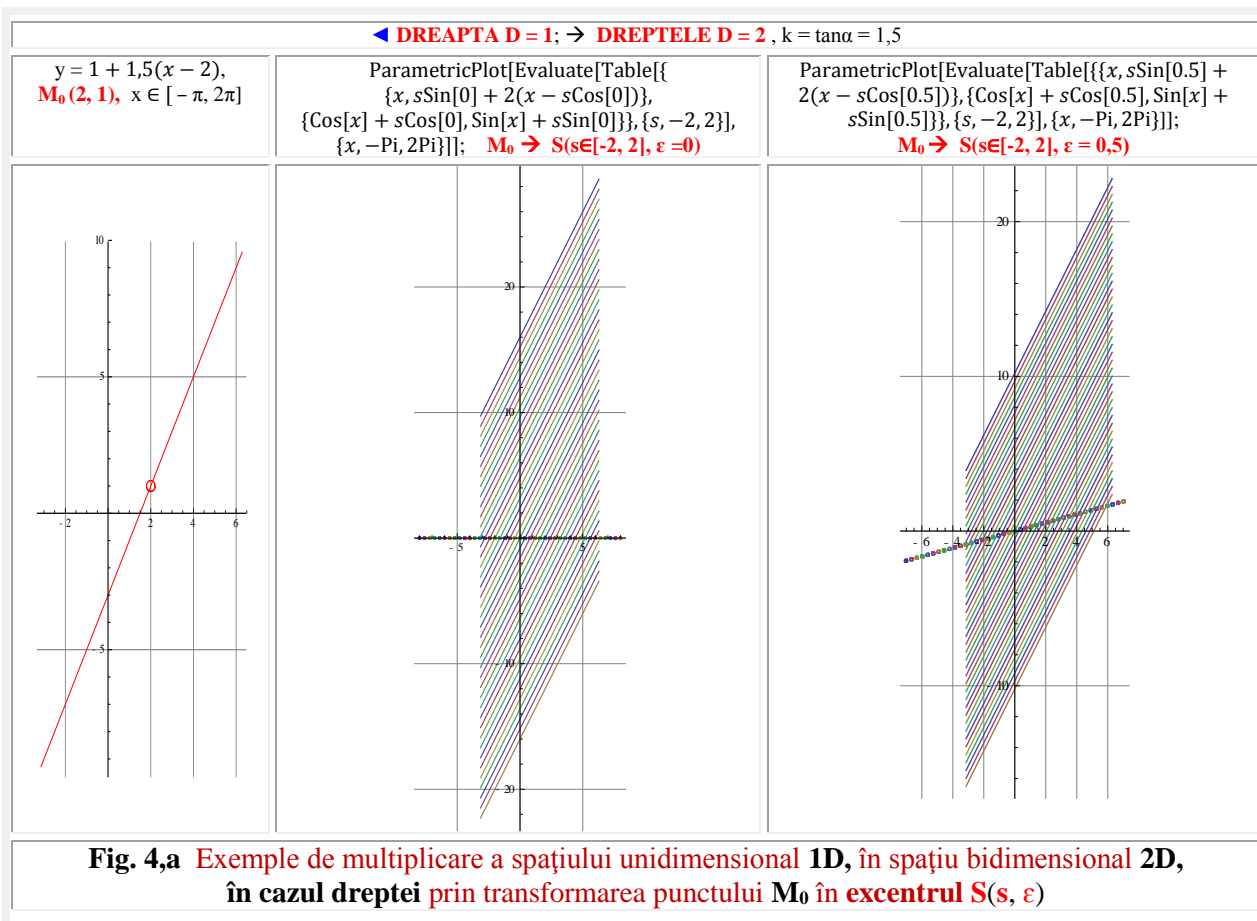
Ecuaţia acestei drepte, care trece prin punctul $M_0(x_0, y_0) = M_0(2, 1)$ şi are panta, sau coeficientul unghiular, $k = \tan\alpha = 1,5$ este

(4) $y - y_0 = k(x - x_0) \rightarrow y = 1 + 1,5(x - 2)$

Dacă punctul M_0 se consideră sau devine un **excentru** $M_0(x_0, y_0) \rightarrow S(s, \epsilon)$, atunci, ecuațiile (4) devin

(4') $y - s \cdot \sin \epsilon = k(x - s \cdot \cos \epsilon) \rightarrow y = s \cdot \sin \epsilon + 1,5(x - s \cdot \cos \epsilon)$, pentru $S(s \in [-1, 1], \epsilon = \text{constant})$.

Se obține astfel o familie de drepte de aceeași pantă, deci paralele între ele, fiecare trecând prin punctul $S(s, \epsilon)$ (Fig. 4,a ►).



Pasul excentricității s a fost ales intenționat mai mare, pentru ca două drepte, din imediată apropiere, să nu apară ca fiind suprapuse. Oricât de mic s-ar alege pasul excentricității liniare numeice s , sau reale e , două drepte nu se vor suprapune niciodată, dar pot fi aduse oricât de aproape una de cealaltă, dacă pasul $p_s \rightarrow 0$. În acest caz, familia de drepte mătură o fâșie, sau o bandă, înclinată cu k , din plan (spațiul 2D), care este tot un spațiu 2D, deoarece o parte / porțiune a unui spațiu oarecare are aceeași dimensiune cu restul spațiului, sau cu spațiul în care este scufundat. Semiplanul, cadranul ș.m.a. sunt zone / porțiuni ale planului și sunt tot plane, deci au tot dimensiunea 2D.

În aceeași figură 4,b sunt reprezentate graficele **strâmbelor**, care, așa cum s-a remarcat anterior, pentru excentricitatea numerică $s = e = 0$ devine o **dreaptă**, singura din figură care trece prin M_0 .

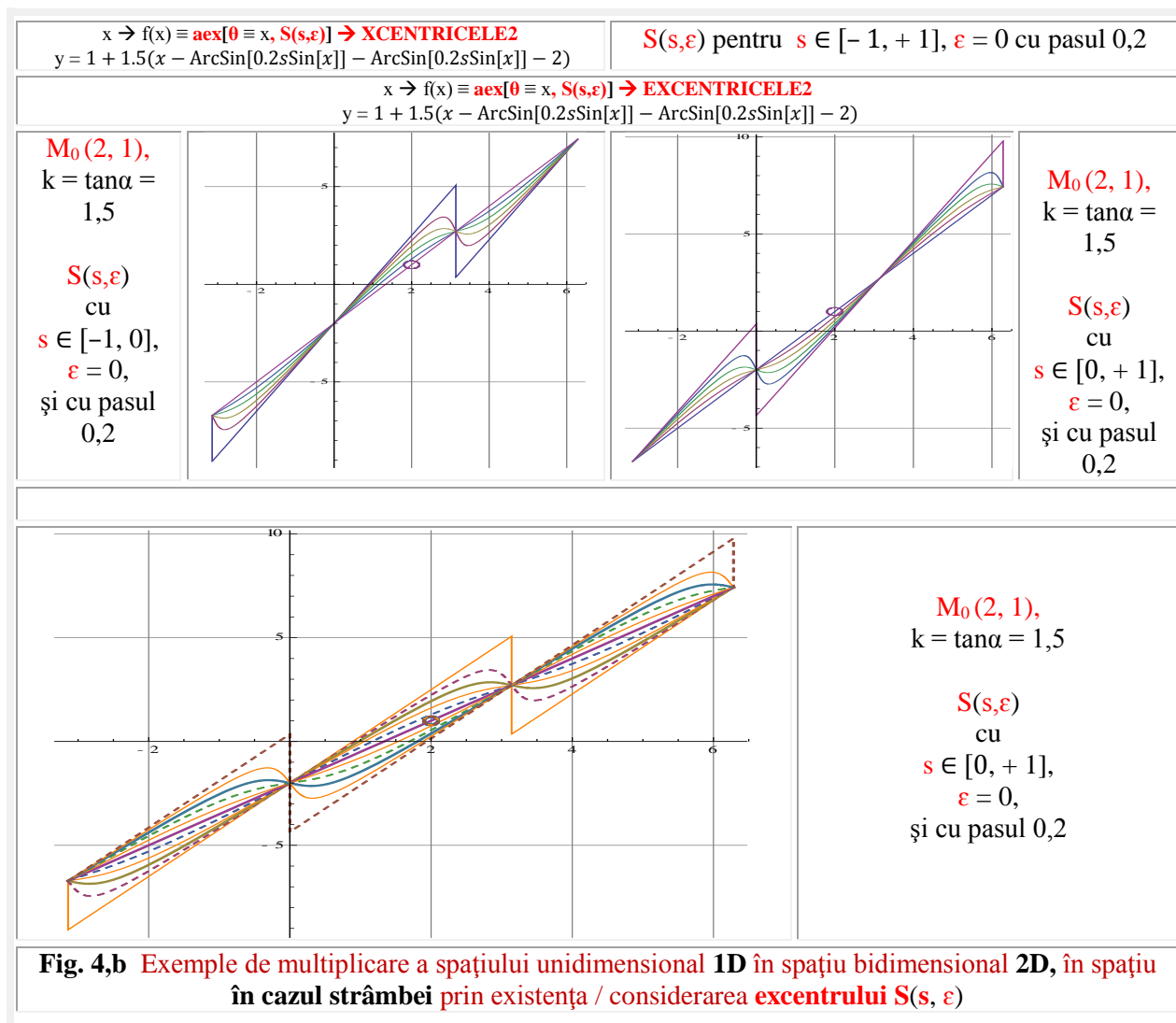
Punctul M_0 putea fi astfel ales, ca de exemplu $M_0(x_0 = \pi, y_0 = 2,7123889803846897)$, încât toată familia de strâmbے, inclusiv dreapta, să treacă prin el (Fig. 4,b).

În figura 4,b sunt reprezentate strâmbےle de **variabilă excentrică** $x \equiv 0$. Ele sunt curbe continue, doar în domeniul excentricității liniare numerice $s \in [-1, +1]$, domeniu în care excentrul S este interior /

aparţine discului cercului unitate. Deoarece $\varepsilon = 0$, excentrul S se află pe semiaxa x pozitivă pentru $s > 0$ şi pe cea negativă pentru $s < 0$. Ca şi pentru $s > 0$, dar cu $\varepsilon = \pi$.

Ecuatiile strâmbelor, ce trec printr-un punct $M_0(x_0, y_0)$, se obţin din ecuaţia dreptei respective, prin înlocuirea abscisei $x \equiv \alpha$, unghiul la centrul $O(0, 0)$ sau variabila centrică, cu **funcţia supermatematică circulară excentrică (FSM-CE) amplitudine excentrică** de variabilă excentrică $y \equiv \theta$.

Funcţie asemănătoare, din foarte multe puncte de vedere, cu **funcţia eliptică amplitudine / amplitudinus** $am[u, K(k, 0)]$ a lui **Jacobi**, în care $K(k, 0)$ este un punct pe semiaxa Ox pozitivă, asemănător excentrului $S(s, \varepsilon = 0)$ situat la distanţă / excentricitatea k de originea unui reper $O(0, 0)$, pe direcţia $\varepsilon = 0$.



Ecuatiile **funcţiilor supermatematice circulare excentrice FSM-CE amplitudine excentrică aexθ** sunt

(5) $x \equiv \alpha \rightarrow \alpha(\theta) = aex[\theta, S(s, \varepsilon)] = \theta - \beta = \theta - \arcsin[s \cdot \sin(\theta - \varepsilon)]$

astfel că, ecuaţiile strâmbelor vor fi

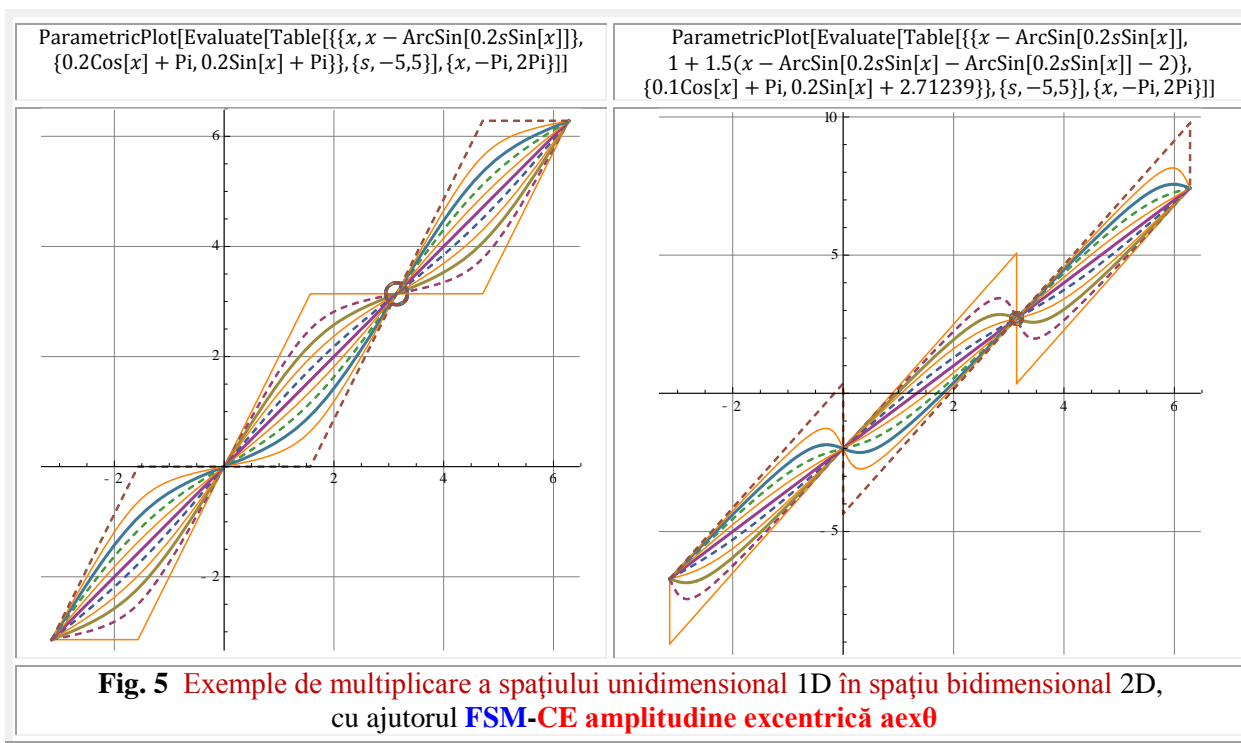
(6) $y = y_0 + k(x - x_0) \rightarrow y = y_0 + k(\theta - \arcsin[s \cdot \sin(\theta - \varepsilon)] - x_0).$

Spațiul plan (2D), cuprins între cele două strâmbe ale valorilor extreme ± 1 ale excentricității liniare numerice s , este **continuu** umplut de strâmbe.

În **figura 3**, între strâmbe sunt și goluri, deoarece pasul p_s al excentricității liniare numerice a fost ales arbitrar, astfel încât, curbele din familie să mai fie lizibile / distincte ($p_s = 0,2$), dar el poate fi făcut oricât de mic dorim, astfel ca strâmbă lângă strâmbă să măture și să umple complet această zona a planului.

Care sunt dimensiunile strâmbelor în acest caz ? Înainte de toate trebuie să aflăm ce este dimensiunea ?

Dimensiunea unui obiect (matematic: curbă, suprafață, corp) este o măsură a gradului în care acesta "umple spațiul". Știm că o curbă are dimensiunea 1, că o suprafață are dimensiunea 2 și că un corp ("solid") are dimensiunea 3. Această clasificare se numește **dimensiune topologică** și a fost observată prima dată de **Euclid**, cu numai **23** (!) de secole în urmă. Dimensiunea topologică reprezintă, totodată, numărul de grade de libertate al obiectului respectiv.



Astfel, din această clasă se va lua câte un reprezentant pentru fiecare dimensiune întreagă, până la 3 (3D).

- 1) Un segment, de lungime $L = 1$, poate fi împărțit în n segmente mai mici, fiecare de lungime $l = \frac{1}{n}$.
- 2) Un pătrat, de latură $L = 1$, poate fi împărțit în n^2 patrate de latură $l = \frac{1}{n}$.
- 3) Un cub, de latură $L = 1$, poate fi împărțit în n^3 cuburi de latură $l = \frac{L}{n} = \frac{1}{n}$.

Ca urmare, un obiect ce are dimensiunea D , compus din elemente asemenea cu el, poate fi împărțit în n^D elemente de n ori mai mici, astfel că

$$(7) \quad D = \lim_{n \rightarrow \infty} \frac{\log(\text{Numărul componentelor})}{\log(n)}$$

În website-ul http://www.geocities.ws/cili_12/academic/dimensiunefractala/slide_06.html sunt date metodele de determinare concreta a dimensiunilor unor fractale. Ele sunt:

1) **METODA COMPASULUI**

Pentru determinarea dimensiunii fractale a curbelor plane se foloseşte **metoda compasului**. Aceasta se bazează pe faptul că o curbă fractală îşi pastrează aspectul dantelat când este privită la o scară / scala mai mică. A fost descoperită în urma încercărilor geografilor de a măsura lungimea ţărmlui Marii Britanii. Ei au observat ca valoarea măsurată creşte foarte mult atunci când măsurarea se efectuează cu un compas mai mic. Metoda este foarte asemănătoare cu **box-counting** (numărarea din cutie). Curbă se aproximează cu o linie poligonală formată din $N(r)$ segmente de lungime r , pentru valori din ce în ce mai mici ale lui r . Se trasează graficul $\log(rN(r)) \log(r)$. Punctele de coordonate $(\log(rN(r)), \log(r))$ se vor afla pe o dreaptă. Pe baza pantei graficului se poate calcula dimensiunea fractală a curbei (practic **dimensiunea-compas**).

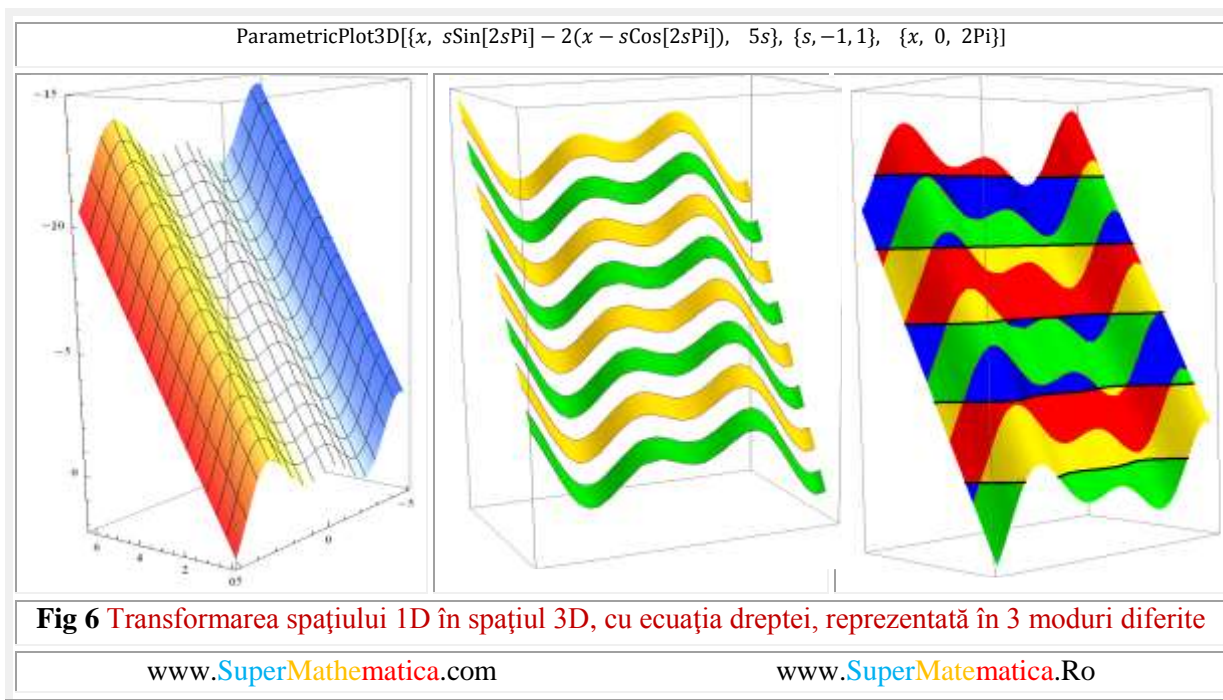
2) **METODA DILATĂRII PIXELILOR**

Se bazează pe **dimensiunea Minkowski-Boulingand**.

Metoda înlocuieşte fiecare pixel al figurii cu un cerc de rază mică r , în aşa fel încât sunt eliminate toate părţile izolate mai mici decât diametrul cercului. Se determină aria din interiorul cercurilor. Lungimea curbei se calculează împărţind această arie la diametrul $2r$. Dimensiunea fractală se **estimează** din panta graficului $\log(\text{lungime})$ la $\log(\text{diametru})$.

3) **METODA RAPORTULUI MASĂ-RAZĂ**

Dimensiunea masică defineşte relaţia dintre suprafaţa "utilă" din interiorul unui cerc şi raza acestuia (aria intersecţiei obiectului studiat cu interiorul cercului). Metoda calculează această suprafaţă "utilă" pentru valori diferite ale razei şi pentru diferite puncte-centru. Dimensiune masică se **estimează** tot din graficul logaritmic-logaritmic al ariei în funcţie de rază. Metoda masică este uşor de implementat în programele rulate pe calculatoare numerice.



O singură strâmbă, adică pentru o singură valoare a excentricităţii s sau e şi **o singură poziţie** a **excentrului S** sau **E**, ca şi pentru **o singură dreaptă**, **un singur cerc** şi **o singură** altă curbă continuă, oricare din $2D$, are dimensiunea topologică $D = 1$. Tot aşa cum, pentru **o singură** şi o anumită valoare dată lui x ,

în ecuația dreptei ($D = 1$), se va obține un singur punct al acesteia, adică de la dimensiunea dreptei / curbei $D = 1$ se trece la dimensiunea punctului $D = 0$. Nu și computațional, deoarece punctul, neavând dimensiune, nu poate fi marcat computațional.

S-a văzut cum poate fi multiplicat spațiul unidimensional $D = 1$ în spațiu bidimensional $D = 2$. Dacă și **excentricitatea unghiulara ϵ** , din **constantă**, devine **variabilă**, atunci spațiul $1D$ se transformă în spațiul $3D$ (Fig. 6).

În acest caz, ecuația dreptelor este aceeași cu (4'), cu deosebirea că $\epsilon = \text{variabil}$, adică
 (4'') $y - s \cdot \sin \epsilon = k(x - s \cdot \cos \epsilon) \rightarrow y = s \cdot \sin \epsilon + 1,5(x - s \cdot \cos \epsilon)$, pentru $S(s \in [-1, 1], \epsilon \in [-2\pi, 2\pi])$.

Multiplicarea nedefinită în continuare a spațiului $1D$ este posibilă prin utilizarea **FSM-CE amplitudine excentrică** sau a oricărei alte **funcții supermatematice circulare excentrice**, de **dublă**, **triplă** și/sau **multiplă excentricitate**, excentricități variabile multiple, în care excentricitățile sunt, la rândul lor, funcții circulare excentrice, de aceeași excentricitate sau de o altă valoare, dar variabile (!).

4 MULTIPLICAREA SPAȚIULUI BIDIMENSIONAL 2D

Oricare curbă reprezentată în $2D$, ca și curbele **FSM-CE** de o **singura valoare s și ϵ** , are dimensiunea $D = 1$. Dar cu s și ϵ variabile, ele sunt a **3-a** dimensiune a spațiului $2D$ și, respectiv a **4-a** dimensiune a lui. Rezultă cu claritate că pentru $\epsilon \neq \text{constantă}$, ele sunt a **4-a** dimensiune a acestuia, cu condiția ca S și, respectiv, E să fie puncte mobile în plan, dar care se deplasează liniar pe direcția $\epsilon = \text{constantă}$.

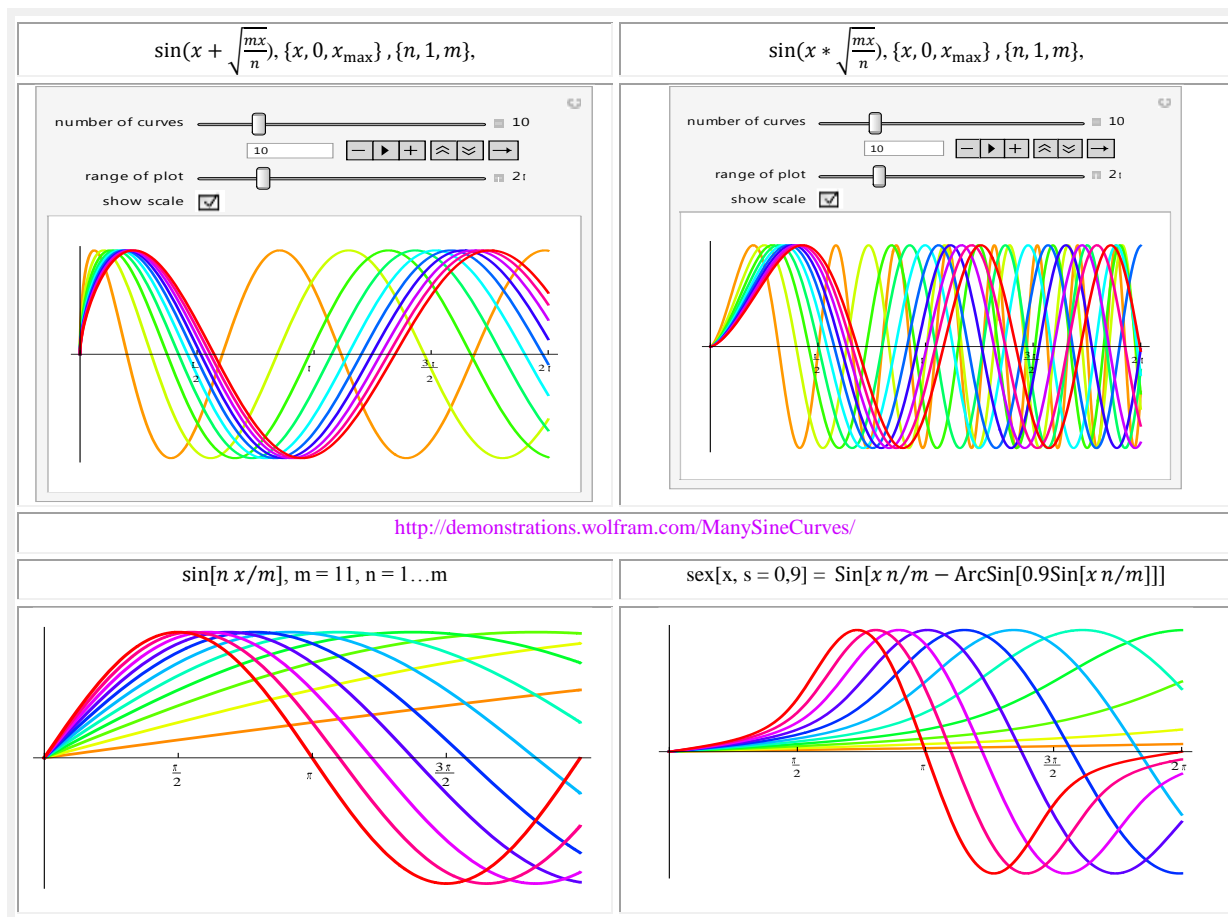


Fig.7 Funcțiile centrice $\sin(\frac{n}{m}x)$ $1D \rightarrow 2D$ și funcțiile excentrice $\text{sex}[\frac{n}{m}x, S(0, 9; 0)]$ de $2D$

Pentru cazul în care e , s și ϵ sunt toate variabile, spațiul $2D$ se multiplică în spațiul $4D$.

Dacă un excentru se rotește uniform, pe o orbită circulară, în jurul centrului $O(0, 0)$, atunci s și / sau $e = \text{constante}$ sunt razele constante ale orbitei circulare și $\epsilon = \Omega \cdot \theta$, în care viteza unghiulară Ω este constantă și **excentricitatea unghiulară** variabilă ϵ este a **3-a** dimensiune a spațiului $2D$.

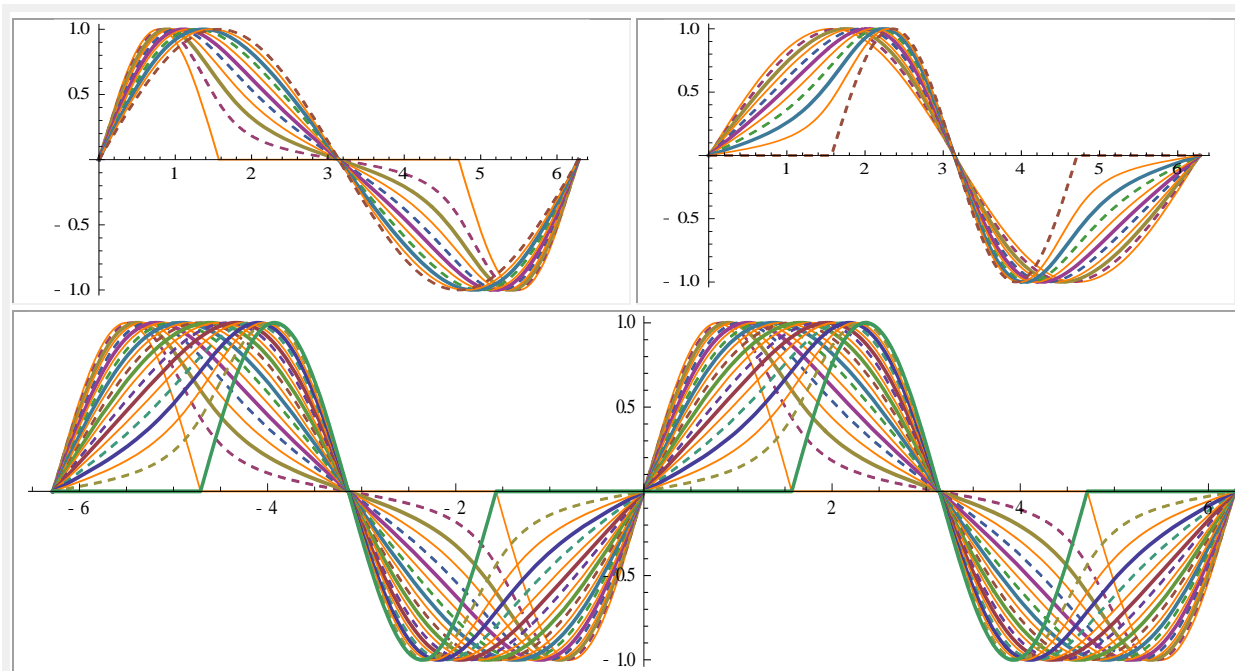


Fig 8 Funcțiile SM circulare excentrice $\text{sex}[x \equiv \theta, S(s \in [-1,+1], \epsilon = 0)]$, reprezintă trecerea funcției matematice centrice (MC) $\sin x$ din $1D$ în $2D$ ca FSM-CE $\text{sex}\theta$ dacă $s \in [-1, +1] \rightarrow$ variabil

www.SuperMathematica.com

www.SuperMatematica.Ro

Și funcțiile sinus și / sau cosinus centrice unidimensionale pot deveni bidimensionale (Fig. 7), dacă variabila centrică x este combinată cu o excentricitate variabilă s . Relațiile sunt date în figură.

Dacă orbita lui S și / sau E nu este concentrică cu originea $O(0, 0)$ și centrul cercului unitate $C(0,0)$, atunci și s și e devin variabile, astfel că excentricitatea liniară variabilă va constitui a **3-a** și a **4-a** dimensiune a spațiului $2D$.

Dacă S și / sau E sunt puncte fixe în planul cercurilor, iar **variabila excentrică** θ este variabilă ($\theta = \Omega \cdot t$), atunci orbitele circulare, de raza $R = 1$ și R oarecare, cu centrul în $O(0, 0)$, generează o mișcare circulară pe cercuri, denumită **mișcare circulară excentrică** (MCE-fix) de **excentru punct fix**. [12].

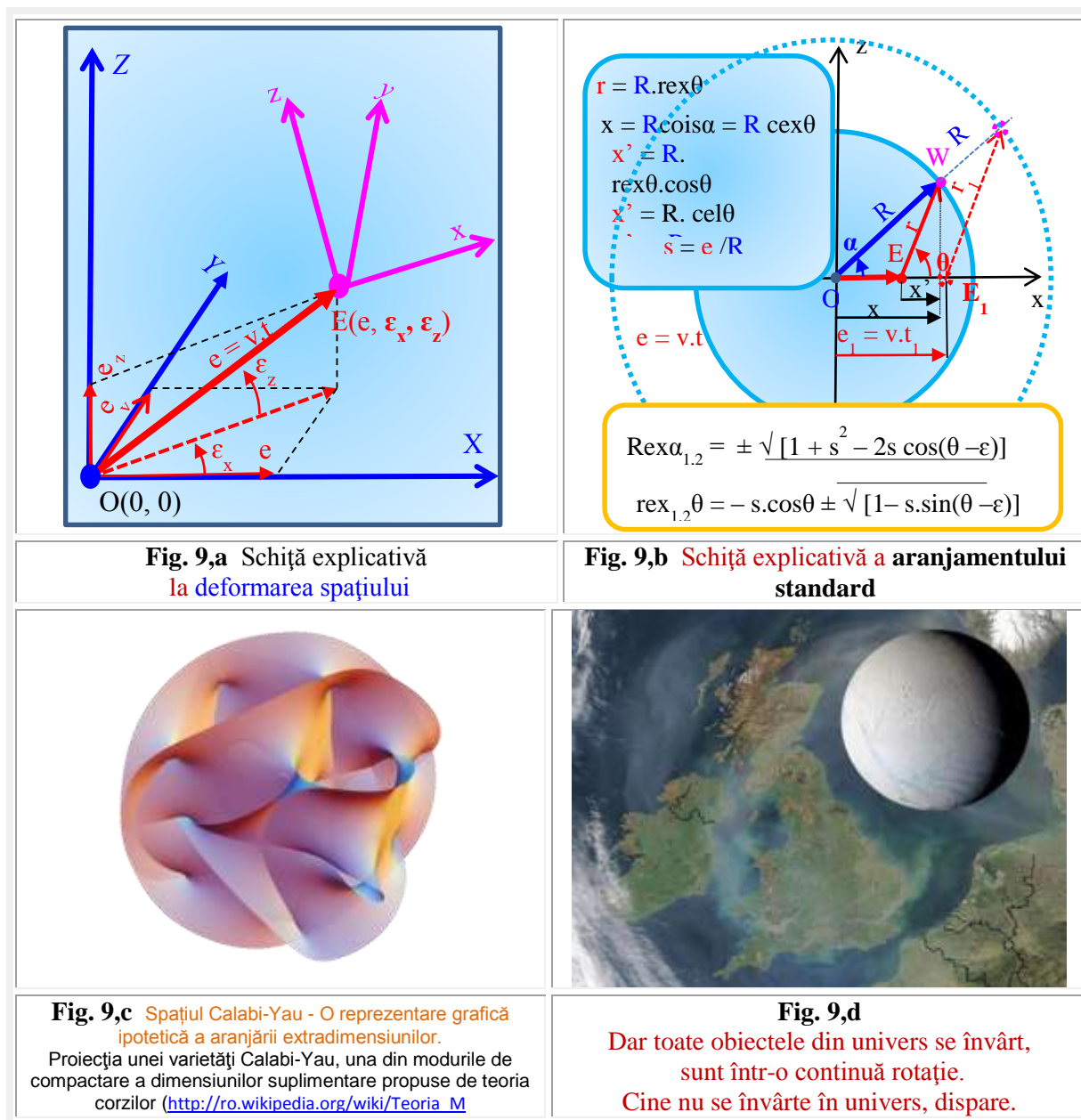
Dacă, în timp ce dreapta generatoare excentrică d se rotește în jurul excentrului E și / sau S cu $\theta = \Omega \cdot t$, aceste excentre se deplasează și ele la rândul lor, pe anumite curbe, după anumite legi, se obține, ceea ce a fost denumită, **mișcare circulară excentrică** (MCE-mobil) de **excentru punct mobil** [v. www.cartiAZ.ro], mișcare frecvent întâlnită în **universul vizibil**.

5 CURBAREA SPAȚIULUI MULTIDIMENSIONAL

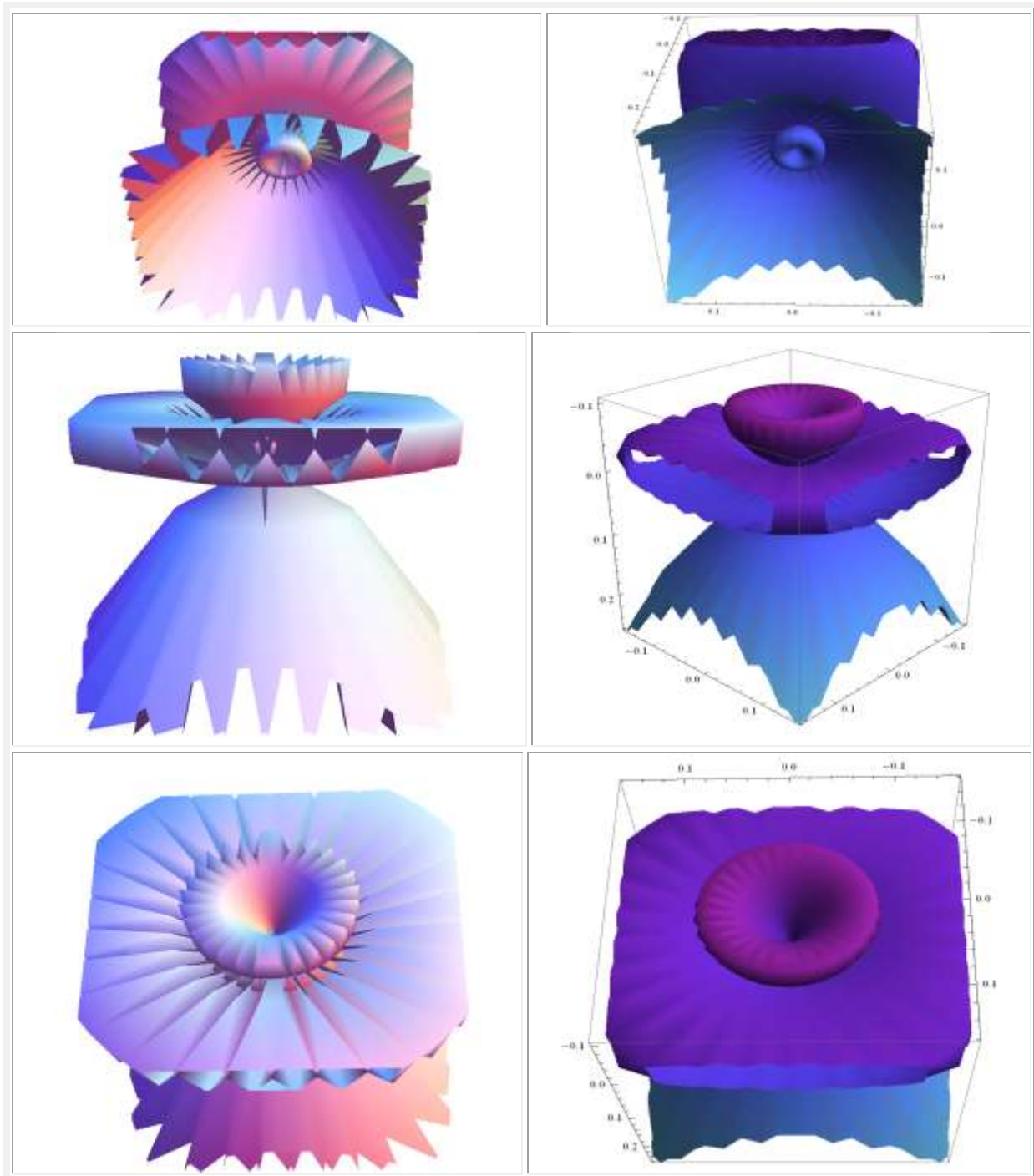
Mișcarea relativă a două sisteme este ilustrată în **figura 9,a**. Dacă e_z , ϵ_z și ϵ_x sunt nule, atunci vectorul deplasare relativă $\vec{e} = \vec{v} \cdot t$ a sistemului cu originea în **E**, față de cel cu originea în **O (0, 0)** este pe direcția axei $x > 0$ și acest caz este denumit **aranjament standard**[60] (**Fig. 9,b**). Viteza \vec{v} este considerată constantă și toate rotațiile sunt nule, ca sistemele să fie inerțiale.

Coordonatele spațio-temporale considerate a fi $(x, y, z$ și $t)$, acum se observă clar (**Fig.9,b**) că ele sunt, de fapt, $(x, y, z$ și $e)$, adică, **excentricitatea variabilă este a 4-a dimensiune a spațiului tridimensional (3D)** și nu mai este necesar să se afirme că timpul este spațiu.

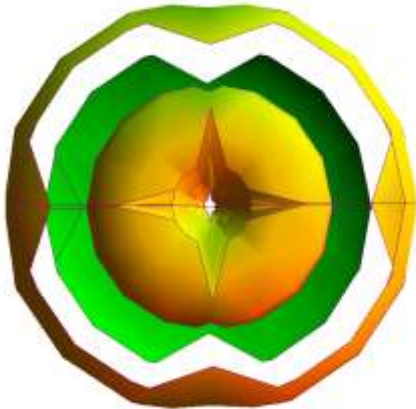
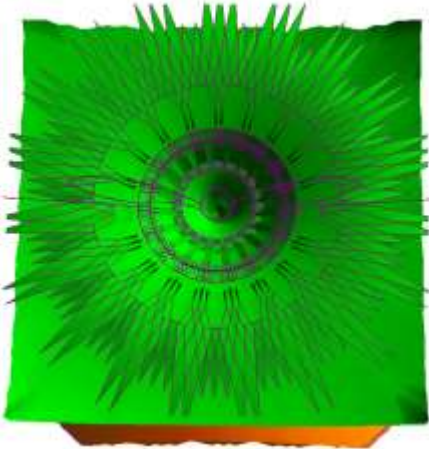
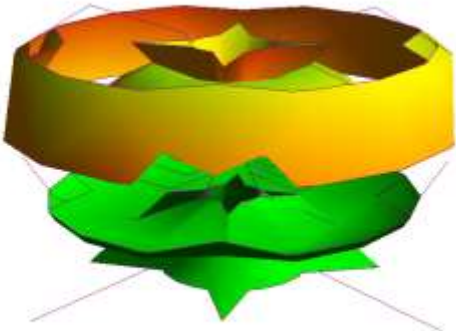
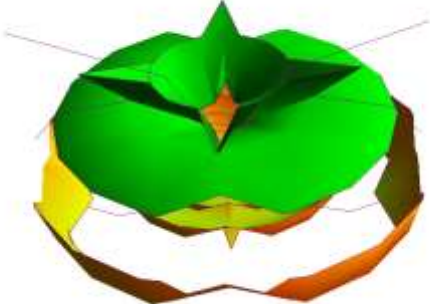
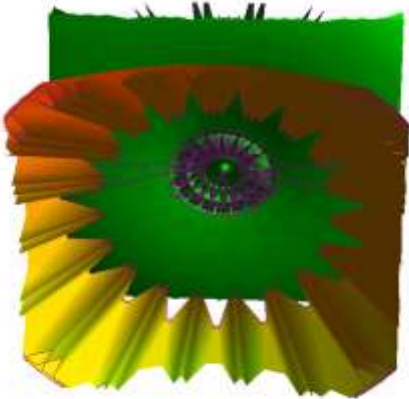
Din **figura 9,b** se deduce clar că toate mărimile din sistemul **O(0, 0)** și din sistemul **E(e = v.t, ε = 0)** se pot exprima facil cu **FSM-CE**, ca și toate mărimile din **figura 9,a**, cu condiția ca toate excentricitățile unghiulare (ϵ_x și ϵ_z) să fie constante și $e = v \cdot t$, în care, $v = \text{constant}$.



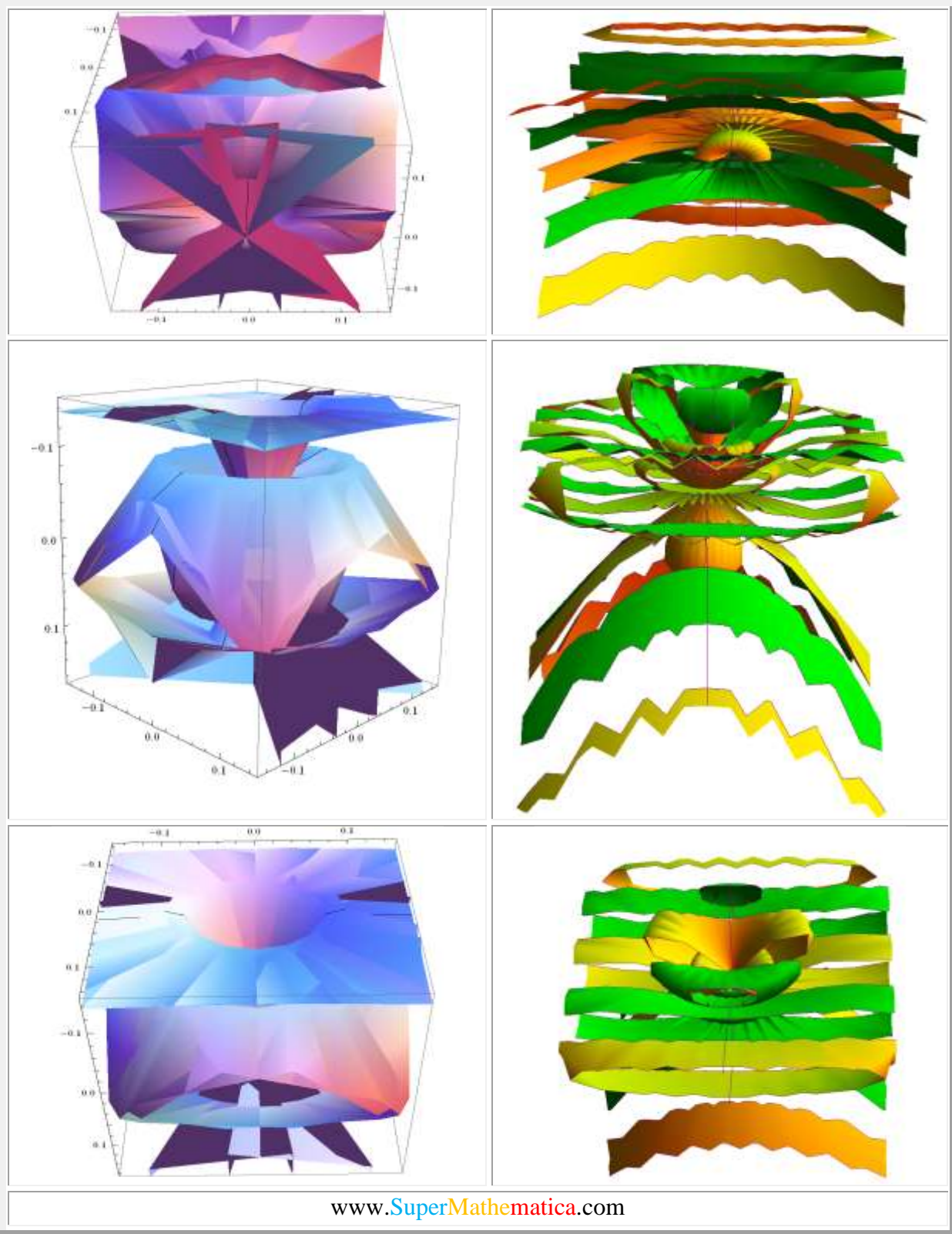
6 OBIECTE DIN “ALTE SPAŢII”: DIN SPAŢIUL SUPERMATEMATICII

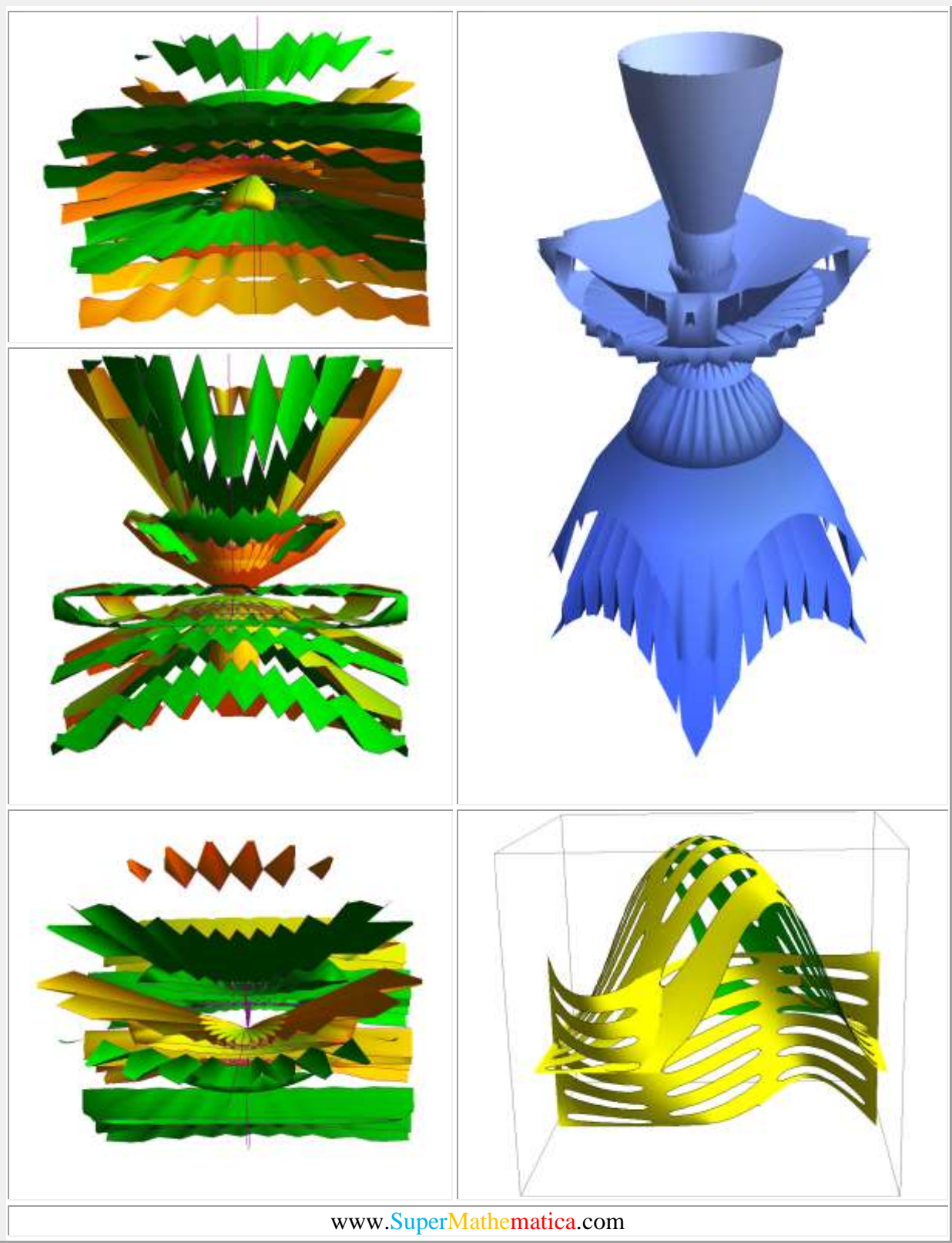


www.SuperMathematica.com



www.SuperMathematica.com

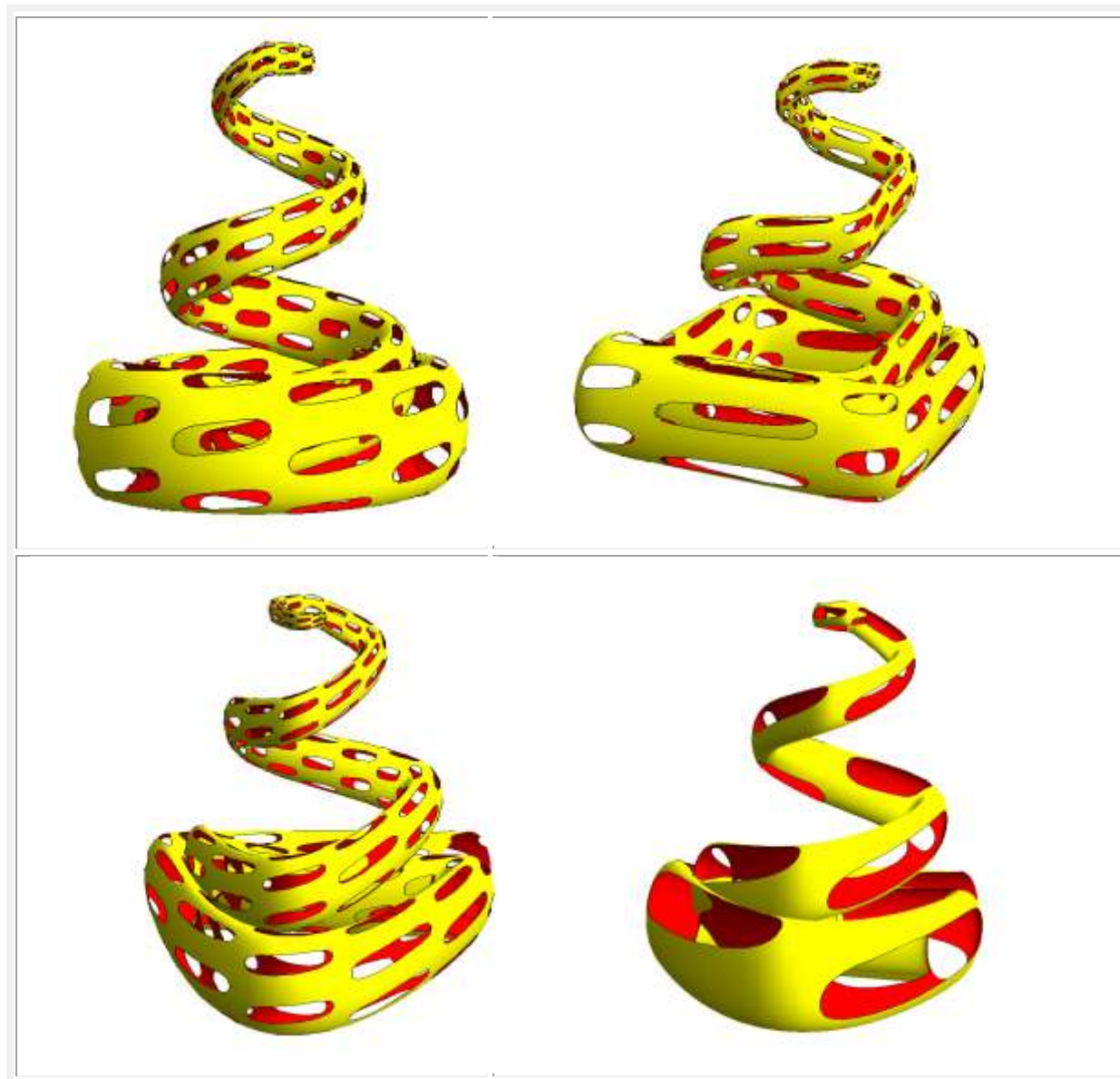


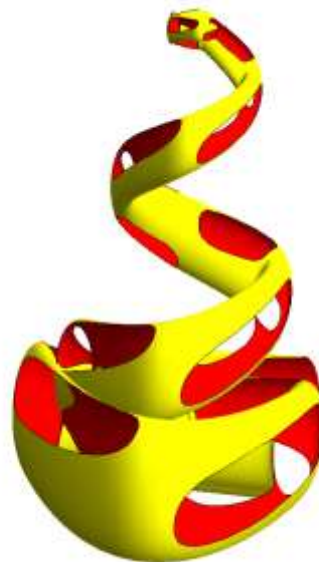
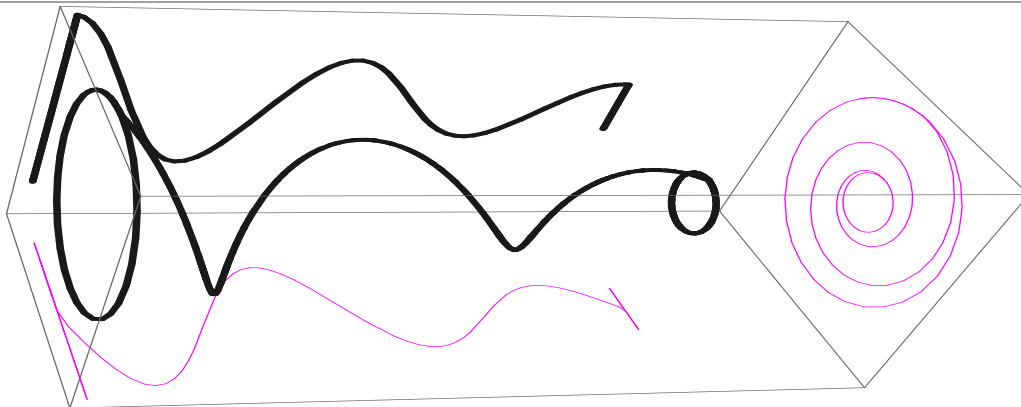
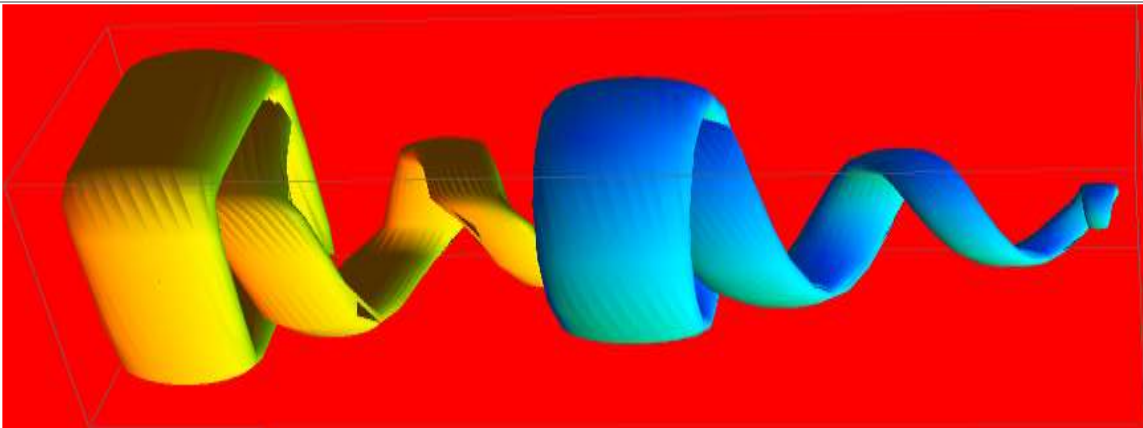


Faptul că în **figura 9,a** apar 3 excentricități liniare variabile e_x , e_y și e_z nu înseamnă că sunt tot atâtea dimensiuni suplimentare (mai multe) ale spațiului, deoarece ele sunt toate dependente de una și aceeași variabilă $e = v.t$. Ca urmare și sistemul din **figura 9,a** este cvadridimensional (x, y, z, e) și sistemul **E** se **deplasează rectiliniu** în direcția vectorului \vec{e} cu viteză uniformă v .

Dar, dacă una dintre excentricitățile unghiulare ε_x sau ε_z devine **variabilă**, după o lege oarecare, atunci ea va constitui o a **5-a** dimensiune a spațiului, **spațiu care se va curba**, deoarece traiectoria originii sistemului **E** va fi o curbă, într-un plan al spațiului $3D^+$, măturat de rotația vectorului e în acest plan, ca și toate traiectoriile tuturor elementelor acestui sistem **E**.

Dacă ambele excentricități unghiulare sunt variabile, atunci apare și a **6-a** dimensiune a spațiului $3D$, iar **E** se va deplasa pe o **curbă strâmbă în spațiul $3D^+$** (Fig. 9,c).





ELICE SUPERMATEMATICE

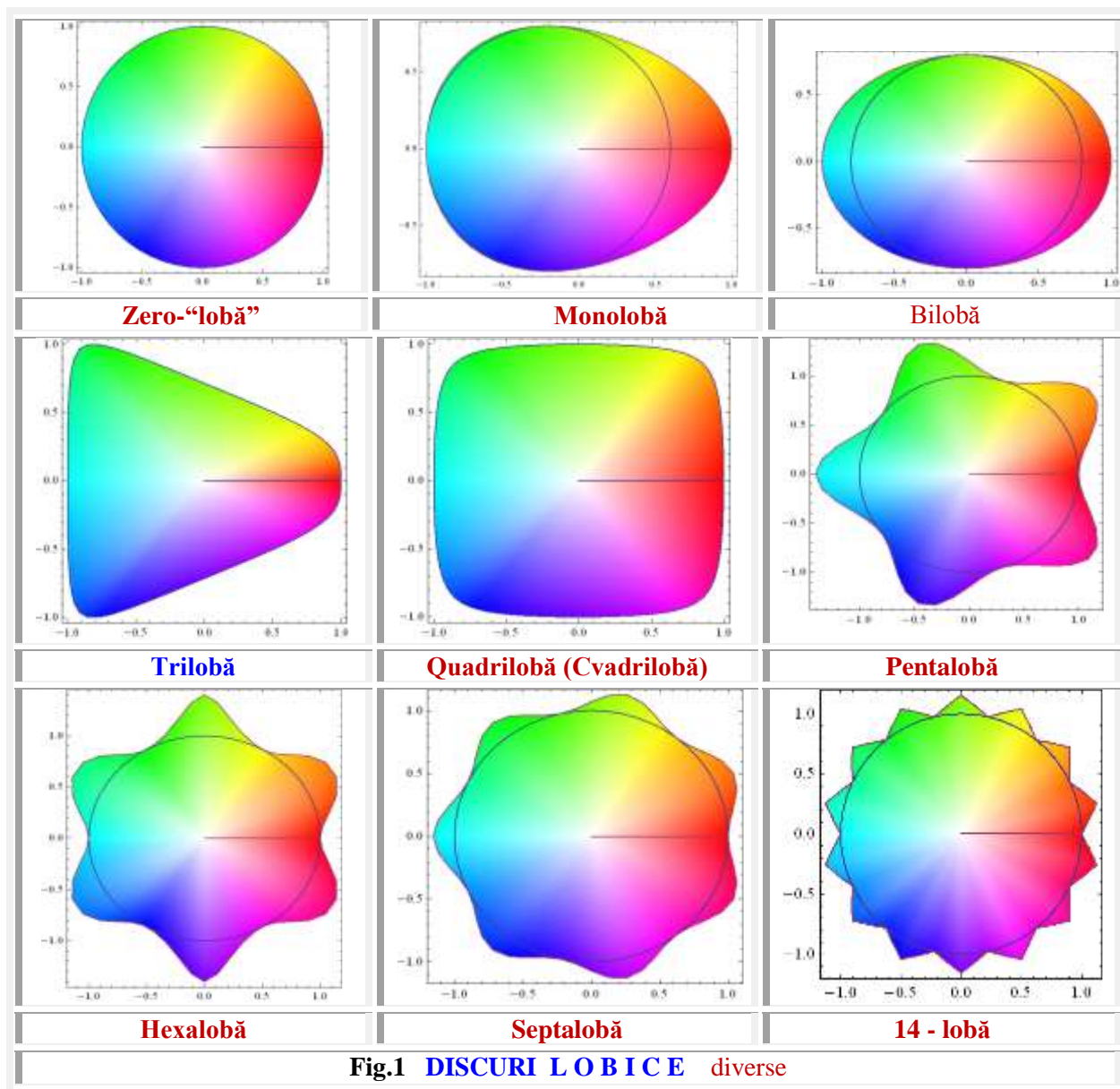
www.SuperMathematica.com

Motto:” ... Prin *al treilea* (termen) se slăbeşte opoziţia, scade caracterul de antinomie (contradicţie categorică, nn), *triumfă principiul armoniei*”
 Mircea Florian

CAPITOLUL XIX

TRILOBE. FUNCŢII TRILOBICE

1: DE VARIABLE EXCENTRICE 0



Lobele sunt funcţii supermatematice **circulare excentrice (FSM-CE)** plane, închise, având un număr oarecare de lobi. Cercul, sau centrica circulară şi, respectiv, discul circular sunt singurele figuri geometrice plane lipsite de lobi, care pot fi denumite **zerolobe**. Există monolobe, bilobe, trilobe, quadrilobe (cvadrilobe), pentalobe, hexalobe ... , n-lobe sau multilobe, cu **discurile** lor prezentate în **figura 1**

Trilobele sunt curbe **supermatematice (SM) circulare excentrice (CE)**, plane (2D), închise, apărute graţie descoperirii **supermatematicii**, în anul 1970, care fac parte din **marea familie a lobelor**. Ele se exprimă prin ecuaţii parametrice cu **FSM-CE cosinus excentric $cex\theta$** şi **sinus excentric $sex\theta$ normale**, în care funcţiile **beta excentrice S** (de sinus) **$bex_S\theta$** sunt exprimate cu funcţia sinus (indice S)

$$(1) \quad \begin{cases} cex\theta = \cos[\theta - \beta_S(\theta)] = \cos[\theta - bex_S\theta] = \cos[\theta - \arcsin[s \cdot \sin(\theta - \varepsilon)] \\ sex\theta = \sin[\theta - \beta_S(\theta)] = \sin[\theta - bex_S\theta] = \sin[\theta - \arcsin[s \cdot \sin(\theta - \varepsilon)] \end{cases}'$$

cu graficele din **figura 2** şi prin cele modificate, în care funcţiile **beta excentrice (exprimate cu cosinus** → “de cosinus”) **$bex_C\theta$** sunt denumite şi **FSM-CE trilobice (Fig.3)**.

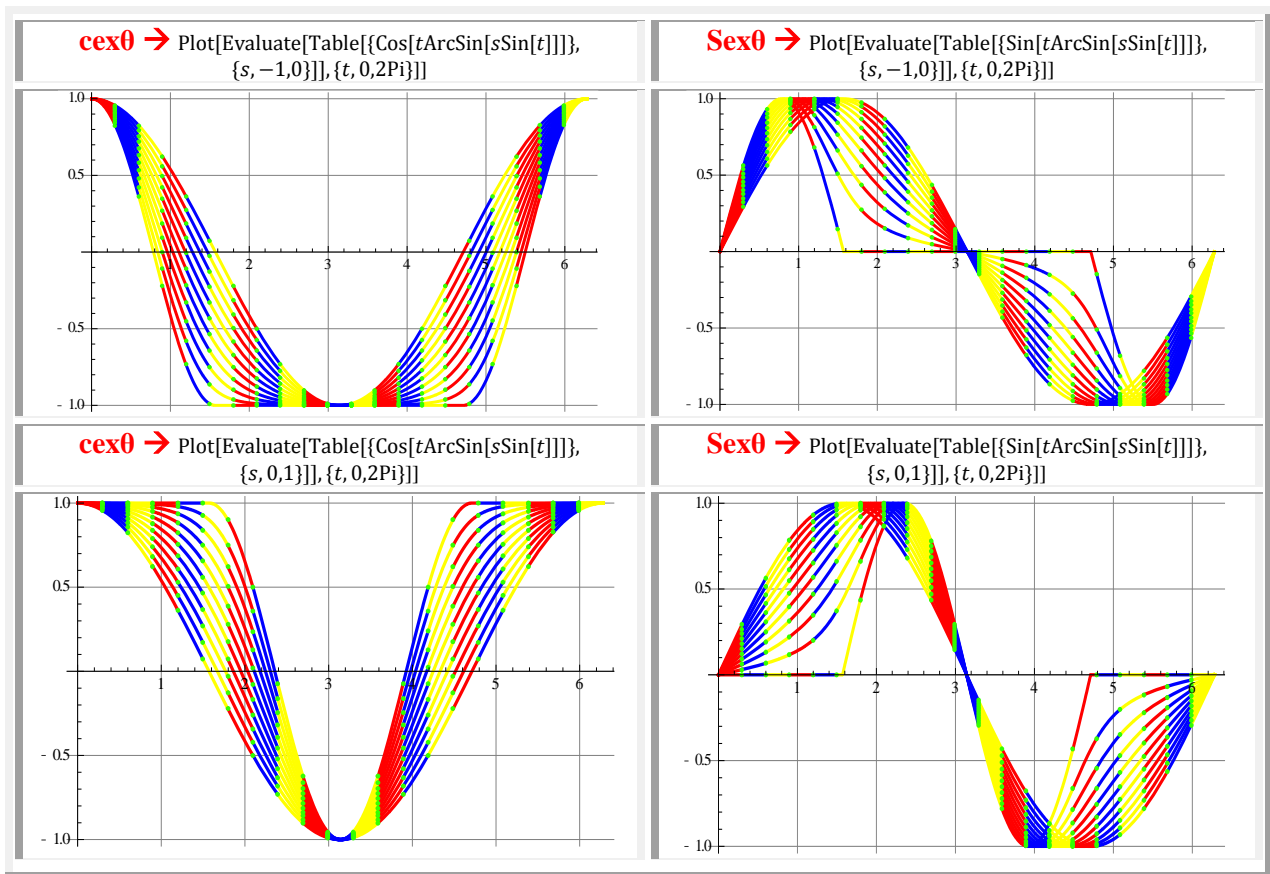
Funcţiile trilobice au expresiile

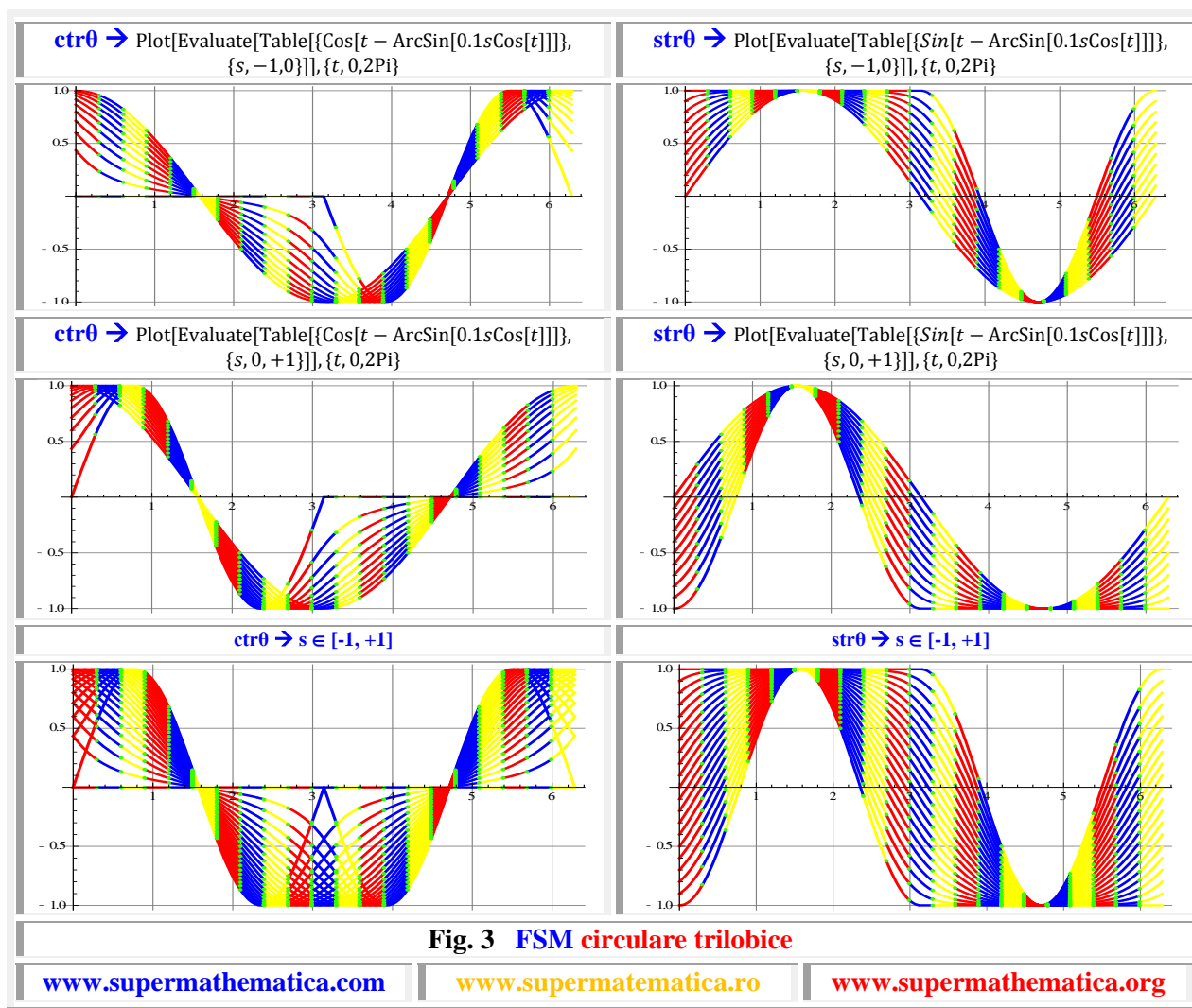
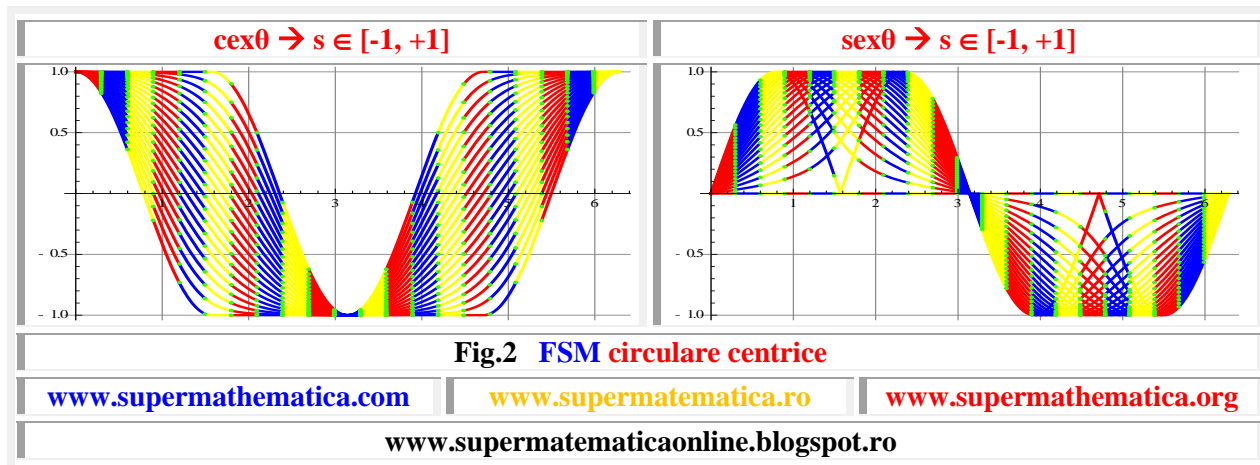
$$(2) \quad \begin{cases} ctr\theta = \cos[\theta - \beta_C(\theta)] = \cos[\theta - bex_C\theta] = \cos[\theta - \arcsin[s \cdot \cos(\theta - \varepsilon)] \\ str\theta = \sin[\theta - \beta_C(\theta)] = \sin[\theta - bex_C\theta] = \sin[\theta - \arcsin[s \cdot \cos(\theta - \varepsilon)] \end{cases}$$

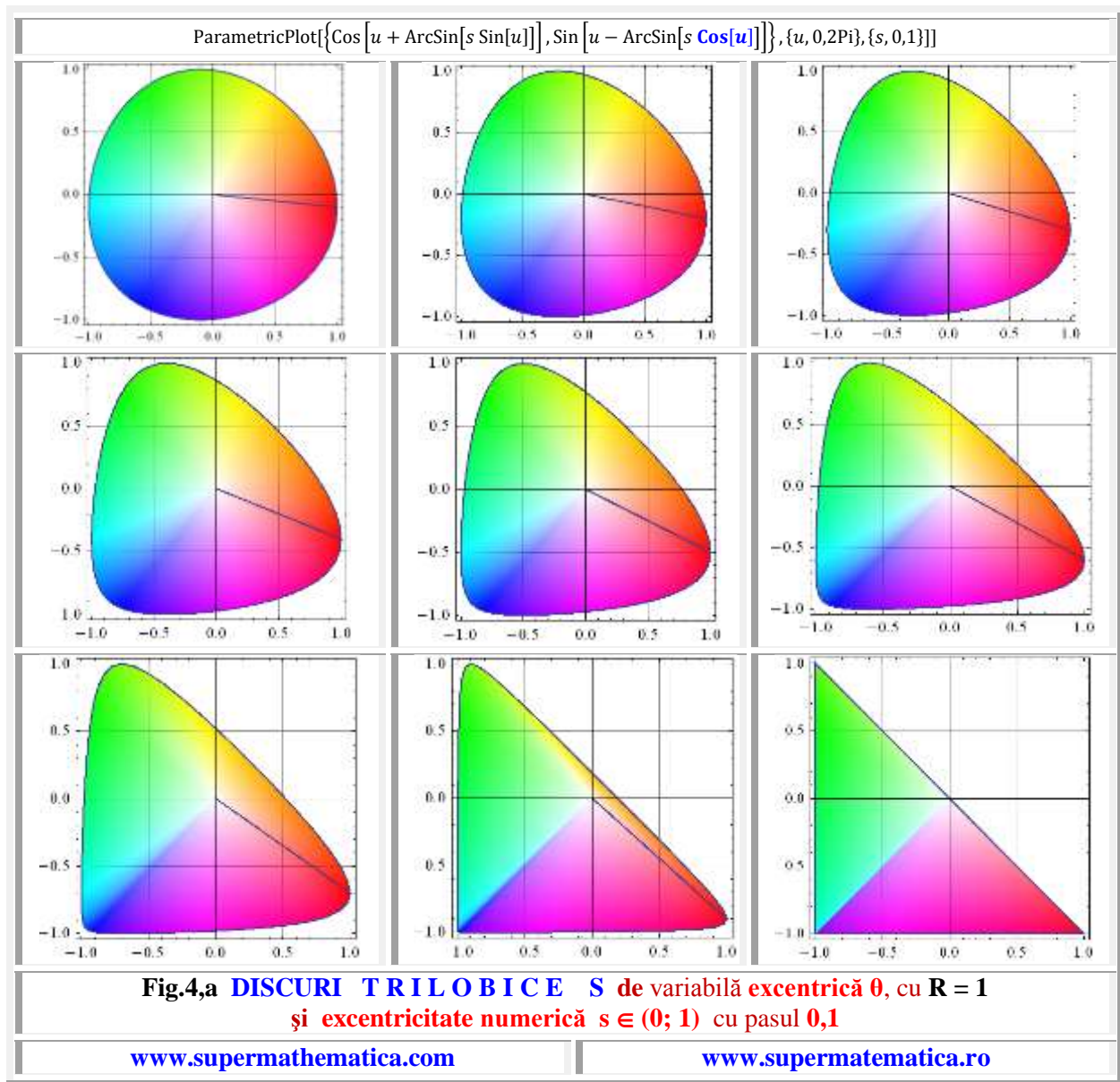
care sunt aceleaşi cu cele ale **FSM-CE** (1), dar de excentricitate unghiulară $\varepsilon = -\frac{\pi}{2}$ deoarece

$$(3) \quad \sin\left(\theta - \frac{\pi}{2}\right) = \cos\theta$$

şi au graficele din **figura 3**.







Ca să aspire la denumirea de lobă, curbele trebuie să fie închise și la cele două capete ale excentricității liniare numerice s , adică pentru $s = 0$ și $s = \pm 1$ să degereze în cerc, respectiv într-un poligon perfect, regulat sau neregulat. Trilobele de sinus, **TRILOBELE S** (Fig.4,a), degerează în **triunghi echilateral** iar **TRILOBELE C** (Fig.4,b), în **trident** ca în figura 4,c.

Diversele poziții ale triunghiurilor isoscele din figura 3, de exemplu, depind de semnele expresiilor din ecuațiile parametrice (4) :

$$(4) \quad \begin{cases} x = \pm R \cdot \cos[\theta - \arcsin(s \cdot \sin\theta)] = \mathbf{cex}\theta, \\ y = \pm R \cdot \sin[\theta - \arcsin(s \cdot \cos\theta)] = \mathbf{str}\theta \end{cases}$$

cu graficele din figura 5, denumite **trilobe S** de y , sau de **sinus trilobic $str\theta$** , deoarece $x = \mathbf{cex}\theta$ și $y = \mathbf{str}\theta$.

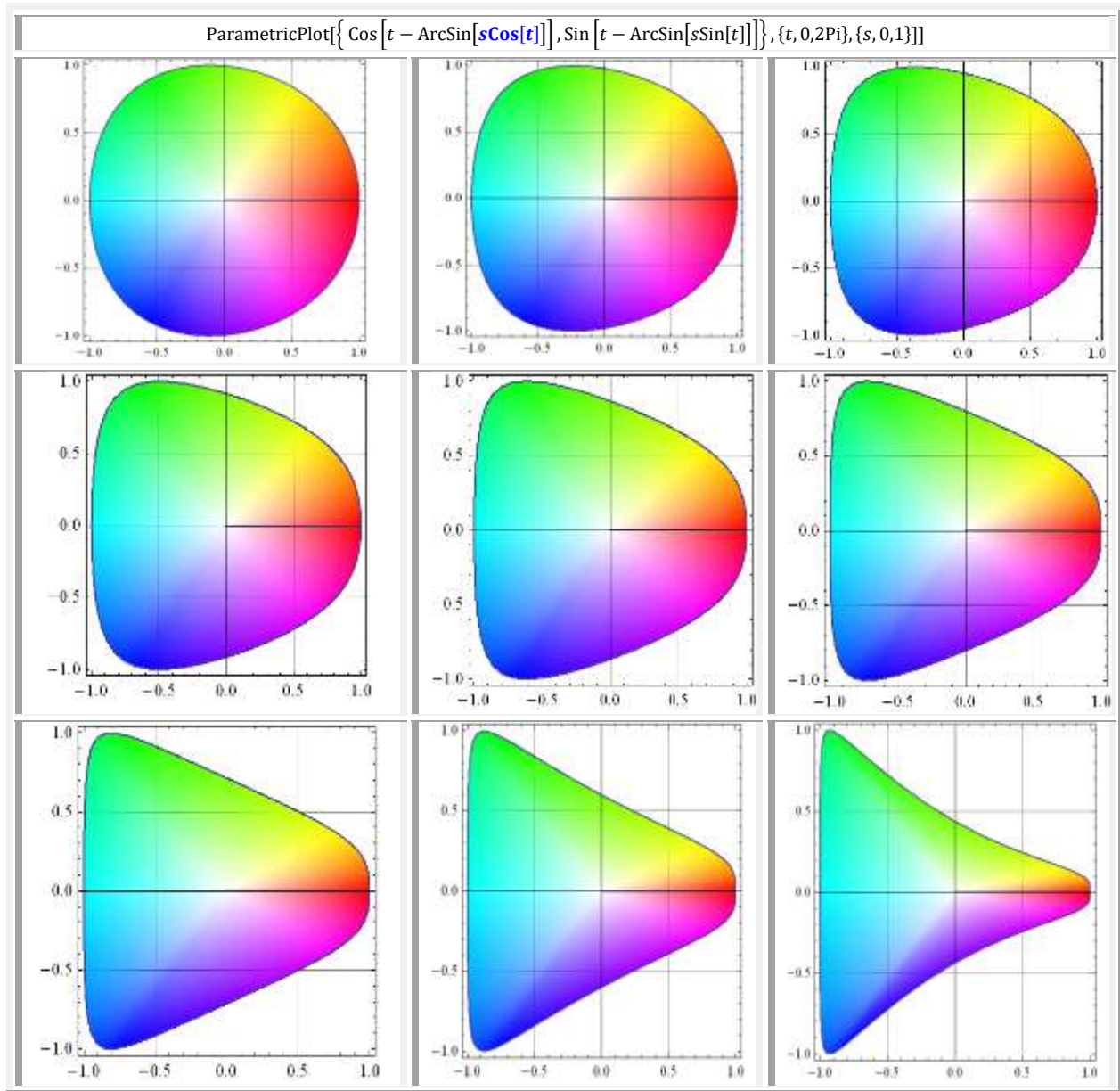
Trilobele C de x sau de **cosinus trilobic** au ecuațiile parametrice următoare:

$$(5) \begin{cases} x = R \cdot \cos[\theta - \arcsin(s \cdot \cos\theta)] = \mathit{ctr}\theta \\ y = R \cdot \sin[t - \arcsin[s \cdot \sin\theta]] = \mathit{sex}\theta \end{cases}$$

şi graficele din **figura 6**.

În **figurile 5** şi **6** au fost reprezentate, imaginile trilobelor în **3D** pentru întregirea aspectului acestora.

Dacă ecuațiile parametriche sunt de același tip circulare (1) sau trilobice (2), atunci oricare ar fi **excentricitatea liniară numerică s**, aceeași în ambele ecuații, curbele plane obținute sunt toate cercuri, **densitatea punctelor** fiind diferită în funcție de valoarea lui **s** (**Fig.7**); diferențe mai evidente / pregnante sunt în jurul originii **A(1,0)** pentru **excentricitatea unghiulară $\epsilon = 0$** și în **B(0, -1)** pentru **$\epsilon = -\frac{\pi}{2}$** .



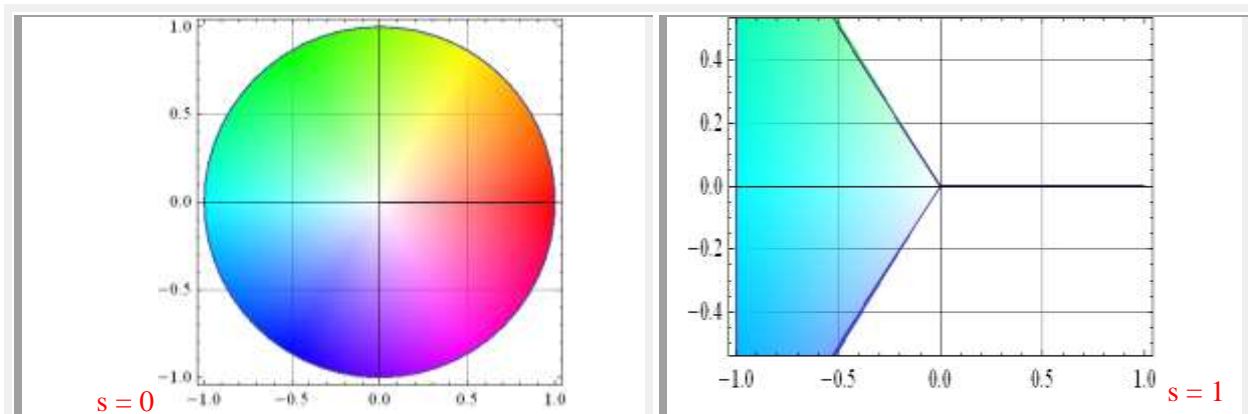


Fig. 4,b DISCURI TRILOBICE C
 de variabilă excentrică θ , cu $R = 1$ de funcția trilobică $x = \text{ctr}\theta$ și $y = \text{sex}\theta$

www.supermatematica.com

www.supermatematica.ro

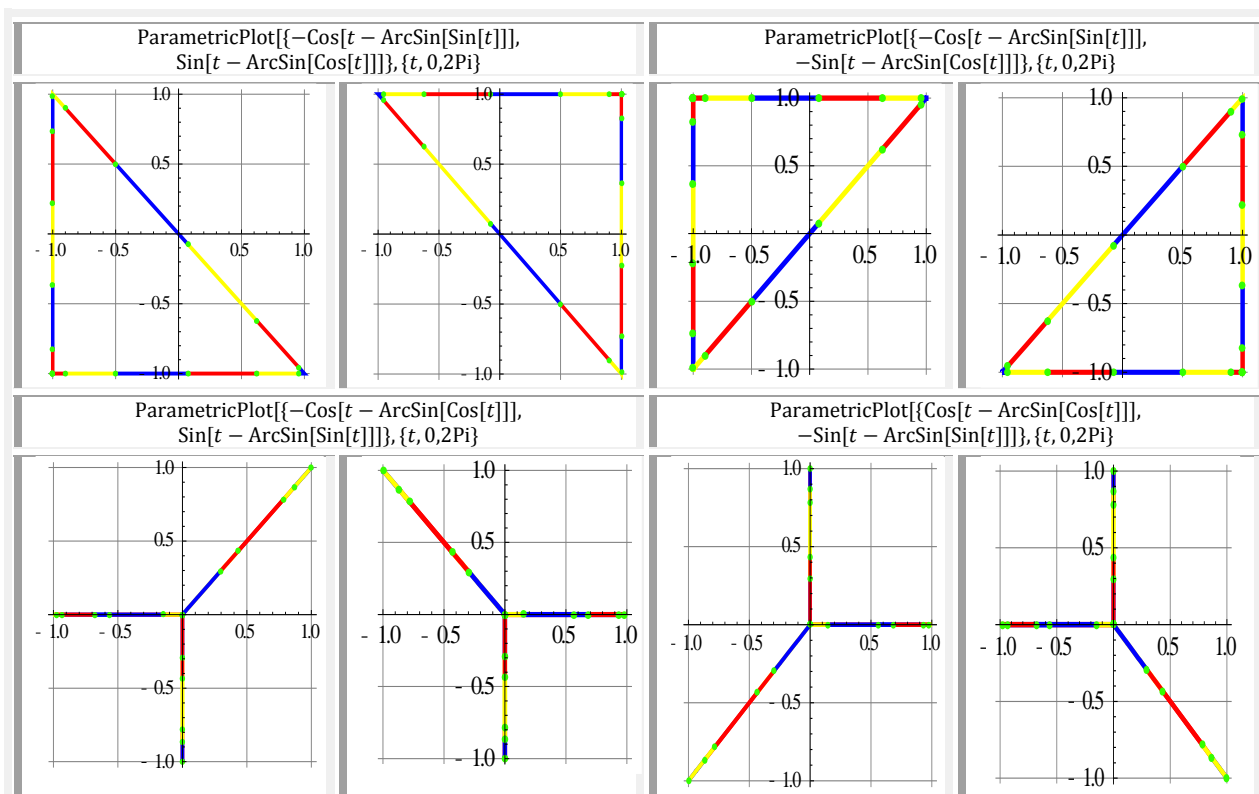


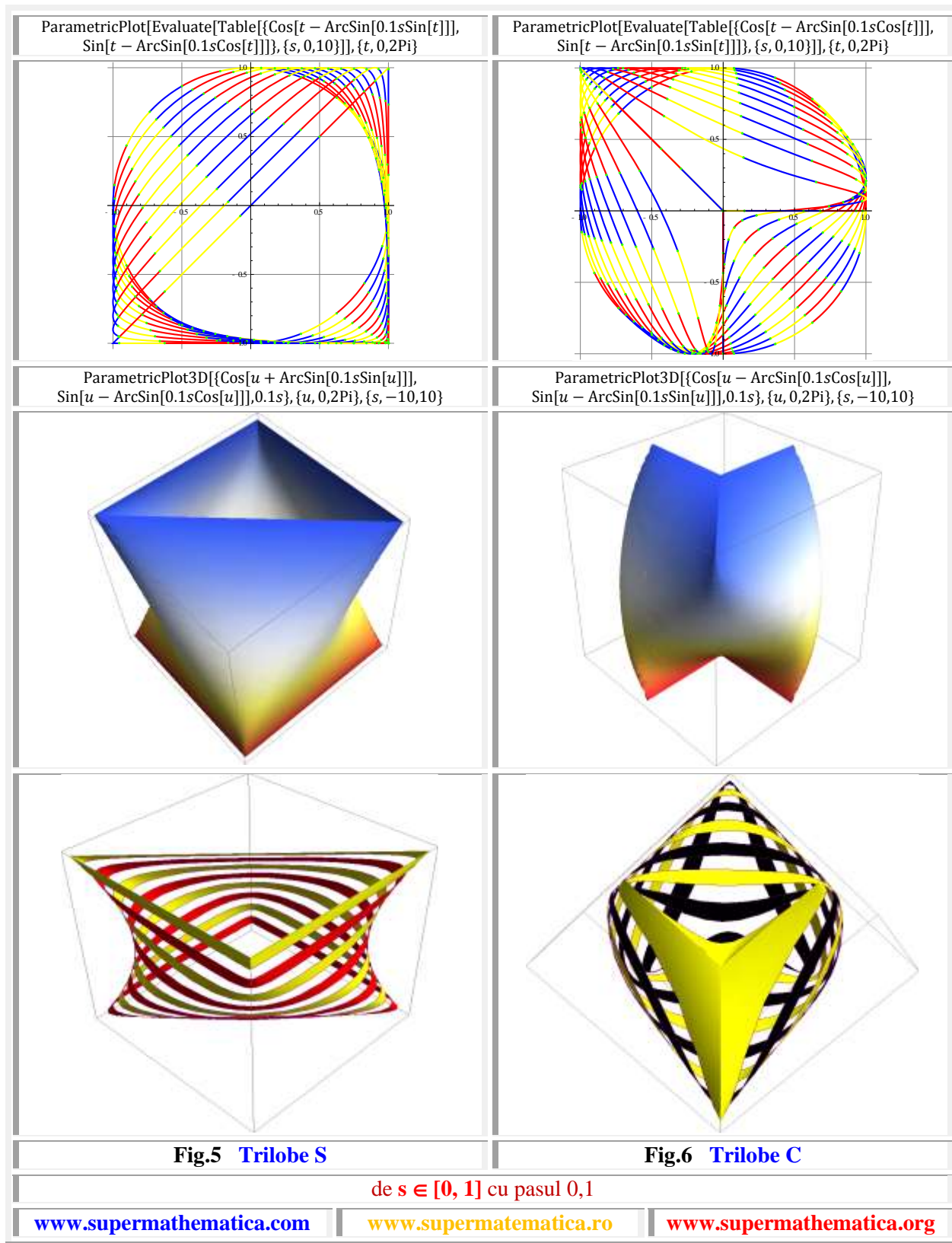
Fig. 4,c Trilobe de $s = 1$, degenerate în triunghi isoscel și în trident

www.supermatematica.com

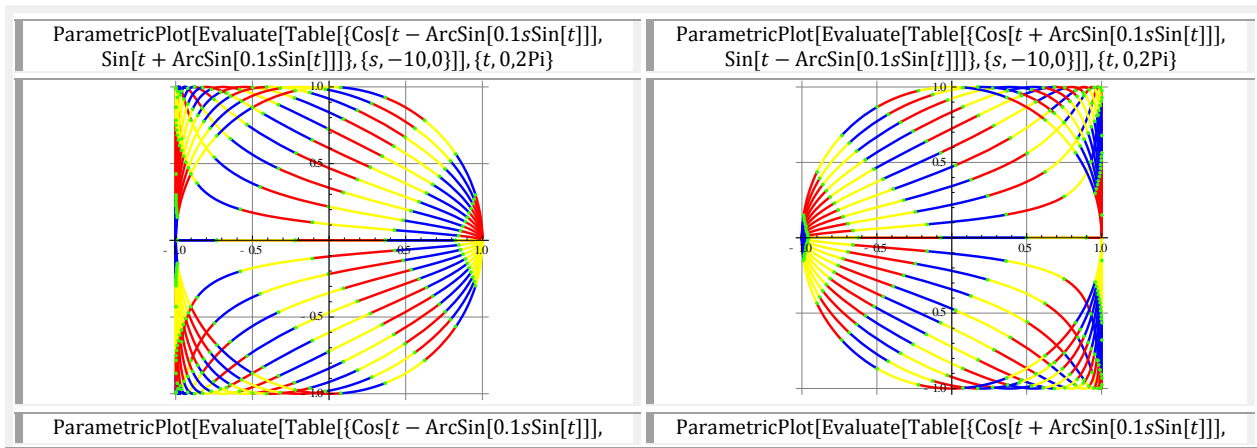
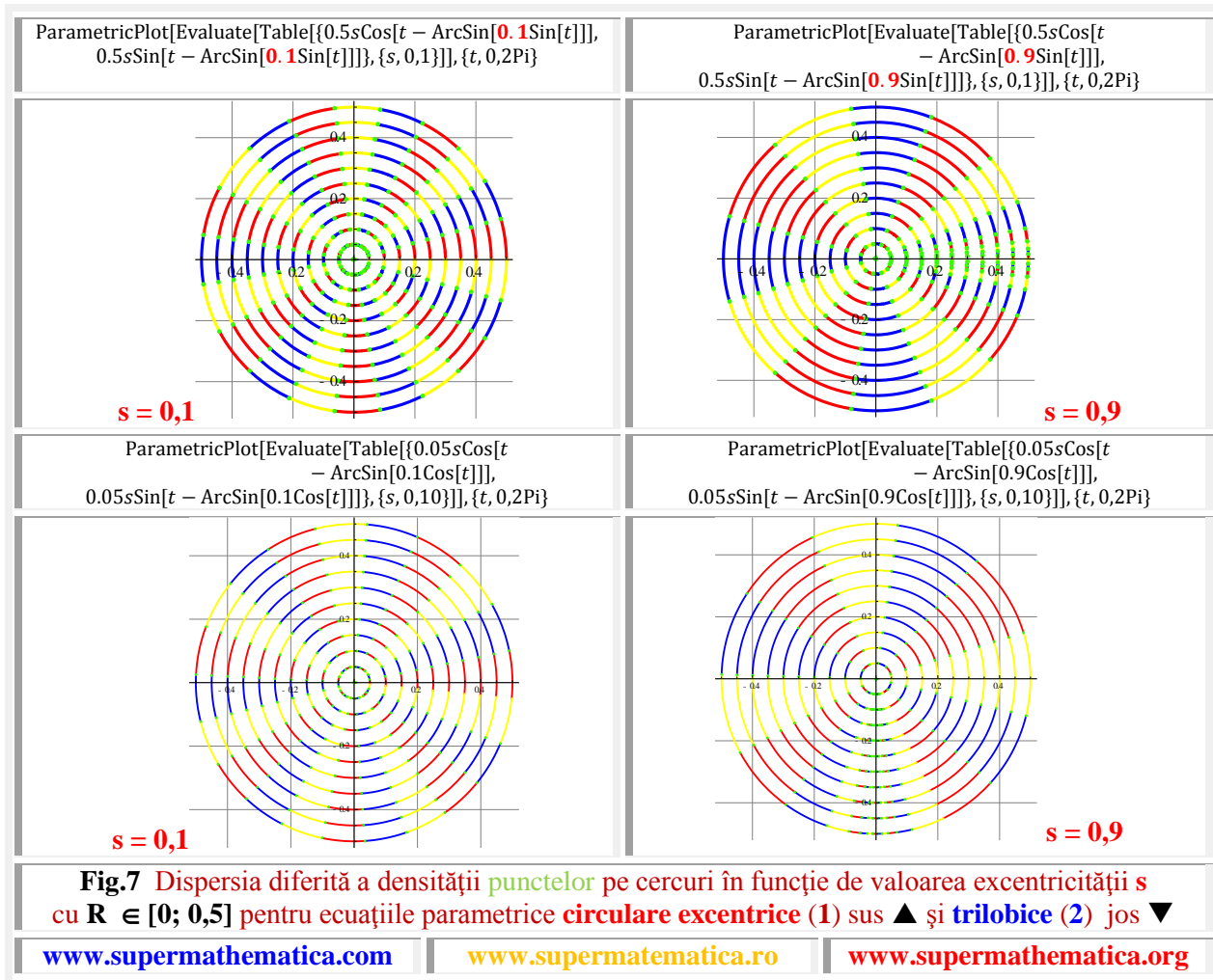
www.supermatematica.ro

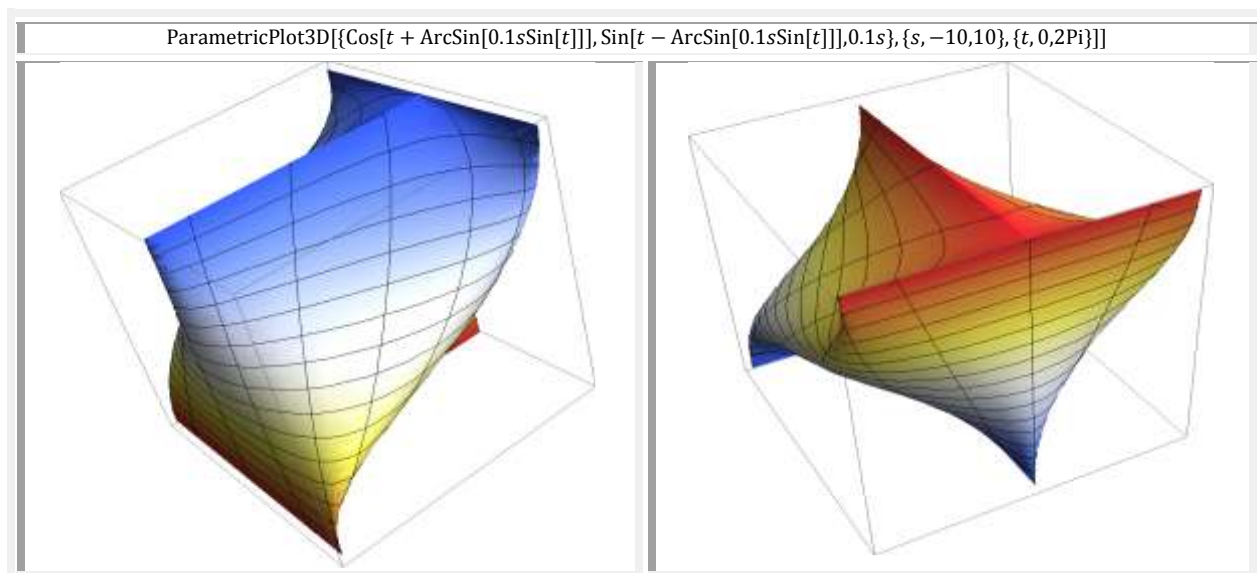
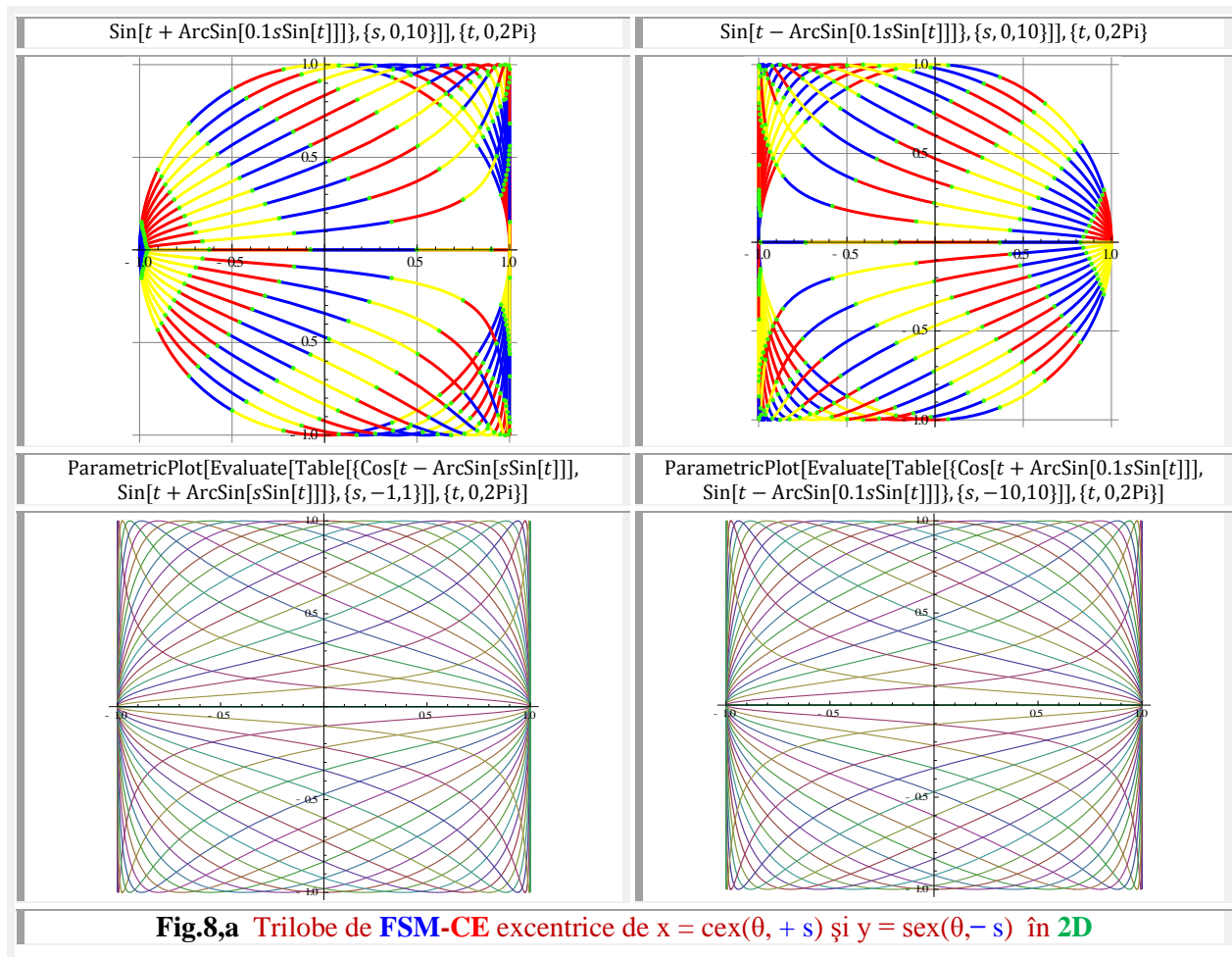
www.supermatematica.org

A fost aleasă o familie de cercuri de $R \in [0; 0,5]$ pentru a pune mai bine în evidență acest fenomen. Dacă, în ecuațiile parametrice (1), se **schimbă semnul** excentricității s din x față de s din y , sau invers, atunci se obțin trilobele din **figura 8**.



Trilobele din **figura 8** au fost obţinute numai prin schimbarea semnului excentricităţii **s** în una din cele două ecuaţii parametriche: în funcţia **sexθ** în stânga ◀ şi în **cexθ** în partea dreaptă ▶. Pentru $s = \pm 1$ se obţin poligoanele degenerate în forma de **T** din **figura 9**.





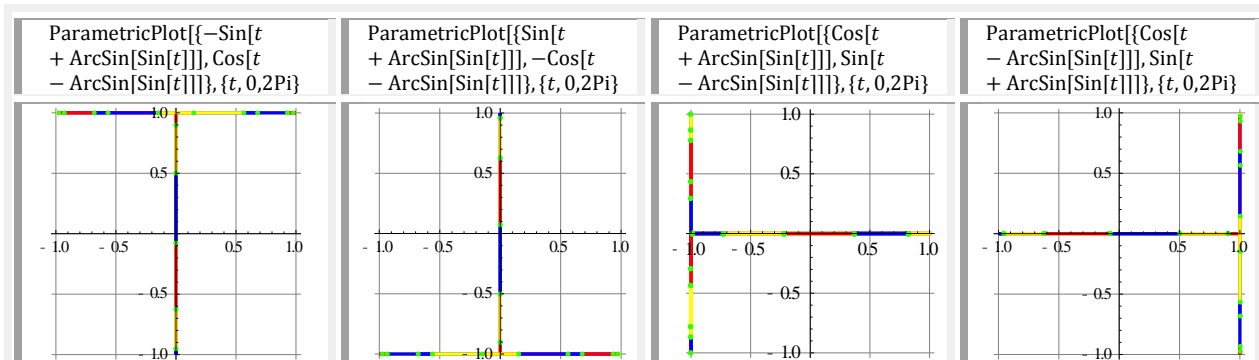
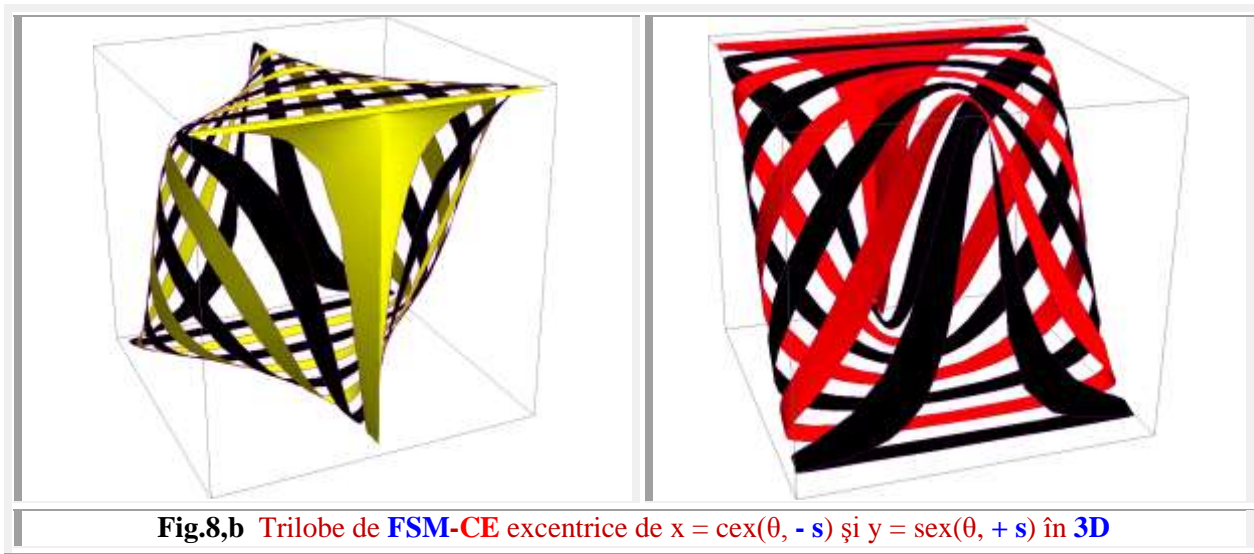


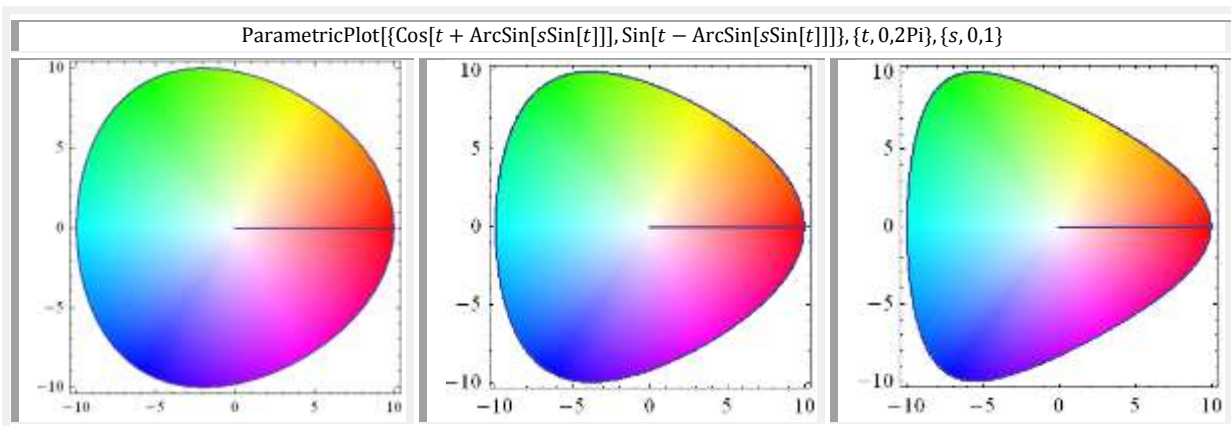
Fig.8,c Trilobe de FSM-CE excentrice de $cex\theta$ și $sex\theta$ și de excentricități de semne schimbate / contrare de valoare $s = \pm 1$

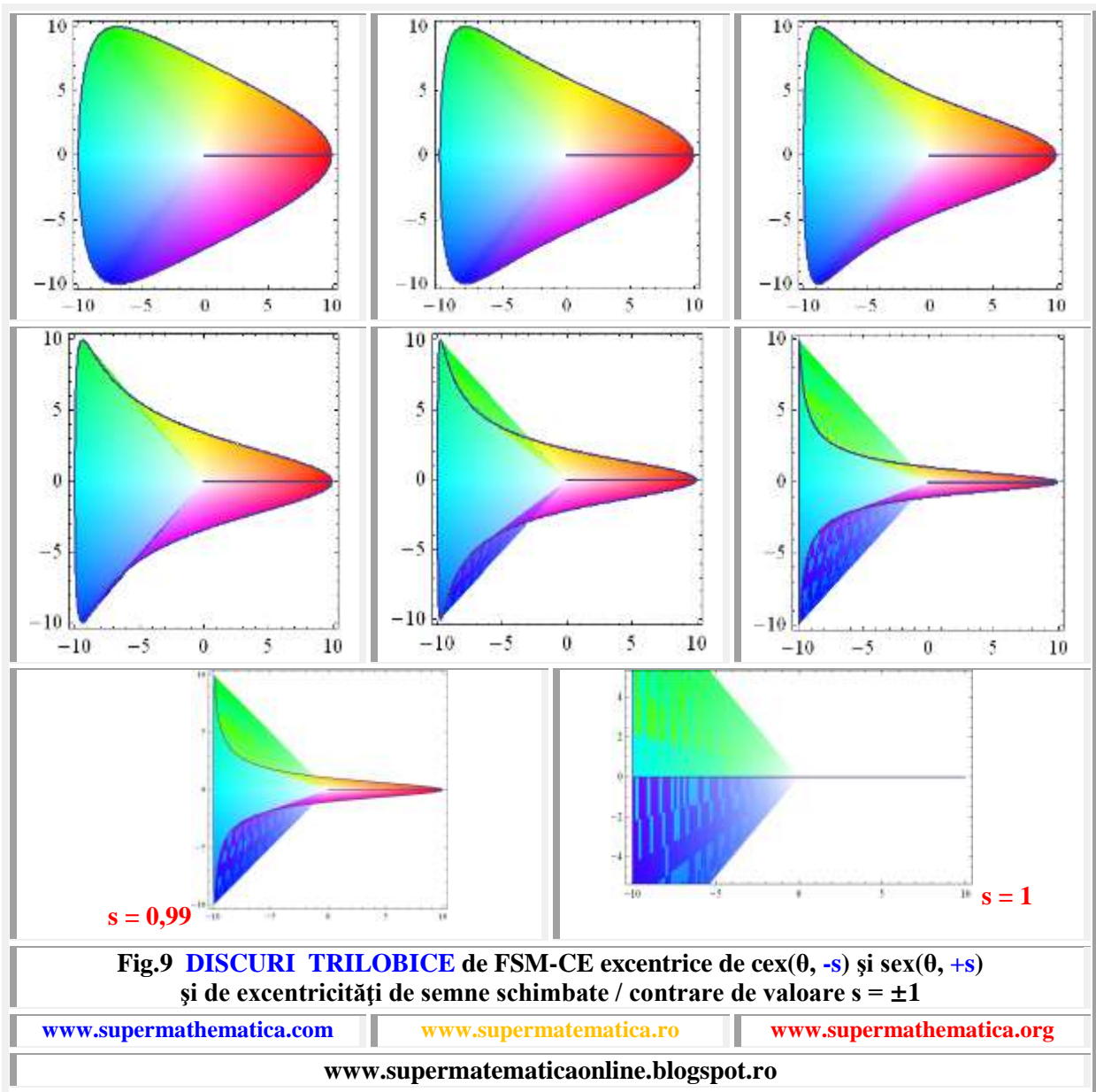
www.supermatematica.com

www.supermatematica.ro

www.supermatematica.org

www.supermatematicaonline.blogspot.ro





Există foarte multe posibilități de obținere a unor curbe închise de forma unor trilobe. Astfel, ele pot fi obținute și cu ajutorul funcțiilor quadrilobe (cvadrilobe) modificate .

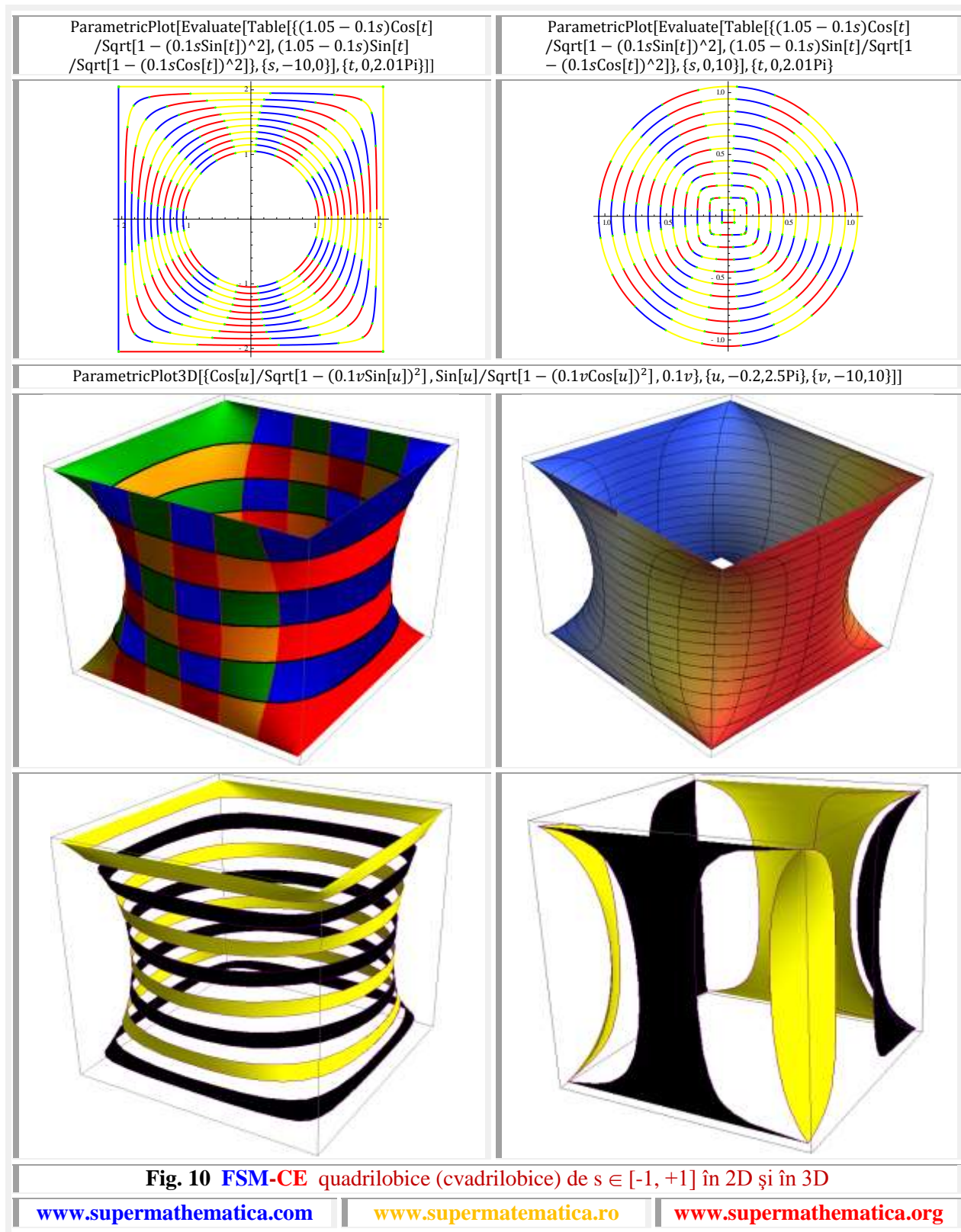
Ecuțiile parametrice ale quadrilobelor (cvadrilobelor) sunt

$$(6) \quad \begin{cases} x = \frac{R \cdot \cos \theta}{\sqrt{1-s^2 \sin^2(\theta-\varepsilon)}} \\ y = \frac{R \cdot \sin \theta}{\sqrt{1-s^2 \cos^2(\theta-\varepsilon)}} \end{cases}$$

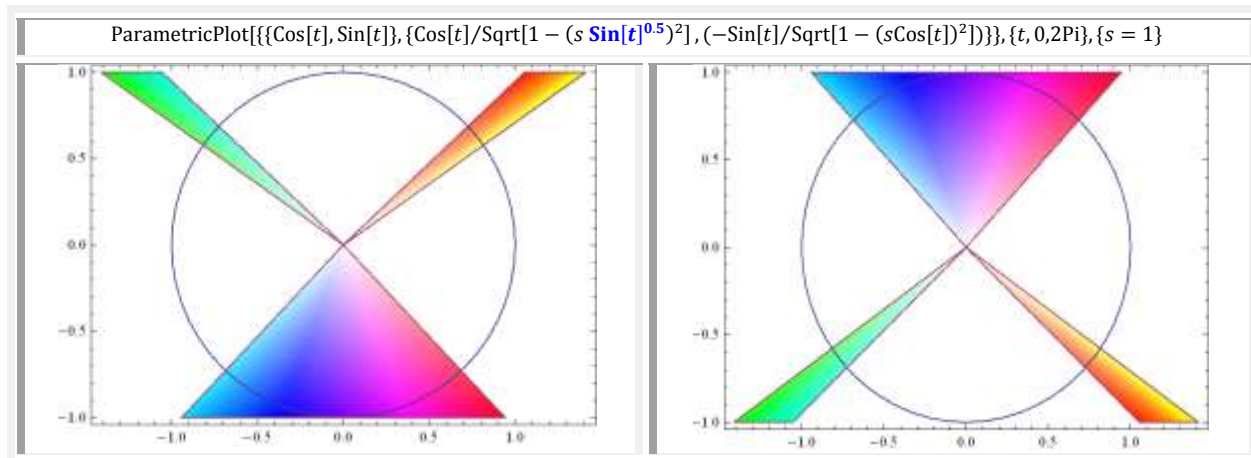
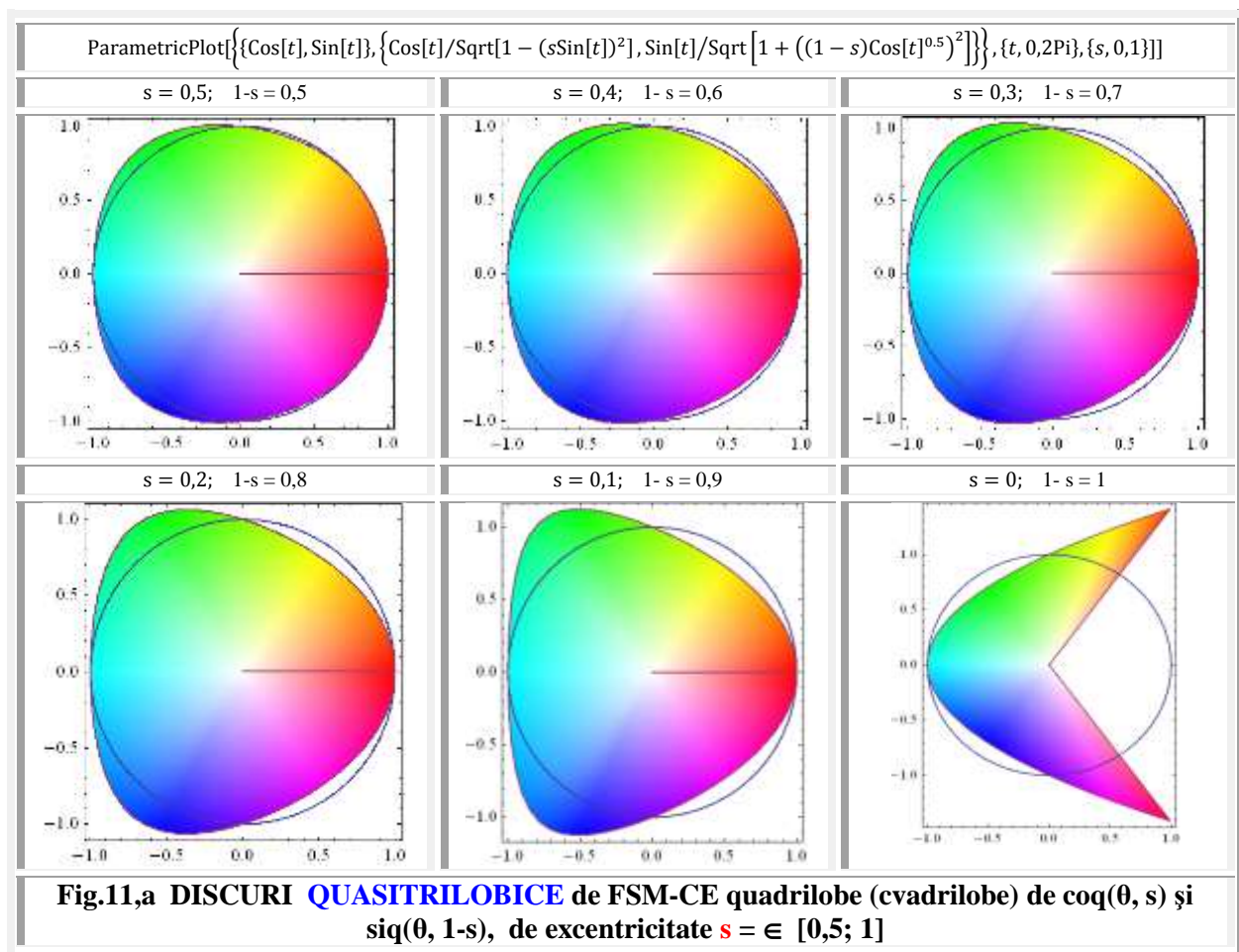
cu graficele din **figura 10**.

Discurile denumite **quasitribice**, deoarece pentru ecuațiile parametrice:

$$(7) \quad \begin{cases} x = coq(\theta, s) \\ y = siq(\theta, 1-s) \end{cases}$$



şi pentru $s = 0$, **respectiv** $s = 1$, discul nu mai este un poligon perfect (**Fig.11**), având doar două laturi rectilini / liniare şi una sub formă de parabolă.



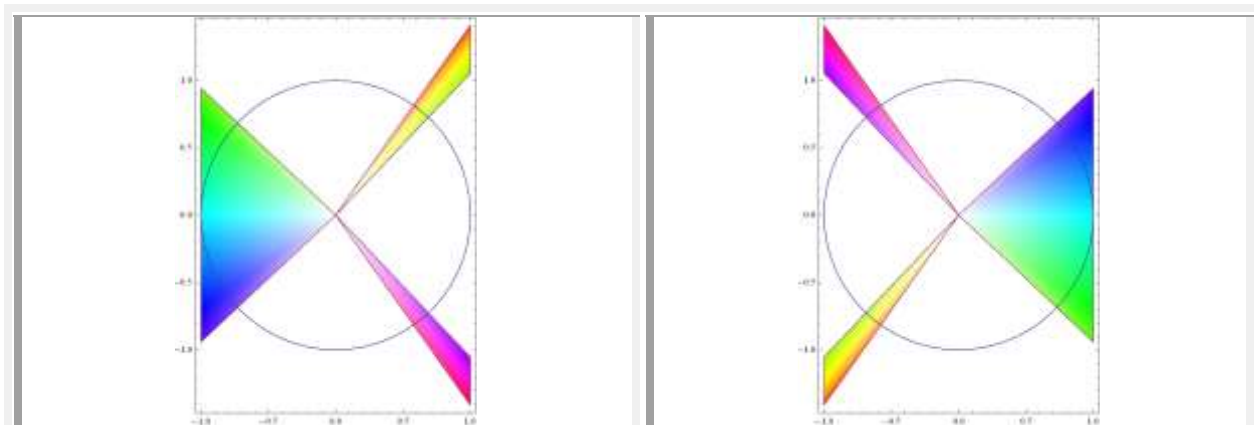


Fig. 11,b “DISCURI” QUASITRILOBICE de FSM-CE quadrilobe (cvadrilobe) de excentricitate $s = \in [0,5; 1]$

www.supermatematica.com

www.supermatematica.ro

www.supermatematica.org

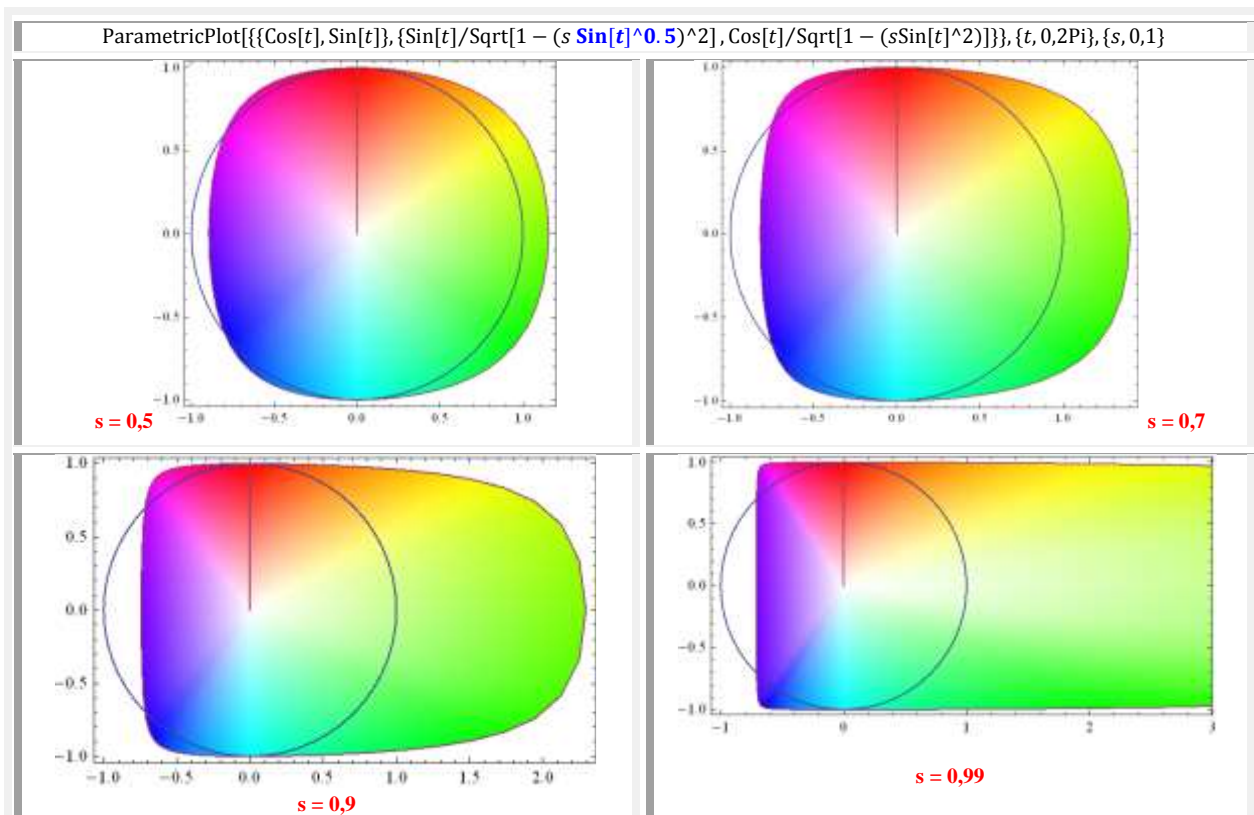


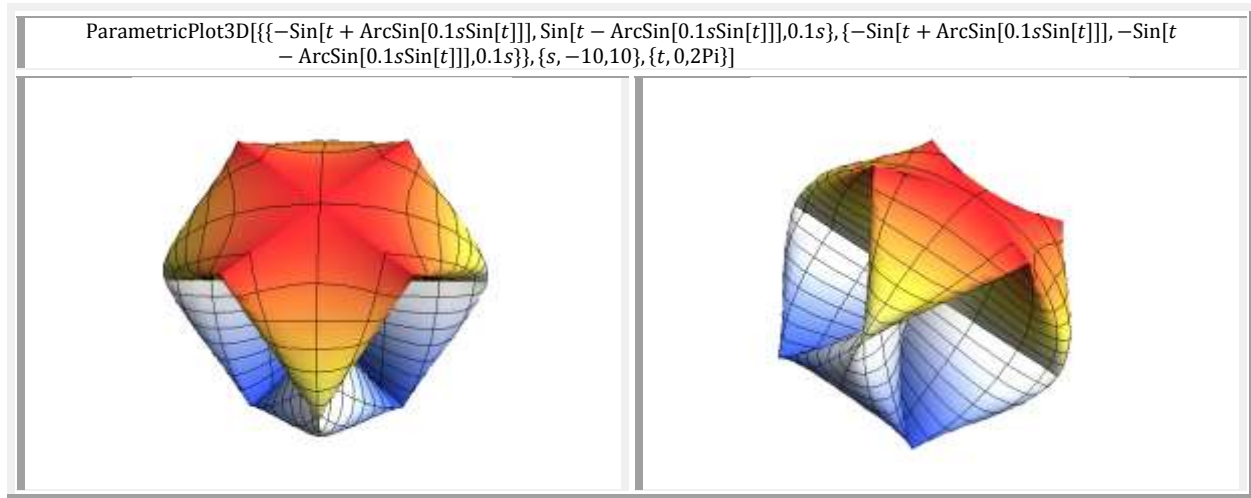
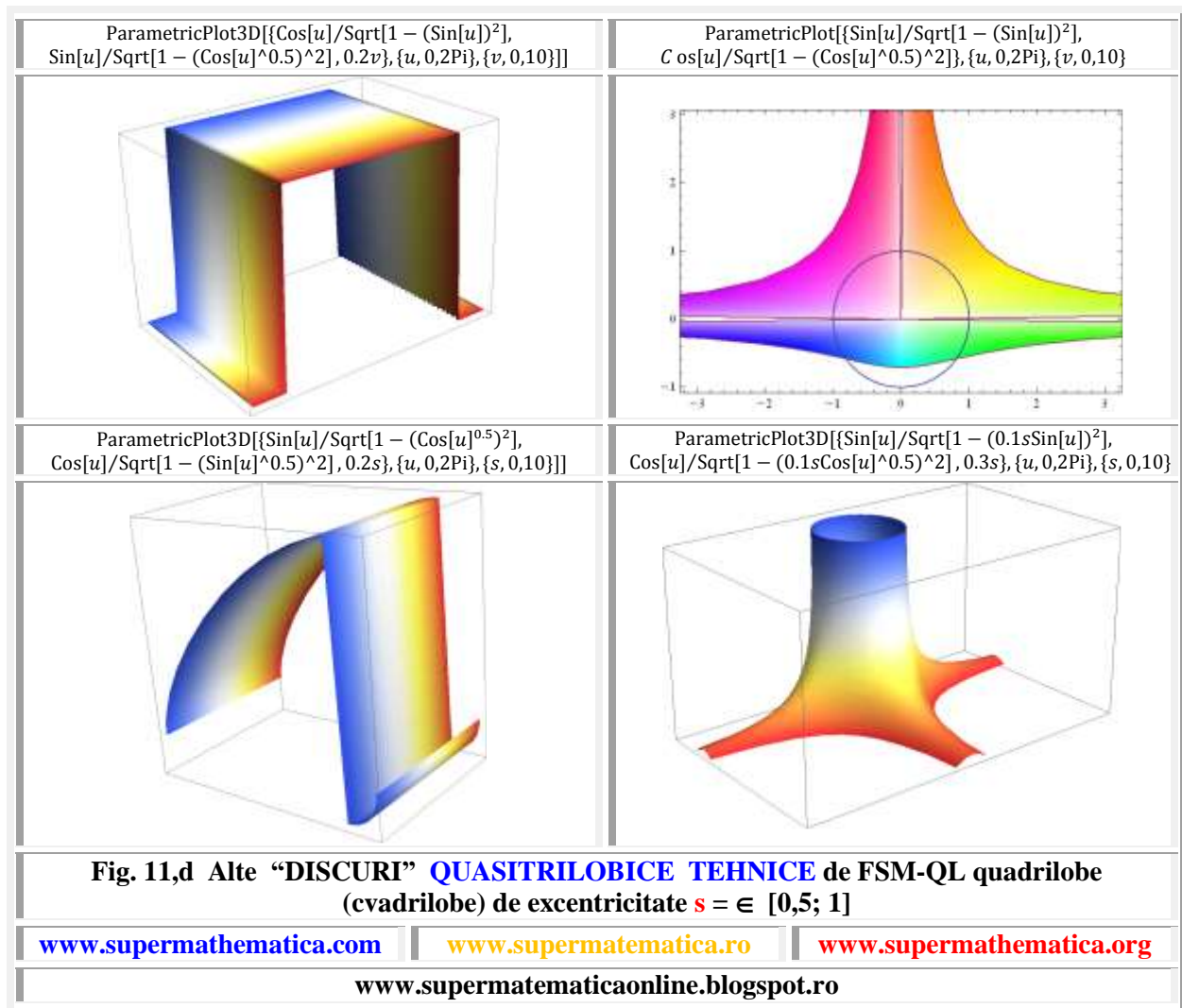
Fig. 11,c Alte “DISCURI” QUASITRILOBICE de FSM-CE quadrilobe (cvadrilobe) de excentricitate $s = \in [0,5; 1]$

www.supermatematica.com

www.supermatematica.ro

www.supermatematica.org

www.supermatematicaonline.blogspot.ro



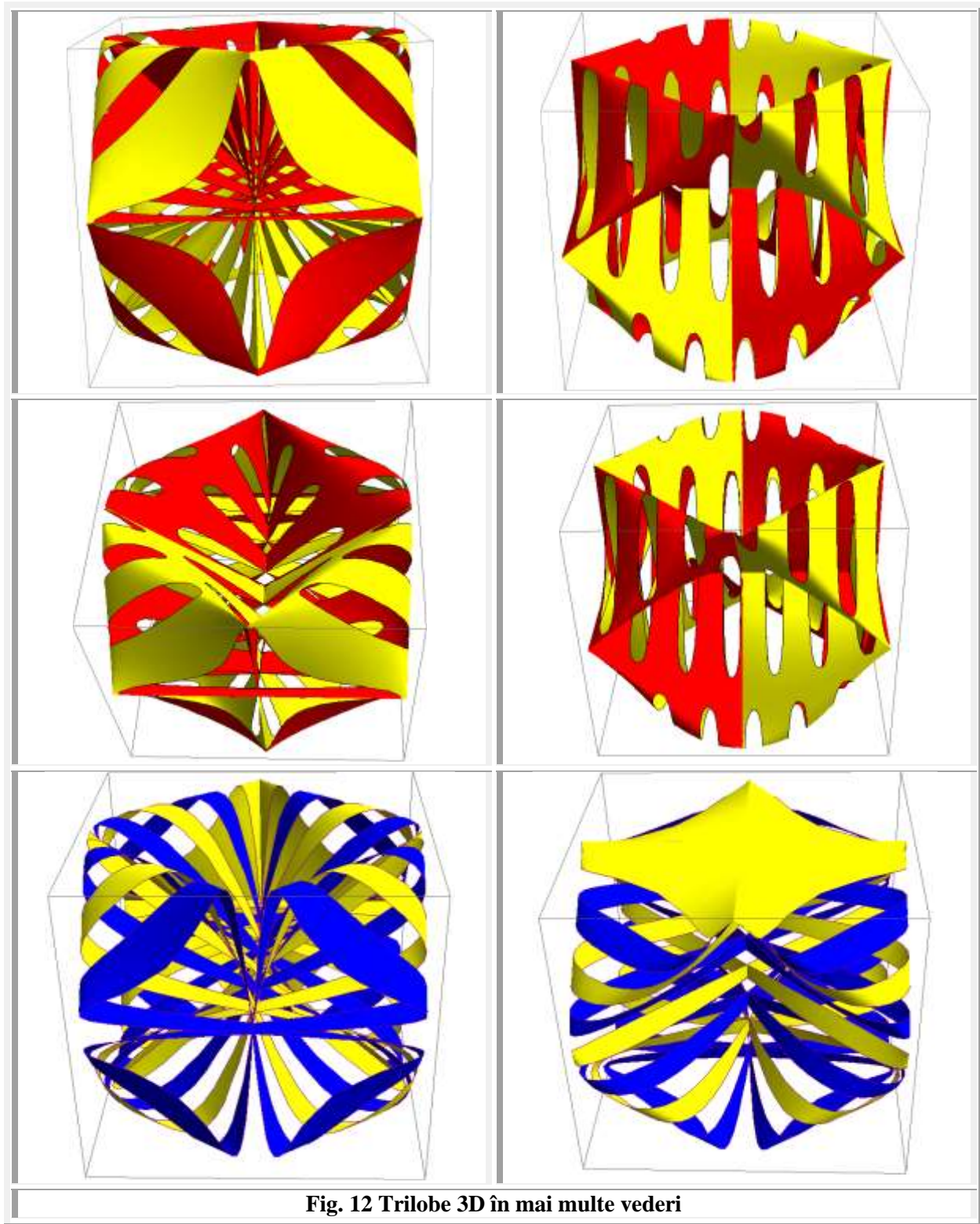


Fig. 12 Trilobe 3D în mai multe vederi



Motto: ”Înfrânt nu ești atunci când sângeri
Și nici când ochii-n lacrimi ți-s.
Cele mai crâncene înfrângeri
Sunt renunțările la vis”
Radu Gyr

CAPITOLUL XX

DETERMINAREA PULSAȚIILOR PROPRII ALE SISTEMELOR OSCILANTE LIBERE, CONSERVATIVE CU CARACTERISTICĂ ELASTICĂ STATICĂ (CES) NELINIARĂ, DE TIP DUFFING

1. INTRODUCERE

Această metodă a fost prezentată de autor la prima Conferință Națională de **“VIBRAȚII ÎN CONSTRUCȚIA DE MAȘINI”** din Timișoara, în anul 1975 și este publicată în lucrările acesteia.

Lucrările au fost conduse de eminenții profesori Prof. Univ. Em Dr. Doc. Ing. **Gheorgehe Silaș** și Prof. Univ. Dr. Doc. Ing. **Petre P. Teodorescu**.

Mă așteptam să fiu contrazis, să trebuiască să dau explicații și justificări suplimentare... Nimic. Nicio discuție. Liniște mormântală. Ca să fiu sincer, mă așteptam la cu totul altceva, de aceea m-am simțit nu prost ci descumpănit ! Figurile plictisite ale ascultătorilor, dar mai ales ale prezidiului, care mă privea duios, **îmi sugerau** ceva de genul: *“Tinere ai impresia că ai rezolvat ceea ce nu s-a rezolvat până în prezent pe plan mondial: Expresia exactă a pulsației proprii a unui sistem nelinier Duffing ?. Dar nu ne pierdem vremea să-ți arătăm unde ai greșit. Zici că $\frac{3}{4}$ în relația lui Ω e aproximativ și că $\frac{3}{5}$ e exact ? Și cine o zice, un ing. TCM-ist, un necunoscut, un “neica nimeni” în domeniul **Mecanicii Teoretice**”. (Deși, la acea oră avea deja publicată o nouă metodă de soluționare a problemelor de mecanică, mult mai simplă și mult mai rapidă decât arhicunoscuta și universal aplicata metodă lui **Jean Le Rond d’Alembert**, intitulată **“METODA SEPARĂRII FORȚELOR ȘI A MOMENTELOR”** n.n, prezentată în Vol. I al **Supermatematicii**, Cap. 8, pag.257 ...286, Ed. MatrixRom, Buc. 2016).*

M-a consolat observația Dl. Prof. **Gh. Silaș**, la prezentarea primelor lucrări din domeniul **supermatematicii**, care a exclamat: *“Tinere, dumneata n-ai inventat numai niște funcții, ci o nouă matematică, o **supermatematică**”*. Așa s-a născut denumirea noii matematici, *“matematica mileniului III”* cum au denumit-o și alți matematicieni de prestigiu, profesori universitari din USA. Referenți ai lucrării **“SUPERMATEMATICA. FUNDAMENTE**, vol. I și vol. II., lucrare distinsă cu **“DIPLOMA AGIR”** în domeniul **“Tehnologia Informației (IT)”** în anul 2013.

Ce diferență enormă !... La a 2-a Conferință Națională de **“VIBRAȚII ÎN CONSTRUCȚIA DE MAȘINI”** din Timișoara, în anul 1978, am prezentat în limba română patru lucrări cu denumirea de **funcții circulare excentrice**, drept extensii și aplicații ale acestora, traduse (aproximativ de o “expertă”) în limba engleză.

Și totuși, satisfacția maximă a survenit la a V-a Conferință Națională de Vibrații în Construcția de Mașini, din anul 1985, unde au fost prezentate trei lucrări din acest domeniu, în secția condusă de Prof. Dr. M.C. al Academiei României **Dimitrie Ion Mangeron**, care i-a spus D-lui **Gh. Silaș**: *“Dumneata știi ce-a făcut copilul acesta ? Aceste lucruri trebuie imediat publicate ”*. La care profesorul **Silaș** s-a făcut roșu la față ca un rac, deoarece numai el știa cu câtă greutate a reușit să facă rost de hârtie de la Palas-Constanța ca să publice lucrările și să nu se amâne **Conferința** din această cauză; criza de hârtie fiind atunci extremă.

M-am ales, totuşi, cu trei dedicaţii elogioase pe cele 3 volume ale ”MECANICII RIGIDULUI CU APLICAŢII ÎN INGINERIE”. Exemplificăm cu dedicaţiile de pe Vol.I ”Scumpului coleg Mircea Şelariu cu urări de succes în continuare. Mangeron, 6 XII 1985” şi Vol. II : ”Talentatului coleg cu rugămintea să publice volumul de curbe noi descoperite de dânsul. 6 XII 1985”. A reuşit să le publice în 2007, pe cont propriu, **după 22 de ani !!** Cu această lucrare vreau să exprim faptul că n-am renunţat la visul de-a face cunoscută această **metodă absolut originală**, chiar dacă de atunci, când mă aşteptam să fie recunoscută ca atare, a trecut foarte mult timp pentru autor şi extrem de puţin timp pentru univers.

2. METODA

Se consideră simultan, în paralel, **trei sisteme oscilante conservative**, având aceeaşi masă **m**, aceeaşi amplitudine **A** şi aceeaşi perioadă **T** de oscilaţie. Şi, ca urmare, aceeaşi pulsaţie proprie Ω dar cu viteze unghiulare ω variabile, ale sistemelor neliniare, de rotaţie a unui punct reprezentativ **M** pe cercul $C[O(0,0), R=A]$ ale cărui proiecţii, pe oricare dintre axele **x** şi / sau **y**, reproduc mişcările celor trei sisteme. Primele două sisteme sunt pentru comparaţie şi ultimul pentru exemplificarea metodei.

Primul sistem **liniar elastic (SLE)** are **caracteristica elastică statică (CES) liniară (Fig.1)** :

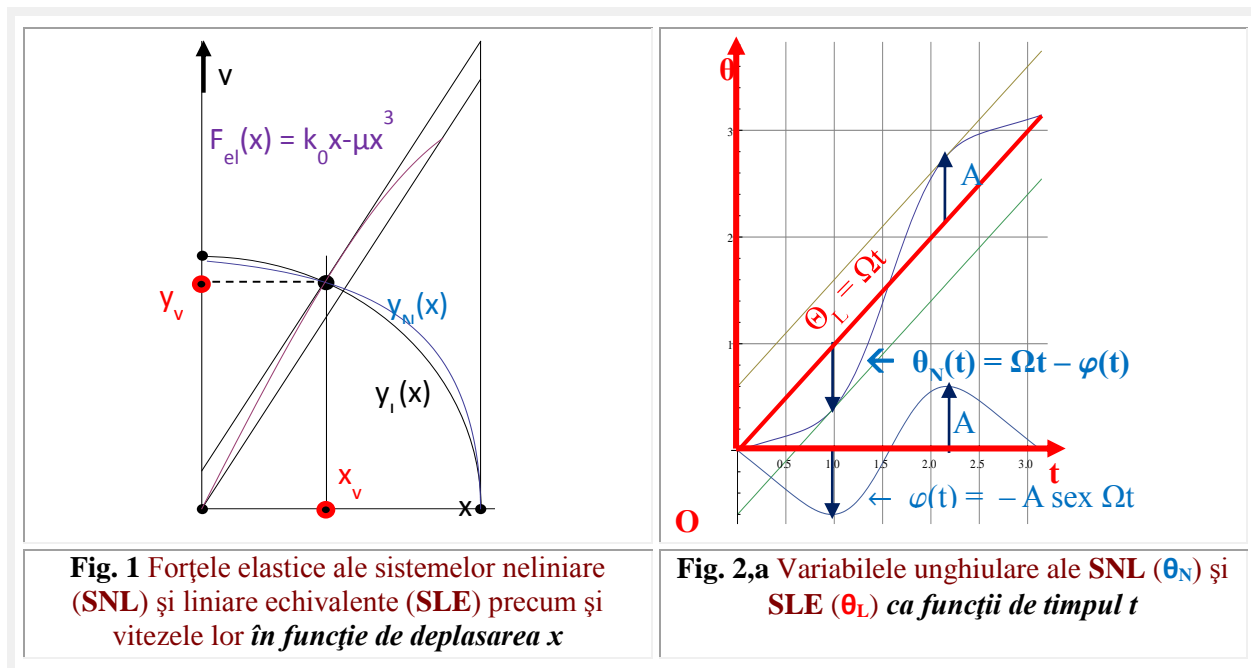
(1) $F_L = K \cdot x$,

în care, **K** = constant este panta dreptei ce reprezintă CES liniară.

Al doilea sistem, **sistem neliniar (SNL)**, are CES reprezentată de funcţia / curba (mai precis: **excentră** sau **curbă excentrică** (noţiune introdusă în matematică de regretatul matematician **Anton Hadnagy**) → v. **SUPERMATEMATICA. FUNDAMENTE**, Vol I, Ed. Politehnica, 2007, Timişoara, §.9.3.1 INTRODUCEREA NOŢIUNII DE STRĂMBĂ ÎN MATEMATICĂ), denumită **funcţie supermatematică circulară excentrică (FSM–CE)** de **variabilă excentrică θ** (Fig.2,b) şi **FSM–CE** amplitudine excentrică de variabilă **centrică α** (Fig. 2,c); fiind inverse una alteia:

(2) $F_N = F(x)$

FSM–CE amplitudine excentrică de **variabilă excentrică θ** , simetrică faţă de origine, din figura 2,a.



Pentru exemplificare se mai consideră un al treilea sistem vibrant, **sistem nelinier Duffing (SND)**, de CES a **sistemului vibrant nelinier liber (SVNL)** de tip **Duffing** având forţa elastică exprimată de relaţia

$$(3) \quad \mathbf{F}(z) = k_0x - \mu \cdot x^3$$

Constanta elastică **K** a **sistemului liniar echivalent (SLE)** se alege astfel, încât, cele două mase identice **m**, pornind simultan la timpul $t_0 = 0$ din poziţia $x_0 = A$, să ajungă simultan, după un sfert de perioadă, $t = T/4$, în poziţia $x(T/4) = 0$.

Ca urmare, pulsaţiile proprii, sau **viteza unghiulară constantă Ω** , pentru sistemul liniar şi viteza **unghiulară medie Ω** , care se consideră pulsaţie proprie a **SNL**, ale primelor două sisteme să fie egale între ele. Pulsaţia proprie constantă a sistemului liniar este, după cum se ştie, arhicunoscuta relaţie

$$(4) \quad \Omega = \sqrt{\frac{K}{m}},$$

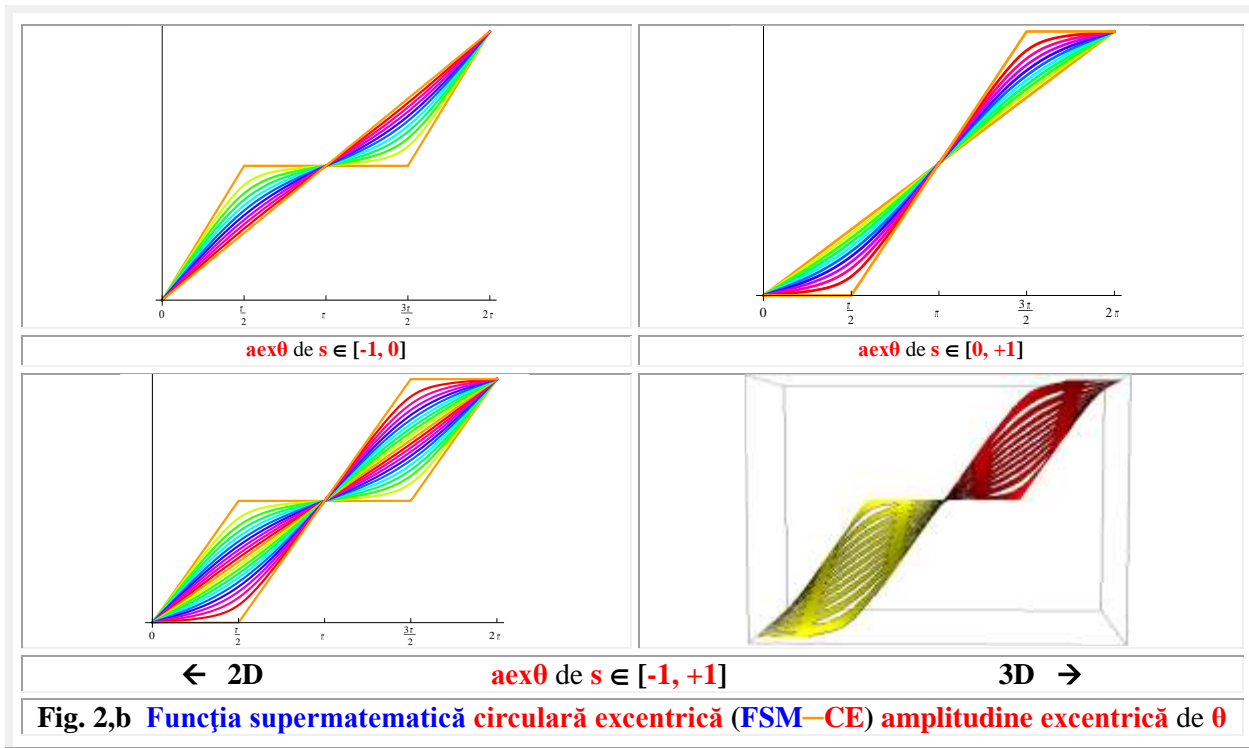
iar sistemul oscilant liniar este denumit **echivalent** sistemului nelinier de mase **m**, amplitudini **A** dacă cele două sisteme au pulsaţiile proprii Ω egale, adică, dacă pornesc, în acelaşi timp, din $x = A$, ajung în acelaşi timp în $x = 0$. Ecuaţiile diferenţiale ale mişcărilor pentru cele trei sisteme comparate sunt:

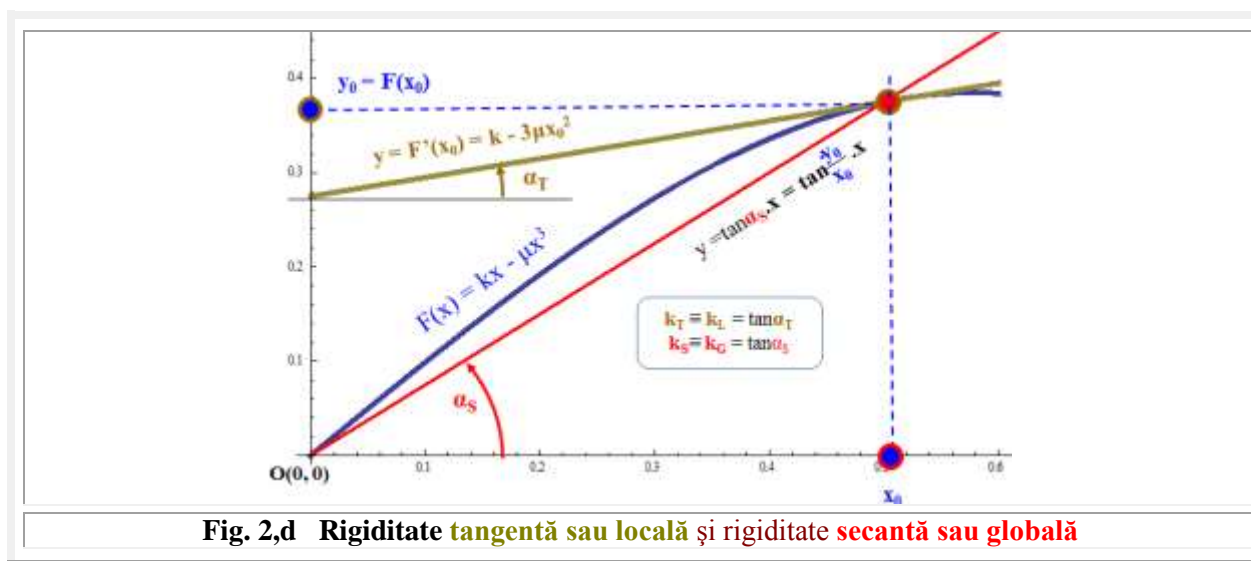
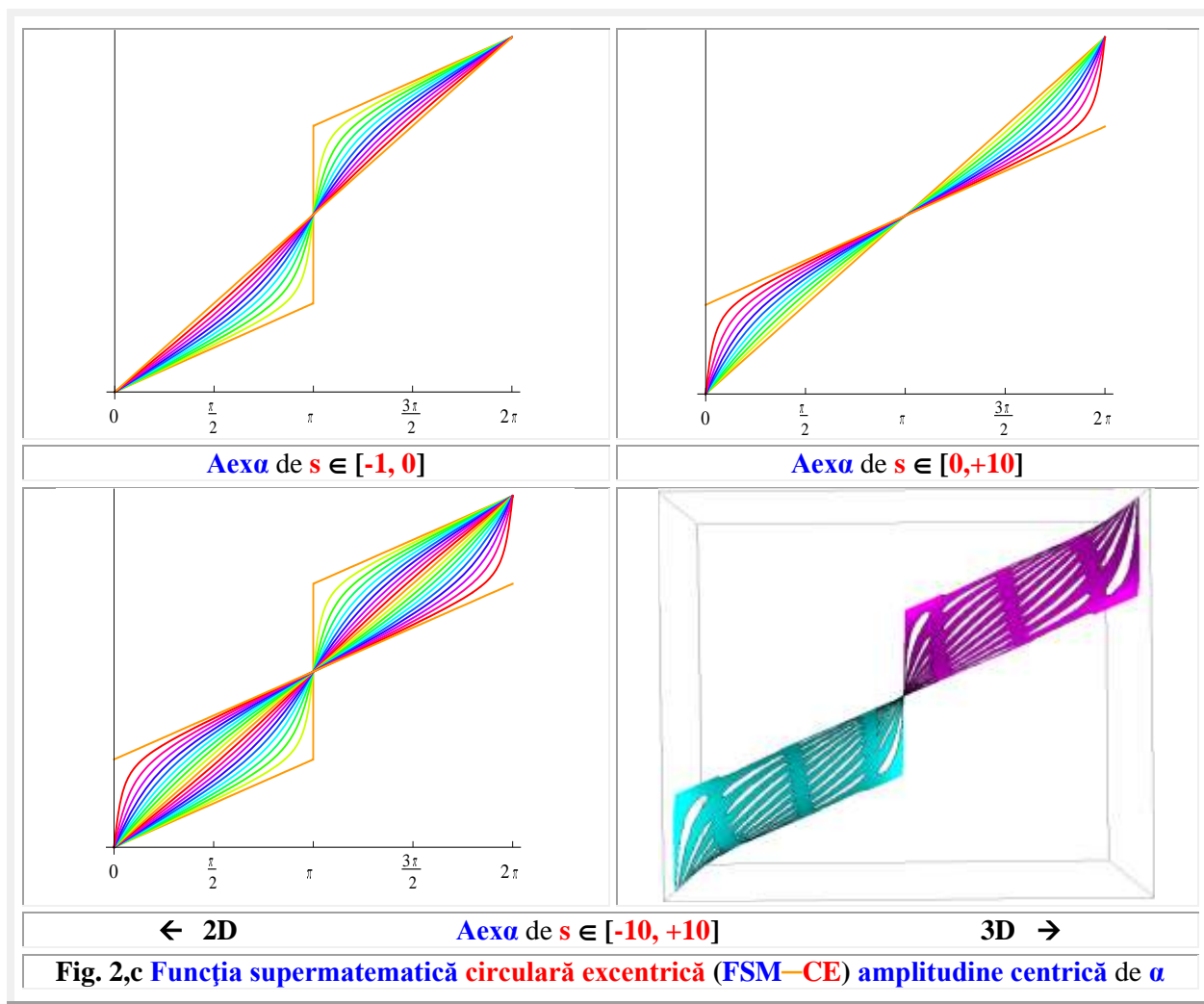
$$(5) \quad \begin{cases} \text{SLE:} & m\ddot{x} + Kx = 0 \\ \text{SNL:} & m\ddot{x} + F(x) = 0 \\ \text{SND:} & m\ddot{x} + k_0x - \mu x^3 = 0 \end{cases}$$

Pentru sistemul liniar echivalent (**SLE**), cu condiţiile iniţiale amintite, lege de mişcare, deplasarea sau elongaţia, viteza şi acceleraţia pot fi

$$(6) \quad \text{SLE:} \begin{cases} x = A \cdot \cos\theta = A \cdot \cos\Omega t \\ \dot{x} = -A \Omega \sin\theta = -A \sin\Omega t = -\Omega \sqrt{A^2 - x^2} = -\Omega \cdot y \\ \ddot{x} = -A \Omega^2 \cos\theta = -A \Omega^2 \cos\Omega t = -\Omega^2 x \end{cases}$$

Acceleraţia **SLE**, exprimată în funcţie de **deplasarea x**, verifică identic nul ecuaţia diferenţială liniară a **SLE** din (5).





În mod analog, accelerația sistemului neliniar (SNL) trebuie să poată să se exprime în funcție de *deplasarea x* și, **sub această formă**, să verifice identic ecuația sa diferențială SNL din (5).

Forța elastică $\mathbf{F}(\mathbf{x})$, fiind o funcție de deplasarea x se poate exprima și sub forma

$$(7) \quad \mathbf{F}(\mathbf{x}) = \mathbf{k}_a(\mathbf{x}) \cdot \mathbf{x},$$

în care **rigiditatea variabilă** $k_a(x)$, în funcție de x , are expresia

$$(8) \quad k_a(x) = F(x) / x$$

și reprezintă **rigiditatea globală** sau, cum este cunoscută în literatură [Gheorghiu, Al. "CONCEPȚII MODERNE ÎN CALCULUL STRUCTURILOR", Ed. Tehnică, Buc. 1966], **rigiditatea secantă**.

Împărțind această rigiditate, cu masa \mathbf{m} , obținem pătratul **pulsației variabile** sau **instantanee** a accelerației care se va nota cu ω_a

$$(9) \quad \omega_a^2(x) = \frac{k_a(x)}{m} = \frac{F(x)}{m \cdot x} \rightarrow \omega_a = \sqrt{\frac{k_a(x)}{m}} = \sqrt{\frac{F(x)}{m \cdot x}}$$

Înlocuind expresia forței elastice, ca funcție de *deplasarea x* (7), în ecuația diferențială (5), se obține expresia accelerației SNL ca funcție de deplasare:

$$(10) \quad \ddot{\mathbf{x}}(\mathbf{x}) = -\omega_a^2(\mathbf{x}) \cdot \mathbf{x}$$

Pentru exemplul considerat, rezultă $\mathbf{k}_a = \frac{dF(x)}{dx}$

$$(11) \quad \mathbf{k}_a = \frac{dF(x)}{dx} = \mathbf{k}_0 - \mu \cdot x^2$$

și pulsația instantanee a accelerației

$$(12) \quad \omega_a^2 = \frac{k_0}{m} - \frac{\mu}{m} x^2 = \omega_0^2 - \frac{\mu}{m} x^2 \rightarrow \omega_a = \sqrt{\frac{k_0}{m} - \frac{\mu}{m} x^2} = \sqrt{\omega_0^2 - \frac{\mu}{m} x^2}$$

Expresia vitezei SNL $\dot{\mathbf{x}}(\mathbf{x})$ se poate determina pornind de la ecuația diferențială (5) sau prin integrarea accelerației SNL (10). Se obține aceeași expresie a vitezei SNL în funcție de *deplasarea x* sub formele

$$(13) \quad \dot{\mathbf{x}}^2(\mathbf{x}) = 2 \int_x^A \omega_a^2(\mathbf{x}) \cdot \mathbf{x} \cdot d\mathbf{x} = \frac{2}{m} \int_x^A F(\mathbf{x}) \cdot d\mathbf{x}$$

care pot fi scrise și sub formele

$$(14) \quad \dot{\mathbf{x}}^2(\mathbf{x}) = \omega_v^2(\mathbf{x})(A^2 - x^2) = \omega_v^2(\mathbf{x}) \cdot y^2, \text{ în care}$$

$$(15) \quad \omega_v^2(\mathbf{x}) = \frac{\dot{\mathbf{x}}^2(\mathbf{x})}{A^2 - x^2} = \left[\frac{\dot{\mathbf{x}}(\mathbf{x})}{y} \right]^2$$

reprezintă **pulsația instantanee a vitezei** SNL în funcție de *deplasarea x*.

Din a treia relație (6) rezultă

$$(16) \quad y^2 = \left[\frac{\dot{\mathbf{x}}}{\Omega} \right]^2$$

în care $y^2 = A^2 - x^2$ reprezintă ordonata traiectoriei de fază a SLE, traiectorie care este un cerc.

Prin egalarea relațiilor anterioare, rezultă că pentru oricare $x \in [0, A]$ se respectă egalitatea

$$(17) \quad \frac{\dot{\mathbf{x}}}{\Omega} = \frac{\dot{\mathbf{x}}(\mathbf{x})}{\omega_v(\mathbf{x})} \text{ sau } \dot{\mathbf{x}}(\mathbf{x}) = \dot{\mathbf{x}} \frac{\omega_v(\mathbf{x})}{\Omega}$$

care reprezintă o dependență între vitezele SLE și a SNL și pulsațiile vitezelor lor corespunzătoare.

Pentru exemplul considerat se obține

$$(18) \quad \dot{\mathbf{x}}^2 = \frac{1}{m} [k_0(A^2 - x^2) - \frac{\mu}{2}(A^4 - x^4)] = \omega_0^2 - \frac{\mu}{2m} (A^2 + x^2) (A^2 - x^2)$$

și

$$(19) \quad \omega_v^2 = \omega_0^2 - \frac{\mu}{2m} (A^2 + x^2) \rightarrow \omega_v = \sqrt{\omega_0^2 - \frac{\mu}{2m} (A^2 + x^2)}$$

Viteza SLE variază în funcție de deplasarea x după o elipsă care se intersectează cu curba de variație a vitezei SNL în funcție de deplasarea x , în intervalul $x \in [0, A]$, în trei puncte, în care, deci, vitezele celor două sisteme sunt egale. Primul punct are abscisa $x = A$, în care vitezele sunt egale între ele și egale cu zero. Celelalte două puncte, sunt simetrice față de axa x și au abscisa notată cu $x = x_v$

Egalitatea vitezelor, cu semn pozitiv, se produce pentru deplasarea masei m de la $x = 0$ la $x = A$, iar egalitatea lor, cu semn negativ, la sensul invers de deplasare. Rezultă că, în punctul $x = x_v$, pătratele vitezelor celor două sisteme, **liniar** și **nelinier**, sunt egale, adică

$$(20) \quad \dot{x}^2 = \dot{x}^2(x)$$

Egalând cele două viteze, exprimate de relațiile (6), rezultă că, în $x = x_v$, funcția $\omega_v^2(x)$ intersectează dreapta paralelă cu axa x , care exprimă constanța pulsației sistemului liniar (Ω) în funcție de deplasarea x , adică

$$(21) \quad \Omega^2 = \omega_v^2(x_v), \text{ ceea ce rezultă și din relația (17).}$$

Notând cu $k_x(x)$ coeficientul unghiular al dreptei tangente la CES neliniară $F(x)$, denumit în literatură **rigiditate locală** sau **rigiditate tangentă**, se obține

$$(22) \quad k_x(x) = \frac{dF(x)}{dx}$$

Împărțind (2) cu masa m se obține pulsația

$$(23) \quad \omega_x^2(x) = \frac{k_x(x)}{m} = \frac{1}{m} \frac{dF(x)}{dx},$$

denumită **pulsație instantanee a deplasării x** .

Pentru exemplul considerat, ea este

$$(24) \quad \omega_x^2(x) = \omega_0^2 - 3 \frac{\mu}{m} x^2 \rightarrow \omega_x(x) = \sqrt{\omega_0^2 - 3 \frac{\mu}{m} x^2}$$

Cu ajutorul pulsației instantanee a deplasării (23), forța elastică $F(x)$ se poate exprima prin

$$(25) \quad F(x) = \int_0^x \frac{dF}{dx} dx = m \int_0^x \omega_x^2 dx,$$

cu condițiile inițiale $F(0) = 0$.

Prin înlocuirea expresiei anterioare în relația (13) se obține

$$(26) \quad \dot{x}^2(x) = 2 \int_x^A \left(\int_0^x \omega_x^2(x) dx \right) dx$$

În punctul în care $\omega_x(x)$ intersectează dreapta, care exprimă constanța pulsației ($\Omega = ct$) a **SL**, se obține

$$(27) \quad \omega_x(x_v) = \Omega.$$

Considerând CES a **SNL**, liniară pe porțiuni infinit mici dx , fiecare porțiune având pulsația $\omega_x(x)$, traiectoria acesteia $y(x)$ în planul fazelor este o curbă închisă pentru care [v. Harris, C și Crede, C. "ȘOCURI ȘI VIBRAȚII", Ed. Tehnică, Buc. 1968]

$$(28) \quad y^2(x) = \left(\frac{\dot{x}(x)}{\omega_v(x)} \right)^2$$

Egalând viteza **SNL** din relația anterioară (28), cu cea exprimată de relația (15) rezultă că, pentru oricare $x \in [0, A]$, se respectă egalitatea

$$(29) \quad y(x) = y \frac{\omega_v(x)}{\omega_x(x)}$$

care reprezintă o dependență între ordonata traiectoriei de fază a **SNL** și a **SLE** în funcție de deplasarea x .

Intersectarea vitezei **SLE** cu a **SNL** în $x = x_v$ impune și intersectarea traiectoriilor de fază ale celor două sisteme în același punct – abscisă și ordonată - pentru care și cele două ordonate ale celor două sisteme (**Fig. 3 și 4**), liniar și nelinier, sunt egale, adică $y(x) = y$. Rezultă, pe de o parte, că

$$(30) \quad \omega_v(x_v) = \omega_x(x_v)$$

și, pe de altă parte, ținând cont de relația (21) și (26) că

$$(31) \quad \omega_v(x_v) = \Omega = \omega_x(x_v).$$

S-a demonstrat, în acest mod, că ordonata punctelor de intersecție ale pulsațiilor instantanee ale deplasării $\omega_v(x)$ cu ale vitezei $\omega_x(x)$ are valoarea pulsației proprii Ω a **SLE** echivalent care este și pulsația proprie a **SNL**.

ÎN CONCLUZIE: metoda de determinare a pulsației proprii Ω a unui **SNL** ca cel **SND - Dűffing**, constă în următoarele etape:

- 1) Determinarea pulsațiilor instantanee ale deplasării $\omega_x(\mathbf{x})$, cu relația (23), precum și a pulsației instantanee a vitezei $\omega_v(\mathbf{x})$, cu relația (15);
- 2) Determinarea abscisei punctului de intersecție a celor trei pulsații (31);
- 3) Determinarea relației de calcul a pulsației proprii Ω , prin introducerea valorii $\mathbf{x} = \mathbf{x}_v$ în una dintre relațiile (21) sau (27).

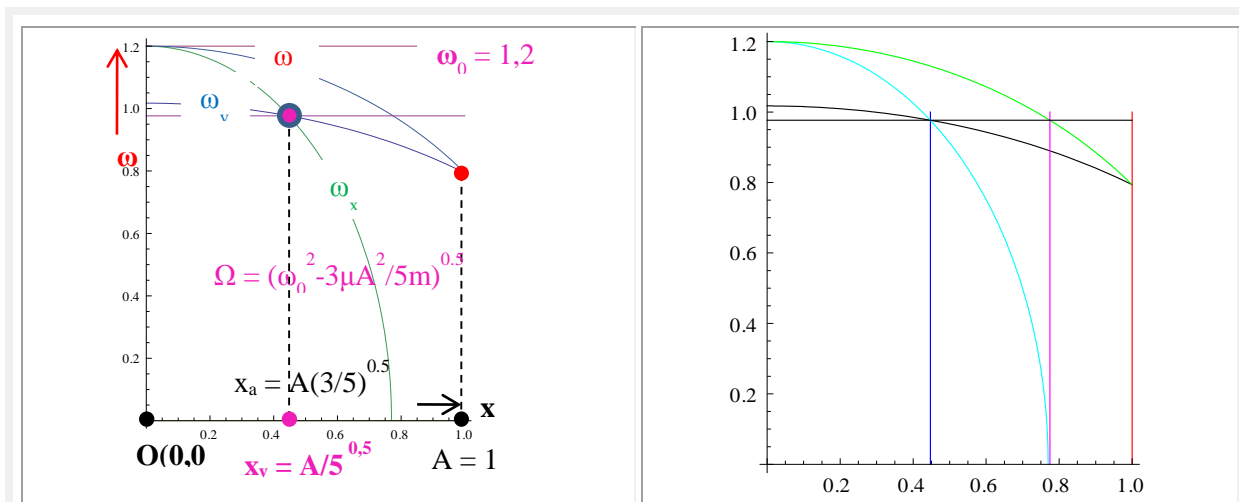


Fig. 3 Pulsațiile instantanee ω_x , ω_v , ω_a și intersecția lui ω_x cu ω_v în punctul de abscisă x_v și de ordonată egală cu pulsația proprie Ω a SN. ($\omega_0 = 1,2$; $\mu \frac{A^2}{m} = 0,9$; $A = 1$)

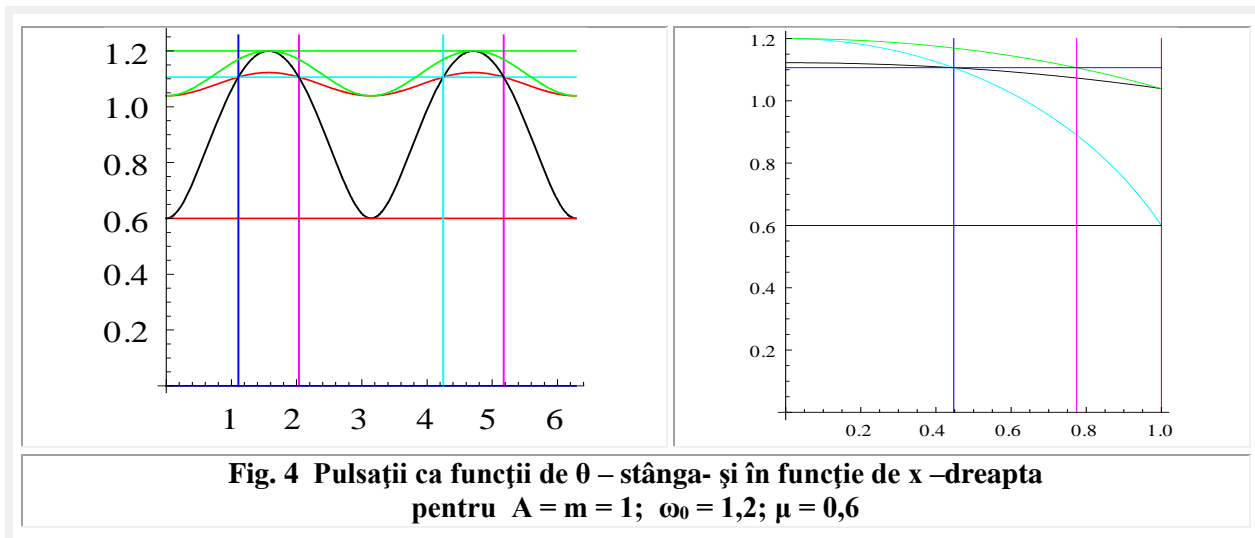


Fig. 4 Pulsații ca funcții de θ – stânga- și în funcție de x –dreapta pentru $A = m = 1$; $\omega_0 = 1,2$; $\mu = 0,6$

Pentru exemplul considerat, egalând cele două pulsații instantanee, a deplasării (24) cu cea a vitezei (19), rezultă

$$(33) \quad x_v = \frac{A}{\sqrt{5}} \text{ pentru care, din (21) sau (28) se obține}$$

$$(34) \quad \Omega = \sqrt{\omega_0^2 - \frac{3\mu}{5m} A^2}$$

Pulsația instantanee a accelerației devine egală cu pulsația proprie Ω , sau curba $y = \omega_a(x)$ se intersectează cu dreapta $y = \Omega = ct$, în punctul de abscisă

$$(35) \quad x_a = A \sqrt{\frac{3}{5}}$$

în care accelerațiile, sistemului nelinier (SNL) și a celui liniar echivalent (SLE), sunt egale.

Așa cum se poate observa în figura 5, pulsația deplasării $\omega_v(x_v)$ și pulsația vitezei $\omega_x(x_v)$ se intersectează la abscisa $x_v = \frac{A}{\sqrt{5}}$ ca funcții de deplasare și intersecțiile curbelor pulsațiilor $\omega_v(\theta)$ cu $\omega_x(\theta)$

$$(36) \quad \theta = \theta_v = \omega_v(\theta) \cap \omega_x(\theta) \rightarrow \cos^2\theta = \frac{1}{5} \rightarrow \cos\theta = \pm\sqrt{\frac{1}{5}} \rightarrow \theta_v = \arccos\left(\pm\sqrt{\frac{1}{5}}\right)$$

ca funcții de θ , au loc în punctele de pe cercul $R = A$, centrat în originea $O(0,0)$ pentru valorile lui θ

$$(36') \quad \theta = \theta_v = \arccos x_v = \arccos \pm \frac{1}{\sqrt{5}} = \begin{cases} 1,10715 \\ 2,03444 \end{cases} \pm n.\pi, \quad n = 0, 1, 2, \dots$$

pentru $A = m = 1$, $\mu = 0,6$ și $\omega_0 = 1,2$, valori adoptate în figură.

3. PULSAȚIA INSTANTANEE, CA VITEZĂ UNGHIULARĂ DE ROTAȚIE A PUNCTULUI $M(\theta, A)$ PE CERCUL DE RAZĂ $R = A$

În acest paragraf se va considera **SND-Duffing** și ecuația diferențială a acestui sistem oscilant neliniar, liber și neamortizat.

Expresia pulsației instantanee a vitezei, ca funcție de deplasarea $x \rightarrow \omega_v(x)$, a acestui **SND** este dată de relația (19).

Se va demonstra în continuare că

$$(37) \quad x = \cos\theta(t)$$

este o soluție exactă a ecuației de mișcare, dacă și numai dacă

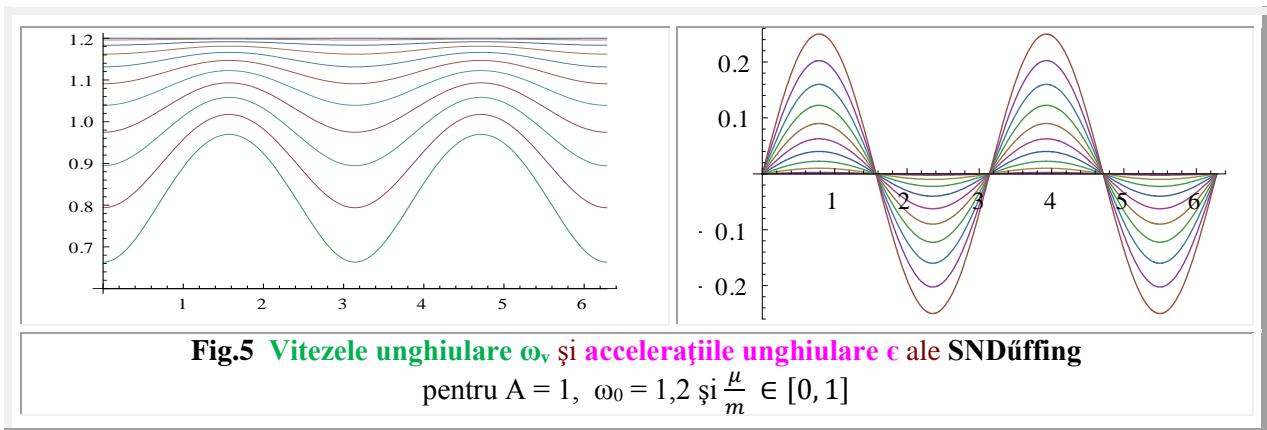
$$(38) \quad \dot{\theta}(t) = \frac{d\theta}{dt} = \omega(t) = \omega_v(t)$$

și relația de dependența lui $\omega_v = \omega_v(x)$ este cea dată de relația (17).

Introducând (36) în (19) pulsația instantanee și, acum, viteza unghiulară $\omega_v(\theta)$ poate fi adusă la forma

$$(39) \quad \omega[\theta(t)] = \sqrt{\omega_c^2 - \frac{\mu a^2}{4m} \cos 2\theta},$$

relație asemănătoare, ca formă și prin prezența **funcției circulare centrice (FCE)** cosinus de arc dublu ($\cos 2\theta$), cu relația vitezei unghiulare de la **SNLD** fazoriale.



În relația anterioară s-a notat cu

$$(40) \quad \omega_c^2 = \omega_0^2 - \frac{3}{4} \frac{\mu}{m} A^2 \quad \rightarrow \quad \omega_c = \sqrt{\omega_0^2 - \frac{3}{4} \frac{\mu}{m} A^2}$$

pulsația denumită **pulsație de calcul ω_c** .

Este interesant faptul că, *majoritatea metodelor aproximative, de determinare a pulsației proprii a sistemelor neliniare, dau expresia pulsației de calcul (40), în jurul căreia oscilează valorile pulsației instantanee (v. 39), ca pulsație proprie a acestor sisteme.*

Funcția

$$(41) \quad \theta(t) = \int_0^t \omega(t) dt$$

reprezintă unghiul de poziție al punctului $M(\theta, A)$, pe cercul $C[O(0,0), R=A]$, de rază $R=A$, centrat în originea $O(0,0)$, la momentul t .

Pentru simplificarea scrierii relațiilor care urmează, determinarea explicită a funcției $\theta(t)$ se va realiza în finalul acestui paragraf.

Prin derivarea soluției (37) și ținând cont de relația (41), se obțin viteza și accelerația **SVNL Duffing** ecuații identice, ca formă, cu cele ale **SVNL** fazoriale:

$$(42) \quad \begin{cases} x = A \cdot \cos\theta(t) \\ \dot{x} = -A \cdot \omega \cdot \sin\theta(t) \\ \ddot{x} = -A[\epsilon \cdot \sin\theta(t) + \omega^2(t) \cdot \cos\theta(t)] \end{cases}$$

În relațiile anterioare, accelerația unghiulară $\epsilon [\theta(t)]$ este

$$(43) \quad \epsilon = \dot{\omega} = \ddot{\theta}(t)$$

și expresia ei se obține prin derivarea lui ω_v din (19) sau (39), adică

$$(44) \quad \epsilon = \frac{d\omega}{dt} = \frac{d\omega}{d\theta} \frac{d\theta}{dt} = \omega \frac{d\omega}{d\theta} = \frac{1}{2} \frac{d(\omega^2)}{d\theta} \quad \text{și rezultă}$$

$$(45) \quad \epsilon = \frac{1}{2} \frac{\mu}{m} A^2 \cos\theta \cdot \sin\theta = \frac{\mu A^2}{4 \cdot m} \sin 2\theta$$

relație, ca și cea a vitezei unghiulare ω_v , asemanătoare cu cea de la **SVNL** fazoriale; diferența fiind dată de constanta $\frac{1}{4}$ față de **1** de al **SVNL** fazoriale, ceea ce arată că accelerația unghiulară, în acest caz, este de **4 ori** mai mică decât în cazul **SVNL** fazoriale.

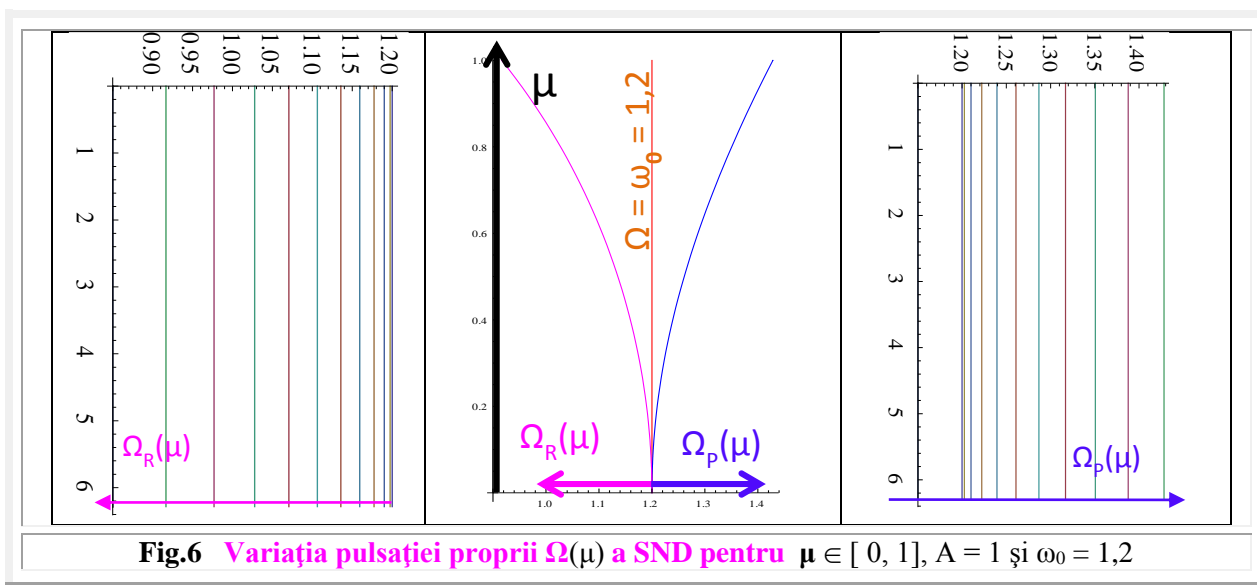


Fig.6 Variația pulsației proprii $\Omega(\mu)$ a SND pentru $\mu \in [0, 1]$, $A = 1$ și $\omega_0 = 1,2$

Înlocuind în expresia accelerației din (42), expresiile obținute pentru ϵ și ω rezultă accelerația

$$(46) \quad \ddot{x} = -\left(A \cdot \omega_v^2 \cos \theta - \frac{\mu}{m} A^3 \cos^3 \theta\right)$$

în care, înlocuind expresia lui $\omega(\theta)$ din (39) rezultă

$$(47) \quad \ddot{x} = -\left(\omega_0^2 x - \frac{\mu}{m} x^3\right) = -\frac{F(x)}{m}$$

Se observă că accelerația, astfel obținută, verifică identic ecuația diferențială a **SND**.

$$(48) \quad m\ddot{x} + k_0 x - \mu x^3 = 0$$

sau împărțind ecuația cu masa $m > 0$, constantă, rezultă

$$(48') \quad \ddot{x} + \omega_0^2 x - \frac{\mu}{m} x^3 = 0$$

S-a demonstrat, astfel, că soluțiile preconizate pentru ω , x , \dot{x} și \ddot{x} sunt viabile și sunt soluții care **verifică exact** **SNL Duffing**, libere, neamortizate, iar accelerația unghiulară ϵ este derivata vitezei unghiulare $\omega_v(x)$, pentru că ea a fost obținută tocmai prin derivarea lui $\omega_v(x)$, așa cum se poate vedea din (11).

Din graficele prezentate în **figura 5**, rezultă că accelerațiile unghiulare ale **SNL** cresc cu creșterea valorii termenului pur neliniar, adică cu valoarea lui μ , fiind nule pentru **SL** de $\mu = 0$.

Vitezele unghiulare au amplitudini de oscilație, față de valoarea lui ω_c , cu atât mai mari cu cât crește μ și devin nule pentru $\mu = 0$. Iar ω_c se apropie de ω_0 prin scaderea lui μ ; ω_0 ales arbitrar de **1,2** în figură.

Figura 6 prezintă, în centru, deviațiile valorilor pulsațiilor proprii $\Omega(A, \mu)$ ale **SNL** în funcție de $\mu \in [0, 1]$, pentru $A = 1$ și $\omega_0 = 1,2$ pentru **SNL** progresive și regresive, adică pentru $\mu \rightarrow \pm \mu$.

În figura din stânga, se observă scăderea valorilor lui Ω , de la $\Omega(\mu=0) = \omega_0 = 1,2$, la $\Omega(\mu = -1) = 0,9$; valoare $\omega_0 = 1,2$ fiind aleasă arbitrar, odată cu creșterea valorilor negative a lui $-\mu$, iar, în figura din dreapta, se observă creșterile lui Ω , de la $\Omega(\mu = 0) = \omega_0 = 1,2$, odată cu creșterea lui $+\mu$ la $[\Omega(+\mu = +1) = 1,5]$.

4. COMPLETARE LA LUCRAREA ÎN ÎNȚĂLĂ: SOLUȚII ÎN FUNCȚIE DE TIMPUL t

Sunt obținute cu ajutorul **integralelor și a funcțiilor eliptice**. Integrala eliptică completă de prima speță $\mathbf{K}(\mathbf{k})$ dă perioada $4\mathbf{K}(\mathbf{k})$ a funcțiilor eliptice $(\mathbf{cn}(\mathbf{u}, \mathbf{k}), \mathbf{sn}(\mathbf{u}, \mathbf{k}), \mathbf{dn}(\mathbf{u}, \mathbf{k}))$, iar cea de speța a doua $\mathbf{E}(\mathbf{k})$ exprimă lungimea sfertului de elipsă.

Elipsa din **figura 7** are axa mare $a = 1$ și axa mică $b = \frac{1}{\sqrt{1-k^2}} > a$, fiind prezentată și în lucrarea lui **Cebe László** "Elliptikus függvények" din revista Híradástechnika XXV, 1974, pag. 176 .. 189, împreună cu o serie de funcții periodice remarcabile, printre care și cele eliptice. Mai puțin **funcțiile supermatematice circulare excentrice (FSM-CE)** care sunt prezentate numai în lucrările autorului și în această figură.

Ea are $a = 1$ și $b = \frac{1}{\sqrt{1-k^2}}$ și, deci, ecuația

$$(49) \quad x^2 + \frac{y^2}{1-k^2} = 1$$

și ecuațiile parametrice

$$(50) \quad \begin{cases} x = \cos \theta \\ y = \frac{1}{\sqrt{1-k^2}} \sin \theta \end{cases}$$

Raza polară a elipsei poate fi dată din centrul $O(0, 0)$ de relația

$$(51) \quad \rho = r = \sqrt{x^2 + y^2} \rightarrow \rho = r = \frac{1}{\sqrt{1-k^2 \cdot \sin^2 \theta}}$$

cu notațiile din figură, sau din focarele, dispuse, în cazul elipsei rotite cu $-\pi/2$, pe axa y , fiind, totodată și excentrele $E_1 = E^+(e, \epsilon_1 = \frac{\pi}{2})$ și $E_2 = E^-(e, \epsilon_2 = \frac{3\pi}{2})$ ce corespund dispunerii lor pe semi-axa $y > 0$ și, respectiv, pe $y < 0$ și de relații

$$(52) \quad r_{1,2} = \sqrt{x^2 + (e \mp y)^2}$$

şi a căror sumă, în cazul de faţă, şi în toate cazurile în care se exprimă una dintre proprietăţile de bază ale unei elipse, care stipulează că suma distanţelor de la focarele elipsei la un punct curent de pe elipsă este constantă şi egală cu lungimea axei celei mai mari a elipsei, în cazul de faţă cu $b > a$, adică

$$(53) \quad r_1 + r_2 = 2b = \frac{2}{\sqrt{1-k^2}}$$

Excentricitatea liniară e a elipsei, acum pe direcţia axei y , adică de $\varepsilon = \pm \frac{\pi}{2}$, este dată de cunoscuta relaţie, aici modificată datorită rotirii elipsei

$$(54.) \quad e = \sqrt{b^2 - a^2} = \frac{k}{\sqrt{1-k^2}} = b.k$$

iar **excentricitatea liniară numerică**, notată acum cu s , este

$$(55) \quad s = \frac{e}{b} = k.$$

Rezultă că **excentricitatea liniară numerică s** a elipsei este şi **modulul k** al integralelor şi al funcţiilor eliptice **Jacobi**.

Deoarece, cercul unitate, reprezentat în **figura 7** are raza $R = a = 1$, rezultă că excentricitatea reală e_{cerc} este egală cu excentricitatea numerică $s_{\text{cerc}} = e_{\text{cerc}}/a = e_{\text{cerc}}$.

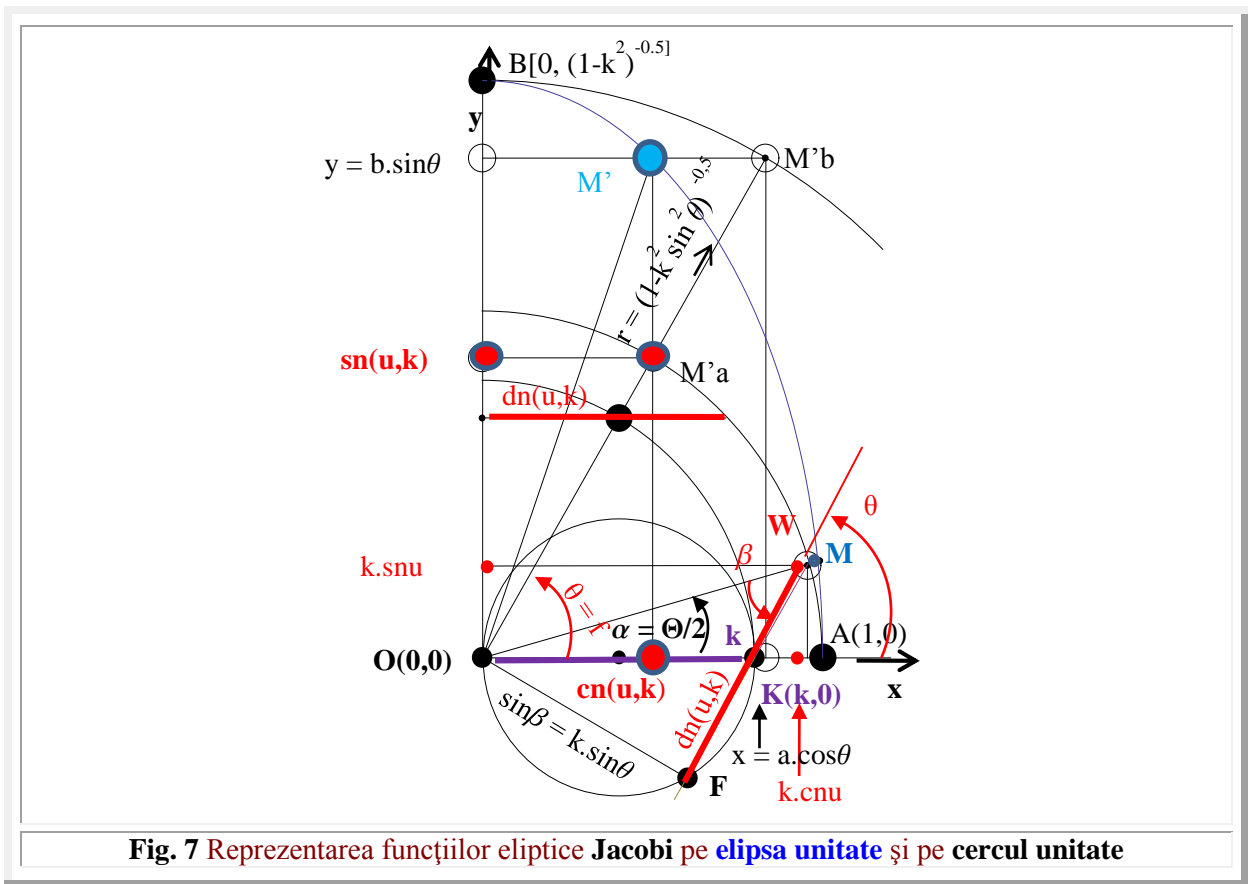


Fig. 7 Reprezentarea funcţiilor eliptice **Jacobi** pe **elipsa unitate** şi pe **cercul unitate**

Dacă modulul funcţiilor eliptice este k , se alege excentricitatea numerică, egală cu cea reală a **FSM-CE** pentru $R = 1$, atunci $e = s = k$.

Adică, excentricităţile numerice ale elipsei şi ale cercului sunt aceleaşi; diferă doar excentricităţile reale ale celor două curbe închise. Diferenţa care face şi distincţia dintre **elipsa**, s-o numim **unitate**, deoarece are $a = 1$ şi **cercul unitate** de $R = 1$.

În rezumat: **cercul unitate** are ambele excentricităţi liniare egale între ele şi egale cu k , iar **elipsa unitate** le are diferite; dar excentricităţile numerice ale celor două curbe închise sunt egale între ele şi egale cu modulul k al integralelor şi al funcţiilor eliptice **Jacobi**.

Sunt denumite funcţii eliptice, pe de o parte, pentru că sunt legate de integralele eliptice, de determinare a perimetrului elipsei - $E(u, k)$ – şi, pe de altă parte, pentru că pe această curbă închisă pot fi definite aceste funcţii şi, cu precădere, **arcul de elipsă** u , de la originea arcului elipsei unitate $A(1,0)$ la un punct curent $P(\theta, \rho = 5)$ de pe elipsă.

Deoarece satisfac exact ecuaţii diferenţiale neliniare de ordinul doi, au o multitudine de aplicaţii în matematică, fizică şi în special în tehnică şi în tehnologie.

Fie integrala

$$(56) \quad \int R[x, \sqrt{P(x)}] dx$$

în care $R(x, y)$ este o funcţie raţională de argument x , iar $P(x)$ – un polinom.

Dacă $P(x)$ este un polinom de ordinul doi, atunci integrala (56) se exprimă prin funcţii elementare.

În cazurile excepţionale, când integrala poate fi exprimată prin funcţii elementare, aceasta se numeşte **integrală pseudoeliptică**.

În cazul când $P(x)$ este o funcţie de ordinul trei sau patru, integrala (56) se numeşte **integrală eliptică** şi, în general, nu poate fi dată în formă finită, sub forma unei relaţii simple de calcul.

Pentru integrala eliptică completă de prima speţă $K(k)$, s-a prezentat, în lucrarea [“**Supermatematica Fundamente**”, Cap.5 Aplicaţii matematice ale **FSM-CE** radial excentric **rex0**, pag. 152 ... 167], o metodă hibridă – numerico-analitică, bazată pe / (plecând de la) metoda **Landen**- prin care s-a reuşit obţinerea unei relaţii simple, cu numai doi termeni (5.55, 5.56 şi 5.57), care oferă o precizie de calcul incredibil de ridicată, cu **15** zecimale exacte !

La fel de bine, ea poate fi calculată cu ajutorul unei serii hipergeometrice, dezvoltată după k având raza de convergenţă egală cu unitatea.

Se numeşte serie hipergeometrică seria (v. **Râjic I.M.** şi **Gradştein I.S.** “**TABELE DE INTEGRALE, SUME, SERII ŞI PRODUSE**” Ed. Tehnică, Buc. 1955, pag. 415]

(57)

$$F(\alpha; \beta; \gamma; z) = 1 + \frac{\alpha \cdot \beta}{\gamma \cdot 1} z + \frac{\alpha(\alpha+1)\beta(\beta+1)}{\gamma(\gamma+1)1 \cdot 2} z^2 + \frac{\alpha(\alpha+1)(\alpha+2)\beta(\beta+1)(\beta+2)}{\gamma(\gamma+1)(\gamma+2)1 \cdot 2 \cdot 3} z^3 + \dots$$

Cu ajutorul acestei serii, expresia care poate exprima, cu orice grad de precizie, valoarea integralei $K(k)$ este

$$(58) \quad K(k) = \frac{\pi}{2} F\left(\frac{1}{2}; \frac{1}{2}; 1; k^2\right) = \frac{\pi}{2} \left\{ 1 + \left(\frac{1}{2}\right)^2 k^2 + \left(\frac{1 \cdot 3}{2 \cdot 4}\right)^2 k^4 + \dots + \left[\frac{(2n-1)!!}{2^n \cdot n!}\right]^2 k^{2n} + \dots \right\},$$

în care simbolul **!!** exprimă produsul numai a numerelor impare sau numai a celor pare, de la caz la caz, în funcţie de indicaţiile / **conţinutul parantezei** care precede simbolul. Astfel

$$(59) \quad \begin{cases} (2n-1)!! = 1^{n/2} = 1 \cdot 3 \cdot 5 \dots (2n-1) \\ 2n!! = 2^{n/2} = 2 \cdot 4 \cdot 5 \dots 2n = 2^n n! \end{cases}$$

şi, ca simbolurile să fie complete, $n!$ se mai simbolizează şi astfel

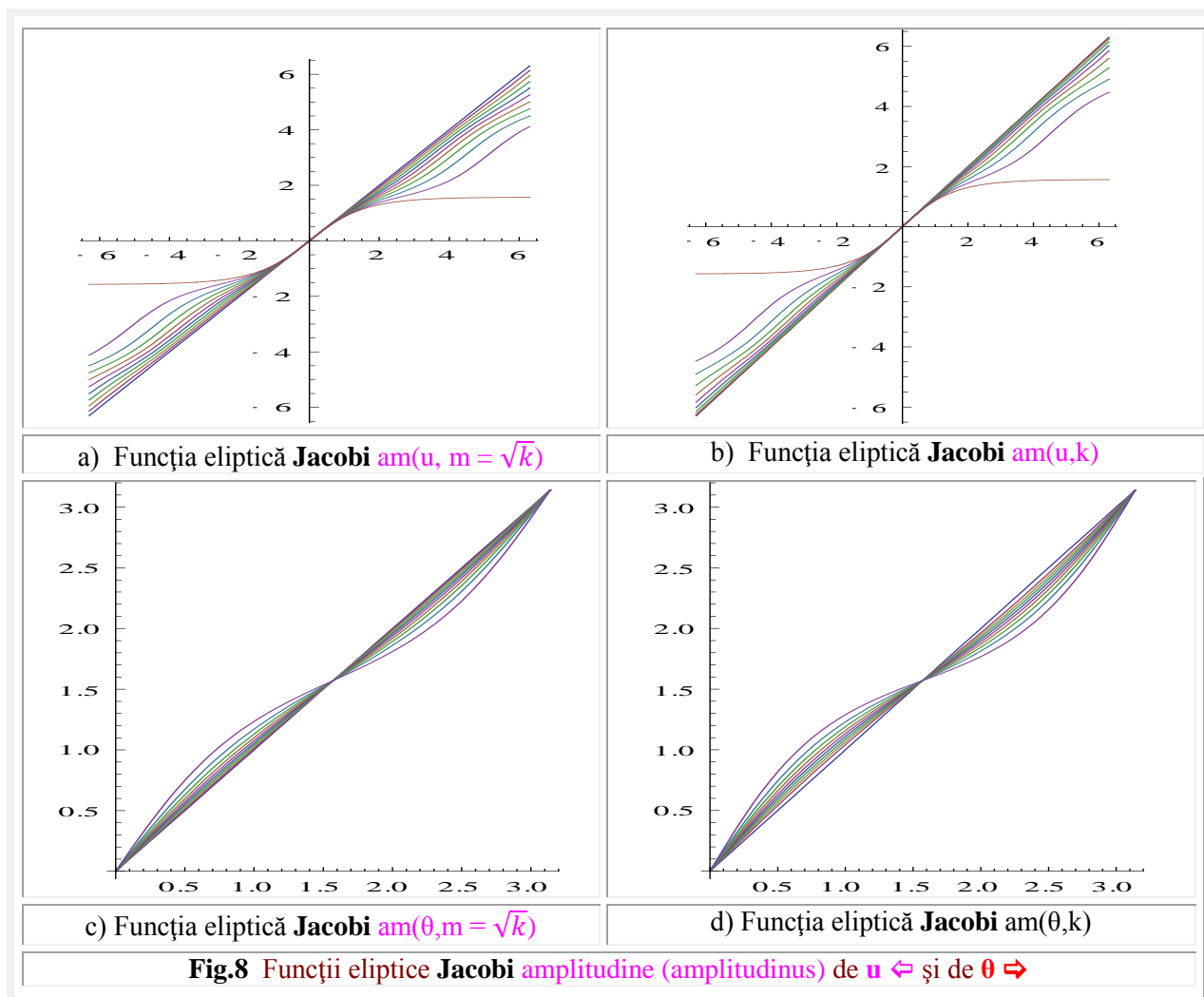
$$(59') \quad n! = 1^{n/1} = 1 \cdot 2 \cdot 3 \dots n$$

Integrala eliptică de prima speţă $K(k)$ din forma normală **Legendre**

$$(60) \quad K(k) = \int \frac{dx}{(1-x^2)(1-k^2x^2)}$$

poate fi adusă sub forma trigonometrică normală prin substituţia

$$(61) \quad x = \sin\theta.$$



Expresia lui $K(k)$ poate fi scrisa, mai concentrat, astfel
 [v. \rightarrow <http://sfm.asm.md/vol1/fizica%20matematica.html>]

$$(61') \quad K(k) = \int_0^{\frac{\pi}{2}} \frac{d\theta}{\sqrt{1-k^2 \sin^2 \theta}} = \int_0^{\frac{\pi}{2}} \left[1 + \sum_{n=1}^{\infty} \frac{1 \cdot 3 \cdot 5 \dots (2n-1)}{2^n n!} \sin^{2n} \theta \right] d\theta =$$

$$= \frac{\pi}{2} \left\{ 1 + \sum_{n=1}^{\infty} \left[\frac{1 \cdot 3 \cdot 5 \dots (2n-1)}{2 \cdot 4 \cdot 6 \dots 2n} \right]^2 k^{2n} \right\}$$

Așa cum rezultă și din "Tabelele" lui Râjic [pag. 174, rel(3.413)], dublul integralelor eliptice de prima și a doua speță, sunt date și de **FSM-CE**, de variabilă **centrică α** , **radial excentrică**

Rex_{1,2} = $\pm \sqrt{1 + k^2 - 2k \cdot \cos \alpha}$ de **excentricitate numerică $s = k$** , $\rightarrow k^2 < 1$

$$(62) \quad K(k) = \frac{1}{2} \int_0^{\pi} \frac{d\alpha}{Rex_{1,2} \alpha} = \frac{1}{2} \int_0^{\pi} \frac{d\alpha}{\sqrt{1+k^2 \mp 2k \cdot \cos \alpha}} \quad \text{și}$$

$$(63) \quad \pm E(k) = \frac{1}{2} \int_0^{\pi} Rex_{1,2} \alpha \cdot d\alpha = \frac{1}{2} \int_0^{\pi} \sqrt{1 + k^2 \mp 2k \cos \alpha} \, d\alpha.$$

Lungimea unui arc de elipsă este u , variabila funcțiilor eliptice $cn(u, k)$, $sn(u, k)$ și $dn(u, k)$ și se poate determina cu integrala

$$(64) \quad u = E(\theta, k) = \int_0^{\theta} \sqrt{x^2(\theta) + y^2(\theta)} \, d\theta = \int_0^{\theta} \sqrt{1 - k^2 \sin^2 \theta} \, d\theta$$

5. INFINIŢII MICI (DIFERENŢIALELE), FSM-CE ŞI FUNCŢIILE ELIPTICE Jacobi

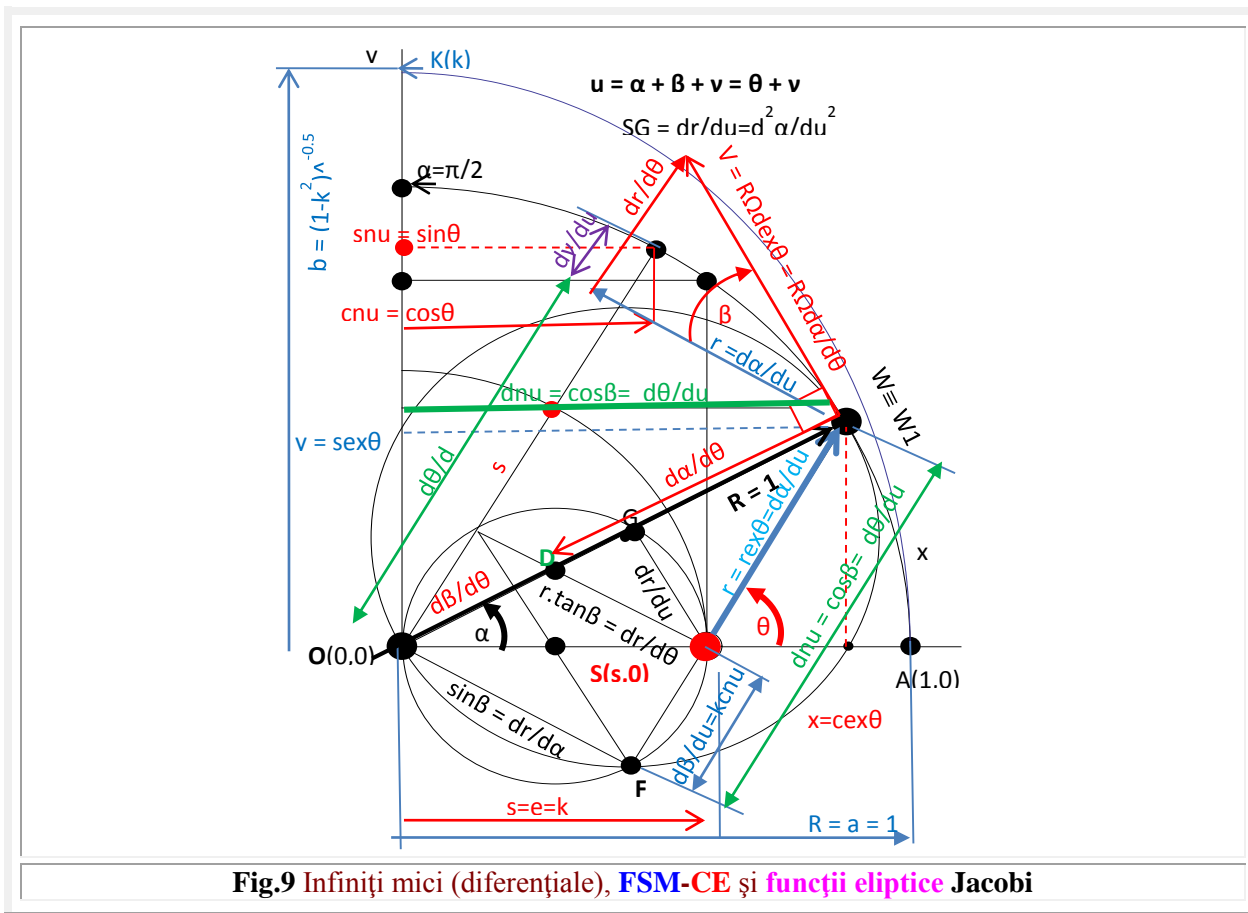
Istoria confirmă că **Fourier** i-a acuzat pe **Jacobi** şi pe **Abel** ca-şi risipesc / pierd timpul cu funcţii eliptice, când sunt atâtea probleme mai utile care ar putea fi rezolvate. Răspunsul se găseşte pe site-ul (V.[Google](#)→”Zâmbetul ştiinţei”).

Ca istoria să nu se mai repete, (deşi, tot istoria, ne învaţă că nu se învaţă nimic din istorie, din moment ce ea se repetă, deci, fără prea multe speranţe şi fără să ne facem iluzii că vom pune punctul pe i), inserăm în acest capitol unele dependenţe dintre infiniţii mici, sub forma diferenţialelor, **funcţiile eliptice Jacobi** şi noile, introduse în matematică, **FSM-CE**, cu speranţa că, în acest mod, se simplifică înţelegerea funcţiilor eliptice **Jacobi**, din moment ce, ele, pot fi vizualizate şi pe cercul trigonometric / unitate cu care suntem mai familiarizaţi (**Fig. 7**).

Elementului de arc al elipsei $ds = du$ din **figurile 7 şi 9** este

$$(65) \quad ds = du = \rho d\theta = \frac{d\theta}{\sqrt{1-k^2 \sin^2 \theta}},$$

în care raza polară ρ a unui punct al elipsei, măsurată din originea $O(0,0)$, este dată de relaţia (65).



Lungimea u a arcului de elipsă (**Fig.7**), corespunzător arcului θ a unui punct $W(R=1, \theta)$ de pe cercul unitate, se determină prin integrarea elementului de arc al elipsei, adică, este integrala eliptică de speţa a 2-a, incompletă, notată şi cu $F(u,k)$

(66) $F(u,k) = \int_0^\theta \frac{d\theta}{\sqrt{1-k^2\sin^2\theta}}$

Lungimea arcului unui sfert de elipsă, corespunzătoare lui $\theta = \pi/2$, pe cercul unitate, este $K(k)$.

Se observă că integrala eliptică de prima speţă, $F(u,k)$ este dată de diferenţiala $\frac{du}{d\theta}$, care, așa cum s-a indicat în figura 8 reprezintă inversul segmentului

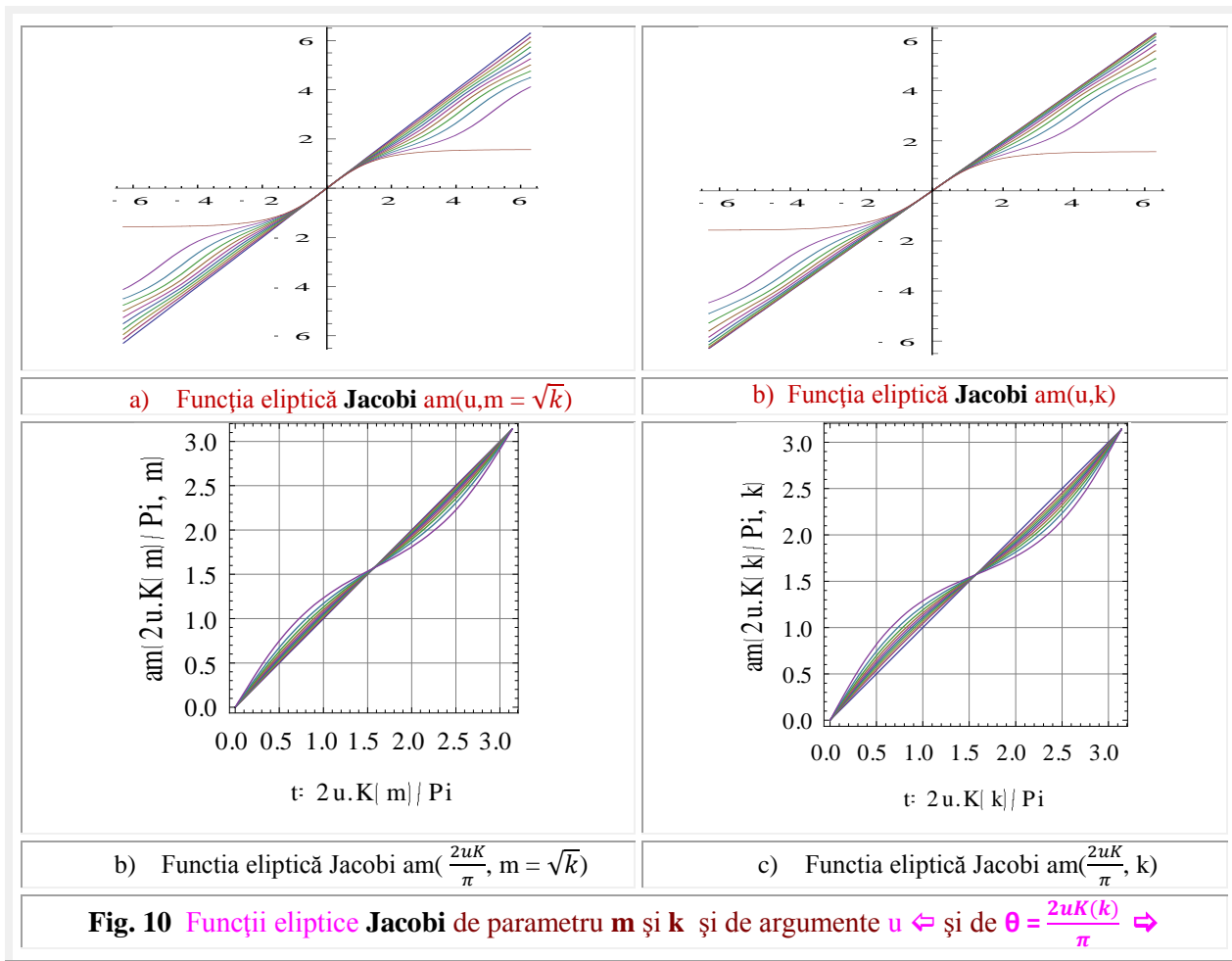
(67) $FW = dn(u,k) = \cos \beta = \sqrt{1 - k^2\sin^2\theta}$

Din figură mai rezultă, fără să insistăm asupra deducerii acestor relații, că

68)
$$\begin{cases} r = EW = rex\theta = Rex\alpha = \frac{d\alpha}{du} \\ FE = k \cdot \cos\theta = \frac{d\beta}{du} \\ FW = dnu = \frac{d\theta}{du} = \frac{d(\alpha+\beta)}{du} = \frac{d\alpha}{du} \frac{d\beta}{du} \Rightarrow \frac{d\alpha}{du} + \frac{d\beta}{du} + \frac{d\gamma}{du} = 1 \Rightarrow \\ 1 - FW = \frac{d\gamma}{du} \end{cases}$$

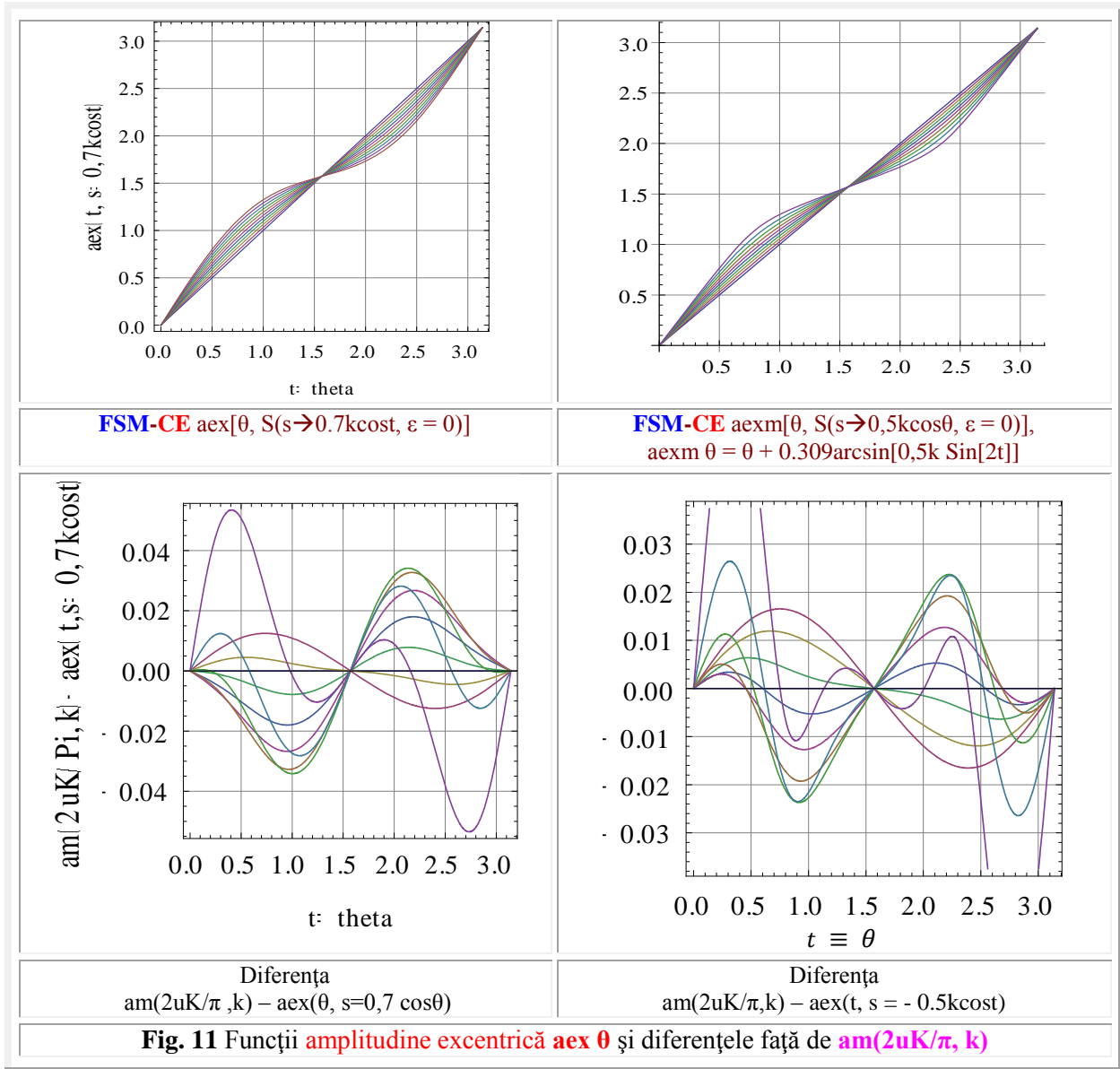
$\Rightarrow d\alpha + d\beta + d\gamma = du \Rightarrow \alpha + \beta + \gamma = u = \theta + \gamma$

Rezultă că unghiul $\gamma = u - \theta$ este, deci, diferența dintre cele două argumente, cele ale funcțiilor eliptice Jacobi (u) și ale FSM-CE de variabilă excentrică (θ).



Transversal pe segmentul **FW**, apar segmente de drepte care pot fi exprimate prin diverse diferenţiale, cum sunt

$$(69) \quad \left\{ \begin{array}{l} \mathbf{OF} = k \cdot \sin\beta = \frac{dr}{d\alpha} = \frac{d}{d\alpha} R \operatorname{ex}\alpha = \frac{k \cdot \sin\alpha}{R \operatorname{ex}\alpha} = \frac{k \cdot \sin\alpha}{\sqrt{1+k^2-2k \cdot \cos\alpha}} \\ \mathbf{FP} = \frac{dr}{du} \frac{d\theta}{d\alpha} = \frac{dr}{du} D \operatorname{ex}\alpha = \frac{dr}{du} \frac{1}{d \operatorname{ex}\theta} = \frac{d}{d\theta} (d \operatorname{ex}\theta) \rightarrow \mathbf{FP} \perp \mathbf{OW} \\ \mathbf{SD} = r \cdot \tan\beta = d \operatorname{ex}\theta \cdot \sin\beta = \frac{dr}{d\theta} = k \frac{\operatorname{sex}\theta}{\cos\beta} \\ \mathbf{SG} = r \cdot \sin\beta = \frac{dr}{du} = r \operatorname{ex}\theta \cdot \sin\beta \end{array} \right.$$



Pe direcția dreptei OW, înclinată cu unghiul α față de axa x, apar două segmente a căror sumă este raza cercului unitate $R = 1$. Aceste segmente sunt

$$(70) \quad \begin{cases} OD = \frac{d\beta}{d\theta} = \frac{k \cdot \cos\theta}{\sqrt{1-k^2 \sin^2\theta}} \\ DW = \frac{d\alpha}{d\theta} = dex\theta \\ GW = r \frac{d\theta}{du} = \frac{d\alpha}{du} \frac{d\theta}{du} = 1 - k \cdot \sin\alpha \end{cases}$$

Aşa cum s-a mai afirmat şi cum se cunoaşte, de fapt, derivata vectorului de poziţie $\vec{r}(\theta) = R \cdot rex\theta$, a punctului W în mişcarea lui pe cerc (v. Supermatematica, Fundamente, Ed. Politehnica, Timişoara, **Vol.I**, Cap. 6.4 **MCE**, pag 197 ... 202), este viteza $\vec{v}(\theta = \Omega t) = R \cdot \Omega \cdot dex\theta$. Pentru $R = \Omega = 1$ rezultă

$$\begin{aligned} \frac{d}{d\theta} [\vec{r}(\theta)] &= \dot{\vec{r}}(\theta) = \frac{d}{d\theta} (rex\theta \cdot rad\theta) = \frac{dr}{d\theta} rad\theta + r \cdot der\theta = \\ &= \frac{dr}{d\theta} rad\theta + \frac{d\alpha}{du} der\theta = \frac{d\alpha}{du} dera = \vec{v} = dex\theta \cdot \mathbf{rada} \end{aligned}$$

în care se evidenţiază cele două componente ale vitezei: una pe direcţia **fazorului radθ**, adică pe direcţia radială centrică (**radθ**), a razei vectoriale \vec{r} , care exprimă derivata în modul a lui \vec{r} şi o a doua componentă, perpendiculară pe prima, pe direcţia **fazorului** derivată centrică (**derθ**), care reprezintă derivata în direcţie a vectorului turnant $\vec{r} = rex\theta$ **radθ**.

Derivata în direcţie este proiecţia lui \vec{v} pe direcţia derθ, adică

$$(71) \quad \frac{d\alpha}{du} = dex\theta \cdot \cos\beta = \frac{d\alpha}{d\theta} \frac{d\theta}{du}$$

iar derivata în modul este proiecţia lui \vec{v} pe direcţia fazorului radθ

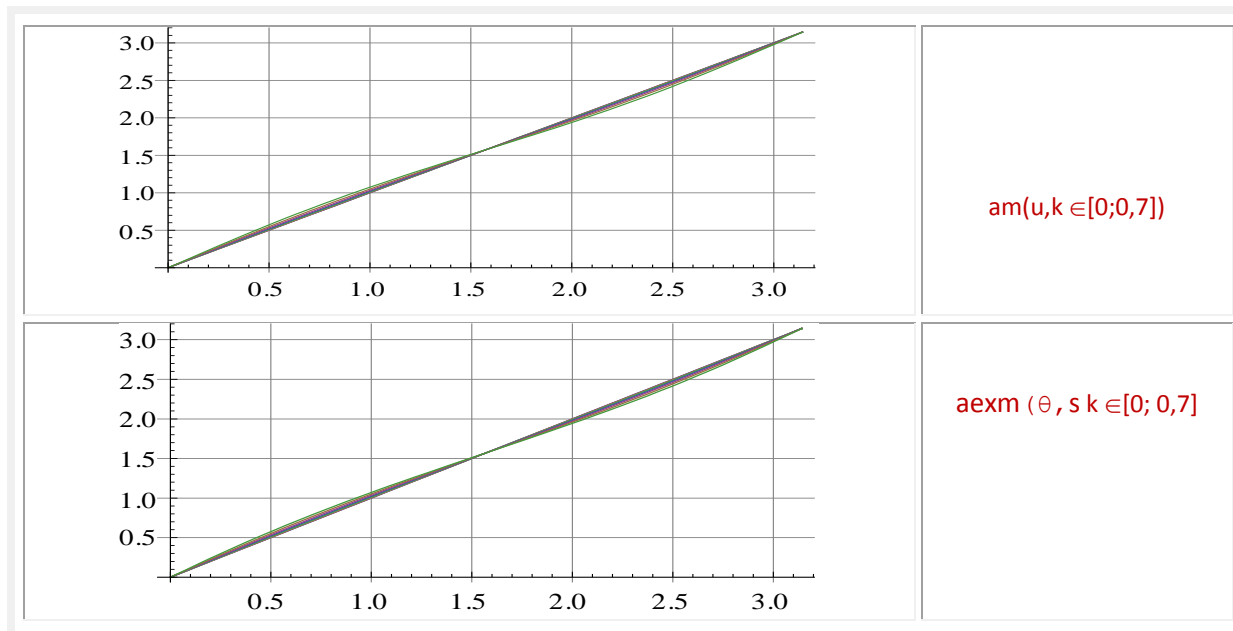
$$(72) \quad \frac{dr}{d\theta} = dex\theta \cdot \sin\beta = \frac{d\alpha}{d\theta} \frac{dr}{d\alpha}$$

ceea ce indică corectitudinea asocierii diferenţialelor, respectiv a diverşilor infiniţi mici, cu aceste segmente de dreapte, reprezentate în **figura 8**.

Dacă (64) dă pe $u(\theta)$, inversul ei $\theta(u)$ este dată de funcţia eliptică **Jacobi amplitudinus / amplitudine am(u,k)** – şi, adăugăm noi, **centrică**, pentru a evita confuziile cu **amplitudinea excentrică aex(θ, s)** –

$$(73) \quad \theta(u) = \mathbf{am}(u,k)$$

Aceste funcţii au alura din **figura10**.



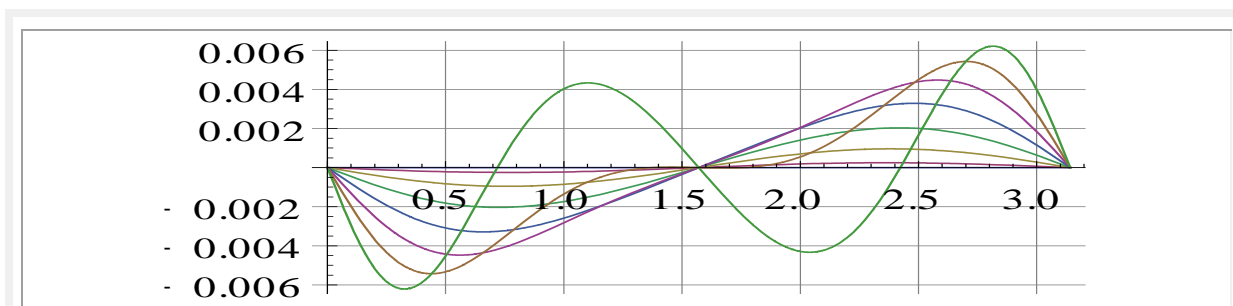


Fig. 12 Diferența $\Delta M = am(2uK/\pi, k) - aexm(\theta, s)$ în domeniul $k \in [0; 0,7]$
 $aexm(\theta, s) = \theta + 0,3 \arctan[s^2 \cos^2 \theta \cdot \sin q(\theta, s)], s = k \in [0; 0,7]$

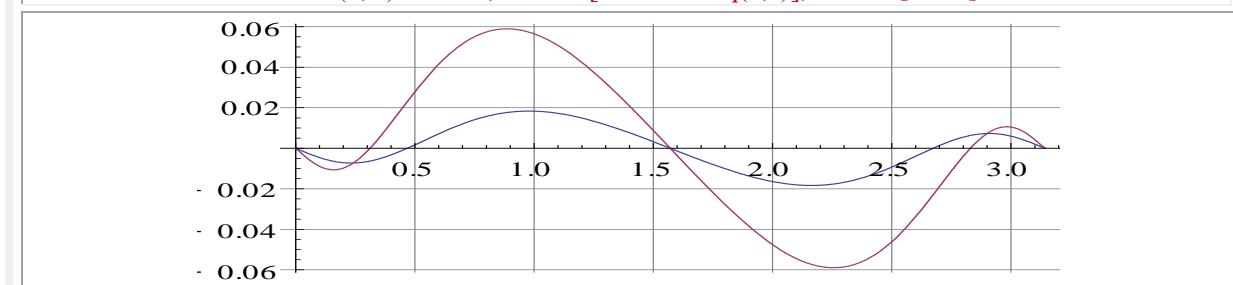
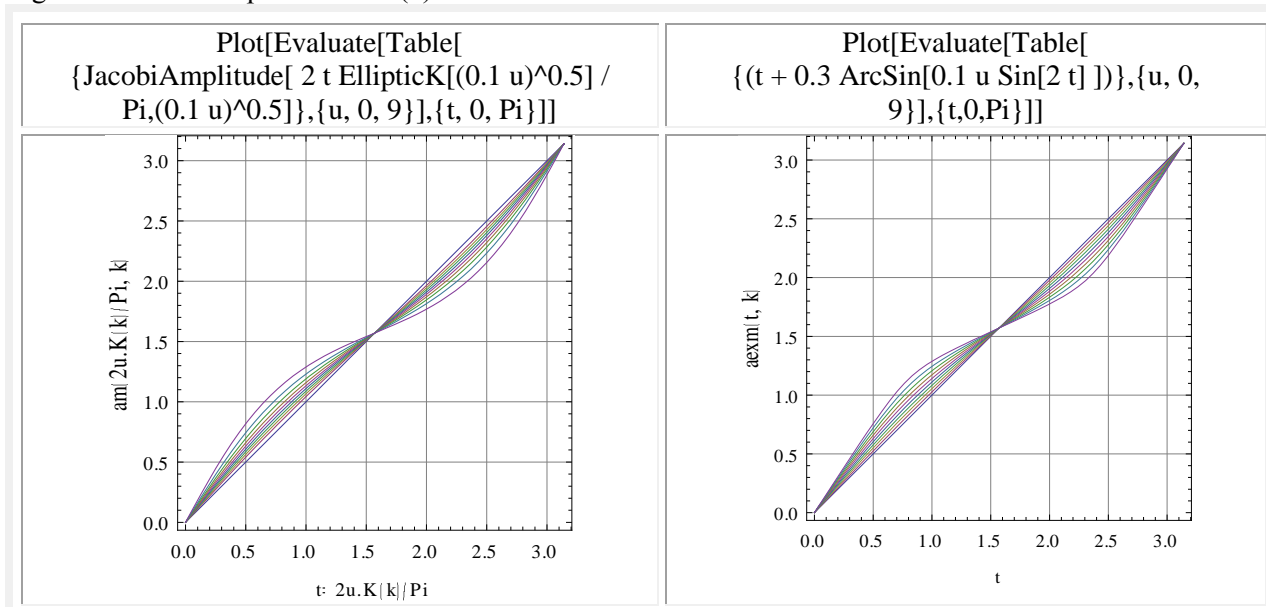


Fig. 13 Diferența $\Delta M = am(2uK/\pi, k) - aexm(\theta, s)$ în domeniul $k \in [0,7; 0,9]$
 $aexm(\theta, s) = \theta + 0,3 \arctan[s^2 \cos^2 \theta \cdot \sin q(\theta, s)], s = k \in [0,7; 0,9]$

În partea de sus și în stânga figurii, sunt reprezentate funcțiile $am(u, m = \sqrt{k})$, de modul $m = \sqrt{k}$, care sunt funcții eliptice **Jacobi** de perioadă $4K(k)$, iar în dreapta figurii sunt prezentate aceleași funcții dar de modul $k = m^2$ și de aceeași perioadă $4K(k)$.

În partea de jos sunt prezentate aceleași funcții de aceeași parametri m și, respectiv, k , dar de aceleași argumente vor fi utilizate și pentru reprezentarea celorlalte funcții eliptice Jacobi: cn u, snu , dnu . argument modificat prin $t = 2uK(k)/\pi$.



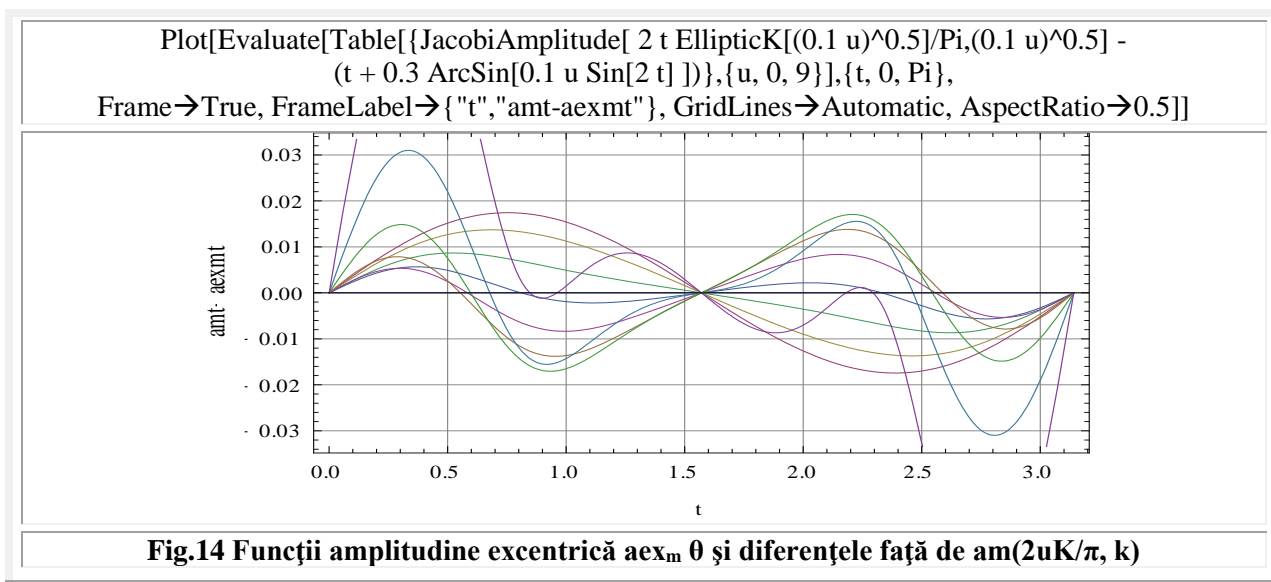


Fig.14 Funcții amplitudine excentrică $aex_m \theta$ și diferențele față de $am(2uK/\pi, k)$

Pentru comparație și pentru evidențierea asemănării lot cu funcțiile amplitudine **Jacobi** și, prin aceasta, a justificării denumirii date acestor funcții, sunt prezentate **FSM-CE** amplitudine **excentrică** (**aex θ**) de variabilă excentrică θ cât și **FSM-CE** **aex $_m\theta$** –aex **modificate**- în sensul că **FCC** inversă **arcsin** a fost înlocuită cu **arctan**, așa cum se indică în **figura 11**– sus. Jos, sunt prezentate diferențele dintre funcțiile eliptice **Jacobi** și **FSM-CE**

$$(74) \quad \Delta = am(u, k) - aex(\theta, s)$$

sau

$$(75) \quad \Delta M = am(u, k) - aex_m(\theta, s).$$

Precizii de aproximare mult mai ridicate, pentru $k \in [0; 0,7]$ sunt reprezentate în **figura 12** fiind date de $aex_m(\theta, s = k)$.

Modificarea consistă în următoarele : $arcsin \rightarrow 0,3arctan$, $s \rightarrow (s \cdot \cos\theta)^2$ și $\sin\theta \rightarrow \sin^2(\theta, s)$, în care, reamintim că **sin 2** sau **siq** este sinusul cvadrilob/quadriob (v.**SM.Fundamente** pag. 32, 53 .. 56).

Așa cum se poate observa în **figura 12** – jos diferențele maxime sunt foarte mici și nu depășesc valoarea de $\pm 0,006$, iar cele minime ($k = 0$) sunt, evident, nule.

Pentru domeniul $k \in [0,7; 0,9]$ diferențele aceluiași funcții sunt prezentate în **figura 13** și nu depășesc valoarea de 0,06, fiind astfel de 10 ori mai imprecise decât în domeniul $k = 0 \dots 0,7$ ($k \in [0; 0,7]$).

O altă funcție de aproximare, cu trei termeni, este

$$(76) \quad aex_m(\theta, s) = \theta + arctan[0,05 s^2 \cos\theta \cdot \sin^2 / (1 - 0,05 s^2 \cos^2\theta)] + (0,1 s + 0,023) \sin 2 \theta$$

Cel de-al treilea termen a rezultat din diferența cu numai 2 termeni, diferență care era reprezentată de o familie de funcții sinus.

Privind funcțiile diferență, simetrice față de axa θ , se observă că o îmbunătățire globală a aproximării, în tot domeniul $k \in [0; 0,9]$, nu mai este posibilă. În schimb, este posibilă o îmbunătățire pe cele două grupe de funcții, care prezintă diferențe de semne opuse.

O astfel de metodă este prezentată mai pe larg în lucrarea **Mircea Şelariu** și dr.ing. **Dumitru Bălă** “**Ways of presenting the delta function and amplitude function Jacobi**” Contemporary Science Association New York, Denbridge Press, Academic Division, New York, ISBN:978-973-88931-1-5 și într-o lucrare cu privire la “ Un sistem supermatematic cu baza continua de aproximare a funcțiilor” ca și în lucrarea lui Dr. ing. **Dumitru Bălă** “ Supermathematical-**Selariu** Functions Beta Eccentric $bex\theta$ ” publicată în lucrările “Proceedings of the 2nd World Congress on Science, Economics and Culture 25-29 August 2008, New York, ISBN: 78-973-88931-1-5(063).

Cu siguranță, pot fi găsite și alte funcții care să aproximeze și mai bine funcțiile eliptice **Jacobi** $am(u,k)$ și, prin aceasta, și funcțiile sn, cn, dn , care se pot exprima, la rândul lor, cu ajutorul lui $am(u,k)$.

Rezultă, din stânga **figurii 11**, că diferența maximă absolută nu depășește valoarea de 0,06 – pentru $k = 0.9$ și este sub 0.03 pentru $k \in [0; 0,8]$.

Pentru $k \in [0; 0,4]$ diferențele sunt sub 0,02. Programul de calcul WOLFRAM-MATHEMATICA 8 nu a reprezentat / dat curba pentru $k = 1$.

Preciziile obținute, de aproximare a funcțiilor $am(u,k)$ prin $aex(\theta,s)$ de excentru variabil ($s = 0,7.k.\cos\theta$), sunt acceptabile pentru multe aplicații tehnice.

O aproximare satisfăcătoare a funcției $am(u,m)$ este dată de următoarea relație a funcției **SM** $aex\theta$ modificată

$$(77) \quad aex_m(\theta,s) = \theta/2 + \arctan[0.05 s^2 \cos[\theta/2] \cdot \sin[\theta/2] / (1-0.05 s^2 \cos^2[\theta/2])] + 0.0075 \cos[\theta/4] / \text{Sqrt}[1 - \sin^2[\theta/4]^2] - 0.0075 + 0.015 \sin[\theta].$$

În fine, o aproximare foarte bună, cu diferențe sub 0,03 până la $k = 0,8$, inclusiv, este prezentată în **figura 14**, împreună cu expresiile funcției de aproximare $aex_m\theta$ modificată:

$$(78) \quad aex_m\theta = \theta + 0.3 \arcsin[s \text{Sin}[2\theta]]$$

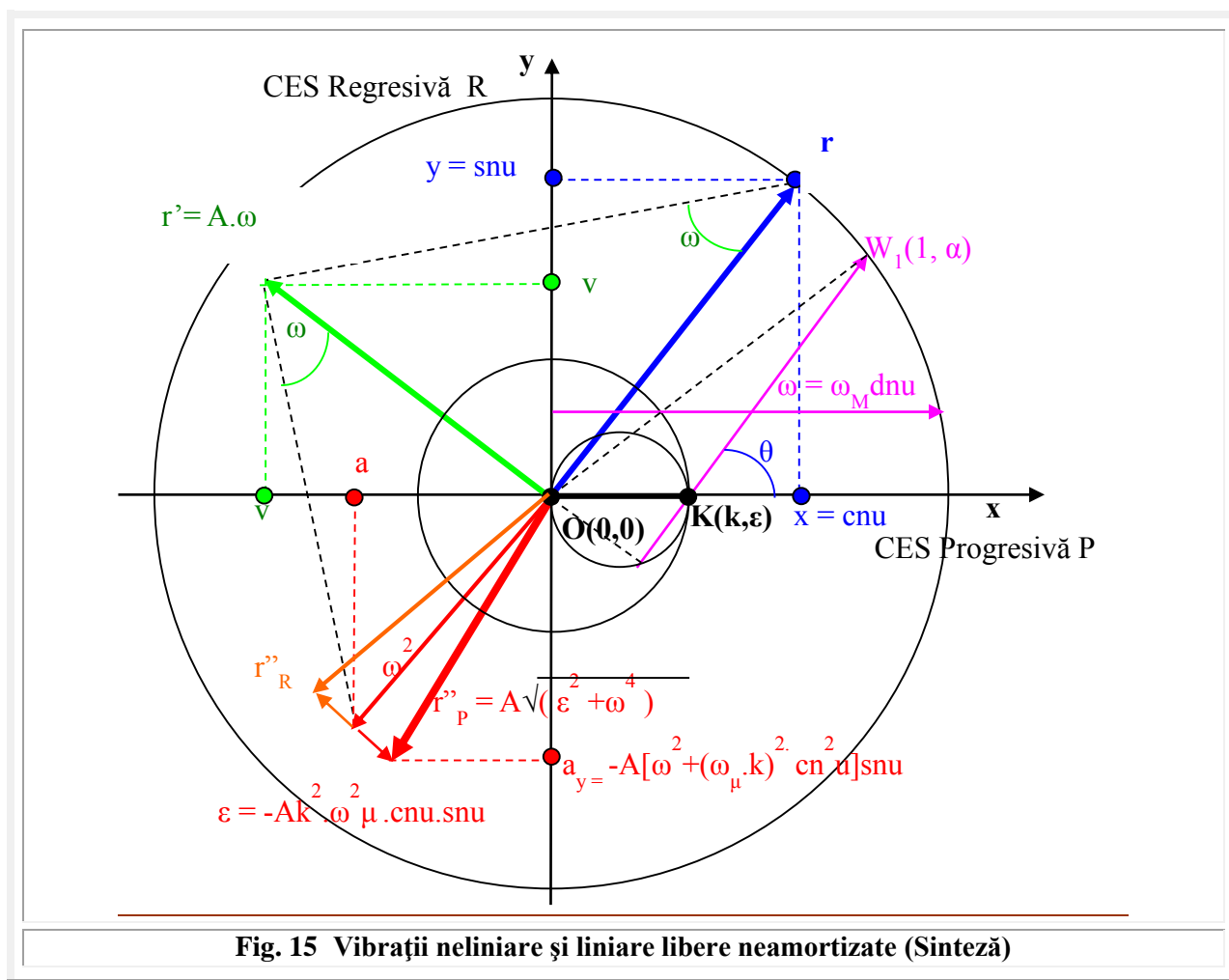


Fig. 15 Vibrații neliniare și liniare libere neamortizate (Sinteză)

Motto: “Vibrațiile sunt fenomene dinamice întâlnite în activitatea curentă, de la bătăile inimii, alergatul și mersul pe jos, legănatul copacilor în bătaia vântului și trepidațiile clădirilor la cutremure, la vibrațiile instrumentelor muzicale, ale perforatoarelor pneumatice și ale transportoarelor vibrante.”

Mircea Radeș:” Vibrații mecanice”, Editura Printech

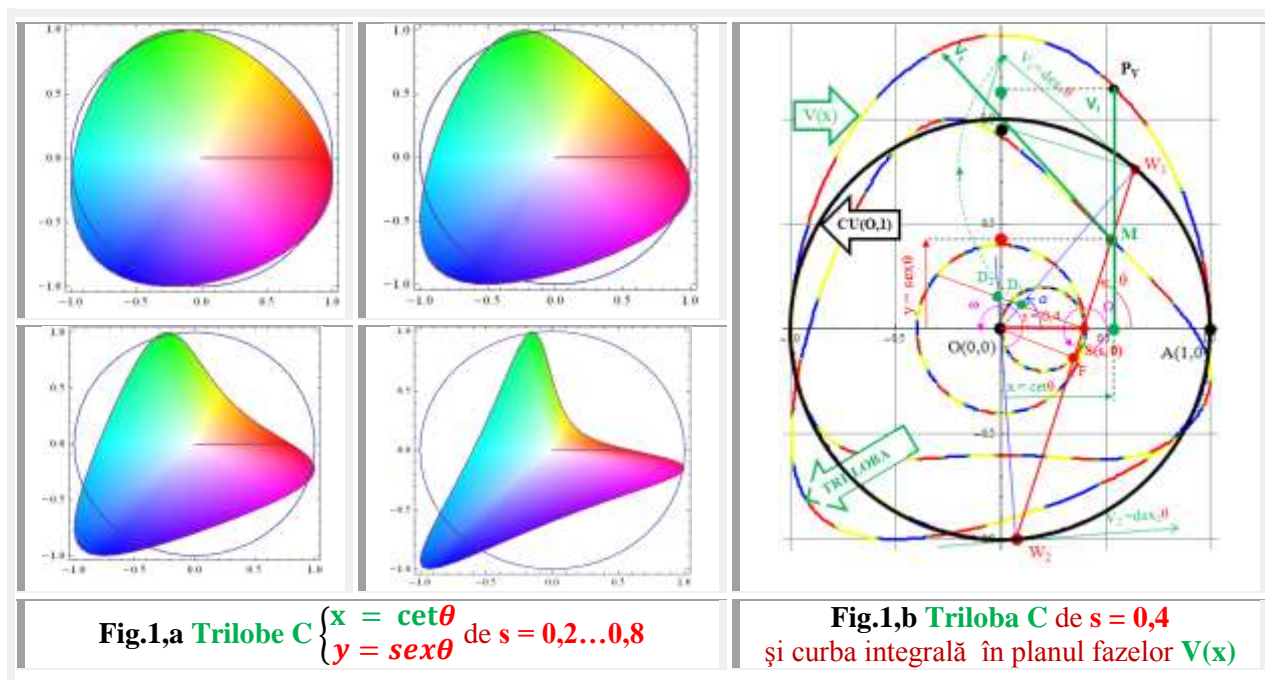
CAPITOLUL XXI

VIBRAȚII MECANICE TRILOBICE

1. INTRODUCERE

Importanța vibrațiilor mecanice a fost redată, într-o singură frază, în **INTRODUCEREA** lucrării Prof. Dr. Ing. **Mircea Radeș**, **VIBRAȚII MECANICE**, frază prezentată în **Motto**. Valabilă pentru macrocosmos. În microcosmos, ținând cont de faptul că electronii sunt într-o perpetuă mișcare, în raport cu nucleul atomic și că atomul este cărămida de bază a tuturor lucrurilor, rezultă că, în natură, totul este în continuă mișcare și că, aceasta, este o vibrație. Deoarece, oricare mișcare de rotație continuă pe o curbă plană sau spațială, de obicei închisă, proiectată pe oricare două sau trei axe, reciproc perpendiculare, naște vibrații pe axele respective.

Se zice că vibrația este pâinea omului de știință: o vibrație → o ecuație, o nouă vibrație o altă ecuație, o nouă ecuație o altă vibrație și ... tot așa. Dar nu numai a oamenilor de știință. Un inginer, a tratat deja problemele **funcțiilor supermatematice circulare excentrice (FSM-CE)** de variabilă excentrică θ , cosinus excentric $\text{cex}\theta$ și sinus excentric $\text{sex}\theta$, ca soluții ale unor sisteme vibrante de **caracteristică elastică statică (CES) neliniară** în lucrarea [1] și [2], a celor de variabilă centrică α , **Cex α** și **Sex α** , în lucrarea [3] și a vibrațiilor mecanice **quadrilobice / cvadrilobice** (cosinus $\text{coq}\theta$ și sinus quadrilobice $\text{siq}\theta$) în lucrarea [4]. Iar acum, aici, la **trilobe**.



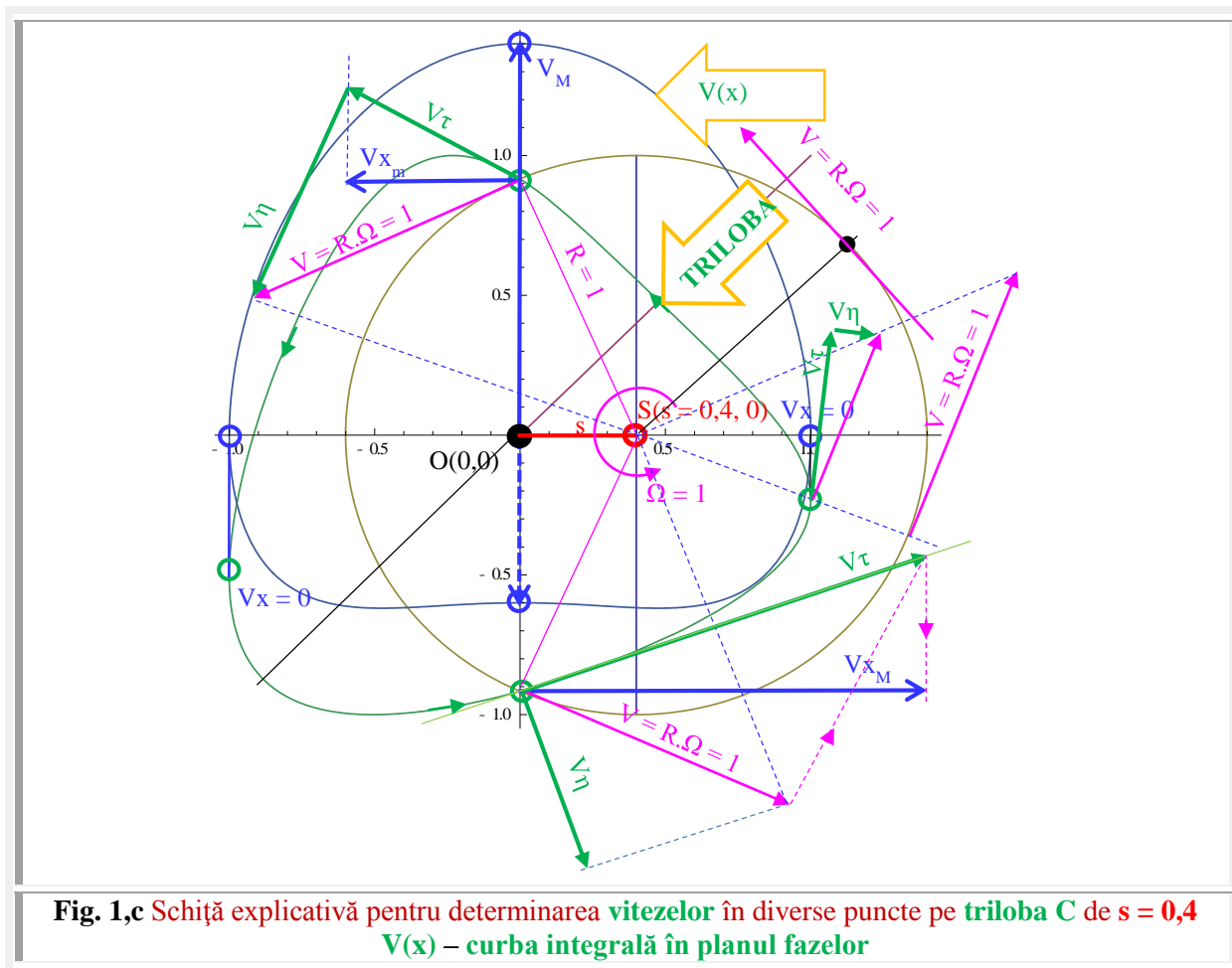


Fig. 1,c Schiță explicativă pentru determinarea vitezelor în diverse puncte pe triloba C de $s = 0,4$
 $V(x)$ – curba integrală în planul fazelor

Monolobele, bilobele, **trilobele** (Fig.1,a), quadrilobele, ... n-lobe ș.a.m.d. sunt curbe închise, cu un număr oarecare n de lobi, exprimabile cu ajutorul **FSM-CE** și a celor **trilobice** (**FSM-T**) care, pentru o excentricitate liniară, reală e sau numerică s nule, degenerază într-un cerc (**zero lobă**), iar pentru $s = \pm 1$, degenerază într-un poligon perfect, nu neapărat regulat, cu n laturi.

În **figura 1,a** → și **1,c** este prezentată o trilobă de $s = 0,4$, împreună cu cercul unitate **CU(O,1)** și curba integrală în planul fazelor **V(x)**.

Un punct, **fără masă**, care se rotește pe aceste curbe închise cu n lobi, se proiectează pe cele două axe, din planul mișcării, sub forma unor funcții n-lobice: cosinus n-lobic proiecția pe axa **Ox** și sinus n-lobic, proiecția pe axa **Oy**. Rezultă, de aici, că pentru $s = 0$, toate funcțiile n-lobice sunt **funcțiile matematice centrice (FMC)** : cosinusul $\theta = \alpha \rightarrow \cos\theta = \cos\alpha$ pe axa **Ox** și, respectiv, sinusul $\sin\theta = \sin\alpha$ pe axa **Oy**, caz în care, variabila **excentrică** θ (în jurul lui **S**) devine egală / identică cu variabila **centrică** α , în jurul originii **O(0, 0)**.

Totodată, un punct de **masă m**, care se rotește cu o viteză unghiulară ω variabilă în raport cu originea **O(0,0)** și cu o viteză unghiulară Ω constantă în jurul **excentrului E (e, ε)** al cercului **C(O,R)** sau în jurul excentrului **S(s,ε)** al cercului unitate **CU(O,1)**, reprezintă tot atâtea **vibrații libere și neamortizate n-lobice**.

La viteza unghiulară ω , a unui punct pe **n-lobă**, imaginile lui oscilează pe axe cu vitezele liniare v_x și, respectiv, v_y , viteze care sunt ale unor mișcări vibrante **n-lobice**.

În **figura 1,c** este prezentată **triloba C** de excentru $S(s = 0,4; \epsilon = 0)$ și curba integrală în planul fazelor $V(x)$. În punctele de pe **triloba C** în care tangenta este verticală, paralelă cu axa y , vitezele $V(x)$ sunt nule. Viteza maximă $V_M > 0$ apare în **partea inferioară** a **trilobei C**, într-un punct pe axa Ox ($x = 0$) în care deplasarea unui punct M pe **triloba C** se face aproape paralel cu axa Ox , în sensul pozitiv al axei, iar viteza minimă, negativă, $V_m < 0$ apare în partea superioară a curbei **trilobice C**, tot pentru $x = 0$, puncte în care **triloba C** traversează axa Oy .

2. FUNCȚII SUPERMATEMATICE TRILOBICE (FSM-T)

Funcțiile supermatematice circulare excentrice (FSM-CE) cosinus și sinus **excentrice**, notate, cu **cex θ** și **sex θ** , descoperite de autor cu cca. 45 de ani în urmă [1], [2], [3], [4], [5], au ecuațiile

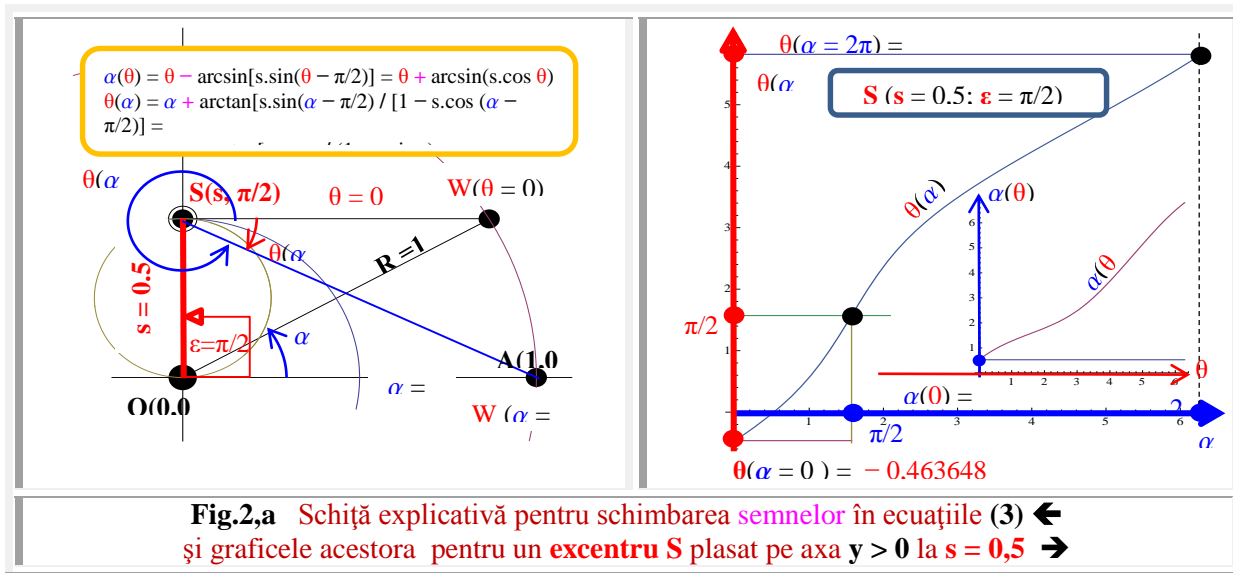
$$(1) \begin{cases} \mathbf{cex}\theta = \mathbf{cex}[\theta, S(s, \epsilon)] = \cos\{t - \arcsin[s \cdot \sin(\theta - \epsilon)]\} \\ \mathbf{sex}\theta = \mathbf{sex}[\theta, S(s, \epsilon)] = \sin\{t - \arcsin[s \cdot \sin(\theta - \epsilon)]\} \end{cases}$$

Pentru o excentricitate unghiulară $\epsilon = 0$ ele devin

$$(2) \begin{cases} \mathbf{cex}[\theta, S(s, 0)] = \cos\{t - \arcsin[s \cdot \sin(\theta)]\} = \mathbf{cex}\theta \\ \mathbf{sex}[\theta, S(s, 0)] = \sin\{t - \arcsin[s \cdot \sin(\theta)]\} = \mathbf{sex}\theta \end{cases}$$

iar pentru $\epsilon = \frac{\pi}{2}$ **funcțiile supermatematice FSM-CE** au ecuațiile:

$$(3) \begin{cases} \mathbf{cex}[\theta, s, \epsilon = \frac{\pi}{2}] = \cos\{t - \arcsin[s \cdot \sin(\theta - \frac{\pi}{2})]\} = \cos[t + \arcsin(s \cdot \cos\theta)] = \mathbf{cot}\theta \\ \mathbf{sex}[\theta, s, \epsilon = \frac{\pi}{2}] = \sin\{t - \arcsin[s \cdot \sin(\theta - \frac{\pi}{2})]\} = \sin[t + \arcsin(s \cdot \cos\theta)] = \mathbf{sit}\theta \end{cases}$$



deoarece $\sin(\theta - \frac{\pi}{2}) = -\cos\theta$ și $-\arcsin(-s \cdot \cos\theta) = +\arcsin(s \cdot \cos\theta)$.

Folosind ecuațiile (1) și/sau (2) drept sistem de ecuații parametrice se obțin cercurile din **figura 3**.

Se știe din **SM** că, trecerea de la funcțiile **(SM)** circulare centrice **(FSM-CC)** sau, pe scurt, **FCC)** $\cos\alpha$ și $\sin\alpha$ la **FSM-CE** **cex θ** și **sex θ** sau, din **domeniul circular centric (CC)**, în **domeniul circular excentric (CE)**, este asemănătoare trecerii din **domeniul circular** în **domeniul eliptic** $\rightarrow \mathbf{cnu} = \cos[am(u, k)]$;

snu = sin[am(u,k)] -, adică, prin înlocuirea **variabilei centrice** α cu funcția **amplitudine am(u,k)** și, respectiv, **amplitudine excentrică aex θ** de variabilă excentrică θ :

$$(4) \quad \alpha(\theta) = aex\theta = \theta - \beta(\theta) = \theta - bex\theta = \theta - \arcsin[s \cdot \sin(\theta - \varepsilon)],$$

în care, **FSM-CE beta** excentrică are expresia:

$$(5) \quad bex\theta = \arcsin[s \cdot \sin(\theta - \varepsilon)] = bex_s\theta,$$

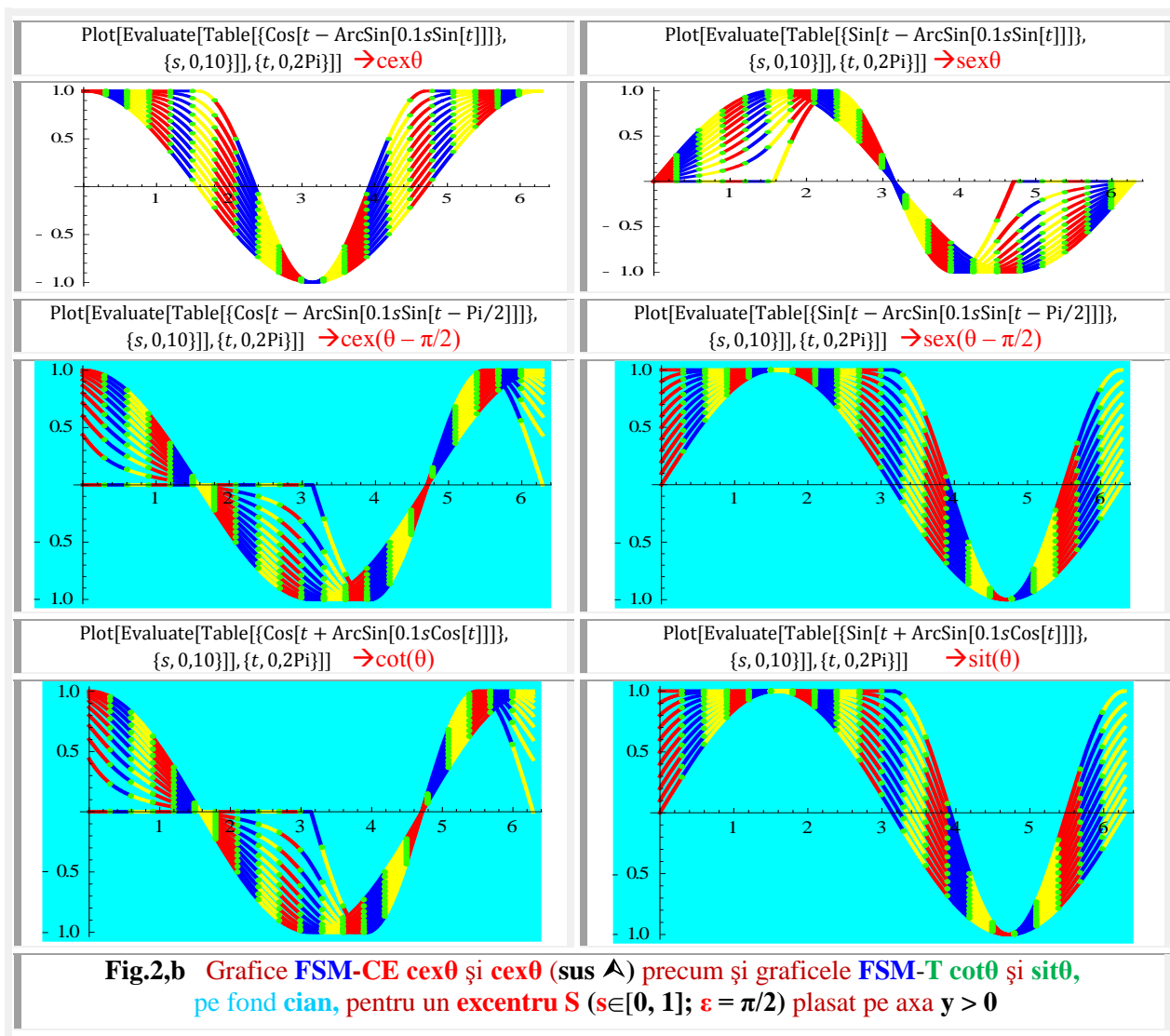
denumită și beta de **S (sinus)**, notate **bex $_s\theta$** , iar prin înlocuirea funcției **sin** cu **cos** în (5) se obțin **FSM-CE beta excentrice** de **cosinus**, notată **bex $_c\theta$** , sau **beta trilobică bet θ** cu expresia:

$$(6) \quad bex_c\theta = \arcsin[s \cdot \sin(\theta - \frac{\pi}{2})] = -\arcsin(s \cdot \cos\theta) = bet\theta \equiv bet[\theta, S(s, \varepsilon)]$$

(7) Astfel, ecuațiile (2) sunt, totodată, ecuațiile:

$$(2') \quad \begin{cases} cex\theta = \cos(aex\theta) = \cos\{t - bex\theta\} = \cos\{t - \arcsin[s \cdot \sin(\theta)]\} \\ sex\theta = \sin(aex\theta) = \sin\{t - bex\theta\} = \sin\{t - \arcsin[s \cdot \sin(\theta)]\} \end{cases}$$

Graficele **FSM-T** sunt prezentate în **figura 2,a** pentru $s \in [0, +1]$ și în **figura 2,b** pentru $s \in [-1, +1]$ și, pentru comparație, în partea superioară au fost prezentate și **FSM-CE cosinus cex θ** și **sinus sex θ** .

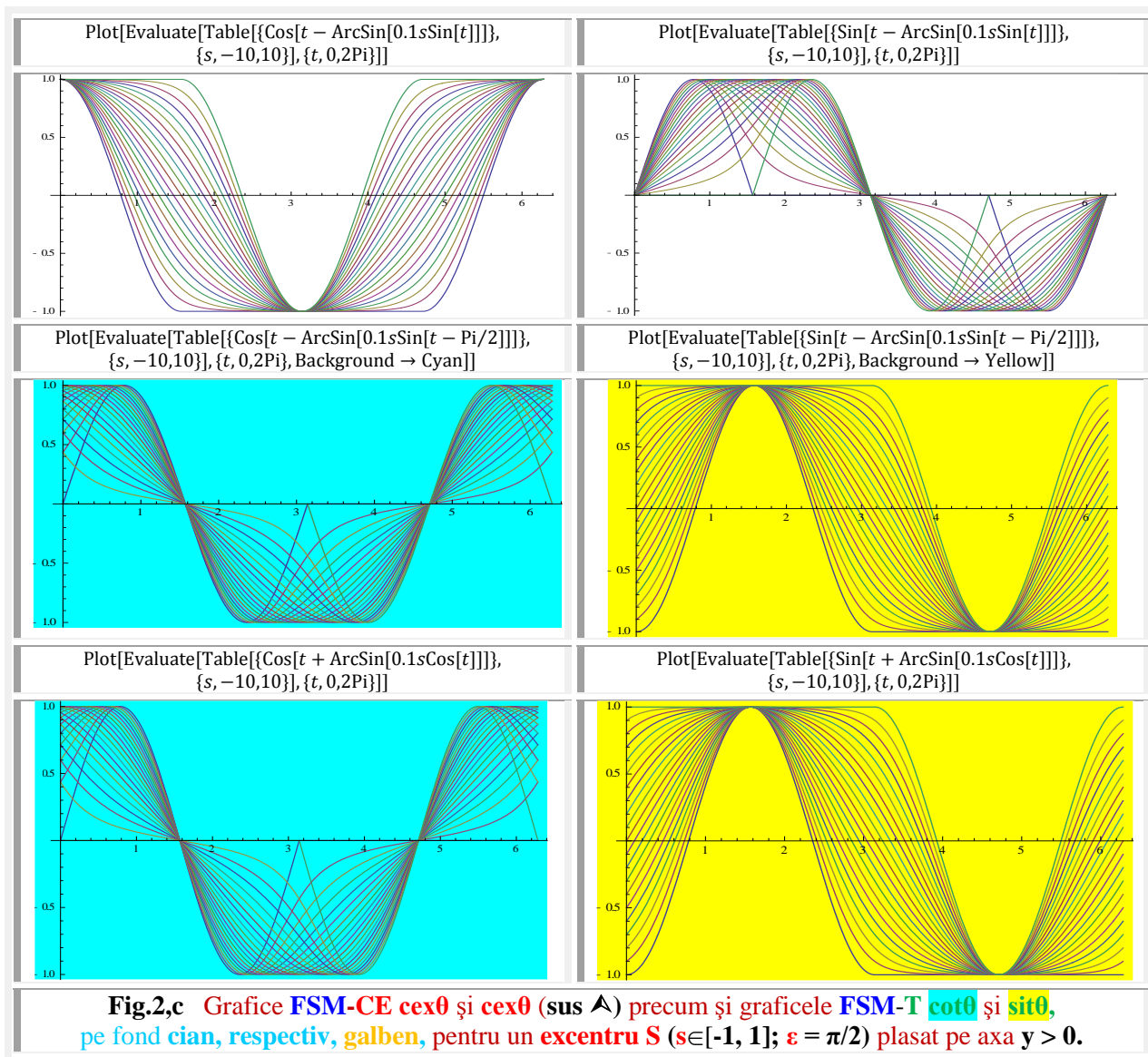


Dacă, în ecuațiile parametrice (2) și /sau (3), se utilizează numai funcții **beta** excentrice de sinus (**bex θ**) (Fig. 2,b și 2,c) sau numai **beta** excentrice de cosinus (**bex $_c\theta$**) (Fig. 2,c), atunci se obțin cercuri (Fig.3).

Tot cercuri se obțin și în cazul **C** (Fig.3,c) ca și în cazul **funcțiilor supermatematice circulare centrice (FSM-CC) : $x = \cos\alpha, y = \sin\alpha$** (Fig.3,a).

Pentru evitarea suprapunerii cercurilor, raza cercurilor s-a ales variabilă (**R = 0,1s**).

Deși, în toate aceste cazuri, se obțin cercuri **ele nu sunt identice** (Fig.3), decât în cazul **funcțiilor circulare centrice (FCC: $\cos\alpha, \sin\alpha$ ș.a.m.d.)**, deoarece, un punct curent, parcurge aceste cercuri cu viteze diferite, în funcție de valoarea excentricității **s** $\in [-1, +1]$. Numai în cazul din **figura 3,a**, toate cercurile familiei sunt parcurse cu aceeași viteză unghiulară, ceea ce se poate observa urmărind o anumită distribuție a unei culori pe diverse intervale unghiulare.



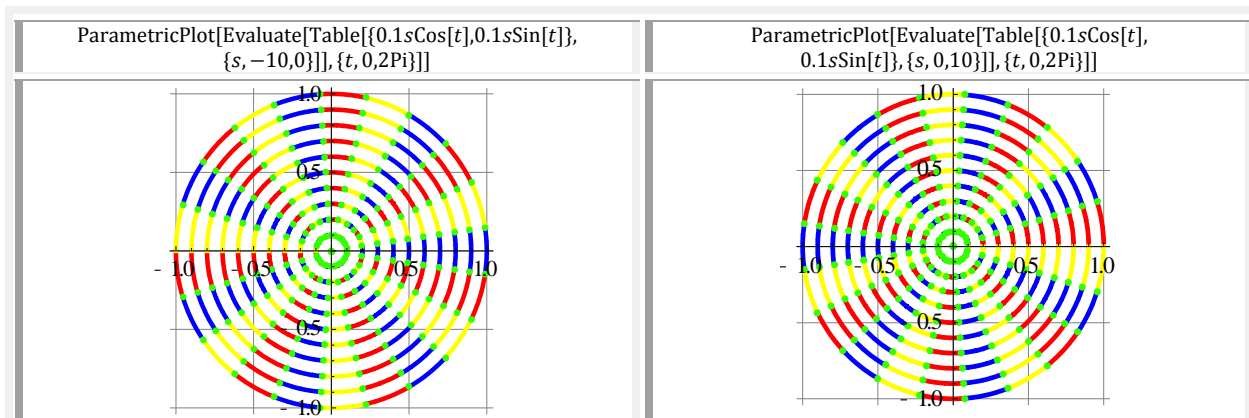


Fig.3,a Cercuri centrice de ecuații: $x = \cos\theta$; $y = \sin\theta$

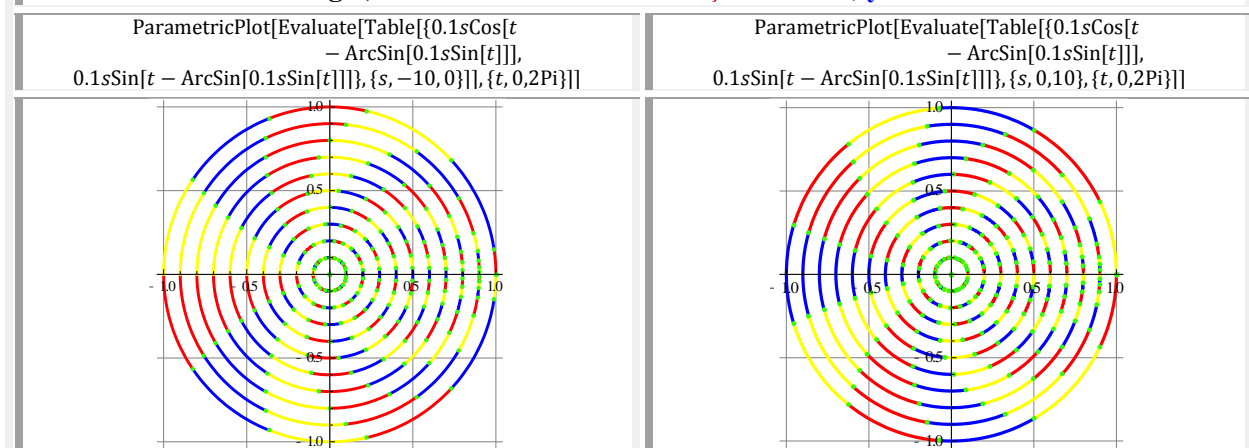


Fig.3,b Cercuri excentrice (de sinus) exprimate cu ecuațiile (2)

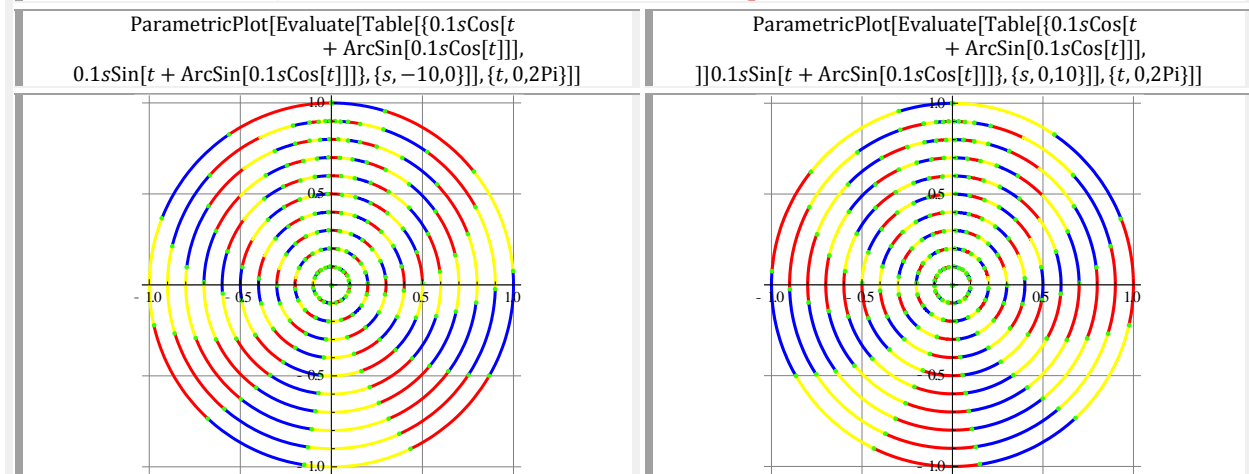
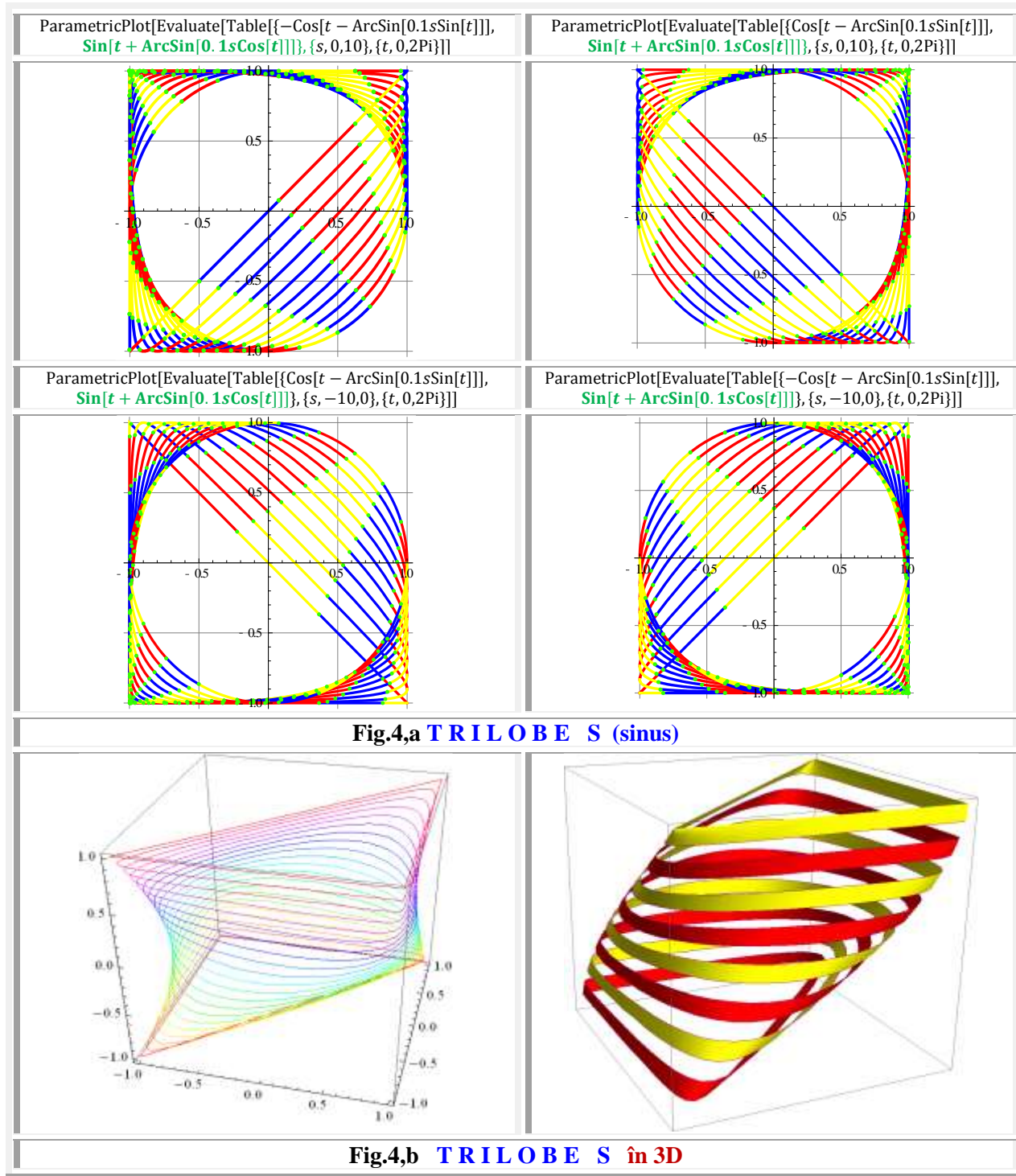


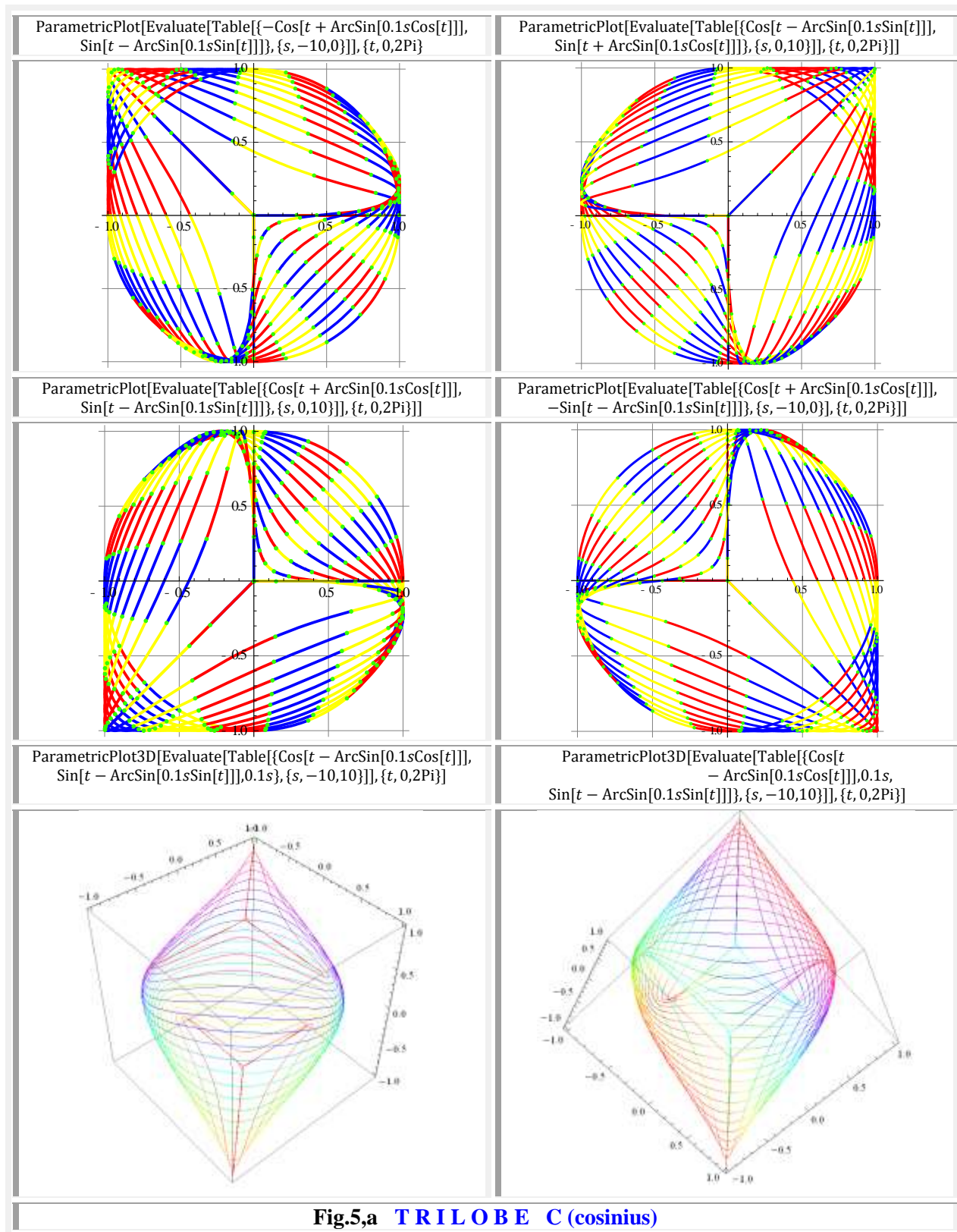
Fig.3,c Cercuri trilobice de C (cosinus) exprimate cu ecuațiile (3)

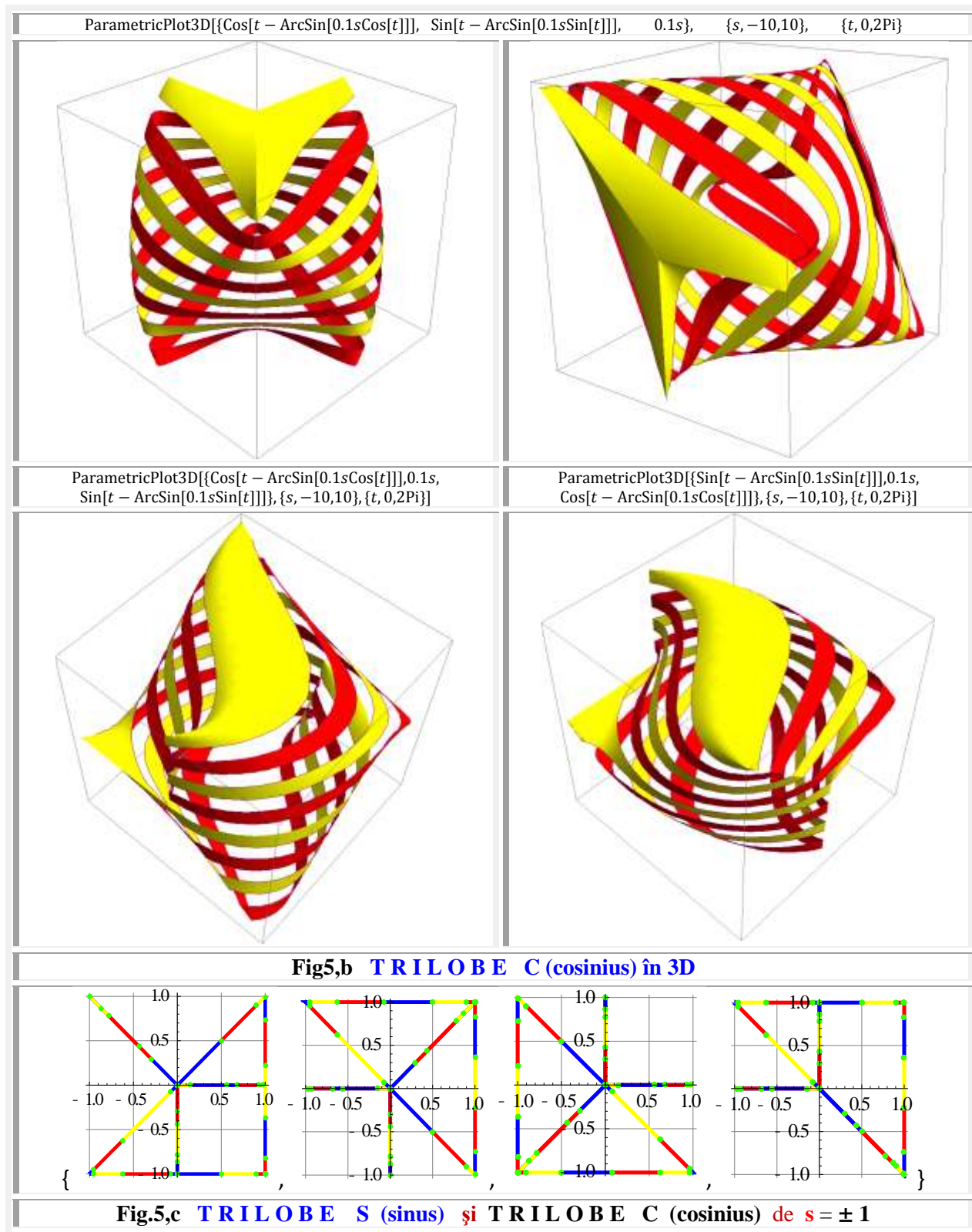
Funcțiile

$$(3') \quad \begin{cases} \text{cex}[\theta, s, \varepsilon = \frac{\pi}{2}] = \text{cot}\theta = \text{cot}[\theta, S(s, \varepsilon)] = \cos\{t + \arcsin[s \cdot \cos(\theta - \varepsilon)]\} \\ \text{sex}[\theta, s, \varepsilon = \frac{\pi}{2}] = \text{sit}\theta = \text{sit}[\theta, S(s, \varepsilon)] = \sin\{t + \arcsin[s \cdot \cos(\theta - \varepsilon)]\} \end{cases}$$

deși sunt **FSM-CE** $cex\ \theta$ și $sex\theta$, de $\varepsilon = \frac{\pi}{2}$, au fost (supra)denumite **trilobice** (**FSM-T**), **cosinus și sinus trilobice**, notate, respectiv, $cot\theta = cot[\theta, S(s, \varepsilon)]$ și $sit\theta = sit[\theta, S(s, \varepsilon)]$, deoarece cu ajutorul lor pot fi descrise curbele plane închise denumite **trilobe** [9], [11] (**Fig.4** și **Fig.5**).







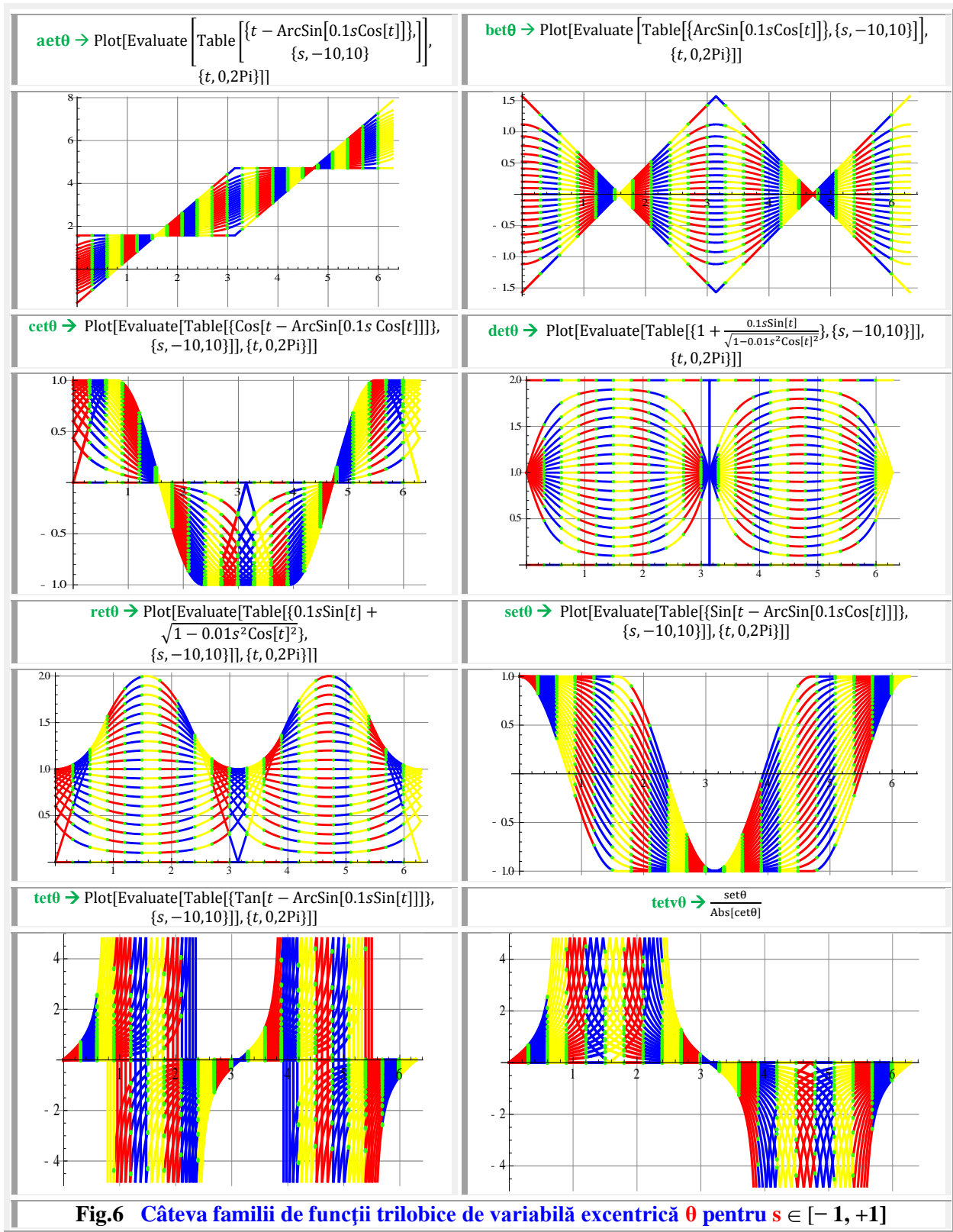
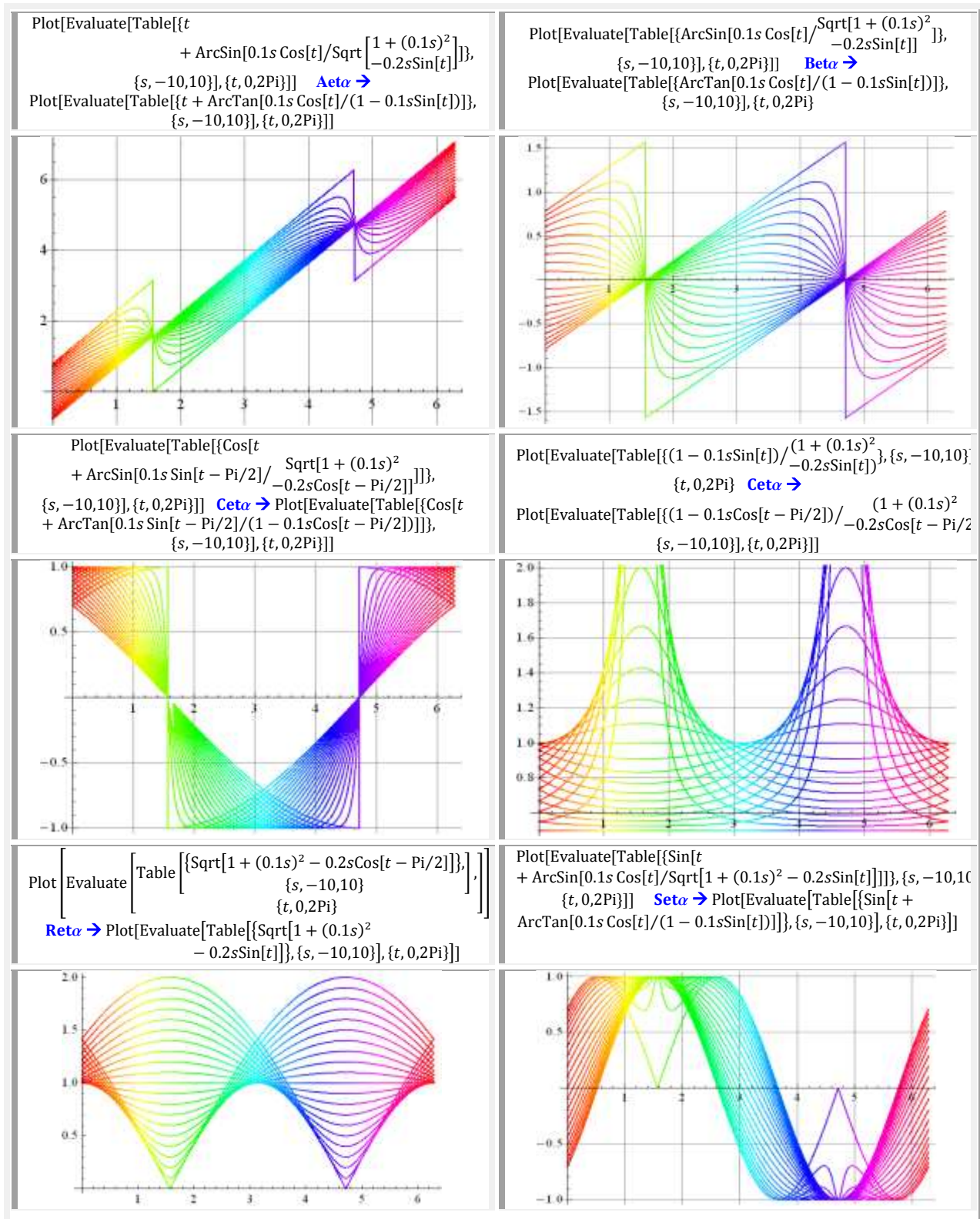


Fig.6 Câteva familii de funcții trilobice de variabilă excentrică θ pentru $s \in [-1, +1]$



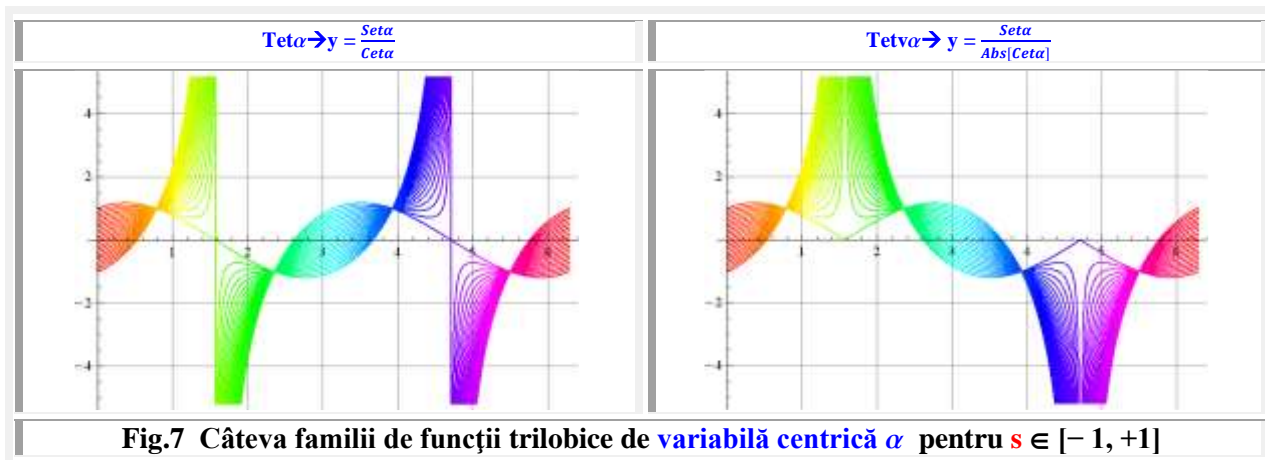


Fig.7 Câteva familii de funcții trilobice de variabilă centrică α pentru $s \in [-1, +1]$

Se deduce, de aici, că pleiadei de FSM-CE: $aex\theta, bex\theta, cex\theta, ctex\theta, ctexv\theta, dex\theta, \dots, rex\theta, sex\theta, tex\theta, texv\theta$, ș.a. îi corespund funcțiile supermatematice trilobice (FSM-T): $aex\theta, bex\theta, cex\theta, ctex\theta, ctexv\theta, dex\theta, \dots, rex\theta, sex\theta, tex\theta, texv\theta$ ș.a (Fig.6), ca să ne referim doar la cele de variabilă excentrică θ , dar există și cele de variabilă centrică α : $Aeta, Beta, Ceta, Cteta, Ctetva, Det\alpha, \dots, Ret\theta, Set\theta, Tet\theta, Tetv\theta$ ș.a.(Fig.7).

3. VIBRAȚII LIBERE, NEAMORTIZATE, TRILOBICE

Derivatele funcțiilor supermatematice circulare excentrice (FSM-CE) cosinus și sinus excentrice (1) de variabilă excentrică θ sunt

$$(8) \quad \begin{cases} \frac{d}{d\theta} cex\theta = -dex\theta \cdot \sin\theta = -\left[1 - \frac{s \cdot \cos(\theta - \varepsilon)}{\sqrt{1 - s^2 \cdot \sin^2(\theta - \varepsilon)}}\right] \cdot \sin\theta \\ \frac{d}{d\theta} sex\theta = dex\theta \cdot cex\theta = \left[1 - \frac{s \cdot \cos(\theta - \varepsilon)}{\sqrt{1 - s^2 \cdot \sin^2(\theta - \varepsilon)}}\right] \cdot \cos\theta \end{cases}$$

Derivatele funcțiilor trilobice (3) sunt

$$(9) \quad \begin{cases} \frac{d}{d\theta} cot\theta = -det\theta \cdot sit\theta = -\left(1 - \frac{s \cdot \sin(\theta - \varepsilon)}{\sqrt{1 - s^2 \cos^2(\theta - \varepsilon)^2}}\right) \sin[\theta + \arcsin[s \cdot \cos(\theta - \varepsilon)]] \\ \frac{d}{d\theta} sit\theta = det\theta \cdot cot\theta = \left(1 - \frac{s \cdot \sin(\theta - \varepsilon)}{\sqrt{1 - s^2 \cos^2(\theta - \varepsilon)^2}}\right) \cos[\theta + \arcsin[s \cdot \cos(\theta - \varepsilon)]] \end{cases}$$

cu graficele din figura 8.

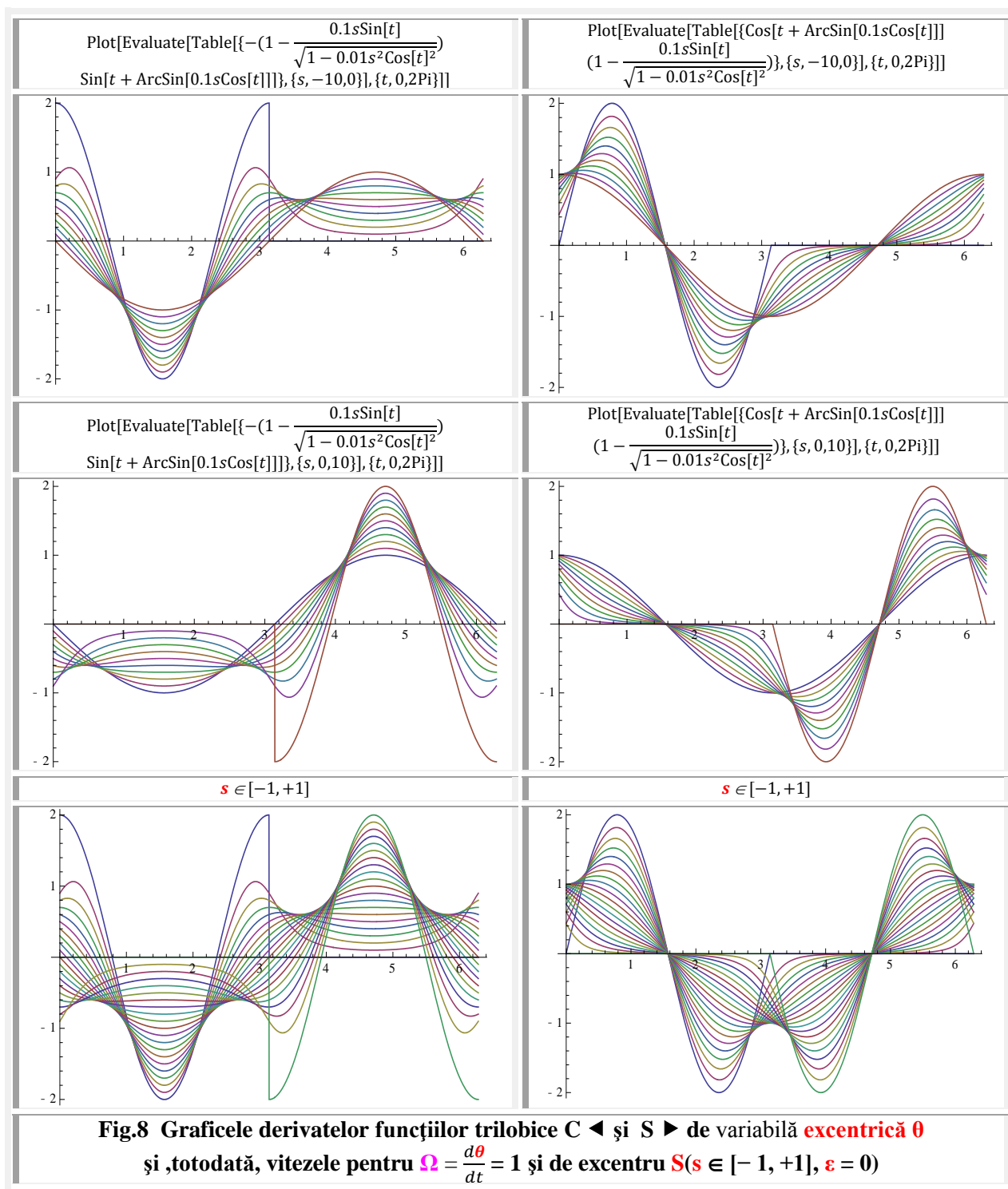
Înmulțind aceste derivate cu viteza unghiulară $\Omega = \frac{d\theta}{dt}$, considerată constantă și egală cu unitatea, se vor obține, cu aceleași ecuații (8), vitezele trilobice C și, respectiv, S.

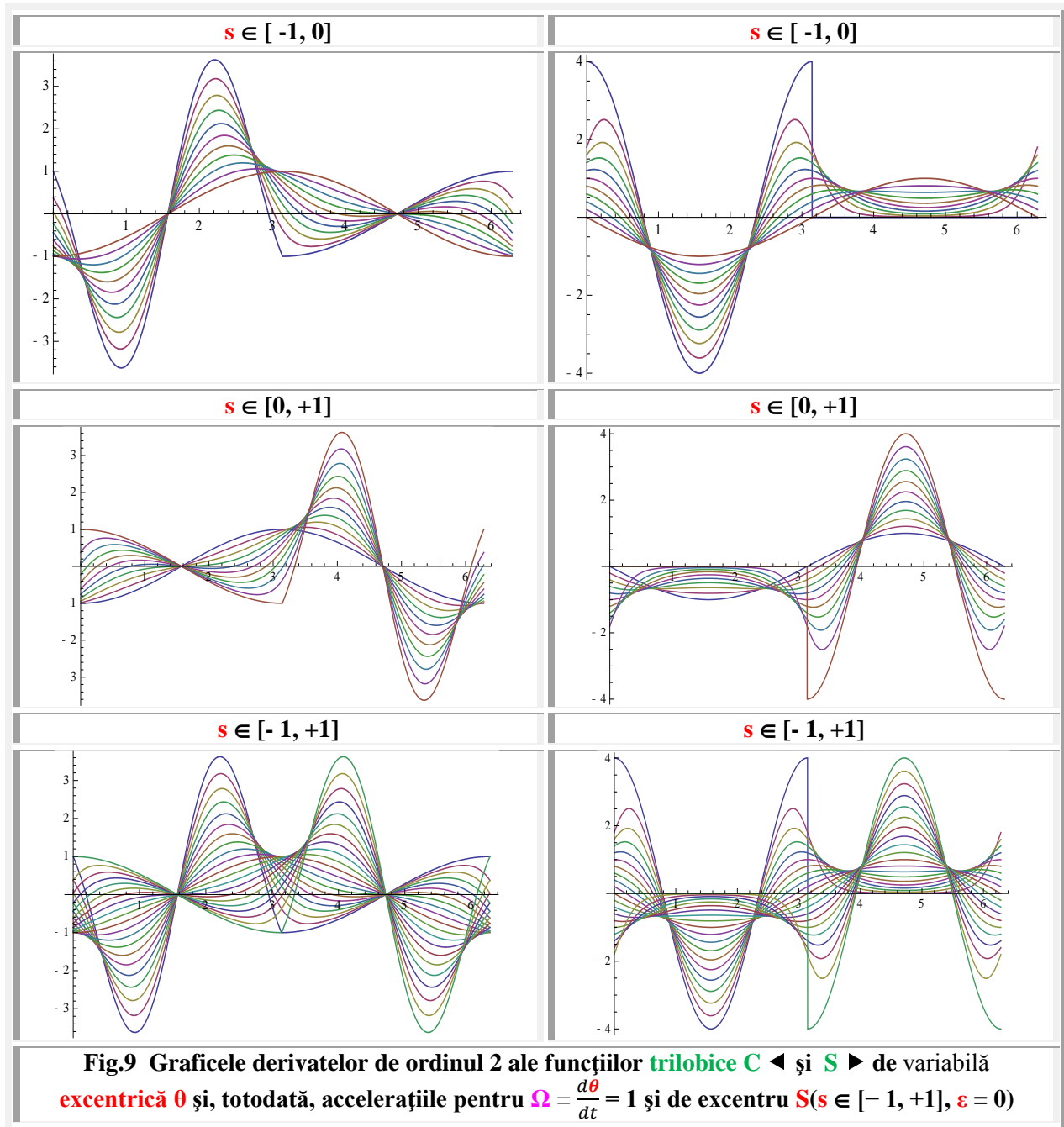
În stânga ◀ figurii 8 sunt prezentate derivatele funcțiilor trilobe C, iar în partea dreaptă ▶ a trilobelor S.

Prin repetarea derivatelor se vor obține derivatele de ordinul doi și pentru $\Omega = \frac{d\theta}{dt} = 1$ accelerațiile trilobice:

$$(10) \quad \begin{cases} \frac{d^2}{d\theta^2} (cot\theta) = \cos[\theta + \arcsin[s \cos\theta]] \left(-1 + s \cdot \sin\theta \left(\frac{0.2}{\sqrt{1 - s^2 \cos^2\theta}} - \frac{s \cdot \sin\theta}{1 - s^2 \cos^2\theta} \right) \right) + \\ \frac{(s - s^3) \cos[t] \sqrt{1 - s^2 \cos^2\theta} \sin[t + \text{ArcSin}[s \cos\theta]]}{(1 - s^2 \cos^2\theta)^2} \\ \frac{d^2}{d\theta^2} (sit\theta) = \frac{s(-1 + s^2) \cos\theta \cos[\theta + \arcsin[s \cdot \cos\theta]]}{(1 - s^2 \cos^2\theta)^{3/2}} - \left(-1 + \frac{s \cdot \sin\theta}{\sqrt{1 - s^2 \cos^2\theta}} \right)^2 \sin[\theta + \arcsin[s \cdot \cos\theta]] \end{cases}$$

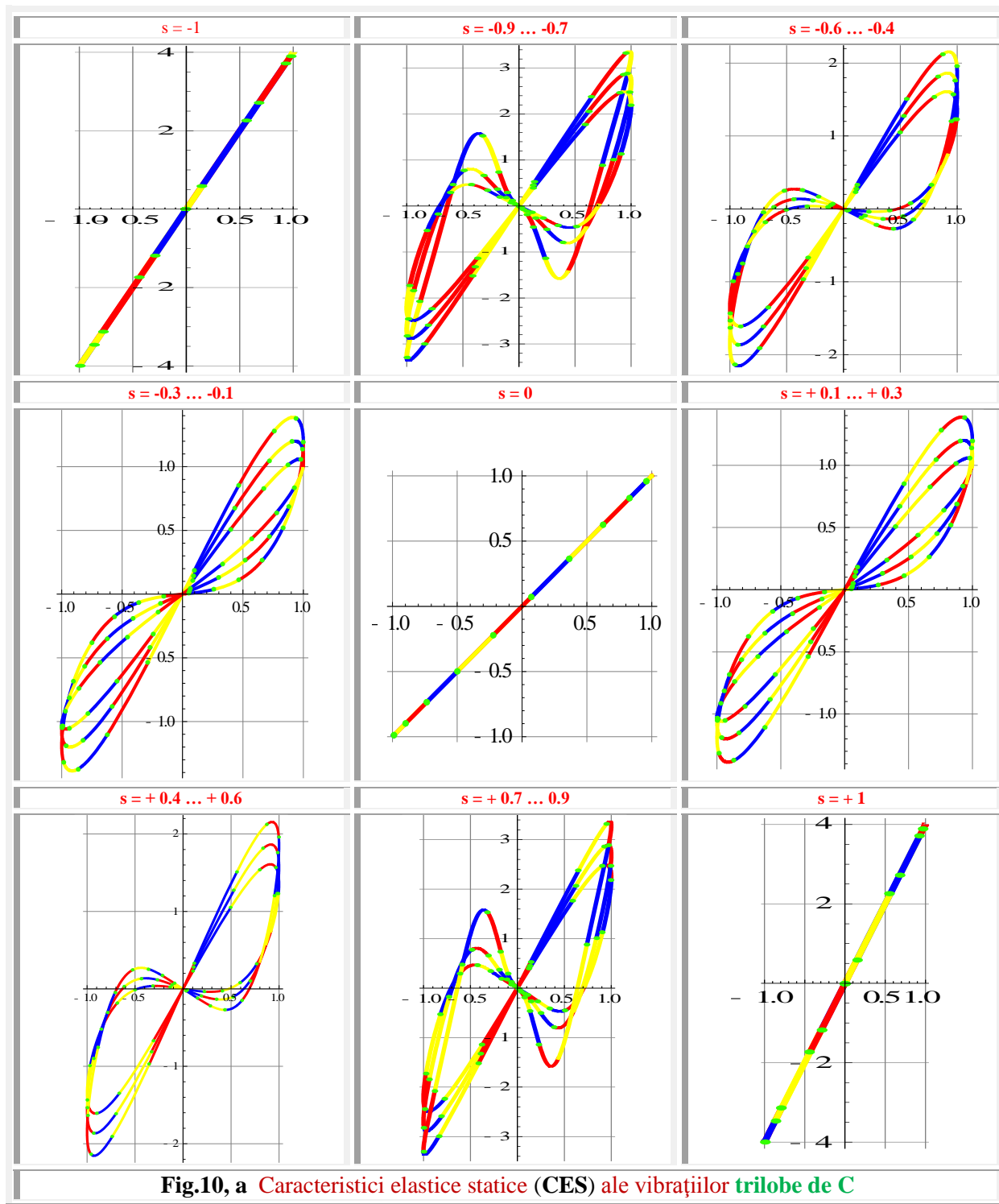
Graficele acestora sunt prezentate în **figura 9**, în stânga pentru **trilobele C** și în dreapta pentru **trilobele S**.

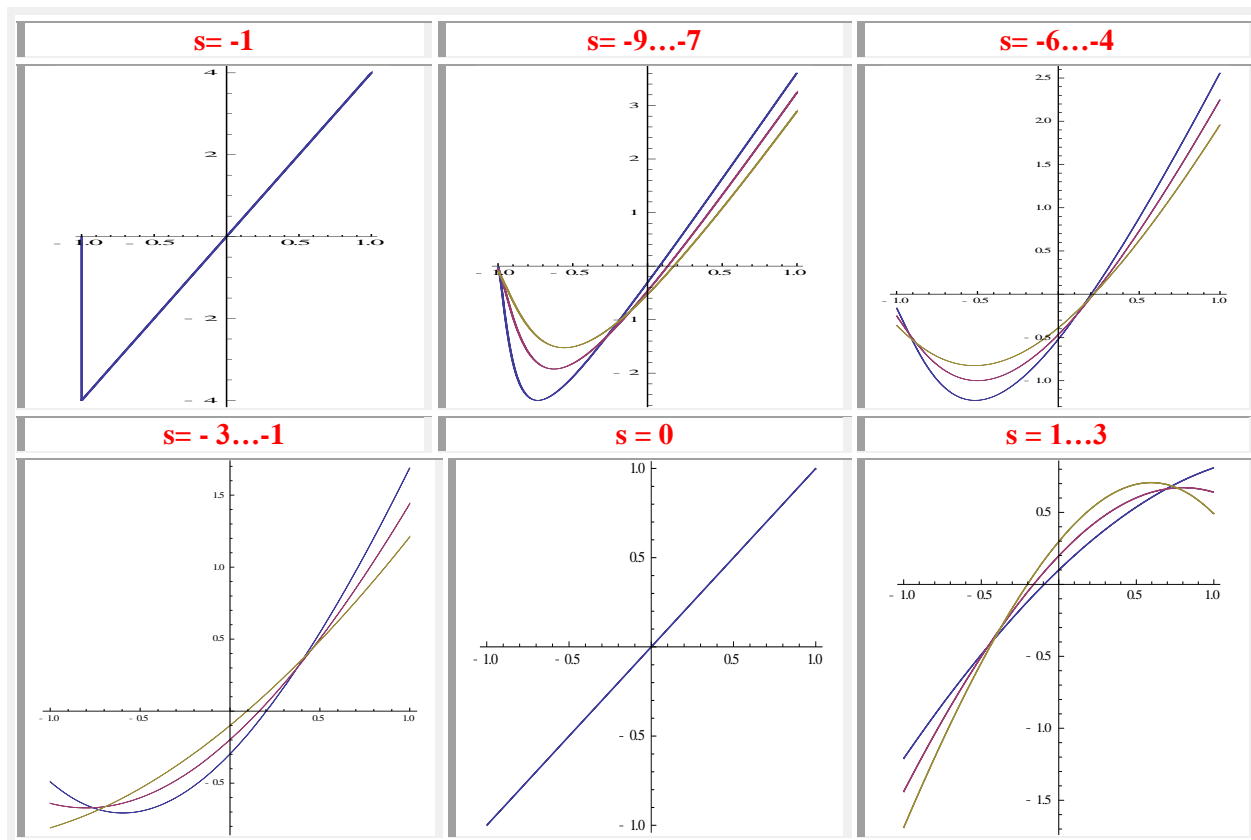
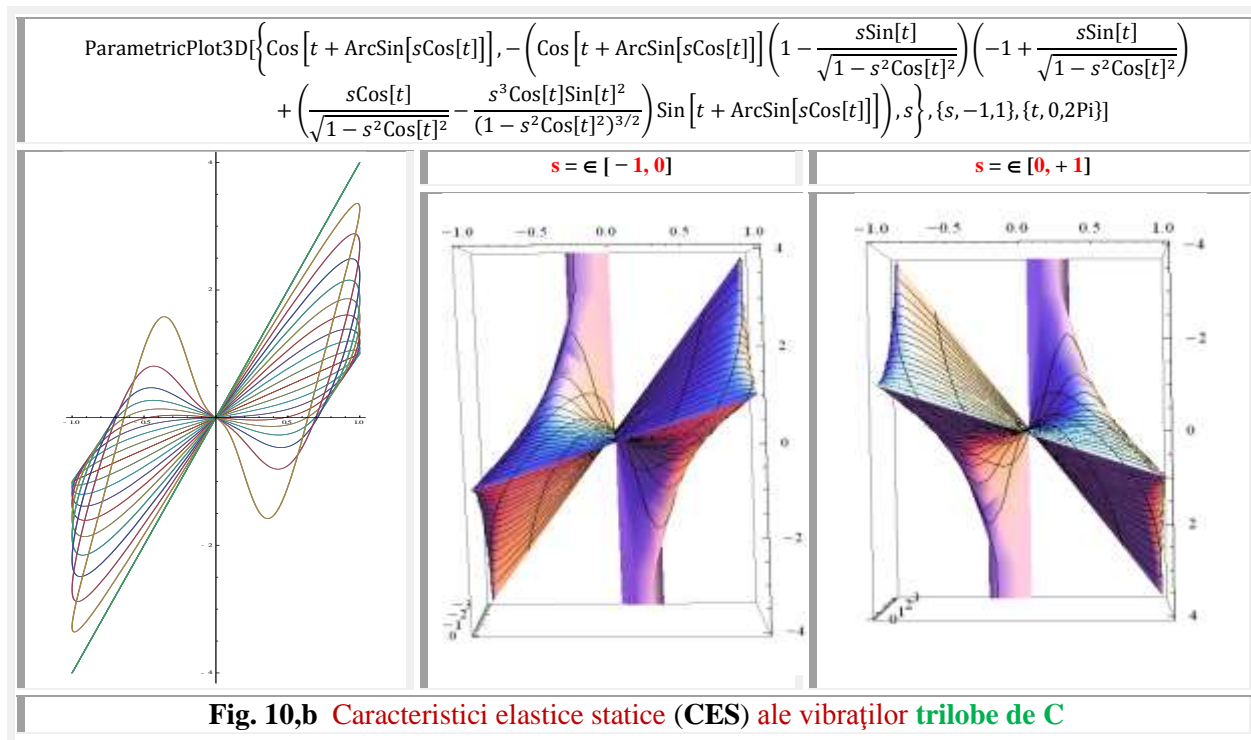


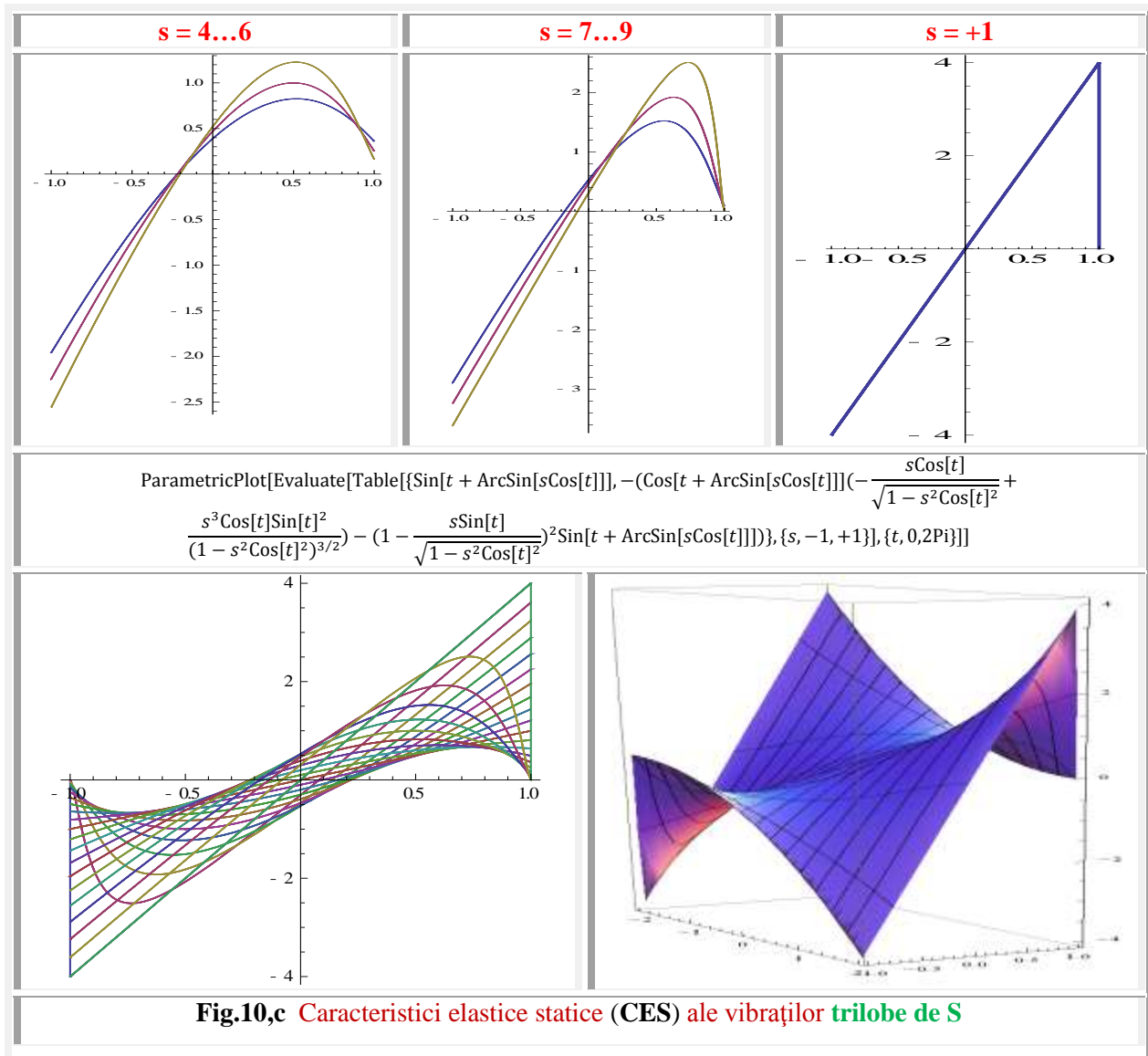


Pentru o masă a unui sistem vibrant trilobice egală cu unitatea ($m = 1$), în lipsa altor forțe din sistem, forța de accelerație se echilibrează în permanență cu forța elastică, astfel că graficele forțelor de accelerație, cu semn schimbat, vor reprezenta forțele elastice în raport cu deplasarea / deformația elementului elastic x , ceea ce reprezintă tocmai **caracteristica elastică statică (CES)** a acestui sistem mecanic trilobice. Aceste caracteristici sunt prezentate în **figura 10,a și 10,b**, pentru sistemele mecanice trilobice C și în **figura 10,c** pentru sistemele trilobice S .

4 CARACTERISTICI ELASTICE STATICE (CES) ALE SISTEMELOR TRILOBICE







4. ECUAȚIA DIFERENȚIALĂ A SISTEMELOR VIBRANTE TRILOBICE

Fie funcțiile $x, y : \mathbb{R} \rightarrow [-1, +1]$

$$(11) \quad \begin{cases} x(t) = \text{cot}[\Omega t, S(s, \varepsilon)] \\ y(t) = \text{sex}[\Omega t, S(s, \varepsilon)] \end{cases}$$

de același excentru $S(s, \varepsilon)$ în care s este raza polară și ε -unghiul polar, într-un cerc de rază $R = 1 \rightarrow \text{CU}(\text{O}, \mathbb{R})$.

Derivatele acestora pentru $\theta = \Omega \cdot t$ și $\frac{d\theta}{dt} = \Omega = 1$ sunt :

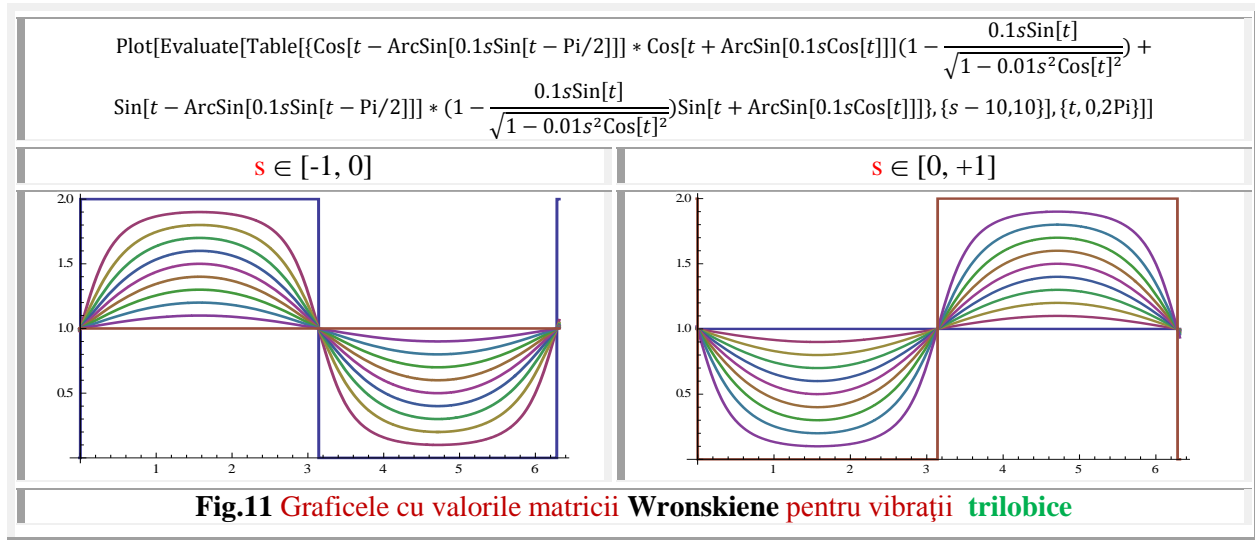
$$(12) \quad \begin{cases} x'(t) = \frac{d}{dt} \text{cot}[\Omega t, S(s, \varepsilon)] = \frac{d\theta}{dt} \frac{d}{d\theta} \text{cot}[\theta, S(s, \varepsilon)] = \Omega \cdot \frac{d}{d\theta} \text{cot}[\theta, S(s, \varepsilon)] = -\Omega \cdot \text{det}\theta \cdot \text{sit}\theta \\ y'(t) = \frac{d}{dt} \text{sex}[\Omega t, S(s, \varepsilon)] = \frac{d\theta}{dt} \frac{d}{d\theta} \text{sex}[\theta, S(s, \varepsilon)] = \Omega \cdot \frac{d}{d\theta} \text{sex}[\theta, S(s, \varepsilon)] = +\Omega \cdot \text{dex}\theta \cdot \text{sex}\theta \end{cases}$$

și explicit:

$$(13) \quad \begin{cases} x'(t) = \Omega \cdot \left(1 + \frac{s \cdot \sin[t]}{\sqrt{1-s^2 \cos^2[t]}}\right) \cos[\theta + \arcsin(s \cdot \cos\theta)] \\ y'(t) = + \Omega \cdot \left(1 - \frac{s \cdot \cos\theta}{\sqrt{1-s^2 \cdot \sin^2\theta}}\right) \sin[\theta - \arcsin(s \cdot \sin\theta)] \end{cases}$$

Matricea lor **Wronskiană** este :

$$(14) \quad \begin{vmatrix} x(t) & y(t) \\ x'(t) & y'(t) \end{vmatrix} = \begin{vmatrix} \cot[\Omega t, S(s, \varepsilon)] & \text{sex}[\Omega t, S(s, \varepsilon)] \\ -\Omega \cdot \text{det}\theta \cdot \text{sit}\theta & + \Omega \cdot \text{dex}\theta \cdot \text{sex}\theta \end{vmatrix} = \Omega [\text{cot}\theta \cdot \text{dex}\theta \cdot \text{sex}\theta - \text{sex}\theta \cdot \text{det}\theta \cdot \text{sit}\theta].$$



5. BIBLIOGRAFIE

- | | | | |
|---|----------------------|---|---|
| 1 | Șelariu Mircea Eugen | STUDIUL VIBRAȚIILOR LIBERE ALE UNUI SISTEM NELINIAR, CONSERVATIV CU AJUTORUL FUNCȚIILOR CIRCULARE EXCENTRICE | Com. I Conf. Naț. Vibr.în C.M. Timișoara,1978, pag. 95...100 |
| 2 | Șelariu Mircea Eugen | FUNCȚIILE SUPERMATEMATICE cex ȘI sex - SOLUȚIILE UNOR SISTEME MECANICE NELINIARE | Com. A VII-a Conf.Naț. V.C.M., Timișoara,1993, pag. 275...284. |
| 3 | Șelariu Mircea Eugen | FUNCȚIILE SUPERMATEMATICE CIRCULARE EXCENTRICE DE VARIABILĂ CENTRICĂ CA SOLUȚII ALE UNOR SISTEME OSCILANTE NELINIARE | TEHNO ' 98. A VIII-a Conferința de Inginerie Managerială și Tehnologică, Timișoara 1998, pag 557...572 |
| 4 | Șelariu Mircea Eugen | QUADRILOBIC VIBRATION YSTEMS | The 11 –th International Conference on Vibration Engineering, Timișoara, Sept. 27-30, 2005 pag. 77 ... 82 |
| 5 | Șelariu Mircea Eugen | SUPERMATEMATICA. FUNDAENTE | Editura Politehnica, Timișoara, 2013 |
| 6 | Șelariu Mircea Eugen | SUPERMATEMATICA | Editura MatrixRom,Buc. 2016 |

Motto "Obiectul Matematicii este atât de serios,
încât este util să nu pierdem ocazia pentru
a-l face puţin mai distractiv"

Blaise Pascal

CAPITOLUL XXII

CERCURILE LUI APOLLONIUS din Perga

1. INTRODUCERE.

DESPRE IMPORTANŢA INTERNETULUI

Extras de pe Internet: "Radko Kolev, un tânăr de 19 ani din Bulgaria, a rezolvat o problemă de geometrie veche de 2.000 de ani (problema lui Apoloniu), printr-o metodă nouă și unică, informează Novinite."

Problema lui Apollonius din Perga (pentru că există și **Apollonius din Tyana**, discipol a lui **Pitagora** și încă alții) consta în a construi cercuri tangente la alte trei cercuri date într-un plan.

Ultima soluție cunoscută la această problemă matematică datează din secolul al XIX-lea și îi aparține lui **Joseph Gergonne**, matematician și logician francez.

Apollonius din Perga (aprox. 262 I.Hr. - aprox. 190 I.Hr.) a formulat și rezolvat această problemă faimoasă în lucrarea "**Tangente**" prin inversiunea a două cercuri.

Soluția lui **Radko Kolev** este **a cincea rezolvare despre care se știe** a acestei probleme. Cei ce știu rezolvarea, n-o dau așa de ușor în vileag. Cu toate strădaniile noastre, ea, rezolvarea, n-a fost găsită pe motoarele de căutare. Cu mare greutate au fost găsite lapidar și unele din celelalte patru soluții. Pe motorul de căutare **GOOGLE**, cu specificația "**Problema lui Apollonius din Perga**". Dacă se caută, în schimb, "**Apollonius' Problem**" atunci încep să apară, fără discriminare, și soluțiile (v. [10], [11], [12], ș.m.a).

S-a subliniat "**despre care se știe**" deoarece sunt și alte rezolări "**despre care nu se știe**", deși au fost susținute în Conferințe și publicate în Lucrările lor [2], [3]. Dar nu exista pe atunci **INTERNETUL!**

Conferințele fiind din domeniul tehnic, ingineresc și tehnologic, lucrări cu titlul "**NOI SOLUȚII, GEOMETRICĂ ȘI ANALITICĂ, A PROBLEMEI LUI APOLLONIUS DIN PERGA**" evident că n-ar fi fost acceptate. De aceea, **cercurile date** au fost înlocuite cu **patru roți dințate una conducătoare și trei conduse**, cele 3 pe arborii port-sculă, sau de ieșire, și una centrală pe arborele conducător, de intrare, a unui cap multiax de burghiat / (găurit cu burghiul), iar mărimea și poziția **cercului căutat / soluție** a fost reprezentată de **roata dințată intermediară**, de pe arborele intermediar, care distribuie mișcarea de la roata conducătoare la cele 3 roți conduse, de pe arborii port-sculă. De aceea, cele două lucrări susținute și publicate [2]/[3] au fost intitulate "**DETERMINAREA GRAFICĂ / ANALITICĂ A MĂRIMII ȘI A POZIȚIEI ROȚII INTERMEDIARE LA PROIECTAREA CAPETELOR MULTIAXE**".

Această determinare grafică, a poziției - centrului $C_0(x_0, y_0)$ - și a mărimii (razei / diametrului de divizare R_d / D_d) a roții intermediare, a fost și o dorință expres exprimată a Filialei din Timișoara a Institutului **ICSIT "Titan"** București, pentru a nu mai perfora / ciurui hârtia de calc cu acul compasului, până la găsirea, prin încercări repetate, a acestor mărimi. De proiectare asistată de calculator, CAD-CAM-CAE, la acea vreme, nu exista. **SM-CAD-CAM**, nici atât **SM → supermatematica**.

În anii publicării celor două lucrări în discuție (1978/1981) nici **INTERNETUL** nu era inventat !

În anii apariției celui mai performant calculator electronic românesc "**CORAL**" a fost rulat primul program de proiectare pe calculator a capetelor multiaxe, program realizat de specialistii Institutului de Tehnică de Calcul (ITC) din București, după o metodă de proiectare concepută și utilizată de autorul

prezentei lucrării şi solicitată de institut. În final, programul elabora desenul de ansamblu, cu traseul secţiunilor indicat de proiectant, precum şi desenele reperelor alese din cele standardizate / tipizate - [6]-.

Aţi auzit de aceste realizări ? Răspunsul este evident: **NU !** Dar dacă ar fi existat încă de atunci **INTERNETUL** ... **Apollonius** a rezolvat problema prin inversiunea a **două** din cele **trei cercuri date**, noi prin inversarea **unuia singur**. Dar dacă şi **Radko Colev** a procedat la fel ? Cum putem afla ?

2. PRELIMINARII

(Extras din [1], [7] Mircea Eugen Şelariu “**SUPERMATEMATICA**.Fundamente”, Ed.”POLITEHNICA”, Timişoara, 2007, Cap.4.Ş 4.2, pag.125 ... 138)

2.1 TEOREMA LUI APOLLONIUS din Perga

Locul geometric al vârfurilor W_i ale tuturor triunghiurilor $E E' W_i$ (Fig. 1) cu latura $\overline{EE'}$ dată, având celelalte două laturi într-o proporţie constantă $EW_i : E'W_i = \lambda$, este **cercul lui Thales** de diametru AA' .

Punctele A şi A' împart segmentul EE' în raportul λ , interior şi exterior. Sau, mai simplu, dacă două puncte (E şi E') sunt inverse în raport cu un cerc, distanţele lor la un punct de pe cerc (W_i) sunt într-un raport constant (Fig.1). Pentru $\theta = \theta' = \pi$, $EW_i = R + e$ şi $E'W_i = R - e$.

În această lucrare se va determina expresia şi valoarea acestei constante, iar **teorema lui Apollonius** se va putea denumi şi teorema **rex θ** sau **Rex θ** .

Se ştie, din domeniul **supermatematicii (SM)**, că distanţa de la un punct oarecare din plan, denumit **excentru $E(e, \epsilon)$** , la un punct oarecare W de pe / arţinând cercul/ui unitate $CU [O(0,0), 1]$ este, **prin definiţie**, **funcţia supermatematică circulară excentrică (FSM-CE) $R.rex\theta$** , de variabilă excentrică θ , pentru modulele aceloraşi vectori de poziţie \vec{r} cât şi $\vec{r'}$ din E , al unui punct W de pe CU .

Rezultă că raportul λ este raportul **funcţiilor supermatematice circulare excentrice (FSM-CE) radial excentric – $R.rex(\theta, s)$** - de excentricitate liniară numerică $s = e/R$ şi de variabilă excentrică θ şi a celei de excentricitate numerică s' şi de variabila $\theta' \rightarrow R.rex(\theta', s')$ şi că, este acelaşi cu raportul aceloraşi **FSM-CE**, dar de aceeaşi **variabilă centrică α_1** , adică **$R.Rex(\alpha_1, s)$** şi **$R.Rex(\alpha_1, s')$** , deoarece W_i este acelaşi (comun) şi α_1 va fi acelaşi pentru cele două funcţii.

2.2 RAPOARTE ARMONICE ŞI RAPOARTE ANARMONICE

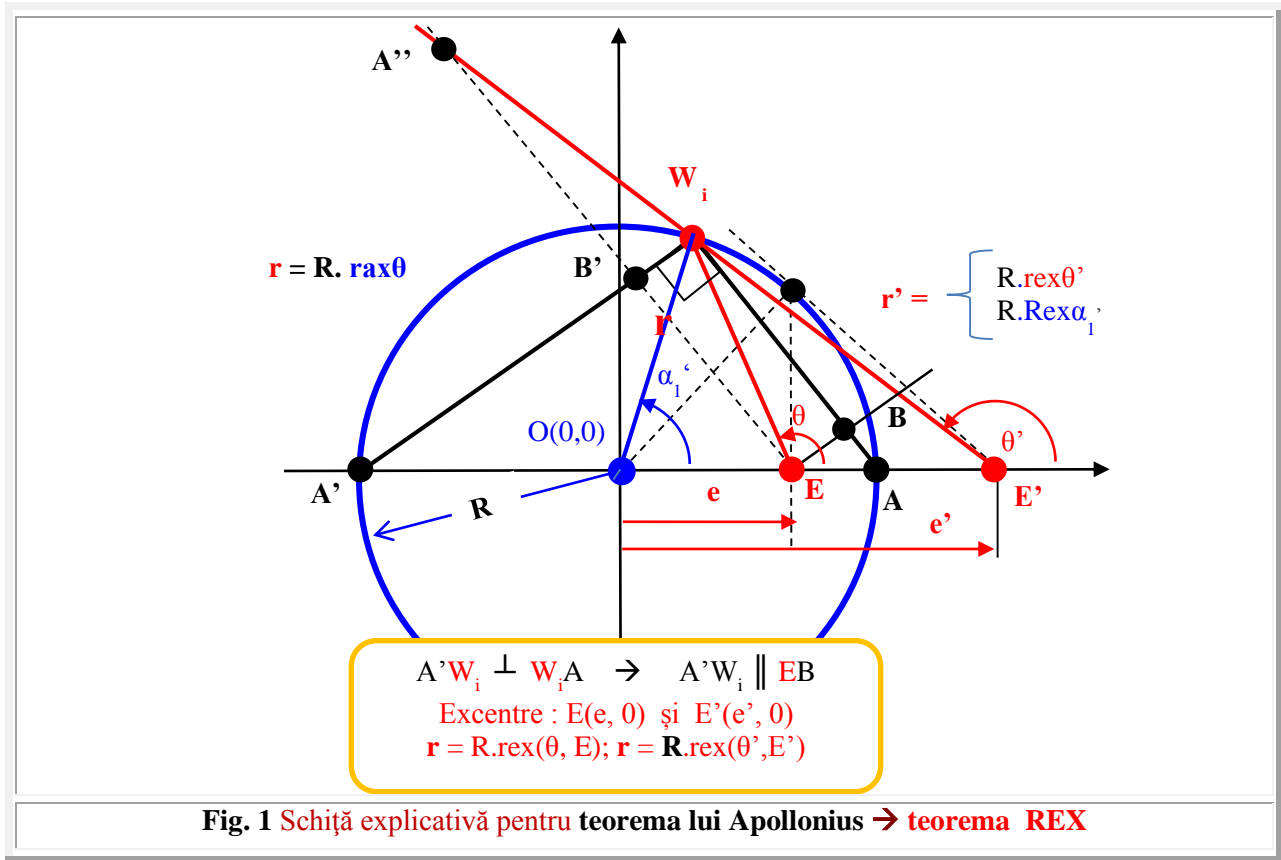
Raportul anarmonic sau **biraportul** este o noţiune fundamentală a geometriei proiective şi se referă la modul cum sunt situate patru puncte coliniare, mai precis, modul în care două din acestea împart segmentul determinat de celelalte două.

Raportul anarmonic, numit şi **biraport** (pentru patru puncte A, B, C, D coliniare) este câtul rapoartelor în care punctele C şi D împart segmentul $[AB]$, sau, cu notaţiile din **figura 1**, este câtul rapoartelor în care punctele denumite în **SM excentre S** şi S' împart segmentul $A'A$, care este diametrul unui cerc de rază R :

Fiind date punctele coliniare A, B, C, D , se notează cu $(A, B; C, D)$ şi se numeşte **biraport** sau **raport anarmonic** numărul:

$(A, B; C, D) = \frac{\overline{AC} \cdot \overline{AD}}{\overline{BC} \cdot \overline{BD}}$ şi, cu notaţiile din **figura 1**, $(A'A; EE') = \frac{\overline{A'E} \cdot \overline{A'E'}}{\overline{AE} \cdot \overline{AE'}} = \frac{(R+e)(R+e')}{(e-R)(e'-R)} < 0$, deoarece, în cazul din figură, $e < R \rightarrow (e - R) < 0$, restul parantezelor având valori pozitive.

Segmentele fiind orientate, ordinea punctelor A, B, C, D este esenţială în definirea raportului anarmonic $(A, B; C, D)$. Cu patru litere A, B, C, D se pot face $4! = 24$ permutări, ceea ce conduce la 24 de rapoarte anarmonice, din care, însă, numai şase au valori distincte.



Dacă $(A, B ; C, D) = k$ cele șase valori sunt: k ; $\frac{1}{k}$; $1 - k$; $\frac{1}{1-k}$; $\frac{k}{k-1}$; $\frac{k-1}{k}$.

Astfel, dacă punctele au coordonatele a, b, c, d , atunci **biraportul** are valoarea:

$$(A, B ; C, D) = \frac{(a-c).(b-d)}{(a-d).(b-c)}$$

În consecință, rezultă că **raportul a două funcții radiale excentrice de excentricități diferite (E și E')** este același și egal cu **raportul anarmonic** sau cu **biraportul (EE' ; AA')**.

Raportul **interior**, notat $(SS'A)$, în care punctul $A(R = 1, 0)$ împarte segmentul EE' este

$$(1) \quad (EE'A) = \lambda_i = \frac{\overline{EA}}{\overline{E'A}} = \frac{1-e}{1-e'} < 0$$

și raportul **exterior**, notat $(ES'A')$, în care punctul $A'(-R = -1, 0)$ împarte segmentul EE' este

$$(2) \quad (EE'A') = \lambda_e = \frac{\overline{EA'}}{\overline{E'A'}} = \frac{-(1+e)}{-(1+e')} > 0$$

iar **biraportul**, sau raportul **anarmonic**, este

$$(3) \quad (EE'AA') = \lambda = \lambda_i / \lambda_e = \frac{\overline{EA} \overline{EA'}}{\overline{E'A} \overline{E'A'}} = \frac{(1-e) \cdot -(1+e)}{-(e'-1) \cdot -(1+e')} = \frac{rex_1(0, E) \cdot rex_2(0, E)}{rex_2(\pi, E') \cdot rex_1(\pi, E')} < 0,$$

deoarece doar $rex_2(0, S) < 0$, restul **FSM-CE** radial excentrice fiind pozitive.

Sau, λ este raportul dintre **maximul** $rex_{1,2}(\pi, S)$ și **minimul** $rex_{1,2}(0, S)$ funcțiilor radial excentrice de variabila θ sau α și de cele două excentricități numerice $s = e/R < 1$ și $s' = e'/R > 1$, ținând cont de faptul că, pentru o excentricitate unghiulară $\varepsilon = 0$, **maximele** sunt date de prima determinare, de indice **1** și **minimele** de cea de a doua determinare, de indice **2**, ale acestor funcții, dacă excentrele S și S' sunt situate pe axa $x > 0$, ca în **figura 1**.

Deoarece, cele două determinări ale funcţiei $\text{Re}x_{1,2}$ de $s' > 1$ sunt ambele pozitive ($1 \rightarrow \alpha_1$ şi $2 \rightarrow \alpha_2$) şi, respectiv, ($\alpha_3 = \alpha_1 + 2\pi$, $\alpha_4 = \alpha_2 + 2\pi$, care sunt r_1 şi r_2 din **Figura 2** pentru $\theta' = \theta + \pi$) sunt ambele negative, iar cele două determinări pentru $s < 1$ sunt de semne contrare, rezultă că **raportul anarmonic** este negativ ($\lambda < 0$).

Se poate scrie

$$(4) \quad \lambda = (\mathbf{EE}' ; \mathbf{AA}') = \frac{r_1(0)}{r_2(0)} \bullet \frac{r_1'(0)}{r_2'(0)} = \frac{r_M}{r_m} \bullet \frac{r_M'}{r_m'} < 0$$

cu notaţiile din figură şi cu indicii inferiori simbolizând $\mathbf{M} \Rightarrow$ **maximum** şi $\mathbf{m} \Rightarrow$ **minimum FSM-CE** radiale excentrice şi, pentru $s' > 1$ sau $e > \mathbf{R}$, $r'(\pi)$ de indici 1 şi 2 au aceleaşi valori, dar de semne contrare, cu determinările 3 şi 4 ale funcţiei $r'(0)$, astfel că, dacă în (2) o singura funcţie este negativă, în (4) trei din cele patru funcţii sunt negative, semnul **(bi)raportului** rămânând negativ.

Dacă cele patru puncte au biraportul $\lambda = 1$, atunci ele sunt **conjugate armonic** şi cele patru puncte coliniare $\mathbf{E}, \mathbf{E}', \mathbf{A}, \mathbf{A}'$ sunt într-un **raport armonic**.

Dacă excentricităţile sunt inverse, una altelea, adică $s' = 1/s$, atunci, din (1) rezultă raportul $\lambda_1 = s$ şi din (4) $\lambda_2 = -s$, astfel că raportul $\lambda = \lambda_1 / \lambda_2 = -1$ şi cele patru puncte sunt **conjugate armonic**.

Se zice că \mathbf{EE}' este **medie armonică** a lui \mathbf{EA} şi \mathbf{EA}' .

Dacă raportul este **armonic**, atunci unghiul interior şi cel exterior din $\mathbf{W}_1 \equiv \mathbf{W}_i$ al triunghiului $\mathbf{EW}_i \mathbf{E}'$ sunt înjumătăţite de dreptele \mathbf{AW}_i şi, respectiv, $\mathbf{A}'\mathbf{W}_i$.

Se mai observă că, dacă punctele $\mathbf{W}_i \equiv \mathbf{W}_1 \equiv \mathbf{W}'_1$ sunt identice, în consecinţă, $\alpha_1 = \alpha'_1$, şi $\theta_1 \neq \theta'_1$.

Nu acelaşi lucru se întâmplă cu celalalte puncte, deoarece $\mathbf{W}_2 \neq \mathbf{W}'_2$. De aceea, relaţiile anterioare sunt valabile numai în punctul $\mathbf{W}_i \equiv \mathbf{W}_1 \equiv \mathbf{W}'_1$.

Dacă excentrele sunt simetrice faţă de originea \mathbf{O} , atunci $s = -s'$ şi rezultă

$$\lambda = (1 - s)^2 : (1 + s)^2 = (\mathbf{R} - e)^2 : (\mathbf{R} + e)^2$$

În final, poate fi enunţată următoarea teoremă:

2.3. TEOREMA REX

Raportul primelor determinări ale **FSM-CE** radial excentrice de aceeaşi variabilă (argument) centrică ($\alpha_1 = \alpha'_1$) şi de excentricităţi diferite s şi s' (sau e şi e' pe acelaşi cerc de rază \mathbf{R}) este egal cu **raportul anarmonic** (biraportul) λ , în care segmentul \mathbf{SS}' sau \mathbf{EE}' este împărţit de punctele \mathbf{A} şi \mathbf{A}' (pentru $\varepsilon = 0$):

$$(5) \quad \lambda = \frac{\text{Re}x(\alpha_1, s)}{\text{Re}x(\alpha_1, s')} = \frac{(1-s)(1+s')}{(1+s)(1-s')} = \frac{\text{rex}_1(0, s) \bullet \text{rex}_1(\pi, s')}{\text{rex}_2(0, s) \bullet \text{rex}_2(\pi, s')} = \frac{\text{rex}_1(0, s) \bullet \text{rex}_3(0, s')}{\text{rex}_2(0, s) \bullet \text{rex}_4(0, s')}$$

Ecuatia cercului, faţă de un pol \mathbf{E} [Lexicon Tehnic Român nr. 4, pag. 190], cu notaţiile din **figura 2**, în care polul are coordonatele $\mathbf{E}(e, \varepsilon)$ şi cercul $\mathbf{C}(\mathbf{R}, \mathbf{O})$ are raza \mathbf{R} şi originea în $\mathbf{O}(0,0)$, este

$$(6) \quad r^2 - 2r.e.\cos(\theta - \varepsilon) + e^2 - R^2 = 0, \text{ sau}$$

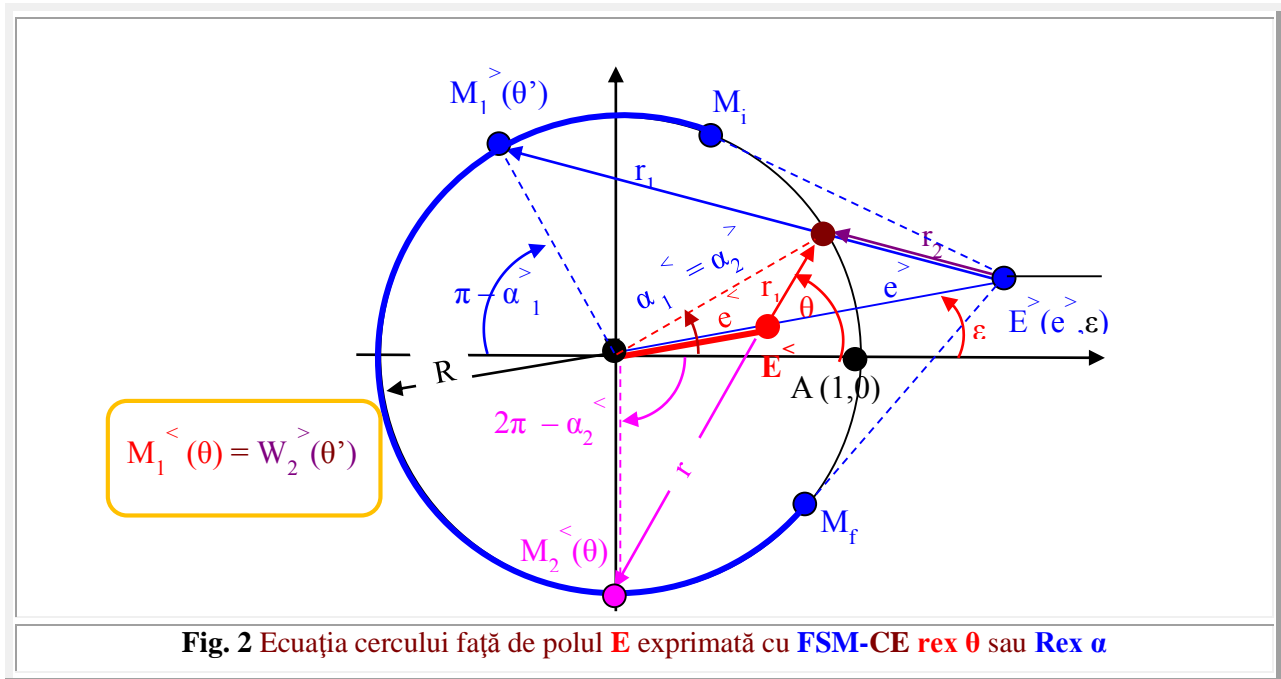
$$(7) \quad \left(\frac{r}{R}\right)^2 + 2\left(\frac{r}{R} \bullet \frac{e}{R}\right) \cdot \cos(\theta - \varepsilon) + \left(\frac{e}{R}\right)^2 - 1 = 0$$

o ecuaţie algebrică de gradul II, în care, notând $s = e/R$ şi $\text{rex}_{1,2}(\theta) = r_{1,2}/R$ rezultă rădăcinile / soluţiile ecuaţiei

$$(8) \quad \mathbf{r}_{1,2} = \text{rex}_{1,2}(\theta, s) = -s \cos(\theta - \varepsilon) \pm \sqrt{s^2 \cdot \cos^2(\theta - \varepsilon) - (s^2 - 1)} \quad \text{sau}$$

$$(9) \quad \mathbf{r}_{1,2} = \text{rex}_{1,2}(\theta, s) = -s \cos(\theta - \varepsilon) \pm \sqrt{1 - s^2 \cdot \sin^2(\theta - \varepsilon)}$$

şi se recunoaşte imediat expresia analitică invariantă a **FSM-CE** $\text{rex}_{1,2} \theta$.



Întotdeauna, semnul plus (+) este pentru prima determinare, *principală*, de indice 1, iar minus (-) pentru a doua determinare, *secundară*, de indice 2.

Se deduce că ambele determinări ale funcției **rex**_{1,2} θ descriu cercul **C** (**O**,**R**) și că, indiferent de poziția polului, în acest caz al excentrului **E**[<](**e**[<], θ) sau **E**[>](**e**[>], θ'), **FSM-CE** **rex** θ descriu cercul.

Observația este deosebit de importantă pentru *programarea roboților industriali* de sudare, în cazul sudării unui cordon circular, al cărui centru **O** se află la distanța **e** de centrul de rotație **E** al brațului robotului pe direcția ϵ . În plus, pentru $e > R$, se știe precis punctul **M**_i de început / inițial θ_i în care începe operația și punctul final θ_f în care încetează programarea cu **rex**₁ θ , care sunt punctele de tangență ale tangentelor din **E** la cercul **C** și din care începe programarea cu funcția **rex**₂ θ , parcurgând intervalul $\theta_i \dots \theta_f$ în același sens, sau revenind în **M**_i și parcurgându-l în sens invers (dextrorum), de la **M**_i spre **M**_f.

Din relația (6) mai rezultă că raza **R** a unui cerc **C** este

$$(10) \quad R = \pm \sqrt{r^2 + e^2 - 2er \cos(\theta - \epsilon)},$$

în care se recunoaște forma funcției **R** = **Rex** α _{1,2}.

Se deduce că, dacă în relația **FSM-CE** **Rex** α _{1,2} se înlocuiește variabila *centrică* α cu valoarea variabilei *excentrice* θ , în locul razei *excentrice* **r**, se obține raza *centrică* **R**, cu precizarea că, în timp ce, dacă **R** este o **constantă**, **r** este **variabilă**. Altfel spus, convertirea variabilelor conduce la convertirea razelor, pentru același **excentru real** **E**(**e**, ϵ), deoarece excentricitățile numerice diferă: în primul caz $s = e / R$ și în cel din urmă este $s' = e / r$.

Între variabilele centrice α _{1,2} și variabila centrică θ există următoarele dependențe.

În toate cazurile, independent de mărimea excentricității numerice **s**,

$$(11) \quad \theta = \alpha_{1,2} + \beta_{1,2},$$

ceea ce arată că, la θ = **constant**, α _{1,2} și β _{1,2} au variații de semn opus la creșterea excentricității **s** sau **e** și

$$(12) \quad \beta_1 + \beta_2 = \pi$$

din care rezultă

$$(13) \quad \alpha_{1,2} = \theta - \beta_{1,2}(\theta) = \begin{cases} \alpha_1(\theta) = \theta - \beta_1 = \theta - \arcsin[s \cdot \sin(\theta - \varepsilon)] \\ \alpha_2(\theta) = \theta - \beta_2 = \theta - (\pi - \beta_1) = -\pi + (\theta + \beta_1) \end{cases}$$

Relații se pot deduce, fără dificultate, din figurile ce conțin punctele $W_{1,2}$, ținând cont de sensul de creștere al unghiurilor $\beta_{1,2}$, formate de direcțiile $SW_{1,2}$ cu direcțiile $OW_{1,2}$ din punctele $W_{1,2}$, la creșterea excentricității numerice s și / sau reale e , pentru un unghi θ dat.

Astfel, pentru $e < R \Rightarrow s < 1$, ca și pentru $e > R \Rightarrow s > 1$, rezultă $\Rightarrow \beta_1 > 0$ și $\beta_2 > 0$, iar suma lor este constantă și egală cu π , oricare ar fi θ, s și ε .

În schimb, dacă pentru $s < 1$, o creștere a unghiului θ induce o creștere simultană a unghiurilor α_1 și α_2 , pentru $s > 1$, la creșterea lui θ , unghiul α_1 crește, iar unghiul α_2 scade, întrucât, prin definiție, W_1 a fost ales punctul care se rotește pe cercul unitate în același sens cu rotația dreptei excentrice d , turnantă în jurul lui E sau S , adică cu creșterea lui θ , iar W_2 este punctul care se rotește pe cerc în sens invers rotației dreptei d , deci α_2 scade, ceea ce rezultă și din relațiile (12) și (13).

3. DEMONSTRAREA UNOR TEOREME CU AJUTORUL FUNCȚIILOR SUPERMATEMATICE CIRCULARE EXCENTRICE (FSM-CE) RADIAL EXCENTRIC

3.1 TEOREMA LUI PITAGORA.

Se consideră un triunghi dreptunghic $E_P W \pi W_0 \equiv ABC$ înscris în cercul $C(R, O)$ din figura 3,a și un excentru $E_P(R, \varepsilon) \equiv A$ situat chiar pe cercul C , având, deci, excentricitatea numerică $s = e/R = 1$.

Laturile triunghiului b și c pot fi exprimate ca FSM-CE de variabile θ , dar aceste unghiuri sunt mai greu de precizat. De aceea, se utilizează *variabilele centrice* $\alpha_{1,2}$ care sunt zero și, respectiv π , astfel că, utilizând relația (4.47,[1],pag 120: $Rex_{\alpha_{1,2}} = \pm \sqrt{1 + s^2 - 2s \cos(\alpha_{1,2} - \varepsilon)}$), de definire a acestor funcții, rezultă, în final, expresiile laturilor b și c :

$$(14) \quad \begin{cases} b = AC \equiv E_P W_0 = r_1(0) = R \operatorname{Re} x(\alpha_1 = 0, s = 1, \varepsilon) = R\sqrt{2 - 2 \cos \varepsilon} \\ c = AB \equiv E_P W_\pi = r_1(\pi) = R \operatorname{Re} x(\alpha_1 = \pi, s = 1, \varepsilon) = R\sqrt{2 + 2 \cos \varepsilon} \end{cases}$$

Suma pătratelor acestora este $b^2 + c^2 = 4R^2$, adică tocmai a^2 , astfel că $a^2 = b^2 + c^2$, care reprezintă chiar expresia algebrică a **teoremei lui Pitagora**.

Se mai deduce că, nedepinzând de ε , punctul E_P poate ocupa orice poziție pe cercul C și, ne depinzând de R , mărimea triunghiului poate fi oricât de mare. S-ar parea ca aceste precizări ar fi de prisos, dar nu e chiar așa.

3.2 TEOREMA ÎNĂLȚIMII 1

Pentru demonstrarea ei, se alege un excentru $E_I(s, 0)$ pe axa x ($\Rightarrow \varepsilon = 0$). De această dată, vom folosi FSM-CE de variabila θ , deoarece valoarea pentru înălțimea h , perpendiculară pe ipotenuză, este ușor de dedus, pentru că este $\pi/2$, iar pentru celelalte două vârfuri ale triunghiului dreptunghic sunt 0 și respectiv π , fiind aceleași cu α_1 , întrucât în aceste puncte razele centrice și excentrice se suprapun, astfel că unghiurile β_1 sunt nule : $\beta_1(0) = \beta_1(\pi) = 0$. Utilizând relația (4.26,[1], pag. 111:

$$rex_{1,2}\theta = -s \cos(\theta - \varepsilon) \pm \sqrt{1 - s^2 \sin^2(\theta - \varepsilon)} \text{) rezultă}$$

$$h = E_I E_P = R \cdot rex(\pi/2, s, \varepsilon = 0) = R \cdot \sqrt{1 - s^2},$$

iar cele două segmente determinate de înălțimea h pe ipotenuză sunt

$$(15) \quad \begin{cases} r_1(0) = E_I W_0 = R \cdot rex_1(0, E_I) = R(-s + 1) \\ r_1(\pi) = E_I W_\pi = R \cdot rex_1(\pi, E_I) = R(s + 1) \end{cases} \quad \text{astfel că produsul lor este}$$

(16) $r(0) \bullet r(\pi) = R^2(1-s^2) = h^2$, adică, tocmai expresia algebrică a

3.3 TEOREMEI ÎNĂLŢIMII 2

Ea afirmă că, *într-un triunghi dreptunghic, înălţimea, corespunzătoare ipotenuzei, este medie între segmentele determinate de ea pe ipotenuză*. Adică, relaţia (18)

(16') $h^2 = R^2 \operatorname{rex}_1(0) \bullet \operatorname{rex}_2(0) = R^2 \operatorname{rex}_1(0) \bullet \operatorname{rex}_1(\pi) = R^2 \operatorname{rex}_1(\pi/2)$,

din care rezultă dependenţa dintre funcţiile rex de 0, $\pi/2$ şi π

(16'') $\operatorname{rex}_1(\pi/2) = \operatorname{rex}_1 0 \bullet \operatorname{rex}_1 \pi$,

relaţie ce va sta la baza unei metode hibride, de mare precizie, de determinare a unei relaţii de calcul oricât de exacte / precise (dorim), a integralei eliptice de prima speţă $K(k)$, prezentată în [9], ca şi în [1], [7], [8].

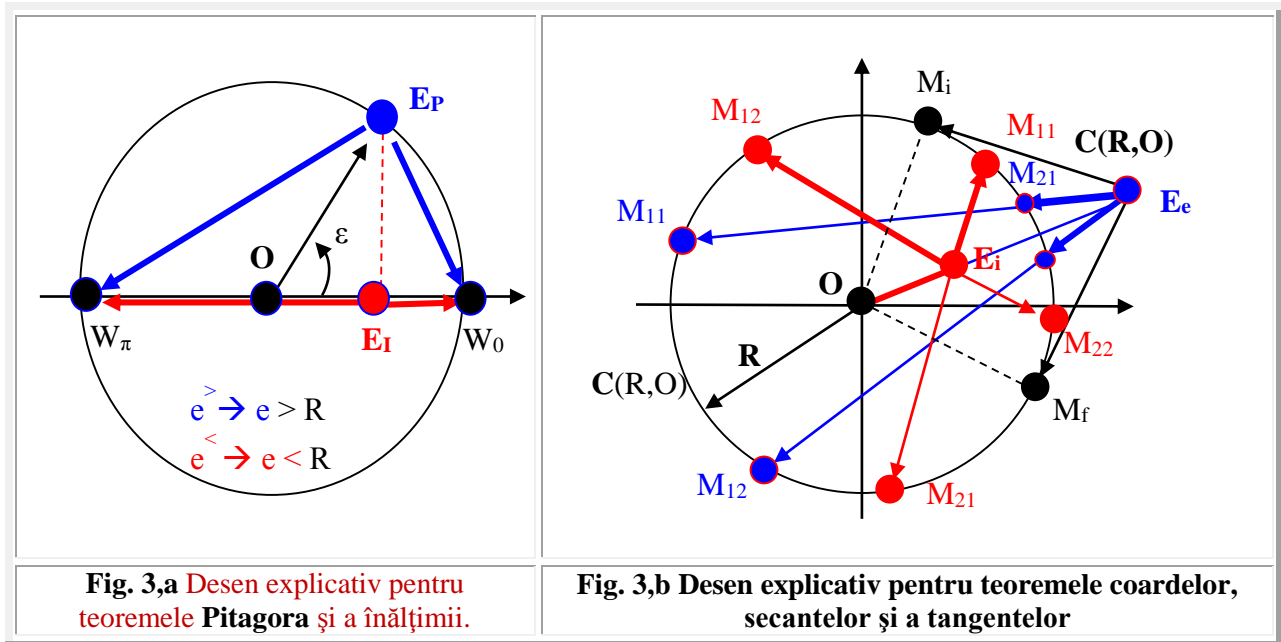


Fig. 3,a Desen explicativ pentru teoremele Pitagora și a înălțimii.

Fig. 3,b Desen explicativ pentru teoremele coardelor, secantelor și a tangentelor

3.4 TEOREMA CATETEI SAU TEOREMA LUI EUCLID

Această teoremă afirmă că, *într-un triunghi dreptunghic, o catetă este medie proporțională între ipotenuză și proiecția ei pe ipotenuză*. Ceea ce algebric, cu notațiile anterioare, se exprima astfel

(17)
$$\begin{cases} b^2 = a \bullet r(0) = 2R \bullet R(1-s) = 2R^2(1-s) \\ c^2 = a \bullet r(\pi) = 2R \bullet R(1+s) = 2R^2(1+s) \end{cases}$$

Ținând cont de faptul că

(18) $R \cdot \cos \epsilon = e = R \cdot s \Rightarrow \cos \epsilon = s$,

excentricitatea reală e corespunzătoare excentricității numerice s și raza R a cercului (v. Fig. 3.a), relațiile (9) devin

(19)
$$\begin{cases} b = R\sqrt{2(1-s)} \\ c = R\sqrt{2(1+s)} \end{cases} \text{ și } \begin{cases} b^2 = 2R^2(1-s) \\ c^2 = 2R^2(1+s) \end{cases}$$

astfel că teorema este demonstrată (QED).

3.5 SINTEZA / UNIFICAREA TEOREMELOR COARDELOR, SECANTELOR ŞI A TANGENTELOR

În figura 3.b sunt schiţate o pereche de **coarde** ($M_{11}M_{21}$ şi $M_{12}M_{22}$). Pentru $s < 1$ sau $e < R$, punctul comun E_i , interior cercului $C(R, O)$, le secţionează, pe fiecare, în două.

Alte două **secante** (E_eW_{11} şi E_eW_{12}), sunt reprezentate pentru $s > 1$ sau $e > R$ precum şi două tangente (E_eW_i şi E_eW_f) în punctele W_i şi în punctul W_f duse din excentrul E_e , evident, exterior cercului $C(R, O)$.

Relaţiile (4.39) din [7]

$$\text{rex}_1\theta \cdot \text{rex}_2\theta = \begin{cases} k^2 < 0 \leftrightarrow s < 1 \leftrightarrow e < R \Rightarrow \text{TEOREMA COARDELOR} \\ k^2 = 0 \leftrightarrow s = 1 \leftrightarrow e = R \Rightarrow \text{TEOREMA INALŢIMILOR } \text{ş. a.} \\ k^2 > 0 \leftrightarrow s > 1 \leftrightarrow e > R \Rightarrow \text{TEOREMA SECANTELOR} \end{cases}$$

exprimă produsul celor două determinări (principală 1 şi secundară 2) dintre două funcţii radial excentrice, produs independent de unghiul θ .

Prima relaţie din [7] (4.39), pentru $s < 1$ şi două poziţii θ şi θ' ale dreptei d , exprimă tocmai

3.6 TEOREMA COARDELOR

Care afirmă că "*Produsul segmentelor în care se taie două coarde este constant*".

Acum se poate merge mai departe şi se poate determina valoarea acestei constante, considerând segmentele ca segmente orientate (cu semn).

Produsul segmentelor (r_{11} şi r_{21} pentru prima coardă şi r_{12} şi r_{22} pentru cea de a doua coardă) în care sunt împărţite două coarde oarecare, de punctul lor de intersecţie (E_i), este constant şi egal cu diferenţa pătratelor razei vectoare şi a punctului de intersecţie (e) şi raza cercului R , adică

$$(20) \quad r_{11} \cdot r_{21} = r_{12} \cdot r_{22} = e^2 - R^2 < 0 \text{ sau } \text{rex}_1\theta \cdot \text{rex}_2\theta = \text{rex}_1\theta' \cdot \text{rex}_2\theta' = (s^2 - 1)$$

În ultima relaţie s-a simplificat cu R^2 .

A treia relaţie din [7](4.39), pentru $s > 1$ şi două poziţii distincte (θ şi θ') ale dreptei d^+ exprimă tocmai

3.7 TEOREMA SECANTELOR

"*Produsul segmentelor a două secante, care se intersectează, este constant*".

Sau, după N.N.Mihaileanu [COMPLEMENTE DE GEOMETRIE SINTETICA, EDP, BUC. 1965, PAG.24] "*O secantă mobilă, dusă dintr-un punct E, taie un cerc în punctele M₁ şi M₂. Produsul EM₁•EM₂ este constant*".

Şi în acest caz, se poate merge mai departe, determinând valoarea acestui produs care este dat de a treia relaţie [7](4.39), deoarece $s > 1$ sau $e > R$. Deoarece, ambele puncte de intersecţie sunt pe aceeaşi semidreaptă, produsul lor este pozitiv şi egal cu

$$(21) \quad r_{11} \cdot r_{21} = r_{12} \cdot r_{22} = e^2 - R^2 > 0 \text{ sau } \text{rex}_1\theta \cdot \text{rex}_2\theta = \text{rex}_1\theta' \cdot \text{rex}_2\theta' = (s^2 - 1)$$

Aceaşi relaţie din [7] (4.39), dar pentru $\theta = \theta_i$ şi dreapta de unghi θ' care intersectează cercul în două puncte distincte, exprimă

3.8 TEOREMA SECANTĂ-TANGENTĂ

(“KLEINE ENZYKLOPÄDIE. MATHEMATIK.” Ed. Enciclopedica Leipzig, pag. 205)

"*Oricare tangentă, dusă dintr-un punct la un cerc, este medie proporţională cu segmentele unei secante dusă din acelaşi punct ($t^2 = a \cdot b$)*".

Acum se poate afirma că această medie proporţională este pozitivă şi are valoarea $e^2 - R^2$, în care R este raza cercului şi e distanţa de la centrul O al cercului la punctul din care se duce tangenta şi secanta, adică E_e .

În fine, tot din a treia relaţie [7](4.39) dar pentru $\theta = \theta_i$ şi $\theta = \theta_f$, rezultă

3.9 TEOREMA TANGENTELOR

Care afirma că *"Cele două tangente duse dintr-un punct la cerc sunt de lungimi egale"*.

Acum se poate adauga că, lungimea acestor tangente este $t^2 = e^2 - R^2$, în care, deşi se poate deduce, R este raza cercului şi e distanţa de la punctul, din care s-au dus cele doua tangente (E_e), la centrul O al cercului, adică

$$(22) \quad t_i = t_f = t \text{ şi } t^2 = e^2 - R^2$$

Astfel, prin una şi aceeaşi **teoremă, a produselor celor două determinari ale funcției REX**, sunt **condensate / concentrate sau unificate** 4 teoreme şi, mai important, toate aceste teoreme sunt **complete cu expresii cantitative care dau valoarea egalităților enunțate în cele 4 teoreme**.

Dacă cele două determinări ale funcției radial excentric **rex** sau **Rex** se iau în valoare absolută, adică nu se ține seama de sensul / semnul determinarilor pe dreapta **d**, atunci, atât pentru $s < 1$ cât şi pentru $s > 1$, expresia produsului este aceeaşi şi egală cu $\text{Abs}[1-s^2]$, deoarece $\text{Abs}[e^2 - R^2] = R^2 \bullet \text{Abs}[s^2 - 1]$ şi, evident, valoarea este întotdeauna pozitivă.

4. PUTEREA PUNCTULUI FAŢĂ DE CERC

Se va nota constanta pozitivă cu p^2 , ea fiind denumită **puterea punctului $E(e,\varepsilon)$** în raport cu cercul $C(R,O)$

$$(23) \quad p^2 = e^2 - R^2.$$

Axa determinată de punctele O şi E , adică de centrul O şi excentrul E , este denumită **axă centrală**, deoarece împarte coarda $W_i W_f$ în părți egale [MICA ENCICLOPEDIIE MATEMATICĂ (MEM), Ed, Enciclopedică, Buc. pag. 207].

5. INVERSIUNE DE CENTRU DAT

Rezultă că inversul cercului C , în inversiunea de centru (de inversiune) sau pol E şi de raport sau modul k şi putere de inversiune $k^2 = e^2 - R^2$, este cercul însuşi şi că M_1 şi M_2 sunt inverse unul altuia.

O inversiune de centru (pol) E şi de modul k se noteaza i_E^k sau $I(E, k)$ sau se poate scrie că M_2 este inversul punctului M_1 , în inversiunea dată, adică $M_2 = I(M_1)$.

Proprietatea de **idempotență** a unei inversiuni I arată că $I(I(M)) = M, \forall M \in E^2$, adică, inversul inversului unui punct M este punctul însuşi.

Dacă $k > 0$ sau $e > R$, atunci se poate alege $E(e, \varepsilon)$, drept centru al cercului $C_i(E, R_i)$ - de raza $R_i = k = \sqrt{e^2 - R^2}$, egală cu lungimea tangentei din $E(e, \varepsilon)$, la cercul $C(O, R)$.

În acest fel, toate punctele acestui cerc coincid cu transformatele lor, deoarece, puterea de inversiune k^2 este aceeaşi cu puterea $p^2(E)$ a punctului E faţă de cercul $C_1(E, R_i)$ şi, ca urmare, modulul de homotetie $k = 1$, -vezi relația (4.42.[1].pag.118:

$$rex_{1,2}\theta - rex_{2,1}\theta = \pm 2\sqrt{1 - s^2 \sin^2(\theta - \varepsilon)} = 2.\text{del}_{1,2}\theta).$$

Astfel că punctele acestui cerc rămân fixe în inversiunea dată. Acest cerc poarta denumirea de **cerc de inversiune** sau **cerc fundamental**.

Două puncte inverse sunt conjugate în raport cu cercul de inversiune şi sunt situate pe acelaşi diametru al cercului. Cercul de inversiune este **invariant**, punct cu punct, în inversiunea $I(E, k)$.

Se deduce că, cercul de inversiune este locul geometric al punctelor care coincid cu inversele lor.

El este un cerc cu centrul în polul $E(e, \varepsilon)$ al inversiunii şi de rază $R' = k = \sqrt{e^2 - R^2} = R \cdot \sqrt{s^2 - 1} = p(E)$, adică este cercul $C_i[E(e, \varepsilon), R' = k]$.

Modulul de inversiune k şi $p^2(E)$ - puterea punctului / **excentrului E** faţă de cercul $C(O, R)$, are dimensiunea lungimii [L] şi se exprimă în aceleaşi unități de lungime în care se exprimă şi segmentele

figurii şi are expresia $p^2(\mathbf{E}) = \overrightarrow{EM_1} \bullet \overrightarrow{EM_2} = e^2 - R^2$, în care M_1 şi M_2 sunt punctele de intersecţie ale unei secante, duse prin \mathbf{E} , cu cercul $C(O,R)$.

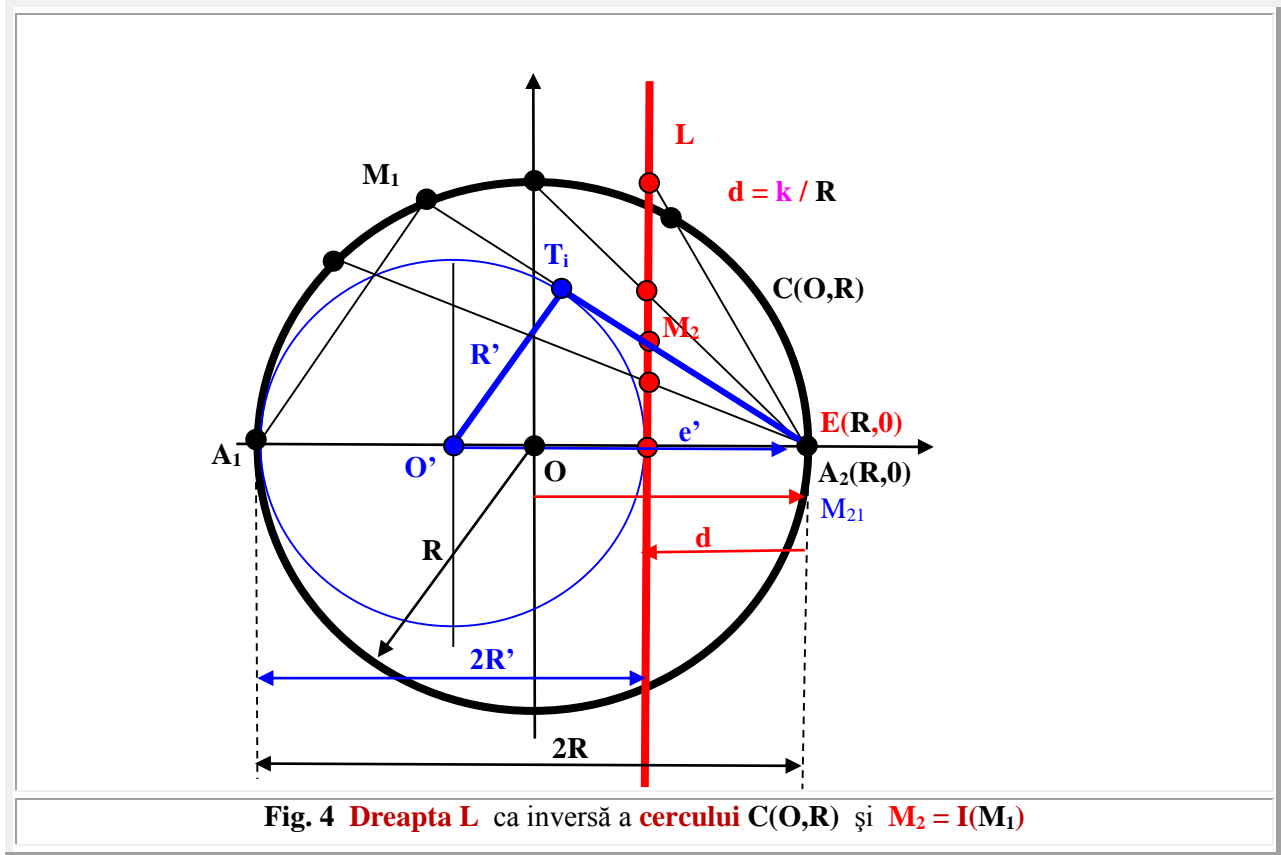


Fig. 4 Dreapta L ca inversă a cercului $C(O,R)$ şi $M_2 = I(M_1)$

Putem presupune, întotdeauna, punctele M_1 şi M_2 de aceeaşi parte a centrului (de inversiune) \mathbf{E} , deoarece cealaltă situaţie ($e < R$), revine la precedenta, printr-o simetrie de centru \mathbf{E} , aplicată punctului M_2 , de exemplu.

Fie o a doua secantă, dusă din \mathbf{E} , care intersectează acelaşi cerc C în punctele N_1 şi N_2 , astfel că

$$(24) \quad EM_1 \bullet EM_2 = EN_1 \bullet EN_2 = k^2,$$

care arată că triunghiurile EM_1N_1 şi EM_2N_2 , cu un unghi comun (din \mathbf{E}) şi două perechi de laturi proporţionale sunt asemenea, de unde rezulta egalitatea unghiurilor

$$(25) \quad \angle EN_1M_1 = \angle EM_2N_2,$$

care arată că patrulaterul $M_1N_1N_2M_2$, cu unghiurile opuse din M_2 şi din N_1 suplementare este inscriptibil, ceea ce este evident.

Rezultă că două perechi de puncte omoloage într-o inversiune sunt **conciclice**.

O dreaptă mobilă din \mathbf{E} este tangentă la cercul C în punctele T_i şi T_f , în care cele două puncte foste secante sunt confundate $M_1 \equiv M_2$. Deoarece

$$(26) \quad ET_i^2 = ET_f^2 = e^2 - R^2 = k^2,$$

rezultă semnificaţia geometrică a modulului de inversiune k , ca fiind tocmai lungimea tangentei, adică a segmentului $ET_{i,f}$.

$T_{i,f}$ sunt punctele de tangenta din \mathbf{E} la cercul de raza R , echivalentele punctelor de tangenta din \mathbf{S} la cercul de raza $R = 1$, iar $M_{1,2} \subset C(R,O)$ sunt echivalentele punctelor $W_{1,2} \subset C_1(R = 1,O)$.

În timp ce punctele M_1 și N_1 parcurg arcul $T_i T_f$ în sens sinistrorum / levogin, punctele M_2 și N_2 îl parcurg în sens dextrorum / dextrogin.

Dacă E este situat pe cerc, atunci $EM_2 = EN_2 = 0$ și în E se confundă și punctele de tangenta $T_{i,f}$, tangentele confundându-se (în una singură, tangenta în E la cercul C).

În acest caz, dacă dreapta d se rotește în jurul excentrului E (cu $e = R$ sau $s = 1$), de la $\theta = \pi/2$ la $\theta = 3\pi/2$, numai punctul M_1 , aparținând semidreptei d^+ , care se confundă cu tangenta EM_i , intersectează cercul C și descrie complet cercul C , în timp ce punctul M_2 staționează în E .

În continuarea rotației dreptei d , de la $\theta = 3\pi/2$ la $\theta = 2\pi$, numai semidreapta negativă d^- , care se confundă cu tangenta EM_f , intersectează cercul, într-un punct mobil M_2 , care va parcurge o rotație completă pe cercul C , în timp ce punctul M_1 va staționa în E , apoi situațiile se repetă.

Aceste observații sunt deosebit de importante, pentru înțelegerea comportării FSM-CE, în condițiile particulare, ale excentricității numerice $s = \pm 1$.

Dacă excentrul E se află pe cerc [$E \in C(R, O) \Rightarrow s = 1$], lungimea tangentei este nulă ($k = 0$, $e = R$), astfel că $EM_1 \bullet EM_2 = 0$ și, în timp ce M_1 parcurge integral cercul C , M_2 staționează în E , o semiperioadă, apoi staționează M_1 în E o semiperioadă și M_2 parcurge integral cercul C .

Dacă punctul $M_{1,2}$ parcurge o linie L (coarda $M_1 M_2$ de exemplu), locul geometric al punctelor $N_{1,2}$ va fi linia L' , inversa liniei L . Inversa unei secante (raze) dusă prin E este secanta însăși.

Dacă polul $E \equiv O$, coincide cu centrul cercului $C(O, R)$, atunci $e = 0$ și $p^2(O) = -R^2$ astfel că inversiunea I_0^k invariază punct cu punct cercul $C(O, R)$ și transforma interiorul lui (discul circular) în exteriorul lui și exteriorul cercului C în interiorul lui.

Inversiunea de pol $E \equiv O$ și de modul k este o transformare a planului Π , prin care, fiecărui punct $M_1 \in \Pi - \{O\}$ din plan i se asociază punctul M_2 de pe dreapta $OM_1 \equiv EM_1$ astfel încât $EM_1 \bullet EM_2 = OM_1 \bullet OM_2 = k$, iar polului O i se asociază însăși punctul O . Punctul O fiind un punct invariant al inversiunii I_0^k , rezultă că toate dreptele care trec prin $E \equiv O$ sunt invariante în inversiunea I_0^k .

Dacă punctul M_1 aparține unui cerc $C(O, R)$, atunci punctul invers M_2 va fi diametral opus, adică $R \cdot \text{rex}_1(\theta = \alpha, s = 0) = -R \cdot \text{rex}_2(\theta = \alpha, s = 0)$, astfel că $OM_1 \bullet OM_2 = k^2 = -R^2$.

Transformatul prin inversiunea i_E^k de putere k^2 a unui cerc C , care trece prin polul E (Fig. 4.), dacă $E \in C(O, R)$ aparține cercului $C(O, R)$, sau $e = R$ și $s = 1$, este o dreapta L perpendiculară pe diametrul cercului dus prin E .

În cele ce urmează, se va indica și poziția (d) dreptei L , în raport cu cercul de centru O și raza R ca și puterea de inversiune k , considerate ca date / cunoscute.

Alegând cercul $C(O, R)$ și $E(R, O) \in C(O, R)$ rezultă că inversul lui C este dreapta L care trece la distanța $d = e' - R'$ de E și este perpendiculară pe OE . Știind că lungimea tangentei ET este k , rezultă sistemul de ecuații

$$\begin{cases} k = \sqrt{e'^2 - R'^2} \\ e' + r' = 2R \end{cases}$$

din care, fără dificultate, rezultă că dreapta L se află la distanța

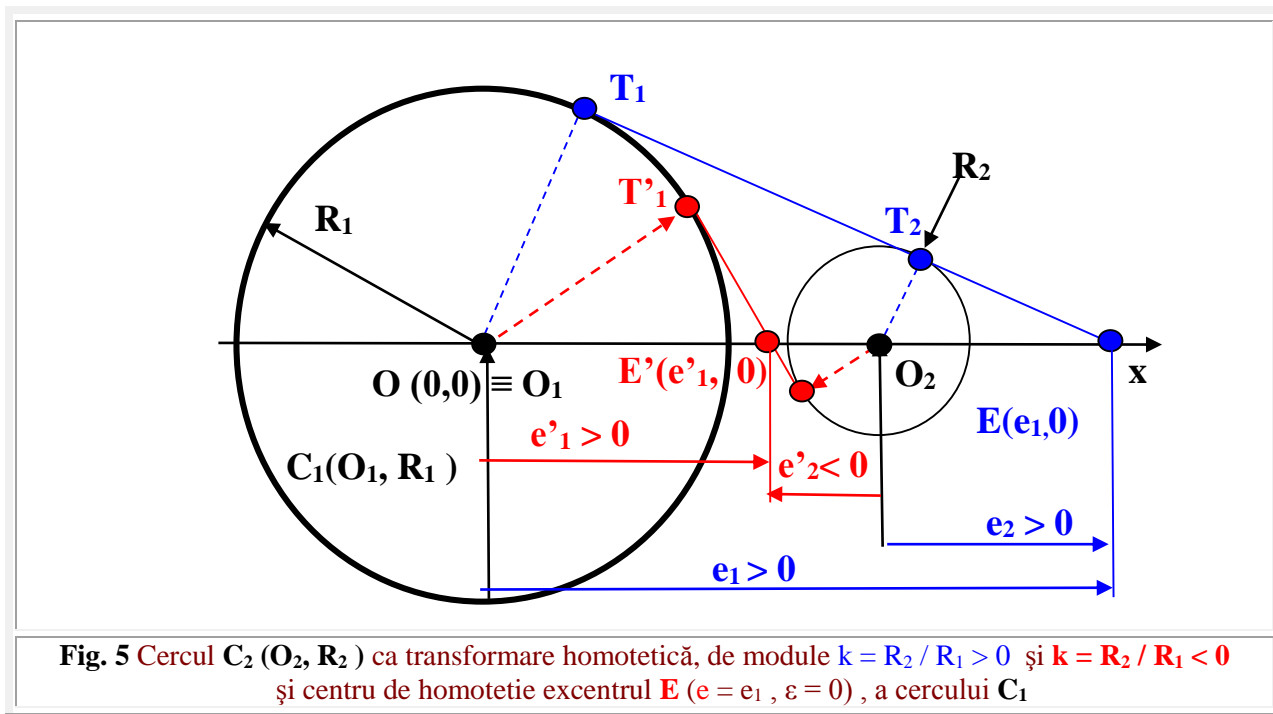
$$(28) \quad d = \frac{k^2}{2R}$$

de excentrul E , care a fost ales drept centru / pol de inversiune de raport / modul k . Rezultă că, pentru $k = 1 \Rightarrow d = 1 / R$ și dreapta L se afla la o distanță egală cu inversul razei R a cercului $C(O, R)$.

Dacă și $R = 1$, atunci și $d = 1$ și L trece prin centrul O al cercului C . Pentru $R = 0 \Rightarrow$ un cerc C , de dimensiune 0, plasat în $O(0,0)$ și pol $E(e, \varepsilon)$ puterea de inversiune este $k^2 = p^2(E) = e^2$.

Dacă și polul, sau centrul de inversiune E , se suprapune cu centrul O și, inversele acestor puncte, în inversiunea de putere diferită de zero ($k \neq 0$), se află aruncate pe o dreapta la infinit !.

E deosebit de interesant, că o infinitate de puncte, M_{1i} suprapuse unele peste altele în acelaşi loc $[E \equiv O(0,0)]$, deoarece $R = 0$, din spaţiu plan E^2 , au inversele lor M_{2i} distribuite pe o dreaptă de la infinit, așa cum rezultă din relaţia (24), astfel că distanţele dintre ele, iniţial 0 ($\|M_{1i}M_{1j}\| = 0$), devin infinite ($\|M_{2i}M_{2j}\| = \infty$).



Se deduce că, transformarea prin inversiunea de putere k^2 a unei drepte, ce nu trece prin polul de inversiune, sau, mai precis, care trece la distanța d de polul E de inversiune, este un cerc care trece prin centrul E de inversiune și are raza R , obținută din relația (24)

$$(29) \quad R = k / d$$

Transformarea prin inversiunea de putere k^2 a unui cerc $C(O,R)$, care nu trece prin centrul / polul E de inversiune, este un cerc $C'(O',R')$ care nu trece, nici el, prin polul de inversiune.

Să încercăm să determinăm poziția și mărimea cercului inversat C' .

Există două inversiuni în plan, una de putere $p^2(E) > 0$ pozitivă și una de putere $p^2(E') < 0$ negativă, având polurile în E și, respectiv, în E' , care transformă un cerc în celălalt.

Polii E și E' corespund intersecțiilor tangențelor exterioare și, respectiv, interioare la cele două cercuri.

Considerând cercul C_2 ca transformatul prin homotetia de modul k a cercului C_1 , atunci, pentru $k > 0$ se obține o asemănare de **genul unu** și pentru $k < 0$ o asemănare de **genul doi**.

O asemănare $A_k : \Pi \rightarrow \Pi$ se numește de **genul unu** dacă A_k **păstrează orientarea** oricărui triunghi din planul Π . Dacă A_k **schimba orientarea** oricărui triunghi din planul Π , atunci asemănarea este de **genul doi**. Homotetia, de centru E , este de genul unu, iar cea de centru E' este de genul doi.

Dacă cercurile C_1 și C_2 sunt **congruente**, atunci există o singură homotetie ($H_E^{k=-1}$) care transformă cercul C_1 în C_2 ; homotetie de modul $k = -1$ și de centru E' , astfel că $R_2 = R_1$ și $e'_1 = O_1E' \cdot \text{rad}0 = e = -e'_2/2 = O_2E' \cdot \text{rad}\pi$.

Dacă cercurile C_1 și C_2 sunt **concentrice**, atunci, de asemenea, există o singură homotetie $H^{k_{O1}} \equiv H^{k_{O2}}$ modulul k fiind egal cu raportul razelor $k = R_2 / R_1$.

Două cercuri **tangente**, interior sau exterior, sunt homotetice în raport cu punctul lor de tangență.

Dacă sunt tangente interioare, în excentrul **E**, atunci $k > 0$, pentru că cele două cercuri sunt la fel orientate: au aceeași origine $W(0)$ și punctele M_{11} și M_{21} se rotesc pe cerc în același sens (trigonometric) și pe aceleași semicercuri ale celor două cercuri, în timp ce, punctele M_{21} și M_{22} stăionează în **E**.

Dacă cercurile sunt tangente exterior, atunci $k < 0$ și punctele $M_{12} \subset C_2$ și $M_{21} \subset C_1$ se rotesc pe semicercuri diferite, primul pe semicercul superior al cercului C_2 cu $y_2 > 0$, iar al doilea pe semicercul inferior al cercului C_1 cu $y_1 < 0$, ceea ce arată o schimbare a orientării.

Se mai știe că, dacă $|k| < 1$, asemănarea figurilor conduce la o reducere a dimensiunilor figurii, rezultate prin transformarea homotetică respectivă și la o majorare a dimensiunilor, dacă $|k| > 1$, știind că $EM' = k \cdot EM$, M' fiind transformatul prin homotetia H_E^k al lui M .

La putere pozitivă, punctele M_1 și $M_2 = I_E(M_1)$ se află pe aceeași semidreaptă, dusă prin **E**(**e**, ε), astfel că rezultă $k^2 = r_1 \bullet r_2 = R^2 \cdot \text{rex}_1\theta \bullet \text{rex}_2\theta = e^2 - R^2 > 0$, de unde mai rezultă că cele două cercuri se află cu centrele de aceeași parte a excentrului **E**, iar dacă cele două puncte M_1 și $M_2 = I_E(M_1)$ se situează pe semidrepte diferite, atunci, de exemplu $r_1 = R \cdot \text{rex}_1\theta > 0$ și $r_2 = R \cdot \text{rex}_2\theta < 0$, astfel că cele două cercuri se află de o parte și de cealaltă a excentrului **E'**.

6 APLICAȚIE

*Se consideră cercul $C(O_1, R_1)$ și inversiunea I_E^k cunoscute, adică coordonatele punctelor polul **E**(**e**, ε) și centrul cercului $O_1(0,0)$, precum și raza R_1 a acestuia ca date, urmând să se determine centrul $O_2(c, \varepsilon)$ al cercului transformat precum și raza acestuia R_2 .*

Evident că O_1, O_2 și **E** sunt pe aceeași dreaptă (axa centrelor), înclinată cu $\varepsilon = 0$, în **figura 5**, față de axa x, pentru că tangentele la cele două cercuri se intersectează pe axa centrelor.

Se mai știe că două cercuri, care nu sunt concentrice și nici congruente, se pot transforma unul în celălalt prin două homotetii, una de centru **E** și alta de centru **E'**; cele două homotetii sunt H_E^k și $H_{E'}^{-k}$ având modulele de semne diferite.

Dacă $k^2 > 0$, O_2 se află între O_1 și **E** și din **E** sunt două tangente exterioare comune la cele două cercuri, astfel că, din cele două triunghiuri dreptunghice asemenea $\Delta E T_1 O_1$ și $\Delta E T_2 O_2$, cu unghiurile drepte în T_1 și T_2 , rezultă proportionalitatea laturilor și o primă constatare :

$$(30) \quad \frac{O_1 T_1}{O_1 E} = \frac{O_2 T_2}{O_2 E} = \sin \theta_e \Rightarrow \frac{e_1}{R_1} = \frac{e_2}{R_2} = \frac{1}{\sin \theta_e} \Leftrightarrow s_1 = s_2$$

și anume, că **excentricitățile numerice** ale lui **E**, față de cele două cercuri, sunt aceleași, chiar dacă excentricitățile reale e_1 și e_2 sunt diferite.

Deoarece, cercul C_2 este transformatul prin homotetia de modul k a cercului C_1 și presupunând $R_1 > R_2$, rezultă proportionalitatea razelor cercurilor C_1 și C_2 și a distanțelor de la centrele cercurilor la centrul **E** de homotetie, care sunt tocmai **excentricitățile reale**, ambele pozitive $e_1 = O_1 E$ și $e_2 = O_2 E$, deoarece centrele O_1 și O_2 se află de aceeași parte (stânga, de exemplu) a excentrului **E**(**e**,0)

$$(31) \quad k = \frac{R_1}{R_2} > 1 \quad \text{și} \quad k = \frac{\|EO_1\|}{\|EO_2\|} = k = \frac{R_1}{R_2}$$

Rezultă imediat că

$$(32) \quad R_2 = R_1 / k \quad \text{și} \quad R_2 < R_1, \text{ iar } e_2 = \frac{R_2}{R_1} e_1 = \frac{e_1}{k} < e_1, \text{ ceea ce arată că cercul } C_2 \text{ se află între } E \text{ și } O_1.$$

Dacă $k < 0$, centrul de homotetie $E'(e_1', 0)$ este plasat între centrele celor două cercuri și relațiile anterioare se păstrează, cu observația că la o rază R_1 orientată în direcția $+\alpha$ rezultă o rază R_2 orientată în sens invers, adică pe aceeași direcție dar în sens invers ($\alpha + \pi$).

Dacă excentricităţile numerice s_1 şi s_2 sunt aceleaşi, atunci toate valorile **FSM-CE**, definite pe cele două cercuri C_1 şi C_2 , sunt de asemenea egale, adică $\mathbf{rex}_{1,2}(\theta, s_1) = \mathbf{rex}_{1,2}(\theta, s_2)$, precum şi $\alpha_{1,2}(\theta, s_1) = \alpha_{1,2}(\theta, s_2)$, astfel că şi $\mathbf{Rex}[\alpha_{1,2}(\theta, s_1), s_1] = \mathbf{Rex}[\alpha_{1,2}(\theta, s_2), s_2]$.

Deoarece

$$(33) \quad s \cdot \sin \alpha = r_1 \cdot \sin \beta = \mathbf{rex}_1 \theta \cdot \sin \beta, \text{ din care, } \sin \beta = \frac{e}{r_1} \sin \alpha, \text{ astfel că}$$

$$(34) \quad \mathbf{del}_1 \theta = \sqrt{1 - e^2 \sin^2 \theta} = \sqrt{1 - \frac{e^2}{r_1^2} \sin^2 \alpha} = \sqrt{1 - e^2 \left(\frac{\sin \alpha}{\mathbf{rex}_1 \theta}\right)^2}$$

rezultă că funcţiile radial excentric pot fi exprimate şi de raportul funcţiilor sinus, atât centrice ($\mathbf{sin} \alpha$) cât şi excentrice ($\mathbf{sex} \theta$), ţinând cont că $\mathbf{sin} \alpha_{1,2} = \mathbf{sex}_{1,2} \theta$, unde s-a considerat excentrul plasat pe axa x, adică pentru $\varepsilon = 0$. Aşadar

$$(35) \quad \mathbf{rex}_{1,2} \theta = \frac{\sin \alpha_{1,2}}{\sin \theta} = \frac{\mathbf{sex}_{1,2} \theta}{\sin \theta}.$$

În final, se mai poate arata că, ţinând cont de o **SM** din care rezultă

$$(36) \quad \mathbf{rex}_{1,2} \theta = \cos \beta \cdot \mathbf{dex}_{1,2} \theta = \frac{d\theta}{du} \cdot \mathbf{dex}_{1,2} \theta \quad \text{şi, în care, prin definiţie,}$$

$$(37) \quad \mathbf{dex}_{1,2} \theta = \mathbf{d} \alpha_{1,2} / \mathbf{d} \theta,$$

astfel că se obţin expresiile funcţiilor radial excentric sub forma raportului unor infiniţi mici

$$(38) \quad \mathbf{rex}_{1,2} \theta = \mathbf{Rex} \alpha_{1,2} = \frac{d\alpha_{1,2}}{du}$$

7. PROBLEMA RACORDĂRII A DOUĂ CERCURI

7.1 CÂND SE CUNOAŞTE UN PUNCT DE RACORDARE T_1

În literatura de specialitate, ea este prezentată în felul următor. Problema are o infinitate de soluţii.

Prima, de rază minimă de racordare, corespunde centrul O_7 al arcului / cercului de racordare cu centrul O_7 situat pe linia O_1O_2 a centrelor celor două cercuri date C' şi C'' din **figura 6, b** şi tangent celor două cercuri.

Ultima posibilitate, a unui cerc, de rază maximă, infinită, adică o dreaptă, corespunde tangentei exterioare la cele două cercuri date, care este o problemă cunoscută.

Cele două soluţii extreme, amintite anterior, sunt prezentate cu **verde** în **figura 6, b**.

Dacă nu se fac referiri la **racordări**, ci la **cercuri tangente**, atunci există **4 familii** de cercuri soluţie, fiecare cu o infinitate de soluţii cu privire la cercuri tangente la cele două cercuri:

- 1) **Două familii**, din care fac parte cercurile C_1 şi C_2 , tangente în exterior, de-o parte şi de alta a liniei centrelor $O'O''$ şi de raze variabile $R_1 \in [R_{7m}, R_{7M} \rightarrow \infty]$, iar $R_2 \in [R_{8m}, R_{8M} \rightarrow \infty]$, dar şi C_7 şi C_8 , cu centrele O_7 şi, respectiv, O_8 , la limită, pe linia centrelor $O'O''$, de raze egale cu

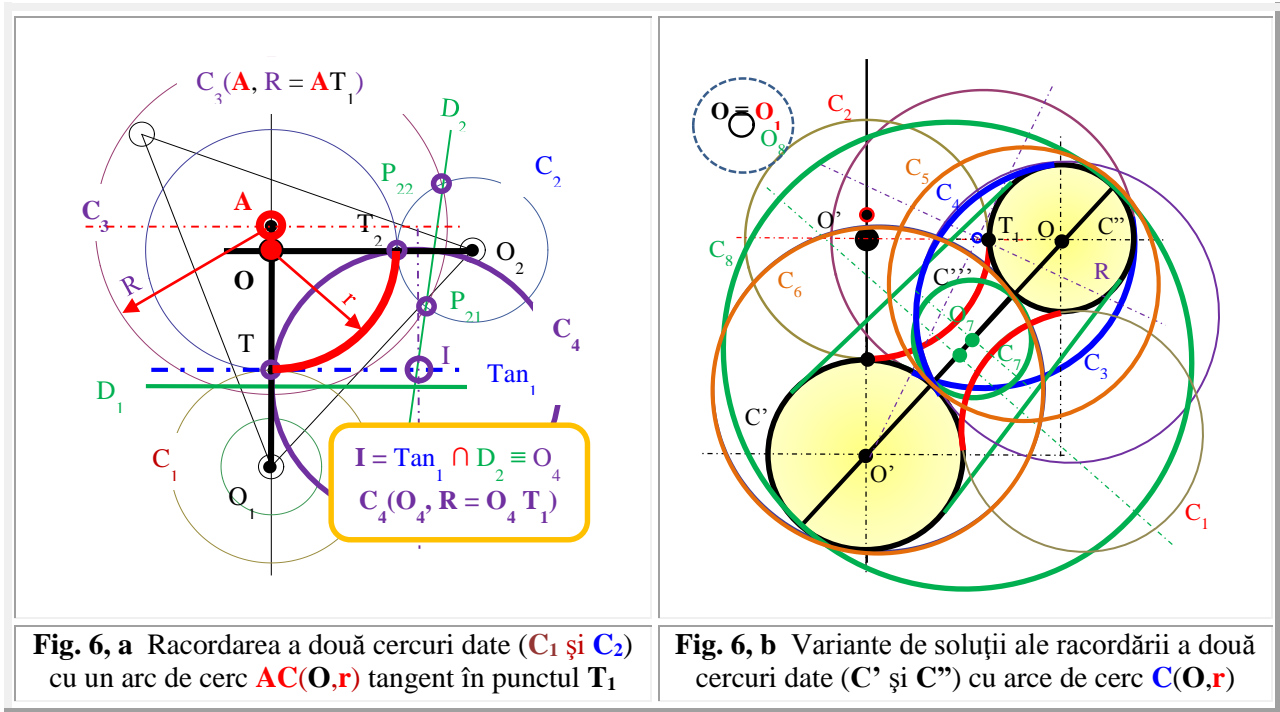
$$(39) \quad R_{7,8m} = \frac{O'O'' \pm (R_1 + R_2)}{2}.$$

Pentru $R_{1,2} \rightarrow \infty$, cercurile C_1 şi C_2 degenerază în dreptele **tangente exterioare** la cele două cercuri.

- 2) Două familii de cercuri, din care fac parte cercurile C_3, C_4 , tangente combinat la cele două cercuri date, au razele cuprinse în domeniul $R_3 [R_{3m}; R_{3M} \rightarrow \infty]$, $R_4 [R_{4m}, R_{4M} \rightarrow \infty]$, în care, razele minime sunt ale cercului C_6 şi sunt

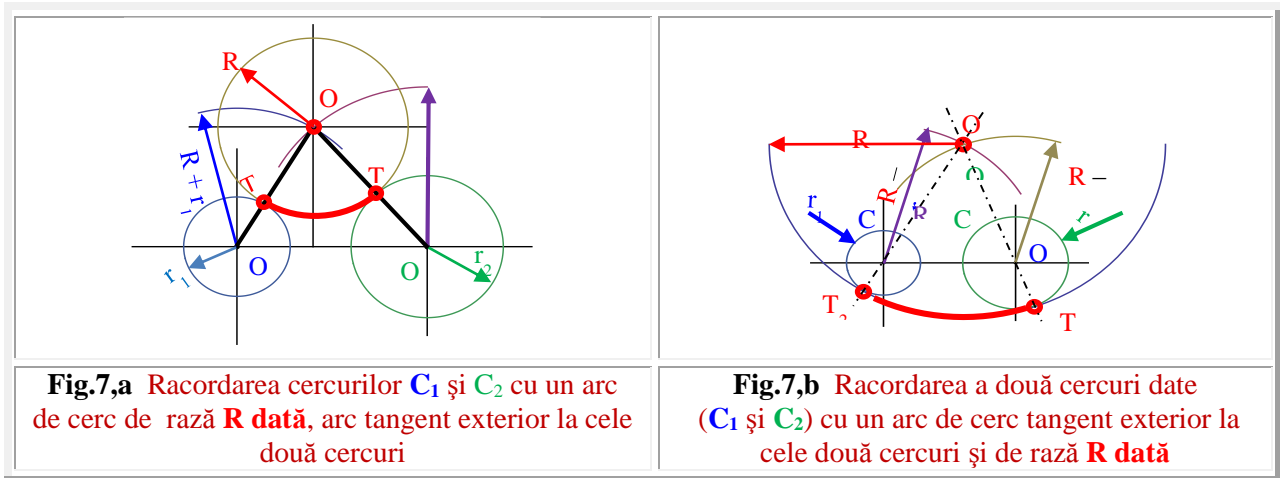
(40) $R_{3,4m} = \frac{O_1O'' \pm (R_1 - R'')}{2}$,

iar cele maxime tind spre infinit, $R_{34M} \rightarrow \infty$, astfel că, cercurile degenerază în două tangente interioare la cele două cercuri date, tangente care se intersectează, după cum este cunoscut, în interiorul liniei centrelor.



Cercurile C'_3, C'_4 , ne prezentate în **figura 6, b**, care au ca cerc de rază minimă cercul C_5 , iar pentru raza lor maximă infinită degenerază și ele în două tangente interioare la cele două cercuri date.

- 3) Acestea 4 tipuri de familii de cercuri. Cercuri tangente de aceeași parte, ambele puncte de tangență în exteriorul cercului soluție 1 $\rightarrow (C_1, C_2, C_7)$, sau ambele în interiorul cercului soluție 2 $\rightarrow (C_8)$ și combinat, în interior cu C' și în exterior cu C'' 3 $\rightarrow (C_3, C_6)$ și invers 4 $\rightarrow (C'_3 C_5)$.



Dacă unuia dintre cele două cercuri li se impune un punct de racordare T_1 , atunci numărul de soluții ale problemei scade considerabil, fiind / rămânând doar **4** soluții, dintre care una este prezentată în **figura 6, a**. Iar dacă se impun două puncte de tangență, câte unul pe fiecare cerc, evident, atunci soluția este unică.

7.2 CÂND SE CUNOAȘTE RAZA R A ARCULUI DE RACORDARE TANGENT EXTERIOR LA CELE DOUĂ CERCURI DATE

Fie $C_1(O_1, r_1)$ și $C_2(O_2, r_2)$ cele două cercuri date de racordat și R raza arcului /cercului cu care se racordează, cerc tangent exterior la cele două cercuri date (**Fig. 7,a**).

Din O_1 și din O_2 se duc două arce de cerc, de raze egale cu sumele $R + r_1$ și, respectiv, $R + r_2$. La intersecția lor se află centrul cercului / arcului căutat $O(x_0, y_0)$. Soluția este evidentă, deoarece, distanțele OO_1 și OO_2 sunt tocmai sumele razelor cercurilor tangente în punctele T_1 și, respectiv, T_2 .

7.3 CÂND SE CUNOAȘTE RAZA R A ARCULUI DE RACORDARE TANGENT INTERIOR LA CELE DOUĂ CERCURI DATE

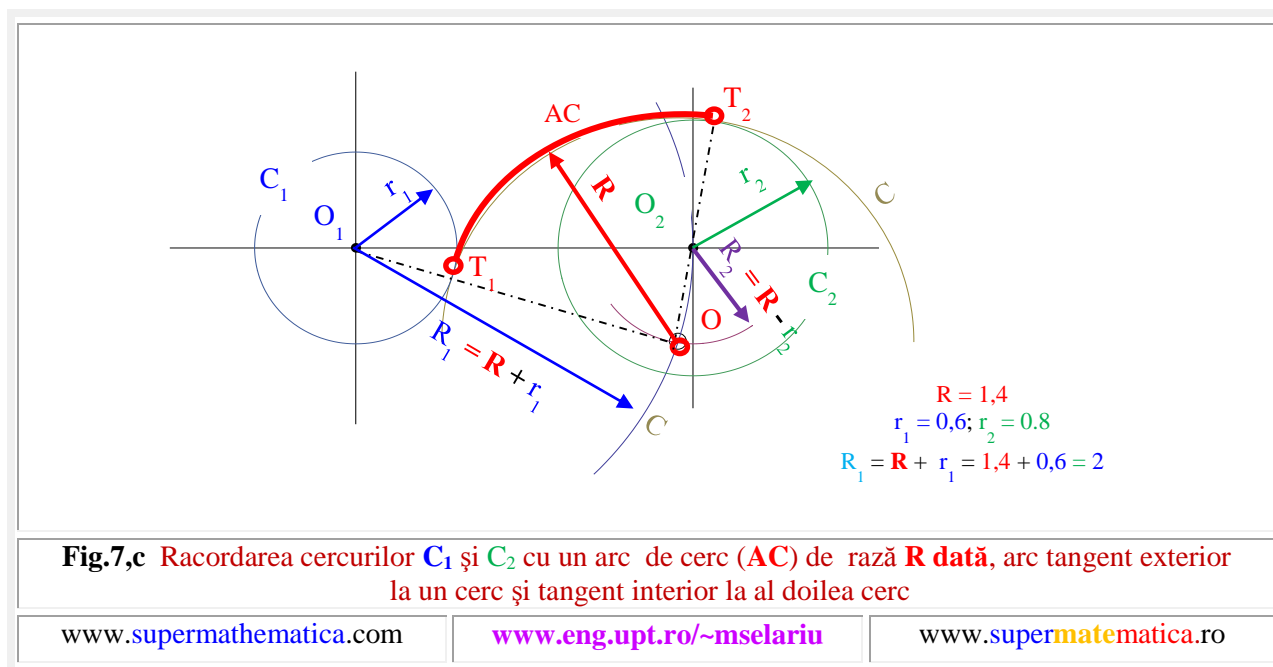
Soluția este asemănătoare cazului precedent, cu deosebirea că arcurile de cerc sunt egale cu diferența razelor, adică $R - r_1$ și, respectiv, $R - r_2$ (**Fig. 7, b**), din aceleași motive:

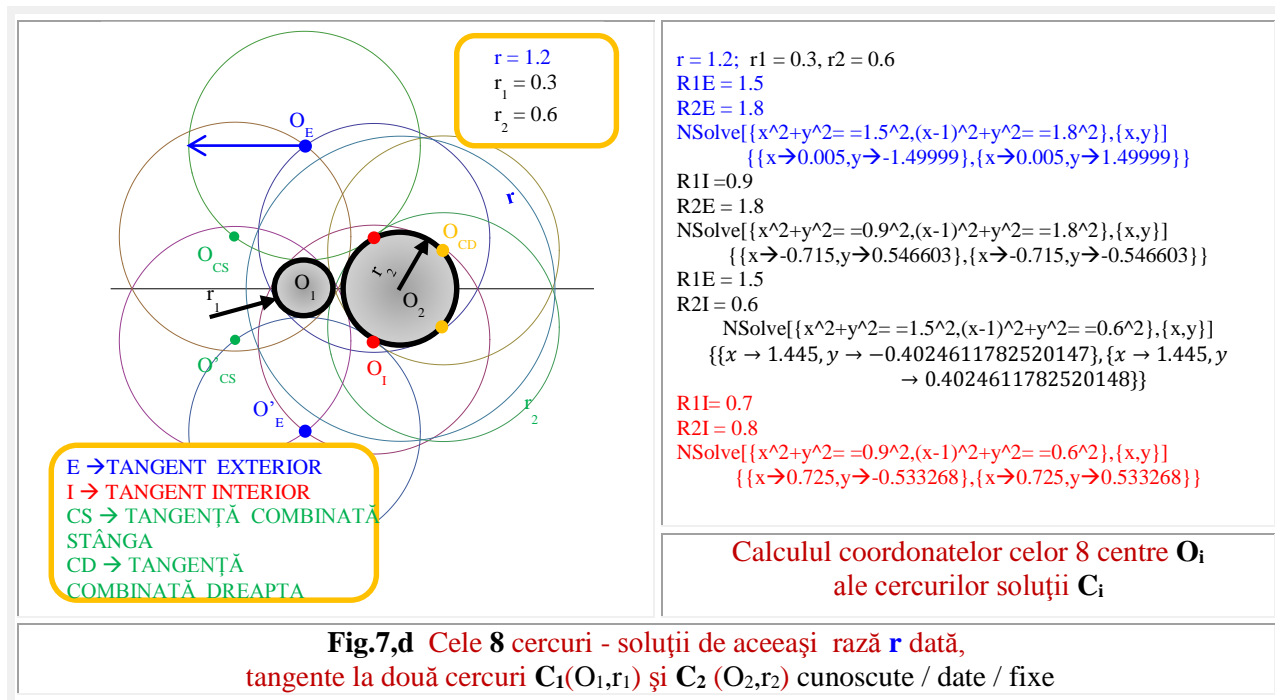
$$OT_1 = R - r_1 \text{ și } OT_2 = R - r_2.$$

7.4 CÂND SE CUNOAȘTE RAZA R A ARCULUI DE RACORDARE TANGENT INTERIOR LA UN CERC ȘI TANGENT EXTERIOR LA AL DOILEA CERC.

Soluția, facil de determinat, reprezintă o combinație a celor două cazuri anterior tratate.

Din O_1 (**Fig. 7,c**) se duce arcul de cerc $R_1 = R + r_1$, deoarece în T_1 cercurile sunt dorite a fi tangente exterioare, iar din O_2 se duce arcul de rază $R_2 = R - r_2$, deoarece în T_2 cercul căutat este tangent interior la cercul C_2 dat.





La intersecția celor două arce de cerc se află centrul cercului C și centrul arcului de cerc AC căutat. Pentru tangenta interioară la R_1 și tangenta exterioară la R_2 , arcele de cerc vor fi $R'_1 = R - r_1$ și $R'_2 = R + r_2$. Dacă nu se face referire la un arc de racordare, ci la un cerc tangent celor două cercuri date, atunci exista 8 soluții, prezentate în figura 7,d. Dintre acestea, câte două soluții, simetrice față de axa x , sunt pentru cercurile tangente interior și, respectiv exterior la cele două cercuri date.

Combinățiile anterioare de cerc tangent interior la unul dintre cercuri și exterior la celălalt, are 4 soluții de indici $S \rightarrow$ stânga și $D \rightarrow$ dreapta, ambele simetrice și ele față de axa Ox , determinată de centrele O_1 și O_2 ale celor două cercuri date. Determinarea centrelor cercurilor tangente în cele 8 soluții / cazuri au fost realizate ca intersecție a arcelor de cerc $R_{1E} = r + r_1$ cu $R_{2E} = r + r_2$; $R_{1I} = r - r_1$ cu $R_{2I} = r - r_2$; și a celorlalte combinații, intersecții soluționate cu programul MATHEMATICA 8 a lui Stephan Wolfram și prezentat în dreapta figurii 7,d.

8. CERC TANGENT LA DOUĂ CERURI DATE ȘI TRECÂND PRINTR-UN PUNCT EXTERIOR A

Această operație matematică, realizată prin diverse transformări matematice în plan, este un pas hotărâtor spre soluționarea problemei lui Apollonius, de *determinare a cercurilor tangente la 3 cercuri date*. Odată rezolvată aceasta problemă 8, pasul următor, și ultim, este extrem de simplu, de a trasa cercuri concentrice cu cele anterior obținute.

Transformările geometrice T pot fi închipuite ca un plan Π , materializat printr-o placă plană rigidă, peste care s-a suprapus o folie rigidă sau una elastică transparente. Oricărui punct M , marcat pe placa rigidă, din planul Π , îi corespunde, sau este marcat, și pe folia transparentă.

Orice mișcare dată foliei **rigide**, în raport cu placa rigidă, este o *transformare geometrică TG* denumită **izometrie** (isos \rightarrow "egal", morphe \rightarrow "formă"), adică, *care păstrează forma și dimensiunile* entităților geometrice ale plăcii cât și ale foliei rigide, *nu și poziția lor relativă*. Astfel, se disting :

- **Translația T**, dacă mișcarea foliei rigide este singulară, paralelă cu placa rigidă (Π), pe o direcție, sens și mărime date de vectorul de translație \vec{t} ;
- **Rotația R**, față de un centru (de rotație) O și cu un unghi orientat $\angle (aOb)$, dacă mișcarea foliei rigide este singulară și dacă folia rigidă se rotește într-un plan paralel cu placa rigidă (Π), față de punct fix O a placii rigide;
- **Roto-translația R-T**, obținută prin două mișcări ale foliei rigide: de translație cu vectorul \vec{t} , urmată de o rotație în jurul centrului O cu unghiul orientat $\angle (aOb)$, sau întâi rotația și apoi translația;
- **Oglindirea sau simetria față de o axă** (de simetrie X sau Y sau o dreaptă d oarecare din Π), când folia se rotește față de o dreaptă d' , paralelă cu dreapta d dată și apoi este reaşezată peste placa rigidă (Π). Altfel / altminteri folia lovește placa rigidă !
- **Simetria față de un punct** sau centru de simetrie, când se realizează două rotații ale foliei rigide, față de două axe reciproc perpendiculare, care sunt concurente în centrul de simetrie: una poate fi axa Ox , iar a doua axa Oy , caz în care, originea $O(0,0)$ este / devine centrul de simetrie.

Rezultă că orice **izometrie T** transformă în planul Π :

- Un segment $[MN]$ într-un segment $[M'N']$ de aceeași lungime ;
- O semidreaptă $[Ox]$ într-o semidreaptă $[O'x]$;
- O dreapta d într-o dreaptă d' ;
- Un semiplan $[S]$ într-un semiplan $[S']$.

Orice **izometrie TI** a planului Π este o **transformare injectivă**, deoarece $TI(M) = TI(N)$

$\Rightarrow M = N$ și o **transformare surjectivă**, deoarece $\forall Y \in \Pi \exists X \in \Pi \rightarrow TI(X) = Y$

Deoarece o **izometrie TI** este **bijecție**, se poate pune în evidență transformarea TI^{-1} , numită inversa transformării TI , caracterizată prin $TI(M) = M' \Leftrightarrow TI^{-1}(M') = M$

Înainte de a denumi prima transformare geometrică de alt gen, suntem datori să justificăm de ce utilizăm denumirea veche și aproape universală de **homotetie** (*homothetic*, *homothétique*, *homothetisch* în limbile engleză, franceză și germană) și de **hiperbolă**, **hiperboloid** și nu cele caraghioase de **omotetie**, **iperbolă**, **iperboloid** ș.m.a.

Există un popor slav, care deși are în alfabet litera $H \rightarrow X$ vorbește de **Ghitler**, de **gomotetie** \rightarrow **ГОМОТЕТІЯ** (MATEMATICESKII ENȚICLOPEDIKESKII SLOVARI, Moskva, SOVETSKAIA ENȚICLOPEDIA, 1988, pag. 160), și multe altele de acest gen. Și un alt popor, care este de părere că ”**capul plecat sabia nu-l taie**” și mergând cu el așa (**cu capul**) încă de pe vremea principatelor, cei cu sabia, au uitat să mai privească măcar înainte, dacă în sus li se părea prea mult. Unora. Și au acceptat, nu chiar toți, ci cei docili, să-și modifice limba lor latină, moștenită / lăsată de la moși-strămoși, ca să pară că-i o limbă slavă și să facă pe placul ”**fratelui cel mare și tare de la răsărit**”. Așa a dispărut î din a (â), q, w și au apărut fel de fel de noutăți caraghioase printre care și **omotetia**, **iperbola**, **iperboloidul**, ș.m.a., chiar prea multe, **cuasi** (DICTIONAR POLIGLOT DE MATEMATICA, MECANICA SI ASTRONOMIE, Ed.Tehnică , Buc. 1978) sau **cvasi** (DOOM, 2005), dar s-a păstrat **Watt**. Mă uit cu uimire în minunatele cărți ale lui **Nicolae N. Mihăileanu**, pentru care am o stimă deosebită, în care **omotetia** este notată cu **H**. **Am înțeles foarte clar aluzia** și n-am vrut să rămân la ”iluzie”. E totuși ”ceva”, mai mult decât ”nimicul” întreprins de Academia României după..După ce ? După **loviluție** !

Pentru alte tipuri de transformări geometrice care nu mai păstrează mărimea figurilor geomtrice, și care interesează în mod deosebit în lucrarea de față, trebuie utilizată **folia super-elastică**, sau, mai precis, cu elasticitate controlată.

Transformările geometrice care reclamă o folie **super-elastică** sunt :

- **Homotetia** de centru sau pol O și de modul sau raport k , număr real, notată H_O^k , care se obține când folia **supe-elastică** se fixeaza de placa rigidă într-un punctul O , cu un ac, apoi folia se dilată uniform, dacă $k > 0$. Dacă $k < 0$, folia se contractă uniform, după care folia astfel contractată suferă o simetrie față de punctul / centrul O .

Pentru $k = 1$ **homotetia** devine și ea o transformare **izometrică identică**, iar pentru $k = -1$ se interpretează **simetria față de un punct** ca **homotetie**. Într-o transformare **homotetică** de centru O , un punct oarecare M și transformatul acestuia $M' = H_0^k(M)$ sunt puncte coliniare și, în plus,

$$k = \frac{OM'}{OM}, \text{ sau } OM' = k \cdot OM.$$

• **Inversiunea** de pol / centru de inversiune O și putere / modul de inversiune $k \cdot u^2 \neq 0$, în care u este unitatea de măsură a lungimilor, este o transformare **I** ce asociază fiecărui punct $M \neq O$ punctul $M' = I(M)$ cu proprietatea $OM \cdot OM' = k \cdot u^2$, ce include și coliniaritatea punctelor M , O și M' .

Există o serie de **proprietăți** ale inversiunii care interesază în continuare. Acestea sunt :

P1) O dreaptă care trece prin centrul de inversiune O se transformă în ea însăși, iar un plan, care trece prin centrul de inversiune O se transformă în el însuși ;

P2) Produsul a două **inversiuni** de același centru O este o **homotetie** de centru O și de modul egal cu raportul modulelor celor două inversiuni ;

P3) O dreaptă **d** care **nu trece** prin **centrul O** se transformă, printr-o inversiune dată, într-un cerc care **trece** prin centrul de inversiune O și are raza $R = \frac{|k|}{2 \cdot OA}$, în care A este proiecția centrului O de inversiune pe dreapta **d**, sau piciorul perpendicularei coborâtă din O pe dreapta **d**;

P4) Reciproc, un cerc care **trece** prin centrul de inversiune O se transformă, printr-o inversiune dată, într-o dreaptă perpendiculară pe diametrul care **trece** prin centrul de inversiune O ;

P5) În planul Π există o inversiune care transformă un cerc $C(\Omega, r)$, care **nu trece** prin centrul de inversiune O în el însuși. Această inversiune, notată **I₁**, are modulul ρ egal cu puterea centrului O față de cerc; $\rho = \sqrt{d^2 - r^2}$, adică, cu lungimea tangentei dusă din O la cercul $C(\Omega, r)$, în care **d** este distanța de la O la centrul Ω al cercului C , iar **r** este raza acestui cerc.

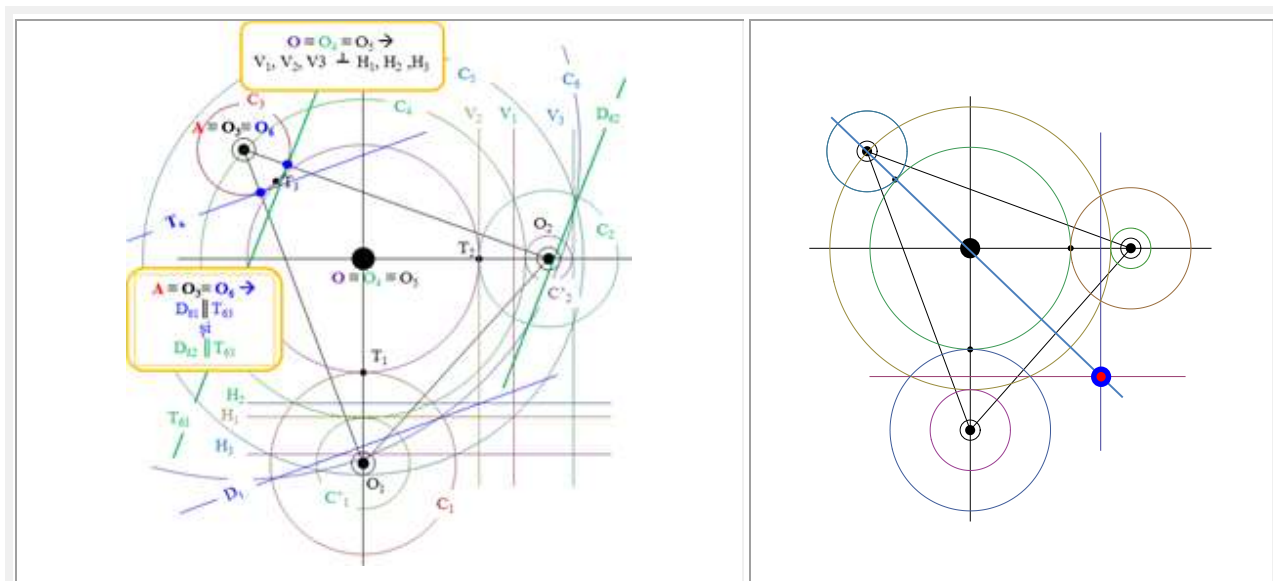


Fig. 8,a Cerc tangent exterior în spațiul interior al celor trei cercuri date.
Paralelismul coardelor și al tangentelor

Fig. 8,b Cerc tangent exterior în spațiul interior al celor trei cercuri date.
Punctul **I** de intersecție al coardelor.

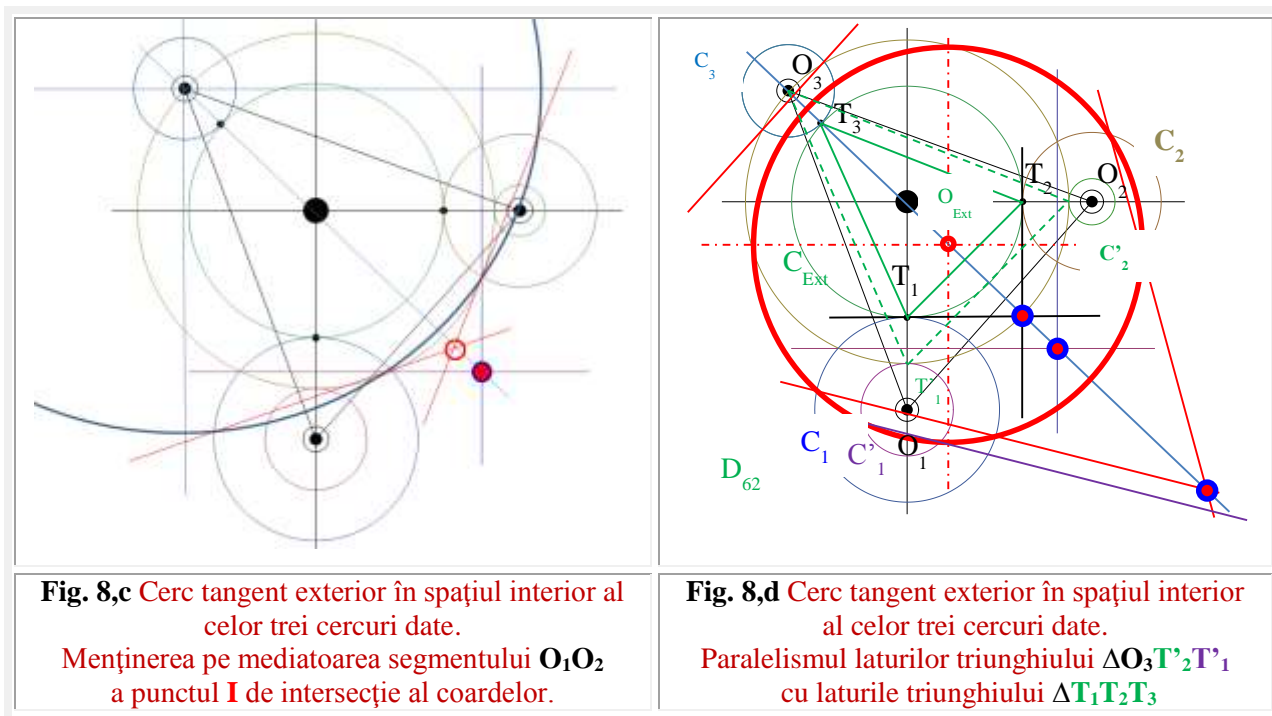


Fig. 8,c Cerc tangent exterior în spațiul interior al celor trei cercuri date.
Menținerea pe mediatoarea segmentului O_1O_2 a punctul I de intersecție al coardelor.

Fig. 8,d Cerc tangent exterior în spațiul interior al celor trei cercuri date.
Paralelismul laturilor triunghiului $\Delta O_3T_2T_1$ cu laturile triunghiului $\Delta T_1T_2T_3$

P6) În planul Π , un cerc C , care nu trece prin centrul de inversiune, se transformă prin inversiunea I , de centru O și modul k , într-un cerc C' . Centrele celor două cercuri sunt transformate prin homotetia de centru O și modul $\frac{k}{\rho}$;

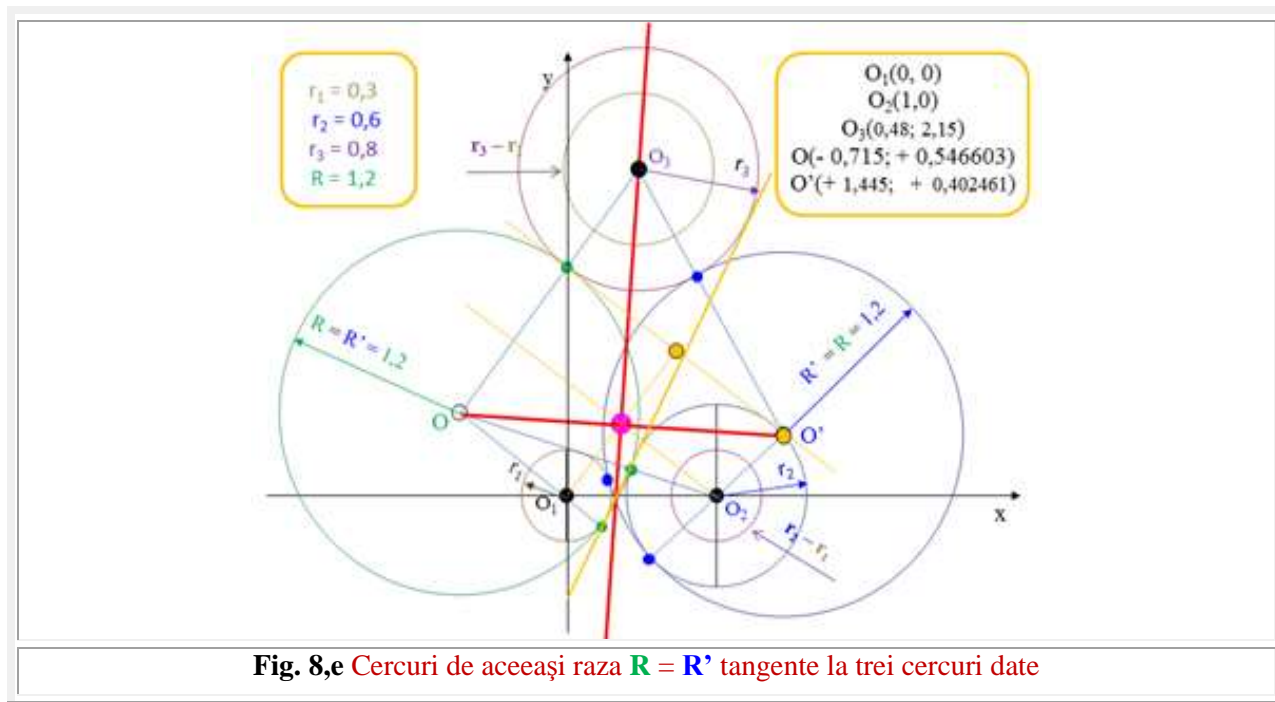
P7) Unghiul a două curbe se pastrează prin inversiune;
Vor fi folosite în continuare, în ordine, proprietățile **P5)**, **P4)** și **P6)**.

Cazul 9.1 PUNCTUL EXTERIOR ESTE $A \equiv O$, ESTE CENTRUL CERCULUI LUI Apollonius din Perga $C(O,R)$, CERC TANGENT LA TREI CERCURI DATE (C_1, C_2, C_3)

Cele două cercuri date sunt C_1 și C_2 , iar punctul exterior ales “arbitrar”, în primul caz, este $A \equiv O_3 \equiv O_6$. Un cerc intersecțiază un alt cerc în două puncte P_1 și P_2 . Dacă cercurile sunt tangente, atunci punctul de tangență T este un **punct dedublat**, adică $P_{1,2} \rightarrow T$ în T sunt, deci, două puncte suprapuse, așa cum se afirmă și în [12].

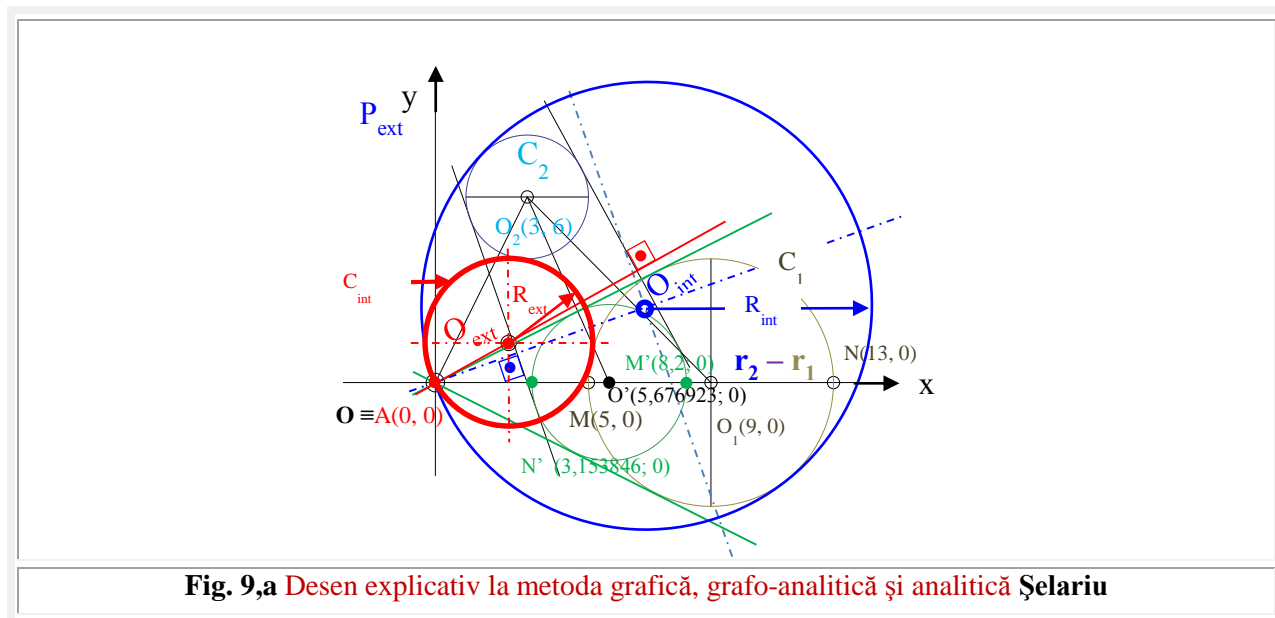
Cele două puncte de intersecție a două cercuri determină o dreaptă secantă a acestora. Un alt cerc, de raza diferită, dar de același centru, va intersecta același cerc, evident, în alte două puncte care, la rândul lor vor determina o a doua secantă, care va fi paralela cu prima, **dacă** centrele celor două cercuri sânt în coincidență, cazuri ilustrate în **figurile 8,a** prin liniile secante paralele $H_1 \parallel H_2 \parallel H_3$ și $V_1 \parallel V_2 \parallel V_3$.

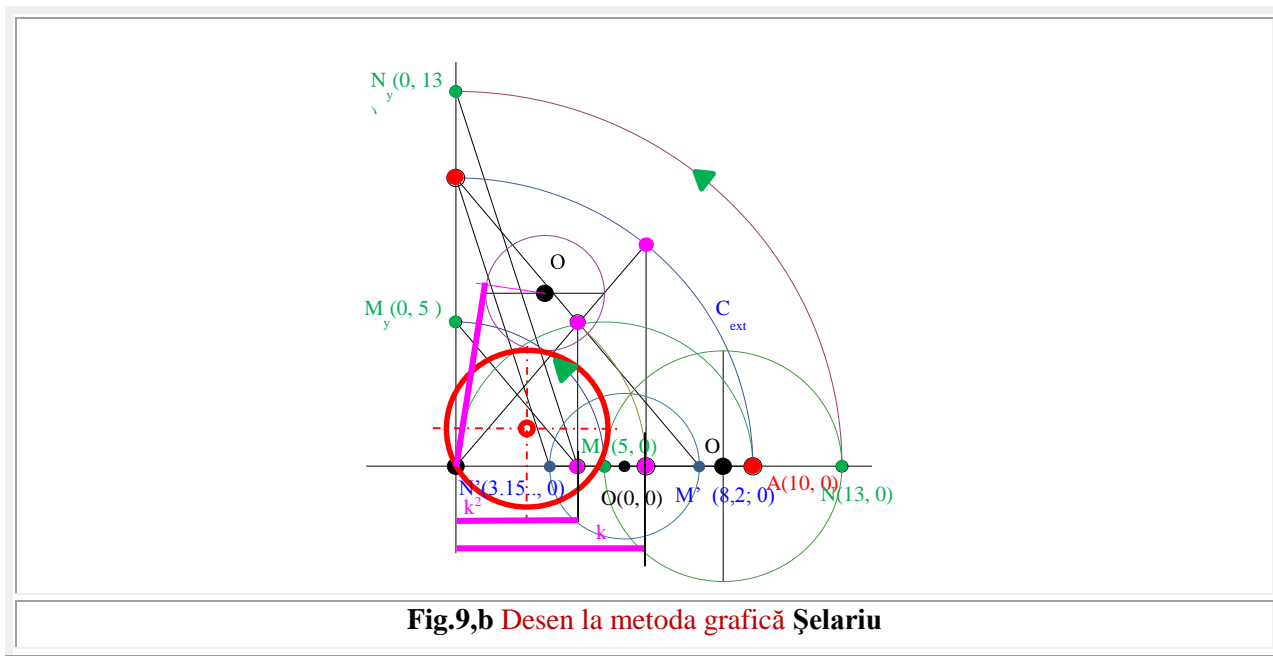
Din intersecția unui cerc cu alte două cercuri, când aceasta există, rezultă 4 puncte și două secante, care se pot intersecta într-un punct de intersecție I (**Fig.8,b**), care se află pe o dreaptă perpendiculară pe linia centrelor (mediatoarea segmentului O_1O_2) celor două cercuri O_1O_2 , perpendiculară dusă / coborâtă din centrul cercului ($O \equiv O_4 \equiv O_5$) care intersecțiază cele două cercuri date.



Acelaşi lucru se întâmplă şi dacă centrul cercului rămâne pe mediatoarea segmentului O_1O_2 , aşa cum se ilustrează, cu roşu, în **figura 8,c**; cercul de culoare albastru-închis, de rază foarte mare, având centrul în punctul superior O_3 , centrul celui de al treilea cerc C_3 .

În **figura 8,e** apare un caz mai interesant, în care cele două cercuri tangente combinate la cele două şi respectiv la cele trei cercuri au razele de aceeaşi dimensiune $R = R' = 1,2$. Desenul poate fi considerat ca un extras din desenul din **figura 7,d**, în care toate cele 8 cercuri soluţie sunt de aceeaşi dimensiune





Cazul 9.2 METODA Şelariu [2] A INVERSIUNII UNUI SINGUR CERC

Inversiunea în plan este o transformare extrem de utilă în rezolvarea problemelor de geometrie, inclusiv a acesteia. Ea se bazează pe mai multe teoreme simple. Prima este puterea unui punct fața de un cerc, tratată la pag.9 din [21].

^ Fie $C(O, r)$ un cerc în planul Π . Oricare ar fi punctele $A, B, A', B' \in C$, astfel ca dreptele AB și $A'B'$ să se intersecteze în P , are loc egalitatea $PA \cdot PB = PA' \cdot PB'$, proprietate care se poate demonstra ușor și din asemănarea triunghiurilor ΔPAB cu $\Delta PA'B'$ și prin proporționalitatea laturilor lor

<p>P' este inversul lui P față de cerc și invers / viceversa</p>	<p>P' este inversul lui P față de cercul C(O, R). Și invers / viceversa, P este inversul lui P' față de cercul C(O, R).</p>	<p>Invers, față de cercul roșu, un cerc care nu trece prin O (albastru) este un cerc ce nu trece prin O (verde) și invers / viceversa.</p>	<p>Inversul, față de cercul roșu, a unui cerc care trece prin O (albastru) este o linie care nu trece prin O (verde) și invers / viceversa.</p>
<p style="text-align: center;">Fig.10 Inversiuni diverse față de un cerc (roșu) http://en.wikipedia.org/wiki/File:Inversion_in_circle_2.png</p>			

(v.şi **3.9 TEOREMA TANGENTELOR**: (23) $p^2(\mathbf{E}) = \overrightarrow{EM_1} \bullet \overrightarrow{EM_2} = e^2 - R^2$, M_1 şi $M_2 \in C$)

şi, cu notațiile din **figura 9,a**,

$$(41) \quad k^2 = A_2^2 - R_2^2 = (3^2 + 6^2) - 2^2 = 41.$$

O alta teorema de bază este **3.7. TEOREMA SECANTELOR** care afirmă că ”O secantă mobilă, dusă dintr-un punct \mathbf{E} , taie un cerc în punctele M_1 şi M_2 . Şi că produsul $EM_1 \bullet EM_2$ este constant”.

Anterior a fost dedusă această constantă ca fiind

$$(21) \quad k^2 = \mathbf{r}_{11} \bullet \mathbf{r}_{21} = \mathbf{r}_{12} \bullet \mathbf{r}_{22} = e^2 - R^2 > 0 \text{ sau } \text{rex}_1 \theta \cdot \text{rex}_2 \theta = \text{rex}_1 \theta' \cdot \text{rex}_2 \theta' = (s^2 - 1), \mathbf{e} \equiv A_2,$$

Fiind aceeaşi cu cea dedusă / calculata anterior pentru cazul din **figura 9,a** şi **9,b**.

Acestea fiind reamintite, se poate defini inversiunea în plan ca fiind o transformare a planului Π prin care fiecărui punct $M \in \Pi - \{O\}$ i se asociază un punct M' pe dreapta OM , astfel încât $OM \cdot OM' = k$, iar punctului O , denumit polul inversiunii, i se asociază punctul O însuşi, adică polul inversiunii este invariant şi toate dreptele care trec prin polul O al inversiunii sunt invariante.

Inversul cercului C_2 , în inversiunea de centru (de inversiune) A şi de modul k şi putere de inversiune $k^2 = A_2^2 - r_2^2$, este cercul $C_2(O_2, r_2=2)$ însuşi şi punctele de pe aceste cercuri M şi M' sunt inverse unul altuia.

Inversul cercului $C_1(O_1(9,0), r_1=4)$ în inversiunea de centru A şi de modul k este cercul $C'_1(O'_1, r'_1=2,523076923076923)$ cu centrul în $O'_1(5,676923076923076; 0)$.

Situația este prezentată în **figura 9,a** şi în **figura 9,b** este prezentată determinarea grafică a unor mărimi necesare de transformare prin inversiune.

Punctul $A \equiv O(0, 0)$ s-a ales drept origine a unui reper cartezian drept xOy , iar cercul $C_1(O_1, r_1=4)$ are centrul în $O_1(9, 0)$ pe axa Ox , așa cum simplu se poate observa.

Cercul $C_2(O_2, r_2=2)$ are centrul $O_2(3, 6)$ la distanță A_2 de punctul A şi $O(0, 0)$, distanță dată de

$$(41') \quad A_2 = \|\overrightarrow{AO_2}\| = \sqrt{x_2^2 + y_2^2} = \sqrt{3^2 + 6^2} = \sqrt{45} = 6,708203932499369$$

Apollonius din Perga a rezolvat problema prin inversiunea celor **două cercuri**.

Soluția se simplifică mult dacă se alege drept pol de inversiune punctul dat $A(0, 0)$ şi drept modul k al inversiunii lungimea k a tangentei din A la cercul C_2 . În acest caz, transformatul prin inversiune a cercului C_2 se zice că este cercul C_2 însuşi, dar mai corect, este un cerc C'_2 , aparent identic cu C_2 , suprapus peste acesta (C_2), deoarece punctele $M_i \in C'_2$ sunt inversele punctelor $M_i \in C_2$.

Rezultă semnificația geometrică a modulului de inversiune k , ca fiind tocmai lungimea tangentei, adică a segmentului AT_2 şi **figura 9,b**.

Inversiunea cercului C_1 se determină facil prin inversiunea a două puncte $M(5, 0)$ şi $N(13, 0)$, diametral opuse, în cazul considerat, de pe axa Ox . Inversele lor sunt punctele $M'(8,2; 0)$ şi $N'(3,135..; 0)$, evident, plasate tot pe axa Ox . Ca urmare

$$(42) \quad OM' \equiv AM' = \frac{k^2}{OM} = \frac{41}{5} = 8,2 \quad \text{şi}$$

$$(43) \quad ON' \equiv AN' = \frac{k^2}{ON} = \frac{41}{13} = 3,1538461538461537$$

Semisuma acestor abscise va exprima abscisa centrului O'_1 a cercului inversat

$$(44) \quad x_{O'_1} = \frac{1}{2}(x_{M'} + x_{N'}) = \frac{1}{2}(8,2 + 3,1538461538461537) = 5,676923076923076,$$

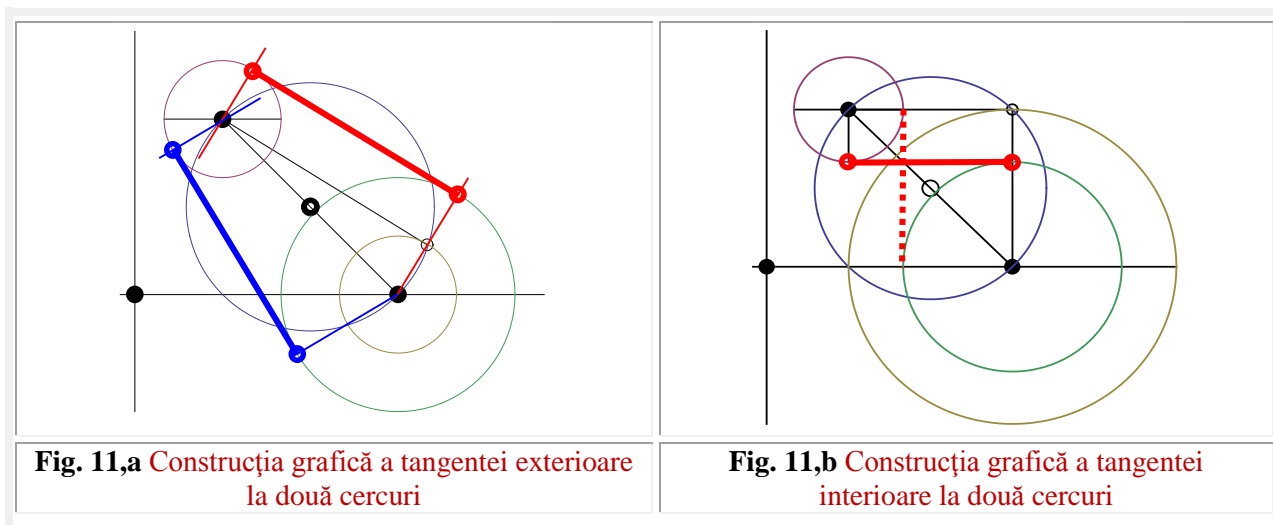
iar **semidiferența**, raza acestuia r'_1

$$(45) \quad r'_1 = \frac{1}{2}(x_{M'} - x_{N'}) = \frac{1}{2}(8,2 - 3,1538461538461537) = 2,523076923076923.$$

Printr-o inversiune i_O^k oricare 4 puncte situate pe un cerc, care conține şi el polul inversiunii, se transformă în patru puncte de pe o dreapta care nu conține polul inversiunii (**Fig. 10**). Sau, inversul, față de cercul roşu, a unui cerc care trece prin O (albastru) este o linie care nu trece prin O (verde) şi viceversa.

Apelând la experimentele imaginare, atât de cunoscute, ale lui **Einstein**, să anticipăm şi să ne inchipuim că cercurile tangente la cele două cercuri există deja, pentru că, în final, ele vor fi determinate.

Prin transformarea i_o^k considerată și efectuată cu cele 2 cercuri date, în ce se vor fi transformat cercurile tangente acestora ?



Cercurile C_i , care urmează să fie determinate, unul tangent interior, altul tangent exterior și alte două tangente combinate la cele două cercuri date C_{Ext} și C_{Int} , trecând prin polul $A \equiv O$ / centrul de inversiune, sunt drepte, mai precis, sunt cele **4 drepte tangente** la cele două cercuri transformate $C'_2 \rightarrow C_2$ și $C'_1 = i_o^k(C_1)$.

Inversele acestor drepte, adică inversele inversatelor, sunt tocmai cele 4 cercuri soluție ale problemei, tangente la C_1 și C_2 și trecând prin polul dat $A \equiv O(0, 0)$.

Centrele $O_i(x_i, y_i)$ ale cercurilor căutate $C_i(O_i, R_i)$ sunt, pe de o parte, situate pe perpendicularele duse din $A \equiv O$ pe aceste drepte, iar, pe de altă parte, poziția lor pe aceste perpendiculare este în punctul de inversiune al picioarelor P_i ale acestor perpendiculare, adică $O_i(x_i, y_i) = i_o^k(P_i)$.

Este evident că, dacă $A \equiv O \in C_i(O_i, R_i)$, adică aparține tuturor cercurilor, iar $O_i(x_i, y_i)$ sunt centrele acestora, razele lor R_i , vor fi reprezentate de distanțele $R_i = \|\overrightarrow{AO_i}\|$.

Modul de determinare grafică a tangentele exterioare și a celor interioare la două cercuri, aici e vorba de cercul C_2 sau, mai precis, C'_2 și de cercul transformat C'_1 prin inversiunea $C'_1 = i_o^k(C_1)$, este ilustrat în **figura 11,a** și **10,b** și nu necesită, cred, explicații.

Evident că tangentele t_i , punctele de tangență T_{1i} și T_{2i} , perpendicularele duse din $A \equiv O$ pe aceste tangente și coordonatele punctelor / picioarele P_i ale acestor perpendiculare pot fi determinate analitic [3], grafic [2] sau grafoanalitic. În **figura 9,b** ca și în lucrarea [1, Cap. 3, §3.8 “**Forma geometrică a expresiilor exponențiale de forma x^n și $x^{1/n}$** ”, pag. 87] sunt indicate modurile de determinare grafică a unor mărimi geometrice la exponenți de diverse valori și tipuri.

Deoarece, la proiectarea capetelor multiaxe de burghiere, filetare ș.a. din componența liniilor de transfer automat și a mașinilor-unelte agregate de prelucrare mecanică prin așchiere a pieselor nu interesează decât soluțiile tehnice acceptabile, cu roată dințată exterior și / sau cu coroană dințată interior, în **figura 8,c** au fost prezentate doar aceste două variante. De aceea sunt prezentate doar cele două tangente exterioare la $C'_1(O'_1, r'_1)$ și cercurile $C_2(O_2, r_2) \rightarrow C'_2(O_2, r_2)$, dar numai de același centru O_2 și aceeași rază r_2 ; repartizarea punctelor pe aceste două cercuri, aparent identice, fiind diferită !

Cercul tangent la cele două cercuri, ce trece prin A , este $C_{Ext}(O_{Ext}, R_{Ext})$ cu centrul în inversul punctului P_{Ext} , adică $O_{Ext} = I_o^k(P_{Ext})$, iar centrul cercului tangent interior $C_{Int}(O_{Int}, R_{Int})$ este inversul punctului P_{Int} , piciorul perpendicularei din A pe tangenta din stânga la cele două cercuri inversate.

Razele acestor cercuri se determina facil, ca modul al distanţelor de la **A** la centrele cercurilor soluţie, adică $\mathbf{R}_{Ext} = \|\overline{AO_{Ext}}\|$ şi $\mathbf{R}_{Int} = \|\overline{AO_{Int}}\|$.

9.3 ANEXA 1: ECUAŢIA UNEI DREPTE TANGENTĂ LA UN CERC DUSĂ DINTR-UN PUNC EXTERIOR CERCULUI

Extras din lucrarea autorului

DETERMINAREA PUNCTELOR DE INTERSECŢIE DIN TEOREMA LINIILOR CONCURENTE A LUI FLORENTIN SMARANDACHE (Smarandache's Concurrent Lines Theorem)

Sunt cunoscute, în literatura matematică, următoarele ecuaţii ale dreptelor în plan:

1) Care trece prin două puncte $P_1(x_1, y_1)$ şi $P_2(x_2, y_2)$, sau care este determinată de cele două puncte:

$$(1) \quad y - y_1 = \frac{y_2 - y_1}{x_2 - x_1} (x - x_1) \quad \text{sau} \quad \begin{vmatrix} x & y & 1 \\ x_1 & y_1 & 1 \\ x_2 & y_2 & 1 \end{vmatrix} = 0;$$

2) De coeficient unghiular $m = \tan\alpha$, sau de orientare de unghi α , care trece prin $P_0(x_0, y_0)$:

$$(2) \quad y - y_0 = m(x - x_0); \quad \text{sau} \quad y - y_0 = \tan\alpha(x - x_0);$$

3) De coeficient unghiular m şi ordonată la origine n :

$$(3) \quad y = mx + n, \quad \text{sau} \quad y = x \cdot \tan\alpha + n;$$

4) Cu tăieturile a şi b pe axele de coordonate:

$$(4) \quad \frac{x}{a} + \frac{y}{b} = 1, \quad b \rightarrow \infty \rightarrow x = a \rightarrow D \parallel Oy; \quad a \rightarrow \infty \rightarrow y = b \rightarrow D \parallel Ox.$$

5) Ecuaţiile parametrice ale dreptei care trece prin punctul $P_0(x_0, y_0)$ şi face un unghi α cu axa Ox :

$$(5) \quad \begin{cases} x = x_0 + r \cdot \cos\alpha \\ y = y_0 + r \cdot \sin\alpha \end{cases};$$

6) Ecuaţia generală a dreptei:

$$(6) \quad Ax + By + C = 0, \quad \rightarrow m = \tan\alpha = -\frac{A}{B}; \quad b = -\frac{C}{A}; \quad C = 0 \rightarrow$$

$O(0,0) \subset D; \quad B = 0 \rightarrow D \parallel Oy, \quad A = 0 \rightarrow D \parallel Ox.$

Ecuaţia generală a dreptei poate fi redusă la forma normală prin înmulţirea cu **factorul de normare**

$$\mathbf{M} = \pm \frac{1}{\sqrt{A^2 + B^2}}, \quad \text{semnul lui } \mathbf{M} \text{ fiind opus semnelui lui } C.$$

Între coeficienţii A, B şi C şi parametrii α şi p există următoarele relaţii

$$\cos\alpha = \pm \frac{A}{\sqrt{A^2 + B^2}} = A \cdot \mathbf{M}; \quad \sin\alpha = \pm \frac{B}{\sqrt{A^2 + B^2}} = B \cdot \mathbf{M}; \quad p = \pm \frac{C}{\sqrt{A^2 + B^2}} = C \cdot \mathbf{M}$$

7) Ecuaţia normală a dreptei (**Hesse**):

$$(7) \quad x \cdot \cos\alpha + y \cdot \sin\alpha - p = 0,$$

în care, unghiul α este unghiul direcţiei normalei din $O(0, 0)$ la dreapta D şi p este lungimea acestei normale, sau distanţa de la originea $O(0, 0)$ la dreaptă.

8) Ecuaţia tangentei la cercul $C(O,R)$ în $\mathbf{P_0(x_0, y_0)} \subset C(O,R)$ obţinută prin dedublarea ecuaţiilor cercului:

$$(8.1) \quad x_0 \cdot x + y_0 \cdot y - R = 0,$$

$$(8.2) \quad x_0 \cdot x + y_0 \cdot y + a(x_0 + x) + b(y_0 + y) + c = 0,$$

(8.3) $\vec{r} \cdot \vec{r}_1 - R^2 = 0$, sau $\vec{r} \cdot \vec{r}_1 = R^2$ ecuațiile vectoriale ale tangentei în $P_1 \in C(O, R)$, la cercul centrat în originea $O(0, 0)$, în care \vec{r}_1 este vectorul de poziție din $O(0,0)$ al punctului de tangență al cercului P_1 , iar $P(\vec{r})$ este punctul curent al dreptei tangente.

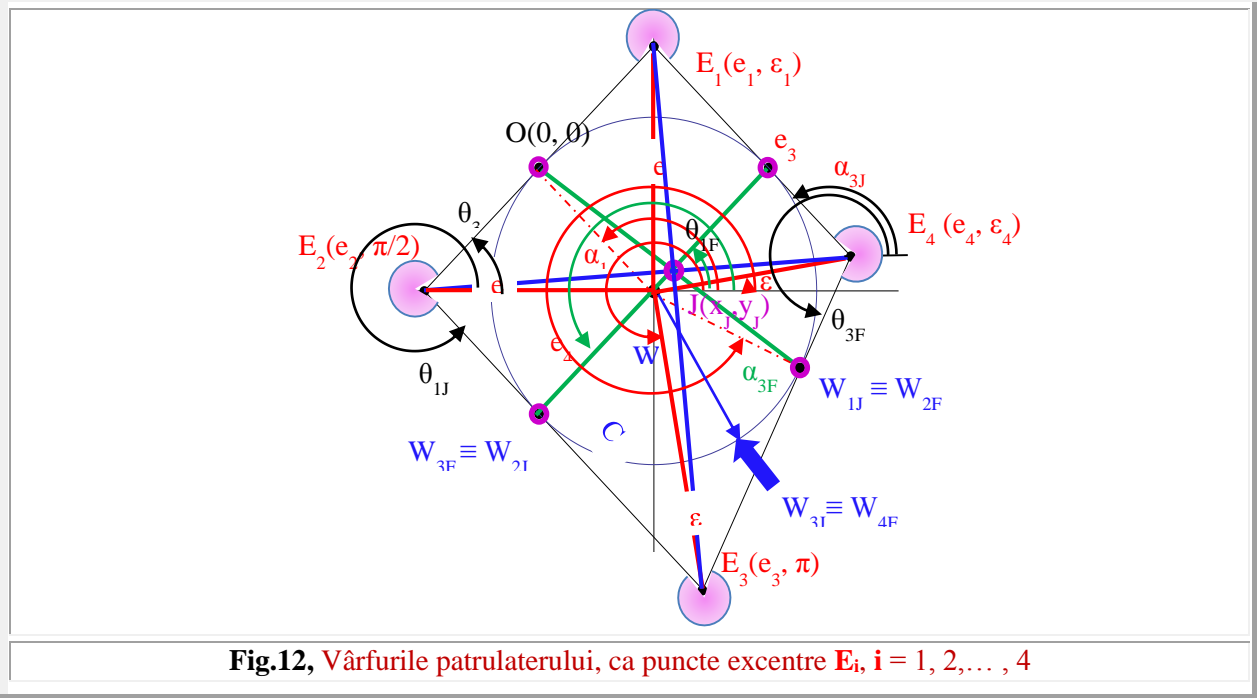


Fig.12, Vârfulurile patrulaterului, ca puncte excentre $E_i, i = 1, 2, \dots, 4$

Ca urmare a tangenței dreapta D și vectorul \vec{r}_1 sunt perpendiculari, astfel că produsul scalar $\vec{r}_1 \cdot \overrightarrow{P_1P} = 0$.

9) Ecuația tangentei de direcție m la cercul cu centrul în origine $C(O,R)$:

(9.1) $y = mx \pm R \sqrt{1 + m^2}$ și

(9.2) $y = m(x - a) + b \pm R \sqrt{1 + m^2}$, la cercul de rază R cu centrul în punctul $M(a, b)$.

10) Ecuația în coordonate polare a dreptei ce nu trece prin pol este

(10) $\rho = \frac{p}{\cos(\varphi - \alpha)}$, în care p este lungimea (raza polară sau modulul) polarei normală pe D din pol, a cărei direcție este de orientare/unghi α , față de axa polară, iar φ este unghiul polar al razei polare ρ a punctului curent M al dreptei D .

Fie cercul $C(O,R)$ și dreapta $D(E, /C)$, prin care, în paranteză, s-a specificat faptul că dreapta D conține punctul E ($E \in D$), sau că e dusă prin punctul $E(e_x, e_y)$, denumit și excentru și este tangentă la C . Excentrul E are coordonatele polare $E(e, \varepsilon)$. Între acestea și coordonatele carteziene există relațiile:

(11) $E \begin{cases} e_x = e \cdot \cos \varepsilon \\ e_y = e \cdot \sin \varepsilon \end{cases}$

Din matematica excentrică (**ME**) se cunoaște că **FSM-CE** există și sunt continue, în cazul $e > R$, doar în domeniul (12) $\theta \in [\theta_i, \theta_f]$, în care dreapta excentrică $d \equiv D$ din E intersectează cercul $C(O,R)$ pentru θ_i și θ_f , care sunt, deci, tocmai unghiurile pentru care semidreapta pozitivă a dreptei d^+ este tangenta la cerc în punctele W_i și, respectiv, W_f , așa cum s-a mai afirmat anterior.

Dacă unghiurile θ_i și θ_f sunt cunoscute, atunci prin cazul 9) se poate determina ecuația tangentei de direcție $\mathbf{m}_{i,f} = \tan\theta_{i,f}$ la cercul cu centrul în origine $\mathbf{C}(\mathbf{O},R)$. Ele sunt [6], așa cum se poate observa și în **figura 2**

$$(13) \quad \theta_{i,f} = \varepsilon + \pi \mp \gamma,$$

în care γ este unghiul format de tangenta \mathbf{d}^+ din \mathbf{E} la $\mathbf{C}(\mathbf{O}, R)$ cu raza vectoare \vec{e} a excentrului \mathbf{E} . și are expresia

$$(14) \quad \gamma = \arcsin \frac{R}{e}.$$

În acest fel rezultă:

$$(15) \quad \theta_{i,f} = \varepsilon + \pi \mp \arcsin \frac{R}{e}, \text{ și ecuația dreptei din } \mathbf{E} \text{ tangentă la } \mathbf{C}(\mathbf{O},R) \text{ dată de ecuația}$$

$$(16) \quad y = mx \pm R \sqrt{1 + m^2}, \text{ în care}$$

$$(17) \quad m = \tan \theta_{i,f} = \tan(\varepsilon + \pi \mp \arcsin \frac{R}{e}) = \tan[(\varepsilon + \pi) \mp (\arcsin \frac{R}{e})] = \frac{\tan(\varepsilon + \pi) \mp \tan(\arcsin \frac{R}{e})}{1 \pm \tan(\varepsilon + \pi) \cdot \tan(\arcsin \frac{R}{e})}$$

Se știe că

$$(18) \quad \tan(\arcsin \frac{R}{e}) = \frac{\frac{R}{e}}{\sqrt{1 - (\frac{R}{e})^2}} = \frac{R}{\sqrt{e^2 - R^2}}, \text{ iar } \tan(\varepsilon + \pi) = \tan \varepsilon, \text{ astfel că (17) devine}$$

$$(17') \quad m = \frac{\tan \varepsilon \mp \frac{R}{\sqrt{e^2 - R^2}}}{1 \pm \tan \varepsilon \cdot \frac{R}{\sqrt{e^2 - R^2}}} = \frac{\tan \varepsilon \cdot \sqrt{e^2 - R^2} \mp R}{\sqrt{e^2 - R^2} \pm R \cdot \tan \varepsilon}, \text{ iar}$$

$$(18') \quad m^2 = \left(\frac{\tan \varepsilon \cdot \sqrt{e^2 - R^2} \mp R}{\sqrt{e^2 - R^2} \pm R \cdot \tan \varepsilon} \right)^2, \text{ care înlocuite în (16) dau o expresie a ecuației tangentei căutate.}$$

$$(19) \quad y = \frac{\tan \varepsilon \cdot \sqrt{e^2 - R^2} \mp R}{\sqrt{e^2 - R^2} \pm R \cdot \tan \varepsilon} x \pm R \sqrt{1 + \left(\frac{\tan \varepsilon \cdot \sqrt{e^2 - R^2} \mp R}{\sqrt{e^2 - R^2} \pm R \cdot \tan \varepsilon} \right)^2}$$

Cunoscându-se unghiul γ dat de (14), pot fi determinate unghiurile $\alpha_{i,f}$ la centrul \mathbf{O} , de poziție pe cerc a punctelor de tangentă $\mathbf{W}_{i,f}$ și, totodată, punctele inițial și final al domeniului de existență al **FSM-CE** corespunzătoare punctului \mathbf{E}_1 din **figura 12**, care sunt

$$(20) \quad \alpha_{i,f} = \left(\frac{\pi}{2} - \gamma \right) \pm \varepsilon = \left(\frac{\pi}{2} \pm \varepsilon \right) - \arcsin \frac{R}{e}$$

Coordonatele carteziene ale punctelor $\mathbf{W}_{i,f}$ vor fi

$$(21) \quad \mathbf{W}_{i,f} \begin{cases} x_{i,f} = R \cdot \cos \alpha_{i,f} = R \cdot \cos \left[\left(\frac{\pi}{2} \pm \varepsilon \right) - \arcsin \frac{R}{e} \right] = \\ = R \left[\cos \left(\frac{\pi}{2} \pm \varepsilon \right) \cdot \cos \left(\arcsin \frac{R}{e} \right) + \sin \left(\frac{\pi}{2} \pm \varepsilon \right) \cdot \sin \left(\arcsin \frac{R}{e} \right) \right] = \\ = R \left[\mp \sin \varepsilon \cdot \sqrt{1 - \left(\frac{R}{e} \right)^2} + \frac{R}{e} \cdot \cos \varepsilon \right] = \frac{R}{e} (R \cdot \cos \varepsilon \mp \sin \varepsilon \cdot \sqrt{e^2 - R^2}) \\ y_{i,f} = R \cdot \sin \alpha_{i,f} = R \sin \left[\left(\frac{\pi}{2} \pm \varepsilon \right) - \arcsin \frac{R}{e} \right] = \\ = R \left[\sin \left(\frac{\pi}{2} \pm \varepsilon \right) \cdot \cos \left(\arcsin \frac{R}{e} \right) - \cos \left(\frac{\pi}{2} \pm \varepsilon \right) \cdot \sin \left(\arcsin \frac{R}{e} \right) \right] = \\ = R \left[\cos \varepsilon \cdot \sqrt{1 - \left(\frac{R}{e} \right)^2} \pm \frac{R}{e} \sin \varepsilon \right] = \frac{R}{e} (\cos \varepsilon \sqrt{e^2 - R^2} \pm R \sin \varepsilon) \end{cases}$$

Astfel că, ecuațiile celor două tangente la cerc, în punctele $\mathbf{W}_{i,f}$, conform ecuației (1), după divizarea ecuației cu $\frac{R}{e}$, vor fi

$$(22) \quad (R \cdot \cos \varepsilon \mp \sin \varepsilon \cdot \sqrt{e^2 - R^2}) x + (\cos \varepsilon \sqrt{e^2 - R^2} \pm R \sin \varepsilon) y - e = 0$$

Dacă punctul $E(e, 0)$ este situat pe axa $x > 0$, atunci $\cos \varepsilon = 1$ și $\sin \varepsilon = 0$, astfel că (22) devine

$$(22') \quad R \cdot e \cdot x + e \cdot y \sqrt{e^2 - R^2} - e = 0, \quad \text{sau} \quad R \cdot x + y \sqrt{e^2 - R^2} - 1 = 0$$

Comparând cele două ecuații obținute, (22) și (19), se poate constata că prima, (22), este cu mult mai simplă și, în consecință, mai facil de utilizat. *Ea este suficient de simplă pentru a putea fi adăugată celorlalte ecuații clasice cunoscute în literatură, pentru a umple un gol altfel existent în literatura matematică.*

Cunoscându-se coordonatele punctului $E(e_x, e_y)$ – date inițial – și fiind determinate coordonatele carteziene ale punctelor $W_{i,r}$, prin utilizarea ecuației dreptei dată prin doua puncte (1) rezultă

$$(23) \quad y - R \cdot \sin \varepsilon = \frac{\frac{R}{e}(\cos \varepsilon \sqrt{e^2 - R^2} \pm R \sin \varepsilon) - R \cdot \sin \varepsilon}{\frac{R}{e}(R \cdot \cos \varepsilon \mp \sin \varepsilon \cdot \sqrt{e^2 - R^2}) - R \cdot \cos \varepsilon} (x - R \cdot \cos \varepsilon) \quad \text{sau}$$

$$(24) \quad y - R \cdot \sin \varepsilon = \frac{(\cos \varepsilon \sqrt{e^2 - R^2} \pm R \sin \varepsilon) - e \cdot \sin \varepsilon}{(R \cdot \cos \varepsilon \mp \sin \varepsilon \cdot \sqrt{e^2 - R^2}) - e \cdot \cos \varepsilon} (x - R \cdot \cos \varepsilon)$$

ecuații care sunt puțin mai complicate decât ecuațiile (4.22), dar și mai simple decât (19).

10. CE SE GĂSEȘTE PE INTERNET

Singurul web-site de pe Internet (**Google**) care dă soluții mai clare este

http://en.wikipedia.org/wiki/Problem_of_Apollonius#Solution_methods

În **figura 13** sunt prezentate, pe acest web site, cele 8 soluții clasice ale problemei lui **Apollonius**. Singura contribuție a autorului a fost să separe soluțiile clasice *tehnic posibil* (cu angrenare exterioară și cu angrenare interioară) de soluțiile care sunt *posibile*, într-un singur plan, doar *geometric*.

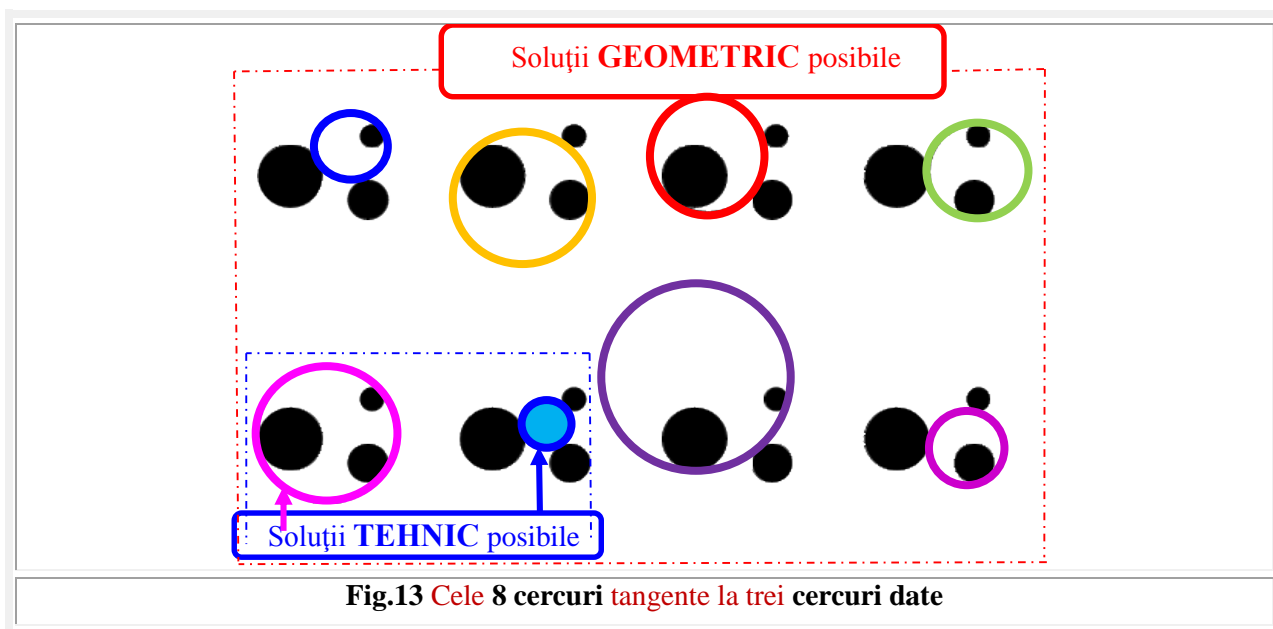


Fig.13 Cele 8 cercuri tangente la trei cercuri date

Și acestea pot deveni tehnic posibil dacă angrenarea roților dințate sau cu fricțiune se realizează în cel puțin două etaje: într-un etaj se angrenează roțile dințate exterior și în alt etaj cele cu angrenare interioară,

caz în care, roata conducătoare, care transmite mișcarea, trebuie să fie o roată dublu danturată; exterior într-un etaj și interior în cel de-al doilea etaj.

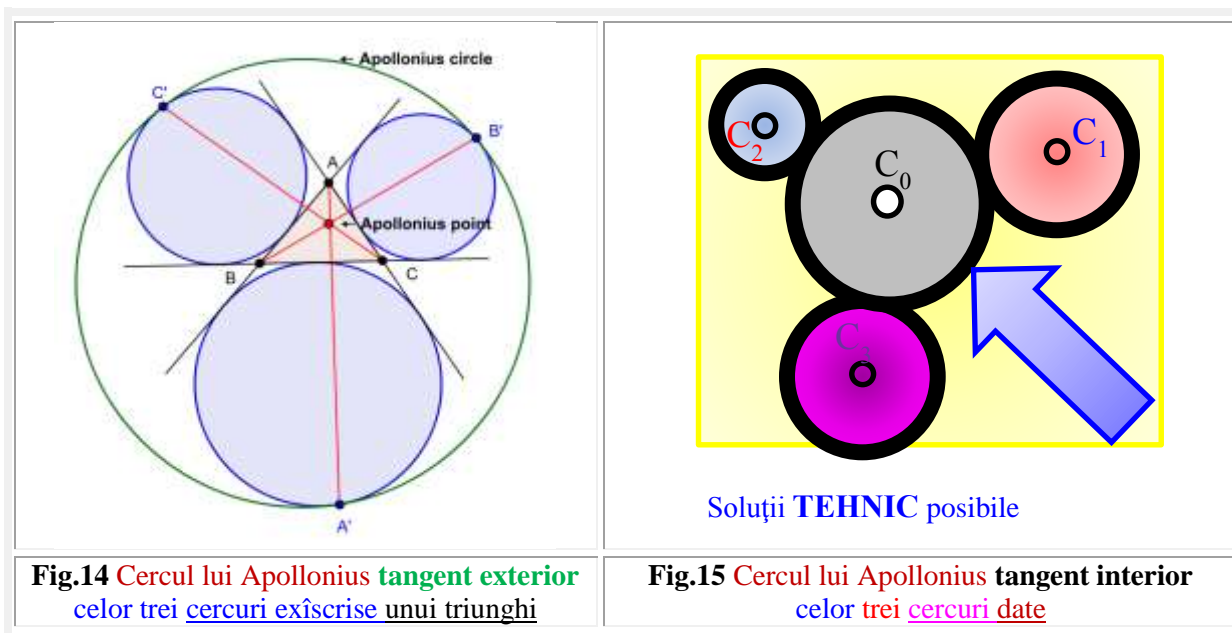
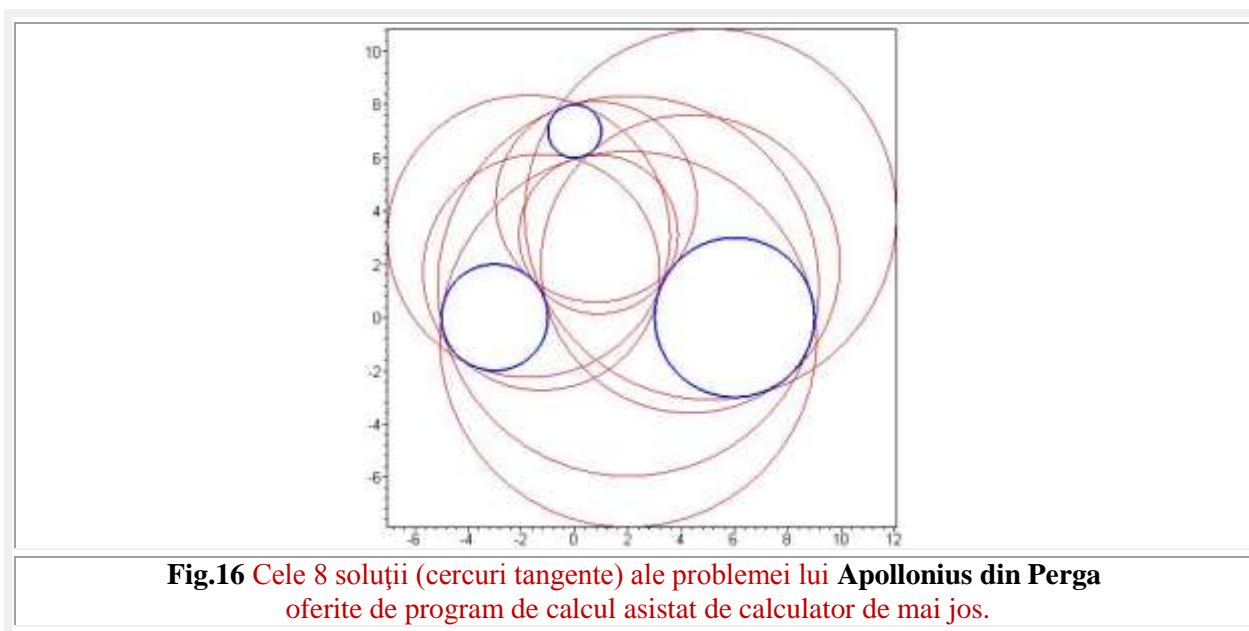


Figura 14 și figura 15 indică cele două soluții tehnice posibile de angrenare, într-un singur plan, a roților dințate din construcția unui cap multiax.

Un program de matematică, care poate fi rulat pe un calculator electronic numeric și care poate soluționa și determina toate cele 8 soluții posibile este indicat în figura 16, împreună cu sursa și modul de inițiere al programului.



Cele 8 soluții (cercuri tangente) ale problemei lui **Apollonius din Perga** oferite de program de calcul asistat de calculator http://orimath.com/oritutorial/Maple_Tutorial/Geometry2db.html#Apollonius

```
> circle(c1, (x+3)^2 + y^2 = 4, [x,y]); circle(c2, [point(O1,6,0),3], [x,y]); circle(c3, x^2 + (y-7)^2 = 1, [x,y]); A := Apollonius(c1, c2, c3); display(draw([c1,c2,c3],color=blue),draw(A));
```

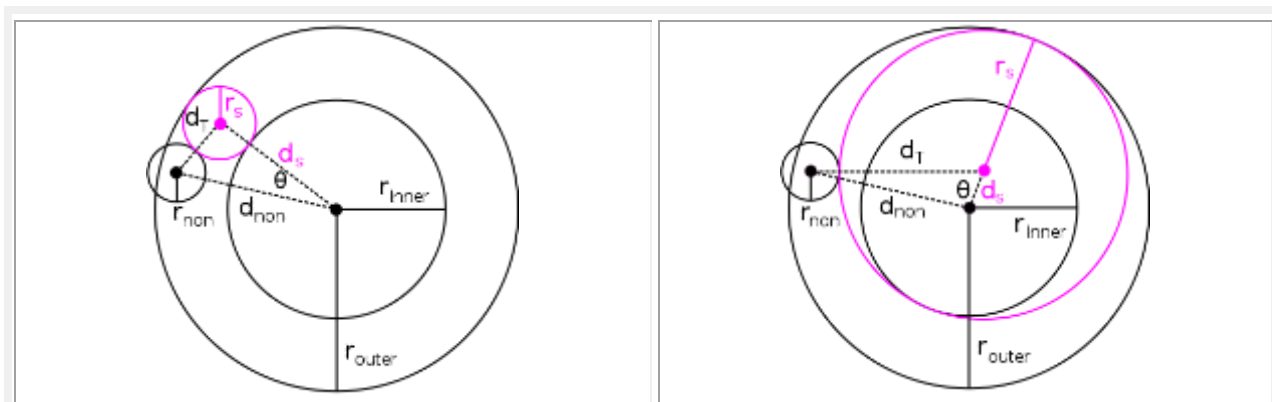


Fig17 Cercul lui Apollonius tangent celor trei cercuri dintre care două sunt concentrice

Dupa http://ro.math.wikia.com/wiki/Cercul_lui_Apollonius

Figura 17 indică două soluții de tangență la 3 cercuri când două dintre ele sunt concentrice. Soluții vii colorate ale cercurilor lui **Apollonius** sunt prezentate în **figura 18**, împreună cu schița de determinare a soluțiilor. Liniile albastre tangente la cercuri, în punctele mici albastre, se intersectează pe axa radicală (roșu) din cele două soluții conjugate (magenta) ale problemei lui Apollonius, cele trei cercuri date fiind cele negre.

Variante ale schiței din **figura 18** sunt date în **figura 19**

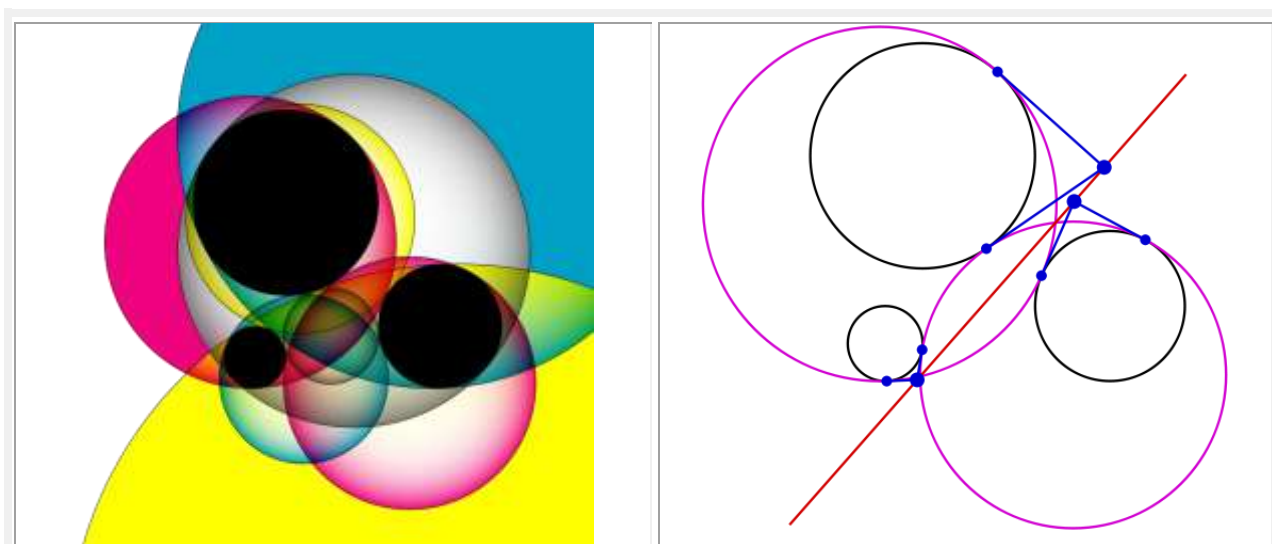


Fig.18

[Apollonius' problem](http://en.wikipedia.org/wiki/Apollonius'_problem) may have up to eight solutions. The three given circles are shown in black, whereas the solution circles are colored.

http://en.wikipedia.org/wiki/Circles_of_Apollonius

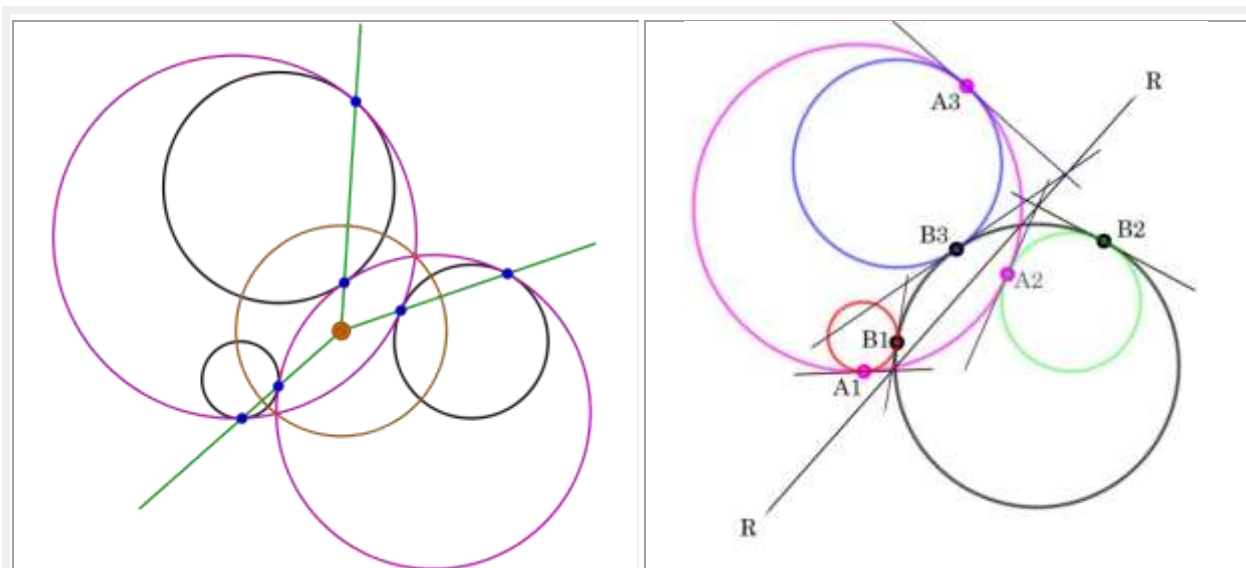


Fig. 19 http://en.wikipedia.org/wiki/File:Apollonius_problem_Gergonne_tangent_lines.svg

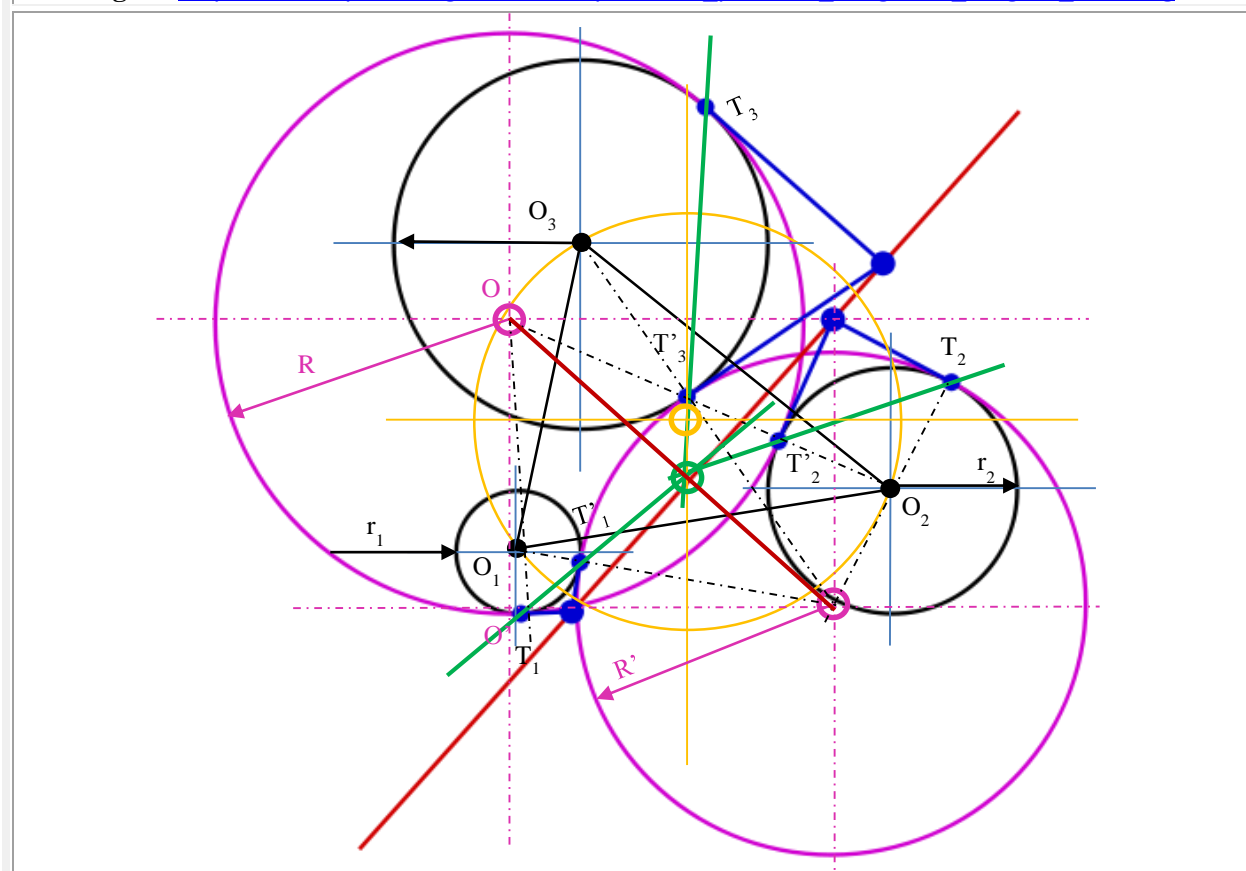


Fig.20 Completari ale autorului la schițele din figura 19

www.supermatematica.com

www.supermatematica.ro

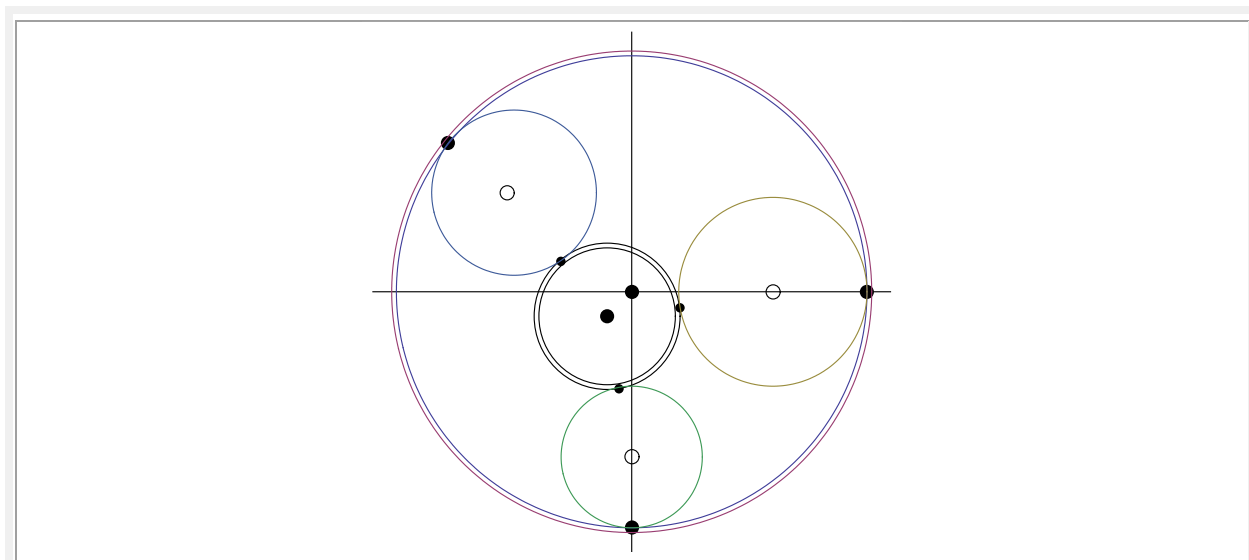


Fig. 21 Cele două soluții tehnice posibile: angrenare inerioara și angrenare exterioră

11. PROBLEMA LUI APOLLONIUS DIN PERGA: DETERMINAREA CEROURILOR TANGENTE LA TREI CERURI DATE

Această soluție este clasică, arhicunoscută și se bazează, în continuare, pe determinarea cercurilor tangente la două cercuri date și un punct exterior A . Dacă cele 3 cercuri sunt C_1, C_2 , și C_3 , de raze, în ordine crescătoare, $r_1 < r_2 < r_3$, atunci scăzând din acestea valoarea razei minime r_1 , rezultă razele noilor cercuri, C'_1, C'_2 și C'_3 , concentrice cu cercurile date, $r'_1 = r_1 - r_1 = 0$, $r'_2 = r_2 - r_1$ și $r'_3 = r_3 - r_1$.

Ca urmare, problema s-a redus la cea anterioară, cercul C'_1 reducându-se la un punct, punctul A , din problema anterioară. Astfel că e necesar să se determine cercul tangent la cele două cercuri date C'_2 și C'_3 , care conține / trece prin punctul A .

Odată determinate aceste soluții, de exemplu, a cercului tangent exterior $C'_{Ext}(O'_{Ext}, R'_{Ext})$ de rază R'_{Ext} cu centrul în punctul O'_{Ext} , la cele două cercuri C'_2 și C'_3 , cercul tangent la cele trei cercuri va fi cercul cu centrul în $O_{Ext} \equiv O'_{Ext}$ și de rază $R_{Ext} = R'_{Ext} + r_1$.

Iar cercul tangent interior va avea centrul C_{Int} în centrul cercului $C'_{Int}(O'_{Int}, R'_{Int})$, adică $O_{Int} \equiv O'_{Int}$ și va avea rază $R_{Int} = R'_{Int} - r_1$.

În acest fel, din punctul de vedere al unui inginer mecanic proiectant, problema cercurilor lui Apollonius din Perga este considerată soluționată / rezolvată.

Las cititorilor placerea sa găsească celelalte 6 soluții.

O altă soluție posibilă, prin utilizarea funcțiilor supermatematice circulare excentrice (FSM-CE) radial excentrice $rex\theta$ și / sau $Rex\alpha$ este schițată în figura 22, pentru cazul cercului lui Apollonius tangent exterior la cele trei cercuri date.

Fiind date cele trei centre O_i ale celor 3 cercuri $C_i(O_i, r_i)$, $i = 1, 2, 3$, ele determină un cerc de rază R cu centrul în O . Unul dintre cercurile soluție căutate, cel tangent exterior la cele 3 cercuri date, are raza r și centrul în excentrul $E(e, \varepsilon)$ încă nedeterminate.

Exprimând / scriind că distanțele EO_i sunt modulele razelor excentrice, exprimabile prin FSM-CE radial excentrice $Rex\alpha_i$ de variabile centrice α_i , rezultă sistemul de trei ecuații $R_i = R \cdot Rex\alpha_i$ cu trei necunoscute: r, s sau $e = sR$ și ε .

Acestea sunt

$$(46) \begin{cases} R_1 = r + r_1 = R \cdot \text{Rex}\alpha_1 = R\sqrt{1 + s - 2s \cos(\alpha_1 - \varepsilon)} \\ R_2 = r + r_2 = R \cdot \text{Rex}\alpha_2 = R\sqrt{1 + s - 2s \cos(\alpha_2 - \varepsilon)}, \text{ în care } s = \frac{e}{R} \rightarrow e = s \cdot R \\ R_3 = r + r_3 = R \cdot \text{Rex}\alpha_3 = R\sqrt{1 + s - 2s \cos(\alpha_3 - \varepsilon)} \end{cases}$$

În acest sistem de ecuații sunt cunoscute /calculabile unghiurile α_i , razele cercurilor date r_i , centrul O , determinat de cele trei puncte / centre O_i și raza cercului R .

Sistemul (46) poate fi scris și astfel

$$(47) \begin{cases} R_1 = r + r_1 = R \cdot \text{Rex}\alpha_1 = \sqrt{R^2 + e^2 - 2e \cos(\alpha_1 - \varepsilon)} \\ R_2 = r + r_2 = R \cdot \text{Rex}\alpha_2 = \sqrt{R^2 + e^2 - 2e \cos(\alpha_2 - \varepsilon)} \\ R_3 = r + r_3 = R \cdot \text{Rex}\alpha_3 = \sqrt{R^2 + e^2 - 2e \cos(\alpha_3 - \varepsilon)} \end{cases}$$

$$(48) \begin{cases} (r + r_1)^2 = R^2 + e^2 - 2e \cos(\alpha_1 - \varepsilon) \\ (r + r_2)^2 = R^2 + e^2 - 2e \cos(\alpha_2 - \varepsilon) \\ (r + r_3)^2 = R^2 + e^2 - 2e \cos(\alpha_3 - \varepsilon) \end{cases}$$

Din a treia ecuație a sistemului (48) se obține expresia excentricității unghiulare ε

$$(49) \cos(\alpha_3 - \varepsilon) = \frac{R^2 + e^2 - (r + r_3)^2}{2e} \rightarrow \varepsilon = \alpha_3 - \arccos \frac{R^2 + e^2 - (r + r_3)^2}{2e}$$

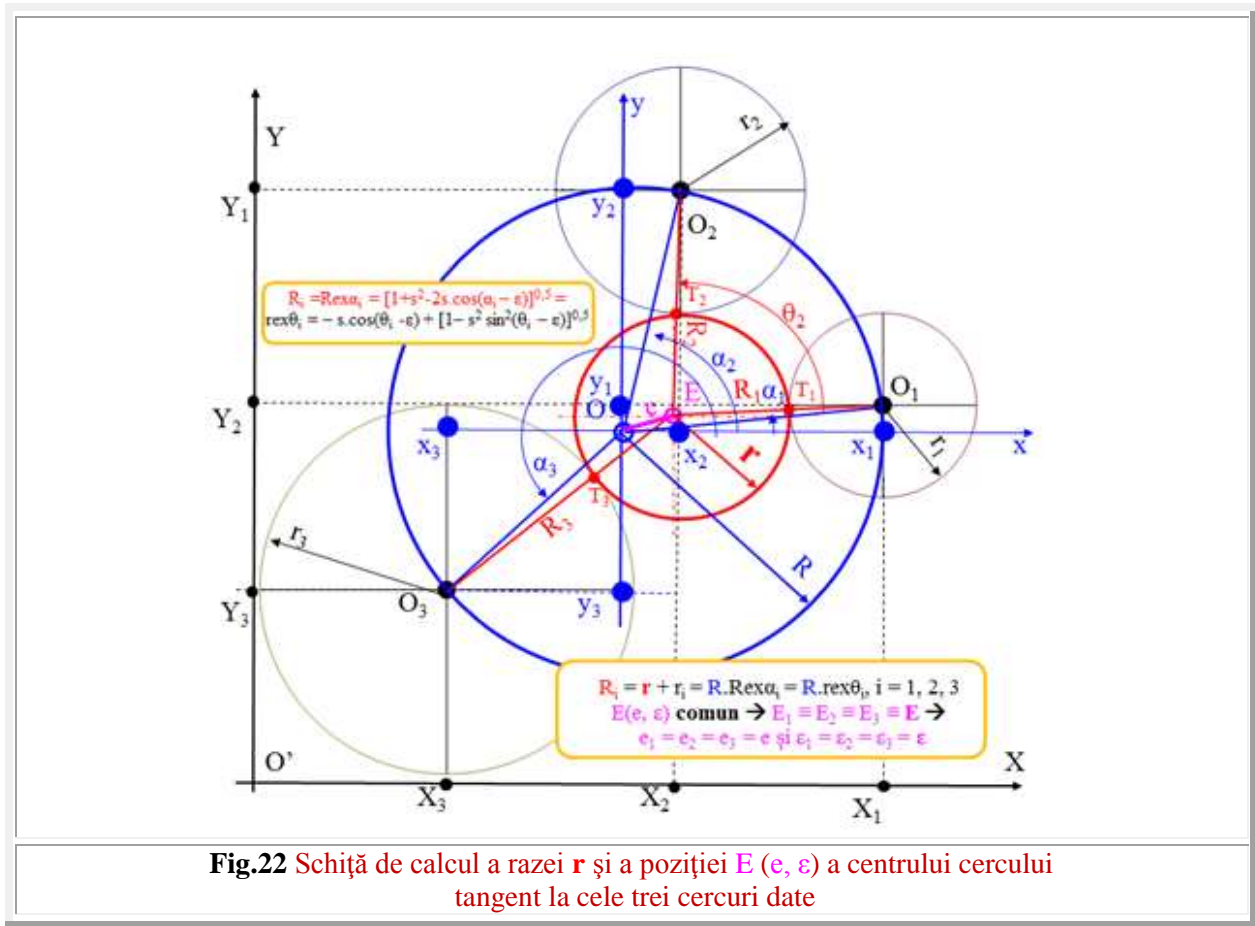


Fig.22 Schiță de calcul a razei r și a poziției $E(e, \varepsilon)$ a centrului cercului tangent la cele trei cercuri date

Din a doua ecuație a sistemului (48), prin înlocuirea lui ε cu relația (49) se poate obține expresia ecuației algebrice de gradul II din care se obține expresia excentricității liniare e

$$(50) \quad e^2 - 2e \cos\left(\alpha_2 - \alpha_3 + \arccos \frac{R^2 + e^2 - (r+r_3)^2}{2e}\right) + R^2 - (r+r_2)^2 = 0, \text{ sau}$$

$$(50') \quad e^2 - 2e \left\{ \cos\left(\alpha_2 - \alpha_3\right) \frac{R^2 + e^2 - (r+r_3)^2}{2e} - \sin(\alpha_2 - \alpha_3) \cdot \sin\left[\arccos \frac{R^2 + e^2 - (r+r_3)^2}{2e}\right] \right\} + R^2 - (r+r_2)^2 = 0$$

$$(50'') \quad e^2 - 2e \left\{ \cos\left(\alpha_2 - \alpha_3\right) \frac{R^2 + e^2 - (r+r_3)^2}{2e} - \sin(\alpha_2 - \alpha_3) \cdot \sqrt{1 - \frac{R^2 + e^2 - (r+r_3)^2}{2e}} \right\} + R^2 - (r+r_2)^2 = 0, \text{ care este}$$

$$(51) \quad e_{1,2} = \left[\cos(\alpha_2 - \alpha_3) \frac{R^2 + e^2 - (r+r_3)^2}{2e} - \sin(\alpha_2 - \alpha_3) \cdot \sqrt{1 - \frac{R^2 + e^2 - (r+r_3)^2}{2e}} \right] \pm \sqrt{\left[\cos(\alpha_2 - \alpha_3) \frac{R^2 + e^2 - (r+r_3)^2}{2e} - \sin(\alpha_2 - \alpha_3) \cdot \sqrt{1 - \frac{R^2 + e^2 - (r+r_3)^2}{2e}} \right]^2 - [R^2 - (r+r_2)^2]}$$

Deoarece în ecuația următoare avem nevoie și de e^2 expresia lui va fi

$$(52) \quad e_{1,2}^2 = \left[\cos(\alpha_2 - \alpha_3) \frac{R^2 + e^2 - (r+r_3)^2}{2e} - \sin(\alpha_2 - \alpha_3) \cdot \sqrt{1 - \frac{R^2 + e^2 - (r+r_3)^2}{2e}} \right]^2 + \left\{ \left[\cos(\alpha_2 - \alpha_3) \frac{R^2 + e^2 - (r+r_3)^2}{2e} - \sin(\alpha_2 - \alpha_3) \cdot \sqrt{1 - \frac{R^2 + e^2 - (r+r_3)^2}{2e}} \right] \right\} \pm 2 \left[\cos(\alpha_2 - \alpha_3) \frac{R^2 + e^2 - (r+r_3)^2}{2e} - \sin(\alpha_2 - \alpha_3) \cdot \sqrt{1 - \frac{R^2 + e^2 - (r+r_3)^2}{2e}} \right] \cdot \sqrt{\left[\cos(\alpha_2 - \alpha_3) \frac{R^2 + e^2 - (r+r_3)^2}{2e} - \sin(\alpha_2 - \alpha_3) \cdot \sqrt{1 - \frac{R^2 + e^2 - (r+r_3)^2}{2e}} \right]^2 - [R^2 - (r+r_2)^2]}$$

Deoarece excentricitatea liniară poate fi și negativă, se acceptă ambele soluții / semne din fața radicalului, cu observația că $e < 0$ este echivalentă cu $e > 0$ și cu schimbarea a semnelui / sensului excentricității unghiulare, adică $\varepsilon \rightarrow -\varepsilon$

Din prima ecuație a sistemului (48) rezultă o altă ecuație algebrică de gradul II din care se poate obține o relație pentru raza r a **cercului $C(r, E(e, \varepsilon))$ a lui Apollonius**

$$(52) \quad r^2 + 2rr_1 + r_1^2 - [R^2 + e^2 - 2e \cos(\alpha_1 - \varepsilon)] = 0$$

în care se înlocuiește excentricitatea unghiulară ε din expresia (49)

$$(53) \quad r_{1,2} = -r_1 \pm \sqrt{r_1^2 - [R^2 + e^2 - 2e \cos(\alpha_1 - \varepsilon)]} = -r_1 \pm \sqrt{r_1^2 - \left[R^2 + e^2 - 2e \cos\left(\alpha_1 - \alpha_3 + \arccos \frac{R^2 + e^2 - (r+r_3)^2}{2e}\right) \right]}$$

Acum, sistemul de 3 ecuații cu 3 necunoscute, prin eliminarea lui ε s-a redus la un sistem de 2 ecuații cu numai 2 necunoscute excentricitatea liniară e și raza **cercului lui Apollonius r** .

Acest sistem este format din ecuațiile (52) și (53).

Înlocuind expresia lui $e_{1,2}$ din (52) în (53) se obțin cele 8 valori ale razei acestor cercuri soluție, care înlocuite în (52) dau valorile unei coordonate polare ale poziției centrelor acestor cercuri și, mai departe, înlocuind toate aceste valori în (49) se obține și a doua coordonată polară, de direcție, a centrelor celor 8 cercuri soluție ale **problemei lui Apollonius din Perga**.

Lăsăm această plăcere cititorului de a continua aceste calcule.

Vă mulțumim anticipat pentru această înțelegere și vă dorim vizionare plăcută în continuare.

Nici soluțiile oferite de cele mai performante programe de matematică, cum este **Mathematica 8** a lui **Stephan Wolfram**, nu pot fi prezentate, deoarece au un volum exagerat de mare.

Rezultatele concrete ale acestui program, însă, cercurile soluție (**negre**) însăși, pentru diverse posibilități (**cercurile albastre, galbene și roșii**) sunt prezentate în continuare și cititorul poate să folosească programul prezentat pentru alte poziționări relative și marimi ale celor 3 cercuri date.

12. REZOLVAREA PROBLEMEI LUI APOLLONIU DIN PERGA CU PROGRAMUL MATHEMATICA 8 A LUI Stephan Wolfram

sol = Quiet[M@Solve[{(x - x1)^2 + (y - y1)^2 == (r + s1 * r1)^2, (x - x2)^2 + (y - y2)^2 == (r + s2 * r2)^2, (x - x3)^2 + (y - y3)^2 == (r + s3 * r3)^2}, {x, y, r}]]

Panel	Blue circle radius	Red circle radius	Yellow circle radius	Radius of new circle
Top Left	4.32	7.14	8.1	14.4281
Top Right	9.05	8.73	5.58	24.4289
Middle Left	9.05	8.73	5.58	23.0669
Middle Right	9.05	8.73	5.58	21.7635
Bottom Left	8.85	8.73	5.36	28.5581
Bottom Right	9.05	8.73	5.58	28.5836

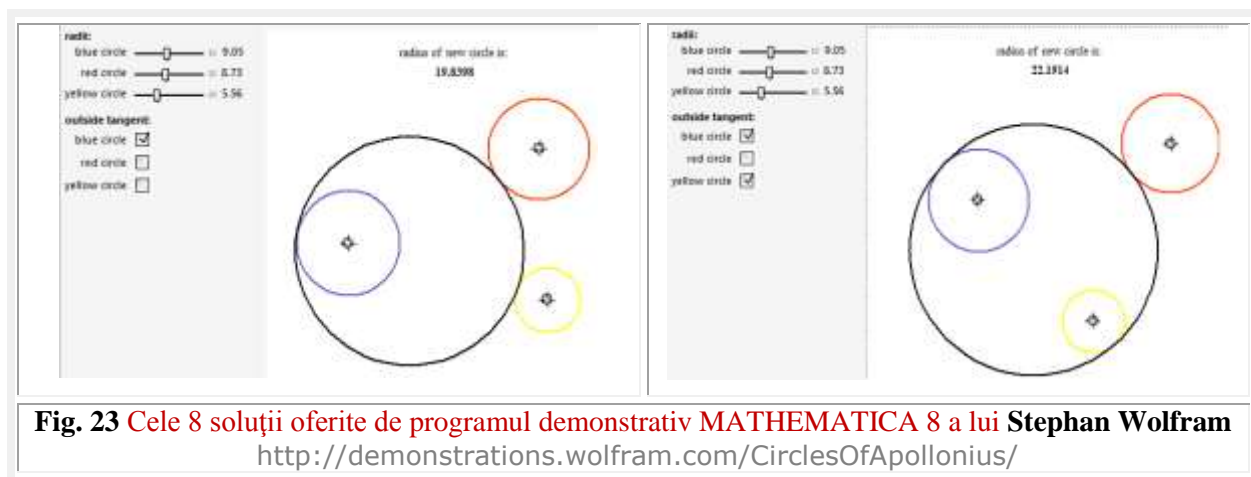


Fig. 23 Cele 8 soluții oferite de programul demonstrativ MATHEMATICA 8 a lui Stephan Wolfram
<http://demonstrations.wolfram.com/CirclesOfApollonius/>

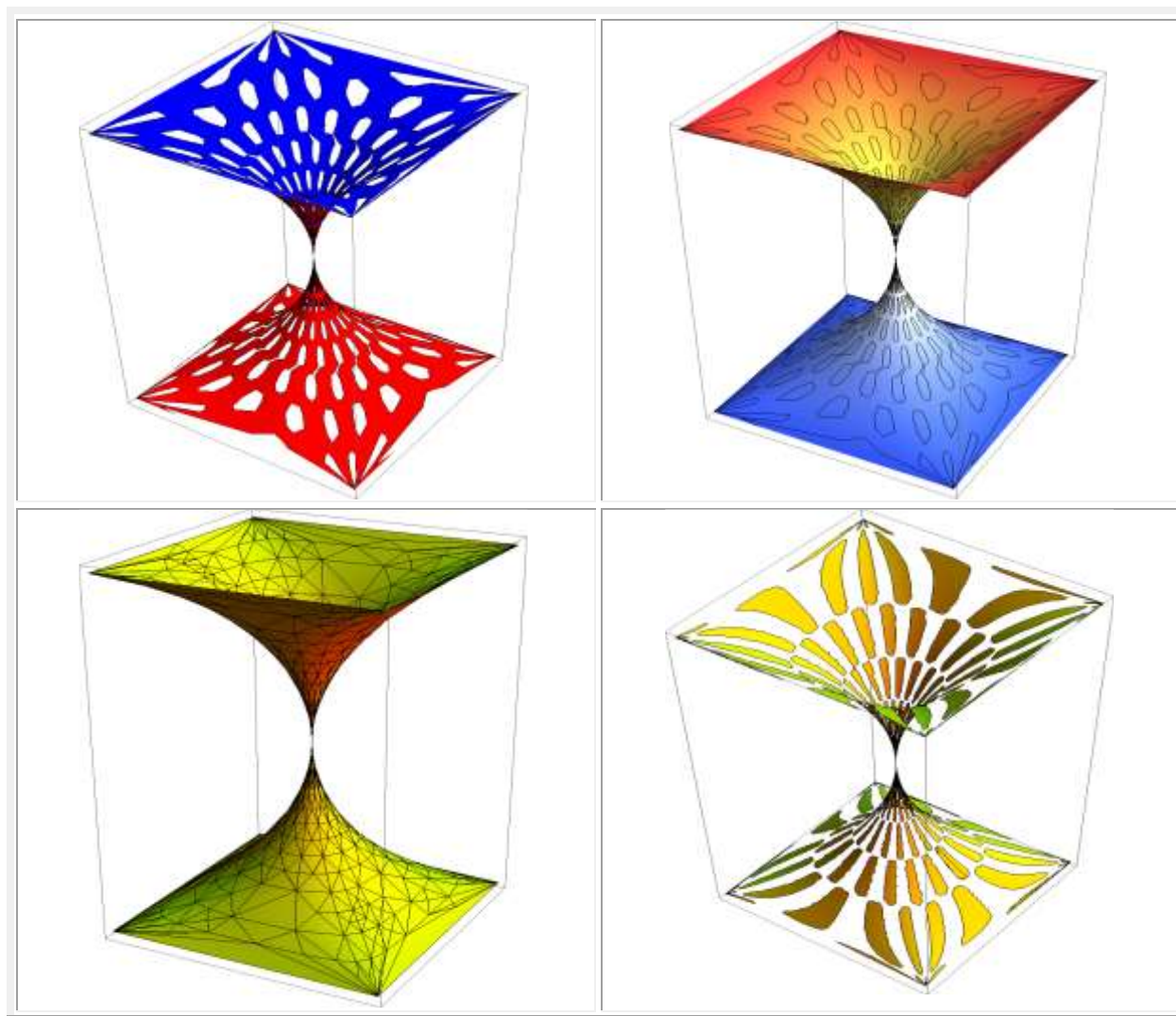
11. BIBLIOGRAFIE LA Cap. XXII

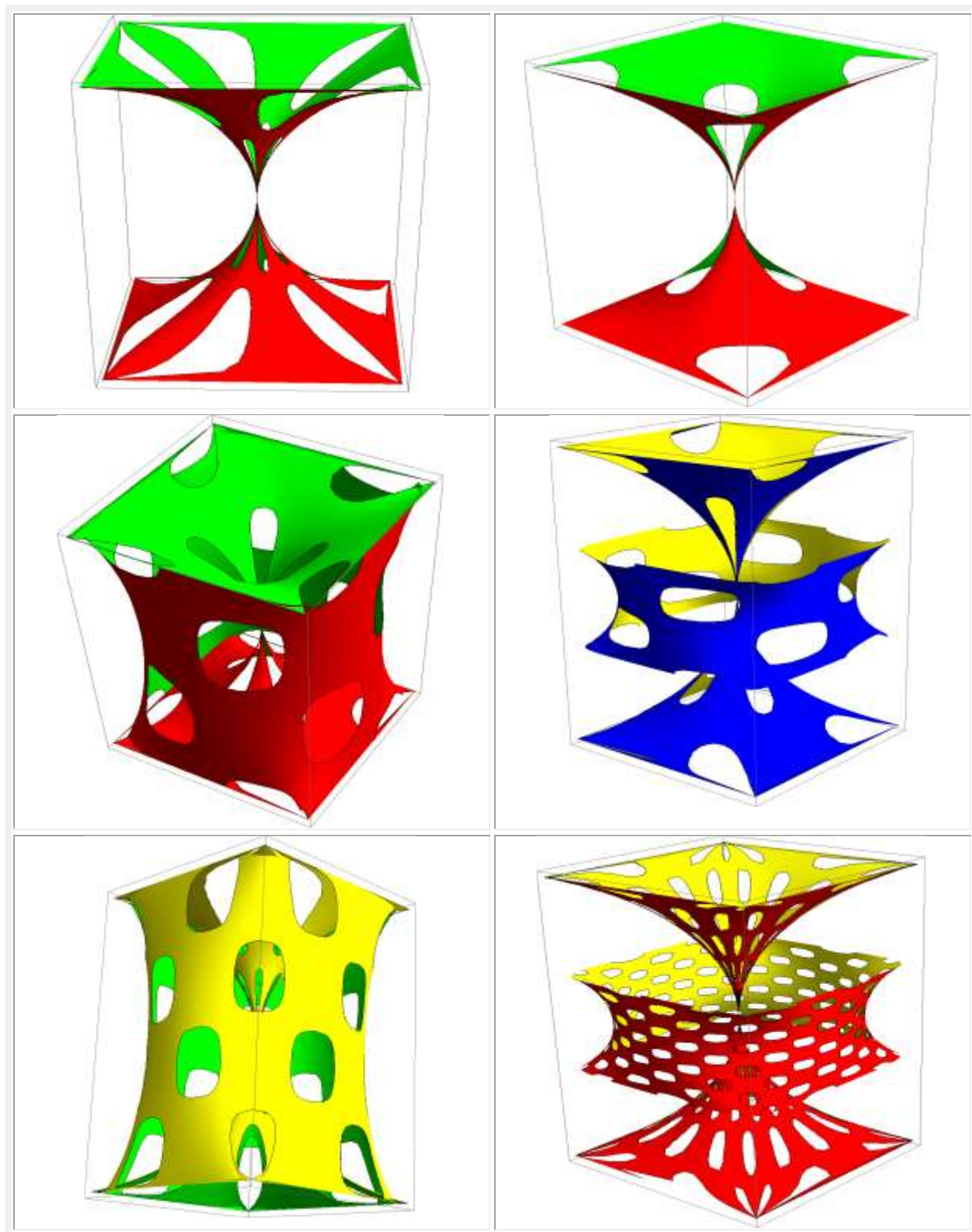
Nr. Crt.	Autor	DENUMIREA LUCRĂRII	EDITURA
1	ŞELARIU, M.E.	SUPERMATEMATICA. FUNDAMENTE.	Ed. "POLITEHNICA", Timișoara, 2007
2	ŞELARIU, M.E., GROZAV, I.	DETERMINAREA GRAFICĂ A MĂRIMII ŞI A POZIȚIEI ROȚII INTERMEDIARE LA PROIECTAREA CAPETELOR MULTIAXE	Com. III-a Conf. P.U.P.R., Timișoara, 1978 pag.169...174
3	GROZAV, I. PIRCEA, I. Şelariu, M.E.	DETERMINAREA ANALITICĂ A MĂRIMII ŞI A POZIȚIEI ROȚII INTERMEDIARE LA PROIECTAREA CAPETELOR MULTIAXE	Com. IV Conf. PUPR, Timișoara, 1981, pag. 239...244
4	Buzdugan Gh., Nanu A., Tache Gheorghe Şelariu Mircea, ş.a	MANUALUL INGINERULUI MECANIC. Vol.III TEHNOLOGIA CONSTRUCȚIILOR DE MAȘINI. Cap.18. PROIECTAREA DISPOZITIVELOR	Editura Tehnica, Bucuresti, 1972, Pag..899...984
5	Vasii -Rosculeț S, Şelariu Mircea, s.a.	PROIECTAREA DISPOZITIVELOR. Cap.17. DISPOZITIVE DE PRELUCRARE ŞI Cap.20. DISPOZITIVE DE AUTOMATIZARE A PROCESELOR DE PRODUCTIE.	Editura Didactică și Pedagogică, București, 1982. Pag. 474...542 și pag. 573...664
6	Şelariu Mircea, Konig M., Szekeres Fr	PROIECTAREA DISPOZITIVELOR. CAPETE MULTIAXE. PARTEA 1 : CONSTRUCȚIE ŞI EXPLOATARE	Centrul de Multiplicare al Institutului Politehnic "Tr Vuia" din Timișoara, 1980.
7	ŞELARIU, M.E.	SUPERMATEMATICA. FUNDAMENTE. Vol 1, ediția a 2-a	Ed. "POLITEHNICA", Timișoara, 2007
8	ŞELARIU, M.E.	SUPERMATEMATICA. FUNDAMENTE Vol 2, ediția a 2-a	Ed. "POLITEHNICA", Timișoara, 2007
9	ŞELARIU, M.E.	DETERMINAREA ORICÂT DE EXACTĂ A RELAȚIEI DE CALCUL A INTEGRALEI ELIPTICE COMPLETE DE SPEȚA ÎNTÂIA – K(k) -	Buletinul celei de a VIII-a Conferințe de Vibrații Mecanice, Vol.III, Timișoara, 1996. Pag. 15...24

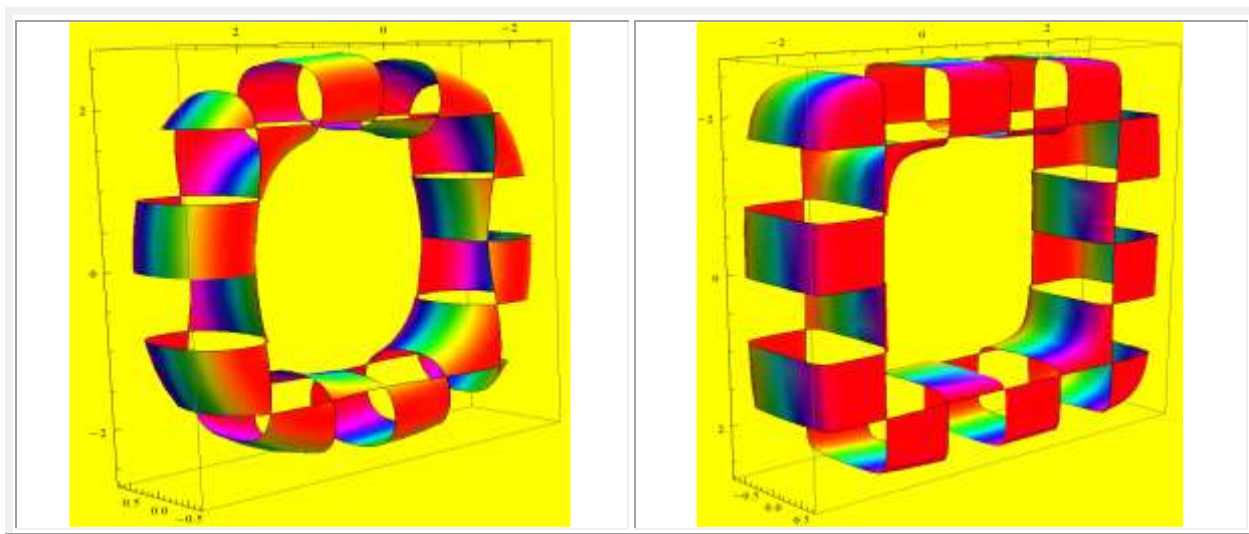
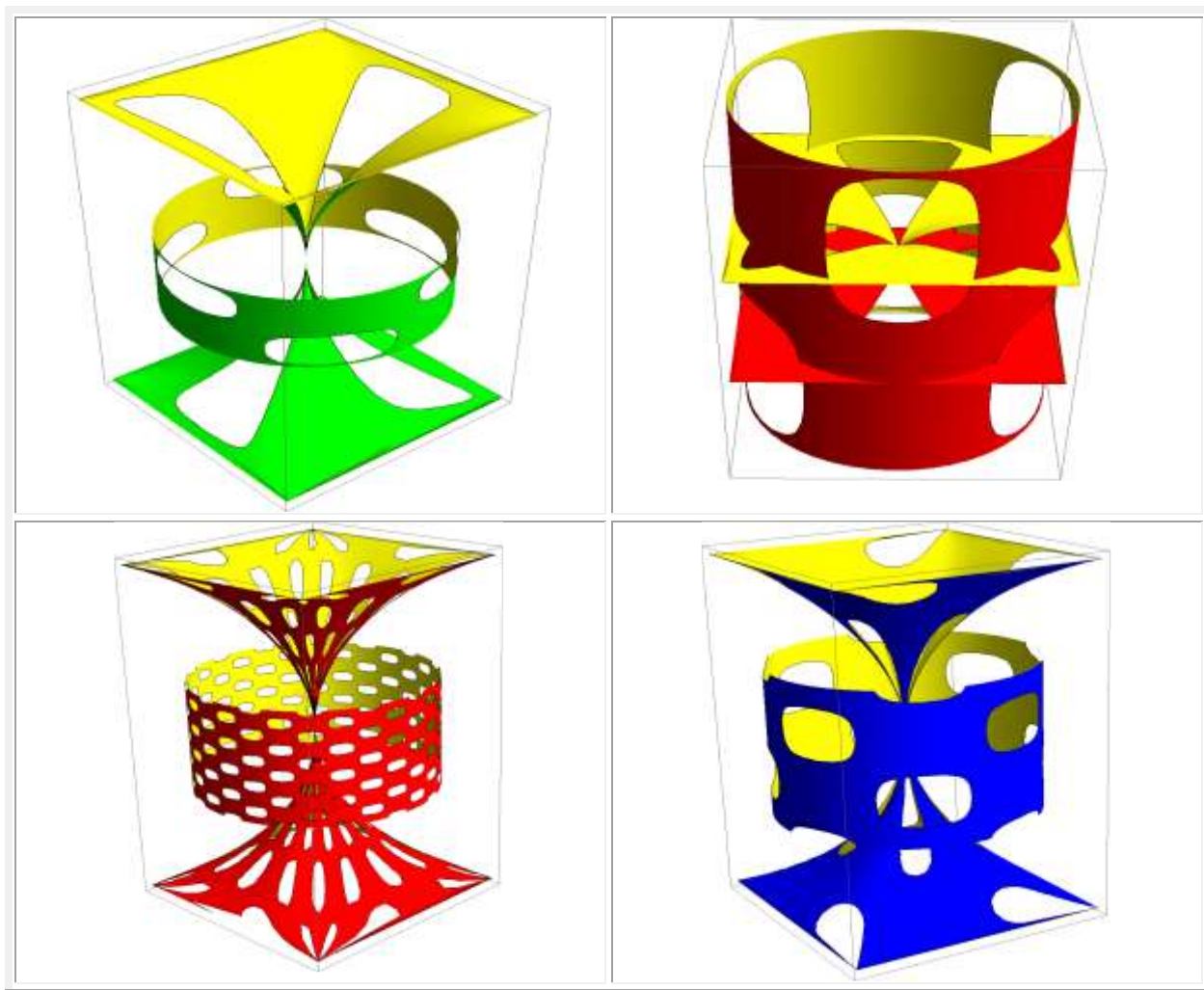
10	Vivian Feig	"CIRCLES OF APOLLONIUS" FROM THE WOLFRAM DEMONSTRATIONS PROJECT	http://demonstrations.wolfram.com/CirclesOfApollonius/
11	Kirk McDonald	A SOLUTION ON THE problem of apollonius	http://www.physics.princeton.edu/~mcdonald/papers/apollonius_051964.pdf
12	Moscovici, M	O INTERPRETARE GEOMETRICĂ NATURALĂ A SOLUȚIILOR COMPLEXE REZULTATE DIN UNELE PROBLEME DE GEOMETRIE ANALITICĂ	Ed. Tehnica, Buc. 1956

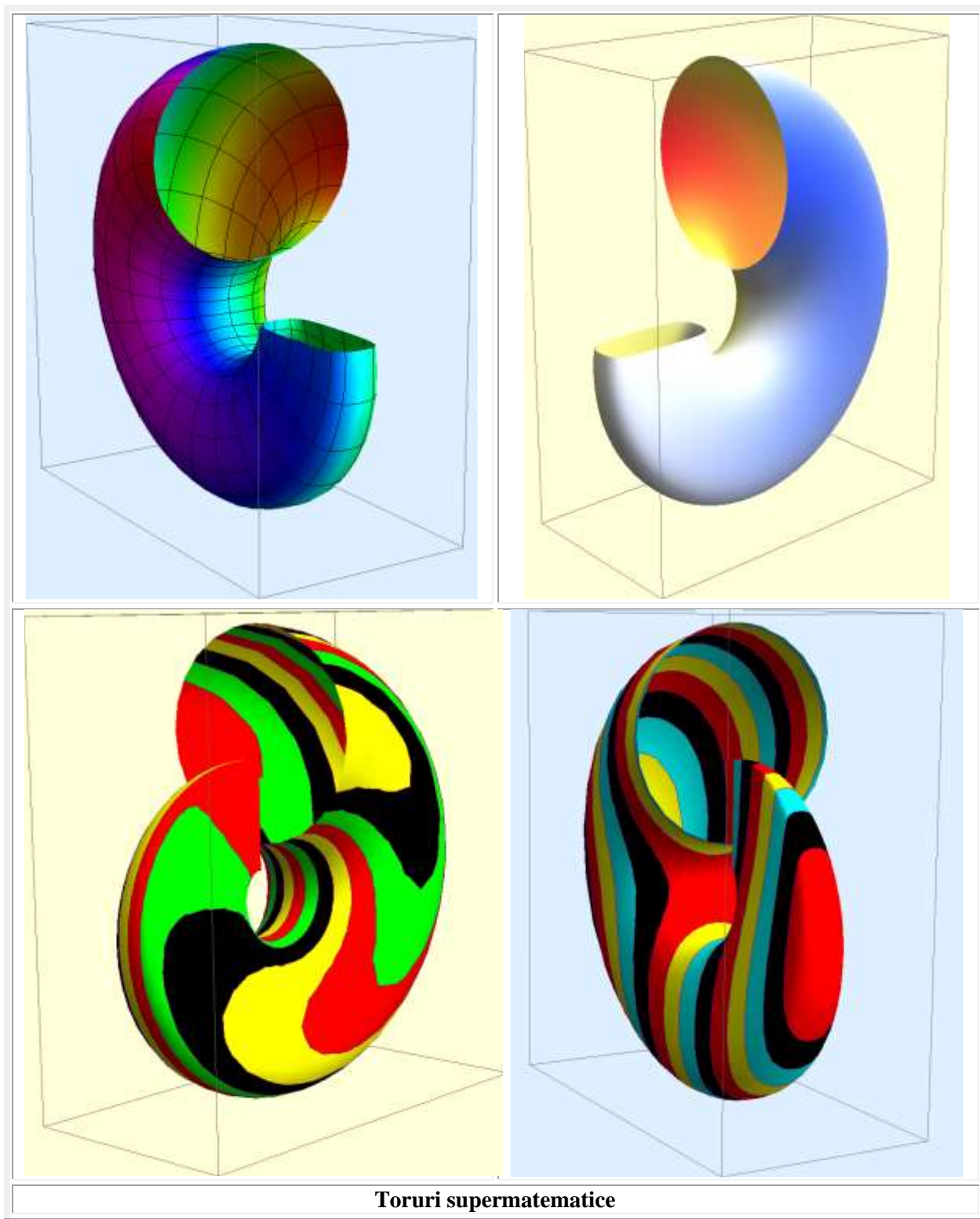
Pentru îmbunătățirea esteticii acestui capitol și pentru a începe capitolul următor pe o pagină împără, prezentăm în continuare câteva cuburi românești, *cele mai ușoare cuburi din lume* deoarece au volumul și, în consecință, și masa nule. Ele sunt realizate cu *funcții supermatematice circulare excentrice* prin descrierea a 6 piramide cu vârful comun, în centrul de simetrie al cubului, fără suprafețele lor de bază pătrate.

CLEPSIDRE CIURUITE









Toruri supermatematice

Motto:” *Politica e un pendul ale cărui balansuri între anarhie și tiranie sunt întreținute de iluzii revigorate în permanență.*”

Albert Einstein



CAPITOLUL XXIII

PENDULE SUPERMATEMATICE

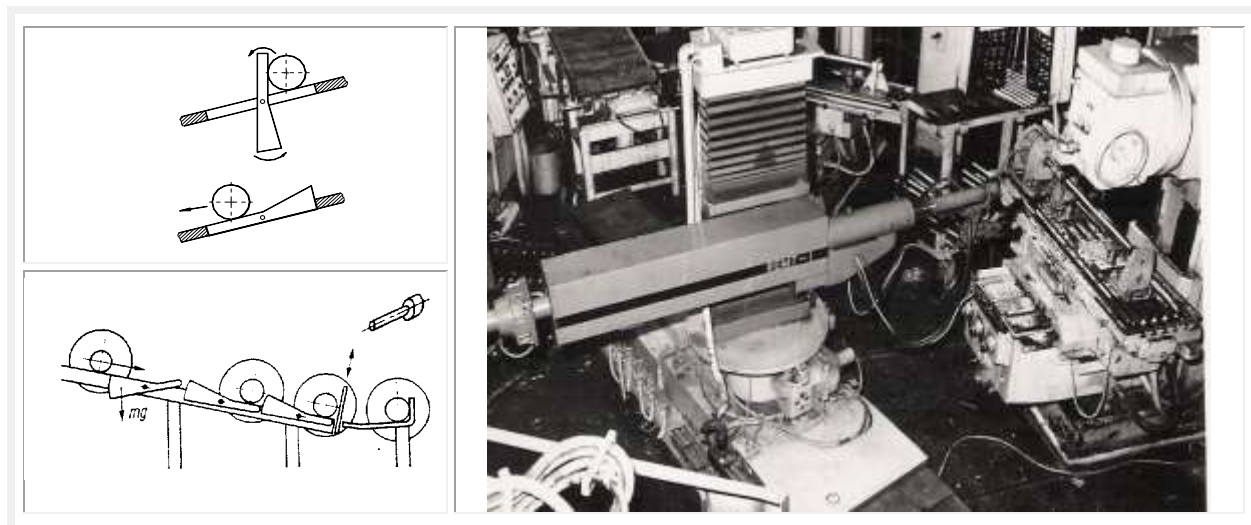
1. INTRODUCERE

Majoritatea studiilor referitoare la vibrațiile unor sisteme neliniare abordează problemele pendulului simplu sau a pendulului matematic (denumire neinspirată) în cele două ipostaze: liniar sau cu amplitudini mici și neliniar sau cu amplitudini mari. Ultimul fiind numit **pendul gravitațional neliniar (PGNL)**.

Mai sunt studiate pendulul cu frecare sau pendulul **Froud**, care a scos în evidență vibrațiile autoexcitate și pendulul labil sau invers, pendulul cicloidal sau **Huygens**, pendulul **Foucault** ș.m.a.

Studiul diverselor pendule nu este numai de interes pur fizic sau matematic, ci și tehnic; în afara tehnicilor depășite cu privire la orologiile cu pendule. Astfel, în domeniul tehnologiei construcțiilor de mașini (**TCM**), studiul pendulului este util cu privire la determinarea timpului de cădere / deplasare a unor semifabricate și / sau piese în jgheaburi circulare de transport gravitaționale, la determinarea șocurilor și a reacțiunilor care apar la livrarea automată prin cadere liberă, din zona de evacuare a acumulatorului de semifabricate și / sau piese și până în zona de lucru a dispozitivului de instalare pentru prelucrarea pe mașini-unelte sau, mai general, pe mașini de lucru. Astfel, putându-se determina tactul de lucru și, respectiv, capacitatea de producție și, în final, productivitatea de lucru / muncii a unor sisteme tehnice.

Multe componente ale mașinii de lucru sau ale dispozitivelor devin dinamic instabile și oscilează asemănător cu unele pendule, precum **transportorul gravitațional liber cu mișcare intermitentă (Fig.1)**, utilizat ca dispozitiv de livrare a pieselor / semifabricatelor cilindrice, cu rostogolire, utilizat și în construcția liniei tehnologice (celulei robotizate) de prelucrare a arborilor motoarelor electrice de gabarit 6, 7 și 8 de la Electromotor din Timișoara, lucrare distinsă cu **premiul “Traian Vuia” al ACADEMIEI ROMÂNIEI**, în anul 1983 pentru anul 1981.

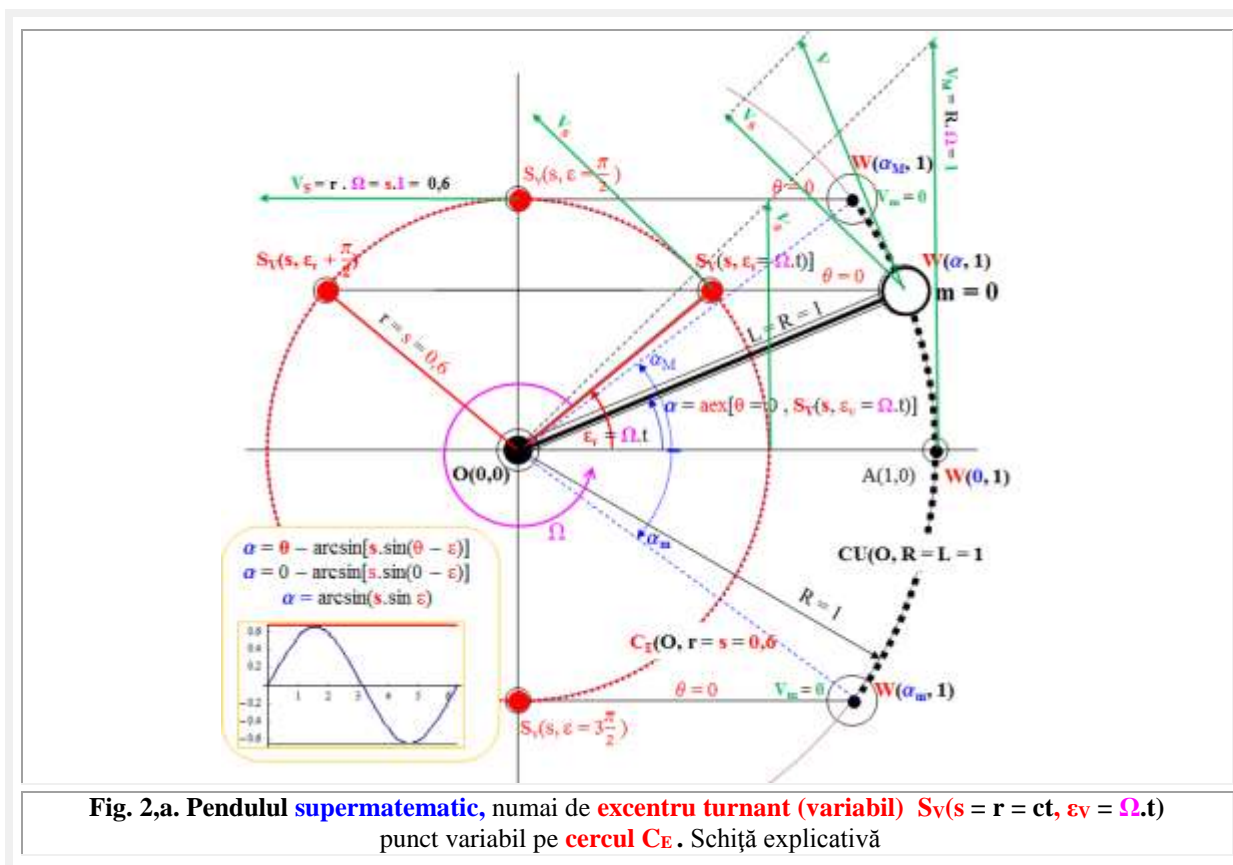


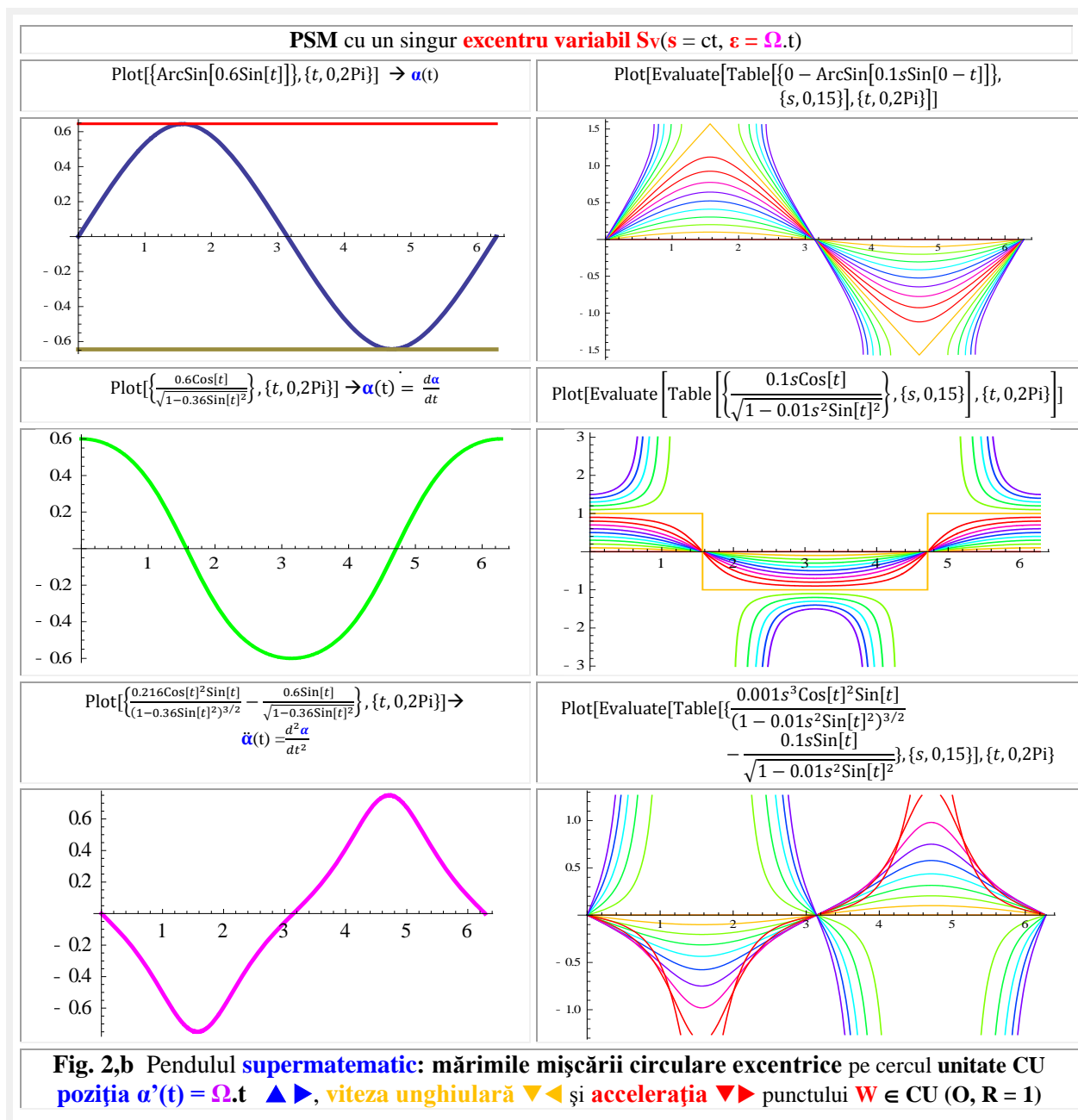
2. PENDULUL SUPERMATEMATIC (PSM) CU UN SINGUR EXCENTRU SAU MIȘCAREA CIRCULARĂ EXCENTRICĂ OSCILANTĂ

Denumirea de **pendul matematic**, atribuită **pendulului simplu, gravitațional**, este improprie deoarece **matematica** nu operează cu **masa m**, **gravitația g**, **forța F**, **momentul M**, **lucru mecanic L**, **putere P**, **energie E** etc. De aceea, adevăratul pendul matematic este cel prezentat în lucrarea [18] și, mult mai extins și mai diversificat, în continuare, din care prezentăm unele concluzii și pe adevăratul pendul matematic, denumit, pentru evitarea confuziilor, **pendul supermatematic (PSM)**.

De fapt, sunt o familie de **pendule** de **masă nulă** ($m = 0$). Au fost denumite **supermatematice (PSM)** deoarece mărimile de oscilație ca **elongația**, **viteza unghiulară** și **acelerația unghiulară** ale unui punct **M fără masă**, pe un **cerc** sau **arc de cerc** oarecare, se exprimă cu ajutorul **funcțiilor supermatematice circulare excentrice (FSM-CE)** de excentre **E(e, ε)** și **S(s, ε)** fixe, în acest capitol și /sau variabile, în cel următor.

Din prima familie de **PSM** fac parte cele ale cărui punct **W** oscilează pe un arc de cerc de rază **R**. În desenul din **figura 2, a** s-a ales **R = 1**, astfel că arcul de cerc aparține unui cerc unitate **CU(O, R = 1)**. Oscilația este cauzată de proiecția **mișcării circulare centrice (MCC)** a punctului **S_v**, de pe cercul excentrului mobil **C_E(O, r = s = 0,6)**, turnant în jurul centrului **O**, pe direcția axa **Ox**. În **figura 2, a** s-a ales chiar **O(0, 0)** drept centru al cercului excentrului **C_E** și, totodată, a cercului unitate **CU**, dar rezultatul este același, oriunde ar fi centrul **cercului excentricului C_E** ($O, r = s$), pe axa **Ox**, al unui punct **S_v** ($s = r, \varepsilon_v = \Omega.t$), turnant pe acest cerc.





Mișcarea circulară excentrică (MCE) este definită ca o mișcare variabilă a unui punct pe cerc, dirijată dintr-un **excentru** $E(e, \varepsilon)$ sau $S(s, \varepsilon)$, puncte fixe sau variabile, de excentricitate liniară **reală** e , pentru un cerc oarecare $C(O, R)$ și **numerică** $s = e/R$, pentru cercul unitate $CU(O, 1)$, precum și cu **excentricitate unghiulară** ε , în care **variabila excentrică** $\theta = \Omega.t$ la excentrul E sau S este denumită **variabilă motoare**.

MCE-oscilantă (MCE-O) este de excentre $E_V(e_V, \varepsilon_V)$ și $S_V(s_V, \varepsilon_V)$ puncte **mobile**, de obicei turnante în jurul altor excentre $E_F(e_F, \varepsilon_F)$ și $S_F(s_F, \varepsilon_F)$ **fixe**, iar locul variabilei motoare θ este preluat de **variabila excentrică** $\varepsilon_V \equiv \varepsilon_V = \Omega.t$, care devine ea variabila motoare, mișcare prezentată în lucrarea autorului [1], ca o mișcare oscilantă variabilă pe cerc, de unghi $\theta = \text{const.} = 0$ la excentrul variabil $S_V(s_V, \varepsilon_V)$.

Din **figura 2,a** rezultă că punctul **W** oscilează pe cercul unitate între limitele **W_D** şi **W_S**. Din graficele prezentate, în **figura 2 b**, rezultă că **viteza** punctului **E_V** pe cercul **CU(O, R = 1)** oscilează simetric faţă de viteza medie **V_{med} = R · Ω = 1.1 = 1**.

Poziţia, de unghi $\alpha(t)$, a punctului oscilant **W**($\alpha, 1$), pe cercul unitate **CU(O,1)**, este dată de proiecţia în direcţia axei **Ox** (adică de unghi $\theta = 0$ la excentrul **S**) a punctului **S(s, ε)**, care se roteşte pe cercul **C_E(O,s)** al excentrului **S(s, ε)** cu **viteza unghiulară** constantă - aleasă $\Omega = 1$ - (**Fig. 2,a**).

În funcţie de raportul r / R sau de **excentricitatea numerică s**, apar următoarele cazuri :

- 1) Dacă $r < R$, rezultă o **oscilaţie** a **PSM** între limitele $\alpha_{m,M} = \pm \pi/2$, caz indicat în **figura 2,a** ;
- 2) Dacă $R = r$, rezultă o **mişcare circulară de viteză unghiulară constantă**, în cazul din figură, $\omega = \Omega = 1$, care pentru $\varepsilon_V = \pm \pi/2$ în punctele **W_{mM}** ($\alpha_{m,M} = \pm \pi/2, R$) **schimbă de sens**, astfel că mişcarea rămâne oscilantă şi are loc doar pe un singur semicerc de rază **R**. În punctele amintite acceleraţia unghiulară tinde la infinit (**Fig. 2,b ►**), diferenţiindu-se, astfel, de cazul pendulelor **cu masa m**.
- 3) Dacă $r > R$, şi cele două cercuri sunt concentrice, rezultă o **MCC discontinuă** de $\omega = \pm \Omega$. În punctele de $\alpha_{Sup} = \frac{\pi}{2}$ şi de $\alpha_{Inf} = 3\frac{\pi}{2}$ punctul **W** staţionează o perioadă, cu atât mai lungă cu cât diferenţa dintre r şi **R** este mai mare, adică $s \gg 1$; pentru $r = 0$, cât şi pentru $R = 0$, mişcarea **PSM** încetează, adică nu mai există, aşa cum se poate observa în **figura 2,b ►**.

Ca urmare, valorile elongaţiei, vitezei unghiulare şi ale acceleraţiei unghiulare de oscilaţie ale punctului **W**, în primul caz, sunt :

$$(1) \quad \alpha(t) = aex\theta = \theta - \arcsin[s \cdot \sin(\theta - \varepsilon)] \quad \text{şi pentru } \theta = 0 \text{ rezultă :}$$

$$(1') \quad \alpha(t) = \arcsin(s \cdot \sin\varepsilon), \quad \text{cu graficul din figura 2,b ▲◀ pentru } s = 0,6.$$

Prin derivarea relaţiei (1) se obţine viteza unghiulară, exprimată de **funcţia supermatematică circulară excentrică (FSM – CE)** derivată excentrică **dexθ**, de variabilă excentrică **θ** :

$$(2) \quad \dot{\alpha}(t) = 1 - \frac{s \cdot \cos(\theta - \varepsilon)}{\sqrt{1 - s^2 \cdot \sin^2(\theta - \varepsilon)}} = dex\theta$$

şi pentru $\theta = 0$ rezultă :

$$(2') \quad \dot{\alpha}(t) = 1 - \frac{s \cdot \cos \varepsilon}{\sqrt{1 - s^2 \cdot \sin^2 \varepsilon}} = dex[0^0, S(s, \Omega, t)],$$

cu graficele din **figura 2,b ●◀**.

Prin derivarea lui **dexθ** se va obţine acceleraţia unghiulară **ε** :

$$(3) \quad \ddot{\alpha}(t) = \frac{s^3 \cos[\varepsilon - \theta]^2 \sin[\varepsilon - t]}{(1 - s^2 \sin[\varepsilon - \theta]^2)^{3/2}} - \frac{s \sin[\varepsilon - \theta]}{\sqrt{1 - s^2 \sin[\varepsilon - \theta]^2}}$$

şi pentru $\theta = 0$ rezultă :

$$(3') \quad \ddot{\alpha}(t) = \frac{0.216 \cos[\varepsilon]^2 \sin[\varepsilon]}{(1 - 0.36 \sin[\varepsilon]^2)^{3/2}} - \frac{0.6 \sin[\varepsilon]}{\sqrt{1 - 0.36 \sin[\varepsilon]^2}}, \quad \text{cu graficele din figura 2,b ▼◀.}$$

Graficele pentru cazul din **figura 2,a** de $s = 0,6$ sunt prezentate în **figura 2,c** în partea stângă ◀, iar cele de $s \in [0, 1,5]$ în partea dreaptă ►, unde se observă că pentru $s > 1$ mişcarea încetează, într-un anumit interval, simetric, din jurul valorilor $\pi/2$ şi $3\pi/2$.

Din **figura 2,a** rezultă că aceleaşi puncte pot fi, în acelaşi timp, **centre** şi **excentre**, ceea ce face ca înţelegerea fenomenelor **supermatematice** şi mecanice să devină mai complicată. De exemplu, punctul **O'(0,3 ; 0) ≡ S_F(S_F, ε_F = 0)** este **centru** pentru cercul **C(O', r = e_V)** şi **excentru** punct **fix S_F(-S_F, ε_F = 0)** pentru cercul unitate **CU(O, R = 1)**, pentru care **O(0,0)** devine **centrul CU** şi **excentru punct fix** pentru **C(O', r = e_V)**.

Din **figura 2,b ●►** cât şi din **figura 3,c ▲►** se observă că pentru $s = 1$, adică cele două cercuri **C_E** şi **CU** de aceeaşi rază ($r = R$), viteza unghiulară de oscilaţie a punctului **W** este $\omega = \pm 1$, egală în modul cu viteza de oscilaţie $\Omega = 1$ şi este constantă. Se observă, de asemenea, că în punctele **S_V = W**, de $\alpha = \pi/2$ şi $\alpha = 3\pi/2$ funcţia schimbă de semn, ceea ce arată că mişcarea de oscilaţie a lui **W** schimbă de sens şi mişcarea se face numai pe un singur semicerc **CU**, cel cuprins între punctele **W_m(-π/2 sau 3π/2)** şi **W_M(+π/2)**,

adică pentru $\alpha_{m,M} = \pm \pi/2$ şi nu este o mişcare continuă pe **CU**, cum se consideră mişcarea pendulului gravitaţional neliniar de **masă m** în acest caz.

Din aceleaşi grafice, rezultă că acelaşi lucru se întâmplă şi pentru $s > 1$, cu deosebirea că, între momentul schimbării sensului de oscilaţie pe **CU**, există o pauză / stagnare în care $\omega = 0$.

Un fenomen asemănător a fost relevat şi în lucrarea autorului [16: ”TRANSFORMAREA RIGUROASĂ ÎN CERC A COMPLIANŢEI”] în care se arată că răspunsul în frecvenţă sau complianţa A_1 este dată şi de **funcţia supermatematică circulara excentrică (FSM– CE)** de **variabilă centrică $Rex\alpha_1$** :

$$(4) \quad A_1 = \pm \frac{1}{\sqrt{1+\chi^4-2\chi^2(1-2\zeta^2)}} = \frac{1}{\pm \sqrt{1+s^2-2s\cos\alpha_1}} = \frac{1}{Rex[\alpha_1, S(s=\chi^2, \varepsilon=0)]}$$

care, pentru $s < 1$ este pozitivă, iar pentru

$s > 1$ schimbă de semn, deoarece, pentru un excentru **S**, care este totodată şi originea dreptei excentrice **d**, interior discului unitate, $Rex\alpha_1 = \overline{SW}_1$, W_1 este la dreapta excentrului **S** şi $Rex\alpha_1 > 0$ pe semidreapta pozitivă **d**⁺, a dreptei excentrice **d** = **d**⁺ ∪ **d**⁻, iar pentru $s > 1$, W_1 este dispus la stânga excentrului, pe semidreapta negativă **d**⁻ şi segmentul $Rex\alpha_1 = \overline{SW}_1 < 0$ este orientat în sensul semidreptei **d**⁻, negativ al dreptei excentrice **d**, astfel, nu mai sunt necesare explicaţii pe o întreagă pagină cu privire la schimbarea semnului, aşa cum este cazul în mecanica clasică.

3.PENDULUL SUPERMATEMATIC (PSM) CU DOUĂ EXCENTRE UNUL FIX ŞI AL DOILEA VARIABIL PE UN CERC

Din a doua familie fac parte **PSM** cu două **excentre** (Fig. 3,a): **unul fix $S_F(S_F, \varepsilon_F = 0)$** care este, acum, centrul cercului **C(O', r = s_F)** pe care se roteşte, cu $\Omega = ct. = 1$, excentrul variabil **E_V(s_v, ε_v = Ω.t)**, a cărui excentru **E_V** se proiectează pe direcţia axei **Ox** pe cercul **CU(O, R = L = 1)** în punctul **W** de pe cercul unitate **CU(O, R)** generând, astfel, un nou tip de oscilaţie a **PSM**.

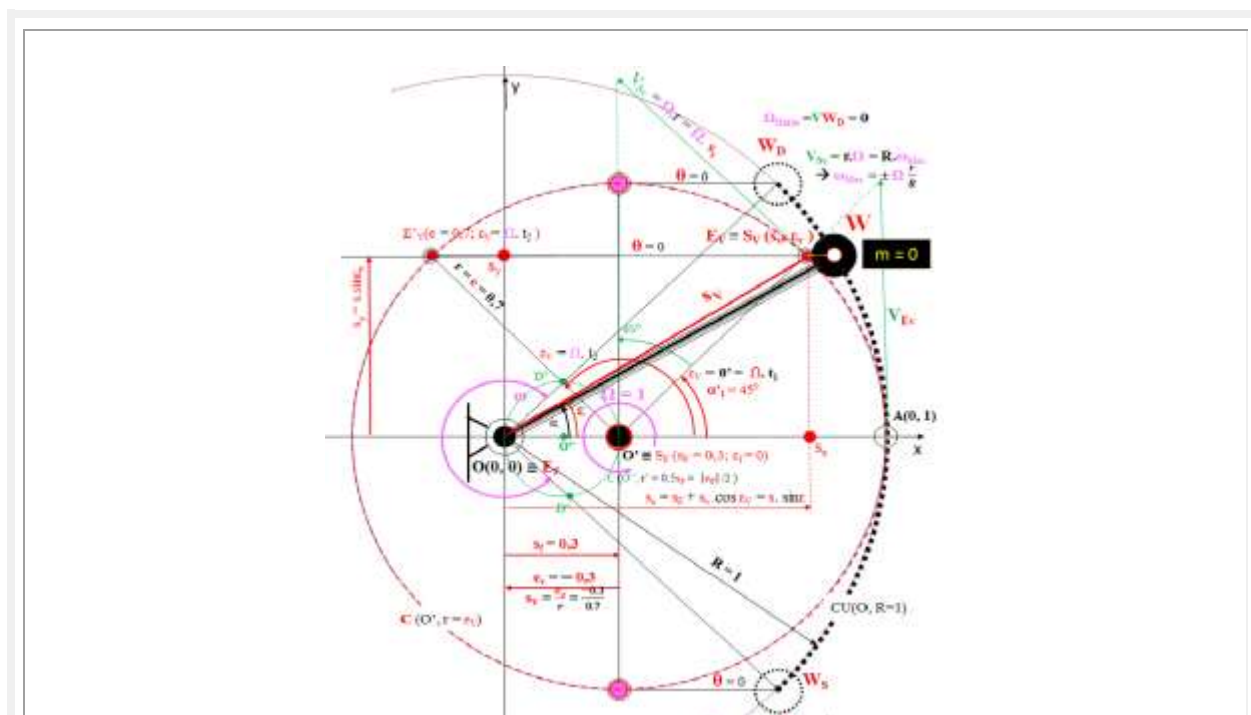


Fig.3,a Pendulul **supermatematic** cu două **excentre S_F** şi **S_V** . Schiţă explicativă şi de lucru a mărimilor de rotaţie pe cercul **C(O', r = e_v)** şi de oscilaţie pe cercul unitate **CU(O, R = 1)**

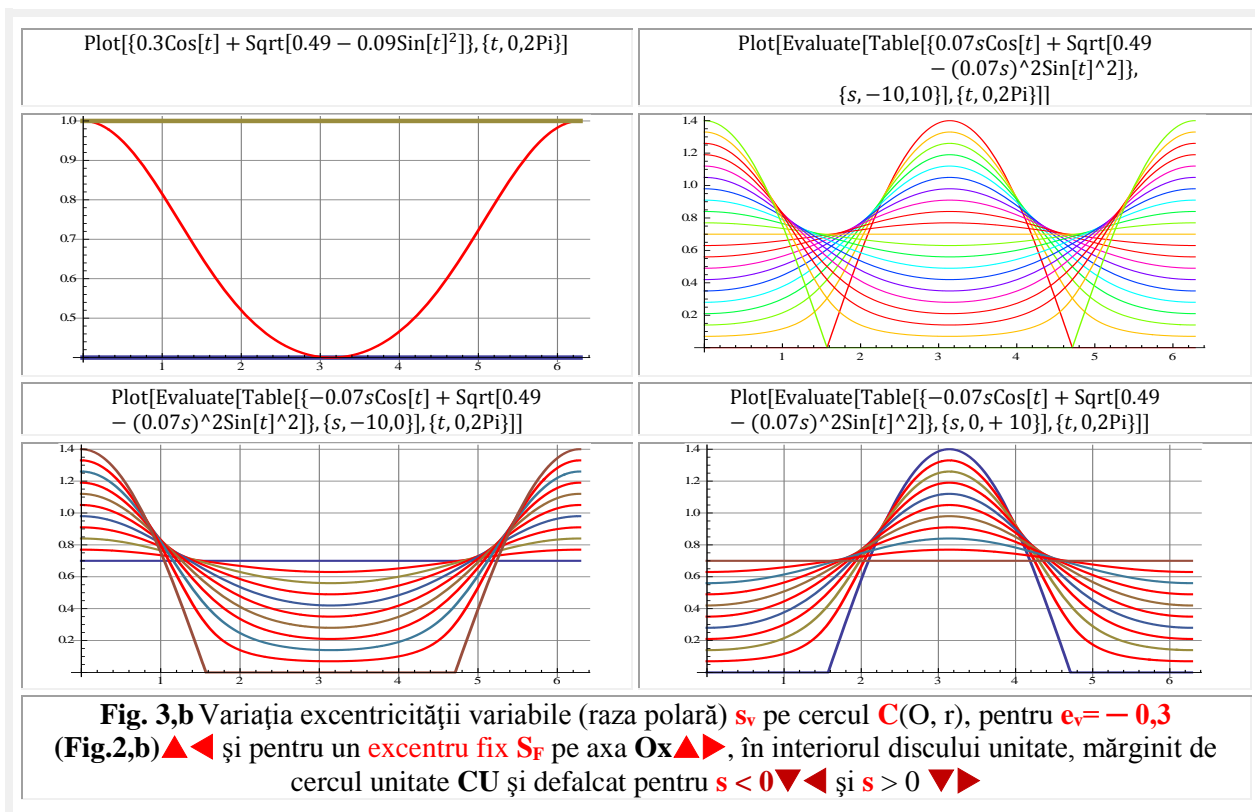
În acest caz, oscilaţia punctului **W**, de masă nulă $\mathbf{m} = \mathbf{0}$, pe cercul unitate **CU(O, R=1)** este generată de proiecţia orizontală, de $\theta = \mathbf{0}$, adică pe direcţia axei **Ox**, a excentrului variabil **S_v** pe acest cerc.

Din **figurile 3,a** şi **3,b** rezultă imediat că excentricitatea liniară numerică variabilă **s_v** variază între limitele:

$$(5) \quad \begin{cases} s_{vM} = 1, \text{ pentru } \alpha = 0 \\ s_{vM} = 0,4, \text{ pentru } \alpha = \pi \end{cases}$$

adică coordonatele polare limită ale excentrului variabil al cercului unitate **CU(O, R = 1)** sunt:

(5') **S_v** ($s_v \in [0,4; 1]$, $\varepsilon_v = \Omega.t$), în care, raza polară **s_v** este distanţa de la excentrul fix **O(0,0) ≡ E_F**, pentru cercul **C(O', r = e = 0,7)**, la punctul de pe cercul **C(O', r = e = 0,7)**, dată, după cum este cunoscut, de **FSM – CE radial excentric rexθ** de variabilă **excentrică θ**.



Pentru soluţionarea problemei, sunt necesare coordonatele polare ale excentrului mobil **S_v** ($s_v, \varepsilon_v = \Omega.t$).

Unghiul polar, de rotaţie, este $\varepsilon_v = \Omega.t$ din **O' ≡ S_F** al punctului **E_v** (excentrul variabil / turnant) pe cercul **C(O', r = e_F)**, care este totodată şi excentricitatea unghiulară variabilă $\varepsilon_v = \Omega.t$ a excentrului variabil **E_v** din **figura 3,a** şi se exprimă cu **FSM – CE amplitudine excentrică** $s_v = r.r\text{ex}[\theta' = \varepsilon_v = \Omega.t, E_F(-0,3; \varepsilon_v = \Omega.t)]$ de ecuaţie:

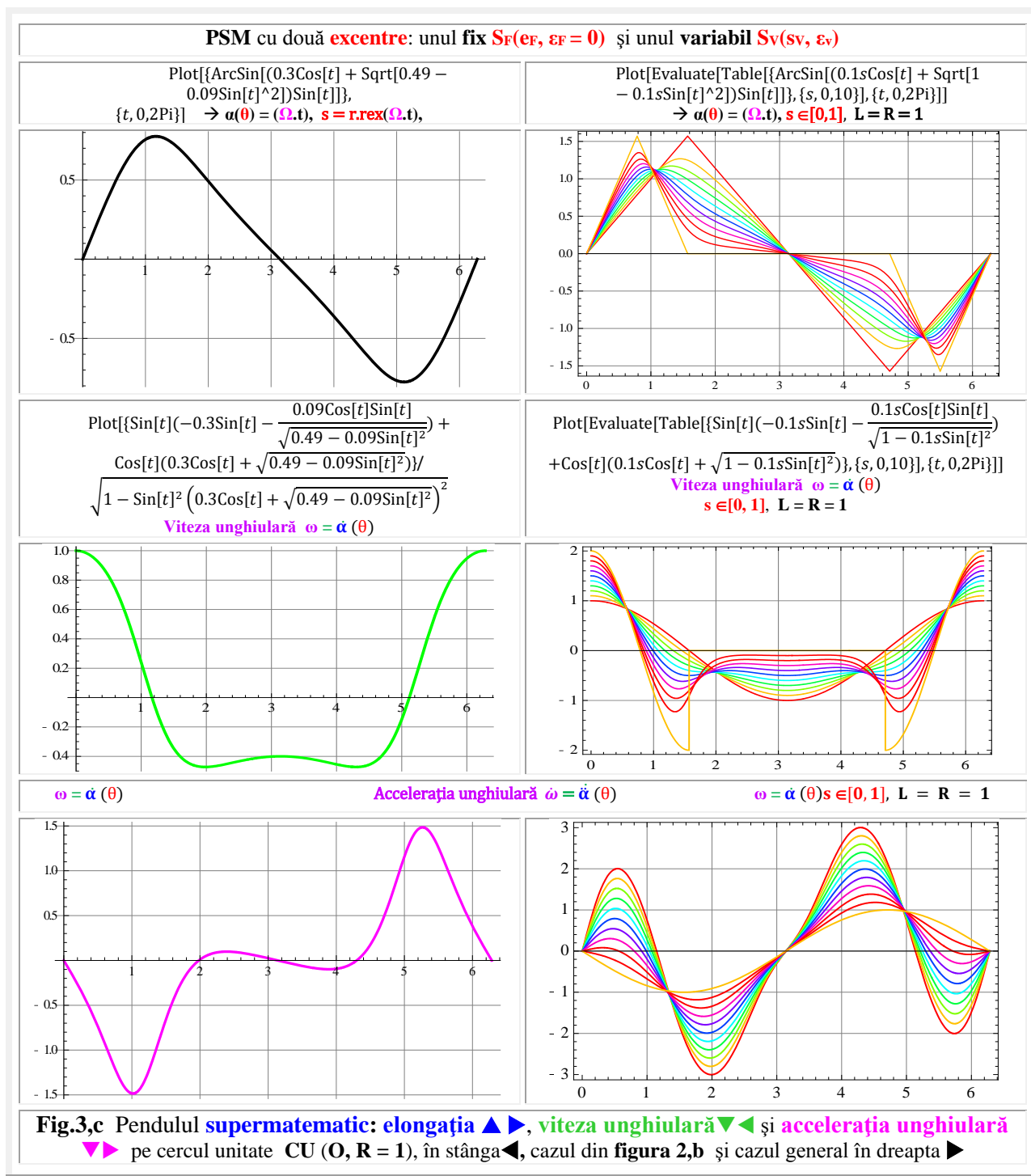
$$(6) \quad s_v = r.r\text{ex}\theta = r(-s \cdot \cos(\theta - \varepsilon) + \sqrt{1 - s^2 \sin^2(\theta - \varepsilon)})$$

şi, în condiţiile date:

$$(6') \quad r = 0,7, s = \frac{e}{r} = \frac{-0,3}{0,7} = -0.42857142857142855 \cong -0.42857, \Omega = 1$$

$$(7) \quad s_v = 7.r\text{ex} \Omega.t = 7[0,42857 \cdot \cos(\Omega.t) + \sqrt{1 - 0,42857^2 \sin^2(\Omega.t)}] = 0,3 \cdot \cos t + \sqrt{0,7^2 - 0,3^2 \cdot \sin^2 t}$$

cu graficele din **figura 3,c**.



Dacă, pentru cazul din **figura 3,a**, limitele excentricității variabile sunt cele amintite (5), pentru un excentru $O' = S_F$ plasat pe axa Ox , în interiorul cercului C , valorile extreme cresc simțitor, ajungând în domeniul $s_V \in [0; 1,4]$, **figura 3,b** $\blacktriangleright \blacktriangle$, pentru $S_F = -1 \rightarrow e_F = r.S_F = 0,7$, adică $O' = S_F$ în originea $A(0,7; 0)$ a cercului C ($O', r = e$) și pentru $s > 0$ în punctul $A'(-0,7; 0)$.

4. PENDULUL SUPERMATEMATIC CU UN EXCENTRU VARIABIL PE ELIPSĂ

Schiţa de principiu a acestui **pendul supermatematic**, **figura 4**, a cărei mişcare de oscilaţie, pe un cerc, în acest caz s-a ales cercul unitate **CU(O, R = 1)**, este dată de proiecţia paralelă cu axa **Ox**, adică de **$\theta = 0$** , a unui singur excentru variabil **S_v**, care evoluează pe o elipsă cu semiaxa mare **a = 1** şi semiaxa mică **b = 0,7**.

Coordonatele excentrului variabil **S_v(s_v, ε_v)**, sunt:

- **Excentricitatea liniară numerică s_v**, care este chiar **raza polară r** a elipsei cu polul în centrul de simetrie **O(0, 0)**, este exprimată de relaţia:

$$(7) \quad r = s_v = \frac{b}{\sqrt{1-\epsilon^2 \cos^2 \varphi}} = \frac{a\sqrt{1-k^2}}{\sqrt{1-k^2 \cos^2 \varphi}} = \frac{ak'}{\sqrt{1-k^2 \cos^2 \varphi}}, \quad \text{în care, excentricitatea reală } e \text{ a elipsei este}$$

$$(8) \quad e = \sqrt{a^2 - b^2} = \sqrt{1 - 0.7^2} = \sqrt{0,51} = 7,14142842854285, \text{ iar excentricitatea numerică } \epsilon \text{ este}$$

$$(9) \quad \epsilon = \frac{e}{a} = e = 7,14142842854285 \text{ şi, pentru cazul din } \mathbf{figura 4}, \text{ în care } \varphi = \epsilon_v = \Omega \cdot t = 47^\circ \leftrightarrow 0.8203047484373349 \text{ rad. este}$$

$$(8') \quad s_v = \frac{0,7}{\sqrt{1-0,51 \cdot \cos^2 \varphi}} = \frac{0,7}{\sqrt{1-0,51 \cdot \cos^2(47^\circ)}} = 0,80 \text{ (} \cong 80 \text{ mm in desenul original cu } R = 100 \text{ mm), iar}$$

- **Excentricitatea unghiulară ε_v** care este chiar coordonata polară **φ** fiind exprimată de:

$$(10) \quad \varphi = \epsilon_v = \Omega \cdot t$$

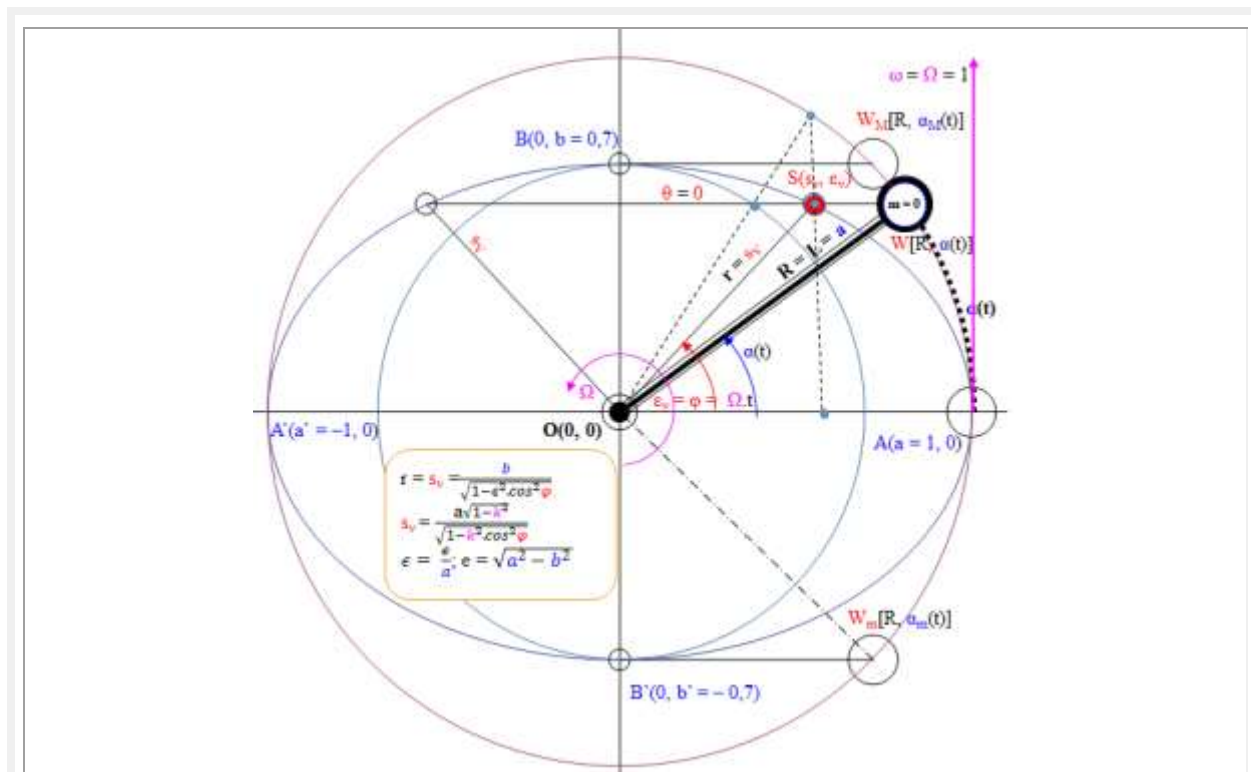


Fig. 4 Schiţă explicativă a **pendulului supermatematic (PSM)** cu un excentru variabil pe o **elipsă**

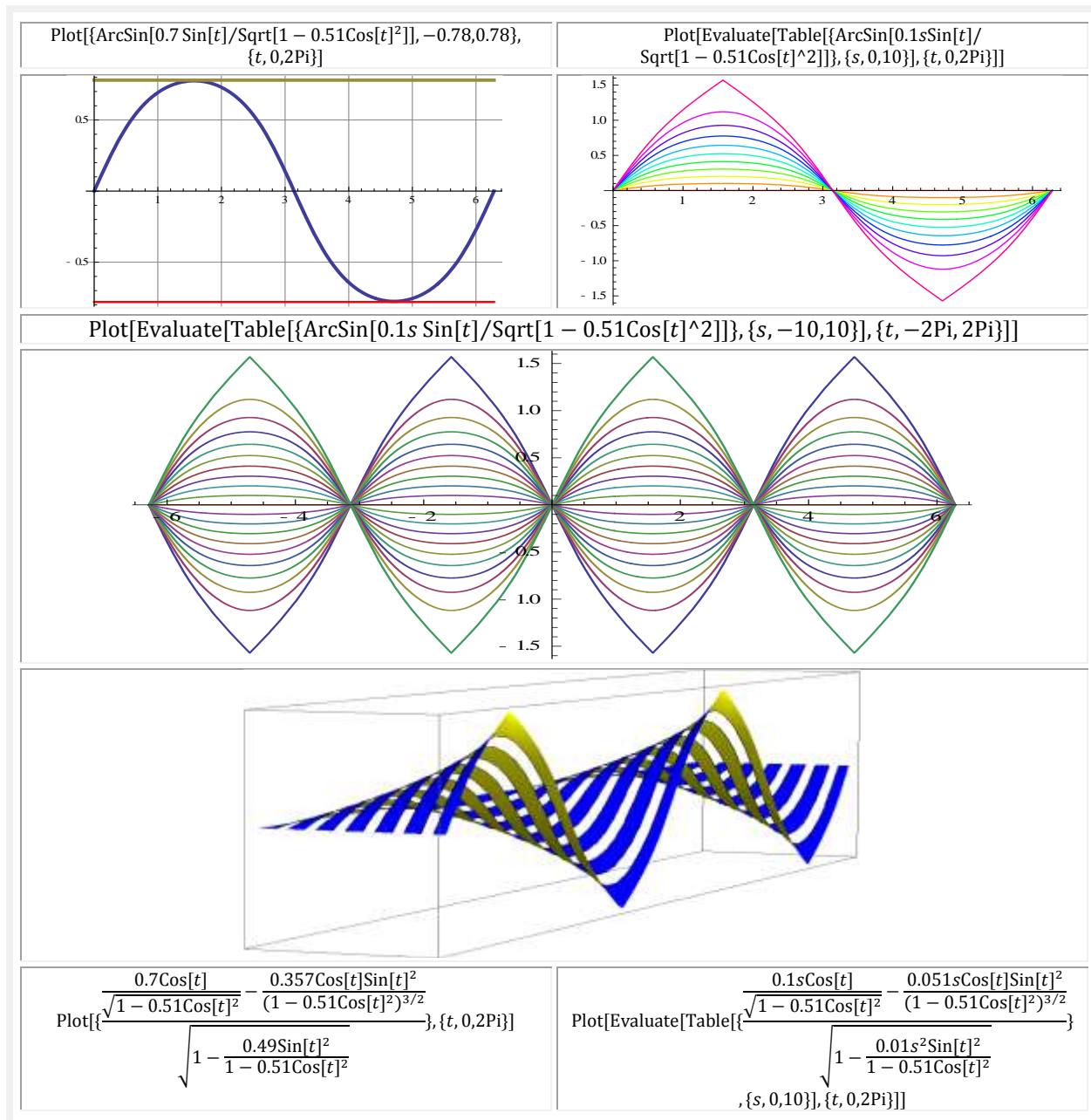
Cunoscându-se aceste mărimi, poziția pendulului $\alpha(t)$ pentru $R = \Omega = 1$, pe cercul unitate **CU**, va fi dată de **FSM – CE** amplitudine excentrică (1), de variabilă excentrică θ ,

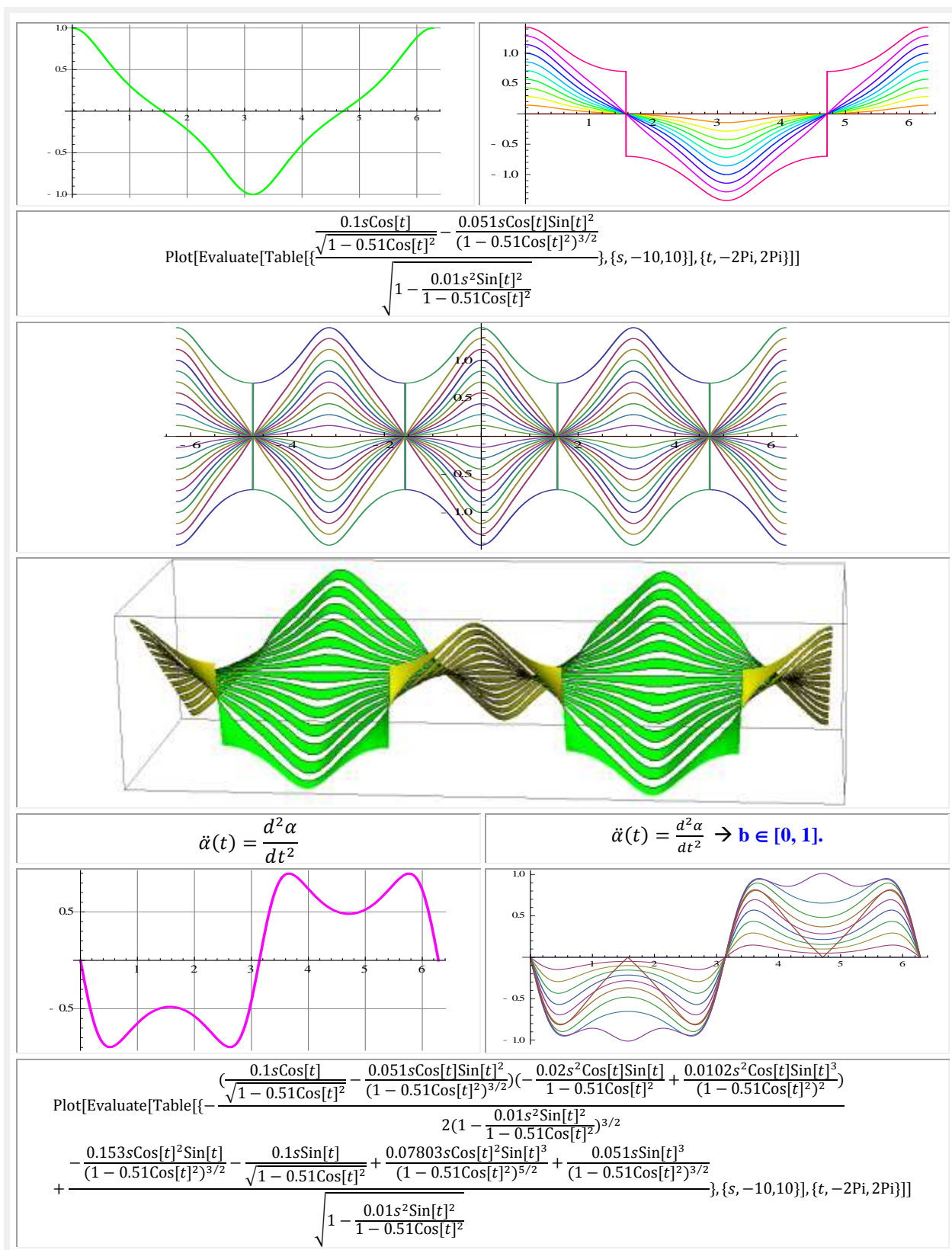
$$(11) \quad \alpha(\theta) = \mathbf{aex}\theta = \theta - \arcsin[s \cdot \sin(\theta - \varepsilon)]$$

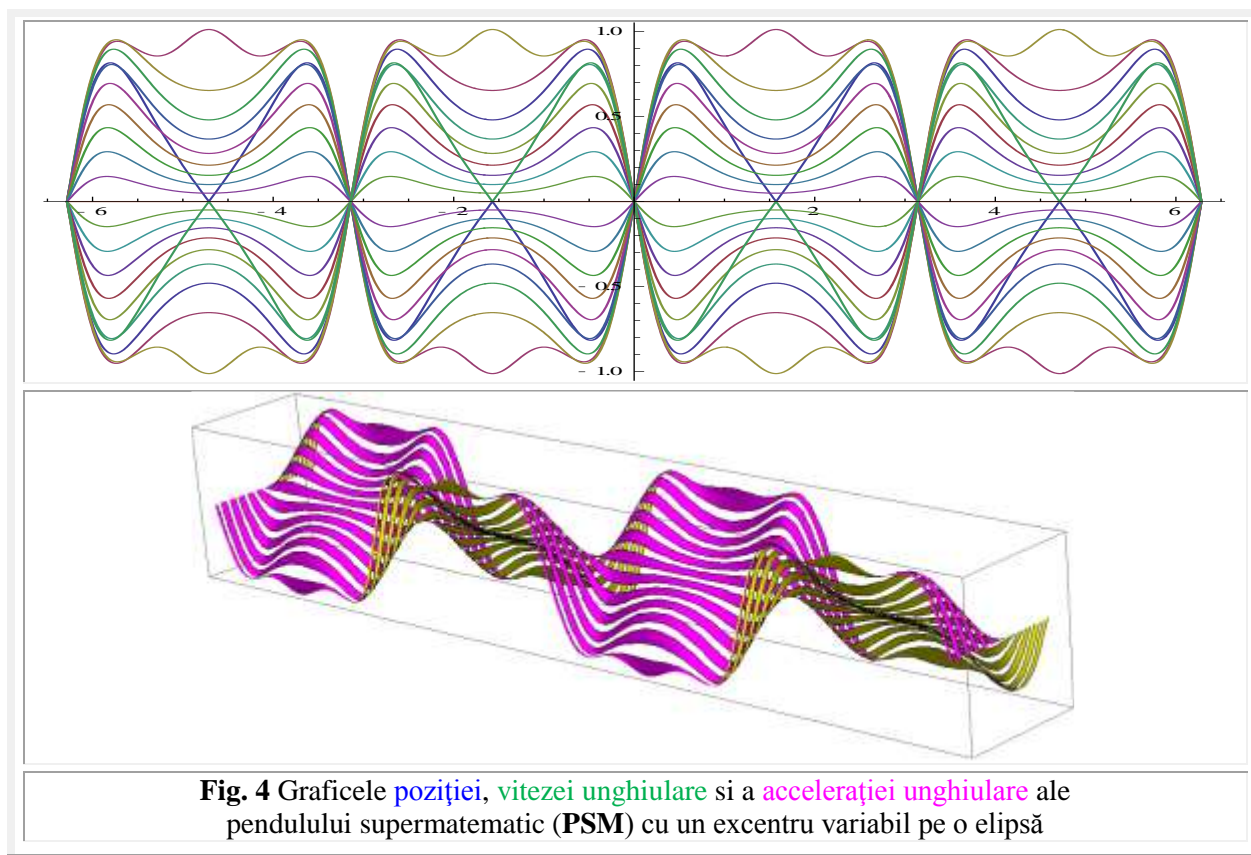
și, pentru $\theta = 0$, s , dat de (8) și $\varepsilon_v = \Omega \cdot t = t$ rezultă:

$$(12) \quad \alpha(t) = \mathbf{aex}(0, S_v(s, \varepsilon_v)) = 0 - \arcsin\left[\frac{b}{\sqrt{1-\varepsilon^2 \cos^2 \varphi}} \cdot \sin(0 - \varepsilon)\right] = \arcsin\left[\frac{b}{\sqrt{1-\varepsilon^2 \cos^2 \varphi}} \cdot \sin(t)\right] = \\ = \arcsin\left[\frac{0,7}{\sqrt{1-0,51 \cos^2 \varphi}} \sin t\right],$$

cu graficele din **figura 5** stânga ◀ pentru datele din **figura 4** cu $b = 0,7$ și, în dreapta ▶, pentru $b \in [0, 1]$.







Dacă s-ar alege, pentru excentrul variabil E_v , în locul cercului o **quadrilobă** / cvadrilobă, atunci, pentru o excentricitate $s = 0$, traiectoria lui E_v ar fi un **cerc**, iar pentru $s = \pm 1$ un **pătrat**; între aceste două valori traiectoriile lui S_v fiind curbe închise, cu patru lobi. De asemenea, odată cu descoperirea **supermatematicii**, pot fi considerate o mulțime de alte curbe închise, apărute în consecință, cum sunt bilobele, trilobele, ..., multilobele.

5. BIBLIOGRAFIE

- | | | | |
|---|-------------------------|---|---|
| 1 | ŞELARIU
Mircea Eugen | MIȘCAREA CIRCULARĂ
EXCENTRICĂ | <i>Com. VII Conf. Internaț. de Ing. Man. și Tehn. Tehno'95</i> , Vol. 7/ II : Mecatronica, dispozitive, roboți industriali, pag. 85 ... 102 |
| 2 | ŞELARIU
Mircea Eugen | FUNCȚII SUPERMATEMATICE
CIRCULARE EXCENTRICE DE
VARIABILĂ CENTRICĂ | Lucrările Conf. Internaț. <i>Tehno'95</i> , Vol.2 , Pag.531 ... 548 |
| 3 | ŞELARIU
Mircea Eugen | FUNCȚII CIRCULARE EXCENTRICE | 1-a Conf. Naț. <i>Vibr.în Constr. de Mașini</i> , Timișoara, 1978, pag. 101 ...108. |
| 4 | ŞELARIU
Mircea Eugen | FUNCȚII CIRCULARE EXCENTRICE
ȘI EXTENSIA LOR | Bul.St.șiTehn. al Inst. Pol. "Tr. Vuia" Tim. Seria mec.,Tom25(39), Fasc1-1980, pag.189 ... 196 |
| 5 | ŞELARIU
Mircea Eugen | SUPERMATEMATICA | <i>Com. VII Conf. Internaț. de Ing. Man. și Tehn. Tehno'95</i> , Timișoara, Vol.9. Matem. aplic. pag. 41 ... 64 |

- | | | | |
|----|-------------------------|--|--|
| 6 | ŞELARIU
Mircea Eugen | RIGIDITATEA DINAMICĂ
EXPRIMATĂ CU FUNCŢII
SUPERMATEMATICE | <i>Com. VII Conf. Internaţ. de Ing. Man.
şi Tehn. Tehno'95</i> , Timișoara, Vol.7:
Mecatr., Dispoz. și Roboți Industriali,
pag. 185 ... 194. |
| 7 | Suslov G. K. | MECANICĂ RAȚIONALĂ
Vol. I și Vol. II, BAZELE
CALCULULUI VECTORIAL,
CINEMATICĂ ȘI DINAMICĂ
SUPERMATEMATICA. FUNDAMENTE | Editura Tehnică, București, 1954 |
| 8 | ŞELARIU
Mircea Eugen | SUPERMATEMATICA.
FUNDAMENTE, Vol I și Vol II
Ediția a 2-a | Editura "POLITEHNICA, Timișoara,
2007 |
| 9 | ŞELARIU
Mircea Eugen | SUPERMATEMATICA.
FUNDAMENTE, Vol I și Vol II
Ediția a 2-a | Editura "POLITEHNICA, Timișoara,
2012 |
| 10 | ŞELARIU
Mircea Eugen | SUPERMATEMATICA.
Vol I și Vol II Ediția a 3-a revizuită și
îmbogățită | Editura MatrixRom , București, 2015 |
| 11 | ŞELARIU
Mircea Eugen | MIȘCAREA OSCILANTĂ
EXCENTRICĂ
PENDULE SUPERMATEMATICE | Com. celei de a V-a Conf. de Vibr.
Mec. Timișoara, 1999 |
| 12 | ŞELARIU
Mircea Eugen | MIȘCAREA CIRCULARĂ
EXCENTRICĂ | LUCR CONF. INTERNAT.
TEHNO'95, Vol. 7/ II : Mecatronică,
dispozitive, roboți industriali, pag. 85
... 102 |
| 13 | ŞELARIU
Mircea Eugen | FUNCTII SUPERMATEMATICE
CIRCULARE EXCENTRICE DE
VARIABILĂ CENTRICĂ | LUCR CONF. INTERNAȚ.
TEHNO'98'
VOL.2, Pag. 531 ... 548 |
| 14 | ŞELARIU
Mircea Eugen | FUNCTII CIRCULARE EXCENTRICE | 1-a Conf. Nat. Vibr. în Constr. de
Mașini, Timișoara, 1978, pag. 101
...108. |
| 18 | ŞELARIU
Mircea Eugen | MIȘCAREA OSCILANTĂ
EXCENTRICĂ. PENDULUL
SUPERMATEMATIC EXCENTRIC | Com. celei de a V-a Conf. de Vibr.
Mec., Timișoara 1985 |

Motto: “Mecanica este paradisul ştiinţelor matematice, deoarece prin ea se ajunge la fructele matematicii ”

Leonardo da Vinci

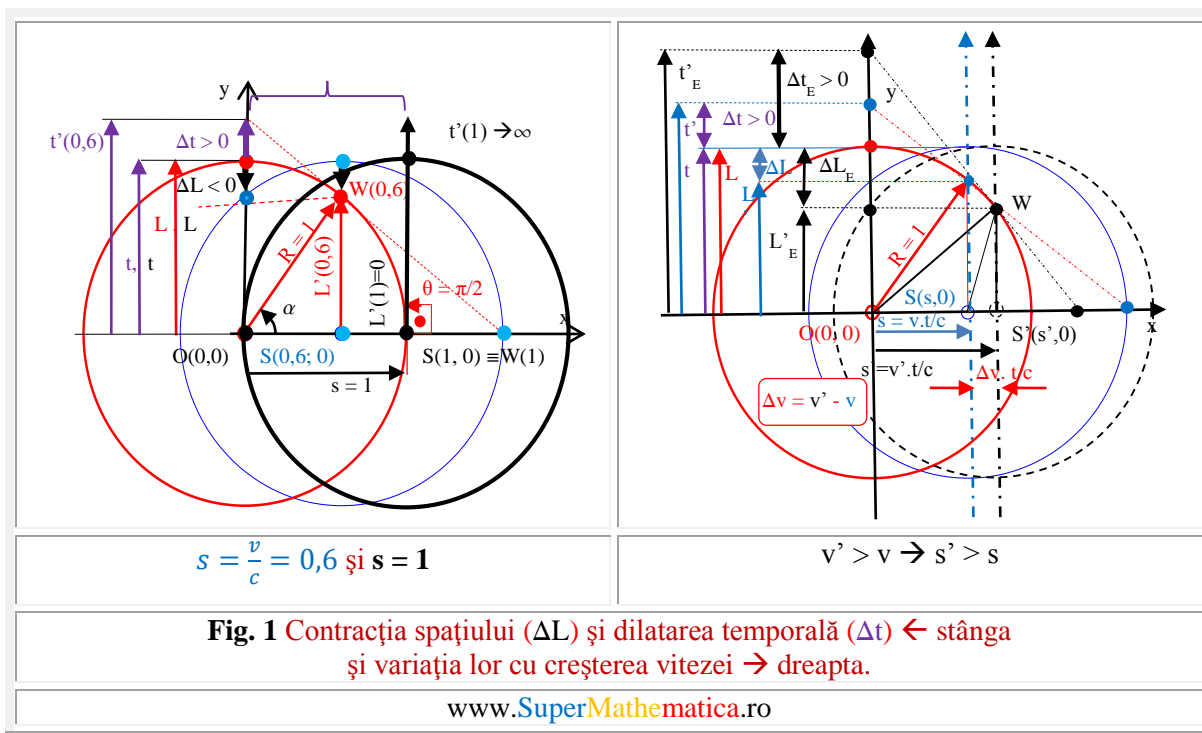
“Ori de câte ori aud de “cvadridimensional” matematicienii sunt scuturaţi de un frison mistic..”

Albert Einstein

CAPITOLUL XXIV

1 SPAŢIUL MATEMATICII CENTRICE (ME) ŞI SPAŢIUL MATEMATICII EXCENTRICE (ME)

Spaţiul este o categorie filozofică ce desemnează forme obiective şi universale de existenţă a materiei în mişcare. Spaţiului exprimă ordinea, poziţia (localizarea şi orientarea), distanţa, mărimea, forma şi întinderea obiectelor coexistente în lumea reală ca şi a corpurilor sau părţilor ce formează aceste obiecte. Pentru Newton, spaţiul şi timpul sunt absolute, obiective şi universale, deci independente de materia în mişcare. Acesta ar putea fi numit spaţiul matematicii centrice (MC).

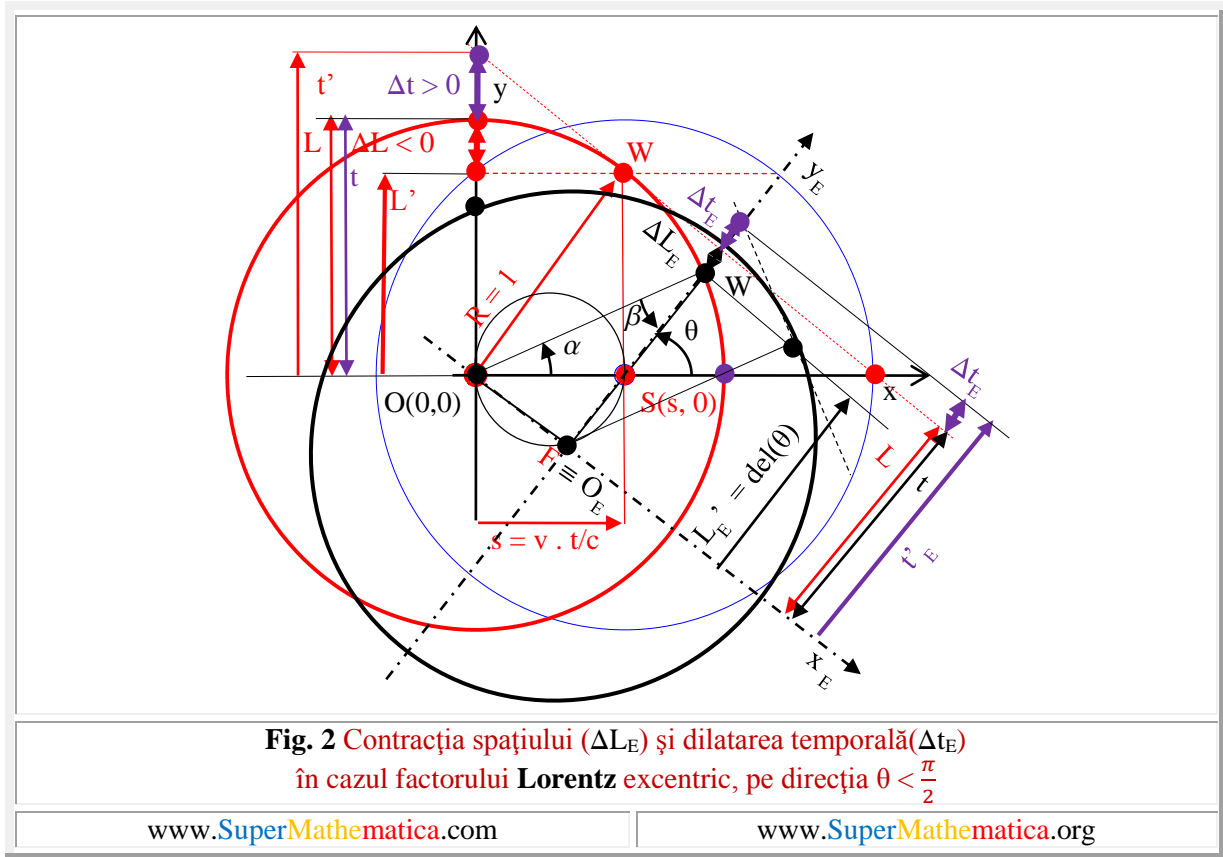


Constituirea geometriilor neeuclidiene de către Lobacevski, Bolyai, Gauss, Riemann ş.a. a contribuit la formarea concepţiei, conform căreia, proprietăţile geometrice spaţiale nu sunt pretutindeni aceleaşi, fiind determinate de proprietăţile lui fizice. Spaţiul este deci neomogen şi anizotrop. Teoria relativităţii lui Einstein a demonstrat că proprietăţile spaţio-temporale (lungimea corpurilor şi durata fenomenelor $\rightarrow v$. Fig.1) depind de viteza de deplasare a sistemelor materiale şi că structura sau proprietăţile continuului spaţio-temporal variază în funcţie de concentrarea maselor substanţei şi de intensitatea câmpului gravitaţional generat de către acestea. De aceea, ea a fost numită şi teoria fizică a spaţiului şi timpului. Dacă acesta ar fi spaţiul matematicii excentrice (ME), atunci se poate adăuga că în acest spaţiu toate entităţile sau figurile geometrice se pot metamorfoza, prin existenţa excentricităţii ca o nouă dimensiune a acestui spaţiu, sau, mai precis, ca noi dimensiuni ale lui.

Excentricitate poate fi considerată un amănunt, dar nu este ! Și, chiar dacă ar fi, “Nu neglijați amănuntele. Amănuntele creează perfecțiunea și perfecțiunea nu-i un amănunt !” ne-a îndemnat, cu aproape 500 de ani înainte, **Michelangelo Buonarroti**.

Excentricitate reală poate fi distanța de la punctul $E(e, \epsilon)$ până la un punct $O(0,0)$, considerat centru, ca în matematica excentrică (**ME**). O diferență de potențial în electricitate, o diferență de presiune, în hidraulică, datorită căreia fluidul se deplasează într-un sens sau altul într-o conductă. Fără această **excentricitate**- diferență de presiune, mișcarea nefiind posibilă; fluidul staționând. Diferența dintre originile a două sisteme inerțiale, sau spațiu deplasării relative a acestora ($e = s.t$), așa cum se consideră în continuare, caz în care excentricitatea este o mărime variabilă care crește continuu, în care raportul $s = \frac{v}{c}$ a fost denumit **excentricitate numerică variabilă**.

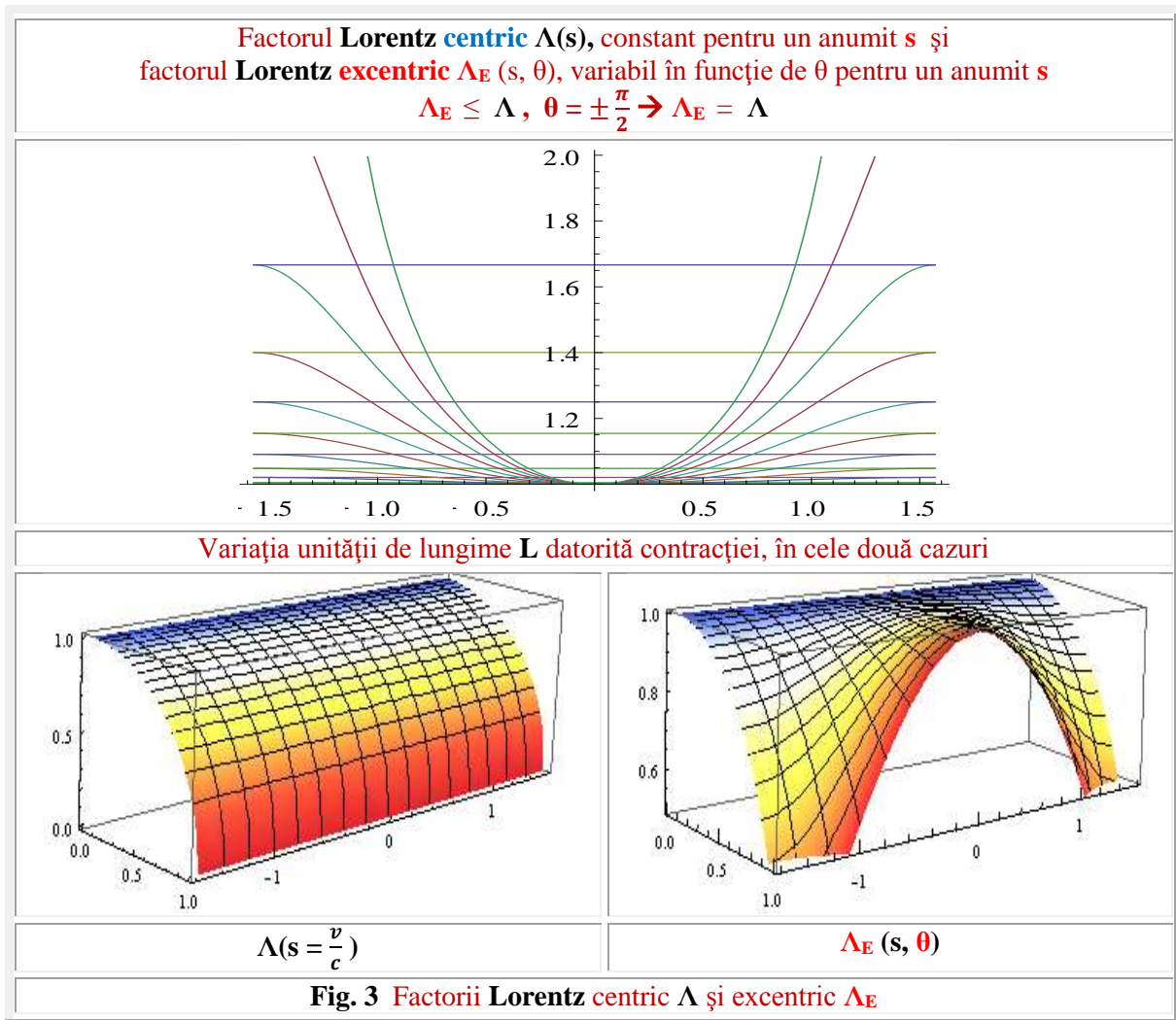
Fără existența unei excentricități origine oarecare, apariția și mișcarea în univers n-ar fi fost posibilă. “Amănutele crează perfecțiunea și perfecțiunea nu-i un amănunt !” Cât de mult adevăr în spusese lui **Michelangelo Buonarroti** !.



În **figura 1** este schițată situația a două sisteme inerțiale, inițial suprapuse în $O(0, 0)$, sau a unui sistem considerat fix în originea $O(0, 0)$ și al doilea, care se deplasează, pe direcția axei x ($\epsilon = 0$), cu viteza v , o fracțiune (0,6 în **figura 1**) din viteza c a luminii în vid, astfel că, deplasarea relativă a celor două sisteme $s = ||OS||$, este dată de o nouă dimensiune a spațiului e , adică $e = s.t = \frac{v}{c}t$, care este **excentricitatea liniară reală variabilă** e iar s este **excentricitatea liniară numerică**, ambele, aici, considerate variabile. Acesta este spațiul **2D excentric**, notat **2DE** sau **2D⁺** cu **3** dimensiuni: x , y și $e = \frac{v}{c}t$, în care e variază uniform, în raport cu timpul t . Dacă E se deplasează pe o direcție de orientare ϵ față de axa x , $\epsilon = ct$, situația nu se schimbă, decât dacă deplasarea se realizează și pe direcția z , caz în care ne situăm în spațiul **3D excentric**, spațiu **3D⁺** cu **patru** dimensiuni: x , y , z și e , notat **3DE** sau **3D⁺**, dacă $\epsilon = ct$ și cu **5** dimensiuni dacă ϵ este variabil $\epsilon = \epsilon(t)$. Excentricitatea unghiulară fiind ϵ .

În **figura 1** sunt reprezentate contracția spațiului ($\Delta L < 0$) și dilatarea temporală ($\Delta t > 0$) pentru un unghi la excentrul **S** de $\theta = \pi/2$ și pentru unitatea de lungime $L = R = 1$ și respectiv, unitatea de timp $t = R = 1 \rightarrow e = s$. Acestea sunt

$$(1) \begin{cases} \Delta L = L' - L = L \left(\sqrt{1 - s^2 \sin^2 \frac{\pi}{2}} - 1 \right) = L \left(\text{del} \frac{\pi}{2} - 1 \right) = L(\sqrt{1 - s^2} - 1) < 0 \\ \Delta t = t' - t = t \left(\frac{1}{\sqrt{1 - s^2 \sin^2 \frac{\pi}{2}}} - 1 \right) = t \left(\frac{1}{\text{del} \frac{\pi}{2}} - 1 \right) = t \left(\frac{1}{\sqrt{1 - s^2}} - 1 \right) > 0 \end{cases}$$



În aceeași figură, în partea dreaptă, este prezentată accentuarea dilatării timpului și a contracției temporale la o creștere a viteze de la v la v' .

Se observă și din figură că pentru $v = c \rightarrow s = 1$ și $\Delta L \rightarrow -L$ lungimea se reduce la zero ($L' \rightarrow 0, \Delta L = L' - L = -L$) și timpul se dilată nemărginit $t' = \Delta t \rightarrow \infty$.

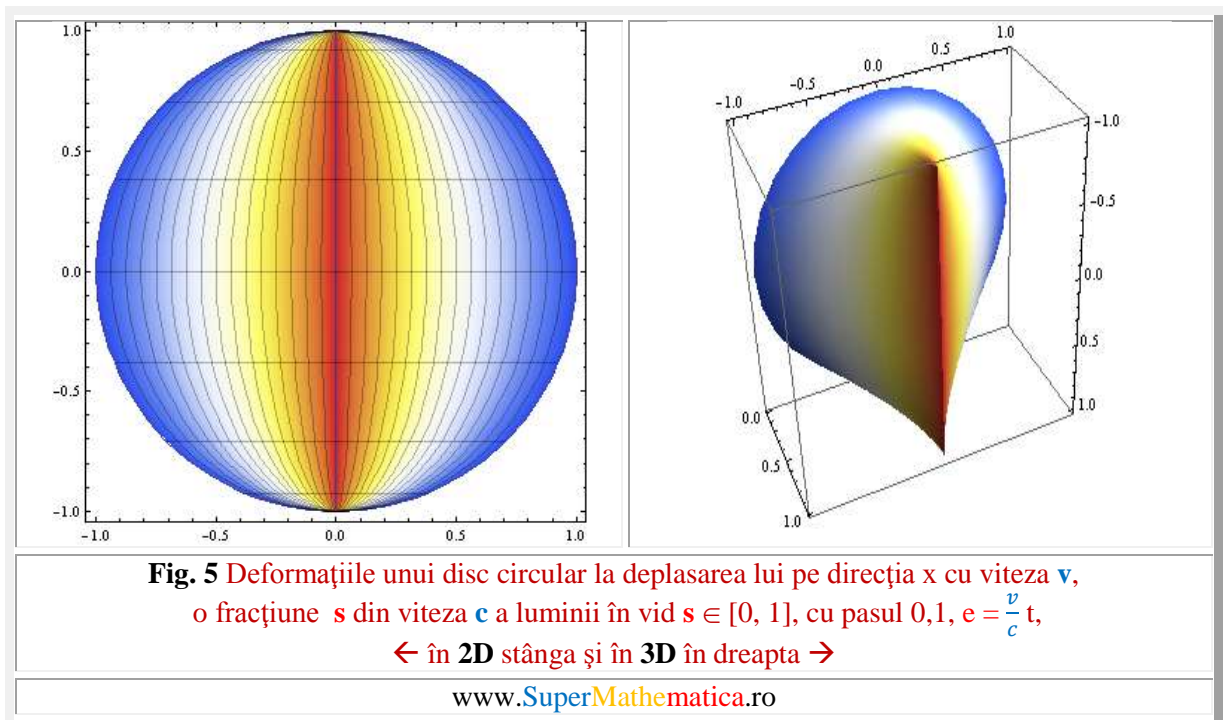
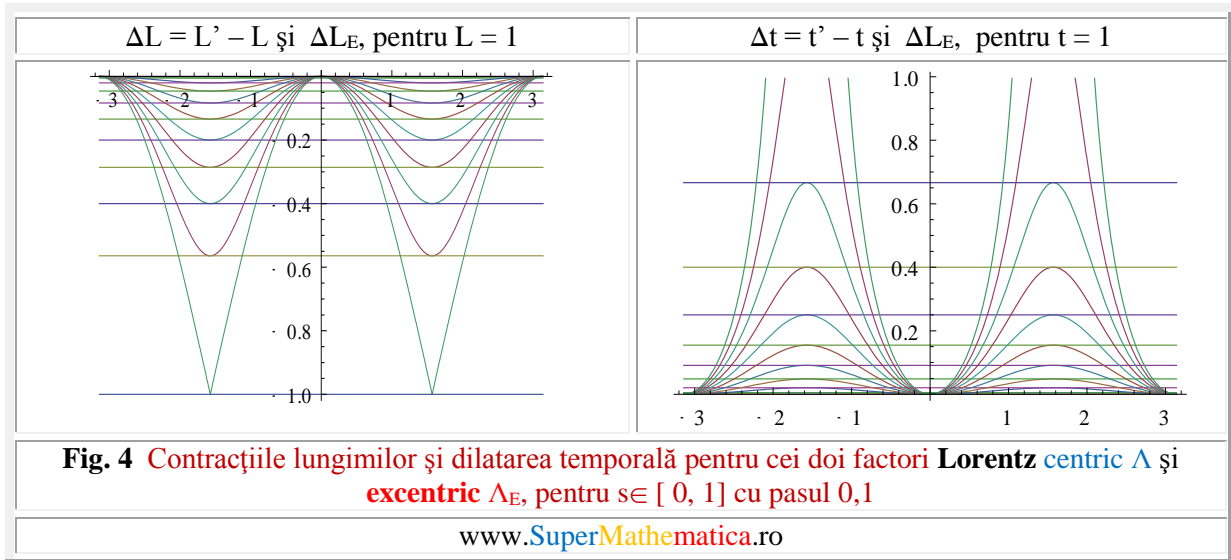
În relațiile anterioare, factorul **Lorentz**, notat în mod obișnuit cu γ , aici a fost notat cu Λ (litera grecească Λ fiind mai apropiată de inițiala numelui lui **Lorentz** decât gama - γ) și are expresia

$$(2) \quad \Lambda = \frac{1}{\sqrt{1 - s^2}} = \frac{1}{\sqrt{1 - \left(\frac{v}{c}\right)^2}} > 1$$

Pentru o anumită valoare a vitezei $v = ct$, rezultă o excentricitate numerică $s = ct$, și, ca urmare, și un factorul **Lorentz** constant, pentru care contracția spațiului și, mai precis, a unității de lungime L pe direcția **y** (**Fig. 1**) este $L' = L / \Lambda$ și dilatarea temporală a unității de timp t va fi $t' = \Lambda.t$. Se poate

deduce că aceste valori sunt invariante la sensul de deplasare (pozitiv pe semiaxa x^+ sau negativ pe direcția semiaxei negative x^- , și, evident, nici la unități de lungime și timp **orientate** pe x , dar **marcate** pe sensurile pozitive sau negative ale direcției y , așa cum se observă și în **figura 4**.

Pentru $\theta = \pm \frac{\pi}{2}$, $\Lambda = \Lambda_E$ astfel că $\Delta L = L' - L \rightarrow$ minim și $\Delta t = t' - t \rightarrow$ maxim posibil, pentru o anumită valoare a lui $s \in [0, 1]$.

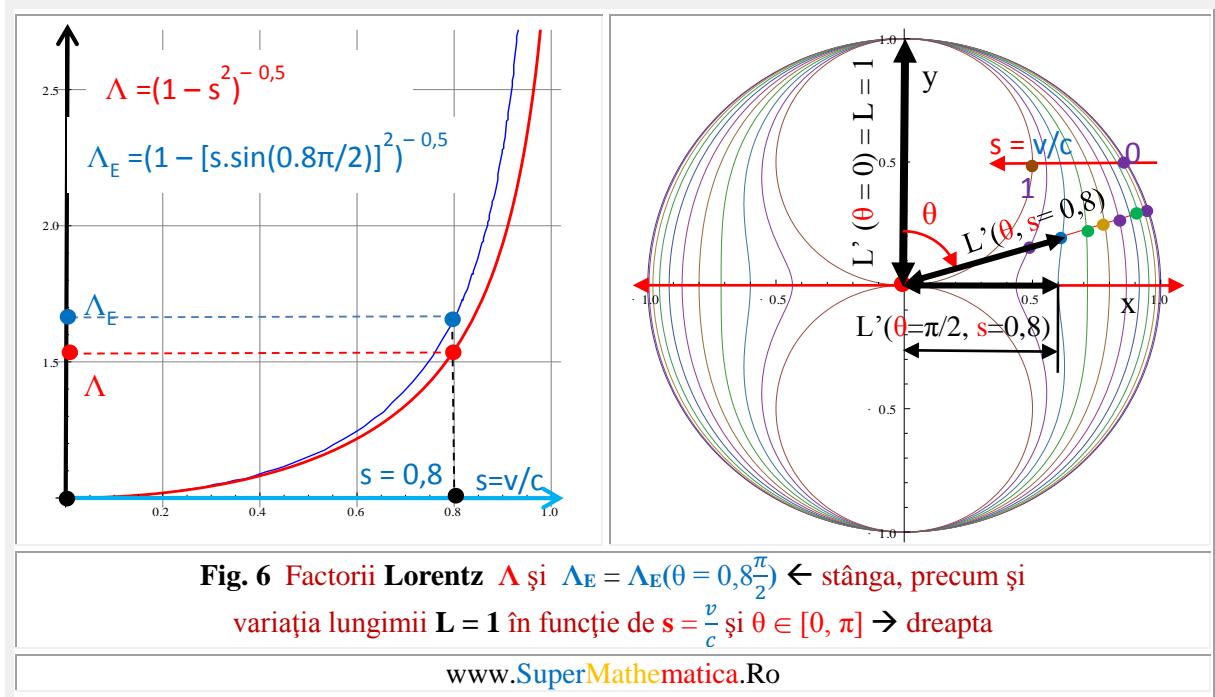


Deși mărimile L, L', t, t' sunt reprezentate pe direcția y , ele corespund deplasării relative ale sistemelor inerțiale pe direcția axei x . Ca urmare, constrația ΔL și dilatarea Δt au loc pentru lungimi L și lungimi de undă sau frecvențe, care măsoară timpul, orientate tot **pe direcția de mișcare x** .

Dacă, în relațiile anterioare, unghiul θ este diferit de un unghi drept, atunci fenomenul de dilatare a timpului se accentuează, iar cel de constrație a spațiului se atenuează, odată cu scăderea lui θ (**Fig. 2 și 3**). Pentru direcția de $\theta = 0$, lungime L , care este orientată pe direcția de deplasare x , nu-și modifică

lungimea, oricarear fi raportul s al vitezelor (Fig. 3), astfel că $L' = L$ şi atenuarea contracţiei lungimii este completă $\rightarrow \Delta l = 0$, iar dilatarea temporală este maximă posibilă, deoarece $t' \rightarrow \infty$.

Dacă unghiul $\theta = \frac{\pi}{2}$ înseamnă mărimi reprezentate pe axa y dar orientate pe direcţia x , atunci $\theta = 0$ poate înseamna aceleaşi marimi reprezentate pe direcţia x , dar orientate pe direcţia transversală y .



Se poate obţine astfel un factor Lorentz variabil Λ_E , denumit factor Lorentz excentric, variabil cu direcţia θ de orientare a mărimii, pentru a se deosebi de cel constant centric Λ . Expresie lui Λ_E este

$$(3) \quad \Lambda_E = \frac{1}{\sqrt{1 - s^2 \sin^2 \theta}} = \frac{1}{\sqrt{1 - (\frac{v}{c} \sin \theta)^2}} \in [\Lambda, 1], \quad \text{pentru } \theta \in [\frac{\pi}{2}, 0], \forall s = \frac{v}{c} [-1, 1]$$

În consecinţă, fenomenul de contracţie a lungimilor depinde de direcţia θ , de orientare în spaţiu a lungimii etalon, fiind maximă pe direcţia de mişcare relativă x de deplasare a sistemului inerţial mobil, adică $\theta = \frac{\pi}{2} \rightarrow \Lambda_E(\theta) = \Lambda$ şi minimă (zero) pe direcţia transversală y ($\theta = 0$). Ca urmare, un disc circular, care se deplasează pe direcţia x cu viteza v , fracţiune $s = \frac{v}{c}$ din viteza c a luminii în vid (Fig. 5), se va turti pe direcţia x , astfel că, la atingerea vitezei absolute a luminii în vid, viteză $v = c \rightarrow s = 1$, va deveni o bară de lungime $L_y = 2R$, pe direcţia transversală de mişcare y şi de dimensiune $L_x = 0$ pe direcţia de mişcare x . Pierzându-şi una dintre cele două dimensiuni, de fapt discul circular va dispărea.

Ecuatia polară a obiectului de lungime $L = 1$, care se deformează, contractându-se la L' , odată cu creşterea vitezei relative s , de deplasare a sistemului inerţiale pe direcţia x ($v \nearrow \rightarrow s \nearrow$), în aceste situaţii, este

$$(4) \quad \rho = \sqrt{1 - s^2 \sin^2 \theta},$$

iar în coordonate parametrice este

$$(5) \quad \begin{cases} x = \cos \theta \sqrt{1 - s^2 \sin^2 \theta} \\ y = \sin \theta \sqrt{1 - s^2 \sin^2 \theta} \end{cases}, \quad s \in [0, 1], \quad \theta \in [0, 2\pi], \text{ cu graficelor din figurile 4, 5 şi 6.}$$

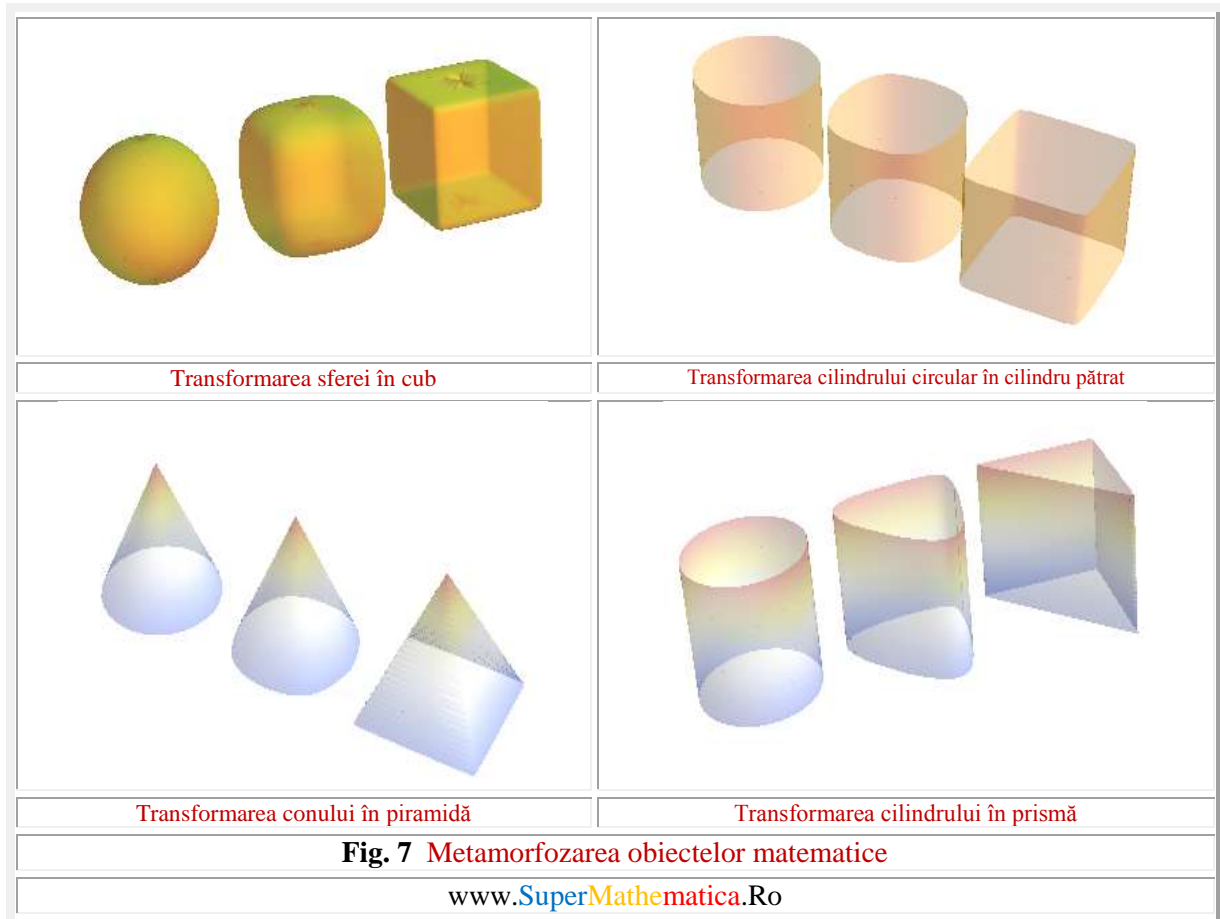
**2 NOI DIMENSIUNI ALE SPAŢIULUI ŞI CONSECINŢELE LOR :
HIBRIDAREA ŞI METAMORFOZAREA MATEMATICĂ**

Spațiul este o entitate abstractă care reflectă o formă obiectivă de existență a materiei. Apare ca o generalizare și abstractizare a ansamblului de parametri prin care se realizează **deosebirea între diferite sisteme** ce constituie o stare a universului.

El este o formă obiectivă și universală a existenței materiei, inseparabilă de materie, care are aspectul unui întreg neîntrerupt cu trei dimensiuni și exprimă ordinea coexistenței obiectelor lumii reale, [poziția](#), [distanța](#), [mărimea](#), [forma](#), [întinderea](#) lor.

În concluzie, se poate afirma că spațiul apare ca o sinteză, ca o generalizare și abstractizare a constatărilor cu privire la o stare, la un moment dat, a universului.

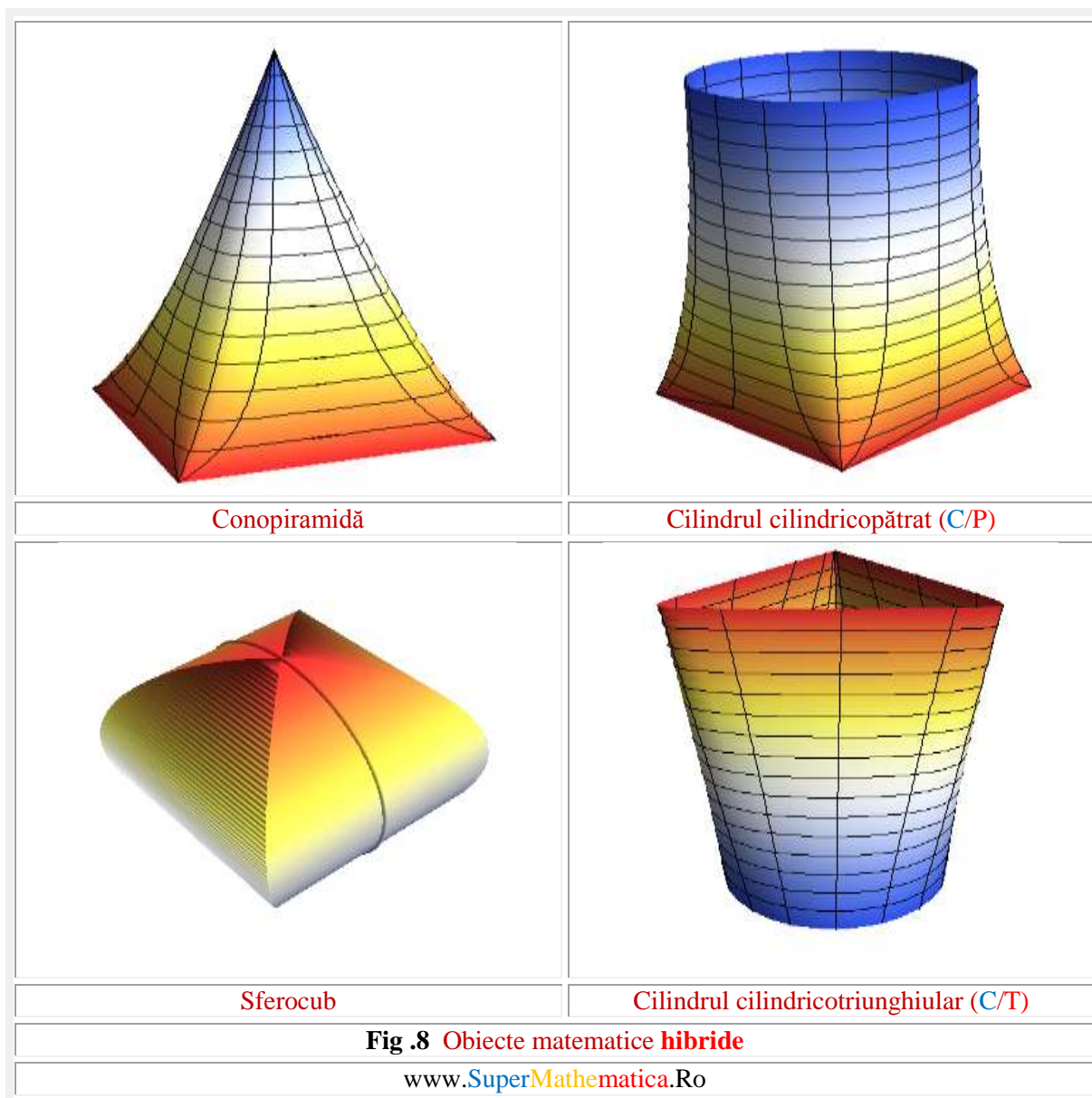
În cadrul mecanicii clasice, noțiunea de spațiu este aceea a modelului spațiului euclidian tridimensional (**E3**) omogen, izotrop, infinit.



Când se discută despre spațiu, primul gând este îndreptat spre **poziție**, adică noțiunea de poziție este direct asociată noțiunii de spațiu. **Poziția** este exprimată în raport cu un sistem de referință (reper) sau, mai scurt, printr-un sistem de coordonate.

Un obiect tridimensional are în spațiu E^3 **6 grade de libertate**, constituite din cele **3 translații**, pe direcțiile **X**, **Y** și **Z** și din **3 rotații**, în jurul axelor **X**, **Y** și **Z**, notate, respectiv, cu **A**, **B** și **C**, în tehnologie și în robotică.

Un obiect poate fi “realizat” sau, mai precis, poate fi reprodusă imaginea lui în spațiul virtual, când apare în **3D** pe ecranul monitorului unui computer, prin folosirea unor programe tehnice (CAD) sau matematice comerciale (MATHEMATICA, MATLAB, MATHCAD, MAPLE, DERIVE, ș.a.) sau speciale, care folosesc **FSM-Excentrice**, **Elevate** sau / și **Exotice** - la descrierea obiectelor, cum este **SM-CAD-CAM**.



Prin **modificarea excentricitații**, obiectele cunoscute și formate în domeniul centric al supermatematicii (**SM**), adică, în matematica centrică (**MC**), pot fi deformate în domeniul excentric al **SM**, adică, în matematica excentrică (**ME**) și transformate inițial în obiecte hibride, proprii **ME**, ca, apoi, să fie retransformate în obiecte de alt gen, cunoscute în **MC**. Ca de exemplu, deformarea unui **con** perfect ($s = 0$) în **conopiramide** [$s \in (0, 1)$] cu baza un pătrat perfect și vârful conic, care constituie obiectele hibride, situate între con și piramidă, pâna la transformarea ei într-o **piramidă** perfectă (pentru $s = \pm 1$) cu baza un pătrat perfect.

Obiectul poate fi realizat, în fapt, prin diversele metode de prelucrare mecanice [v. **Mircea Şelariu**, Cap.17 **Dispozitive de prelucrare, PROIECTAREA DISPOZITIVELOR**, EDP, Bucureşti, 1982, coordonator **Sanda-Vasii Roşculeţ**] de **formare** (turnare, sinterizare), **deformare** (la cald și la rece), **dislocare** (decupare, aşchiere, eroziune, netezire) și **agregare** (sudare și lipire).

În toate cazurile, sunt necesare **mişcări** ale sculei și / sau ale piesei, respectiv, ale spotului luminos care delimitează pe ecran un pixel și trece de la un pixel la altul.

Mișcarea este strâns legată de spațiu și de timp.

Mișcarea mecanică poate fi de

- **formare** în timp a corpurilor și, implicit, a obiectelor ;
- **schimbarea** în timp a **poziției** obiectelor, sau a părților sale, denumite corpuri, în raport cu alte corpuri, alese drept sisteme de referință;
- **schimbarea** în timp a **forme** corpurilor și, implicit, a **forme** obiectelor, prin **deformarea** lor .

Spațiul reflectă raportul de coexistență dintre obiecte și fenomene, sau părți ale acestora, indicând:

- **întinderea** / mărimea lor, denumită **dimensiune de gabarit**;
- **locul** obiectelor, prin coordonatele **liniare X, Y, Z**, în spațiul **3D**, denumite **dimensiuni de localizare**;
- **orientarea** obiectelor, în spațiul **3D**, prin coordonatele **unghiulare ψ, φ, θ** , sau **A, B, C**, denumite **dimensiuni de orientare**;
- **pozițiile** relative sau distanțele dintre obiecte, denumite **dimensiuni de poziționare**, dacă se refera la localizarea și orientarea absolută și / sau relativă a obiectelor, iar dacă se referă la părți ale acestora, numite corpuri, atunci sunt denumite **dimensiuni de coordonare**;
- forma obiectelor și, respectiv, evoluția fenomenelor, denumite **dimensiuni de formare**, sau **excentricități de formare** care definesc, totodată, și ecuațiile de definire a obiectelor;
- **deformarea** obiectelor și modificarea evoluției fenomenelor, denumite **dimensiuni de deformare** sau **excentricități**.

Ultima dimensiune a spațiului, **excentricitatea**, făcând posibilă apariția **matematicii excentrice (ME)** și realizând trecerea din domeniul matematicii centrice în cel al matematicii excentrice, precum și saltul de la o singură entitate matematică, existentă în matematica și domeniul **centric**, la o infinitate de entități, de același gen, dar deformate din ce în ce mai pronunțat, odată cu creșterea valorii excentricității numerice **s**, până la transformarea lor în alte genuri de obiecte, existente în domeniul centric. Un exemplu, devenit deja clasic, este deformarea continuă a unei sfere până la transformarea ei într-un cub (**Fig. 9**), - ceea ce, pentru matematicieni, devine o absurditate - prin utilizarea aceluiași **dimensiuni de formare** (ecuații parametrice), atât pentru sferă cât și pentru cub, doar excentricitatea modificându-se: fiind **s = e = 0** pentru sferă de rază **R** și **s = ± 1**, sau **e = R**, pentru cubul de latură **L = 2R**; pentru **s ∈ [(-1, 1) \ 0]** obținându-se **obiecte hibride**, proprii matematicii excentrice (**ME**), anterior inexistente în matematică, sau, mai precis, în matematica centrică (**MC**).

Așa cum s-a mai prezentat, **dreapta** este un **spațiu unidimensional** și, totodată, în **super-matematică (SM)**, o **strâmbă** de excentricitate zero (**Fig. 19**).

Creșterea excentricității de la zero la unu transformă **linia dreaptă** într-o **linie frântă**, ambele existând și sunt cunoscute în matematica **centrică**, nu și restul strâmbelor, care sunt proprii matematicii **excentrice**, fiind generate de **FSM-CE** amplitudine excentrică **aexθ** sau **Aexα**. Astfel, dreapta de coeficient unghiular $m = \tan\alpha = \tan\frac{\pi}{4} = 1$ care trece prin punctul **P(2, 3)** are ecuația

$$(6) \quad y - 3 = x - 2,$$

iar familia de strâmbe, din aceeași familie cu dreapta, au ecuațiile

$$(7) \quad y[x, S(s, \varepsilon)] - y_0 = m \{aex[\theta, S(s, \varepsilon)] - x_0\},$$

$$(8) \quad y - y_0 = m\{\theta - \arcsin[s \cdot \sin(\theta - \varepsilon)]\} - x_0, \quad m = \tan\alpha = 1, \quad P(2, 3), \quad s \in [-1, +1],$$

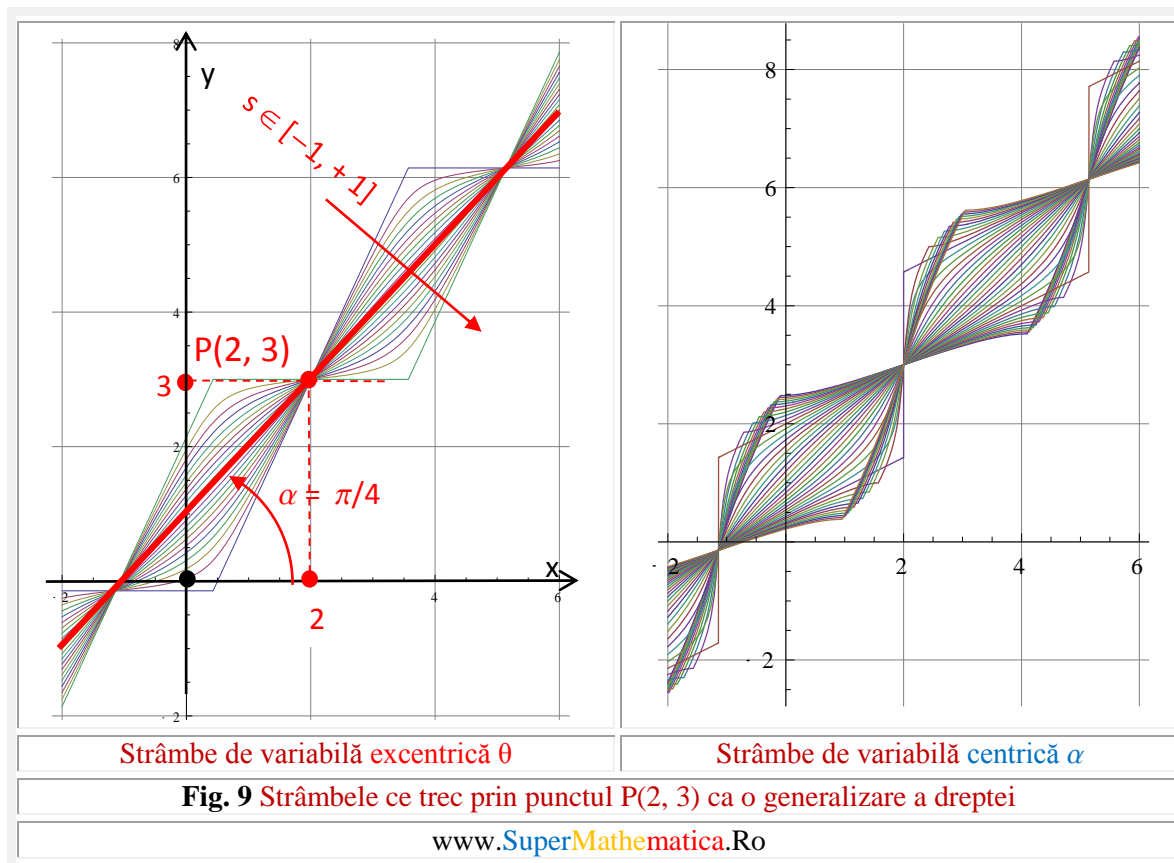
în **coordonate excentrice θ** (**Fig. 19** ← stânga) și, în **coordonate centrice α**, ecuația este

$$(9) \quad y[x, S(s, \varepsilon)] - y_0 = m (Aex[\alpha, S(s, \varepsilon)] - x_0),$$

$$(10) \quad y - y_0 = m \left\{ \alpha + \arcsin \frac{s \cdot \sin(\alpha - \varepsilon)}{Rex\alpha} - x_0 \right\}, \quad m = \tan\alpha = 1, \quad P(2, 3), \quad s \in [-1, +1],$$

$$(11) \quad y - y_0 = m \left\{ \alpha + \arcsin \frac{s \cdot \sin(\alpha - \varepsilon)}{\sqrt{1 + s^2 - 2s \cdot \cos(\alpha - \varepsilon)}} - x_0 \right\}.$$

Diferența, dintre cele două tipuri de strâmbe, de θ și de α , este aceea, că cele de θ sunt continue numai pentru excentricitatea numerică din domeniul $s \in [-1, 1]$, pe când cele de α sunt continue pentru toate valorile posibile a lui **s**, adică $s \in [-\infty, +\infty]$.



Linia frântă este cunoscută în matematica centrică (MC) dar fără să i se cunoască ecuațiile ei ! Ceea ce nu mai este cazul în SM și, evident, și în ME ea se obține pentru valoarea $s = 1$ a excentricității numerice (Fig. 9).

Un fenomen asemănător metamorfozării matematice, prin care din MC un obiect cunoscut trece prin matematica excentrică (ME) luând forme hibride și se reîntoarce în matematica centrică (MC) ca un alt tip de obiect (Fig.7), este considerat că ar avea loc și în fizică: din vid apar continuu particule de un anumit tip și se reîntorc în vidul cosmic. Aceleași sau altele ?

Cosmologia are o teorie ce se aplică întregului Univers, formulată de Einstein în 1916: **relativitatea generală**. Ea afirmă că forța de gravitație, ce se exercită asupra obiectelor, acționează și asupra structurii spațiului, care își pierde cadrul rigid și imuabil, devenind maleabil și curb, în funcție de materia sau energia pe care le conține. Adică, **spațiul se deformează**.

Continuum-ul spațiu-timp, al relativității generale, nu este conceput fără conținut, deci nu admite vidul! Cum spunea și Einstein ziariștilor, care îl rugau să le rezume teoria sa: "Înainte, **se credea** că, dacă toate lucrurile ar dispărea din Univers, timpul și spațiul ar rămâne, totuși. În teoria relativității, timpul și spațiul dispar, odată cu dispariția celorlalte lucruri din univers."

Așa cum s-a mai afirmat, $s = e = 0$ este lumea MC a liniarului, a entităților perfecte, ideale, în timp ce infinitatea de valori posibile atribuite excentricităților s și e , nasc ME și, totodată, lumi ce aparțin realului, lumii imperfecte, tot mai îndepărtată de lumea ideală cu cât s și e sunt mai îndepărtate de zero.

Ce se întâmplă dacă $e = s \rightarrow 0$? Lumea reală, ca și ME dispar și cum lume ideală nu exista, dispăre totul !

Ceea ce susține teoria autorului din SUPERMATEMATICA. Fundamente. Vol. I Editura POLITEHNICA, Timișoara, Cap. 1 INTRODUCERE prin care expansiunea universului este un proces de dezvoltare a ordinii în haosul absolut, o trecere progresivă a spațiului haotic în ordine din ce în ce mai pronunțată, sau invers: din ordine absolută în haos.

În concluzie, spațiul, ca și timpul, se **formează** și se **deformează**, adică, **excentricitatea** spațiului, de o anumită valoare, duce la **formarea** spațiului, apoi, prin modificare valorii ei, spațiul se **deformează** / modifică.

Forma modificată a spațiului este dependentă de valoarea excentricității, care devine o nouă dimensiune a spațiului: **dimensiunea de deformare**.

Energia și masa materiei să crească odată cu creșterea excentricității ?

Sau invers? Excentricitatea să determine valoarea masei și a energiei prezente / localizate într-un anumit loc în spațiu ?

Instalarea unei piese de prelucrat (obiect de prelucrat) în spațiul de lucru a unei mașini-unelte moderne, cu comenzi numerice de conturare (CNC), este foarte asemănătoare cu “instalarea “ unui obiect matematic în spațiul euclidian tridimensional R^3 . De aceea, vom folosi unele noțiuni din domeniul tehnologic.

În tehnologie, **instalarea** este operația premergătoare prelucrării; numai un obiect / piesă instalată poate fi prelucrată. Ea presupune următoarele faze sau operații tehnologice, în această succesiune / ordine; numai înlăptuirea unei faze, făcând posibilă trecerea la realizarea fazei următoare:

1. **ORIENTAREA** este acțiunea sau operația prin care elementele geometrice ale obiectului, care sunt **baze de referință tehnologică de orientare**, prescurtat baze de orientare (BO), primesc o **direcție** bine determinată, față de direcțiile unui sistem de referință. În tehnologie, față de direcțiile unor mișcări principale și / sau secundare de lucru, sau / și față de direcțiile mișcărilor de reglare dimensională a sistemului tehnologic.

Drept **baze de orientare (BO)** pot servi :

1) **Un plan** al obiectului, respectiv o suprafață plană a piesei, dacă ea există, caz în care, această suprafață, determinată de trei puncte de contact dintre obiect și dispozitiv, este denumită **bază de referință tehnologică de orientare de așezare (BOA)**, sau, pe scurt, **bază de așezare (BA)**, fiind determinată, teoretic, de cele trei puncte comune de contact ale piesei cu dispozitivul, care are sarcina de a realiza instalarea piese în cadrul mașinii de lucru. Drept **BA**, în principiu, se alege suprafața cea mai întinsă a piesei, dacă nu există altfel de condiții de poziție, sau de la care suprafața rezultată în urma prelucrării are impusă precizia cea mai înaltă, sau condiții de paralelism cu **BA**.

Punând condiția păstrării contactului piesă / dispozitiv pe **BA**, obiectul / piesa pierde 3 grade de libertate, dintre care, **o translație** pe direcția, s-o numim **Z**, perpendiculară pe **BA** (plan) și două rotații: în jurul axelor **X**, notată în tehnologie cu **A** și în jurul axei **Y**, notată în tehnologie cu **B**.

Obiectul / piesa se mai poate roti în jurul axei **Z**, rotație notată cu **C** și se poate translata pe **BA** pe direcțiile **X** și **Y** păstrând în permanență contactul cu **BA (Plană)**.

De la această suprafață se stabilește, în tehnologie, coordonata **z**, de exemplu, ca distanță dintre **BOA** și **baza tehnologică de prelucrare (BTP)**, sau, pe scurt, **bază de prelucrare (BP)**, adică planul pe care îl va genera pe piesă scula de prelucrat. Dacă o suprafață se prelucrează integral / complet (prin frezare, de exemplu, cu freze de mari dimensiuni, pentru o singură trecere), atunci celelalte coordonate / dimensiuni **y** și **x** pot fi stabilite cu foarte mare aproximație, întrucât ele nu influențează precizia realizării suprafeței plane, la distanța **z** de **BA**, rezultate în urma prelucrării piesei și denumită **bază tehnologică de prelucrare (BTP)**, sau, pe scurt, **bază de prelucrare (BP)**. A cărei cerință tehnologică este să fie paralelă cu **BOA** și să fie situată la distanța **z** de aceasta. Dimensiunea **z** fiind, în acest caz, o **dimensiune de formare** a piesei, pe de o parte și **dimensiune de coordonare**, în același timp, pentru poziția relativă scula-piesă, iar, d.p.d.v. **tehnologic**, una dintre **dimensiunile de reglare dimensională** a sistemului tehnologic **MDPS (Mașină-Dispozitiv-Piesă-Sculă)**. Matematic exprimat, două suprafețe plane situate la distanța **z**, ca urmare, paralele între ele.

2) **O dreaptă** aparținând obiectului, dacă aceasta există, ca axe și / sau muchii, ca intersecție de -suprafețe- plane în matematică.

În tehnologie, muchiile se evită, datorită neregularității lor, adică, a abaterilor de la forma geometrică liniară, a semifabricatelor, ca și a pieselor, în urma prelucrării semifabricatelor lor.

În tehnologie, această dreaptă este determinată de cele două puncte de pe o suprafață a piesei, alta decât **BA**, comună piesei și dispozitivului, care realizează baza de orientare a piesei și a dispozitivului, ca elemente dedublate, dreaptă denumită **bază de orientare de dirijare (BOD)**, sau pe scurt **baza de dirijare (BD)**, denumire care derivă din faptul că aceste două elemente de dirijare dirijează / ghidează mișcarea obiectului / piesei în vederea localizării lui, dacă în tot timpul mișcării se menține

contactul piesă-dispozitiv. În acest fel **BD** preia 2 grade de libertate ale obiectului: translaţia pe o direcţie perpendiculară pe dreapta determinată de cele două puncte de contact piesa / dispozitiv, ce materializează **BD**, translaţie pe direcţia **Y**, de exemplu, dacă **BD** este paralelă, întotdeauna, cu **BA** din planul **XOY** şi rotaţia în jurul axei **Z**, notată în tehnologie cu **C**.

Drept **BOD** se alege, în principiu, din motive lesen de înţeles, care vizează precizia de ghidare, suprafaţa cea mai lungă a piesei, dacă nu există alte raţiuni impuse, prin desenul de execuţie al piesei.

De la **BOD** poate fi stabilită / măsurată cota / dimensiunea **y**, paralelă cu **BOA** şi perpendiculară pe **BOD**, ca de exemplu, perpendiculară pe **z**, fiindcă **BOD** este paralelă cu **BOA**.

Astfel, dacă cele două puncte aparţin unei obiect paralelipipedic, mărginit, deci, de suprafeţe plane, şi **BOD** este paralelă cu **BOA**, păstrând contactul piesă / dispozitiv pe cele două baze, printr-o mişcare de translaţie, piesa mai poate fi doar translatată, în dispozitiv, pe direcţia **X**, până când tamponează un **element de localizare**.

3) De la acesta, denumit element de localizare, respectiv **baza tehnologică de localizare (BTL)**, sau, pe scurt, **baza de localizare (BL)** poate fi stabilită coordonata / dimensiunea **x** perpendiculară simultan pe **y** şi **z**. Dar fără să fie coordonate / dimensiuni / segmente concurente într-un punct comun **O(x,y,z)** ca în matematică, decât, dacă **BOD** şi **BTL** coboară la nivelul **BOA** şi, în plus, **BTL** se deplasează spre **BOD** şi va fi conţinută şi în ea, ambele urmând să fie conţinute în **BOA**, astfel că, punctul **O(x,y,z)** ca şi **BTL** va fi un vârf al piesei paralelipipedice, conţinut simultan în planul **BOA**, dreapta **BD** în punctul **BL**, rezultând, în acest caz că $O(x,y,z) \equiv BL$.

Dacă, localizarea se realizează printr-o mişcare de translaţie, aşa cum s-a presupus anterior, ea mai poartă denumirea de **localizare prin translaţie (LT)**.

Dacă, localizarea se realizează printr-o mişcare de rotaţie a obiectului, atunci este denumită **localizare prin rotaţie (LR)**. În acest caz **BD** poate fi, sau este, de obicei, o axă a unei suprafeţe de rotaţie (cilindrice sau sferice) a obiectului, denumită **bază de orientare de centrare (BOC)** în jurul căreia, obiectul se roteşte, până când, un alt corp al piesei, tamponează elementul de localizare prin rotaţie. Sau, până când un fixator pătrunde într-un orificiu perpendicular pe **BOC** sau într-un canal paralel cu **BOC**.

Obiectele care nu prezintă **elemente / baze de orientare**, cum ar fi sfera în matematică şi bilele de rulment în tehnologie, de exemplu, sunt **obiecte neorientabile**.

2) **LOCALIZAREA** este operaţia sau acţiunea de stabilire a **locul**, în spaţiul euclidian tridimensional E^3 , a unui punct **O(x,y,z)** caracteristic al obiectului, ce aparţine unui element de referinţă de orientare al acestuia, de la care se stabilesc coordonatele / dimensiunile liniare **x, y, z** faţă de un sistem de referinţă dat, sau, în tehnologie, faţă de scula de prelucrare.

Punctul **O(x,y,z)** al obiectelor **neorientabile** este centrul de simetrie al acestora, iar al pieselor orientabile, ca cele paralelipipedice, în tehnologie, de exemplu, punctul **O(x,y,z)** este **diseminat** în trei puncte distincte, pentru fiecare coordonată în parte $O_x \subset BL$ pentru **x**, $O_y \subset BD$ pentru **y** şi $O_z \subset BA$ pentru **z**, aşa cum s-a explicat anterior.

În tehnologie, succesiunea orientare \rightarrow localizare este obligatorie; numai un obiect orientat poate fi apoi localizat. Ca şi în matematică, de altfel. Întâi se alege un sistem de referinţă solidar cu obiectul (**O, x, y, z**) apoi, unul invariant (**O, X, Y, Z**) ce coincide, iniţial, cu celălalt, în spaţiul **3D** sau euclidian tridimensional E^3 şi apoi se operează diverse transformări de translaţii şi / sau de rotaţii aşa cum se poate observa cu rotaţiile unui cub, prezentate în **figura 10**.

Reuniunea dintre **orientare** şi **localizare** reprezintă cea mai importantă acţiune / operaţie tehnologică, denumită **poziţionare**, adică:

orientarea \cup localizarea = poziţionare

Dacă **poziţionarea** obiectului este realizată / desăvârşită / implinită, atunci, poate fi menţinută poziţia relativă piesă / dispozitiv prin operaţia de **fixare** a piesei în dispozitiv.

În continuare pot fi stabilite cotele / dimensiunile dintre scula şi piesă, astfel, încât să se obţină piesa la dimensiunile şi preciziile impuse prin desenul de execuţie al piesei.

Această operaţie tehnologică este denumită **reglare dimensională**. Cu ea, operaţia de instalare este încheiată şi prelucrarea piesei poate să înceapă.

Ca urmare, **instalarea** unui obiect este o reuniune a **poziționării** cu **fixarea** și cu **reglarea dimensională** a sistemului tehnologic, adică:

$$\text{instalare} = \text{poziționare} \cup \text{fixare} \cup \text{reglare (dimensională)}$$

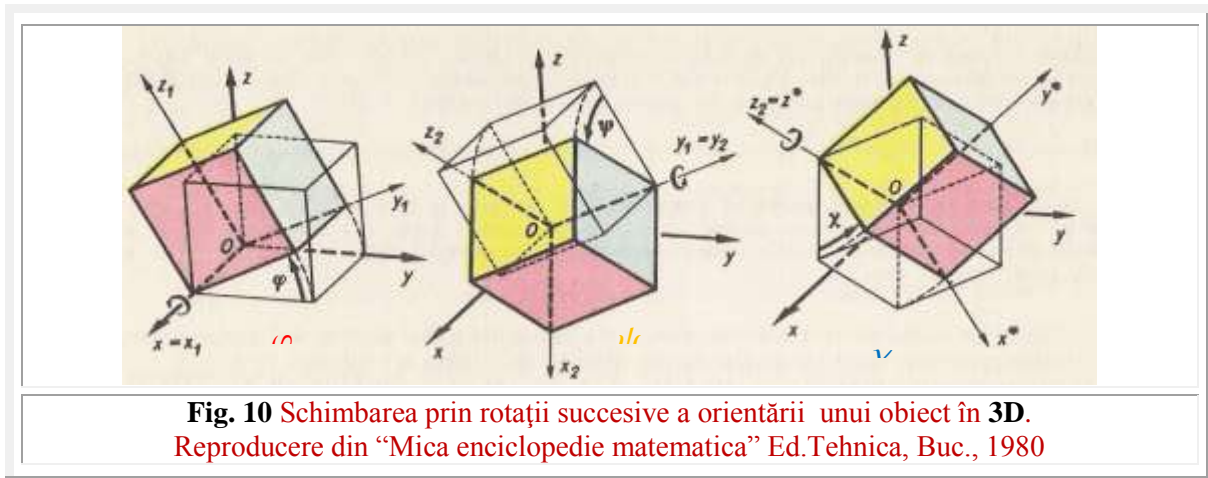


Fig. 10 Schimbarea prin rotații succesive a orientării unui obiect în 3D.
 Reproducere din “Mica enciclopedie matematică” Ed.Tehnica, Buc., 1980

În tehnologie, **fixarea** se poate realiza prin **forță** (de fixare) sau prin **formă** (care împiedică deplasarea piesei în timpul preucrării).

În matematică, fixarea se “realizează” prin **convenție**. **Zicând** că sistemul (O, x, y, z) este legat de piesă el nu se mai poate deplasa relativ față de ea (dezlega), ci numai împreună cu obiectul, deci sunt “fixate” unele de altele (**Fig. 10**).

Astfel, în matematică, fixarea obiectelor, față de sistemele de referință, se subînțelege, sau se realizează de la sine, ea nu mai există, pentru că în matematică nu există “forțe matematice”; ele fiind proprii mecanicii, în speță dinamicii ei și nici scule de prelucrare, nici diverse dimensiuni de coordonare, de reglare dimensională, de prelucrare ș.a. Ce simplă este fixarea în Matematică !!

De aceea, în matematica centrică (**MC**), există doar 3 dimensiuni liniare $x, y,$ și z care sunt, totodată, și dimensiuni de formare a obiectelor **3D**, prin ecuațiile lor parametrice, de exemplu.

Ca urmare, în această matematica centrică (**MC**) entități ca dreapta, pătratul, cercul, sfera, cubul ș.a. sunt unice, pe când, în matematica excentrică (**ME**) și, implicit în supermatematică (**SM**), ele sunt multiplicat la infinit prin **hibridare**, hibridare posibilă prin introducerea noii dimensiuni a spațiului **excentricitatea**.

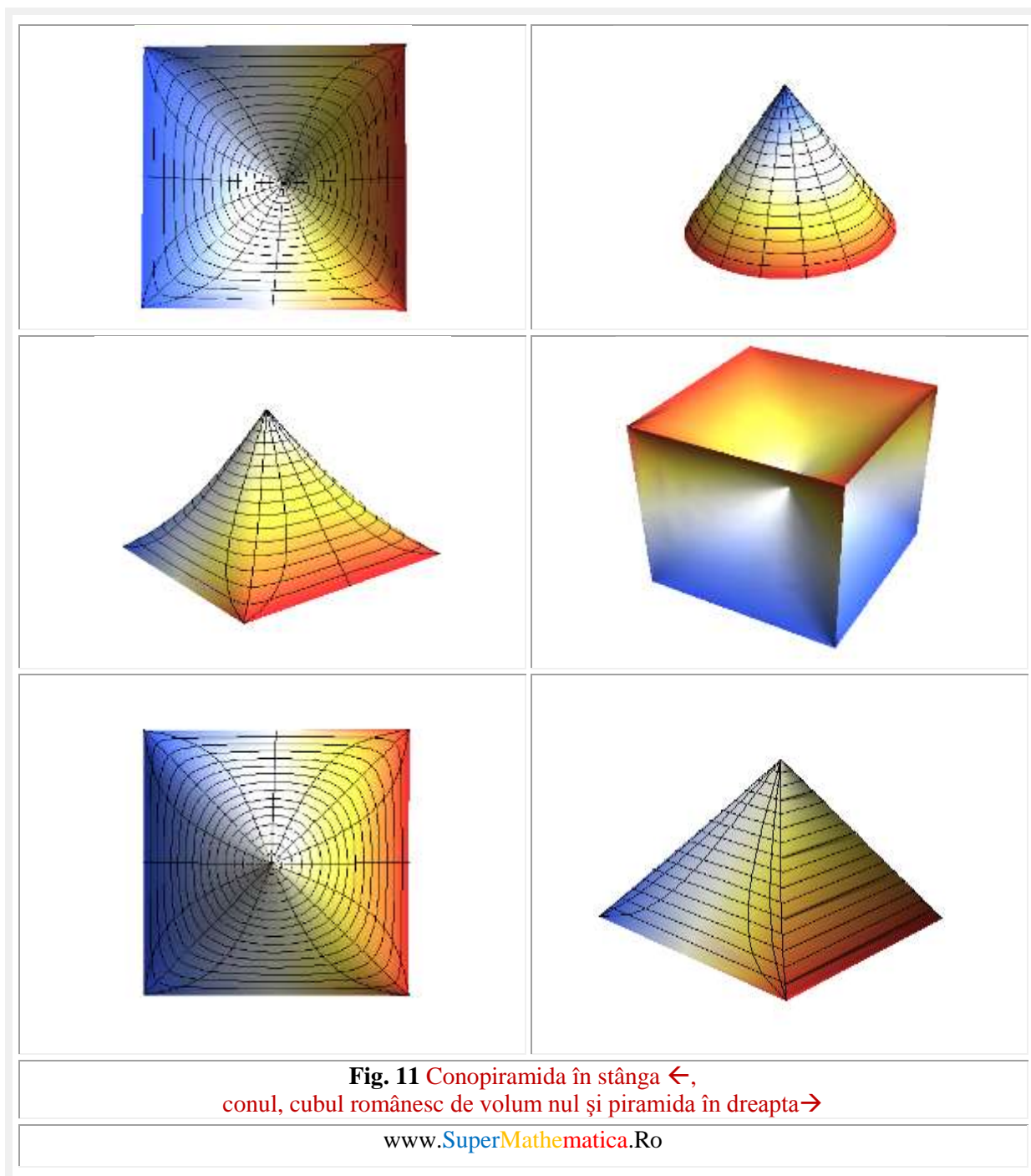
Hibridarea matematică poate fi definită ca procesul matematic de **încrucișare** a două entități matematice din **MC**. Adică, de trecere continuă de la o entitate oarecare, existentă în **MC**, la o altă entitate, existentă în **MC**, printr-o infinitate de entități hibride, proprii doar **ME**. Altfel spus, o transformare a unei entități matematice centrice în altă entitate matematică centrică, acțiune devenită posibilă în cadrul matematicii excentrice prin utilizarea funcțiilor supermatematice.

Prin **metamorfozare** se obțin entități noi, anterior inexistente în **MC**, denumite **entități hibride**, ca și entități **excentrice** sau **supermatematice (SM)**, pentru a se deosebi de cele **centrice**, și prin denumire, pentru că, **prin formă**, diferă esențial.

Primul corp obținut prin **hibridare matematică** a fost **conopiramida**: un obiect supermatematic cu baza pătrată a unei piramide și cu vârful unui con circular drept, rezultat din transformarea continuă a pătratului unitate de $L = 2$ în cercul unitate de $R = 1$, și / sau invers (**Fig. 8** și **21**). Ecuațiile parametrice ale conopiramidei se obțin din ecuațiile parametrice ale conului circular drept, în care **FCC** sunt înlocuite / convertite cu funcțiile supermatematice cvadrilobe (**FSM-Q**) corespondente:

$$(12) \quad \begin{cases} x = u \cdot \text{coq}\theta = u \cdot \frac{\cos\theta}{\sqrt{1-s^2 \cdot \sin^2\theta}} \\ y = u \cdot \text{siq}\theta = u \cdot \frac{\sin\theta}{\sqrt{1-s^2 \cdot \cos^2\theta}} \\ z = u \end{cases}, \text{ pentru } \begin{cases} s = 0, u \in [-1, 0] \rightarrow \text{CON} \\ s = 1, u \in [-1, 0] \rightarrow \text{PIRAMIDĂ} \\ s = u \in [-1, 0] \rightarrow \text{CONOPIRAMIDĂ} \end{cases}, \text{ (Fig. 8 și 11),}$$

deoarece **FSM-Q** pot realiza transformarea continuă a cercului în pătrat și invers, ca și **FSM-CE** derivate excentrice **dex_{1,2}θ**.



Cubul românesc din **figura 11** – dreapta - mijloc, “**cel mai ușor cub din lume**”, este cubul de volum nul, obținut din 6 piramide, fără suprafețele lor de bază pătrate, cu vârful comun în centrul de simetrie al cubului. El poate fi generat și cu ajutorul altor funcții parametrice **SM**, ca de exemplu:

$$(13) \quad \begin{cases} x = \cos[t - \arcsin(\sin t)] \cos[u - \arcsin(\sin u)] \\ y = \sin[t - \arcsin(\sin t)] \cdot \cos[u - \arcsin(\sin u)] \\ z = \sin[u - \arcsin(\sin u)] \end{cases}$$

sinusul (**sex** $\theta = \sin[\theta - \arcsin(s \cdot \sin \theta)]$) și cosinusul (**cex** $\theta = \cos[\theta - \arcsin(s \cdot \sin \theta)]$) **SM** de excentricitate numerică **s = 1**. Dar și în alte moduri, așa cum se poate deduce din **figura 12**.



Motto: “ *Je me détourne avec horreur de ces fonctions continues sans dérivées* ”.
Charles Hermite

CAPITOLUL XXV

WEIERSTRASS Ș.M.A. S-AU INȘELAT

0. REZUMAT

Lucrarea demonstrează clar că funcțiile lui **Weierstrass**, primele **considerate** nederivabile, precum și cele ale mai multor alți autori, “*continue peste tot și nicăieri derivabile*”, sunt derivabile.

Greșeala esențială a lui **Weierstrass** constă în confuzia dintre graficul funcției și ecuația care o exprimă. Dacă ecuația (1) și graficele ei (**Fig.1**) sunt **ambele continue**, nu același lucru se poate afirma relativ la **ecuația modificată** (2), care este, evident, **discontinuuă** (ecuațiile nu și graficele ! cele **două ecuații** de determinare a câte unei laturi ale triunghiului fiind net diferite), în timp ce **graficele** acestora sunt **continue**, așa cum rezultă și din **figura 2,a**.

Prin funcția **W(x)** din ecuația (1) cu graficele din **figurile 1**, **Weierstrass** a dorit să exprime graficul unei funcții în “*dinți simetrici de fereștrău*” sau “*lamă de fereștrău cu dinți triunghiulari simetrici*” pentru $n \rightarrow \infty$, ca cele exprimate prin **ecuațiile discontinue**, modificate, (2) cu **graficele continue** din **figura 2,a** [24, pag.107, Cap. 11 “*DESPRE CURBE PEANO ȘI NEDIFERENȚIABILITATEA LOR*”, Fig. 11.2].

Diferențiabilitatea a devenit evidentă în urma descoperirii **funcțiilor supermatematice circulare excentrice (FSM-CE) beta excentrice** $\text{bex}\theta = \beta(\theta) = \theta - \alpha(\theta) = \arcsin[s \cdot \sin(\theta - \varepsilon)]$ de **excentru S** (în cercul unitate) și **E(e, ε)** într-un cerc de rază oarecare R și de coordonete polare **S(s, ε)**, cu graficele din **figura 2,b** pentru $s = \pm 1$ și din **figura 3** pentru $s \in [-1, +1]$.

Cu ajutorul **FSM-CE** pot fi **exprimate exact**, cu maximum **doi** termeni, **toate graficele** / semnalelor triunghiulare (simetrice și asimetrice), dreptunghiulare, trapezoidale, precum și funcțiile în trepte **Smarandache ș.m.a.**, așa cum sunt prezentate în cuprinsul lucrării.

1. INTRODUCERE

Cine este **Weierstrass** ? Redăm de pe https://ro.wikipedia.org/wiki/Karl_Weierstrass:

“**Karl Theodor Wilhelm Weierstrass (Weierstraß)** a fost un matematician german, considerat **părintele analizei matematice**.

A continuat lucrările lui Cauchy privind numerele irrationale redându-le o nouă abordare. Cele mai celebre lucrări ale sale sunt cele din domeniul funcțiilor eliptice.

Weierstrass este primul care a dat un exemplu de funcție continuă care **nu este derivabilă în niciun punct**.”

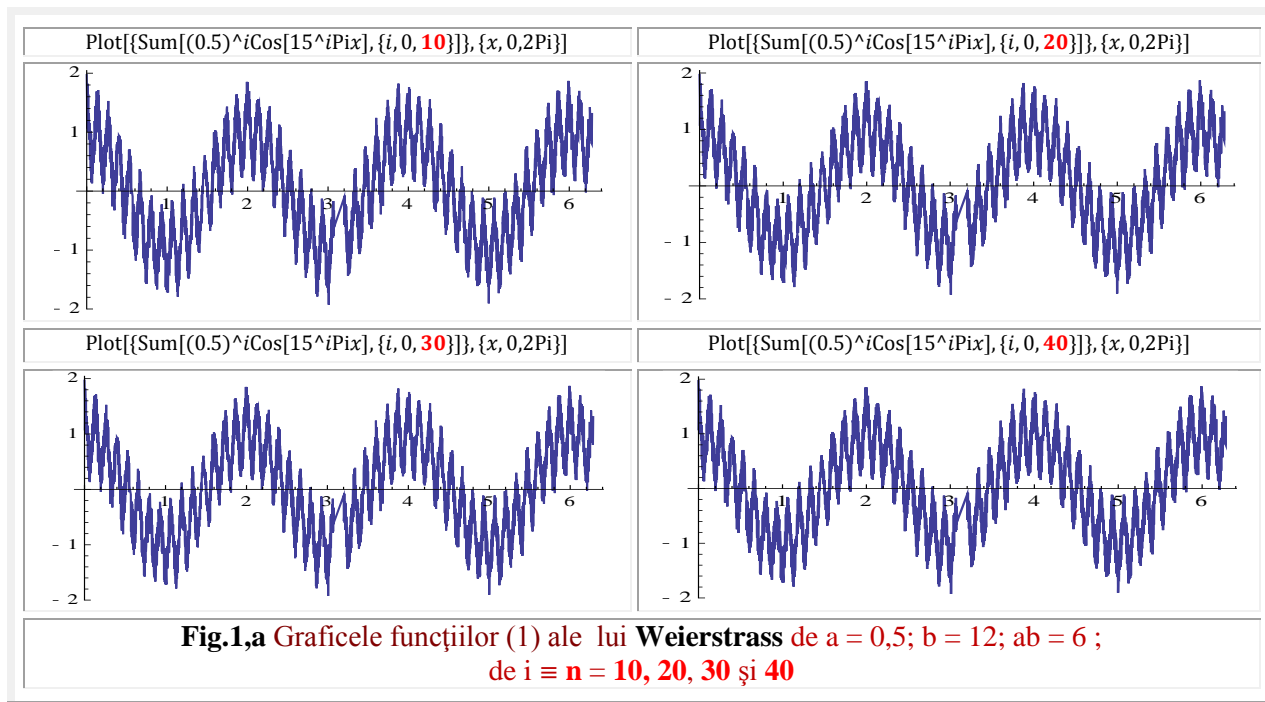
Prima funcție continuă și nicăieri derivabilă a fost găsită de **Karl Weierstrass** în anul 1872 sub forma seriei de funcții (1).

Ecuația funcției lui **Weierstrass**, continuă peste tot și nicăieri derivabilă, este dată de suma / egalitatea

$$(1) \quad W(x) = \sum_{n=0}^{\infty} a^n \cdot \cos(b^n \pi x), \quad \text{pentru orice } x \in \mathbb{R}.$$

Parametrii a și b **vor fi fixați**, astfel încât, $0 < a < 1$ și $ab > 1 + 3\pi/2$, adică $a \cdot b > 5,7123..$ cu b număr natural impar.

Graficele funcțiilor $W(x)$, pentru diverși parametri a și b , în condițiile anterior stipulate, sunt prezentate în **figurile 1**, pentru $a = 0,5$; $b = 15$; $a \cdot b = 7,5 > (a \cdot b)_{\min} = 5,7124$, pentru $i \equiv n = 10, 20, 30$ și 40 .



Rezultă că numărul n de termeni nu influențează prea mult forma graficelor.

Exemplul dat în anul 1903 de matematicianul japonez **Teiji Takagi** are graficul acestei funcții numit în continuare **curba lui Takagi** din **figura 1,b**.

Definiția analitică a funcției $F : \mathbb{R} \rightarrow \mathbb{R}$ a lui **Takagi** începe prin a defini pe intervalul $[0, 2)$ funcția “**dînte simetric de ferăstrău**”:

$$(2) \quad f(x) = \begin{cases} x, & \text{pentru } x \in [0, 1) \\ 2 - x, & \text{pentru } x \in [1, 2) \end{cases}$$

care se prelungește, prin periodicitate, pe întreaga axă a numerelor reale, astfel încât $f(x + 2) = f(x)$, pentru orice $x \in \mathbb{R}$ să se obțină funcția “**lamă de ferăstrău cu dinți triunghiulari simetrici**” cu graficele din **figura 2 ▲ și 2 ▼**.

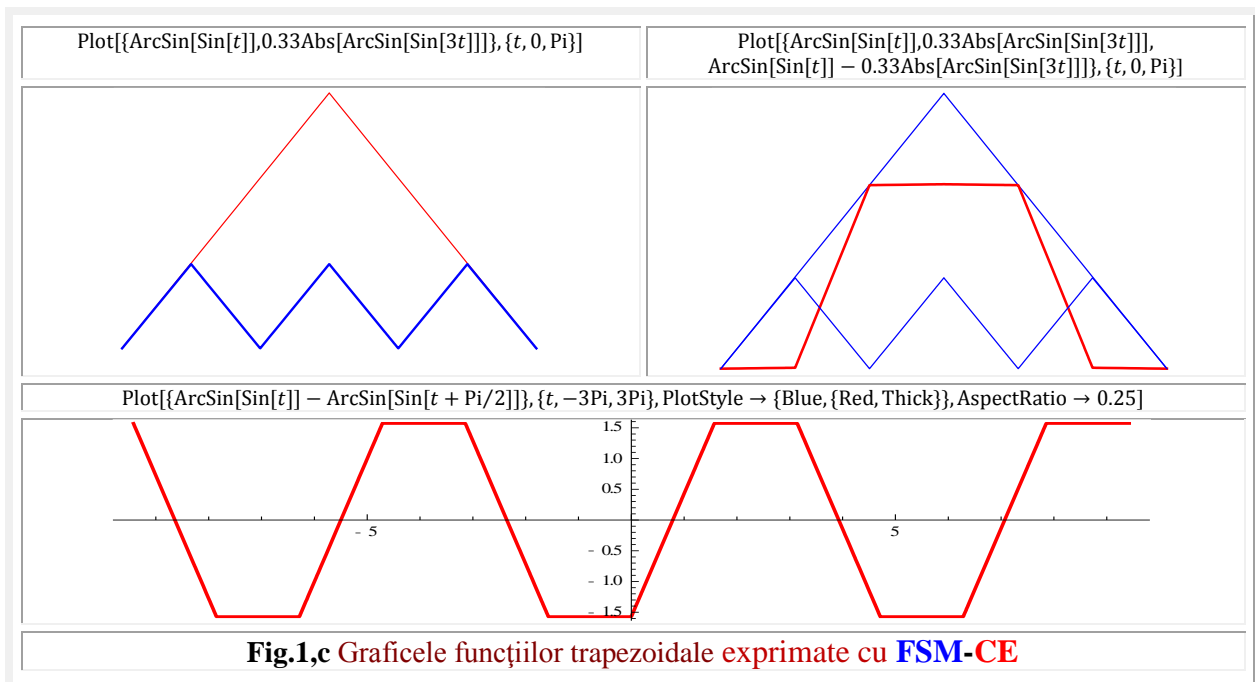
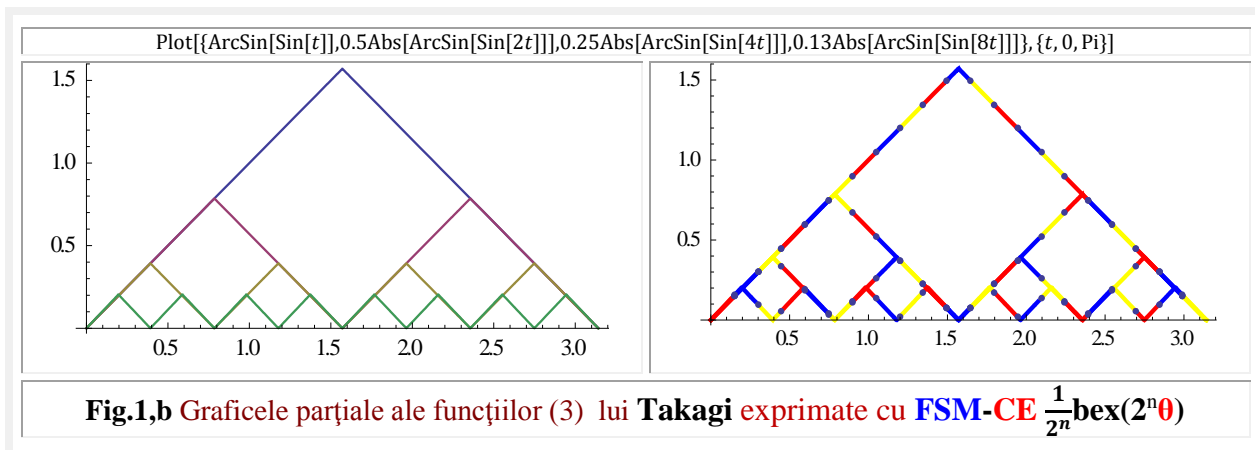
Cu ajutorul funcției $f(x)$ dată de relația (2) se construiește funcția $F(x)$

$$(3) \quad F(x) = \lim_{n \rightarrow \infty} s_n(x) = \sum_0^{\infty} \frac{1}{2^n} f(2^n x),$$

care, prelungită prin periodicitate pe întreaga axă a numerelor reale, cu perioada principală $T = 2$, exprimă funcția lui **Takagi**, reprezentată parțial în **figura 1,b**.

În lucrarea [24, Cap.11 **DESPRE CURBE PEANO ȘI NEDIFERENȚIABILITATEA LOR**, §2 “**O identitate pe mulțimea Γ a lui Cantor**”, pag.106, Fig.11.1] este prezentat graficul “funcției trapezoidale” din **figura 1,c ▼**, iar în [24, figura 11.3] sunt prezentate graficele funcțiilor în “dinți simetrici de ferăstrău” și un mod de obținere prin diferența lor (2) a unei funcții trapezoidale definită de [24] inegalitățile

$$(4) \quad f(t) = \begin{cases} 0, & \text{dacă } \rightarrow 0 \leq t \leq \frac{1}{3} \\ 3t - 1, & \text{dacă } \rightarrow \frac{1}{3} \leq t \leq \frac{2}{3} \\ 1, & \text{dacă } \rightarrow \frac{2}{3} \leq t \leq 1 \end{cases}$$



Așa cum rezultă din ecuațiile prezentate în cadrul figurilor, graficele au fost exprimate cu ajutorul FSM-CE beta excentrice $bex\theta$ de ecuații

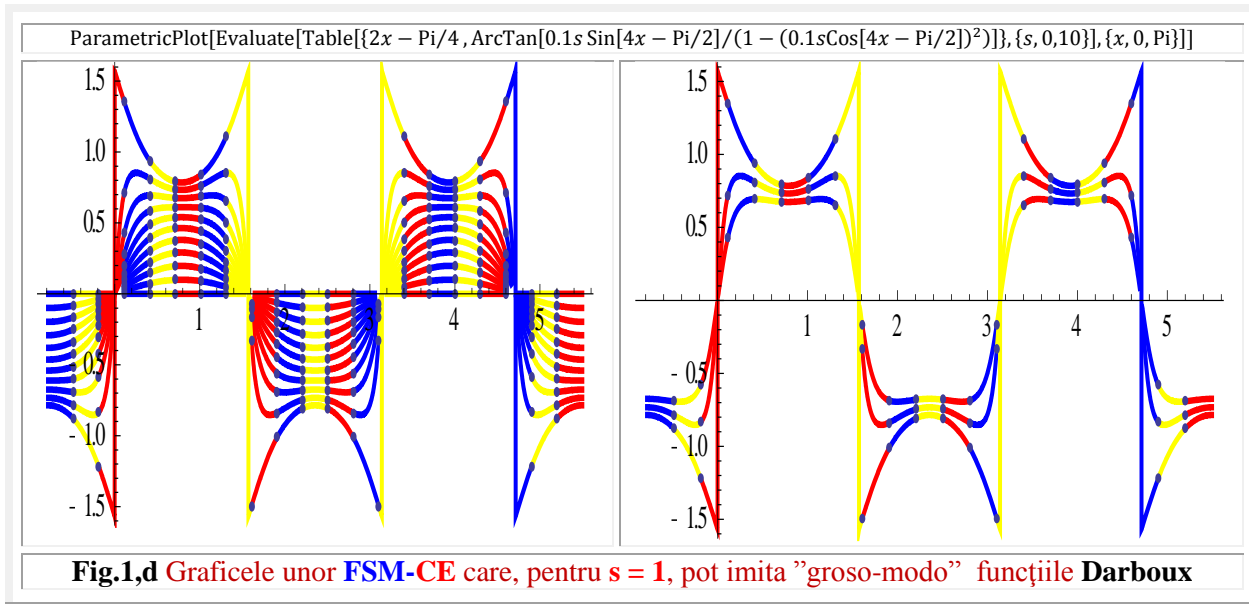
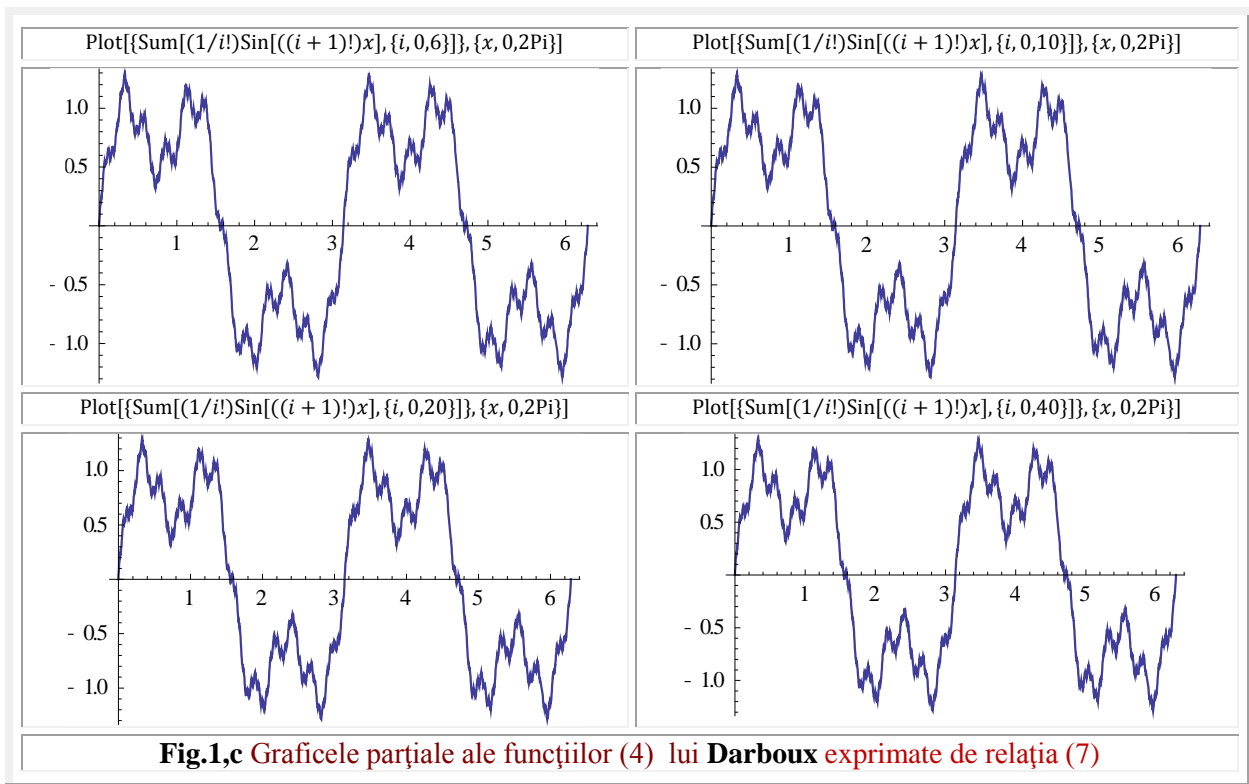
$$(5) \quad \begin{cases} bex\theta = \beta(\theta) = \arcsin[s \cdot \sin(\theta - \varepsilon)] \\ Bex\alpha = \beta(\alpha) = \arcsin \frac{s \cdot \sin(\alpha - \varepsilon)}{Rex\alpha} = \arcsin \frac{s \cdot \sin(\alpha - \varepsilon)}{\sqrt{1 + s^2 - 2s \cdot \cos(\alpha - \varepsilon)}} \end{cases}, \text{ în care } bex\theta = \beta(\theta) \text{ este funcție}$$

de variabila excentrică θ și $Bex\alpha = \beta(\alpha)$ este funcție de variabila centrică α .

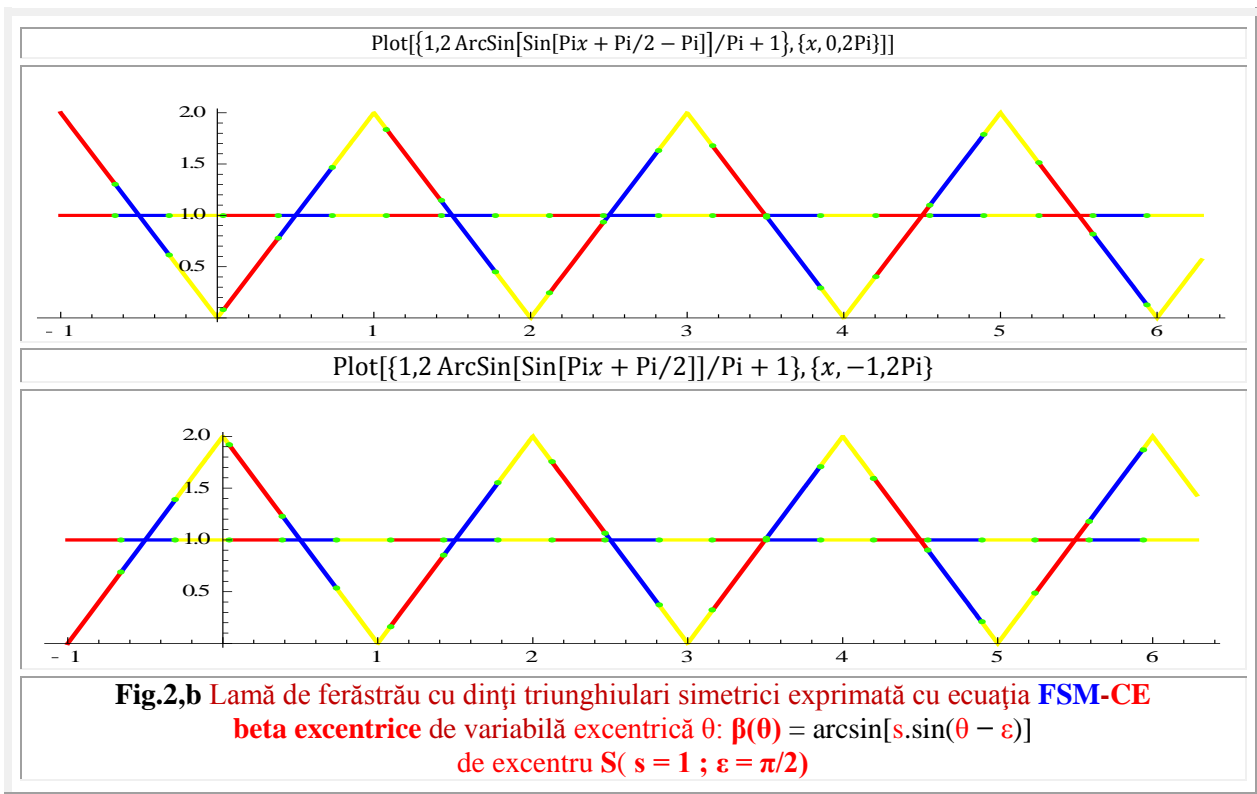
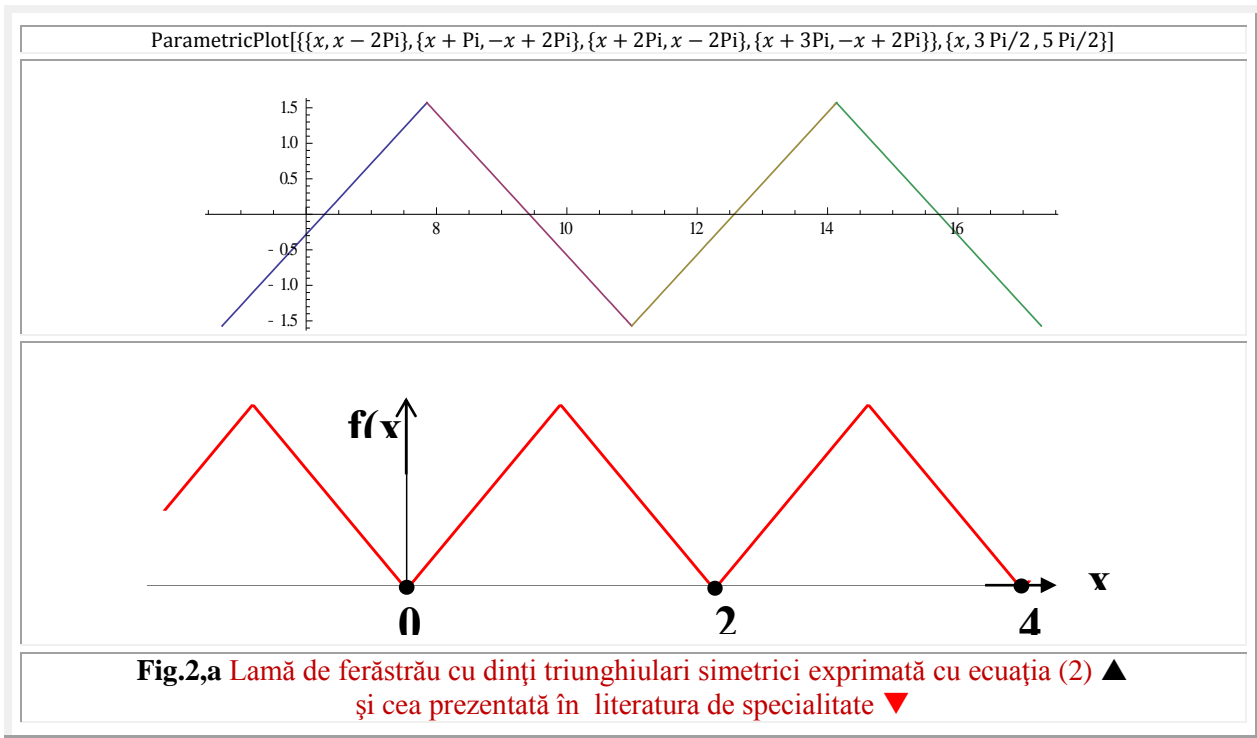
Funcția lui Darboux $D(x)$ definită de

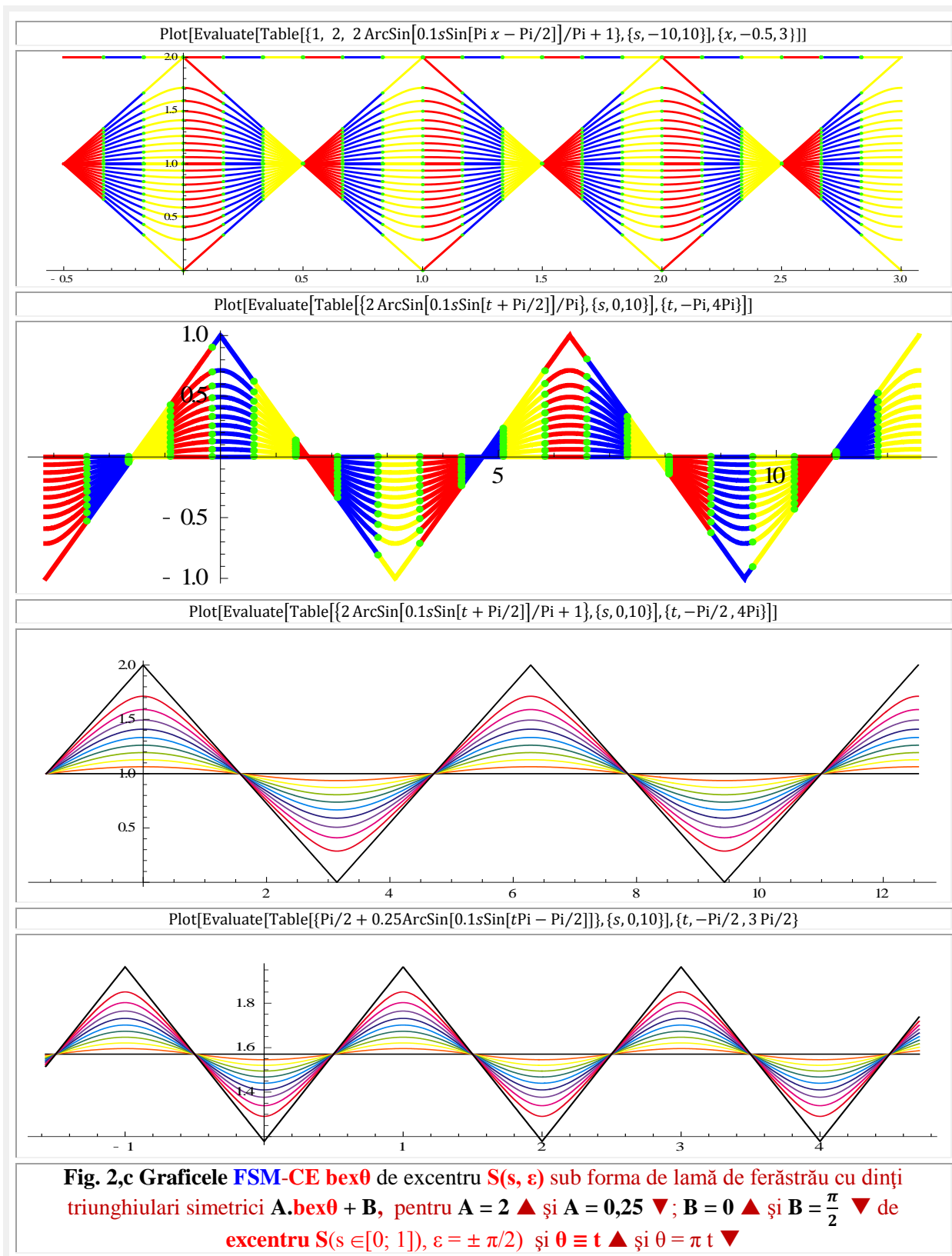
$$(6) \quad D(x) = \sum_{n=1}^{\infty} \frac{1}{n!} \sin((n+1)x),$$

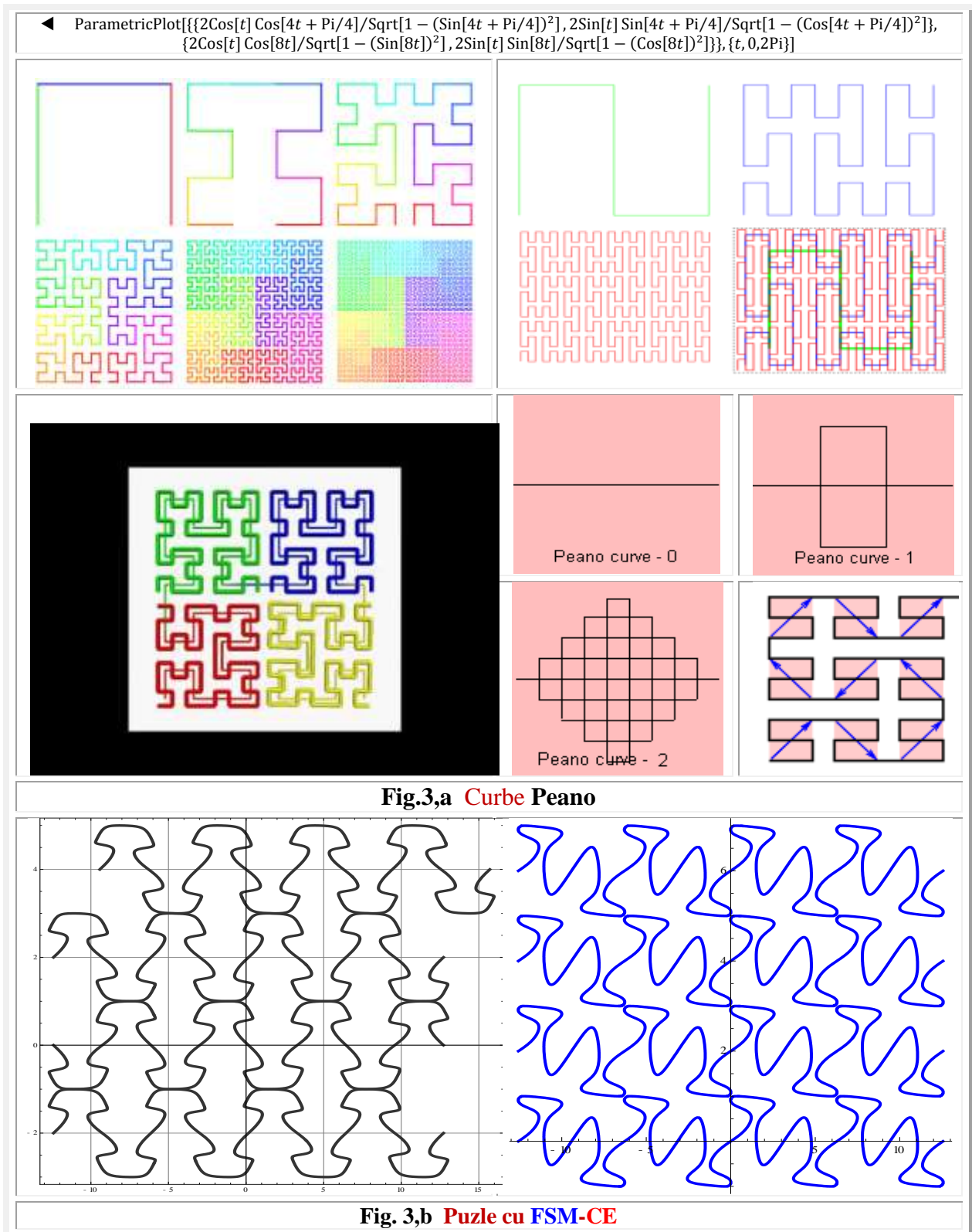
pentru orice $x \in \mathbb{R}$, este un alt exemplu de funcție continuă peste tot și “nicăieri derivabilă” dată de Jean-Gaston Darboux în 1875, cu graficele din figura 1,c.

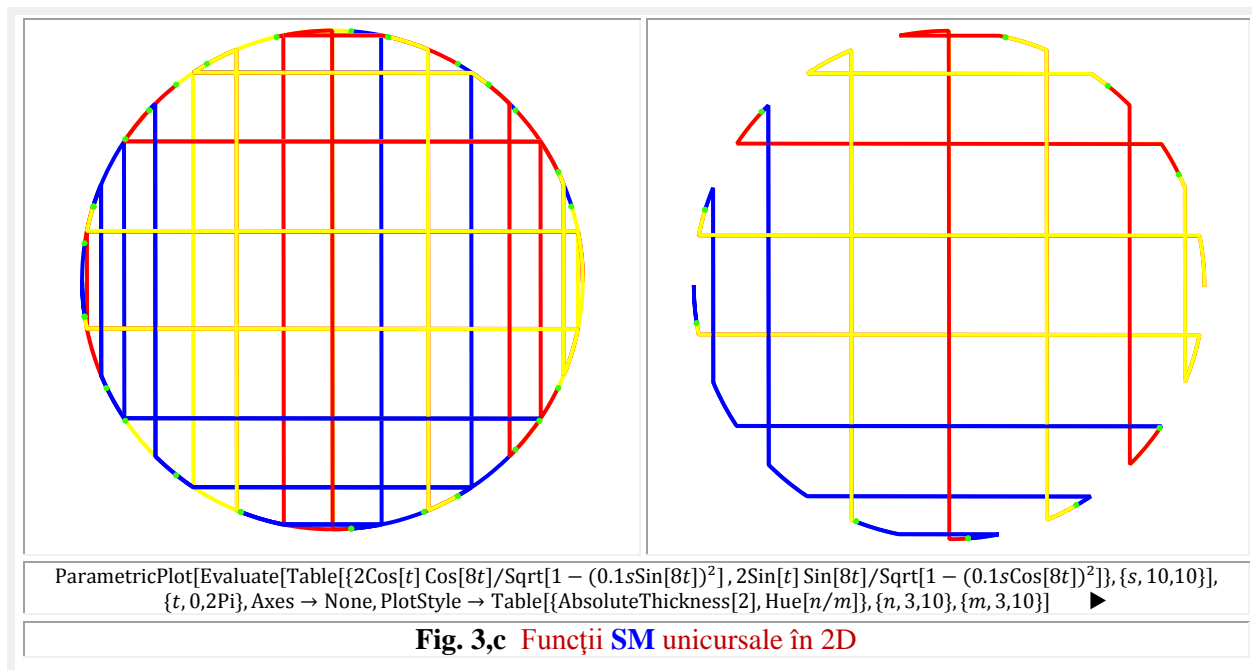


Comparând figura 2,a cu figurile 2,b, "lamă de ferăstrău cu dinți triunghiulari simetrici" rezultă că se poate obține și cu ajutorul funcțiilor supermatematice circulare excentrice (FSM-CE) beta excentrice de variabilă excentrică 0, pentru o excentricitate liniară numerică $s = \pm 1$. Pentru alte valori A, B, și $s \in [-1, +1]$ graficele sunt redată în figura 2,c.









2. CONSECINȚELE ÎNLOCUIRII FUNCȚIEI CU DEZVOLTAREA EI ÎN SERIE

S-a ales, în acest scop, derivata **FSM-CE** derivată excentrică **Dex α** de **variabilă centrică $\alpha(\theta)$** .

Funcțiile **$\alpha(\theta)$** și **$\theta(\alpha)$** , de **excentru $S(s, \epsilon)$** , au ecuațiile

$$(7) \quad \begin{cases} \alpha(\theta) = \theta - \beta(\theta) = \theta - \arcsin[s \cdot \sin(\theta - \epsilon)] \\ \theta(\alpha) = \alpha + \beta(\alpha) = \alpha + \arcsin \frac{s \cdot \sin(\alpha - \epsilon)}{\sqrt{1 + s^2 - 2s \cdot \cos(\alpha - \epsilon)}} \end{cases},$$

ale căror derivate sunt **FSM-CE derivată excentrică dex θ** , de variabilă **excentrică θ** și, respectiv, **Dex α** , de variabilă **centrică α**

$$(8) \quad \begin{cases} Dex\alpha = \frac{d[\theta(\alpha)]}{d\alpha} = \frac{1 - s \cdot \cos(\alpha - \epsilon)}{\sqrt{1 + s^2 - 2s \cos(\alpha - \epsilon)}} = \frac{1 - s \cdot \cos(\alpha - \epsilon)}{Rex\alpha} \\ dex\theta = 1 - \frac{s \cdot \cos(\theta - \epsilon)}{\sqrt{1 - s^2 \sin^2(\theta - \epsilon)}} = 1 - \frac{s \cdot \cos(\theta - \epsilon)}{del\theta} \end{cases}$$

Derivata **FSM-CE** derivată excentrică **Dex α** este

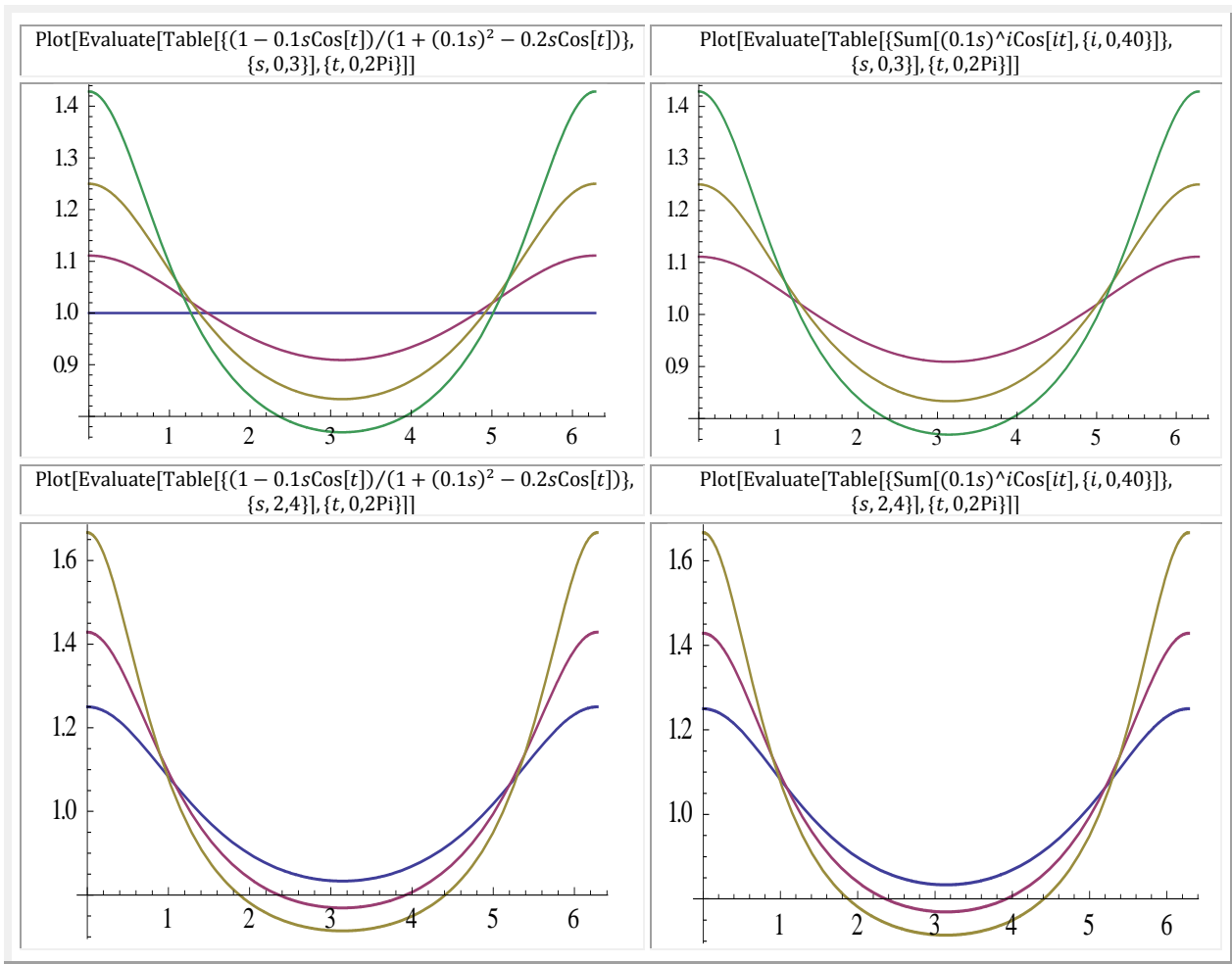
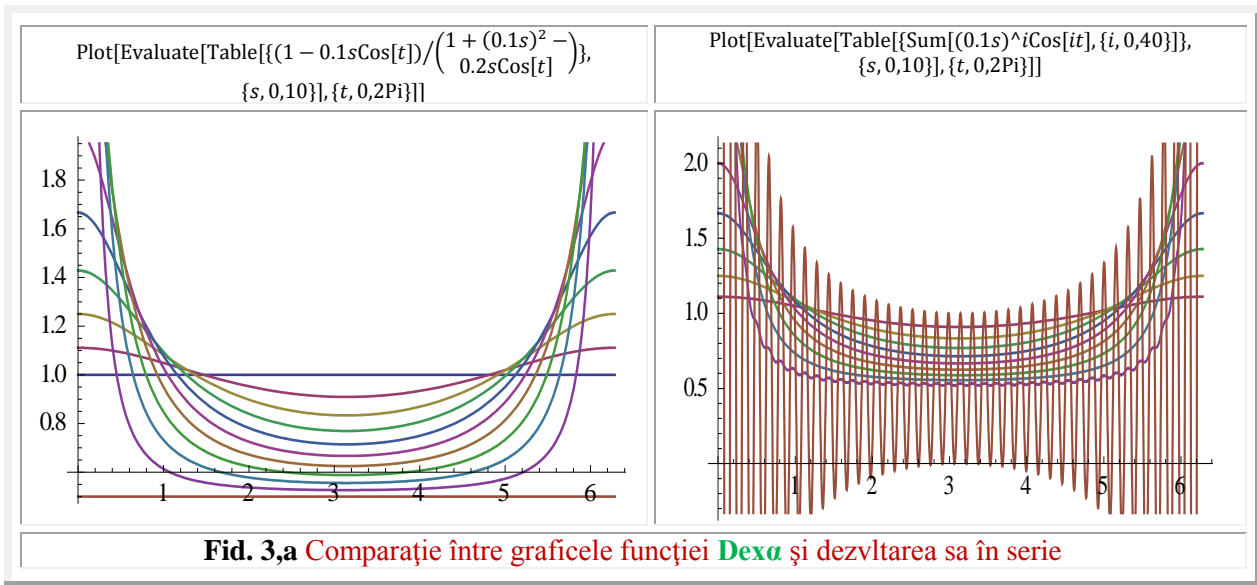
$$(9) \quad \frac{d(Dex\alpha)}{d\alpha} = \frac{d}{d\alpha} \left[\frac{1 - s \cdot \cos(\alpha - \epsilon)}{\sqrt{1 + s^2 - 2s \cos(\alpha - \epsilon)}} \right] = \frac{1 - s \cdot \cos(\alpha - \epsilon)}{1 + s^2 - 2s \cos(\alpha - \epsilon)} = \sum_{k=0}^{\infty} s^k \cdot \cos[k \cdot \alpha]$$

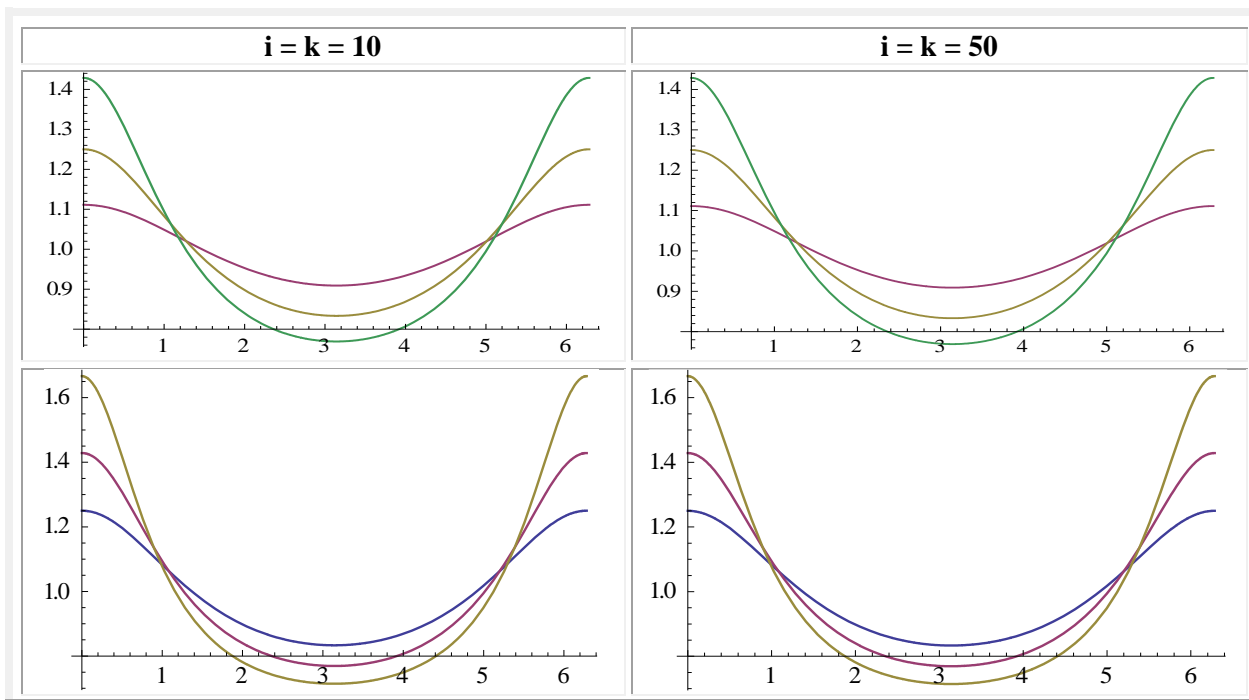
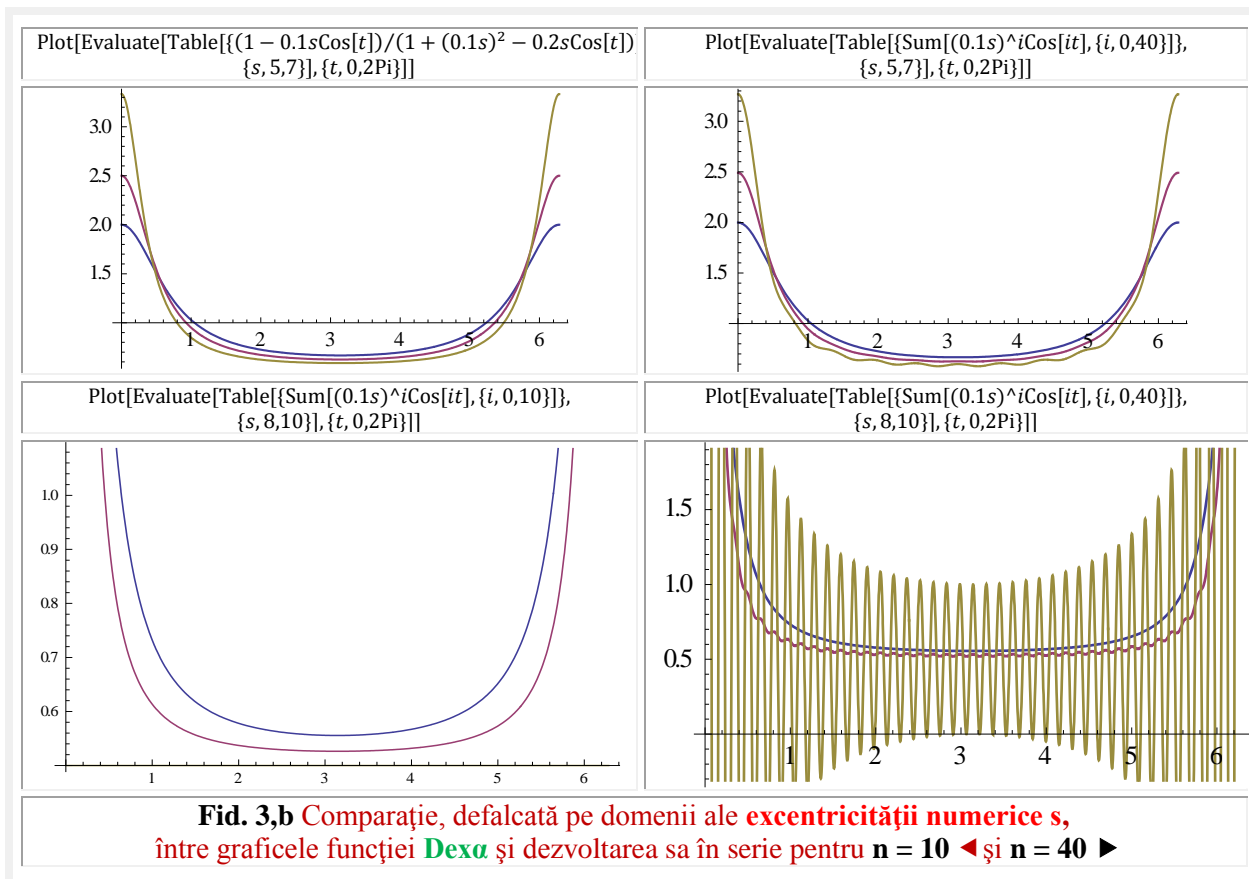
Dezvoltarea în serie trigonometrică din (4) este dată explicit în Rîjik, I.M. și Gradstein I.S. **“TABELE DE INTEGRALE, SERII SUME ȘI PRODUSE”**, Ed. Tehnică, Buc., 1955, pag.54, Cap. **Serii trigonometrice**, pag.54, ecuația 1.447-F II 599 m.

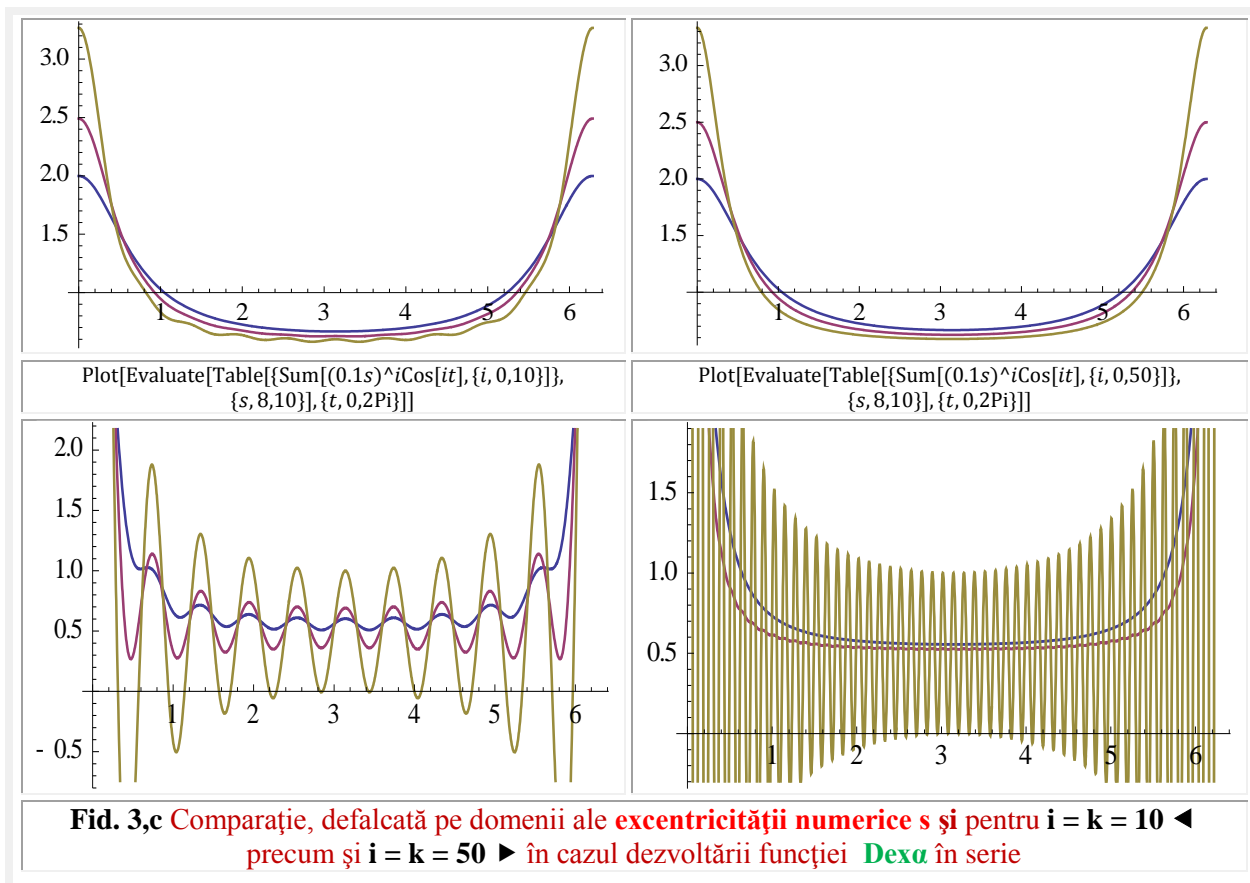
În **figura 3,a** sunt redată graficele aceleiași funcții (4), exprimată în cele două moduri diferite.

Se observă, mai bine în **figurile 3,b**, că pentru valori mici ale excentricității liniare numerice **s** → pentru **s** ∈ [0; 0,7) - graficele nu diferă prea mult între ele însă, odată cu creșterea excentricității numerice **s** peste valoarea **s > 0,7** ele diferă semnificativ, astfel că, pentru **s > 0,8** și în special pentru **s = 1** graficele lor sunt net diferite.

În **figurile 3,b** graficele sunt separate pe domenii de valori ale excentricității liniare numerice **s**, iar în **figura 3,c** s-au utilizat valorile dezvoltării în serie: **n = 10** în stânga ◀ și **n = 40** în dreapta ▶.







3. REDAREA DERIVATELOR UNOR FUNCȚII

Verbul a reda are trei înțelesuri în limba română. Primul înțeles “a da din nou”, în sensul de “a restitui” este cel la care ne referim și nu “a descrie, a exprima” sau “a reproduce”.

Ce restituim ?

Restituim unor funcții (de parametru sau **excentricitate liniară numerică s = ± 1**, dintr-o familie de funcții, de $s \in [-\infty, +\infty]$), de exemplu, **funcțiile supermatematice circulare excentrice (FSM-CE) amplitudine excentrică aex_{1,2}θ** și **beta excentrică bex_{1,2}θ** de **variabile excentrice θ** și de excentricitate liniară numerică **s = ± 1**

$$(10) \begin{cases} \mathbf{aex}_{1,2}\theta = \alpha(\theta) = \theta - \beta(\theta) = \mathbf{bex}_{1,2}\theta = \theta - \arcsin[s \sin(\theta - \varepsilon)] \\ \mathbf{bex}_{1,2}\theta = \arcsin[s \sin(\theta - \varepsilon)], \end{cases} \quad s \in [-\infty, +\infty],$$

derivatele lor, care sunt **FSM-CE** de **derivată excentrică dex_{1,2}θ** și, respectiv, cosinusul quadrilob / cvadrilob **coq**

$$(11) \begin{cases} \frac{d[\mathbf{aex}_{1,2}(\theta)]}{d\theta} = \frac{d\alpha_{1,2}}{d\theta} = \frac{d[\theta - \beta_{1,2}(\theta)]}{d\theta} = \mathbf{1} - \mathbf{dex}_{1,2}\theta. \\ \frac{d[\mathbf{bex}_{1,2}\theta]}{d\theta} = \frac{d[\arcsin[s \sin(\theta - \varepsilon)]]}{d\theta} = \frac{s \cdot \cos[\varepsilon]}{\sqrt{1 - s^2 \sin^2 \theta}} = \mathbf{coq}_{1,2}\theta \end{cases}$$

Derivată care există și pentru **s = ± 1**, dar pe care **Weierstrass** le-a negat, pentru că el întâi a dat valoarea s = ± 1 familiei de funcții (1) și apoi a derivat, pe când succesiunea acestor operații este inversă: întâi se derivează familia de funcții și, apoi, derivata se particularizează pentru valoarea **s = ± 1**.

Eroare scuzabilă, pentru că, la acea dată, nu se știa că cercul și pătratul au aceleași ecuații parametrice; pentru $s = 0$ obținându-se un **cerc perfect**, iar pentru $s = \pm 1$ un **pătrat perfect** (Fig.1).

Această relație **SM** simplă, în care, prin modificarea excentricității numerice s de la 0 la 1 se obține o transformare / metamorfozare continuă a cercului în pătrat, este o mișcare internă a **SM**.

Henri Bergson, un mare gânditor, admitea că [*“GÂNDIRE ȘI MIȘCARE. Eseuri și conferințe”*, Polirom, Iași, 1995, pag. 209] *“Matematica modernă este tocmai un efort de a înlocui ceea ce este gata făcut cu ceea ce se face, pentru a urmări generarea mărimilor, pentru a surprinde mișcarea nu din exterior și prin prisma urmărilor ei evidente, ci din interior și prin tendința ei de a schimba, pentru a adopta continuitatea mobilă a desenului lucrurilor”*.

Dar, cu toate acestea, *“i se pare absurdă ideea că cercul și pătratul pot să facă parte din aceeași familie”*. Cităm din [**H. Bergson** *“EVOLUȚIA CREATOARE. Eseuri de ieri și de azi”*, Institutul European, 1998, pag. 258] *“Când am definit cercul mi-am reprezentat fără probleme un cerc negru sau alb, de carton, fier sau cupru, un cerc transparent sau opac – dar nu un **cerc pătrat**, pentru că legea generării cercului **exclude** (?) posibilitatea ca să delimitezi această figură prin linii drepte.”*

Să delimitezi, da, dar să curbezi o dreaptă și s-o transformi într-un cerc o știe toată tagma tehnologilor ! Acum o află și tagma matematicienilor, deoarece, pornind de la pătrat, care este cercul de $s = \pm 1$ și micșorând progresiv, continuu, valoarea excentricității numerice de la $s = +1$ spre $s \rightarrow 0$, colțurile pătratului încep să se rotunjească cu raze de racordare R din ce în ce mai mari, iar când raza de racordare R ajunge la valoarea $+1$, pentru $s = 0$, cele patru raze de racordare ale colțurilor pătratului vor forma cercul perfect de rază $R = 1$, care este **cercul unitate** sau **cercul trigonometric**.

Este **“exact”** ce se întâmplă la transformarea, prin strunjire din mai multe treceri, a unei bare pătrate în una circulară, cu diferența că la strunjire raza R nu poate să rămână constantă, ci din ce în ce mai mică pe când în matematică ea rămâne constantă.

Modul în care porțiunile / segmentele de dreaptă alternează cu arce de cerc sunt mult mai evidente în **transformarea excentrică**, prezentată în [1, Vol I, §5.1, Fig. 5.6, pag. 166], ca inversă a transformării de centrare. Astfel de transformări sunt prezentate în **figura 4,b** și sunt realizate cu ajutorul **FSM cvadrilobe**, cosinus cvadrilob **coq θ** și sinus cvadrilob **siq θ** prin ecuațiile parametrice

$$(12) \quad \begin{cases} x = R \cdot siq\theta = R \frac{\cos\theta}{\sqrt{1-s^2\sin^2\theta}} \\ y = R \cdot coq\theta = R \frac{\sin\theta}{\sqrt{1-s^2\cos^2\theta}} \end{cases}$$

Curbele plane închise, exprimate de aceste ecuații parametrice (3) sunt ilustrate în **figura 1,b**.

Aceleași curbe închise se pot obține și cu **FSM-CE derivată excentrică** și cu ecuațiile parametrice

$$(13) \quad \begin{cases} x = R \cdot dex\theta \\ y = R \cdot dex(\theta \pm \frac{\pi}{2}) \end{cases}, \text{ cu graficele din } \mathbf{figura 1.a}.$$

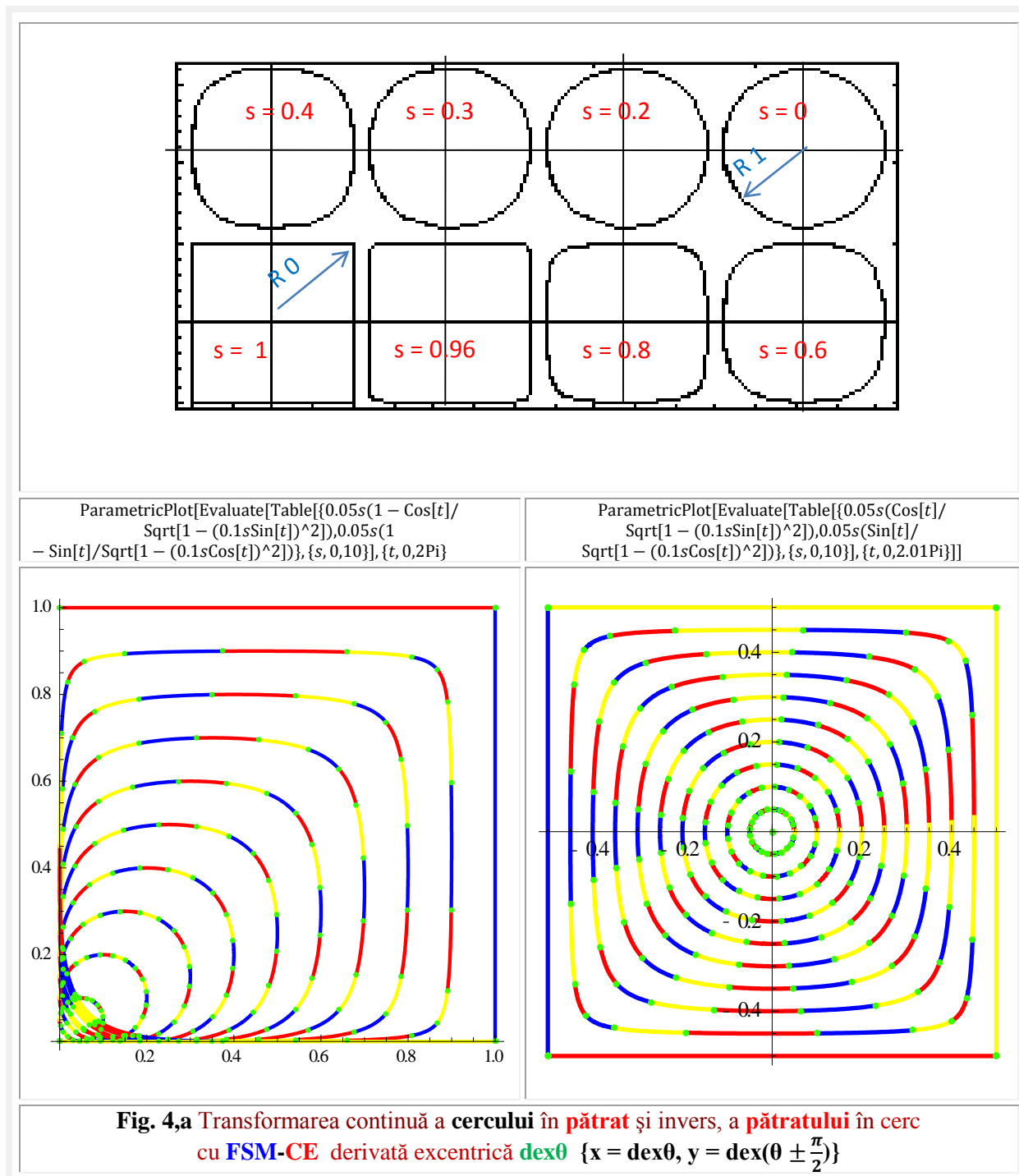
Prin compararea graficelor, rezultă că excentricele din **figura 4,a** ◀ au centrele în punctele $C_e(\frac{s}{2}, \frac{s}{2})$, iar cele exprimate prin funcții quadrilobe / cvadrilobe (**Fig.4,a** ▶) sunt centrate în originea sistemului de axe $O(0, 0)$.

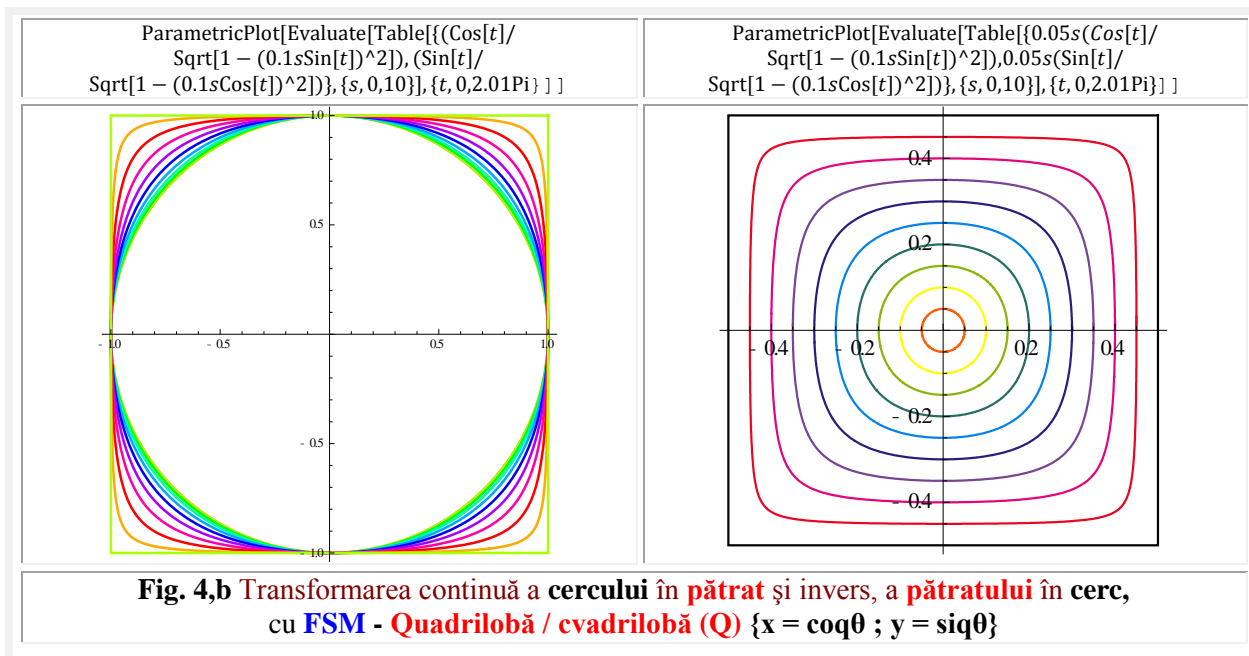
De fapt, așa cum s-a arătat într-o lucrare [**Mircea Șelariu**, *“INTRODUCEREA STRÂMBEI ÎN MATEMATICĂ”*, Lucr. Simp. Naț. al Univ. Gh. Anghel, Drobeta-Tr. Severin, 2003, pag. 171...178] **dreapta nu este** altceva decât **o strâmbă** de excentricitate numerică $s = 0$, iar **o linie frântă** este o strâmbă de $s = \pm 1$. Ca urmare, se poate afirma că transformarea pătratului în cerc este o strâmbare / încovoiere a patru segmente de dreaptă, reciproc perpendiculare, în patru arce de cerc.

Și invers, pătratul se obține prin îndreptarea, continuă și progresivă, a patru arce de cerc, fiecare arc de cerc de $\frac{\pi}{2}$ fiind rotit cu $\frac{\pi}{2}$ față de cel precedent, în patru segmente de dreaptă.

Faptul că nu oricare funcție continuă este derivabilă, având drept consecință neexistența vitezei unui punct material, în fiecare moment al mișcării sale, ceea ce, **evident, nu corespunde realității**, constituie un neajuns sever al **MC**, care afectează unitatea și generalizarea rezultatelor, ceea ce nu este cazul în **ME**.

În 1872 a apărut o funcție al cărei grafic este considerat azi **fractal**, când **Karl Weierstrass** a dat un exemplu de funcție cu proprietatea că este continuă, dar **nediferențabilă**, constatare care i-a oripilat pe matematicieni. **Charles Hermite** declara “*Je me détourne avec horreur de ces fonctions continues sans dérivées*”.





Pentru exemplificare, se va alege prima funcție **nicăieri derivabilă**, prezentată de **Weierstrass** ([25] **Schoenberg, J. Isaac**, “**PRIVELIȘTI MATEMATICE**”, Editura Tehnică, București, 1989, pag.105...115, Cap.11 «Despre curbe **Peano** și nediferențiabilitatea lor », **Fig. 11.2**) :

$$(14) \quad W(t) = \sum_{n=0}^{\infty} a^n \cos(b^n \pi t), \quad 0 < a < 1 \text{ și } b = 1,3,5 \dots, (2n-1),$$

un întreg impar, astfel ca $a \cdot b > 1 + 3\pi/2 = 5,712$.

În aceeași lucrare este demonstrată ca fiind nediferențiabilă și funcția trapezoidală (**Fig. 15.8**) dată de expresia (15.15) care reprezintă o diferență a funcțiilor beta excentrice de θ și de $\theta + \frac{\pi}{2}$, ambele de **excentricitate numerică $s = 1$** .

Familia acestor funcții, pentru $s \in [-1, 0]$ și $s \in [0, 1]$ au graficele din **figura 2**.

Va deveni evident faptul că funcția (15.15) este derivabilă, dacă întâi se derivează familia de funcții, deci pentru $s \in [-1, 1]$ și în derivată, sau după derivare, se dă valoarea particulară de **$s = \pm 1$** !!

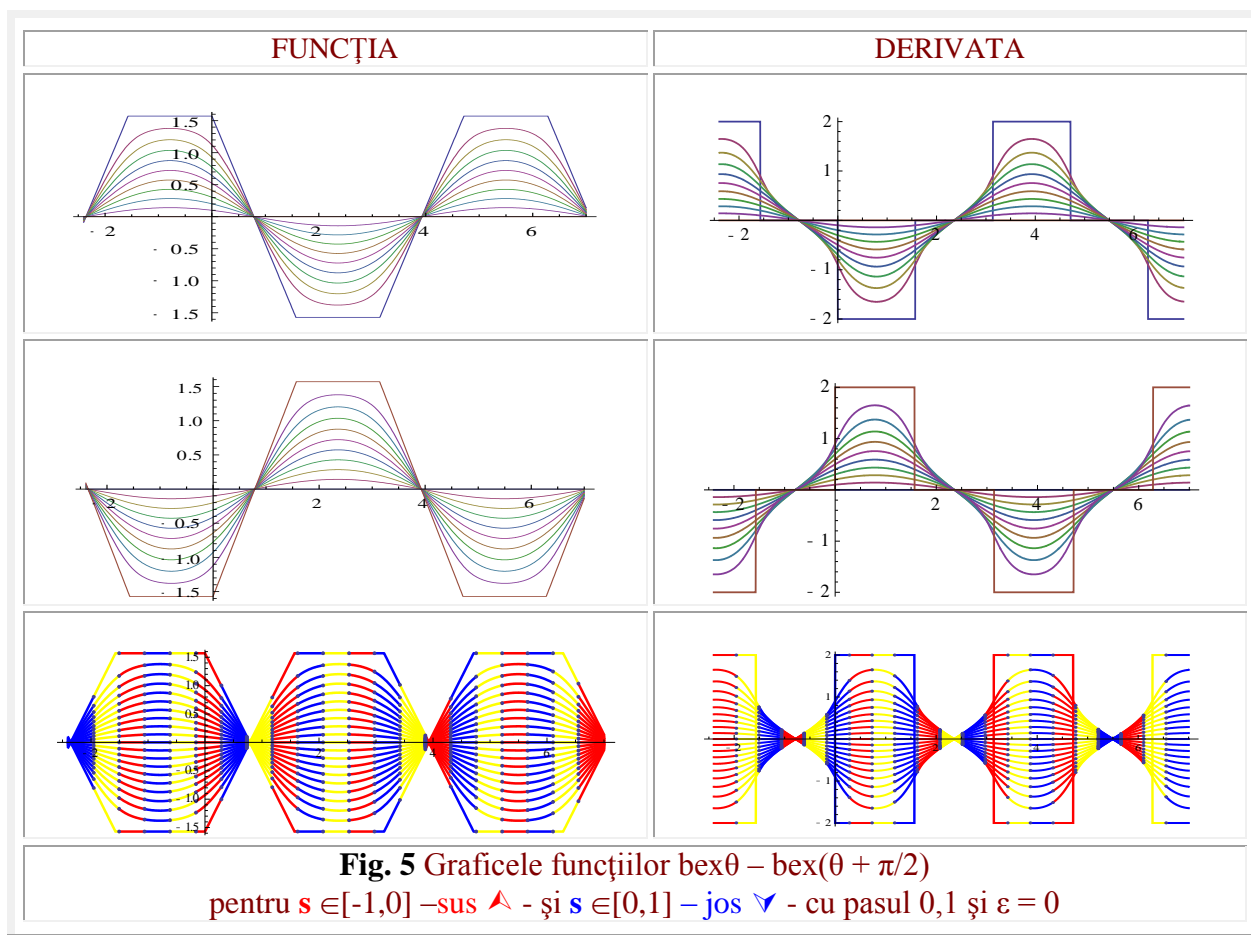
Graficele derivatelor acestor funcții sunt prezentate în **figura 3**, iar în **figura 4** sunt prezentate aceleași grafice pentru **$s = \pm 1$** .

O modificare a exemplului lui **Weierstrass** se obține prin înlocuirea în (14) a lui **$\cos\pi \cdot t$** prin splineul **Euler** liniar **E (t)**, care interpolează pe **$\cos\pi \cdot t$** în toate valorile întregi ale lui t și se obține graficul din **figura 5,a**. Alăturat, s-a prezentat familia de **funcții supermatematice excentrice**, de variabilă excentrică $\theta \equiv t$, denumită **bext** și care este o componentă / termen a/al funcției amplitudine excentrica (**$aex\theta$**), funcție definită prin relația

$$(15) \quad \alpha(\theta) = aex \theta = \theta - \beta(\theta) = \theta - bex \theta = \theta - \arcsin [s \cdot \sin(\theta - \varepsilon)],$$

în care **θ este variabila excentrică** sau unghiul pe care o semidreaptă pozitivă, turnantă în jurul excentrului **E(e, ε)** – sau în jurul punctului solar **S(s,ε)**, îl face cu axa Ox. (**V.I.Arnold**: « **Kepler a afirmat că planetele se rotesc în jurul soarelui, pe orbite circulare, însă soarele nu se află în centrul cercurilor** »). De aici a rezultat denumirea **excentrului S** de **punct solar**. Iar α este variabila centrică sau arcul de cerc, al cercului unitate ($R = 1$) de la originea arcului A(1,0) la un punct curent pe cerc **$W(1,\alpha) \equiv W(r = rex\theta, \theta)$** .

Excentricitatea unitară este $s = e/R$, sau distanța dintre S și O, iar excentrul **S** și **E** sunt expulzate din **centrul O** pe direcția **ε**.



Pentru $\theta \rightarrow \pi.t$ și un defazaj $\varepsilon = -\pi/2$ se obține funcția sau, mai precis, familia de funcții beta excentrice

$$(16) \quad bex t = \arcsin[s \sin(\pi.t + \pi/2)],$$

a căror grafice, de excentricitate numerică $s \in [0, 1]$, cu pasul 0.1, sunt prezentate în **figura 5**.

Se observă, fără dificultate, că pentru $s = 0 \rightarrow aex t = 0$ și pentru $s = \pm 1$, limitele extreme (în grafice) a lui s , se obține graficul unei funcții în « **dinți triunghiulari simetrici** » (**Fig.2**).

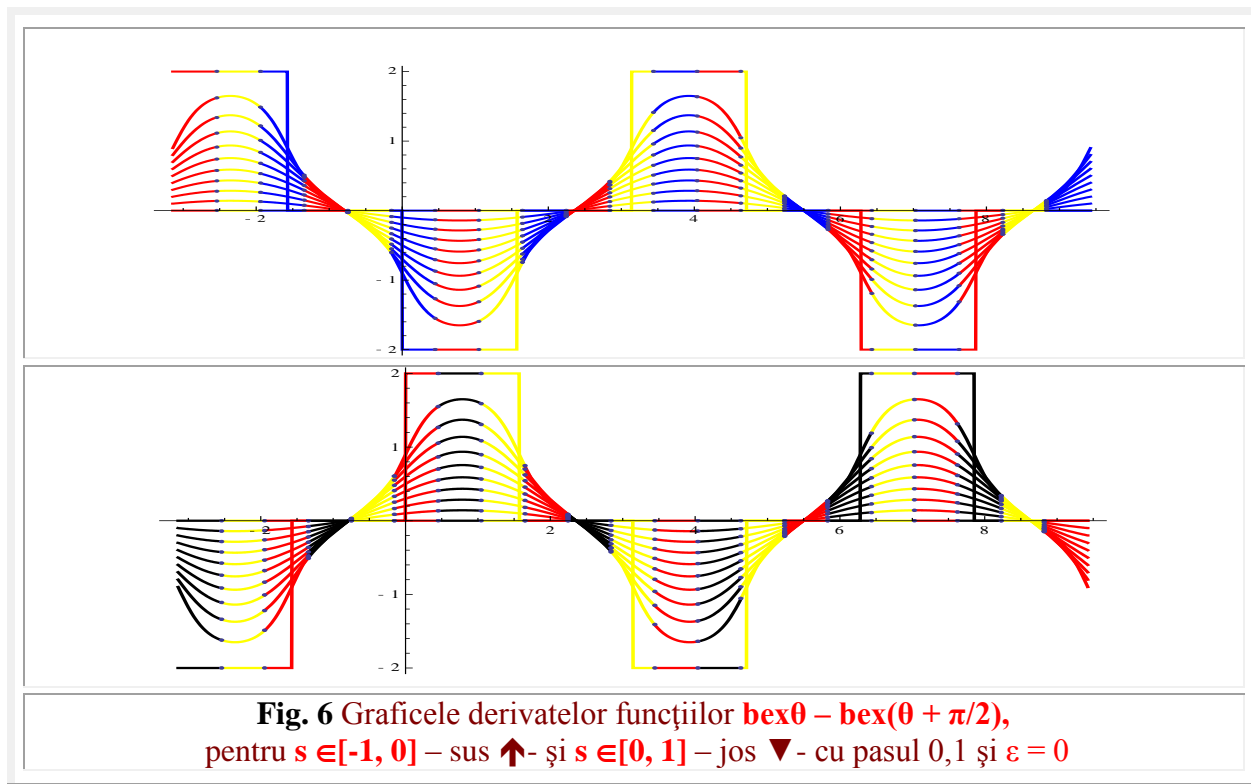
Deoarece, derivata funcției **aexθ** este funcția derivată excentrică **dexθ** :

$$(17) \quad d(aext)/dt = da/d\theta = dex \theta = 1 - \frac{s \cdot \cos(\theta - \varepsilon)}{\sqrt{1 - s^2 \sin^2(\theta - \varepsilon)}},$$

rezultă că, cel de al doilea termen din relația (17), este tocmai derivata funcție **bexθ**, adică:

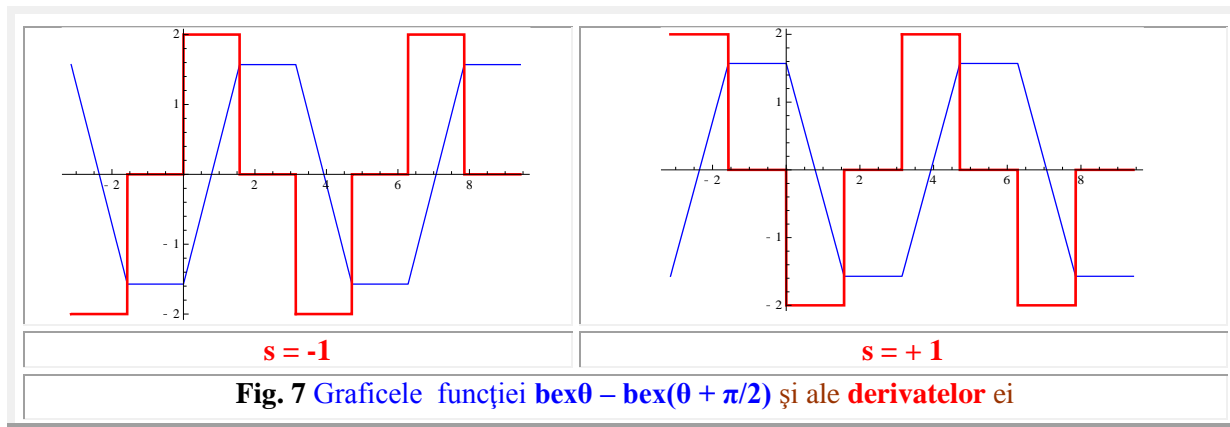
$$(18) \quad d(bex \theta)/d\theta = \frac{s \cdot \cos(\theta - \varepsilon)}{\sqrt{1 - s^2 \sin^2(\theta - \varepsilon)}} = s \cdot coq(\pi.t + \pi/2) = -s \cdot (siq\pi.t),$$

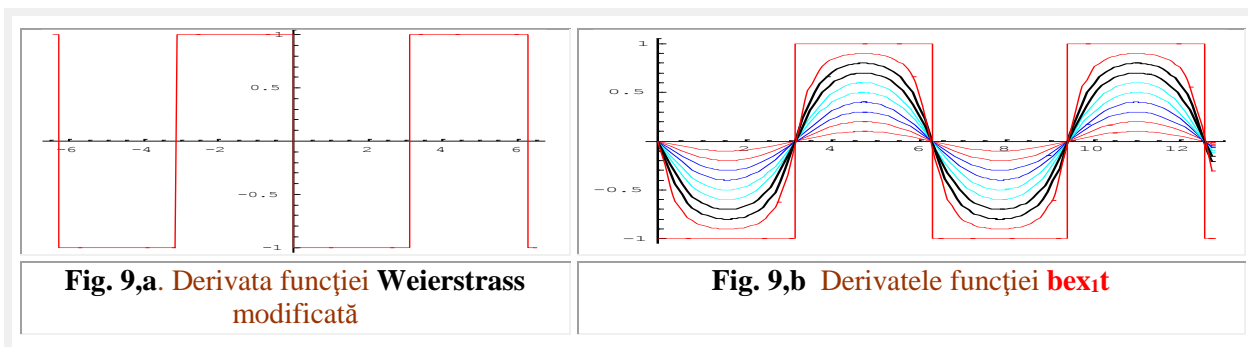
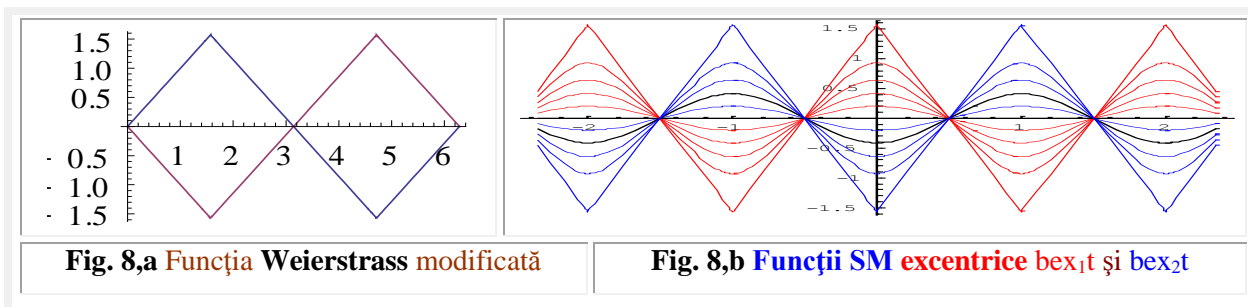
care este produsul **excentricității numerice s** cu funcția **cosinus cuadrilob coqθ** [Vol. I, Cap.2, §2.3, pag. 50 .. 56] defazată cu $\varepsilon = -\pi/2$, astfel că rezultă $-s \cdot siq\theta$, ale cărei familii de grafice sunt prezentate în **figura 9,b**, pentru $s \in [0, 1]$, cu pasul 0,1 și, în **figura 9,a**, o singură funcție, pentru $s = 1$.



Funcția **sinus cuadrilob** ($siq\theta$), pentru excentricitatea numerică $s = 1$, reprezintă, în teoria semnalelor, răspunsul unui releu la un semnal sinusoidal, funcție denumită și **sinus pătrat** [Săvescu, M., Constantin, I., Petrescu, T., METODE DE APROXIMARE ÎN ANALIZA CIRCUITELOR ELECTRONICE, Editura Tehnică, București, 1982, pag. 31], fiind chiar funcția trigonometrică excentrică **sinus excentric**, de excentricitate numerică $s = 1$, definită pe un pătrat, nerotit cu $\pi/4$ ca în cazul funcțiilor pătratice **Alaci**, funcție introdusă de autor în matematică sub denumirea de sinus cvadrilob / quadrilob – $siq\theta$ sau $sinq\theta$ -, alături de funcția cosinus cvadrilob / cosinus quadrilob – $coq\theta$ sau $cosq\theta$ - .

Coroborând funcțiile și derivatele lor, se observă că ele se identifică. Astfel, funcția **Weierstrass** modificată, din **figura 8,a**, privită ca o funcție **bext** de excentricitate numerică $s = 1$, **devine complet derivabilă !**.

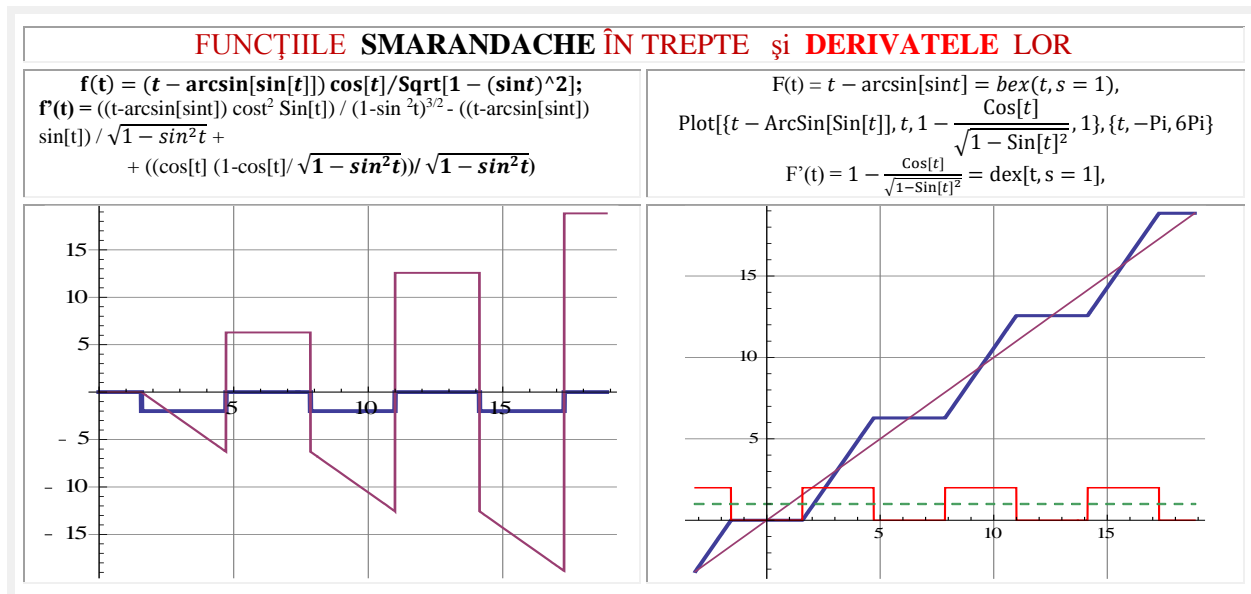


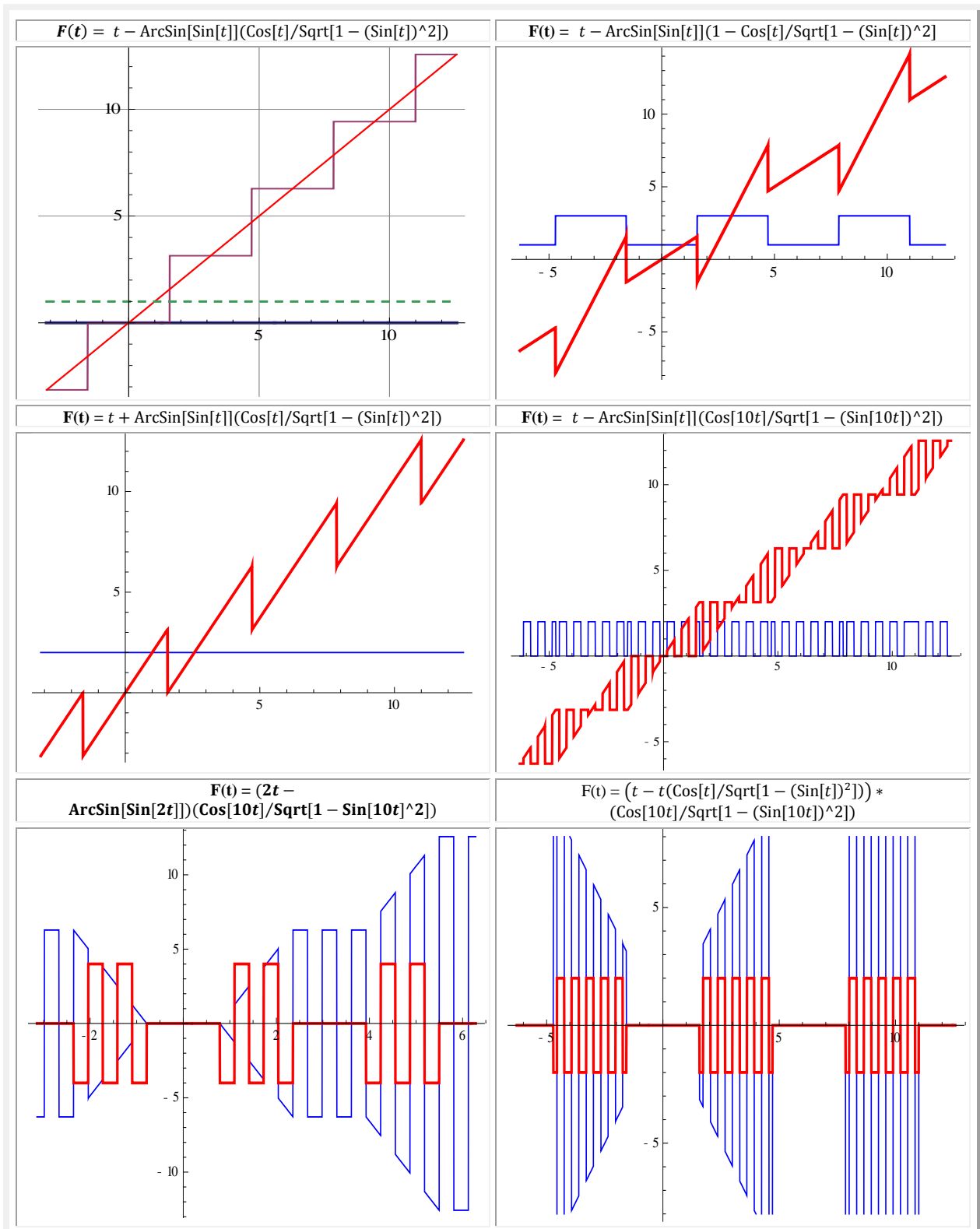


4. FUNCȚII SUPERMATEMATICE (FSM) SMARANDACHE ÎN TREPTE ȘI DERIVATELE LOR

Prin combinarea funcțiilor rampă excentrice, de excentricitate numerică $s = 1$, cu funcții dreptunghiulare excentrice, rezultă funcții în trepte, denumite funcții în trepte Smarandache, în onoarea matematicianului român Dr. Math. Florentin Smarandache șeful Departamentului de Matematică de la Universitatea New Mexico, USA.

Câteva funcții de acest gen, împreună cu relațiile lor de definiție sunt prezentate în figurile 7 și 8.





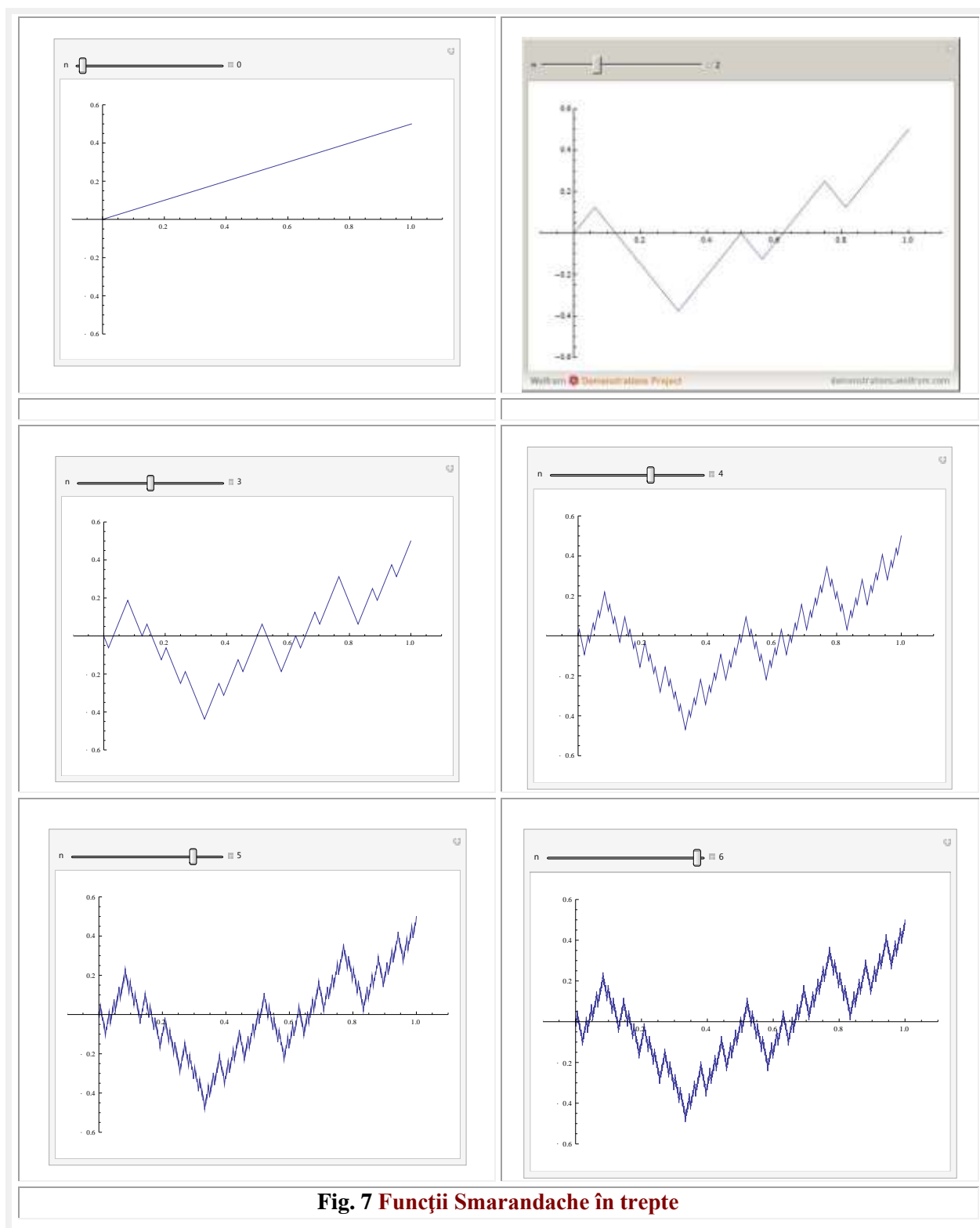
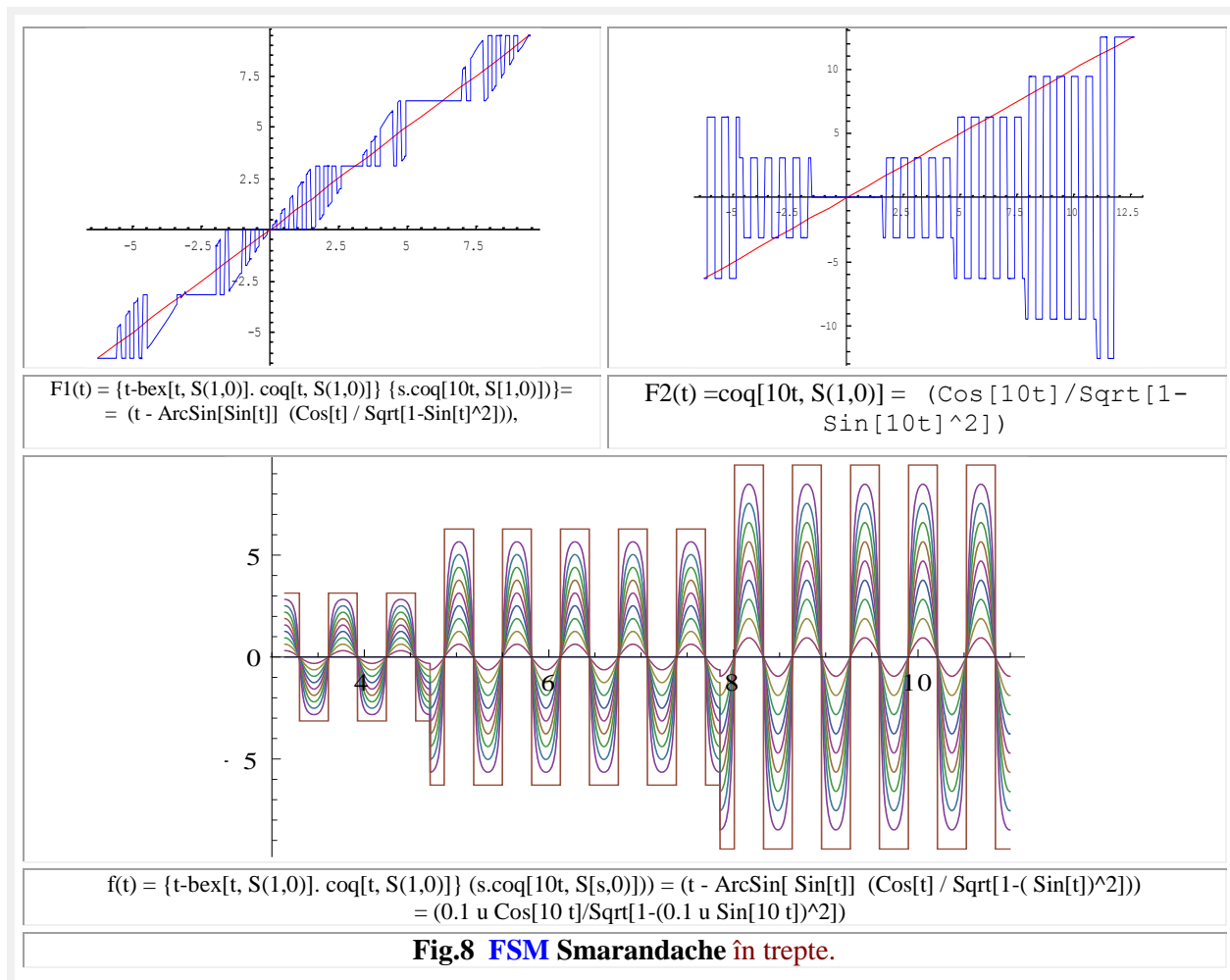


Fig. 7 Funcții Smarandache în trepte



5. BIBLIOGRAFIE la Cap. XXIV

- | | | | |
|---|----------------------|--|---|
| 1 | Șelariu Mircea Eugen | FUNCȚII CIRCULARE EXCENTRICE | Com. I Conferința Națională de Vibrații în Construcția de Mașini, Timișoara, 1978, pag.101...108. |
| 2 | Șelariu Mircea Eugen | FUNCȚII CIRCULARE EXCENTRICE și EXTENSIA LOR | Bul. Șt.și Tehn. al I.P. "TV" Timișoara, Seria Mecanică, Tomul 25(39), Fasc. 1-1980, pag. 189...196 |
| 3 | Șelariu Mircea Eugen | STUDIUL VIBRAȚIILOR LIBERE ale UNUI SISTEM NELINIAR, CONSERVATIV cu AJUTORUL FUNCȚIILOR CIRCULARE EXCENTRICE | Com. I Conf. Naț. Vibr.în C.M. Timișoara,1978, pag. 95...100 |
| 4 | Șelariu Mircea Eugen | APLICAȚII TEHNICE ale FUNCȚIILOR CIRCULARE EXCENTRICE | Com.a IV-a Conf. PUPR, Timișoara, 1981, Vol.1. pag. 142...150 |

5	Șelariu Mircea Eugen	THE DEFINITION of the ELLIPTIC ECCENTRIC with FIXED ECCENTER	A V-a Conf. Naț. de Vibr. în Constr. de Mașini, Timișoara, 1985, pag. 175...182
6	Șelariu Mircea Eugen	ELLIPTIC ECCENTRICS with MOBILE ECCENTER	IDEM pag. 183...188
7	Șelariu Mircea Eugen	CIRCULAR ECCENTRICS and HYPERBOLICS ECCENTRICS	Com. a V-a Conf. Naț. V. C. M. Timișoara, 1985, pag. 189...194.
8	Șelariu Mircea Eugen	ECCENTRIC LISSAJOUS FIGURES	IDEM, pag. 195...202
9	Șelariu Mircea Eugen	FUNCȚIILE SUPERMATEMATICE CEX și SEX- SOLUȚIILE UNOR SISTEME MECANICE NELINIARE	Com. a VII-a Conf. Naț. V.C.M., Timișoara, 1993, pag. 275...284.
10	Șelariu Mircea Eugen	<u>SUPERMATEMATICA</u>	Com.VII Conf. Internaț. de Ing. Manag. și Tehn., TEHNO'95 Timișoara, 1995, Vol. 9: Matematica Aplicată, pag.41...64
11	Șelariu Mircea Eugen	FORMA TRIGONOMETRICA a SUMEI și a DIFERENȚEI NUMERELOR COMPLEXE	Com.VII Conf. Internat. de Ing. Manag. și Tehn., TEHNO'95 Timișoara, 1995, Vol. 9: Matematica Aplicată, pag. 65...72
12	Șelariu Mircea Eugen	MIȘCAREA CIRCULARĂ EXCENTRICĂ	Com.VII Conf. Internaț. de Ing. Manag. și Tehn. TEHNO'95., Timișoara, 1995 Vol.7: Mecatronică, Dispozitive și Rob. Ind., pag. 85...102
13	Șelariu Mircea Eugen	RIGIDITATEA DINAMICĂ EXPRIMATĂ CU FUNCȚII SUPERMATEMATICE	Com.VII Conf. Internaț. de Ing. Manag. și Tehn., TEHNO'95 Timișoara, 1995 Vol.7: Mecatronică, Dispoz. și Rob. Ind., pag. 185...194
14	Șelariu Mircea Eugen	DETERMINAREA ORICÂT DE EXACTĂ A RELAȚIEI DE CALCUL A INTEGRALEI ELIPTICE COMPLETE DE SPETA INTAIA K(k)	Bul. VIII-a Conf. de Vibr. Mec., Timișoara, 1996, Vol III, pag.15 ... 24.
15	Șelariu Mircea Eugen	FUNCȚII SUPERMATEMATICE CIRCULARE EXCENTRICE DE VARIABILĂ CENTRICĂ	TEHNO ' 98. A VIII-a Conferința de inginerie managerială și tehnologică, Timișoara 1998, pag 531...548
16	Șelariu Mircea Eugen	FUNCȚII DE TRANZIȚIE INFORMAȚIONALĂ	TEHNO ' 98. A VIII-a Conferința de inginerie managerială și tehnologică, Timișoara 1998, pag 549... 556
17	Șelariu Mircea Eugen	FUNCȚIILE SUPERMATEMATICE CIRCULARE EXCENTRICE DE VARIABILĂ CENTRICĂ CA SOLUȚII ALE UNOR SISTEME OSCILANTE NELINIARE	TEHNO ' 98. A VIII-a Conferința de inginerie manageriala si tehnologică, Timișoara 1998, pag 557...572
18	Șelariu Mircea Eugen	INTRODUCEREA STRĂMBEI ÎN MATEMATICĂ	Lucr. Simp. Național "Zilele Universității Gh. Anghel" Ed. II-a, Drobeta-Turnu Severin, 16-17 msai 2003, pag. 171 ... 178
19	Șelariu Mircea Eugen	QUADRILOBIC VIBRATION SYSTEMS	The 11 -th International Conference on Vibration Engineering, Timișoara, Sept. 27-30, 2005 pag. 77 ... 82
20	Șelariu Mircea Eugen	SMARANDACHE STEPPED FUNCTIONS	Revista: "Scienta grande" Nr.

- | | | | |
|----|----------------------------------|--|---|
| 21 | Eugen
Șelariu Mircea
Eugen | TEHNO ART OF ȘELARIU
SUPERMATEMATICS FUNCTIONS | (ISBN-10):1-59973-037-5
(ISBN-13):974-1-59973-037-0
(EAN): 9781599730370 |
| 22 | Șelariu Mircea
Eugen | PROIECTAREA DISPOZITIVELOR DE
PRELUCRARE, Cap. 17 din PROIECTAREA
DISPOZITIVELOR | Editura Didactică și Pedagogică,
București, 1982, pag. 474 ... 543 |
| 23 | Șelariu Mircea
Eugen | SUPERMATEMATICA. FUNDAMENTE
Ediția a 2-a Vol I și Vol. II | Editura Politehnica din Timișoara, 2012
Distinsă cu "DIPLOMA AGIR" în
domeniul "Tehnologia Informației- IT" |
| 24 | Șelariu Mircea
Eugen | SUPERMATEMATICA.
Ediția a 3-a, Vol I și Vol. II | Editura Matrix Rom , București, 2015 |
| 25 | Schoenberg J.
Isaac | PRIVELIȘTI MATEMATICE | Editura Tehnică , București, 1989 |

Motto:” După ce a descoperit celebra sa teoremă, **Pythagoras** a sacrificat o sută de boi.
De atunci, de fiecare dată, când se descoperă vreun **adevăr nou**,
vitele cornute mari au puternice palpații.”

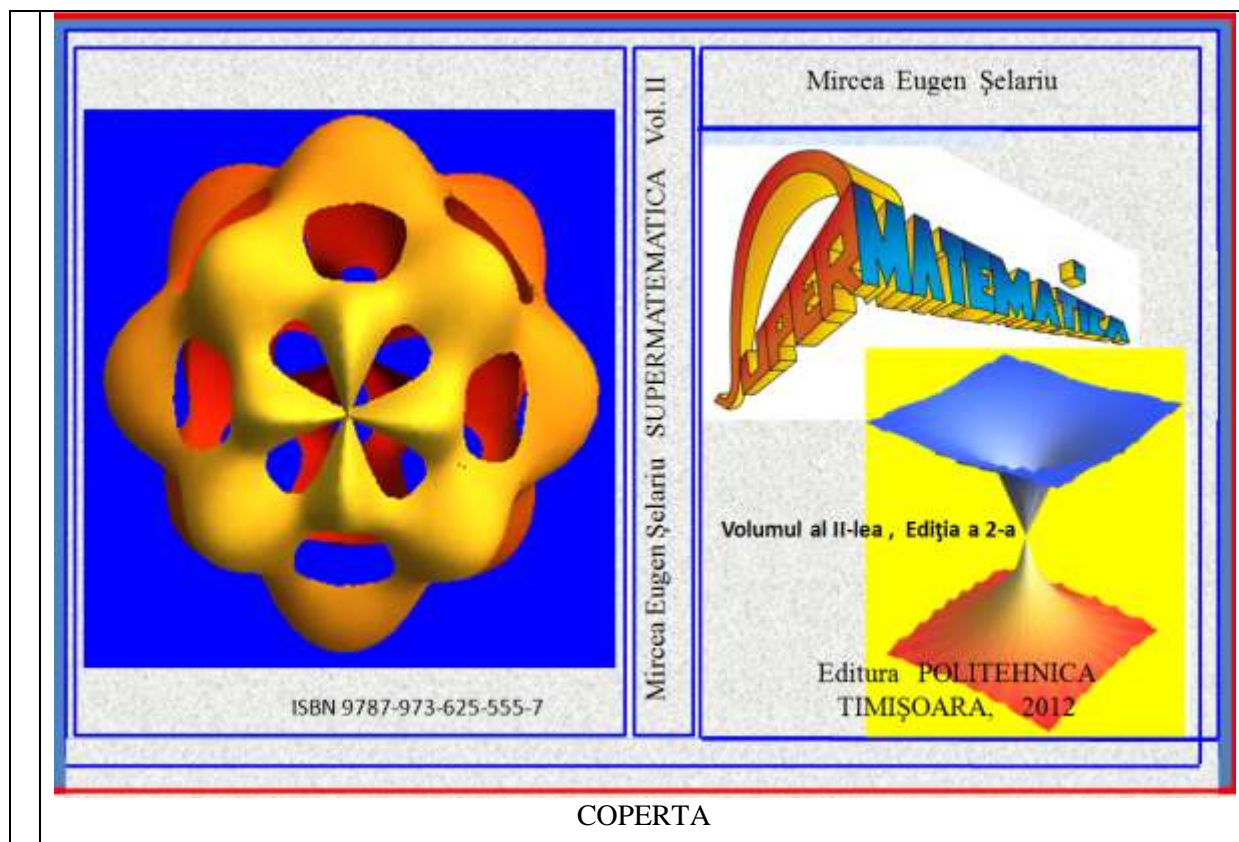
Ludwig Björne

CAPITOLUL XXVI

FUNCŢII SUPERMATEMATICE CIRCULARE CENTRICE TRANSLATATE

1. LAUDATIO în loc de ÎNTRUDUCERE

Cu ocazia decernării **DIPLOMEI AGIR** din domeniul “**TEHNOLOGIEI INFORMAŢIEI**”, pe anul 2012, lucrării “**SUPERMATEMATICA FUNDAMENTE**”. Vol.I şi Vol. II, Editura “**POLITEHNICA**” din Timișoara, 2012, **Asociația Generală a Inginerilor din Romania (AGIR)** a prezentat și următorul laudatio, cu mici corectări și completări ale autorului și cu prezentarea copertei.



Supermatematica (SM) este considerată, fără exagerare, de susținătorii și admiratorii ei, și nu sunt puțini, unii fiind matematicieni și profesori universitari americani, ca o nouă “**matematică a meleniului III**”, sau ca “**matematica viitorului**” așa cum se poate ușor constata.

Cele **914** pagini ale lucrării - 486 pagini în vol.I și 428 pagini în vol.II – exprimă vastitatea lucrării, dar atributele ei esențiale cosistă în simplitatea și surprinzătoarea ei apariție, ca urmare a deplasării din

centrul $O(0,0)$ a unui singur punct, denumit, din aceasta cauză **excentru** $E(e,\epsilon)$, în originalitatea și în unicitatea ei în literatura mondială.

Supermatematica (SM) este o reuniune a matematicii cunoscute, ordinare, care în lucrare a fost denumită **matematică centrică (MC)** – obținută din **SM** pentru unicul caz particular $e = 0$ pentru a se deosebi de noua matematică, denumită **matematică excentrică (ME)**.

Adică $SM = MC \cup ME$.

Pentru fiecare punct din plan, în care poate fi plasat un excentru $E(e, \epsilon)$, se poate spune că există o nouă **ME**. Astfel, la o singură **MC** îi corespund o infinitate de **ME**. Pe de altă parte, $MC = SM(e = 0)$.

În consecință, **SM** multiplică la infinit **toate entitățile** și funcțiile circulare / trigonometrice cunoscute și introduce o pleiadă de funcții circulare noi (**aex, bex, dex, rex**, ș.a), mult mai importante și mai elementare decât cele vechi și, prin acestea, în final, multiplică la infinit toate entitățile matematice cunoscute ($\cos \rightarrow \text{cex}$, $\sin \rightarrow \text{sex}$, $\tan/\text{tg} \rightarrow \text{tex}$, ș.m.a.) și introduce multe alte entități noi.

S-a constatat că **MC** este proprie sistemelor **liniare, perfecte, ideale**, iar **ME** este proprie sistemelor **neliniare, reale, imperfecte**. Ca urmare, odată cu apariția **SM** a dispărut granița dintre liniar și neliniar, dintre ideal și real, dintre perfecțiune și imperfecțiune, ceea ce constituie visul de veacuri al inginerilor și o unică performanță matematică de seamă.

SM evidențiază excentricitatea liniară e și pe cea unghiulară ϵ , coordonatele polare ale excentrului $E(e,\epsilon)$, ca noi dimensiuni ale spațiului: dimensiuni de **formare** și de **deformare** ale acestuia; numite și **dimensiunile ascunse ale spațiului**.

SM putea să apară cu peste 300 de ani în urmă, dacă **Euler**, la definirea funcțiilor trigonometrice ca funcții circulare directe, n-ar fi ales **trei puncte confundate, suprapunere care a sărăcit matematica**:

- **Originea** $O(0, 0)$ a unui reper / sistem de coordonate
- **Polul** $P \equiv E$ sau S al unei semidrepte,
- **Centrul** C al cercului trigonometric (unitate) .

SM a apărut atunci când polul E și /sau S au fost expulzate din centrul cercului și din originea reperului și au fost denumite **excentre**.

Din combinarea celor trei puncte(O , C , E sau S) au apărut următoarele familii / domenii de funcții **SM**:

- 1) **FCC - circulare centrice- (FSM-CC)** \rightarrow dacă $C \equiv O \equiv E$ sau S ;
- 2) **FSM circulare excentrice (FSM-CE)** \rightarrow dacă $C \equiv O \neq E$ sau S ;
- 3) **FSM circulare elevate (FSM-CEL)** \rightarrow dacă $C \neq O \equiv E$ sau S și
- 4) **FSM circulare exotice (FSM-CEX)** \rightarrow dacă $C \neq O \neq E$ sau S .

Pentru a aduce de acord trigonometria cu geometria, intersecția cercului unitate nu s-a mai făcut cu o semidreaptă (**Euler** \rightarrow **MC**) ci cu o dreaptă, astfel că există două determinări: una principală, de indice **1** și una secundară de indice **2**, la propunerea matematicianului Prof. Univ. Dr. **Horst Klepp**

De asemenea, existând două unghiuri: la centrul $O(0,0)$ α și la excentru $S(s, \epsilon)$ θ , vor exista două tipuri de funcții **SM** : de **variabilă excentrică** θ , notate **cex, sex, rex, dex**, și de **variabilă centrică** α , notate cu majuscule **Cex, Sex, Rex, Dex**, ș.a.m.d. dintre care $\text{dex} = \frac{d\alpha}{d\theta}$, iar $\text{Dex} = \frac{d\theta}{d\alpha}$, astfel că $\text{dex}\theta = \frac{1}{\text{Dex}\alpha}$.

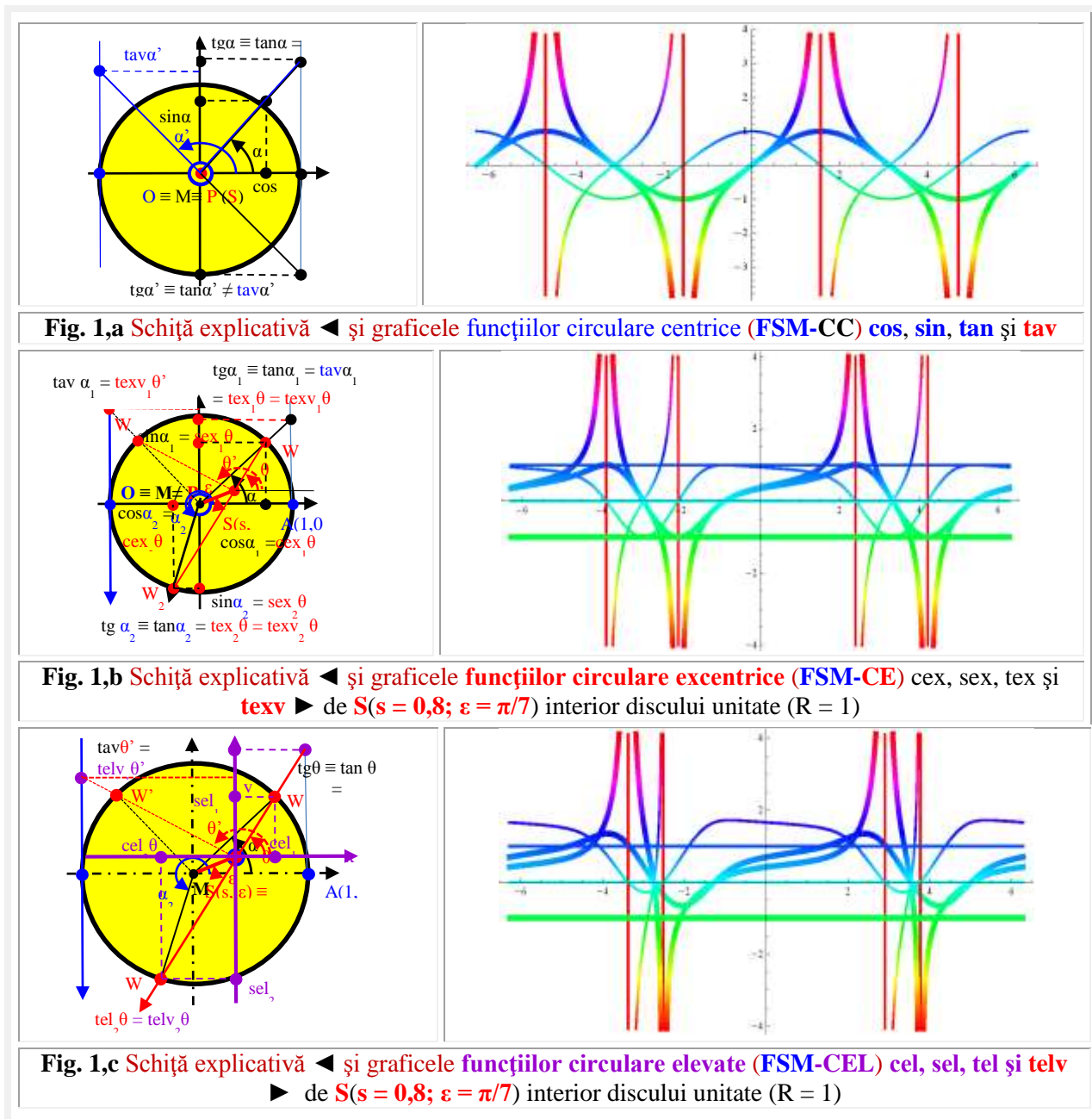
Dintre **entitățile noi apărute** sunt și o pleiadă de noi curbe închise, care apar la **transformarea continuă** a cercului în pătrat (denumite **quadrilobe / cvadrilobe**), a cercului în triunghi (**trilobe**) ș.a.

În **3D**, aceste transformări continue sunt a **sferii în cub**, a **sferii în prismă**, a **conului în piramidă** ș.m.a. Aceste transformări continue au făcut posibilă apariția unor noi corpuri **3D hibride** ca: **sferocub; conopiramida, piramidocon** ș.m.a, precum și a unor noi transformări matematice, cum este **hibridarea matematică** care, dintr-un cerc și un pătrat rezultă o quadrilobă (cvadrilobă), din cerc și triunghi o trilobă ș.a.m.d.

Prin înlocuirea cercului cu o quadrilobă au fost definite funcțiile quadrilobe, iar prin înlocuirea cu o trilobă au fost definite în lucrare și **funcțiile trilobe** sau trilobice.

În domeniul **hiperbolic** au apărut funcțiile hiperbolice excentrice, elevate și exotice.
 În **eliptic**, integralele și funcțiile eliptice **Jacobi** centrice sau multiplicat la infinit prin funcțiile eliptice excentrice și prin alte funcții pe conice.
 În lucrare sunt evidențiate și noi metode matematice, dintre care se amintesc

1) **Determinarea unui relației de calcul**, oricât de exacte, a integralei eliptice complete de prima speță **K(k)** și transformarea, totodată, a metodei **numerice**, a mediei aritmetico-geometrice **Landen**, într-o metodă **analitică**, care a permis determinarea, cu **minimum 15 zecimale exacte** (!), a **relației** de calcul **K(k)** după numai 5 pași.



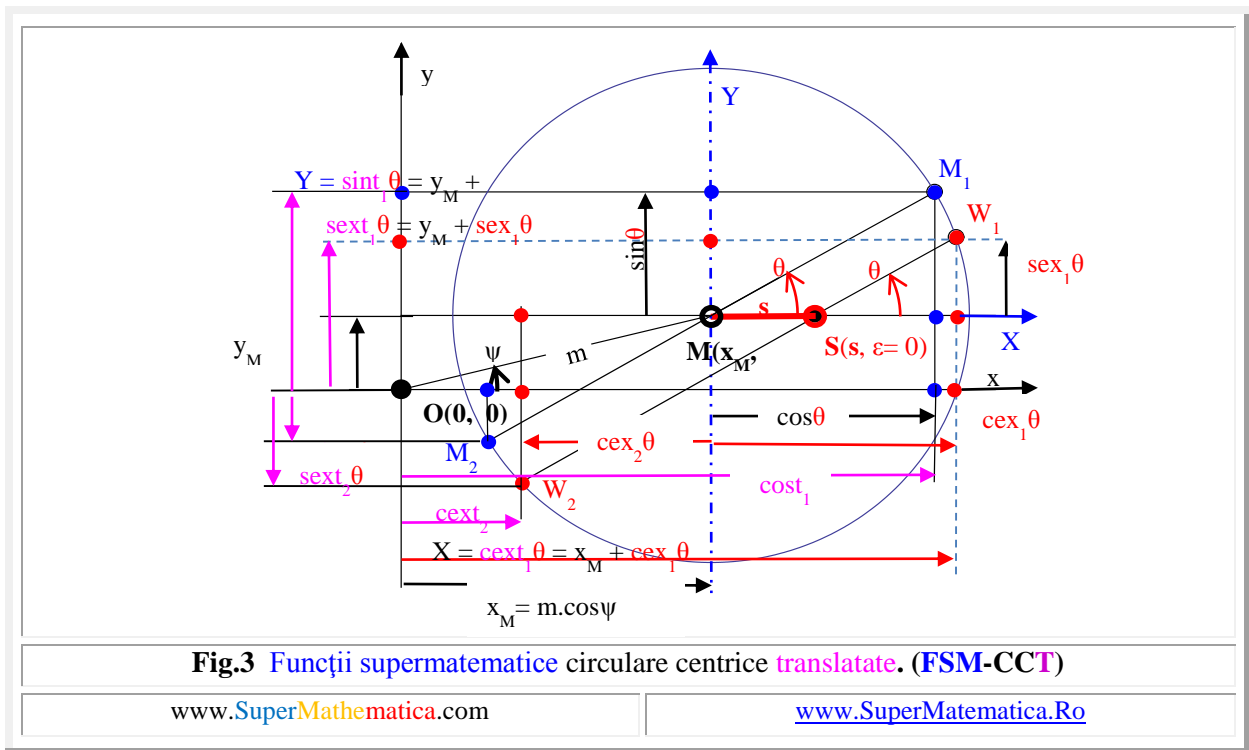
Tabel 1 Funcții circulare centrice și excentrice , directe, de bază și derivate				
FUNCTII SUPERMATEMATICE CIRCULARE EXCENTRICE (FSM-CE)				
DIRECTE DE BAZĂ				
FUNCTII MATEMATICE CENTRICE (FMC)		FUNCTII SUPERMATEMATICE EXCENTRICE (FME)		
Cosinus	$\cos\alpha$	Cosinus excentric	$\text{cex}_{1,2}\theta$	$\text{Cex}\alpha_{1,2}$
Sinus	$\sin\alpha$	Sinus excentric	$\text{sex}_{1,2}\theta$	$\text{Sex}\alpha_{1,2}$
Tangenta	$\tan\alpha$	Tangenta excentrică	$\text{tex}_{1,2}\theta$	$\text{Tex}\alpha_{1,2}$
Tangenta Voinoiu	tava	Tangenta Voinoiu excentrică	$\text{texv}_{1,2}\theta$	$\text{Texv}\alpha_{1,2}$
Cotangenta	cota	Cotangenta excentrică	$\text{ctex}_{1,2}\theta$	$\text{Ctex}\alpha_{1,2}$
Cotangenta Voinoiu	cova	Cotangenta Voinoiu excentrică	$\text{ctgv}_{1,2}\theta$	$\text{Ctex}\alpha_{1,2}$
Secanta	seca	Secanta excentrică	$\text{scex}_{1,2}\alpha$	$\text{Scex}\alpha_{1,2}$
Secanta Voinoiu	seva	Secanta excentrică Voinoiu	$\text{scexv}_{1,2}\alpha$	$\text{Stexv}\alpha_{1,2}$
ȘI FCC precum și FSM-CE DIRECTE DERIVATE				
Versinus	versina	Versinus excentrică	$\text{versex}\alpha$	
Coversinus	coversina	Coversinus excentrică	$\text{coversex}\alpha$	
Exsecantă	exseca	Exsecantă excentrică	$\text{exscex}\alpha$	
Excosecanta	excseca	Excosecanta excentrică	$\text{excsex}\alpha$	

Fig.2 Schemă explicativă pentru FSM-CE directe, de bază și derivate

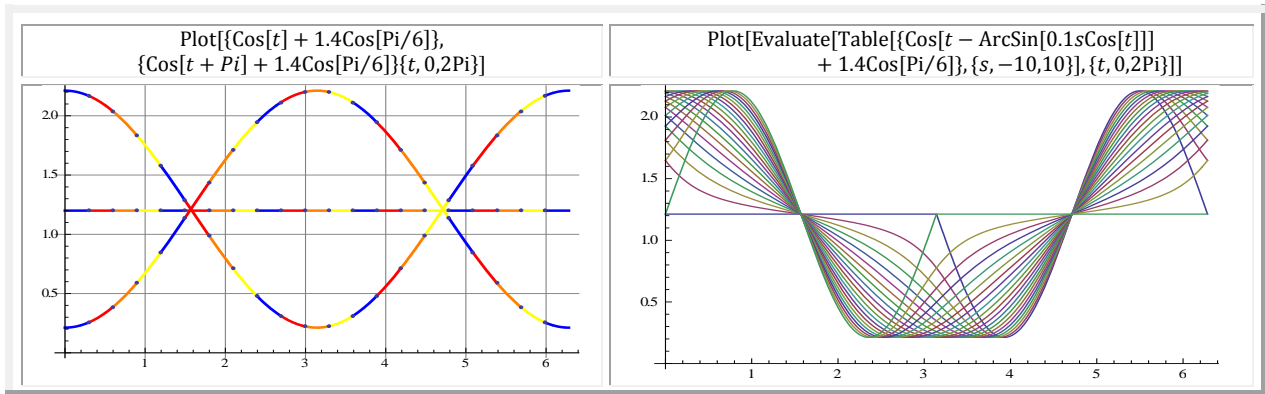
Pentru ca subiectul **SM** să fie epuizat și funcțiile **FSM** să fie în formație completă, s-au considerat și **FSM circulare centrice translatare** (**FSM – CCT**) sau elevate a căror definiție este prezentată schematic în **figura 3**.

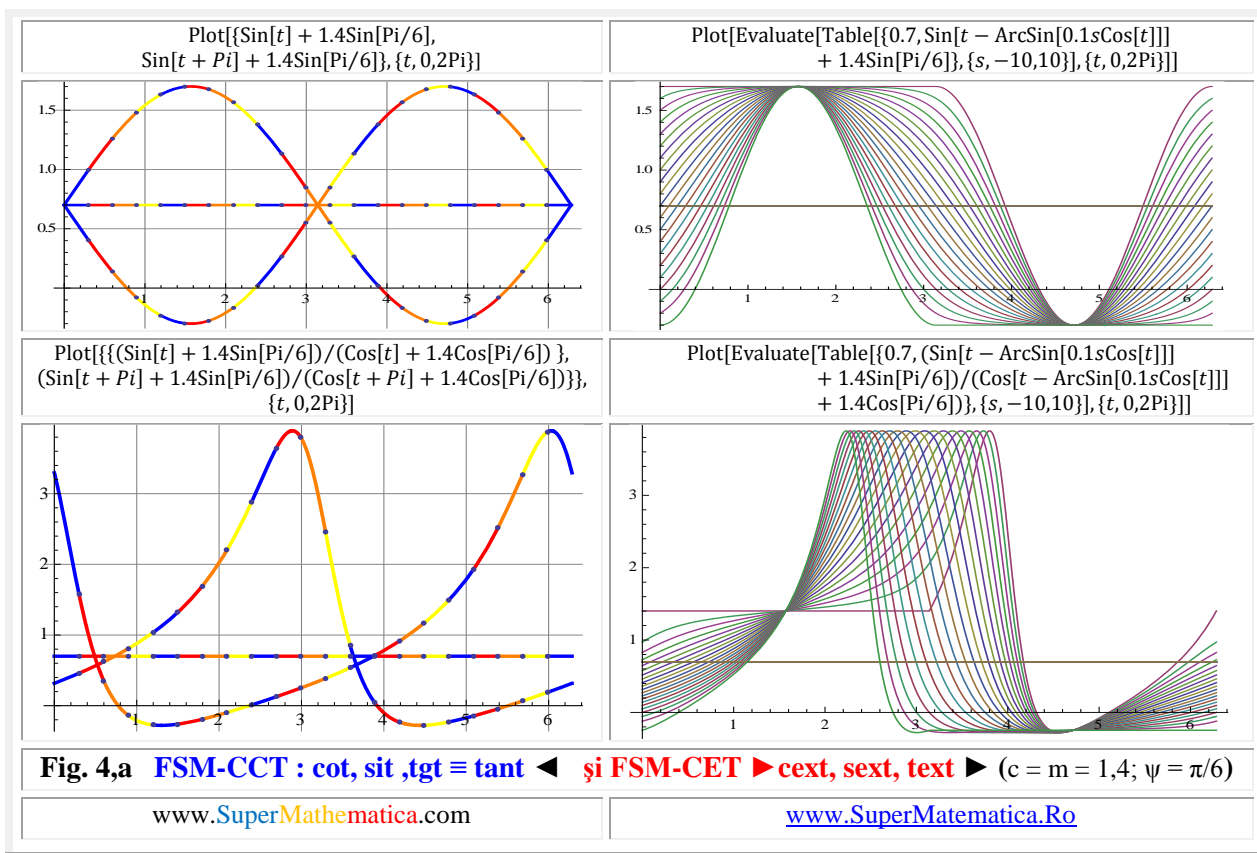
Au fost denumite şi **FSM NOI (FSMN)**, deoarece sunt descoperite doar de câteva zile, în timp ce, celelalte 4 familii sunt descoperite de peste 30 de ani !

Aşa cum le spune şi numele, ele sunt **FCC** care suferă o translaţie de $t_x = m \cdot \cos \psi$ pe direcţia x , cum este de exemplu cosinusul şi de $t_y = m \cdot \sin \psi$ pe direcţia y , ca de exemplu sinusul **Fig.4,a** şi au două determinări atât cele centrice cât şi cele excentrice, de indice 1 şi, respectiv, de indice 2 (**Fig. 3**).

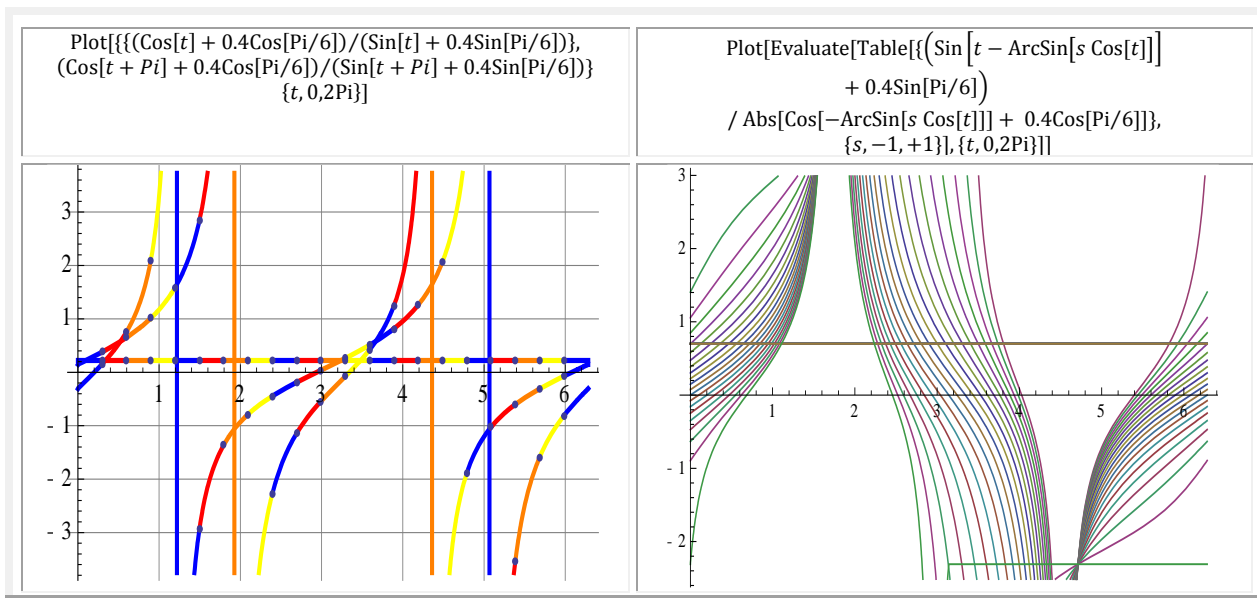


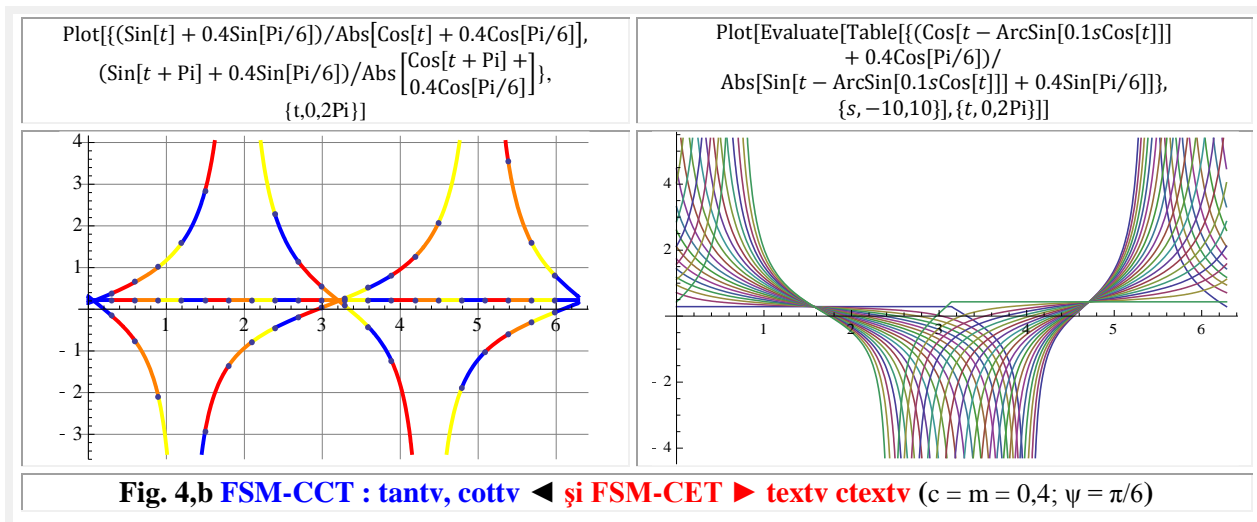
Şi **funcţiile supermatematice circulare exotice (FSM-CEX)** pot fi considerate ca **funcţii supermatematice excentrice translate (FSM-CET)** pentru că şi ele suferă aceleaşi valori de translaţie $t_x = c \cdot \cos \psi$ şi $t_y = c \cdot \sin \psi$, faţă de **FSM-CE**. De aceea, ele vor fi prezentate în paralel pentru $c = m = 1,4$ şi $\psi = \frac{\pi}{6}$: cele centrice în partea stângă, uşor de recunoscut pentru că sunt unice şi cele excentrice, în familie de curbe, pentru $s \in [-1, +1]$ cu pasul 0,1 şi $\epsilon = 0$, în partea dreaptă a **figurii 4**.





Pentru $c = m = 1,4$ se observă din **figura 4,a** că tangentele sunt strict pozitive în tot domeniul de 2π și, ca urmare, tangenta **Euler** și tangenta **Voinoiu** sunt identice. Pentru o valoare mai redusă, de $c = m = 0,4$, tangenta **Euler** și tangentele **Voinoiu** sunt diferite și sunt prezentate în **figura 4,b**.





În figurile 4,a și 4,b au fost reprezentate suprapuse ambele determinări ale FSM-CCT, iar în figurile următoare, în care FSM-CCT sunt multiple, reprezentate în partea stângă doar graficele primei determinări, principale, iar în partea dreaptă sunt prezentate, datorita dantelăriei lor, suprapuse, ambele determinari.

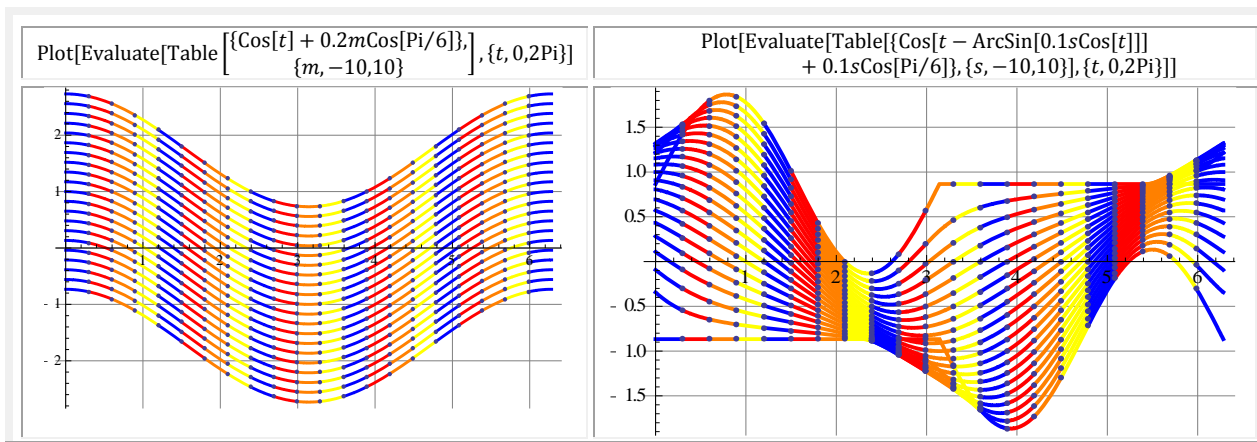
Prin considerarea lui $c = m \in [-1,+1]$ drept parametru, se obțin și pentru FSM-CCT familii de funcții paralele între ele (Fig.4,c), dacă c și m sunt constante, iar FSM-CET își schimbă complet alura.

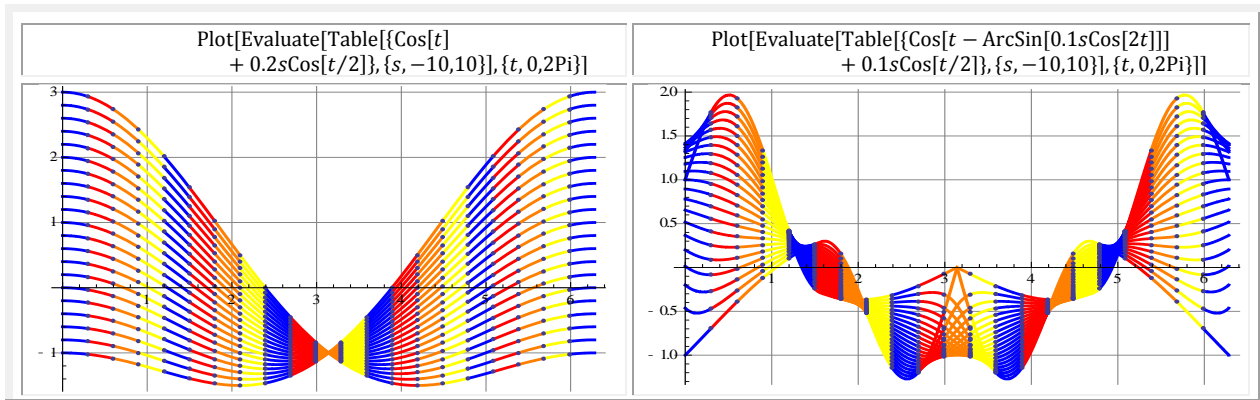
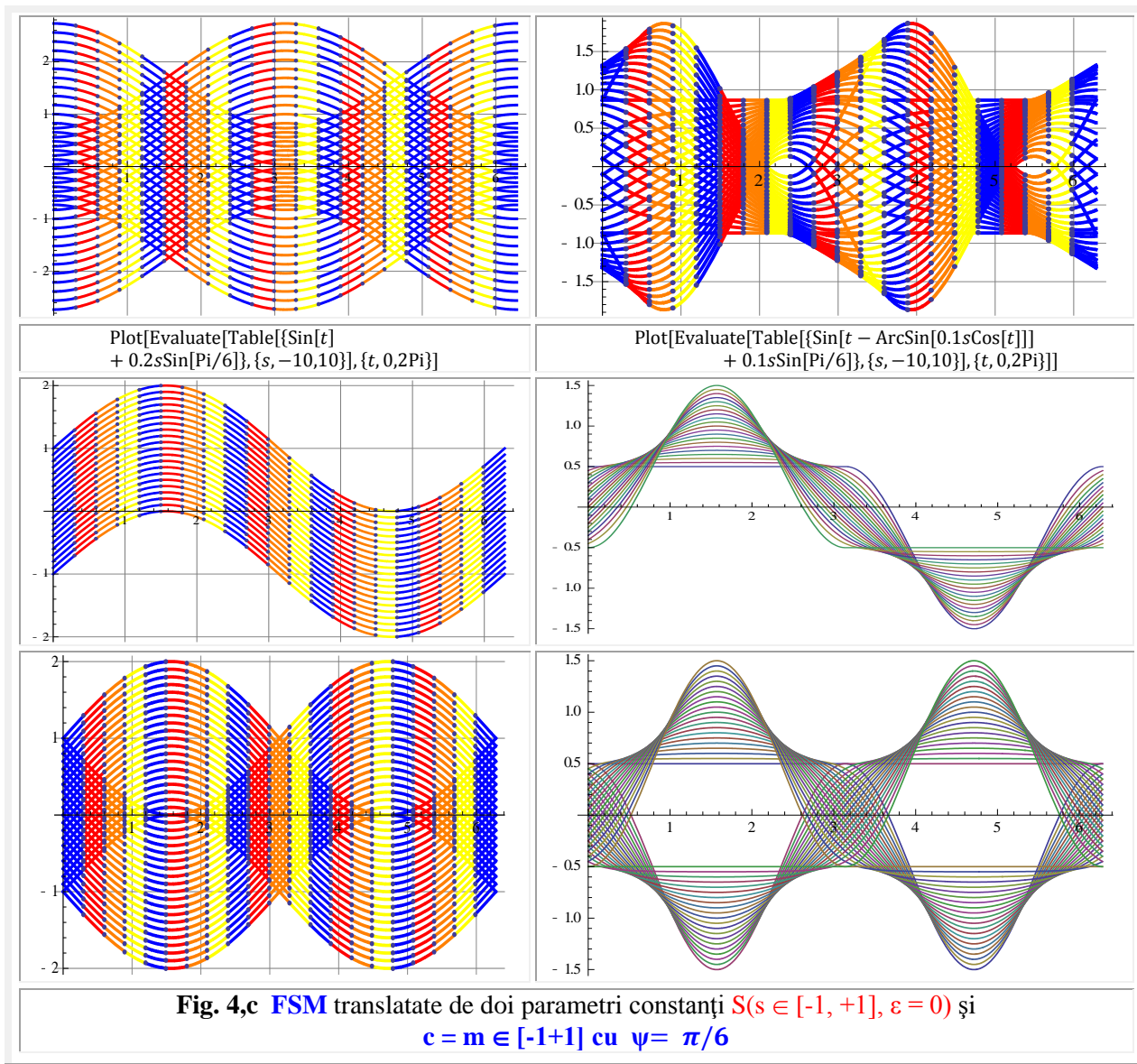
Oricare din acești parametri constanți poate fi considerat variabil ca direcție dacă unghiul ψ nu este constant, ci este o funcție de α pentru FSM-CCT și, respectiv de θ pentru FSM-CET, așa cum este cazul din figura 4,d. Astfel, în figura 4,e, s-a ales $\psi = \frac{\pi}{6} \rightarrow \text{cost}$, iar în figura 4,f s-a ales $\psi = \frac{\pi}{6} \rightarrow \text{sint}$.

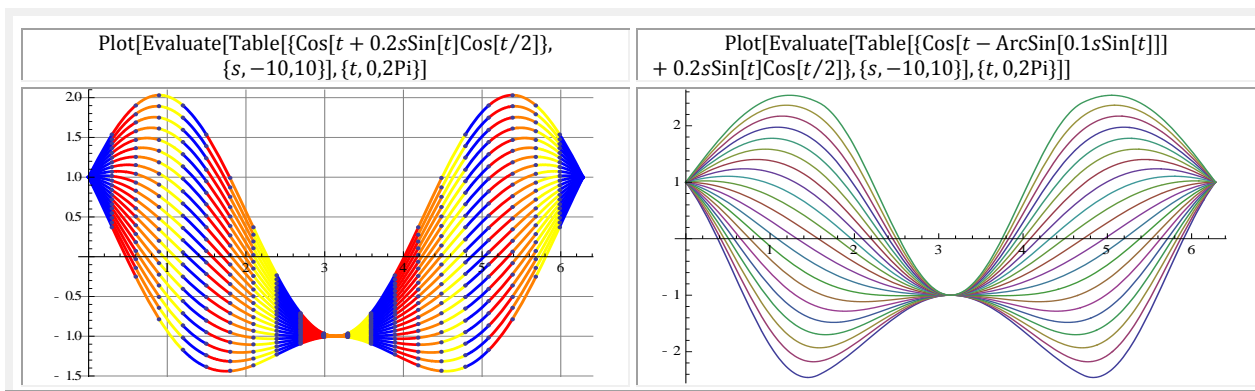
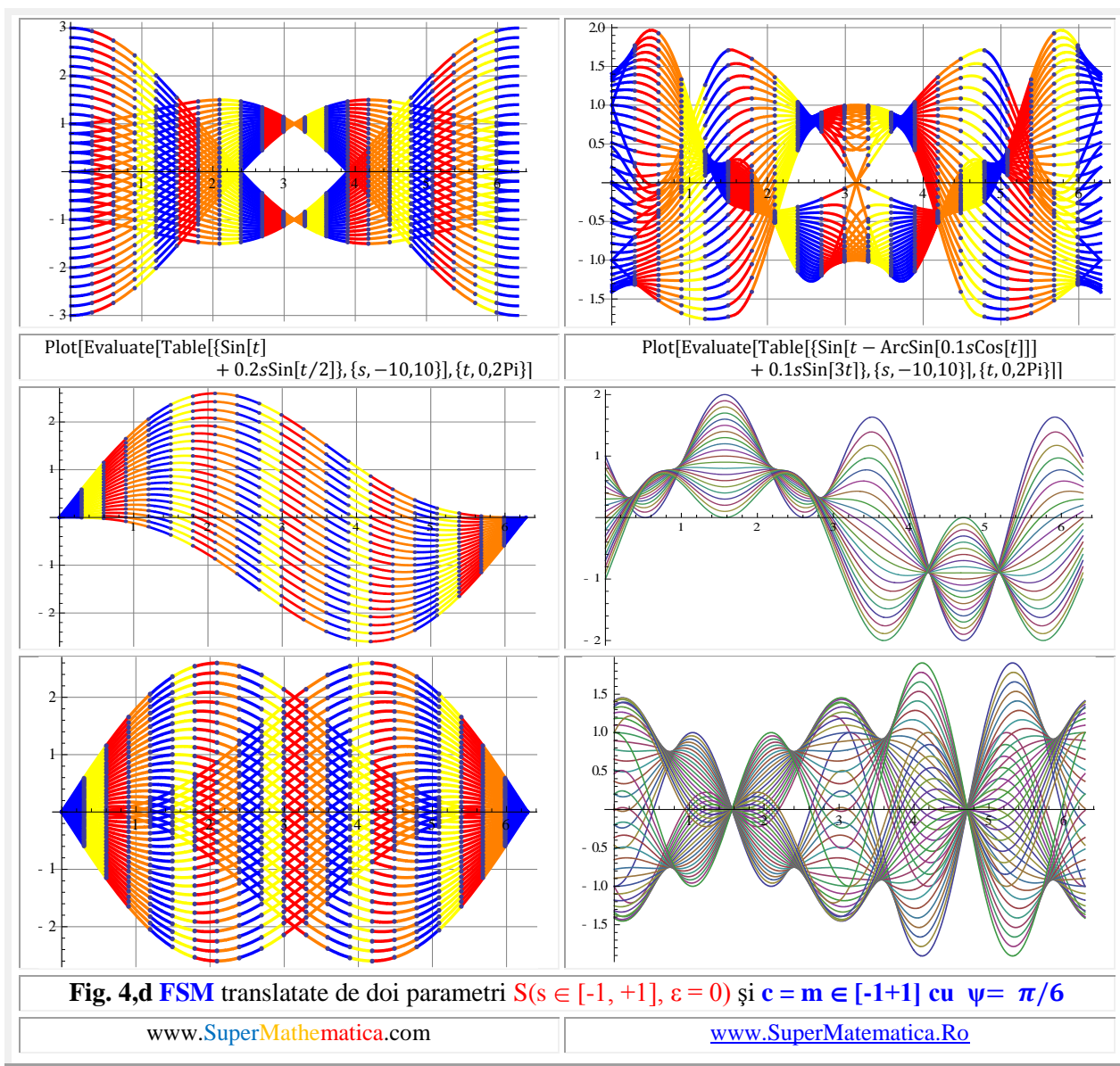
O serie de alte funcții **excentrice** translate, printre care și radial excentric de variabilă excentrică θ și / sau centrică

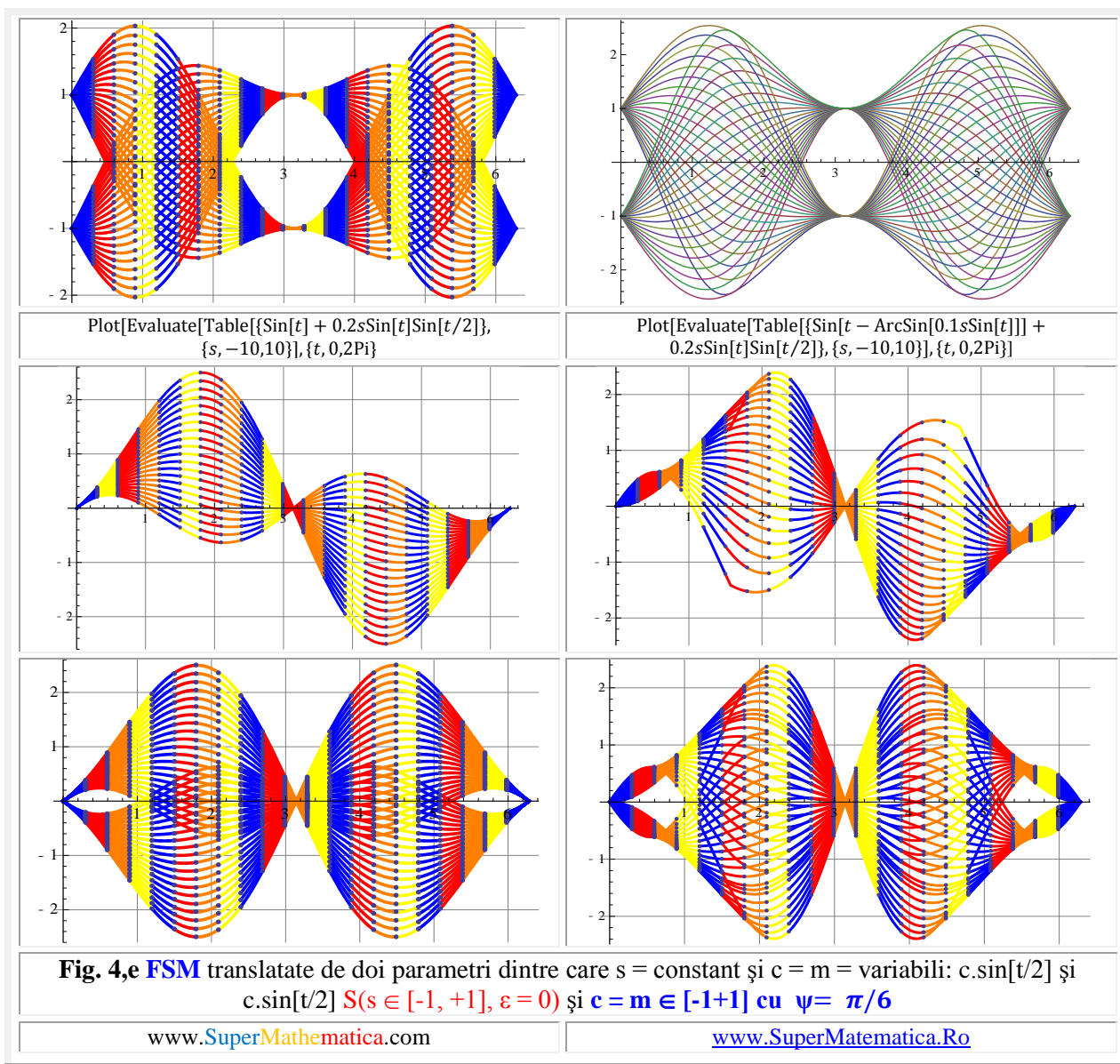
- (1) $\text{rex}\theta = -s \text{cost} + \sqrt{1 - s^2 \sin^2 \theta}$ și de variabila **centrică** $\alpha = \alpha_1$
- (2) $\text{Rex}\alpha = \sqrt{1 + s^2 - 2s \text{cos}\alpha}$, precum și funcția derivată **excentrică de θ**
- (3) $\text{dex}\theta = 1 - \frac{s \cdot \text{cos}\theta}{\sqrt{1 - s^2 \sin^2 \theta}}$

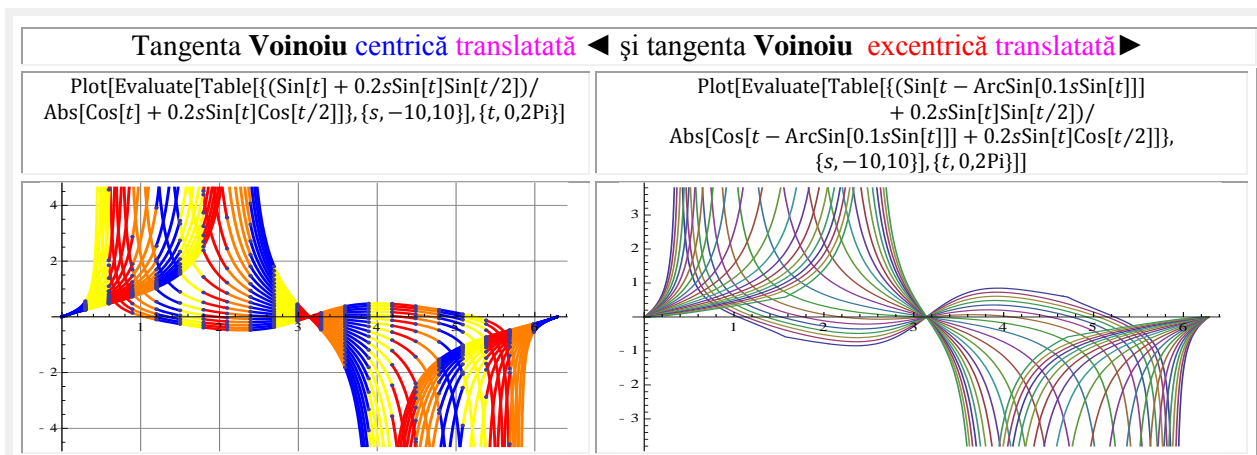
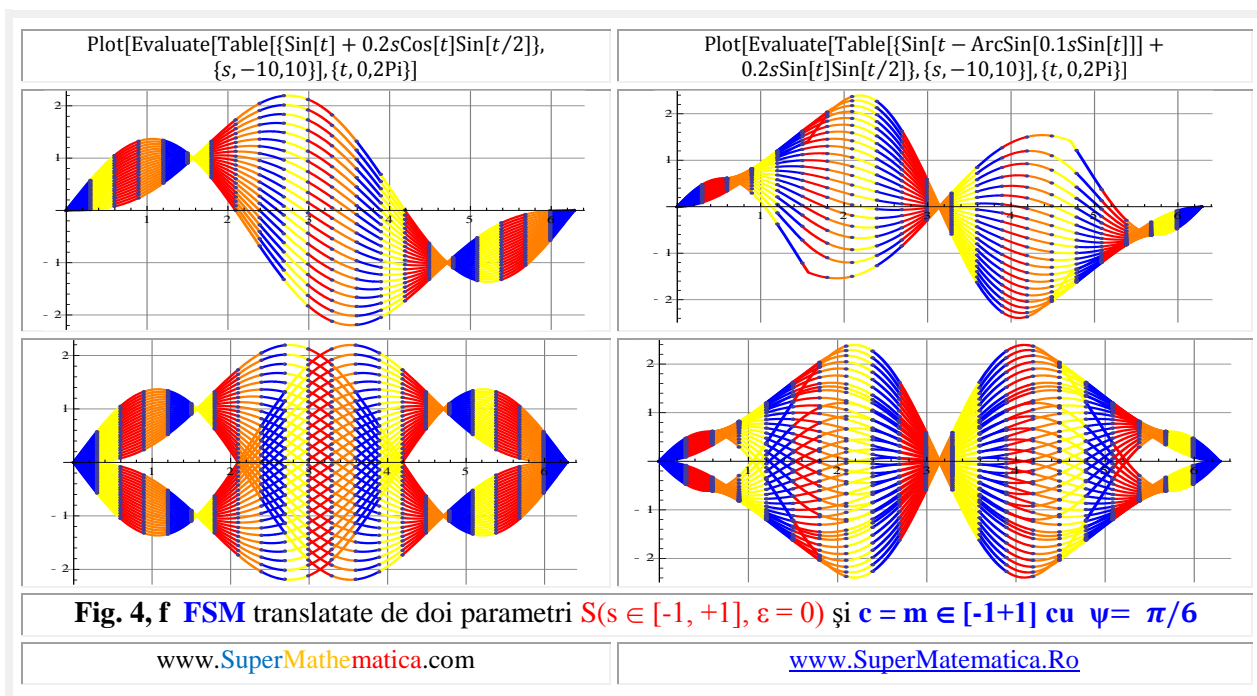
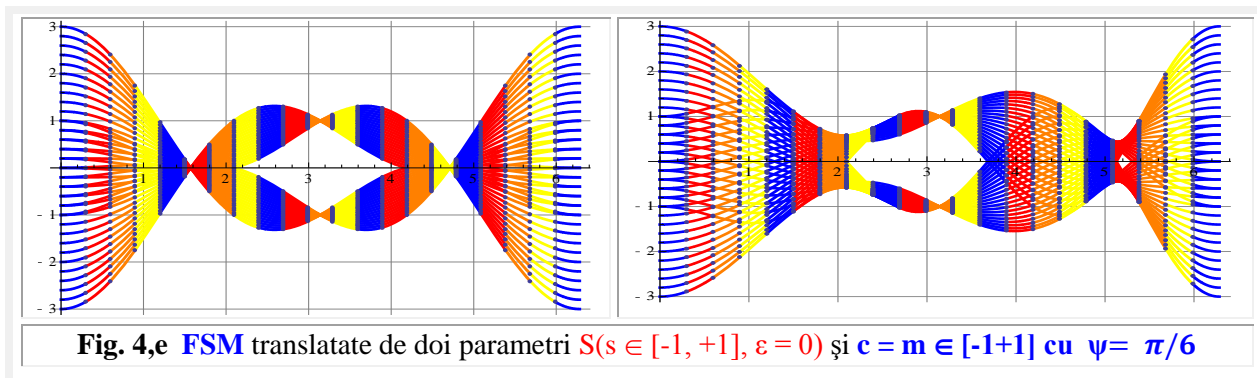
sunt prezentate în figura 6 cu ecuațiile lor de definire, din considerente estetice, în două moduri de colorare individuală și în grup, pe zone.

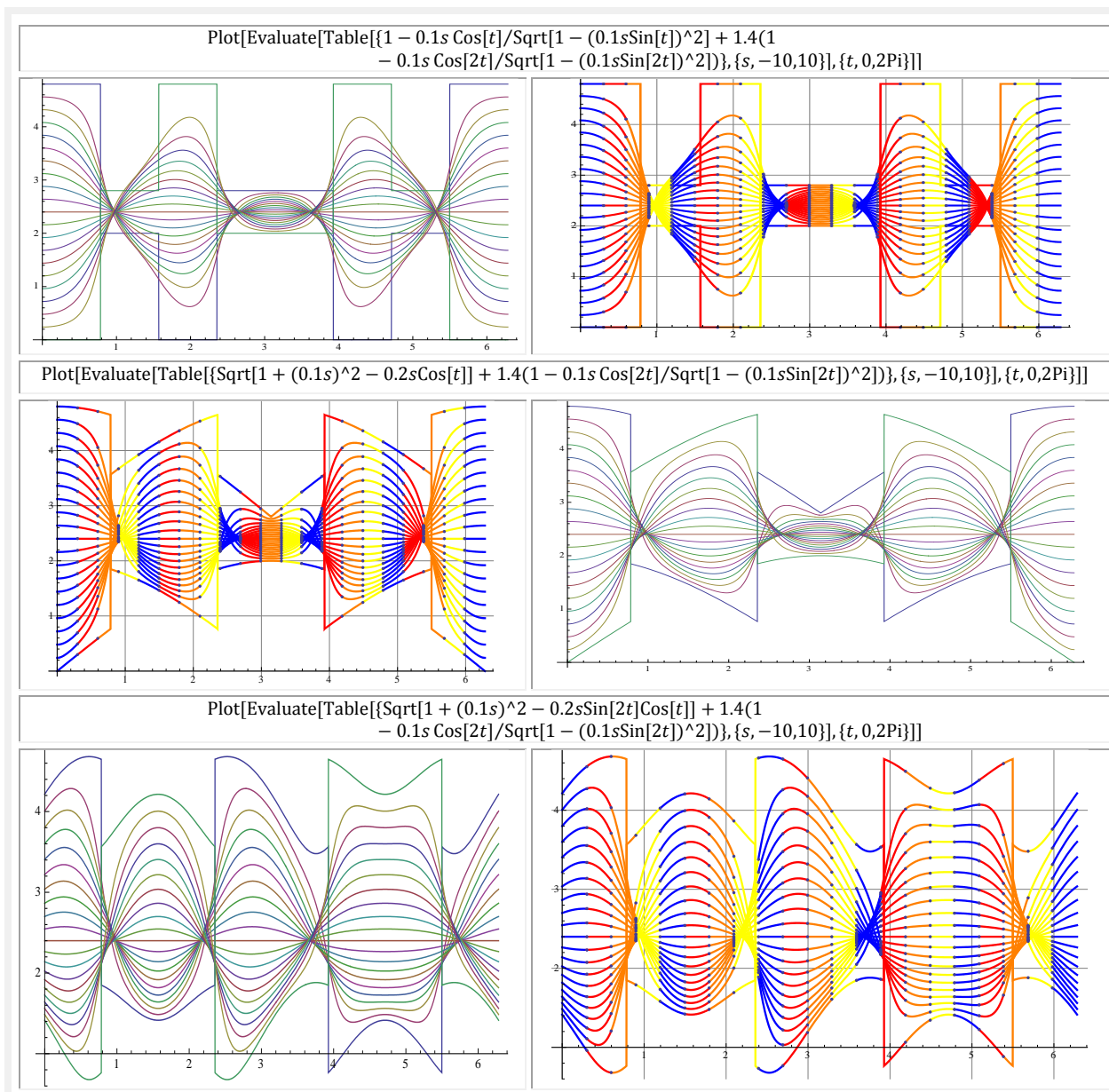
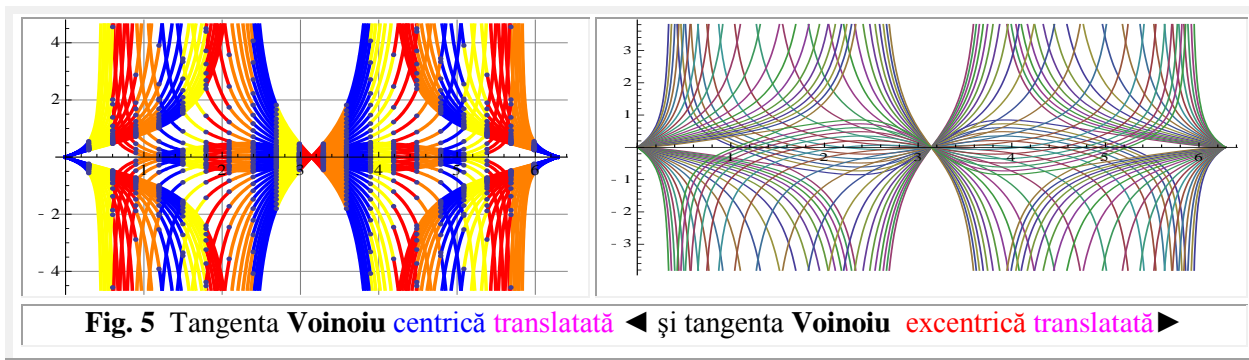


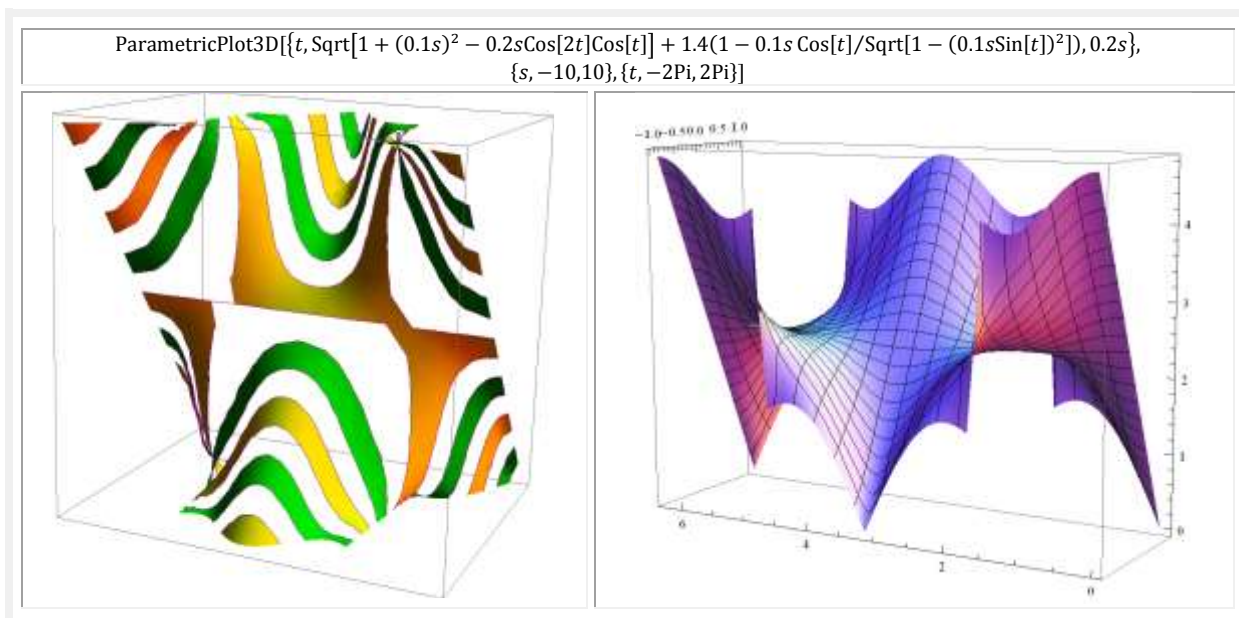
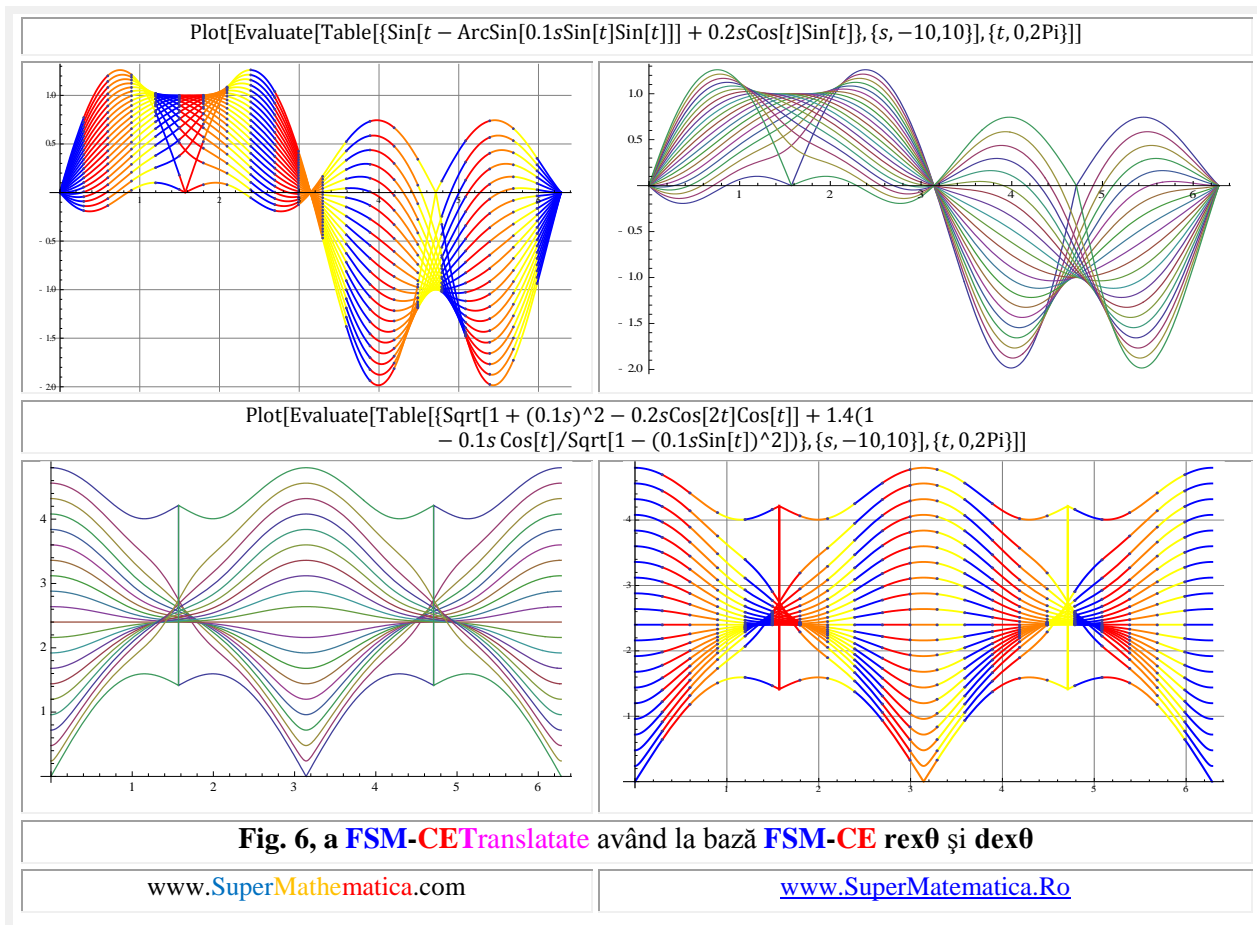


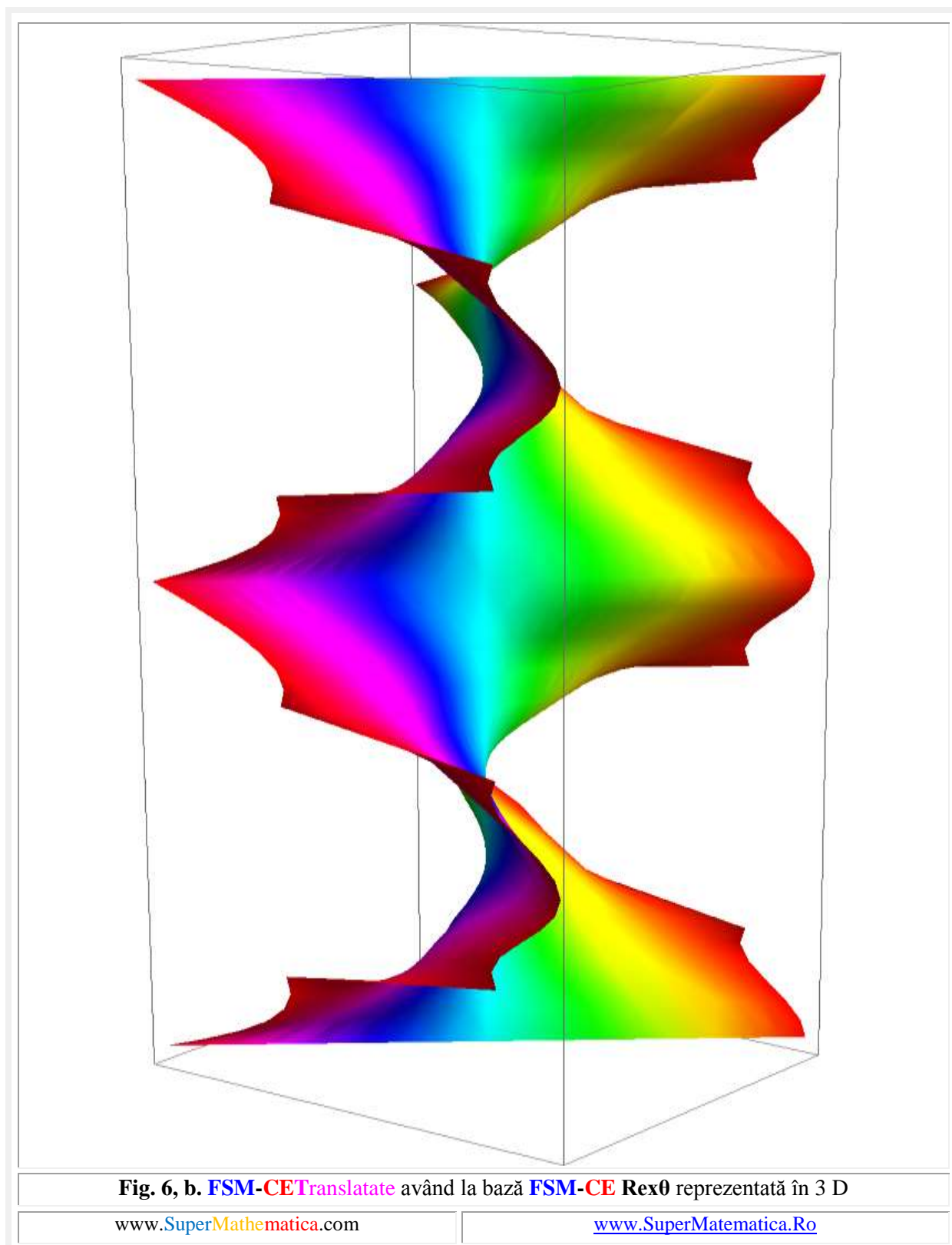


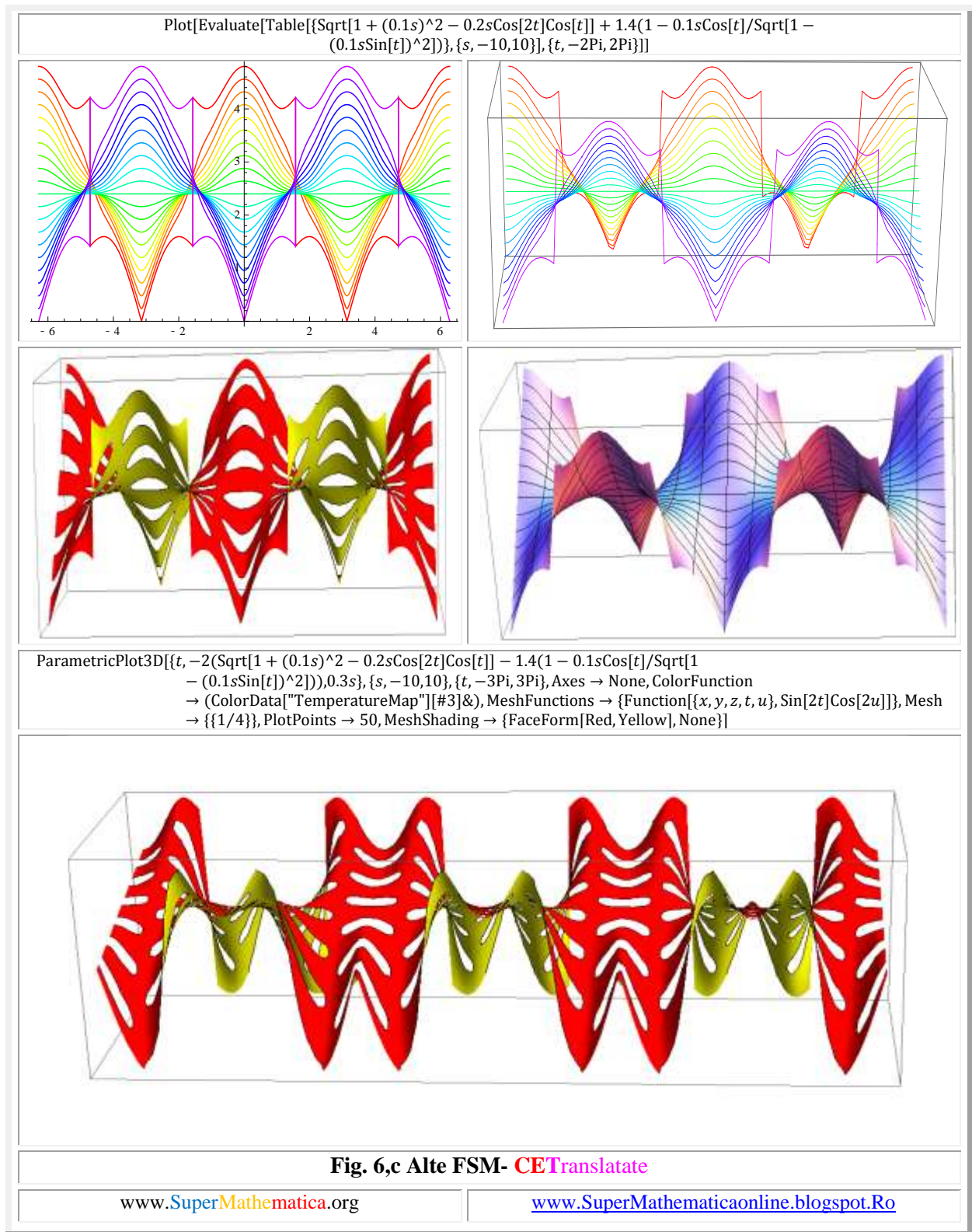












Motto: „Când spun o prostie, toata lumea mă tolerează,
când spun un adevăr, toată lumea mă urăște”
Johann Wolfgang von **Goethe**

CAPITOLUL XXVII

NIMIC DESPRE SUPERMATEMATICĂ - TOTUL DESPRE PROSTIE -

Grafica Ion Măldărescu, Agero Stuttgart

De ce despre prostie ? A spus-o Goethe în motto. Am scris cândva despre supermatematică. O carte și un eseu. Și nu m-a citit nimeni. Sau aproape nimeni. Eu m-am citit și m-am recitit. Adevărul, adevărat, este că-mi plăcea de mine și de ce-am scris. În permanență, adică de fiecare dată, găseam erori, erori de diverse tipuri și din varii cauze. Toate mi se datorau. Mie ! Dacă zic și redacției, nu-mi mai publică volumul al treilea. Nimeni nu mi-a semnalat măcar erorile ortografice. De aceea, deduc, că nimeni, în afară de mine, n-a citit complet eseu de patru pagini. De carte, care are 268 de pagini (Vol. I) și de cele două volume din ediția a 2-a, cu cca 1200 pagini, ce să mai vorbim.

Prietenii mei, care din complezanță s-au făcut că mă citesc, exclamau după scurt timp: la ce folosește supermatematica dacă, în final, funcțiile supermatematice se exprimă cu funcții matematice clasice ? E o prostie !

Un matematician, care a tradus în engleză un articol de supermatematică, chiar mi-a spus de la obraz: „Pe mine nu mă mai interesează supermatematica, așa cum nu mă mai interesează nici $\cos(a+b)$. Pentru mine, adică pentru el, acestea nu prezintă interes. Este un capitol incheiat și nu mai traduc nicio lucrare!”. Fiindcă plata traducerii a fost generoasă, am rămas... prost. Vorba lui **Ion Creangă** „Știu că sunt prost. Dar când mă uit în jur, prind curaj”. Mare povestitor Creangă ăsta! De unde știa el că poți prinde curaj în oricare direcție te uiți de jur-impjur? Așa se întâmplă întotdeauna când nu duci lucrurile până la sfârșit. Până la bun sfârșit. După apariția primului volum al cărții „Supermatematica” s-a razgândit. Mi-a cerut o carte, pe care i-am dat-o cu dedicație și și-a exprimat dorința să colaboreze... Nu i-am amintit nimic despre... actualul titlu, în dedicație, bineînțeles !

Acum doresc să vă vorbesc despre prostie. Așa cum cred eu. Sau cum mi se pare mie că stă treaba. Altceva decât răspunsul matematic, pur, dat în constatarea, de la pag. 44, cap.1: Introducere, a cărții SUPERMATEMATICA. Fundamente. Vol. I, Timișoara, Ed. Politehnica, 2007. Asta-i cea cu 268 de pagini. Volumul al treilea are 550 de pagini. Cine să-l tipărească și dacă se va găsi cine, cine să-l citească ? Istoria confirmă faptul că **Fourier** i-a acuzat pe **Jacobi** și pe **Abel** că-și pierd / risipesc timpul cu funcțiile eliptice, când sunt atâtea probleme mai utile care ar putea fi rezolvate. N-a spus că-s proști. Mai clar, funcțiile eliptice Jacobi (**FEJ**), cosinusul eliptic $cn(u,k)$ și sinusul eliptic $sn(u,k)$, se exprimă cu ajutorul funcțiilor circulare centrice (**FCC**) **$\cos[am(u,k)]$ și $\sin[am(u,k)]$** așa le zice acum, ca să se deosebească de cele supermatematice (**SM**) excentrice (**FSM-CE**). Care sunt sinusul și cosinusul arhicunoscut. Printr-o funcție indusă, care este funcția amplitudine **excentrică $am(u,k)$** . Astfel, **$cn(u,k) = \cos[am(u,k)]$ și $sn(u,k) = \sin[am(u,k)]$** . Tot astfel, funcțiile supermatematice circulare excentrice (**FSM-CE**), cosinusul excentric **$cex(\theta,S)$** și sinusul excentric **$sex(\theta,S)$** , se exprimă prin intermediul funcției **amplitudine excentrică $aex(\theta,S)$** , deci prin inducție, tot prin funcțiile circulare centrice **\cos și \sin** astfel: **$cex(\theta,S) = \cos[aex(\theta,S)]$** , iar **$sex(\theta,S) = \sin[aex(\theta,S)]$** .

Jacobi și **Abel** numai de prostie nu pot fi bănuți sau acuzați ! Faptul că istoria se repetă, înseamnă ca nimeni n-a învățat nimic din istorie ? ăsta, da, un **exemplu de prostie** ! Ce coincidență și ce mare diferență ! Dacă **FEJ** necesită tabelarea lor, deoarece **FEJ** $am(u,k)$ nu se exprimă simplu, prin funcții **FCC**, **FSM-CE** nu necesită tabelarea lor, deoarece, spre deosebire de $am(u,k)$, expresia **FSM-CE** **$aex\theta$** este deosebit de simplă :

(1) **$aex\theta = \theta - \arcsin[s.\sin[\theta-\varepsilon]]$** , astfel că

$$(2) \begin{cases} cex\theta = \cos[\theta - \arcsin[s \cdot \sin[\theta - \varepsilon]] \\ sex\theta = \sin[\theta - \arcsin[s \cdot \sin[\theta - \varepsilon]] \end{cases}$$

Ce simplu ! Şi avem, acum, o infinitate de sinusuri, tot atâtea cosinusuri precum şi celelalte funcţii trigonometrice directe. Atâtea, câte puncte există într-un plan, în care poate fi plasat un punct, dat afară din centru, unde l-a plasat **Euler** şi, din aceasta cauză, denumit **ex-centru** $S(s, \varepsilon)$.

Nu numai câte o singură funcţie, cum sunt cele centrice sau ordinare **cos** şi **sin**.

Nu numai cele directe, ci şi cele indirecte.

Nu numai cele circulare, ci şi cele hiperbolice.

Toate acestea ca argument **excentric de θ** , dar şi de argument **centric de α** , care au avantajul că sunt funcţii continue şi dacă excentrul $S(s, \varepsilon)$ este exterior discului circular, marginit de cercul unitate $C(O,1)$. Şi nu numai circulare şi hiperbolice ci şi altele definite pe alte curbe.



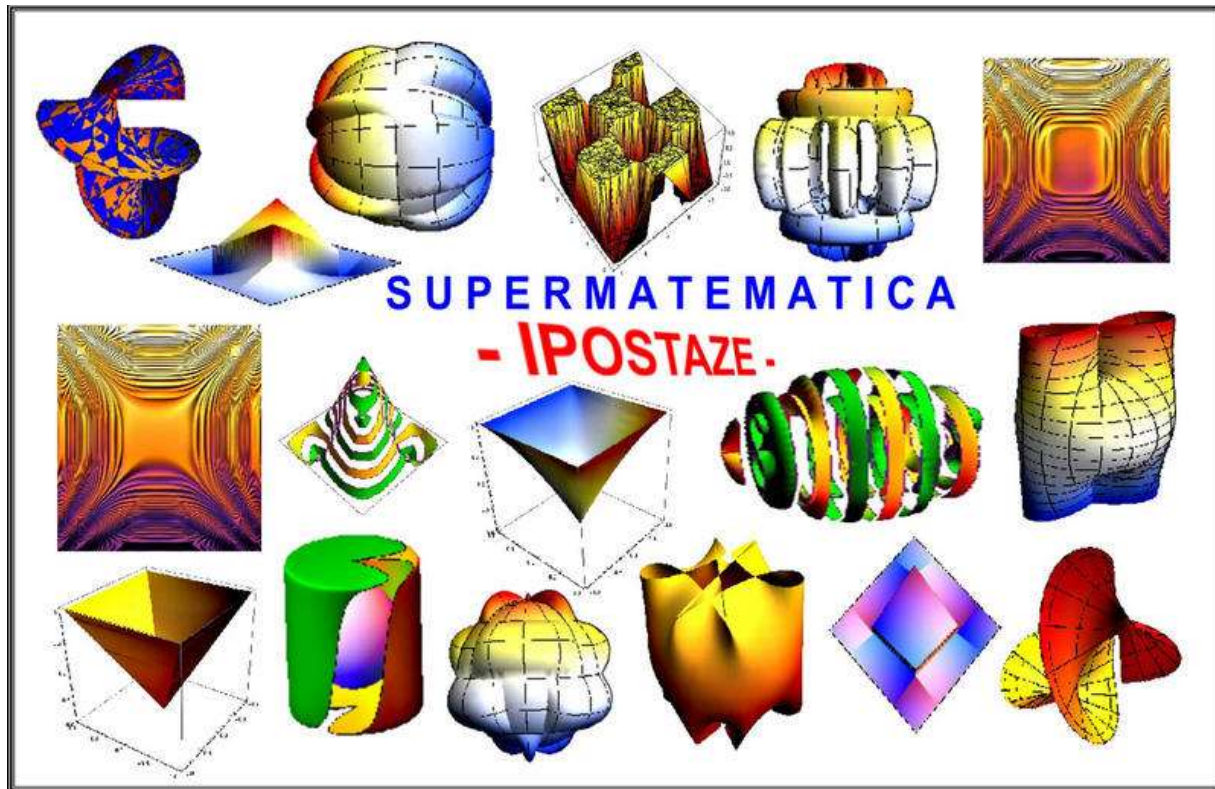
Pentru funcţii periodice, pe curbe închise, ca pătrat, romb, elipsă, trilobă, cvadrilobă, polilobă, astroidă ş.a., iar pe cele deschise, ca evolventă, parabolă ş.a.. Asta încă nu-i nimic, faţă de noile funcţii **supermatematic** introduse cu această ocazie în matematică şi care, ca funcţii centrice, nu-şi aveau rostul, fiind nişte constante.

FSM-CE radial excentric **rex θ** este numai una dintre ele.

Derivata excentrică, **dex0**, care exprimă funcția de transfer, sau funcția de transmitere de ordinul unu, a vitezelor și a turațiilor, tuturor mecanismelor plane cunoscute în tehnica, este a doua.

Mai sunt și altele.

Funcția **rex0** exprimă distanța dintre două puncte, în coordonate polare. Aceste puncte sunt **excentrul S(s, ε)**, - pe care **Euler** l-a plasat peste centrul **C(0,0)** al cercului unitate și peste originea **O(0, 0)** a unui sistem de referință / reper și pe care noi l-am expulzat oriunde în planul cercului - și punctele de pe cercul unitate în care o dreapta turnantă, în jurul lui **S**, intersectează cercul unitate.



Marele matematician român profesorul dr. matematician **Octav Em. Gheorgiu** a numit-o „*o adevărata funcție rege, cu ea pot fi exprimate toate curbele plane cunoscute și multe alte curbe noi, extrem de multe curbe noi*”.

În $2D^+$ au fost denumite rexoide, iar în $3D^+$ rexoizi.

Să fi ales, marele **Leonhard Euler**, trei puncte confundate, care au sărăcit atât de mult matematica, încât au lasat-o într-un singur rând de funcții, din prostie ?

Noi credem că nu, ci de bucurie că a reușit, ceea ce nimeni până la el n-a reușit: să exprime funcțiile trigonometrice pe un cerc trigonometric / unitate, ca funcții circulare. Nu s-a mai gândit dacă sunt posibile și alte exprimări, mult mai benefice pentru matematică și, în ultimă instanță, pentru omenire.

Omenire, ce cuvânt infiorător !, pentru că-ți dă fiori când te gândeștii la soarta ei, la soarta omenirii. Oare se mai gândește cineva ? Dar la soarta matematicii ? Mă gândesc duios la cel care spunea că Academia Angliei nu-și mai are rostul, deoarece tot ce se putea inventa s-a inventat deja. Dacă în ultima lui zi din viață, în 1783, **Euler** ar fi observat posibilitatea multiplicării la infinit a tuturor funcțiilor circulare - ca să nu-i spunem greșeală, pentru că greșeala e soră cu prostia - unde ar fi fost astăzi matematica după 227 de ani de aplicare a **supermatematicii** ?

Parafrazându-l pe **Philip Davis** și pe matematicianul american de origine română, **Isaac J. Schoenberg**, **supermatematica** „*conține paradoxul delicios al Simfoniei Clasice a lui Procofiiev: pare ca și cum ar fi putut fi descoperită în urmă cu multe secole, dar, firește, nu ar fi putut*”.

Fără calculator și fără computer, cine putea să ridice graficele atâtor funcții, atât de variate ? Proștii, cei autentici, nici măcar n-au auzit de funcțiile trigonometrice. De cele centrice, **sin** și de **cos**, că de cele excentrice, **cex** și **sex**, încă n-au auzit nici deșteptii, pentru că cei care le hotărâsc soarta, soarta funcțiilor, sunt... așa cum sunt, nu mă pronunț. Dar știu că, din cele peste șase granturi întocmite, niciunul nu a fost admis. Cuvântul „**supermatematică**” repugnă. Ce-i aia **s u p e m a t e m a t i c ă** ?



Unele granturi urmăreau utilizarea noilor funcții **supermatematice** pentru descriere exactă a unor semnale electrice, dreptunghiulare, trapezoidale, triunghiulare ș.a.m.d. cu numai doi termeni matematici (subliniere exactă, față de dezvoltările clasice cu diverse serii care nu reușesc acest lucru nici cu 100 de termeni). Ei și ?

În **supermatematică (SM)** nu mai există diferențe între liniar și neliniar. Și?

Liniarul, idealul, sunt proprii matematicii centrice, ordinare, clasice, vechi, pe când neliniarul, realul sunt proprii matematicii excentrice. **Supermatematica**, fiind o reuniune a celor două matematici, centrică și excentrică, șterge granița dintre liniar și neliniar. No, și ?

În **SM**, cercul și pătratul, elipsa și dreptunghiul, cercul și triunghiul și multe altele au aceleași ecuații parametrice. Cu aceleași ecuații parametrice, pentru excentricitate numerică **s = 0**, se obține **sfera**. Sfera perfectă, ceea ce nu-i așa de mare lucru. Dar, pentru **s = ± 1**, se obține cubul ! Cubul perfect ! Ceea ce-i mare lucru ! O fi. Și ?

Cu ajutorul **FSM—CE rex0** s-a reușit, ca după numai 5 pași, bazat pe metoda numerică Landen, a mediei aritmetico-geometrice, să se obțină, o relație de calcul simplă, cu numai doi termeni, a valorii integralei complete de prima speță **K(k)** cu incredibila precizie de **15 zecimale exacte** !! Continuând cu alți pași, se pot obține relații de calcul și mai precise. Dar cârcotașii, pardon, evaluatorii granturilor exclamă : Ei, și ? La ce folosește ?

Nimic, din toate cele enumerate, nu i-au putut îndupleca să sprijine cercetările din domeniul **supermatematicii** !

E oare o prostie să studiezi un nou domeniu științific timp de peste patruzeci de ani, chiar dacă n-ai nici o speranță și niciun sprijin în acest domeniu ?

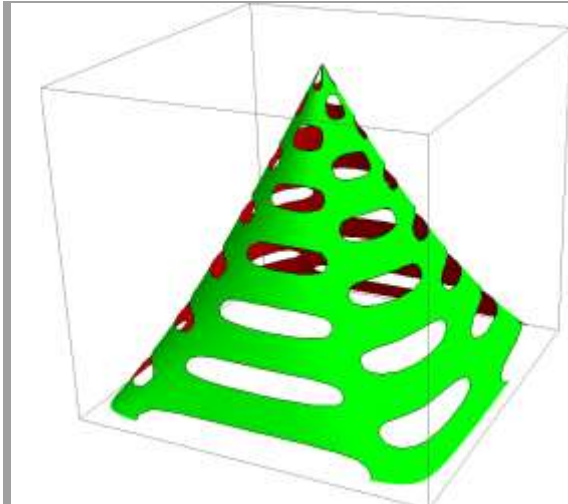
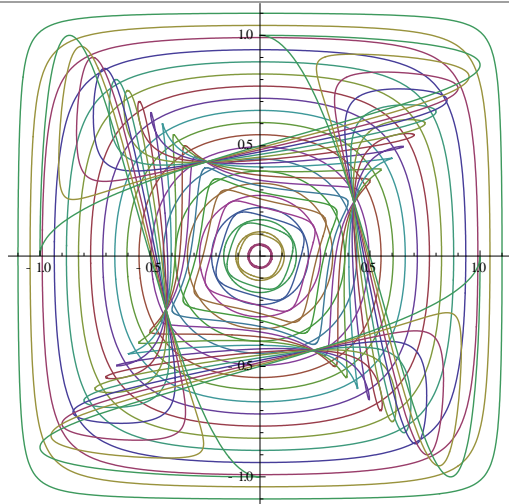
Nu, dar vorbim. Pentru că, altfel, după părerea lui **Molier**, „*un savant care tace, nu se deosebește cu nimic de un prost care nu spune nimic!*”. Am zis !

Am zis că **supermatematica** a făcut un pas mic... parcă a mai zis cineva asta, dar era pe Lună. Noi suntem pe **Pământ**, pe **Terra** mai sunt multi pași de facut. În **supermatematică** la fel.

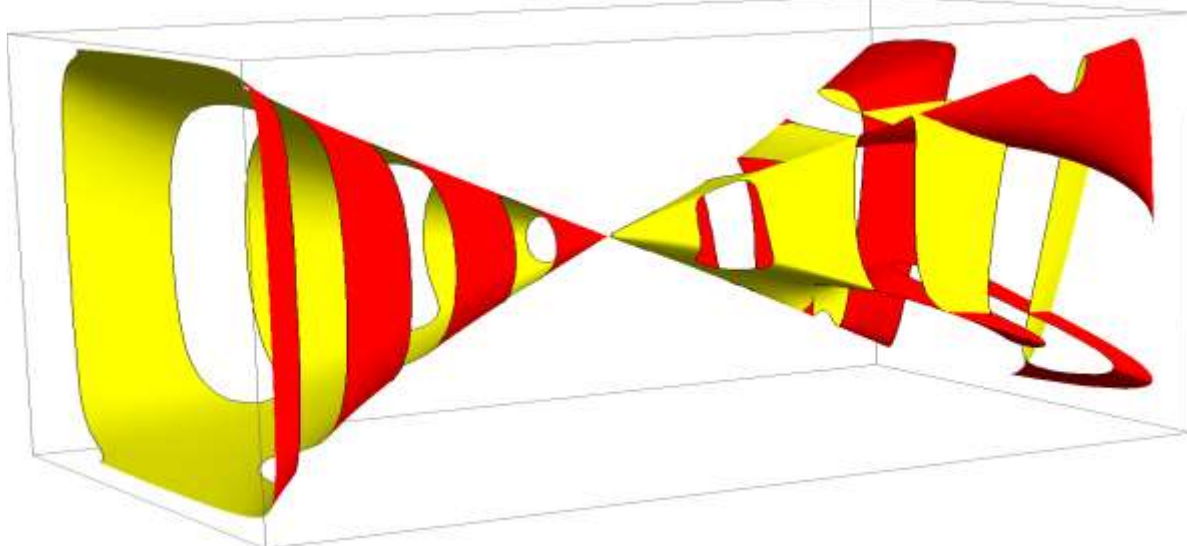
Cine-i face, cine-i sprijină ? Cine...? Cine...?

Dă-ne Doamne mintea noastră cea de pe urmă și ne izbăvește de cel ... prost. Amin !

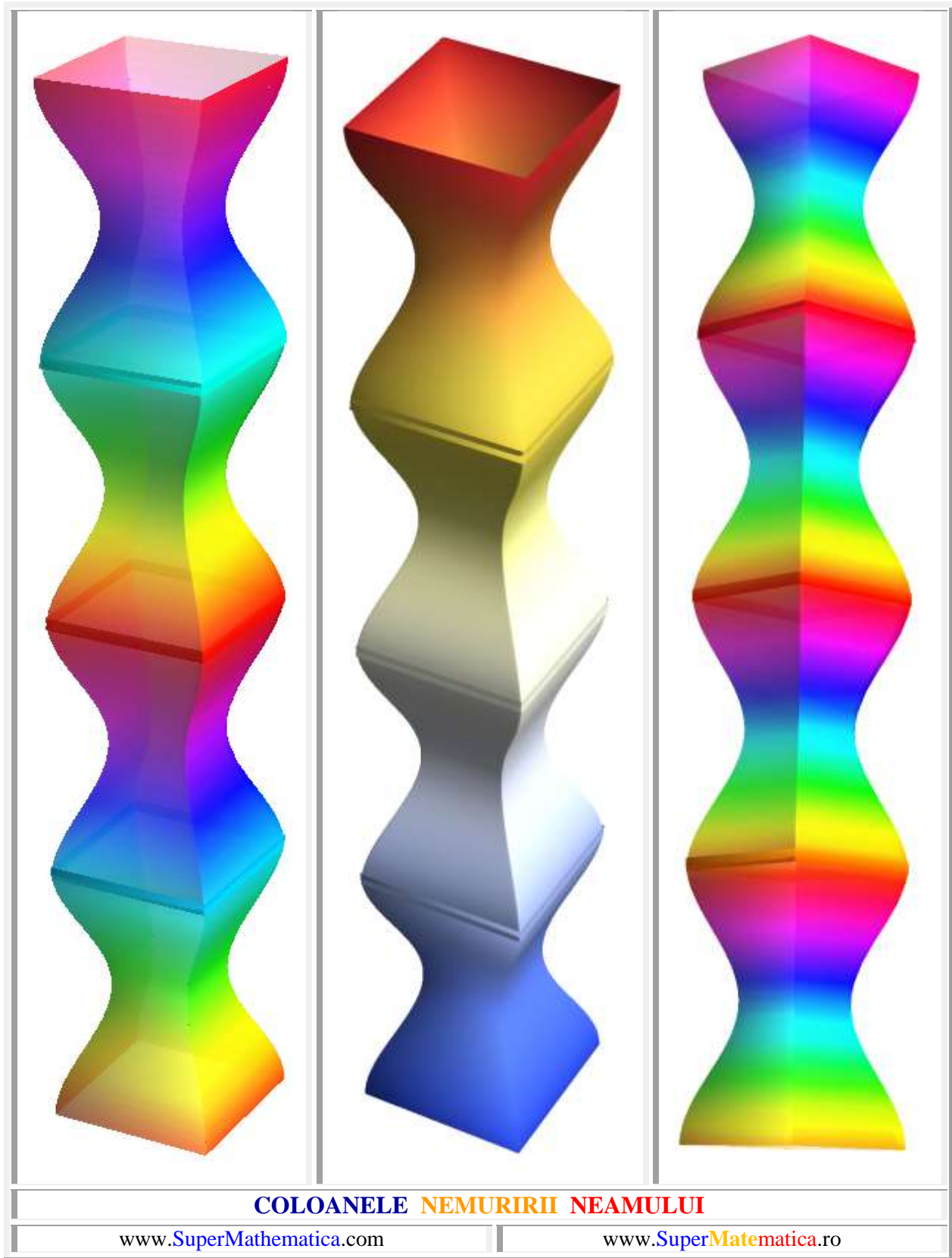
```
ParametricPlot[Evaluate[Table[{{1.1 * 0.05s Cos[t]/Sqrt[1 - (0.9 * 0.05sSin[t])^2], 1.1 * 0.05s Sin[t] /Sqrt[1 - (0.9 * 0.05sCos[t])^2]}, {0.05sCos[t + ArcSin[0.05sSin[2t - Pi/2]]], 0.05sSin[t - ArcSin[0.05sSin[2t - Pi/2]]]}], {s, 0, 20}], {t, 0, 2Pi}]
```



```
ParametricPlot3D[{{1.1 * 0.05s Cos[t]/Sqrt[1 - (0.9 * 0.05sSin[t])^2], 1.1 * 0.05s Sin[t]/Sqrt[1 - (0.9 * 0.05sCos[t])^2], -0.1s}, {0.05sCos[t + ArcSin[0.05sSin[2t - Pi/2]]], 0.05sSin[t - ArcSin[0.05sSin[2t - Pi/2]]], 0.1s}}, {s, 0, 20}, {t, 0, 2Pi}, Axes -> None, ColorFunction -> (ColorData["TemperatureMap"][#3]&), MeshFunctions -> {Function[{x, y, z, t, u}, Sin[t]Cos[u]], Mesh -> {{1/4}}, PlotPoints -> 50, MeshShading -> {FaceForm[Red, Yellow], None}}
```



OBIECTE SUPERMATEMATICE



Motto:” Dacă cineva vrea să determine cu un cuvânt, laconic și expresiv, esența matematicii, acela trebuie să spună că este o știință despre infinit. ”

Henri Poincaré

Ca urmare :

“Matematica pură este știința în care noi nu știm despre ce vorbim și nici dacă este adevărat ceea ce spunem.”

Bertrand Russell

CAPITOLUL XXVIII

FUNȚIA GAMMA CENTRICĂ și FUNȚII GAMMA EXCENTRICE

1.INTRODUCERE

În matematică, o ecuație diferențială este o relație sau ecuație dintre o funcție necunoscută de una sau mai multe variabile, o relație dintre funcția însăși și un număr de derivate ale sale, derivate de diferite ordine. Ecuațiile diferențiale au un rol important în formularea cantitativă a problemelor din știință și tehnică. O ecuație diferențială ordinară determină dependența funcției necunoscute de o singură variabilă și conține doar derivate în raport cu această variabilă.

FUNȚII	ELEMENTARE	SPECIAL E (Supermatematice)
Schița modelului		
Denumirea 1	Model vibrant liniar conservativ cu un singur grad de libertate	Model vibrant nelinier conservativ cu un singur grad de libertate
Denumirea 2	Mișcarea circulară centrică cu viteză unghiulară Ω constantă	Mișcarea circulară excentrică cu viteză unghiulară Ω constantă
Ecuația	$m\ddot{x} + kx = 0$	$m\ddot{x} + \frac{\epsilon}{\omega} \dot{x} + \omega^2 x = 0$
Soluția	$x(t) = A \cos \Omega t$ $x_0 = A;$	$x(t) = x_0 \text{cex} \Omega t$ $\Omega = \text{constant}; \omega = \frac{d\theta}{dt} = \Omega \cdot \text{dex} \Omega t; \epsilon = \frac{d\omega}{dt}$
Fig. 1 Exemple de sisteme vibrante sau de mișcare circulară centrică (MCC) și, respectiv, excentrică (MCE), guvernate de ecuații diferențiale ordinare cu coeficienți constante (stânga ◀) și cu coeficienți variabile (dreapta ▶)		
www.SuperMatematica.ro; www.SuperMathematica.org; www.SuperMathematica.com		

Ea poate fi cu coeficienți constante sau cu coeficienți care sunt funcții, adică variabile.

Să exemplificăm:

Arhicunoscuta ecuație diferențială ordinară de ordinul doi cu coeficienți constanți

$$(1) \quad m\ddot{x} + k.x = 0$$

cu soluția exprimată de **funcția elementară** trigonometrică sau **circulară centrică** cosinus $x(t) = \cos\alpha = \cos\Omega t$, la proiectarea mișcării circulare centrice pe axa x și cu sinus $y(t) = \sin\alpha = \sin\Omega t$ la proiectarea mișcării pe axa y , adică

$$(2) \quad s_x = x_0 \cdot \cos\Omega t \quad \text{și / sau} \quad s_y = x_0 \cdot \sin\Omega t$$

poate reprezenta **mișcarea liniară alternativă** pe direcția axei $x \equiv s_x$, a punctului M_x de masă m , sub acțiunea elementului elastic de **caracteristică elastică statică** liniară (CES_L) și de rigiditate $k = \tan\alpha = \text{constantă}$, denumită și mișcare de vibrație sau vibratorie.

Fie proiecția pe axa x a mișcării unui punct M de masă m pe cercul de rază $R = A = x_0$ cu o viteză unghiulară Ω constantă, denumită și **mișcare circulară centrică** (MCC). Denumirea provine din faptul că **mișcarea circulară centrică** este condusă din centrul $O(0, 0)$, prin **semidreapta centrică** D^+ , centrică fiindcă trece prin **centrul** $O(0, 0)$, sau de rază OM așa cum se prezintă situația în stânga ◀ **figurii 1**.

Odată cu apariția **supermatematicii** (SM) și, totodată, a **funcțiilor supermatematice circulare excentrice** ($FSM-CE$) a apărut și **mișcarea circulară excentrică** (MCE) prin care punctul M de masă m se rotește tot pe cercul de rază $R = A = x_0$, dar cu o viteză $v = A \cdot \Omega \cdot \text{dex}\Omega t$ variabilă ca și viteza unghiulară $\omega = \Omega \cdot \text{dex}\Omega t$, evident, tot variabilă, deoarece conducerea mișcării punctului M , de masă m , se face din punctul denumit excentru $E(e, \varepsilon)$, în jurul căruia **semidreapta excentrică** generatoare $d^+ = |EM|$ se rotește cu viteza unghiulară Ω constantă, așa cum se prezintă situația în dreapta ▶ **figurii 1**.

Precum în cazul anterior, proiecția **mișcării circulare excentrice** (MCE) pe orice direcție x, y sau oarecare r , reprezintă o mișcare oscilantă sau de vibrație liberă, neliniară, de caracteristică elastică neliniară (CES_N), mișcări studiate de autor și publicate în lucrările [2], [3], [4] și [5].

Acum și aici apare o problemă ! Se zice că sistemele oscilante de CES_N **neliniare** sunt soluționabile (“exact”) doar cu **funcții speciale** cum ar fi funcțiile eliptice **Jacobi**, consacrate în acest sens. Or, sistemele neliniare, tratate în lucrările anterior amintite, se soluționează cu **funcțiile supermatematice circulare excentrice** ($FSM-CE$) $\text{cex}\Omega t$ și / sau $\text{sex}\Omega t$, cu **funcțiile** supermatematice **quadrilobe** (cvadrilobe) $\text{coq}\Omega t$ și / sau $\text{siq}\Omega t$ ș.a., funcții **echivalente** și **la fel de elementare** ca și funcțiile **circulare centrice** $\cos\Omega t$ și $\sin\Omega t$ pe care le generalizează, multiplicându-le la infinit !.

Toate FCC se pot obține din $FSM-CE$ pentru o excentricitate liniară $e = s = 0$, ceea ce arată că ambele funcții circulare, **centrice** și **excentrice**, sunt la fel de **elementare** ! E simplu de dovedit că și cele două ecuații diferențiale din **figura 1**, pentru $e = s = 0$ sunt echivalente, deoarece în CES_N are tangenta în origine aleasă de pantă $k = 1$. Încă un mit tinde să se spulbere !

O **ecuație cu derivate parțiale** se referă la o funcție de mai multe variabile și conține **derivate parțiale**.

Leonhard Euler a dat o primă definiție clară a ecuației diferențiale, explicând și în ce constă rezolvarea unei astfel de ecuații. După **Euler**, o ecuație diferențială este o relație între x, y și $p = \frac{dy}{dx}$ și rezolvarea ei constă în găsirea unei relații între x și y care **nu-l mai conține pe p**.

Dintre numeroasele rezultate obținute de **Euler** în domeniul ecuațiilor diferențiale, amintim metoda de rezolvare a ecuațiilor diferențiale de ordinul n cu coeficienți constanți, cu numeroase aplicații în mecanică și fizică.

Profesorul **Ioan I. Vrabie** de la Universitatea “**Al. I. Cuza**” din Iași sintetizează foarte bine ce reprezintă pentru un inginer, și nu numai pentru el, ecuațiile diferențiale: “*Pe lângă rezultatele fundamentale proprii acestei discipline, în ideea de a scoate în evidență **forța aplicativă** a acesteia, am prezentat mai multe **modele** matematice ce descriu evoluția unor fenomene din diverse domenii din afara matematicii. Am încercat să convingem cititorul cum, din analiza acestor modele, prin mijloacele proprii ecuațiilor diferențiale, se pot obține **informații de substanță** cu privire la **evoluția fenomenelor** corespunzătoare. Totodată ne-am străduit să relieșăm o trăsătură de loc neglijabilă a acestei discipline, și anume, marea ei **putere de abstractizare**. Este vorba aici de faptul că numeroase fenomene distincte admit modele*

diferenţiale formal identice şi, drept urmare, din studiul unui singur astfel de model, se pot trage concluzii despre modul de evoluţie a mai multor sisteme reale.” Şi chiar mai mult !

Nu sunt singurul, şi nu pentru ca sunt inginer, care afirmă că multe funcţii speciale au apărut ca o necesitate a soluţionării unor probleme **ingineresti**, cum sunt aceste ecuaţii diferenţiale. La fel a apărut şi **matematica excentrică (ME)** şi, odată cu ea, **supermatematica (SM)**.

Dacă ecuaţiile diferenţiale liniare având nişte constante drept coeficienţi au soluţii care pot fi scrise prin **funcţii elementare**, ca trigonometrice, exponenţiale ş.m.a. ecuaţiile diferenţiale cu coeficienţi variabile au soluţii exprimabile prin serii de puteri, care fie pot fi denumite prin numele celui care le-a descoperit (funcţii **Legendre**, funcţii **Bessel**, funcţii **Mathe** ş.m.a.), fie într-un alt mod sau cu o anumită literă grecească.

Alfa (α), beta (β), gamma (γ), delta (δ), epsilon (ϵ), dzetha (ζ), eta (ϵ), theta (θ) ş.a.m.d. sunt câteva litere de la început, din cele 24 de litere ale alfabetului grec. Din **Wikipedia** aflăm că “alfabetul grec îşi are originile în **alfabetul fenician** şi nu este legat de **scrierea liniară B** sau **alfabetul silabic cipriot**, sistemele **folosite anterior** pentru a reprezenta limba greacă în scris. Literele greceşti sunt folosite deseori în notaţia ştiinţifică, mai ales în **algebră**, **geometrie** şi **fizică**.”

Câteva funcţii speciale din matematică, ce sunt denumite cu astfel de litere, sunt prezentate în continuare. Se vor prezenta în ordinea alfabetului grec:

• **FUNCTIA alfa (alpha)**

$$(3) \quad \left\{ \begin{array}{l} \left\{ \begin{array}{l} aex_{1,2}(\theta, S) \\ \equiv \\ aex_{1,2}\theta \end{array} \right\} = \alpha(\theta) = \theta - \beta_{1,2}(\theta) = \theta - \left\{ \begin{array}{l} \beta_1(\theta) = \begin{cases} \arcsin[s \cdot \sin(\theta - \epsilon)] \\ \arctan \frac{s \cdot \sin(\theta - \epsilon)}{\sqrt{1-s^2 \sin^2(\theta - \epsilon)}} \end{cases} \\ \beta_2(\theta) = \pi - \begin{cases} \arcsin[s \cdot \sin(\theta - \epsilon)] \\ \arctan \frac{s \cdot \sin(\alpha_1 - \epsilon)}{\sqrt{1-s^2 \sin^2(\theta - \epsilon)}} \end{cases} \end{array} \right. \\ \\ \left\{ \begin{array}{l} Aex(\alpha_{1,2}, S) \\ \equiv \\ Aex\alpha_{1,2} \end{array} \right\} = \theta(\alpha) = \alpha_{1,2} + \beta(\alpha_{1,2}) = \alpha_{1,2} + \left\{ \begin{array}{l} \beta(\alpha_1) = \begin{cases} \arcsin \frac{s \cdot \sin(\alpha_1 - \epsilon)}{\sqrt{1+s^2 2s \cdot \cos(\alpha_1 - \epsilon)}} \\ \arctan \frac{s \cdot \sin(\alpha_1 - \epsilon)}{1-s \cdot \cos(\alpha_1 - \epsilon)} \end{cases} \\ \beta(\alpha_2) = \pi - \begin{cases} \arcsin \frac{s \cdot \sin(\alpha_1 - \epsilon)}{\sqrt{1+s^2 2s \cdot \cos(\alpha_1 - \epsilon)}} \\ \arctan \frac{s \cdot \sin(\alpha_1 - \epsilon)}{1-s \cdot \cos(\alpha_1 - \epsilon)} \end{cases} \end{array} \right. \end{array} \right.$$

Este **funcţia esenţială** a supermatematicii (**FSM**), care face trecerea din domeniul vechii **matematici centrice (MC)** în cel al noii **matematici excentrice (ME)**, fiind asemănătoare funcţiei eliptice **Jacobi am(u,k)**, care face trecerea dela **MC** la **matematica eliptică (MEL)**.

Aşa după cum este cunoscut $\cos[am(u,k)] = cn(u, k)$, iar $\sin[am(u,k)] = sn(u, k)$ şi, tot aşa, în **SM**, $\cos[aex(\theta,S)] = cex[\theta,S(s, \epsilon)]$, iar $\sin[aex(\theta,S)] = sex[\theta,S(s, \epsilon)]$.

În partea superioară a relaţiilor (3) sunt **FSM-CE** (alfa) de variabilă **excentrică** θ , având două moduri de exprimare **echivalente**, prin arc sinus şi prin arc tangentă, ca şi cele de variabilă **centrică** α , din partea inferioară a relaţiilor (3).

Din relaţiile (3) mai rezultă un fapt deosebit de important, şi anume, că funcţiile $\alpha(\theta) = aex\theta$ şi $\theta(\alpha) = Aex\alpha$ **sunt funcţii inverse una alteia** ! (v. [14],[15]).

• **FUNCTIA beta**

În matematică, funcţia **beta** numită, de asemenea, integrala **Euler** de primul tip, este considerată ca o funcţie specială definită de integrala

$$(4) \quad B(x, y) = \int_0^1 t^{x-1}(1-t)^{y-1}dt, \quad \text{pentru } \operatorname{Re}(x), \operatorname{Re}(y) > 0.$$

Funcţia **beta** a fost studiată de către **Euler** şi **Legendre** şi i-a fost dată notaţia **B** de către **Jacques Binet**, iar simbolul ei este un β grecesc, mai degrabă decât litera latină similară B.

Cu toate acestea, nu are nimic de-a face cu litera β din alfabetul grecesc, ci cu **B** de la **Binet**, spre deosebire de **FSM-CE beta excentrică**, ca de exemplu $bex[\theta, S(s, \epsilon)] \equiv \beta(\theta) = \arcsin[s \sin(\theta - \epsilon)]$, extrasă din relaţiile (3) şi care, aşa cum se poate deduce din relaţiile (3), intră în expresia funcţiilor **alfa**.

- FUNCTIA gamma

Funcția **Gamma** este introdusă în matematică de **Leonhard Euler** în momentul când acesta pune problema extinderii factorialului obișnuit **n!** pentru valori naturale ale lui **n**, la toate valorile reale sau complexe ale lui **n**. Dar problema este, se pare, sugerată întâi de **Bernoulli** și de **Goldbach**.

Tratarea mai pe larg a funcției **gamma centrice** se face, în continuare, în paragraful §2, iar a funcțiilor **gamma excentrice** în §3.

- FUNCTIA delta

Aflăm de pe [Wikipedia](#):

“**Funcția lui Dirac** $\delta(x)$ nu este o funcție obișnuită, ci o funcție generalizată (sau o distribuție).

Poartă numele fizicianului englez [P.A.M.Dirac](#) care a utilizat-o extensiv în formularea sa a mecanicii cuantice, dar prezența ei în matematică este mai veche și e de exemplu implicită în folosirea [integralei Stieltjes](#). Introducerea ei simplifică considerabil prezentările diferitelor capitole ale fizicii matematice.

Descrierea matematică riguroasă a statutului funcției lui **Dirac** (și a altor funcții generalizate) este datorită lui [Laurent Schwartz](#).

Calitativ, ea poate fi concepută ca o funcție care este egală cu zero peste tot, cu excepția lui $x = 0$ unde este infinită, dar astfel încât

$$(5) \quad \int_I \delta(x') dx' = 1$$

pentru orice interval **I** care-l conține pe $x = 0$. De aceea, se poate afirma că integrala indefinită a funcției **Dirac** este [treapta unitate Heaviside](#).”

Funcție treaptă ce poate fi descrisă, așa cum s-a mai arătat și cu **FSM-CE derivata excentrică dex0** ca și cu funcțiile quadrilobe (cvadrilobe) **coq0** și **siq0** [12], [13], toate pentru o valoare a excentricității numerice **s** = 1.

- FUNCTIA epsilon

Autorul nu cunoaște o funcție cu această denumire. El a notat cu **e excentricitatea unghiulară** a excentrelor **E**(e, ϵ) și **S**(s, ϵ), din cercurile de raza **R** oarecare și, respectiv, $R = 1$ în cercul unitate, în care **e** și **s** sunt excentricitățile liniare **reale e** și, respectiv, **numerice s** = $\frac{e}{R}$, în care **R** este raza unui cerc oarecare, astfel că, pentru cercul unitate / trigonometric, de $R = 1$, cele două excentricități liniare sunt numeric egale **e** = **s**.

Așa cum s-a mai afirmat, dacă excentrul **E** și **S** sunt puncte mobile în planul cercurilor lor, atunci **e** și **s** ca și / sau ϵ nu mai sunt constante, ci **variabile**, adică **reprezință funcțiile** după care are loc mișcarea excentrelor **E** și **S** în planul cercurilor lor. Un astfel de caz este prezentat în lucrarea [**Şelariu Mircea Eugen**, “MIȘCAREA CIRCULARĂ EXCENTRICĂ (MCE) DE EXCENTRU PUNCT MOBIL / VARIABIL”, [www.cartiaz.ro](#)].

- FUNCTIA dzeta / (zeta). Funcția **dzeta / (zeta)** a lui **Riemann** $\zeta(z)$ este o funcție de variabilă **complexă s**, inițial definită prin următoarea [serie](#) infinită:

$$(6) \quad \zeta(s) = \sum_{n=1}^{\infty} \frac{1}{n^s}$$

pentru anumite valori ale lui **s** și apoi continuată analitic la toate numerele complexe $s \neq 1$. Această [serie Dirichlet converge](#) pentru toate valorile [reale](#) ale lui **s** mai mari ca 1.

Problemele matematice formulate de **David Hilbert** la Congresul Internațional de Matematică de la Paris din 1900 a cuprins în **Lista lui Hilber**, la punctul 8, o cerință încă nerezolvată integral:

Să se demonstreze **ipoteza lui Riemann** conform căreia funcția zeta a lui **Riemann**

$$(7) \quad \zeta(s) = 1 + \frac{1}{2^s} + \frac{1}{3^s} + \frac{1}{4^s} + \dots$$

are toate zerourile din semiplanul drept situate pe dreapta verticală $\text{Re}(s) > 0$, $\text{Re}(s) = 1/2$.

Utilizându-se o abordare experimentală, această ipoteză a fost confirmată prin calculul primelor câtorva **milioane de zerouri**. **Bompieri** a arătat că ipoteza are loc cu probabilitatea 1, în raport cu un anumit

câmp de evenimente. Problema este importantă, rezolvarea ei permiţând soluţionarea şi a altor probleme ca aceea a lui **Goldbach**.

2. FUNCŢIA GAMMA CENTRICĂ

Funcţia **gamma centrică** este notată cu Γ , iar cele excentrice cu Γ_E .

Funcţia **gamma centrică** a fost introdusă în matematică de **Leonhard Euler** (1720) când acesta încerca să rezolve problema extinderii factorialului (!) la numere reale şi complexe.

Pentru $z \in \mathbb{C} \setminus \{0, -1, -2, \dots\}$, funcţia gamma, $\Gamma(z)$, se defineşte prin

$$(8) \quad \Gamma(z) = \lim_{k \rightarrow \infty} \frac{k! k^{z-1}}{(z)_k}$$

în care $(z)_k = z(z+1) \dots (z+k-1)$, $k > 0$, $(z)_0 = 1$, $z \in \mathbb{R}$ sau \mathbb{C}

Notăţia $\Gamma(z)$ i se datorează lui [Adrien-Marie Legendre](#).

Dacă partea reală a numărului complex z este pozitivă ($\text{Re}[z] > 0$), atunci [integrala](#)

$$(9) \quad \int_0^{\infty} \frac{t^{z-1}}{e^t} dt$$

este **absolut convergentă**. Folosind [integrarea prin părţi](#), se poate arăta că

$$\Gamma(z+1) = z \Gamma(z)$$

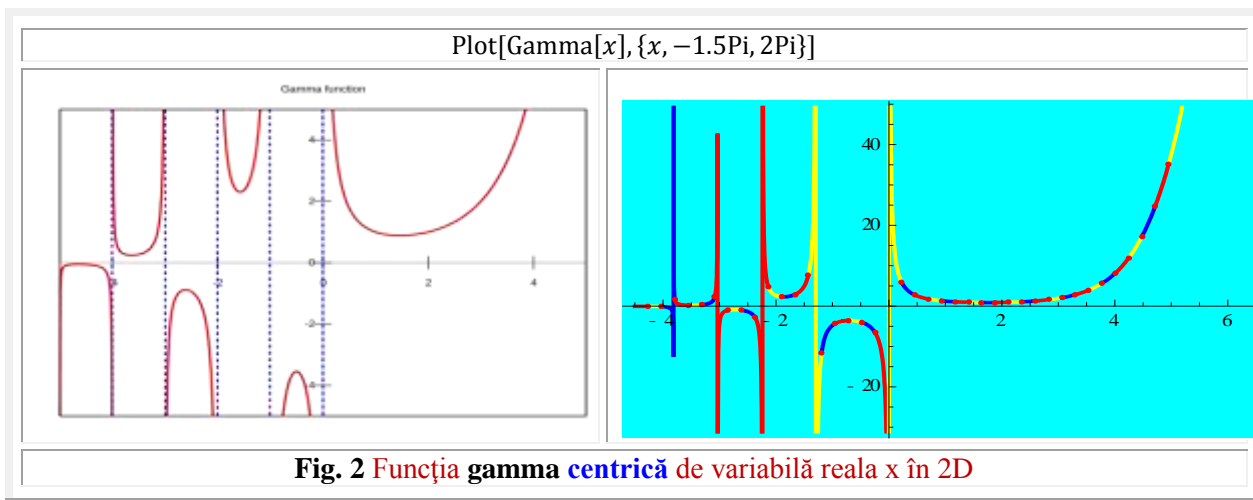
Această **ecuaţie funcţională** generalizează relaţia $n! = n \times (n-1)!$ a funcţiei factorial. Se poate evalua $\Gamma(1)$ analitic:

$$\Gamma(1) = \int_0^{\infty} e^{-t} dt = \lim_{k \rightarrow \infty} -e^{-t} \Big|_0^k = -0 - (-1) = 1$$

Combinând aceste două relaţii, rezultă că **funcţia factorial** este un caz particular al funcţiei **gamma centrică** :

$$\Gamma(n+1) = n \Gamma(n) = \dots = n! \Gamma(1) = n!$$

pentru orice [număr natural](#) n .



Din această definiţie rezultă imediat

$$(8') \quad \Gamma(z+1) = z \Gamma(z) \rightarrow \Gamma(z+1) = z!, \quad z \in \mathbb{N} \rightarrow \Gamma(1) = 1.$$

Încercând să calculeze aria unui sfert de cerc, aria dată de integrala (9), **Wallis** a obţinut o expresie pentru **numărul pi** prin intermediul funcţiei **gamma**

$$(10) \quad \frac{\pi}{4} = \int_0^1 \sqrt{1-z^2} dz = \frac{1}{2} \int_{-1}^1 \sqrt{(1-z)(1+z)} dz = \left[\Gamma\left(\frac{3}{2}\right) \right]^2$$

Pentru un număr complex z , cu partea reală pozitivă, funcția **gamma** se definește prin integrala

$$(11) \quad \Gamma(z) = \int_0^\infty t^{z-1} e^{-t} dt$$

Funcția **gamma centrică** este o componentă a mai multor distribuții de probabilitate, și deci are aplicații în domeniile [probabilităților](#), [statisticii](#) și [combinatoricii](#).

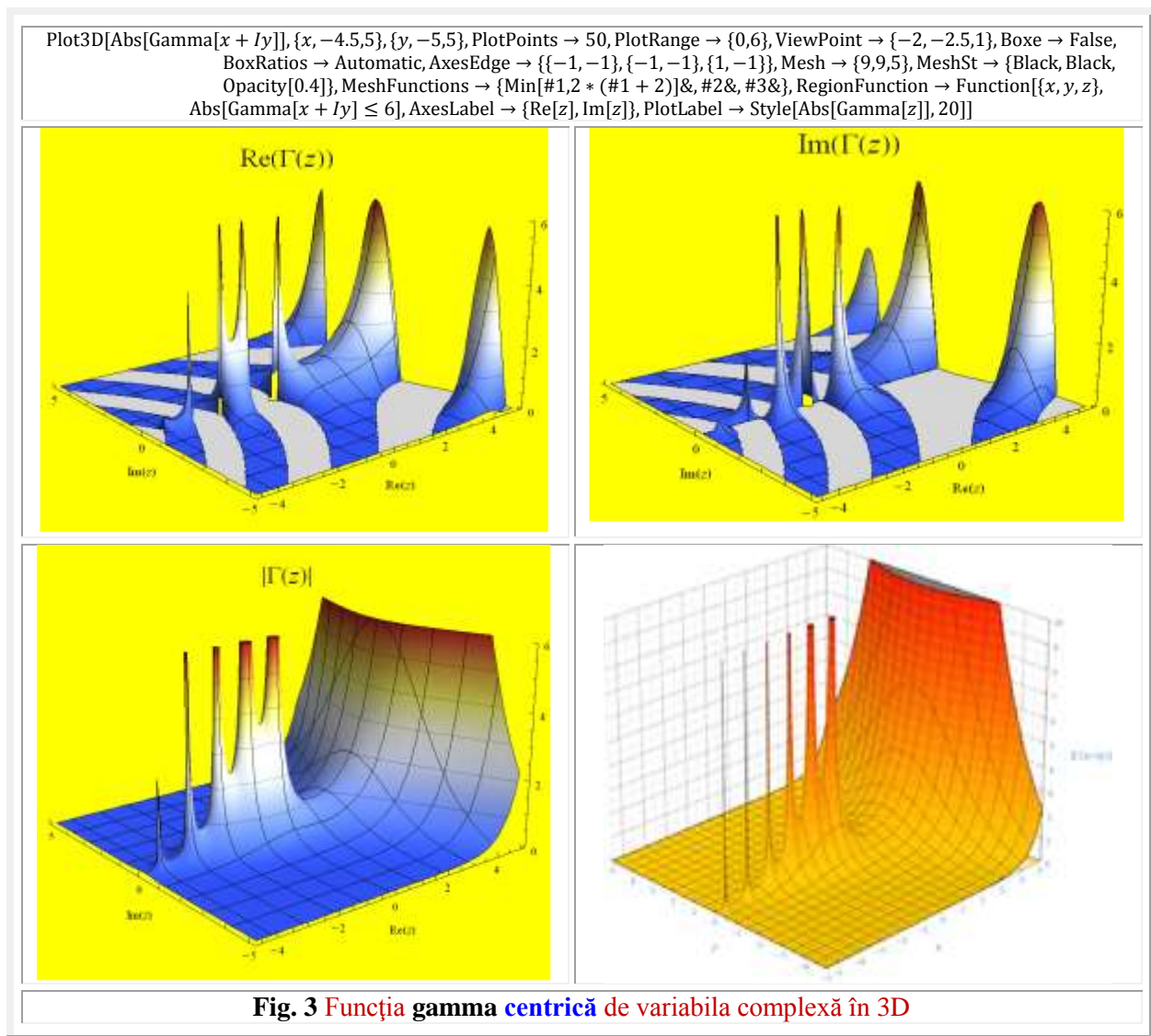
Dacă n este un număr întreg pozitiv, atunci

$$(12) \quad \Gamma(n) = (n-1) !$$

ceea ce arată legătura funcției **gamma** cu factorialul numerelor întregi pozitive.

În **figurile 2 și 3** sunt prezentate graficele funcțiilor **gamma centrice** de variabilă reală x și, respectiv, de variabilă complexă $z = x + i y$.

O mare parte din cele relatate anterior sunt luate de pe [Wikipedia](#), web site de pe care se pot obține informații și despre "[Supermatematica](#)".



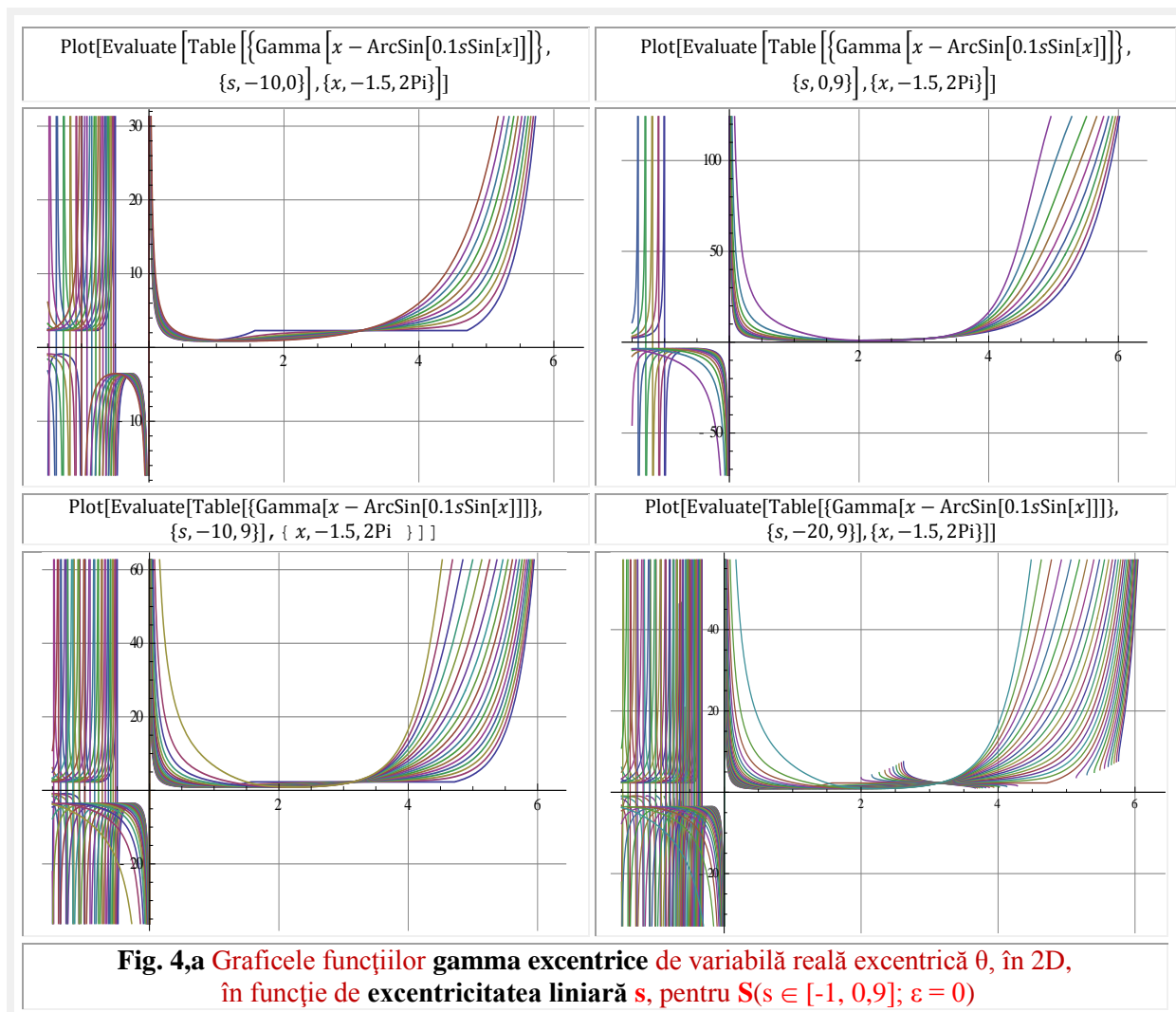
3. FUNCŢII GAMMA EXCENTRICE

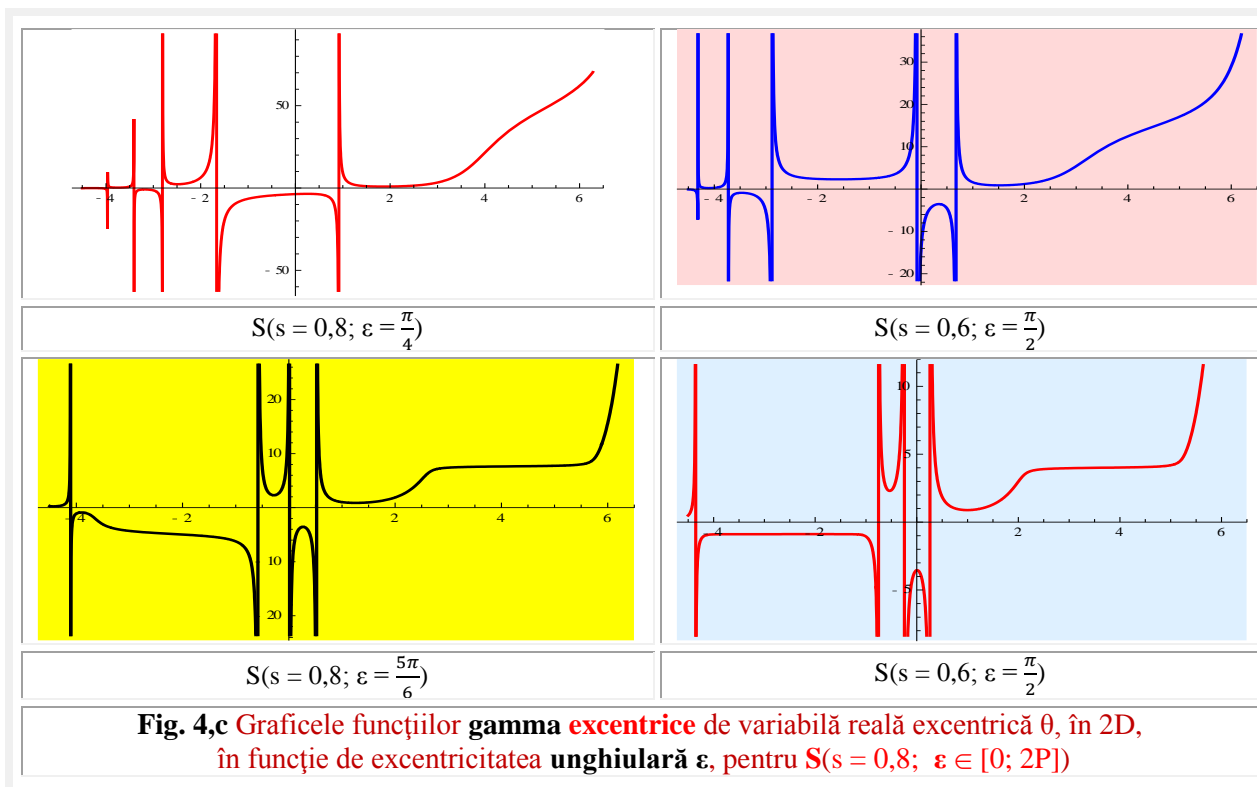
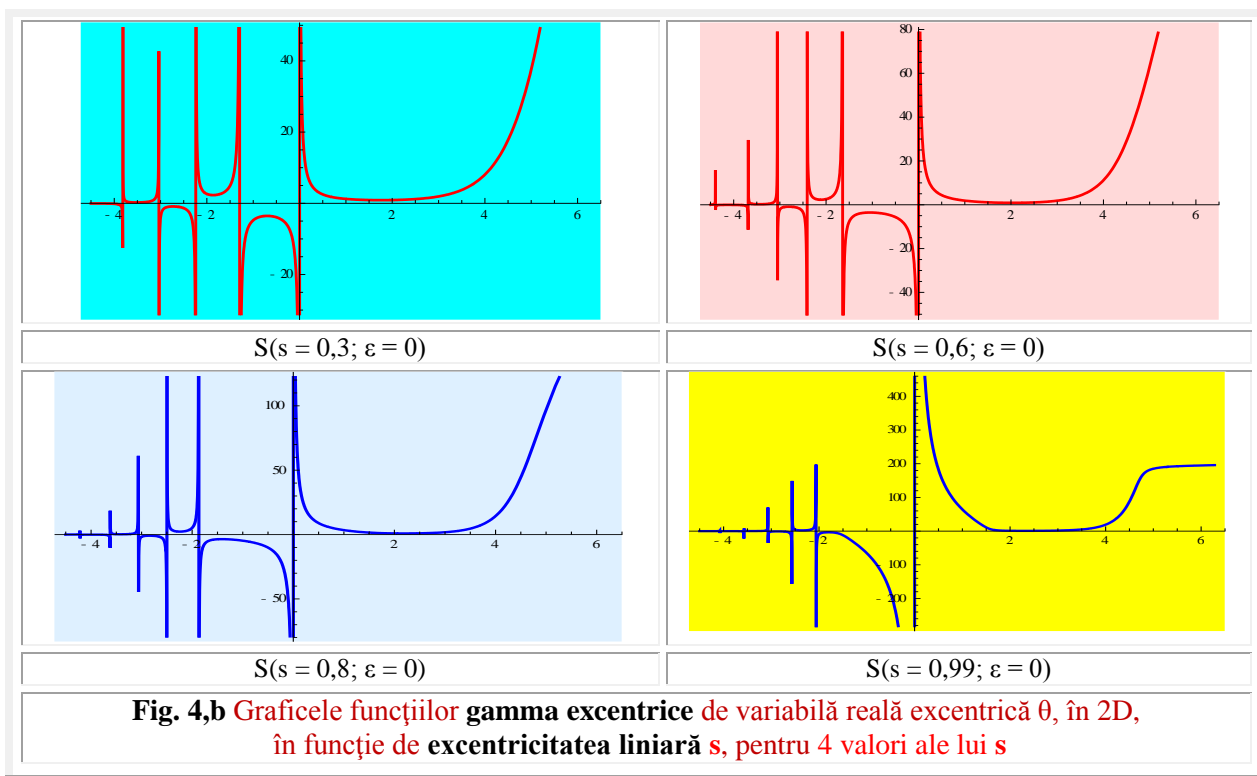
Trecerea din domeniul matematicii centrice (MC) în cel al matematicii excentrice (ME) se realizează, așa cum s-a mai afirmat, aidoma trecerii de la **matematica circulară centrică** la **matematica eliptică centrică**. Dacă funcțiile trigonometrice / circulare centrice cosx și sinus sinx trec în funcții eliptice corespondente **cn(u,k)** și **sn(u,k)** prin înlocuirea variabilei x cu funcția amplitudine centrică **am(k,u)** atunci

$$(13) \quad \begin{cases} cn(u, k) = \cos[am(u, k)] \\ sn(u, k) = \sin[am(u, k)] \end{cases}$$

Tot așa, trecerea din MC în ME, de la funcții **gamma centrice** la funcții **gamma excentrice** se face prin înlocuirea variabilelor x și, respectiv, $z = x + i.y$ cu funcția amplitudine excentrică **aex[θ, S(S, ε)]** pentru a obține funcții **gamma excentrice de variabilă excentrică θ** și respectiv cu funcția **Aex(α, S)** pentru a obține **funcții gamma excentrice de variabilă centrică α**.

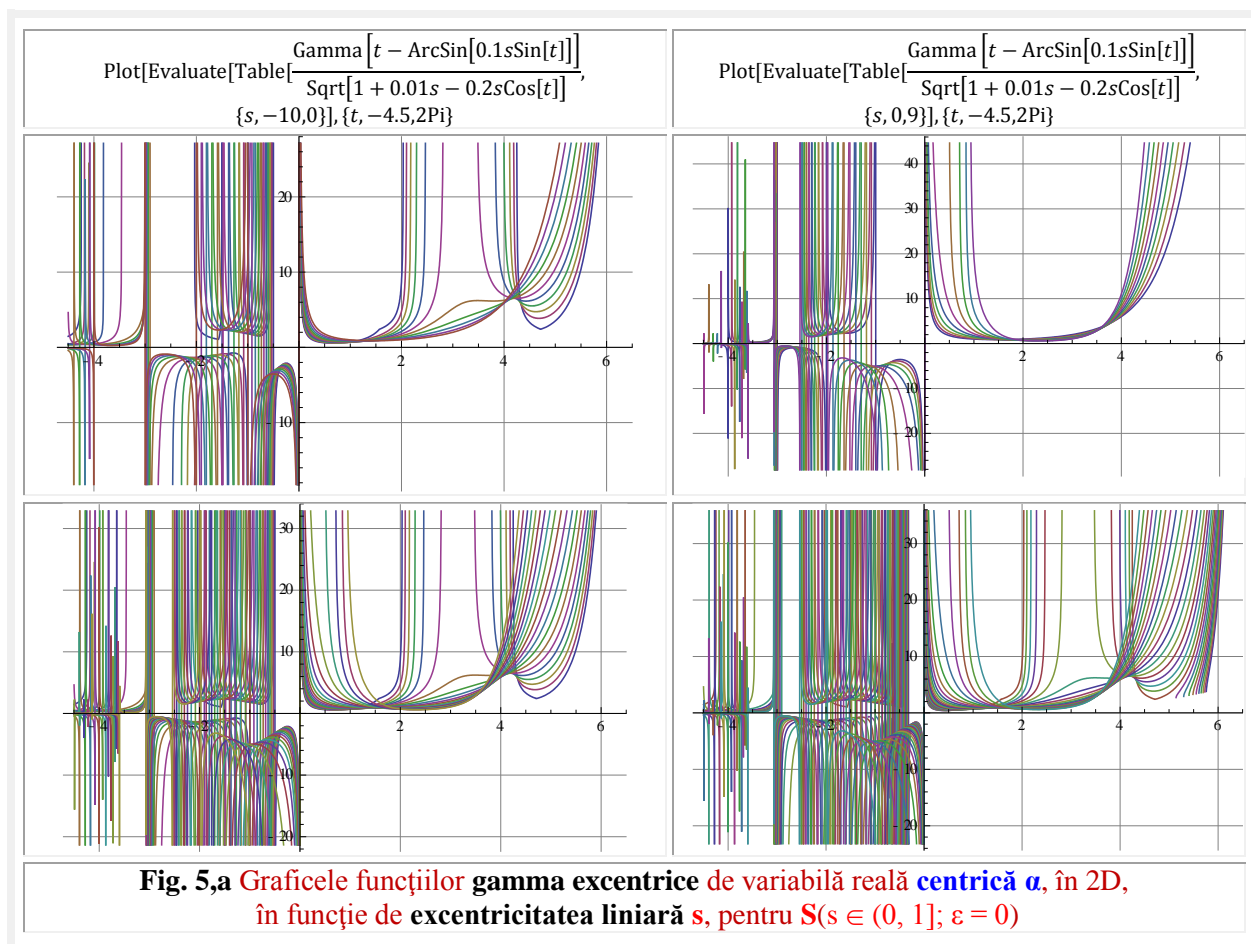
Reamintim că cele două tipuri de funcții amplitudine excentrică au ecuațiile date de relațiile (3).





Reuniunea celor două domenii matematice **centric (MC)** și **excentric (ME)** a oferit posibilitatea obținerii unui nou și deosebit de important domeniu matematic, cel al **super-matematicii (SM)**, adică $MC \cup ME = SM$.

În **figura 4,a** sunt prezentate graficele funcțiilor **gamma excentrice** de variabilă excentrică θ , în funcție de excentricitatea liniară numerică s , în domeniul $s \in [-1; 0,9]$ pentru excentricitatea unghiulară ε menținută la valoarea nulă, adică $\varepsilon = 0$. În **figura 4,b** s-au extras patru grafice din **figura 4,a** cu menținerea constantă a excentricității unghiulare ε . În **figura 4,c** s-a urmărit modificarea graficelor funcțiilor **gamma excentrice** prin varierea excentricității unghiulare ε la valorile $\varepsilon = \frac{\pi}{4}$ și $\varepsilon = \frac{\pi}{2}$ și $\frac{5\pi}{6}$.



În spațiul complex, funcțiile gamma de variabilă complexă se obțin prin înlocuirea variabilei complexe centrice $z = x + i y$ cu funcția de **variabilă excentrică θ**

$$(14) \quad z = aex(x(\theta), S_x) + i aex(y(\theta), S_y)$$

pentru funcțiile **gamma excentrice** de **variabilă complexă excentrică** și cu

$$(15) \quad Z = Aex(X(\alpha), S_x) + i Aex(Y(\alpha), S_y)$$

în cazul funcțiilor **gamma excentrice** de **variabilă complexă centrică α** .

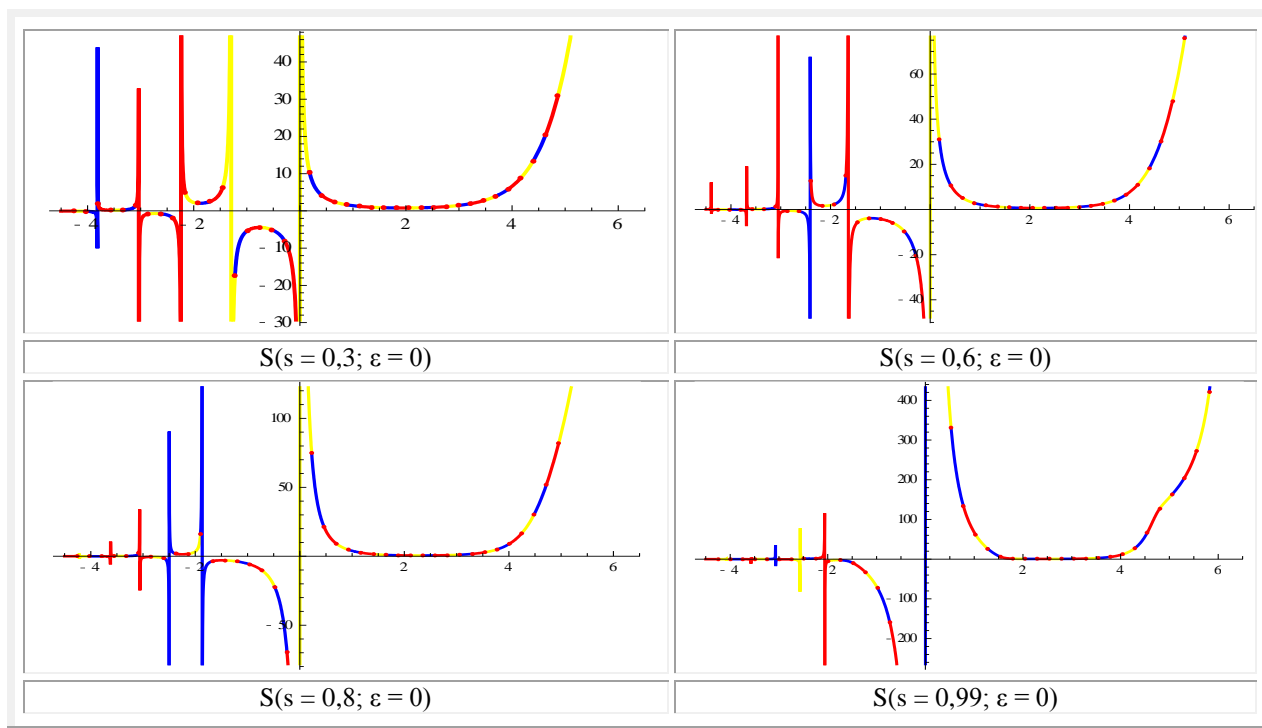


Fig. 5,b Graficele funcțiilor gamma excentrice de variabilă **reală centrică α** , în 2D, în funcție de excentricitatea liniară **s**, pentru $S(s \in (0, 1]; \varepsilon = 0)$

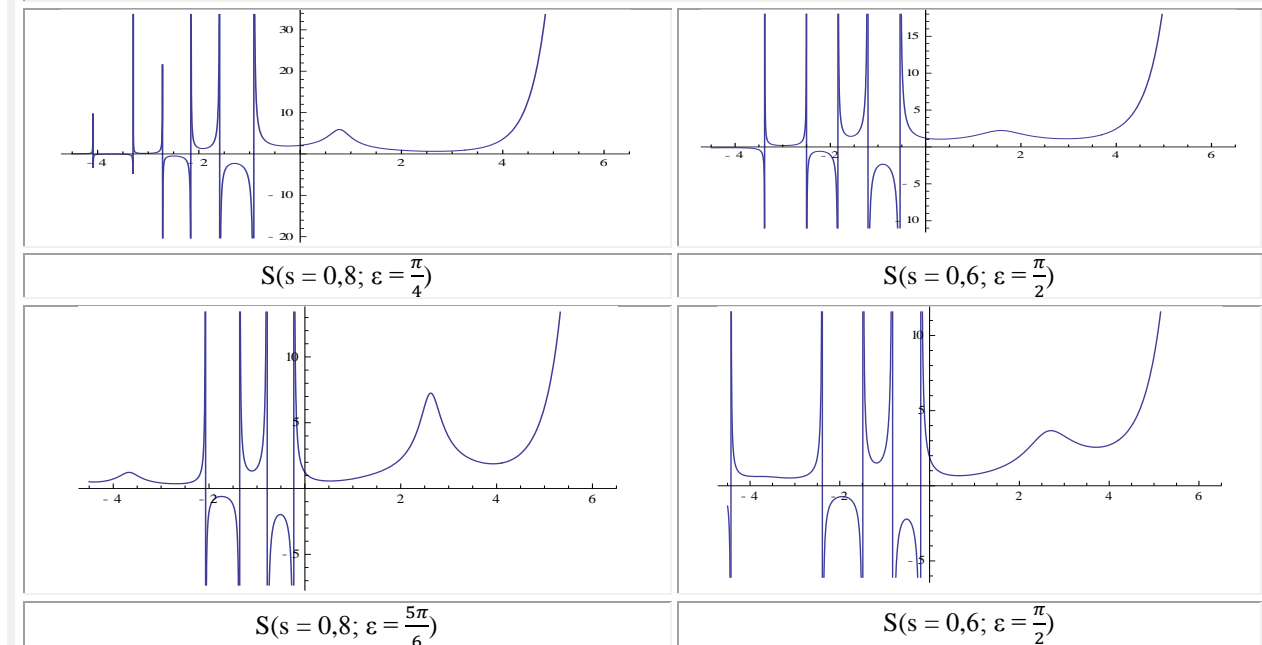
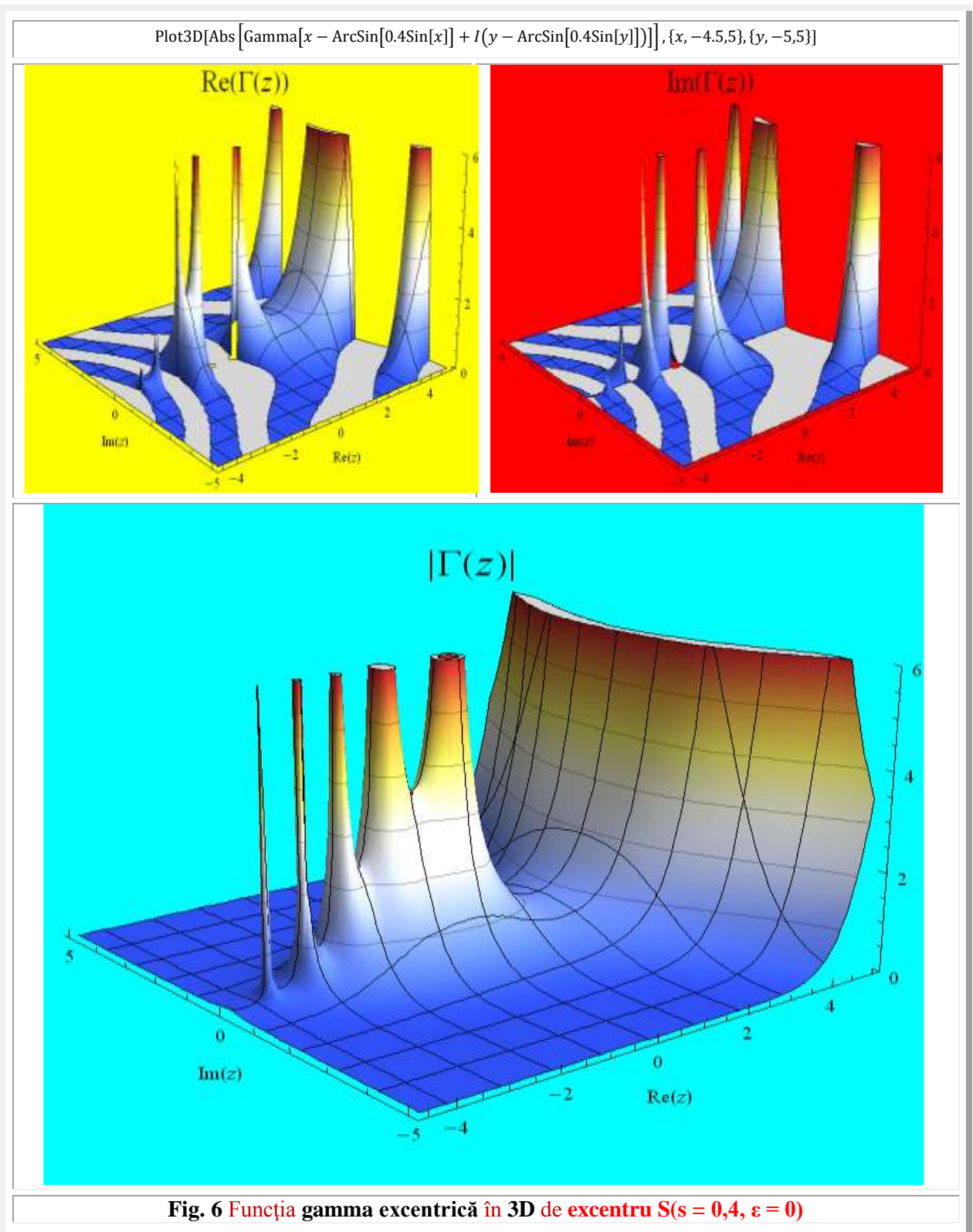
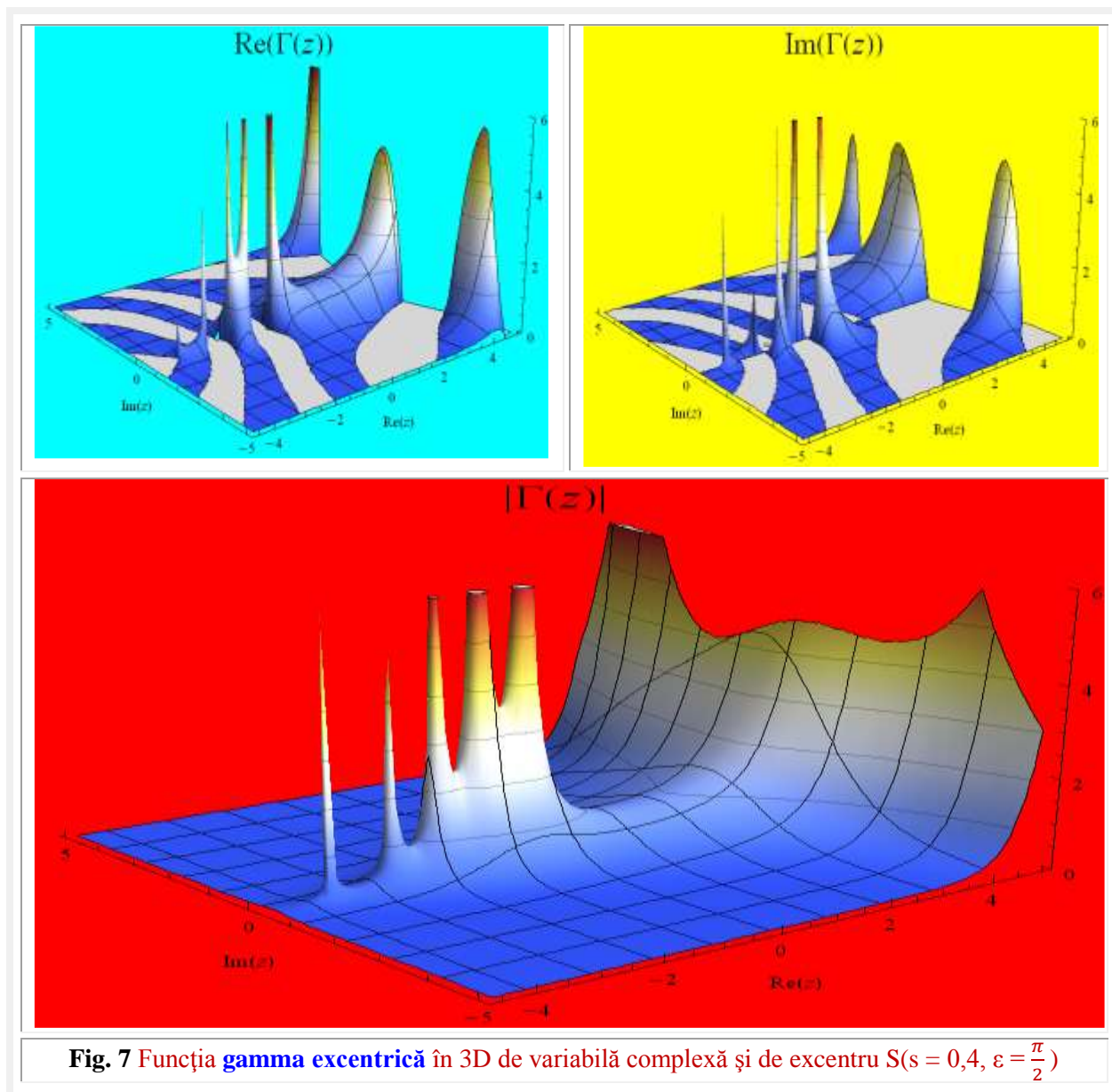


Fig. 5,c Graficele funcțiilor gamma excentrice de variabilă **reală centrică α** , în 2D, în funcție de excentricitatea unghiulară **ε** , pentru $S(s \in (0, 1]; \varepsilon = 0)$

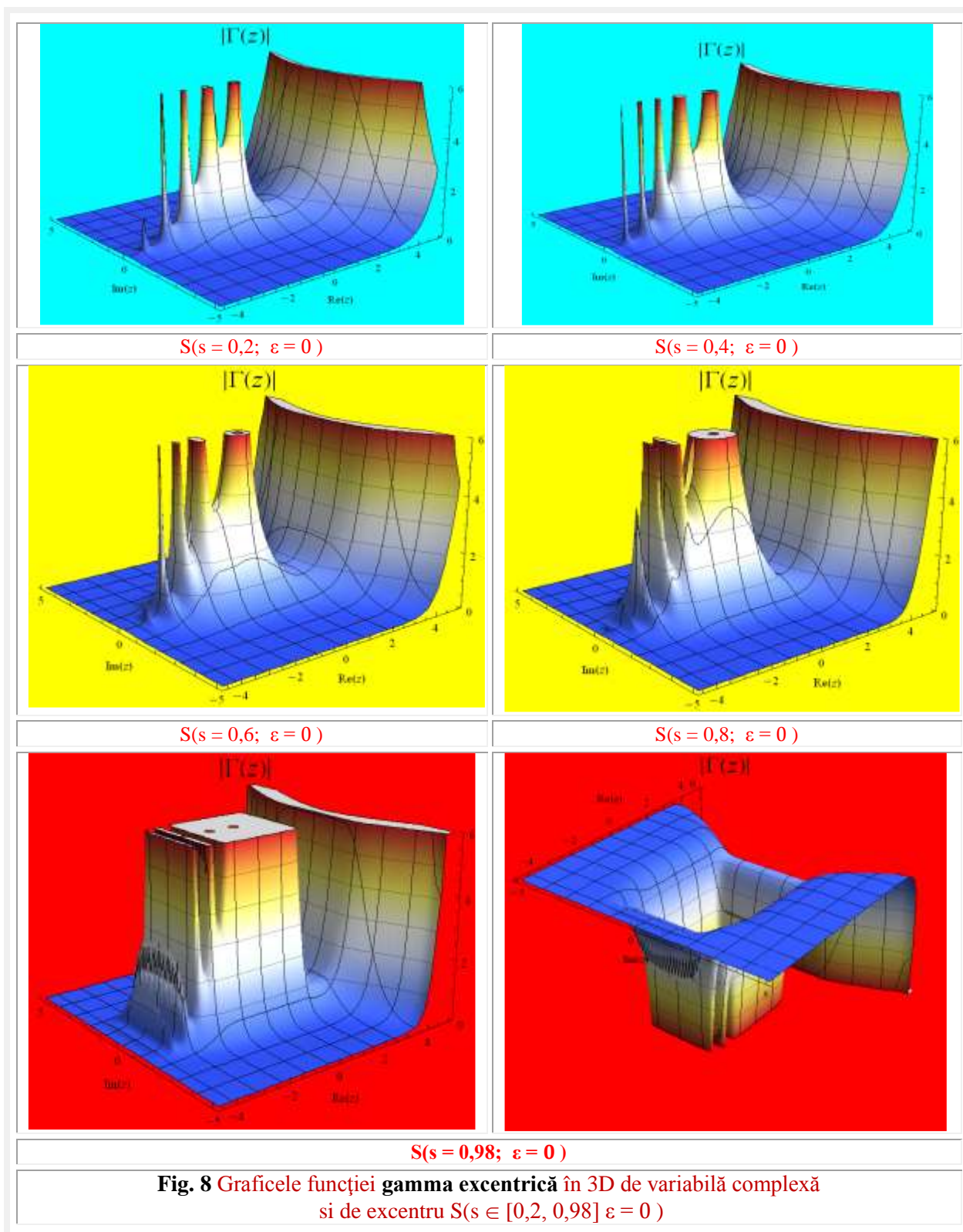


În **figurile 4** sunt prezentate funcțiile **gama excentrice de variabilă reală excentrică θ** , iar în **figurile 5** cele de **variabilă reală centrică α** .



Figurile 6 și **figurile 7** redau graficele în 3D ale funcțiilor **gama excentrice de variabilă complexă excentrică θ** , pentru un excentru $S(s = 0,4; \varepsilon = 0)$ și respectiv, pentru $S(s = 0,4; \varepsilon = \frac{\pi}{2})$. Sunt prezentate partea imaginară, partea reală, precum și valoarea absolută a funcțiilor.

În **figura 8** sunt prezentate **funcțiile gama excentrice** de variabile complexe excentrice pentru mai multe valori ale excentricității liniare numerice s și anume: $S(s \in [0,2, 0,98] \varepsilon = 0)$, numai pentru valoarea lor absolută $|\Gamma(\theta)_E| \equiv |\Gamma(z)|$.



4. BIBLIOGRAFIE

1	Şelariu Mircea	MIŞCAREA CIRCULARĂ EXCENTRICĂ	Com.VII Conf. Internat. de Ing. Manag. și Tehn. TEHNO'95., Timișoara, 1995 Vol.7: Mecatronica, Dispozitive și Rob. Ind., pag. 85...102
2	Şelariu Mircea	STUDIUL VIBRAȚIILOR LIBERE ALE UNUI SISTEM NELINIAR, CONSERVATIV CU AJUTORUL FUNCȚIILOR CIRCULARE EXCENTRICE $\text{cex}\theta$ ȘI $\text{sex}\theta$	Lucrarile Primei Conferințe Naționale de Vibrații în Construcția de Mașini, Timișoara 1978
3	Şelariu Mircea	FUNCȚIILE SUPERMATEMATICE cex ȘI sex - SOLUȚIILE UNOR SISTEME MECANICE NELINIARE	Com. a VII-a Conf. Naț. V.C.M., Timișoara, 1993, pag. 275...284.
4	Şelariu Mircea	FUNCȚII SUPERMATEMATICE EXCENTRICE DE VARIABILĂ CENTRICĂ CA SOLUȚII ALE UNOR SISTEME OSCILANTE NELINIARE	A VIII_a Conf. Internaț. de Ing. Manag. și Tehn. TEHNO'98, Timișoara, 1998, pag. 557..572
4	Şelariu Mircea	QUODRILOBIC VIBRATION SYSTEMS	The 11 –th International Conference on Vibration Engineering, Timișoara, Sept. 27-30, 2005 pag. 77 ... 82
6	Şelariu Mircea	TRANSFORMAREA RIGUROASĂ ÎN CERC A DIAGramei POLARE A COMPLIANȚEI	Bul. X Conf. VCM ,Bul Șt. și Tehn. al Univ. Poli. Timișoara, Seria Mec. Tom. 47 (61) mai 2002, Vol II pag. 247...260
7	Şelariu Mircea Eugen	SUPERMATEMATICA. FUNDAMENTE Ediția 1-a	Editura POLITEHNICA, Timișoara, 2007
8	Şelariu Mircea Eugen	SUPERMATEMATICA. FUNDAMENTE VOL I, Editia a 2-a	Editura POLITEHNICA, Timișoara, 2012
9	Şelariu Mircea Eugen	SUPERMATEMATICA. FUNDAMENTE VOL II, Editia a 2-a	Editura POLITEHNICA, Timișoara, 2012
10	Şelariu Mircea Eugen	MIŞCAREA CIRCULARĂ EXCENTRICĂ DE EXCENTRU PUNCT FIX	WWW.CARTIAZ.RO Pag. 5/din8
11	Şelariu Mircea Eugen	MIŞCAREA CIRCULARĂ EXCENTRICĂ DE EXCENTRU PUNCT MOBIL	WWW.CARTIAZ.RO Pag. 5/din 8
12	Şelariu Mircea Eugen	APROXIMAREA FUNCȚIILOR: UN SISTEM SUPERMATEMATIC CU BAZA CONTINUA DE APROXIMARE A FUNCȚIILOR	WWW.CARTIAZ.RO Pag. 1/din 8
13	Şelariu Mircea Eugen	FUNCȚII ÎN TREPTE SMARANDACHE	WWW.CARTIAZ.RO Pag. 2/din 8
14	Şelariu Mircea Eugen	SUPERMATEMATICA. VOL I și II, Ediția a 3-a	Ed. MatrixRom, Buc. 2015

Motto: "M-au urmărit multe gânduri profunde, dar numai în tinerețe am fost mai iute decât ele."

CAPITOLUL XXIX

FUNCȚII SUPERMATEMATICE BESSEL CENTRICE

1. INTRODUCERE

După <http://ro.wikipedia.org/wiki/Func> "Prin funcții Bessel se înțeleg soluțiile canonice $Z(z)$ ale ecuației diferențiale a lui Bessel (cu z real sau complex):

$$(1) \quad \frac{z^2 \cdot d^2 Z}{dz^2} + \frac{z \cdot dZ}{dz} + (z^2 - \alpha^2) Z = 0$$

pentru o valoare arbitrară α , reală sau complexă, numită **ordinul** funcției Bessel. Cele mai comune și mai importante cazuri fiind acelea în care α are o valoare **întregă** n .

De altfel, α și $-\alpha$ produc aceeași ecuație diferențială, convențional definindu-se funcții Bessel diferite pentru cele două ordine, dar, cel mai adesea, sunt alese ca funcții netede de α . De asemenea, funcțiile Bessel sunt cunoscute ca **funcții cilindrice** sau **cilindrice armonice** deoarece ele se regăsesc în soluția **ecuației Laplace** în **coordonate cilindrice**.

Ele au fost definite prima dată de **Daniel Bernoulli** și generalizate de **Friderich Bessel**, de unde și denumirea lor. Prin aplicarea metodei separării variabilelor, pentru soluționarea **ecuației Laplace** și a **ecuației Helmholtz**, în **coordonate cilindrice** sau **coordonate sferice**, se obține ecuația lui Bessel, din care se obțin funcțiile Bessel.

Rezolvând ecuația în sistemul de **coordonate cilindrice**, se obțin **funcții Bessel de ordin întreg** ($\alpha = n$); rezolvând ecuația în sistemul de **coordonate sferice**, se obțin **funcții Bessel de ordin fracționar** ($\alpha = n + 1/2$).

Importanța funcțiilor Bessel rezultă din faptul că soluționează multe probleme de potențial static și de propagare a undelor, de exemplu:

- **unde electromagnetice** în ghiduri de undă cilindrice,
- **transferul de căldură** în obiecte cilindrice,
- modurile de vibrații ale unei membrane circulare subțiri,
- probleme de difuzie,
- soluția **ecuației Schrödinger** radială pentru o particulă liberă, în coordonate sferice,
- soluționarea unor probleme de **divergentă aeroelastică** și **flutter** în **Aeroelasticitate**,
- semnale de proces în electronică precum **sinteza FM** sau **filtre Bessel**.

Deoarece ecuația lui Bessel este o **ecuație diferențială ordinară**, de ordinul doi, aceasta va avea două soluții liniar independente, iar datorită diverselor formulări ale funcției Bessel, în serie sau integrală, se alege forma cea mai convenabilă pentru problema care se soluționează."

În lucrarea **Mircea Eugen Șelariu "FUNCȚIILE $\text{cex}\theta$ ȘI $\text{sex}\theta$ CA SOLUȚII ALE UNOR ECUAȚII DIFERENȚIALE LINIARE DE ORDINUL DOI CU COEFICIENȚI VARIABILI"** Cap 11 din [12] și [13] soluțiile sunt ale următoarei ecuații diferențiale

$$\ddot{z}_{1,2} - \frac{\epsilon_{1,2}}{\omega_{1,2}} \dot{z}_{1,2} + \omega_{1,2}^2 z_{1,2} = 0$$

(2)

care poate fi scrisă și sub o formă asemănătoare ecuației (1), dar având cu totul alte semnificații

$$(2') \quad \frac{\omega \cdot d^2 Z}{dt^2} - \frac{\varepsilon \cdot dZ}{dt} + \omega Z = 0 \quad \text{sau} \quad \dot{\theta} \cdot \ddot{Z} - \ddot{\theta} \cdot \dot{Z} + \dot{\theta} \cdot Z = 0$$

în care: $Z_{1,2} = C_1 \text{cex}_{1,2}\theta + C_2 \text{sex}_{1,2}\theta$; $\omega_{1,2} = A \Omega \text{dex}_{1,2}\theta$; $\varepsilon_{1,2} = \frac{d\omega_{1,2}}{dt}$; $\text{cex}_{1,2}\theta$ și $\text{sex}_{1,2}\theta$ fiind cele două determinări (principală 1 și secundară 2) ale **funcțiile supermatematice circulare excentrice (FSM-CE)**, de variabilă **excentrică θ** , **cosinus (cex)** și **sinus (sex) excentrice**, iar $\omega_{1,2}$ și $\varepsilon_{1,2}$ sunt exprimabile prin **FSM-CE derivată excentrică $\text{dex}_{1,2}\theta$** , care reprezintă viteza unghiulară variabilă $\omega_{1,2}$ pe cercul unitate ($R = 1$), cu $\theta = \Omega \cdot t$, când un punct se rotește pe cerc cu viteza unghiulară constantă $\Omega = 1$, față de un punct excentric $S(s, \varepsilon)$ din planul cercului unitate – denumit **excentru** – și, respectiv, derivata acesteia ca funcție de **timpul t** , deci accelerația unghiulară variabilă pe cercul unitate.

Și alte **funcții supermatematice (FSM)** precum cele **circulare elevate (FSM-CEL)**, ca și **FSM circulare exotice** sunt soluții ale unor sisteme de **caracteristici elastice statice neliniare (CES -NL)**.

Prin apariția **funcțiilor supermatematice Bessel excentrice (FSM-CE)**, **Bessel elevate (FSM-BEL)**, ca și a celor **Bessel exotice (FSM-BEx)**, funcțiile **Bessel ordinare** suntem nevoiți să le denumim și “**centrice**” (**FBC**), justificând, astfel, denumirile în cele ce urmează.

2.1 FUNCȚII Bessel CENTRICE (FBC) DE SPEȚA I-a : $J_\alpha(z)$

Funcțiile Bessel centrice de speța I-a, notate $J_\alpha(z)$, sunt soluții ale ecuației diferențiale a lui **Bessel**, care au valoare finită în origine $z = 0$ pentru valori α întregi nenegative și valoare infinită în origine pentru valori α negative diferite de întregi.

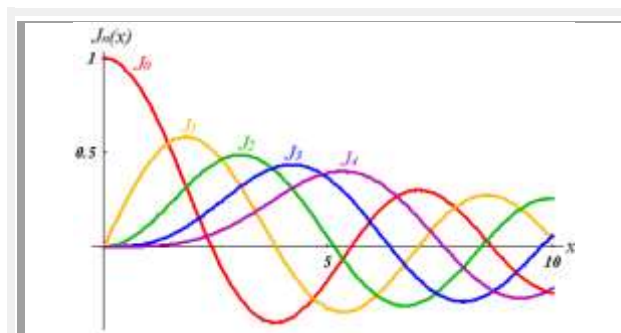


Fig.1,a Graficele funcțiilor Bessel de speța I-a, $J_\alpha(z)$ și ordin întreg $\alpha = 0, 1, 2, 3$ și 4

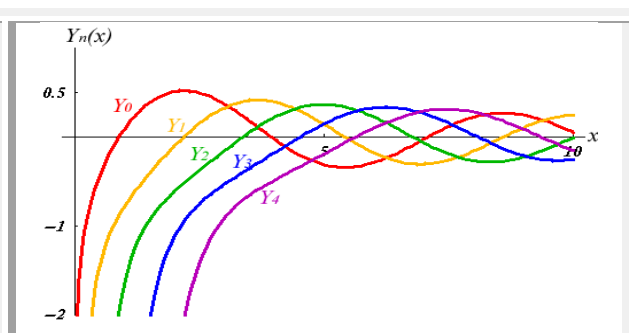


Fig.2,a Graficele funcțiilor Bessel de speța II-a, $Y_\alpha(z)$ și ordin întreg $\alpha = 0, 1, 2, 3$ și 4

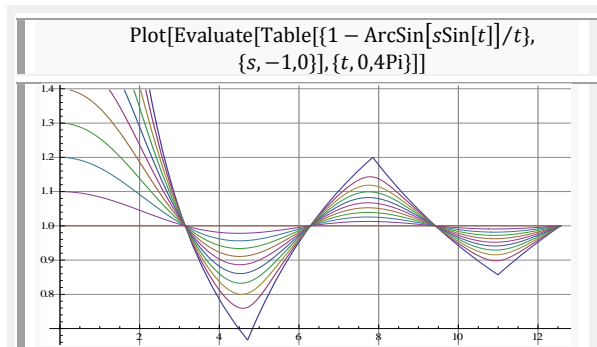


Fig. 3,a FSM-CE $\frac{aex\theta}{\theta} = uex\theta$, de $s \in [-1,0]$

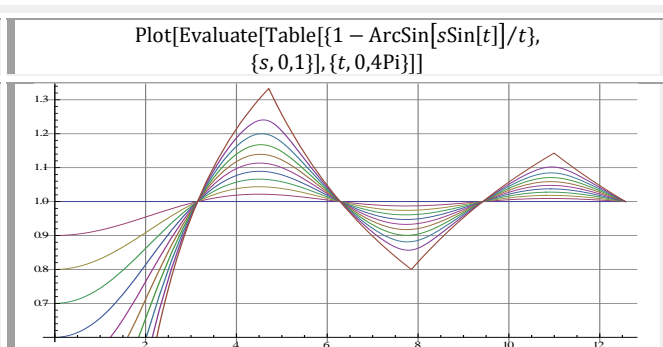
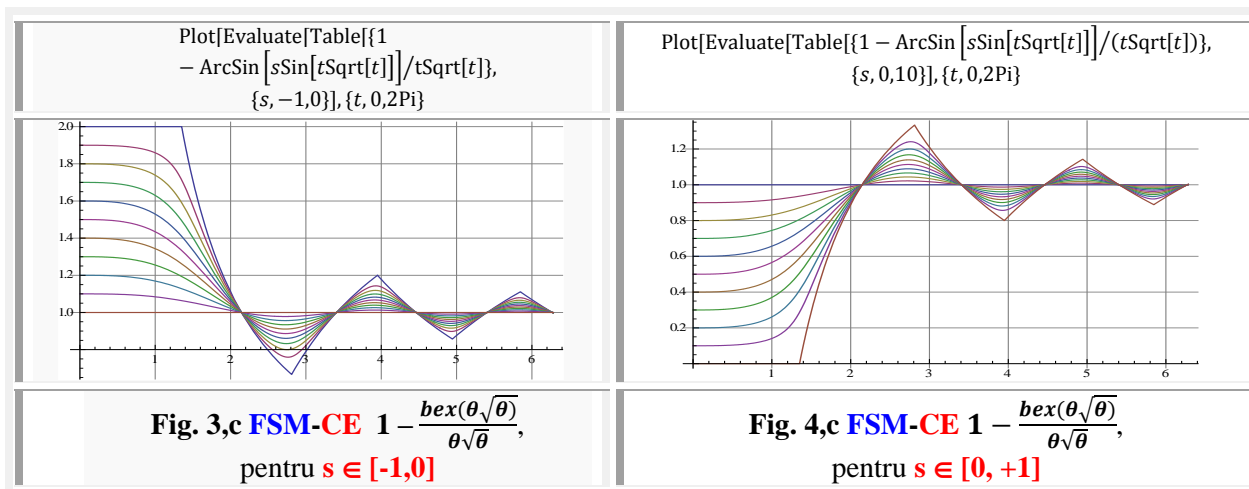
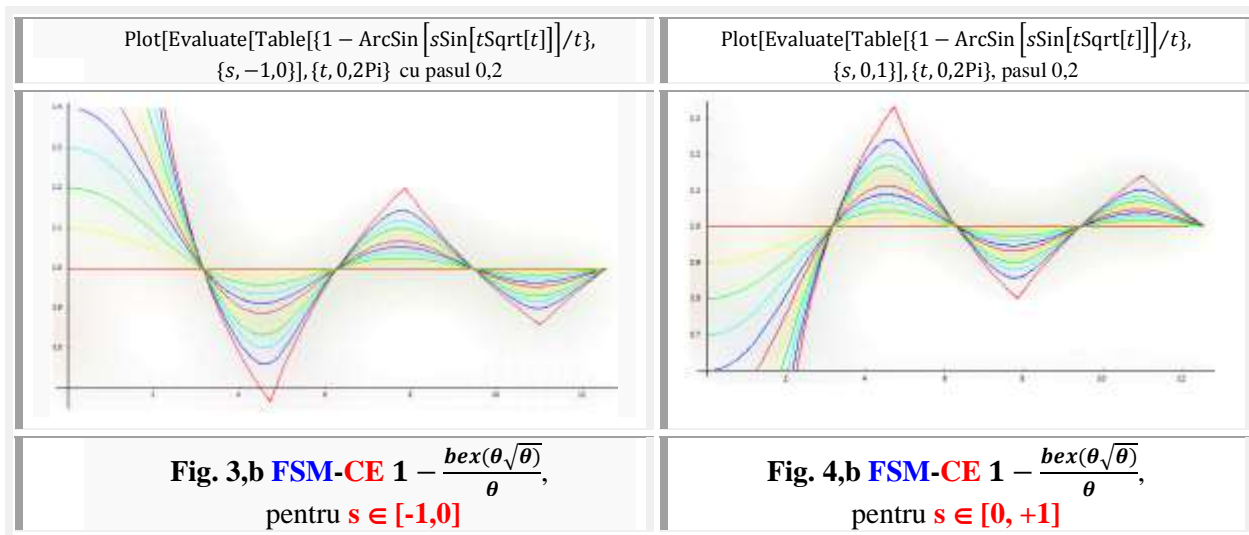


Fig. 4,a FSM-CE $\frac{aex\theta}{\theta} = uex\theta$, de $s \in [0,+1]$



Funcția **Bessel** de speța I-a este definită de următoarea [serie Taylor](#) în jurul originii $z = 0$:

$$(3) \quad J_{\alpha}(z) = \sum_{m=0}^{\infty} \frac{(-1)^m}{m! \Gamma(m+\alpha+1)} \left(\frac{z}{2}\right)^{2m+\alpha}$$

în care $\Gamma(z)$ este [funcția Gamma](#) a lui [Euler](#), care reprezintă generalizarea funcției [factorial](#) pentru valori z diferite de întregi.

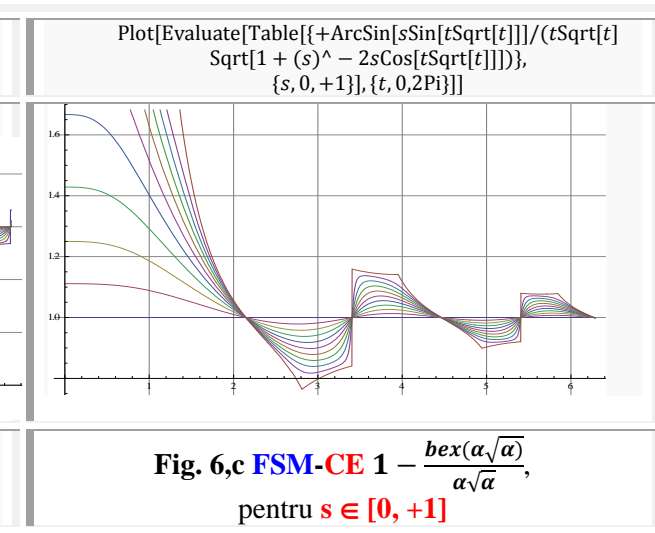
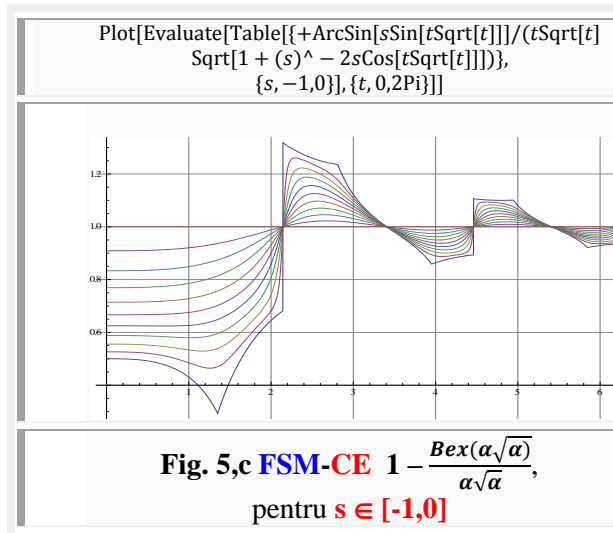
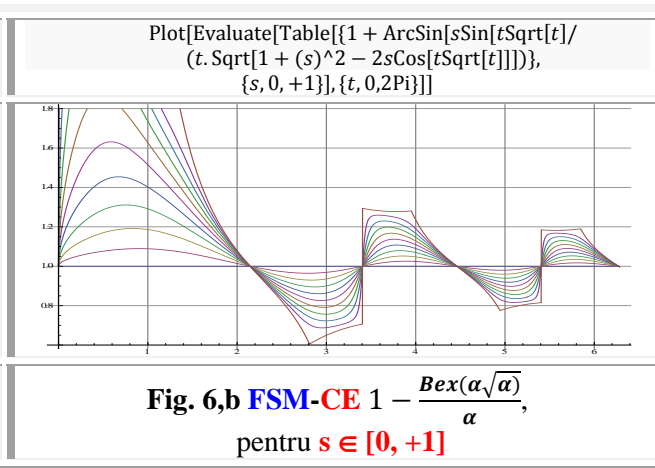
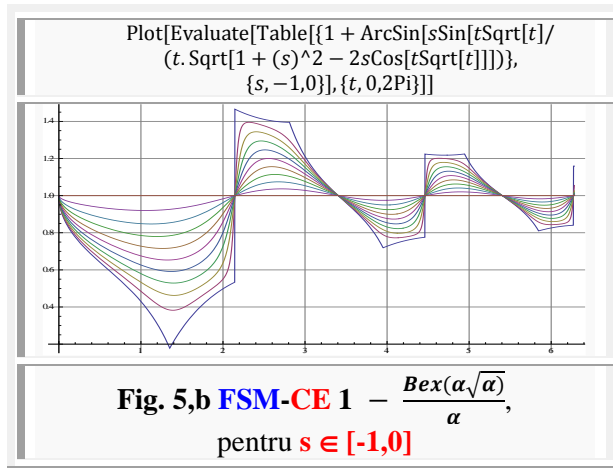
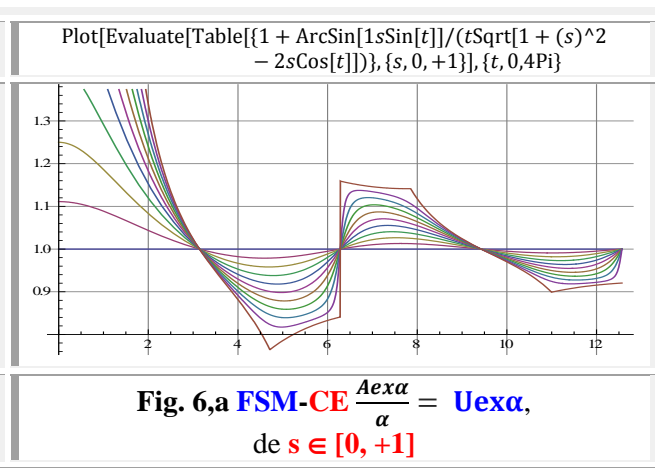
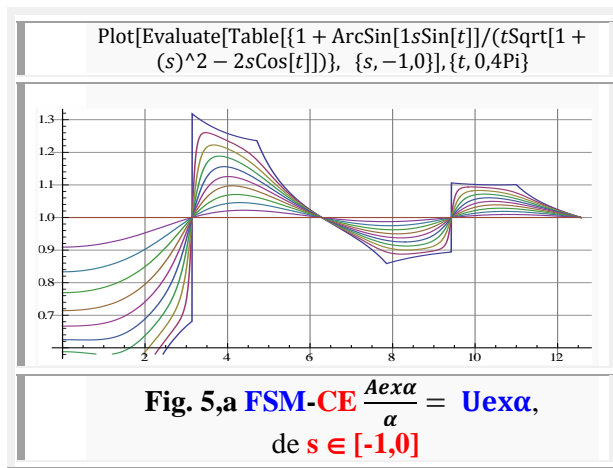
Graficul funcției **Bessel** (**Fig.1,a** și **Fig.2,a**) oscilează precum cel al funcției sinus sau cosinus, diferența fiind aceea că funcția **Bessel** descrește proporțional cu $\frac{1}{\sqrt{z}}$ spre infinit, precum și faptul că rădăcinile nu sunt în general periodice, cu excepția celor [asimptotice](#) pentru valori mari ale lui z .

Funcții asemănătoare, dar strict periodice, de perioadă 2π , sunt **funcțiile supermatematice circulare excentrice (FSM-CE)** amplitudine excentrică $aex\theta$ raportate la variabila lor excentrică θ , notate cu $uex\theta$, cu graficele prezentate în **figurile 3,a și 4,a**, de ecuații

$$(4) \quad F[\theta, S(s,\varepsilon)] = \frac{aex\theta}{\theta} = \frac{\theta - \arcsin[s \cdot \sin(\theta - \varepsilon)]}{\theta} = 1 - \frac{\arcsin[s \cdot \sin(\theta - \varepsilon)]}{\theta} = 1 - \frac{bex\theta}{\theta} = uex\theta$$

sau de variabilă centrică $Aex\alpha$, raportate la variabila lor centrică α , notate cu $Uex\alpha$, cu graficele prezentate în **figurile 5,a și 6,a**, de ecuații

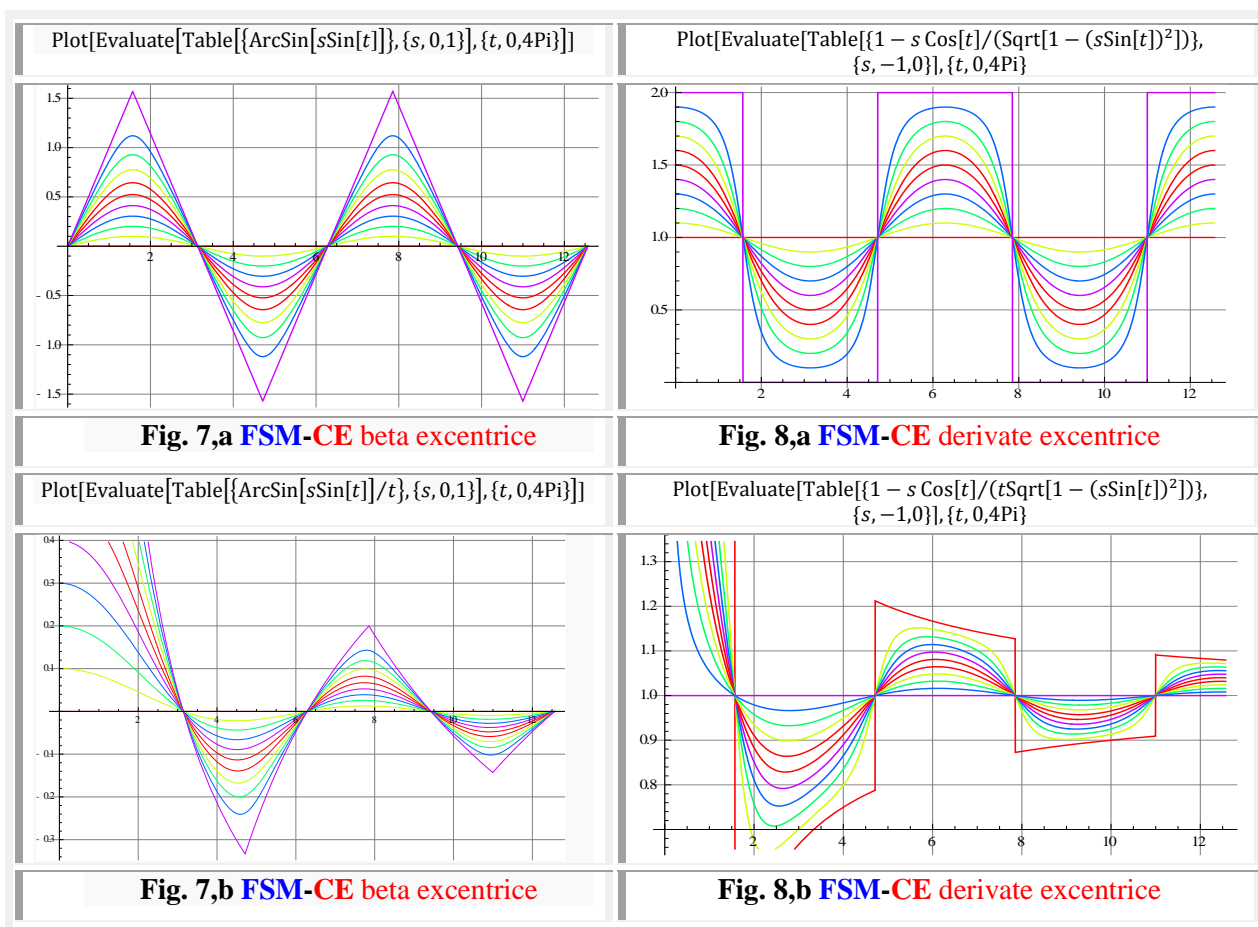
$$(5) \quad F[\alpha, S(s, \varepsilon)] = \frac{Aex\alpha}{\alpha} = \frac{\alpha + \arcsin[s \cdot \sin(\alpha - \varepsilon)]}{\alpha \sqrt{1 + s^2 - 2s \cos(\alpha - \varepsilon)}} = 1 + \frac{\arcsin[s \cdot \sin(\alpha - \varepsilon)]}{\alpha \cdot Rex\alpha} = 1 + \frac{Bex\alpha}{\alpha} = Uex\alpha$$



Dacă, în ecuațiile (4) și (5), variabilele θ și α se înmulțesc cu $\sqrt{\theta}$ și, respectiv, cu $\sqrt{\alpha}$, numai cele din **funcțiile supermatematice circulare excentrice (FSM-CE) beta excentrice $bex\theta$ și $Bex\alpha$** , se obțin funcții de perioadă variabilă, așa cum se prezintă graficele din **figura 3,b și 4,b** și, respectiv, **figura 5,b și 6,b**.

Dacă, aceste înlocuiri se fac în funcțiile **$bex\theta$ și $Bex\alpha$** cât și în împărțitor, din ecuațiile (4) și (5), atunci se obțin funcțiile de perioadă variabilă, prezentate în **figurile 3,c și 4,c** și, respectiv, **5c și 6,c**.

S-au prezentat aceste **FSM-CE** denumite **“funcții unitate excentrică (FUE)”**, deoarece conțin cifra **1** și sunt notate cu **$uex\theta$** și, respectiv, **$Uexo$** în eventualitatea că cineva, cândva, va avea nevoie de ele. Dacă de acestea nu, atunci, cu siguranță, de cele prezentate în **figura 7,a și 8,a** care sunt **FSM-CE beta excentrică $bex\theta$ și derivata excentrică $dex\theta$** , de variabile excentrice θ , vor avea nevoie de ele la reprezentarea vibrațiilor libere neamortizate și amortizate de caracteristică elastică statică (CES) liniară și / sau neliniară (**Fig. 7,b și Fig.8,b**).



Pentru $s = 1$, funcția **$bex\theta$** exprimă, în cel mai simplu mod, o funcție **triunghiulară** (**Fig. 7,a**), iar funcția **$dex\theta$** o funcție **dreptunghiulară** (**Fig. 8,a**).

Pentru alte valori ale excentricității numerice s , se pot obține funcții care să exprime vibrații libere amortizate, de **caracteristică elastică statică (CES)** liniară sau neliniară (**Fig.7,b și Fig. 8,b**), **semnale de bază**, deosebit de importante în mecanică cât și în electrotehnică, ele putând fi reproduse și fizic, așa cum rezultă în continuare.

Spicium din <http://www.scritub.com/tehnica-mecanica/SEMNALE-ELECTRICE93336.php> :

„În general, un generator de funcții este un aparat ce poate să furnizeze cel puțin trei forme de undă de bază: **sinusoidală**, **dreptunghiulară** și **triunghiulară**.

Plecând de la aceste funcții de bază, generatoarele mai perfecționate sunt capabile să furnizeze și alte funcții (semnale): **rampe liniare**, **rampe în trepte**, **trapez**, **semnale dreptunghiulare** cu factor de umplere variabil sau chiar și semnale de zgomot (Fig. 9,a).”

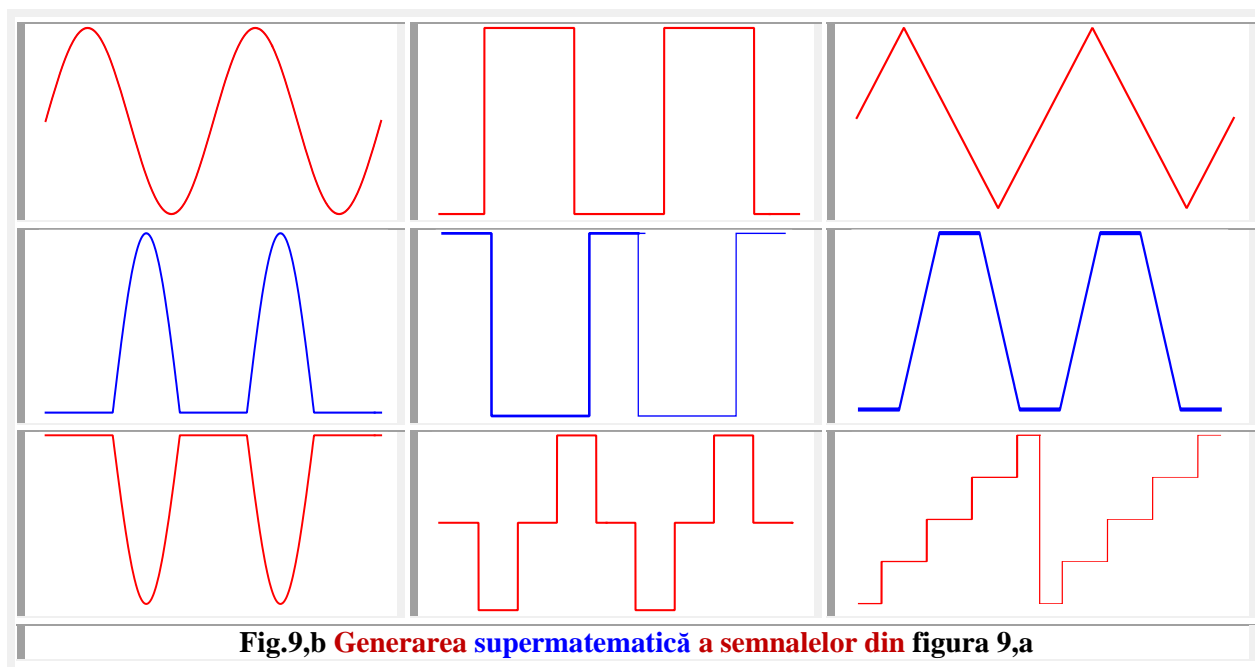
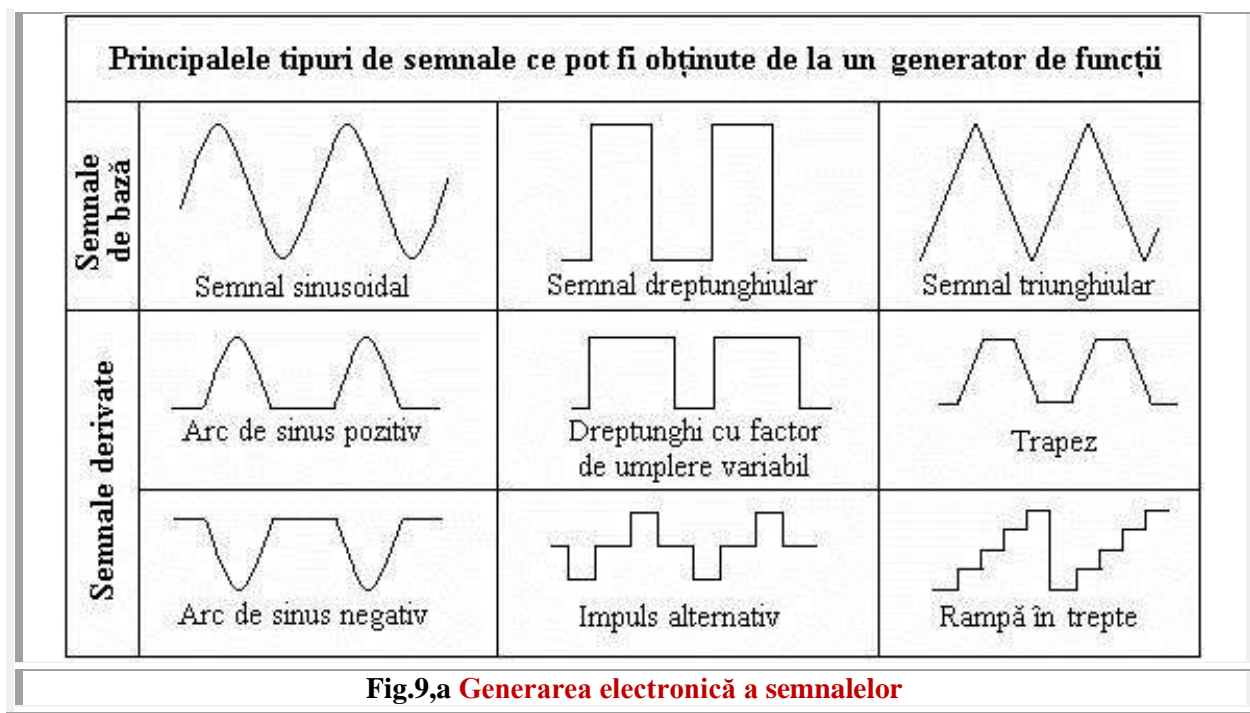
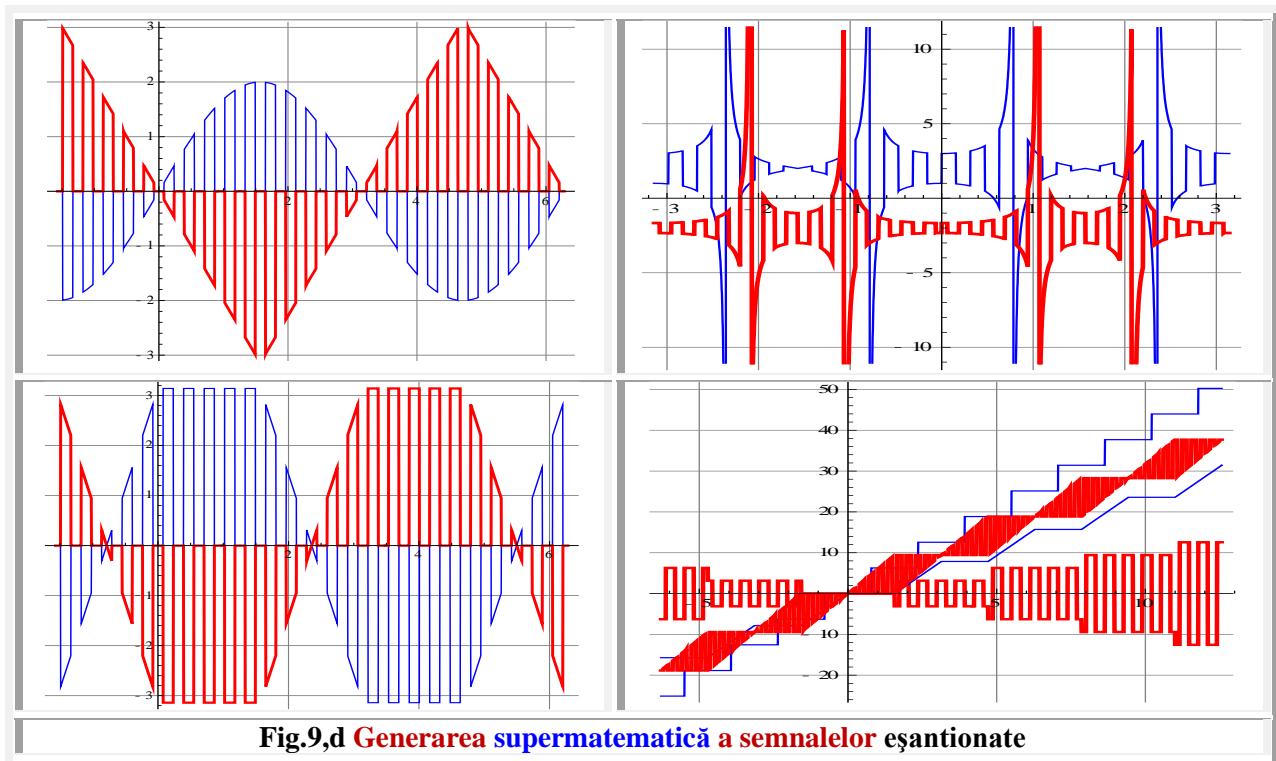
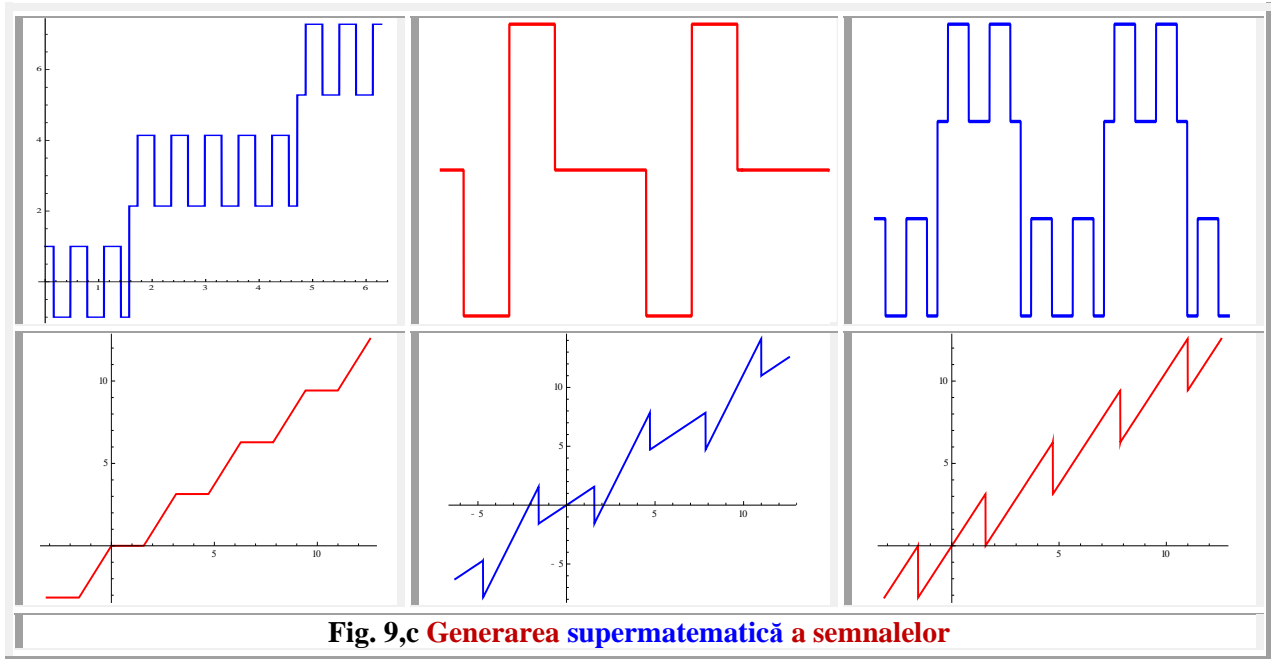


Figura 9,b demonstrează, dacă mai era necesar, că **FSM-CE** pot, cel mai bine și mai simplu, să genereze diverse semnale utile, precum cele generate electronic, din figura 9,a și cu mult mai multe și mult mai complexe, precum cele prezentate în figura 9,c.



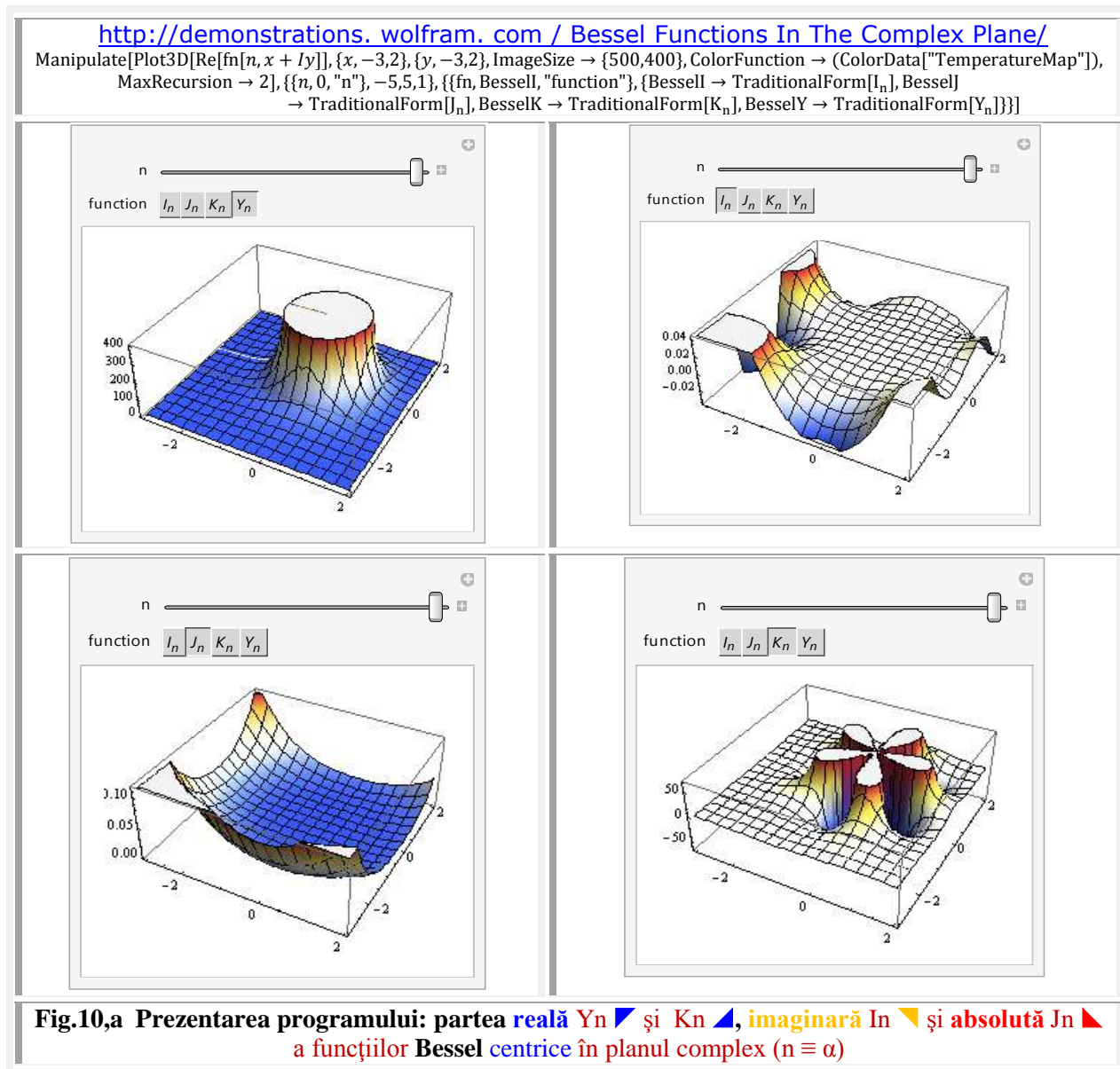
În **figura 9,d** se prezintă modul de eșantionare, sau procesarea de semnal, a semnalelor **sinusoidale**, **dreptunghiulare**, **triunghiulare** ș.a. prin utilizarea **FSM-CE dex(10.0)** de excentricitate numerică **s = 1**.

Graficele **funcțiilor Bessel** de prima speță și de ordin întreg $\alpha = 0, 1, 2, 3$ și 4 sunt prezentate în **figura 1**.

Pentru valori α diferite de întregi, funcțiile $J_\alpha(z)$ și $J_{-\alpha}(z)$ sunt linear independente, reprezentând cele două soluții ale ecuației diferențiale. Pe de altă parte, pentru α de ordin întreg, este valabilă următoarea relație (de notat că **funcția Gamma** devine infinită pentru argumente întregi negativi):

$$(6) \quad J_{-n}(z) = (-1)^n J_n(z)$$

acest lucru arătând că cele două soluții nu sunt linear independente. În acest caz, a doua soluție linear independentă este dată de **funcția Bessel de speța a II-a**.



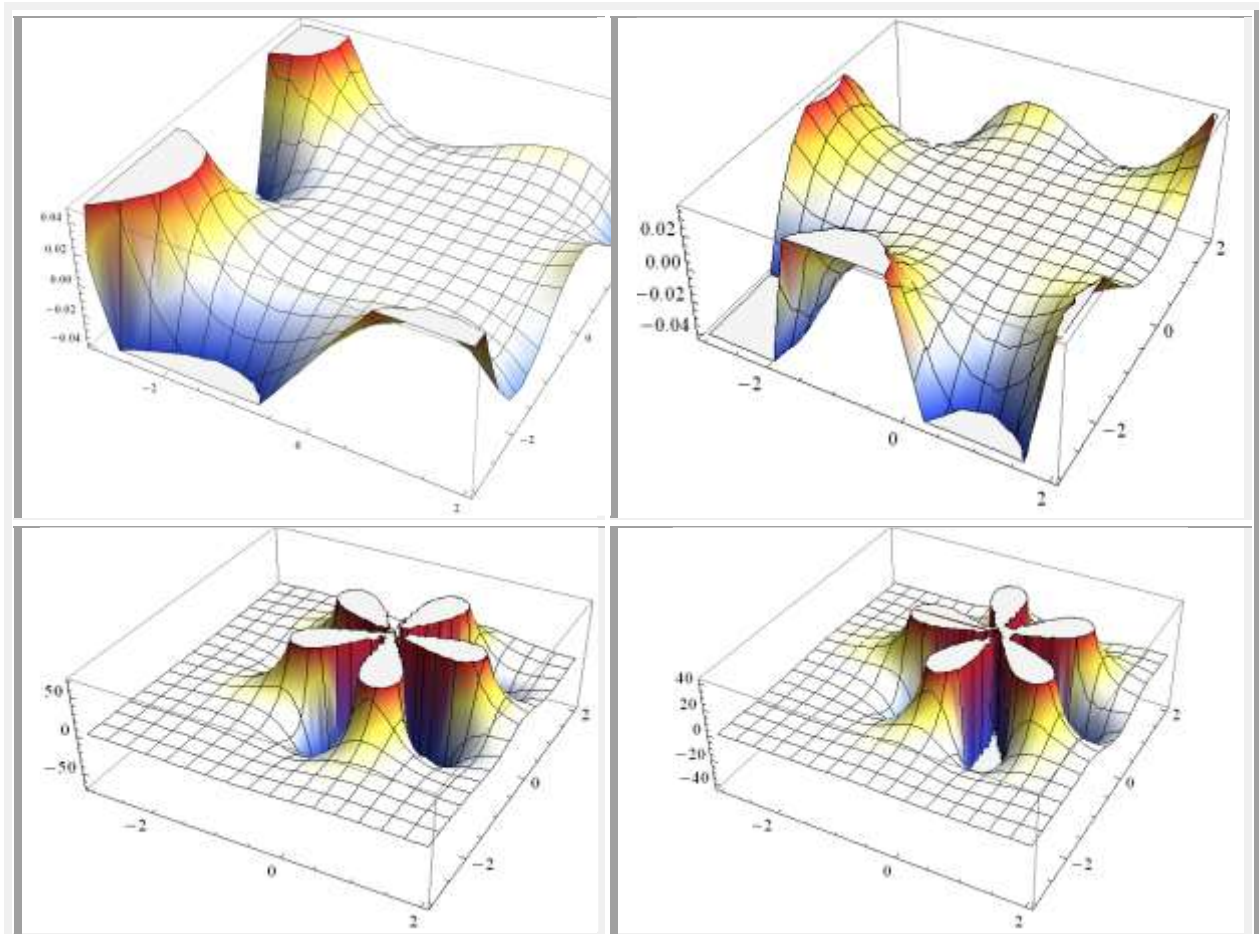
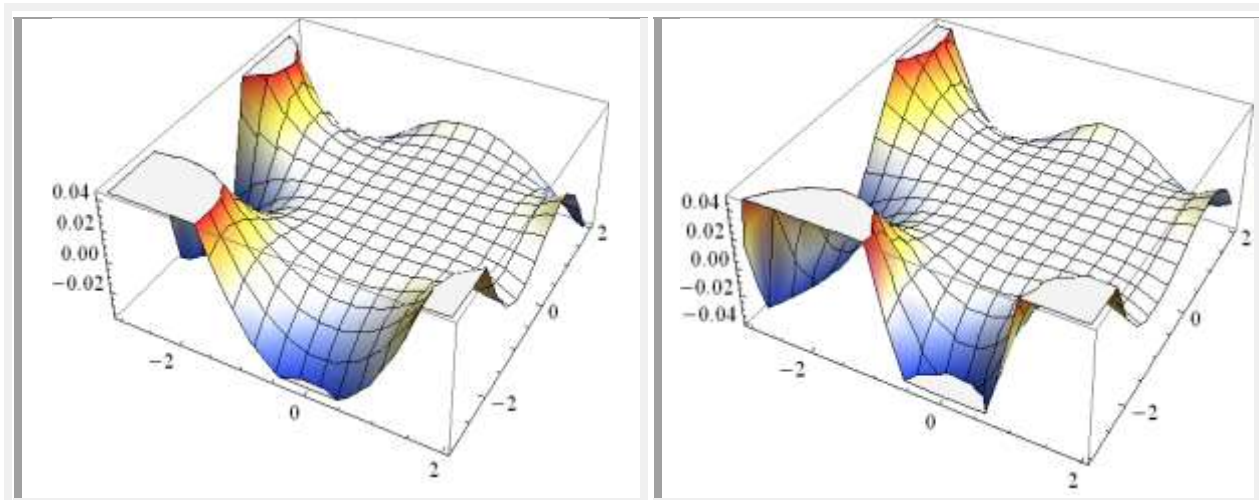


Fig.10,b Partea reală a funcțiilor Bessel centrice în planul complex.
În ordine: I_n , J_n , K_n , Y_n ($n \equiv \alpha$)



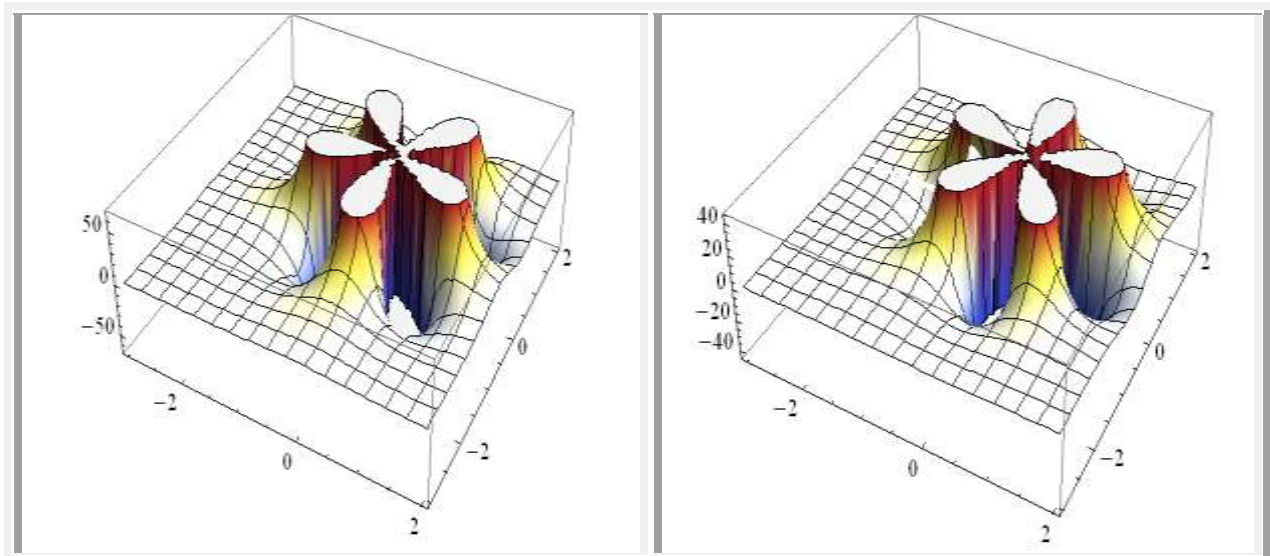


Fig.10,c Partea imaginară a funcțiilor Bessel centrice în planul complex.
 În ordine: J_n , J_n , K_n , Y_n ($n \equiv \alpha$)

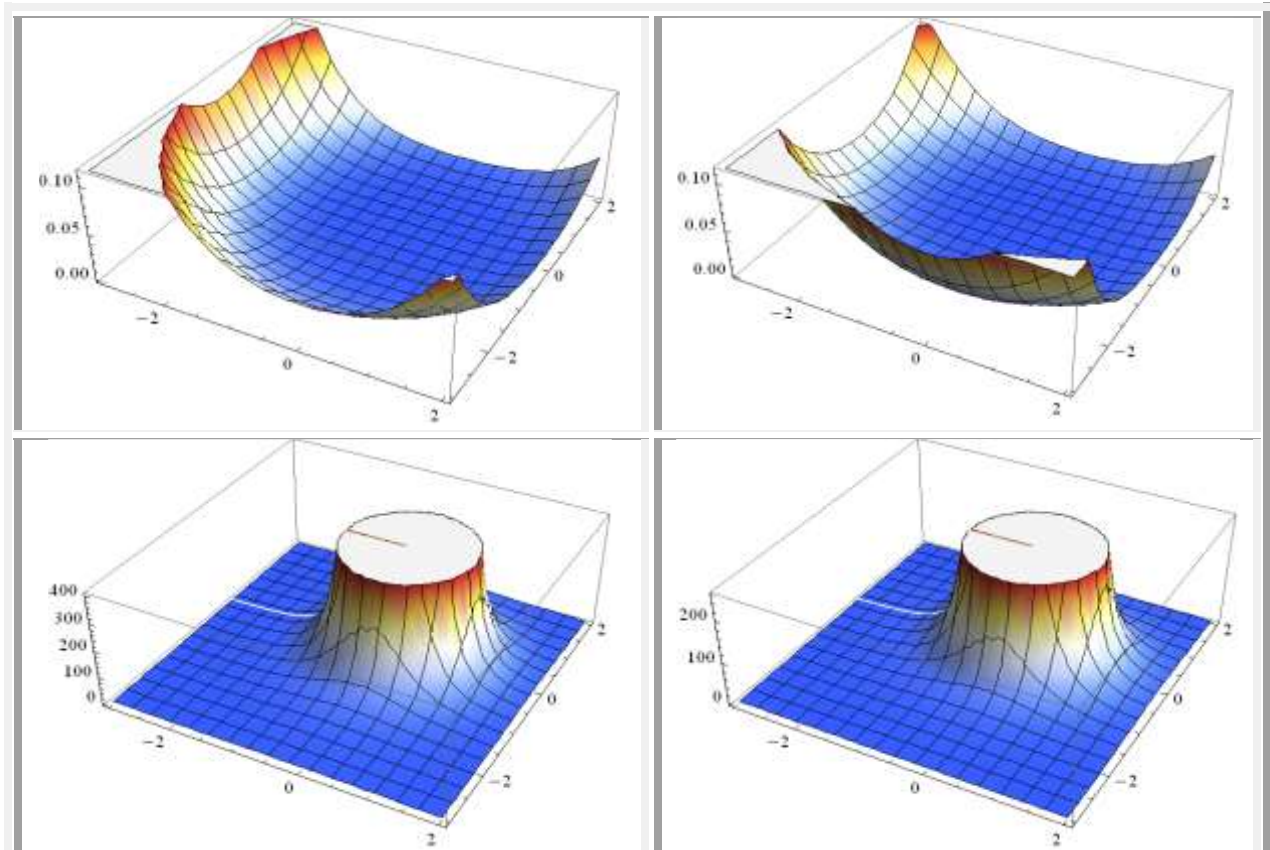


Fig.10,d Partea absolută a funcțiilor Bessel centrice în planul complex.
 În ordine: J_n , J_n , K_n , Y_n ($n \equiv \alpha$)

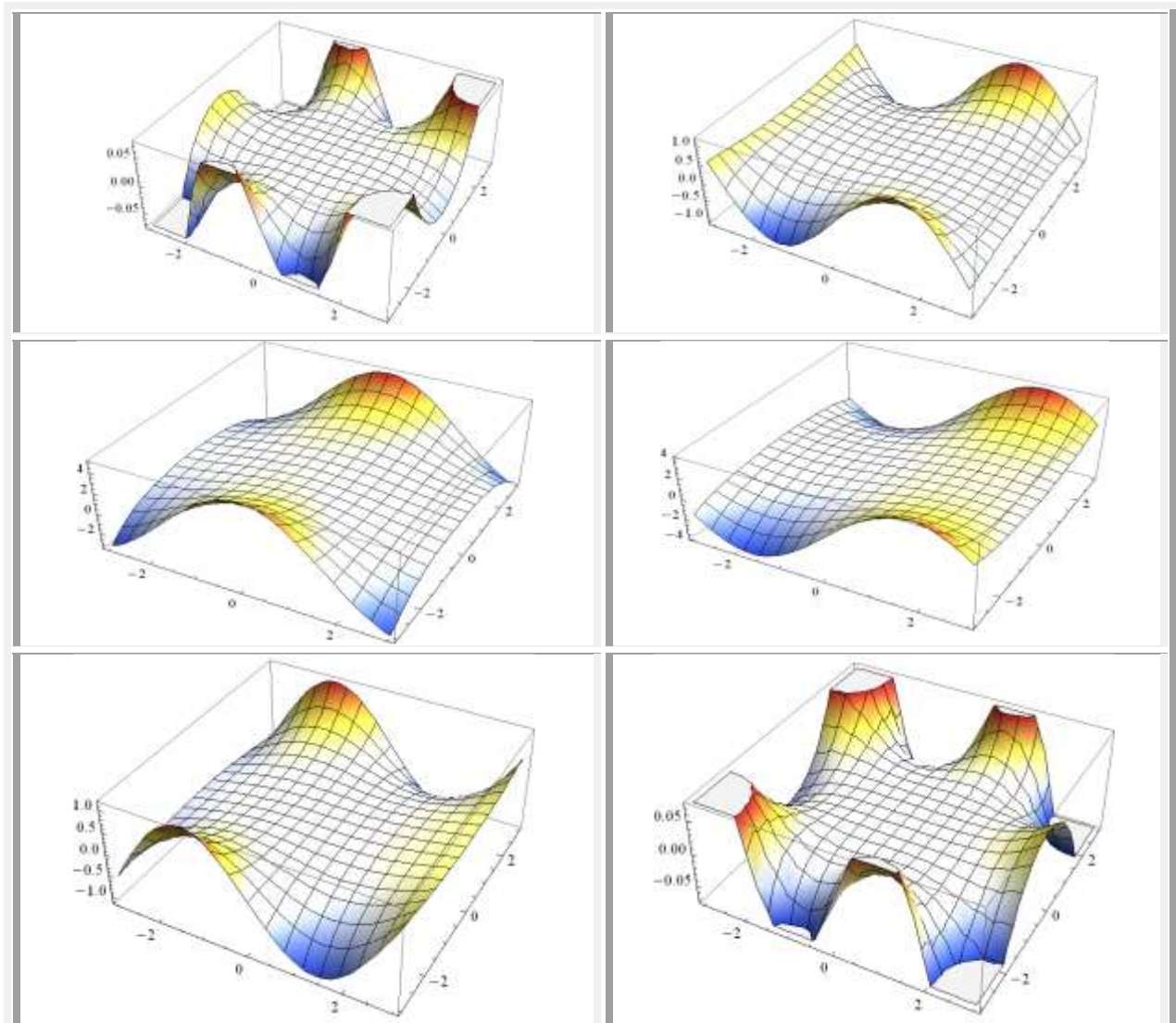
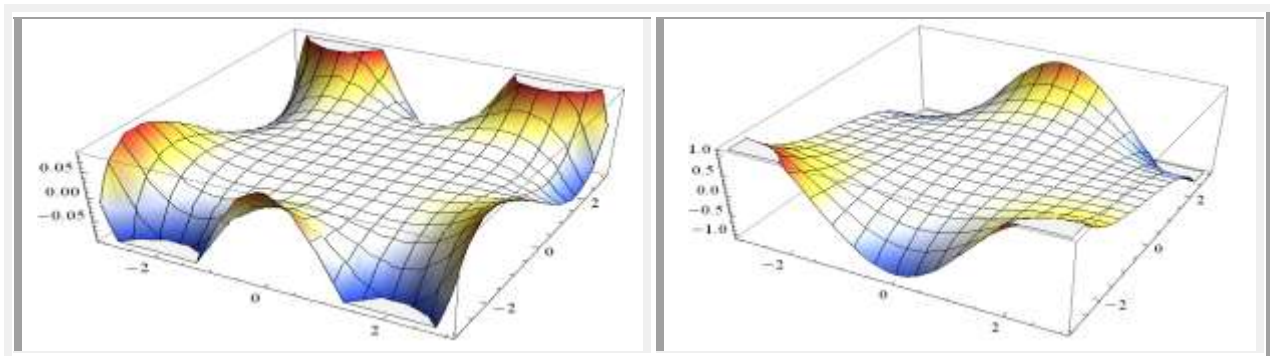
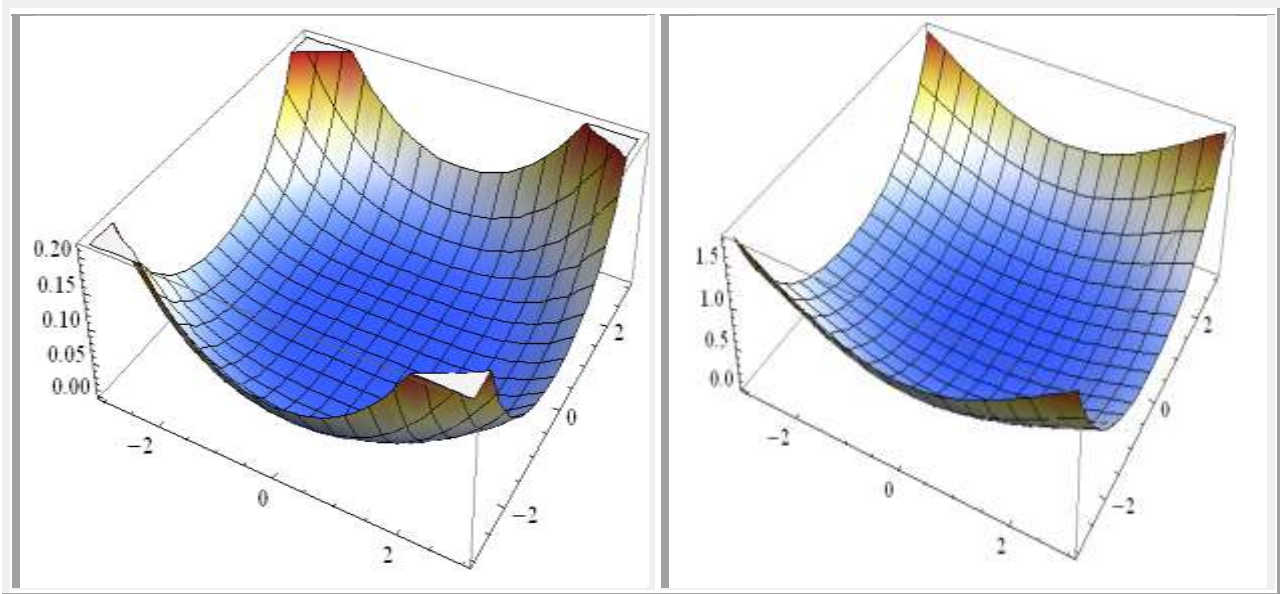
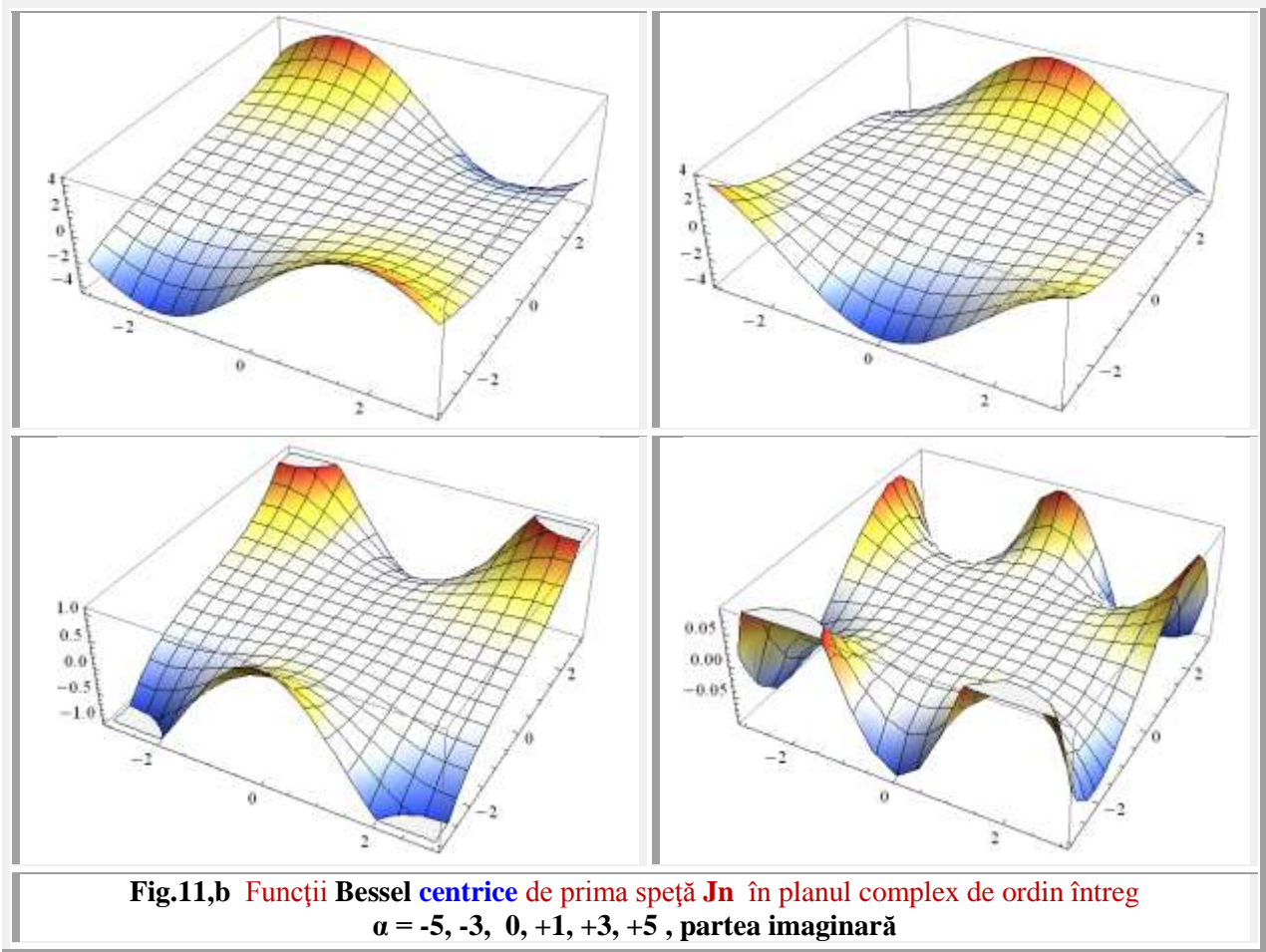
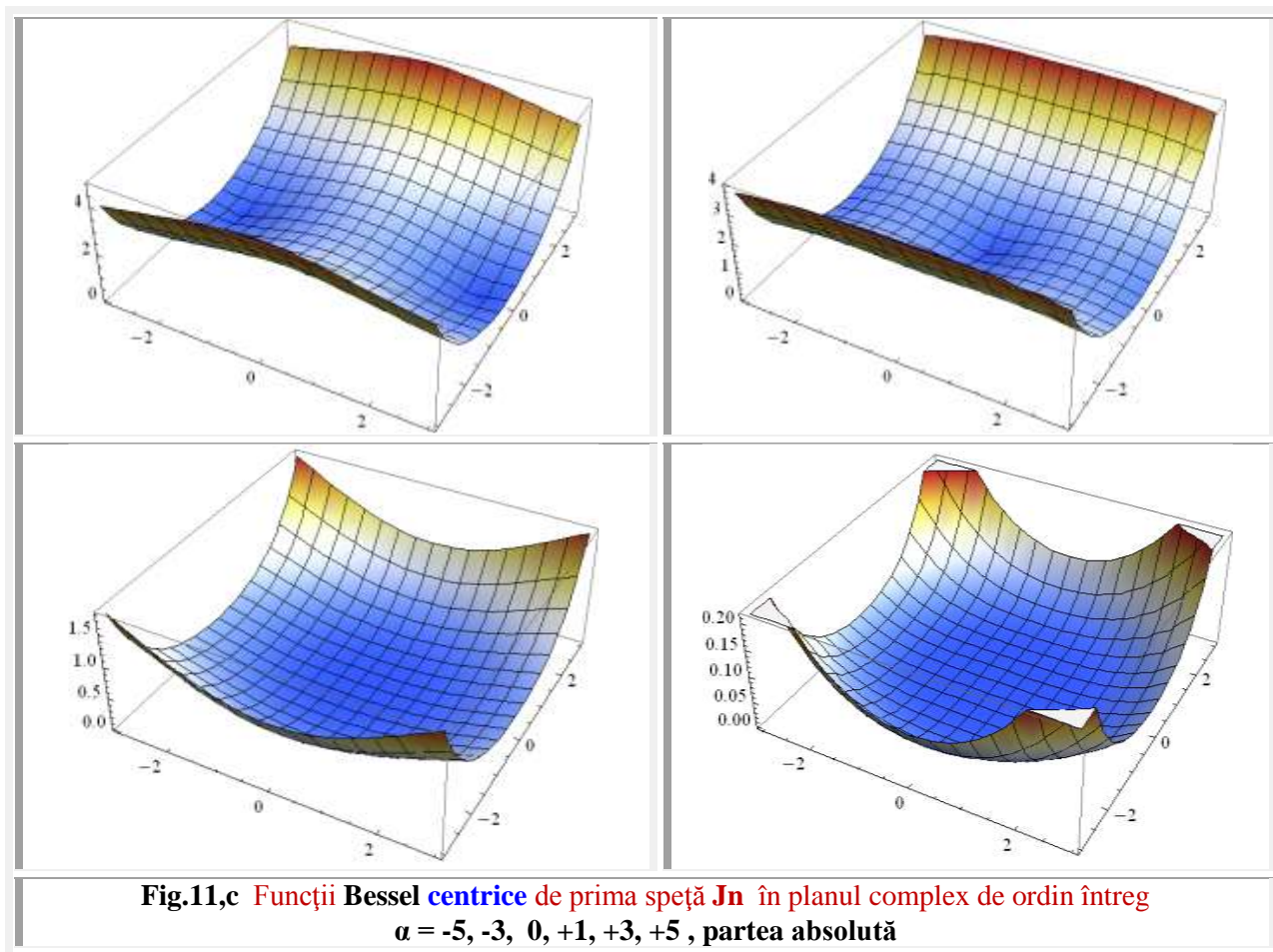


Fig.11,a Funcții Bessel centrice de prima speță J_n în planul complex de ordin întreg $\alpha = -5, -3, 0, +1, +3, +5$ partea reală







Graficele funcțiilor Bessel în planul complex sunt redată în figura 10, prin programul realizat de Jeff Bryant și Michael Trott prezentat mai sus

2.2 FUNCȚII Bessel CENTRICE (FBC) DE SPEȚA A II-a: Y_α

Funcțiile Bessel centrice de speța a II-a, notate prin $Y_\alpha(z)$ sau $Y_n(z)$, sunt de asemenea soluții ale ecuației diferențiale a lui Bessel centrice. Ele au o singularitate infinită în origine ($z = 0$).

Graficul funcțiilor Bessel centrice de speța a II-a, $Y_\alpha(z)$ și ordin întreg sunt prezentate în figura 2, iar în figura 12 sunt prezentate și pentru ordine întregi negative, adică pentru $\alpha = -5, -4, -3, -2, -1, 0, 1, 2, 3, 4$ și 5.

Funcția $Y_\alpha(z)$ centrică este denumită și funcția Neumann, ocazional fiind notată și cu $N_\alpha(z)$.

Pentru valori α diferite de întregi, funcția Bessel centrică de speța a II-a se scrie în funcție de $J_\alpha(z)$ sub forma:

$$(7) \quad Y_\alpha(z) = \frac{J_\alpha(z) \cdot \cos(\alpha\pi) - J_{-\alpha}(z)}{\sin(\alpha\pi)}$$

În cazul în care α are o valoare întregă n , funcția se definește ca limită de $\alpha \rightarrow n$:

$$(8) \quad Y_n(z) = \lim_{\alpha \rightarrow n} Y_\alpha(z)$$

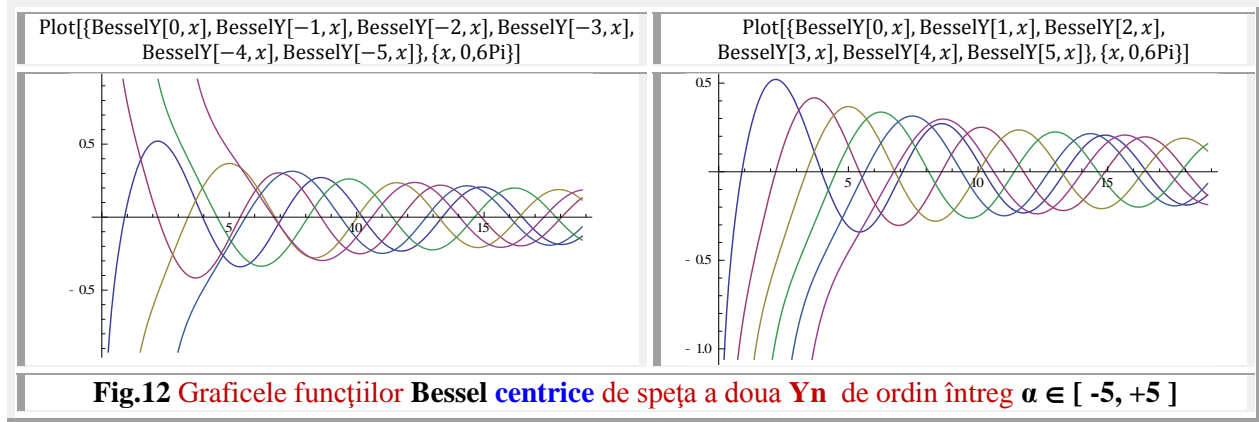
scriindu-se sub formă integrală:

$$(9) \quad Y_n(z) = \frac{1}{\pi} \left\{ \int_0^\pi \sin(z \cdot \sin\theta - n\theta) d\theta - \int_0^\infty [e^{nt} + (-1)e^{-nt}] e^{-z \sinh t} dt \right\}$$

iar sub formă de serie este:

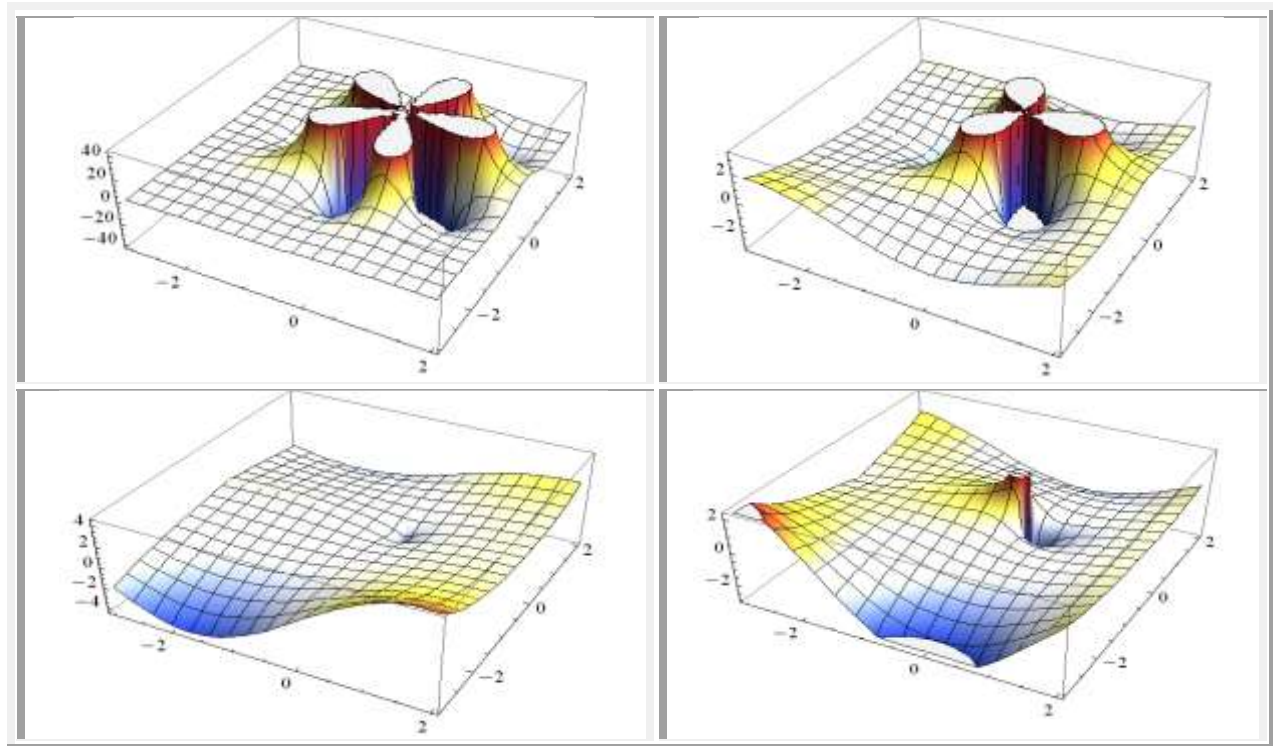
$$(10) \quad Y_n(z) = \frac{2}{\pi} \ln \frac{z}{2} J_n(z) - \frac{1}{\pi} \left(\frac{z}{2}\right)^{-n} \sum_{k=0}^{n-1} \frac{(n-k-1)!}{k!} \left(\frac{z}{2}\right)^{2k} - \frac{1}{\pi} \left(\frac{z}{2}\right)^{-n} \sum_{k=0}^{\infty} \{\psi(n+k+1)\} \frac{\left(\frac{-z}{2}\right)^{2k}}{k!(n+k)!}$$

în care ψ este [funcția digamma](#).



În cazul în care α are o valoare diferită de întreg, funcția $Y_\alpha(z)$ este inutilă (putând fi înlocuită oricând cu $J_\alpha(z)$). Pe de altă parte, când α este un întreg n , $Y_n(z)$ este a doua soluție linear independentă a ecuației lui Bessel. Mai mult, este valabilă o relație similară cu cea pentru funcția de speța I-a, adică:

$$(11) \quad Y_{-n}(z) = (-1)^n Y_n(z)$$



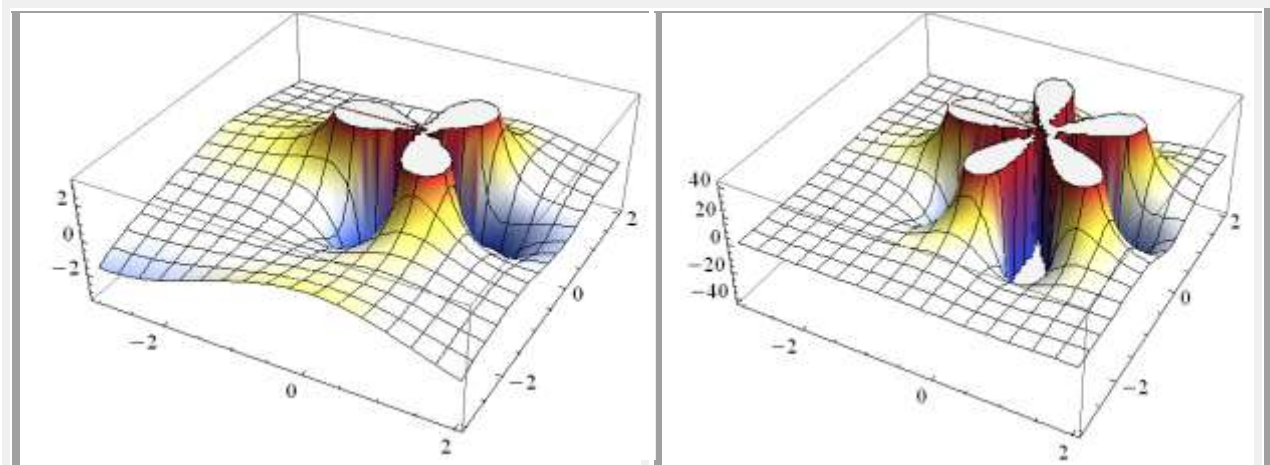
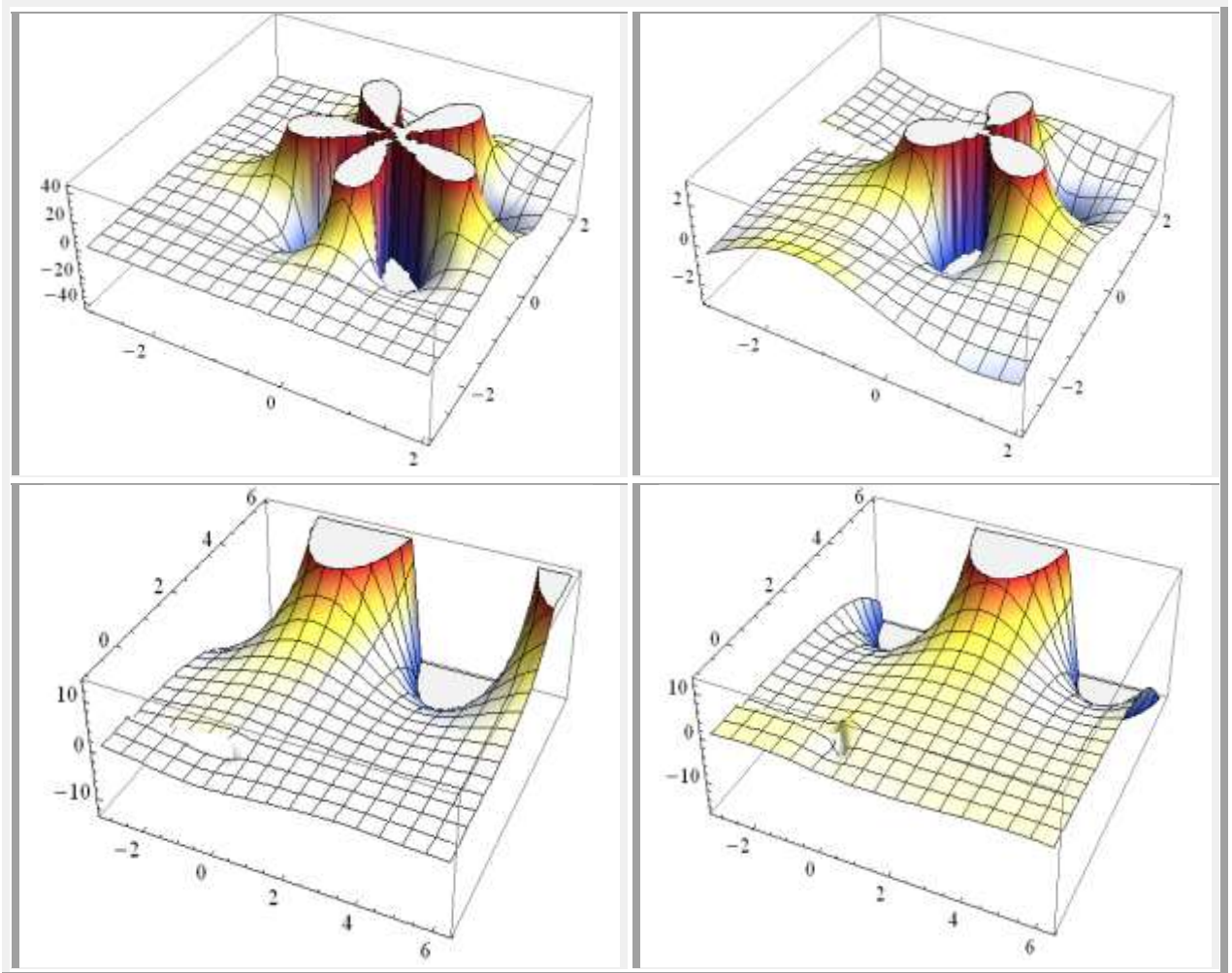


Fig.12,a Funcții Bessel centrice de speța a doua Y_n în planul complex de ordin întreg $\alpha = -5, -3, 0, +1, +3, +5$ partea reală



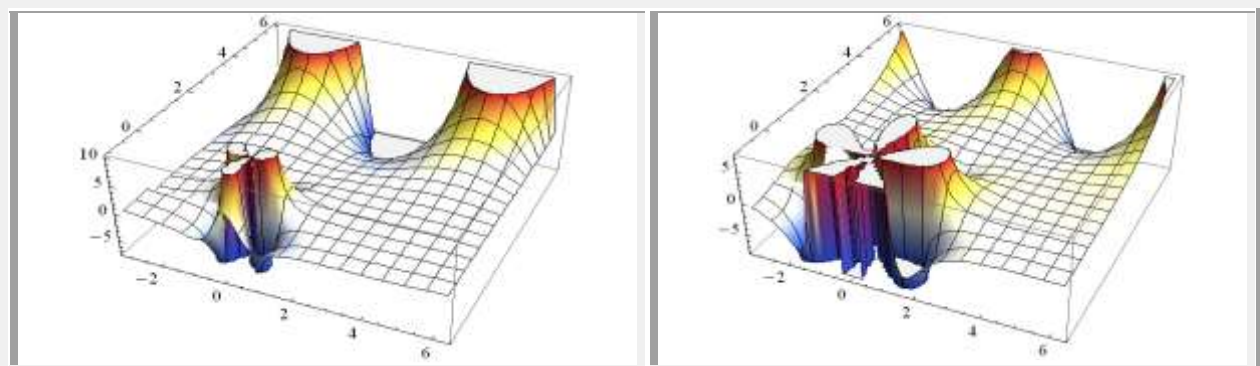


Fig.12,b Funcții Bessel **centrice** de speța a doua Y_n în planul complex de ordin întreg $\alpha = -5, -3, 0, +1, +3, +5$ partea imaginară

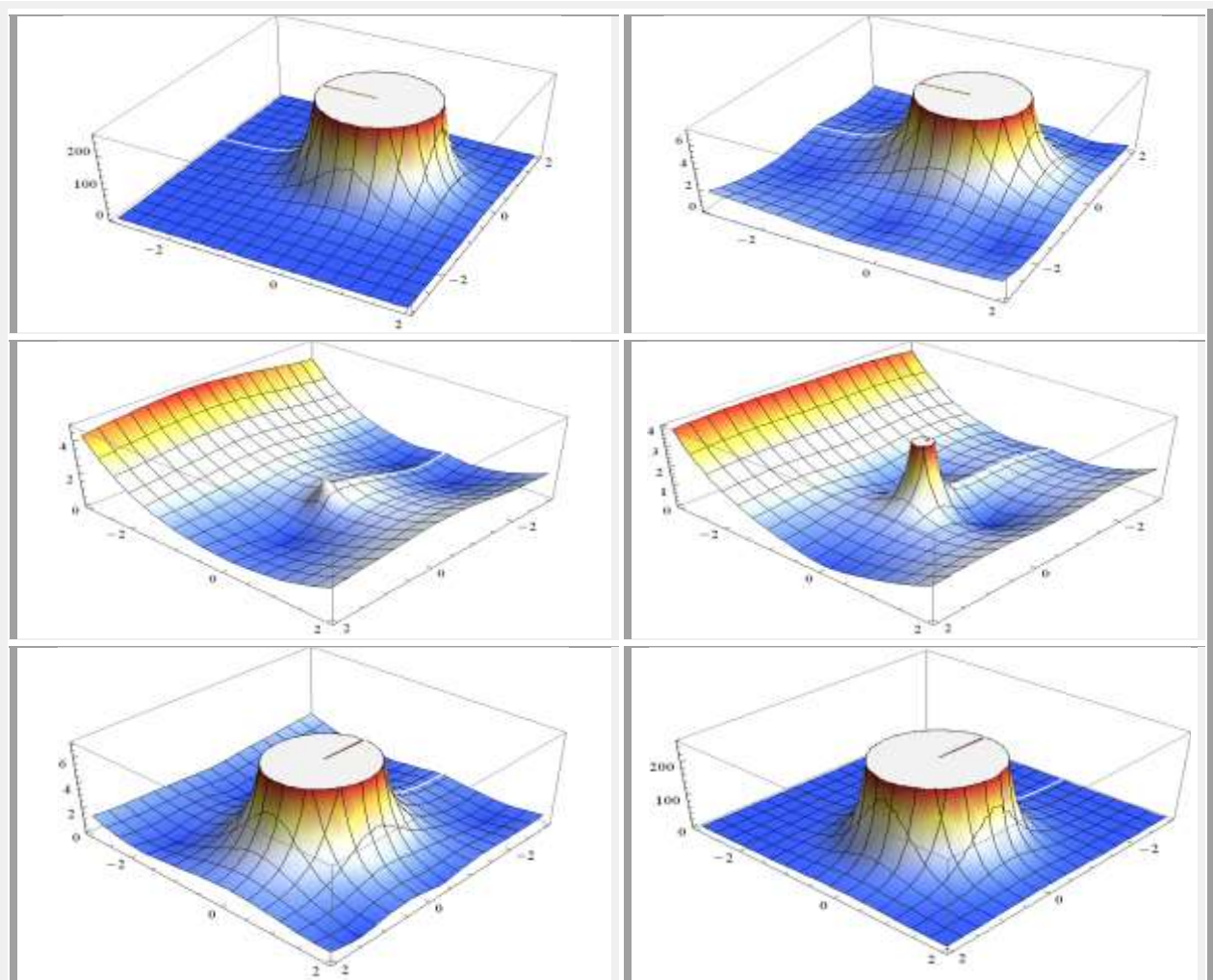
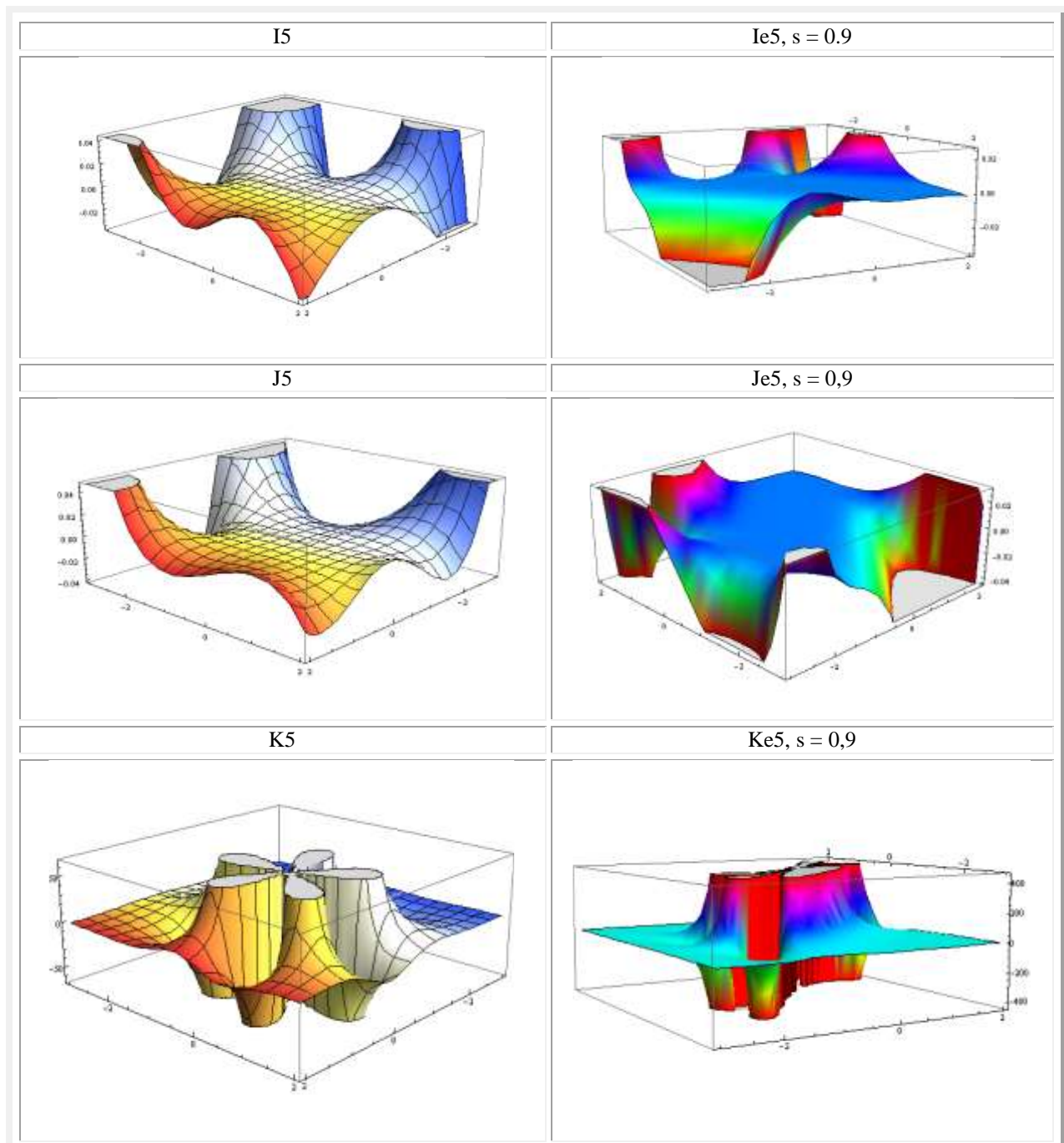
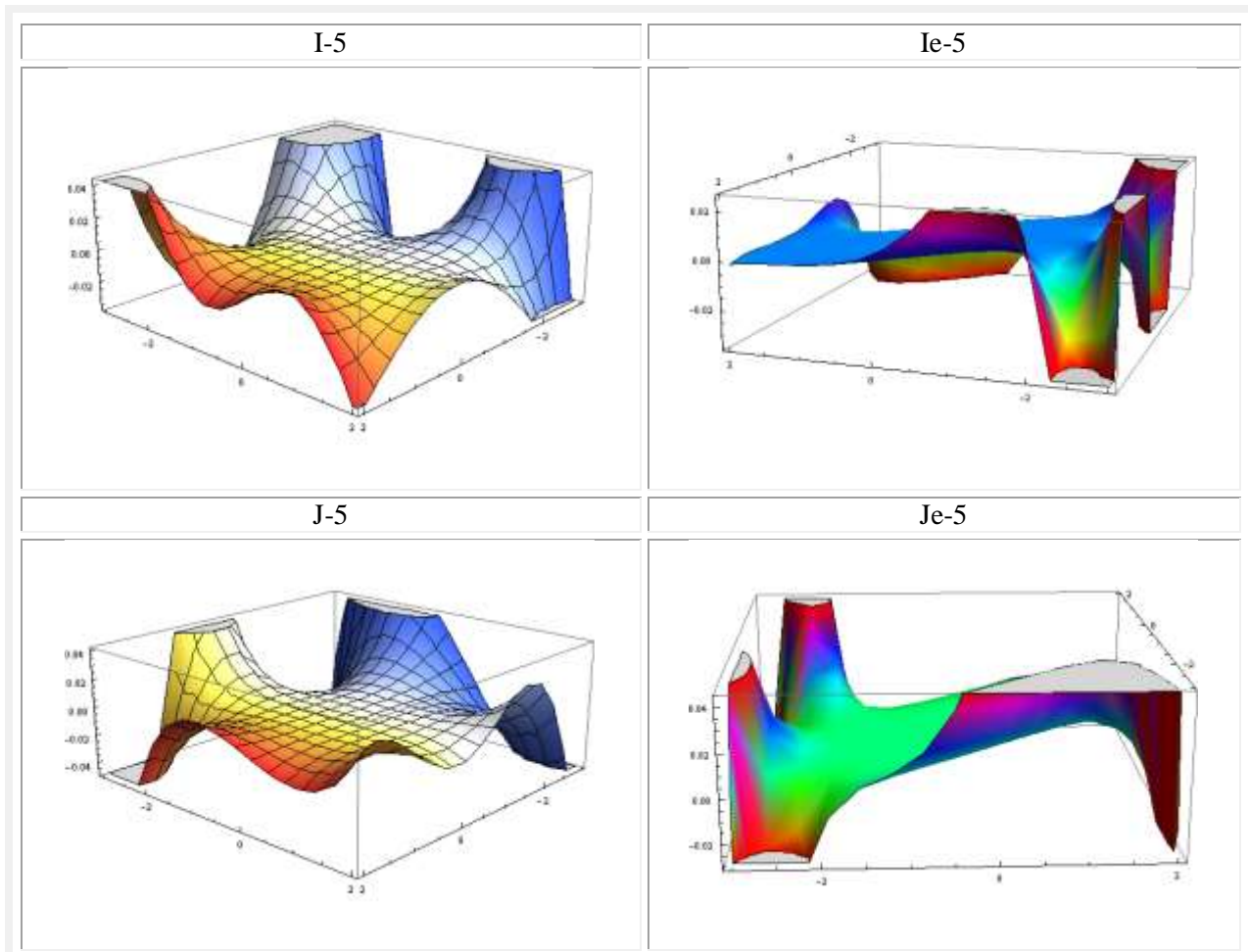
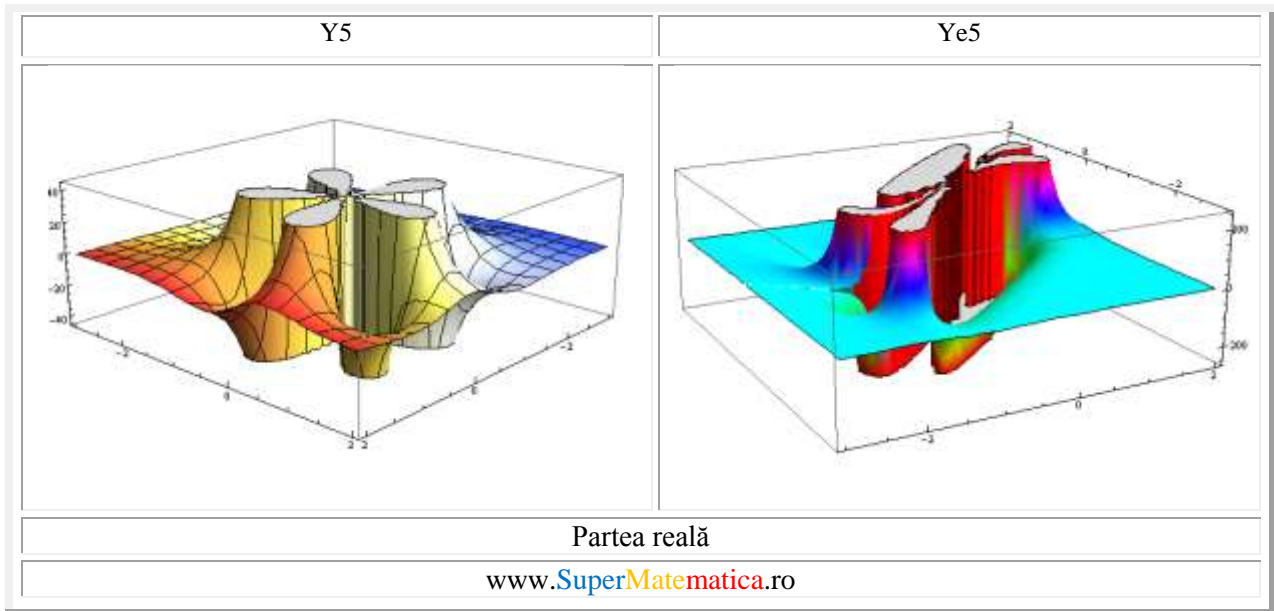


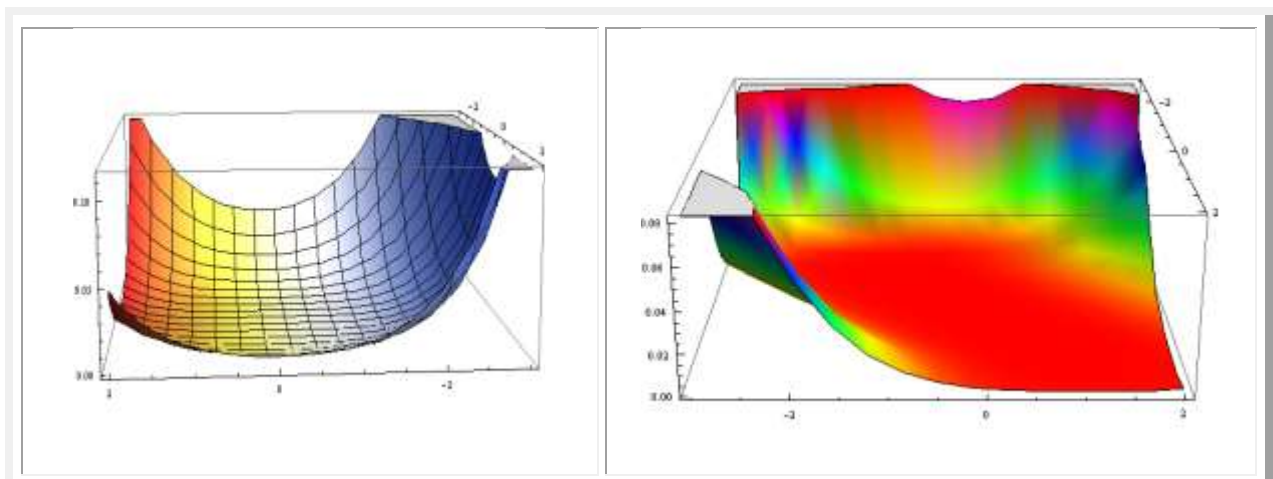
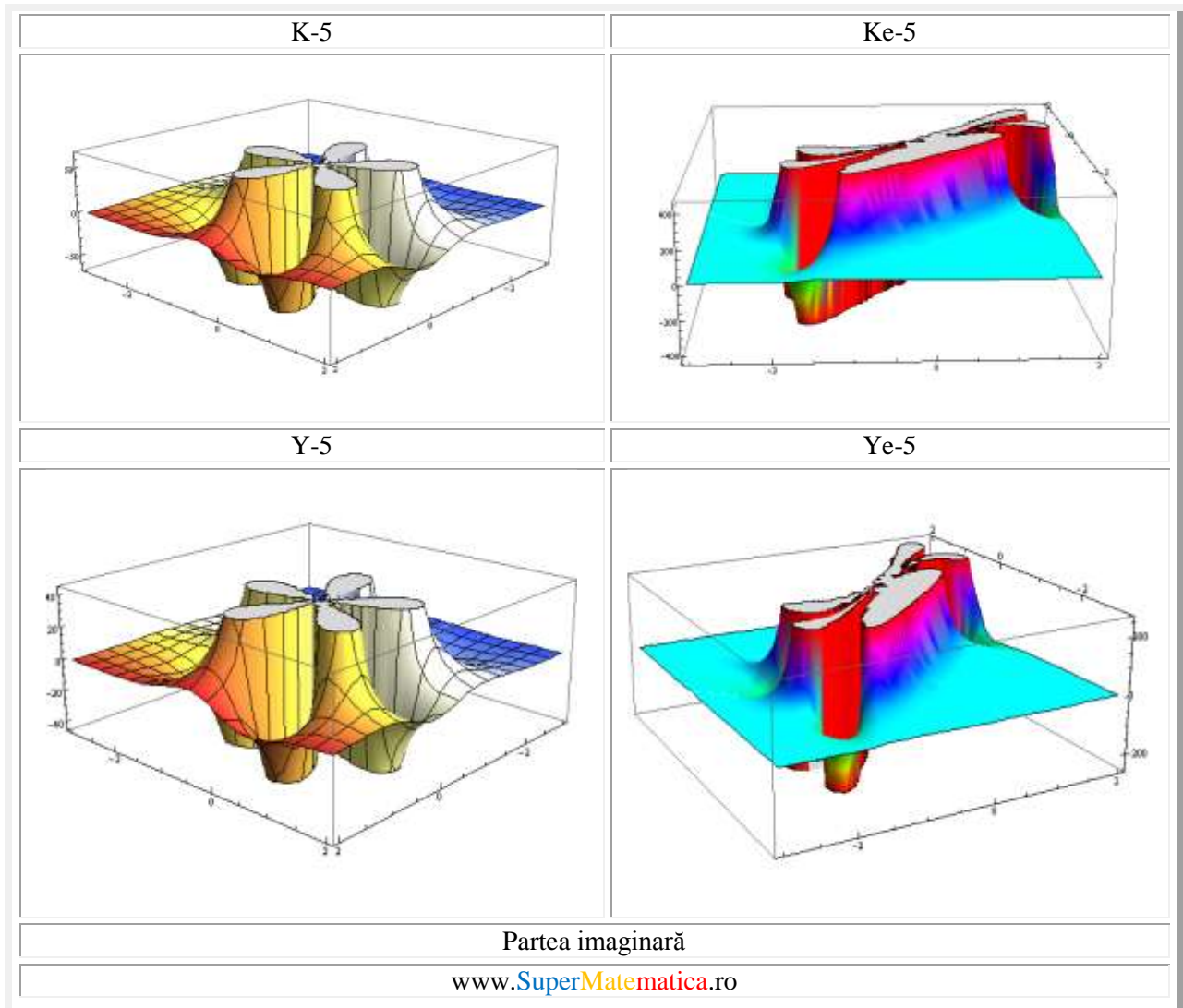
Fig.12,c Funcții Bessel **centrice** de speța a doua Y_n în planul complex de ordin întreg $\alpha = -5, -3, 0, +1, +3, +5$ partea absolută

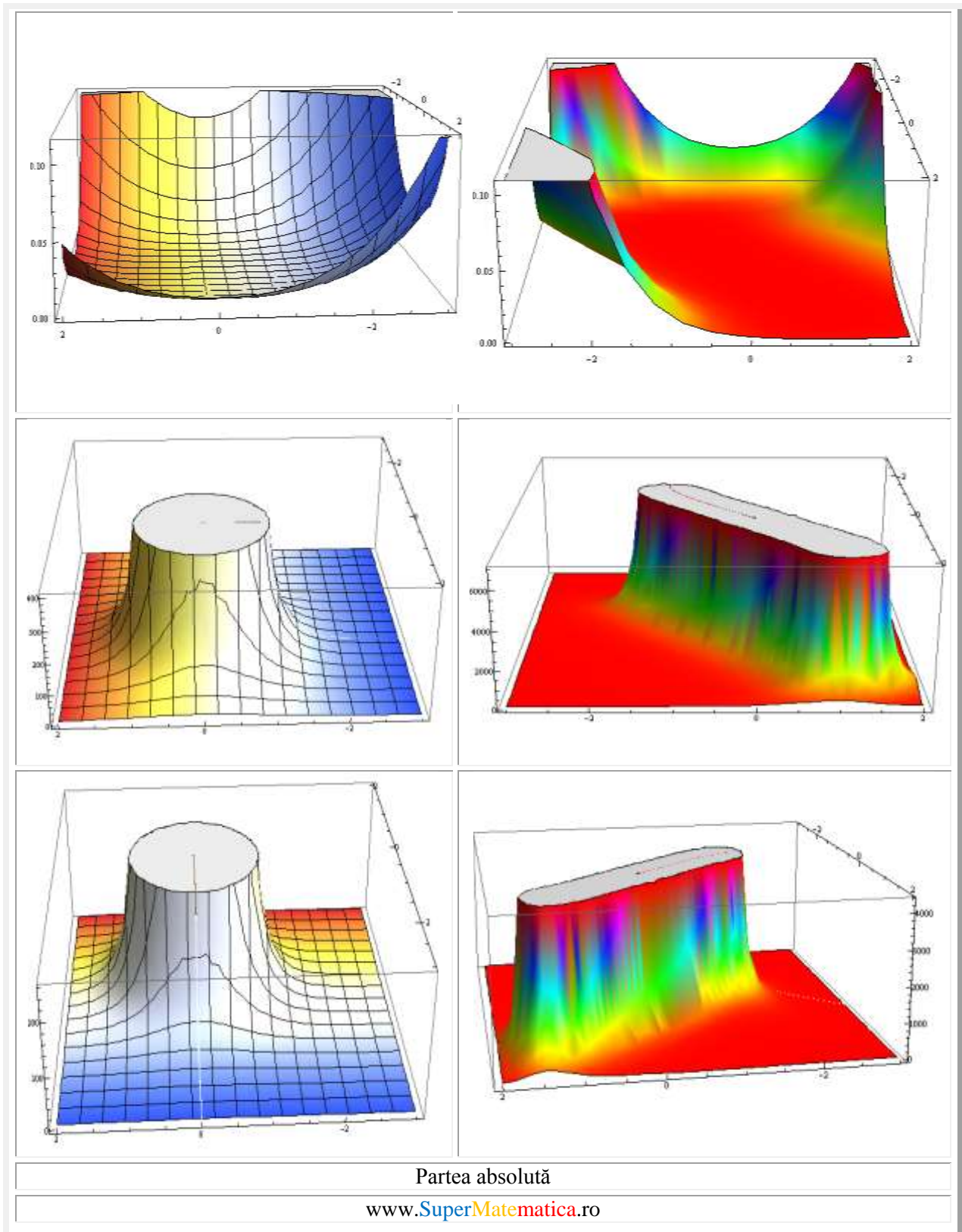
Ambele funcții, $J_\alpha(z)$ și $Y_\alpha(z)$, sunt **funcții olomorfe** de z în **planul complex** cu tăietură de-a lungul axei reale negative. Când α este un întreg, funcțiile **Bessel J** sunt **funcții întregi** de z . Dacă z este fixat, atunci funcțiile **Bessel** sunt funcții întregi de α .

**FUNCȚII BESSEL CENTRICE (I, J, K, Y) ȘI EXCENTRICE (IE, JE, KE, YE)
(COMPARAȚIE)**









2. BIBLIOGRAFIE

- | | | | |
|----|-------------------------|---|---|
| 1 | Șelariu Mircea
Eugen | FUNCȚII CIRCULARE EXCENTRICE | Com. I Conferință Națională de
Vibrații în Construcția de Mașini,
Timișoara, 1978, pag.101...108. |
| 2 | Șelariu Mircea
Eugen | FUNCȚII CIRCULARE EXCENTRICE și
EXTENSIA LOR | Bul .St.și Tehn. al I.P. "TV"
Timișoara, Seria Mecanică, Tomul
25(39),
Fasc. 1-1980, pag. 189...196 |
| 3 | Șelariu Mircea
Eugen | STUDIUL VIBRAȚIILOR LIBERE ale UNUI
SISTEM NELINIAR, CONSERVATIV cu
AJUTORUL FUNCȚIILOR CIRCULARE
EXCENTRICE | Com. I Conf. Naț. Vibr.în C.M.
Timișoara,1978, pag. 95...100 |
| 4 | Șelariu Mircea
Eugen | APLICAȚII TEHNICE ale FUNCȚIILOR
CIRCULARE EXCENTRICE | Com.a IV-a Conf. PUPR, Timișoara,
1981, Vol.1. pag. 142...150 |
| 5 | Șelariu Mircea
Eugen | THE DEFINITION of the ELLIPTIC ECCENTRIC
with FIXED ECCENTER | A V-a Conf. Naț. de Vibr. în Constr.
de Mașini,Timișoara, 1985, pag.
175...182 |
| 6 | Șelariu Mircea | ELLIPTIC ECCENTRICS with MOBILE
ECCENTER | IDEM pag. 183...188 |
| 7 | Șelariu Mircea
Eugen | CIRCULAR ECCENTRICS and
HYPERBOLICS ECCENTRICS | Com. a V-a Conf. Naț. V. C. M.
Timișoara, 1985, pag. 189...194. |
| 8 | Șelariu Mircea
Eugen | ECCENTRIC LISSAJOUS FIGURES | IDEM, pag. 195...202 |
| 9 | Șelariu Mircea
Eugen | FUNCȚIILE SUPERMATEMATICE CEX și
SEX- SOLUȚIILE UNOR SISTEME MECANICE
NELINIARE | Com. a VII-a Conf.Naț. V.C.M.,
Timișoara,1993, pag. 275...284. |
| 10 | Șelariu Mircea
Eugen | <u>SUPERMATEMATICA</u> | Com.VII Conf. Internaț. de Ing.
Manag. și Tehn.,TEHNO'95
Timișoara, 1995, Vol. 9: Matematica
Aplicată., pag.41...64 |
| 11 | Șelariu Mircea
Eugen | SUPERMATEMATICA.FUNDAMENTE | Editura " Politehnica ", Timișoara,
2007 |
| 12 | Șelariu Mircea
Eugen | SUPERMATEMATICA.FUNDAMENTE
Vol. I ediția a 2-a | Editura " Politehnica ", Timișoara,
2012 |
| 13 | Șelariu Mircea
Eugen | SUPERMATEMATICA.FUNDAMENTE
Vol. II ediția a 2-a | Editura " Politehnica ", Timișoara,
2007 |
| 14 | Șelariu Mircea
Eugen | FORMA TRIGONOMETRICĂ a SUMEI și a
DIFERENȚEI NUMERELOR COMPLEXE | Com.VII Conf. Internaț. de Ing.
Manag. și Tehn., TEHNO'95
Timișoara, 1995, Vol. 9: Matematică
Aplicată, pag. 65...72 |
| 15 | Șelariu Mircea
Eugen | MIȘCAREA CIRCULARĂ EXCENTRICĂ | Com.VII Conf. Internaț. de Ing.
Manag. și Tehn. TEHNO'95.,
Timișoara, 1995 Vol.7: Mecatronică,
Dispozitive și Rob.Ind.,pag. 85...102 |

16	Șelariu Mircea Eugen	RIGIDITATEA DINAMICĂ EXPRIMATĂ CU FUNCȚII SUPERMATEMATICE	Com.VII Conf. Internaț. de Ing. Manag. și Tehn., TEHNO'95 Timișoara, 1995 Vol.7: Mecatronică, Dispoz. și Rob.Ind.,pag. 185...194
17	Șelariu Mircea Eugen	DETERMINAREA ORICÂT DE EXACTĂ A RELAȚIEI DE CALCUL A INTEGRALEI ELIPTICE COMPLETE DE SPETA INTAIA K(k)	Bul. VIII-a Conf. de Vibr. Mec., Timișoara,1996, Vol III, pag.15 ... 24.
18	Șelariu Mircea Eugen	FUNCȚII SUPERMATEMATICE CIRCULARE EXCENTRICE DE VARIABILĂ CENTRICĂ	TEHNO ' 98. A VIII-a Conferința de Inginerie Managerială și Tehnologică, Timișoara 1998, pag 531..548
19	Șelariu Mircea Eugen	FUNCȚII DE TRANZIȚIE INFORMAȚIONALĂ	TEHNO ' 98. A VIII-a Conferința de Inginerie Managerială și Tehnologică, Timișoara 1998, pag 549... 556
20	Șelariu Mircea Eugen	FUNCȚIILE SUPERMATEMATICE CIRCULARE EXCENTRICE DE VARIABILĂ CENTRICĂ CA SOLUȚII ALE UNOR SISTEME OSCILANTE NELINIARE	TEHNO ' 98. A VIII-a Conferința de Inginerie Managerială și Tehnologică, Timișoara 1998, pag 557...572
21	Șelariu Mircea Eugen	INTRODUCEREA STRĂMBEI ÎN MATEMATICĂ	Lucr. Simp. Național "Zilele Universității Gh. Anghel" Ed. II-a, Drobeta Turnu Severin, 16-17 mai 2003, pag. 171 ... 178
22	Șelariu Mircea Eugen	QUADRILOBIC VIBRATION SYSTEMS	The 11 –th International Conference on Vibration Engineering, Timișoara, Sept. 27-30, 2005 pag. 77 ... 82
23	Șelariu Mircea Eugen	SMARANDACHE STEPPED FUNCTIONS	Revista: "Scientia Magna" Vol. 3, No. 1, 2007, ISSN 1556-6706
24	Șelariu Mircea Eugen	TEHNO ART OF ȘELARIU SUPERMATHEMATICS FUNCTIONS	(ISBN-10):1-59973-037-5 (ISBN-13):974-1-59973-037-0 (EAN): 9781599730370

Motto: ”Creatorule în metal, degeaba ai 10 dulapuri de scule și dispozitive, din cele mai sofisticate și utile posibil, dacă le ții ascunse și nu le utilizezi.

De aceea mă stăduiesc să fac cunoscută **supermatematica**, care oferă infinit mai multe posibilități decât cred ignoranții”

Dar, te poți pune cu ei ?

“Cu prostul neșcolarizat
Te lupți un pic, și l-ai gătat.
Dar când prostul are școală
Lupta devine... colosală! “

CAPITOLUL XXX

Nota 2: FUNCȚII SUPERMATEMATICE BESSEL **EXCENTRICE**

2.1 INTRODUCERE

În primul rând, **motto**-ul, prezentat mai sus, reclamă unele lămuriri. El ilustrează un caz concret, întâmplat acum câțiva ani. Am accesat, cred că nu mă înșel, Wikipedia.ro și la **caută** am scris “Supermatematica”.

Răspunsul a fost “**Creați pagina Funcții supermatematice circulare excentrice**”.

Zis și făcut. Am înșirat pe câteva pagini, nu mai multe decât două-trei, ce este și la ce ar putea servi supermatematica. Am verificat, apoi, dacă a apărut micul articol și răspunsul a fost afirmativ. După câteva zile, primesc de la administratorul român al website-ului un e-mail în care mă anunță că a șters articolul și mai spune “**Să vă fie rușine ca l-ați copiat pe Mircea Şelariu**”. Stupefiant ! Eu m-am copiat pe mine ! O fi prostie ? Nu, e viclenie !

Am povestit cele întâmplate unui profesor universitar american, de origine română, care m-a liniștit spunându-mi că tot ce se publică pe Wikipedia și în oricare altă publicație de largă circulație este supervizat, știți Dvs. de cine. Și că deschizători de drumuri, în oricare domeniu, nu pot fi alții decât ce-i agreeți / preferați de ei ! Și aceștia nu pot fi în niciun caz români ! Români nu pot fii deshizători de drumuri, ei pot deschide doar seifuri, apartamente ș.m.a., fiind multilateral dezvoltăți. Ca urmare articolul **trebuia șters** cu riscul de a deveni ridicoli, prin inventarea unui motiv absurd și hilar.

Revoltat, într-un articol de supermatematica, am criticat, printre altele, această atitudine, articol care a fost publicat pe un website, alături de alte 80 de articole de-ale mele, dintre care, supermatematica a fost accesată, acolo, de peste 6.000 de ori, situându-se, din acest punct de vedere, pe locul 2 în top.

Criticile aduse n-au scăpat ochiului vigilent, probabil programat electronic, astfel că respectivul website a fost șters / închis. După un proces (pobabil), a fost redeschis pentru o scurtă perioadă de timp, apoi închis din nou definitiv și transformat într-un website care n-are nicio legătură cu titulatura lui. Ca și cum s-ar întitula “**știință pentru toți**” și ar vinde “**sicrie pentru morți**” !

Oare, cui ar trebui să-i fie rușine ?

În capitolul anterior au fost prezentate, cu multe spicuri culese de pe internet, **funcțiile Bessel centrice (FBC)** și unele **funcții supermatematice circulare excentrice (FSM-CE)**, în ideea că ar putea completa cu succes funcțiile Bessel centrice (FBC).

Pentru realizarea graficelor în **2D** și în **3D** au fost utilizate programele din **Matehamtica 8** al lui **Stephan Wolfram** iar, în planul complex, programele demonstrative prezentate pe website-ul acestuia și realizate de diverși autori. Unele vor fi utilizate și în continuare.

Deoarece cele 80 de articole despre supermatematică au dispărut, odată cu website-ul amintit anterior, este necesar să fie prezentate, pe scurt, noile complemente de matematică, reunite sub denumirea de supermatematică. În acest scop, prezentăm **LAUDATIO**, alcătuită de **AGIR** cu ocazie decernării **DIPLOMEI AGIR** în domeniul “**TEHNOLOGIA INFORMAȚIEI**” (**IT**), în anul 2013, lucrării în două

volume a cca. 1200 pagini, din Editura POLITEHNICA, Timișoara, 2012 “**SUPERMATEMATICA, FUNDAMENTE**”.

„**SUPERMATEMATICA. FUNDAMENTE**” vol. I și vol. II
 Ediția a 2-a, Ed. POLITEHNICA Timișoara, 2012
 Autor ing. **Mircea Eugen Şelariu**



Supermatematica (SM) este considerată, fără exagerare, de susținătorii și admiratorii ei, și nu sunt puțini, unii fiind matematicieni și profesori universitari americani, ca **noua matematică a mileniului III**, așa cum se poate ușor constata.

Cele **914** pagini ale lucrării - 486 pagini în vol. I și 428 pagini în vol. II – exprimă vastitatea lucrării, dar atributele ei esențiale consistă în simplitatea și surprinzătoarea ei apariție, ca urmare a deplasării din centrul $O(0,0)$ a unui singur punct, denumit, din această cauză **excentru $E(e, \epsilon)$** , în originalitatea și în unicitatea ei în literatura mondială.

Supermatematica (SM) este o reuniune a matematicii cunoscute, ordinare, care în lucrare a fost denumită **matematică centrică (MC)** - de $e = 0$ - pentru a se deosebi de noua matematică, denumită **matematică excentrică (ME)**. Adică $SM = MC \cup ME$. Pentru fiecare punct din plan, în care poate fi plasat un excentru $E(e, \epsilon)$, se poate spune că există o nouă **ME**. Astfel, la o singură **MC** îi corespund o infinitate de **ME**. Pe de altă parte, $MC = SM(e = 0)$.

În consecință, **SM** multiplică la infinit toate funcțiile circulare / trigonometrice cunoscute și introduce o pleiadă de funcții circulare noi (aex, bex, dex, rex, s.a), mult mai importante și mai elementare decât cele vechi și, prin acestea, în final, multiplică la infinit toate entitățile matematice cunoscute ($\cos \rightarrow cax$, $\sin \rightarrow sex$, $\tan/tg \rightarrow tex$, ș.m.a.) și introduce multe alte entități noi. S-a constatat că **MC** este proprie sistemelor **liniare, perfecte, ideale**, iar **ME** este proprie sistemelor **neliniare, reale, imperfecte**. Ca urmare, odată cu apariția **SM** a dispărut granița dintre liniar și neliniar, dintre ideal și real, dintre perfecțiune și imperfecțiune, ceea ce constituie visul de veacuri al inginerilor și o performanță matematică de seamă.

SM evidențiază excentricitatea liniară e și pe cea unghiulară ϵ , coordonatele polare ale excentrului $E(e, \epsilon)$, ca noi dimensiuni ale spațiului: dimensiuni de **formare** și de **deformare** ale acestuia; numite și **dimensiunile ascunse ale spațiului**.

SM putea să apară cu peste 300 de ani în urmă, dacă **Euler**, la definirea funcțiilor trigonometrice ca funcții circulare directe, n-ar fi ales **trei puncte confundate, suprapunere care a sărăcit matematica: Polul E** al unei semidrepte, **centrul C** al cercului trigonometric (unitate) și **originea $O(0,0)$** a unui reper rectangular drept. **SM** a apărut atunci când **polul E** a fost expulzat din centru și a fost denumit **excentru**. Din combinarea celor trei puncte apar următoarele funcții / domenii:

1) **FCC -circulare centrice- (FSM-CC)**→ dacă $C \equiv O \equiv E$; 2) **FSM circulare excentrice (FSM-CE)**→ dacă $C \equiv O \neq E$; 3) **FSM circulare elevate (FSM-CEL)**→ dacă $C \neq O \equiv E$ și 4) **FSM circulare elevate (FSM-CEX)**→ dacă $C \neq O \neq E$.

Dintre **entitățile noi apărute** sunt și o pleiadă de noi curbe închise, care apar la **transformarea continuă** a cercului în pătrat (denumite **quadrilobe / cvadrilobe**), a cercului în triunghi (**trilobe**). În 3D aceste transformări continue sunt a **sferii în cub**, a **sferii în prismă**, a conului în piramida ș.m.a. Aceste transformări continue au făcut posibilă apariția unor noi corpuri **3D hibride** ca: sfera-cub; cono-piramida, piramida-con ș.m.a, precum și a unor noi transformări matematice, cum este **hibridarea matematică**, care dintr-un cerc și un pătrat rezultă o quadrilobă (cvadrilobă), din cerc și triunghi o trilobă, ș.a.m.d.

Prin înlocuirea cercului cu o quadrilobă au fost definite funcțiile quadrilobe, iar prin înlocuirea cu o trilobă au fost definite în lucrare și funcțiile trilobe. În domeniul hiperbolic au apărut funcțiile hiperbolice excentrice. În eliptic, integralele și funcțiile eliptice **Jacobi** centrice sau multiplicat la infinit prin funcțiile eliptice excentrice și prin alte funcții pe conice.

În lucrare sunt evidențiate și noi metode matematice, dintre care amintim 1) Transformarea metodei numerice a mediei aritmetico-geometrice **Landen** într-o metodă analitică și determinarea oricât de exactă a **relatiei** de calcul a integralei eliptice complete de prima speță $K(k)$; după numai 5 pași cu 15 zecimale exacte. 2) Metoda divizării diferențialei - o nouă metodă de integrare, care evită integrarea în spațiul complex. 3) SM-CAD-CAM pt. descrierea obiectelor tehnice.

Nu putem încheia fără să subliniem bogăția de desene explicative și de grafice, care întregesc înțelegerea lucrării și calitatea acestora, asigurată de Editura "POLITEHNICA" din Timișoara, chiar dacă sunt tipărite doar în alb-negru, pentru reducerea cheltuielilor și nu color, cum s-a intenționat inițial și a fost elaborat manuscrisul.

O eroare s-a strecurat în **LAUDATIO**, numindu-se repetat funcțiile supermatematice circulare **elevate** (3 și 4) în dauna celor **exotice** (4) omise.

2.2 FUNCȚII BESSEL EXCENTRICE DE PRIMA SPEȚĂ $JE_\alpha(x)$

Se știe că, trecerea de la **centric** la **excentric** se face asemănător trecerii din **circular** în **eliptic**. **Funcțiile eliptice Jacobi** se obțin prin înlocuirea variabilei x cu funcția **am(u,k)**. Astfel rezultă

- (1) $cn(u,k) = \cos\varphi(u,k) = \cos[am(u,k)]$
- (2) $sn(u,k) = \sin\varphi(u,k) = \sin[am(u,k)]$ și
- (3) $dn(u,k) = \frac{d\varphi}{du} = \Delta\varphi = \sqrt{1 - k^2 \sin^2\varphi} = \sqrt{1 - k^2 \sin^2[am(u,k)]} = \sqrt{1 - k^2 sn^2(u,k)}$

Prin înlocuirea variabilei centrice α , sau φ , cu **funcția supermatematică circulară excentrică (FSM-CE) amplitudine excentrică $aex[\theta, S(s, \varepsilon)]$** , denumită astfel deoarece joacă același rol ca și funcția **amplitudine Jacobi**, sau apitudinus **am(u,k)**, de variabilă **excentrică θ** , unghi definit în jurul **excentrului S** rezultă \rightarrow

- (4) $\alpha(\theta) = aex[\theta, S(s, \varepsilon)] = \theta - \beta(\theta) = \theta - bex\theta = \theta - \arcsin[s \cdot \sin(\theta - \varepsilon)]$,
și se obțin asemănător **funcțiile supermatematice circulare excentrice (FSM-CE)**
- (5) $cex(\theta, S) = \cos\alpha(\theta, S) = \cos[aex(\theta, S)]$
- (6) $sex(\theta, S) = \sin\alpha(\theta, S) = \sin[aex(\theta, S)]$
- (7) $dex(\theta, S) = \frac{d\alpha}{d\theta} = 1 - \frac{s \cdot \cos(\theta - \varepsilon)}{\sqrt{1 - s^2 \sin^2(\theta - \varepsilon)}} = \frac{rex\theta}{\sqrt{1 - s^2 \sin^2(\theta - \varepsilon)}} = \frac{rex\theta}{del\theta}$

în care α este coordonata sau variabila **centrică**, față de centrul **O(0,0)**, iar coordonatele polare ale **excentrului** sau polului **S** sunt:

- coordonata radială sau raza polară, denumită în **supermatematică (SM)** și **excentricitatea liniară numerică s** și $e = sR$ este excentricitatea liniara **reală**, într-un cerc de rază oarecare **R**;
- ε unghiul polar sau azimutul polului **S**, denumit în **SM excentricitatea unghiulară**.

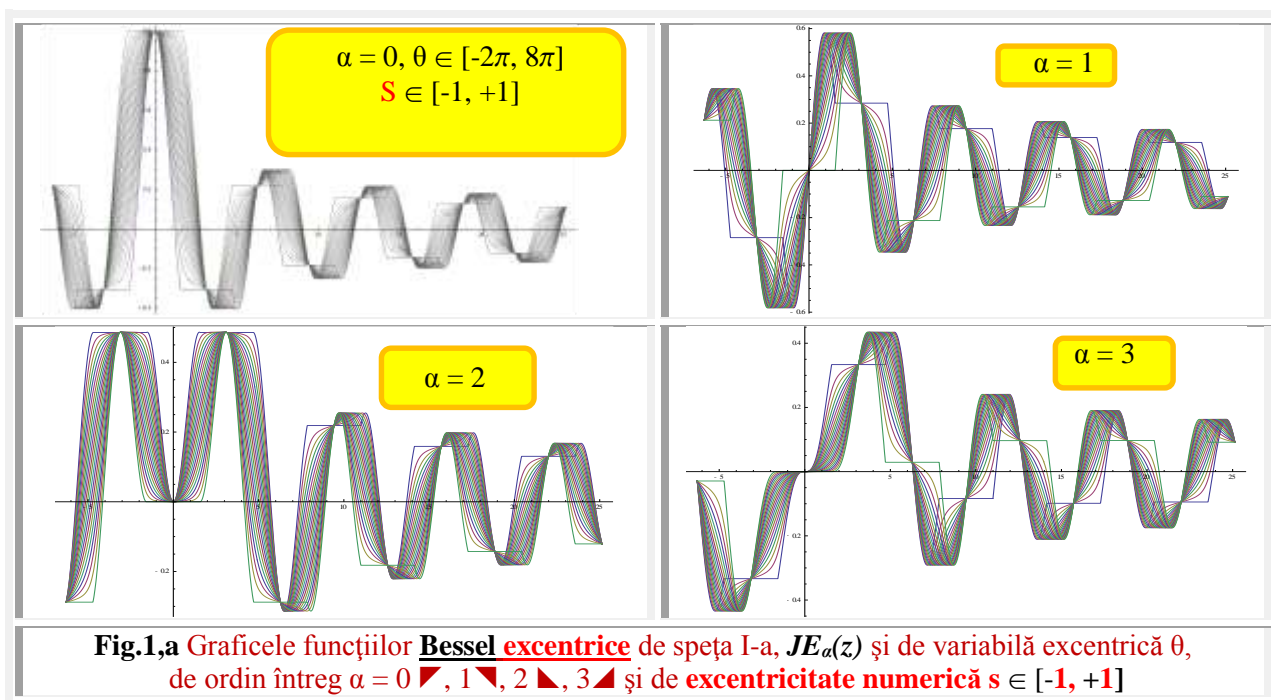
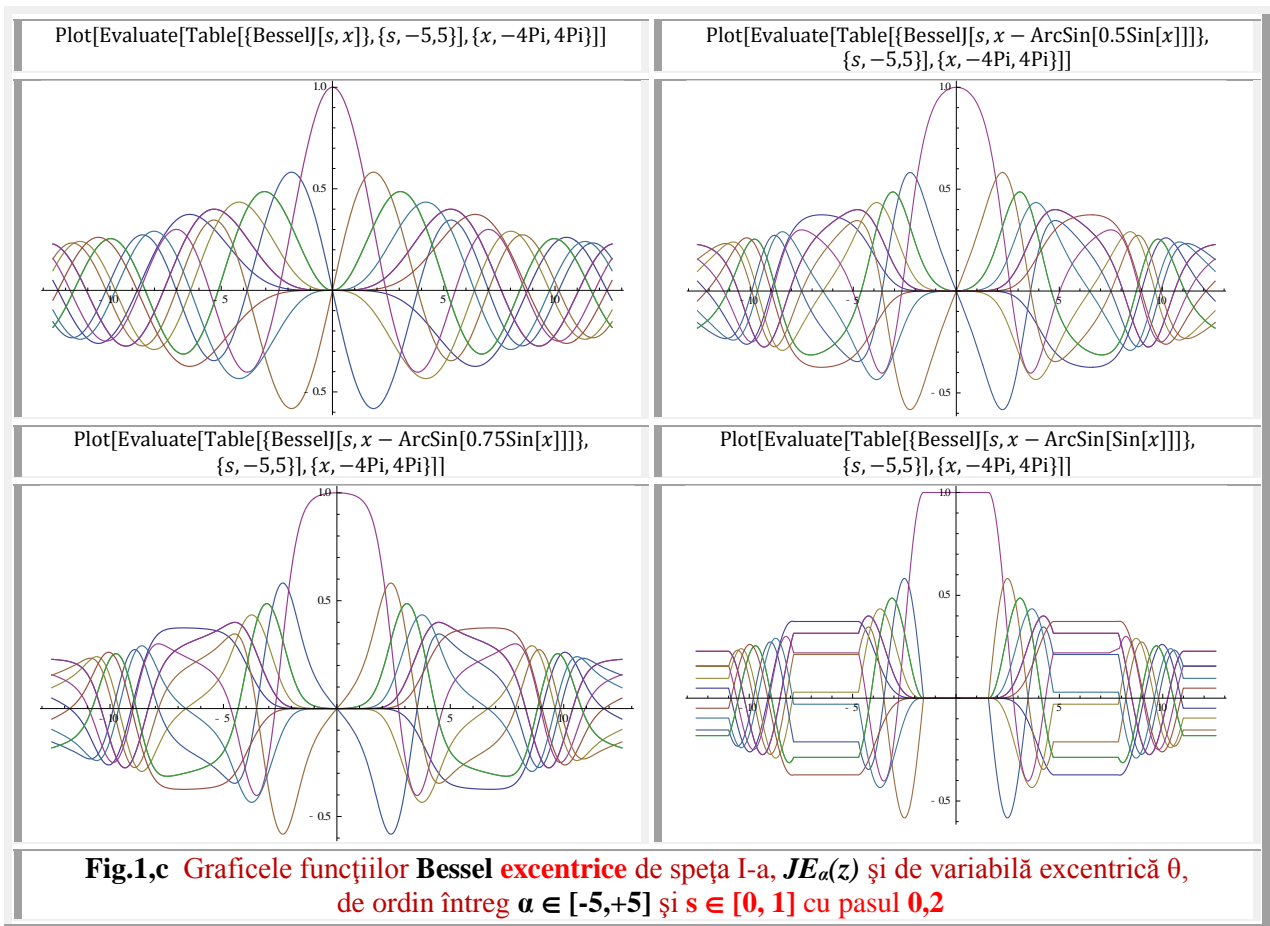
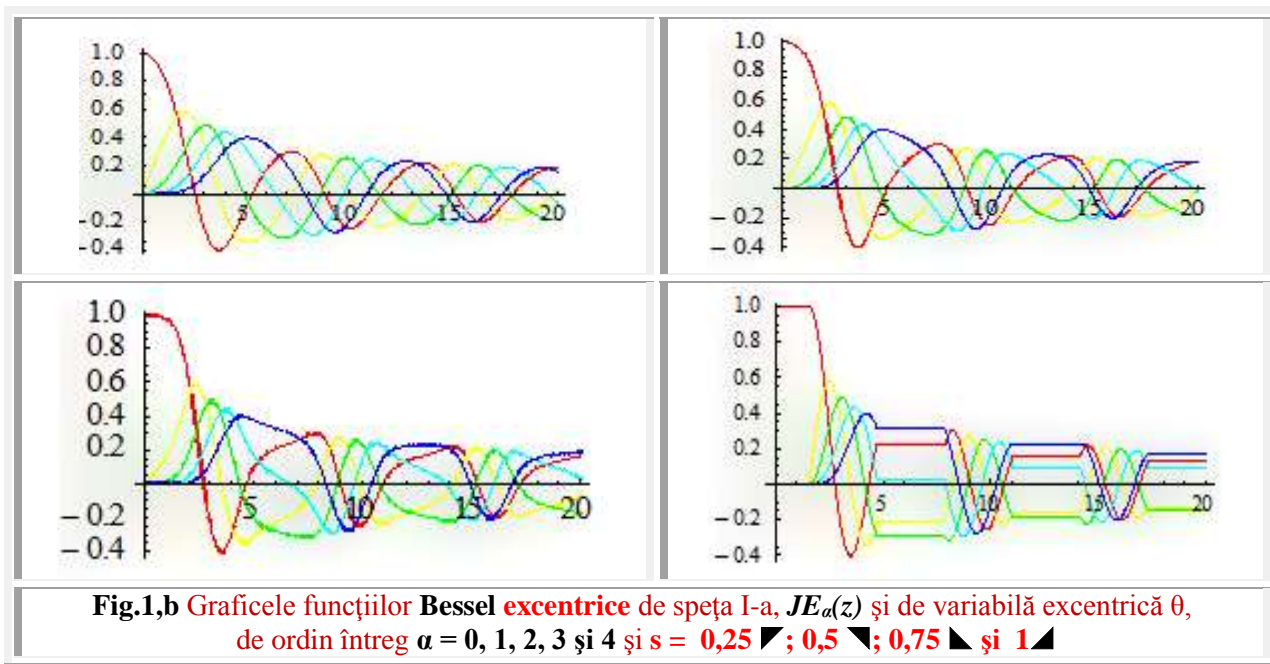


Fig.1,a Graficele funcțiilor **Bessel excentrice** de speța I-a, $JE_\alpha(z)$ și de variabilă excentrică θ , de ordin întreg $\alpha = 0 \blacktriangleright, 1 \blacktriangledown, 2 \blacktriangle, 3 \blacktriangleleft$ și de **excentricitate numerică $s \in [-1, +1]$**



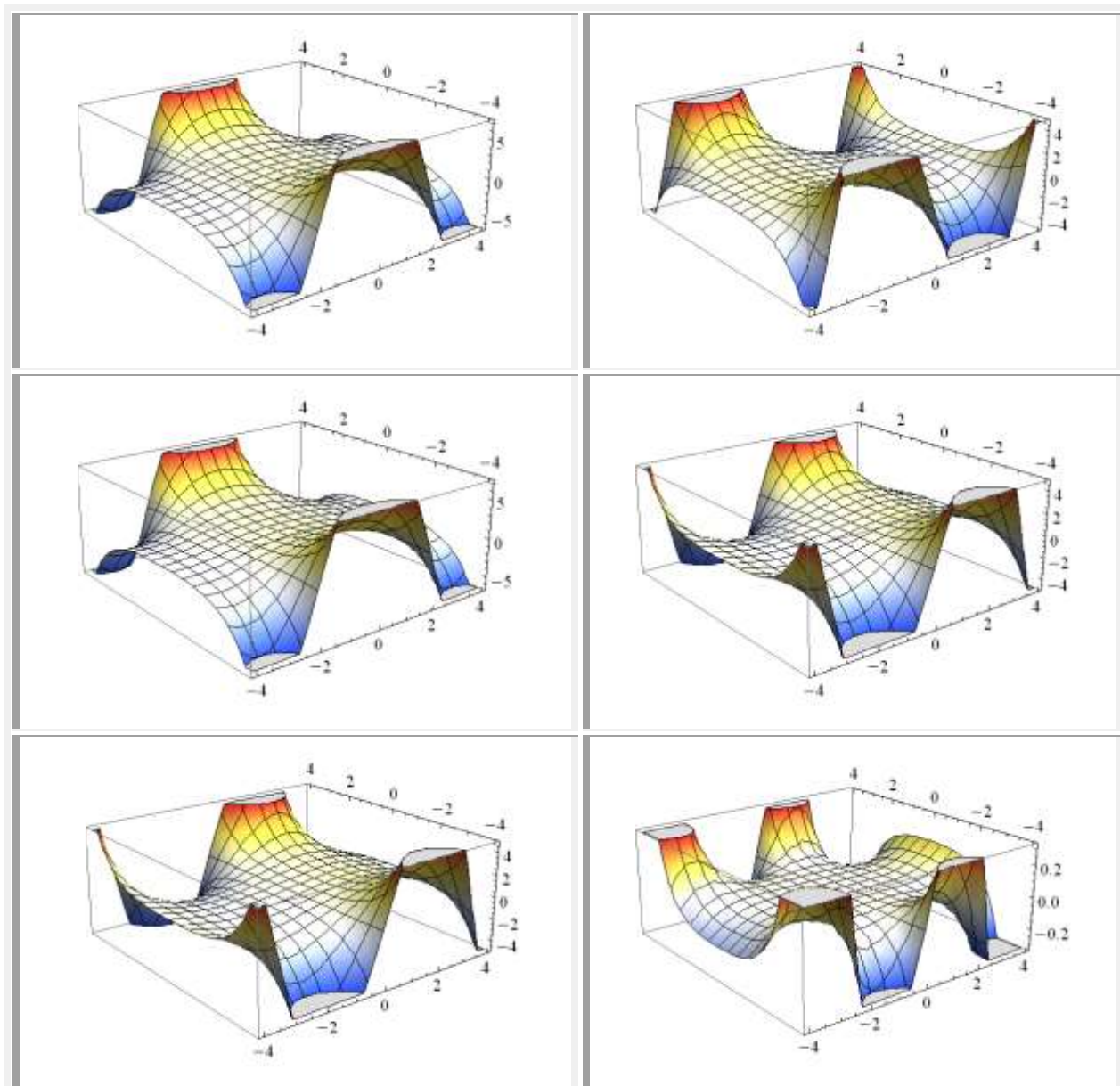


Fig.2,a Graficele funcțiilor Bessel **excentrice** de speța I-a, $JE_\alpha(z)$ și de variabilă excentrică θ , de ordin întreg $\alpha = -5, -1, 0, 1, 3$ și 5 pentru $s = 0,25$ în complex, partea reală

Ecuția **FSM-CE** $aex\theta$ este dată de expresia (4 și 8), iar cea de variabilă centrică α de relația (9)

$$(8) \quad \alpha(\theta) = aex[\theta, S(s, \varepsilon)] \equiv aex\theta = \theta - \beta(\theta) = \theta - bex(\theta) = \theta - \arcsin[s \cdot \sin(\theta - \varepsilon)]$$

$$(9) \quad \theta(\alpha) = Aex[\alpha, S(s, \varepsilon)] \equiv Aex\alpha = \alpha + \beta(\alpha) = \alpha + Bex(\alpha) = \alpha + \arcsin\left[\frac{s \cdot \sin(\alpha - \varepsilon)}{Rex\alpha}\right] =$$

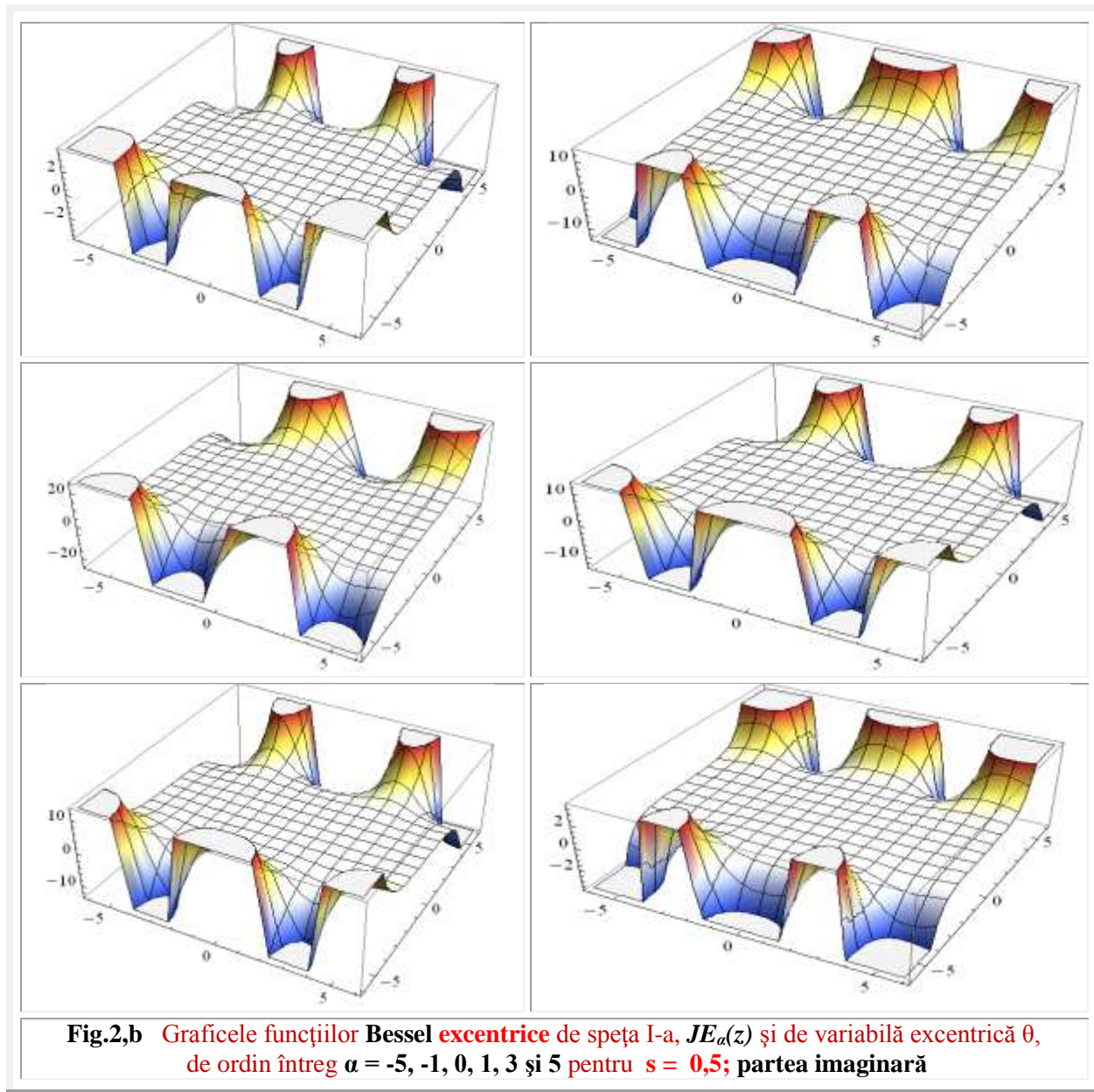
$$= \alpha + \arctan\frac{s \cdot \sin\alpha}{1 - s \cos(\alpha - \varepsilon)}.$$

În consecință, funcțiile Besel **excentrice** de speța I-a J de variabilă excentrică θ sunt

$$(10) \quad J_\alpha(\theta) = \sum_{m=0}^{\infty} \frac{(-1)^m}{m! \Gamma(m+\alpha+1)} \left(\frac{\alpha(\theta)}{2}\right)^{2m+\alpha} = \sum_{m=0}^{\infty} \frac{(-1)^m}{m! \Gamma(m+\alpha+1)} \left(\frac{\theta - \arcsin[s \cdot \sin(\theta - \varepsilon)]}{2}\right)^{2m+\alpha},$$

iar cele de variabilă centrică vor fi

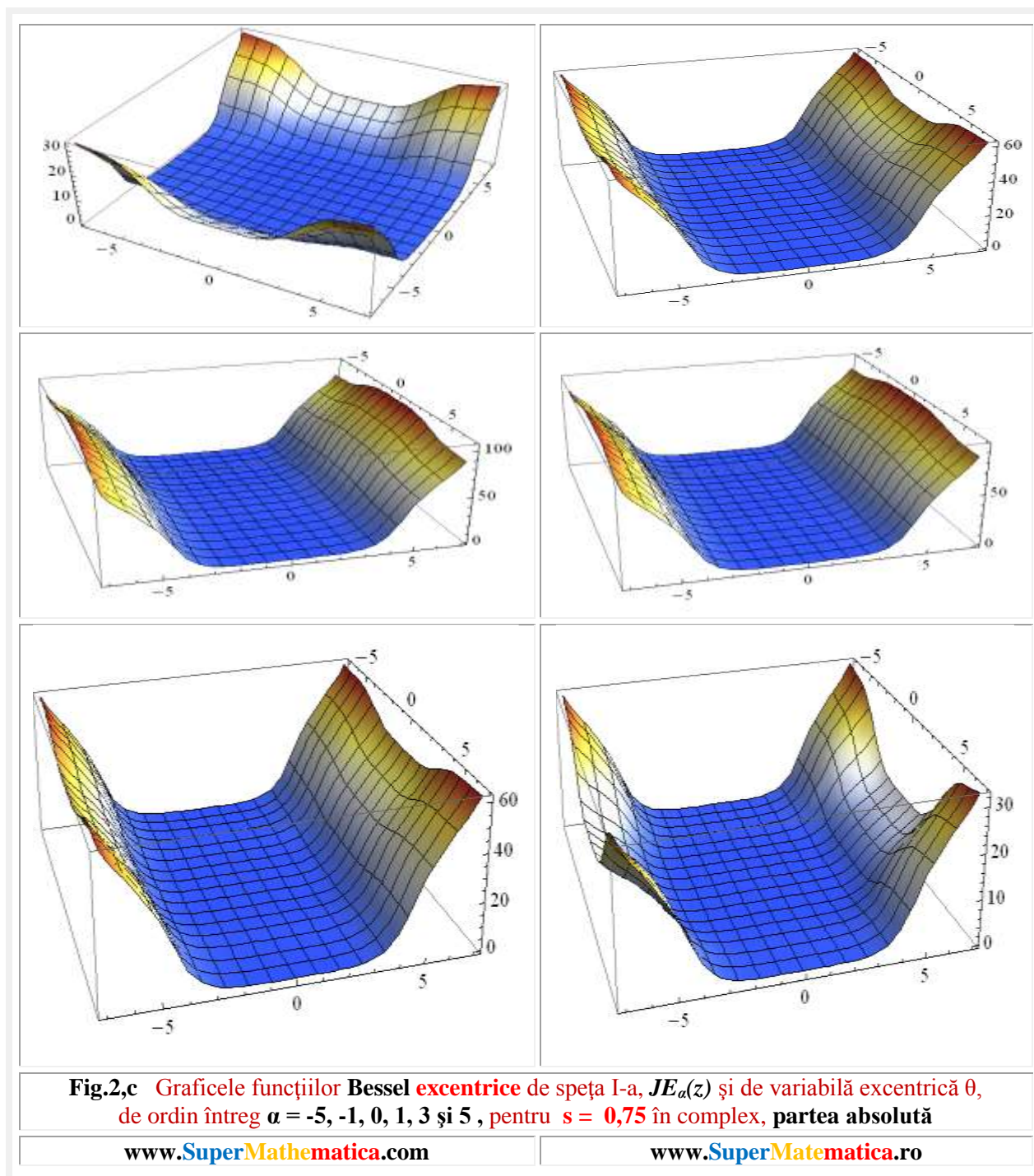
$$(11) \quad J_{\alpha}(\theta(\alpha)) = \sum_{m=0}^{\infty} \frac{(-1)^m}{m! \Gamma(m+\alpha+1)} \left(\frac{\theta(\alpha)}{2} \right)^{2m+\alpha} = \sum_{m=0}^{\infty} \frac{(-1)^m}{m! \Gamma(m+\alpha+1)} \left(\frac{\alpha + \arcsin[s \cdot \sin(\alpha - \varepsilon)]}{2Rex\alpha} \right)^{2m+\alpha}$$



Graficele acestora, în comparație cu ale celor centrice [*Nota I: Fig.1 și Fig.2*], sunt prezentate, în plan, în **figura 1,a**, ca funcții de $\alpha \in [0, 3]$ cu pasul 1 și de **excentricitate numerică** $s \in [-1, +1]$ cu pasul 0,1.

Se poate observa că fiecare **funcție Bessel centrică** este unică, în timp ce **funcțiile supermatematice Bessel excentrice (FSM-BE)** au *câte o infinitate* de membri / funcții.

În **figura 1,b** sunt prezentate suprapus cele cinci tipuri de **FSM-BE** pentru $\alpha = 0, 1, 2, 3$ și 4 și de excentricitate numerică $s = 0,25; 0,5; 0,75; 1$.



În figura 1,c sunt prezentate, tot în 2D și funcțiile Bessel de ordin întreg negativ, adică pentru ordinele întregi $\alpha \in [-5, +5]$, cu pasul $p = 1$.

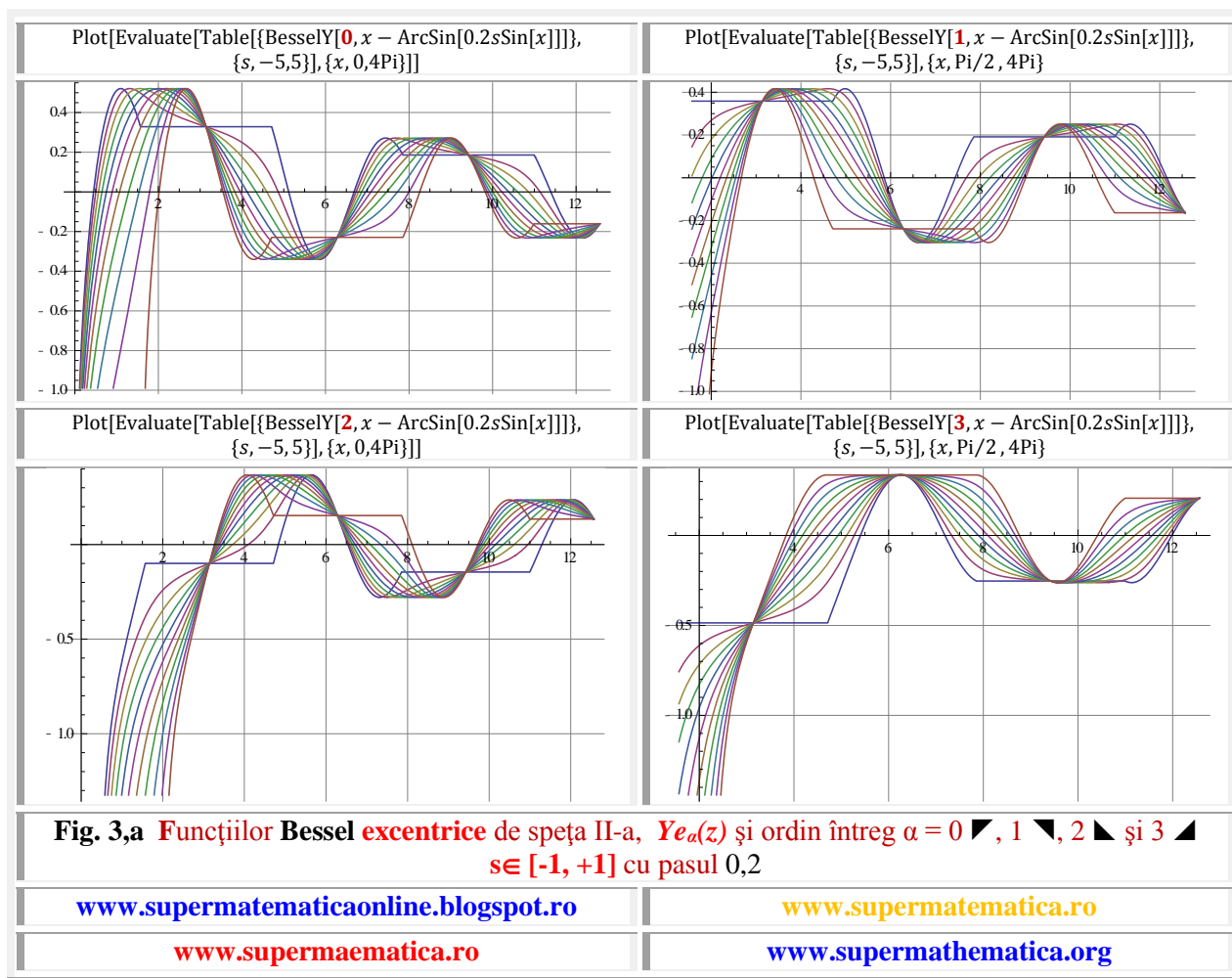
FSM-BE în planul complex sunt prezentate în figurile 2,a \rightarrow Re , 2,b \rightarrow Im și 2,c \rightarrow Abs.

2.3 FUNCȚII BESSEL EXCENTRICE DE SPEȚA A DOUA Y_{E_α}

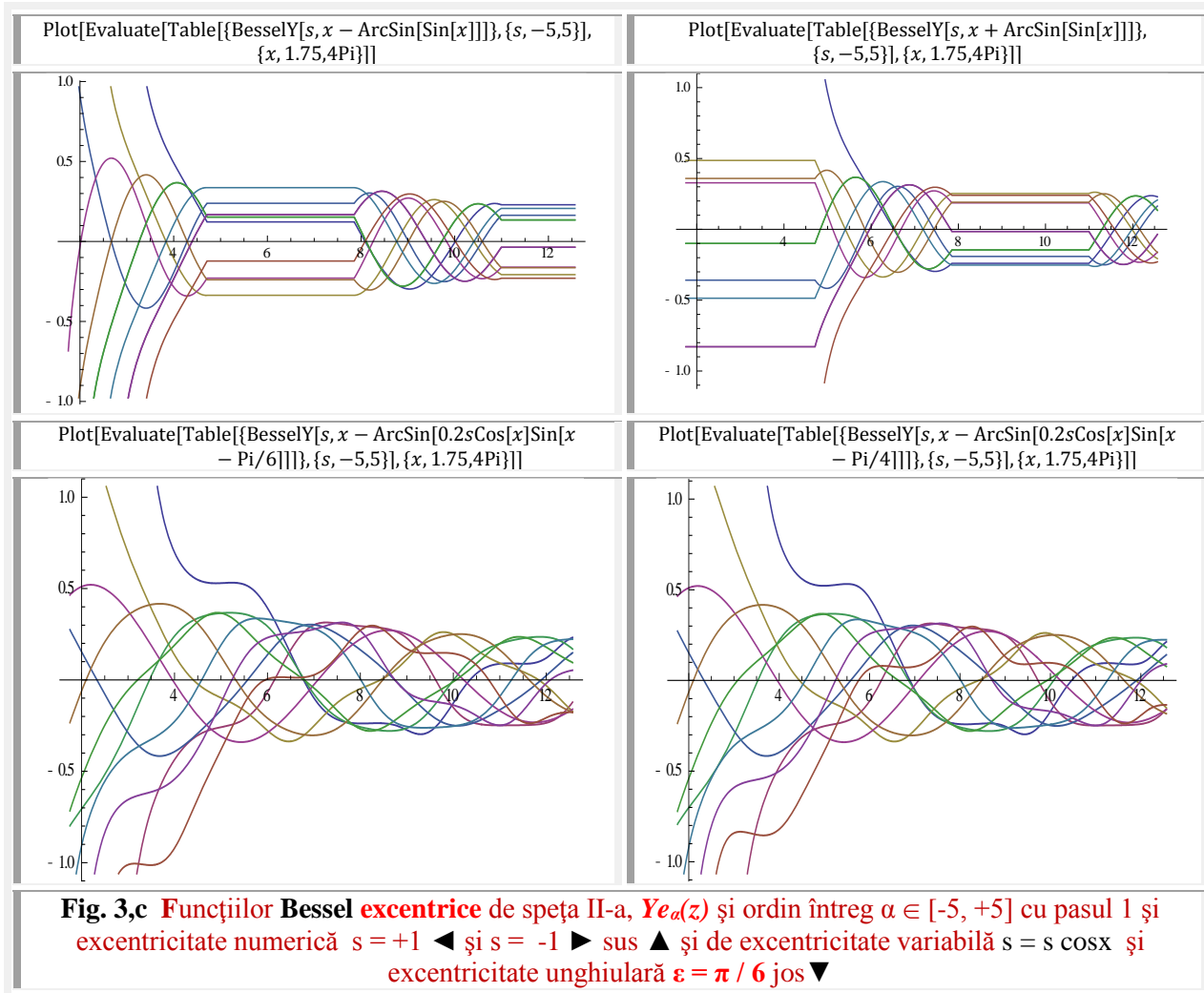
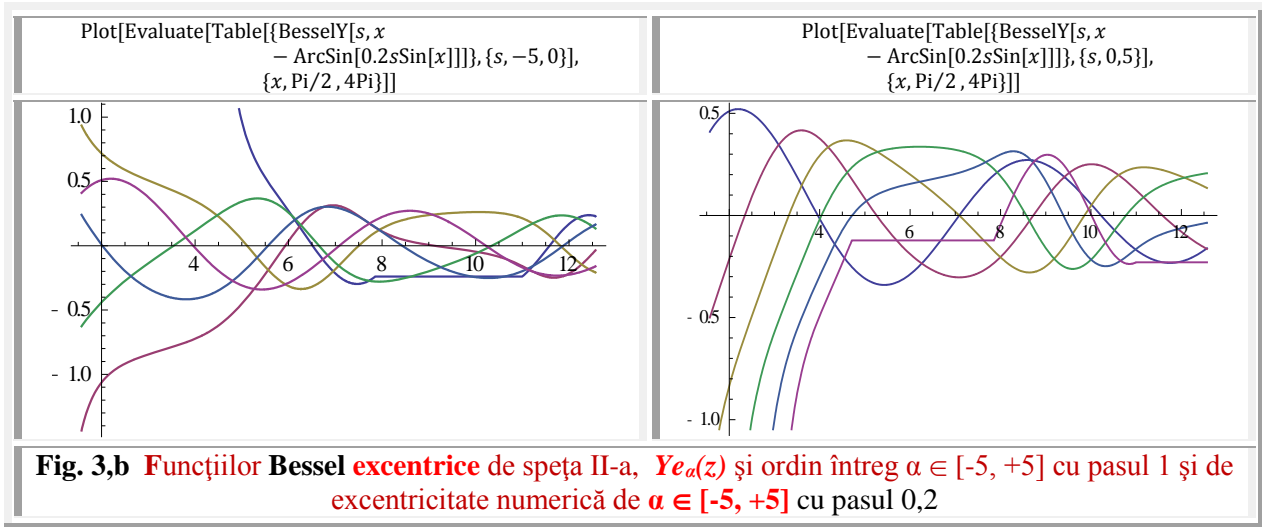
Graficele funcțiilor Bessel excentrice (FSM-BE) de speța a doua Y_{E_α} sau Y_{E_n} sunt prezentate în figura 2,a pentru ordin întreg $\alpha = 0 \blacktriangledown, 1 \blacktriangledown, 2 \blacktriangledown$ și $3 \blacktriangleleft$ și pentru excentricități numerice $s \in [-1, +1]$ cu pasul 0,2.

În figura 2,b sunt prezentate FSM-BE de speța a doua Y_{E_n} și ordin întreg $\alpha \in [-5, +5]$ cu pasul 1 și de excentricitate numerică $s \in [-5, +5]$ cu pasul 0,2, așa cum rezultă și din ecuațiile prezentate în figură, iar funcțiile Bessel excentrice de speța II-a, $Y_{E_\alpha}(z)$ și ordin întreg $\alpha \in [-5, +5]$ cu pasul 1 și de excentricitate numerică $s = +1 \blacktriangleleft$ și $s = -1 \blacktriangleright$ precum și de excentricitate unghiulară $\varepsilon = 0$ sunt prezentate în figura 2,c sus \blacktriangle , iar cele de alte valori ale excentricității unghiulare ($\varepsilon = \frac{\pi}{6}$) jos \blacktriangledown .

În figura 3 sunt prezentate FSM-BE de speța a doua Y_{E_n} în planul complex: Re în Fig.3,a, Im în Fig.3,b și Abs în Fig.3,c.



Pasul a fost mărit de la 0,1 la 0,2 pentru ca graficele individuale ale fiecărei curbe să devină mai lizibile în detrimentul reducerii numărului de curbe de la 21 la 11. Sunt prezentate, în planul complex 2D, în graficele din figura 4,a de ordin întreg $\alpha = 0 \blacktriangledown, 1 \blacktriangledown, 2 \blacktriangledown$ și $3 \blacktriangleleft$, iar cele 5 de ordin întreg $\alpha = 0, 1, 2, 3$ și 4 și excentricitate numerică $s = 0,25 \blacktriangledown; 0,5 \blacktriangledown; 0,75 \blacktriangledown$ și $0,98 \blacktriangleleft$ în figura 4,b.



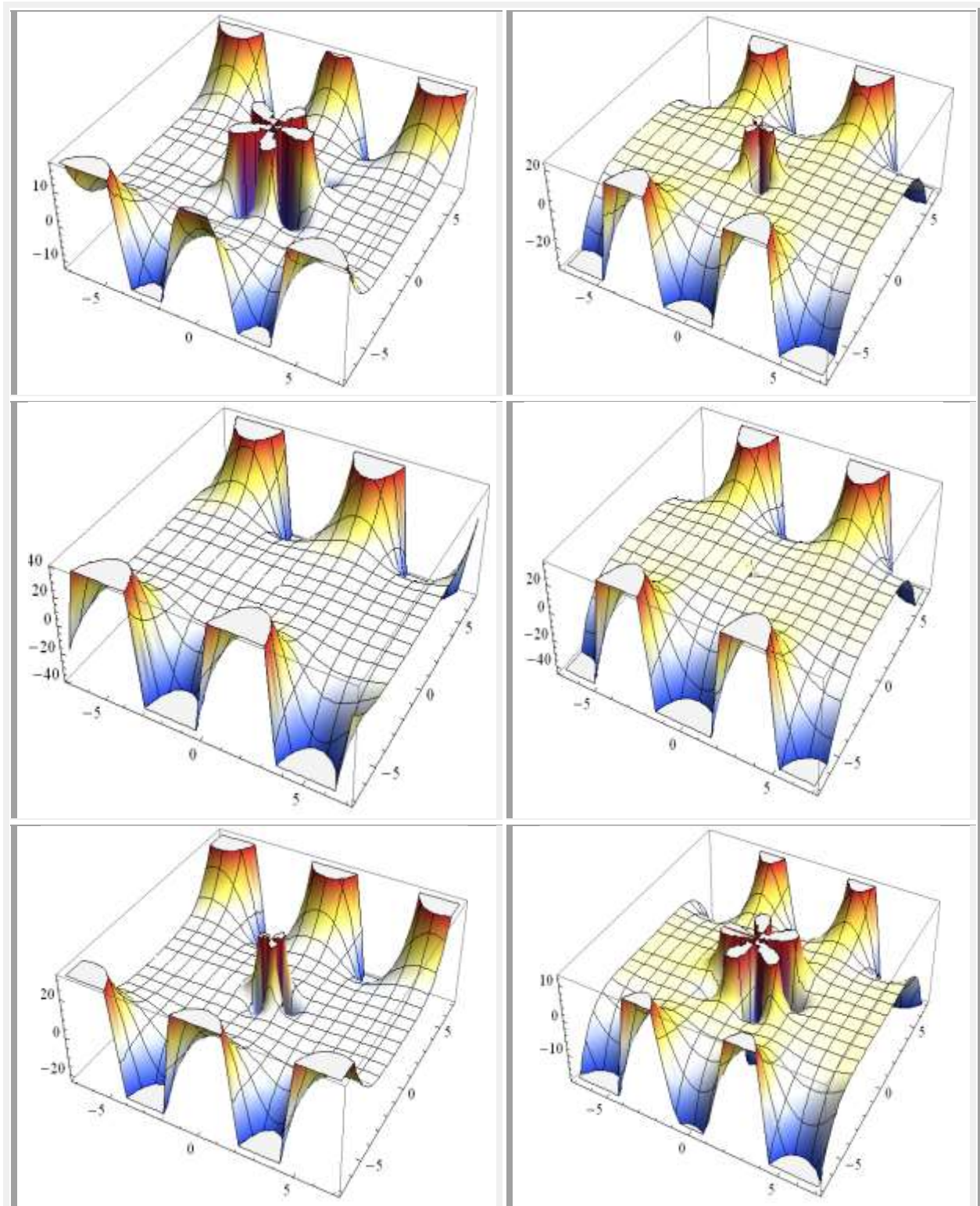


Fig. 4,a Funcțiilor Bessel excentrice de speța II-a, $Y_e(z)$ și ordin întreg în planul complex, partea reală, ordin întreg $\alpha = -5, -1, 0, 1, 3$ și 5 , pentru $s = 0,25 \blacktriangledown$; $0,5 \blacktriangledown$; $0,75 \blacktriangledown$; $0,998 \blacktriangleleft$

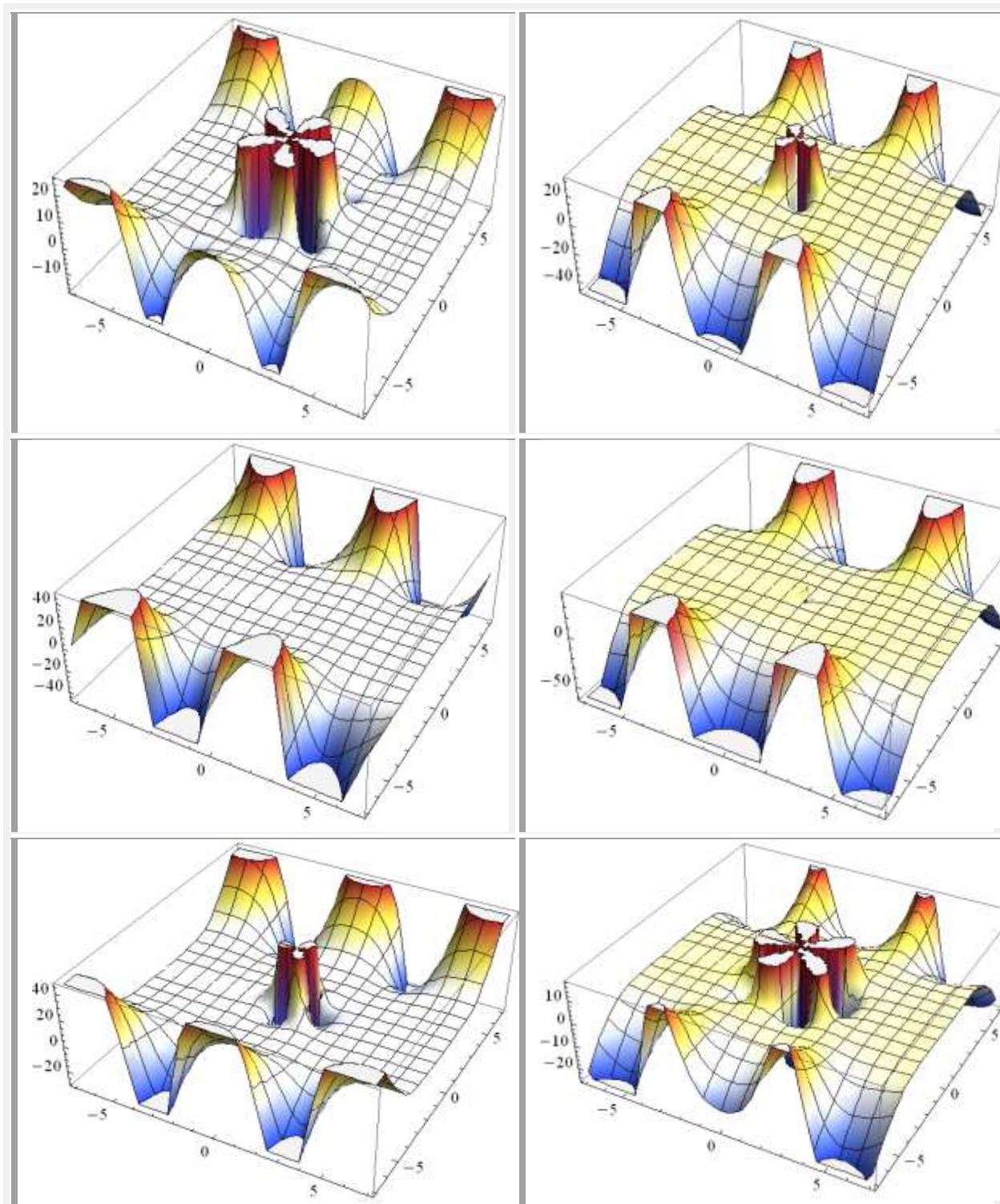


Fig. 4,b Funcțiilor Bessel **excentrice** de speța II-a, $Y_{\alpha}(z)$ și ordin întreg în planul complex, partea reală, ordin întreg $\alpha = -5, -1, 0, 1, 3$ și 5 , pentru $s = 0,5$

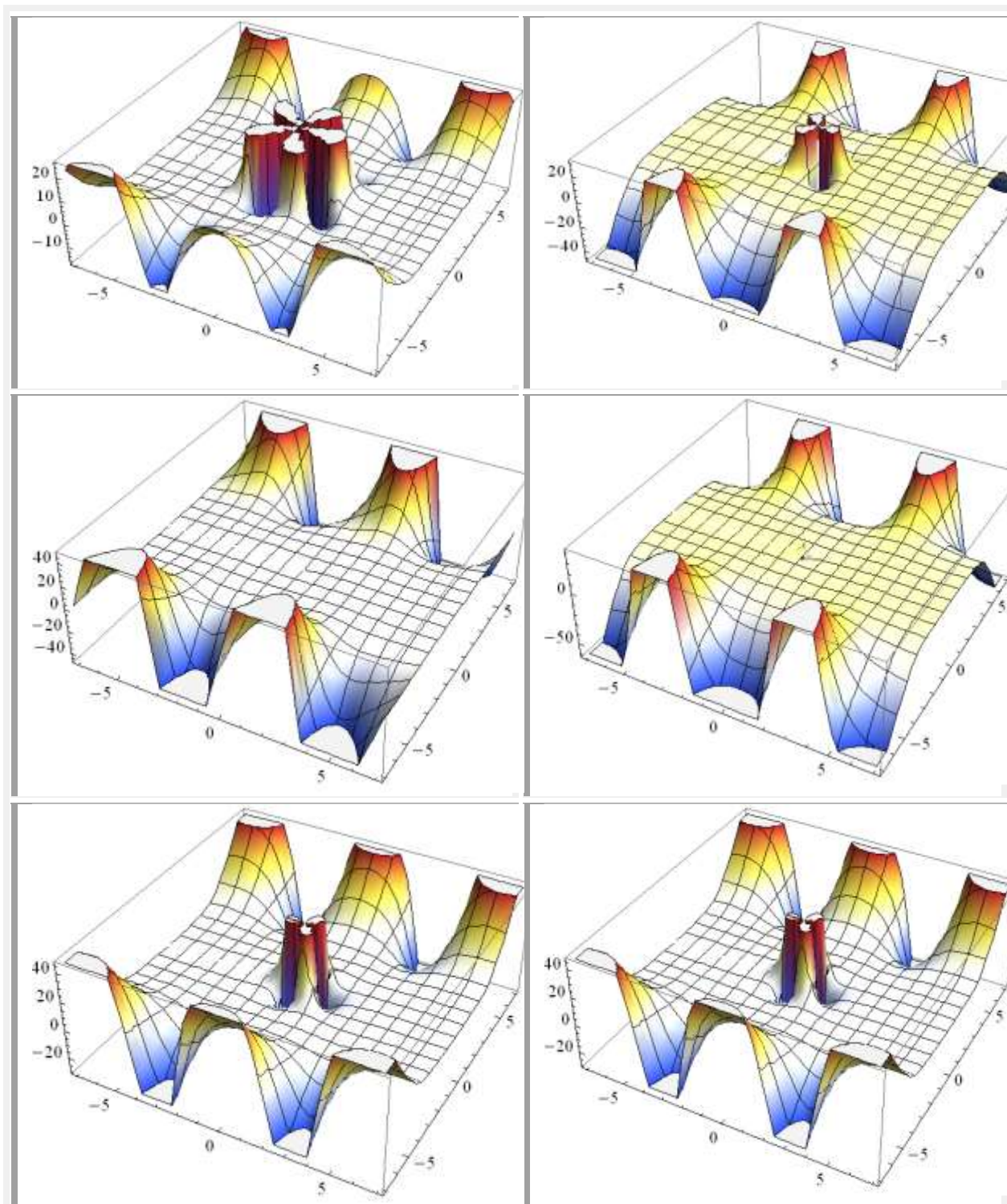


Fig. 4,c Funcțiilor Bessel **excentrice** de speța II-a, $Ye_\alpha(z)$ și ordin întreg în planul complex, partea reală, ordin întreg $\alpha = -5, -1, 0, 1, 3$ și 5 , pentru $s = 0,75$

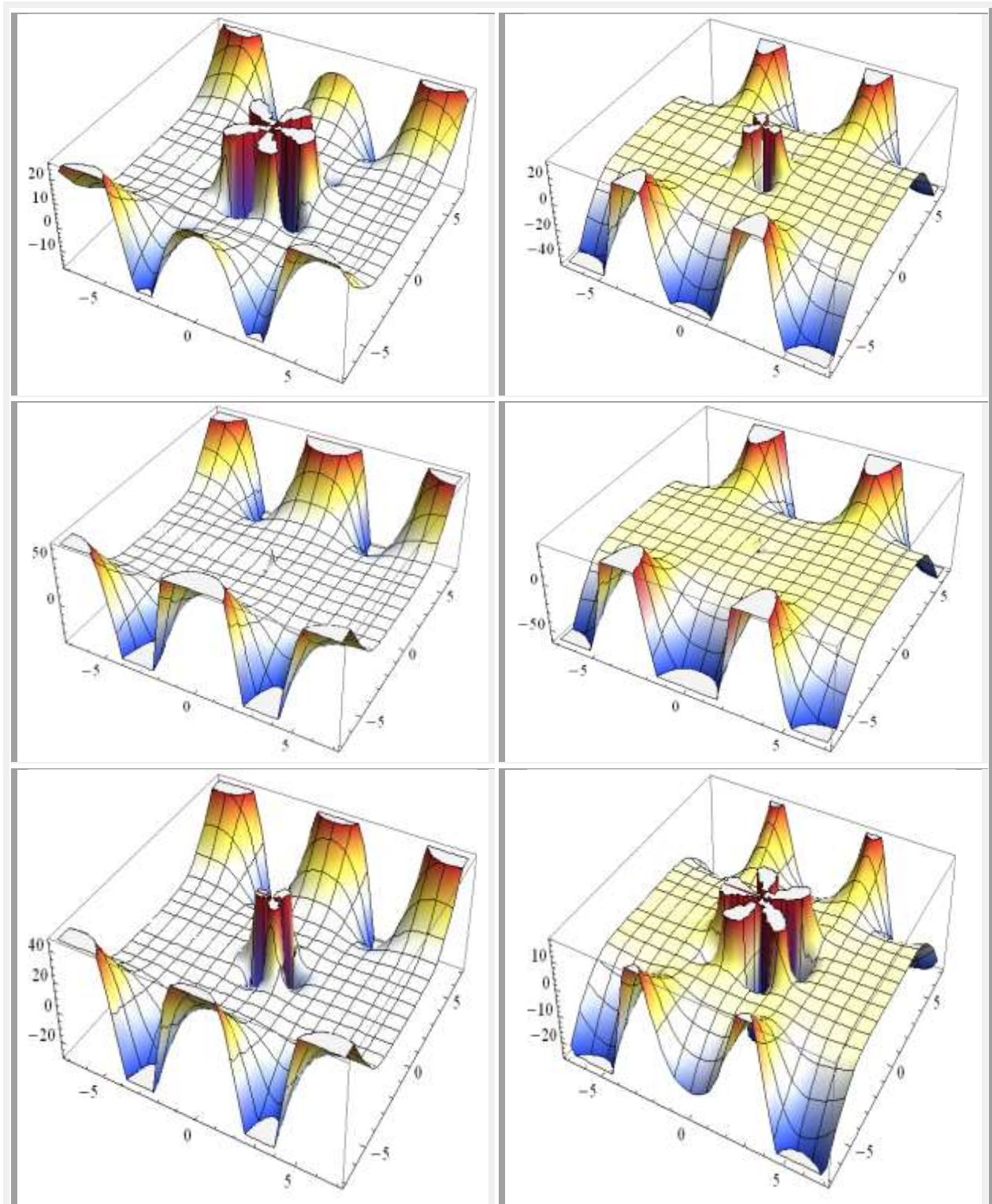
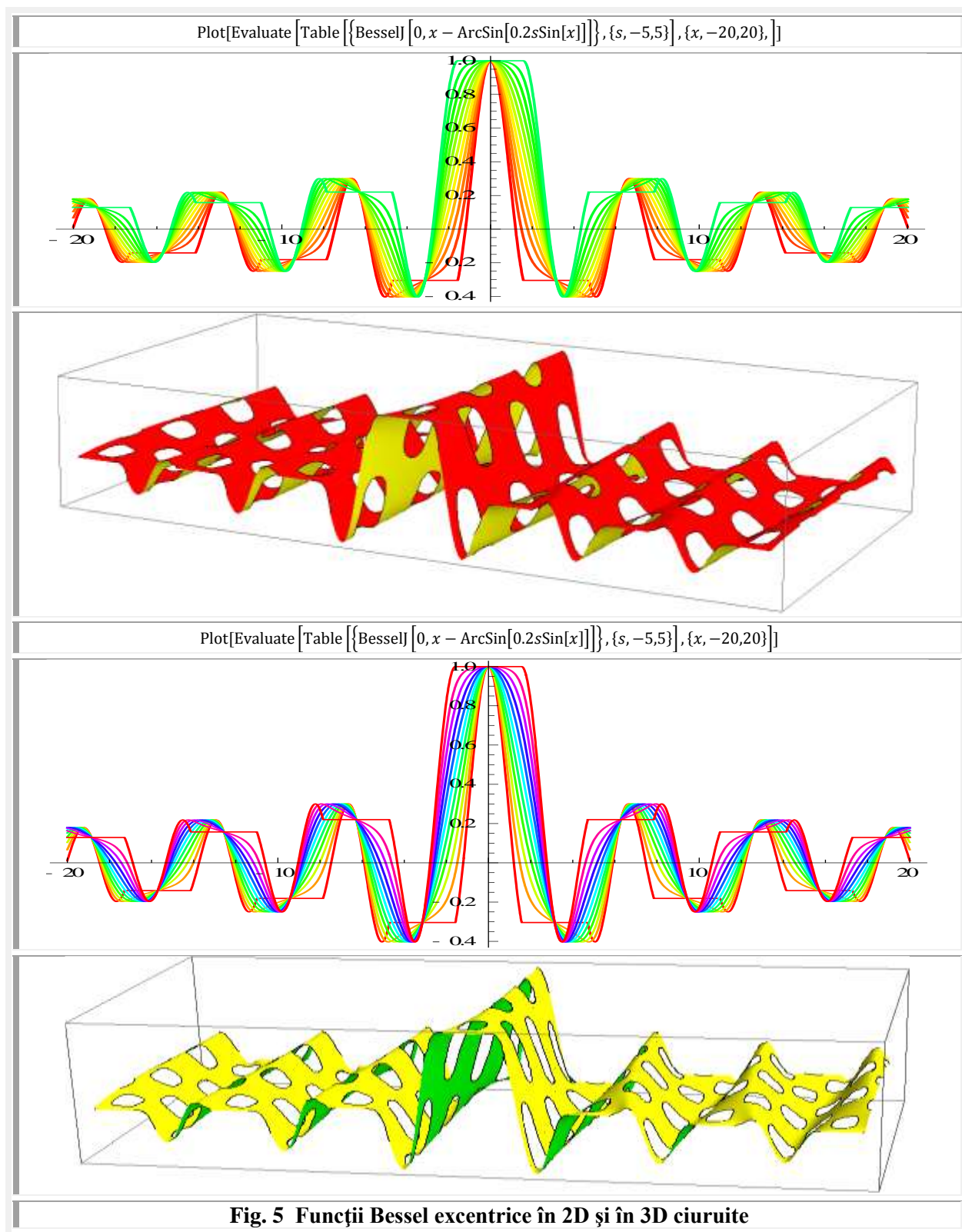


Fig. 4,d Funcțiilor Bessel **excentrice** de speța II-a, $Ye_{\alpha}(z)$ și ordin întreg în planul complex, partea reală, ordin întreg $\alpha = -5, -1, 0, 1, 3$ și 5 , pentru $s = 0,95$



BIBLIOGRAFIE

- | | | | |
|----|-------------------------|---|---|
| 1 | Şelariu Mircea
Eugen | FUNCTII CIRCULARE EXCENTRICE | Com. I Conferință Națională de
Vibrații în Construcția de Mașini,
Timișoara , 1978, pag.101...108. |
| 2 | Şelariu Mircea
Eugen | FUNCTII CIRCULARE EXCENTRICE și
EXTENSIA LOR. | Bul .St.și Tehn. al I.P. ”TV”
Timișoara, Seria Mecanică, Tomul
25(39), Fasc. 1-1980, pag. 189...196 |
| 3 | Şelariu Mircea
Eugen | STUDIUL VIBRAȚIILOR LIBERE ale
UNUI SISTEM NELINIAR,
CONSERVATIV cu AJUTORUL
FUNCTIILOR CIRCULARE
EXCENTRICE | Com. I Conf. Naț. Vibr.în C.M.
Timișoara,1978, pag. 95...100 |
| 4 | Şelariu Mircea
Eugen | APLICAȚII TEHNICE ale FUNCTIILOR
CIRCULARE EXCENTRICE | Com.a IV-a Conf. PUPR, Timișoara,
1981, Vol.1. pag. 142...150 |
| 5 | Şelariu Mircea
Eugen | THE DEFINITION of the ELLIPTIC
ECCENTRIC with FIXED ECCENTER | A V-a Conf. Naț. de Vibr. în Constr. de
Mașini,Timișoara, 1985, pag. 175...182 |
| 6 | Şelariu Mircea | ELLIPTIC ECCENTRICS with
MOBILE ECCENTER | IDEM , pag. 183...188 |
| 7 | Şelariu Mircea
Eugen | CIRCULAR ECCENTRICS and
HYPERBOLICS ECCENTRICS | Com. a V-a Conf. Naț. V. C. M.
Timișoara, 1985, pag. 189...194. |
| 8 | Şelariu Mircea
Eugen | ECCENTRIC LISSAJOUS FIGURES | IDEM, pag. 195...202 |
| 9 | Şelariu Mircea
Eugen | FUNCTIILE SUPERMATEMATICE cex
și sex- SOLUȚIILE UNOR SISTEME
MECANICE OSCILANTE NELINIARE | Com. a VII-a Conf.Naț. V.C.M.,
Timișoara,1993, pag. 275...284. |
| 10 | Şelariu Mircea
Eugen | <u>SUPERMATEMATICA</u> | Com.VII Conf. Internaț. de Ing.
Manag. și Tehn.,TEHNO’95
Timișoara, 1995, Vol. 9: Matematica
Aplicată, pag.41...64 |
| 11 | Şelariu Mircea
Eugen | FORMA TRIGONOMETRICĂ a SUMEI
și a DIFERENȚEI NUMERELOR
COMPLEXE | Com.VII Conf. Internaț. de Ing.
Manag. și Tehn., TEHNO’95
Timișoara, 1995, Vol. 9: Matematică
Aplicată, pag. 65...72 |
| 12 | Şelariu Mircea
Eugen | MIȘCAREA CIRCULARĂ
EXCENTRICĂ | Com.VII Conf. Internaț. de Ing.
Manag. și Tehn. TEHNO’95.,
Timișoara, 1995 Vol.7: Mecatronică,
Dispozitive și Rob.Ind.,pag. 85...102 |
| 13 | Şelariu Mircea
Eugen | RIGIDITATEA DINAMICĂ
EXPRIMATĂ
CU FUNCTII SUPERMATEMATICE | Com.VII Conf. Internaț. de Ing.
Manag. și Tehn., TEHNO’95
Timișoara, 1995 Vol.7: Mecatronică,
Dispoz. și Rob.Ind.,pag. 185...194 |

- | | | | |
|----|-------------------------|--|---|
| 14 | Şelariu Mircea
Eugen | DETERMINAREA ORICÂT DE EXACTĂ
A RELAȚIEI DE CALCUL A
INTEGRALEI ELIPTICE COMPLETE
DE SPEȚA INTĂIA $K(k)$ | Bul. VIII-a Conf. de Vibr. Mec.,
Timișoara, 1996, Vol III,
pag.15 ... 24. |
| 15 | Şelariu Mircea
Eugen | FUNȚII SUPERMATEMATICE
CIRCULARE EXCENTRICE DE
VARIABILĂ CENTRICĂ | TEHNO ' 98. A VIII-a Conferința de
Inginerie Menagerială și Tehnologică,
Timișoara 1998,
pag 531..548 |
| 16 | Şelariu Mircea
Eugen | FUNȚII DE TRANZIȚIE
INFORMAȚIONALĂ | TEHNO ' 98. A VIII-a Conferința de
Inginerie Menagerială și Tehnologică,
Timișoara 1998,
Pag. 549... 556 |
| 17 | Şelariu Mircea
Eugen | FUNȚIILE SUPERMATEMATICE
CIRCULARE EXCENTRICE DE
VARIABILĂ CENTRICĂ CA SOLUȚII
ALE UNOR SISTEME OSCILANTE
NELINIARE | TEHNO ' 98. A VIII-a Conferința de
Inginerie Menagerială și Tehnologică,
Timișoara 1998,
Pag. 557...572 |
| 18 | Şelariu Mircea
Eugen | INTRODUCEREA STRĂMBEI ÎN
MATEMATICĂ | Lucr. Simp. Național "Zilele Universității
Gh. Anghel" Ed. II-a, Drobeta Turnu
Severin, 16-17 mai 2003, pag. 171 ... 178 |
| 19 | Şelariu Mircea
Eugen | QUADRILOBIC VIBRATION SYSTEMS | The 11 –th International Conference on
Vibration Engineering, Timișoara,
Sept. 27-30, 2005 pag. 77 ... 82 |
| 20 | Şelariu Mircea
Eugen | SMARANDACHE STEPPED
FUNCTIONS | Revista: "Scientia Magna" Vol. 3, No.
1, 2007, ISSN 1556-6706 |
| 21 | Şelariu Mircea
Eugen | TEHNO ART OF ŞELARIU
SUPERMATEMATICS FUNCTIONS | (ISBN-10):1-59973-037-5
(ISBN-13):974-1-59973-037-0
(EAN): 9781599730370 |
| 22 | Şelariu Mircea
Eugen | PROIECTAREA DISPOZITIVELOR DE
PRELUCRARE, Cap. 17 din PROIECTAREA
DISPOZITIVELOR | Editura Didactică și Pedagogică,
București, 1982, pag. 474 ... 543 |
| 23 | Petrișor Emilia | ON THE DYNAMICS OF THE
DEFORMED STANDARD MAP | Workshop Dynamics Days'94,
Budapest, si Analele Univ.din
Timisoara, Vol.XXXIII, Fasc.1-1995,
Seria Mat.-Inf.,pag. 91...105 |
| 24 | Petrișor Emilia | SISTEME DINAMICE HAOTICE | Seria Monografii matematice,
Tipografia Univ. de Vest din
Timișoara, 1992 |
| 25 | Petrișor Emilia | RECONNECTION SCENARIOS AND
THE THERESHOLD OF
RECONNECTION IN THE DYNAMICS
OF NONTWIST MAPS | Chaos, Solitons and Fractals, 14 (2002) 117...127 |
| 27 | Cioara Romeo | FORME CLASICE PENTRU FUNȚII
CIRCULARE EXCENTRICE | Proceedings of the Scientific
Communications Meetings of "Aurel
Vlaicu" University, Third Edition,
Arad, 1996, pg.61 ..65 |
| 28 | Preda Horea | REPREZENTAREA ASISTATĂ A
TRAIECTORILOR ÎN PLANUL
FAZELOR A VIBRAȚIILOR
NELINIARE | Com. VI-a Conf.Naț.Vibr. în C.M.
Timișoara, 1993 |

- 29 Filipescu Avram **APLICAREA FUNCŢIILOR (ExPH)
EXCENTRICE PSEUDOHIPERBOLICE
ÎN TEHNICA** Com.VII-a Conf. Internat.de Ing.
Manag. Şi Tehn. TEHNO'95,
Timișoara, Vol. 9. Matematica
aplicată., pag. 181 ... 185
- 30 Dragomir **UTILIZAREA FUNCŢIILOR
LUCIAN
SUPERMATEMATICE ÎN CAD / CAM :
(Toronto
SM-CAD / CAM. Nota I-a:
- Canada)
REPREZENTARE ÎN 2D** Com.VII-a Conf. Internaț.de Ing.
Manag. și Tehn. TEHNO'95,
Timișoara, Vol. 9. Matematică
aplicată., pag. 83 ... 90
- 31 Şelariu Şerban **UTILIZAREA FUNCŢIILOR
SUPERMATEMATICE ÎN CAD / CAM :
SM-CAD / CAM. Nota I I –a:
REPREZENTARE ÎN 3D** Com.VII-a Conf. Internaț.de Ing. Manag. și
Tehn. TEHNO'95, Timișoara, Vol. 9.
Matematică Aplicată., pag. 91 ... 96
- 32 Staicu Florentiu **DISPOZITIVE UNIVERSALE de
PRELUCRARE a SUPRAFEŢELOR
COMPLEXE de TIPUL EXCENTRICELOR
ELIPTICE** Com. Ses. Anuale de Com.Şt. Oradea,
1994
- 33 George LeMac **THE ECCENTRIC TRIGONOMETRIC
FUNCTIONS: AN EXTENTION OF
CLASSICAL TRIGONOMETRIC
FUNCTIONS.** The University of Western Ontario,
London, Ontario, Canada Department of
Applied Mathematics May 18, 2001
- 34 Şelariu Mircea **INTEGRALELE UNOR FUNCŢII
AJIDUAH CRISTOPH
BOZÂNTAN EMIL
SUPERMATEMATICE (USA)** Com. VII Conf.Internaț.de Ing.Manag.
și Tehn. TEHNO'95 Timișoara.
1995,Vol.IX: Matem.Aplic.
pag.73...82
- 35 Filipescu Avram **ANALIZA CALITĂŢII MIŞCĂRIILOR
ŞELARIU MIRCEA
PROGRAMATE cu FUNCŢII
FRITZ GEORG (G)
SUPERMATEMATICE MESZAROS A.(G)** IDEM, Vol.7: Mecatronică,
Dispozitive și Rob.Ind.,
pag. 163...184
- 36 Şelariu Mircea **ALTALANOS SIKMECHANIZMUSOK
SZEKELY BARNA
FORDULATSZAMAINAK ATVITELI
(Ungaria)
FUGGVENYEI MAGASFOKU
MATEMATIKAVÁL** Bul.Şt al Lucr. Prem.IV,Universitatea
din Budapesta, nov. 1992
- 37 Şelariu Mircea **A FELSOFOKU MATEMATIKA
POPOVICI MARIA
ALKALMAZASAI** Bul.Şt al Lucr. Prem.IV, Universitatea
din Budapesta, nov. 1994
- 38 Smarandache **IMMEDIATE CALCULATION OF SOME
FLORENTIN
POISSON TYPE INTEGRALS USING
ŞELARIU MIRCEA
SUPERMATHEMATICS CIRCULAR
EUGEN
EXCENTRIC FUNCTIONS** <http://arxiv.org/abs/0706.4238> Archiv
[arXiv \(United States\)](http://arxiv.org/abs/0706.4238)
[viXra.org > Functions and Analysis >](http://arxiv.org/abs/0706.4238)
viXra:1004.0053
- 39 König Mariana **PROGRAMAREA MIŞCĂRII DE
ŞELARIU MIRCEA
CONTURARE A ROBOŢILOR
INDUSTRIALI cu AJUTORUL
FUNCŢIILOR TRIGONOMETRICE
CIRCULARE EXCENTRICE** MEROTEHNICA, Al V-lea Simp.
Naț.de Rob.Ind.cu Part .Internaț.
Bucuresti, 1985, pag.419...425
- 40 König Mariana **PROGRAMAREA MIŞCĂRII de
ŞELARIU MIRCEA
CONTURARE ale R I cu AJUTORUL
FUNCŢIILOR TRIGONOMETRICE
CIRCULARE EXCENTRICE,** Merotehnica, V-lea Simp. Naț.de RI cu
participare internațională, Buc.,1985,
pag. 419 ... 425.
- 41 König Mariana **THE STUDY OF THE UNIVERSAL
ŞELARIU MIRCEA
PLUNGER IN CONSOLE USING THE
ECCENTRIC CIRCULAR FUNCTIONS** Com. V-a Conf. PUPR, Timișoara,
1986, pag.37...42

- | | | | |
|----|---|--|---|
| 42 | Ștaicu Florențiu
Șelariu Mircea | CICLOIDELE EXPRIMATE CU
AJUTORUL FUNCȚIEI
SUPERMATEMATICE $\text{rex}\theta$ | Com. VII Conf. Internațională de
Ing.Manag. și Tehn, Timișoara
“TEHNO’95”pag.195-204 |
| 43 | Gheorghiu Em.
Octav
Șelariu Mircea
Bozantan Emil | FUNȚII CIRCULARE EXCENTRICE
DE SUMA DE ARCE | Ses.de com.st.stud.,Secția
Matematică,Timișoara, Premiul II la
Secția matematică pe 1983 |
| 44 | Gheorghiu
Emilian Octav
Șelariu Mircea
Cojerean Ovidiu | FUNȚII CIRCULARE EXCENTRICE.
DEFINIȚII, PROPRIETĂȚI, APLICAȚII
TEHNICE | Ses. De com.șt.stud. Secția
Matematică, premiul II la Secția
Matematică pe 1985. |
| 45 | Șelariu Mircea
Eugen | CINETOSTATICĂ GEOMETRICĂ
(METODA SEPARĂRII MOMENTELEOR)
ANALIZA AUTOFRĂNĂRII
MECANISMELOR DE PREHENSIVUNE
PRIN METODA SEPARARII
MOMENTELEOR | Com. Primului Simpozion de Roboți
Industriali, Buc. 1981, pag. 378...384
Com.I Simp. Naț.de Rob.Ind.,
Buc., 1981 |
| 46 | Șelariu Mircea
Eugen
Mădăraș Lucian | PRIN METODA SEPARARII
MOMENTELEOR | |
| 47 | Savii Gh.
Șelariu Mircea
Vucu I.,Pop I.
Demian Ioan | STUDIUL RIGIDITĂȚII ANSAMBLULUI
CĂRUCIOR AL STRUNGULUI SN-400, | Bul.Șt.și Tehn.al IP Timișoara, Tom.11
(25) Fasc.2, 1966, pag. 731...740 |
| 48 | Savii Gh.
Pop Ion
Șelariu Mircea | CONTRIBUȚII la DETERMINAREA
RIGIDITĂȚII STRUNGURILOR
NORMALE, CU REFERIRE LA
STRUNGUL SN-400 | Bul. Șt. și Tehn. Al IPT,1971
Tom 16(30), Fasc.1, Seria Mec.
Pag.129...143 |
| 49 | Savii Gh.
Pop Ion
Șelariu Mircea
Micsa Ion | INFLUENȚA RIGIDITĂȚII ASUPRA
PRECIZIEI FORMEI GEOMETRICE la
PRELUCRAREA pe STRUNG | C.S.L.C.P. al IPTimișoara,1970, pag.
76 ... 77 |
| 50 | Șelariu Mircea
Eugen | SUPERMATEMATICA. FUNDAMENTE
EDIȚIA 1-a | Editura ” POLITEHNICA”
Timișoara 2007 |
| 51 | Șelariu Mircea
Eugen | SUPERMATEMATICA. FUNDAMENTE
Vol I și Vol. II, EDIȚIA a 2-a | Editura ” POLITEHNICA”
Timișoara 2012 |

Lucrari publicate de www.cartiaz.ro

LUCRARI EXISTENTE LA www.CARTIAZ.ro IN 13 ianuarie 2013

[Pagina 1-a](#)

Aplicarea metodei separarii momentelor (MSM) la mecanisme si sisteme in ansamblul
lor [\[PDF\]](#)

Autori: Mircea Eugen Selariu  ★★★★★


157  Stiinta si Tehnica 0.66MB ★ (Carte donata de autor)

[Aplicatii ale metodei separarii momentelor \(MSM\) la sisteme industriale concrete \[PDF\]](#)

Autori: Mircea Eugen Selariu  ★★★★★


104  Stiinta si Tehnica 0.67MB ★ (Carte donata de autor)

[Aproximarea functiilor: Un sistem supermatematic cu baza continua de aproximare a functiilor \[PDF\]](#)

Autori: Mircea Eugen Selariu  ★★★★★

164  Stiinta si Tehnica 1.09MB ★ (Carte donata de autor)

[Bucla centrata si versiunile excentrice \[PDF\]](#)

Autori: Mircea Eugen Selariu  ★★★★★


141  Stiinta si Tehnica 0.83MB ★ (Carte donata de autor)

[Cardinal functions and integral functions \[PDF\]](#)

Autori: Mircea Eugen Selariu, Florentin Smarandache, Marian Nitu

44  Stiinta si Tehnica 1.23MB ★ (Carte donata de autor)

[Cercurile lui Apollonius din Perga \[PDF\]](#)

Autori: Mircea Eugen Selariu  ★★★★★


117  Stiinta si Tehnica 1.78MB ★ (Carte donata de autor)

[Cercurile lui Apollonius si cercurile olimpice \[PDF\]](#)

Autori: Mircea Eugen Selariu  ★★★★★

152  Stiinta si Tehnica 0.97MB ★ (Carte donata de autor)

[Cifrele, particulele elementare ale Matematicii \[PDF\]](#)

Autori: Mircea Eugen Selariu  ★★★★★

117  Stiinta si Tehnica 0.71MB ★ (Carte donata de autor)


[De la rezolvarea triunghiurilor la functii supermatematice \[PDF\]](#)

Autori: Mircea Eugen Selariu  ★★★★★

191  Stiinta si Tehnica 1.59MB ★ (Carte donata de autor)

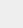
[Definirea FSM-CE hipoelementare de variabila excentrica theta si centrata alpha \[PDF\]](#)

Autori: Mircea Eugen Selariu  ★★★★★

131  Stiinta si Tehnica 3.94MB ★ (Carte donata de autor)


[Pagina a 2-a](#)

[Derivatele si integralele unor functii supermatematice circulare excentrice \(FSM-CE\) \[PDF\]](#)

Autori: Mircea Eugen Selariu  ★★★★★

158  Stiinta si Tehnica 1.82MB ★ (Carte donata de autor)

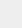
[Despre lobe si cvazilobe: Lobe exterioare si cvazilobe interioare cercului unitate \[PDF\]](#)

Autori: Mircea Eugen Selariu  ★★★★★

156  Stiinta si Tehnica 1.31MB ★ (Carte donata de autor)

[Determinarea oricat de exacta a relatiei de calcul a integralei eliptice complete de speta I \(Rom\) \[PDF\]](#)

Autori: Mircea Eugen Selariu  ★★★★★

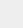
111  Stiinta si Tehnica 0.21MB ★ (Carte donata de autor)

[Determinarea oricat de exacta a relatiei de calcul a integralei eliptice complete de speta intaia \(Engleza\)\[PDF\]](#)

Autori: Mircea Eugen Selariu  ★★★★★

116  Stiinta si Tehnica 0.34MB ★ (Carte donata de autor)

[Determinarea punctelor de intersectie din Teorema Liniilor Concurente a lui Florentin Smarandache \[PDF\]](#)

Autori: Mircea Eugen Selariu  ★★★★★

88  Stiinta si Tehnica 0.88MB ★ (Carte donata de autor)

[Dispozitive de acumulare si de transport \(dat\) prin vibratii \[PDF\]](#)

Autori: Mircea Eugen Selariu  ★★★★★

269  Stiinta si Tehnica 1.24MB ★ (Carte donata de autor)

[Elemente neliniare legate in serie \[PDF\]](#)

Autori: Mircea Eugen Selariu  ★★★★★


107  Stiinta si Tehnica 1.3MB ★ (Carte donata de autor)

[Esantionarea semnalelor \[PDF\]](#)

Autori: Mircea Eugen Selariu  ★★★★★

114  Stiinta si Tehnica 1.18MB ★ (Carte donata de autor)


[Functia supermatematica \(FSM\) radial excentrica cvadriloba \[PDF\]](#)

Autori: Mircea Eugen Selariu  ★★★★★

119  Stiinta si Tehnica 1.67MB ★ (Carte donata de autor)

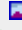
[Functii cardinale si functii integrale circulare excentrice \[PDF\]](#)

Autori: Mircea Eugen Selariu, Florentin Smarandache, Marian Nitu

112  Stiinta si Tehnica 2.2MB ★ (Carte donata de autor)


[Pagina a 3-a](#)

[Functii hiperbolice excentrice \[PDF\]](#)

Autori: Mircea Eugen Selariu  ★★★★★

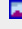
417  Stiinta si Tehnica 2.55MB ★ (Carte donata de autor)

[Functii in trepte Smarandache \[PDF\]](#)

Autori: Mircea Eugen Selariu  ★★★★★


123  Stiinta si Tehnica 0.18MB ★ (Carte donata de autor)

[Functii signadforasice Voinoiu \[PDF\]](#)

Autori: Mircea Eugen Selariu  ★★★★★

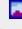
114  Stiinta si Tehnica 2.66MB ★ (Carte donata de autor)

[Functii supermatematice \(FSM\) inverse \(FSM-I\) \$\text{rex}\theta\$, \$\text{Rex}\alpha\$, \$\text{dex}\theta\$ și \$\text{Dex}\alpha\$ \[PDF\]](#)

Autori: Mircea Eugen Selariu  ★★★★★

114  Stiinta si Tehnica 3.39MB ★ (Carte donata de autor)

[Functii supermatematice circulare excentrice inverse \(FSM-CEI\) \[PDF\]](#)

Autori: Mircea Eugen Selariu  ★★★★★

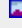
107  Stiinta si Tehnica 2.75MB ★ (Carte donata de autor)

[Functii supermatematice circulare excentrice inverse \(FSM-CEI\) \[PDF\]](#)

Autori: Mircea Eugen Selariu  ★★★★★

167  Stiinta si Tehnica 2.43MB ★ (Carte donata de autor)

[Functiile supermatematice circulare cosinus si sinus excentrice. Derivatele si integralele lor. \[PDF\]](#)

Autori: Mircea Eugen Selariu  ★★★★★

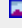
224  Stiinta si Tehnica 1.13MB ★ (Carte donata de autor)

[Intamplarea in matematica: Jocul dragostei fata de matematica si al intamplarii \[PDF\]](#)

Autori: Mircea Eugen Selariu  ★★★★★


108  Stiinta si Tehnica 1.46MB ★ (Carte donata de autor)

[Integrale si functii eliptice excentrice \[PDF\]](#)

Autori: Mircea Eugen Selariu  ★★★★★

160  Stiinta si Tehnica 6.29MB ★ (Carte donata de autor)

[Integrale si functii eliptice excentrice \[PDF\]](#)

Autori: Mircea Eugen Selariu  ★★★★★

128  Stiinta si Tehnica 1.85MB ★ (Carte donata de autor)

[Pagina a 4-a](#)

[Intersectii in plan \[PDF\]](#)

Autori: Mircea Eugen Selariu  ★★★★★

113  Stiinta si Tehnica 0.98MB ★ (Carte donata de autor)

[Introducerea strambeii in matematica \[PDF\]](#)

Autori: Mircea Eugen Selariu  ★★★★★

156  Stiinta si Tehnica 1.29MB ★ (Carte donata de autor)

[Liniiile concurente si punctele lor de intersectie intr-un triunghi \[PDF\]](#)

Autori: Mircea Eugen Selariu  ★★★★★


113  Stiinta si Tehnica 0.99MB ★ (Carte donata de autor)

[Lobele - curbe matematice noi \[DOC\]](#)

Autori: Mircea Eugen Selariu  ★★★★★


141  Stiinta si Tehnica 19.65MB ★ (Carte donata de autor)

Matematica atomica. Metoda determinarii succesive a cifrelor consecutive ale unui numar [\[PDF\]](#)

Autori: Mircea Eugen Selariu  ★★★★★★

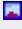
252  Stiinta si Tehnica 0.95MB ★ (Carte donata de autor)


[Metoda pentru determinarea relatiei exacte de calcul a pulsatiei proprii a unui sistem oscilant liber, conservativ, cu caracteristica elastica neliniara \[PDF\]](#)

Autori: Mircea Eugen Selariu  ★★★★★

106  Stiinta si Tehnica 0.72MB ★ (Carte donata de autor)

[Metoda separarii momentelor \(partea I\) \[PDF\]](#)

Autori: Mircea Eugen Selariu  ★★★★★★

103  Stiinta si Tehnica 0.3MB ★ (Carte donata de autor)

[Metoda separarii momentelor \(partea II-a\) \[PDF\]](#)

Autori: Mircea Eugen Selariu  ★★★★★

110  Stiinta si Tehnica 0.79MB ★ (Carte donata de autor)

[Miscarea circulara excentrica de excentru punct fix \[PDF\]](#)

Autori: Mircea Eugen Selariu  ★★★★★

169  Stiinta si Tehnica 1.23MB ★ (Carte donata de autor)

[Miscarea circulara excentrica de excentru punct mobil \[PDF\]](#)

Autori: Mircea Eugen Selariu  ★★★★★

148  Stiinta si Tehnica 1.28MB ★ (Carte donata de autor)

[Pagina a 5-a](#)

[Miscarea oscilanta excentrica: Pendulul Supermatematic \[PDF\]](#)

Autori: Mircea Eugen Selariu  ★★★★★

104  Stiinta si Tehnica 0.99MB ★ (Carte donata de autor)

[Multiplicarea dimensionala a spatiilor \[PDF\]](#)

Autori: Mircea Eugen Selariu  ★★★★★

115  Stiinta si Tehnica 1.89MB ★ (Carte donata de autor)

[Noi posibilitati de generare a suprafetelor complexe \[PPT\]](#)

Autori: Mircea Eugen Selariu  ★★★★★

131  Stiinta si Tehnica 7.05MB ★ (Carte donata de autor)

[O metoda noua de integrare: Metoda de integrare prin divizarea diferentialei \[PDF\]](#)

Autori: Mircea Eugen Selariu  ★★★★★

145  Stiinta si Tehnica 0.33MB ★ (Carte donata de autor)

[Obiecte geometrice supermatematice \[PDF\]](#)

Autori: Mircea Eugen Selariu  ★★★★★


173  Stiinta si Tehnica 0.3MB ★ (Carte donata de autor)

[Optimizarea concepiei sistemelor tehnologice utilizand metoda separarii momentelor \(MSM\) \[PDF\]](#)

Autori: Mircea Eugen Selariu  ★★★★★

106  Stiinta si Tehnica 0.19MB ★ (Carte donata de autor)

[Optimizarea transportului vibrational cu ajutorul FSM-CE \[PDF\]](#)

Autori: Mircea Eugen Selariu  ★★★★★

176  Stiinta si Tehnica 0.72MB ★ (Carte donata de autor)

[Optimization of workholding design using moments separation method \(MSM\) \[PDF\]](#)

Autori: Mircea Eugen Selariu, Ion Grozav

52  Stiinta si Tehnica 0.14MB ★ (Carte donata de autor)

[Optimization of workholding design using moments separation method \(MSM\) - lb. maghiara \[PDF\]](#)

Autori: Mircea Eugen Selariu, Kravec Robert

51  Stiinta si Tehnica 0.14MB ★ (Carte donata de autor)


[Polinoame ortogonale excentrice \[PDF\]](#)

Autori: Mircea Eugen Selariu  ★★★★★

121  Stiinta si Tehnica 0.37MB ★ (Carte donata de autor)

[Pagina a 6-a](#)

[Punctul, liniile, triunghiurile si cercurile \[PDF\]](#)

Autori: Mircea Eugen Selariu  ★★★★★

124  Stiinta si Tehnica 0.31MB ★ (Carte donata de autor)

[Rigiditatea dinamica exprimata cu functii supermatematice \[PDF\]](#)

Autori: Mircea Eugen Selariu  ★★★★★


193  Stiinta si Tehnica 0.2MB ★ (Carte donata de autor)

[Sisteme vibrante cuadrilobe \[PDF\]](#)

Autori: Mircea Eugen Selariu  ★★★★★

216  Stiinta si Tehnica 0.69MB ★ (Carte donata de autor)

[Smarandache stepped functions \[PDF\]](#)

Autori: Mircea Eugen Selariu  ★★★★★

71  Stiinta si Tehnica 0.15MB ★ (Carte donata de autor)

[Solutia simbolica exacta a unei ecuatii trigonometrice neliniare \[PDF\]](#)

Autori: Mircea Eugen Selariu  ★★★★★

102  Stiinta si Tehnica 0.63MB ★ (Carte donata de autor)

[Spatiul matematicii centrice si spatiul matematicii excentrice \[PDF\]](#)

Autori: Mircea Eugen Selariu  ★★★★★

102  Stiinta si Tehnica 1.08MB ★ (Carte donata de autor)

[Super-mathematics functions \[PDF\]](#)

Autori: Mircea Eugen Selariu  ★★★★★★


119  Stiinta si Tehnica 0.3MB ★ (Carte donata de autor)

[Supermatematica \(vol. I\) \[PDF\]](#)

Autori: Mircea Eugen Selariu  ★★★★★★


3148  Stiinta si Tehnica 10.52MB ★ (Carte donata de autor)


[Supermatematica \(vol. II, partea a II-a\) \[PDF\]](#)

Autori: Mircea Eugen Selariu  ★★★★★★

260  Stiinta si Tehnica 22.33MB ★ (Carte donata de autor)

[Supermatematica \(vol. II, partea a III-a\) \[PDF\]](#)

Autori: Mircea Eugen Șelariu  ★★★★★

265  Stiinta si Tehnica 21.61MB ★ (Carte donata de autor)

[Pagina a 7-a](#)

[Supermatematica \(vol. II, partea I\) \[PDF\]](#)

Autori: Mircea Eugen Șelariu  ★★★★★

259  Stiinta si Tehnica 13.29MB ★ (Carte donata de autor)

[Techno-Art of Șelariu SuperMathematics Functions \[PDF\]](#)

Autori: Florentin Smarandache  ★★★★★

43  Stiinta si Tehnica 12.89MB ★ (Carte donata de autor)

[Teorema S a bisectoarelor unui patrulater inscriptibil si teoremele S ale triunghiului \[PDF\]](#)

Autori: Mircea Eugen Șelariu  ★★★★★

152  Stiinta si Tehnica 1.43MB ★ (Carte donata de autor)

[Teoremele poligoanelor. Patrute, dreptunghiuri si trapeze isoscele \[PDF\]](#)

Autori: Mircea Eugen Șelariu  ★★★★★

391  Stiinta si Tehnica 0.63MB ★ (Carte donata de autor)

[Transformarea riguroasa in cerc a diagramei polare a compilantei \[PDF\]](#)

Autori: Mircea Eugen Șelariu  ★★★★★

72  Stiinta si Tehnica 1.02MB ★ (Carte donata de autor)

[Un discurs cu tema impusa, tinut absolventilor despre ... Supermatematica \[PDF\]](#)

Autori: Mircea Eugen Șelariu  ★★★★★

46  Stiinta si Tehnica 1.7MB ★ (Carte donata de autor)

[Un discurs despre Supermatematica \[PDF\]](#)

Autori: Mircea Eugen Șelariu  ★★★★★

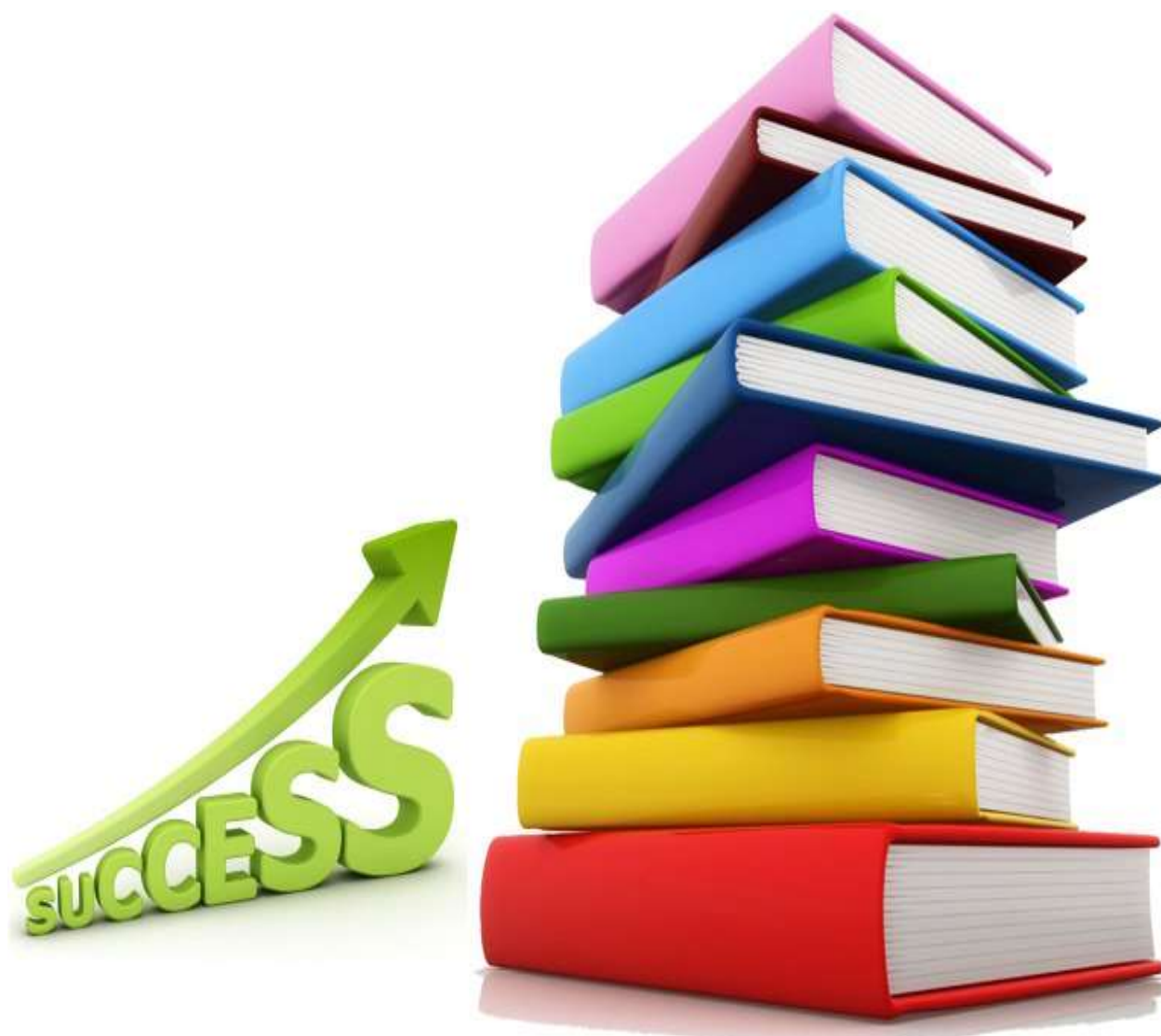
229  Stiinta si Tehnica 0.99MB ★ (Carte donata de autor)

[Vibratii \[PDF\]](#)

Autori: Mircea Eugen Șelariu  ★★★★★

70  Stiinta si Tehnica 4.48MB ★ (Carte donata de autor)





Motto:” *Matematica (centrică n.n) e o ştiinţă interminabilă, ea evoluează permanent cu un pas înaintea altor ştiinţe*”

David Boia

O dovedeşte şi supermatematica care este ea însăşi nemărginită, din mai multe puncte de vedere, unul prezentata în continuare

Autorul SM

CAPITOLUL XXXI

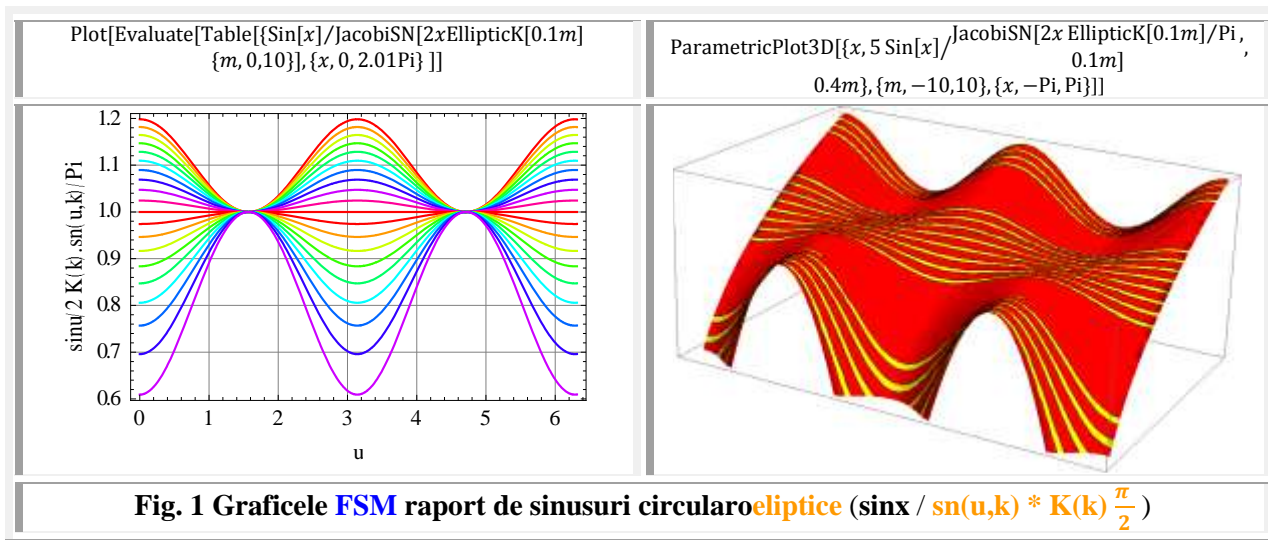
FUNCŢII SUPERMATEMATICE DEFINITE SIMULTAN PE DOUĂ CURBE DIFERITE

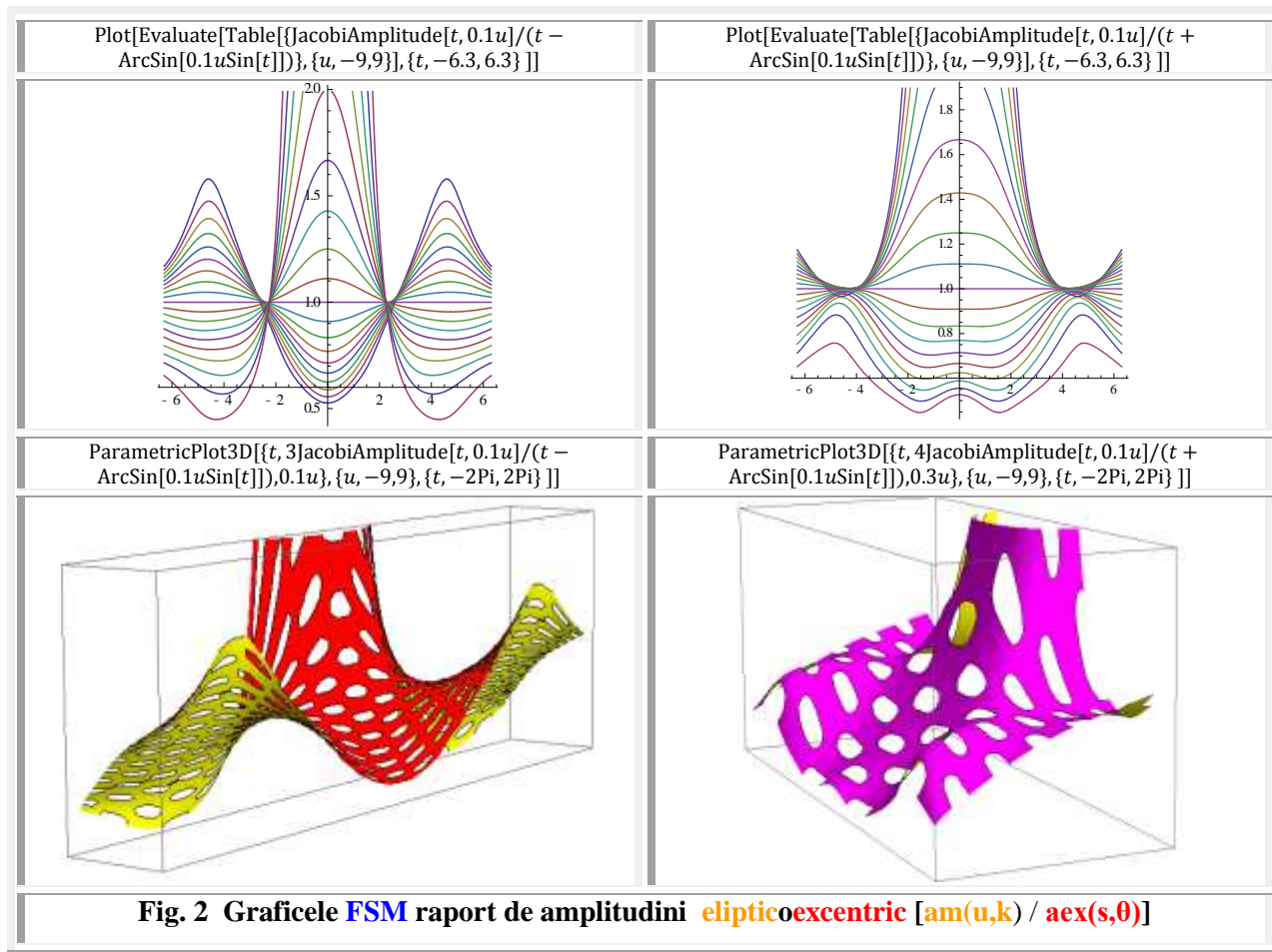
1. INTRODUCERE.

Perechile de **funcţiile supermatematice (FSM)** utilizate şi prezentate în capitolele anterioare erau definite / reprezentate pe **cercul** trigonometric sau unitate, deci pot fi denumite **funcţii circulare centrice (FCC)**, respectiv **funcţii circulare: excentrice, elevate sau exotice**. Ele au fost denumite funcţii **centricoexcentrice, centricoelevate, centricoexotice, excentricoelevate, elevatoexotice** ş.a.m.d.

În prezentul capitol se vor studia succint **combinaţii de funcţii** definite pe **diverse curbe** precum **cerc, hiperbolă, elipsă, parabolă, trilobă, quadrilobă** / cvadrilobă ş.m.a.

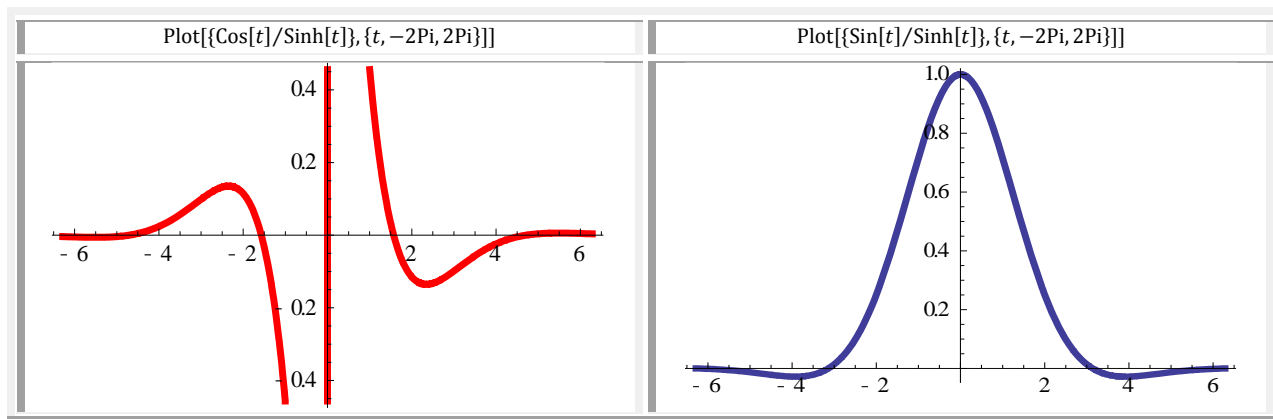
Problemele greu de surmontat consistă în **denumirea** noilor funcţii obţinute prin astfel de combinaţii. De exemplu, dacă împărţim sinusul circular centric cu sinusul centric eliptic $\text{sn}(u,k)$, modificat la perioada de 2π [$\text{sn}(u,k) \rightarrow K(k) \cdot \text{sn}(u,k) \frac{\pi}{2}$], se obţin funcţiile supermatematice (FSM) **raport de sinusuri circularoeliptice** [$\text{sinx}/\text{sn}(u,k)$] cu graficele din **figura 1**, sau **raportul amplitudinilor elipticoexcentric** [$\text{am}(u,k) / \text{aex}(s,\theta)$] cu graficele din **figura 2**.

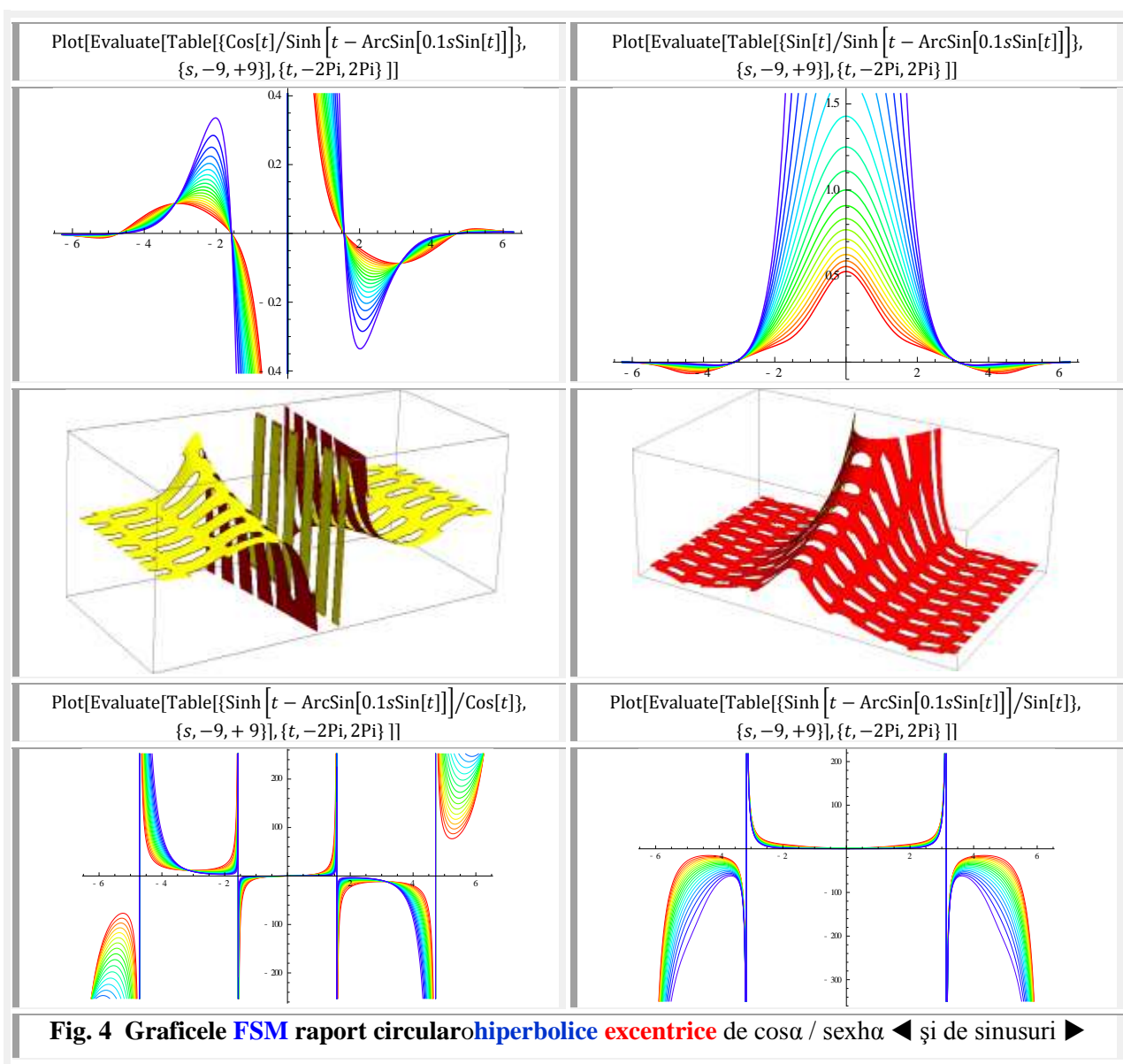
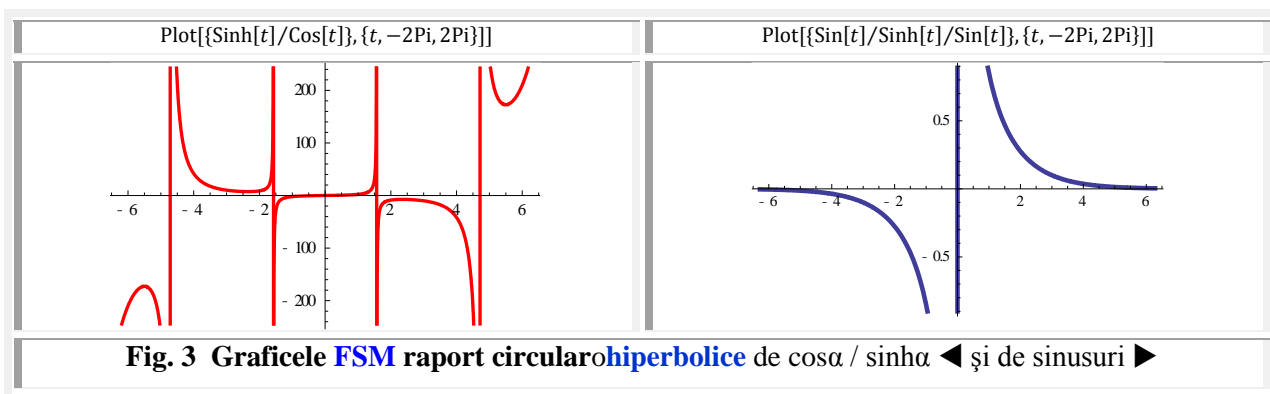




2. FSM CIRCULAROHIPERBOLICE ŞI HIPERBOLICOCIRCULARE

FSM definite pe cercul unitate şi, respectiv, pe hiperbola echilaterală [hiperbolicocirculare] (Fig.3) sau pe cercul unitate şi hiperbola excentrică [circularohiperbolic] sunt unice / unicate (Fig.4), aşa cum rezultă şi din figurile anterior prezentate, dacă hiperbolele sunt *centrice*.





În figura 3 graficele sunt unice, deoarece atât funcțiile circulare *centrice* (FCC) cât și cele hiperbolice *centrice* (FHC) sunt unice. Funcțiile hiperbolice *excentrice* (FHE) fiind multiple, în funcție de excentricitatea numerică $s \in [-0,9; +0,9]$ sau $s \in [-\infty, +\infty]$ și graficele acestora sunt multiplicat de la unu la infinit (Fig. 4 și Fig.5), precum și la toate celelalte FSM *excentrice*, *elevate* și *exotice*.

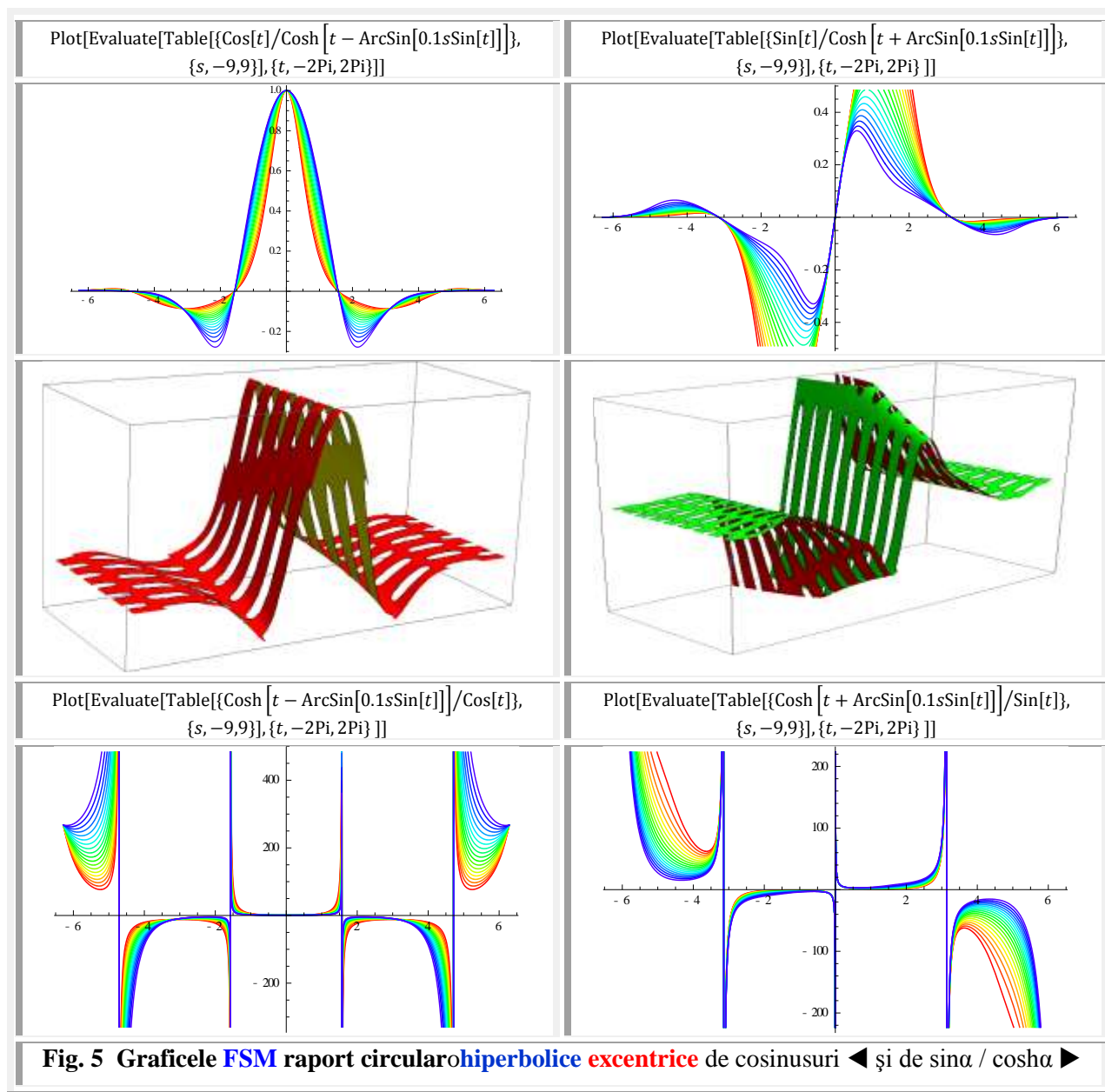
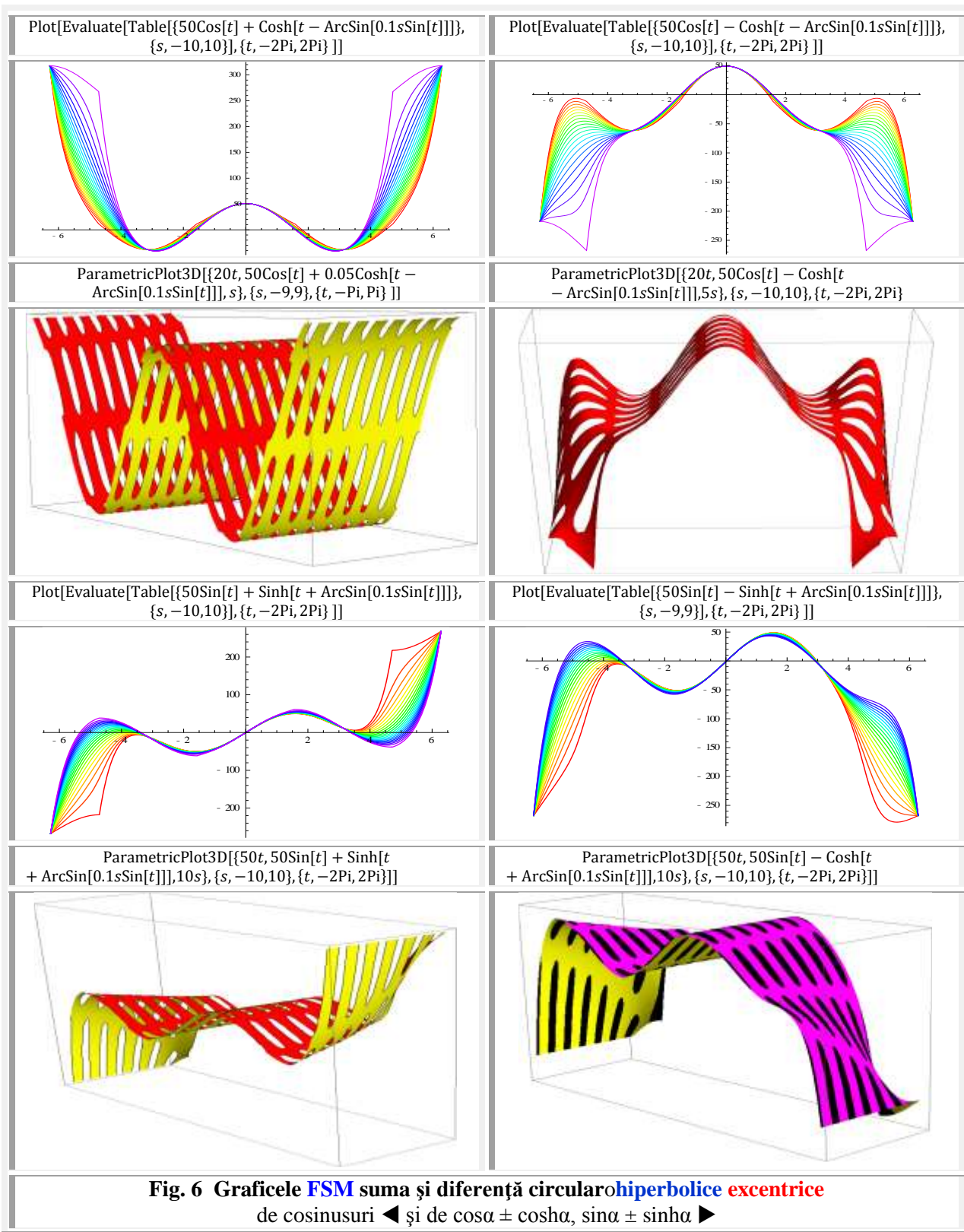
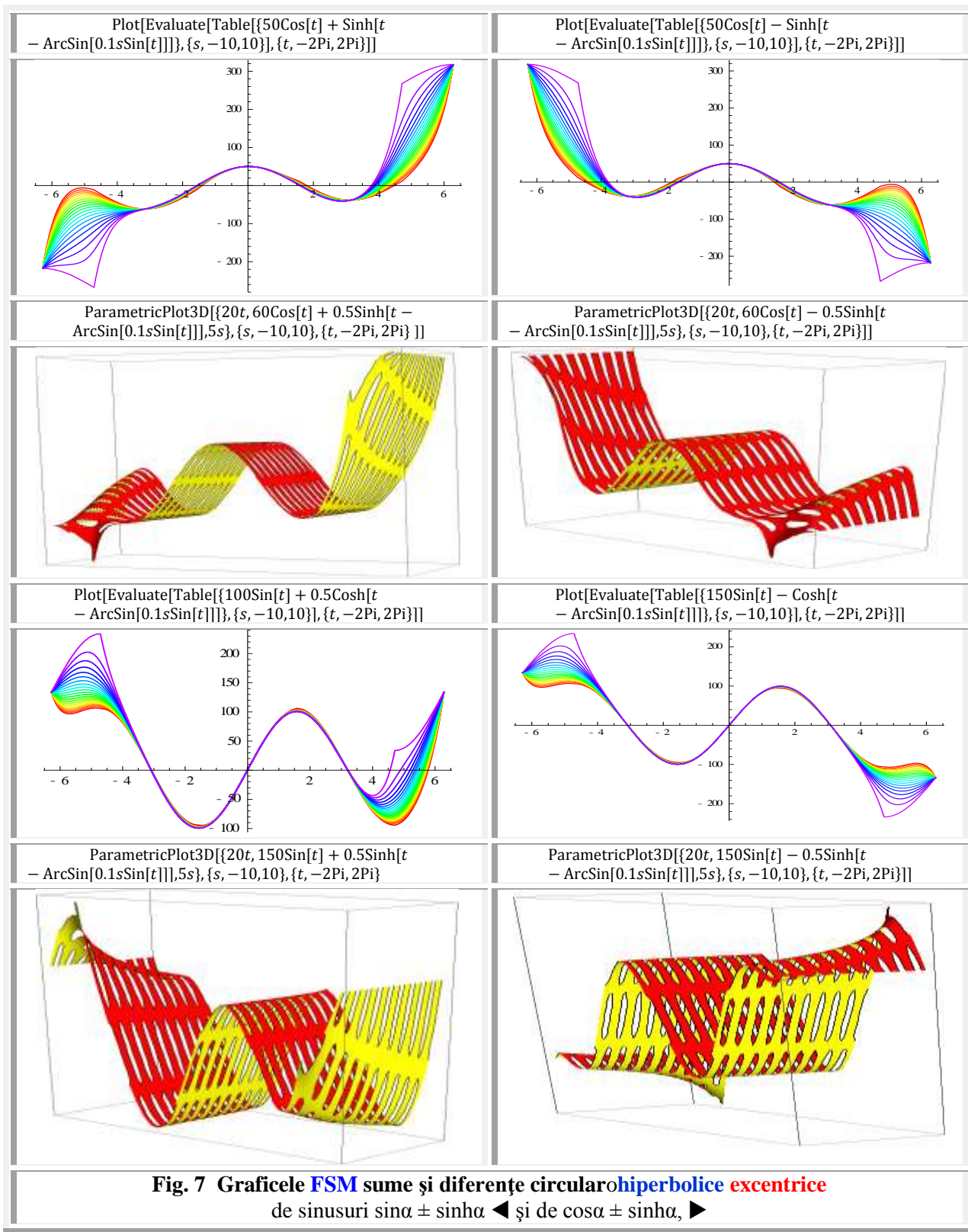


Fig. 5 Graficele FSM raport circularohiperbolic excentrice de cosinusuri ◀ și de sina / cosha ▶

Până aici au fost prezentate doar produse și rapoarte ale acestor funcții. În continuare se vor prezenta și sume și diferențe ale acestora. Deoarece funcțiile hiperbolice iau valori foarte mari în domeniul $\alpha \in [-2\pi, 2\pi]$ iar cele circulare pe cercul unitate au maximele pozitive și negative de ± 1 , acestea din urma au fost multiplicat pentru ca influența lor în cuplu să fie mai evidentă.





Dintre funcțiile *centrice* numai cele *eliptice* [cn, sn, dn] sunt multiple, în funcție de *modulul k* care este aceeași / tocmai *excentricitatea numerică s* a *funcțiilor supermatematice excentrice (FSM–E)*.

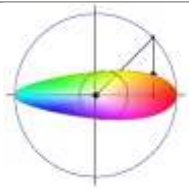
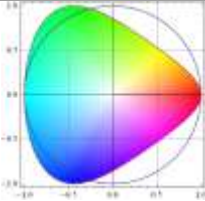
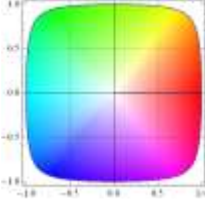
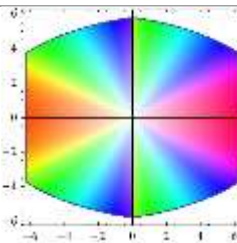
Se vor prezenta în continuare **FSM** ca o combinație dintre funcțiile hiperbolice *centrice* și cele *eliptice centrice*.

3. FSM HIPERBOLICOELIPTICE ŞI ELIPTICOHIPERBOLICE

În acest paragraf sunt prezentate la început *funcțiile hiperbolice centrice* (cosh / ch, sinh / sh) în combinație (de sume, diferențe, produse și rapoarte) cu *funcțiile eliptice centrice Jacobi* (cn, sn, dn), iar în paragraful următor vor fi prezentate aceleași funcții dar *excentrice*. Cele două tipuri de funcții sunt prezentate comparativ în **figurile 8 și 9**.

Tabelul 1		ISTORIA UNOR CURBE
CURBE GRECEȘTI		
CERCUL LUI APOLLONIUS		<p>Se consideră segmentul AB și un număr real pozitiv $k = \frac{d_1}{d_2} \neq 1$</p> <p>Atunci mulțimea punctelor: $C_A = \{P \setminus \overline{AP} : \overline{PB} = k\}$ este cercul lui Apollonius.</p>
ELIPSA LUI APOLLONIUS		<p>Se dau: cercul $C(M, r)$ și punctul G în interiorul cercului.</p> <p>Atunci, locul geometric al punctelor aflate la aceeași distanță de cercul $C(M, r)$ și de punctul fix G este o elipsă.</p>
PARABOLA LUI APOLLONIUS		<p>Parabola este locul geometric al punctelor, din planul euclidian, egal depărtate de un punct fix F (focar) și o dreaptă fixă D (directoare).</p>
HIPERBOLA LUI APOLLONIUS VĂZUTA DE UN ROMÂN		<p>Se dau: cercul unitate $C(O, r = 1)$ și punctul $A(1, 0)$ pe cercul unitate și tangenta τ în acest punct.</p> <p>Atunci, locul geometric al punctelor $P(x, y)$ pentru care</p> $\frac{x}{a} = \frac{\tan \alpha}{\sin \alpha} = \frac{1}{\cos \alpha} = \sec \alpha \rightarrow x = \frac{a}{\cos \alpha}$ <p>și $y = b \cdot \tan \alpha = \sinht$, adică</p> $P(x, y) \begin{cases} x = \frac{a}{\cos \alpha} \\ y = b \cdot \tan \alpha \end{cases} \text{ este o } \mathbf{hiperbolă}.$

În prealabil se va prezenta succint istoricul unor curbe vechi denumite greceşti şi a unora noi intitulată româneşti, în Tabelul 1 şi în Tabelul 2.

Tabelul 2 ISTORIA UNOR CURBE		
CURBE ROMÂNEŞTI		
BILOBA ROMÂNILOR		$\begin{cases} x = R \cdot \cos\{\theta - \arcsin[s_x \cdot \sin(\theta - \varepsilon)]\} \\ y = R \cdot \sin\{\theta - \arcsin[s_y \cdot \sin(\theta - \varepsilon)]\} \end{cases}$
TRILOBA ROMÂNILOR		$\begin{cases} x = R \cdot \cos\{\theta - \arcsin[s_x \cdot \sin(\theta - \varepsilon)]\} \\ y = R \cdot \sin\{\theta - \arcsin[s_y \cdot \sin(\theta - \varepsilon)]\} \end{cases}$
QUADRILOBA ROMÂNILOR		$\begin{cases} x = \frac{R \cdot \cos(\theta - \varepsilon)}{\sqrt{1 - s_x^2 \cdot \sin^2(\theta - \varepsilon)}} \\ y = \frac{R \cdot \sin(\theta - \varepsilon)}{\sqrt{1 - s_y^2 \cdot \cos^2(\theta - \varepsilon)}} \end{cases}$
POLILOBA ROMÂNILOR		$\text{ParametricPlot[Evaluate[Table[{v(x - ArcSin[0.2sSin[x]]), vSqrt[36 - x^2]}, \\ \{v(x - ArcSin[0.2sSin[x]], -vSqrt[36 - x^2])\}], \\ \{s, 5, 5\}], \{x, -6, 6\}, \{v, 0, 1\}]$
www.SuperMathematica.org	www.SuperMathematica.com	www.SuperMathematica.Ro

Studiul conicelor nu a mai evoluat timp de un mileniu şi jumătate, până la [Renaştere](#), când s-a reluat studiul acestora. La grecii antici, **ceroul** era **simbolul perfecţiunii**. De aceea l-au hulit pe **Apollonius**, când din cerc a “făcut” conicele, pentru că a distrus imaginea perfecţiunii cu aceste noi curbe urâte şi l-au lovit cu pietre, confirmă istoria.

Ce va păşi românul care le-a multiplicat pe fiecare dintre ele la infinit şi a mai introdus în matematică o infinitate de alte entităţi matematice noi ? E greu de închipuit ! Deocamdată este linişte mormântală.

Ca să-l parafrazez pe **Mahatma Gandhi**: “Mai întâi **te ignoră**, apoi **râd de tine**, apoi **se luptă cu tine** şi apoi **tu învingi**”. Prima etapă pare că s-a epuizat, urmează a doua, cea cu ... râsul...

Din cerc, **Apollonius** a inventat / descoperit o infinitate de alte curbe, iar din acestea, din fiecare în parte, un român a descoperit o altă infinitate de curbe ! Şi procesul ar putea continua.

Cum ? Înlocuind, în ecuația oricărei centrice, abscisa sau variabila (x, t, a, u , etc) cu o funcție denumită, prin similitudine cu funcția eliptică, amplitudine (amplitudinus) **am(u,k)**, **amplitudine excentrică aexθ** și /sau **Aexα**, deoarece $\cos[\text{am}(u,k)] = \text{cn}(u,k)$ iar $\sin[\text{am}(u,k)] = \text{sn}(u,k)$.

Astfel, **funcția supermatematică circulară excentrică (FSM-CE) amplitudine excentrică aexθ** de variabilă **excentrică θ** și **Aexα**, de variabilă **centrică α**, devin cele mai importante **funcții supermatematice**, deoarece ele fac trecerea din domeniul **MC** în cel al domeniului mult mai vast, chiar infinit, al **ME**.

În **astronomie**, **Apollonius** a introdus și dezvoltat teoria **mişcării circulare** uniforme a corpurilor cerești în jurul **Pământului** considerat imobil.

Un **român** a generalizat această mișcare și a introdus, a studiat și a dezvoltat **mişcarea circulară excentrică (MCE)** de **excentru E(e, ε)** punct fix, apoi și pe cea de **excentru** punct mobil, adică **e** și **ε** sunt funcții și nu constante, ca în **MCE** de **E** fix [Mircea Eugen Şelariu, **MIȘCAREA CIRCULARĂ EXCENTRICĂ DE EXCENTRU PUNCT MOBIL**, www.cartiaz.ro].

De asemenea, **Apollonius** a introdus noțiunile de **excentric** și **epiciclu** pentru a explica mersul **planetelor**.

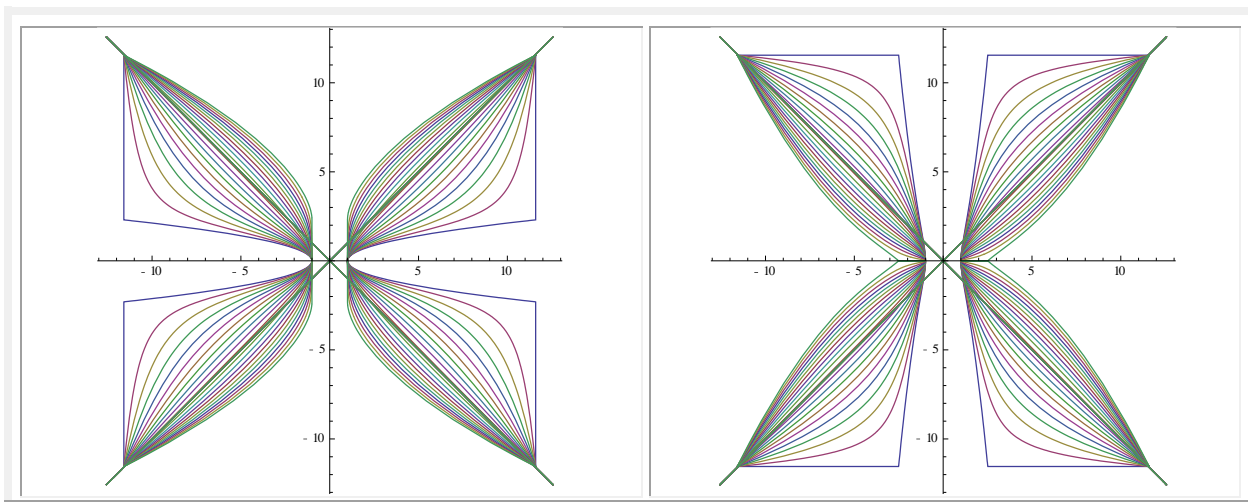
A lăsat pentru posteritate, adică pentru **român și români**, introducerea noțiunilor de **excentru E(e, ε)** și/sau **S(s, ε)**, **excentricitate (liniară reală e și liniară numerică s, unghiulară ε**, excentricități constante sau variabile / funcții), "**excentricizare**" (v. în continuare), **excentrice** (curbe provenite din curbele centrice, ordinare, cunoscute), permițându-i **românului** să afirme și să demonstreze [Mircea Eugen Şelariu, **MULTIPLICAREA DIMENSIONALĂ A SPAȚIILOR**, www.cartiaz.ro, pag.5] că excentricitatea este o nouă dimensiune a spațiului, **dimensiunea de formare și de deformare a acestuia** (a spațiului) și, totodată, a obiectelor cuprinse / circumscrise în acesta. Am spus-o și am scris-o de nenumărate ori și ..? Silentium !

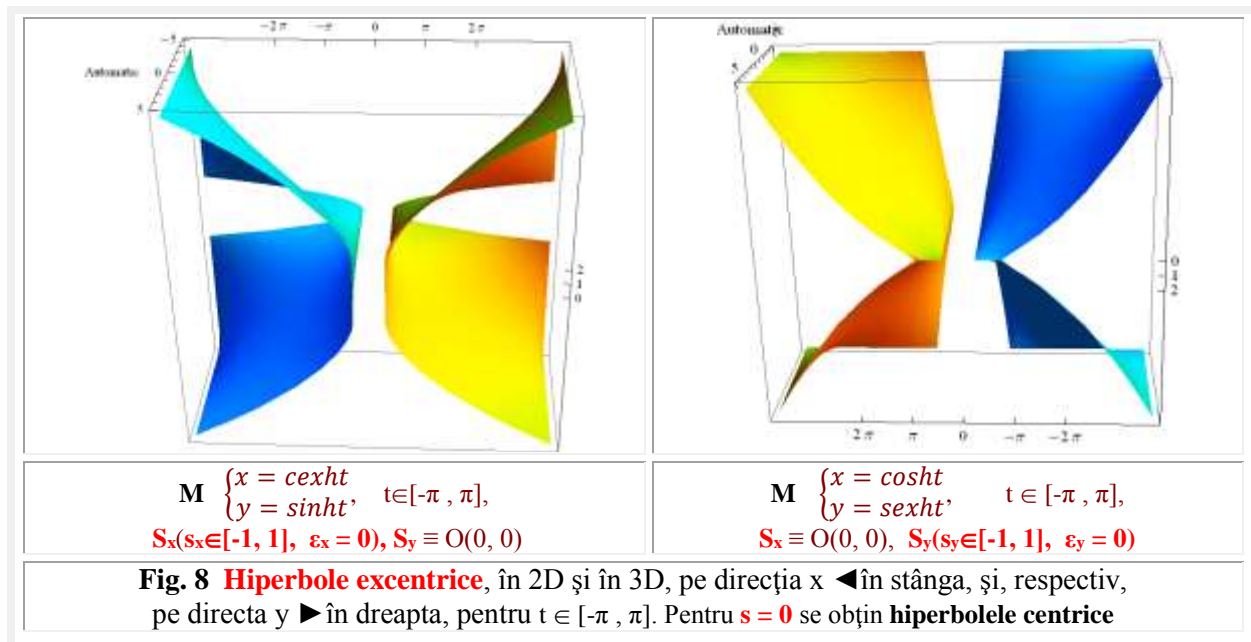
Funcțiile supermatematice hiperbolice excentrice (**FSM-HE**) se exprimă prin cele hiperbolice centrice (**HC**) în care variabila t se înlocuiește cu funcția **aext**, adică

$$(1) \quad \begin{cases} \cosht = \frac{e^t + e^{-t}}{2} \\ \sinht = \frac{e^t - e^{-t}}{2} \\ \tanht = \frac{e^t - e^{-t}}{e^t + e^{-t}} \end{cases} \quad \Rightarrow \quad \begin{cases} \text{cexht} = \cosh[\text{aext}] = \frac{e^{\text{aext}} + e^{-\text{aext}}}{2} \\ \text{sexht} = \sinh[\text{aext}] = \frac{e^{\text{aext}} - e^{-\text{aext}}}{2} \\ \text{texht} = \tanh[\text{aext}] = \frac{e^{\text{aext}} - e^{-\text{aext}}}{e^{\text{aext}} + e^{-\text{aext}}} \end{cases} \quad \begin{matrix} \text{ș. a. m. d} \\ \text{ș. a. m. d} \end{matrix}$$

Ecuații parametrice ale hiperborelor **excentrice (HE)** sunt

$$(2) \quad \begin{cases} x = \text{cexht} = \text{cexh}[t = \theta, S_x(s_x, \varepsilon_x)] \\ y = \text{sexht} = \text{sexh}[t = \theta, S_y(s_y, \varepsilon_y)] \end{cases}$$



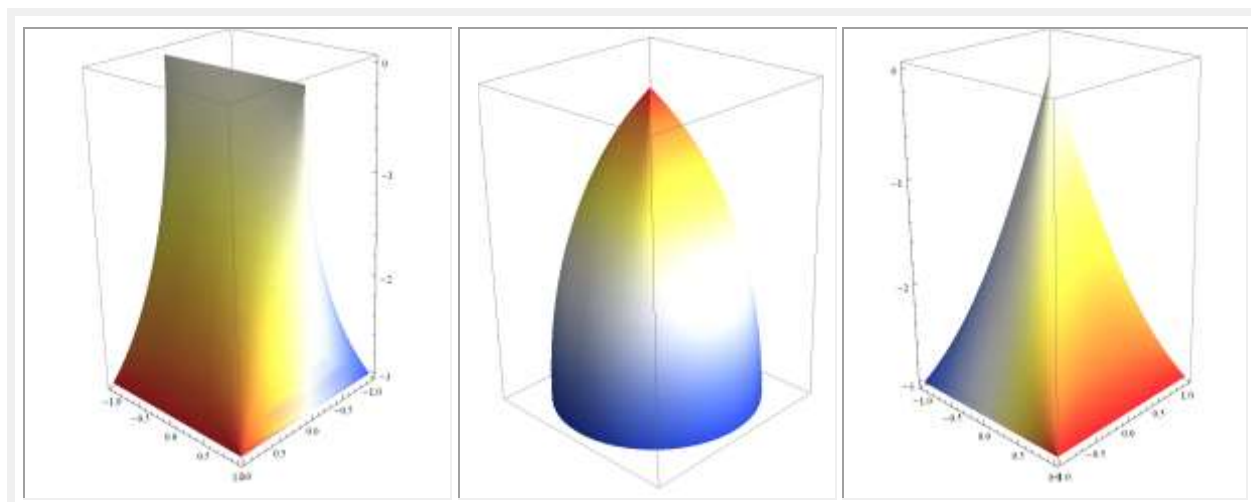


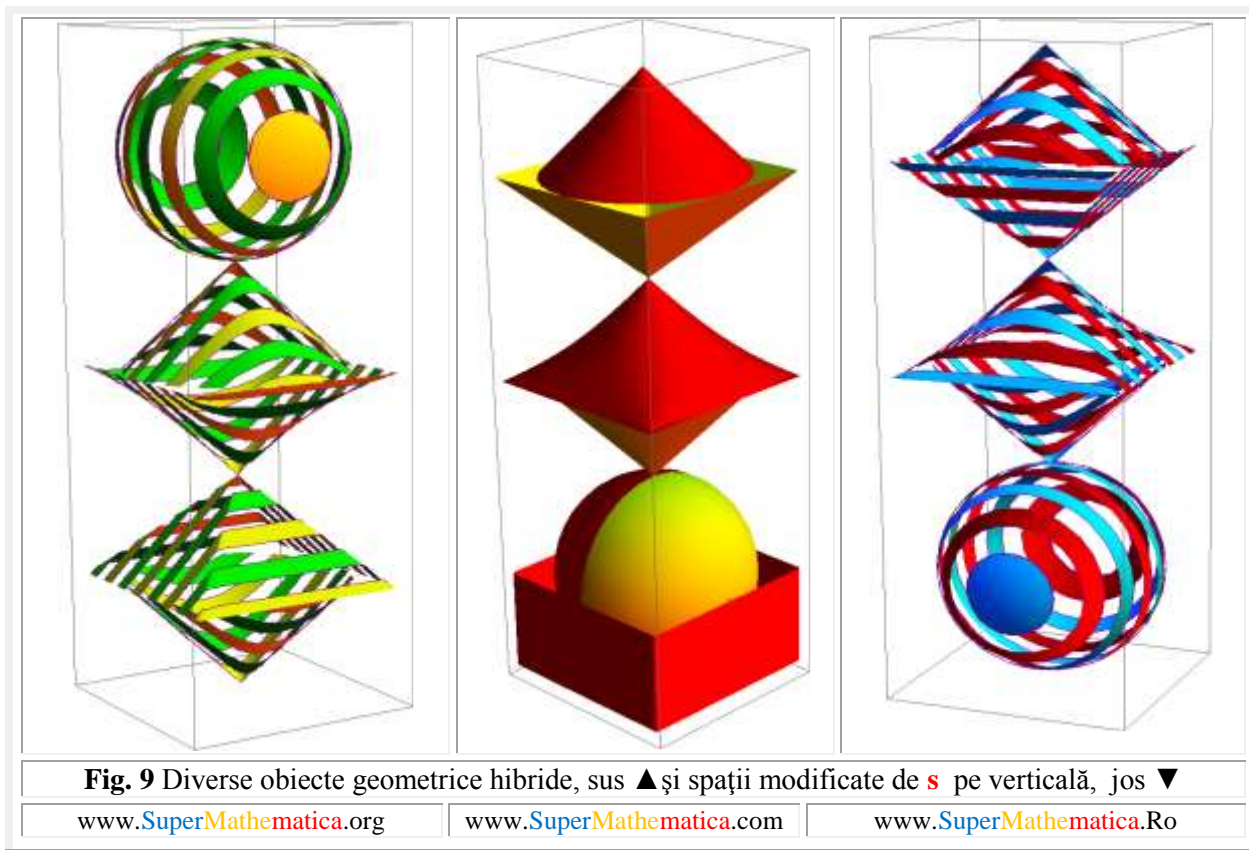
O altă posibilitate de reprezentare a hiperbolelor centrice și, respectiv, excentrice, constă în utilizarea ecuațiilor parametrice (3)

$$(3) \quad \begin{cases} x = a \frac{1+t^2}{1-t^2} \\ y = b \frac{2t}{1-t^2} \end{cases} \rightarrow \begin{cases} x = a \frac{1+t^2}{1-t^2} \\ y = b \frac{2t}{1-t^2} \end{cases} \rightarrow t = aext = t - \arcsin[s \cdot sint] \rightarrow \begin{cases} x = a \frac{1+(t-\arcsin[s \cdot sint])^2}{(1-(t-\arcsin[s \cdot sint]))^2} \\ y = b \frac{2(t-\arcsin[s \cdot sint])}{1-(t-\arcsin[s \cdot sint])^2} \end{cases}$$

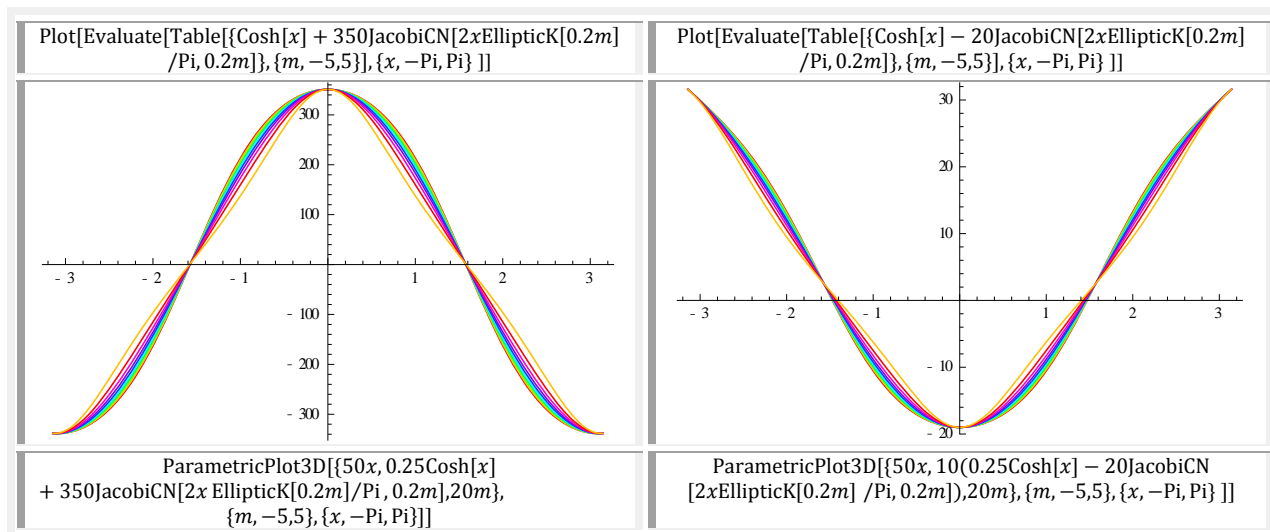
În figura 8 sunt prezentate graficele unor hiperbole excentrice pe direcția x (HE_x), denumite astfel, deoarece, în ecuațiile parametrice ale unei hiperbole centrice (HC), doar în parametrul / variabila / coordonata x s-a făcut trecerea din centric în excentric, în sensul că, funcția hiperbolică centrică (FHC) cosht a fost înlocuită cu funcția hiperbolică excentrică (FHE), adică cosht → cexht. Altfel spus, excentrul $S_x \neq O(0,0)$, iar $S_y \equiv O(0, 0)$ în ecuațiile parametrice (2) (Fig. 8 ◀).

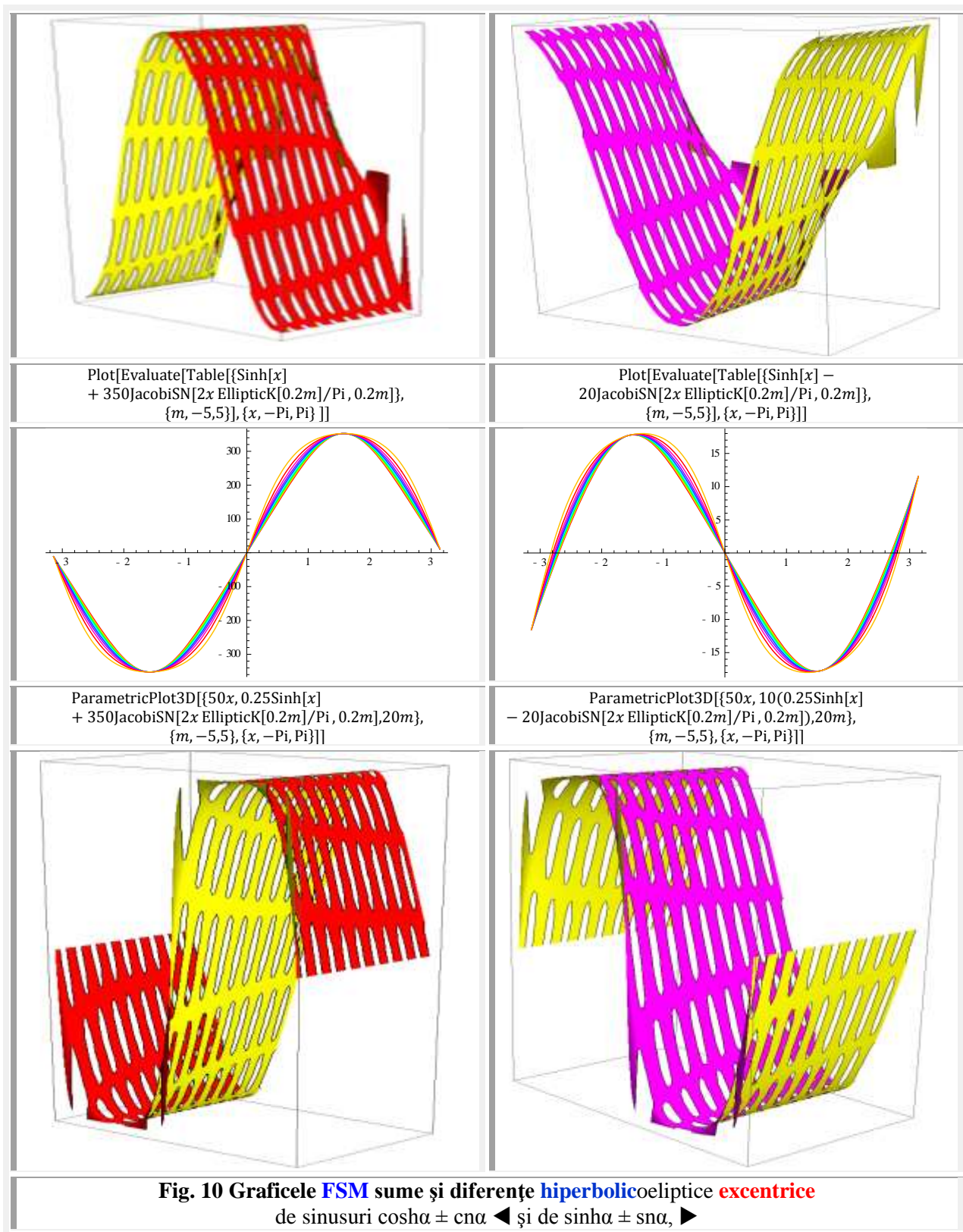
În cazul în care $S_y \neq O(0,0)$ și $S_y \equiv O(0, 0) \rightarrow s_y = 0$ se obțin hiperbole excentrice doar pe direcția y (HE_y), ca cele prezentate în figura 8 ▶ dreapta.

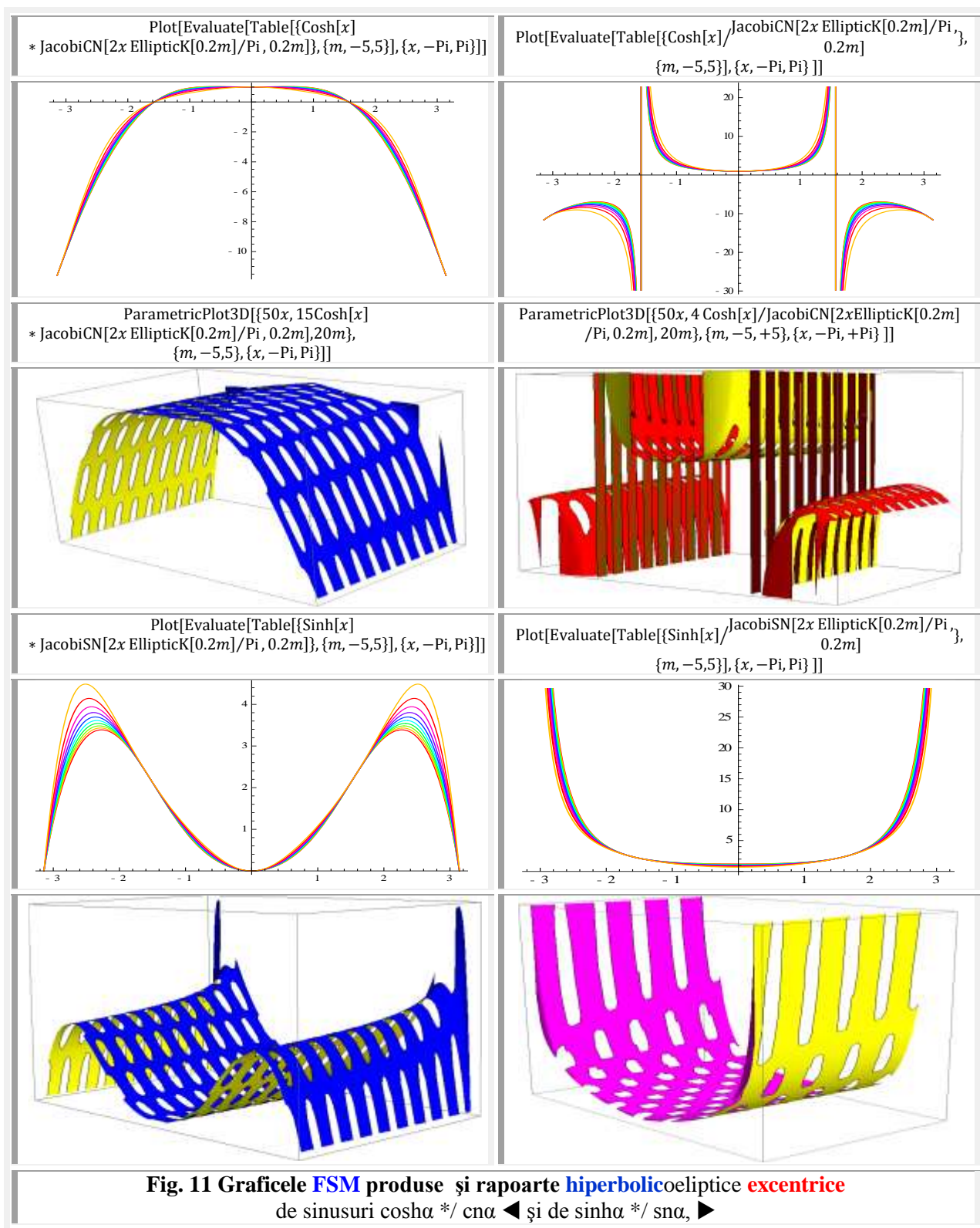




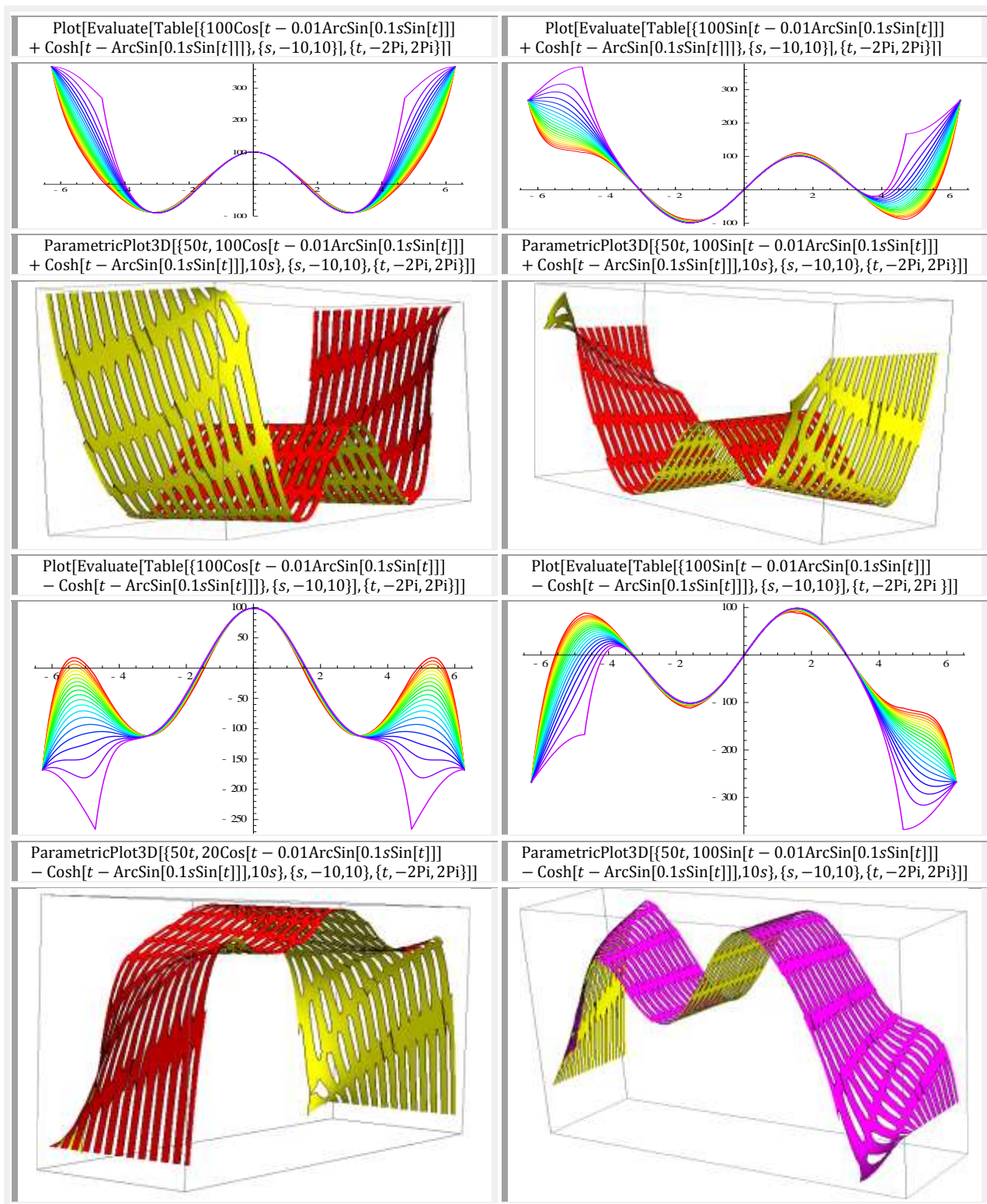
Câteva exemple de obiecte geometrice noi, hibride, datorate variației excentricității în limitele $s \in [0, 1]$, sunt prezentate în **figura 9**. Ele au fost denumite **conopiramidă**, **piramidocon**, **sferocub**, **sferoprisma** ș.m.a. pentru care autorul lor, un **român**, a fost admis ca MEMBRU DE ONOARE cu diplomă de PARADOXIST al clubului exclusivist **INTERNATIONAL ASOCIATION OF PARADOXISM**.

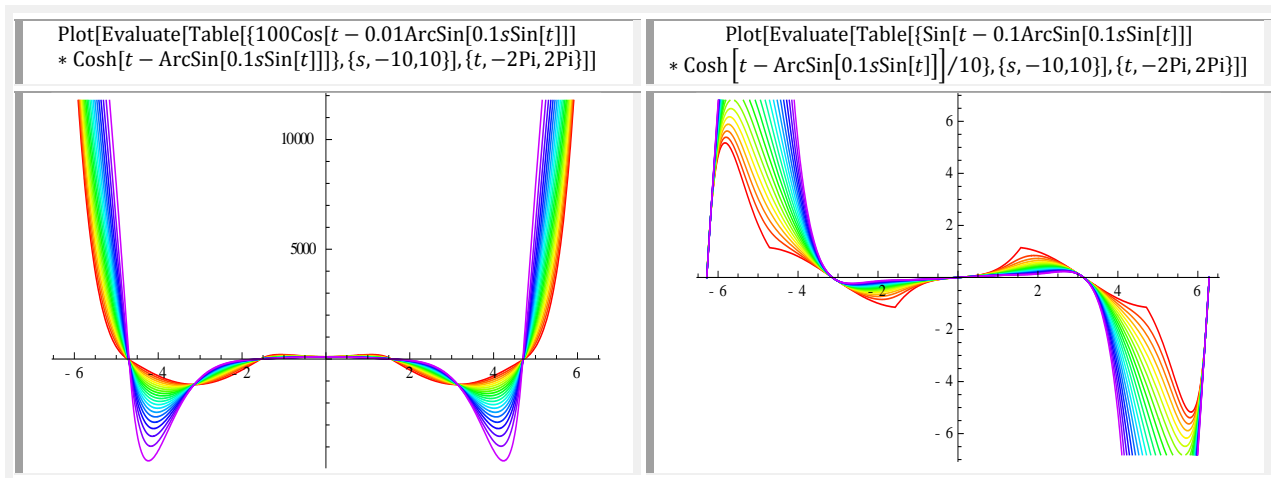
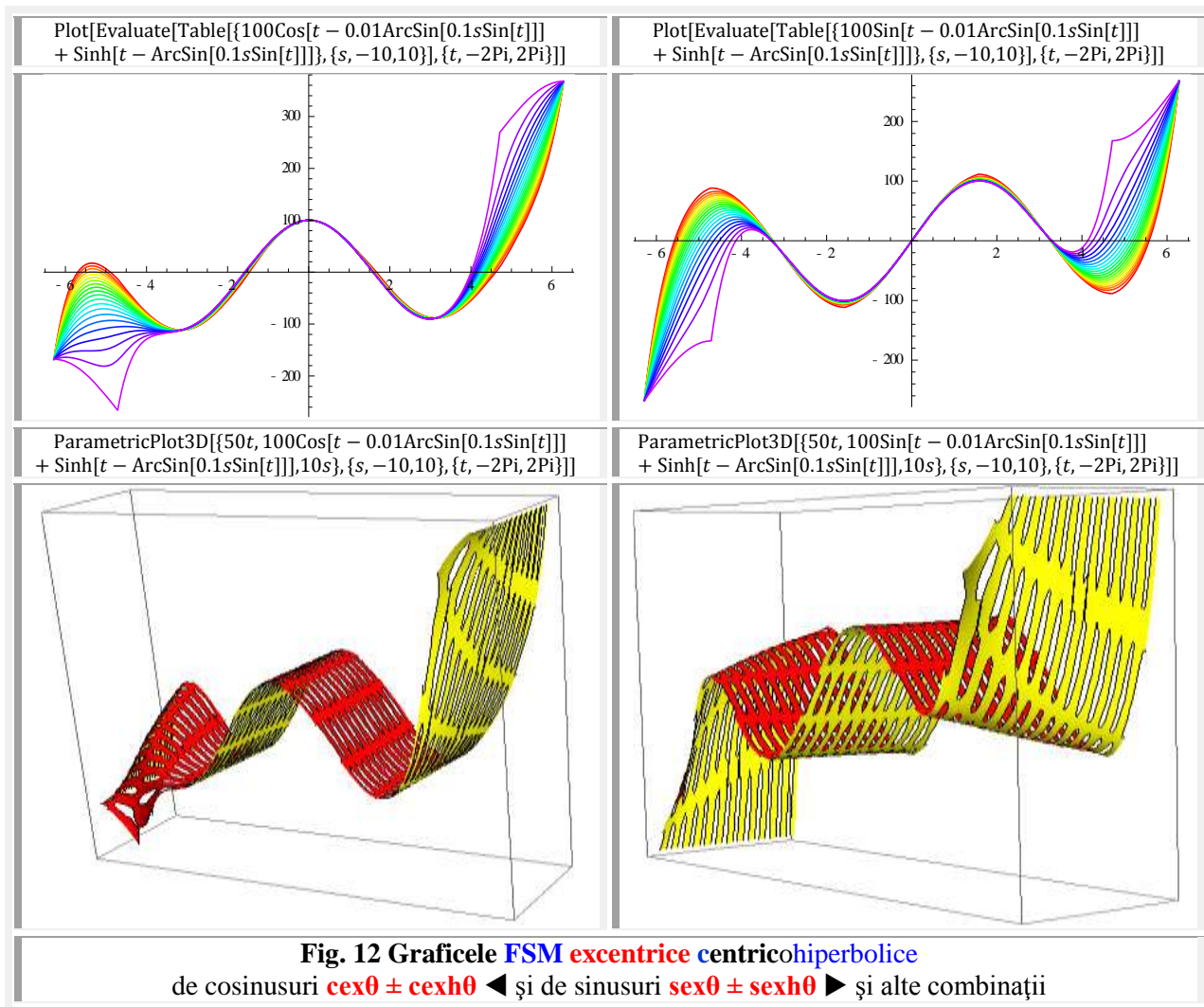


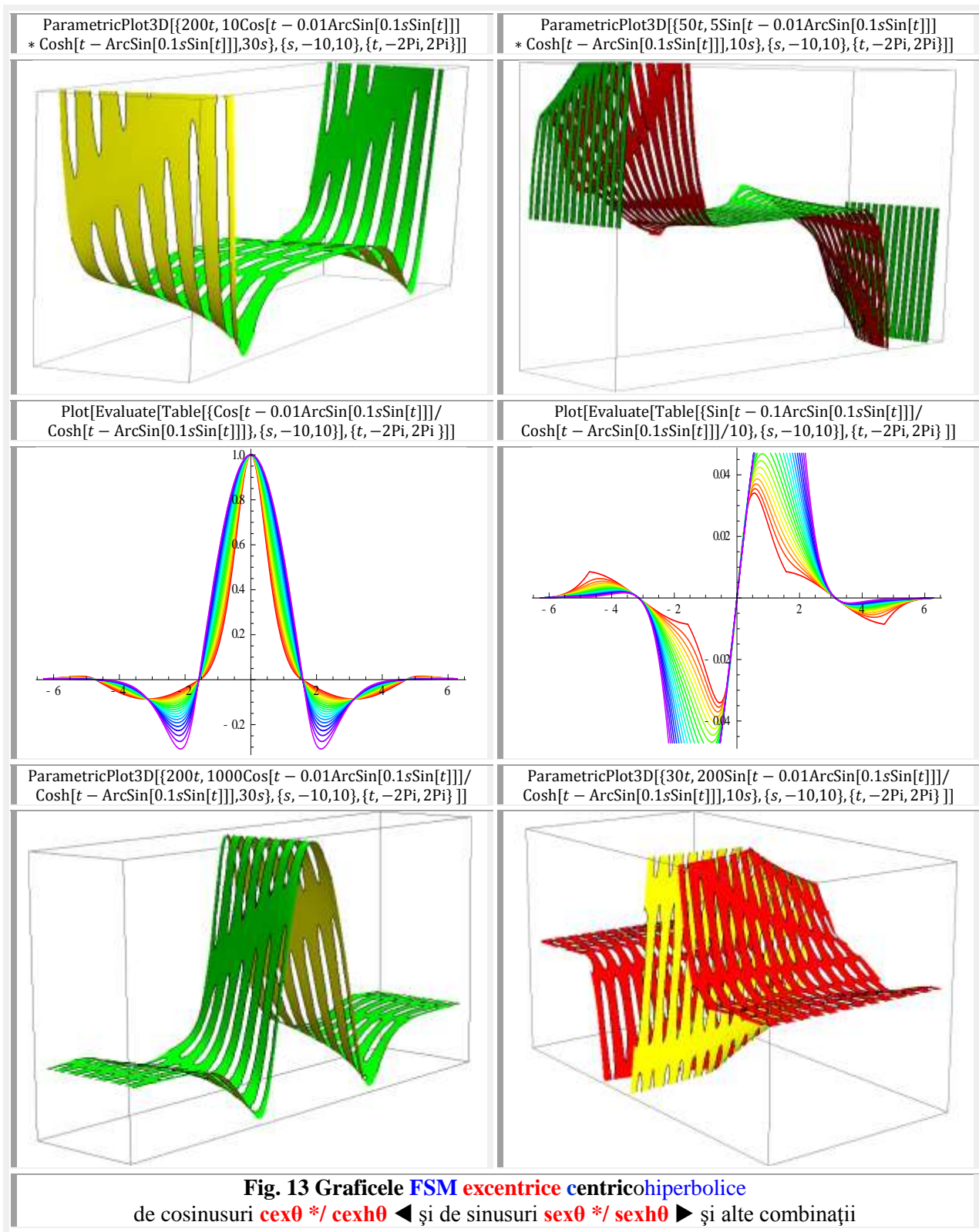


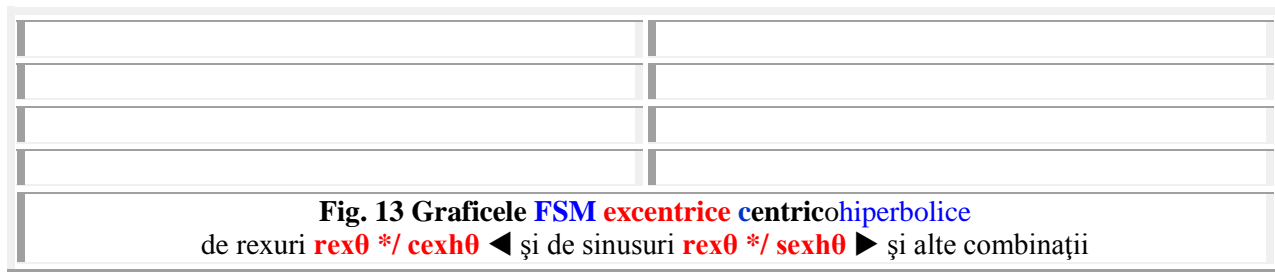


4. FSM CIRCULAROHIPERBOLICE EXCENTRICE









5. FSM CENTRICOHIPERBOLICE

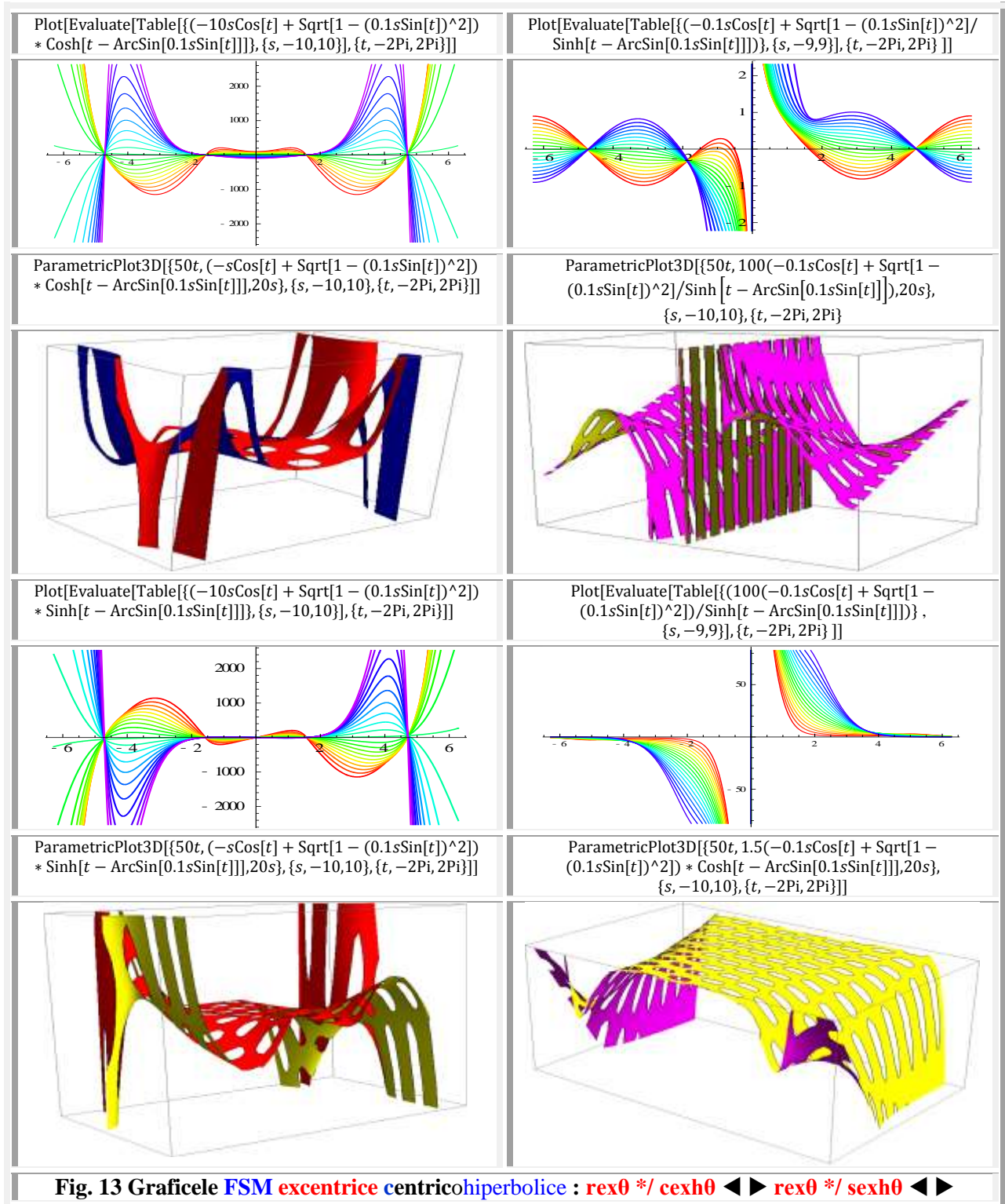
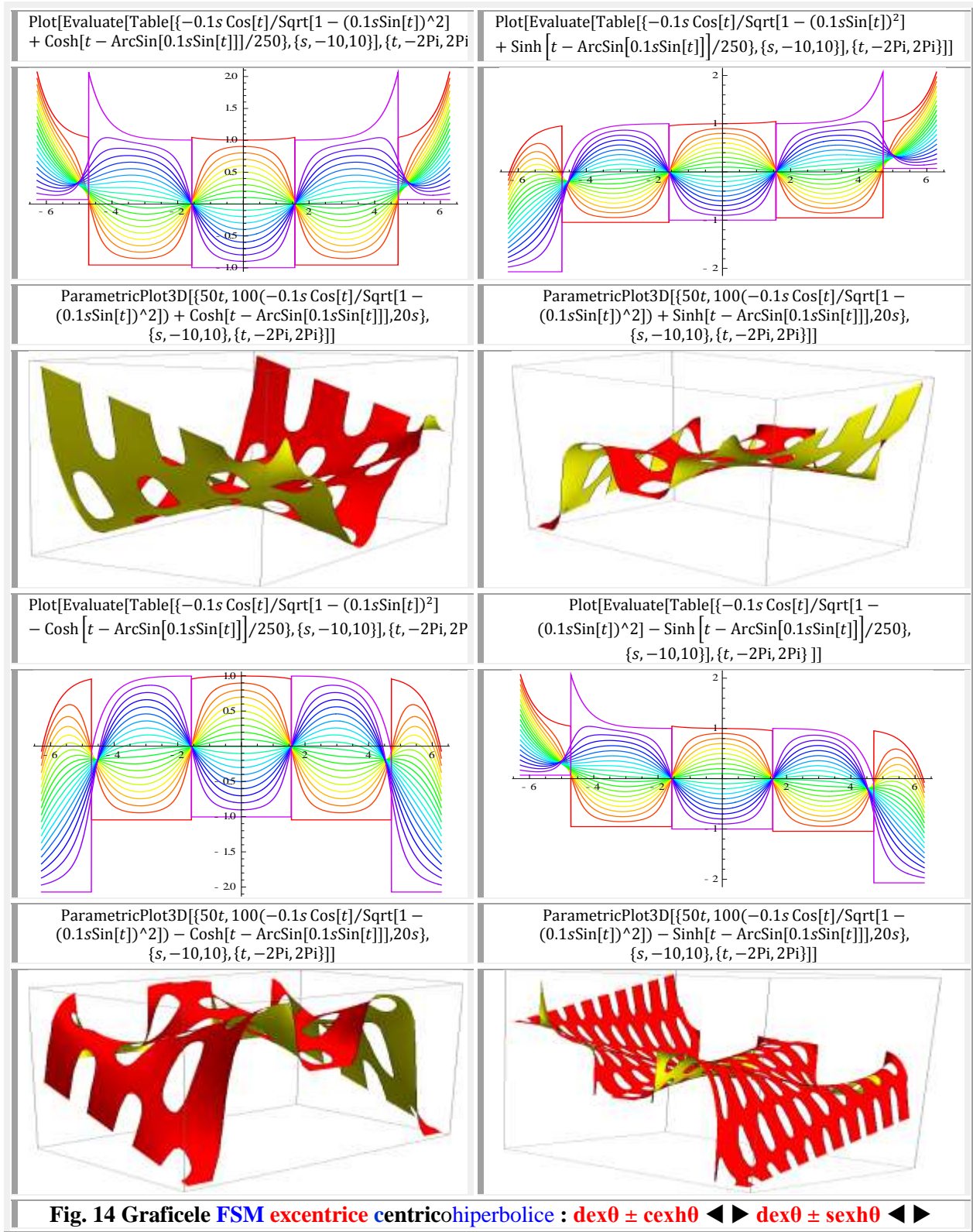


Fig. 13 Graficele FSM excentrice centricohiperbolice : $\text{rex0} */ \text{cexh0} \blacktriangleleft \blacktriangleright \text{rex0} */ \text{sexh0} \blacktriangleleft \blacktriangleright$



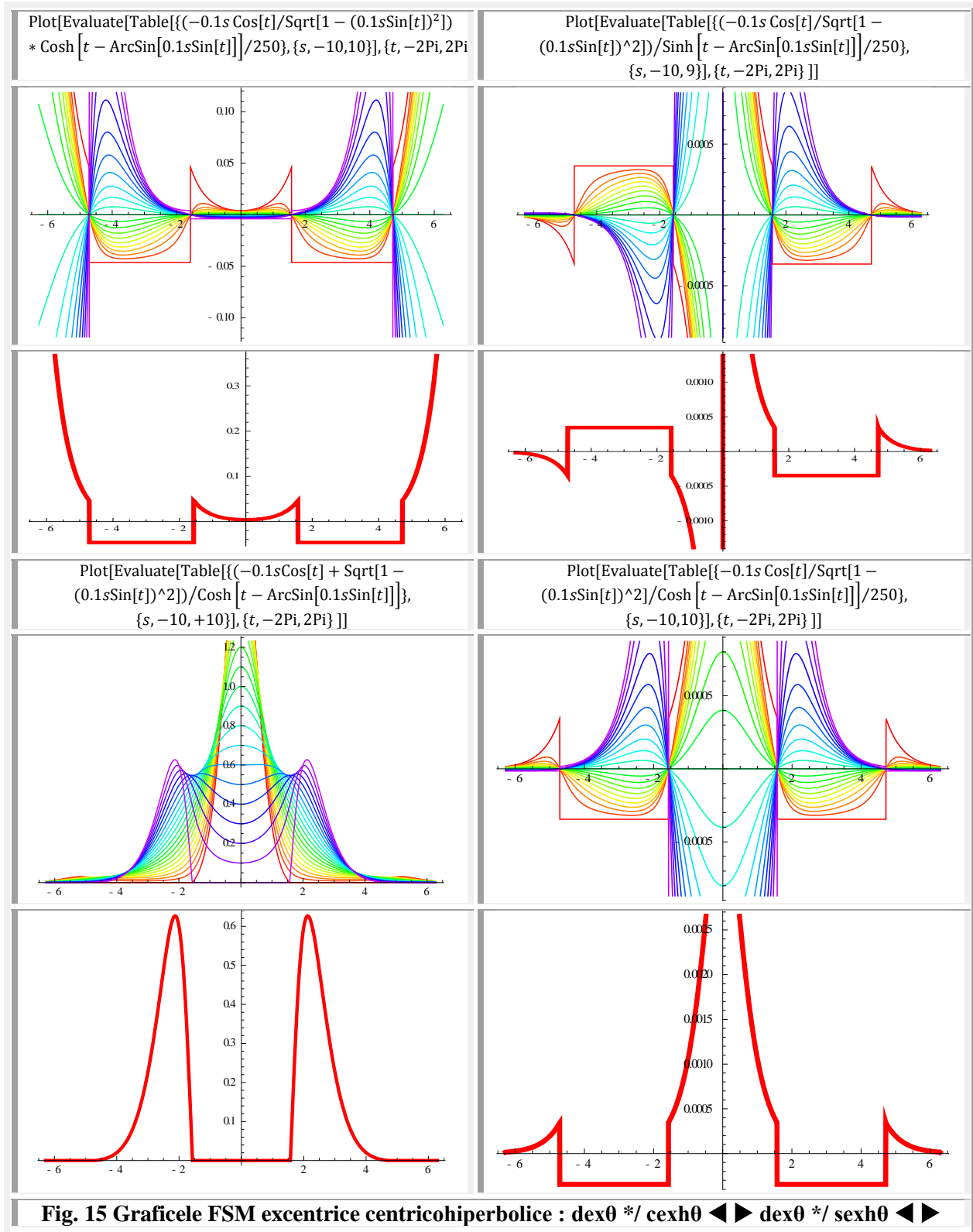
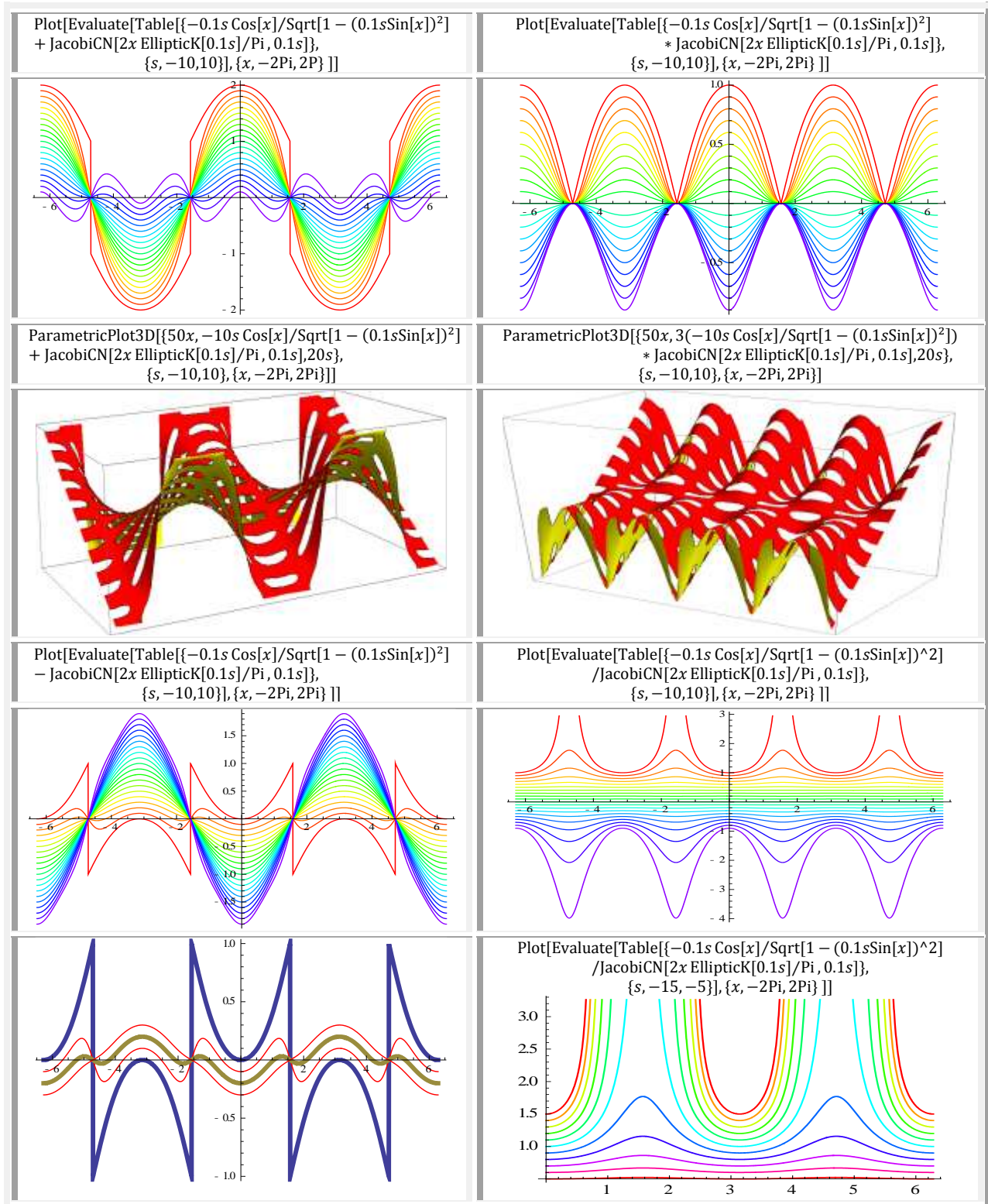
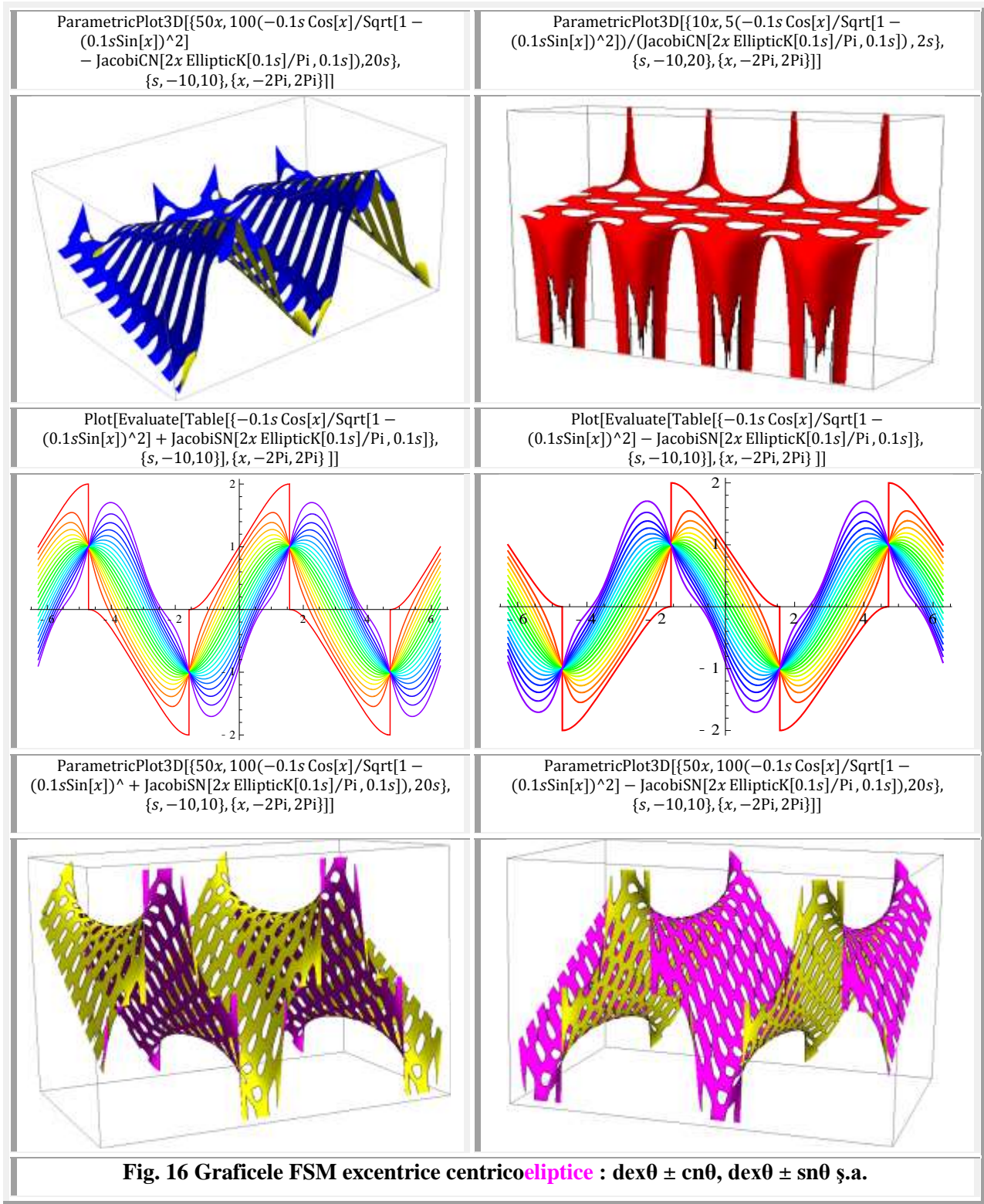


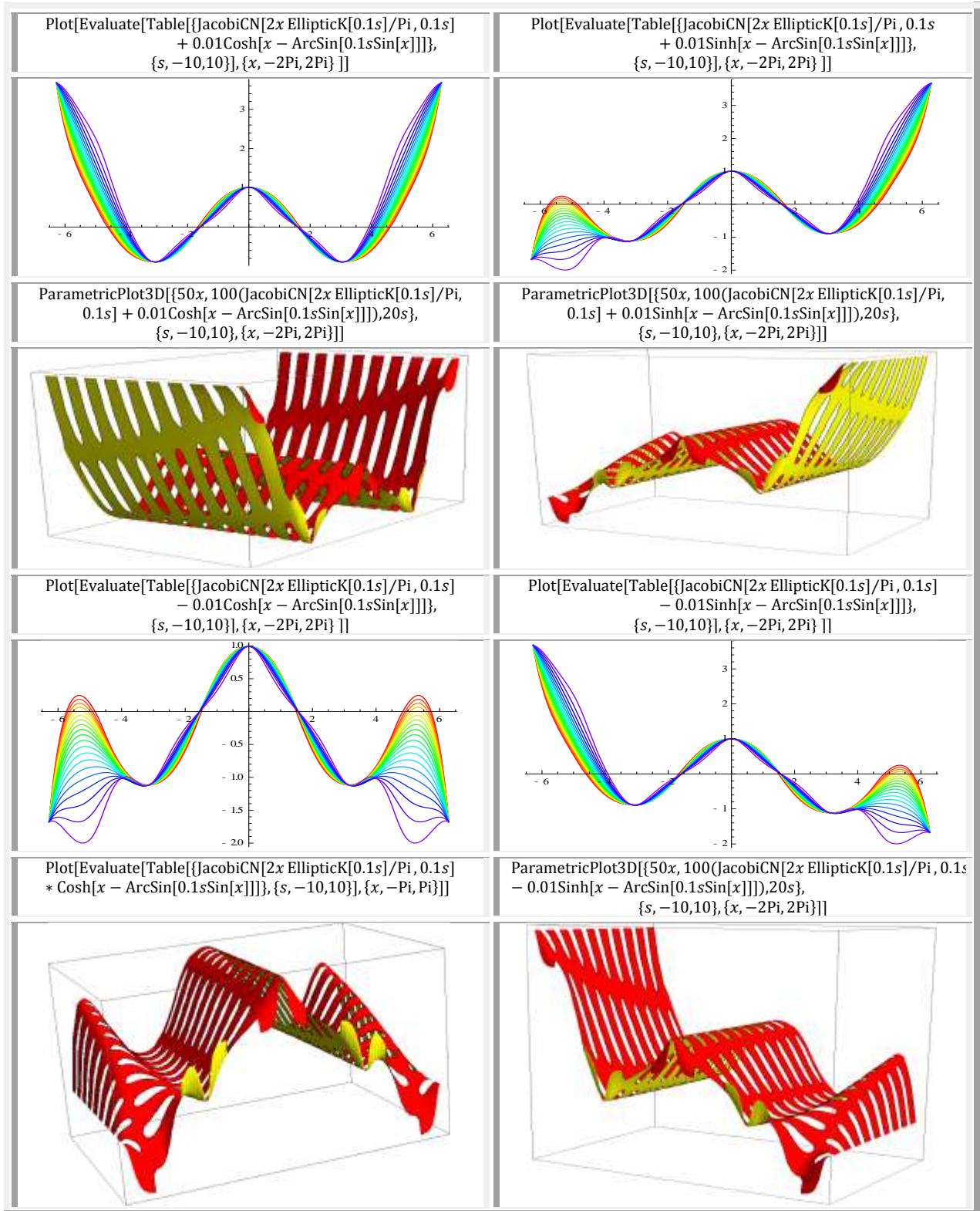
Fig. 15 Graficele FSM excentrice centricohiperbolice : $dex\theta^*/cexh\theta \ll \gg dex\theta^*/sexh\theta \ll \gg$

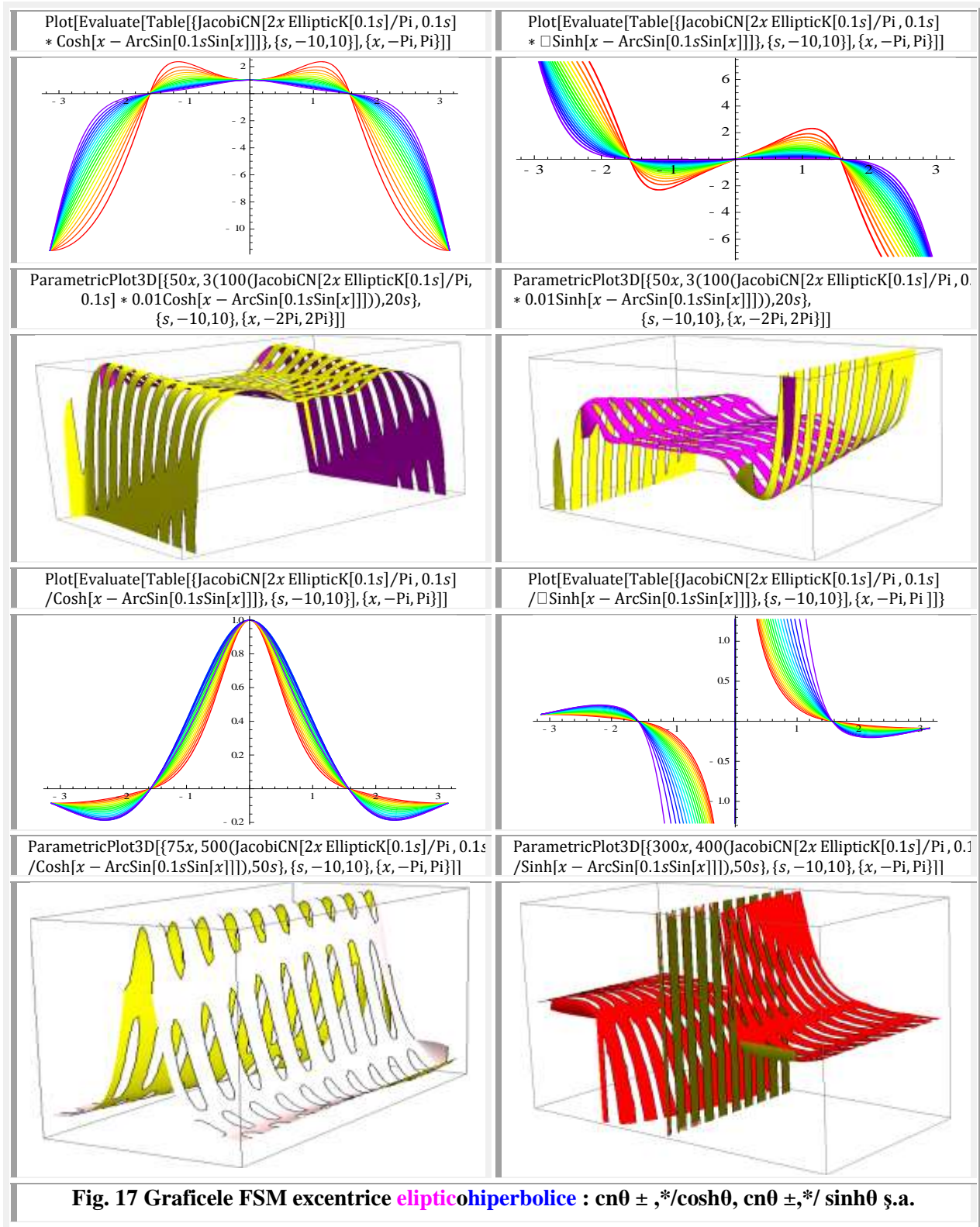
6. FSM CENTRICOELIPTICE



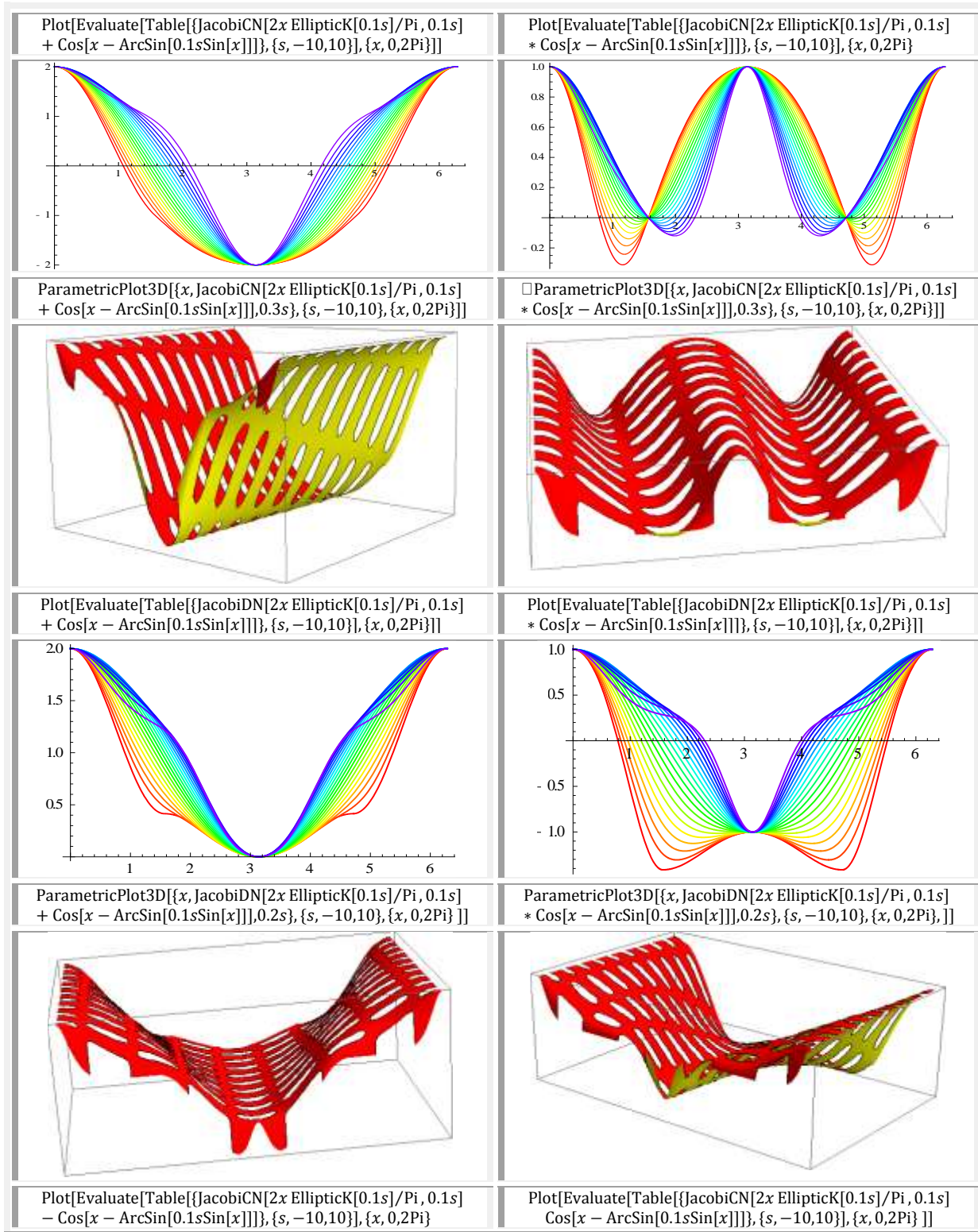


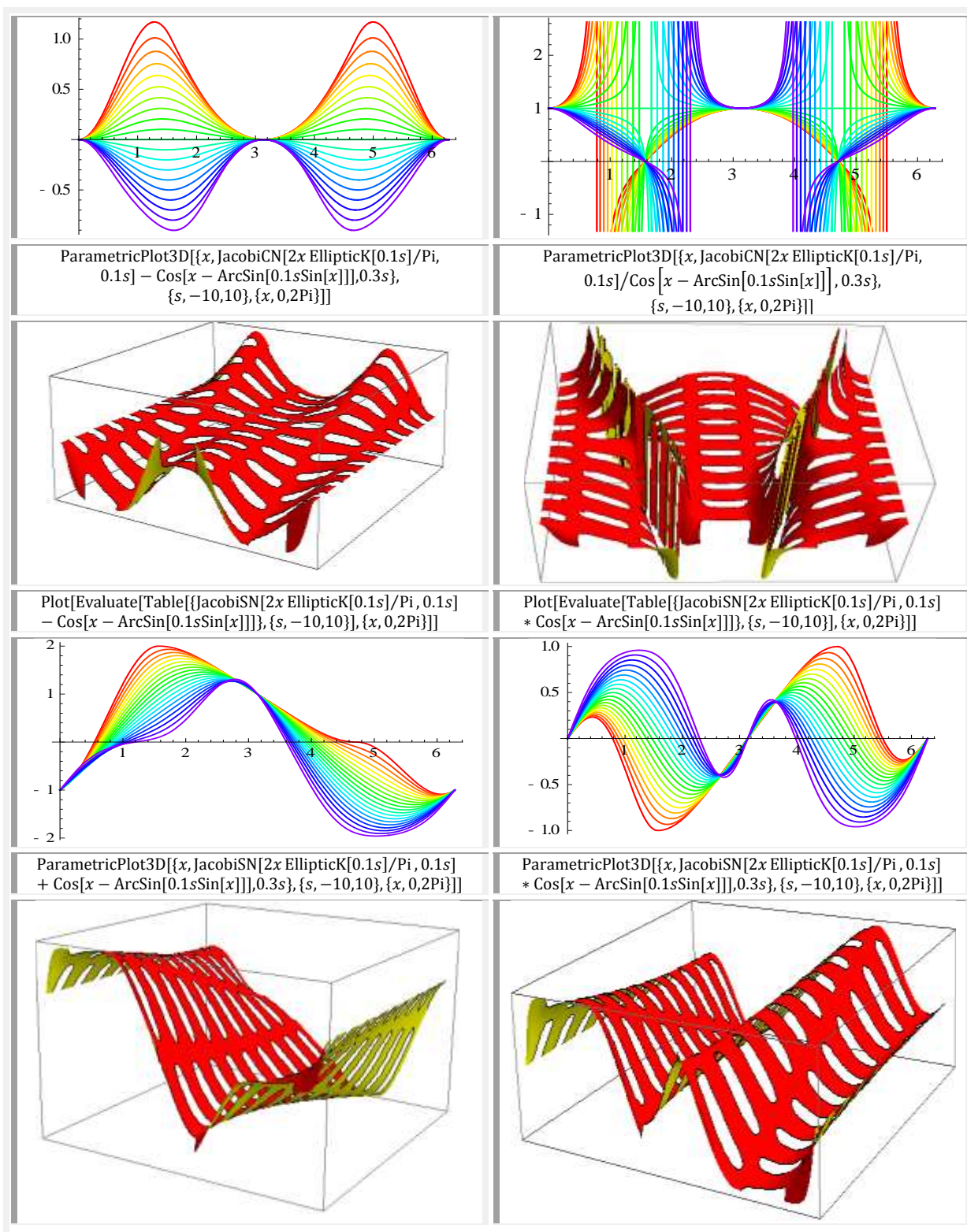
7. FSM ELIPTICOHIPERBOLICE

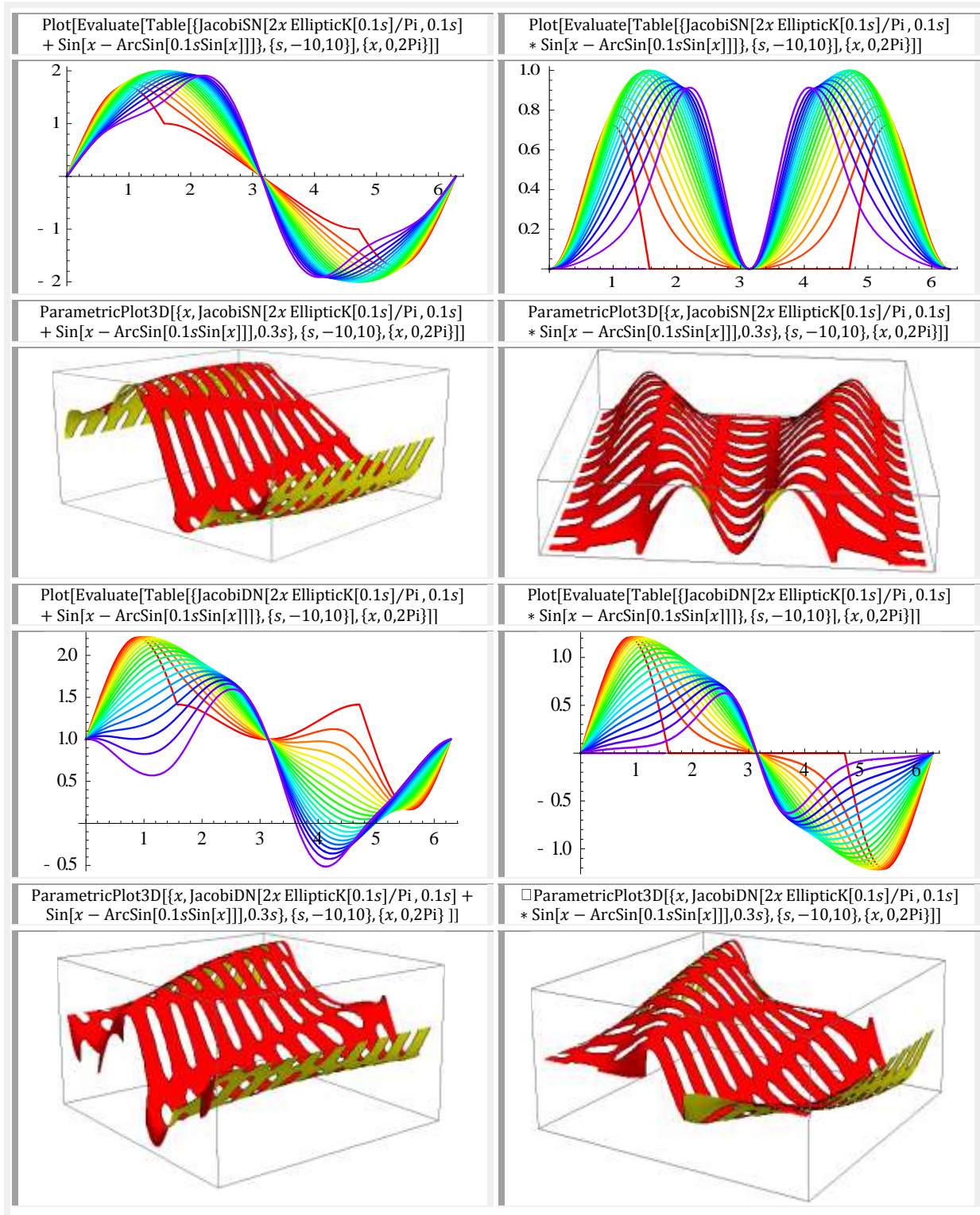


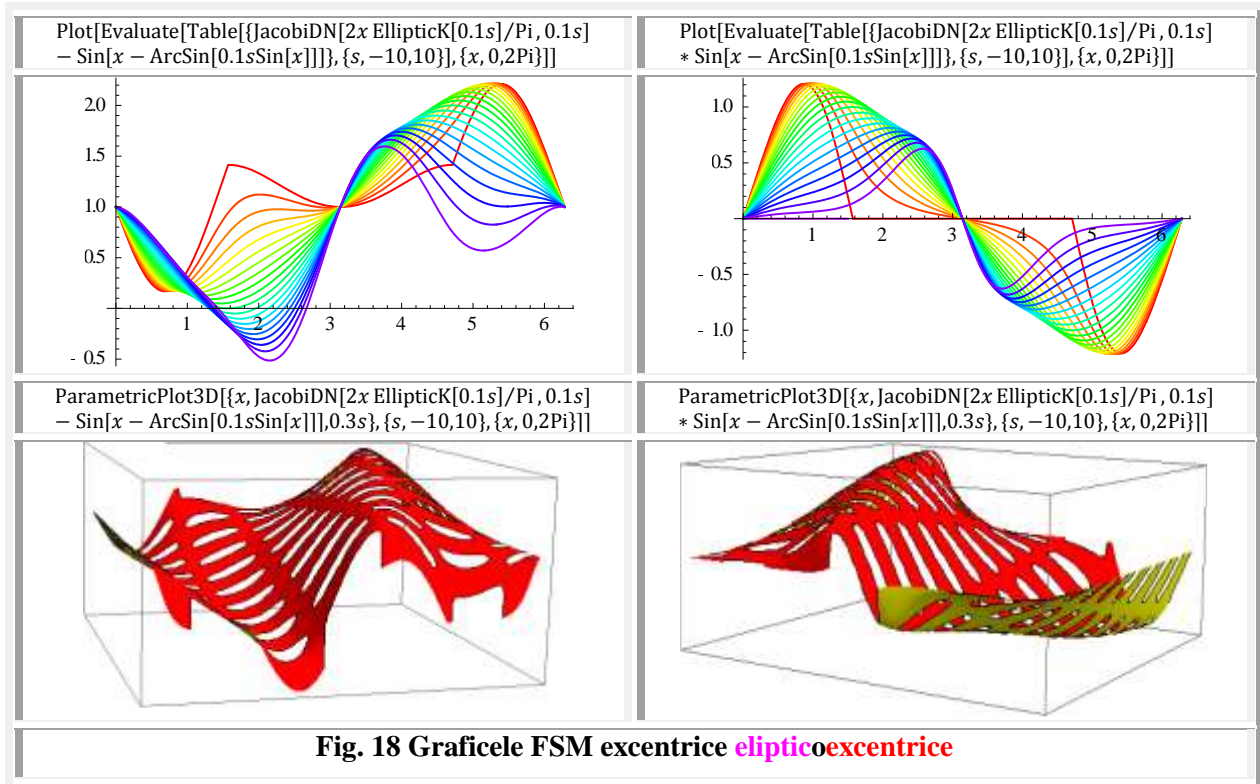


7. FSM ELIPTICOCIRCULARE EXCENTRICE









C U P R I N S

Cap.	Sub Cap.	DENUMIREA	Pag.
0.1		DEDICAȚIA DE CENTENAR A VOLUMULUI III	4 ... 4
0.2		PREFAȚĂ	5 ... 8
I		INTRODUCERE	9...14
II		FUNȚII SUPERMATEMATICE NOI (EFECTIVE - FSEf)	15 ...38
	II.1	INTRODUCERE ÎN NEMARGINIREA SM	15 ...38
	II.2	TANGENTE ȘI COTANGENTE SUPERMATEMATICE EFECTIVE (SMEf)	23 ...26
	II.3	GRAFICELE FUNCȚIILOR TANGENTE SUPERMATEMATICE EFECTIVE (SMEf)	27 ... 31
	II.4	GRAFICELE FUNCȚIILOR COTANGENTE SUPERMATEMATICE	31 ... 33
	II.5	GRAFICELE FUNCȚIILOR COTANGENTE SUPERMATEMATICE EFECTIVE (SMEf)	34 ... 38
III		FUNȚII SUPERMATEMATICE EVOLUTIVE (FSMEv)	39 ... 56
	III.1	INTRODUCERE	39 ...40
	III.2	UTILITATEA MULTIPLICĂRII FUNCȚIILOR MATEMATICE	40 ... 45
	III.3	FUNȚII SUPERMATEMATICE EVOLUTIVE CENTRICO * EXCENTRICE : $\sin\theta * \text{sex}\theta, \cos\theta * \text{cex}\theta,$ $\cos\theta * \text{sex}\theta, \sin\theta * \text{cex}\theta$	45 ...49
	III.4	FUNȚII SUPERMATEMATICE EVOLUTIVE (FSMEv) CENTRICO ± EXCENTRICE : $\cos\theta + \text{cex}\theta, \sin\theta + \text{sex}\theta, \cos\theta -$ $\text{cex}\theta, \sin\theta - \text{sex}\theta$	50 ... 51
	III.5	FUNȚII SUPERMATEMATICE EVOLUTIVE (FSMEv) CENTRICO ± EXCENTRICE : $\text{cex}\theta - \cos\theta, \text{sex}\theta - \sin\theta, \cos\theta /$ $\text{cex}\theta, \sin\theta / \text{sex}\theta$	52 ... 53
	III.5	FUNȚII SUPERMATEMATICE EVOLUTIVE (FSMEv) CENTRICO / EXCENTRICE : $\text{cex}\theta / \cos\theta, \text{sex}\theta / \cos\theta, \text{sex}\theta /$ $\cos\theta, \text{cex}\theta / \cos\theta$	54 ... 56
IV		FUNȚII SM REPREZENTÂND SEMNALE LINIARE FRÂNTE	57 ...70
	IV.1	INTRODUCERE	57 ...64
	IV.2	STRÂMBELE, FIGURI FUNDAMENTALE ALE SM	64 ... 66
	IV.3	FUNȚIA DE GRADUL 1 : FUNCȚIA LINIARĂ ȘI FUNCȚIA AFINĂ	66 ... 70

V	FUNCTII SUPERMATEMATICE EXCENTRICOELEVATE		71 ... 84
	V.1	INTRODUCERE	71 ... 72
	V.2	FUNCTII SUPERMATEMATICE EXCENTRICOELEVATE	72 ... 84
VI	FUNCTII SUPERMATEMATICE EVOLUTIVE EXCENTRICE DE VARIABILE EXCENTRICOCENTRICE		85 ... 92
	VI.1	INTRODUCERE	85 ... 86
	VI.2	FUNCTII SUPERMATEMATICE EVOLUTIVE EXCENTRICE DE VARIABILE EXCENTRICOCENTRICE CENTRICE α ŞI EXCENTRICE θ ÎN 3D	86 ... 92
VII	FUNCTII SUPERMATEMATICE EVOLUTIVE ELEVATOEXCENTRICE DE θ ŞI α		93 ... 104
	VII.1	INTRODUCERE	93 ... 93
	VII.2	GRAFICE 1	93 ... 99
		GRAFICE 2	99 ... 104
VIII	FUNCTII SUPERMATEMATICE EVOLUTIVE ELIPTICE CENTRICOEXCENTRICE DE PERIOADĂ $4K(k)$		105 ... 112
	VIII.1	INTRODUCERE	105 ... 108
	VIII.2	FUNCTII ELIPTICE (FEL Ev) dnev(u,k \equiv s) CENTRICOEXCENTRICE	108 ... 109
	VIII.3	FUNCTII ELIPTICE (FEL Ev) cnev(u,k \equiv s) CENTRICOEXCENTRICE	109 ... 110
	VIII.4	FUNCTII ELIPTICE (FEL Ev) snev(u,k \equiv s) CENTRICOEXCENTRICE	110 ... 112
IX	FUNCTII SUPERMATEMATICE EVOLUTIVE ELIPTICE CENTRICOEXCENTRICE DE PERIOADĂ 2π		113 ... 128
	IX.1	INTRODUCERE: FUNCTII ELIPTICE, FUNCTII EXCENTRICE ŞI UNELE ECHIVALENŢE ALE LOR	113 ... 119
	IX.2	COSINUS ELIPTIC cn(u,k) de $T = 2\pi$ ŞI COSINUSUL ELIPTIC EXCENTRIC cnex(u,k)	119 ... 124
	IX.3	SINUS ELIPTIC sn(u,k) de $T = 2\pi$ ŞI SINUSUL ELIPTIC EXCENTRIC snex(u,k)	124 ... 128
X	FUNCTII SUPERMATEMATICE EVOLUTIVE HIPERBOLICE EXCENTRICOCENTRICE		129 ... 138
	X.1	INTRODUCERE : FUNCTII HIPERBOLICE CENTRICE ŞI EXCENTRICE	129 ... 134
	X.2	FUNCTIILE SUPERMATEMATICE EVOLUTIVE HIPERBOLICE EXCENTRICOCENTRICE cexht (+, -m *, /) cosht şi sexht (+, -m *, /) sinht	133 ... 138

XI	FUNȚII INDUSE CA FUNȚII SPECIALE		139 ... 148
	XI.1	INTRODUCERE	139 ... 140
	XI.2	POLINOAME CEBÎȘEV EXCENTRICE DE PRIMA SPEȚĂ	140 ... 144
	XI.3	POLINOAME CEBÎȘEV EXCENTRICE DE SPEȚA A DOUA	144 ... 146
	XI.4	FUNȚIILE GENERATOARE ALE POLINOAMELOR CEBÎȘEV	146 ... 148
XII	FUNȚII SUPERMATEMATICE (FSM) RADIAL EXCENTRICE CVADRILOBE		149 ... 182
	XII.1	QUADRILOBE (CVADRILOBE)	149 ... 149
		1.1 QUADRILOBE / CVADRILOBE (QLE) EXTERIOARE CERCULUI UNITATE	149 ... 152
		1.2 QUADRILOBE (CVADRILOBE) INTERIOARE CERCULUI UNITATE (QLI)	153 ... 156
		1.3 QUADRILOBE (CVADRILOBE) VALERIU ALACI	156 ... 161
		1.4 QUAZIQUADRILOBE (CVAZICCVADRILOBE)	161 ... 165
	XII.2	RAZELE POLARE ALE QUADRILOBELOR (QLE) EXTERIOARE ȘI ALE CVADRILOBELOR INTERIOARE (QLI)	165 ... 170
	XII.3	FSM-QL RADIAL EXCENTRICE $req_{1,2} \theta$ și $Req_{\alpha,2}$ EXTERIOARE CERCULUI UNITATE	170 ... 175
	XII.4	FSM-QL RADIAL EXCENTRICE $req_{1,2} \theta$ și $Req_{\alpha,2}$ INTERIOARE CERCULUI UNITATE	175 ... 182
XIII	FUNȚII SUPERMATEMATICE (FSM) QUADRILOBICE / CVADRILOBICE ELIPTICE		183 ... 196
	XIII.1	INTRODUCERE. QUADRILOBE CIRCULARE	183 ... 193
	XIII.2	LEMNISCATE SUPERMATEMATICE QUADRILOBE	194 ... 196
XIV	OVALE ȘI LEMNISCATE SUPERMATEMATICE		197 ... 206
	XIV.1	INTRODUCERE	197 ... 200
	XIV.2	OVALELE ȘI LEMNISCATELE LUI BOOTH	201 ... 206
XV	FUNȚII SUPERMATEMATICE EXPONENȚIALE		207 ... 212
	XV.1	FUNȚII SUPERMATEMATICE EXPONENȚIALE CENTRICE ȘI EXCENTRICE	207 ... 212
XVI	FUNȚII SUPERMATEMATICE CIRCULARE EXCENTRICE (FSM – CE) AUTOINDUSE		213...232
	XVI.1	INTRODUCERE	213 ... 214
	XVI.2	1 FSM–CE AUTOINDUSE $bex\theta$ de variabilă excentrică θ	214 ... 215
		2 FSM–CE AUTOINDUSE $Bex\alpha$ de variabile centrice α	215 ... 216

		3	FSM – CE AUTOINDUSE $aex\theta$ de variabile excentrice θ	217 ... 217
		4	FSM – CE AUTOINDUSE $Aex\alpha$ de variabile centrice α	218 ... 219
		5	FSM – CE AUTOINDUSE $rex\theta$ de variabile excentrice θ	220 ... 220
		6	FSM – CE AUTOINDUSE $Rex\alpha$ de variabile centrice α	221 ... 222
		7	FSM – CE AUTOINDUSE $dex\theta$ de variabile excentrice θ	223 ... 223
		8	FSM – CE AUTOINDUSE $Dex\alpha$ de variabile centrice α	224 ... 225
		9	FSM – QL AUTOINDUSE $coq\theta$ de variabile excentrice θ	226 ... 227
		10	FSM – QL AUTOINDUSE $siq\theta$ de variabile excentrice θ	228 ... 228
		11	FSM – QL AUTOINDUSE $Coq\alpha$ de variabile centrice α	229 ... 229
		12	FSM – QL AUTOINDUSE de variabile excentrice α	230 ... 230
		13	FSM – QL AUTOINDUSE de variabile centrice α	230 ... 232
XVII	TRILOBE			233 ... 248
	XVII.0	REZUMAT		233 ... 233
	XVII.1	TRILOBE CENTRICE DE EXCENTRE PUNCTE FIXE ÎN PLAN		233 ... 240
	XVII.2	TRILOBELE CENTRICE DE EXCENTRE PUNCTE MOBILE ÎN PLAN		241 ... 242
	XVII.3	TRILOBE IN 3D DE EXCENTRE FIXE		243 ... 247
	XVII.4	BIBLIOGRAFIE		248 ... 248
XVIII	MULTIPLICAREA DIMENSIONALĂ A SPAȚILOR			249 ... 270
	XVIII.1	INTRODUCERE		249 ... 252
	XVIII.2	O NOUĂ DIMENSIUNE A SPAȚIULUI. HIBRIDAREA MATEMATICĂ		252 ... 257
	XVIII.3	MULTIPLICAREA SPAȚIULUI UNIDIMENSIONAL $1D \rightarrow 2D, 3D, \dots, nD$		258 ... 262
	XVIII.4	MULTIPLICAREA SPAȚIULUI BIIDIMENSIONAL $2D \rightarrow 3D^+, 3D, \dots, nD^+$		262 ... 264
	XVIII.5	CURBAREA SPAȚIULUI MULTIDIMENSIONAL		264 ... 265
	XVIII.6	OBIECTE DIN “ALTE SPAȚII”: DIN SPAȚIUL SUPERMATEMATICII		265 ... 270
XIX	TRILOBE. FUNCȚII TRILOBICE			271 ... 286
	XIX.1	DE VARIABLE EXCENTRICE θ		271 ... 286
XX	DETERMINAREA PULSAȚIILOR PROPRII ALE SISTEMELOR OSCILANTE LIBERE, CONSERVATIVE CU CARACTERISTICĂ ELASTICĂ STATICĂ (CES) NELINIARĂ, DE TIP DUFFING			287 ... 306
	XX.1	INTRODUCERE		287 ... 288
	XX.2	METODA		288 ... 294
	XX.3	PULSAȚIA INSTANTANEE, CA VITEZĂ UNGHIULARĂ DE rotație A PUNCTULUI $M(\theta, A)$ PE CERCUL DE RAZĂ $R = A$		294 ... 296

	XX.4	COMPLETARE LA LUCRAREA ÎNȚĂLĂ: SOLUȚII ÎN FUNCȚIE DE TIMPUL t	296 ... 299
	XX.5	INFINIȚII MICI (DIFERENȚIALELE), FSM-CE ȘI FUNCȚIILE ELIPTICE Jacobi	299 ... 306
XXI	VIBRAȚII MECANICE TRILOBICE		307 ... 324
	XXI.1	INTRODUCERE	307 ... 309
	XXI.2	FUNCȚII SUPERMATEMATICE TRILOBICE (FSM-T)	309 ... 318
	XXI.3	VIBRAȚII LIBERE, NEAMORTIZATE, TRILOBICE	318 ... 320
	XXI.4	CARACTERISTICI ELASTICE STATICE (CES) ALE SISTEMELOR TRILOBICE	321 ... 323
	XXI.5	ECUAȚIA DIFERENȚIALĂ A SISTEMELOR VIBRANTE TRILOBICE	323 ... 324
	XXI.6	BIBLIOGRAFIE	324 ... 324
XXII	CERCURILE LUI APOLLONIUS din Perga		325 ... 364
	XXII.1	INTRODUCERE. DESPRE IMPORTANȚA INTERNETULUI	325 ... 326
	XXII.2	PRELIMINARII	326 ... 326
		1 TEOREMA LUI APOLLONIUS din Perga.	326 ... 326
		2 RAPOARTE ARMONICE ȘI RAPOARTE ANARMONICE	326 ... 328
		3 TEOREMA REX	328 ... 330
	XXII.3	DEMONSTRAREA UNOR TEOREME CU AJUTORUL FUNCȚIILOR SUPERMATEMATICE CIRCULARE EXCENTRICE (FSM-CE) RADIAL EXCENTRIC	330 ... 330
		1 TEOREMA LUI PITAGORA	330 ... 330
		2 TEOREMA ÎNĂLȚIMII 1	330 ... 331
		3 TEOREMEI ÎNĂLȚIMII 2	331 ... 331
		4 TEOREMA CATETEI SAU TEOREMA LUI EUCLID	331 ... 332
		5 SINTEZA / UNIFICAREA TEOREMELOR COARDELOR, SECANTELOR ȘI A TANGENTELOR	332 ... 332
		6 TEOREMA COARDELOR	332 ... 332
		7 TEOREMA COARDELOR	332 ... 332
		8 TEOREMA SECANTĂ-TANGENTĂ	332 ... 333
		9 TEOREMA TANGENTELOR	333 ... 333
	XXII.4	PUTEREA PUNCTULUI FAȚĂ DE CERC	333 ... 333
	XXII.5	INVERSIUNE DE CENTRU DAT	333 ... 337
	XXII.6	APLICAȚIE	337 ... 338
	XXII.7	PROBLEMA RACORDĂRII A DOUĂ CERCURI	338 ... 338
		1 CÂND SE CUNOAȘTE UN PUNCT DE RACORDARE T_1	338 ... 340
		2 CÂND SE CUNOAȘTE RAZA R A ARCULUI DE RACORDARE TANGENT EXTERIOR	340 ... 340

		LA CELE DOUĂ CERURI DATE	
		3 CÂND SE CUNOAŞTE RAZA R A ARCULUI DE RACORDARE TANGENT INTERIOR LA CELE DOUĂ CERURI DATE	340 ... 341
		4 CÂND SE CUNOAŞTE RAZA R A ARCULUI DE RACORDARE TANGENT INTERIOR LA UN CERC ŞI TANGENT EXTERIOR LA AL DOILEA CERC.	342 ...345
	XXII.8	CERC TANGENT LA DOUĂ CERURI DATE ŞI TRECÂND PRINTR-UN PUNCT EXTERIOR A	345 ... 345
	XXII.9	1 PUNCTUL EXTERIOR ESTE $A \equiv O$, ESTE CENTRUL CERULUI LUI Apollonius din Perga $C(O,R)$, CERC TANGENT LA TREI CERURI DATE (C_1, C_2, C_3).	345 ... 347
		2 METODA Şelariu [2] : INVERSIUNII UNUI SINGUR PUNCT	347 ... 350
		3 ANEXA 1: ECUAŢIA UNEI DREPTE TANGENTĂ LA UN CERC DUSĂ DINTR-UN PUNCT EXTERIOR CERULUI	350 ...353
	XXII.10	CE SE GĂSEŞTE PE INTERNET	353 ... 357
	XXII.11	PROBLEMA LUI APOLLONIUS DIN PERGA: DETERMINAREA CERURILOR TANGENTE LA TREI CERURI DATE.	358 ... 359
	XXII.12	REZOLVAREA PROBLEMEI LUI APOLLONIUS DIN PERGA CU PROGRAMUL MATHEMATICA 8 AL LUI Stephan Wolfram	361 ...364
	XXII.13	BIBLIOGRAFIE	364 ... 364
XXIII		PENDULE SUPERMATEMATICE	365 ...376
	XXIII.1	I N T R O D U C E R E	365 ... 365
366 .	XXIII.2	PENDULUL SUPERMATEMATIC (PSM) CU UN SINGUR EXCENTRU SAU MIŞCAREA CIRCULARĂ EXCENTRICĂ OSCILANT	366 ...369
	XXIII.3	PENDULUL SUPERMATEMATIC (PSM) CU DOUĂ EXCENTRE UNUL FIX ŞI AL DOILEA VARIABIL PE UN CERC	369 ...372
	XXIII.4	PENDULUL SUPERMATEMATIC CU UN EXCENTRU VARIABIL PE ELIPSĂ	372 ... 374
	XXIII.5	B I B L I O G R A F I E	376 ... 376
XXIV		SPAŢIUL MATEMATICII CENTRICE (ME) ŞI SPAŢIUL MATEMATICII EXCENTRICE (ME)	377 ... 390

	XXIV.1	NOI DIMENSIUNI ALE SPAȚIULUI ȘI CONSECINȚELE LOR : HIBRIDAREA ȘI METAMORFOZAREA MATEMATICĂ	377 ...390
XXV		WEIERSTRASS Ș.M.A. S-AU ÎNȘELAT	391 ... 412
	XXV.0	REZUMAT	391 ...391
	XXV.1	INTRODUCERE	391 ...398
	XXV.2	CONSECINȚELE ÎNLOCUIRII FUNCȚIEI CU DEZVOLTAREA EI ÎN SERIE	398 ...401
	XXIV.3	REDAREA DERIVATELOR UNOR FUNCȚII	401 ...407
	XXV.4	FUNCȚII SUPERMATEMATICE (FSM) SMARANDACHE ÎN TREPTE ȘI DERIVATELE LOR	407 ...410
	XXV.5	BIBLIOGRAFIE	410 ...412
XXVI		FUNCȚII SUPERMATEMATICE CIRCULARE CENTRICE TRANSLATATE	413 ... 428
	XXVI.1	LAUDATIO în loc de INTRODUCERE	413 ...416
	XXVI.2	TIPURI / FAMILII DE FUNCȚII SUPERMATEMATICE	416 ... 428
XXVII		NIMIC DESPRE SUPERMATEMATICĂ - TOTUL DESPRE PROSTIE - <i>Grafica Ion Măldărescu, Agero Stuttgart</i>	429 ... 434
XXVIII		FUNCȚIA GAMMA CENTRICĂ și FUNCȚII GAMMA EXCENTRICE	435 ... 448
	XXVIII.1	INTRODUCERE	435 ...439
	XXVIII.2	FUNCȚIA GAMMA CENTRICĂ	439 ...440
	XXVIII.3	FUNCȚII GAMMA EXCENTRICE	441 ...447
	XXVIII.4	BIBLIOGRAFIE	448 ...448
XXIX		Nota 1 : FUNCȚII SUPERMATEMATICE BESSEL CENTRICE	449 ...470
	XXIX.1	INTRODUCERE	449 ...450
	XXIX.2	1 FUNCȚII Bessel CENTRICE (FBC) DE SPEȚA I-a : $J_a(z)$	450 ...461
		2 FUNCȚII Bessel CENTRICE (FBC) DE SPEȚA A II-a: Y_a	461 ... 464
		3 FUNCȚII BESSEL CENTRICE (I, J, K, Y) ȘI EXCENTRICE (IE, JE, KE, YE) (COMPARAȚIE)	465 ...458
	XXIX.3	BIBLIOGRAFIE	469 ... 470
XXX		Nota 2: FUNCȚII SUPERMATEMATICE BESSEL EXCENTRICE	471... 484
	XXX.1	INTRODUCERE	471 ...473

	XXX.2	FUNŢII BESSEL EXCENTRICE DE PRIMA SPEŢĂ $J_{E_{\alpha}(x)}$	473 ...477
	XXX.3	FUNŢII BESSEL EXCENTRICE DE SPEŢA A DOUA $Y_{E_{\alpha}}$	478 ...484
		BIBLIOGRAFIE	485 ...494
		CUPRINS	495 ...501

